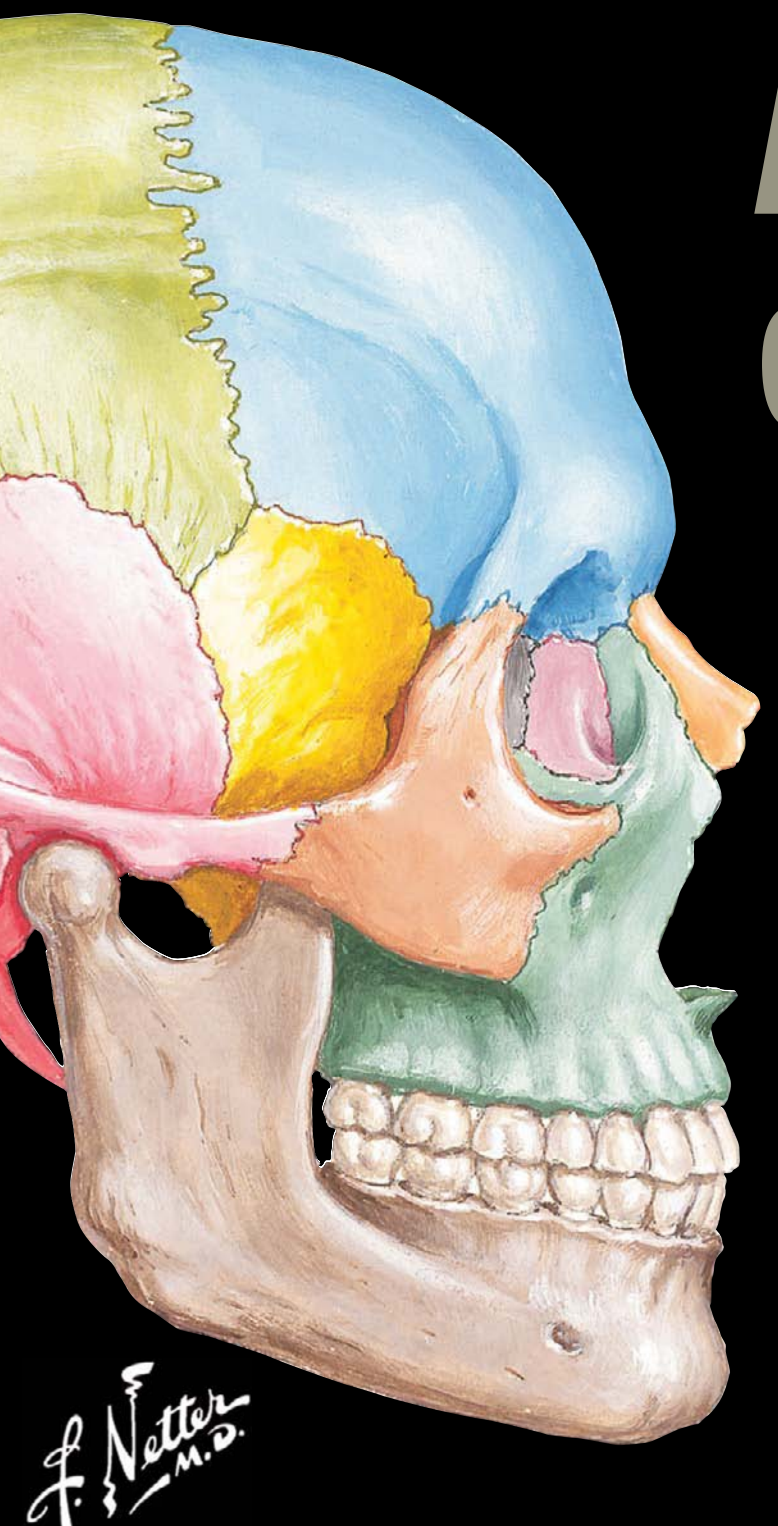
FRANK H. NETTER, MD

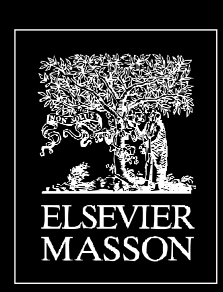


Atlas d'anatomie humaine

5e édition

Traduction de Pierre Kamina





Atlas d'anatomie humaine

F. Netter M.D.

Comité éditiorial

Atlas d'anatomie humaine

5e Édition

Frank H. Netter, MD



ELSEVIER
MASSON



1600 John F. Kennedy Boulevard
Suite 1800
Philadelphia, Pennsylvania 19103-2899

Version française de l'œuvre originale en langue anglaise : Atlas of Human Anatomy, 5th edition, by Frank H. Netter, MD (ISBN : 978-1-4160-5951-6)
Elsevier Saunders, 1600 John F. Kennedy Boulevard, Philadelphia, Pennsylvania, 19103, USA

Traduction et adaptation en langue française : Pierre Kamina – Professeur émérite d'anatomie – Université de Poitiers
5e édition, 2011

Édition française : *Atlas d'anatomie humaine*, 5e édition
Directrice éditoriale : Mathilde Bestel
Éditrice : Florence Goulet
Production : Aude Cauchet
Maquette de couverture : Élisabeth Alfonso

Édition originale : *Atlas of Human Anatomy*, 5th edition
Director of Netter Products: Anne Lenehan
Online Editor: Elyse O'Grady
Developmental Editor: Marybeth Thiel
Publishing Services Manager: Linda Van Pelt
Design Direction: Lou Forgione
Illustrations Manager: Karen Giacomucci
Marketing Manager: Jason Oberacker

Photocomposition : Nord Compo
Impression et reliure : Legoprint, Italie

Dépôt légal : 2011

Imprimé en Italie

ISBN France : 978-2-294-71297-5
ISBN Campus : 978-2-294-09732-4
ISBN Canada : 978-2-294-09733-1

À ma chère épouse, Vera

Préface à la première édition

J'ai souvent dit que ma carrière d'artiste médical, depuis presque 50 ans, a été une sorte « d'œuvre sur commande » en ce sens qu'elle a évolué en fonction des souhaits et des demandes de la profession médicale. Durant toutes ces années, j'ai réalisé environ 4 000 illustrations, la plupart pour « The Ciba (maintenant Netter) Collection of Medical Illustrations », mais aussi pour « Clinical Symposia ». Ces dessins concernaient de nombreuses branches de la science médicale comme l'anatomie, l'histologie, l'embryologie, la physiologie, la pathologie, les explorations fonctionnelles, les techniques chirurgicales et thérapeutiques, et les manifestations cliniques d'un grand nombre de maladies. Avec l'âge, cependant, j'eus de plus en plus de demandes des médecins et des étudiants pour que je fasse un atlas exclusivement d'anatomie. C'est ainsi que cet atlas vit le jour, non pas sur un désir personnel, mais plutôt, comme la plupart de mes œuvres précédentes, pour répondre aux souhaits de la profession médicale. J'étais cependant si absorbé par d'autres engagements qu'il m'a fallu du temps pour parvenir à l'achever. Et quand enfin il fut terminé, je me suis rendu compte qu'il avait demandé beaucoup plus de travail et de temps que je l'avais prévu. Il fallait que je reprenne toutes les illustrations que j'avais faites depuis de si nombreuses années, en choisissant celles qui concernaient l'anatomie, en les classant, en les regroupant par systèmes et par régions, en les adaptant au format et à l'espace d'une page, et en les disposant selon un ordre logique. C'est vrai que l'anatomie ne change pas, mais en revanche, notre compréhension de l'anatomie et de son intérêt clinique change, tout comme sa terminologie et sa nomenclature. Cela a donc demandé une mise à jour importante de nombreuses illustrations anciennes, et même une refonte de beaucoup d'entre elles de façon à les adapter à la pratique médicale et chirurgicale moderne, toujours en évolution. En outre, j'ai découvert que mes illustrations précédentes n'embrassaient pas toute la connaissance médicale, et il m'a fallu réaliser un grand nombre de dessins nouveaux qui sont inclus dans ce volume.

En créant un atlas comme celui-ci, il est important de trouver un juste milieu entre la complexité et la simplification. Si les figures sont trop complexes, leur étude sera difficile et confuse. Si elles sont trop simplifiées, elles peuvent être insuffisamment précises, voire inexactes. J'ai donc opté pour le moyen terme, le réalisme sans la confusion des détails. J'espère que les étudiants et les membres des professions médicales et paramédicales trouveront les illustrations intelligibles et utiles à la fois.

D'un commun accord, M. Flagler, l'éditeur, et moi-même avons pensé qu'il serait bon d'inclure la préface d'un anatomiste éminent et renommé, mais il y en a tant dans cette spécialité, dont un grand nombre a collaboré avec moi dans le passé, et qui sont cités plus loin dans ce volume, que nous n'avons pas pu faire un choix. Nous avons bien sûr pensé à des hommes comme Vésale, Léonard de Vinci, William Hunter et Henry Gray, qui évidemment et malheureusement sont indisponibles, et je me demande vraiment quels commentaires leur aurait inspiré cet atlas.

Frank H. Netter, MD
(1906–1991)

Frank H. Netter, MD

Frank H. Netter est né en 1906 à New York. Il a d'abord fait des études d'art à l'Art Student's League et à la National Academy of Design avant de suivre ses études médicales à l'université de New York où il passe son doctorat en 1931. Pendant ses années d'étude, les croquis dans les cahiers de Frank H. Netter ont attiré l'attention des membres de la Faculté et des autres médecins. Ceci lui a permis d'augmenter ses revenus en illustrant des articles ou des livres. Il continua de réaliser des illustrations tout en commençant une carrière de chirurgien en 1933 ; toutefois, il finit par abandonner sa pratique clinique pour se consacrer entièrement à l'art. Après son passage dans les forces armées américaines durant la deuxième guerre mondiale, il débuta une longue collaboration avec le groupe pharmaceutique CIBA (devenu maintenant le groupe Novartis). Durant ces 45 ans de collaboration, il produisit une impressionnante collection d'illustrations médicales qui est devenue très populaire pour tous les médecins et professionnels de la santé dans l'ensemble du monde.

Icon Learning Systems a acheté les droits de la collection de Netter en juillet 2000 et continue de mettre à jour les illustrations originales de Netter et de leur adjoindre de nouvelles illustrations réalisées par des artistes travaillant selon le style originel de Netter. En 2005, Elsevier Inc. a racheté la collection et toutes les publications de Netter à Icon Learning Systems. Il y a maintenant plus de 50 publications qui diffusent l'œuvre artistique du Dr Netter.

Les travaux de Netter représentent un des meilleurs exemples de l'utilisation de l'iconographie dans l'apprentissage des concepts médicaux. Les 13 livres de la Collection Netter d'Illustrations Médicales, qui incluent la plus grande partie des 20 000 dessins originaux de Netter, comptent parmi les œuvres médicales les plus renommées jamais publiées. L'Atlas d'anatomie humaine de Netter, initialement publié en 1989, regroupe les dessins anatomiques de la collection Netter. Il est désormais traduit en 11 langues. C'est l'atlas anatomique de référence des étudiants en médecine et paramédicaux dans le monde entier.

Les illustrations de Netter sont appréciées tant pour leur qualité esthétique que pour leur contenu pédagogique, ce qui est même plus important. Comme le disait Frank H. Netter en 1949 : « …le but d'une illustration est de clarifier un sujet. L'importance de l'illustration médicale ne réside pas dans la beauté du dessin ou le rendu délicat et subtil d'un sujet mais dans sa possibilité de rendre plus clair un point ». Les plans, conceptions, points de vue et approches de Frank H. Netter ont permis de rendre ses illustrations très utiles sur le plan didactique et conceptuel.Frank H. Netter, MD, physician and artist, died in 1991.

Frank H. Netter, médecin et artiste, est mort en 1991.



Frank H. Netter, MD

Photographie de James L. Clayton

Préface à la cinquième édition

C'est avec enthousiasme que j'ai accepté d'effectuer la traduction et l'adaptation française de l'atlas du Dr Frank Netter, que j'admire pour l'ensemble de son œuvre.

Le Dr Netter s'inscrit dans la lignée des prestigieux artistes-anatomistes, tels Léonard de Vinci, Jacques Gautier d'Agoty, Nicolas Henry Jacob et d'autres, qui ont conçu et réalisé eux-mêmes des dessins de grande valeur scientifique et artistique.

Il a su vulgariser l'illustration médicale, tout en conservant la rigueur scientifique, grâce à la collaboration d'éminents spécialistes.

En 1989, le plus célèbre artiste médical nord-américain décide de regrouper une sélection de dessins anatomiques sous forme d'un atlas destiné aux jeunes étudiants, intitulé *Atlas of Human Anatomy*. Cet atlas connaîtra un succès international.

La finalité pédagogique est toujours sous-jacente. Il souligne à dessein, grossièrement, les structures qu'il veut mettre en évidence, tels les nerfs. Il fait aussi appel à des couleurs franches, parfois brillantes, pour rehausser les structures trop discrètes. D'un coup d'œil, le lecteur embrasse une région, comprend les rapports, et saisit l'élément qu'il recherche. Ces images nous parlent aussi grâce à des légendes précises, riches et accompagnées parfois de commentaires brefs et pertinents qui les éclairent.

Pour cette cinquième édition, j'ai adopté, pour garder à l'ouvrage son actualité et son universalité, la *Terminologia Anatomica* (TA) francisée par le Collège Médical Français des Professeurs d'Anatomie.

Cette terminologie internationale facilite non seulement la compréhension et la mémorisation des termes anatomiques, mais aussi les échanges interlinguistiques.

La richesse de l'imagerie conventionnelle ou numérique du corps humain de l'ouvrage répond à une quête constante du médecin : connaître l'intérieur de notre corps afin de mieux le soigner.

Grâce aux éditions Elsevier Masson, ce remarquable atlas vient enrichir l'édition médicale francophone.

Le « Netter » est un livre qui mérite vraiment une place de choix dans toute bibliothèque médicale.

Docteur Pierre Kamina
Professeur émérite d'anatomie
Ancien gynécologue-accoucheur des Hôpitaux
Université de Poitiers

Avant-propos

La cinquième édition de l'*Atlas d'anatomie humaine* de Frank H. Netter, Docteur en Médecine, a été mise à jour par l'équipe de consultants éditoriaux dirigée par John T. Hansen, comprenant Brion Benninger, Jennifer K. Brueckner, Stephen W. Carmichael, Noelle A. Granger et R. Shane Tubbs.

Nous avons chacun revu, modifié et actualisé une partie de l'*Atlas*. Dans cette nouvelle édition, l'équipe éditoriale a mis à jour l'imagerie radiologique dans l'édition imprimée et dans les compléments internet, en plaçant les images cliniques dans un contexte anatomique.

Comme l'anatomie a besoin de nouvelles images, Carlos A.G. Machado, Docteur en Médecine, a ajouté de remarquables images et vues anatomiques nouvelles dans cette édition. L'équipe de consultants éditoriaux s'est beaucoup appuyée sur la *Terminologie Anatomique* (TA) comme référence de nomenclature et de terminologie. Le génie des peintures du Dr Netter repose sur une anatomie peinte avec clarté et réalisme, et rappelant la clinique tout en maintenant l'équilibre entre complexité et simplification excessive. Cette 5e édition doit beaucoup aux consultants éditoriaux des éditions précédentes, les Docteurs Sharon Colacino (Oberg) (1re édition), Arthur F. Dalley II (2e édition) et John Hansen (3e édition), qui ont réalisé leurs éditions avec un grand talent et un professionnalisme sans compromission, rendant notre travail considérablement plus facile. La 4e édition, la première publiée par Elsevier, inclut la participation de Anil Walji et Thomas Guest, et celle de nombreux membres de l'actuelle équipe des consultants éditoriaux.

Au total, il y a eu des changements anatomiques dans toutes les sections de l'*Atlas* qui concernent : la réorganisation de l'ordre des planches pour refléter de façon plus fidèle la pratique actuelle de l'enseignement de l'anatomie, la réduction des légendes de quelques images, et la suppression des planches cliniques trop anciennes. La succession des images dans chaque section est orientée maintenant de la superficie vers les couches profondes. Dans les sections des membres supérieurs et inférieurs, les images ont été modifiées pour se rapprocher de l'orientation commune à l'imagerie anatomique. En outre, de nombreuses planches ont été modernisées en améliorant le travail artistique vers une vision plus contemporaine des vues anatomiques. Nous espérons que vous apprécierez cette nouvelle édition de l'*Atlas d'anatomie humaine* et que vous la trouverez utile pour l'enseignement et pour votre carrière.

Brion Benninger, MD, MS
Jennifer K. Brueckner, PhD
Stephen W. Carmichael, PhD, DSc
Noelle A. Granger, PhD
John T. Hansen, PhD
R. Shane Tubbs, MS, PA-C, PhD

Contenu

Section 5 PELVIS ET PÉRINÉE

Section 6 MEMBRE SUPÉRIEUR

Section 7 MEMBRE INFÉRIEUR

Section 8 COUPES TRANSVERSALES ANATOMIQUES



Section 1 TÊTE ET COU

Anatomie de surface
Planche 1

Régions superficielles de la tête et du cou
Planches 2-3

Os et ligaments
Planches 4-23

1

TÊTE ET COU

Régions superficielles

Planches 24-25

Cou

Planches 26-34

Région du nez

Planches 35-50

Région de la bouche

Planches 51-62

Pharynx

Planches 63-73

Glande thyroïde et larynx
Planches 74-80

Orbite et son contenu
Planches 81-91

Oreille
Planches 92-98

Méninges et cerveau
Planches 99-114

Nerfs crâniens et cervicaux
Planches 115-134

1

TÊTE ET COU

Vascularisation cérébrale

Planches 135-146

Coupes régionales (IRM, TDM)

Planches 147-148



Os frontal

Incisure supra-orbitaire

Arcade sourcilière

Glabelle

Os nasal

Narines

Philtrum

Sillon nasolabial

Tubercule de la lèvre supérieure

Protubérance mentonnière

Cartilage thyroïde

Bord infra-orbitaire

Os zygomatique

Hélix

Tragus

Anthélix

Antitragus

Aile du nez

Lobule de l'auricule

Commissure des lèvres

Angle de la mandibule

Glande submandibulaire

Veine jugulaire externe

Ventre inférieur du muscle omohyoïdien

Plexus brachial

Muscle trapèze

Clavicule

Incisure jugulaire

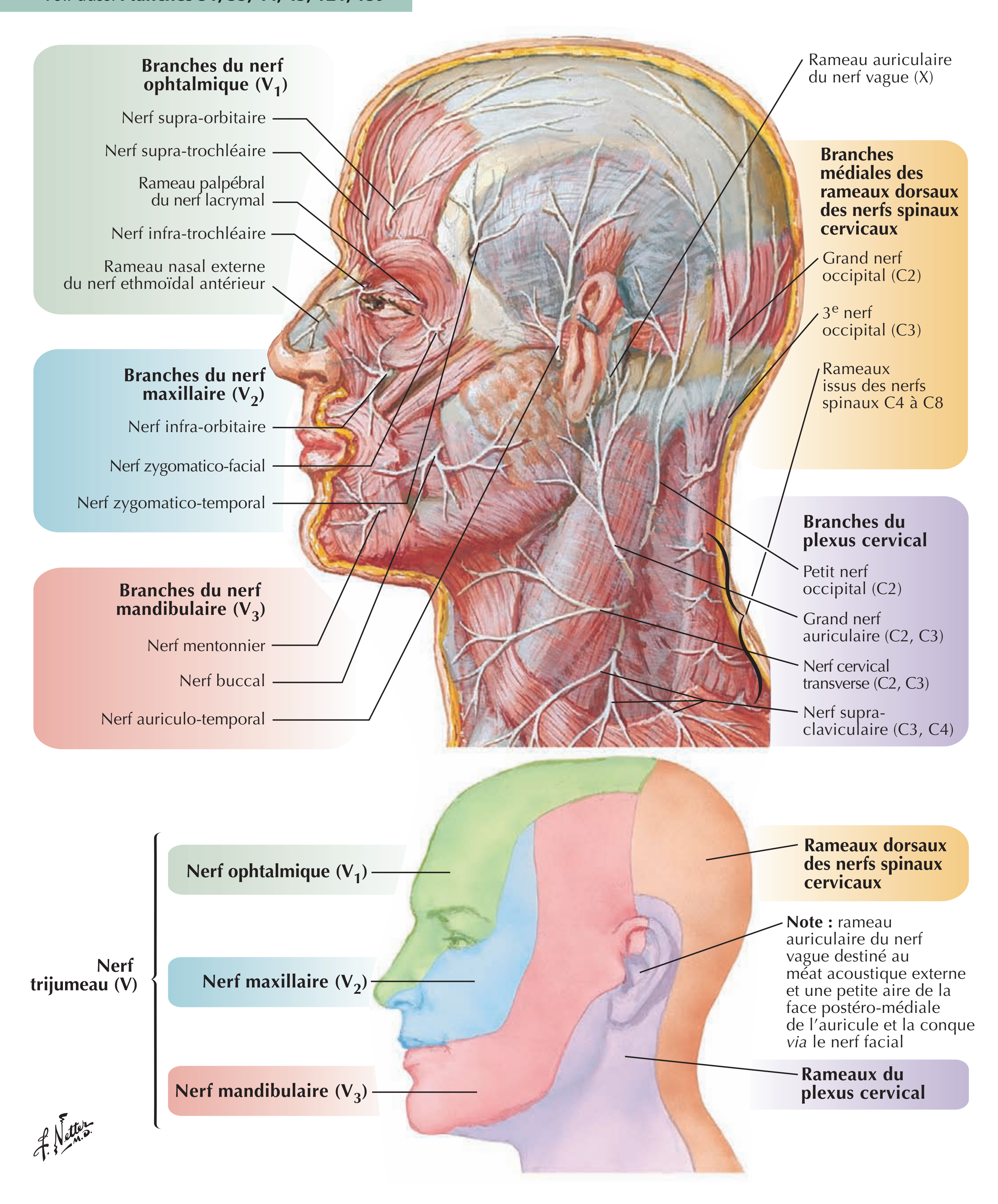
Chef claviculaire du muscle sterno-cléido-mastoïdien

Chef sternal du muscle sterno-cléido-mastoïdien

C. Machado M.D.

1 Nerfs cutanés de la tête et du cou

Voir aussi **Planches 31, 35, 44, 45, 121, 159**



Artères et veines superficielles de la face et du cuir chevelu

Voir aussi **Planches 33, 39, 69, 70, 85, 99**

Cuir chevelu
Peau et tissu sous-cutané
Galéa aponévrotique (aponévrose épicrânienne) *(réséquée pour montrer le crâne)*
Veine émissaire pariétale
Frontaux
Pariétaux
Rameaux de l'artère et de la veine temporales superficielles
Artère et veine temporales moyennes
Artère zygomatico-orbitaire
Artère et veine faciales transverses
Artère et veine supra-orbitaires
Artère et veine supra-trochléaires
Veine naso-frontale
Artère et veine dorsales du nez
Artère et veine zygomatico-temporales
Artère et veine angulaires
Artère et veine zygomatico-faciales
Artère et veine infra-orbitaires
Veine faciale profonde (issue du plexus ptérygoïdien)
Artère et veine faciales
Artères auriculaires antérieures
Veine émissaire mastoïdienne et rameau méningé de l'artère occipitale (artère méningée postérieure)
Artère et veine occipitales (*coupées*)
Artère et veine auriculaires postérieures
Veine jugulaire externe (*coupée*)
Veine rétro-mandibulaire
Veine faciale commune
Veine jugulaire interne
Artère carotide interne
Artère carotide externe
Artère carotide commune
Artère et veine linguales

Origines de la vascularisation artérielle de la face

En noir : origine carotidienne interne (par l'intermédiaire de l'artère ophtalmique)
En rouge : origine carotidienne externe

F. Netter M.D.

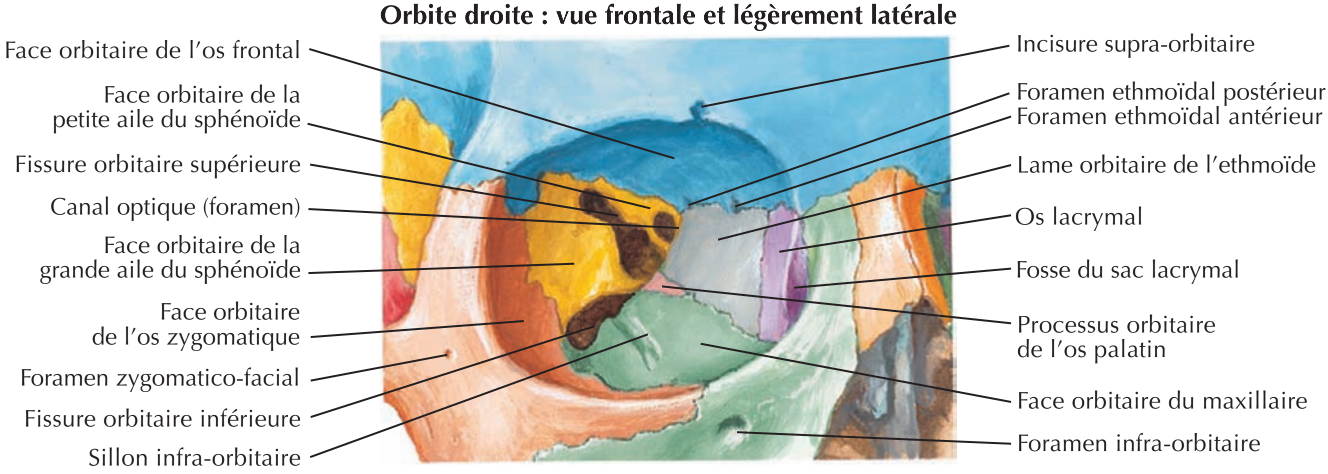
Tête osseuse : vue antérieure

Os frontal
Glabelle
Incisure supra-orbitaire (foramen)
Face orbitaire
Os nasal
Os lacrymal
Os zygomatique
Processus frontal
Face orbitaire
Processus temporal
Foramen zygomatico-facial
Maxillaire
Processus zygomatique
Face orbitaire
Foramen infra-orbitaire
Processus frontal
Processus alvéolaire
Épine nasale antérieure

Suture coronale
Os pariétal
Nasion
Sphénoïde
Petite aile
Grande aile
Os temporal
Ethmoïde
Lame orbitaire
Lame perpendiculaire
Cornet nasal moyen
Cornet nasal inférieur
Vomer
Mandibule
Branche
Corps
Foramen mentonnier
Tubercule mentonnier
Protubérance mentonnière

F. Netter M.D.

Orbite droite : vue frontale et légèrement latérale

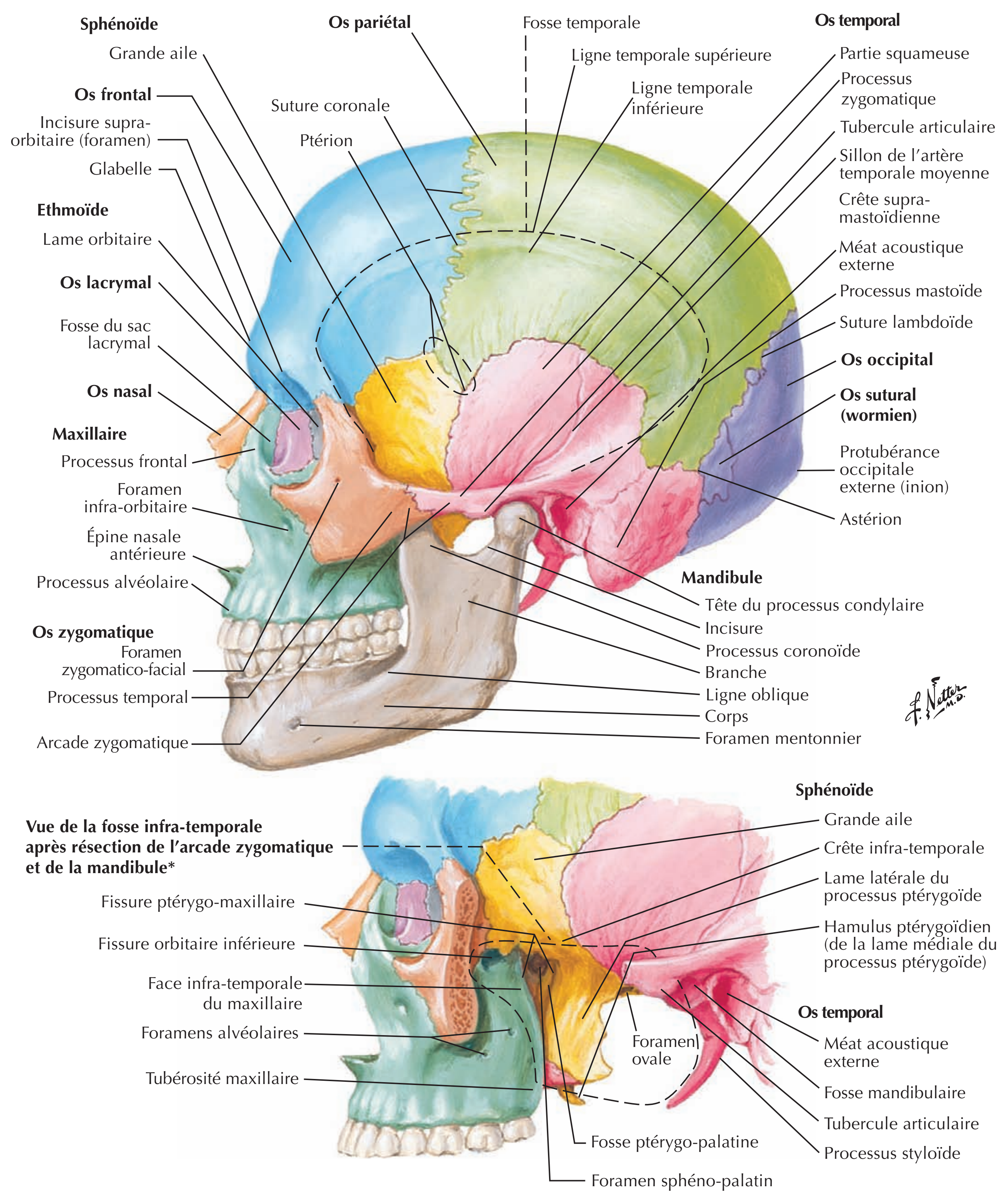




Voir aussi **Planche 4**

Sinus frontaux
Petites ailes du sphénoïde
Crista galli
Grandes ailes du sphénoïde
Sinus ethmoïdaux
Sinus maxillaires
Branches de la mandibule
Angles de la mandibule

1 Tête osseuse : vue latérale



* Superficiellement, le processus mastoïde forme la limite postérieure



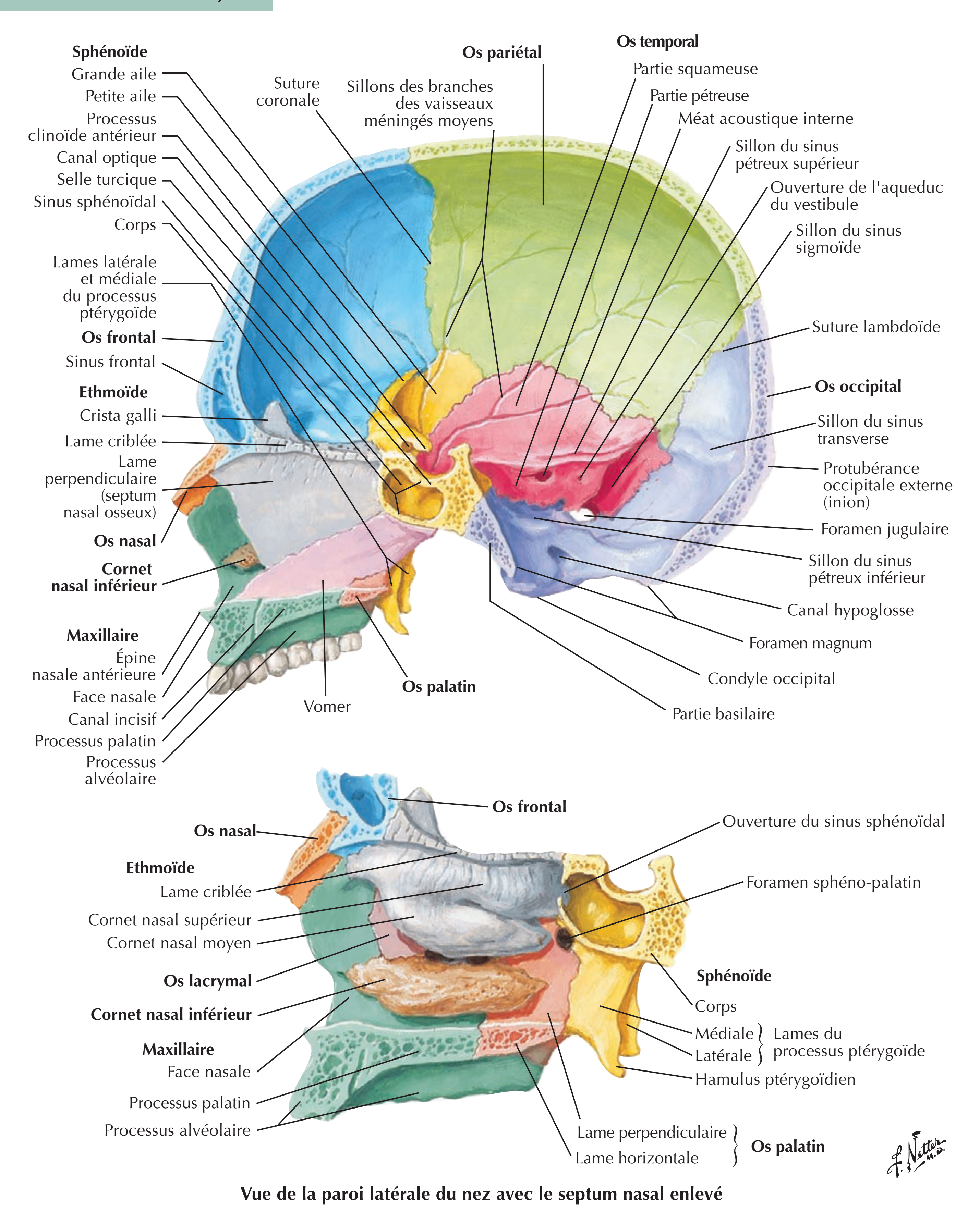
Tête osseuse : radiographie de profil (latérale)

Voir aussi **Planche 6**

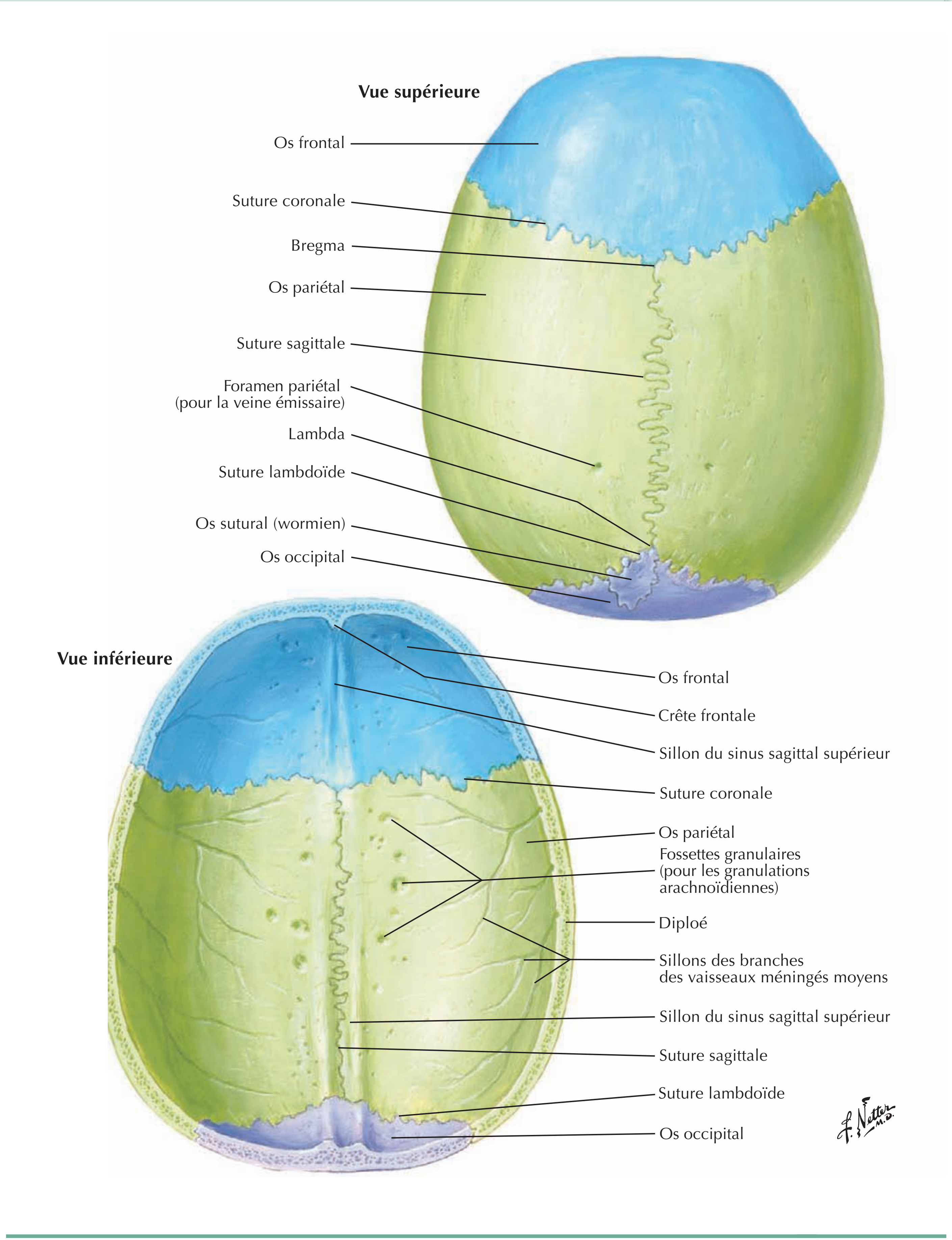
Sinus frontal
Suture coronale
Grande aile du sphénoïde
Sinus sphénoïdal
Fosse hypophysaire (selle turcique)
Suture lambdoïde
Sinus maxillaire
Condyle de la mandibule
Cellules mastoïdiennes
Processus coronoïde de la mandibule
Processus palatin du maxillaire
Arc antérieur de l'atlas (vertèbre C1)
Dent de l'axis (vertèbre C2)

Crâne : coupe sagittale médiane

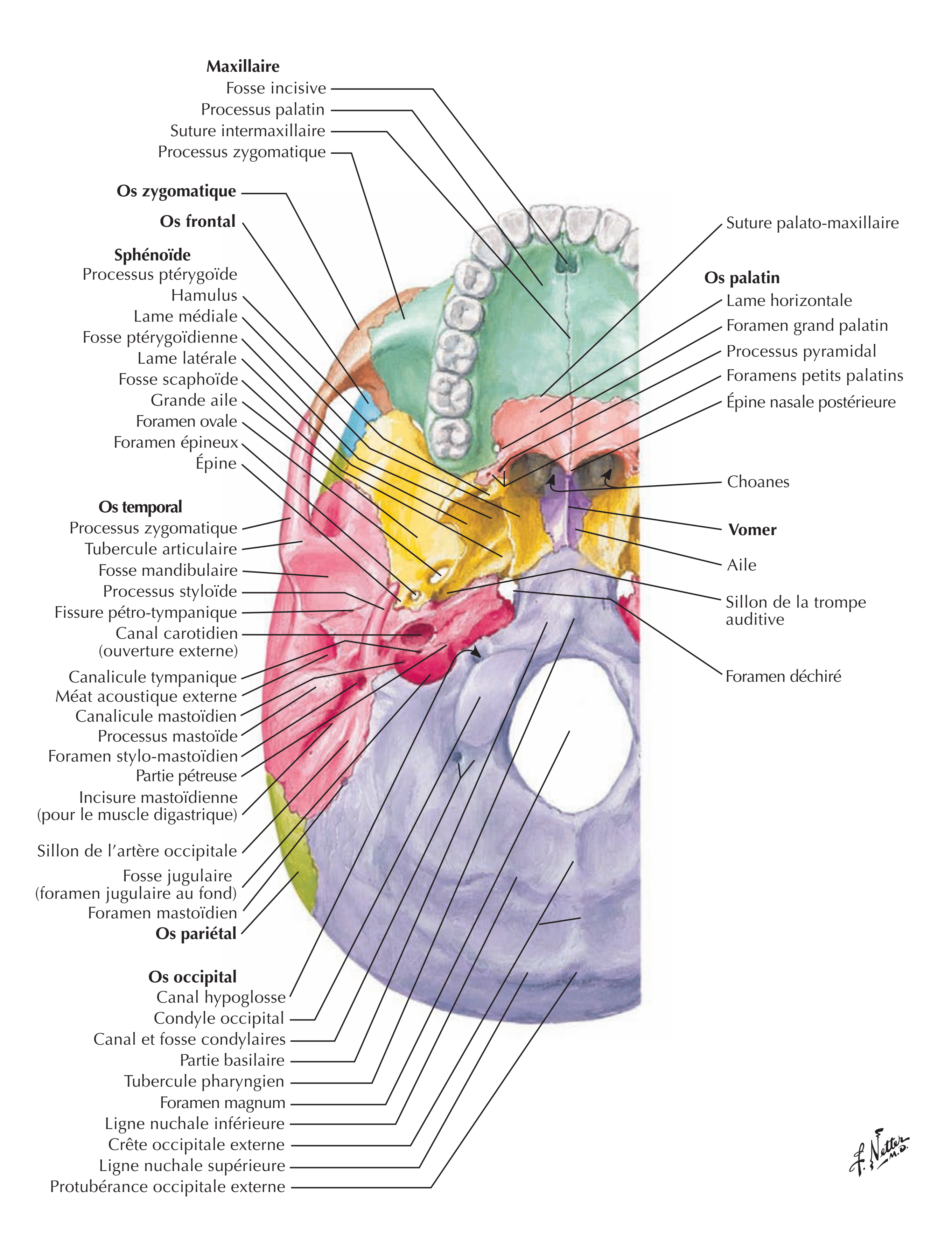
Voir aussi **Planches 36, 37**

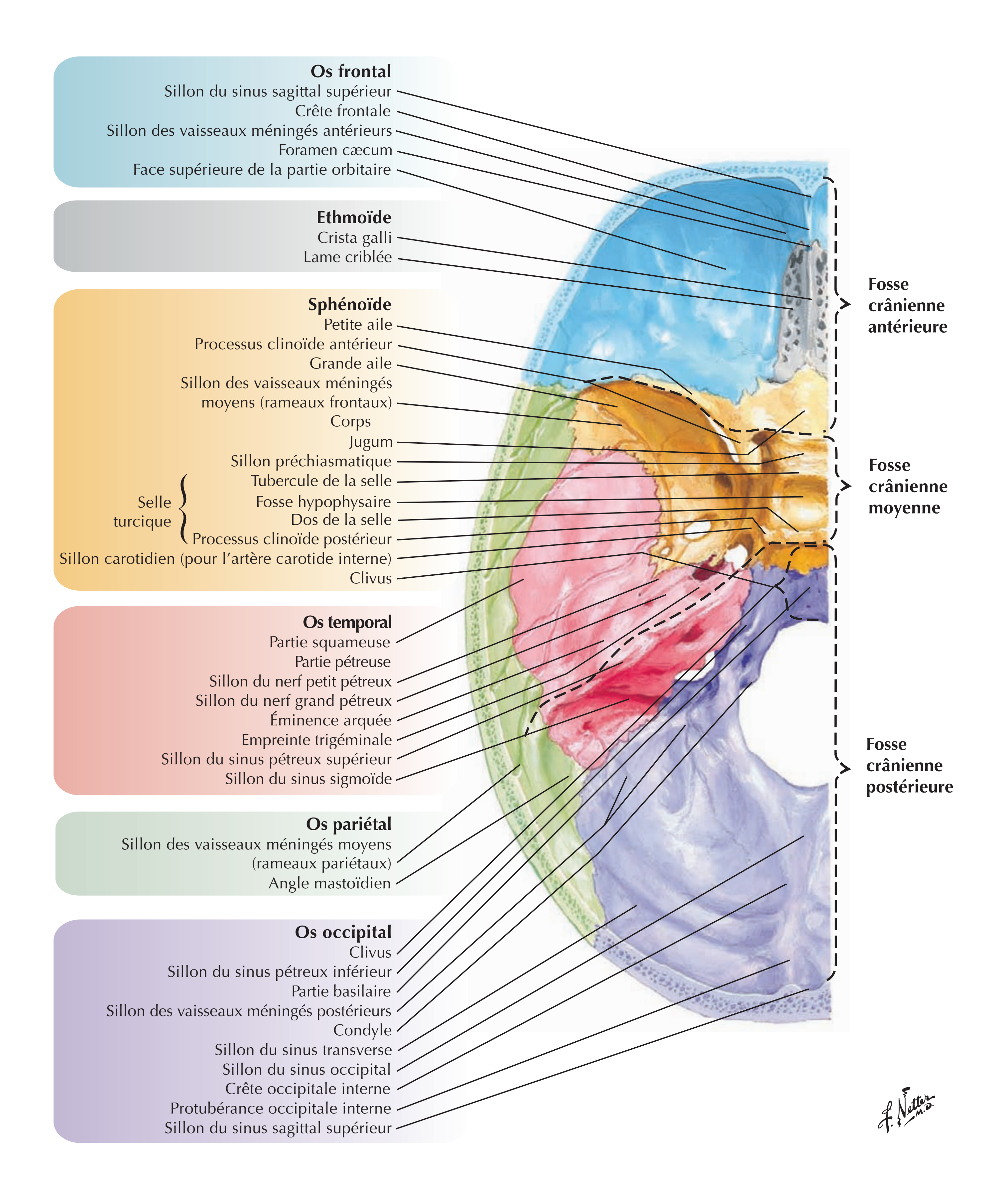


Vue de la paroi latérale du nez avec le septum nasal enlevé


Vue supérieure
Os frontal
Suture coronale
Bregma
Os pariétal
Suture sagittale
Foramen pariétal
(pour la veine émissaire)
Lambda
Suture lambdoïde
Os sutural (wormien)
Os occipital
Vue inférieure
Os frontal
Crête frontale
Sillon du sinus sagittal supérieur
Suture coronale
Os pariétal
Fossettes granulaires
(pour les granulations
arachnoïdiennes)
Diploé
Sillons des branches
des vaisseaux méningés moyens
Sillon du sinus sagittal supérieur
Suture sagittale
Suture lambdoïde
Os occipital

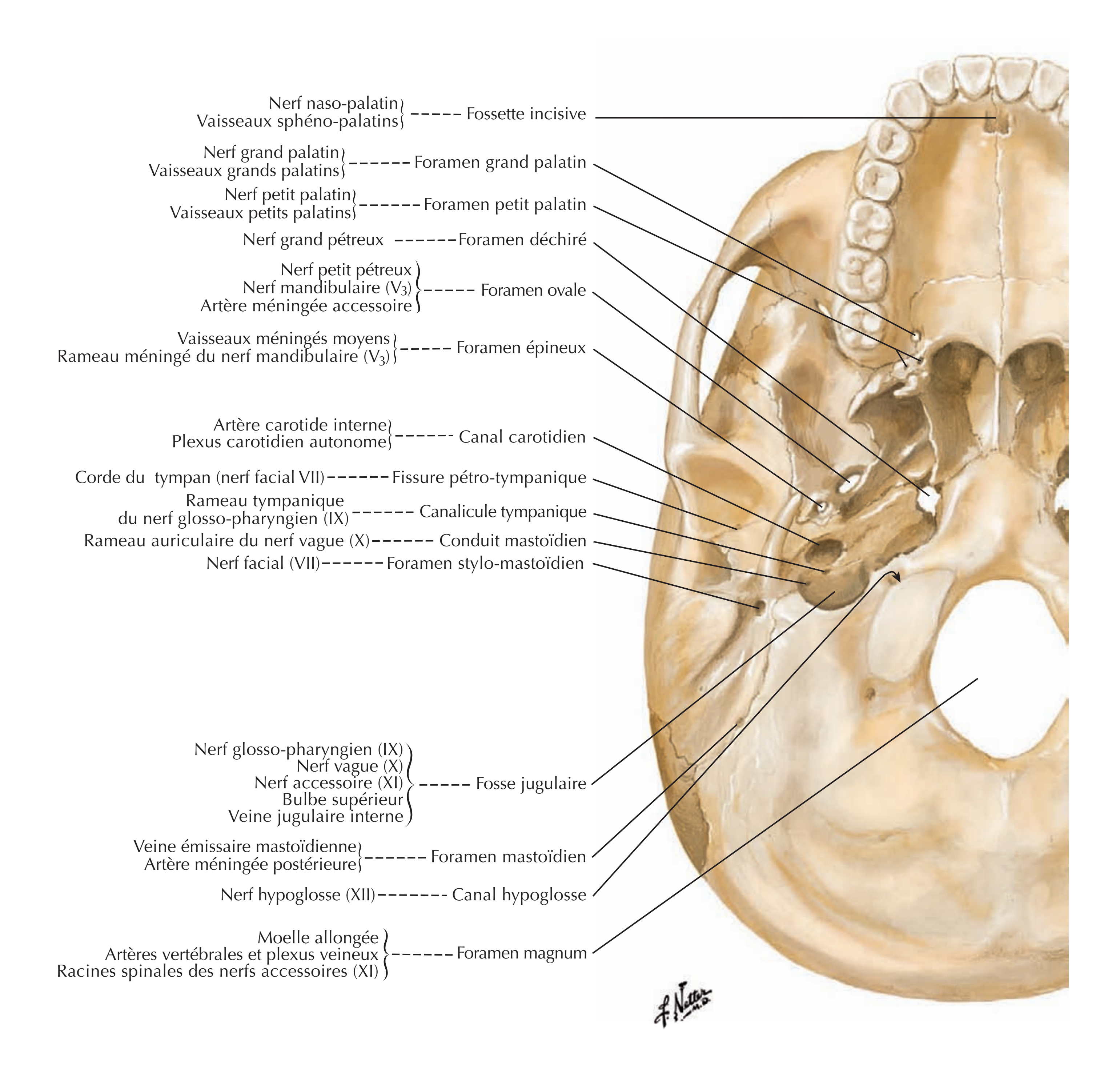
Base externe du crâne



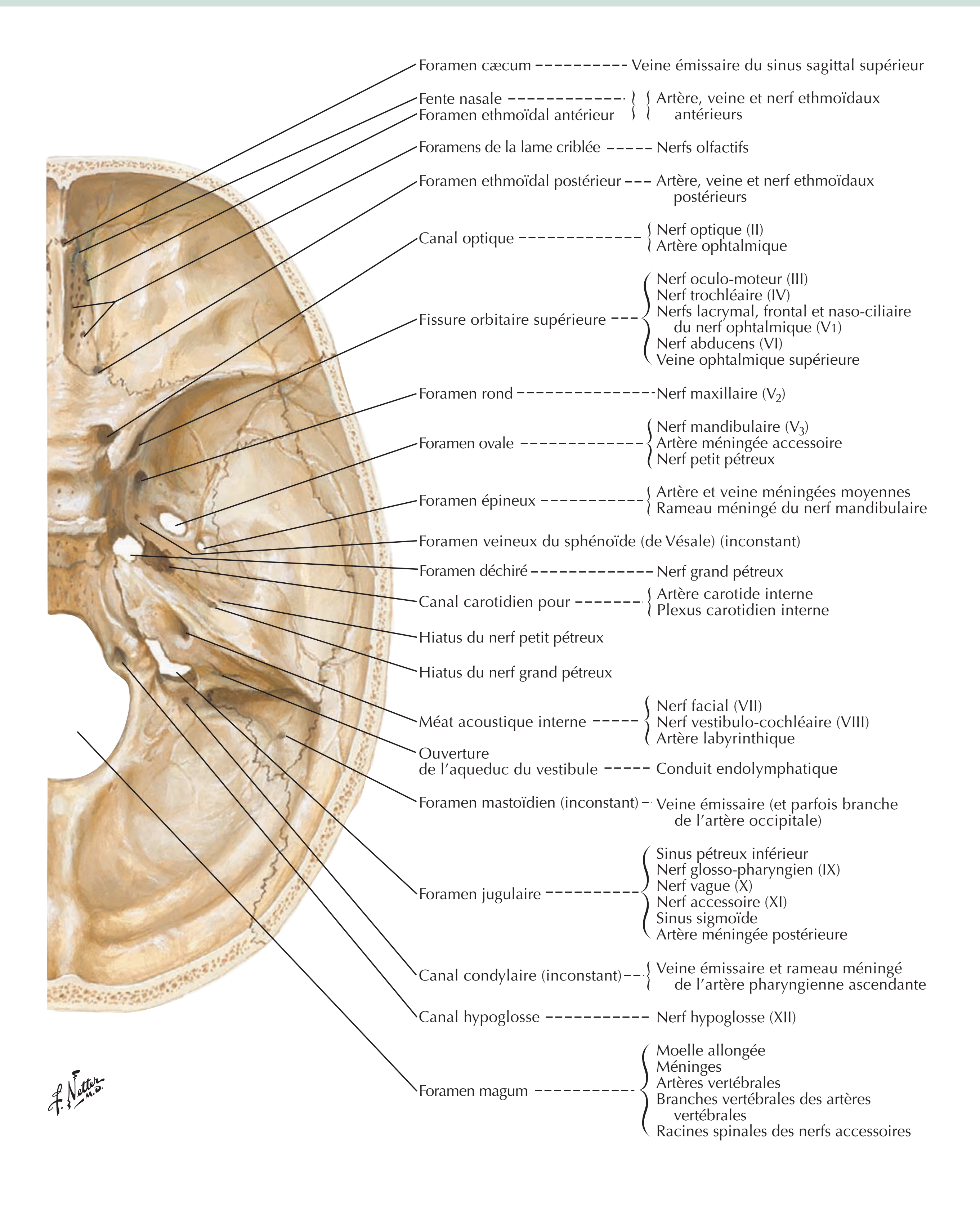

Os frontal
Sillon du sinus sagittal supérieur
Crête frontale
Sillon des vaisseaux méningés antérieurs
Foramen cæcum
Face supérieure de la partie orbitaire
Ethmoïde
Crista galli
Lame criblée
Sphénoïde
Petite aile
Processus clinoïde antérieur
Grande aile
Sillon des vaisseaux méningés moyens (rameaux frontaux)
Corps
Jugum
Sillon préchiasmatique
Selle turcique
Tubercule de la selle
Fosse hypophysaire
Dos de la selle
Processus clinoïde postérieur
Sillon carotidien (pour l'artère carotide interne)
Clivus
Os temporal
Partie squameuse
Partie pétreuse
Sillon du nerf petit pétreux
Sillon du nerf grand pétreux
Éminence arquée
Empreinte trigéminale
Sillon du sinus pétreux supérieur
Sillon du sinus sigmoïde
Os pariétal
Sillon des vaisseaux méningés moyens (rameaux pariétaux)
Angle mastoïdien
Os occipital
Clivus
Sillon du sinus pétreux inférieur
Partie basilaire
Sillon des vaisseaux méningés postérieurs
Condyle
Sillon du sinus transverse
Sillon du sinus occipital
Crête occipitale interne
Protubérance occipitale interne
Sillon du sinus sagittal supérieur
Fosse crânienne antérieure
Fosse crânienne moyenne
Fosse crânienne postérieure
F. Netter M.D.

1

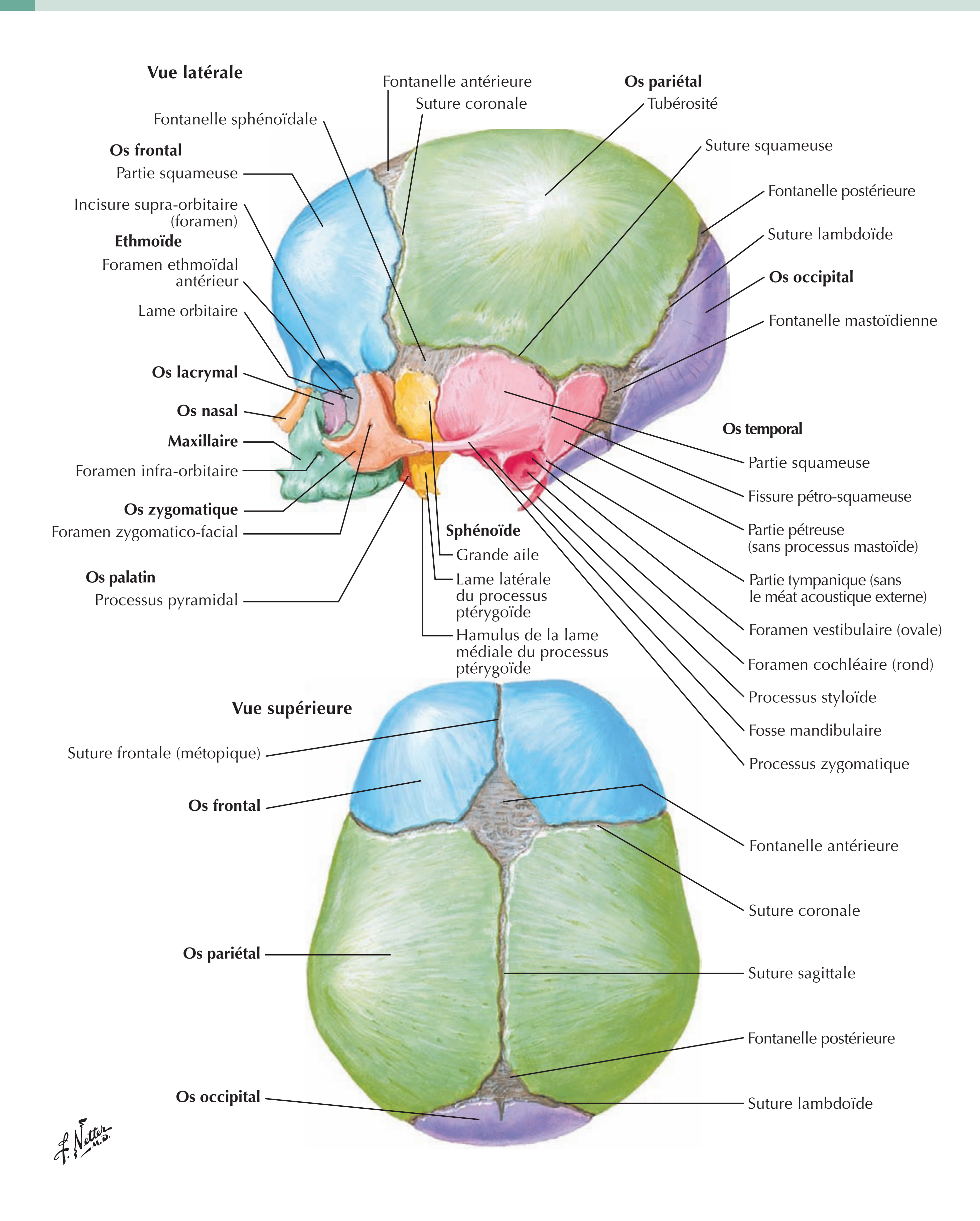
Foramens et canaux de la base du crâne : vue inférieure

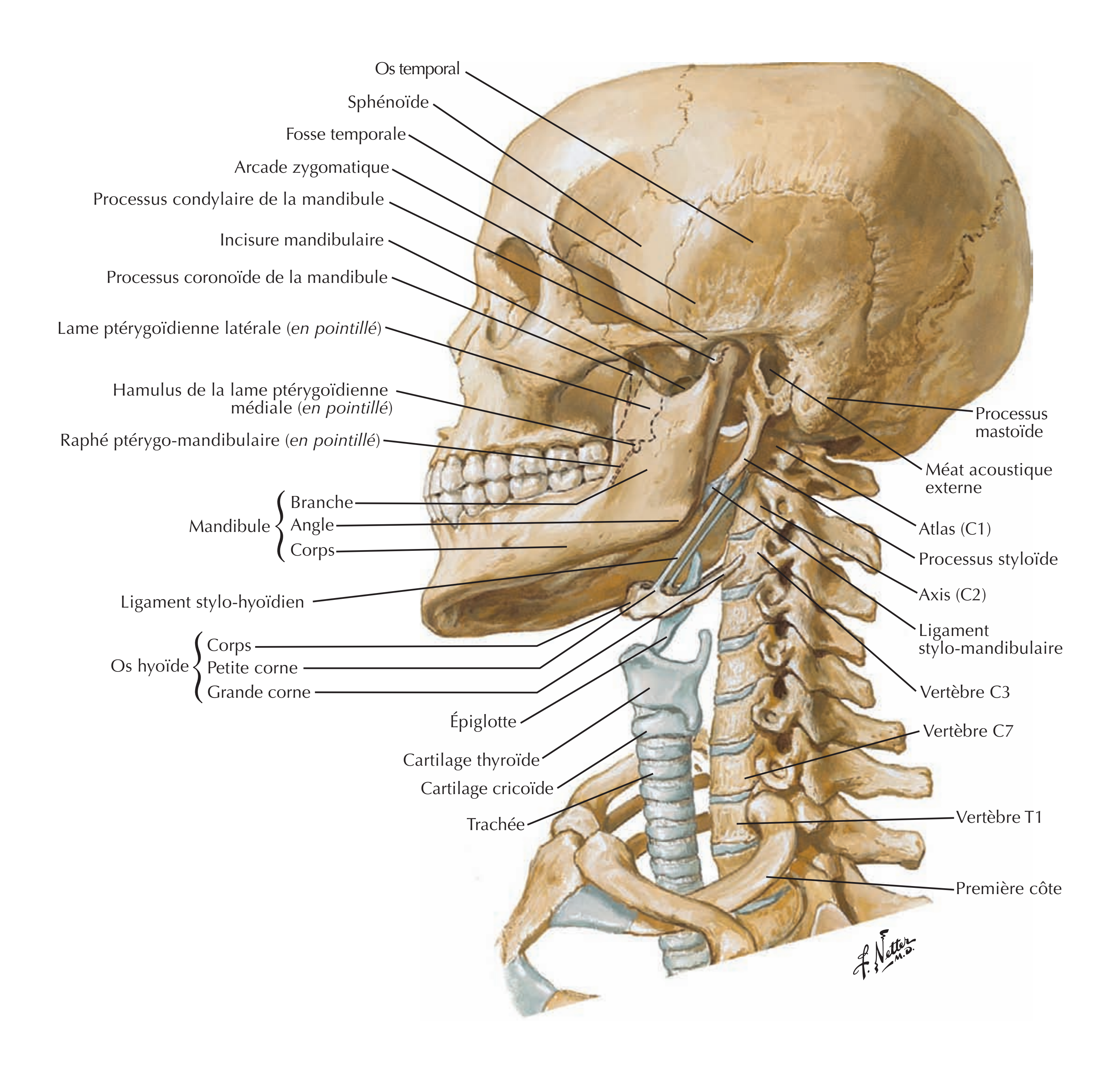


Foramens et canaux de la base du crâne : vue supérieure

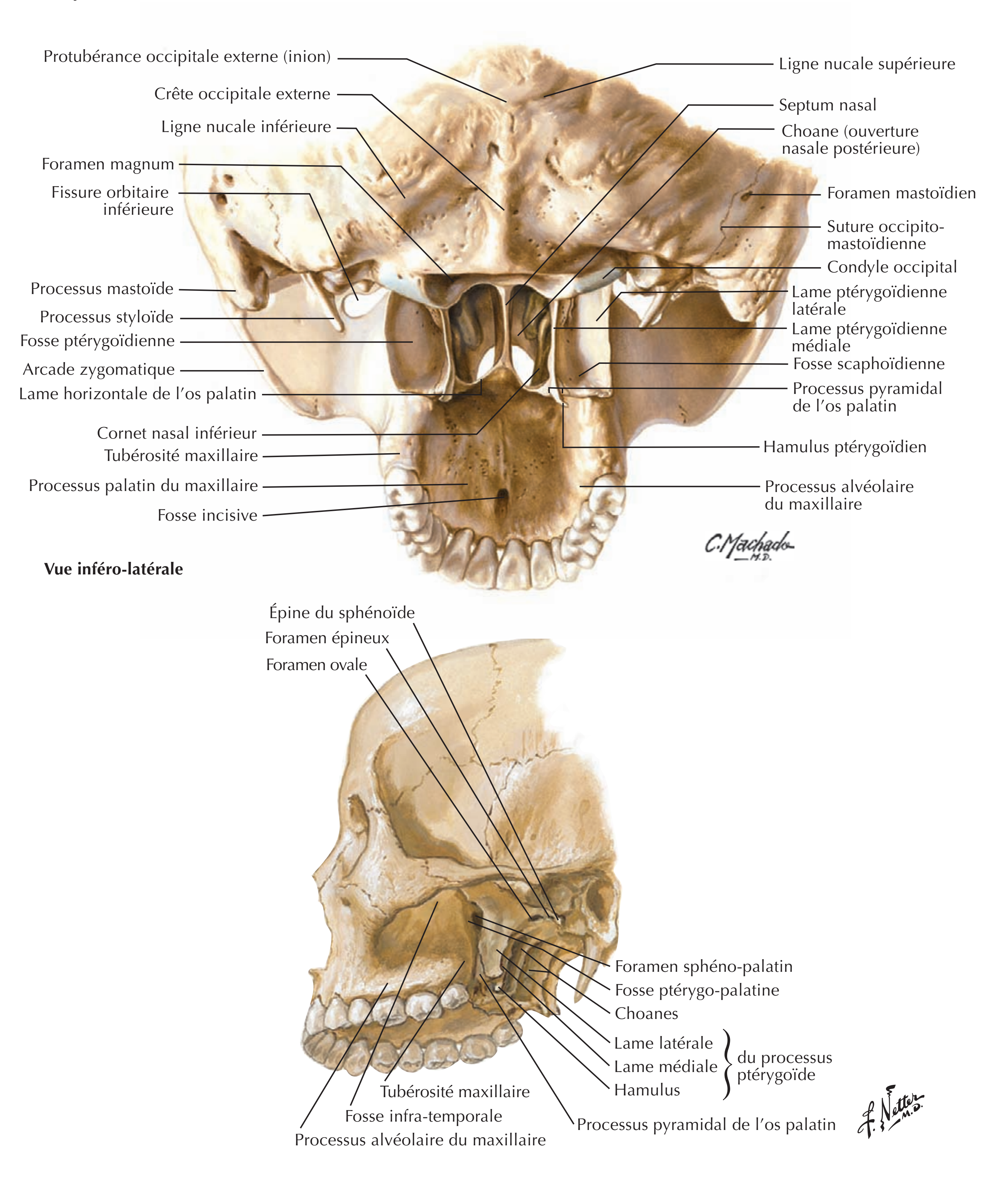


Crâne du nouveau-né




Os temporal
Sphénoïde
Fosse temporale
Arcade zygomatique
Processus condylaire de la mandibule
Incisure mandibulaire
Processus coronoïde de la mandibule
Lame ptérygoïdienne latérale (*en pointillé*)
Hamulus de la lame ptérygoïdienne médiale (*en pointillé*)
Raphé ptérygo-mandibulaire (*en pointillé*)
Mandibule
Branche
Angle
Corps
Ligament stylo-hyoïdien
Os hyoïde
Corps
Petite corne
Grande corne
Épiglotte
Cartilage thyroïde
Cartilage cricoïde
Trachée
Processus mastoïde
Méat acoustique externe
Atlas (C1)
Processus styloïde
Axis (C2)
Ligament stylo-mandibulaire
Vertèbre C3
Vertèbre C7
Vertèbre T1
Première côte

Fosses ptérygoïdiennes : vue supérieure





Mandibule

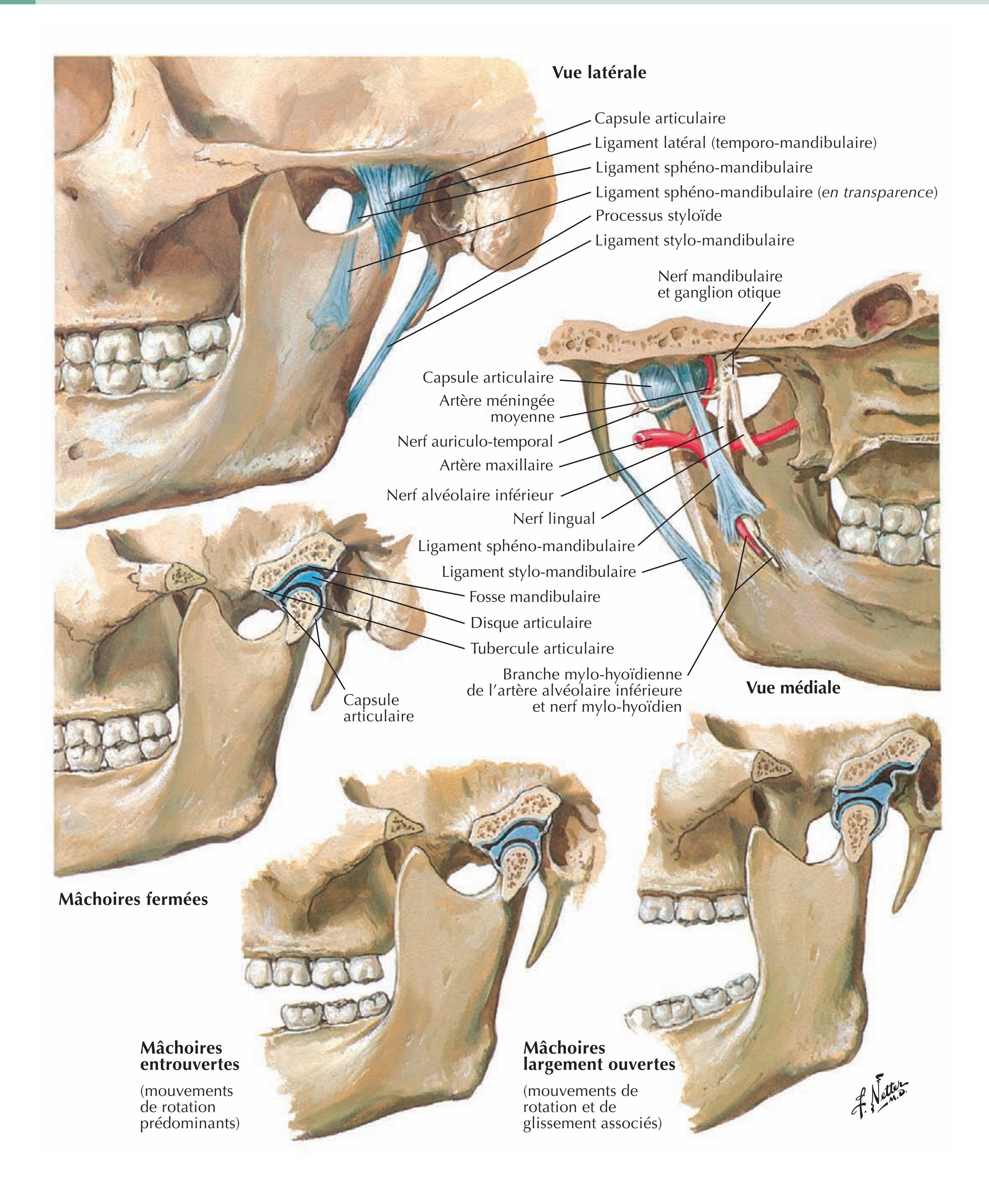
Tête
Processus condylaire
Fossette ptérygoïdienne
Col
Processus coronoïde
Incisure mandibulaire
Sillon mylo-hyoïdien
Lingula
Foramen mandibulaire
Ligne oblique
Fosse submandibulaire
Ligne mylo-hyoïdienne
Fosse sublinguale
Septums interalvéolaires
Branche
Partie alvéolaire (crête)
Foramen mentonnier
Protubérance mentonnière
Angle
Tubercule mentonnier
Base de la mandibule
Corps

Processus coronoïde
Tête
Processus condylaire
Col
Lingula
Foramen mandibulaire
Incisure mandibulaire
Sillon mylo-hyoïdien
Fossette ptérygoïdienne
Branche
Ligne mylo-hyoïdienne
Angle
Corps
Raphé ptérygo-mandibulaire
Fosse submandibulaire
Fosse sublinguale
Fosse digastrique
Épines mentonnières supérieure et inférieure (tubercules géniens)

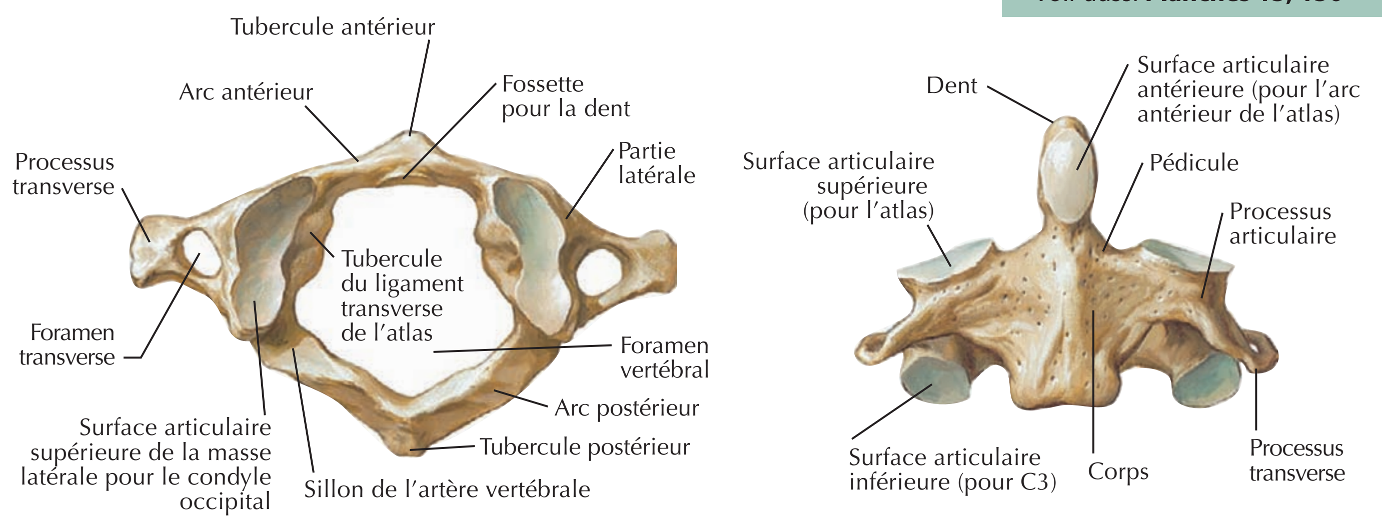
F. Netter M.D.

Mandibule de vieillard (édentée)

Articulation temporo-mandibulaire

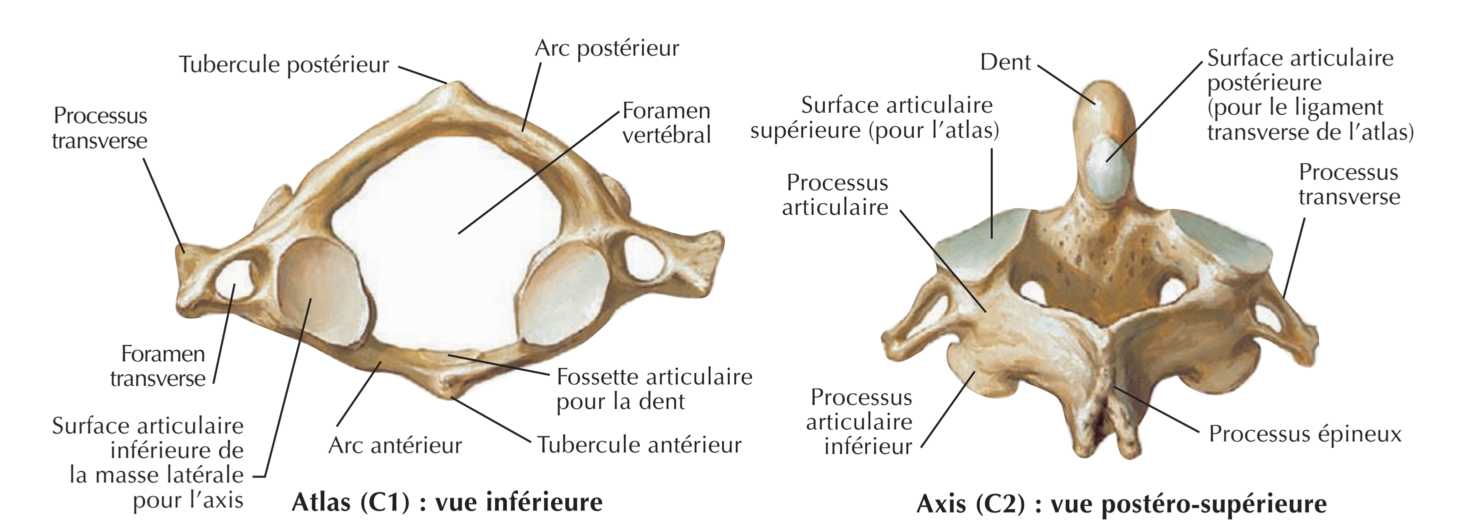


Voir aussi **Planches 15, 150**



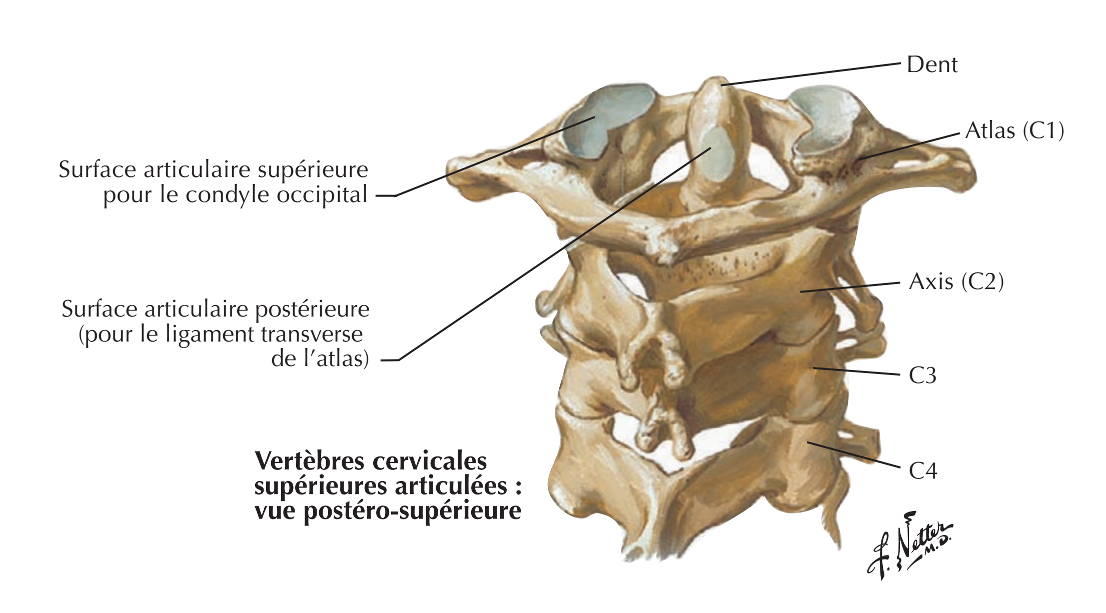
Atlas (C1) : vue supérieure

Axis (C2) : vue antérieure



Atlas (C1) : vue inférieure

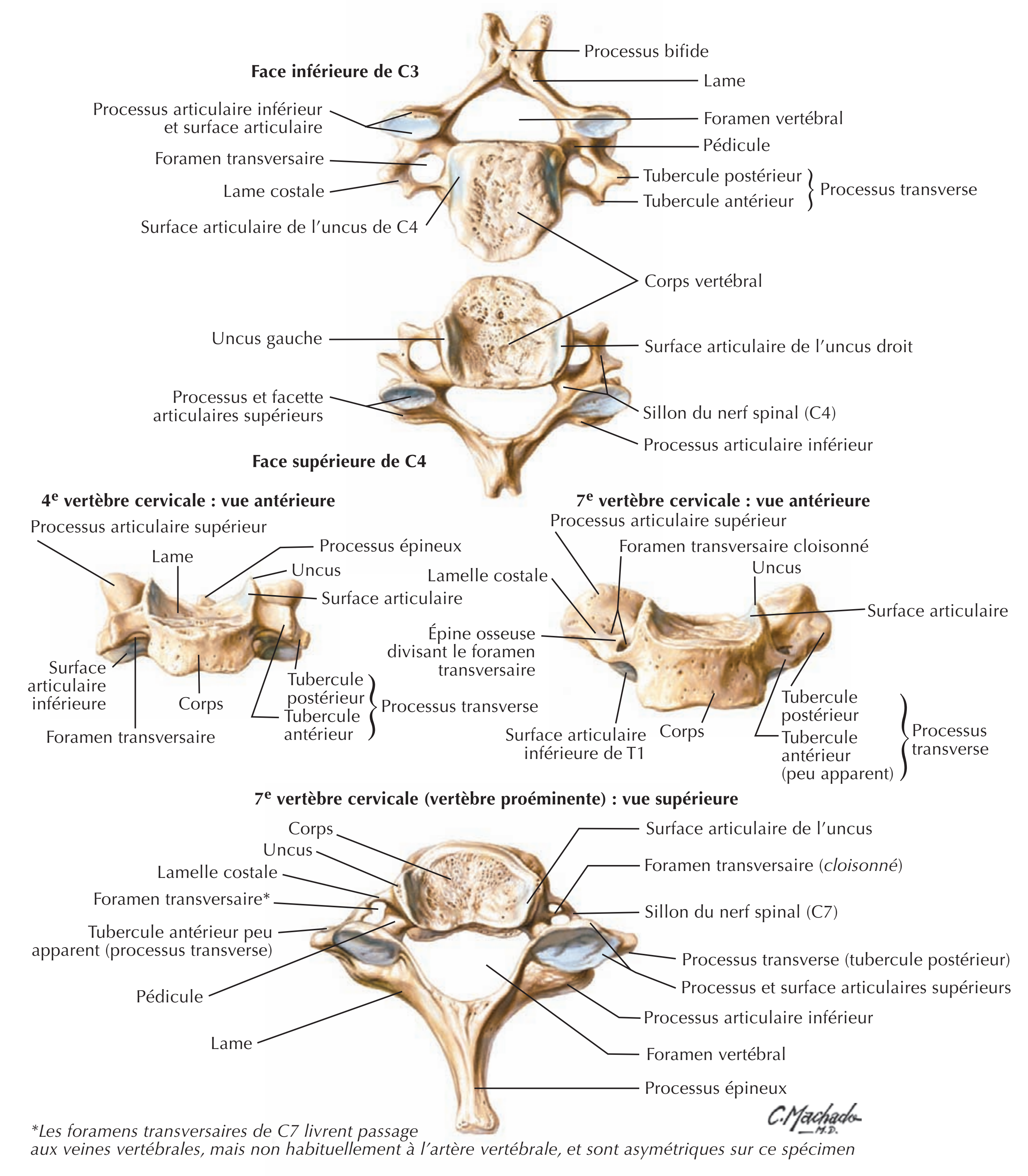
Axis (C2) : vue postéro-supérieure



Vertèbres cervicales supérieures articulées : vue postéro-supérieure

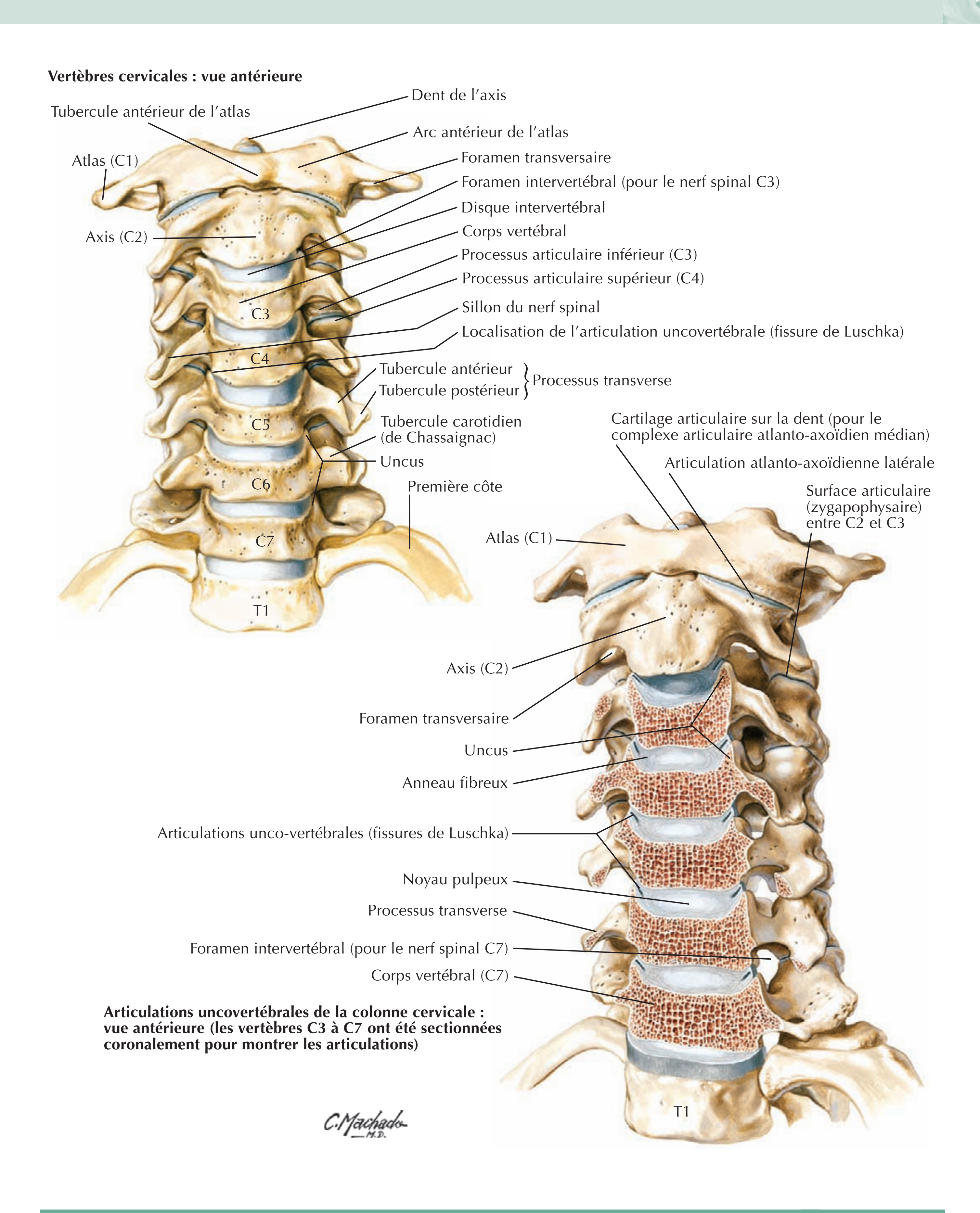
1 Vertèbres cervicales (suite)

Voir aussi **Planches 15, 150**



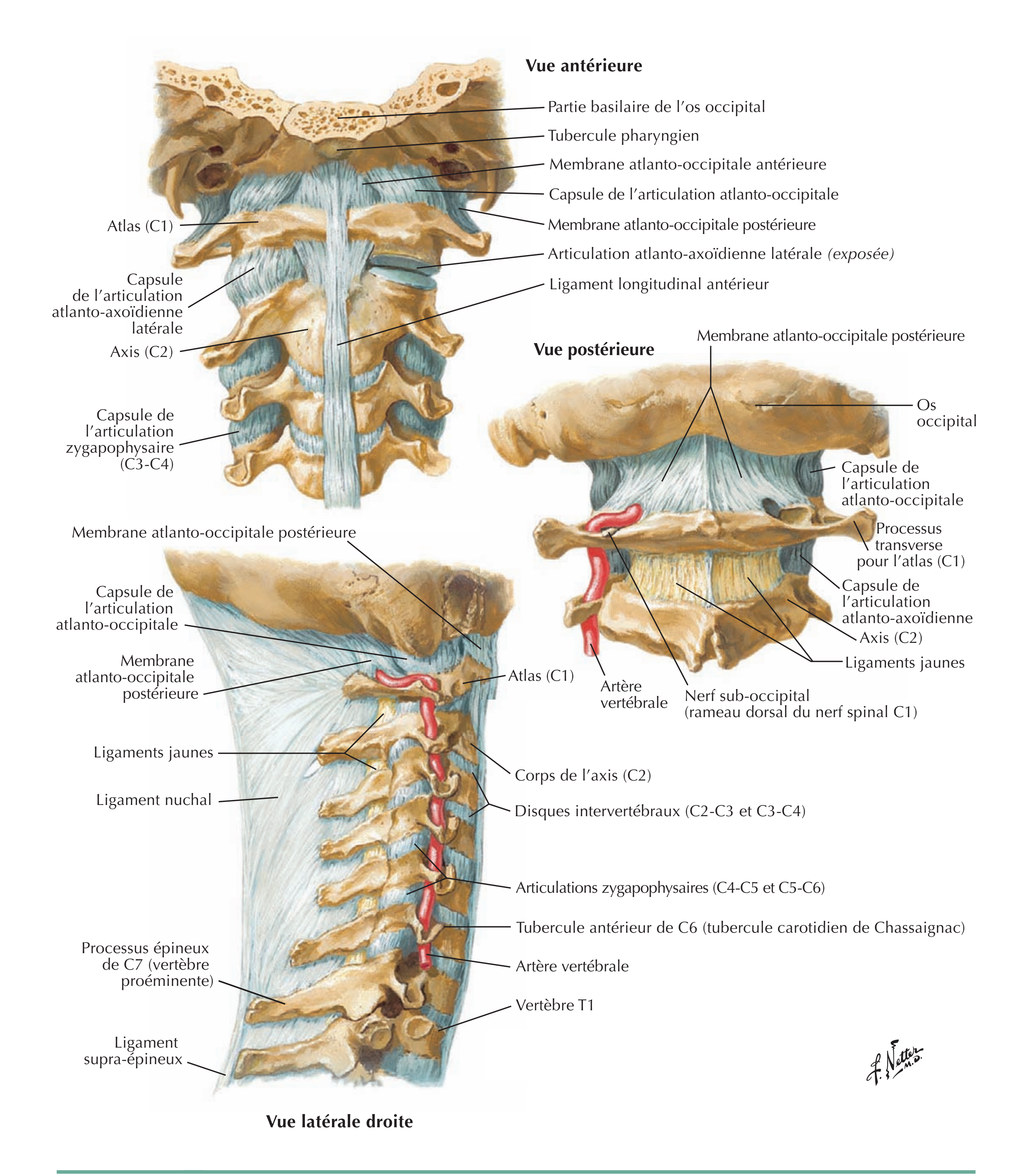
Les foramens transversaires de C7 livrent passage aux veines vertébrales, mais non habituellement à l'artère vertébrale, et sont asymétriques sur ce spécimen

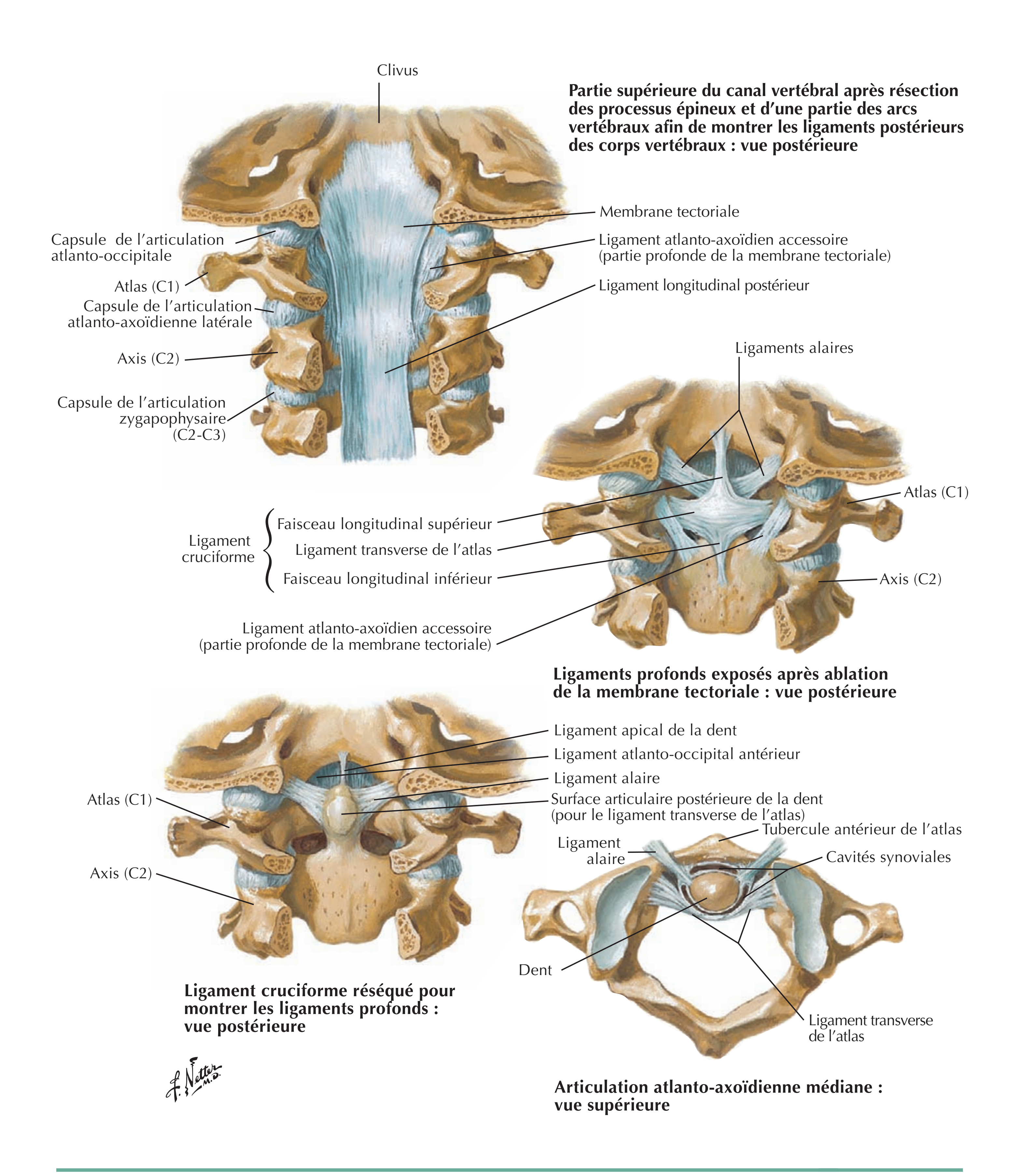
Vertèbres cervicales : articulations uncovertébrales



Articulations uncovertébrales de la colonne cervicale : vue antérieure (les vertèbres C3 à C7 ont été sectionnées coronalement pour montrer les articulations)

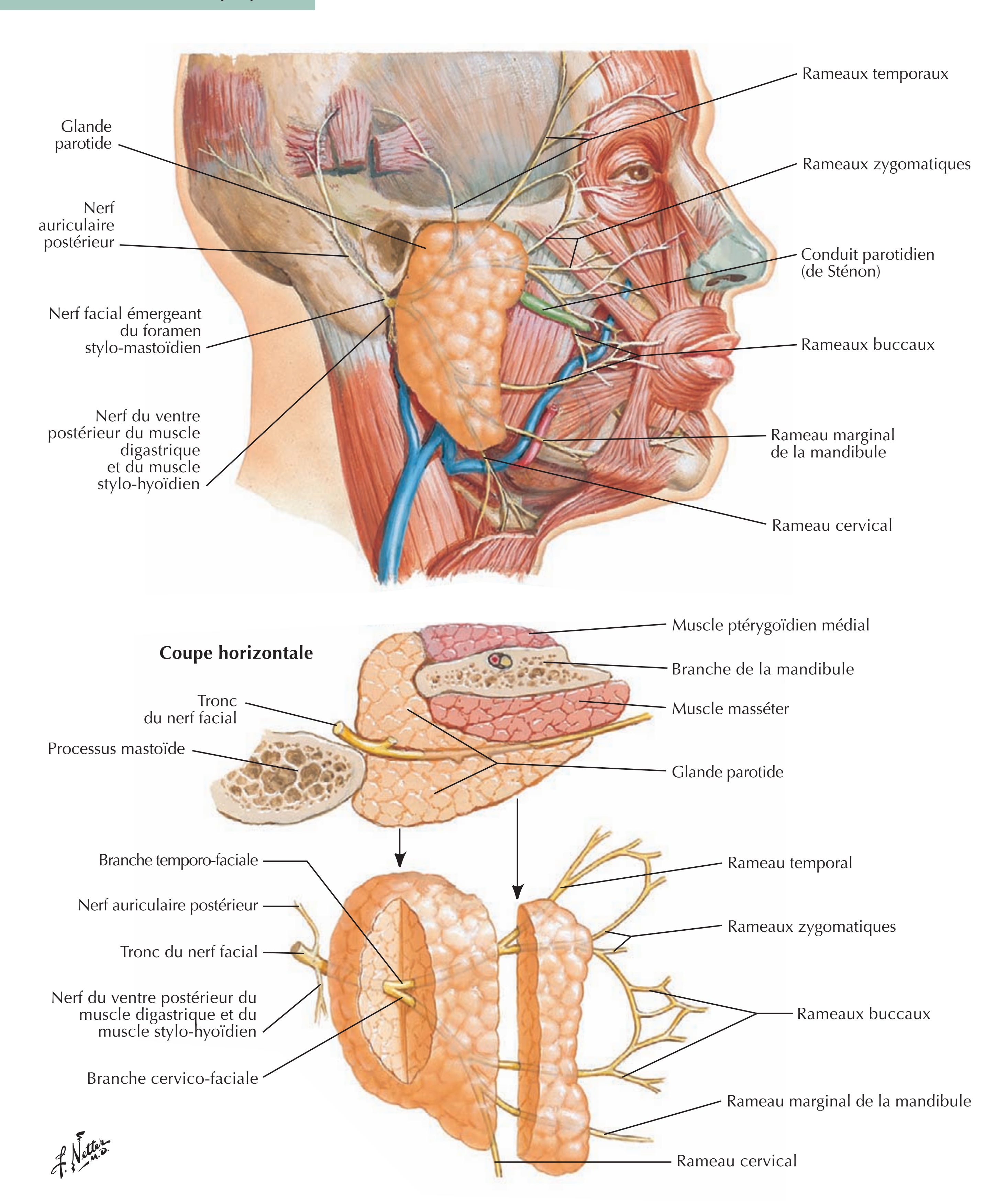
Ligaments cranio-vertébraux externes

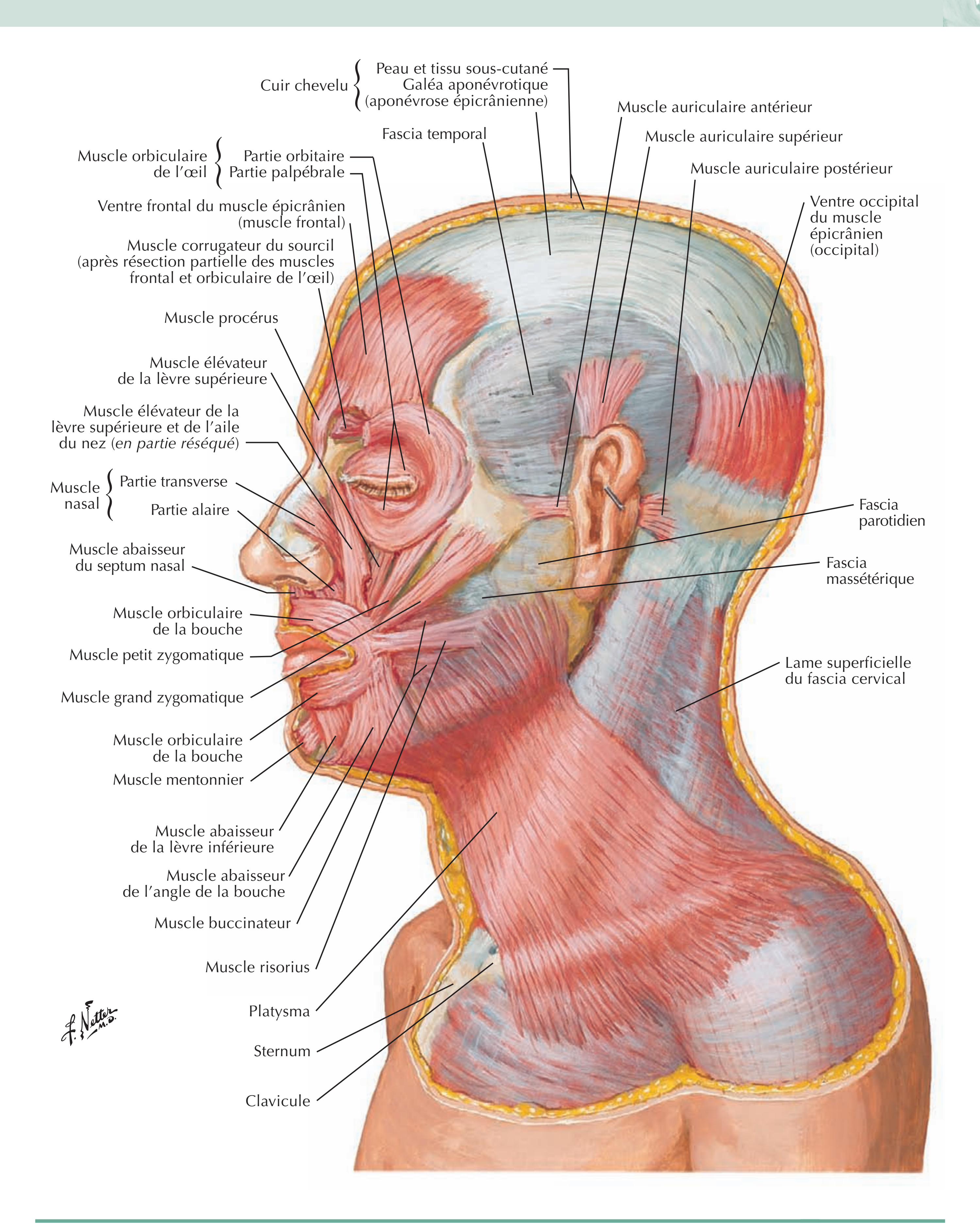



Clivus
Partie supérieure du canal vertébral après résection des processus épineux et d'une partie des arcs vertébraux afin de montrer les ligaments postérieurs des corps vertébraux : vue postérieure
Membrane tectoriale
Capsule de l'articulation atlanto-occipitale
Ligament atlanto-axoïdien accessoire (partie profonde de la membrane tectoriale)
Atlas (C1)
Ligament longitudinal postérieur
Capsule de l'articulation atlanto-axoïdienne latérale
Axis (C2)
Ligaments alaires
Capsule de l'articulation zygapophysaire (C2-C3)
Atlas (C1)
Ligament cruciforme
Faisceau longitudinal supérieur
Ligament transverse de l'atlas
Faisceau longitudinal inférieur
Axis (C2)
Ligament atlanto-axoïdien accessoire (partie profonde de la membrane tectoriale)
Ligaments profonds exposés après ablation de la membrane tectoriale : vue postérieure
Ligament apical de la dent
Ligament atlanto-occipital antérieur
Ligament alaire
Atlas (C1)
Surface articulaire postérieure de la dent (pour le ligament transverse de l'atlas)
Tubercule antérieur de l'atlas
Ligament alaire
Cavités synoviales
Axis (C2)
Dent
Ligament cruciforme réséqué pour montrer les ligaments profonds : vue postérieure
Ligament transverse de l'atlas
F. Netter M.D.
Articulation atlanto-axoïdienne médiane : vue supérieure

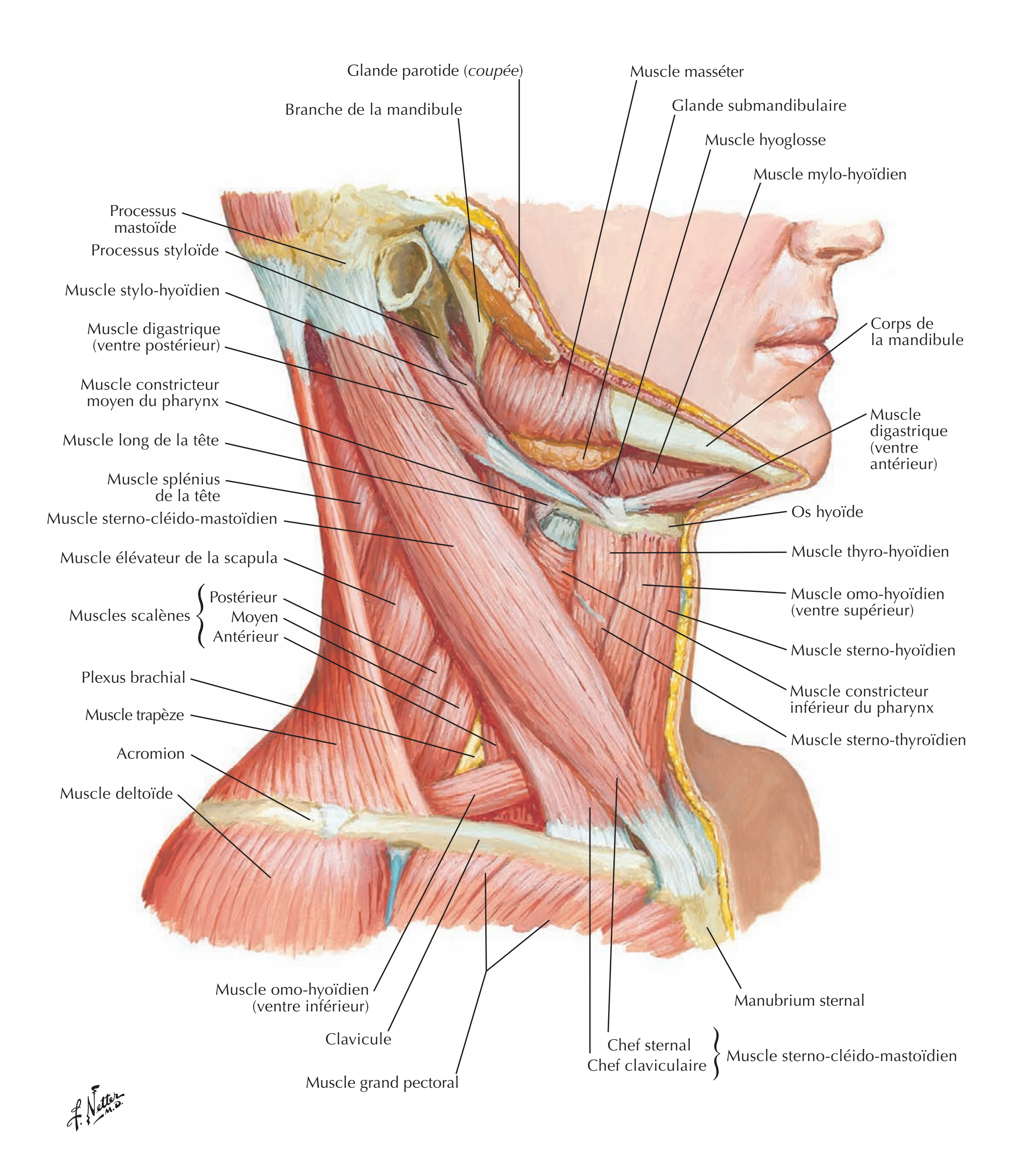
Branches du nerf facial et glande parotide

Voir aussi **Planches 61, 71, 122**




Cuir chevelu
Peau et tissu sous-cutané
Galéa aponévrotique (aponévrose épicrânienne)
Fascia temporal
Muscle auriculaire antérieur
Muscle auriculaire supérieur
Muscle auriculaire postérieur
Ventre occipital du muscle épicrânien (occipital)
Muscle orbiculaire de l'œil
Partie orbitaire
Partie palpébrale
Ventre frontal du muscle épicrânien (muscle frontal)
Muscle corrugateur du sourcil (après résection partielle des muscles frontal et orbiculaire de l'œil)
Muscle procérus
Muscle élévateur de la lèvre supérieure
Muscle élévateur de la lèvre supérieure et de l'aile du nez (*en partie réséqué*)
Muscle nasal
Partie transverse
Partie alaire
Muscle abaisseur du septum nasal
Muscle orbiculaire de la bouche
Muscle petit zygomatique
Muscle grand zygomatique
Muscle orbiculaire de la bouche
Muscle mentonnier
Muscle abaisseur de la lèvre inférieure
Muscle abaisseur de l'angle de la bouche
Muscle buccinateur
Muscle risorius
Platysma
Sternum
Clavicule
Fascia parotidien
Fascia massétérique
Lame superficielle du fascia cervical
F. Netter M.D.

Muscles du cou : vue latérale



Muscles du cou : vue antérieure

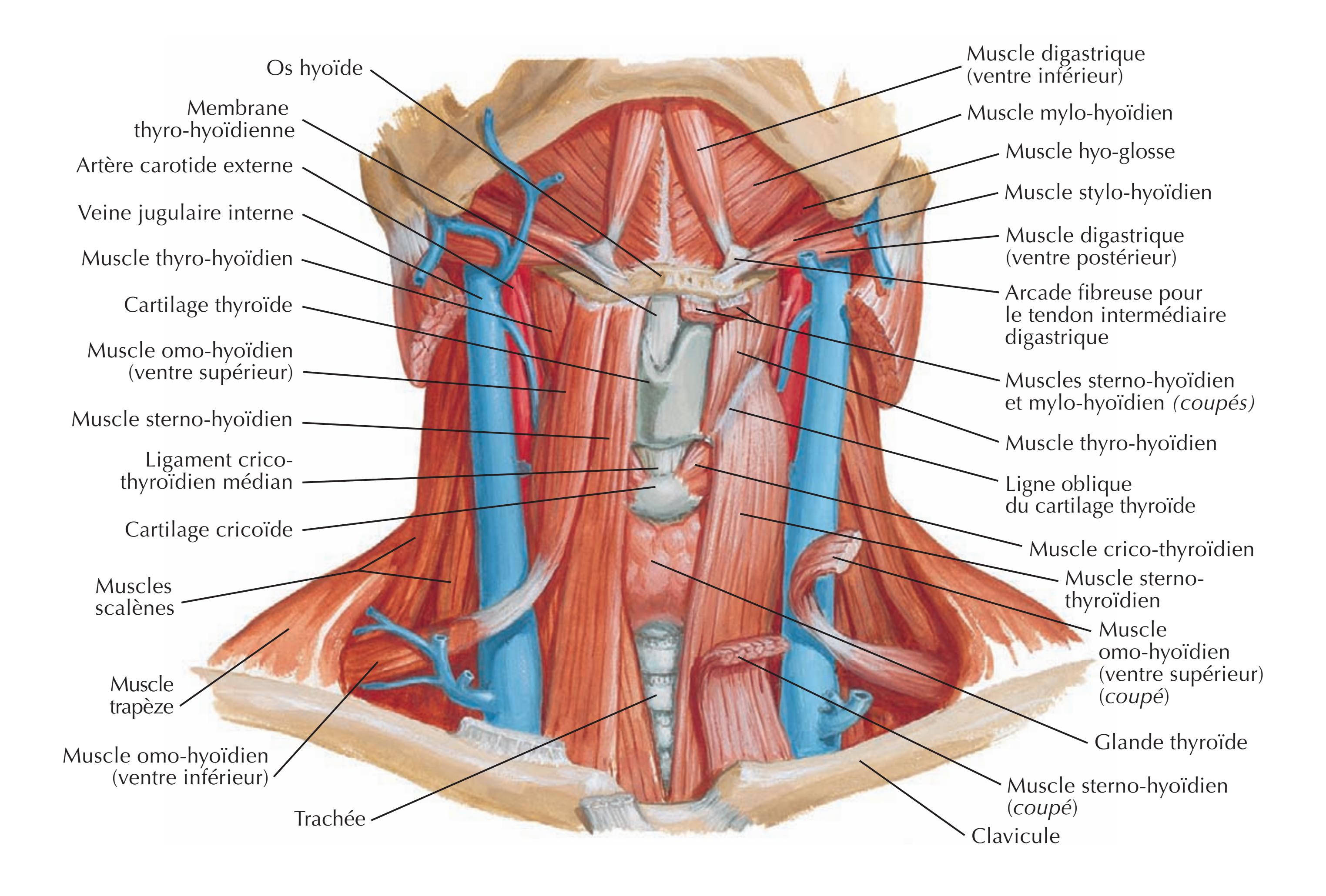
Muscle masséter
Glande parotide
Platysma (*réséqué partiellement*)
Processus mastoïde
Os hyoïde
Gaine carotidienne
Bord du fascia cervical superficiel réséqué
Cartilage thyroïde
Lame superficielle du fascia cervical et son bord coupé
Cartilage cricoïde
Lame prétrachéale du fascia cervical, recouvrant la glande thyroïde et la trachée
Espace supra-sternal (de Burns)
Manubrium sternal
Incisure jugulaire

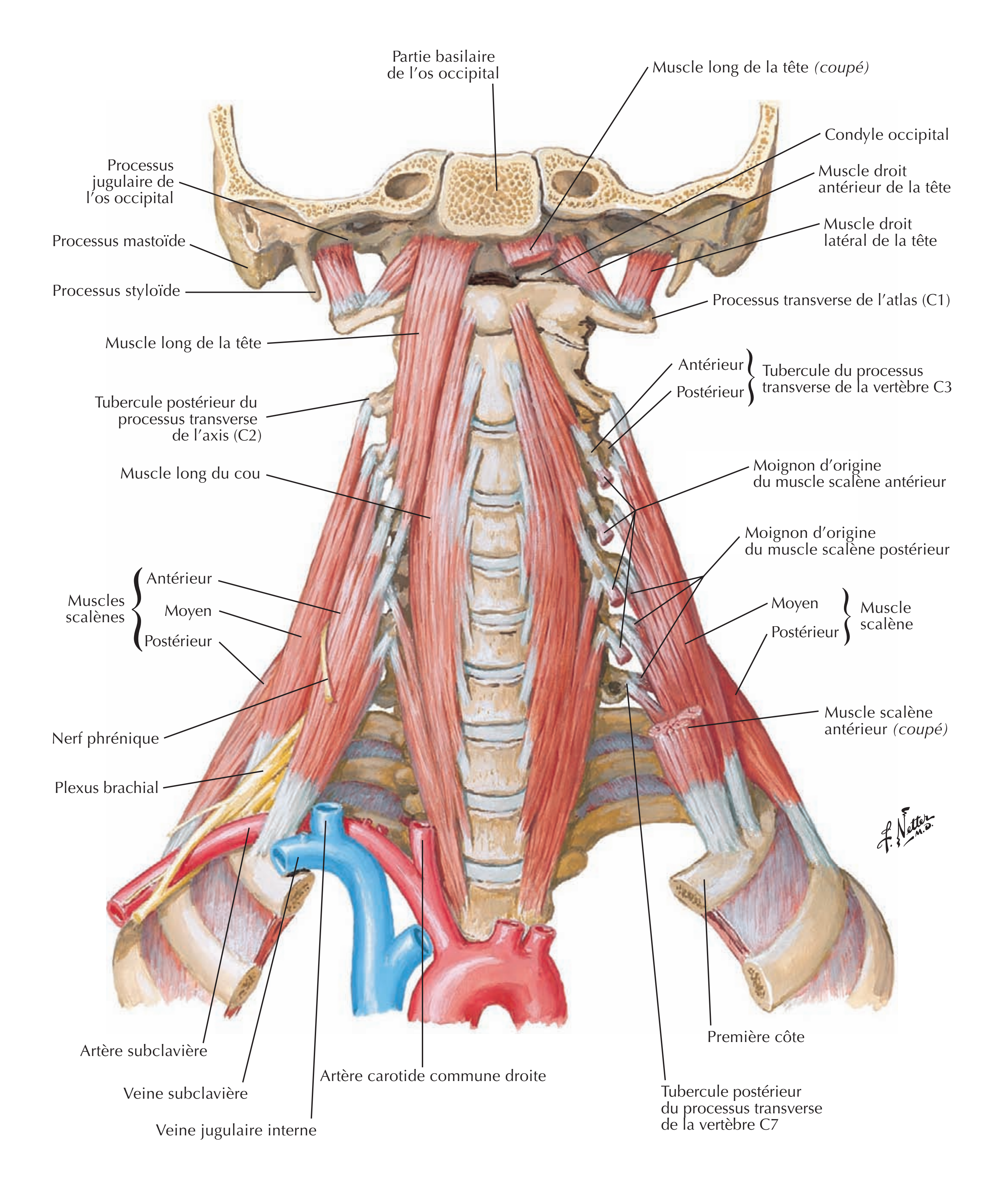
Muscle digastrique (ventre antérieur)
Muscle mylo-hyoïdien
Glande submandibulaire
Poulie fibreuse du tendon intermédiaire du muscle digastrique
Muscle stylo-hyoïdien
Muscle digastrique (ventre postérieur)
Artère carotide externe
Veine jugulaire interne
Muscle thyro-hyoïdien
Muscle omo-hyoïdien (ventre supérieur)
Muscle sterno-hyoïdien
Muscle sterno-thyroïdien
Muscles scalènes
Muscle trapèze
Muscle deltoïde
Clavicule
Muscle omo-hyoïdien (ventre inférieur)
Muscle grand pectoral
Muscle sterno-cléido-mastoïdien : Chef claviculaire, Chef sternal



Muscles infra-hyoïdiens et supra-hyoïdiens

Voir aussi **Planche 53**





Partie basilaire de l'os occipital
Muscle long de la tête *(coupé)*
Condyle occipital
Muscle droit antérieur de la tête
Muscle droit latéral de la tête
Processus transverse de l'atlas (C1)
Antérieur
Postérieur
Tubercule du processus transverse de la vertèbre C3
Moignon d'origine du muscle scalène antérieur
Moignon d'origine du muscle scalène postérieur
Moyen
Postérieur
Muscle scalène
Muscle scalène antérieur *(coupé)*
Première côte
Tubercule postérieur du processus transverse de la vertèbre C7
Processus jugulaire de l'os occipital
Processus mastoïde
Processus styloïde
Muscle long de la tête
Tubercule postérieur du processus transverse de l'axis (C2)
Muscle long du cou
Muscles scalènes
Antérieur
Moyen
Postérieur
Nerf phrénique
Plexus brachial
Artère subclavière
Veine subclavière
Veine jugulaire interne
Artère carotide commune droite
F. Netter M.D.

1 Veines superficielles et nerfs cutanés du cou

Pour les veines profondes du cou, voir **Planche 70**

Veine submentonnière

Artère et veine faciales

Rameau marginal de la mandibule du nerf facial

Os hyoïde

Veine rétro-mandibulaire

Veine jugulaire interne

Veine jugulaire externe

Veine jugulaire antérieure

Anastomose veineuse

Nerf grand auriculaire

Cartilage thyroïde

Nerfs cervicaux transverses

Glande thyroïde

Platysma (*coupé*)

Muscle digastrique (ventre antérieur)

Glande submandibulaire

Muscle mylo-hyoïdien

Glande parotide

Muscle omo-hyoïdien (*coupé*)

Artère carotide externe

Muscle thyro-hyoïdien

Muscle sterno-cléido-mastoïdien (*coupé*)

Artère et veine thyroïdiennes supérieures

Veine jugulaire interne

Artère carotide commune

Muscle sterno-hyoïdien

Muscle sterno-thyroïdien

Anse cervicale

Veine thyroïdienne moyenne

Muscle omo-hyoïdien (ventre supérieur) (*coupé*)

Nerf phrénique

Muscle trapèze

Muscle platysma (*sectionné*)

Nerfs supra-claviculaires

Muscle sterno-cléido-mastoïdien

Veine thyroïdienne inférieure

Muscle sterno-thyroïdien

Muscle sterno-cléido-mastoïdien (*coupé*)

Clavicule

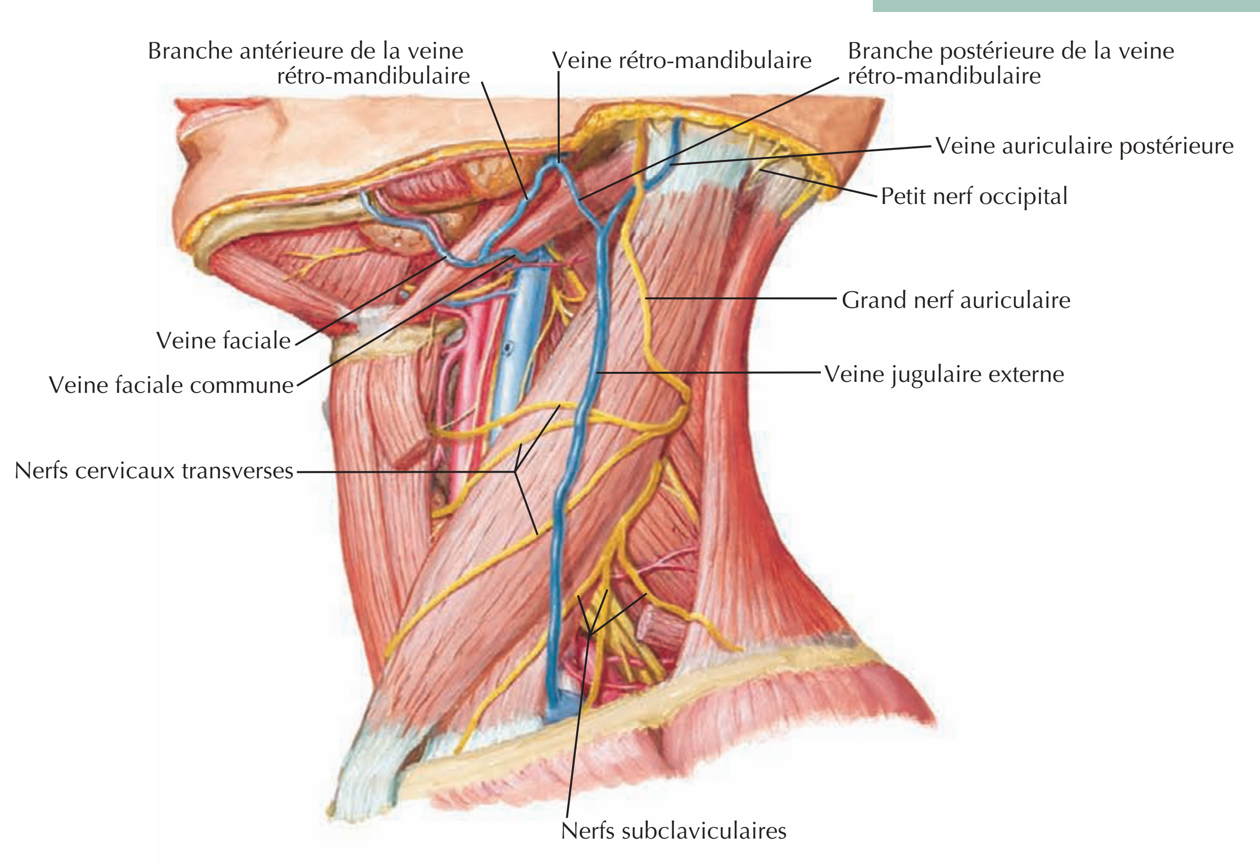
Muscle grand pectoral

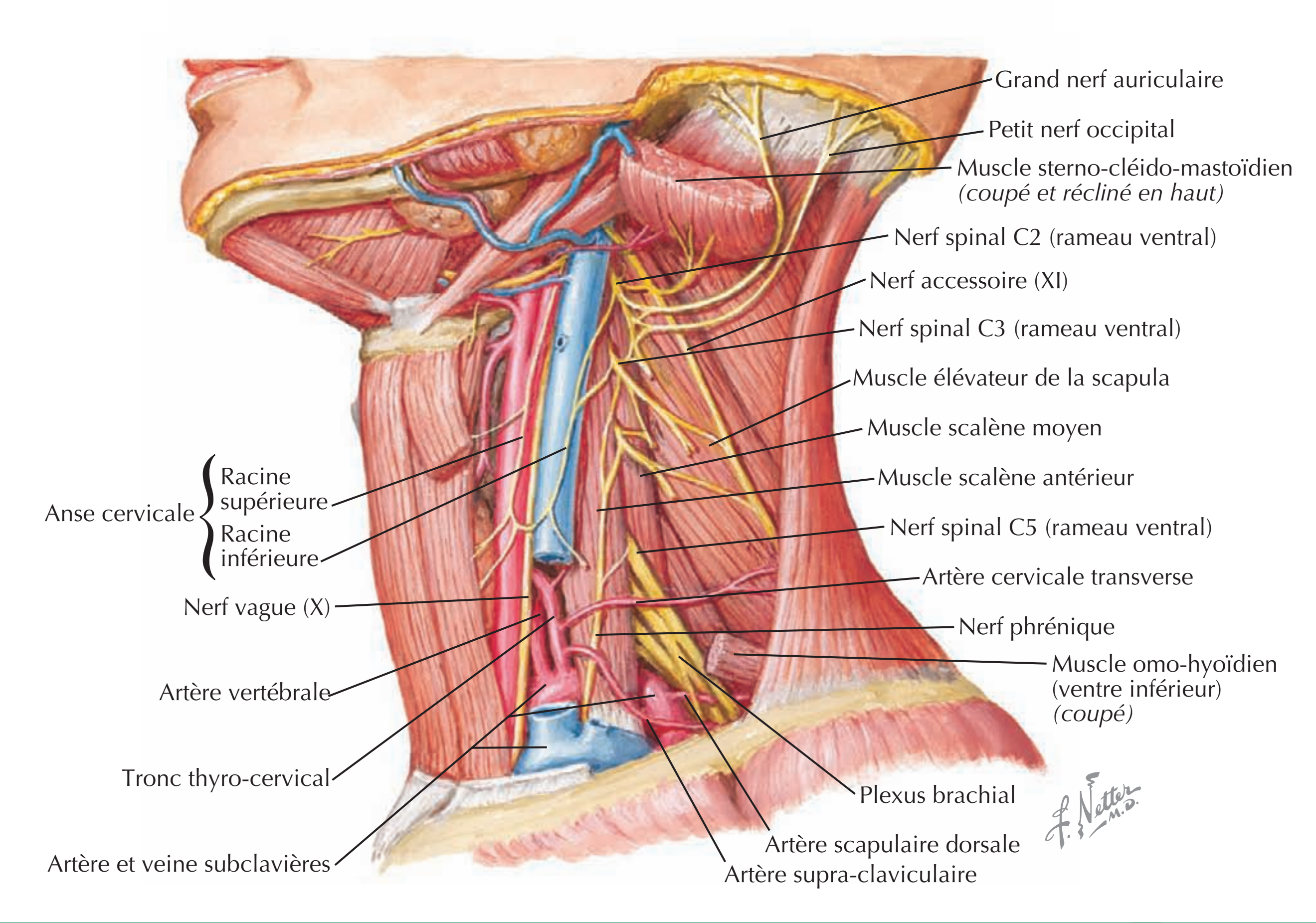
Plexus brachial



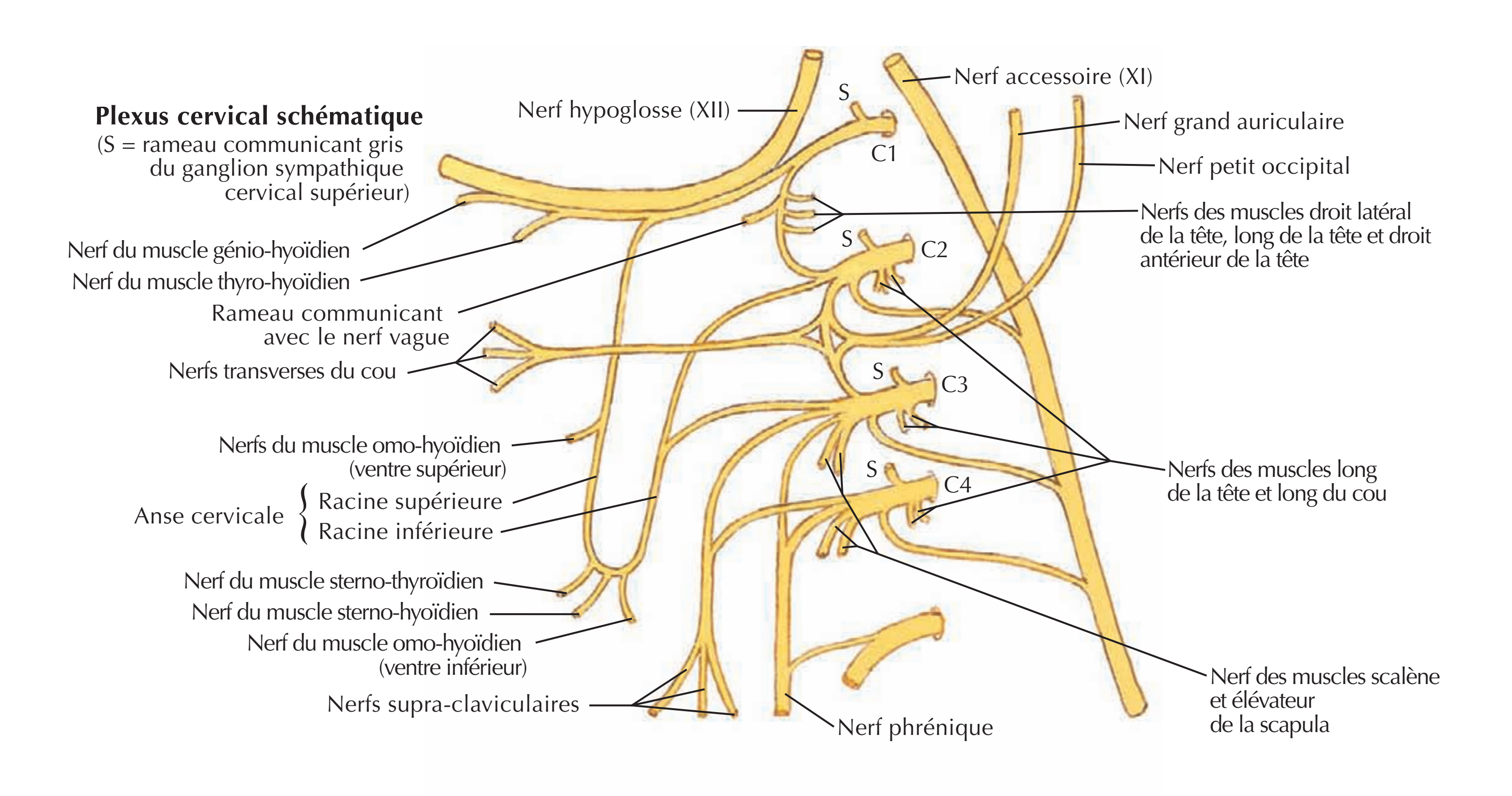
Nerfs et vaisseaux du cou

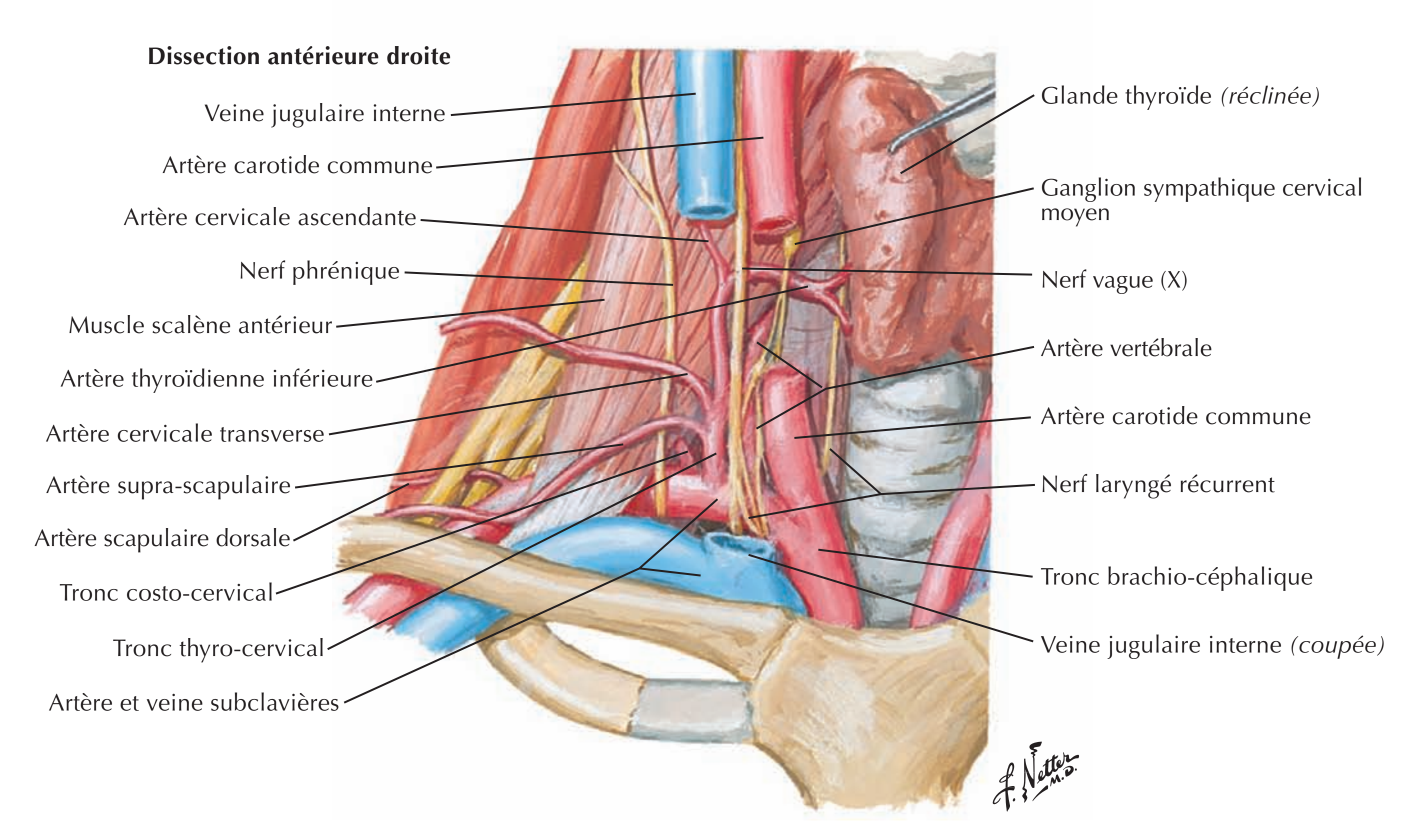
Voir aussi **Planches 126–128, 187**

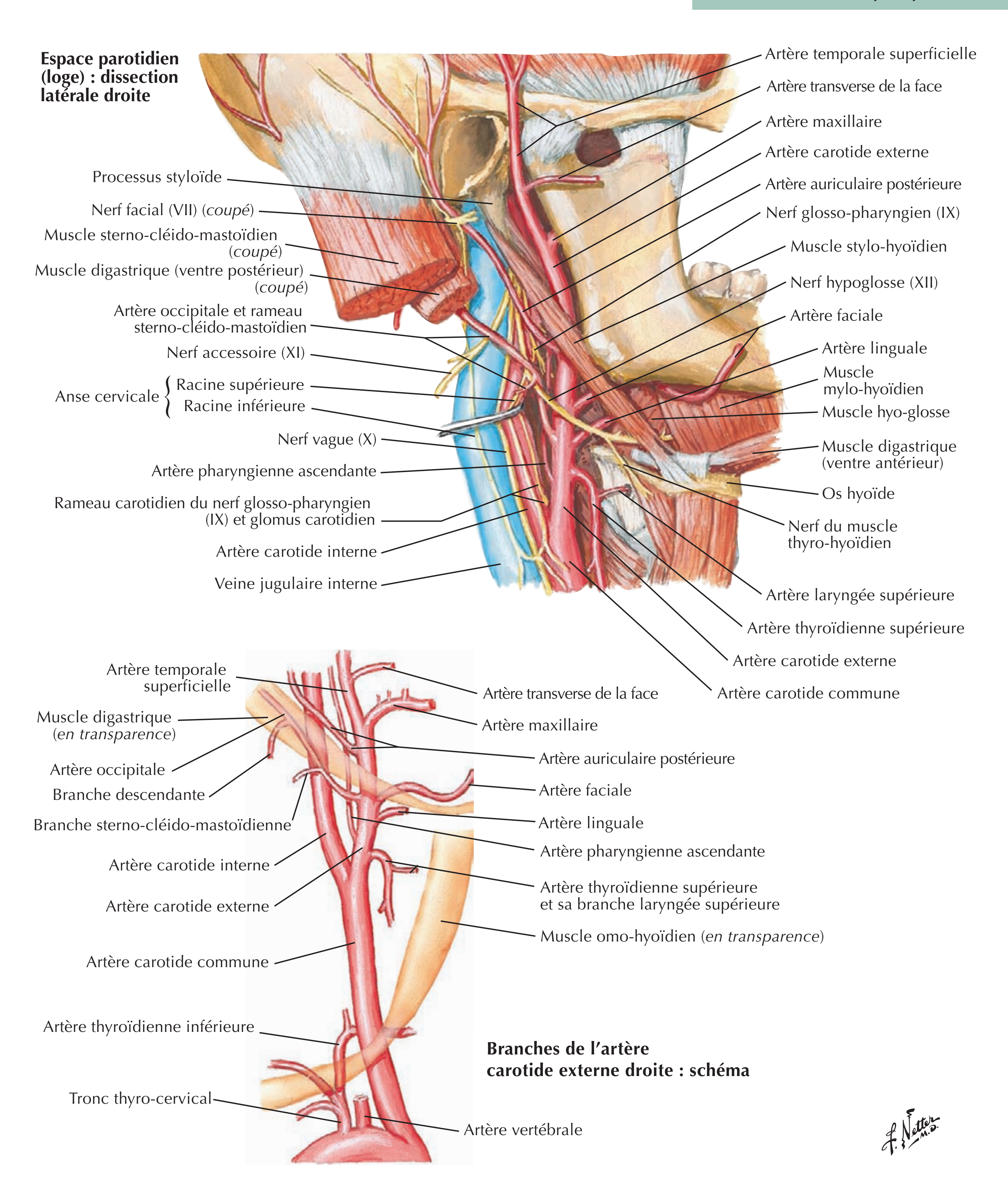




Nerfs et vaisseaux du cou (suite)



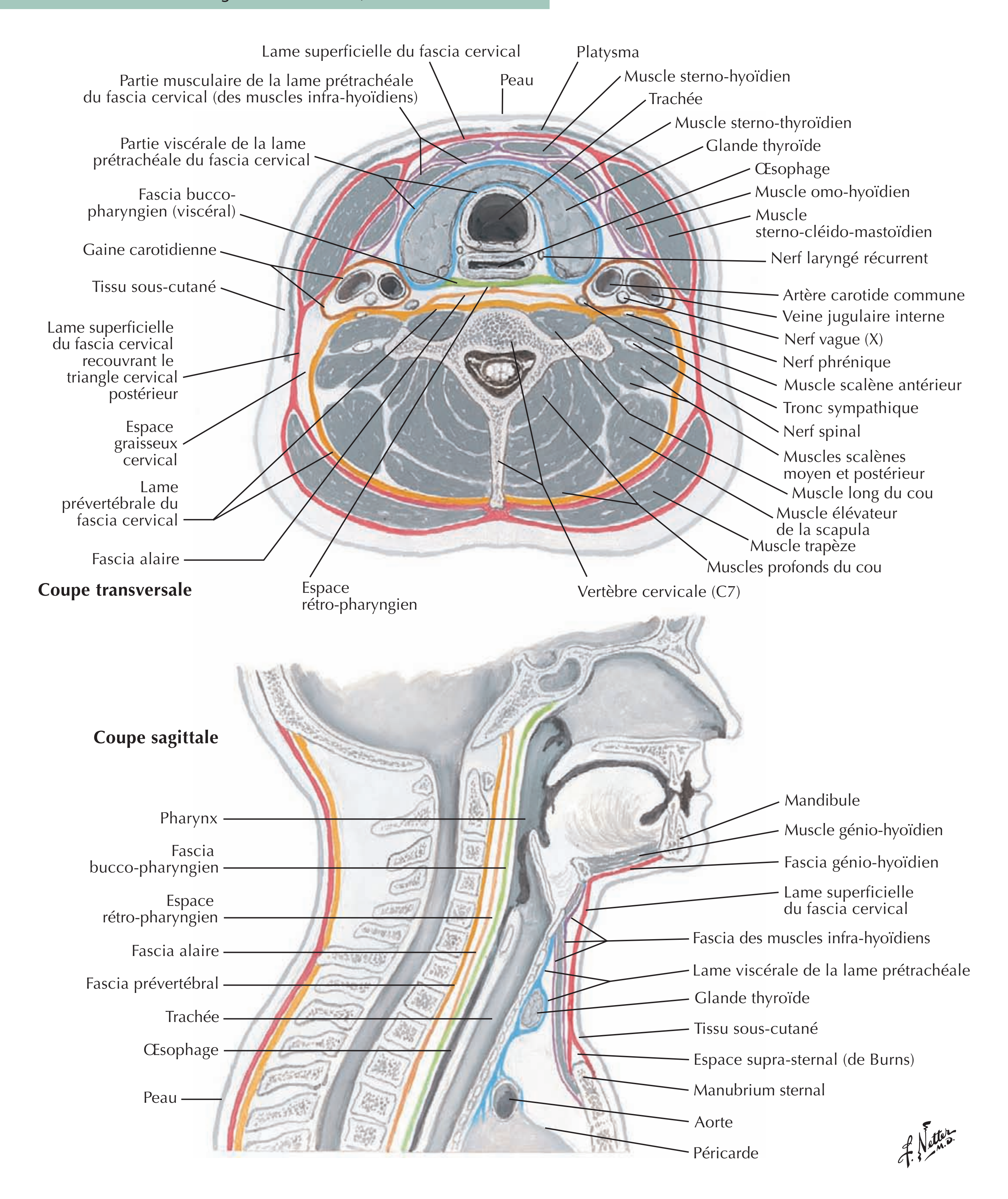


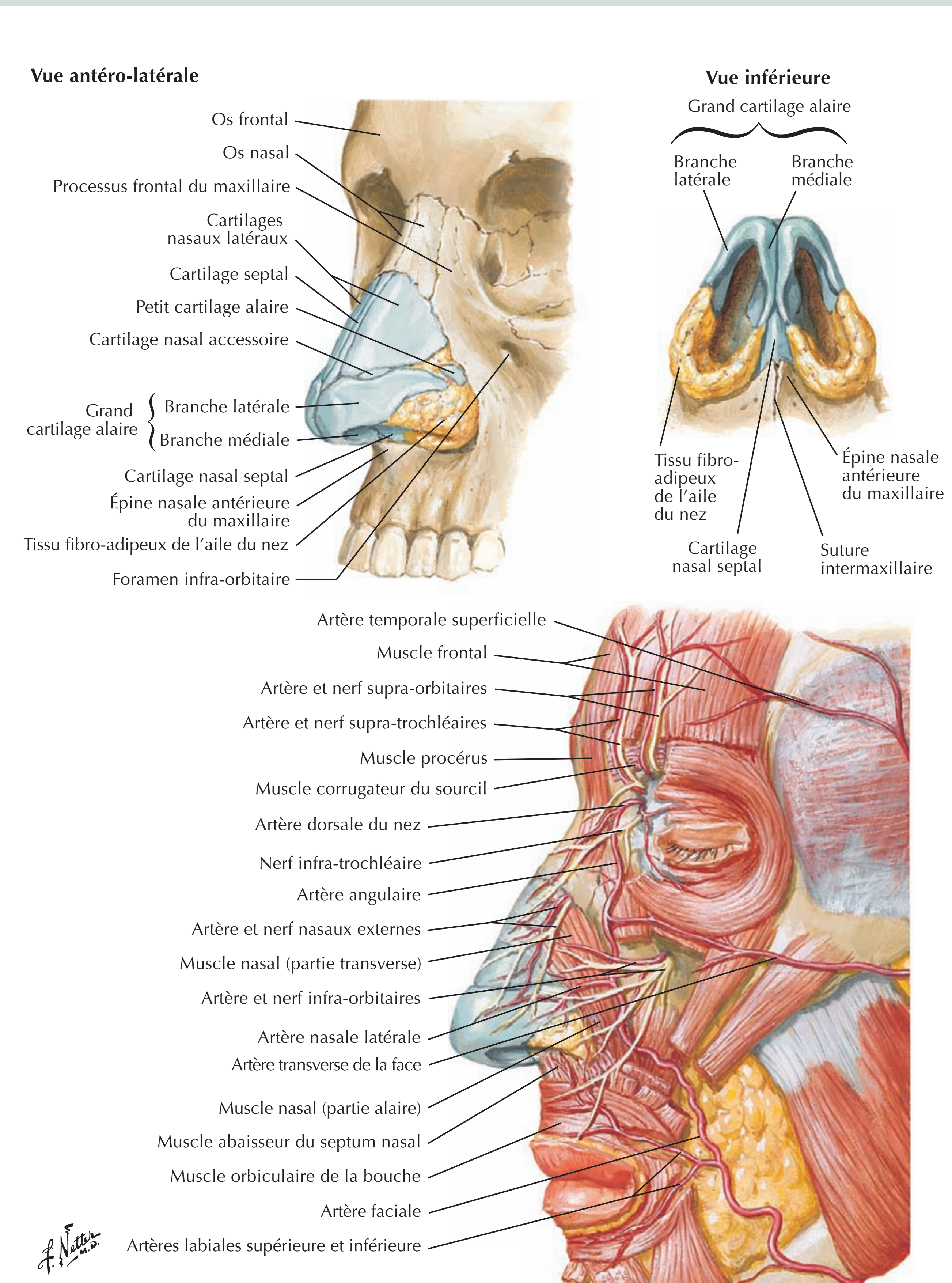


Espace parotidien (loge) : dissection latérale droite
Processus styloïde
Nerf facial (VII) (*coupé*)
Muscle sterno-cléido-mastoïdien (*coupé*)
Muscle digastrique (ventre postérieur) (*coupé*)
Artère occipitale et rameau sterno-cléido-mastoïdien
Nerf accessoire (XI)
Anse cervicale
Racine supérieure
Racine inférieure
Nerf vague (X)
Artère pharyngienne ascendante
Rameau carotidien du nerf glosso-pharyngien (IX) et glomus carotidien
Artère carotide interne
Veine jugulaire interne
Artère temporale superficielle
Artère transverse de la face
Artère maxillaire
Artère carotide externe
Artère auriculaire postérieure
Nerf glosso-pharyngien (IX)
Muscle stylo-hyoïdien
Nerf hypoglosse (XII)
Artère faciale
Artère linguale
Muscle mylo-hyoïdien
Muscle hyo-glosse
Muscle digastrique (ventre antérieur)
Os hyoïde
Nerf du muscle thyro-hyoïdien
Artère laryngée supérieure
Artère thyroïdienne supérieure
Artère carotide externe
Artère carotide commune
Artère temporale superficielle
Muscle digastrique (*en transparence*)
Artère occipitale
Branche descendante
Branche sterno-cléido-mastoïdienne
Artère carotide interne
Artère carotide externe
Artère carotide commune
Artère thyroïdienne inférieure
Tronc thyro-cervical
Artère transverse de la face
Artère maxillaire
Artère auriculaire postérieure
Artère faciale
Artère linguale
Artère pharyngienne ascendante
Artère thyroïdienne supérieure et sa branche laryngée supérieure
Muscle omo-hyoïdien (*en transparence*)
Branches de l'artère carotide externe droite : schéma
Artère vertébrale
F. Netter M.D.

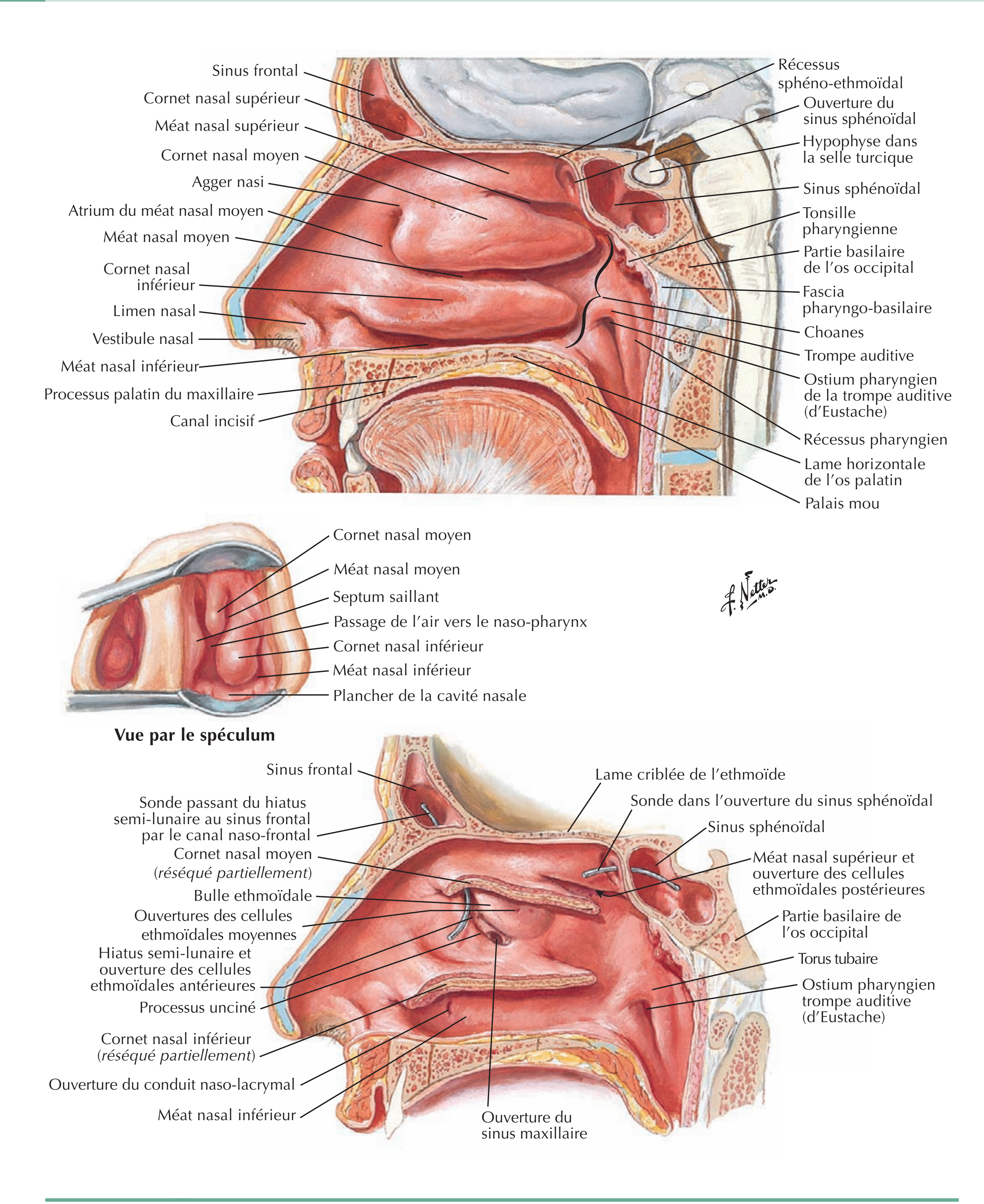
1 Fascias du cou

Pour le contenu de la gaine carotidienne, voir **Planches 69–71**

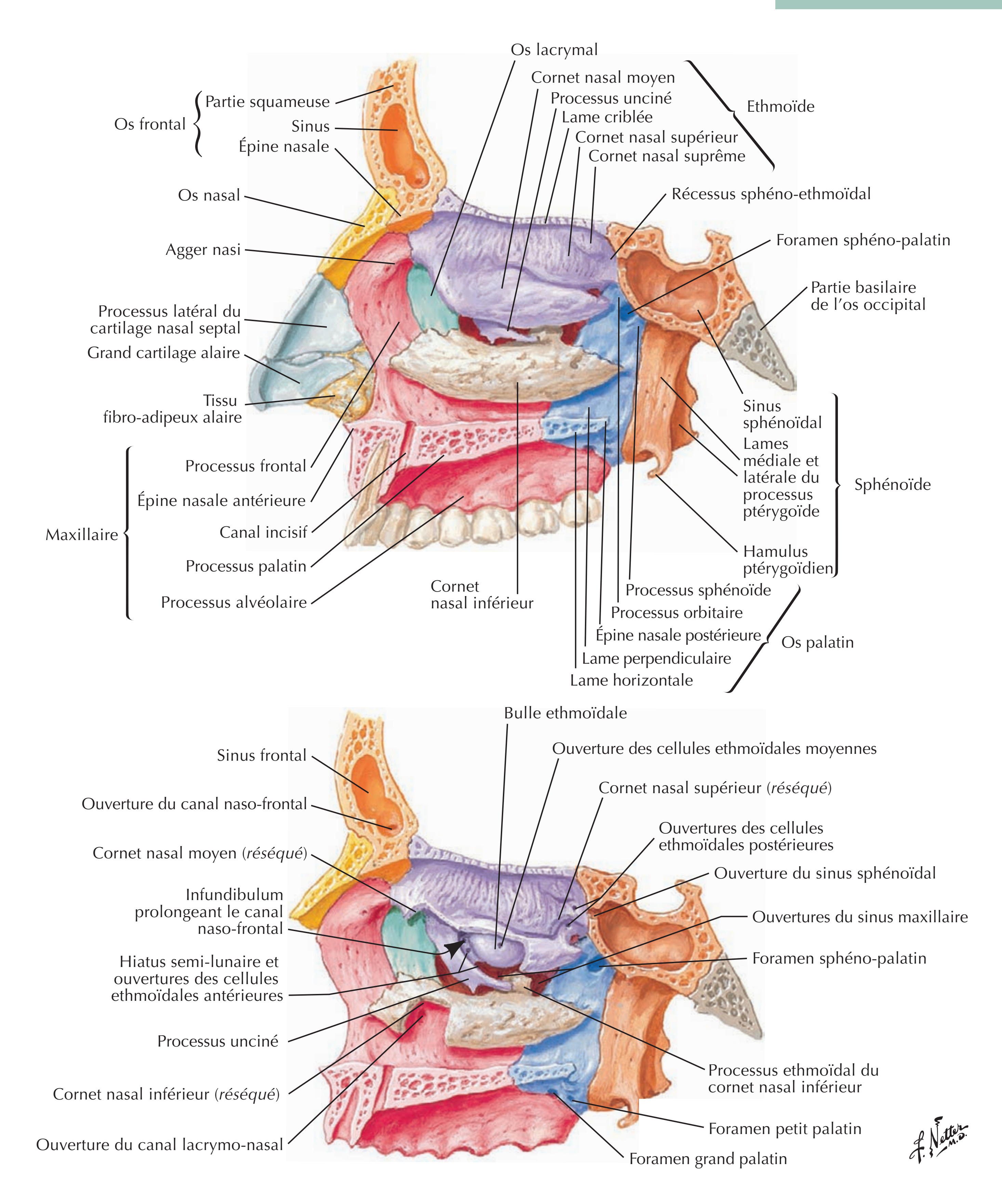



Vue antéro-latérale
Os frontal
Os nasal
Processus frontal du maxillaire
Cartilages nasaux latéraux
Cartilage septal
Petit cartilage alaire
Cartilage nasal accessoire
Grand cartilage alaire
Branche latérale
Branche médiale
Cartilage nasal septal
Épine nasale antérieure du maxillaire
Tissu fibro-adipeux de l'aile du nez
Foramen infra-orbitaire
Vue inférieure
Grand cartilage alaire
Branche latérale
Branche médiale
Tissu fibro-adipeux de l'aile du nez
Épine nasale antérieure du maxillaire
Cartilage nasal septal
Suture intermaxillaire
Artère temporale superficielle
Muscle frontal
Artère et nerf supra-orbitaires
Artère et nerf supra-trochléaires
Muscle procérus
Muscle corrugateur du sourcil
Artère dorsale du nez
Nerf infra-trochléaire
Artère angulaire
Artère et nerf nasaux externes
Muscle nasal (partie transverse)
Artère et nerf infra-orbitaires
Artère nasale latérale
Artère transverse de la face
Muscle nasal (partie alaire)
Muscle abaisseur du septum nasal
Muscle orbiculaire de la bouche
Artère faciale
Artères labiales supérieure et inférieure
F. Netter M.D.

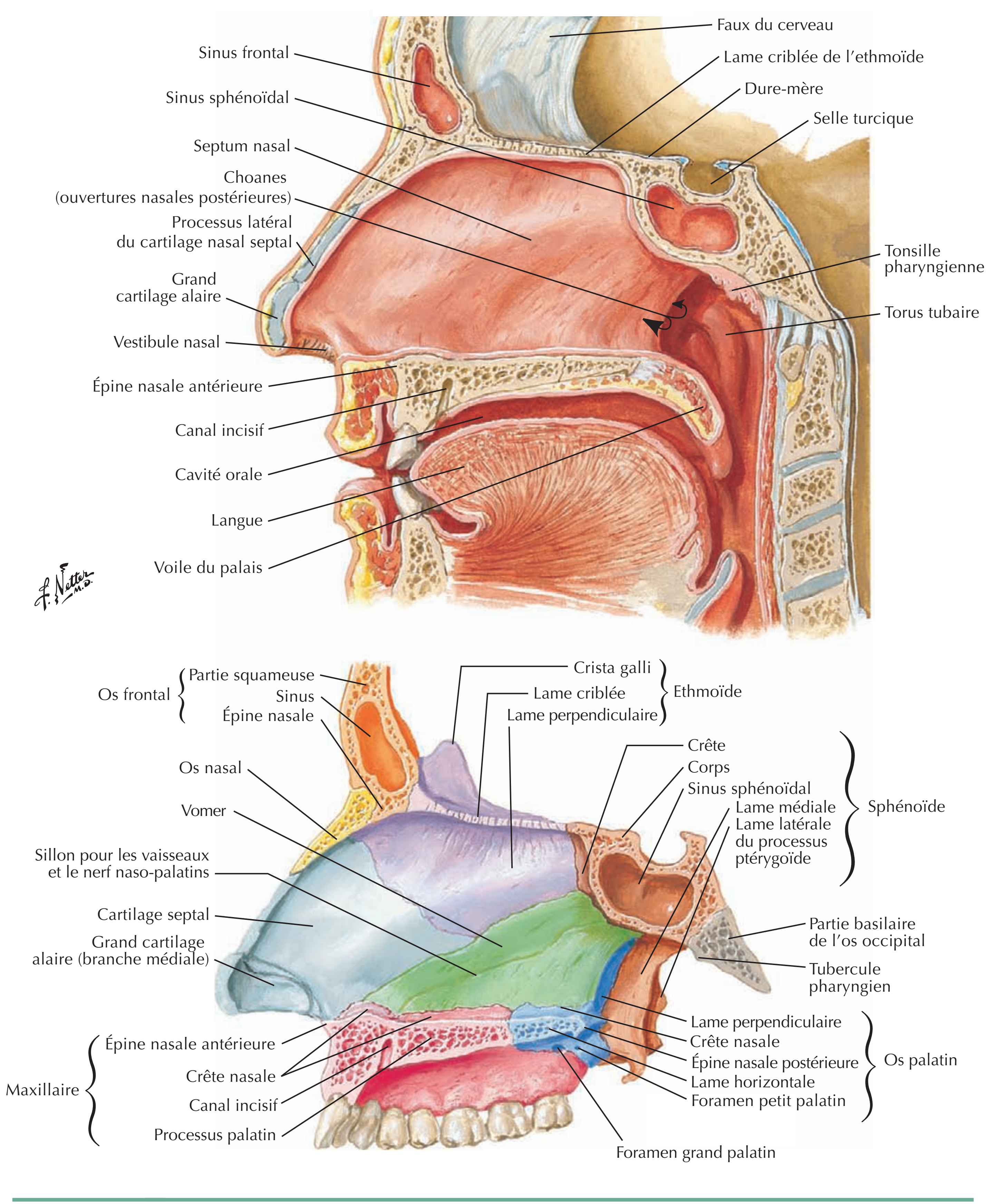
1 Paroi latérale de la cavité nasale



Voir aussi **Planche 8**

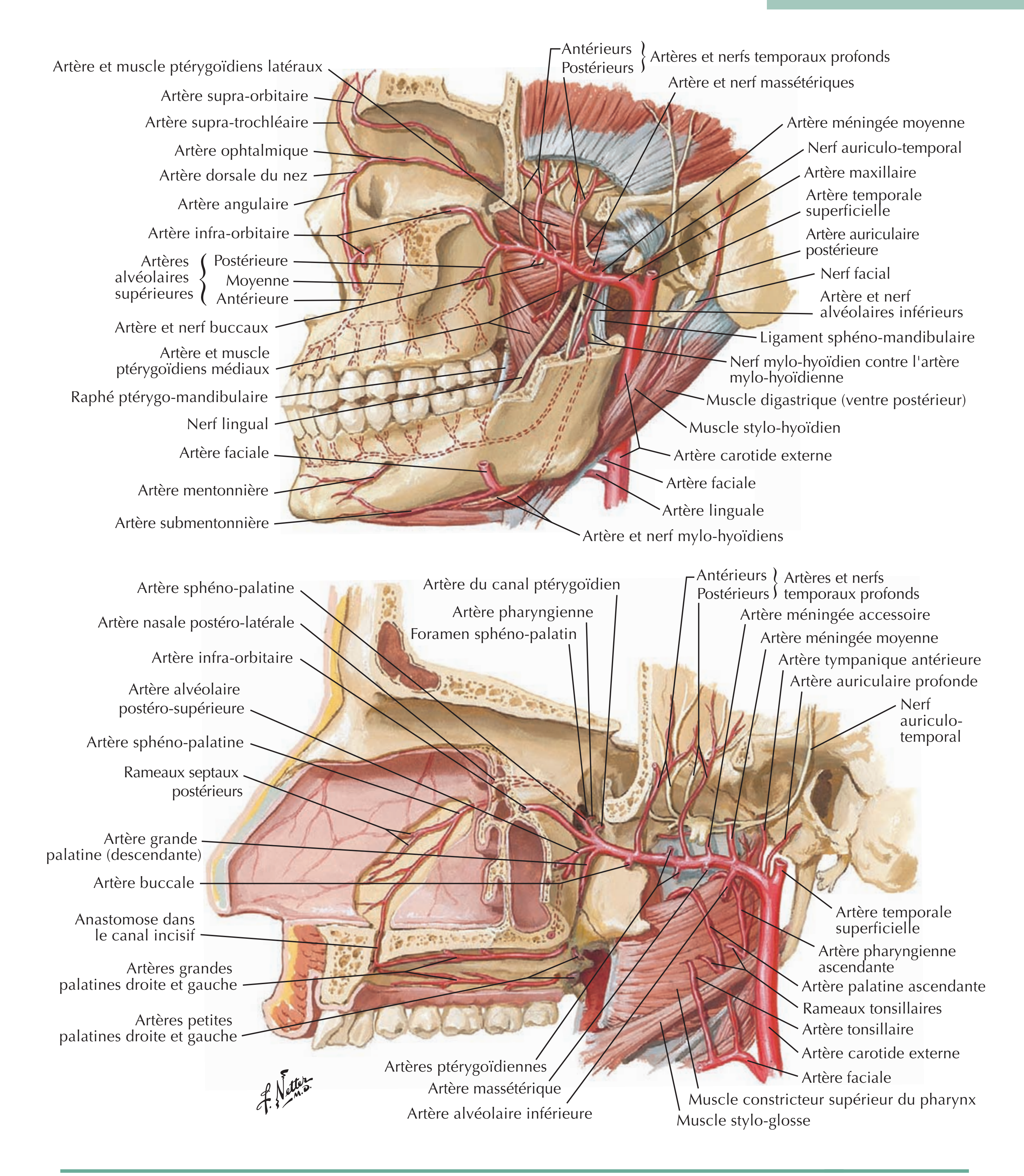


1 Paroi médiale de la cavité nasale (septum nasal)



Artère maxillaire

Voir aussi **Planche 33**



Artères de la cavité nasale : septum nasal relevé

Branche du septum nasal de l'artère labiale supérieure (de l'artère faciale)

Septum nasal (*relevé*)

Anastomose entre le rameau septal de l'artère sphéno-palatine et l'artère grande palatine dans le canal incisif

Charnière schématique

Rameaux septal et nasal latéral de l'artère ethmoïdale postérieure

Rameau septal antérieur

Rameau nasal antéro-latéral

Rameau nasal externe de l'artère ethmoïdale antérieure

Rameau septal postérieur de l'artère sphéno-palatine

Artère sphéno-palatine

Foramen sphéno-palatin

Rameaux alaires de l'artère nasale latérale (de l'artère faciale)

Rameaux nasaux postéro-latéraux de l'artère sphéno-palatine

Artère maxillaire

Artère alvéolaire inférieure

Anastomose entre la branche septale inférieure de l'artère sphéno-palatine et l'artère grande palatine dans le canal incisif

Artère carotide externe

Foramen petit palatin et artère petite palatine

Artère grande palatine

Foramen grand palatin et artère grande palatine

Paroi latérale de la cavité nasale



Nerfs de la cavité nasale : septum nasal relevé

Voir aussi **Planches 43, 44**

Nerfs olfactifs (I)

Septum nasal (*relevé*)

Canal incisif

Charnière schématique

Rameau nasal interne médial

Nerf naso-palatin (V_2)

Rameau nasal interne latéral

Rameau nasal externe du nerf ethmoïdal antérieur (V_1)

Foramen sphéno-palatin (*réséqué*)

Ganglion ptérygo-palatin

Rameaux nasaux internes du nerf infra-orbitaire (V_2)

Nerf du canal ptérygoïdien (Vidien)

Rameaux nasaux latéraux supéro-postérieurs du nerf maxillaire (V_2)

Nerfs grand et petit palatins (V_2)

Rameau nasal du nerf alvéolaire supéro-antérieur (V_2)

Rameaux nasaux latéraux inféro-postérieurs du nerf grand palatin (V_2)

Nerfs petits palatins (V_2)

Anastomose entre les nerfs grand palatin et naso-palatin dans le canal incisif

Nerf grand palatin (V_2)

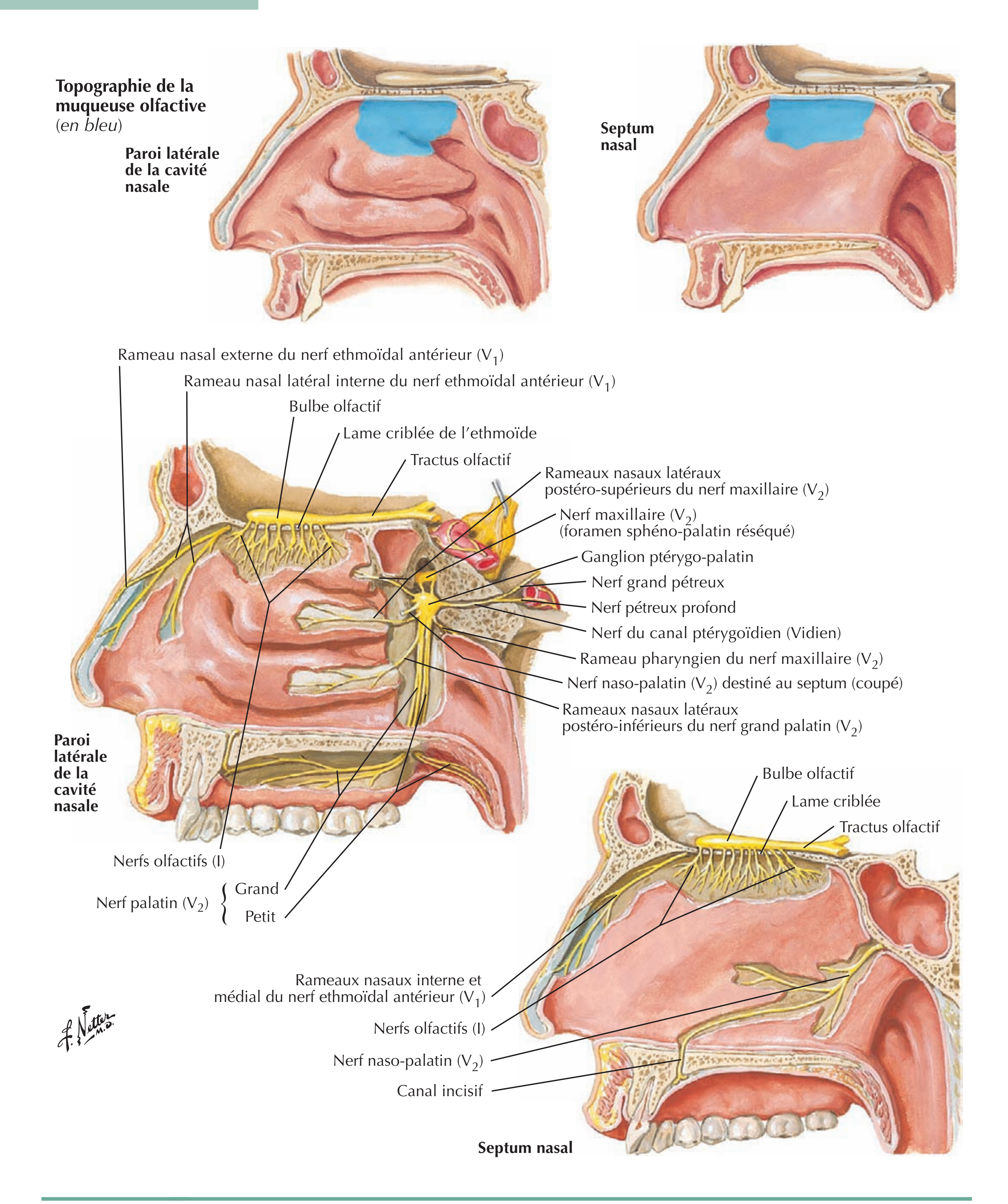
Paroi latérale de la cavité nasale



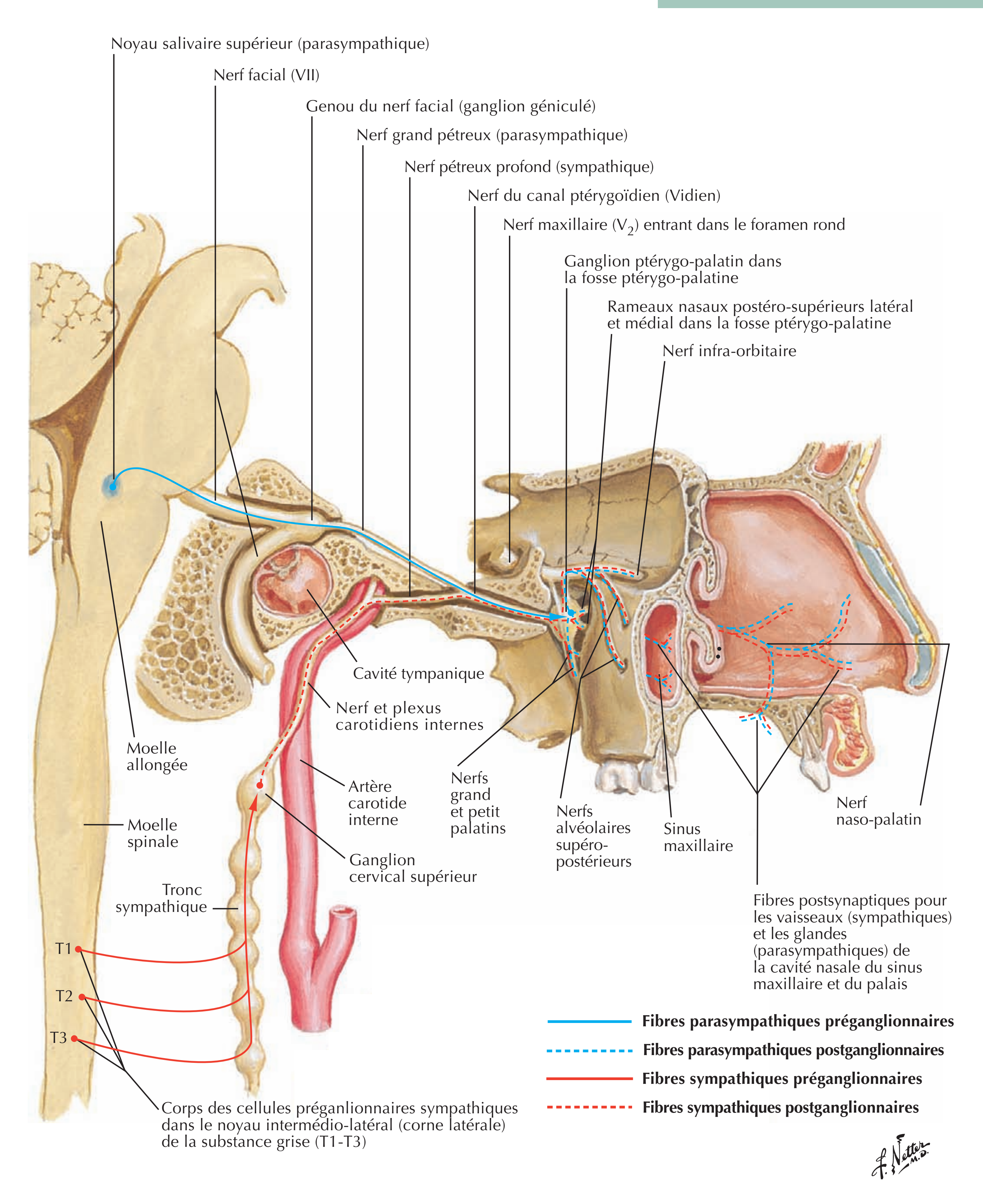
1

Nerfs de la cavité nasale (suite)

Voir aussi **Planche 118**

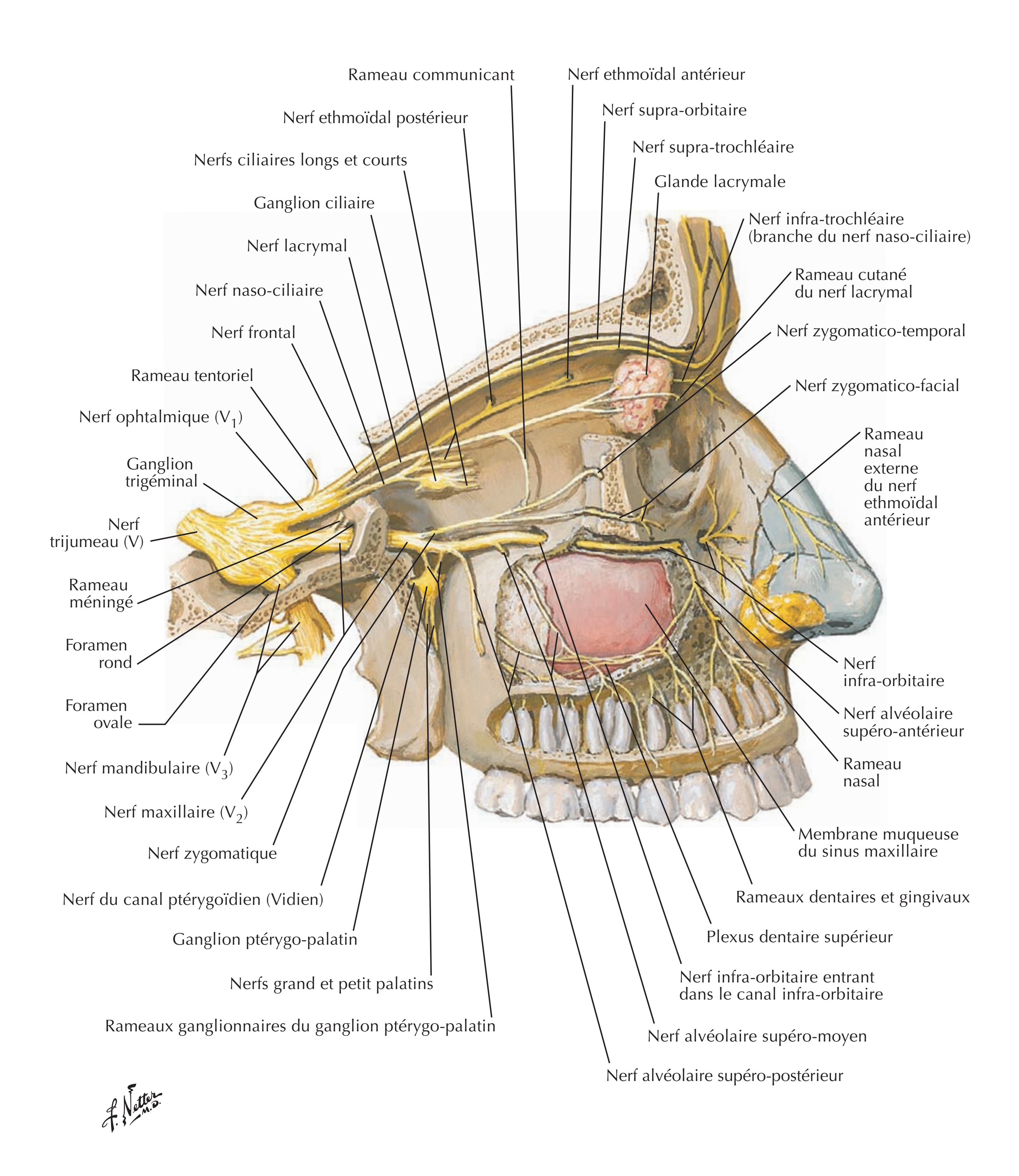


Voir aussi **Planches 121, 130, 132**

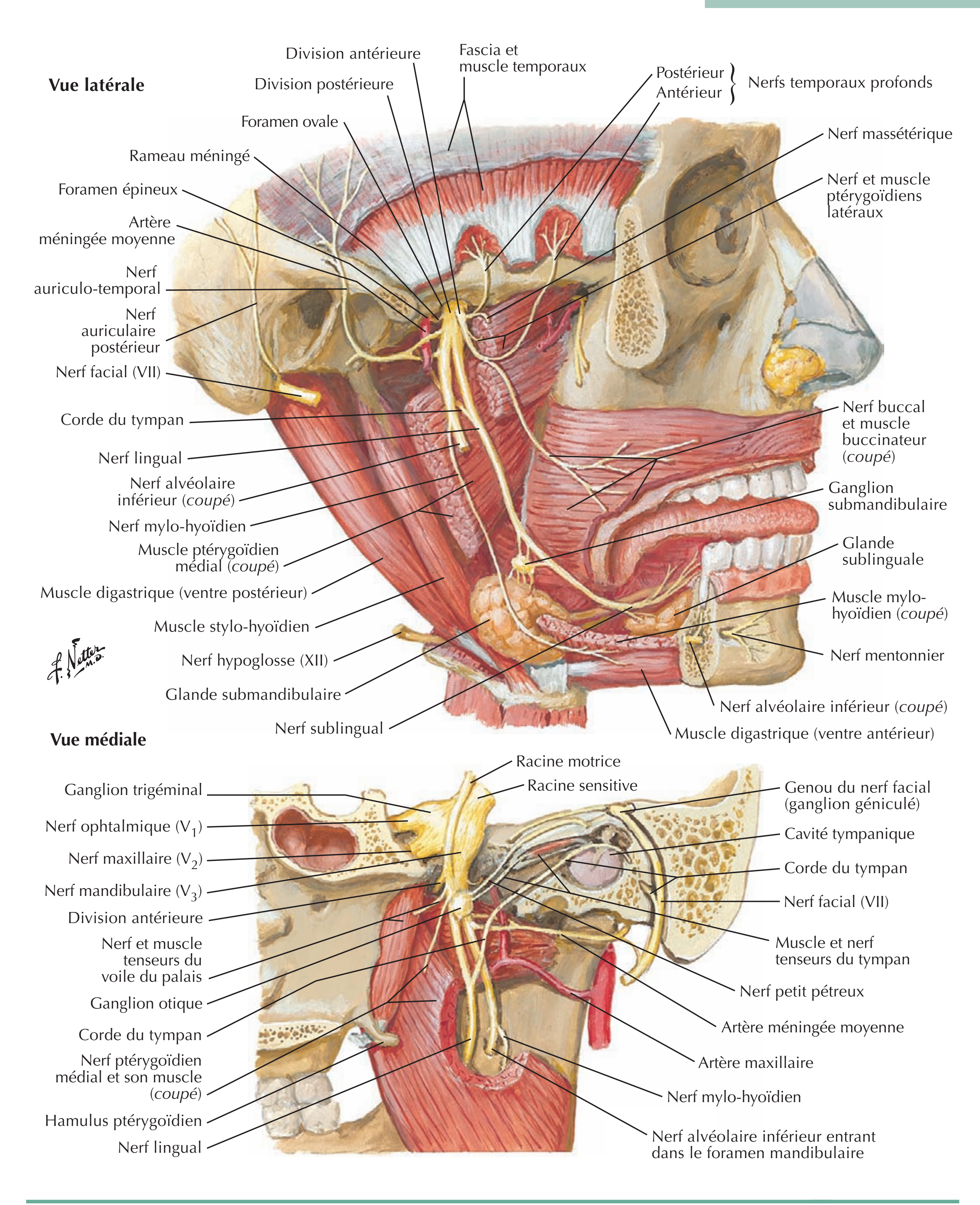


1 Nerfs ophtalmique (V_1) et maxillaire (V_2)

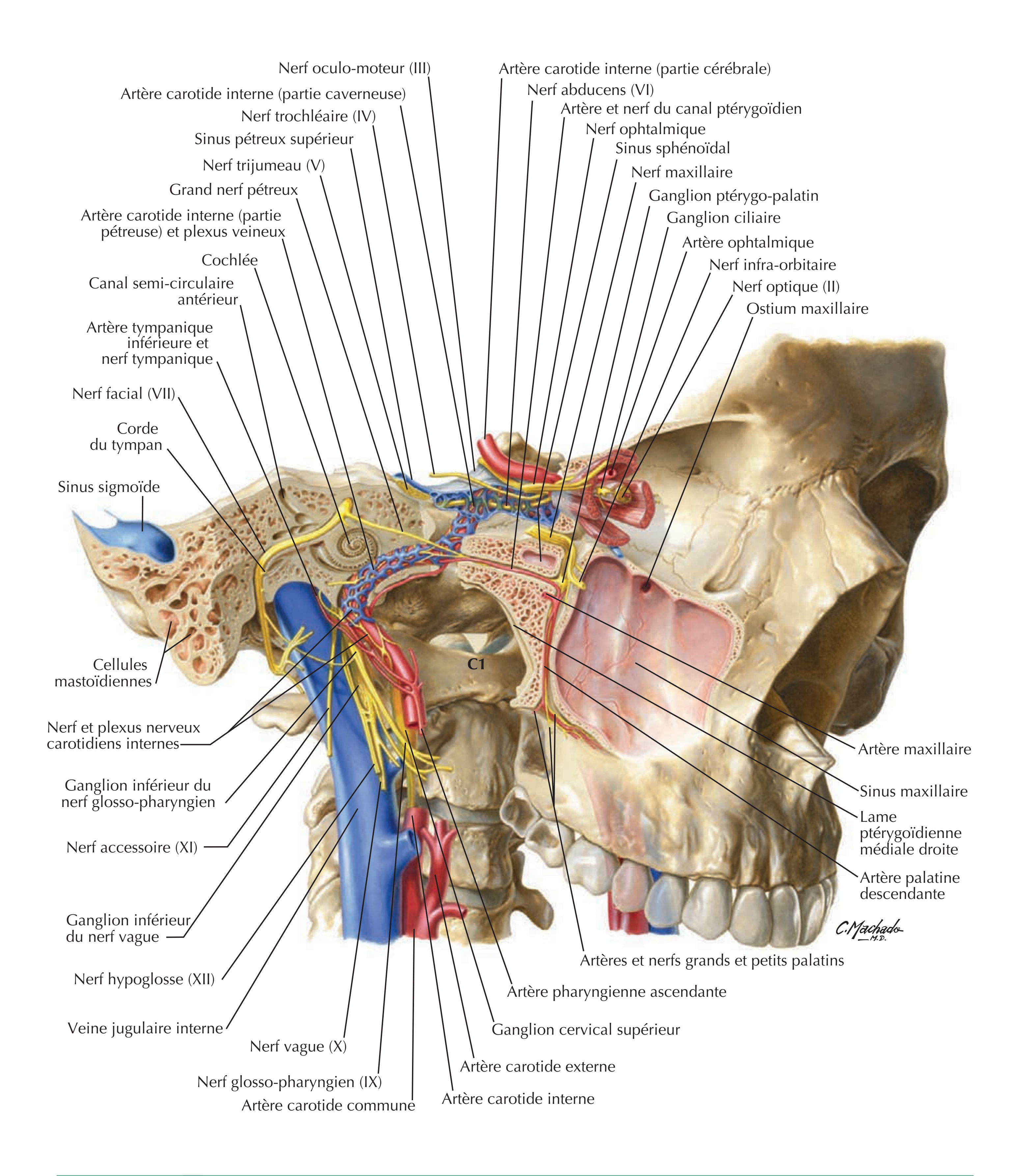
Voir aussi **Planche 120**

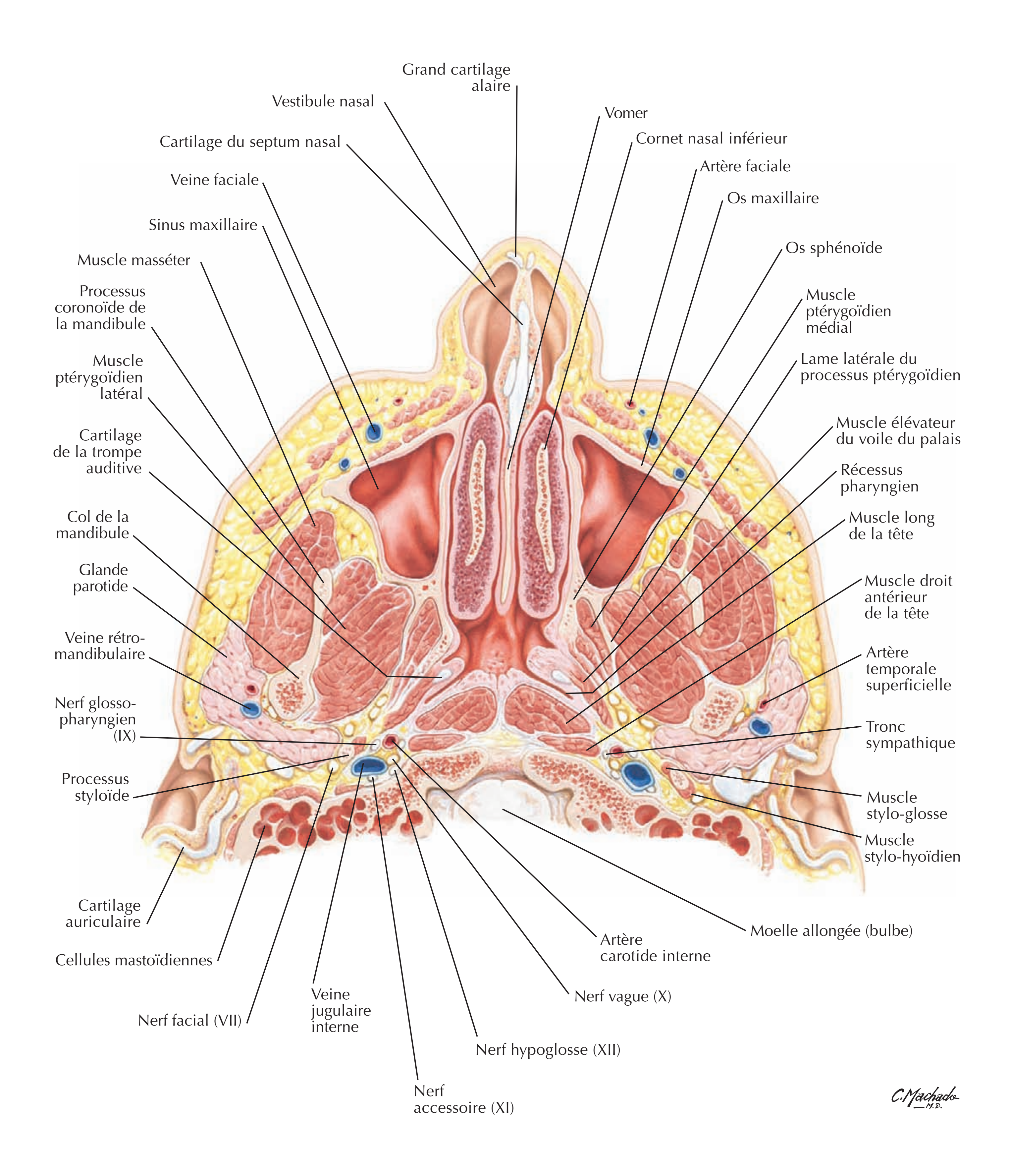


Nerf mandibulaire (V_3)

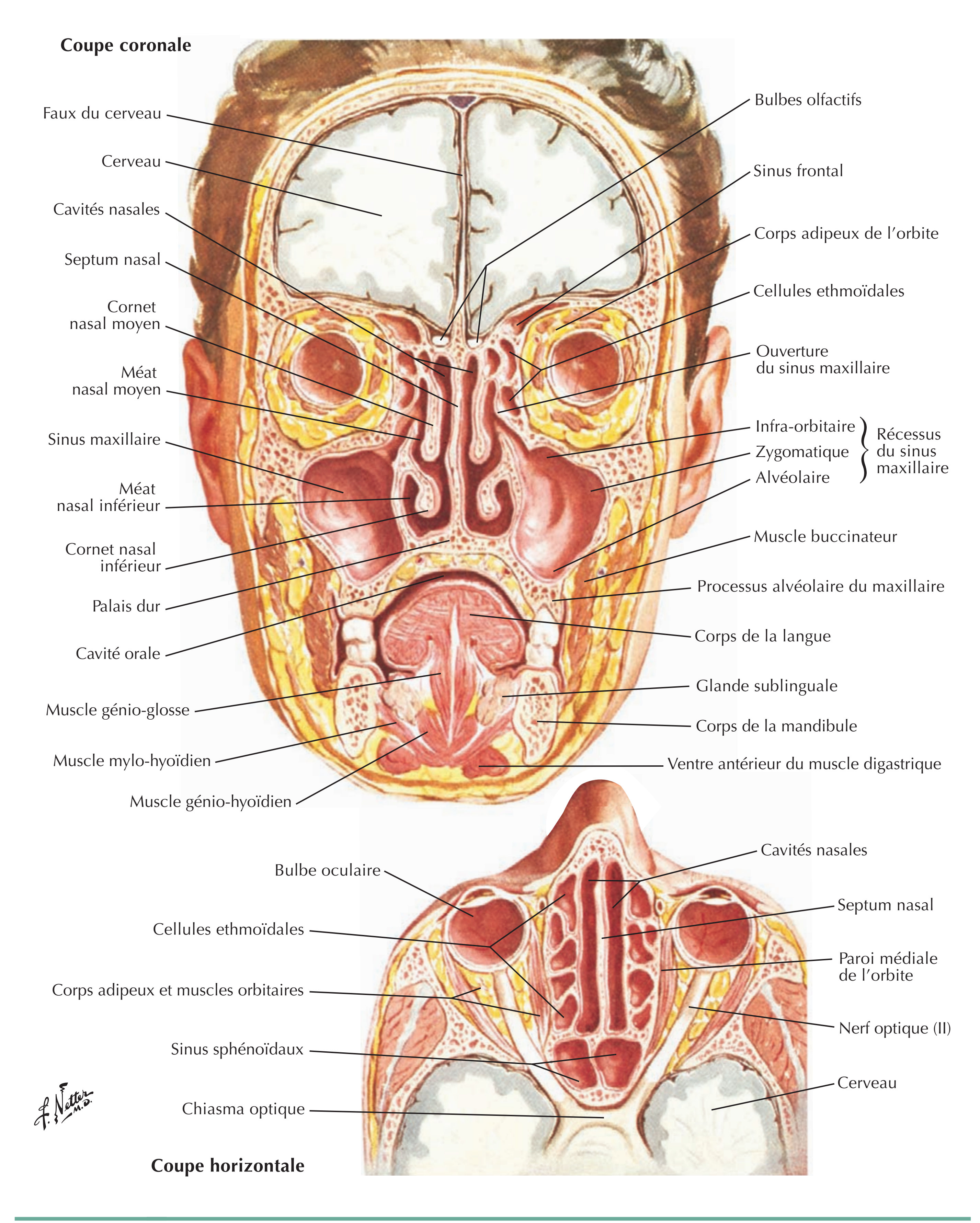


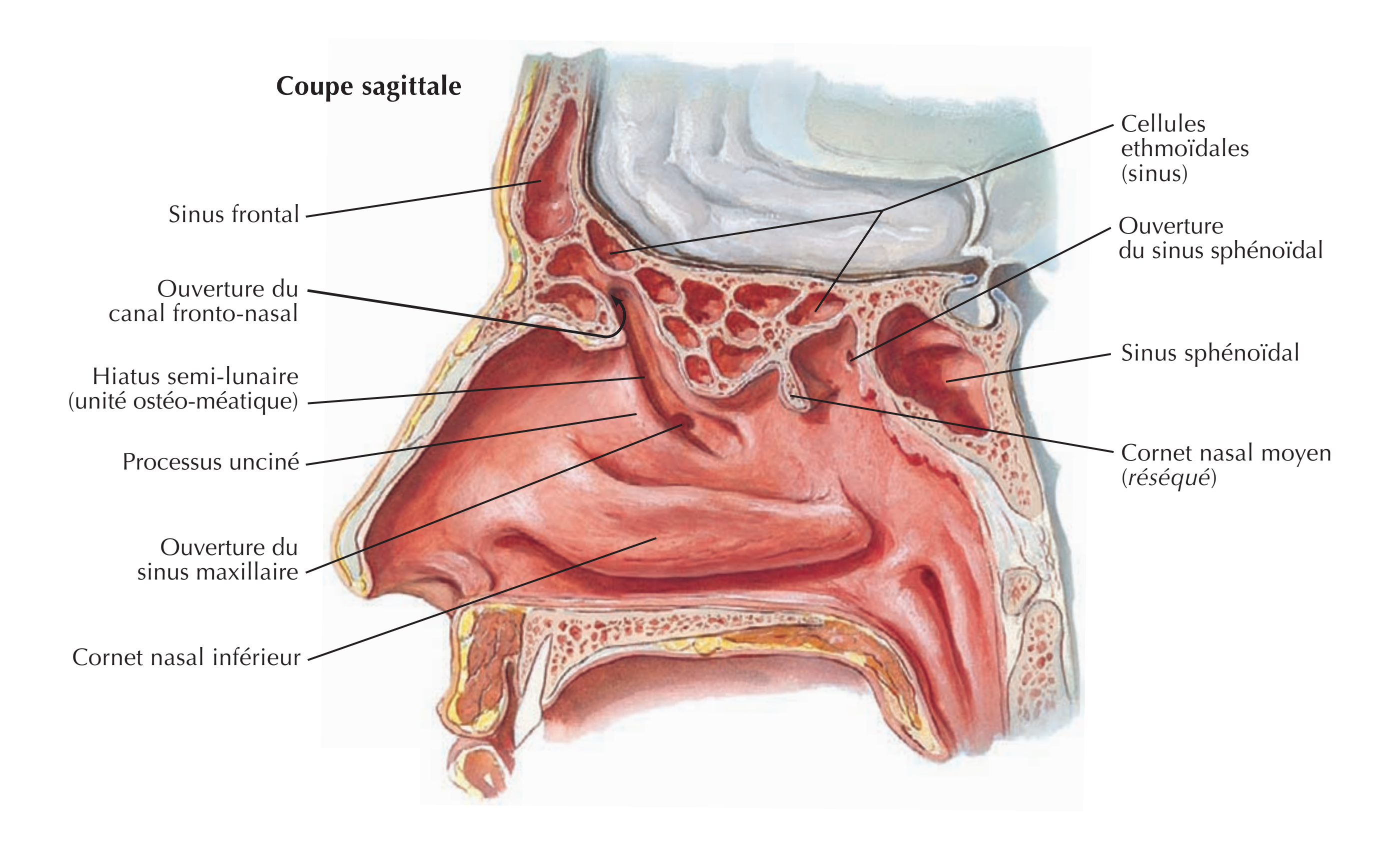
Trajet des nerfs et des vaisseaux de la base du crâne

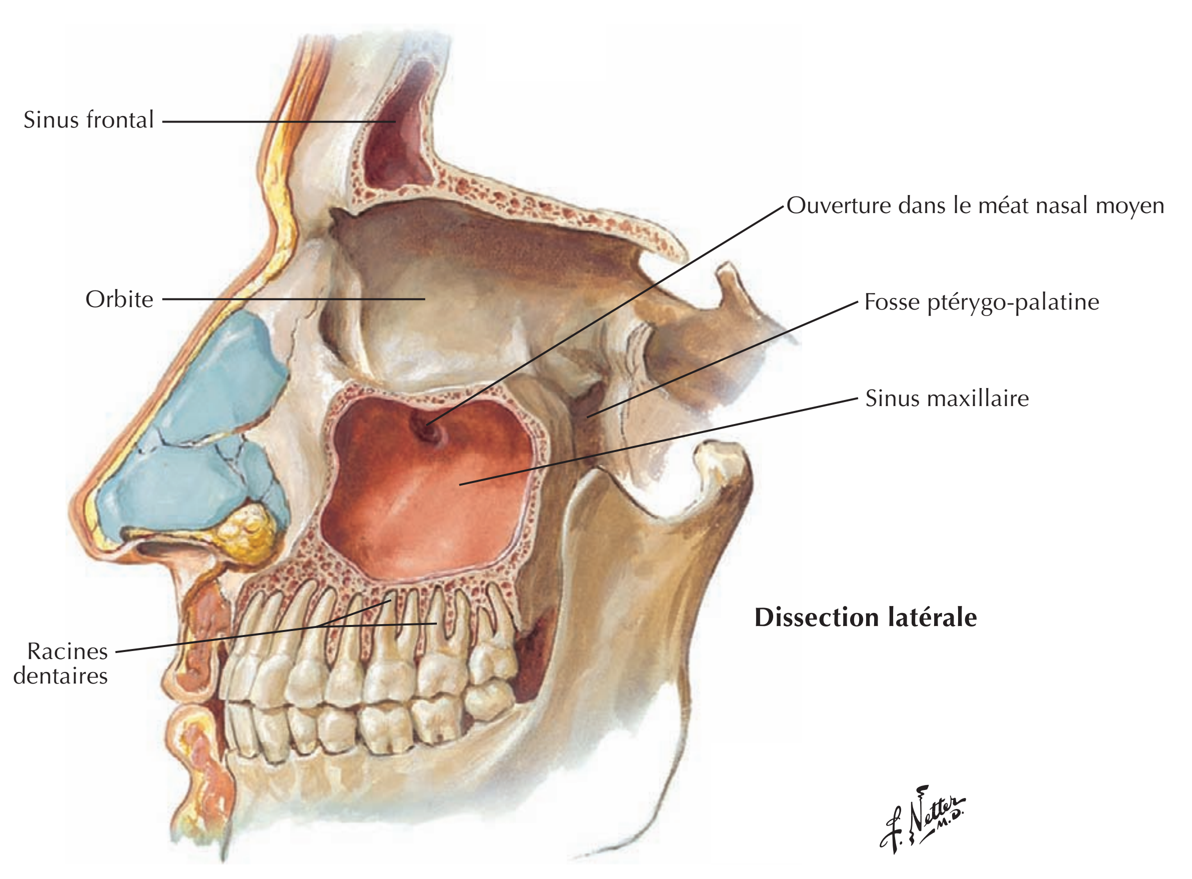



Grand cartilage alaire
Vestibule nasal
Cartilage du septum nasal
Veine faciale
Sinus maxillaire
Muscle masséter
Processus coronoïde de la mandibule
Muscle ptérygoïdien latéral
Cartilage de la trompe auditive
Col de la mandibule
Glande parotide
Veine rétro-mandibulaire
Nerf glosso-pharyngien (IX)
Processus styloïde
Cartilage auriculaire
Cellules mastoïdiennes
Nerf facial (VII)
Veine jugulaire interne
Nerf accessoire (XI)
Nerf hypoglosse (XII)
Nerf vague (X)
Artère carotide interne
Moelle allongée (bulbe)
Vomer
Cornet nasal inférieur
Artère faciale
Os maxillaire
Os sphénoïde
Muscle ptérygoïdien médial
Lame latérale du processus ptérygoïdien
Muscle élévateur du voile du palais
Récessus pharyngien
Muscle long de la tête
Muscle droit antérieur de la tête
Artère temporale superficielle
Tronc sympathique
Muscle stylo-glosse
Muscle stylo-hyoïdien
C. Machado M.D.

Sinus paranasaux




Coupe sagittale
Sinus frontal
Ouverture du canal fronto-nasal
Hiatus semi-lunaire (unité ostéo-méatique)
Processus unciné
Ouverture du sinus maxillaire
Cornet nasal inférieur
Cellules ethmoïdales (sinus)
Ouverture du sinus sphénoïdal
Sinus sphénoïdal
Cornet nasal moyen (*réséqué*)


Sinus frontal
Orbite
Racines dentaires
Ouverture dans le méat nasal moyen
Fosse ptérygo-palatine
Sinus maxillaire
Dissection latérale

Sinus paranasaux : variations avec l'âge

Os de la cavité nasale et sinus paranasaux à la naissance

Le sinus représente une ou plusieurs cellules ethmoïdales antérieures s'ouvrant dans le hiatus semi-lunaire du méat nasal moyen

Le sinus représente une ou plusieurs cellules ethmoïdales moyennes s'ouvrant dans le méat nasal moyen

Les sinus représentent deux ou plusieurs cellules ethmoïdales postérieures s'ouvrant dans le méat nasal supérieur

Sinus sphénoïdal (avec résection du cornet sphénoïdal) situé dans la partie antérieure et latérale du corps du sphénoïde (le pointillé indique le sinus latéral)

Partie du conduit lacrymo-nasal dérivée de la partie profonde du sillon naso-optique

Os nasal

Os lacrymal

Foramen lacrymo-nasal (devient canal osseux)

Partie du conduit lacrymo-nasal dans la cavité nasale avec son ouverture dans le méat nasal inférieur

Maxillaire

Processus unciné de l'ethmoïde

Hiatus semi-lunaire

Corps du sphénoïde

Fosse hypophysaire

Reliquat vestigial du saccule hypophysaire (poche de Rathke)

Lame médiale du processus ptérygoïde

Bord inférieur du cornet nasal suprême

Bord inférieur du cornet nasal supérieur

Méat nasal supérieur

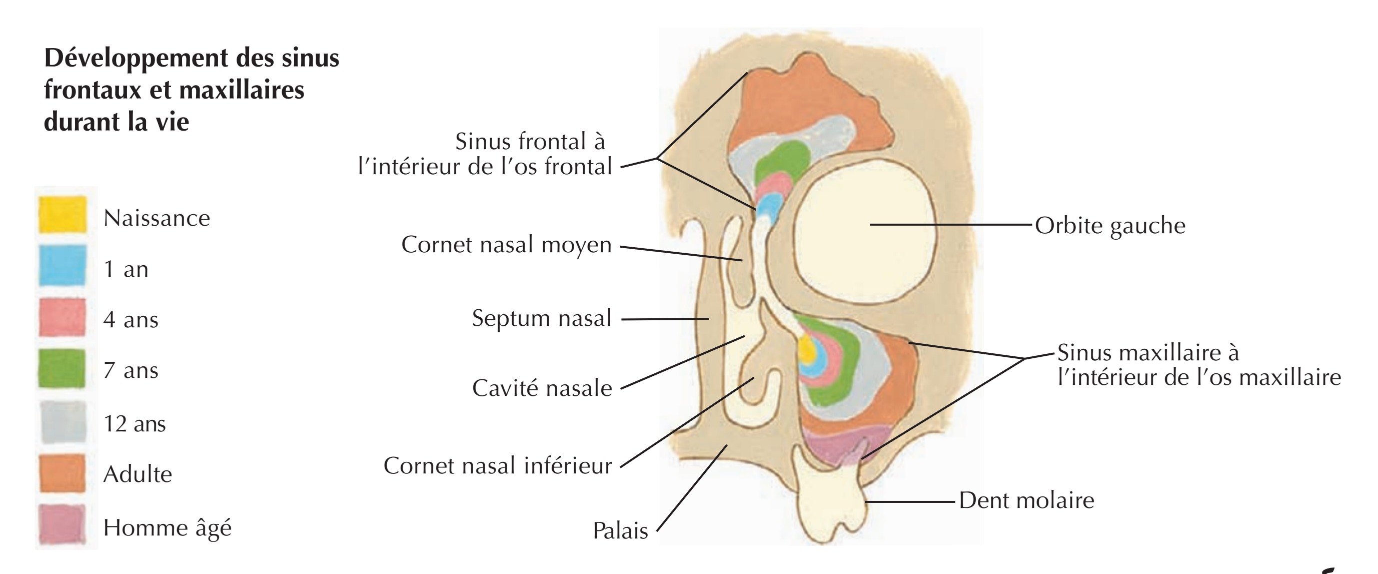
Cornet nasal moyen (*réséqué*) (le cornet nasal inférieur étant entièrement réséqué)

Os palatin

Hamulus ptérygoïdien

Sinus maxillaire avec une ouverture dans le hiatus semi-lunaire (l'aire découverte représente la membrane qui forme l'essentiel de la paroi médiale du sinus)

Développement des sinus frontaux et maxillaires durant la vie





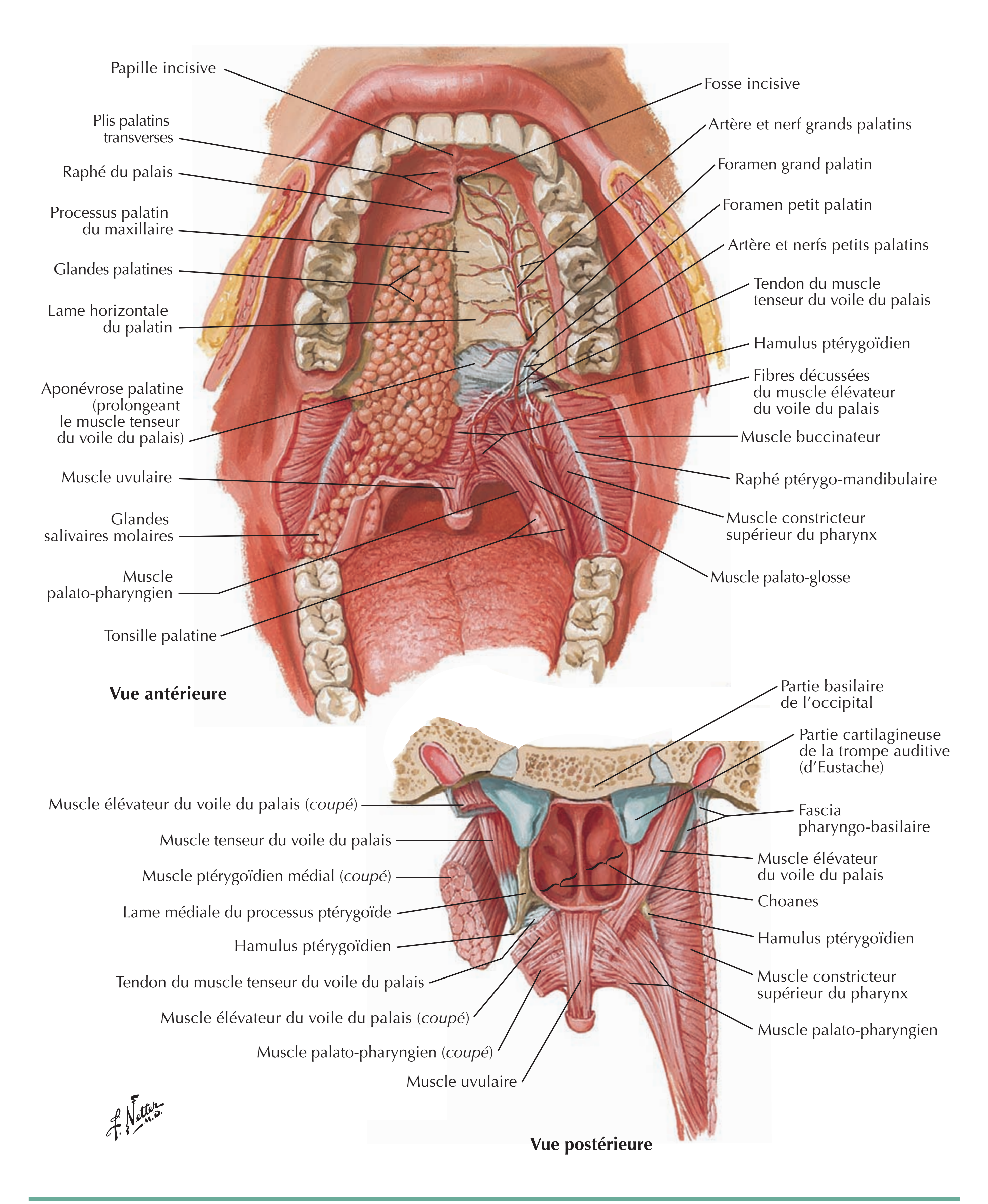
Examen de la cavité orale

Philtrum
Palais mou
Arc palato-pharyngien
Uvule
Arc palato-glosse
Tonsille palatine
Paroi postérieure du pharynx

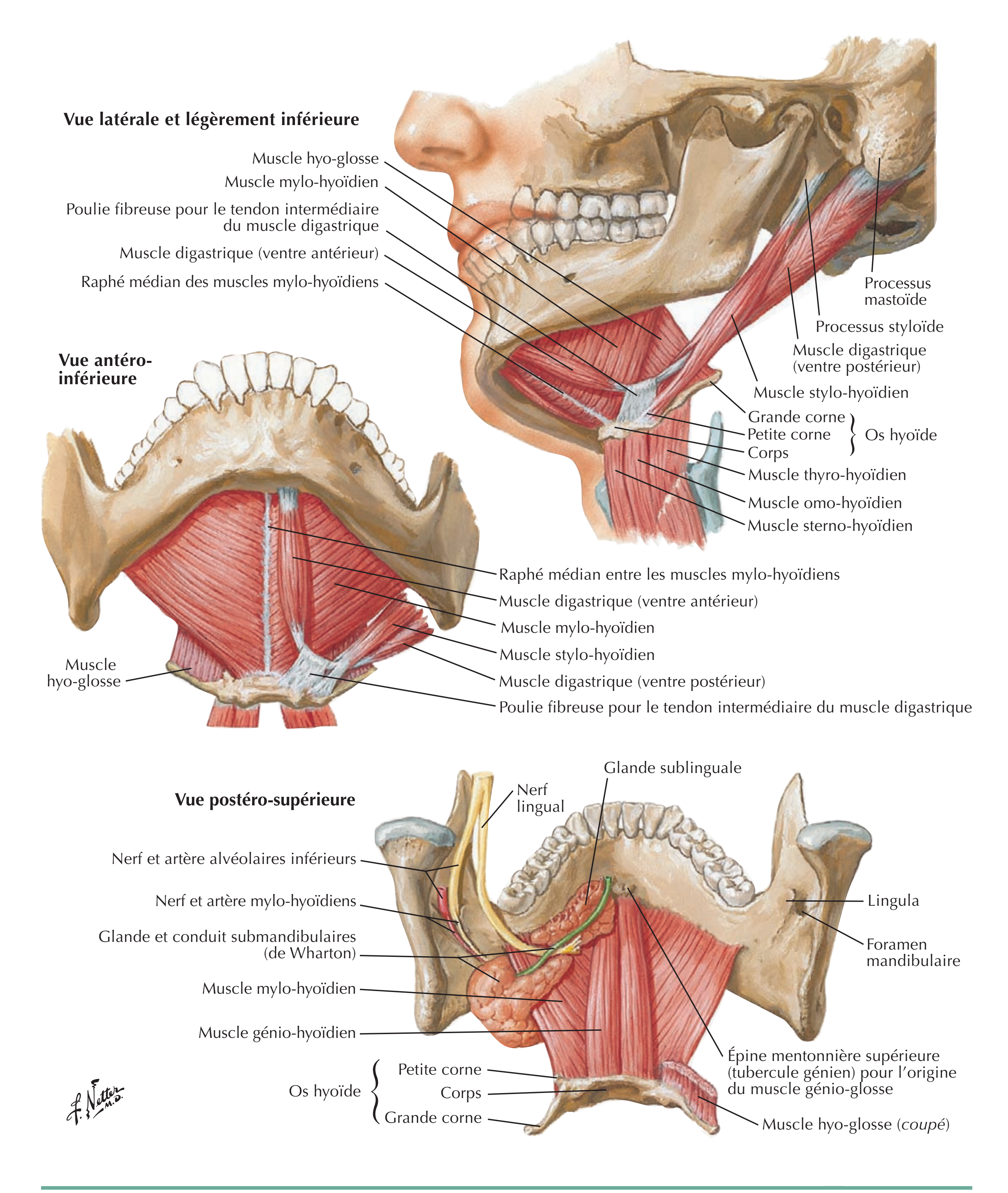
Frein de la lèvre supérieure
Glande salivaire linguale
Artère et veines linguales profondes et nerf lingual
Pli frangé
Conduit submandibulaire
Glande sublinguale
Frein de la langue
Pli sublingual avec les ouvertures des conduits sublinguaux
Caroncule sublinguale avec l'ouverture du conduit submandibulaire (de Wharton)
Frein de la lèvre inférieure

Papille parotidienne avec l'ouverture du conduit parotidien (de Sténon)

Voûte de la cavité orale

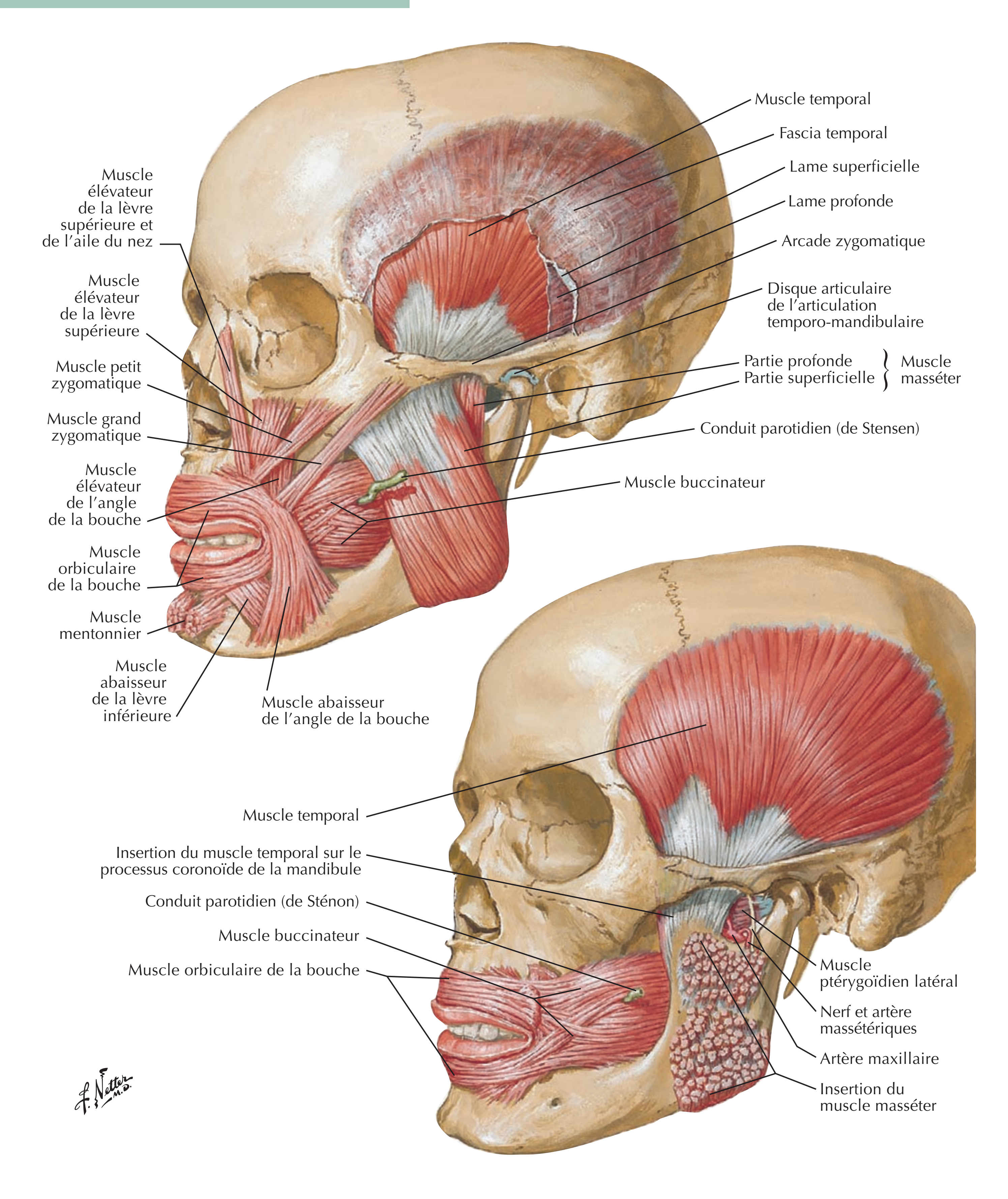


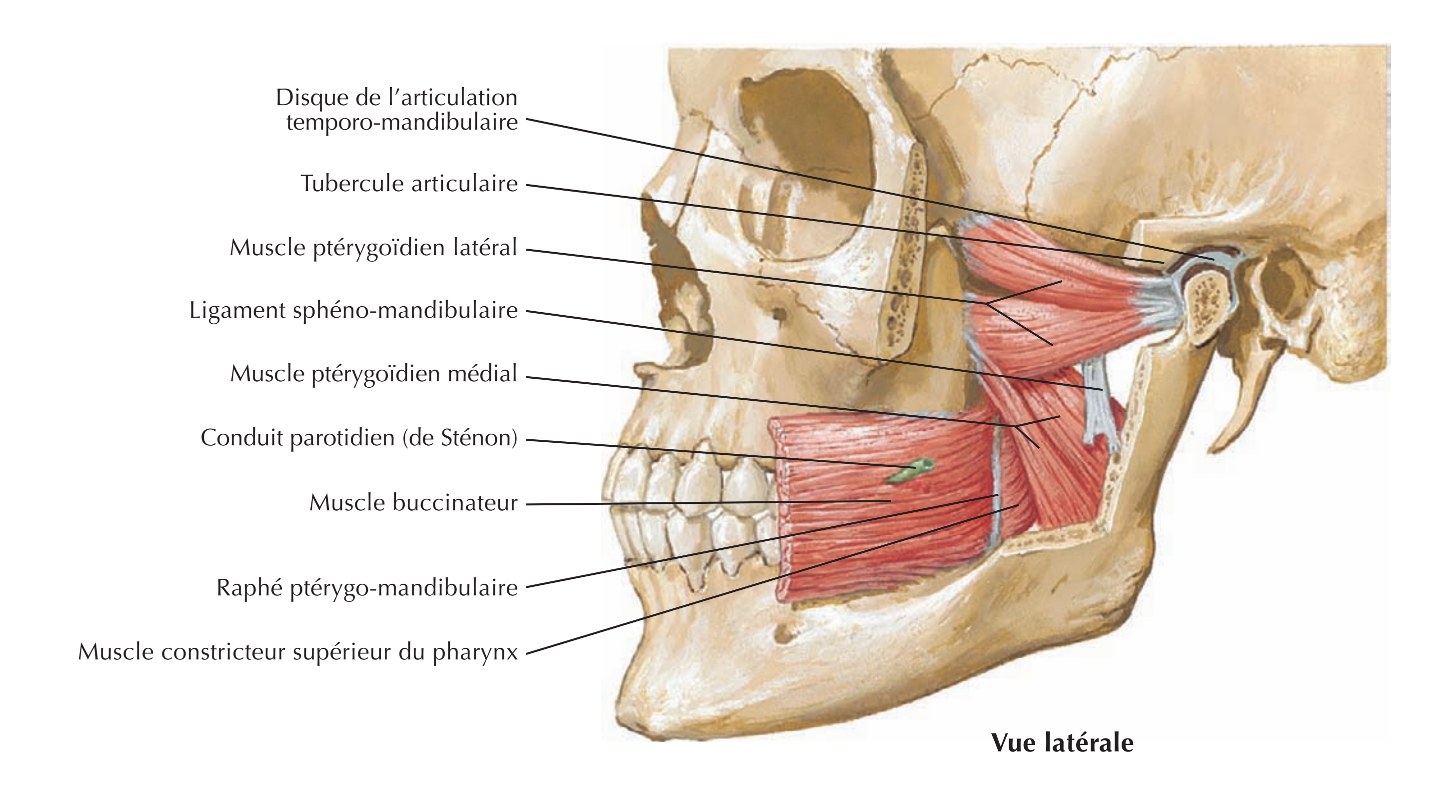
Voir aussi **Planches 28, 62**



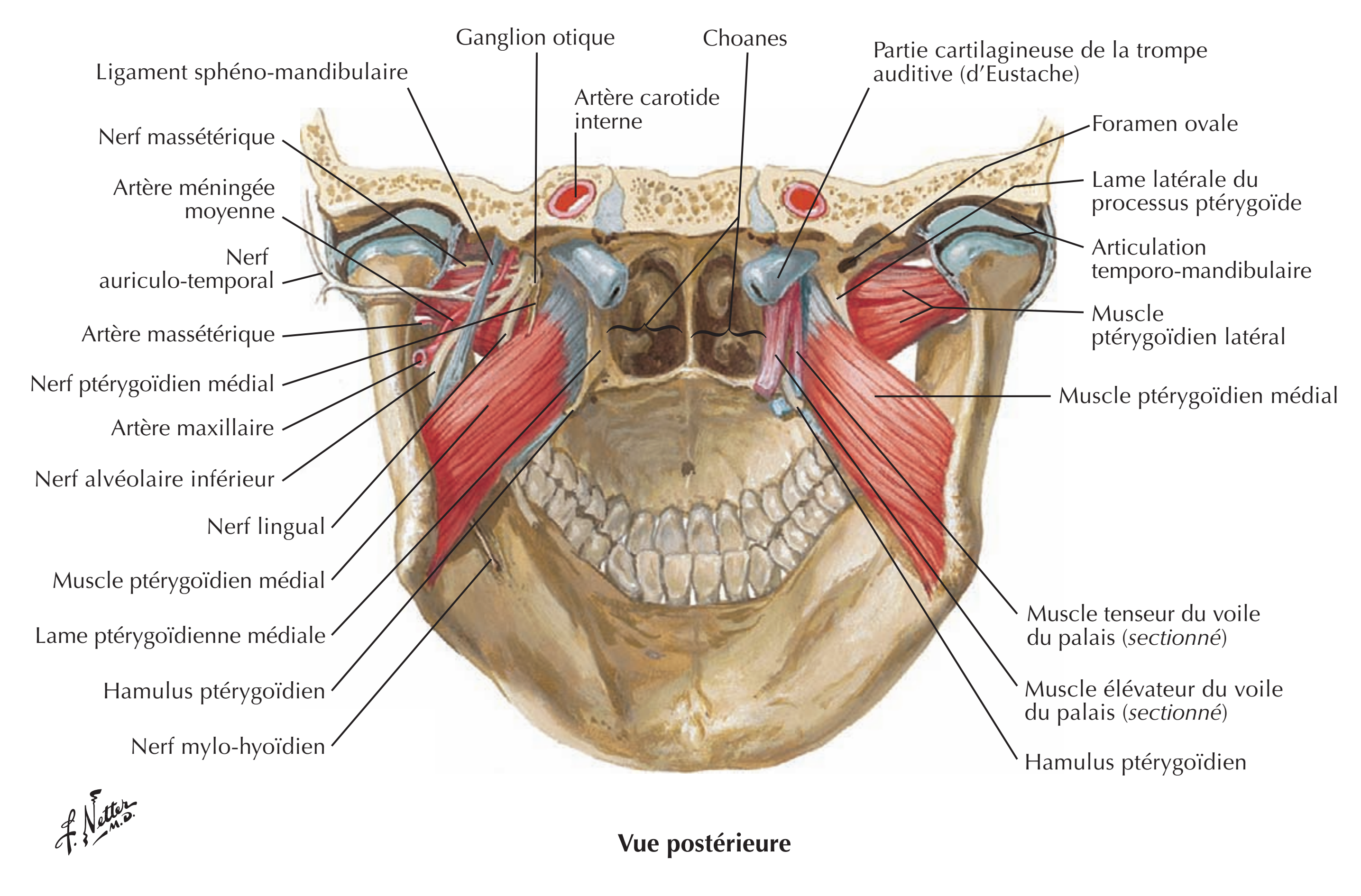
1 Muscles de la mastication

Pour les muscles de la face, voir **Planche 25**

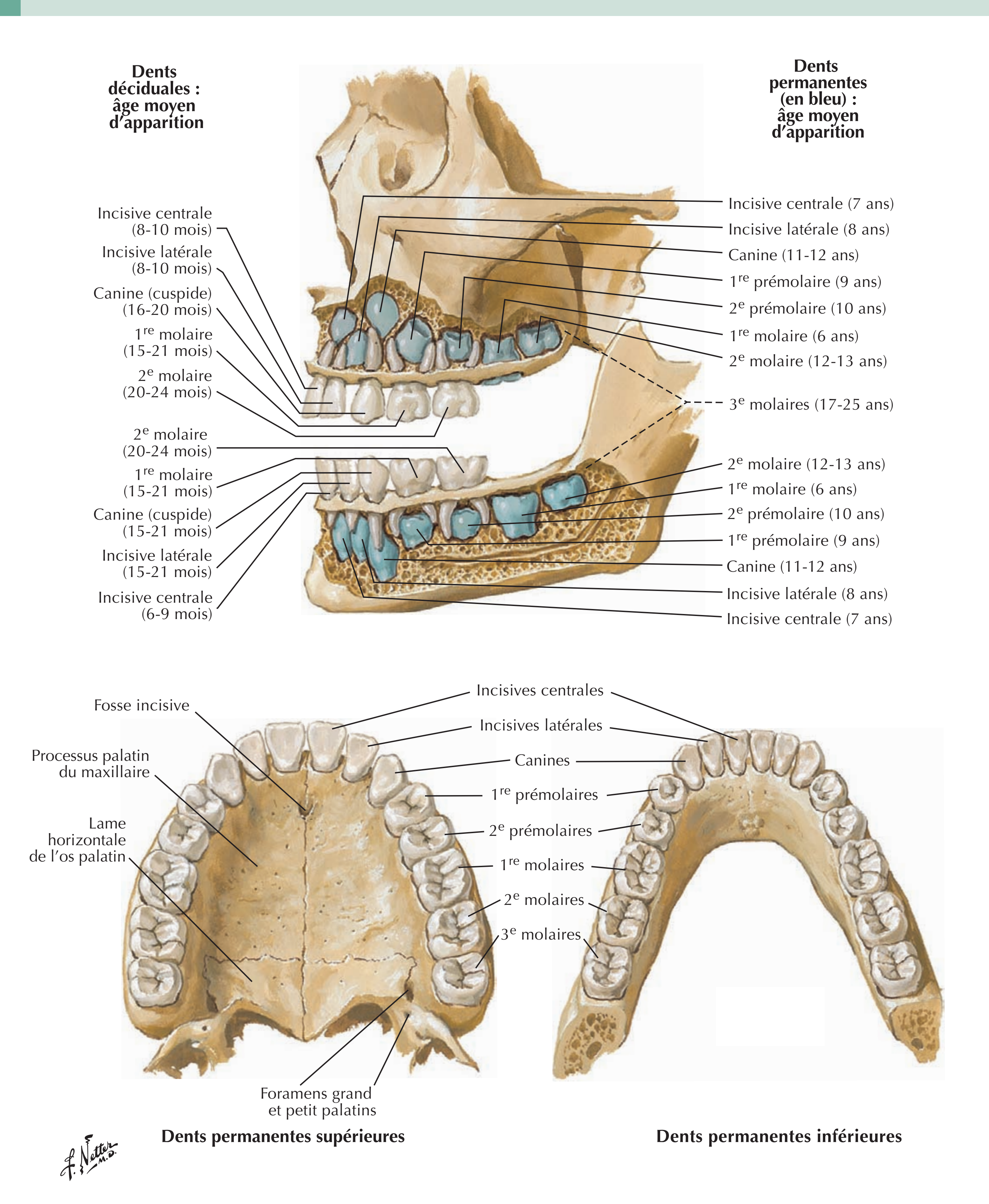


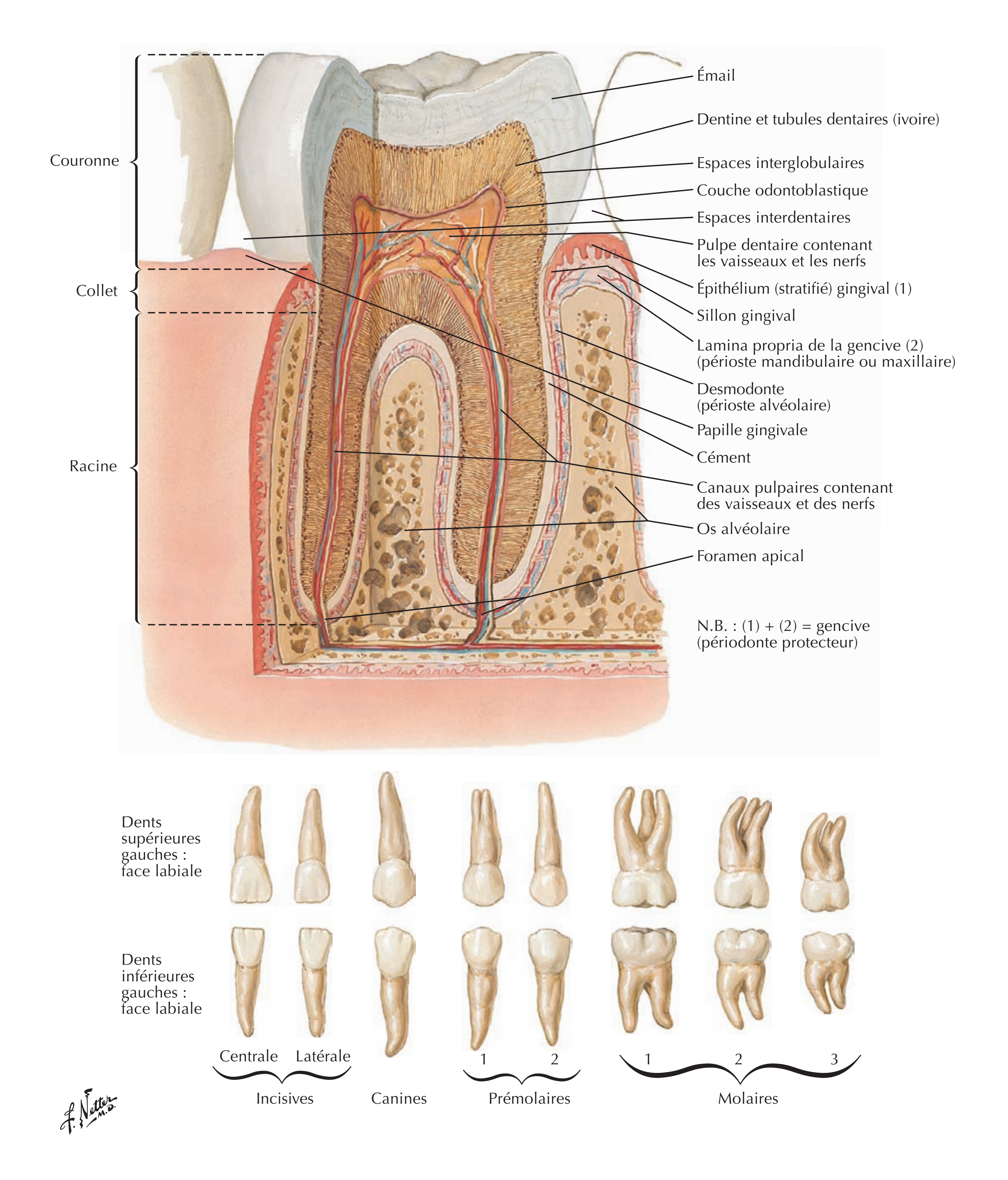


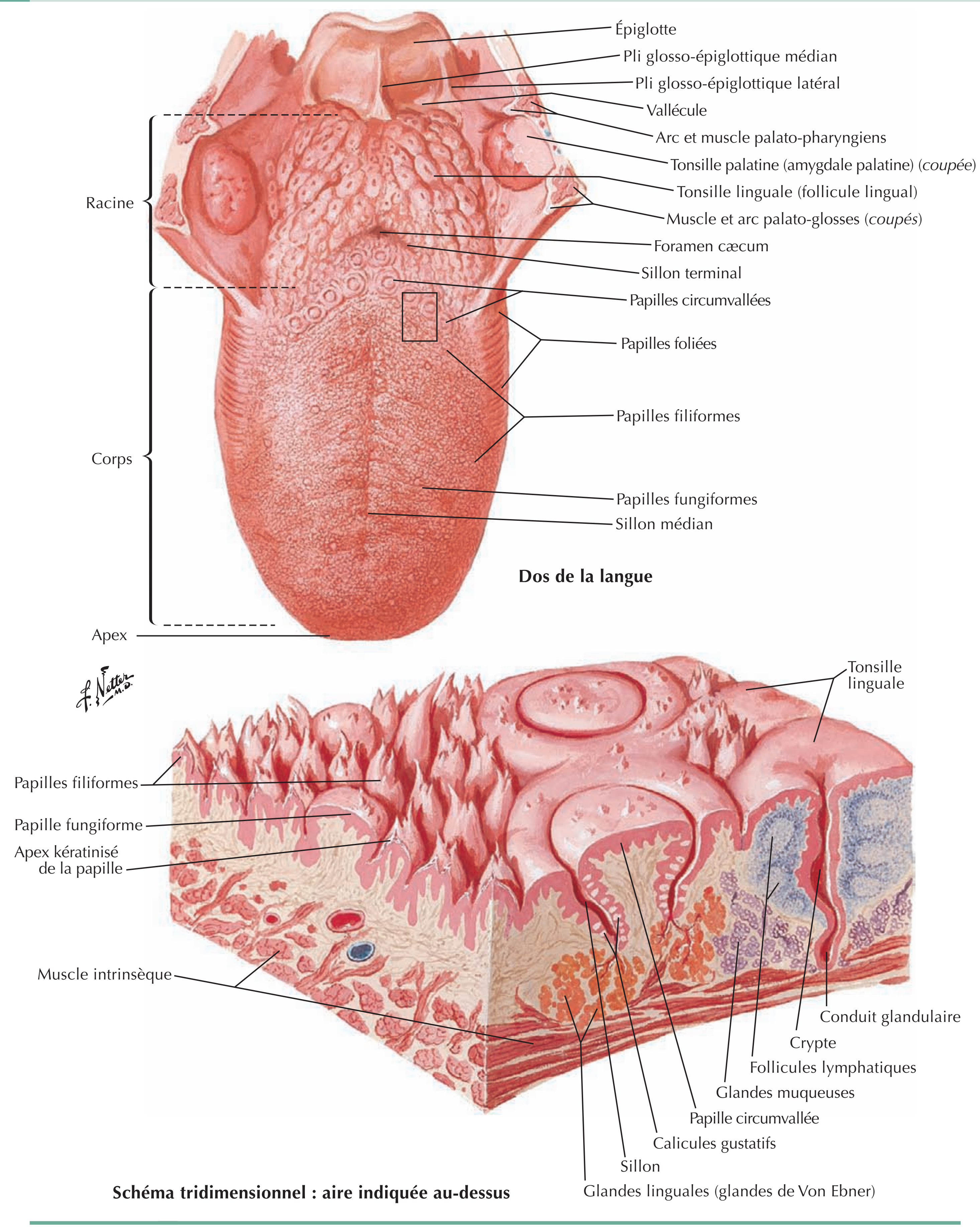
Vue latérale



Vue postérieure


Dents déciduales : âge moyen d'apparition
Dents permanentes (en bleu) : âge moyen d'apparition
Incisive centrale (8-10 mois)
Incisive latérale (8-10 mois)
Canine (cuspide) (16-20 mois)
1re molaire (15-21 mois)
2e molaire (20-24 mois)
2e molaire (20-24 mois)
1re molaire (15-21 mois)
Canine (cuspide) (15-21 mois)
Incisive latérale (15-21 mois)
Incisive centrale (6-9 mois)
Incisive centrale (7 ans)
Incisive latérale (8 ans)
Canine (11-12 ans)
1re prémolaire (9 ans)
2e prémolaire (10 ans)
1re molaire (6 ans)
2e molaire (12-13 ans)
3e molaires (17-25 ans)
2e molaire (12-13 ans)
1re molaire (6 ans)
2e prémolaire (10 ans)
1re prémolaire (9 ans)
Canine (11-12 ans)
Incisive latérale (8 ans)
Incisive centrale (7 ans)
Fosse incisive
Processus palatin du maxillaire
Lame horizontale de l'os palatin
Incisives centrales
Incisives latérales
Canines
1re prémolaires
2e prémolaires
1re molaires
2e molaires
3e molaires
Foramens grand et petit palatins
Dents permanentes supérieures
Dents permanentes inférieures
F. Netter M.D.

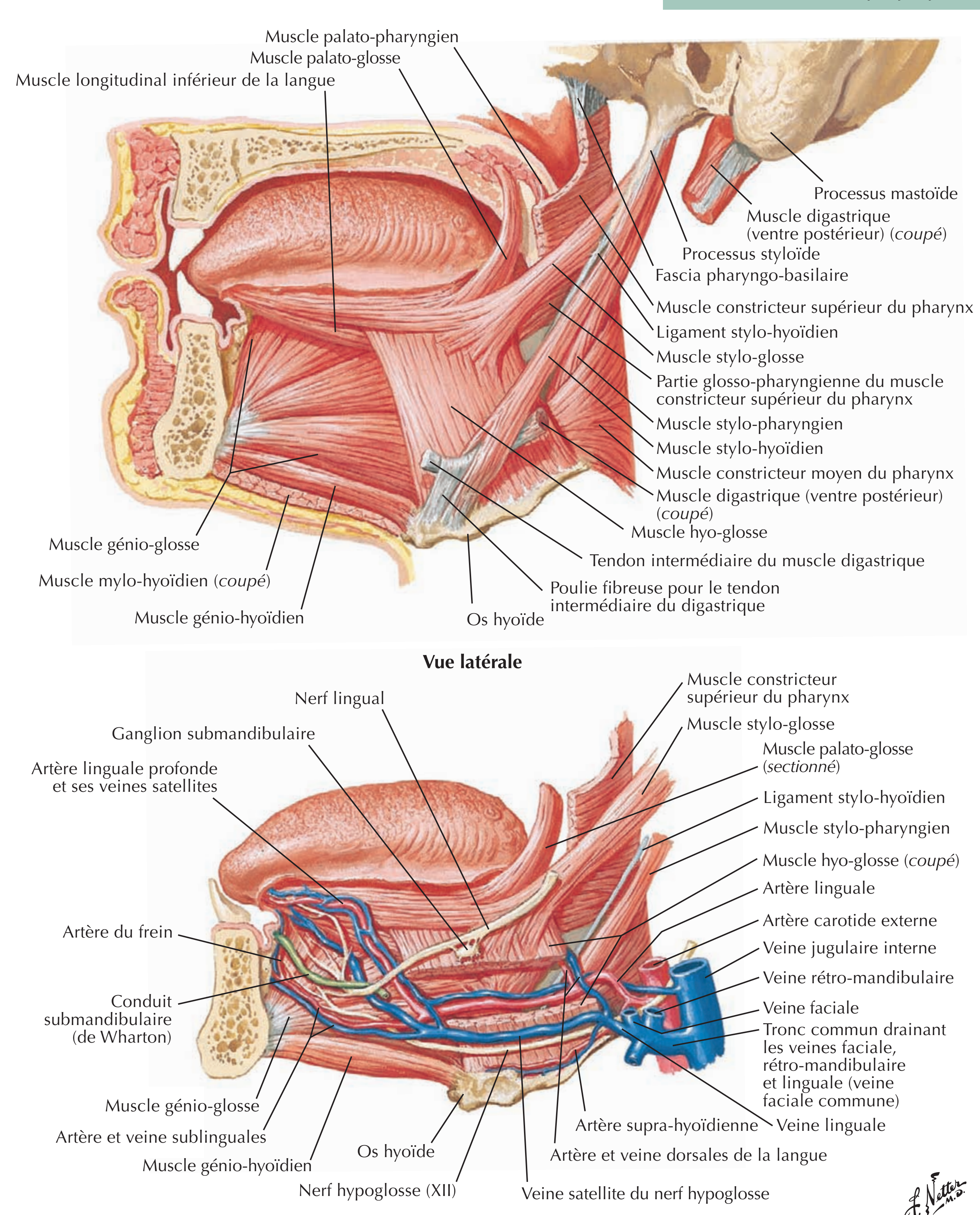

Émail
Dentine et tubules dentaires (ivoire)
Espaces interglobulaires
Couche odontoblastique
Espaces interdentaires
Pulpe dentaire contenant les vaisseaux et les nerfs
Épithélium (stratifié) gingival (1)
Sillon gingival
Lamina propria de la gencive (2) (périoste mandibulaire ou maxillaire)
Desmodonte (périoste alvéolaire)
Papille gingivale
Cément
Canaux pulpaires contenant des vaisseaux et des nerfs
Os alvéolaire
Foramen apical
N.B. : (1) + (2) = gencive (périodonte protecteur)
Couronne
Collet
Racine
Dents supérieures gauches : face labiale
Dents inférieures gauches : face labiale
Centrale
Latérale
Incisives
Canines
1
2
Prémolaires
1
2
3
Molaires



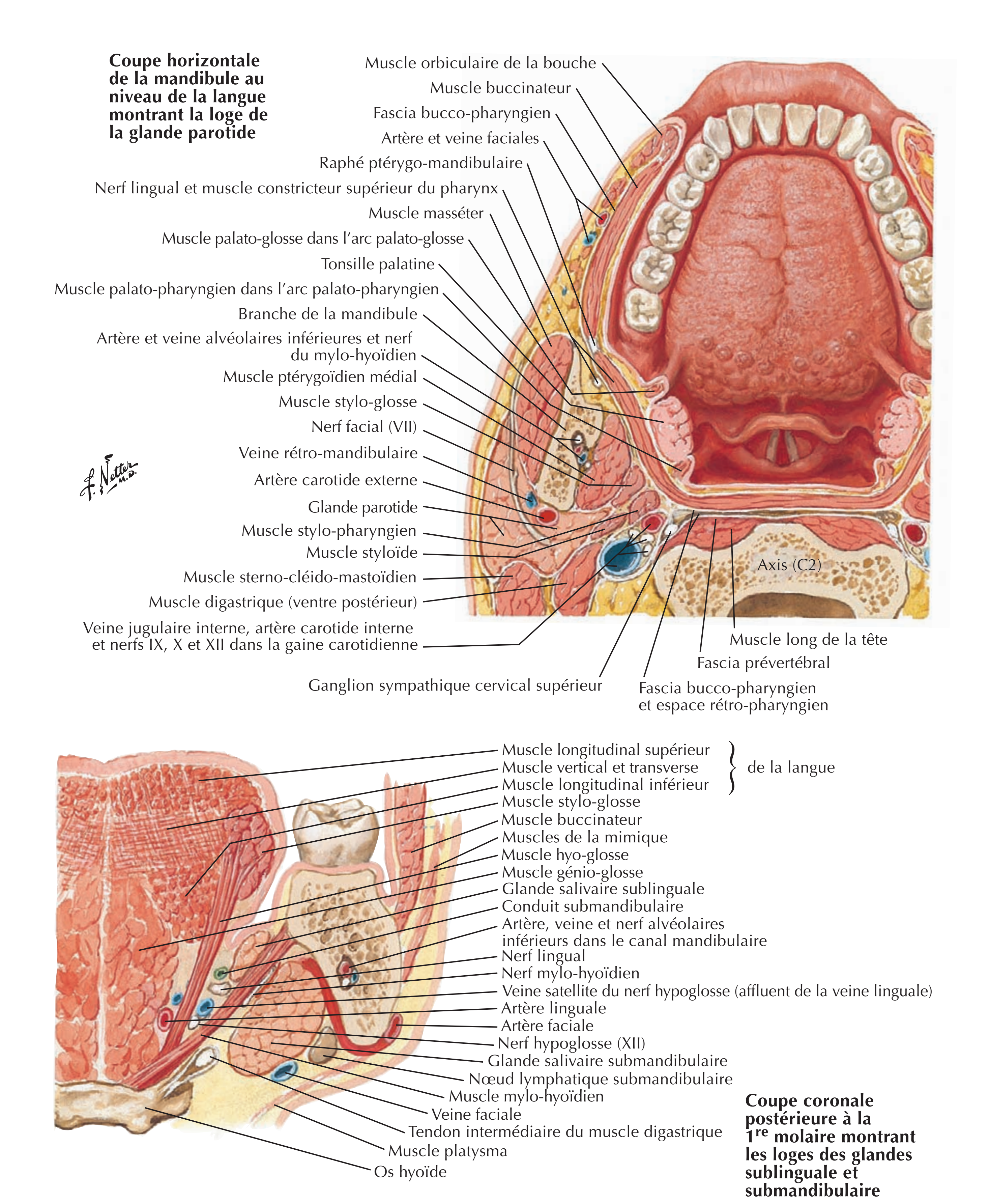
Dos de la langue

Schéma tridimensionnel : aire indiquée au-dessus

Voir aussi **Planches 33, 53, 62, 127**

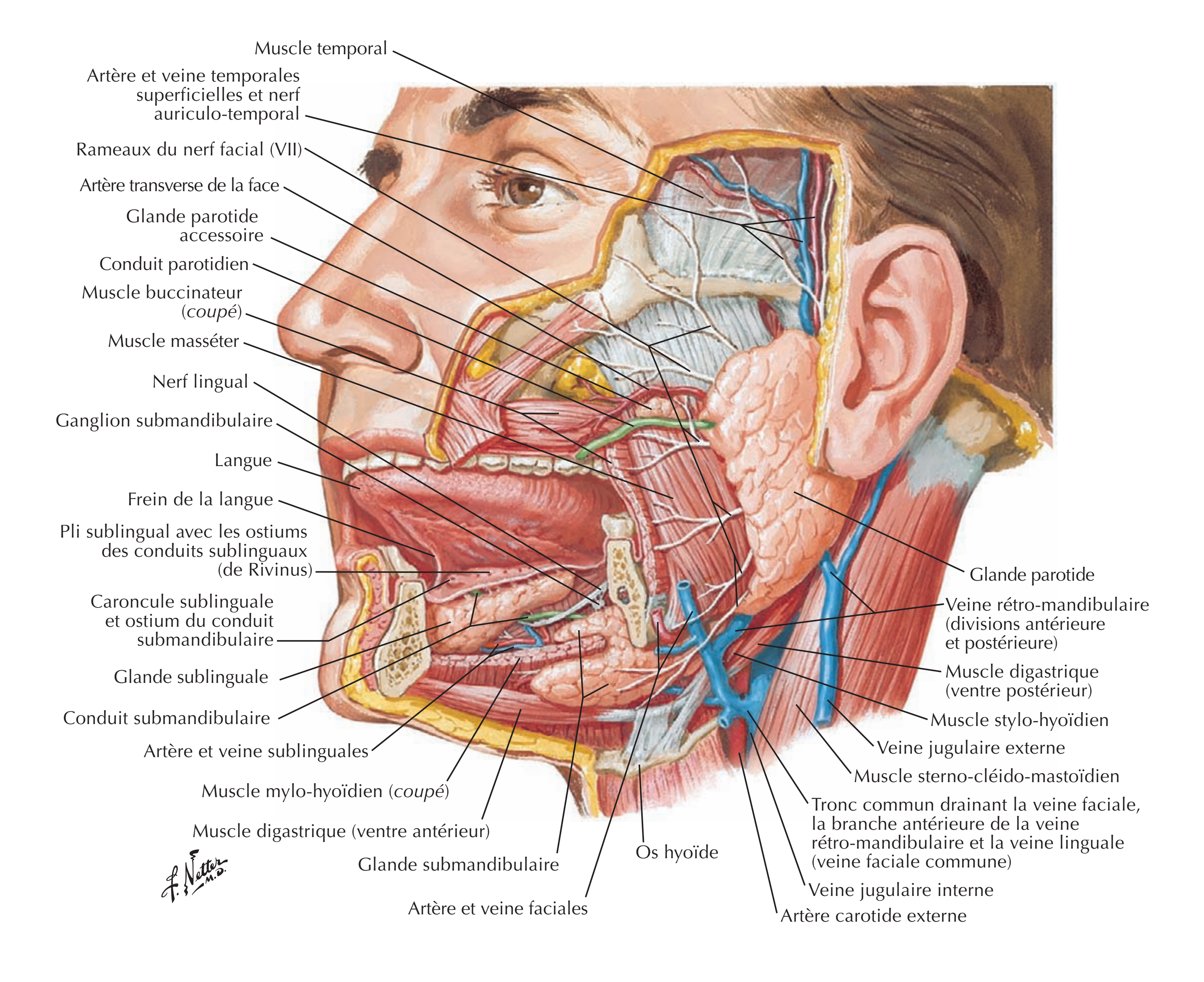


1 Langue et glandes salivaires : coupes



Coupe coronale postérieure à la 1re molaire montrant les loges des glandes sublinguale et submandibulaire

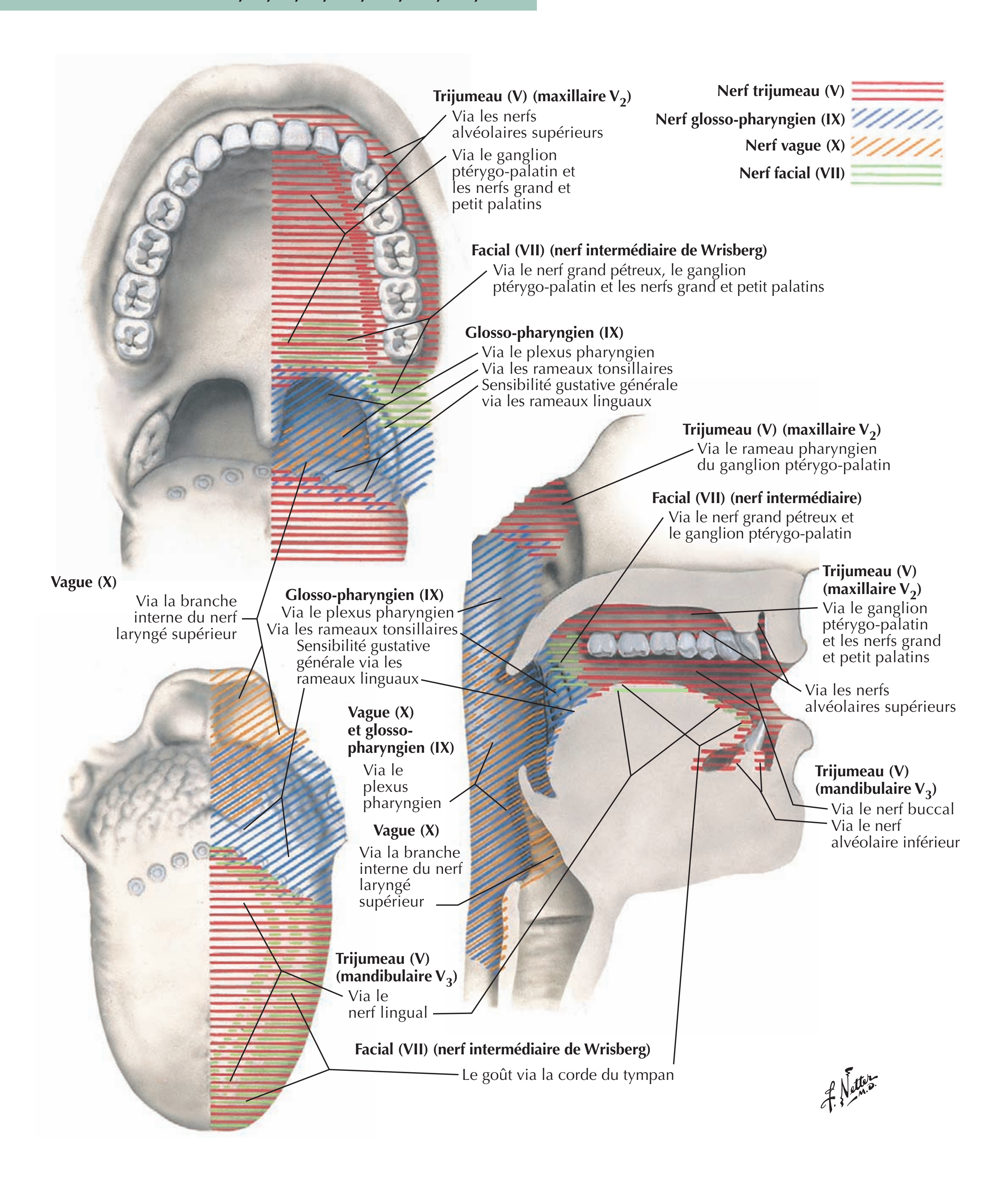
Voir aussi **Planches 24, 53, 132, 133**

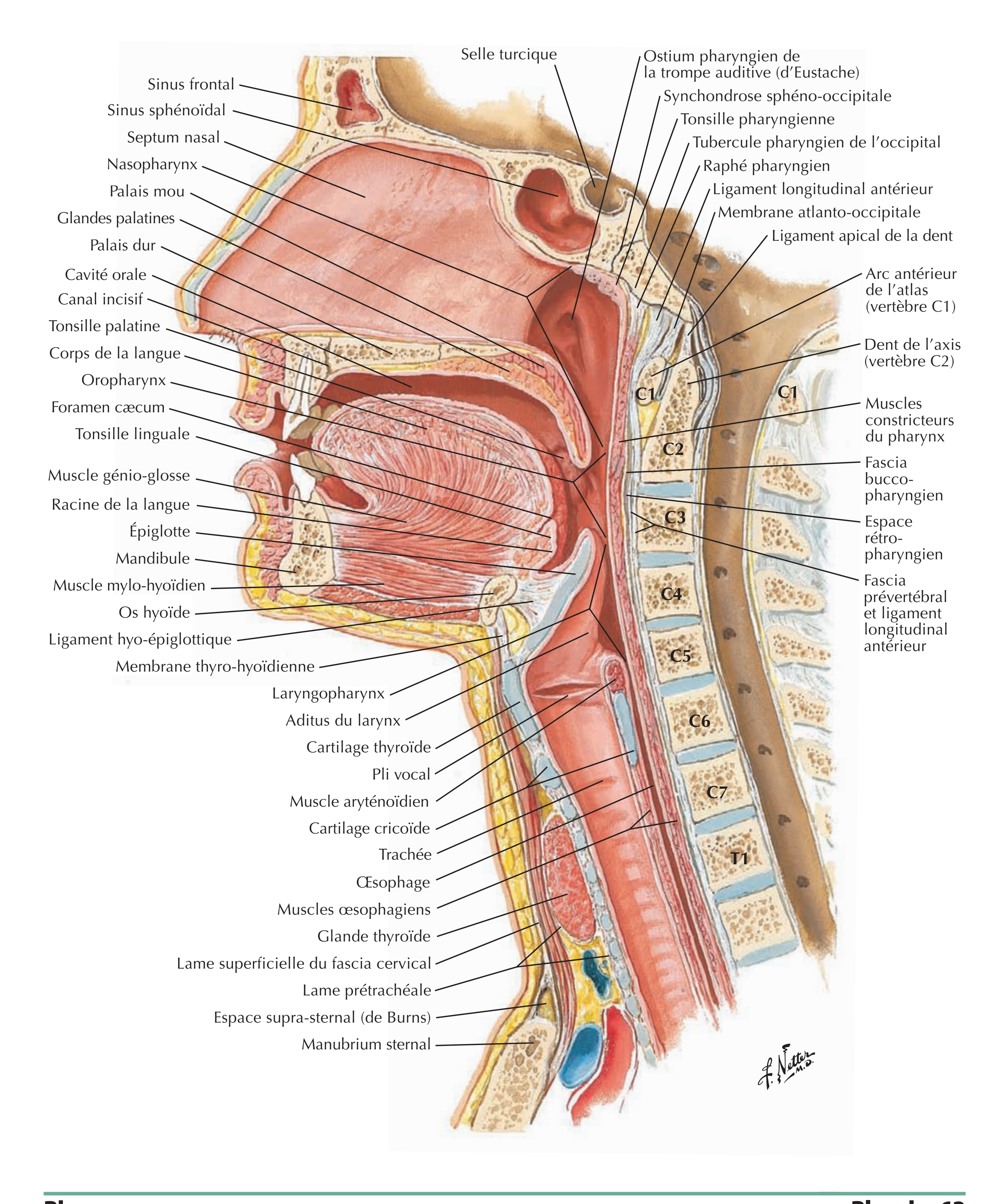


1

Innervation afférente de la cavité orale et du pharynx

Voir aussi **Planches 44, 52, 59, 64, 121, 122, 124, 132, 134**

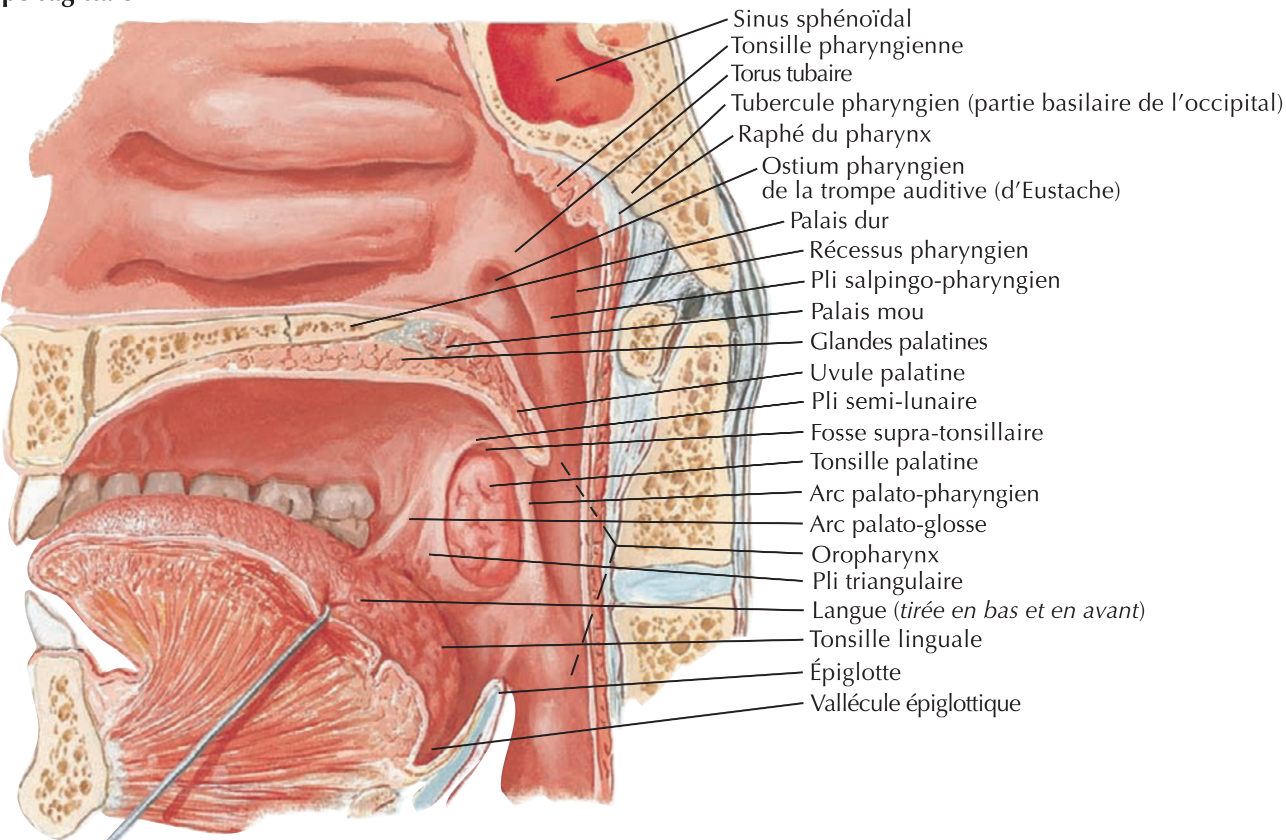




Selle turcique
Sinus frontal
Sinus sphénoïdal
Septum nasal
Nasopharynx
Palais mou
Glandes palatines
Palais dur
Cavité orale
Canal incisif
Tonsille palatine
Corps de la langue
Oropharynx
Foramen cæcum
Tonsille linguale
Muscle génio-glosse
Racine de la langue
Épiglotte
Mandibule
Muscle mylo-hyoïdien
Os hyoïde
Ligament hyo-épiglottique
Membrane thyro-hyoïdienne
Laryngopharynx
Aditus du larynx
Cartilage thyroïde
Pli vocal
Muscle aryténoïdien
Cartilage cricoïde
Trachée
Œsophage
Muscles œsophagiens
Glande thyroïde
Lame superficielle du fascia cervical
Lame prétrachéale
Espace supra-sternal (de Burns)
Manubrium sternal
Ostium pharyngien de la trompe auditive (d'Eustache)
Synchondrose sphéno-occipitale
Tonsille pharyngienne
Tubercule pharyngien de l'occipital
Raphé pharyngien
Ligament longitudinal antérieur
Membrane atlanto-occipitale
Ligament apical de la dent
Arc antérieur de l'atlas (vertèbre C1)
Dent de l'axis (vertèbre C2)
Muscles constricteurs du pharynx
Fascia bucco-pharyngien
Espace rétro-pharyngien
Fascia prévertébral et ligament longitudinal antérieur
C1
C1
C2
C3
C4
C5
C6
C7
T1
F. Netter M.D.

1 Gosier

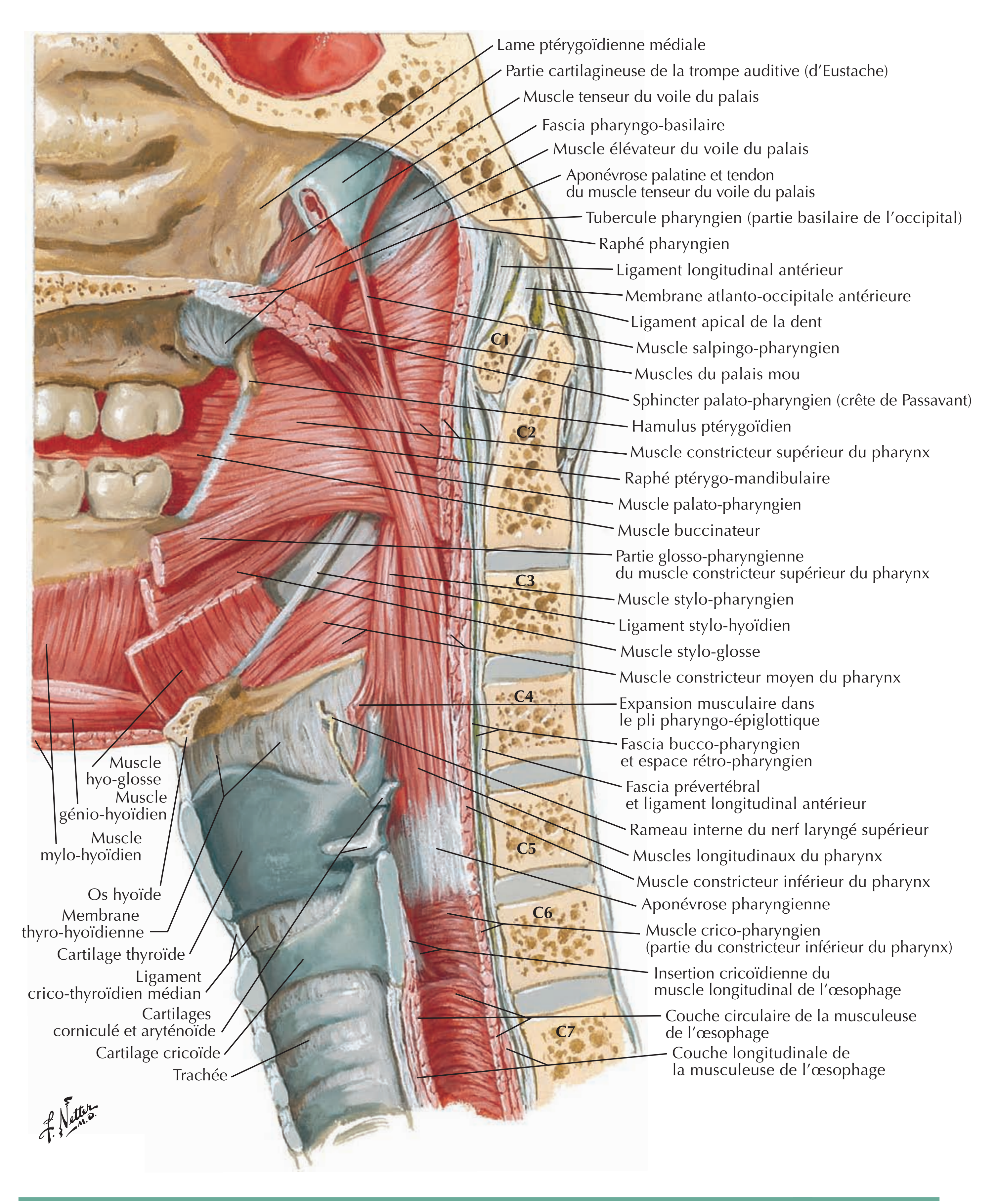
Vue médiale
Coupe sagittale



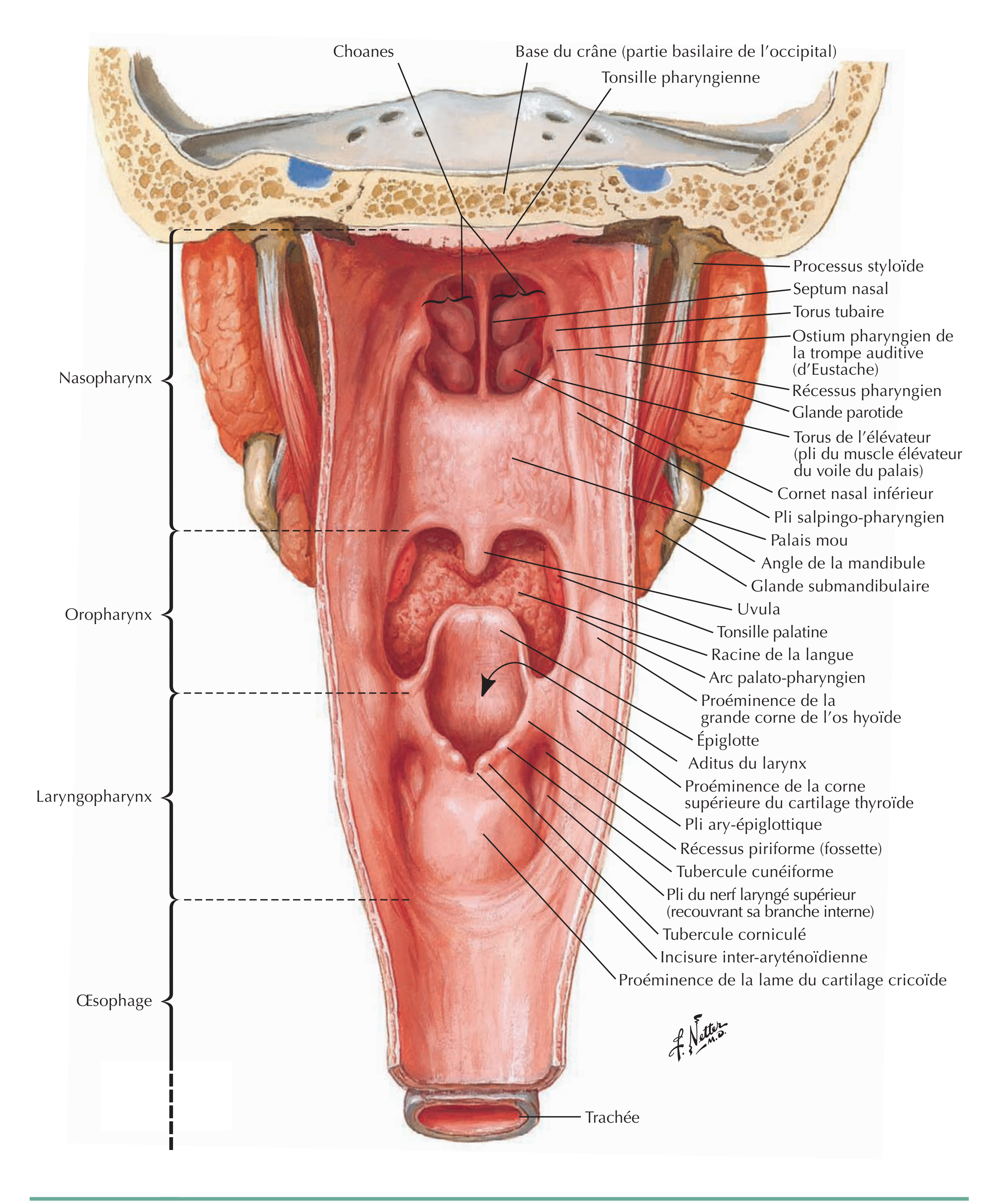
Après ablation de la muqueuse pharyngienne

Tonsille pharyngienne
Partie cartilagineuse de la trompe auditive (d'Eustache)
Lame ptérygoïdienne médiale
Muscle tenseur du voile du palais et son tendon
Muscle élévateur du voile du palais
Artère palatine ascendante
Rameau pharyngien de l'artère pharyngienne ascendante
Artère petite palatine
Muscle salpingo-pharyngien
Hamulus ptérygoïdien
Raphé ptérygo-mandibulaire
Rameau tonsillaire de l'artère petite palatine
Muscle constricteur supérieur du pharynx
Rameau tonsillaire de l'artère pharyngienne ascendante
Muscle palato-glosse
Muscle palato-pharyngien
Rameau tonsillaire de l'artère palatine ascendante
Rameau tonsillaire de l'artère faciale
Rameau tonsillaire de l'artère dorsale de la langue
Nerf glosso-pharyngien (IX) et rameau tonsillaire
Ligament stylo-hyoïdien
Muscle hyo-glosse
Muscle constricteur moyen du pharynx
Muscle stylo-pharyngien

F. Netter M.D.

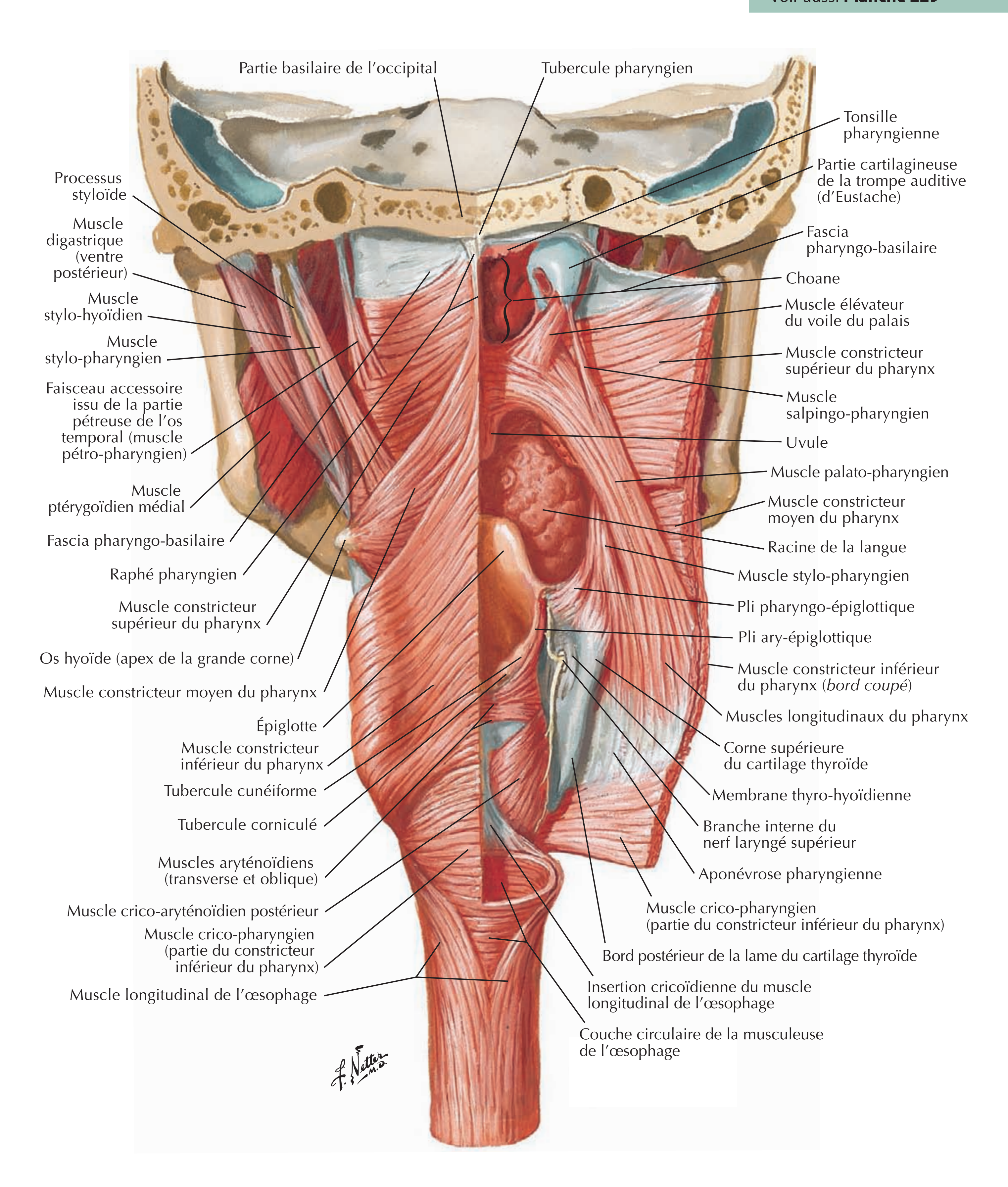

Lame ptérygoïdienne médiale
Partie cartilagineuse de la trompe auditive (d'Eustache)
Muscle tenseur du voile du palais
Fascia pharyngo-basilaire
Muscle élévateur du voile du palais
Aponévrose palatine et tendon du muscle tenseur du voile du palais
Tubercule pharyngien (partie basilaire de l'occipital)
Raphé pharyngien
Ligament longitudinal antérieur
Membrane atlanto-occipitale antérieure
Ligament apical de la dent
Muscle salpingo-pharyngien
Muscles du palais mou
Sphincter palato-pharyngien (crête de Passavant)
Hamulus ptérygoïdien
Muscle constricteur supérieur du pharynx
Raphé ptérygo-mandibulaire
Muscle palato-pharyngien
Muscle buccinateur
Partie glosso-pharyngienne du muscle constricteur supérieur du pharynx
Muscle stylo-pharyngien
Ligament stylo-hyoïdien
Muscle stylo-glosse
Muscle constricteur moyen du pharynx
Expansion musculaire dans le pli pharyngo-épiglottique
Fascia bucco-pharyngien et espace rétro-pharyngien
Fascia prévertébral et ligament longitudinal antérieur
Rameau interne du nerf laryngé supérieur
Muscles longitudinaux du pharynx
Muscle constricteur inférieur du pharynx
Aponévrose pharyngienne
Muscle crico-pharyngien (partie du constricteur inférieur du pharynx)
Insertion cricoïdienne du muscle longitudinal de l'œsophage
Couche circulaire de la musculeuse de l'œsophage
Couche longitudinale de la musculeuse de l'œsophage
C1
C2
C3
C4
C5
C6
C7
Muscle hyo-glosse
Muscle génio-hyoïdien
Muscle mylo-hyoïdien
Os hyoïde
Membrane thyro-hyoïdienne
Cartilage thyroïde
Ligament crico-thyroïdien médian
Cartilages corniculé et aryténoïde
Cartilage cricoïde
Trachée
F. Netter M.D.

Pharynx ouvert : vue postérieure

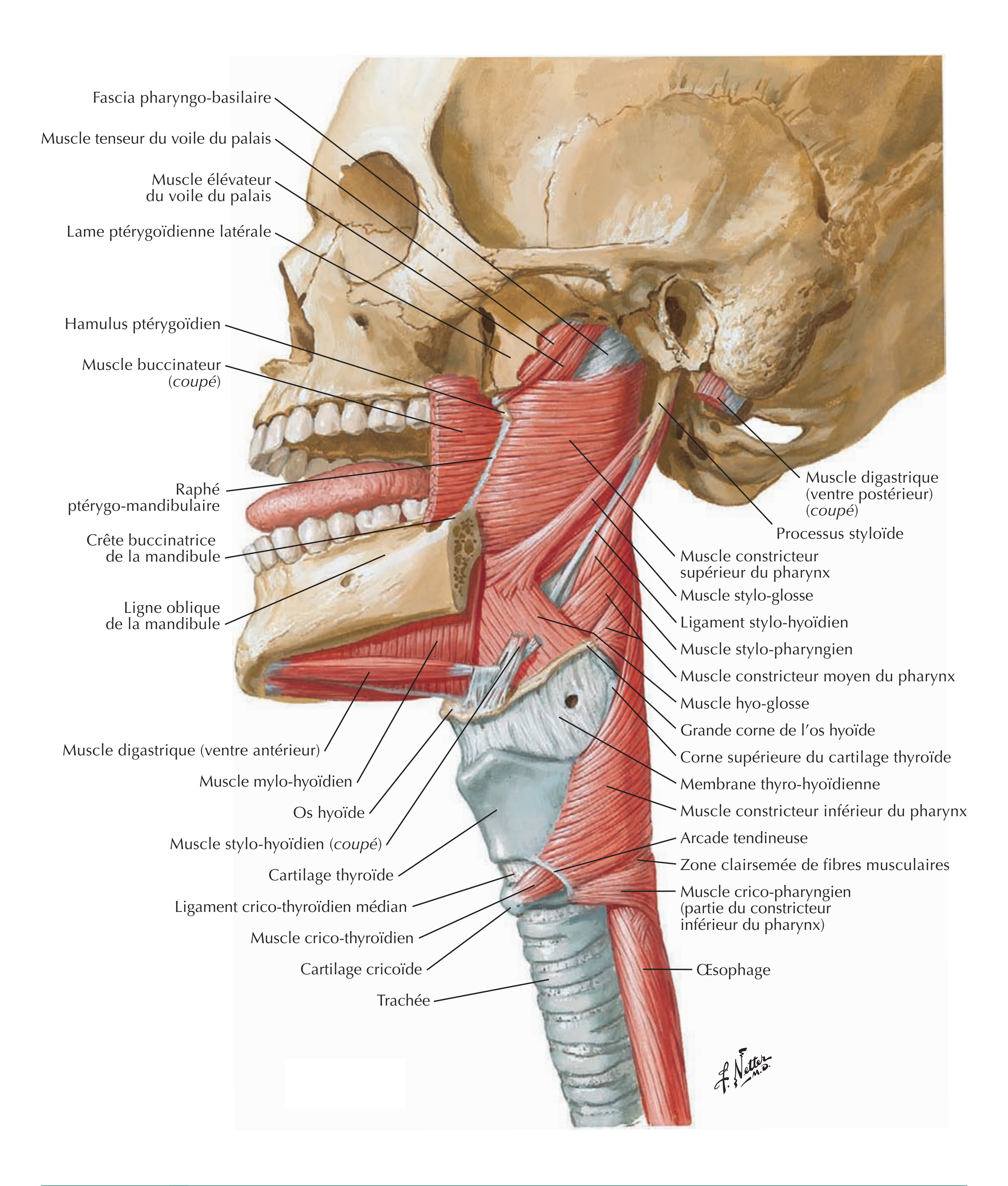


Muscles du pharynx ouvert partiellement : vue postérieure

Voir aussi **Planche 229**

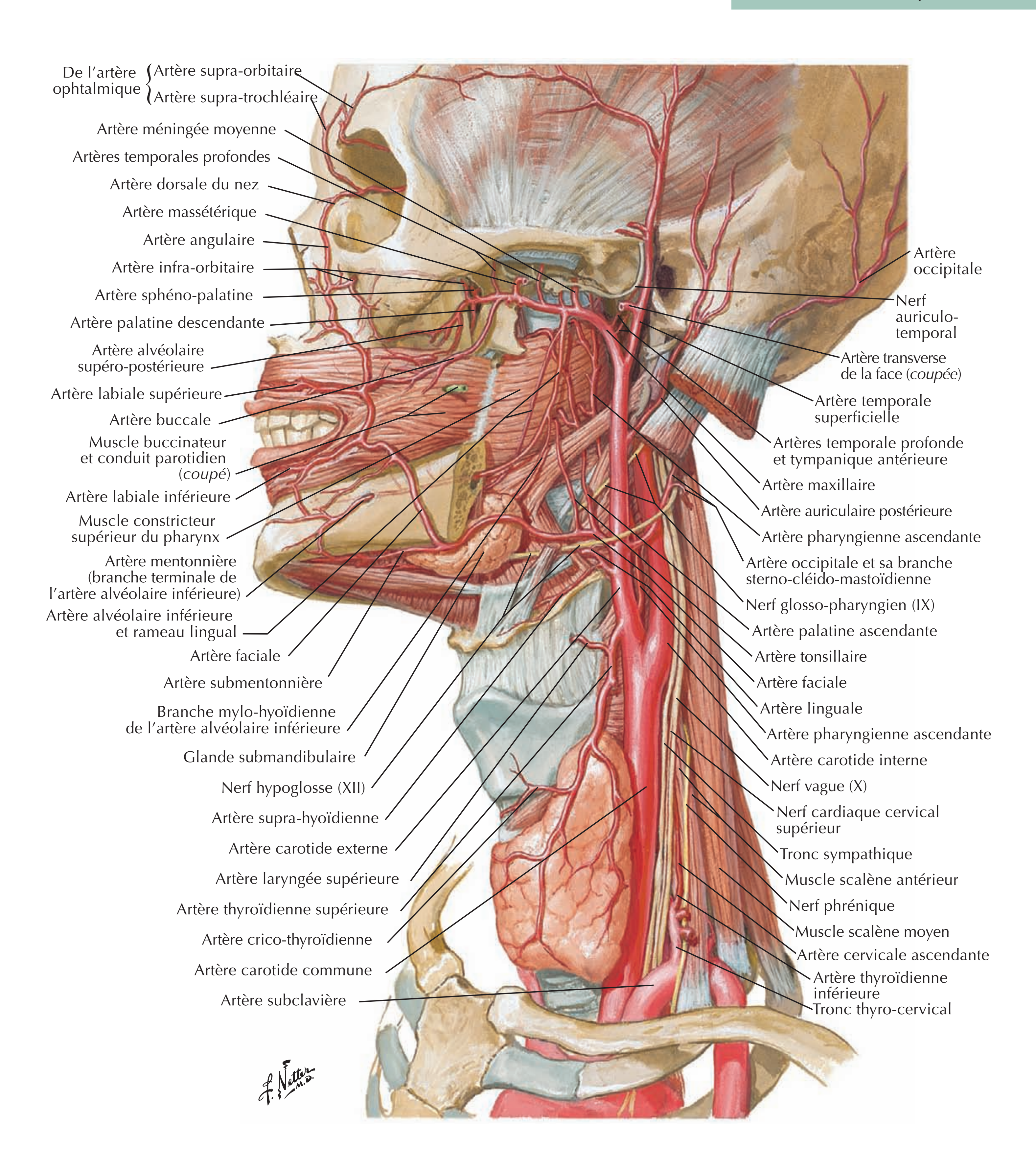


Muscles du pharynx : vue latérale



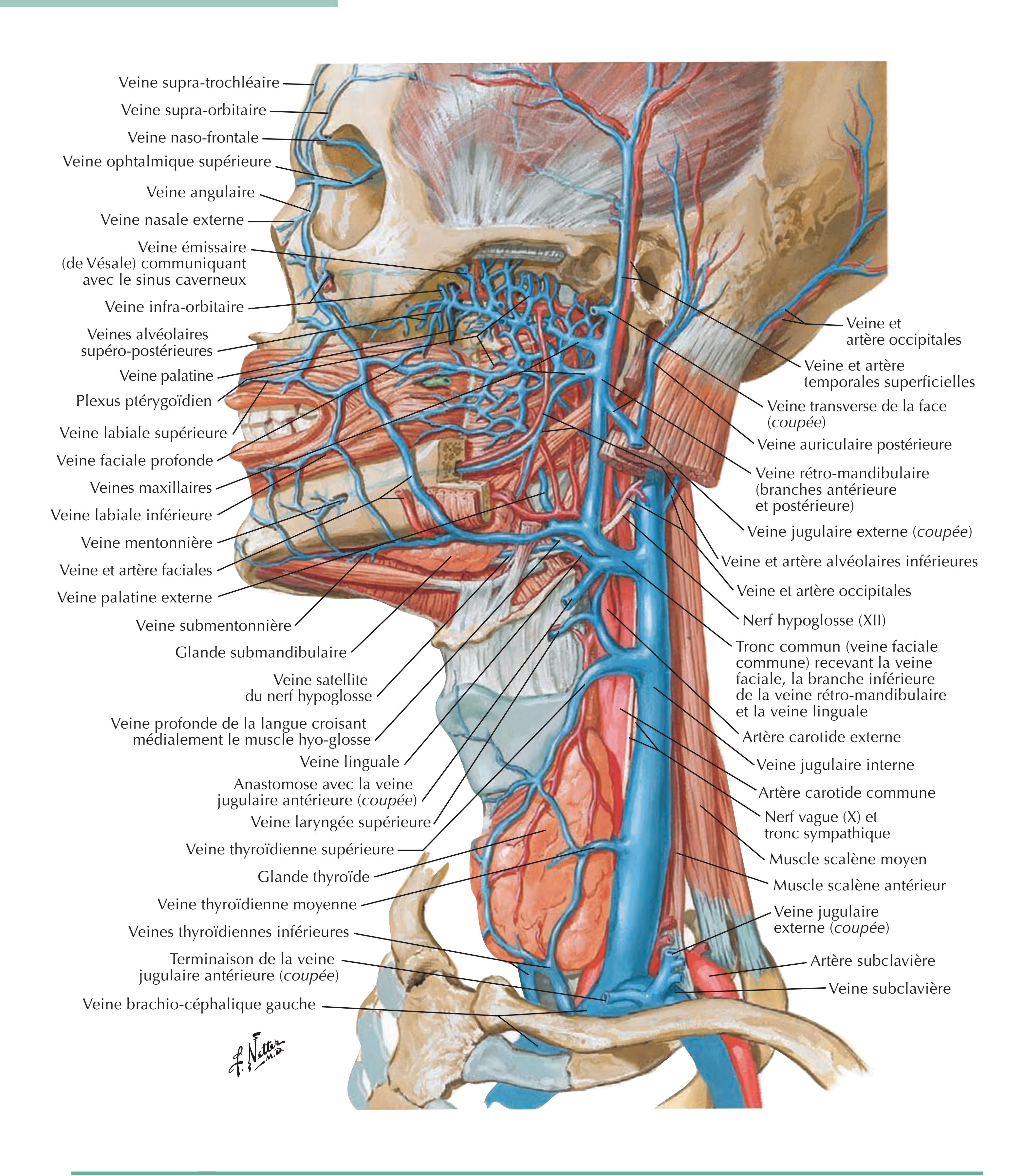
Artères des régions orale et pharyngienne

Voir aussi **Planches 33, 39**



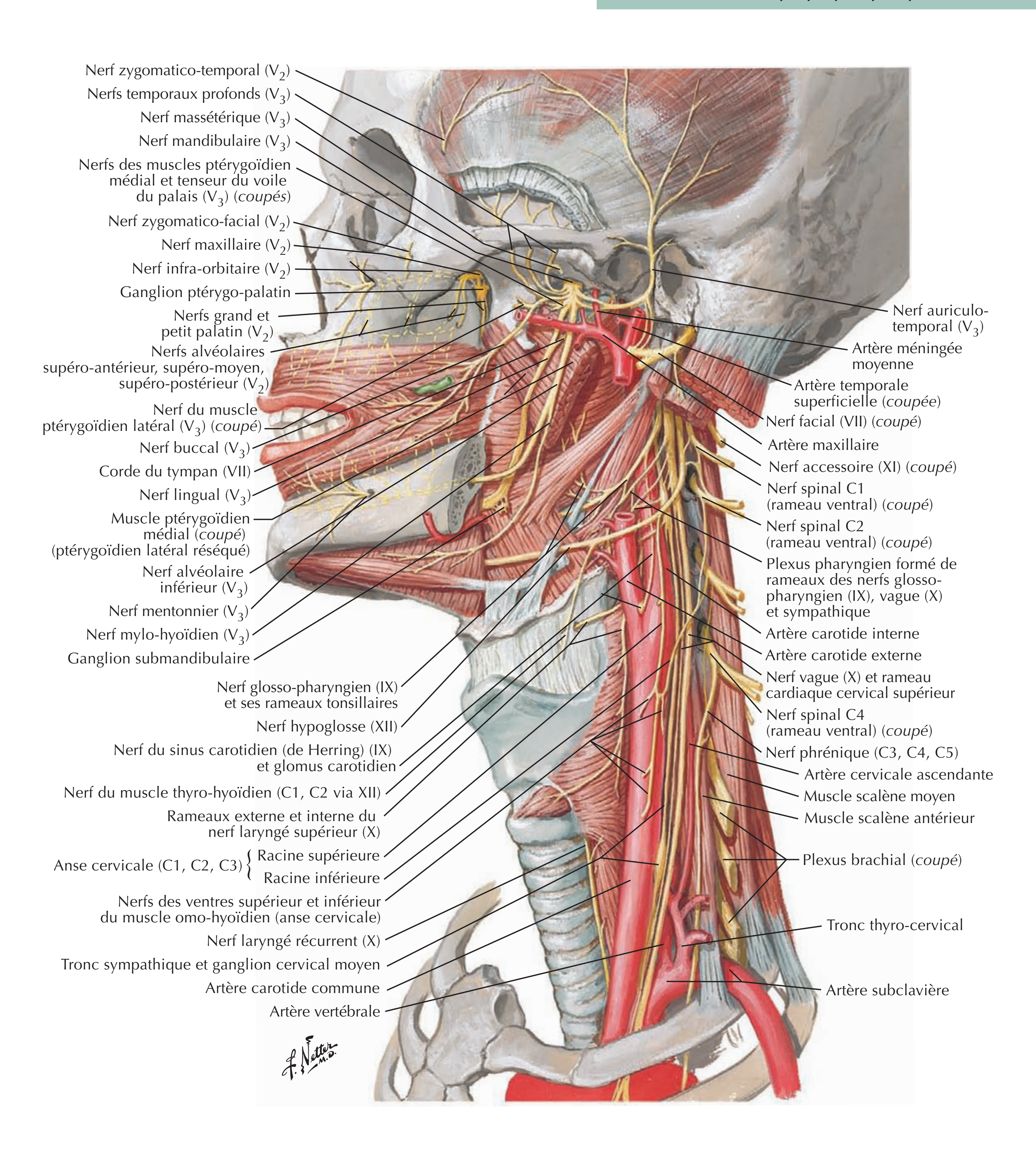
Veines des régions orale et pharyngienne

Voir aussi **Planches 3, 30, 103**



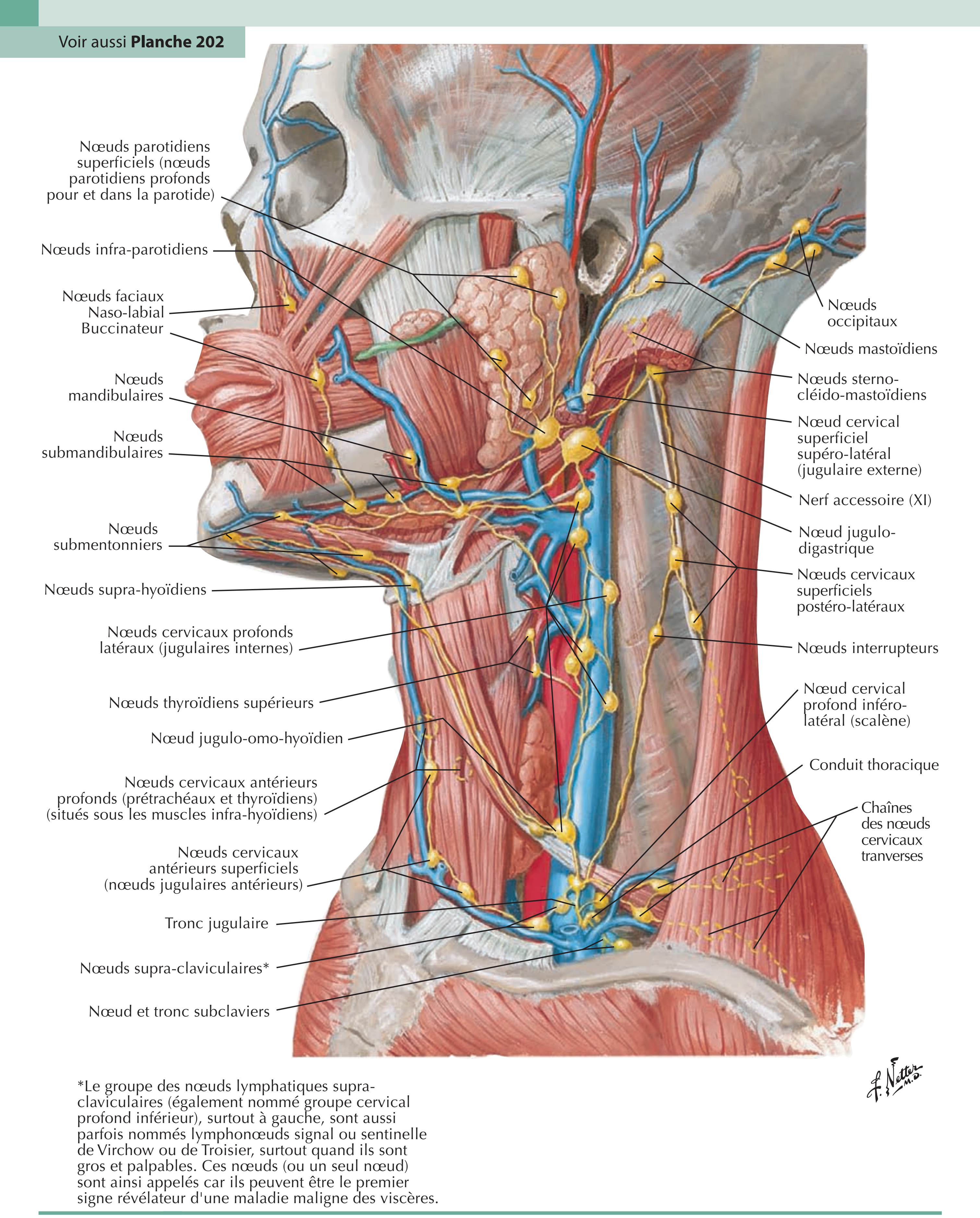
Nerfs des régions orale et pharyngienne

Voir aussi **Planches 24, 44, 45, 121, 124, 125**

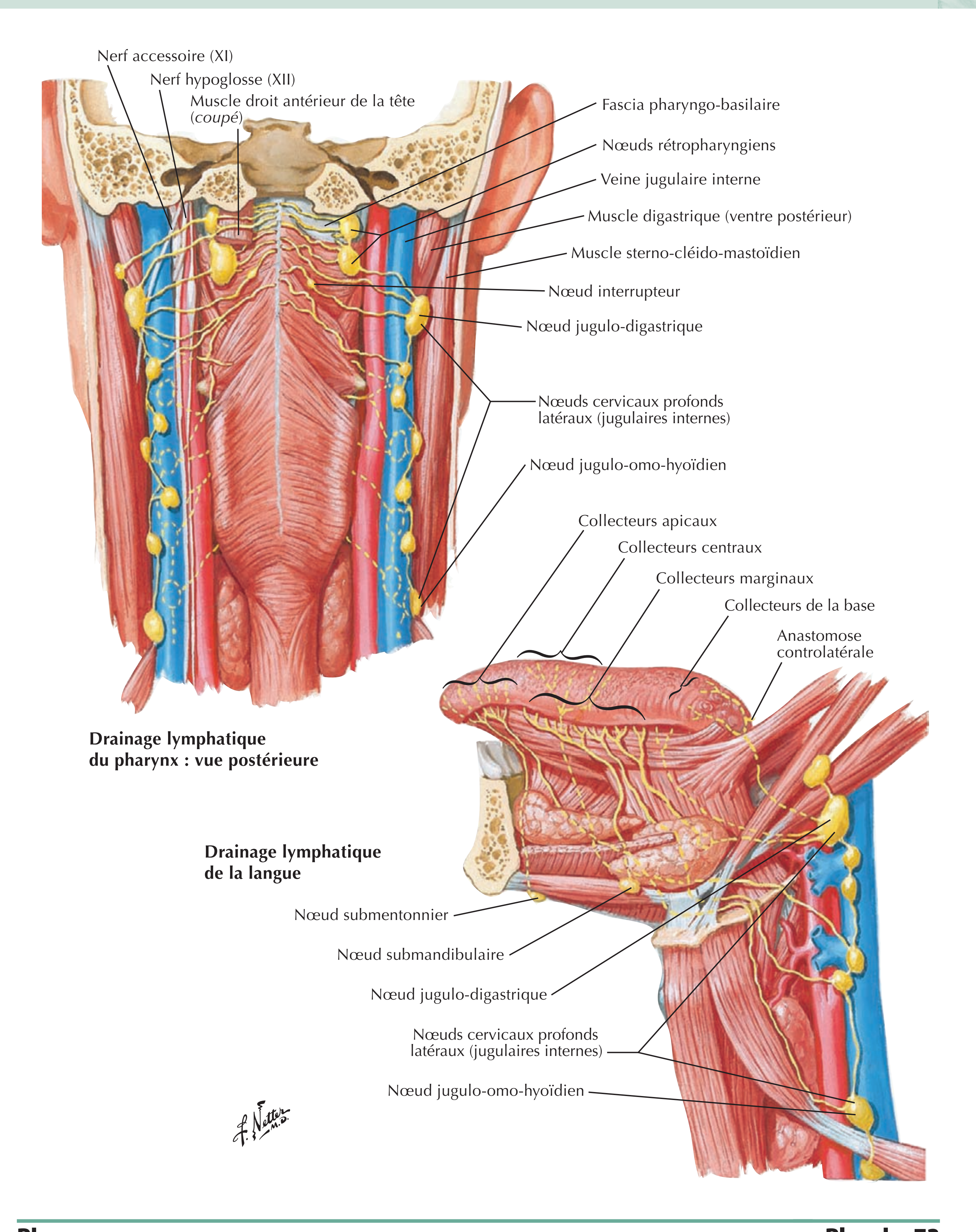


Vaisseaux et nœuds lymphatiques de la tête et du cou

Voir aussi **Planche 202**



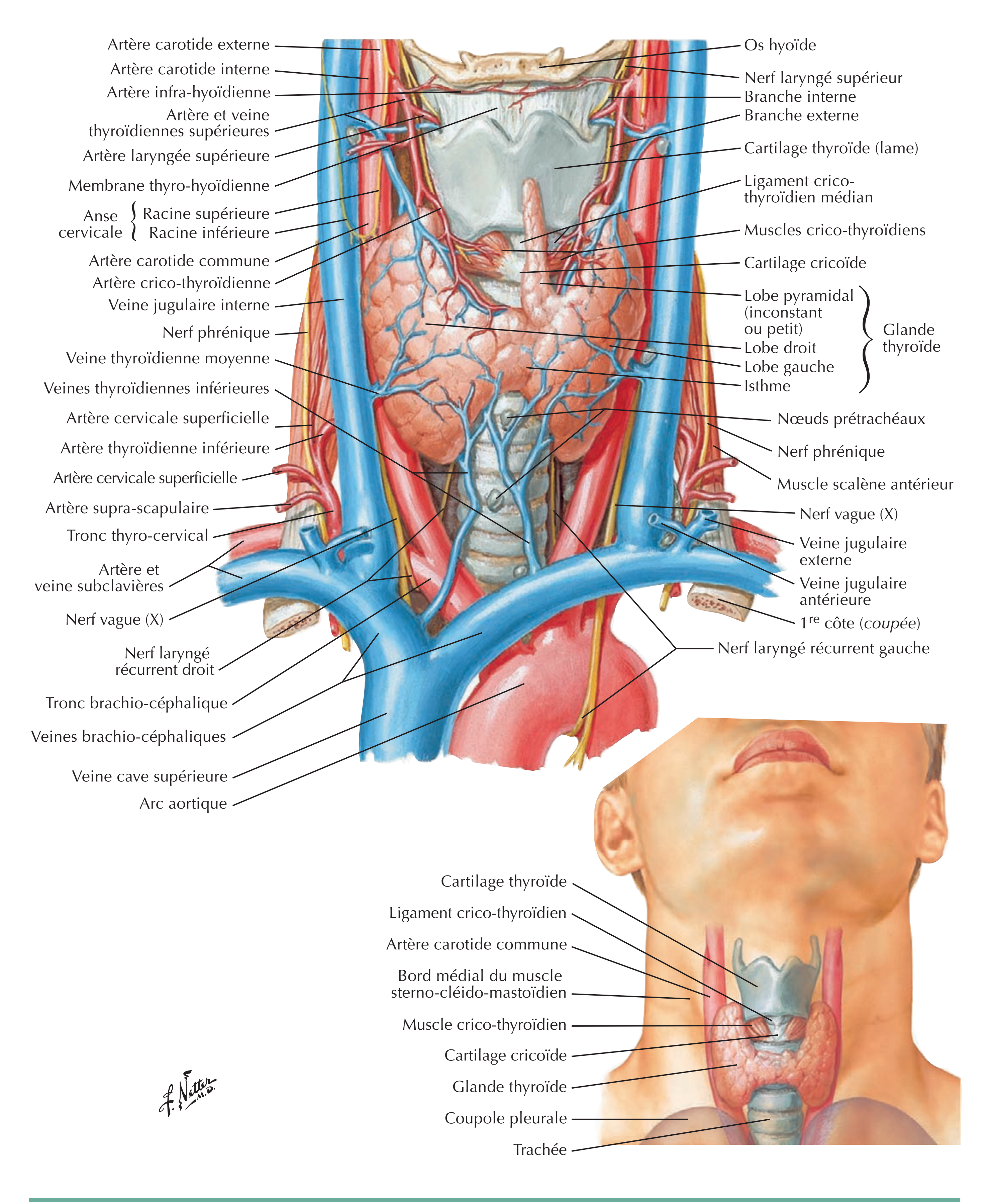
*Le groupe des nœuds lymphatiques supra-claviculaires (également nommé groupe cervical profond inférieur), surtout à gauche, sont aussi parfois nommés lymphonœuds signal ou sentinelle de Virchow ou de Troisier, surtout quand ils sont gros et palpables. Ces nœuds (ou un seul nœud) sont ainsi appelés car ils peuvent être le premier signe révélateur d'une maladie maligne des viscères.

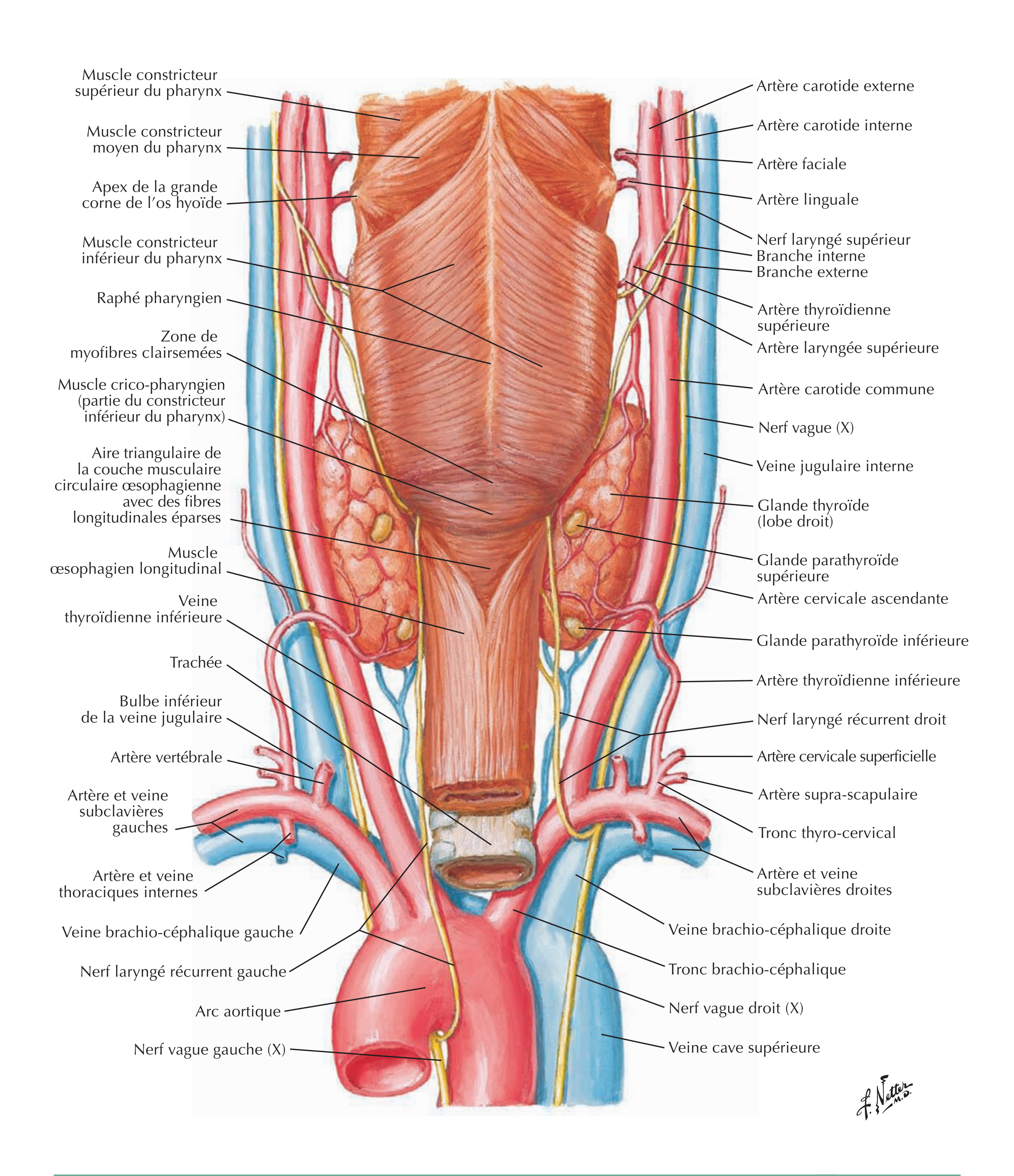


Drainage lymphatique du pharynx : vue postérieure

Drainage lymphatique de la langue

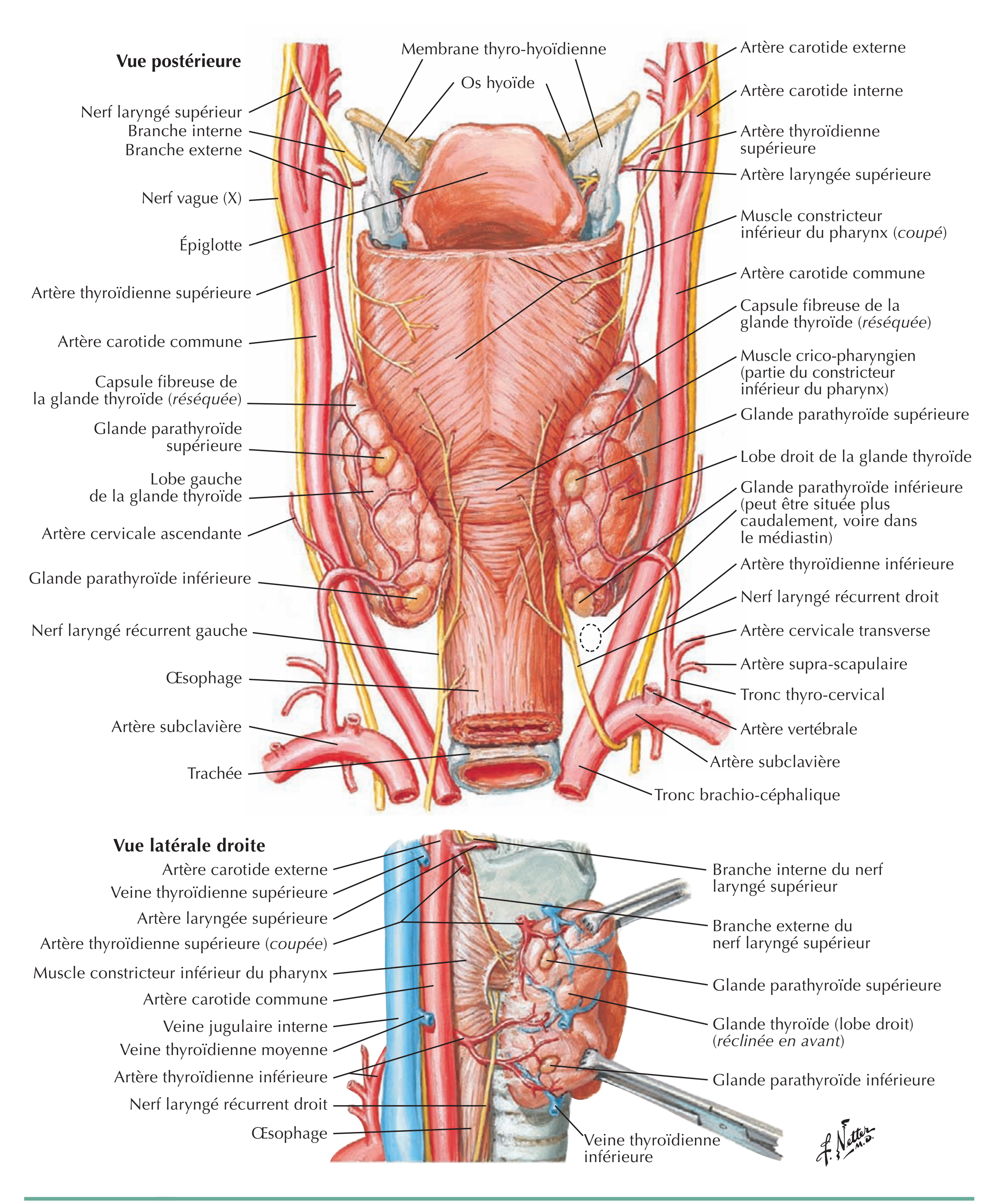
Glande thyroïde : vue antérieure

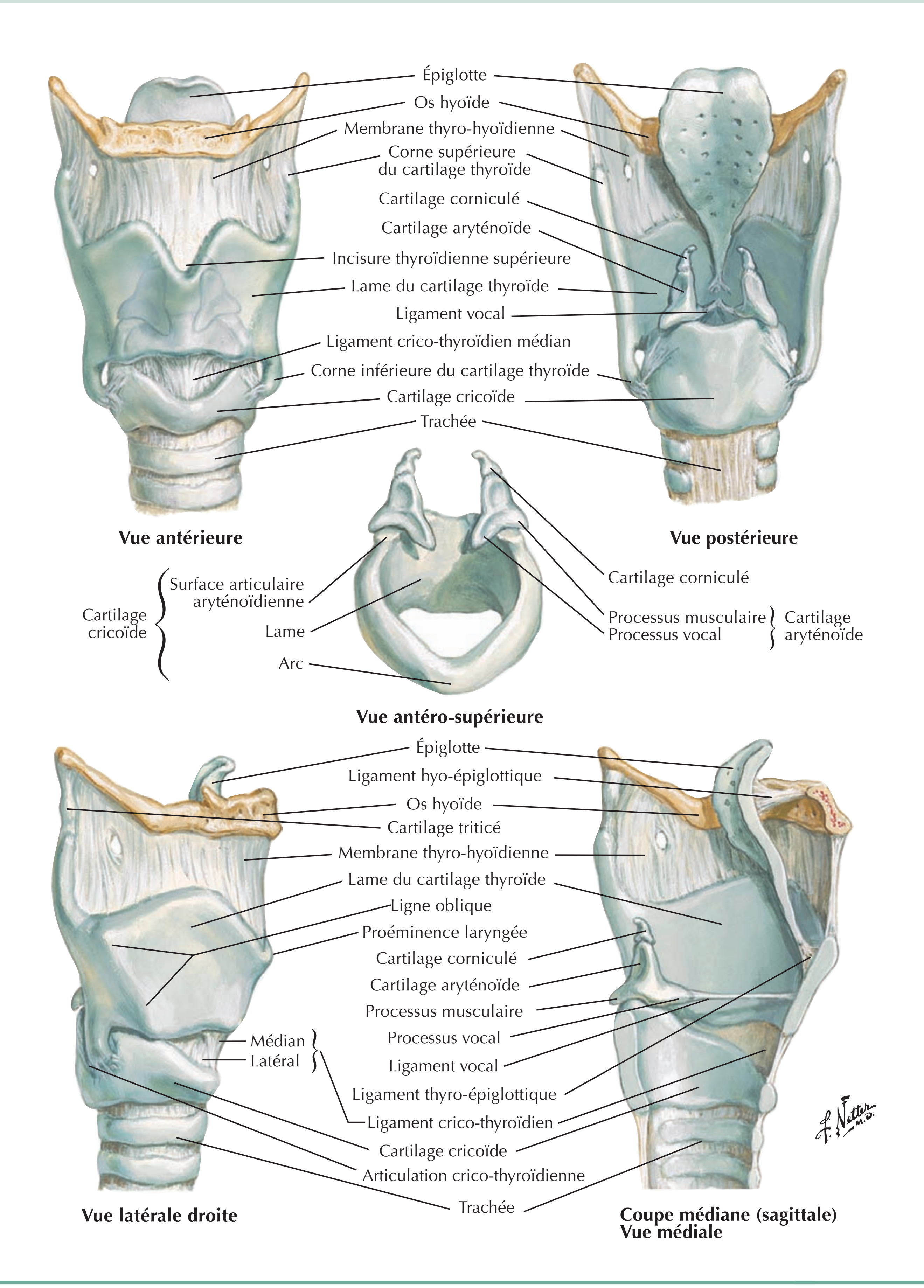



Muscle constricteur supérieur du pharynx
Muscle constricteur moyen du pharynx
Apex de la grande corne de l'os hyoïde
Muscle constricteur inférieur du pharynx
Raphé pharyngien
Zone de myofibres clairsemées
Muscle crico-pharyngien (partie du constricteur inférieur du pharynx)
Aire triangulaire de la couche musculaire circulaire œsophagienne avec des fibres longitudinales éparses
Muscle œsophagien longitudinal
Veine thyroïdienne inférieure
Trachée
Bulbe inférieur de la veine jugulaire
Artère vertébrale
Artère et veine subclavières gauches
Artère et veine thoraciques internes
Veine brachio-céphalique gauche
Nerf laryngé récurrent gauche
Arc aortique
Nerf vague gauche (X)
Artère carotide externe
Artère carotide interne
Artère faciale
Artère linguale
Nerf laryngé supérieur
Branche interne
Branche externe
Artère thyroïdienne supérieure
Artère laryngée supérieure
Artère carotide commune
Nerf vague (X)
Veine jugulaire interne
Glande thyroïde (lobe droit)
Glande parathyroïde supérieure
Artère cervicale ascendante
Glande parathyroïde inférieure
Artère thyroïdienne inférieure
Nerf laryngé récurrent droit
Artère cervicale superficielle
Artère supra-scapulaire
Tronc thyro-cervical
Artère et veine subclavières droites
Veine brachio-céphalique droite
Tronc brachio-céphalique
Nerf vague droit (X)
Veine cave supérieure
F. Netter M.D.

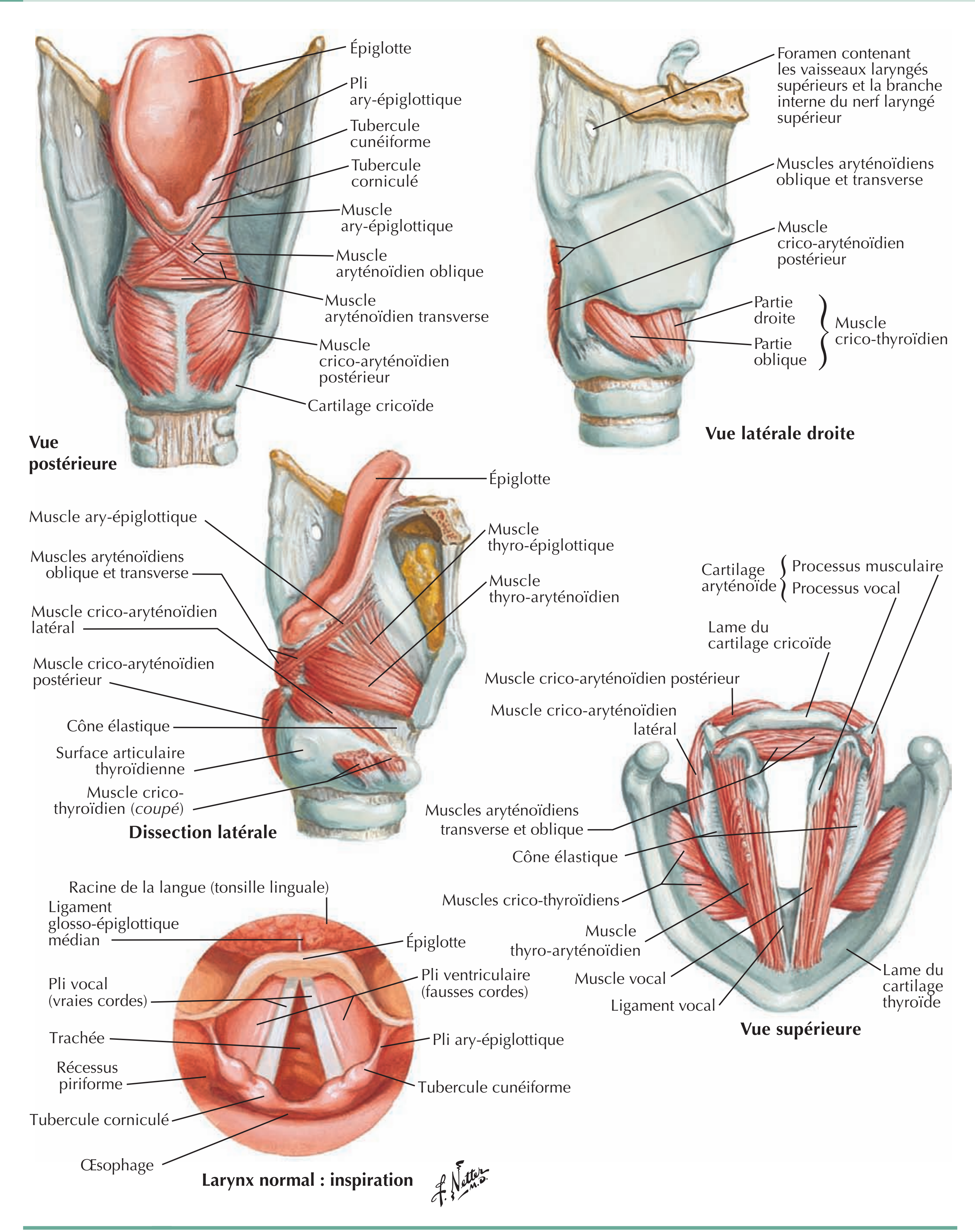
Glandes parathyroïdes

Voir aussi **Planches 74, 75, 80, 227, 229**



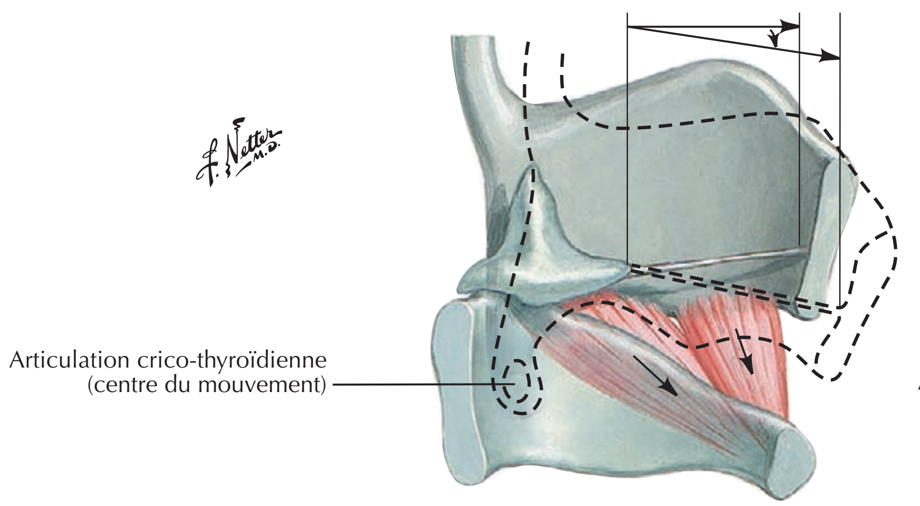

Épiglotte
Os hyoïde
Membrane thyro-hyoïdienne
Corne supérieure du cartilage thyroïde
Cartilage corniculé
Cartilage aryténoïde
Incisure thyroïdienne supérieure
Lame du cartilage thyroïde
Ligament vocal
Ligament crico-thyroïdien médian
Corne inférieure du cartilage thyroïde
Cartilage cricoïde
Trachée
Vue antérieure
Vue postérieure
Cartilage cricoïde
Surface articulaire aryténoïdienne
Lame
Arc
Cartilage corniculé
Processus musculaire
Processus vocal
Cartilage aryténoïde
Vue antéro-supérieure
Épiglotte
Ligament hyo-épiglottique
Os hyoïde
Cartilage tritiçé
Membrane thyro-hyoïdienne
Lame du cartilage thyroïde
Ligne oblique
Proéminence laryngée
Cartilage corniculé
Cartilage aryténoïde
Processus musculaire
Processus vocal
Ligament vocal
Ligament thyro-épiglottique
Médian
Latéral
Ligament crico-thyroïdien
Cartilage cricoïde
Articulation crico-thyroïdienne
Trachée
Vue latérale droite
Coupe médiane (sagittale)
Vue médiale
F. Netter M.D.

Muscles intrinsèques du larynx

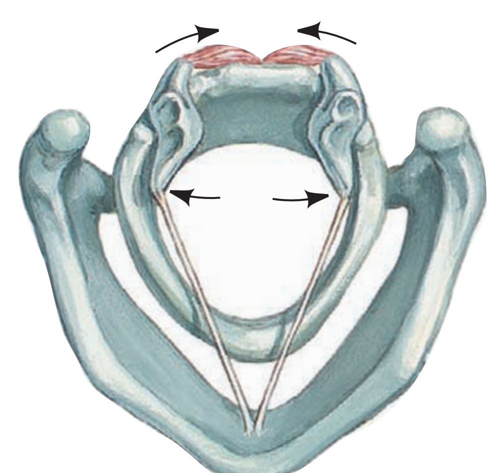




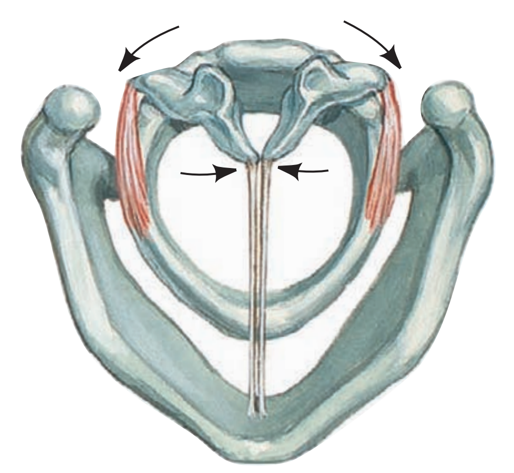
Action des muscles intrinsèques du larynx



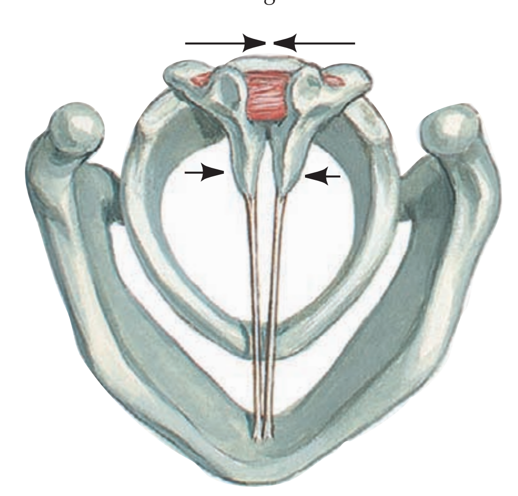
Action des muscles crico-thyroïdiens
Allongement (tension accrue) des ligaments vocaux



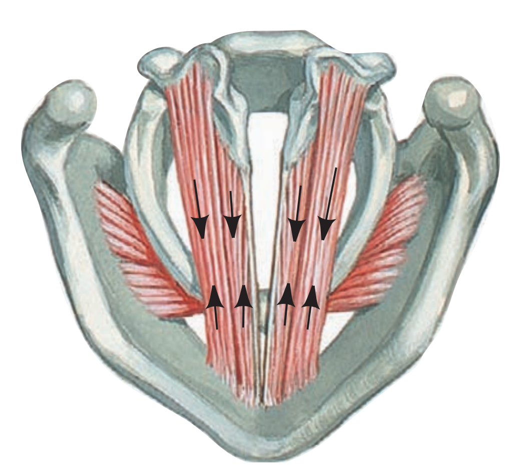
Action des muscles crico-aryténoïdiens postérieurs
Abduction des ligaments vocaux



Action des muscles crico-aryténoïdiens latéraux
Adduction des ligaments vocaux



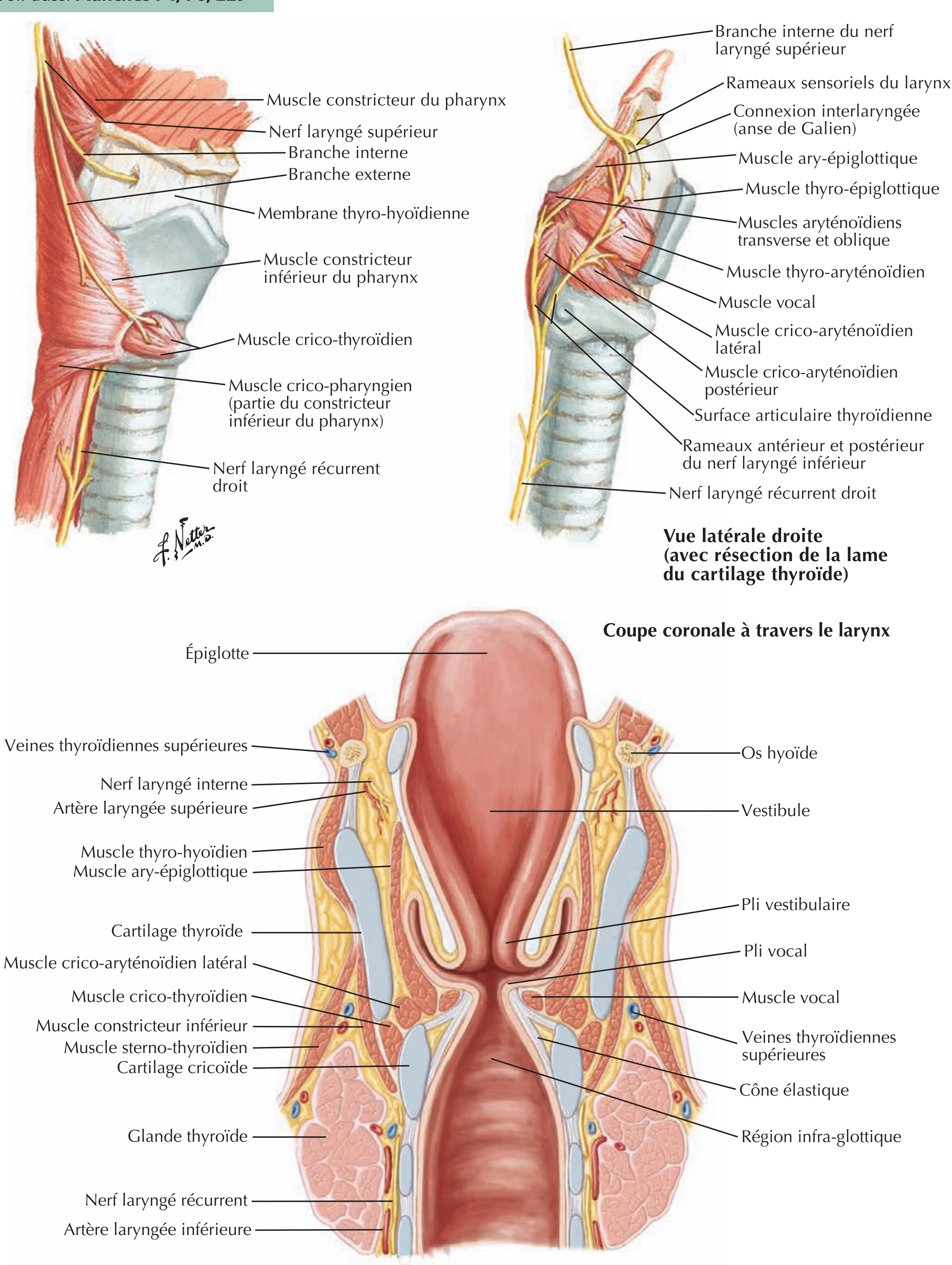
Action des muscles aryténoïdiens transverse et oblique
Adduction des ligaments vocaux

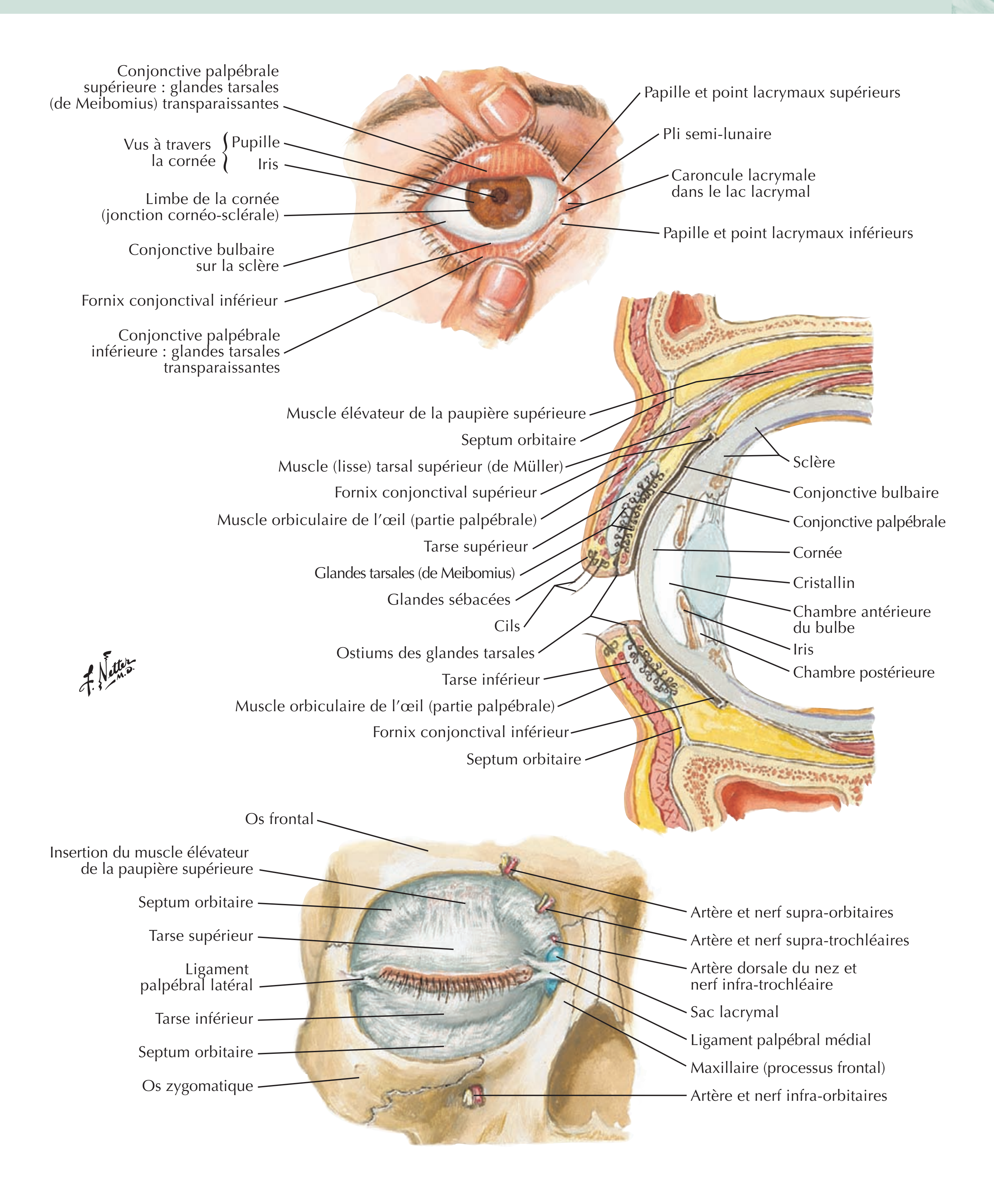


Action des muscles vocaux et thyro-aryténoïdiens
Raccourcissement (relâchement) des ligaments vocaux

1 Nerfs du larynx

Voir aussi **Planches 74, 76, 229**

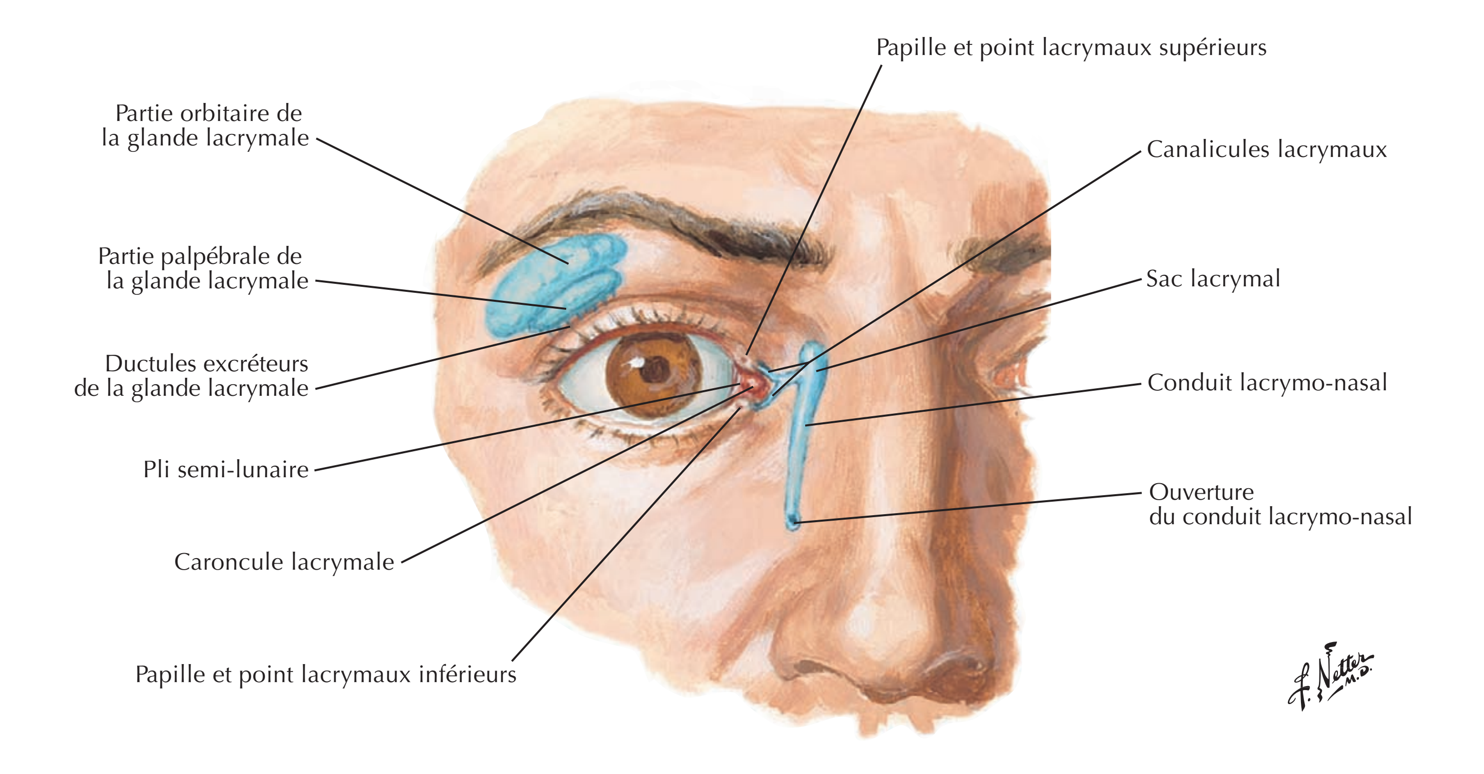


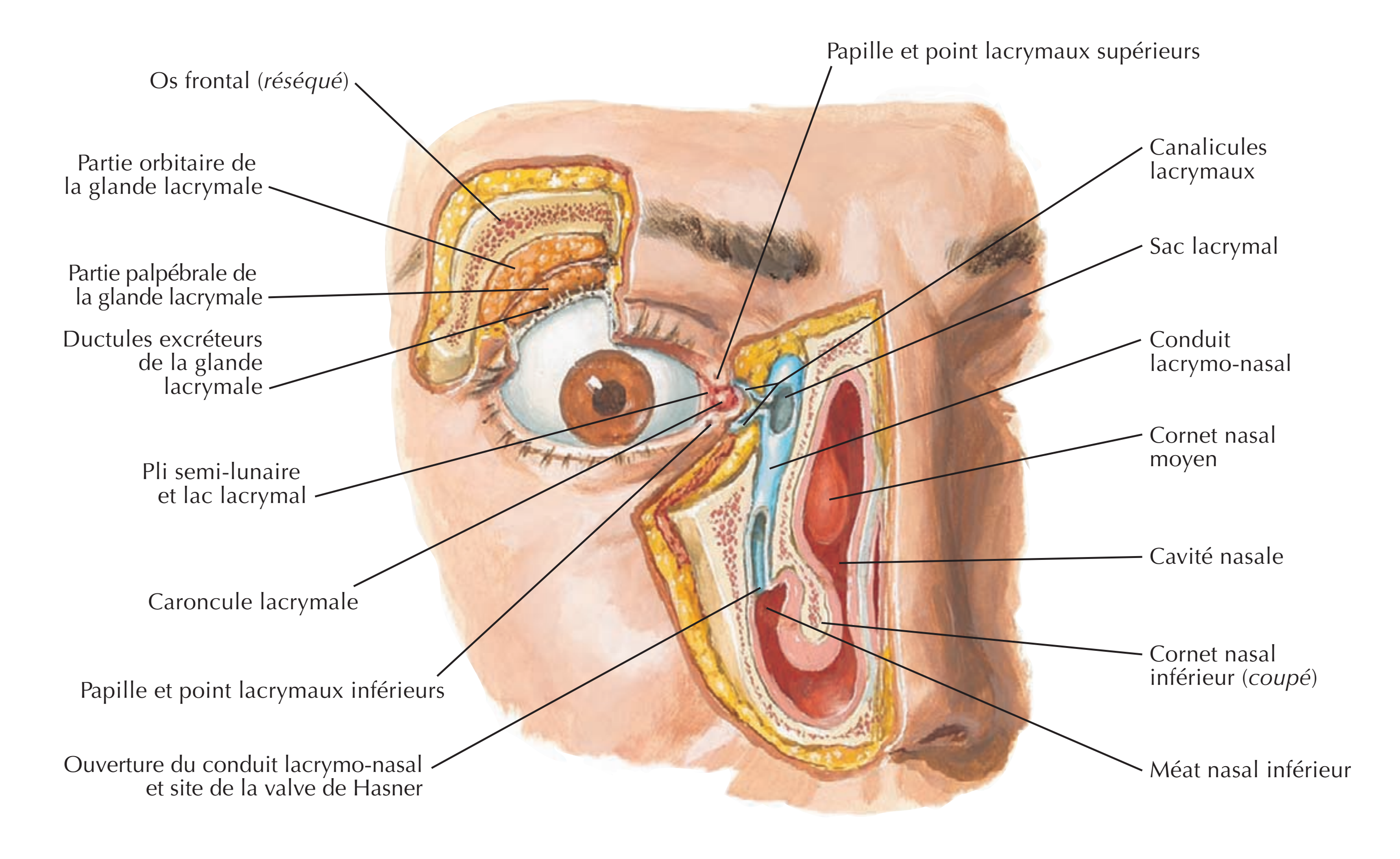

Conjonctive palpébrale supérieure : glandes tarsales (de Meibomius) transparaissantes
Vus à travers la cornée
Pupille
Iris
Limbe de la cornée (jonction cornéo-sclérale)
Conjonctive bulbaire sur la sclère
Fornix conjonctival inférieur
Conjonctive palpébrale inférieure : glandes tarsales transparaissantes
Papille et point lacrymaux supérieurs
Pli semi-lunaire
Caroncule lacrymale dans le lac lacrymal
Papille et point lacrymaux inférieurs
Muscle élévateur de la paupière supérieure
Septum orbitaire
Muscle (lisse) tarsal supérieur (de Müller)
Fornix conjonctival supérieur
Muscle orbiculaire de l'œil (partie palpébrale)
Tarse supérieur
Glandes tarsales (de Meibomius)
Glandes sébacées
Cils
Ostiums des glandes tarsales
Tarse inférieur
Muscle orbiculaire de l'œil (partie palpébrale)
Fornix conjonctival inférieur
Septum orbitaire
Sclère
Conjonctive bulbaire
Conjonctive palpébrale
Cornée
Cristallin
Chambre antérieure du bulbe
Iris
Chambre postérieure
Os frontal
Insertion du muscle élévateur de la paupière supérieure
Septum orbitaire
Tarse supérieur
Ligament palpébral latéral
Tarse inférieur
Septum orbitaire
Os zygomatique
Artère et nerf supra-orbitaires
Artère et nerf supra-trochléaires
Artère dorsale du nez et nerf infra-trochléaire
Sac lacrymal
Ligament palpébral médial
Maxillaire (processus frontal)
Artère et nerf infra-orbitaires
F. Netter M.D.

1

Appareil lacrymal

Voir aussi **Planches 44, 132**





Coupe horizontale

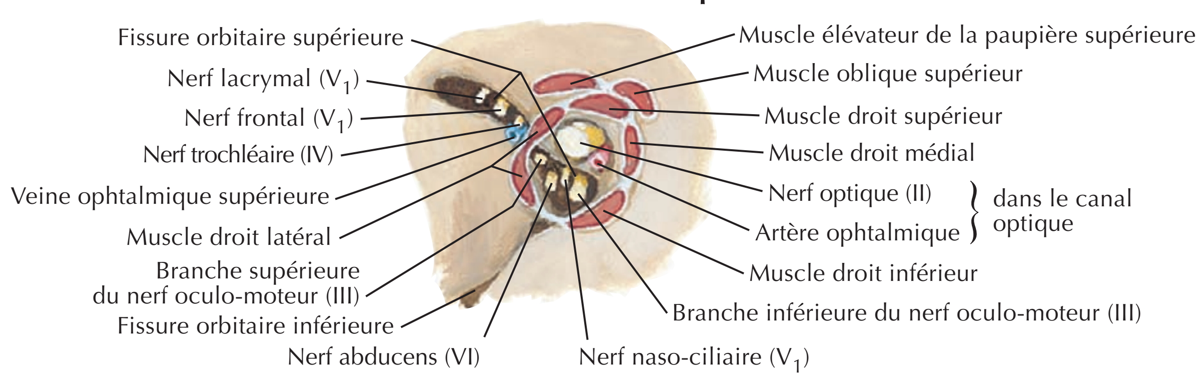
Tarse de la paupière
Conjonctive palpébrale
Conjonctive bulbaire
Cristallin
Cornée
Ligament palpébral médial
Cavité nasale
Expansion ligamentaire du muscle droit médial
Cellules ethmoïdales
Périorbite
Muscle droit médial et son fascia
Gaine du bulbe de l'œil (capsule de Tenon)
Sclère
Espace épiscléral
Nerf optique (II) et sa gaine
Sinus sphénoïdal
Ligament palpébral latéral
Expansion ligamentaire du muscle droit latéral
Périorbite
Sclère
Gaine du bulbe de l'œil (capsule de Tenon)
Espace épiscléral
Muscle droit latéral et son fascia
Corps adipeux de l'orbite
Anneau tendineux commun

F. Netter M.D.

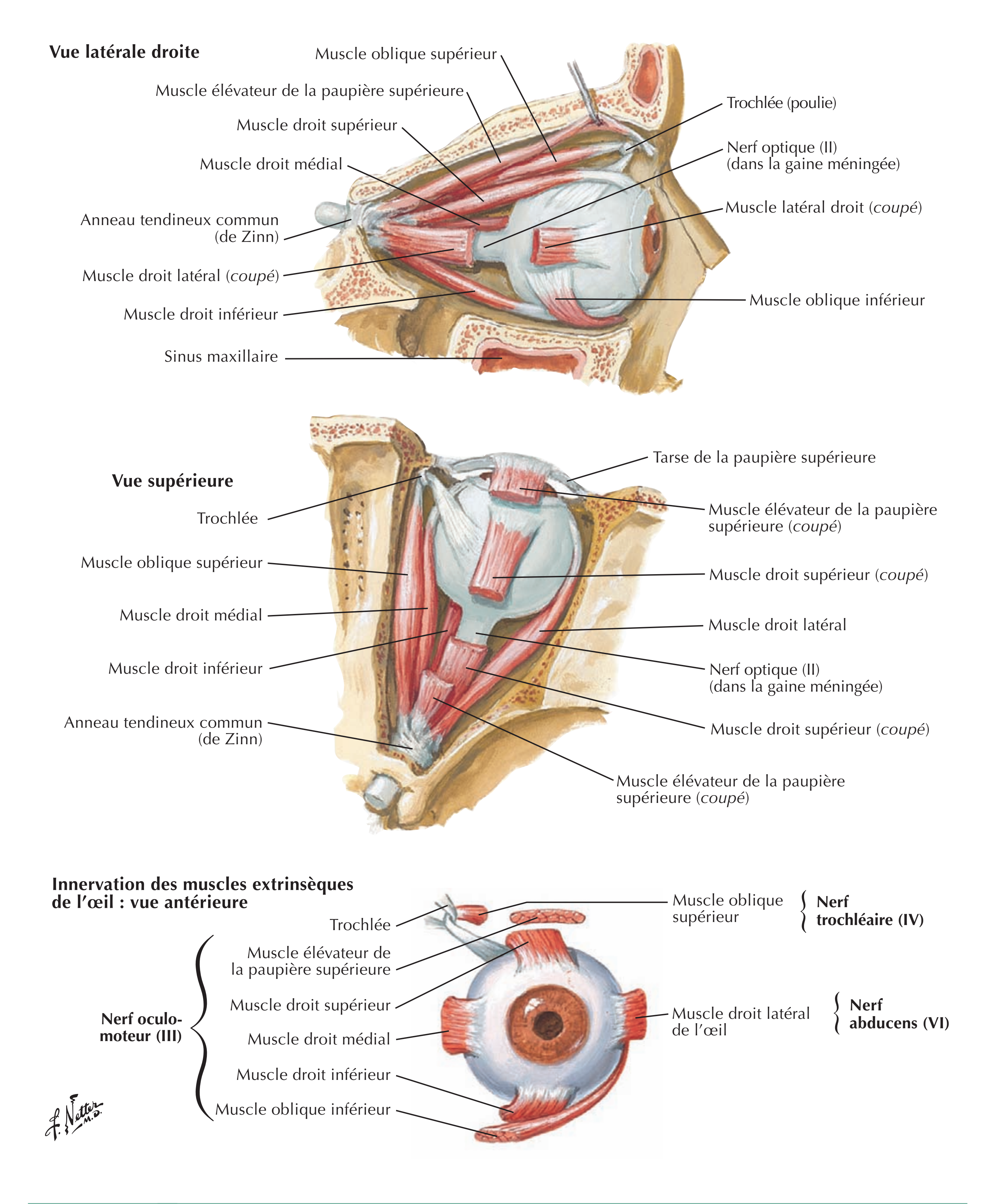
Coupe frontale

Muscle élévateur de la paupière supérieure et son fascia
Disque du nerf optique
Muscle oblique supérieur et son fascia
Muscle droit médial et son fascia
Périorbite
Cellule ethmoïdale
Sclère
Gaine du bulbe de l'œil (capsule de Tenon)
Muscle droit inférieur et son fascia
Muscle oblique inférieur et son fascia
Nerf infra-orbitaire (V_2)
Muscle droit supérieur et son fascia
Glande lacrymale
Muscle droit latéral et son fascia
Périorbite
Sclère
Gaine du bulbe de l'œil (capsule de Tenon)
Espace épiscléral

Insertions musculaires et nerfs et vaisseaux pénétrant dans l'orbite

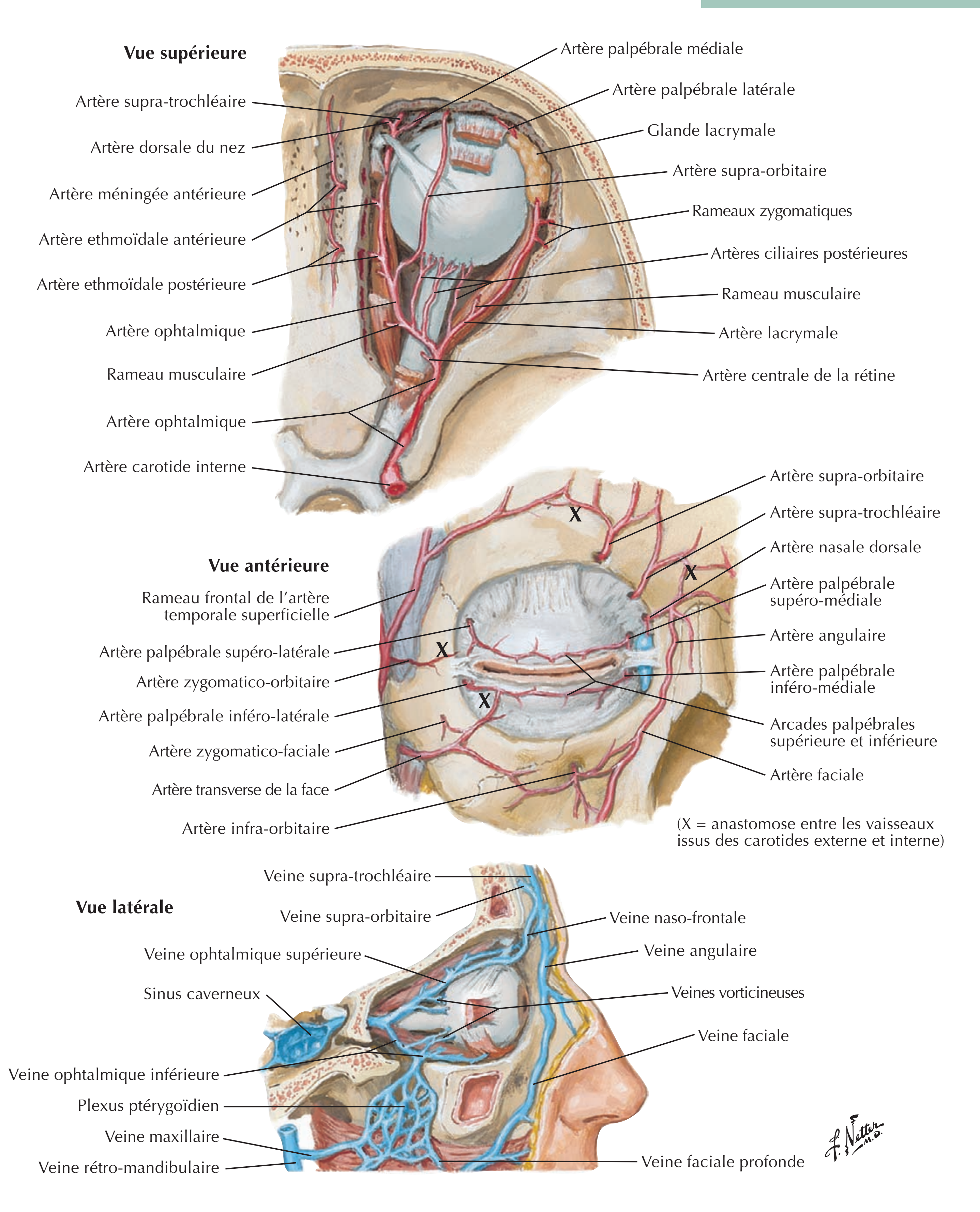


Muscles extrinsèques de l'œil



Artères et veines de l'orbite et des paupières

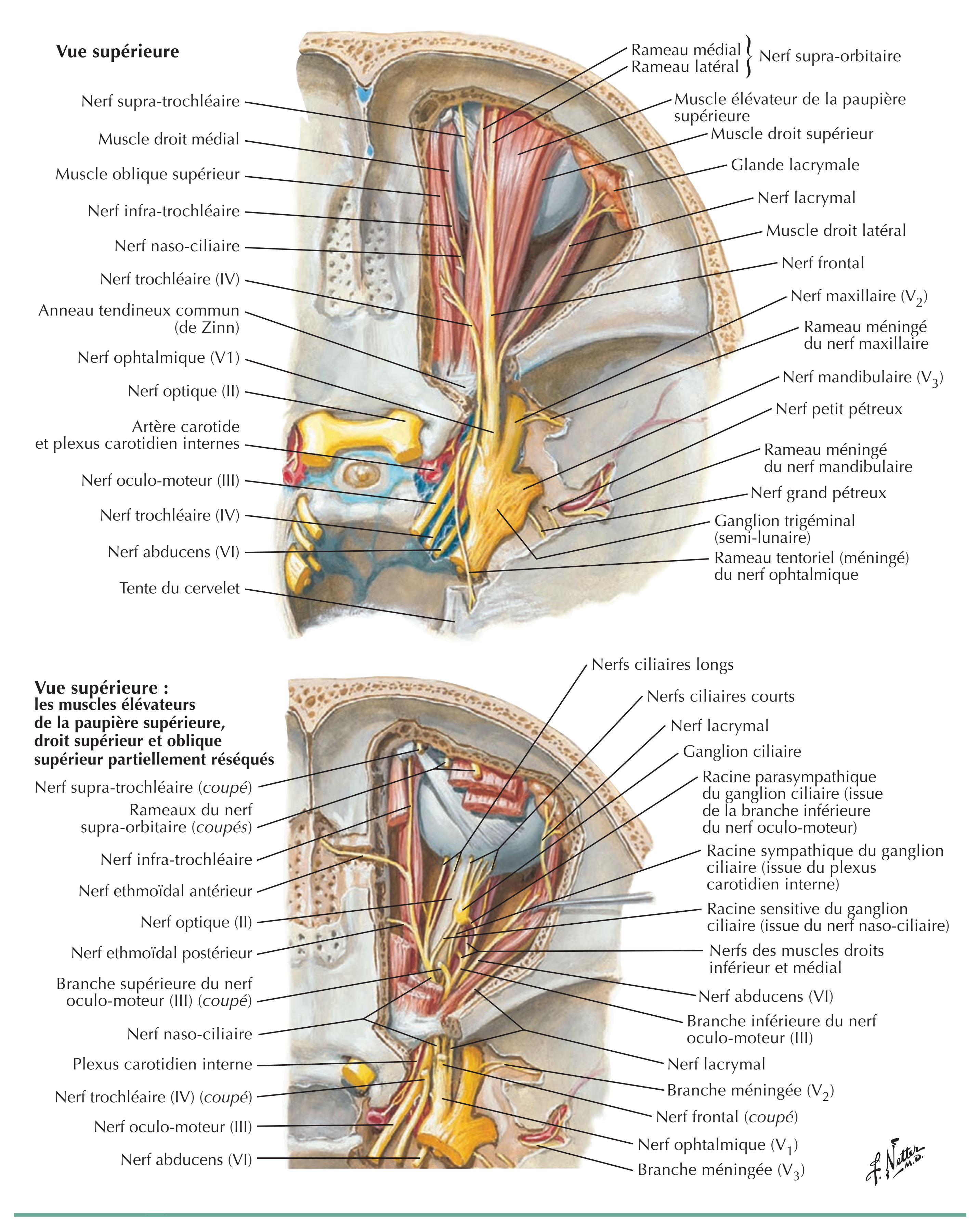
Voir aussi **Planches 3, 103**

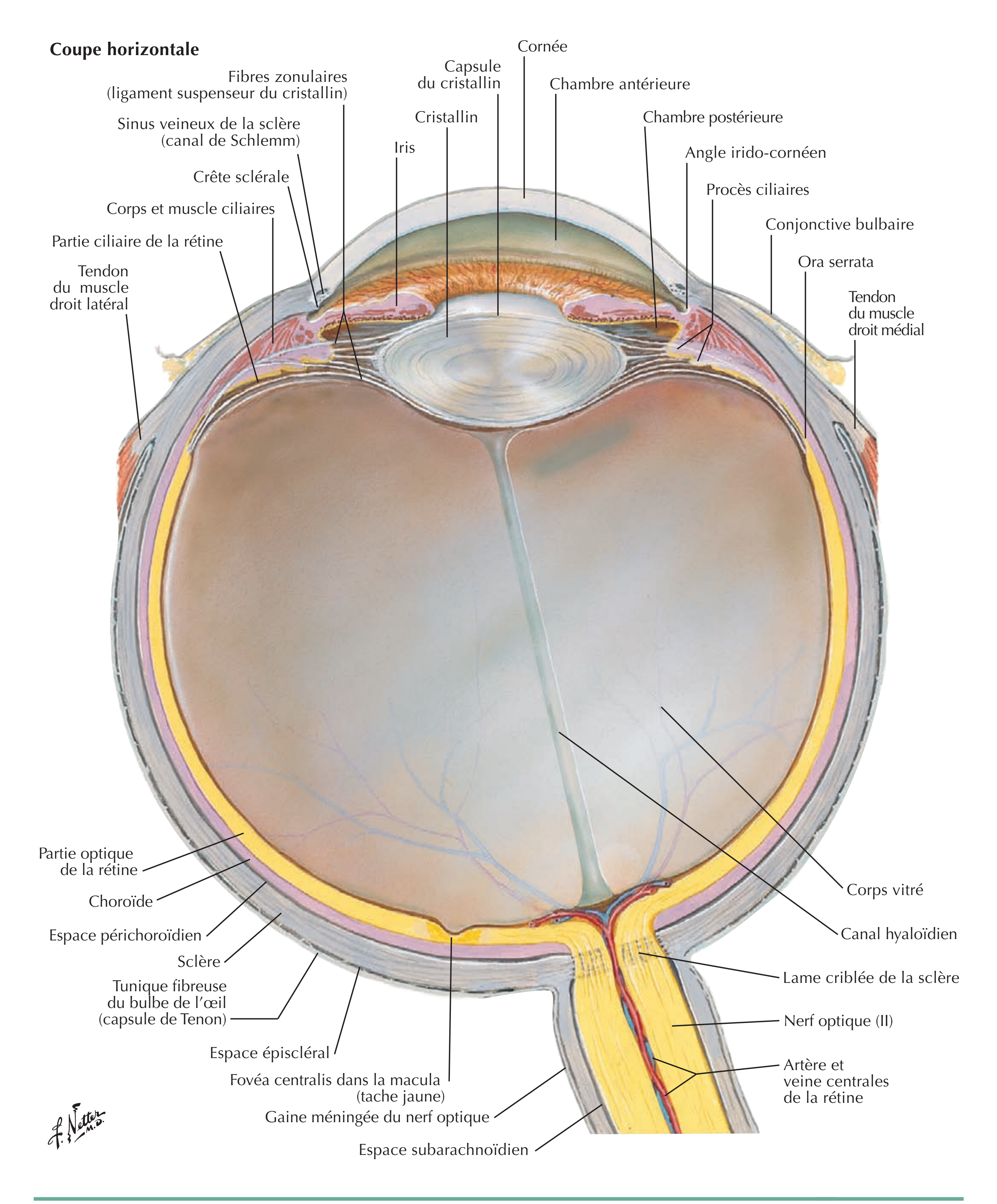


1

Nerfs de l'orbite

Voir aussi **Planches 44, 120, 131**




Coupe horizontale
Fibres zonulaires
(ligament suspenseur du cristallin)
Sinus veineux de la sclère
(canal de Schlemm)
Crête sclérale
Corps et muscle ciliaires
Partie ciliaire de la rétine
Tendon
du muscle
droit latéral
Iris
Cristallin
Capsule
du cristallin
Cornée
Chambre antérieure
Chambre postérieure
Angle irido-cornéen
Procès ciliaires
Conjonctive bulbaire
Ora serrata
Tendon
du muscle
droit médial
Corps vitré
Canal hyaloïdien
Lame criblée de la sclère
Nerf optique (II)
Artère et
veine centrales
de la rétine
Partie optique
de la rétine
Choroïde
Espace périchoroïdien
Sclère
Tunique fibreuse
du bulbe de l'œil
(capsule de Tenon)
Espace épiscléral
Fovéa centralis dans la macula
(tache jaune)
Gaine méningée du nerf optique
Espace subarachnoïdien
F. Netter M.D.

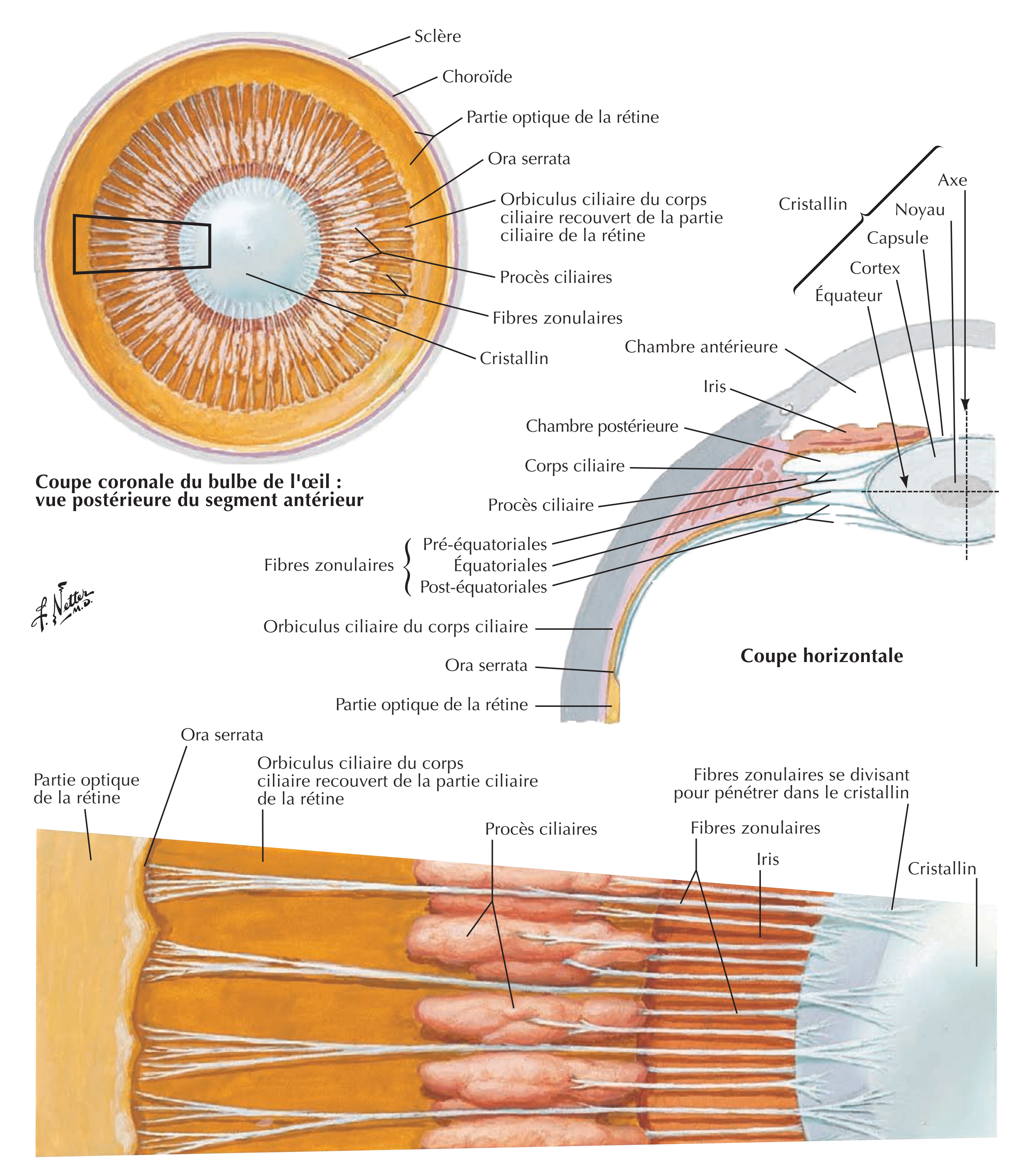
1

Chambres antérieure et postérieure de l'œil

Ligne de Schwalbe
Lame limitante postérieure (membrane de Descemet)
Trabécules et espaces de l'angle irido-cornéen (de Fontana)
Endothélium cornéen (épithélium de la chambre postérieure)
Sinus veineux de la sclère (canal de Schlemm)
Cornée
Crête sclérale
Angle irido-cornéen
Ligament pectiné
Grand cercle artériel de l'iris
Veine ciliaire antérieure
Conjonctive bulbaire
Sclère
Chambre antérieure
Plis de l'iris
Petit cercle artériel de l'iris
Cristallin
Chambre postérieure
Procès ciliaires
Partie ciliaire de la rétine
Fibres méridiennes
Fibres circulaires
Muscle ciliaire
Corps ciliaire
Espace périchoroïdien
Muscle dilatateur de la pupille
Fibres zonulaires (ligament suspenseur du cristallin)
Épithélium pigmenté (partie iridienne de la rétine)
Muscle sphincter de la pupille
Noyau du cristallin
Capsule du cristallin

Note : par souci de clarté, il est représenté un seul plan de fibres zonulaires ; en fait, ces fibres entourent complètement l'équateur du cristallin





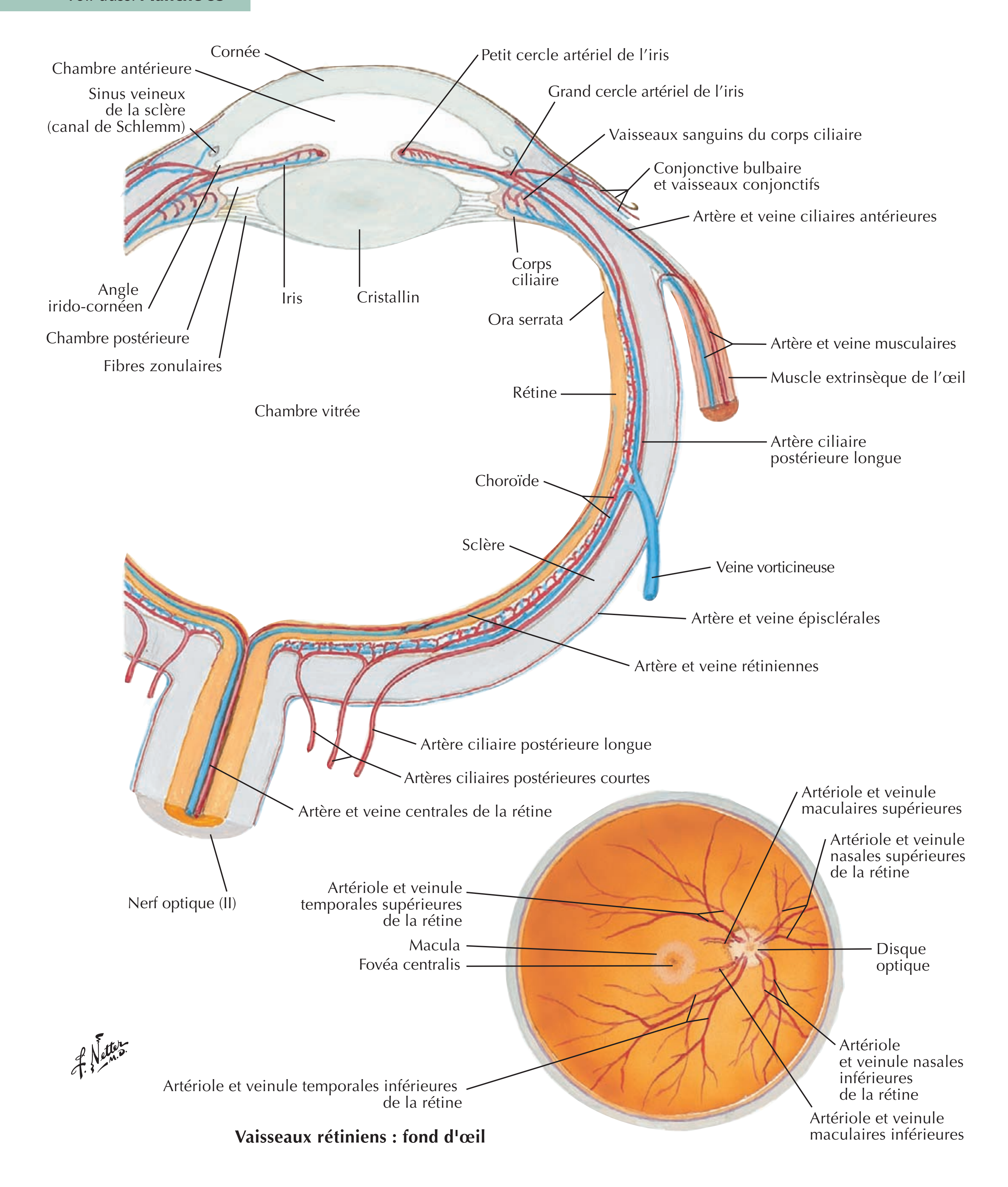
Coupe coronale du bulbe de l'œil : vue postérieure du segment antérieur

Coupe horizontale

Fort grossissement du cartouche de la figure ci-dessus (semi-schématique)

Artères et veines intrinsèques de l'œil

Voir aussi **Planche 85**



Vaisseaux rétiniens : fond d'œil

Vascularisation de l'œil

Organisation des vaisseaux à l'intérieur de la choroïde (tunique vasculaire) de l'œil

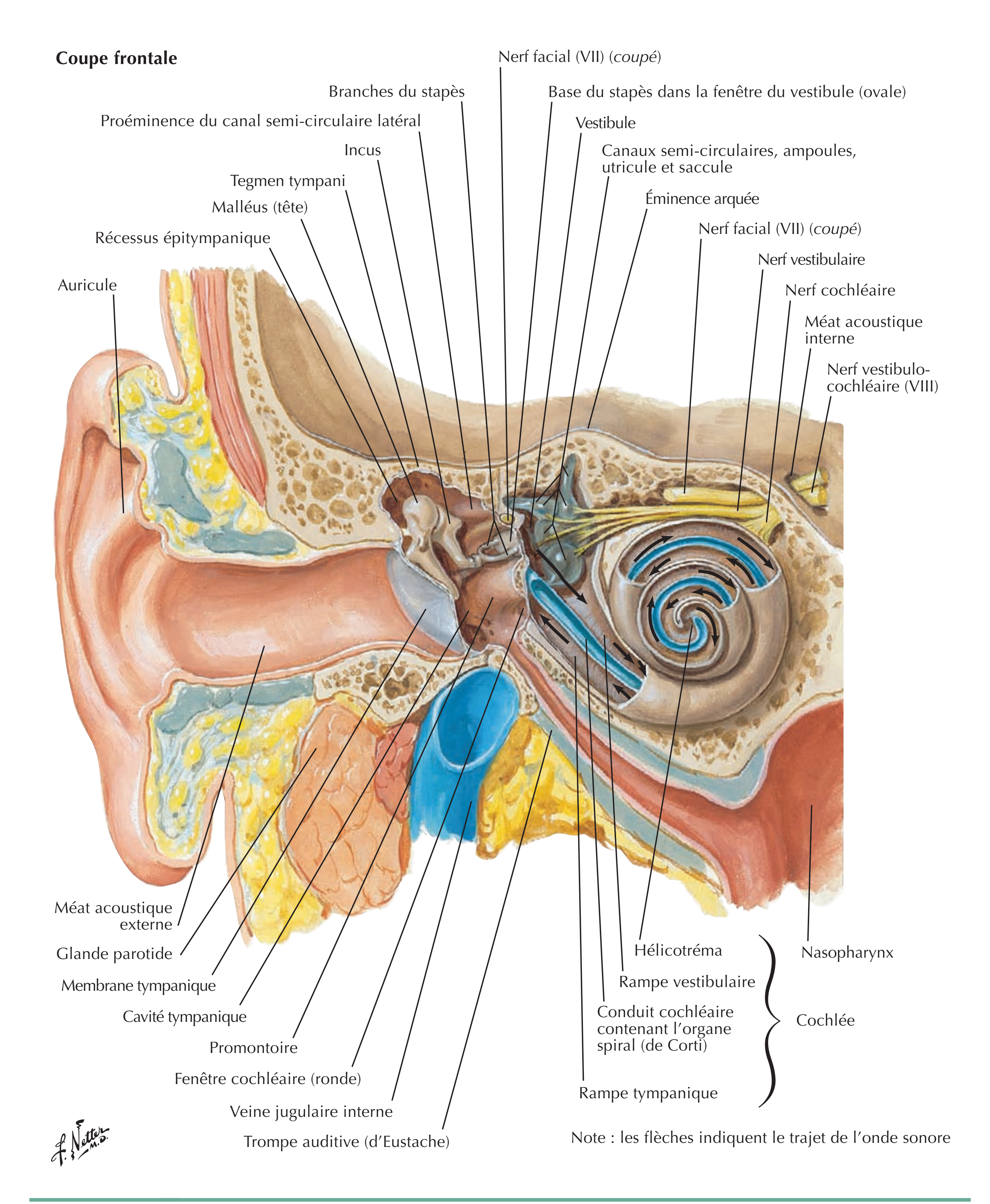
Branches antérieures d'une veine vorticineuse
Artères ciliaires antérieures
Veine épisclérale*
Tendon du muscle droit supérieur
Jonctions des afférentes supra-choroïdiennes formant la veine vorticineuse
Sclère
Artère et veine conjonctivales postérieures
Veine ophtalmique supérieure
Bulbe de la veine vorticineuse (choroïdienne)
Veines ciliaires antérieures
Veine vorticineuse (choroïdienne)
Artère ciliaire postérieure longue
Grand cercle artériel de l'iris
Petit cercle artériel de l'iris
Artères ciliaires postérieures courtes
Gaine méningée du nerf optique (dure-mère)
Conjonctive et cornée
Artères ciliaires postérieures courtes
Artère et veine centrales de la rétine
Artères et veines de l'iris
Sinus veineux de la sclère (Canal de schlemm)
Vaisseaux de la tunique interne du nerf optique
Veines drainant le sinus veineux de la sclère (dans les veines ciliaires antérieures)
Artères ciliaires postérieures courtes
Veines ciliaires antérieures
Segment de la veine épisclérale*
Régions pigmentées et non pigmentées de la rétine
Artère musculaire
Veine ophtalmique inférieure
Branche récurrente de l'artère ciliaire antérieure
Branches affluentes postérieures d'une veine vorticineuse

**Les veines épisclérales sont montrées ici s'anastomosant avec les veines vorticineuses de façon normale; cependant, elles se drainent aussi dans les veines ciliaires antérieures.*

C. Machado M.D.

Trajet des sons perçus

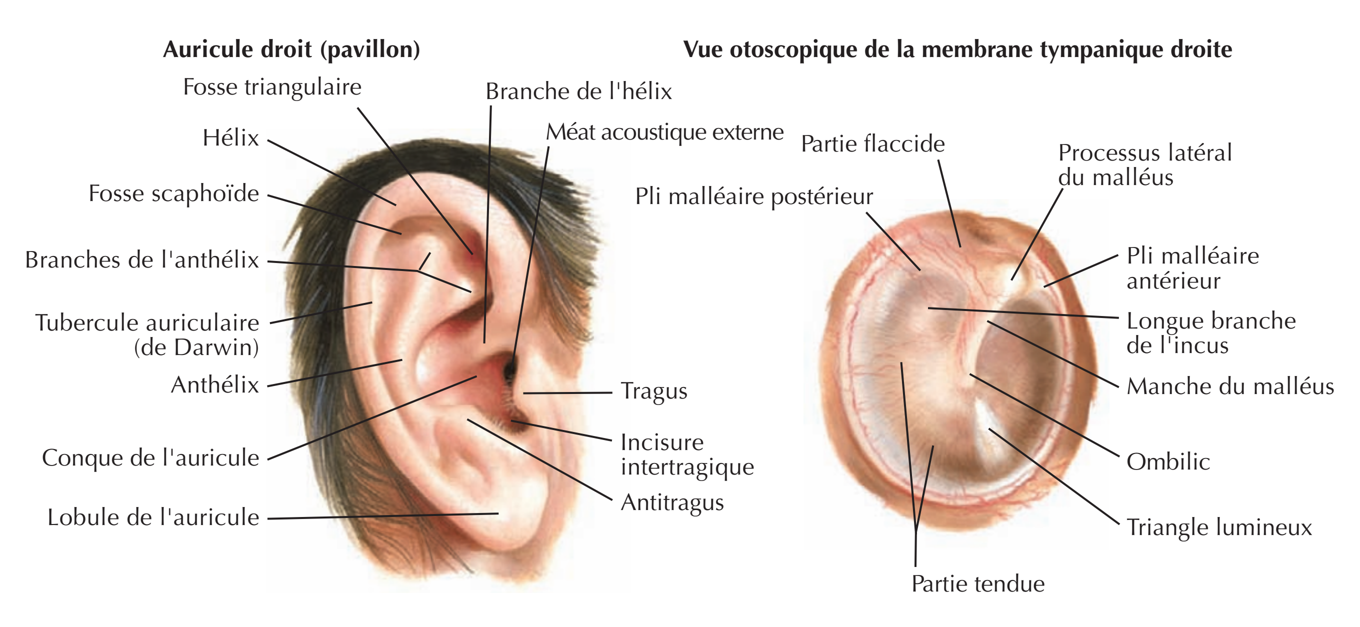
Coupe frontale



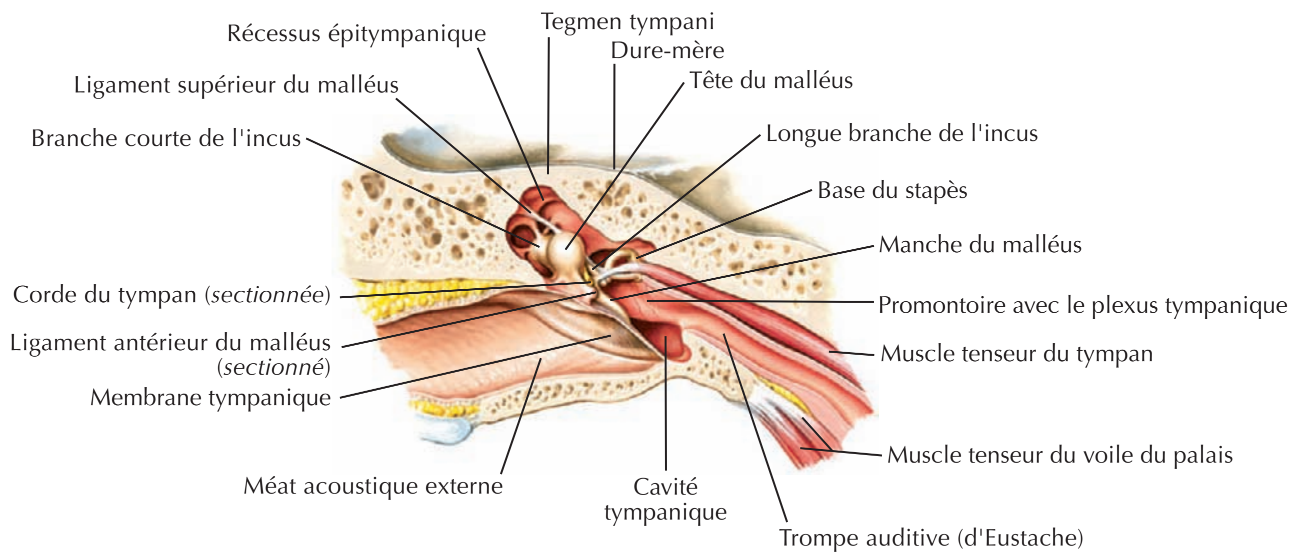
Note : les flèches indiquent le trajet de l'onde sonore

Auricule droit (pavillon)

Vue otoscopique de la membrane tympanique droite

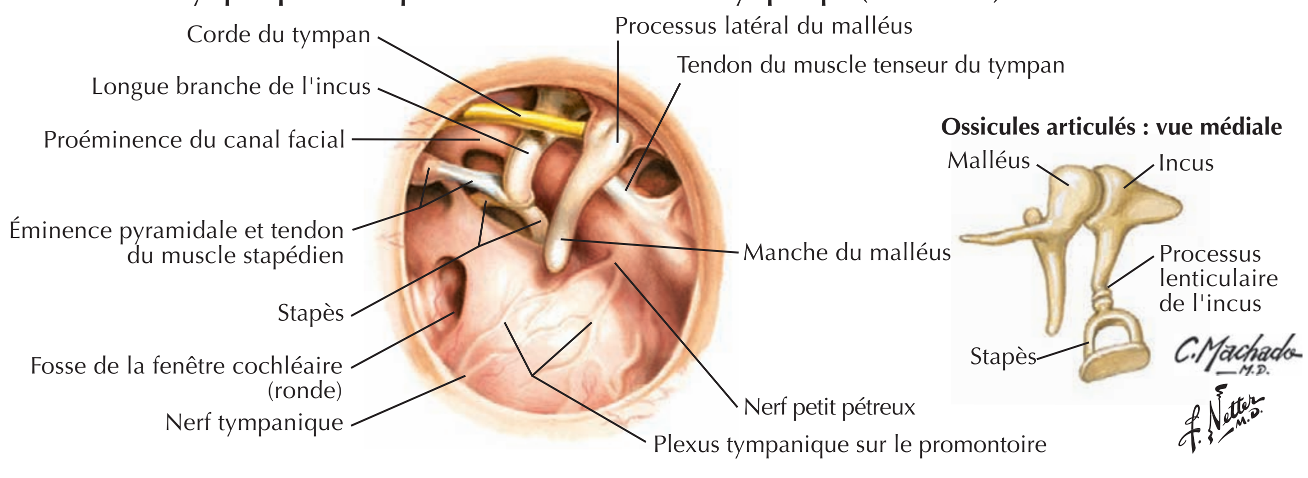


Coupe coronale oblique du méat acoustique externe et de l'oreille moyenne (cavité tympanique)



Cavité tympanique droite après ablation de la membrane tympanique (vue latérale)

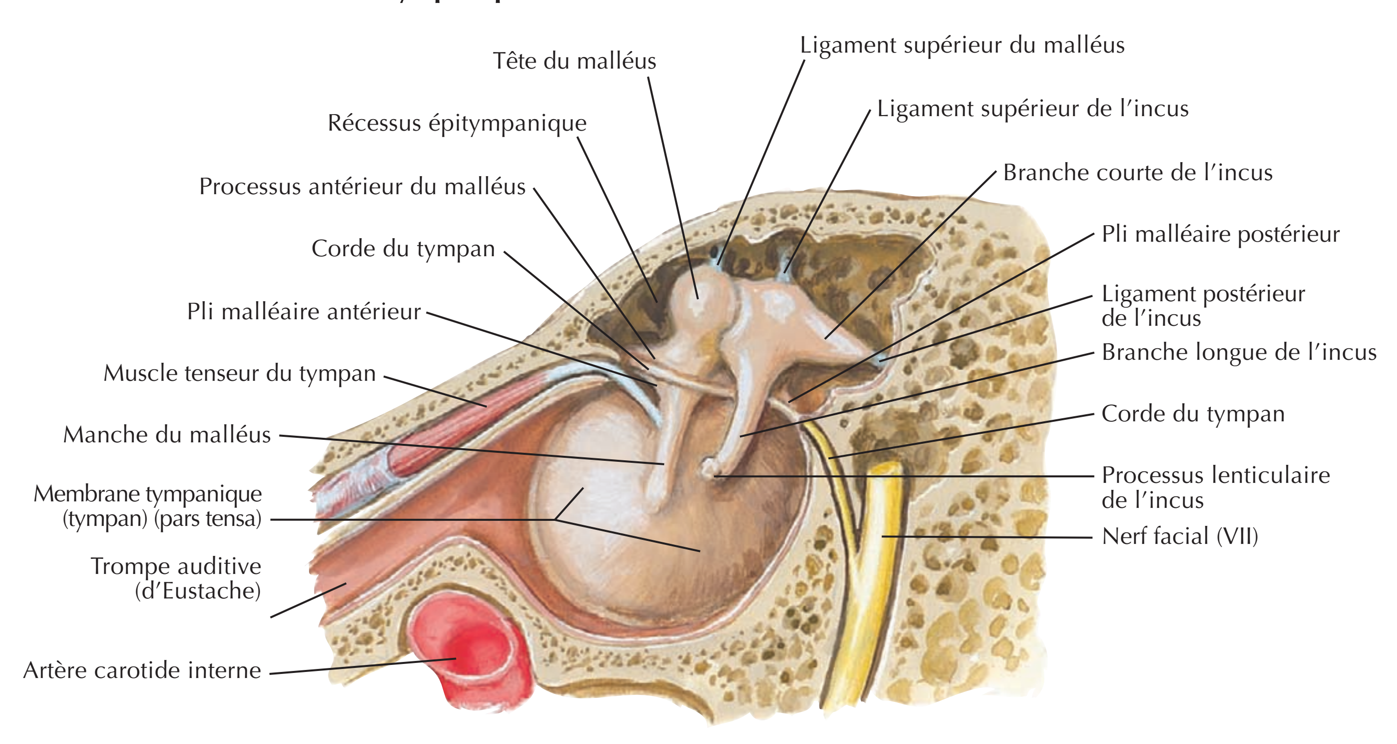
Ossicules articulés : vue médiale



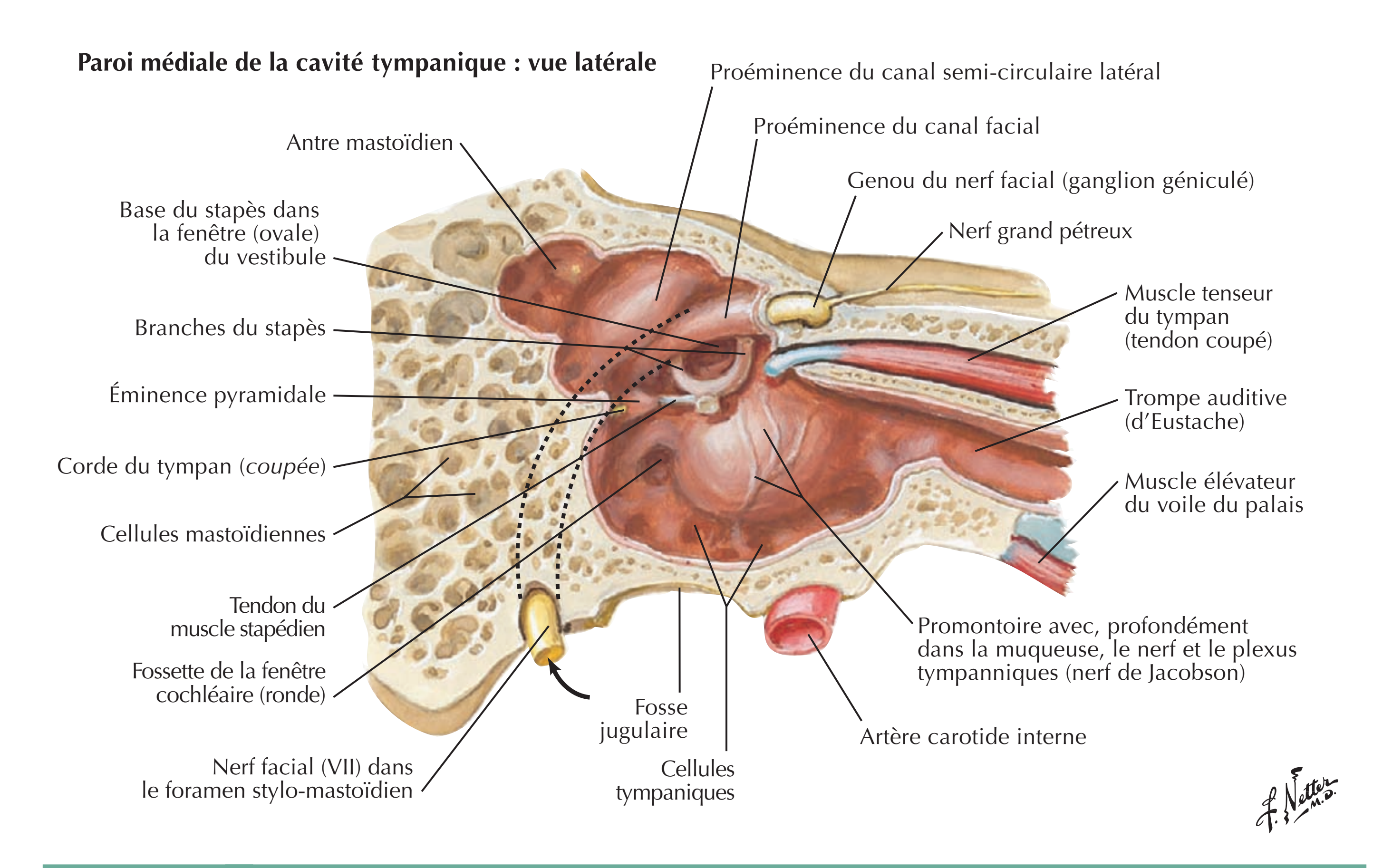
Cavité tympanique

Voir aussi **Planches 45, 122, 134**

Paroi latérale de la cavité tympanique : vue médiale



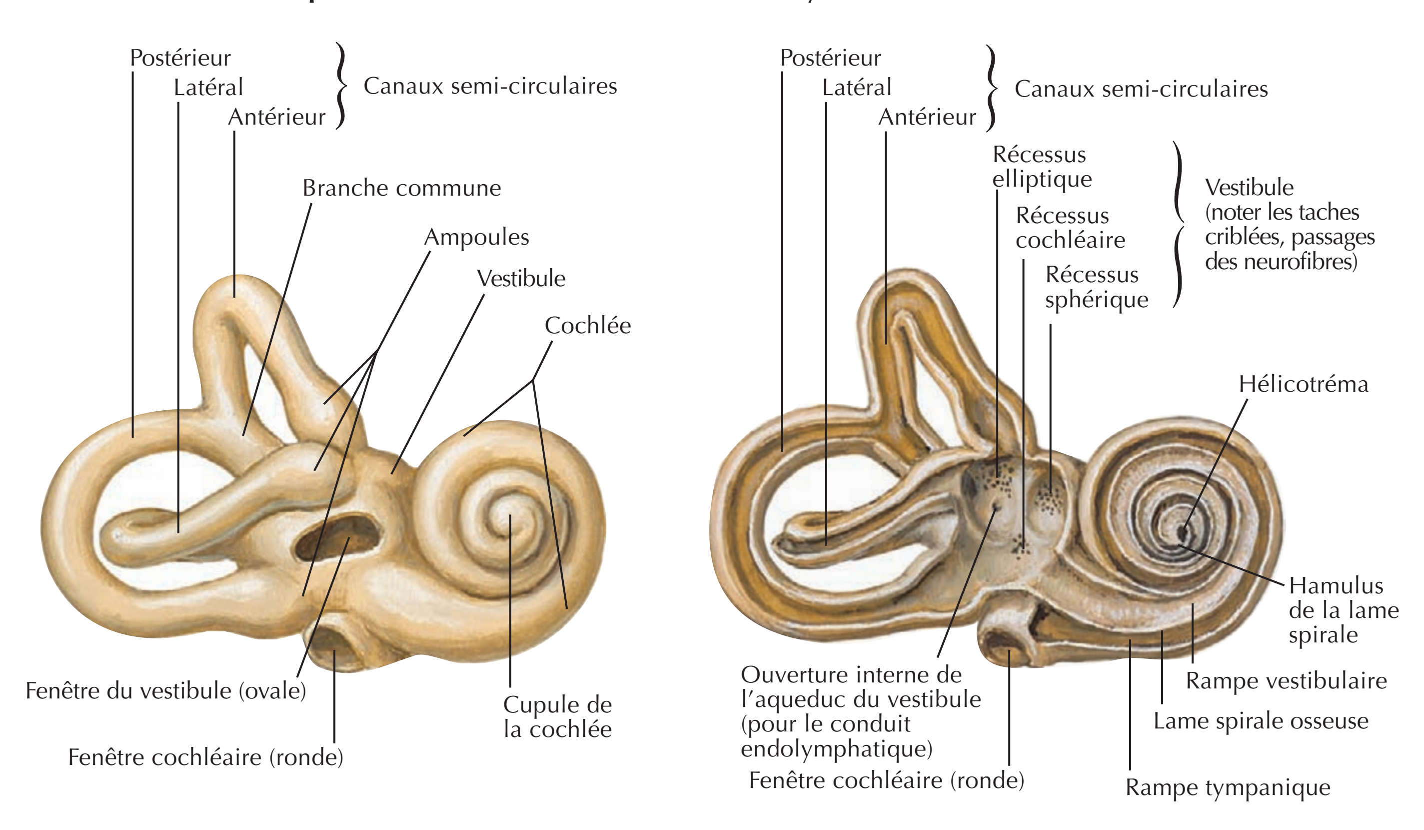
Paroi médiale de la cavité tympanique : vue latérale



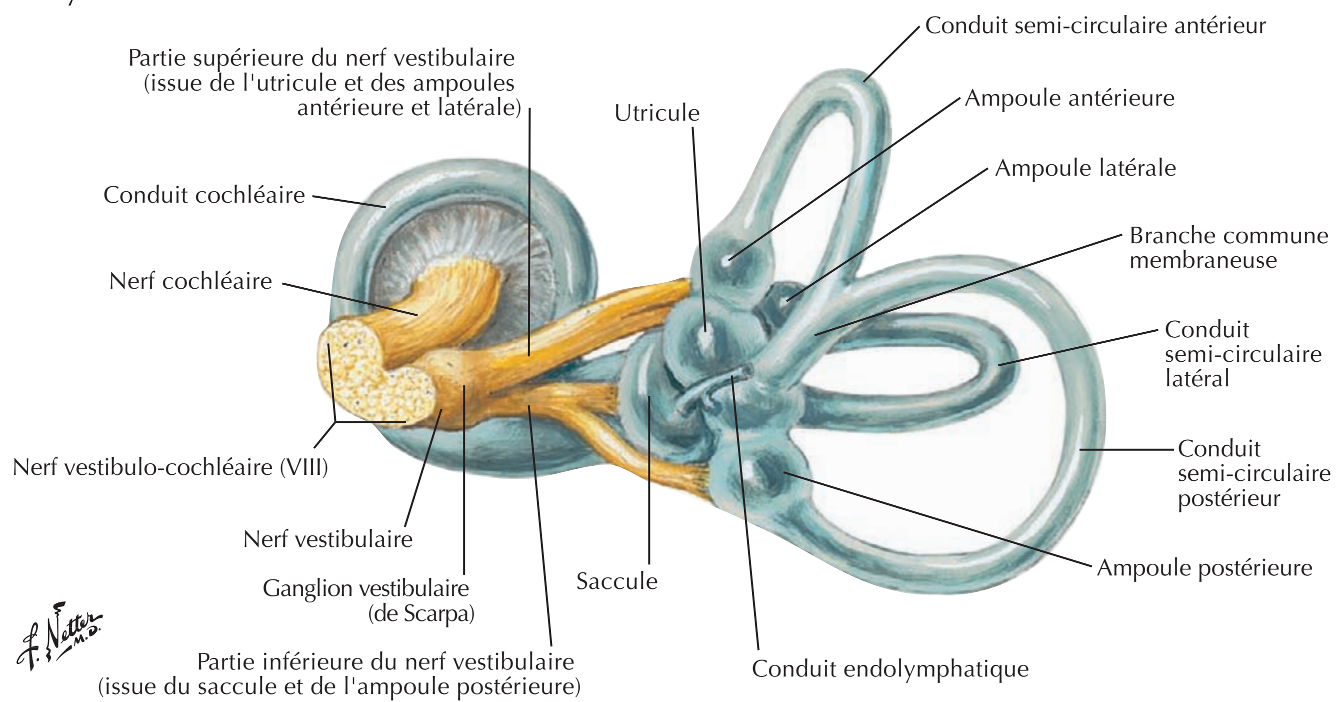
Voir aussi **Planche 123**

Labyrinthe osseux droit (capsule otique), vue antéro-latérale : après ablation de l'os environnant

Labyrinthe osseux droit (capsule otique) disséqué : labyrinthe membraneux ôté

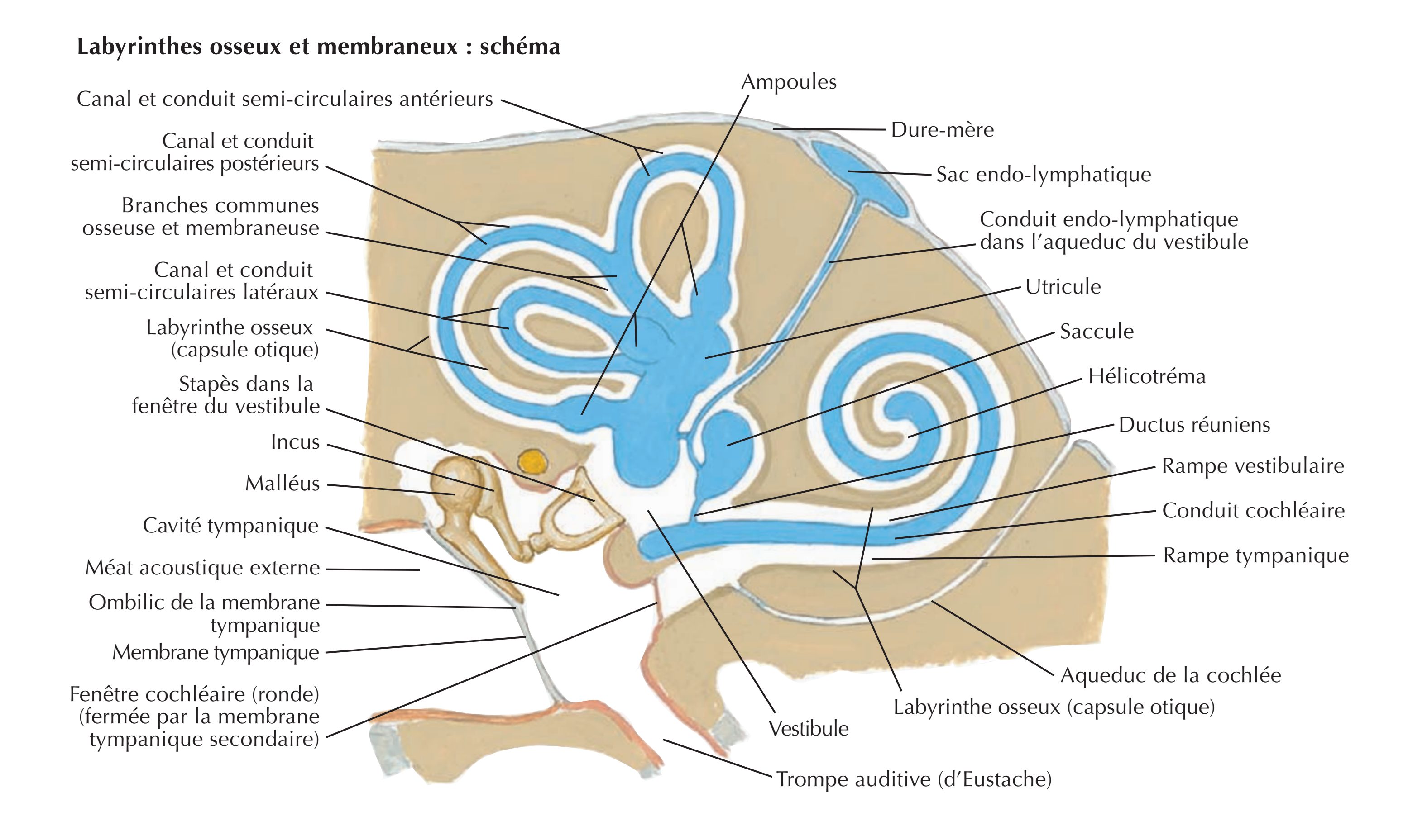


Labyrinthe membraneux droit avec ses nerfs : vue médiale

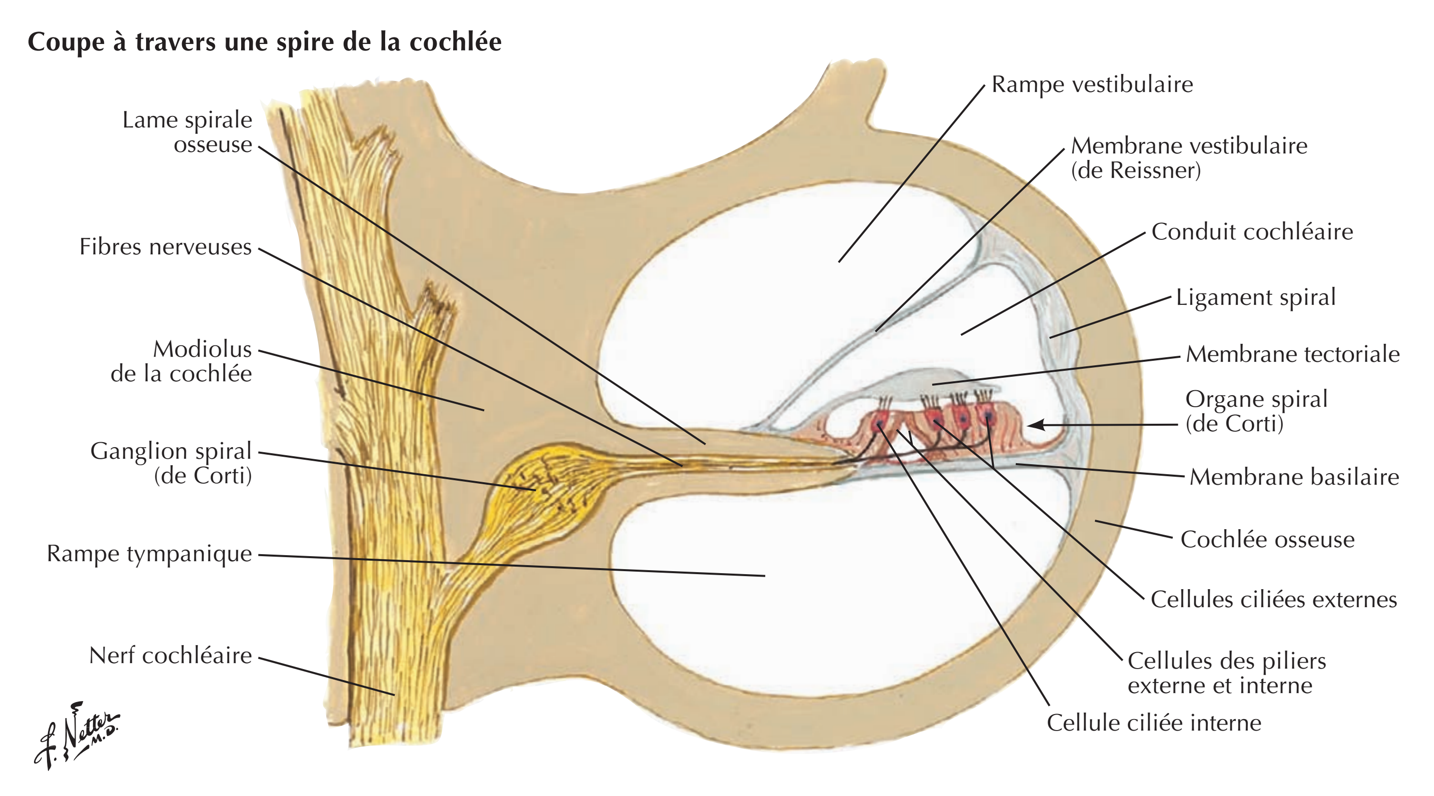


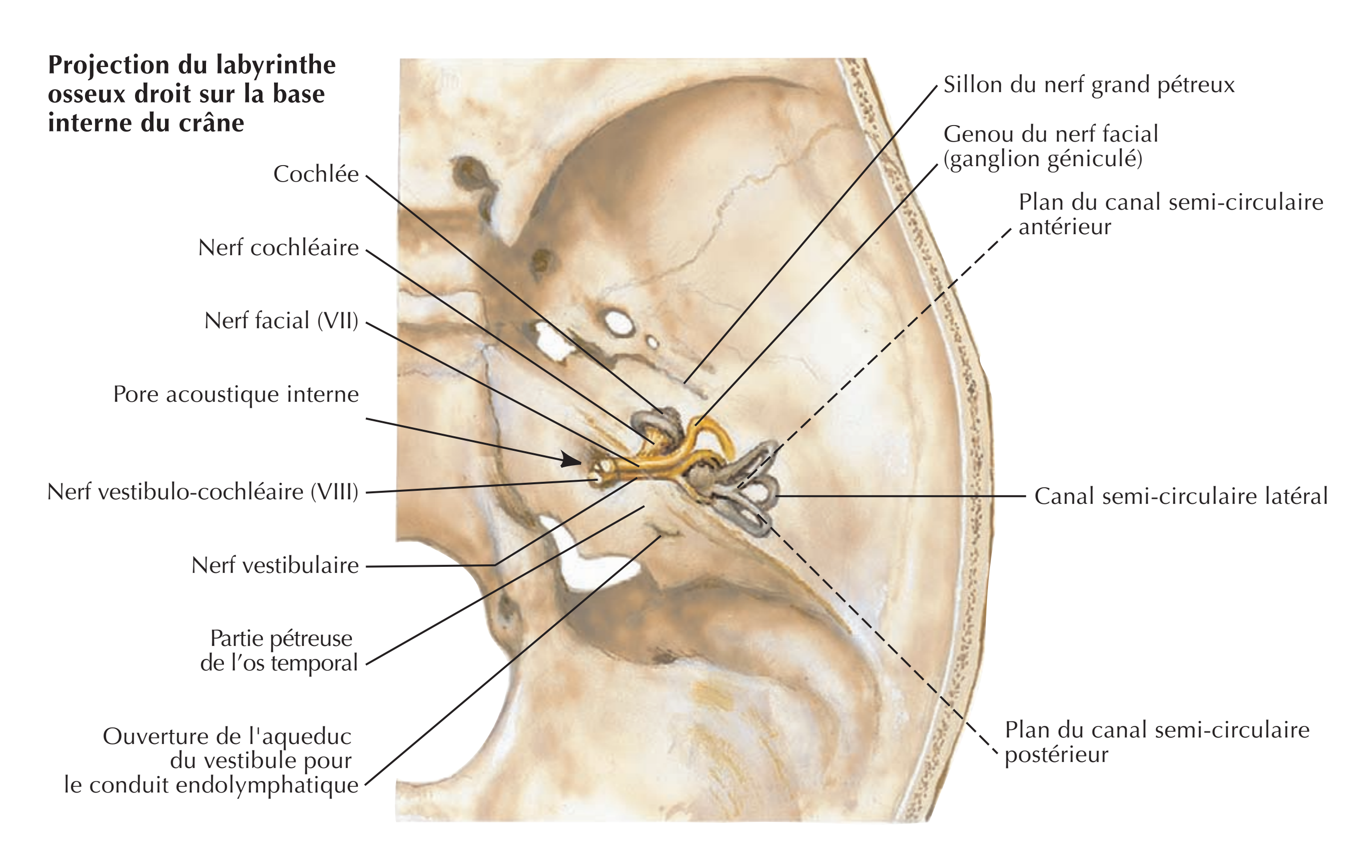
Os et labyrinthe membraneux (suite)

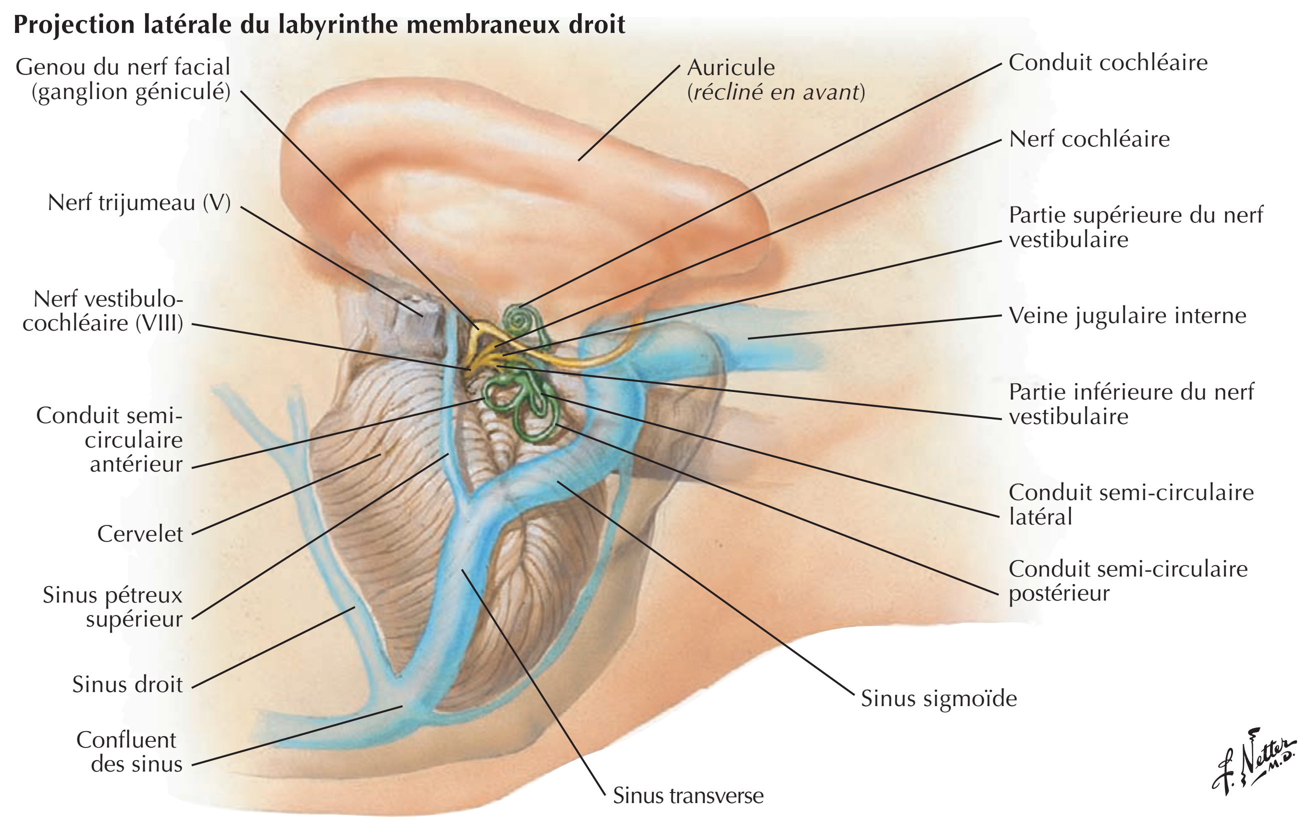
Labyrinthes osseux et membraneux : schéma



Coupe à travers une spire de la cochlée



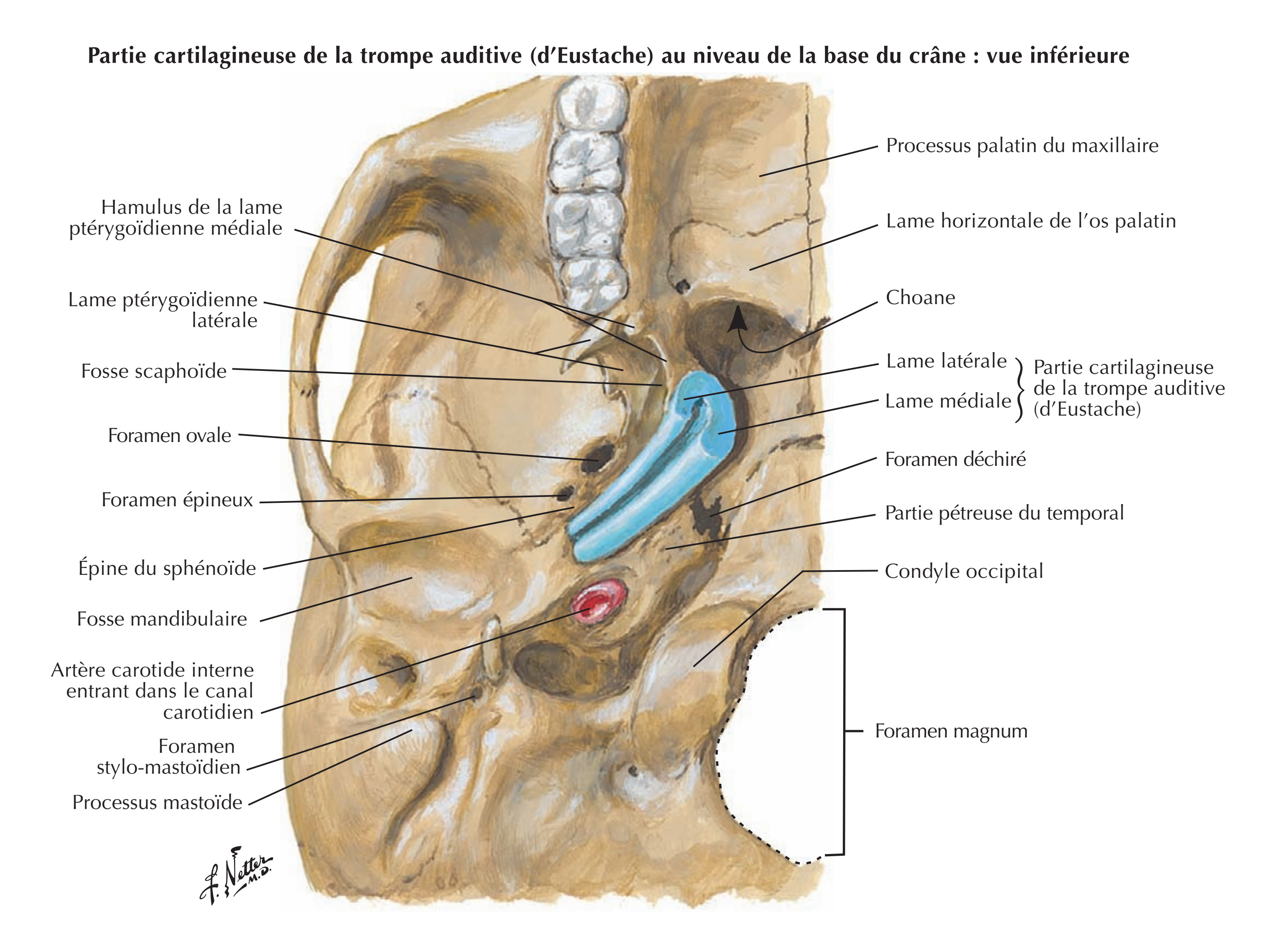

Projection du labyrinthe osseux droit sur la base interne du crâne
Cochlée
Nerf cochléaire
Nerf facial (VII)
Pore acoustique interne
Nerf vestibulo-cochléaire (VIII)
Nerf vestibulaire
Partie pétreuse de l'os temporal
Ouverture de l'aqueduc du vestibule pour le conduit endolymphatique
Sillon du nerf grand pétreux
Genou du nerf facial (ganglion géniculé)
Plan du canal semi-circulaire antérieur
Canal semi-circulaire latéral
Plan du canal semi-circulaire postérieur


Projection latérale du labyrinthe membraneux droit
Genou du nerf facial (ganglion géniculé)
Nerf trijumeau (V)
Nerf vestibulo-cochléaire (VIII)
Conduit semi-circulaire antérieur
Cervelet
Sinus pétreux supérieur
Sinus droit
Confluent des sinus
Sinus transverse
Auricule (récliné en avant)
Conduit cochléaire
Nerf cochléaire
Partie supérieure du nerf vestibulaire
Veine jugulaire interne
Partie inférieure du nerf vestibulaire
Conduit semi-circulaire latéral
Conduit semi-circulaire postérieur
Sinus sigmoïde

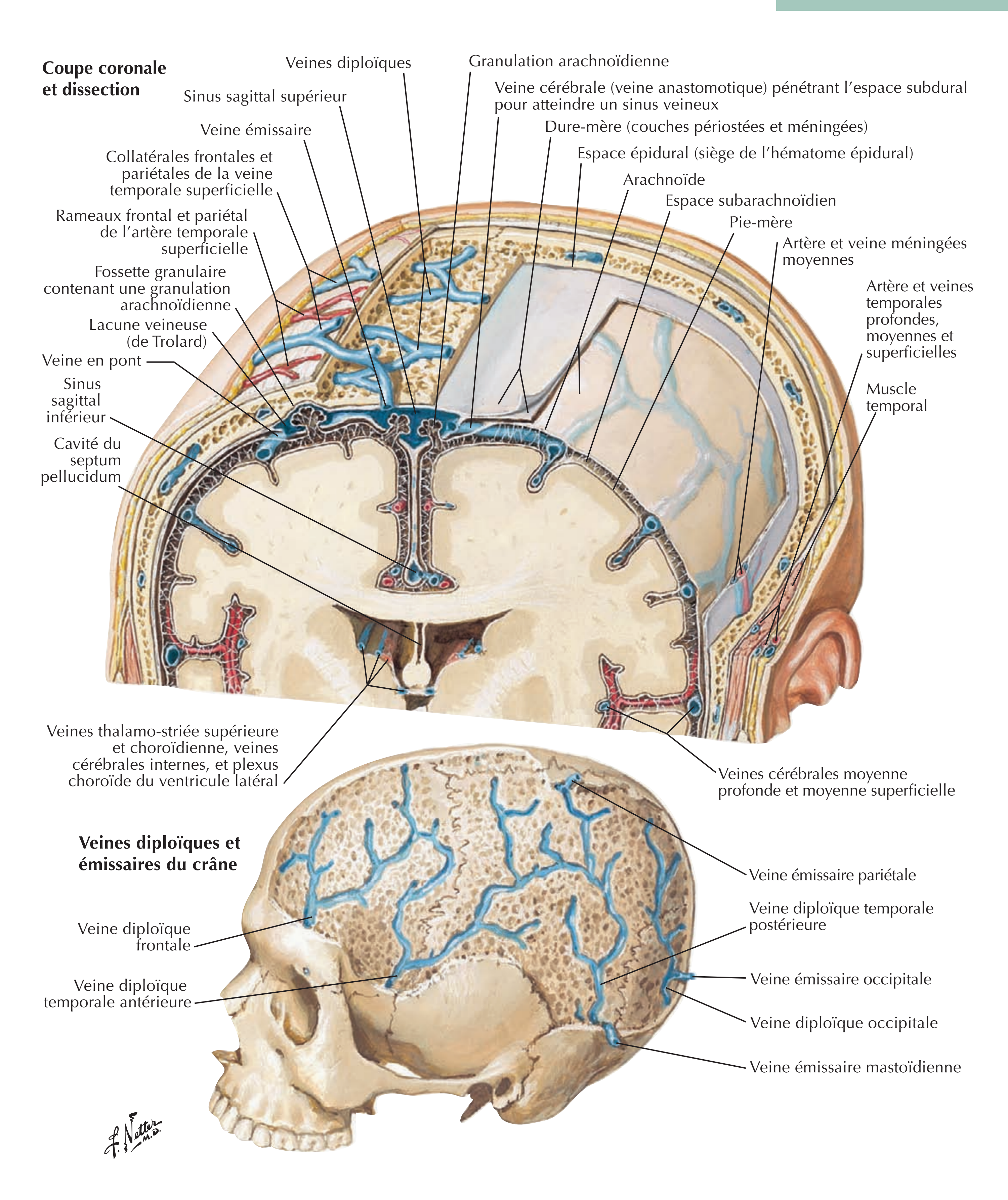
Trompe auditive

Voir aussi **Planches 52, 54, 65**

Partie cartilagineuse de la trompe auditive (d'Eustache) au niveau de la base du crâne : vue inférieure

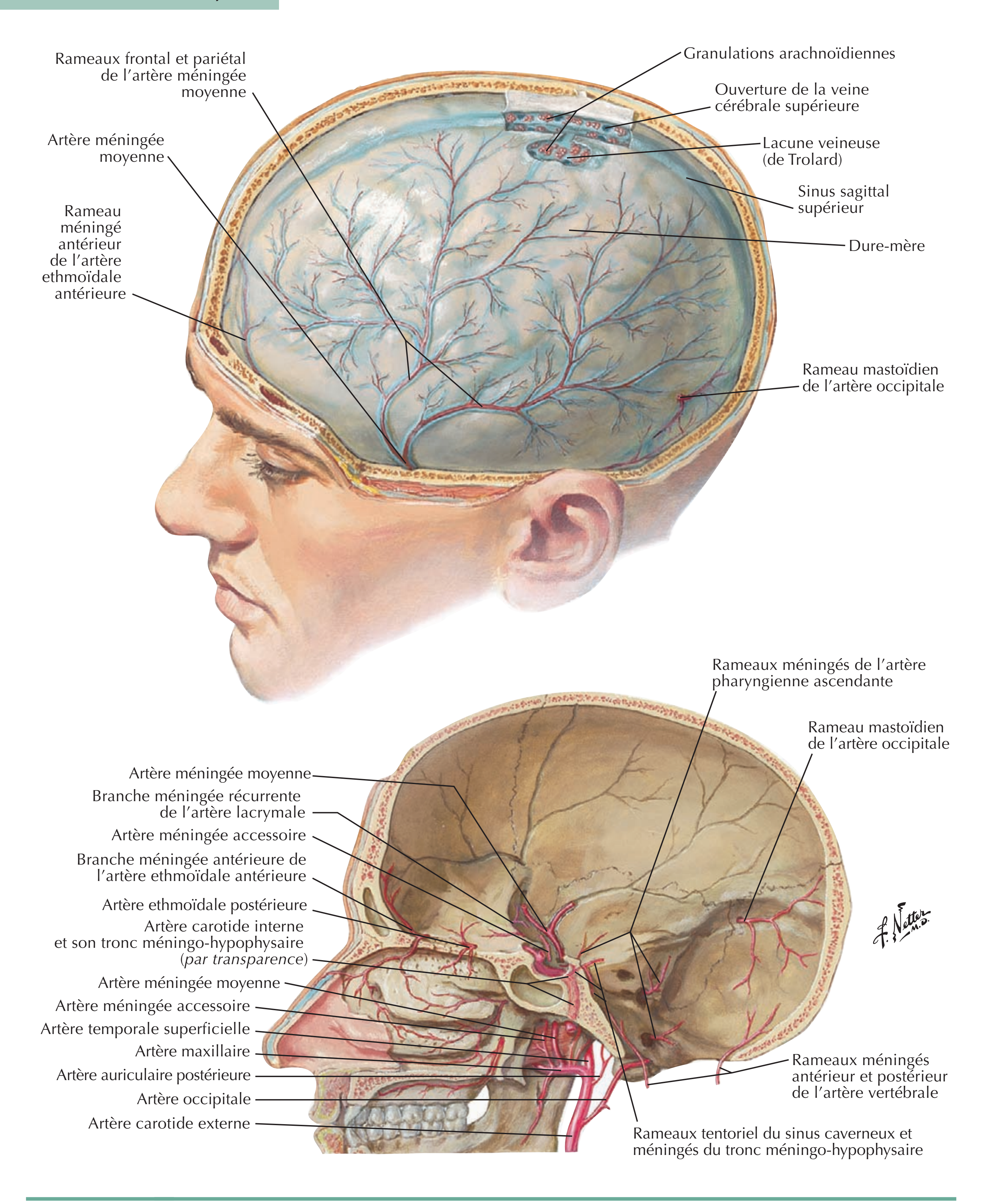


Voir aussi **Planche 3**



1 Artères méningées

Voir aussi **Planches 39, 135**



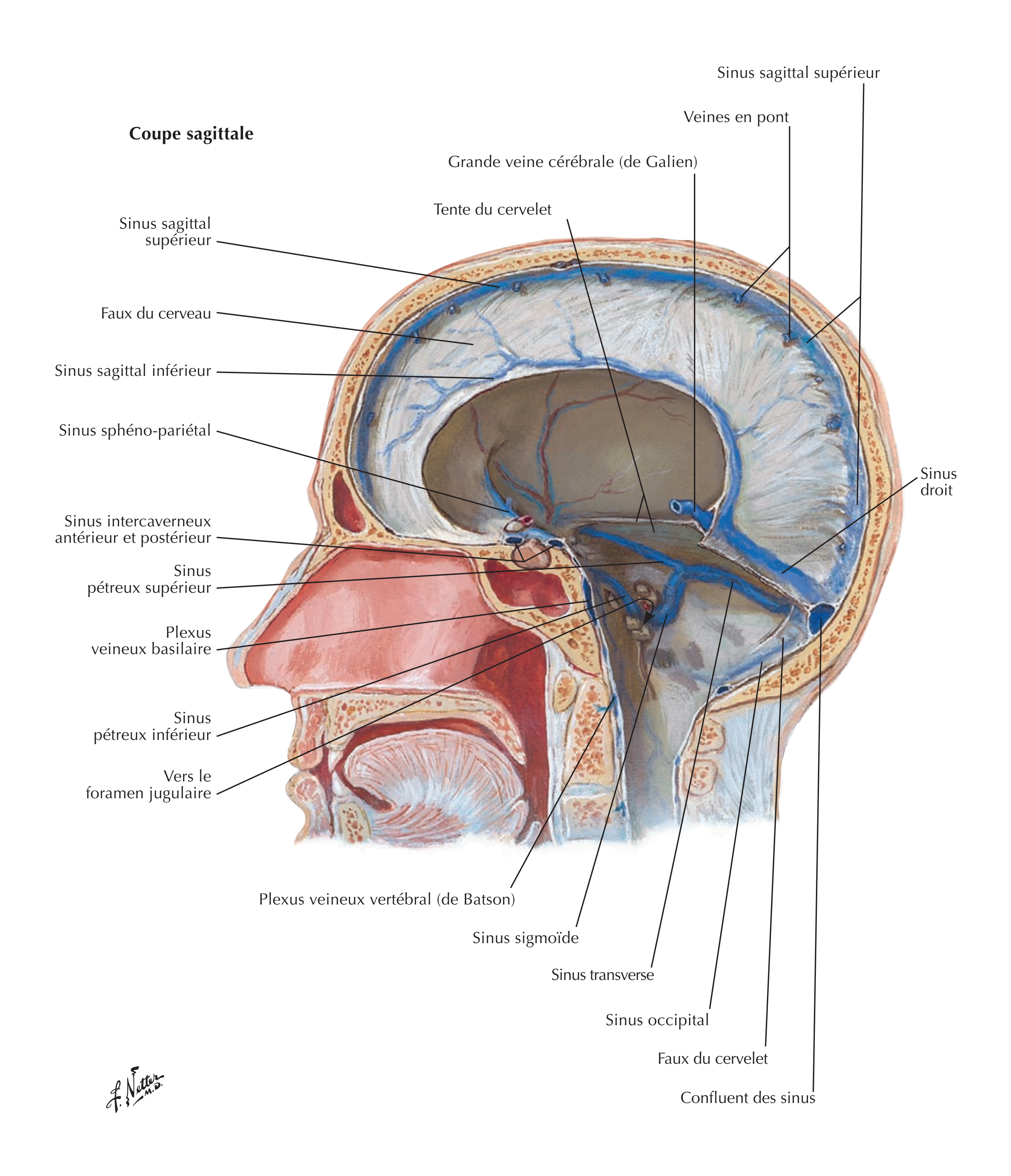
Méninges et veines cérébrales superficielles

Pour les veines profondes du cerveau, voir **Planche 143**

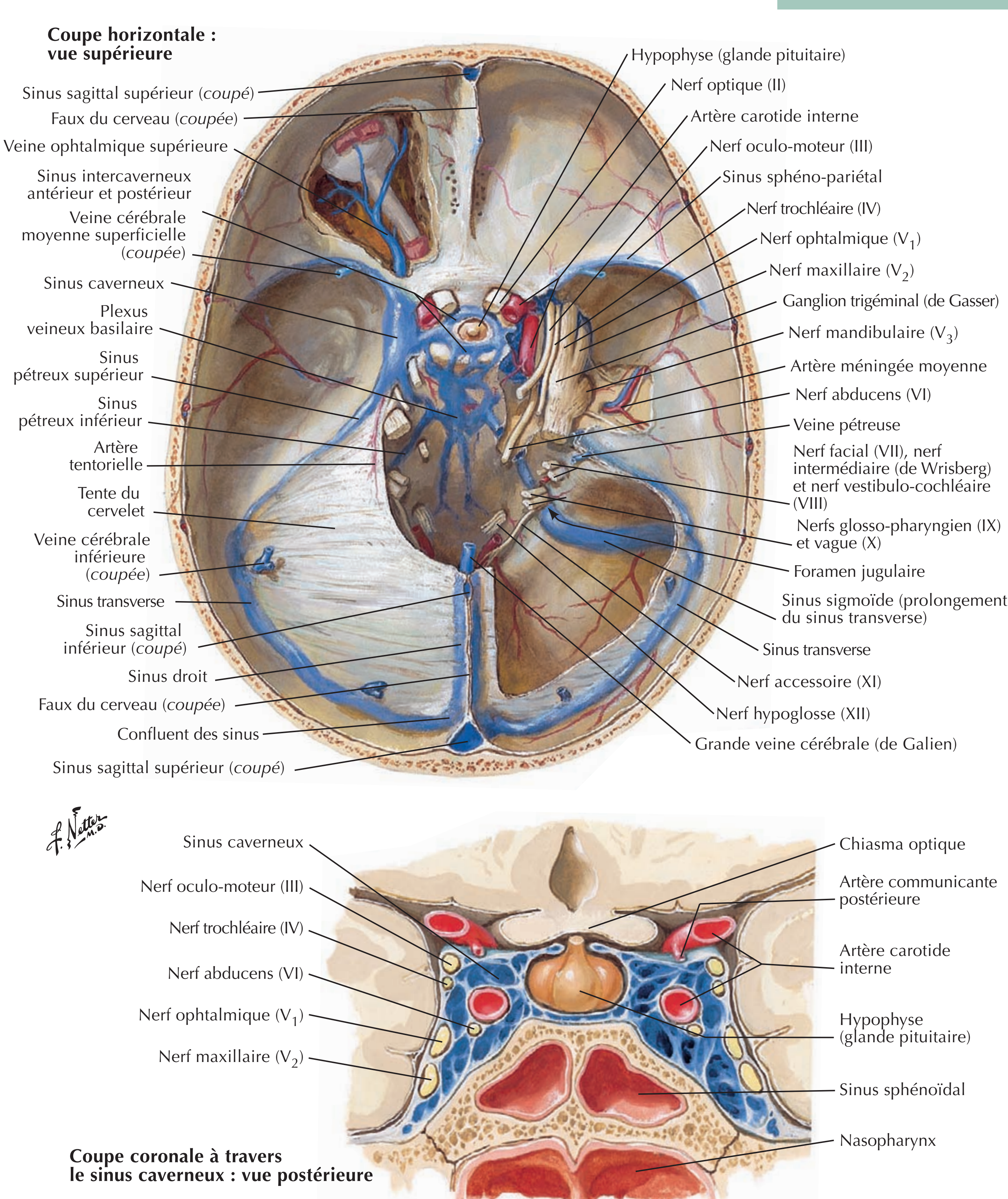
Peau
Tissu conjonctif
Galéa aponévrotique
Tissu aréolaire lâche
Épicrâne
Calvaria
Veine en pont
Fossette granulaire
Granulation arachnoïdienne
Sinus sagittal supérieur
Veine émissaire
Affluent de la veine temporale superficielle
Veine diploïque
Interface dure-mère et crâne (siège de l'hématome épidural)
Dure-mère
Interface arachnoïde et dure-mère (siège de l'hématome subdural)
Arachnoïde
Espace subarachnoïdien
Pia mater
Artère cérébrale
Veine cérébrale supérieure
Faux du cerveau
Hémisphère cérébral

Rameaux de l'artère méningée moyenne
Sinus sagittal supérieur
Dure-mère
Veines cérébrales supérieures (au-dessous de l'arachnoïde)
Artère et veines méningées moyennes
Muscle temporal
Veines cérébrales supérieures (veines anastomotiques) pénétrant l'arachnoïde et la dure-mère pour pénétrer le sinus sagittal supérieur
Veine anastomotique supérieure (de Trolard)
Veine anastomotique inférieure (de Labbé)
Veine cérébrale moyenne superficielle
Veines cérébrales inférieures (au-dessous de l'arachnoïde)
F. Netter M.D.

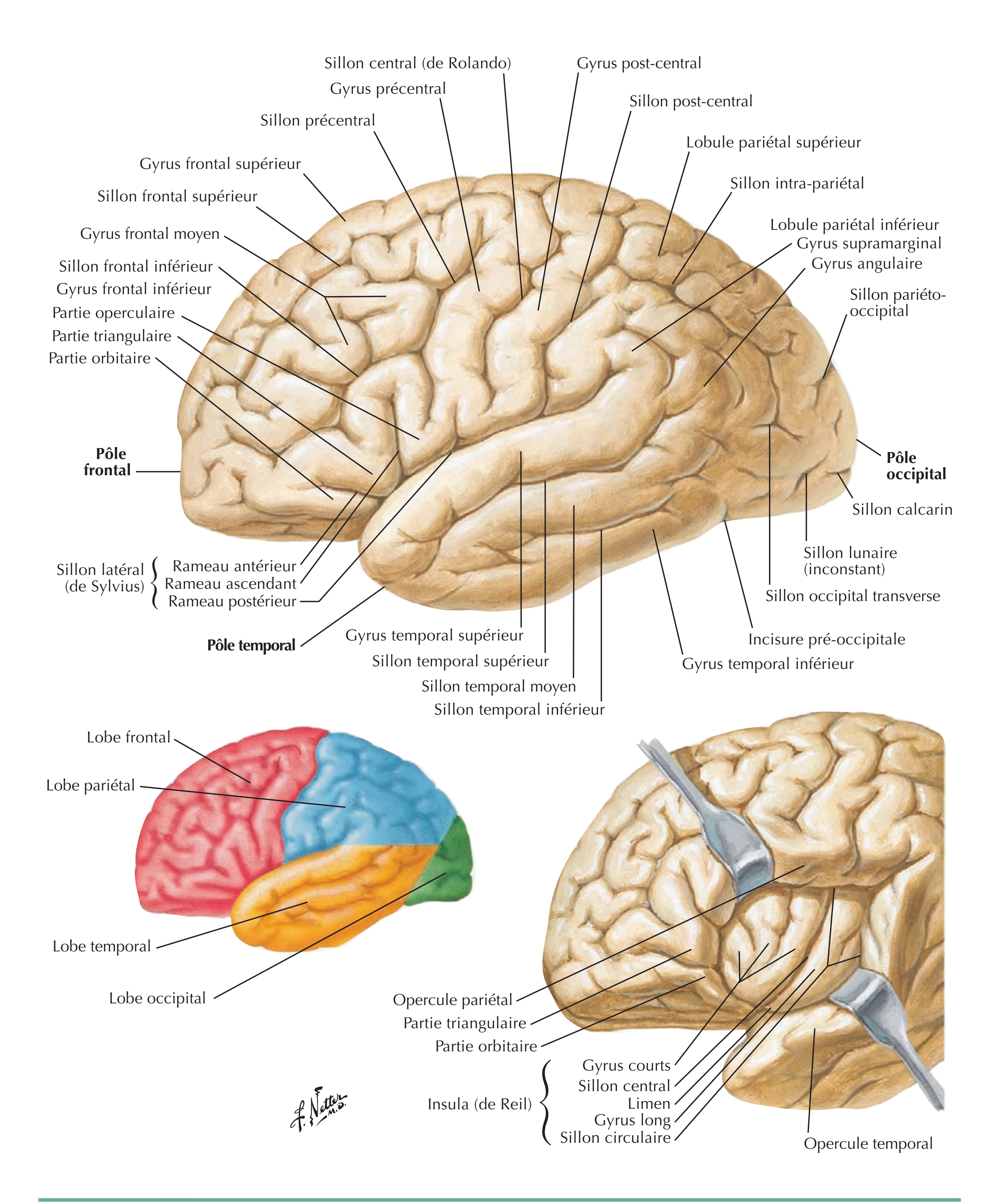
Sinus veineux de la dure-mère

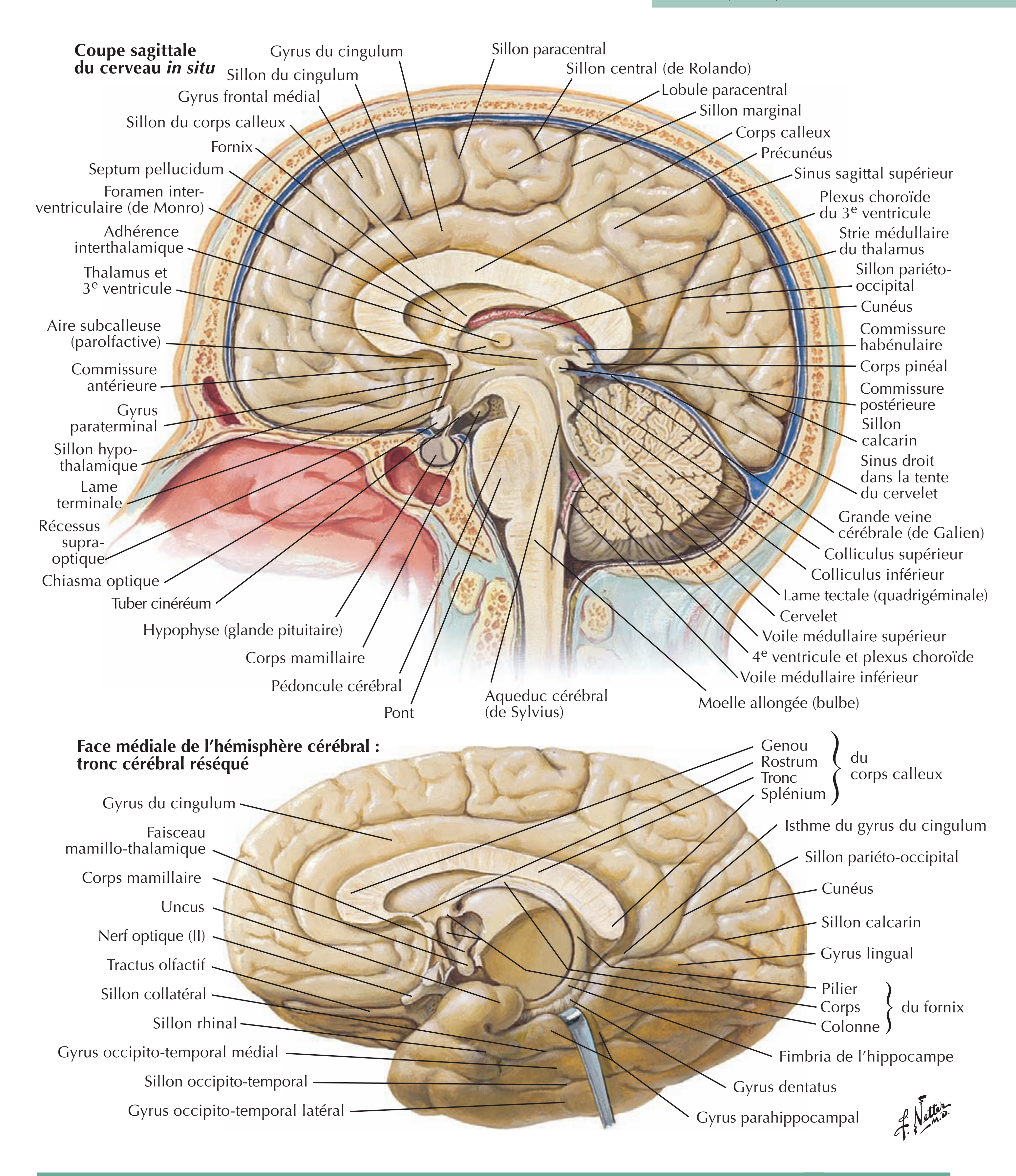


Voir aussi **Planche 85**



Cerveau : vues latérales





Coupe sagittale du cerveau *in situ*
Gyrus du cingulum
Sillon du cingulum
Gyrus frontal médial
Sillon du corps calleux
Fornix
Septum pellucidum
Foramen interventriculaire (de Monro)
Adhérence interthalamique
Thalamus et 3e ventricule
Aire subcalleuse (parolfactive)
Commissure antérieure
Gyrus paraterminal
Sillon hypothalamique
Lame terminale
Récessus supraoptique
Chiasma optique
Tuber cinéreum
Hypophyse (glande pituitaire)
Corps mamillaire
Pédoncule cérébral
Pont
Aqueduc cérébral (de Sylvius)
Moelle allongée (bulbe)
Sillon paracentral
Sillon central (de Rolando)
Lobule paracentral
Sillon marginal
Corps calleux
Précunéus
Sinus sagittal supérieur
Plexus choroïde du 3e ventricule
Strie médullaire du thalamus
Sillon pariéto-occipital
Cunéus
Commissure habénulaire
Corps pinéal
Commissure postérieure
Sillon calcarin
Sinus droit dans la tente du cervelet
Grande veine cérébrale (de Galien)
Colliculus supérieur
Colliculus inférieur
Lame tectale (quadrigéminale)
Cervelet
Voile médullaire supérieur
4e ventricule et plexus choroïde
Voile médullaire inférieur
Face médiale de l'hémisphère cérébral : tronc cérébral réséqué
Gyrus du cingulum
Faisceau mamillo-thalamique
Corps mamillaire
Uncus
Nerf optique (II)
Tractus olfactif
Sillon collatéral
Sillon rhinal
Gyrus occipito-temporal médial
Sillon occipito-temporal
Gyrus occipito-temporal latéral
Genou
Rostrum
Tronc
Splénium
du corps calleux
Isthme du gyrus du cingulum
Sillon pariéto-occipital
Cunéus
Sillon calcarin
Gyrus lingual
Pilier
Corps
Colonne
du fornix
Fimbria de l'hippocampe
Gyrus dentatus
Gyrus parahippocampal
F. Netter M.D.

Encéphale : vue inférieure

Pour l'hypophyse, voir **Planche 145**

Tronc cérébral sectionné

Pôle frontal du cerveau

Gyrus droit

Sillon olfactif

Sillons orbitaires

Gyrus orbitaires

Pôle temporal du cerveau

Sillon latéral (de Sylvius)

Sillon temporal inférieur

Gyrus occipito-temporal latéral

Bord inférieur du cerveau

Sillon rhinal

Uncus

Gyrus occipito-temporal latéral

Sillon occipito-temporal latéral

Gyrus occipito-temporal médial

Sillon collatéral

Gyrus parahippocampal

Gyrus lingual

Sillon calcarin

Isthme du gyrus du cingulum

Fissure longitudinale du cerveau

Genou du corps calleux

Lame terminale

Bulbe olfactif

Tractus olfactif

Chiasma optique

Nerf optique (II) (*coupé*)

Hypophyse (glande pituitaire)

Substance perforée antérieure

Tractus optique

Tuber cinéréum

Corps mamillaire

Substance perforée postérieure (dans la fosse interpédonculaire)

Pédoncule cérébral

Corps géniculé latéral

Substance noire

Corps géniculé médial

Noyau rouge

Pulvinar

Colliculus supérieur (des corps quadrijumeaux)

Aqueduc mésencéphalique (cérébral) (de Sylvius)

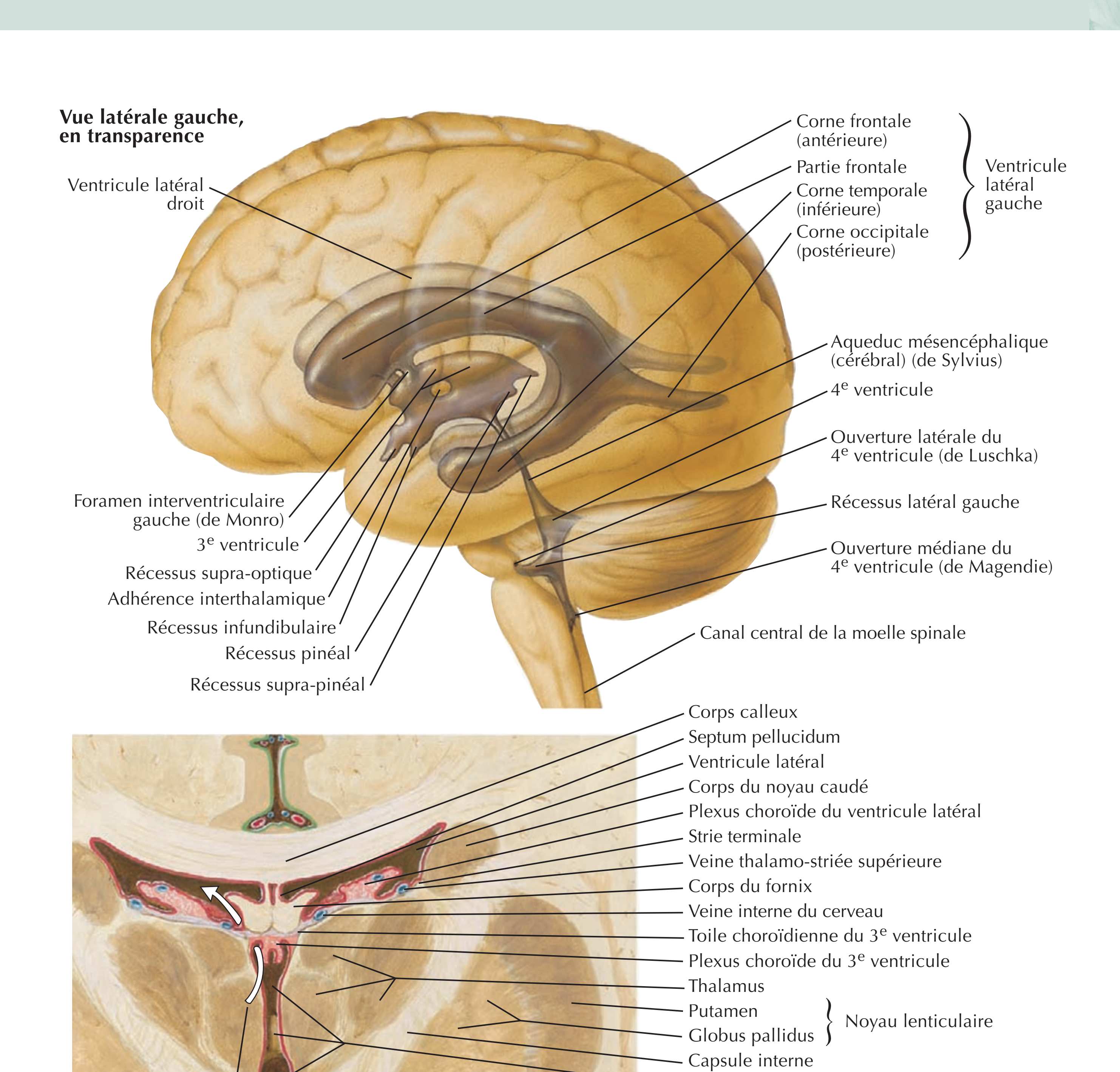
Splénium du corps calleux

Apex du cunéus

Pôle occipital du cerveau

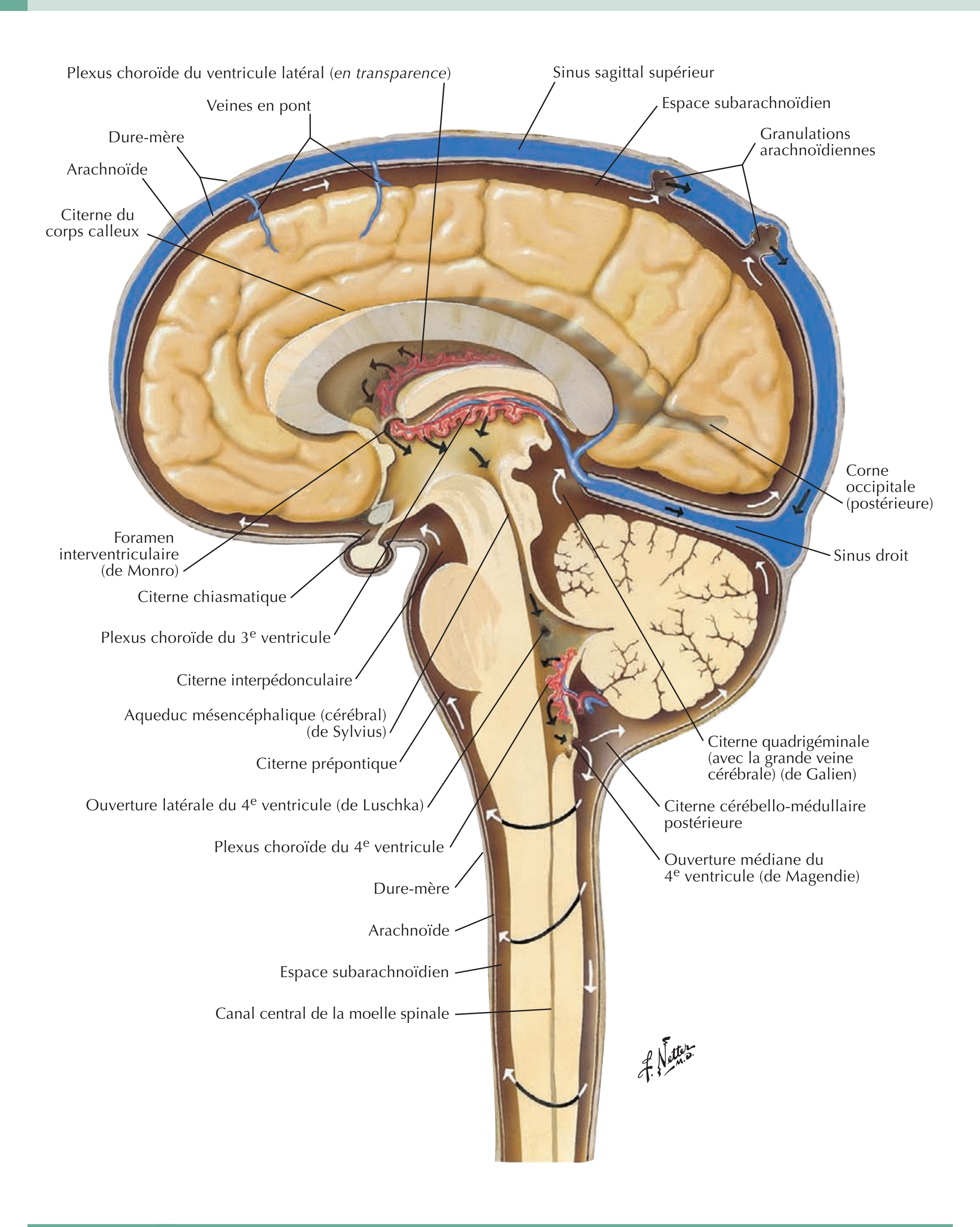
Fissure longitudinale du cerveau

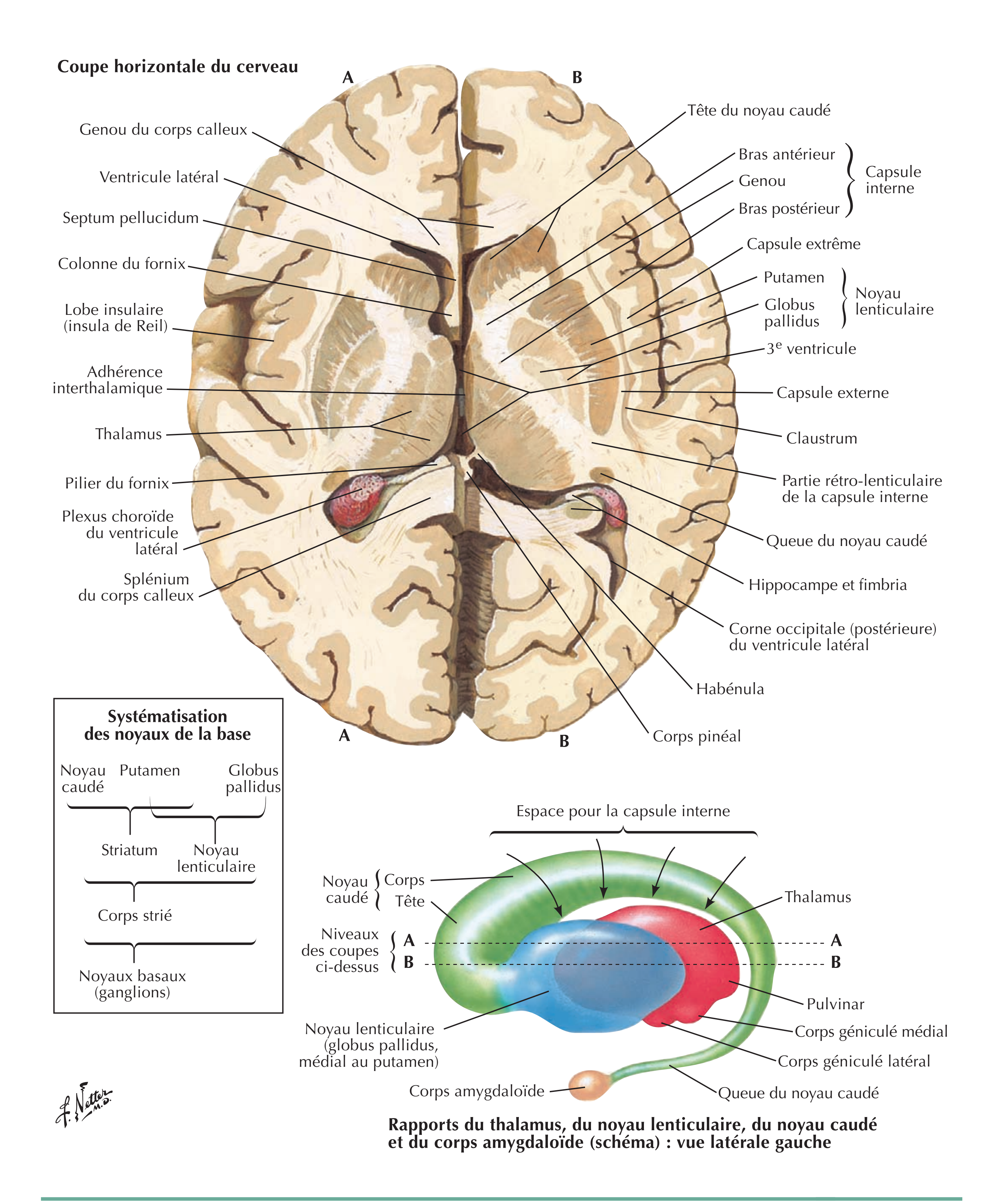




Coupe frontale du cerveau : vue postérieure

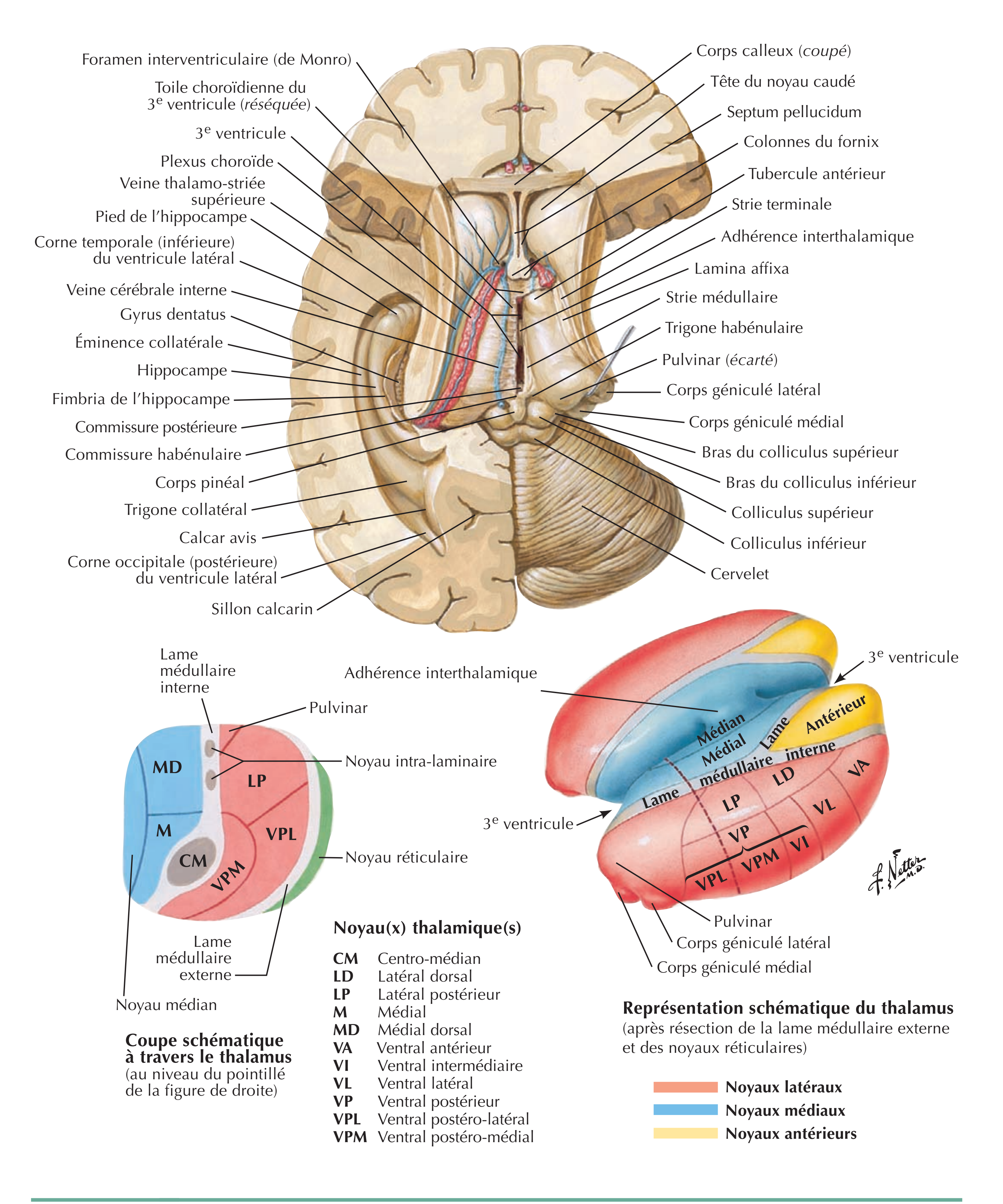
1 Circulation du liquide cérébro-spinal





Rapports du thalamus, du noyau lenticulaire, du noyau caudé et du corps amygdaloïde (schéma) : vue latérale gauche

Thalamus



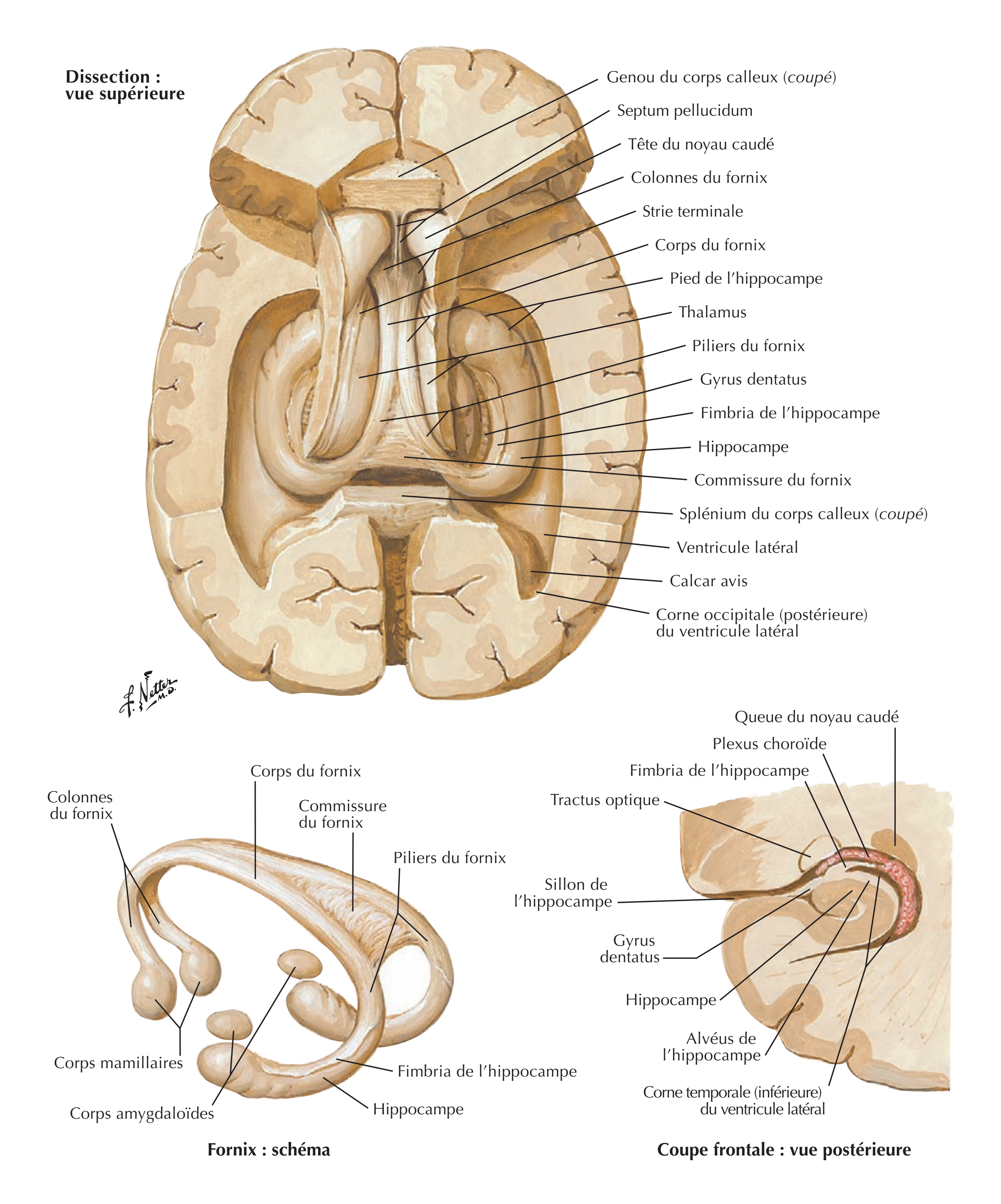
Coupe schématique à travers le thalamus
(au niveau du pointillé de la figure de droite)

Noyau(x) thalamique(s)

CM	Centro-médian
LD	Latéral dorsal
LP	Latéral postérieur
M	Médial
MD	Médial dorsal
VA	Ventral antérieur
VI	Ventral intermédiaire
VL	Ventral latéral
VP	Ventral postérieur
VPL	Ventral postéro-latéral
VPM	Ventral postéro-médial

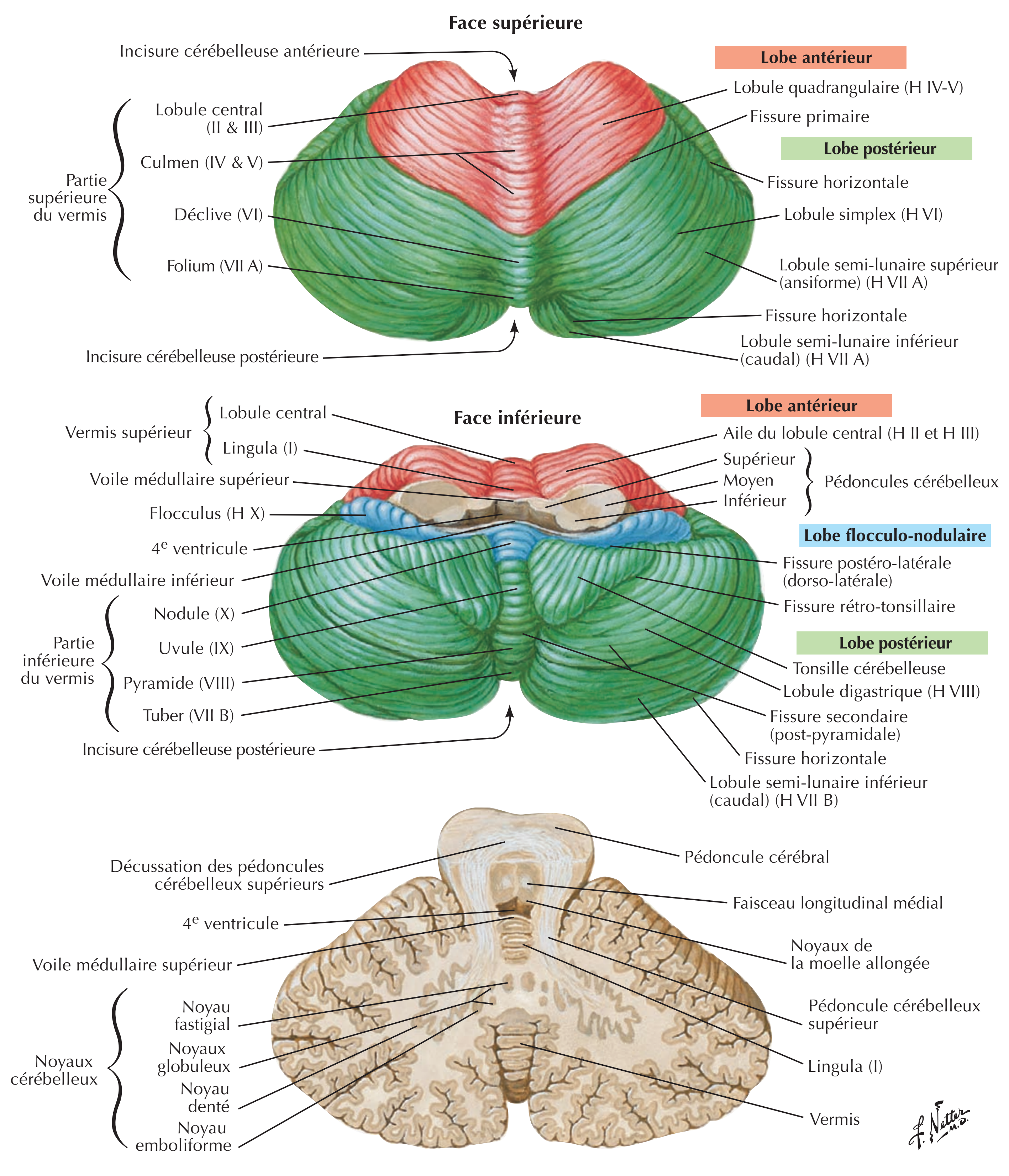
Représentation schématique du thalamus
(après résection de la lame médullaire externe et des noyaux réticulaires)

Noyaux latéraux
Noyaux médiaux
Noyaux antérieurs

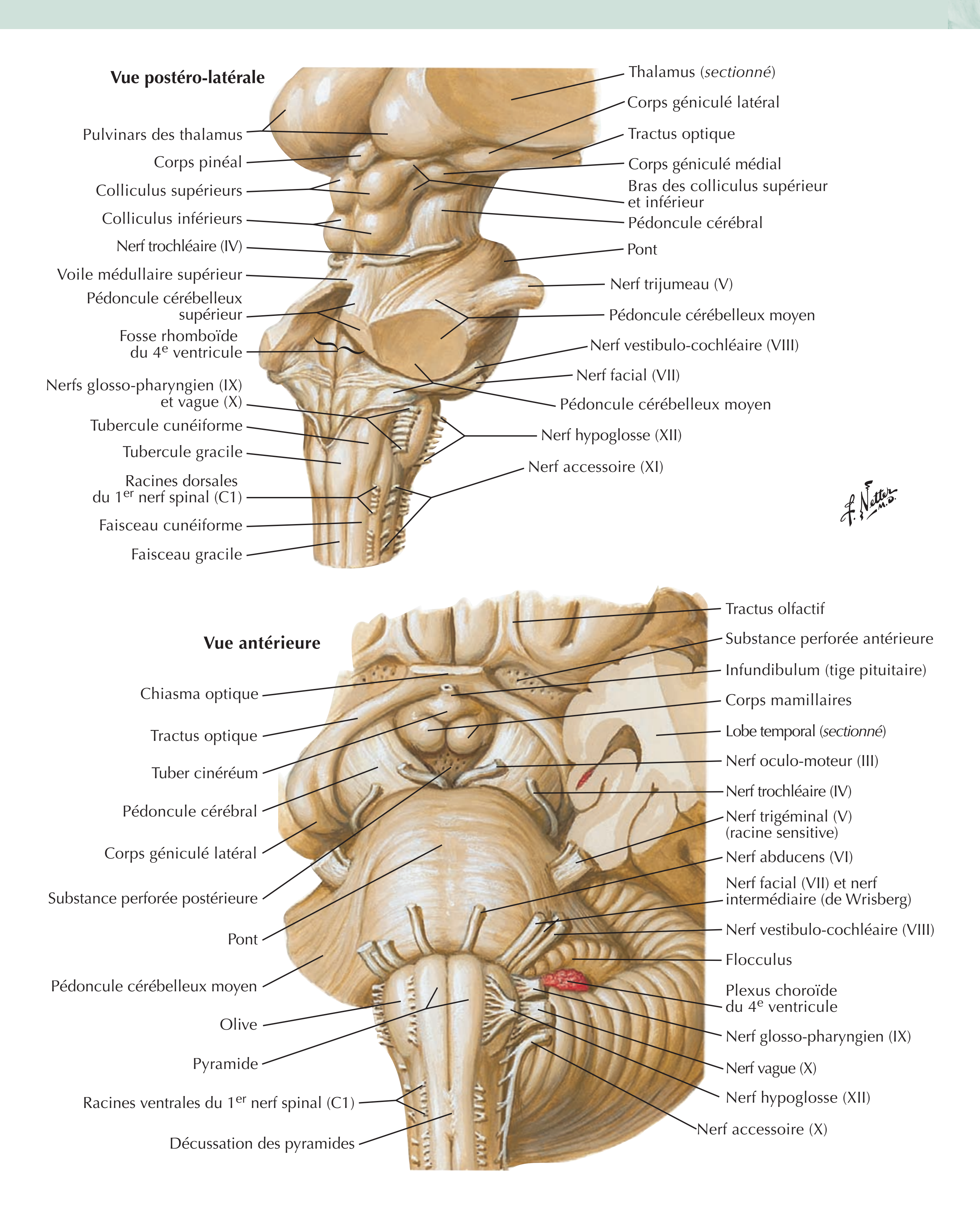


Dissection : vue supérieure
Genou du corps calleux (coupé)
Septum pellucidum
Tête du noyau caudé
Colonnes du fornix
Strie terminale
Corps du fornix
Pied de l'hippocampe
Thalamus
Piliers du fornix
Gyrus dentatus
Fimbria de l'hippocampe
Hippocampe
Commissure du fornix
Splénium du corps calleux (coupé)
Ventricule latéral
Calcar avis
Corne occipitale (postérieure) du ventricule latéral
Corps du fornix
Colonnes du fornix
Commissure du fornix
Piliers du fornix
Corps mamillaires
Fimbria de l'hippocampe
Corps amygdaloïdes
Hippocampe
Fornix : schéma
Queue du noyau caudé
Plexus choroïde
Fimbria de l'hippocampe
Tractus optique
Sillon de l'hippocampe
Gyrus dentatus
Hippocampe
Alvéus de l'hippocampe
Corne temporale (inférieure) du ventricule latéral
Coupe frontale : vue postérieure

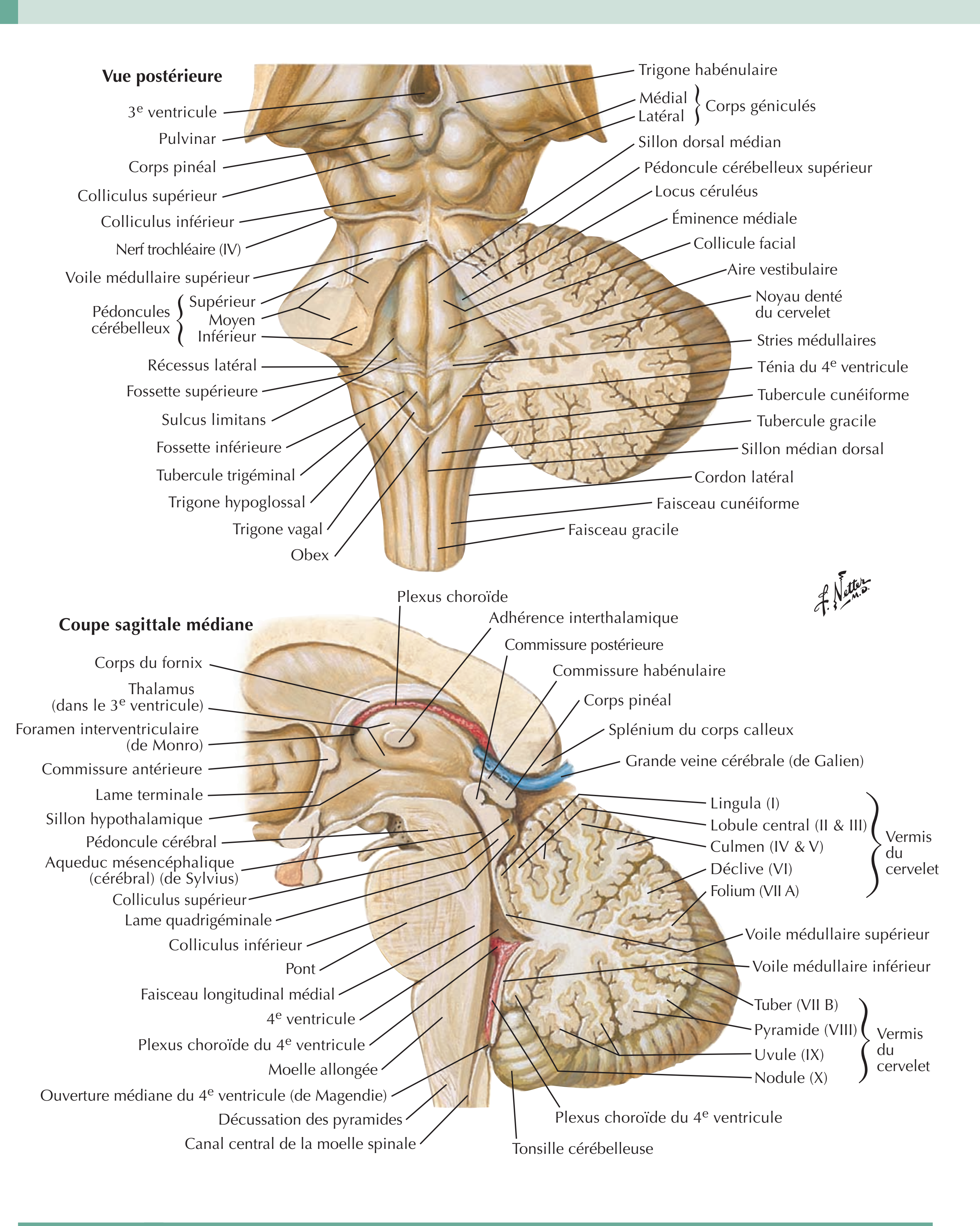
Cervelet

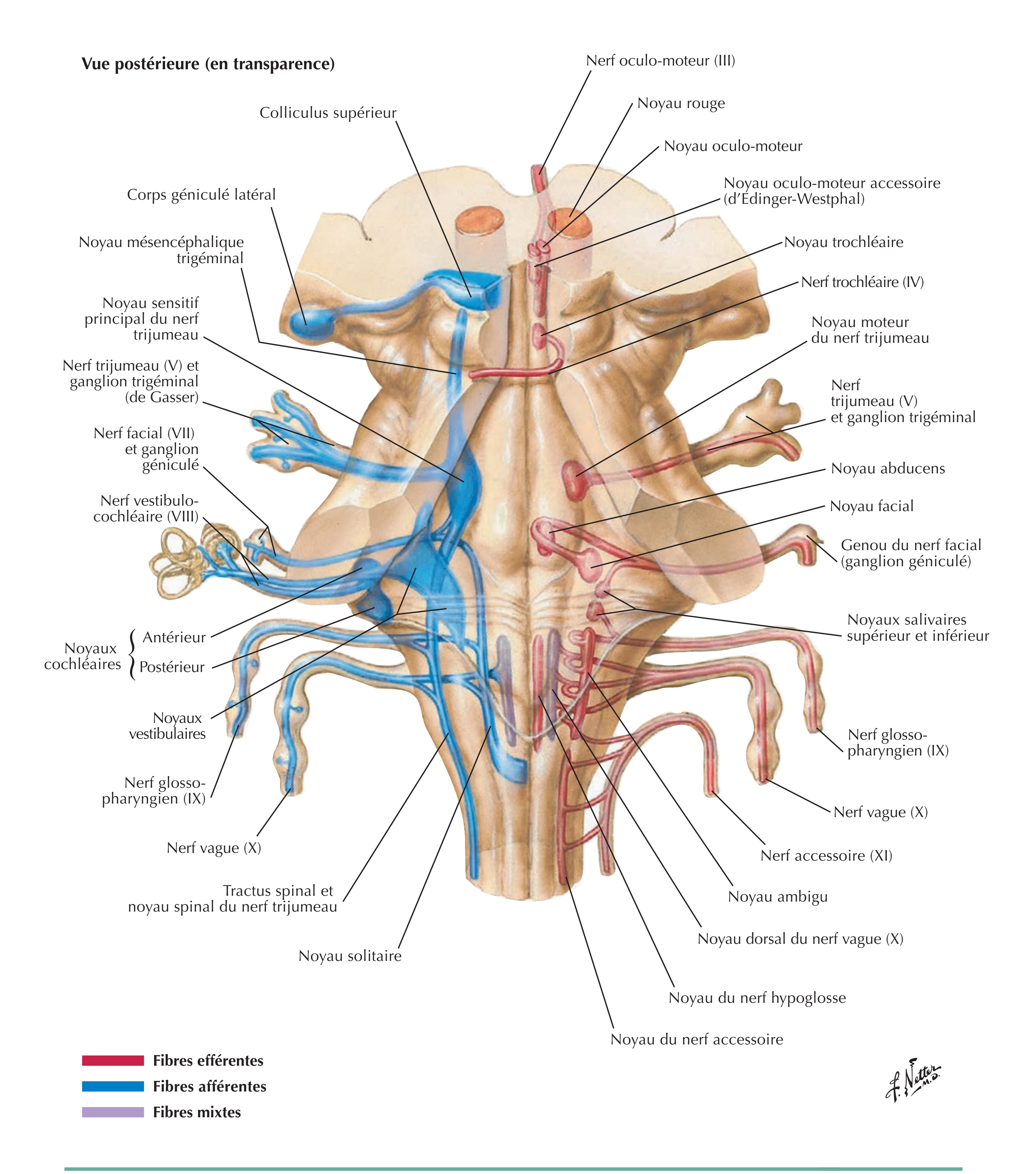


Coupe transversale au niveau du pédoncule cérébelleux supérieur

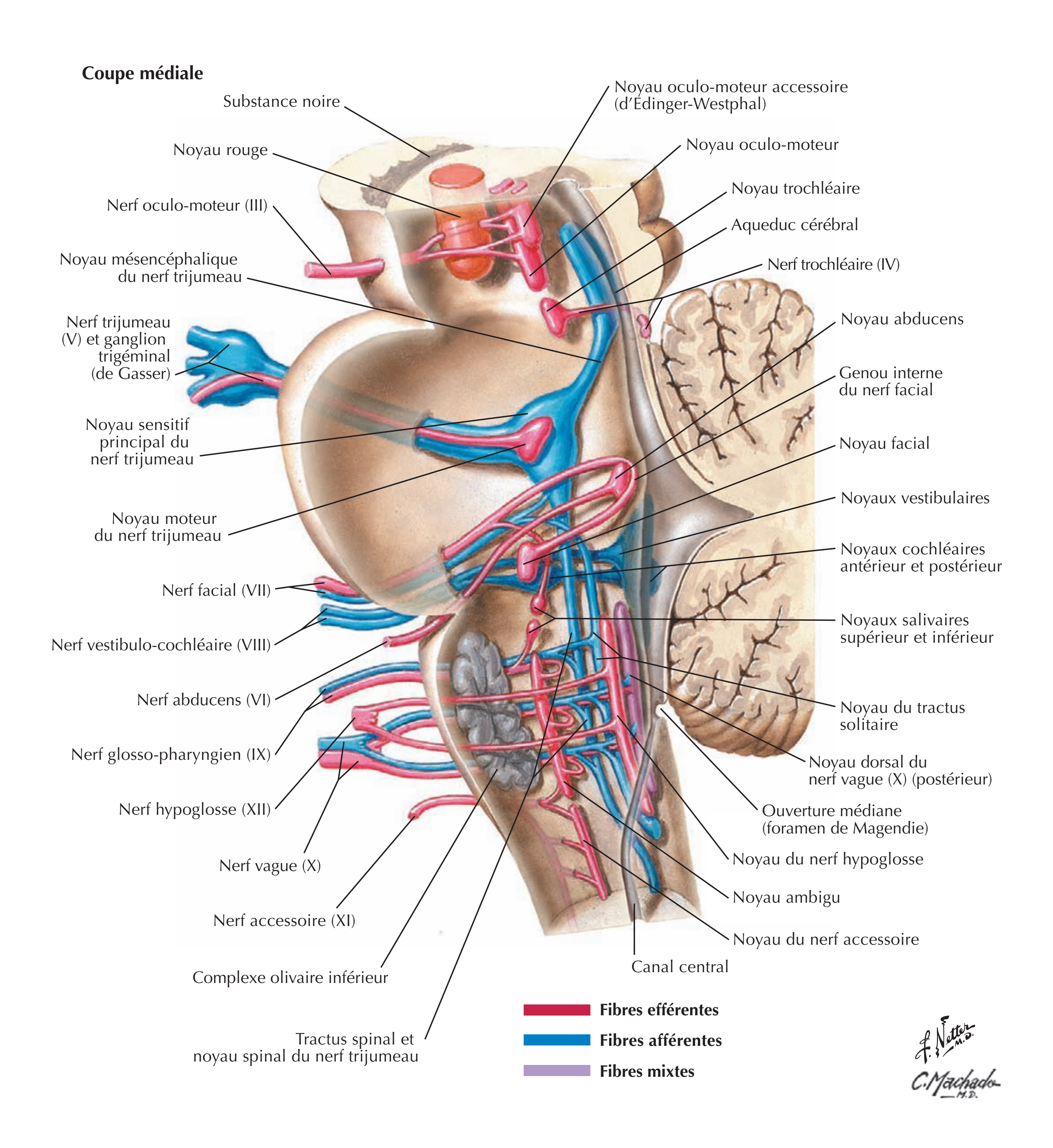

Vue postéro-latérale
Thalamus (sectionné)
Corps géniculé latéral
Tractus optique
Corps géniculé médial
Bras des colliculus supérieur et inférieur
Pédoncule cérébral
Pont
Nerf trijumeau (V)
Pédoncule cérébelleux moyen
Nerf vestibulo-cochléaire (VIII)
Nerf facial (VII)
Pédoncule cérébelleux moyen
Nerf hypoglosse (XII)
Nerf accessoire (XI)
Pulvinars des thalamus
Corps pinéal
Colliculus supérieurs
Colliculus inférieurs
Nerf trochléaire (IV)
Voile médullaire supérieur
Pédoncule cérébelleux supérieur
Fosse rhomboïde du 4e ventricule
Nerfs glosso-pharyngien (IX) et vague (X)
Tubercule cunéiforme
Tubercule gracile
Racines dorsales du 1er nerf spinal (C1)
Faisceau cunéiforme
Faisceau gracile
F. Netter M.D.
Vue antérieure
Tractus olfactif
Substance perforée antérieure
Infundibulum (tige pituitaire)
Corps mamillaires
Lobe temporal (sectionné)
Nerf oculo-moteur (III)
Nerf trochléaire (IV)
Nerf trigéminal (V) (racine sensitive)
Nerf abducens (VI)
Nerf facial (VII) et nerf intermédiaire (de Wrisberg)
Nerf vestibulo-cochléaire (VIII)
Flocculus
Plexus choroïde du 4e ventricule
Nerf glosso-pharyngien (IX)
Nerf vague (X)
Nerf hypoglosse (XII)
Nerf accessoire (X)
Chiasma optique
Tractus optique
Tuber cinéréum
Pédoncule cérébral
Corps géniculé latéral
Substance perforée postérieure
Pont
Pédoncule cérébelleux moyen
Olive
Pyramide
Racines ventrales du 1er nerf spinal (C1)
Décussation des pyramides

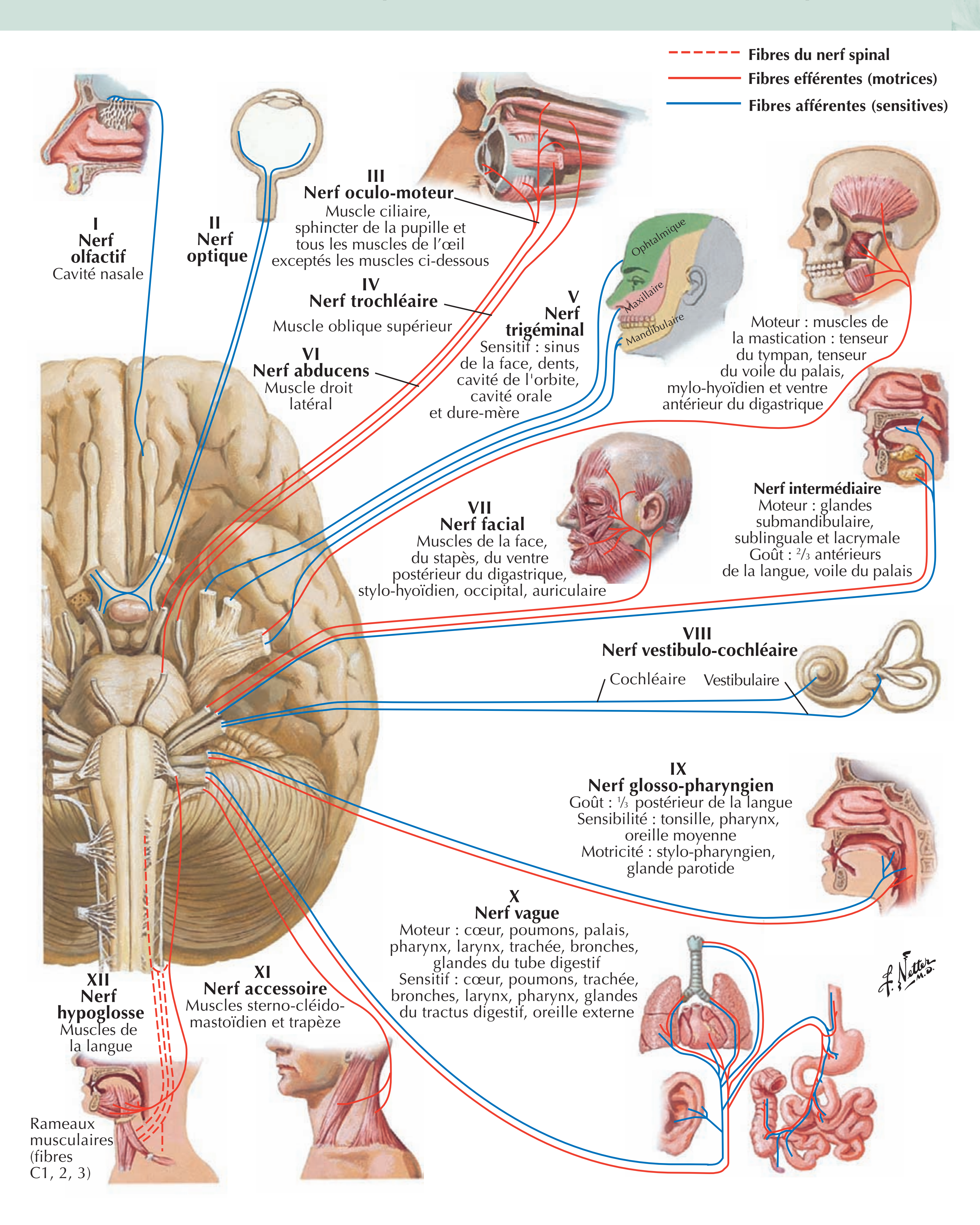
Quatrième ventricule et cervelet




Vue postérieure (en transparence)
Nerf oculo-moteur (III)
Noyau rouge
Colliculus supérieur
Noyau oculo-moteur
Corps géniculé latéral
Noyau oculo-moteur accessoire (d'Édinger-Westphal)
Noyau mésencéphalique trigéminal
Noyau trochléaire
Nerf trochléaire (IV)
Noyau sensitif principal du nerf trijumeau
Noyau moteur du nerf trijumeau
Nerf trijumeau (V) et ganglion trigéminal (de Gasser)
Nerf trijumeau (V) et ganglion trigéminal
Nerf facial (VII) et ganglion géniculé
Noyau abducens
Nerf vestibulo-cochléaire (VIII)
Noyau facial
Genou du nerf facial (ganglion géniculé)
Noyaux salivaires supérieur et inférieur
Noyaux cochléaires
Antérieur
Postérieur
Noyaux vestibulaires
Nerf glosso-pharyngien (IX)
Nerf glosso-pharyngien (IX)
Nerf vague (X)
Nerf vague (X)
Nerf accessoire (XI)
Tractus spinal et noyau spinal du nerf trijumeau
Noyau ambigu
Noyau solitaire
Noyau dorsal du nerf vague (X)
Noyau du nerf hypoglosse
Noyau du nerf accessoire
Fibres efférentes
Fibres afférentes
Fibres mixtes
F. Netter M.D.

Noyaux des nerfs crâniens dans le tronc cérébral (suite)

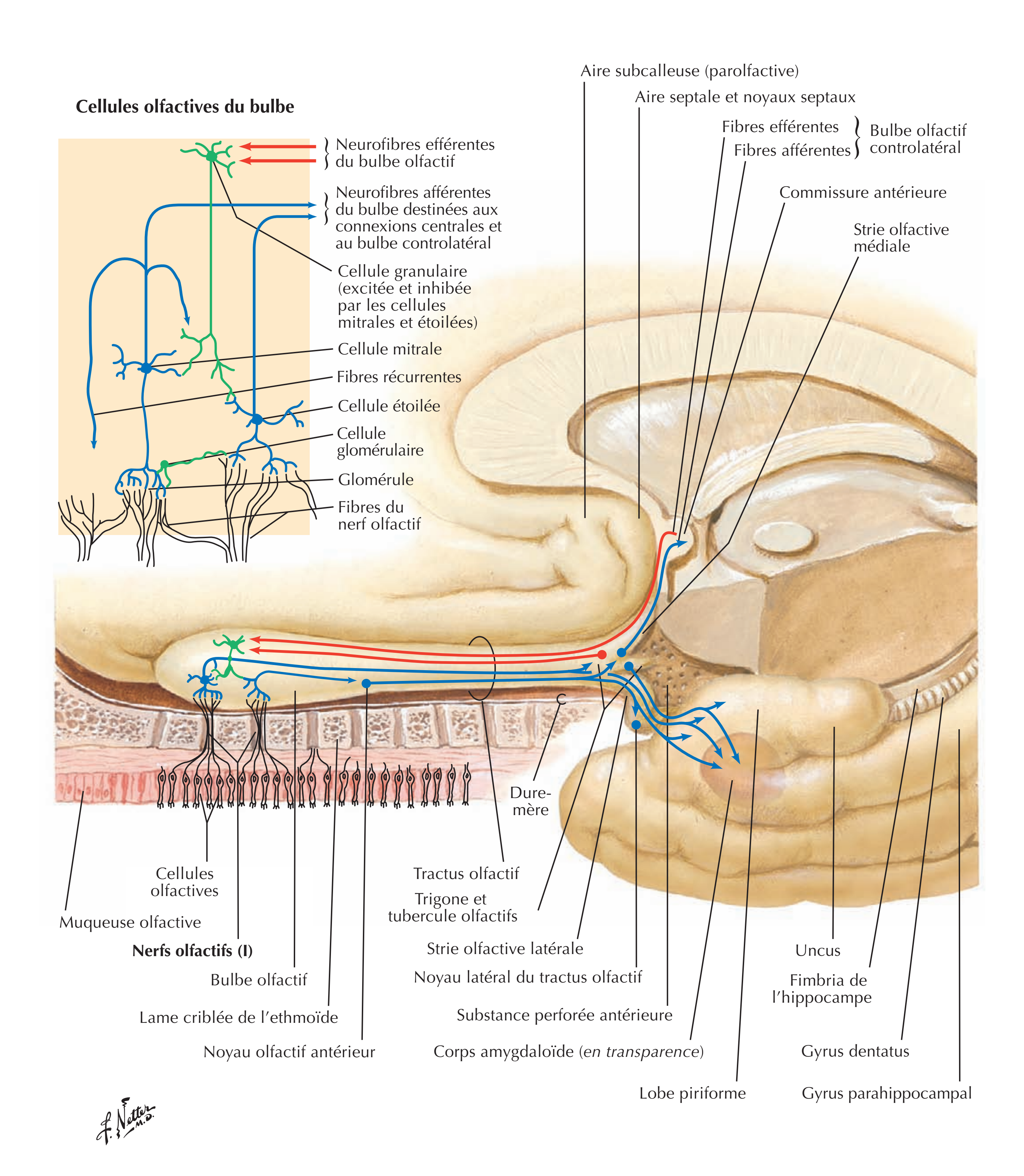


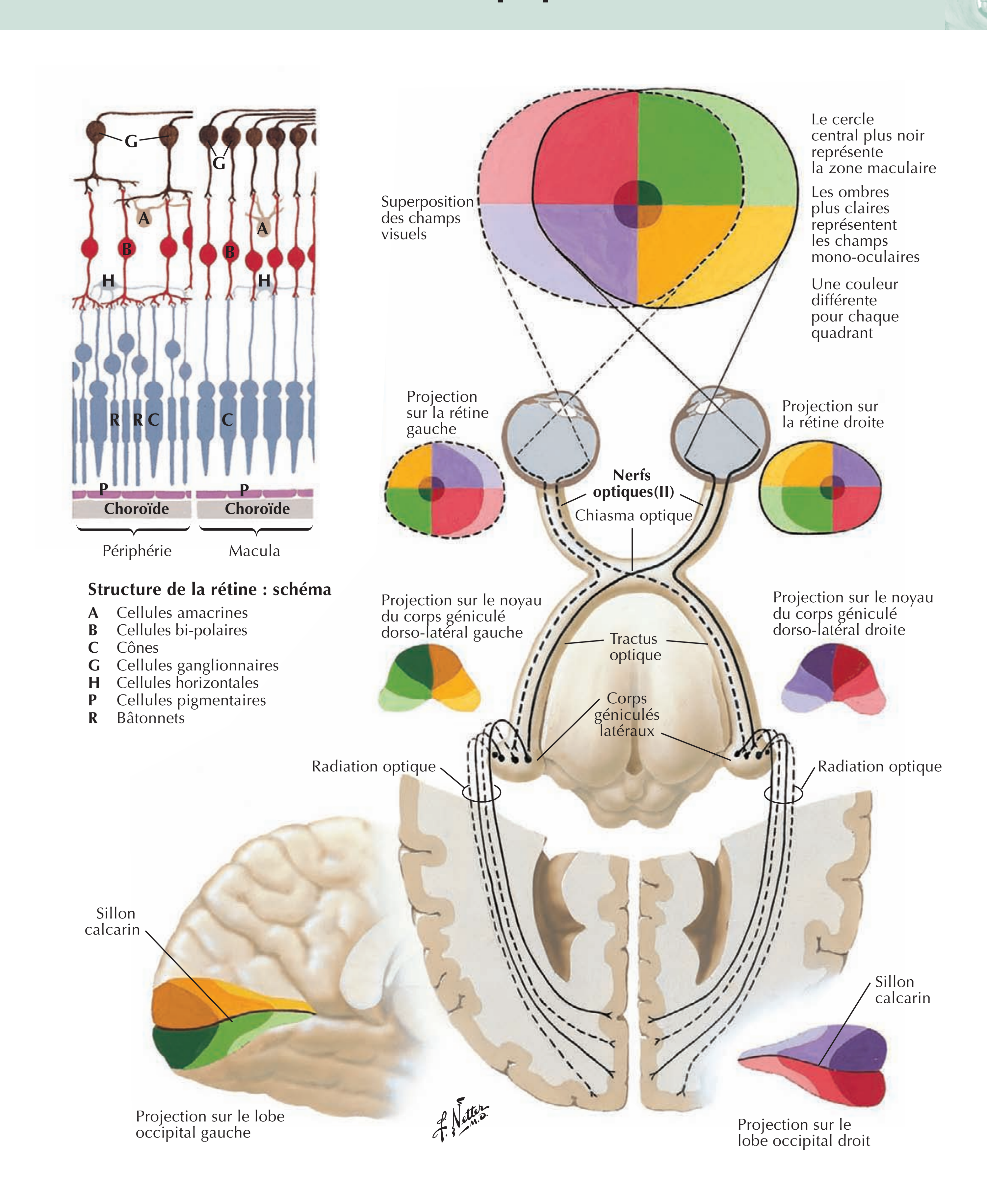


Fibres du nerf spinal
Fibres efférentes (motrices)
Fibres afférentes (sensitives)
I
Nerf olfactif
Cavité nasale
II
Nerf optique
III
Nerf oculo-moteur
Muscle ciliaire, sphincter de la pupille et tous les muscles de l'œil exceptés les muscles ci-dessous
IV
Nerf trochléaire
Muscle oblique supérieur
VI
Nerf abducens
Muscle droit latéral
V
Nerf trigéminal
Sensitif : sinus de la face, dents, cavité de l'orbite, cavité orale et dure-mère
Ophtalmique
Maxillaire
Mandibulaire
Moteur : muscles de la mastication : tenseur du tympan, tenseur du voile du palais, mylo-hyoïdien et ventre antérieur du digastrique
VII
Nerf facial
Muscles de la face, du stapès, du ventre postérieur du digastrique, stylo-hyoïdien, occipital, auriculaire
Nerf intermédiaire
Moteur : glandes submandibulaire, sublinguale et lacrymale
Goût : ²/₃ antérieurs de la langue, voile du palais
VIII
Nerf vestibulo-cochléaire
Cochléaire
Vestibulaire
IX
Nerf glosso-pharyngien
Goût : ⅓ postérieur de la langue
Sensibilité : tonsille, pharynx, oreille moyenne
Motricité : stylo-pharyngien, glande parotide
X
Nerf vague
Moteur : cœur, poumons, palais, pharynx, larynx, trachée, bronches, glandes du tube digestif
Sensitif : cœur, poumons, trachée, bronches, larynx, pharynx, glandes du tractus digestif, oreille externe
XI
Nerf accessoire
Muscles sterno-cléido-mastoïdien et trapèze
XII
Nerf hypoglosse
Muscles de la langue
Rameaux musculaires (fibres C1, 2, 3)
F. Netter M.D.

Nerfs olfactifs (I) : schéma

Voir aussi **Planche 42**



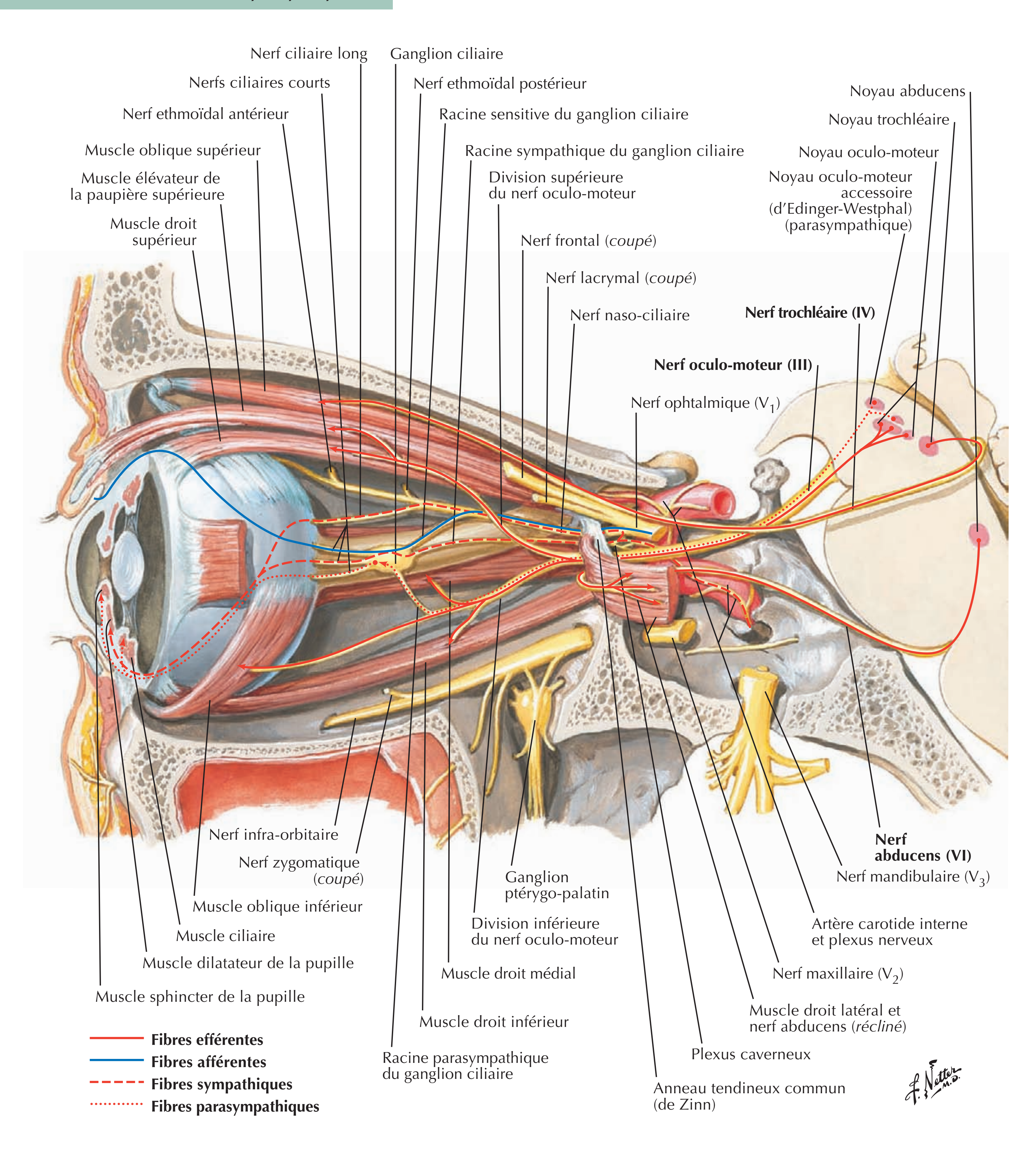


Structure de la rétine : schéma

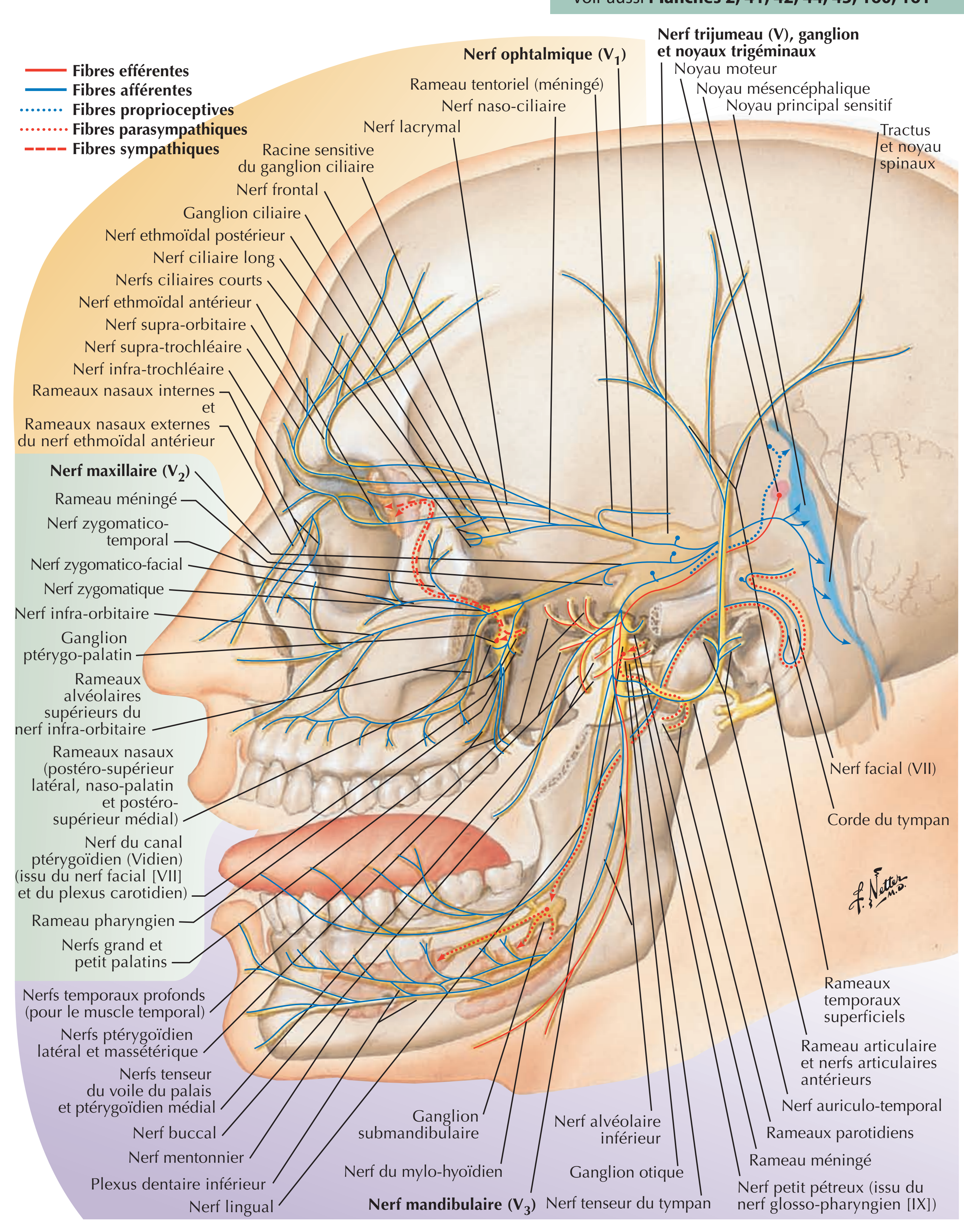
A Cellules amacrines
B Cellules bi-polaires
C Cônes
G Cellules ganglionnaires
H Cellules horizontales
P Cellules pigmentaires
R Bâtonnets

1 Nerfs oculo-moteur (III), trochléaire (IV) et abducens (VI) : schéma

Voir aussi **Planches 86, 131, 160, 161**

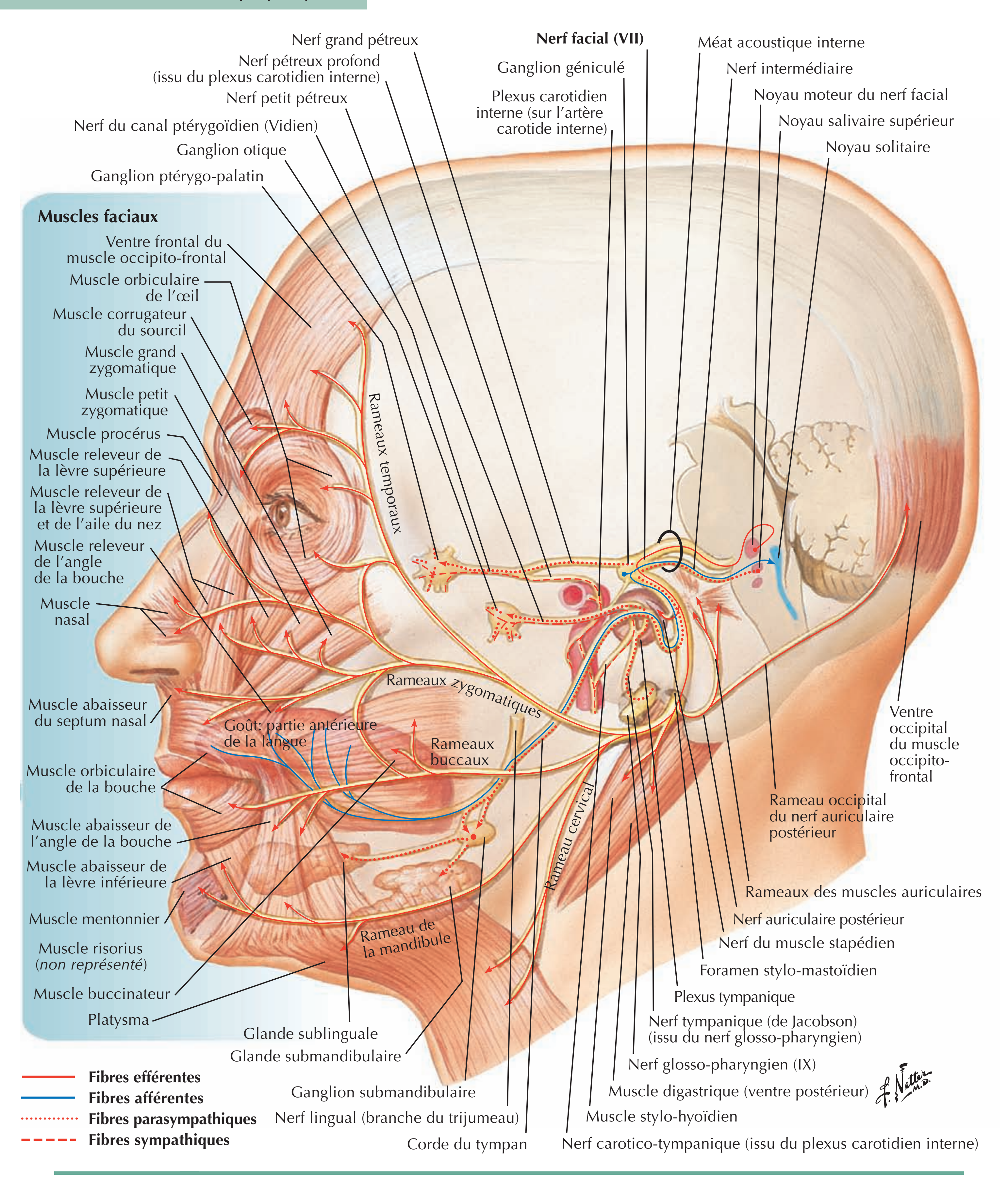


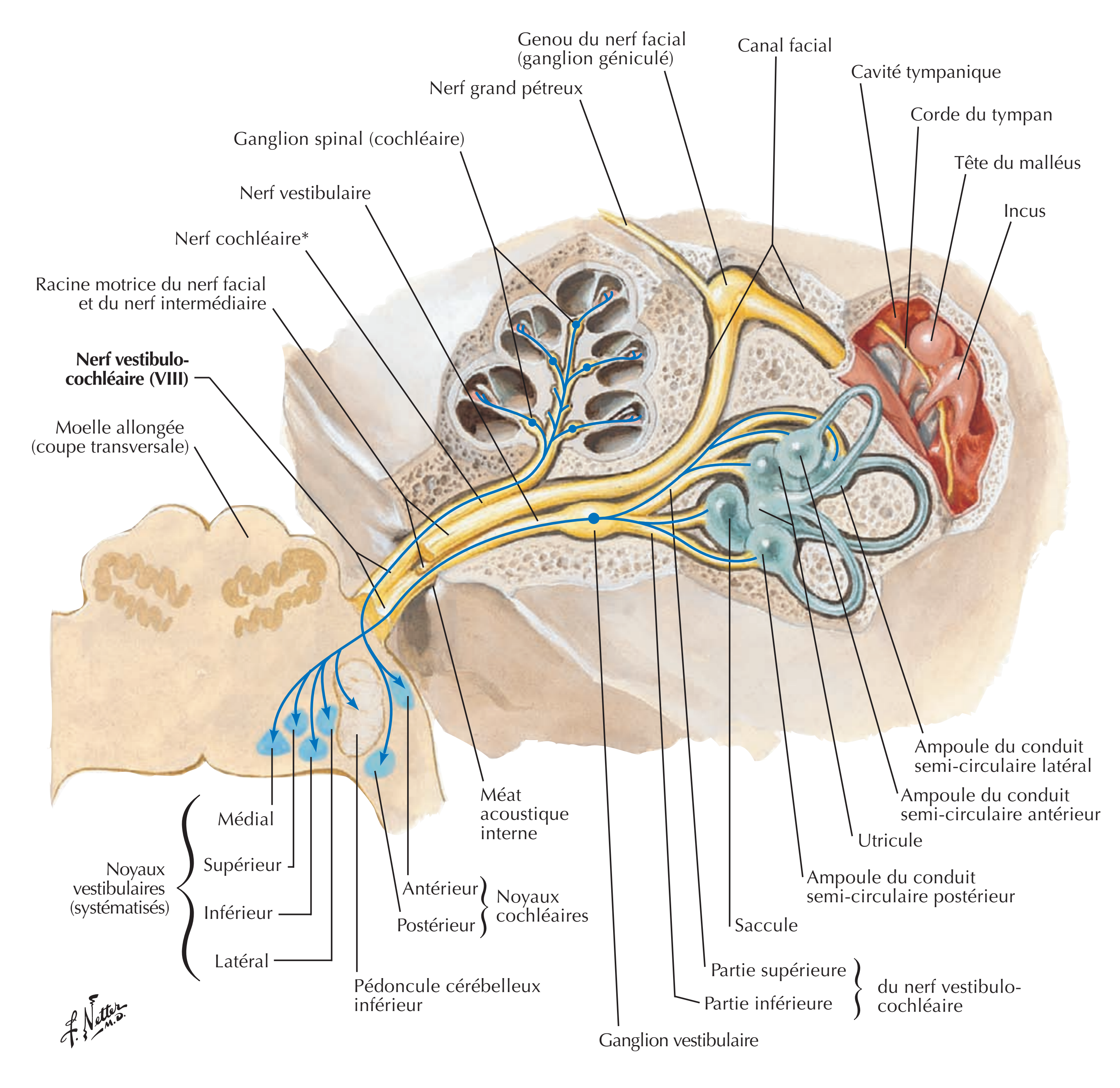
Voir aussi **Planches 2, 41, 42, 44, 45, 160, 161**



Nerf facial (VII) : schéma

Voir aussi **Planches 24, 71, 160, 161**

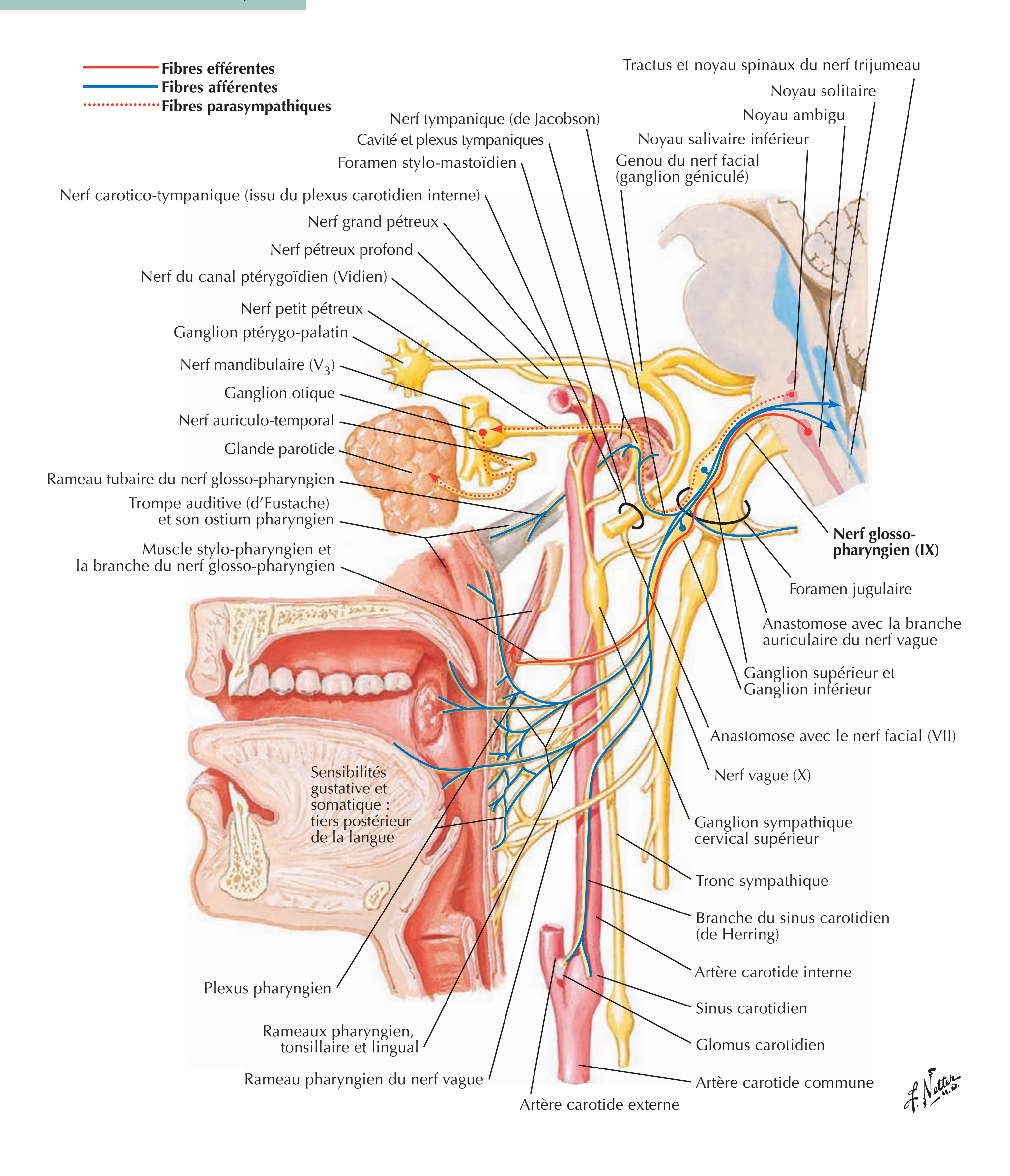




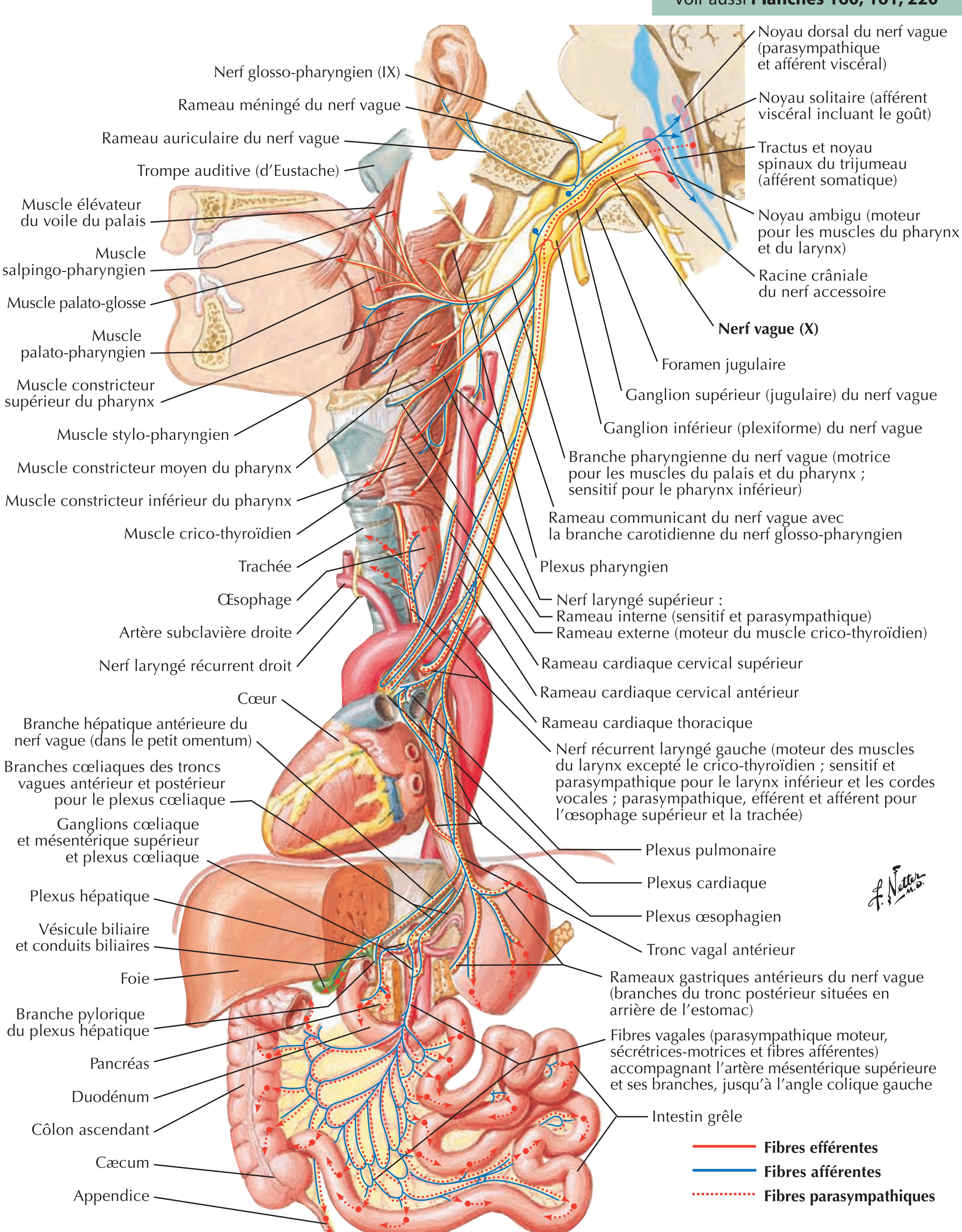
* **Note :** Le nerf cochléaire contient aussi des fibres efférentes de l'épithélium sensoriel. Ces fibres dérivent du nerf vestibulaire lorsqu'il est dans le méat acoustique interne.

Nerf glosso-pharyngien (IX) : schéma

Voir aussi **Planches 160, 161**

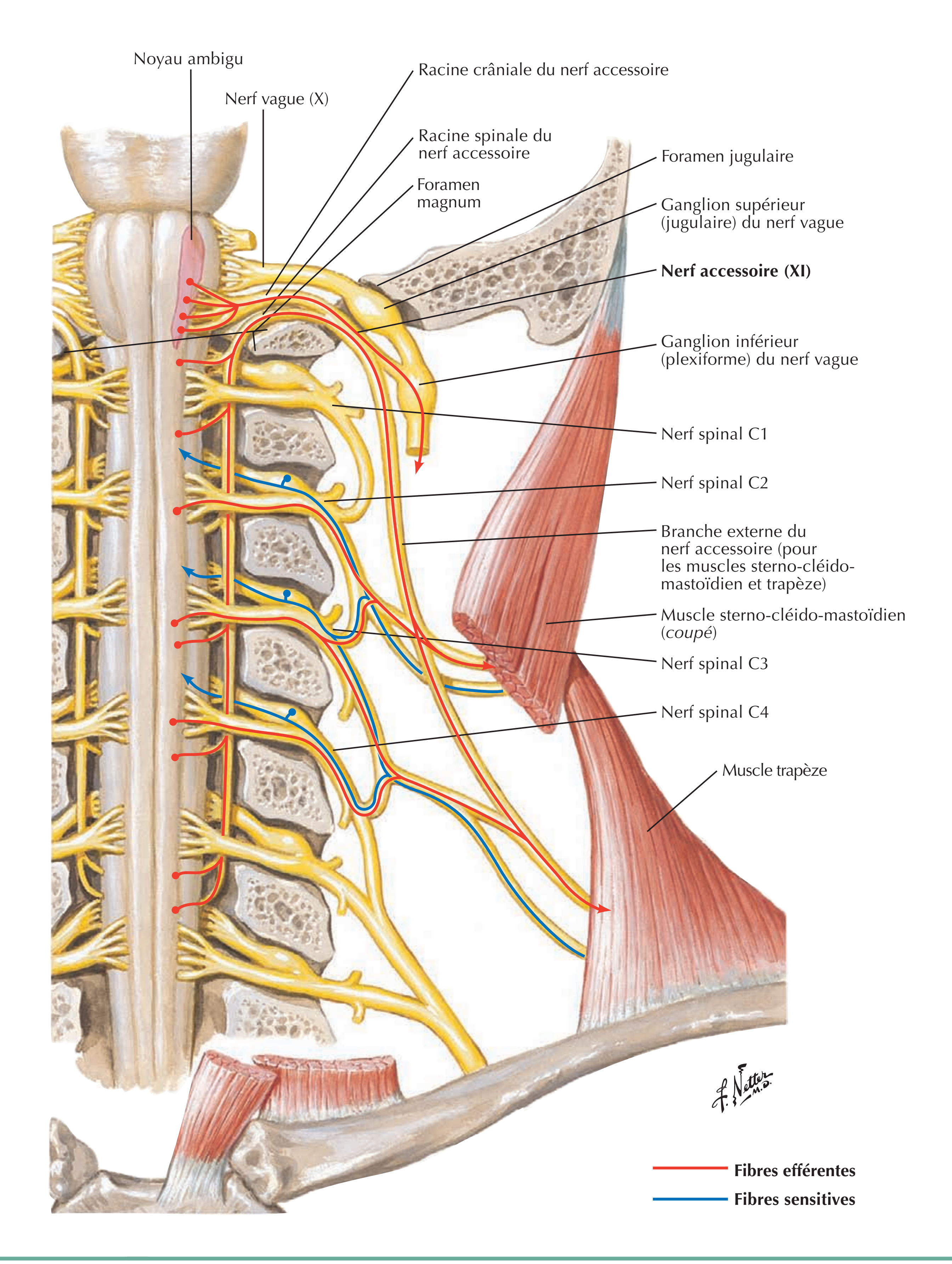


Voir aussi **Planches 160, 161, 220**

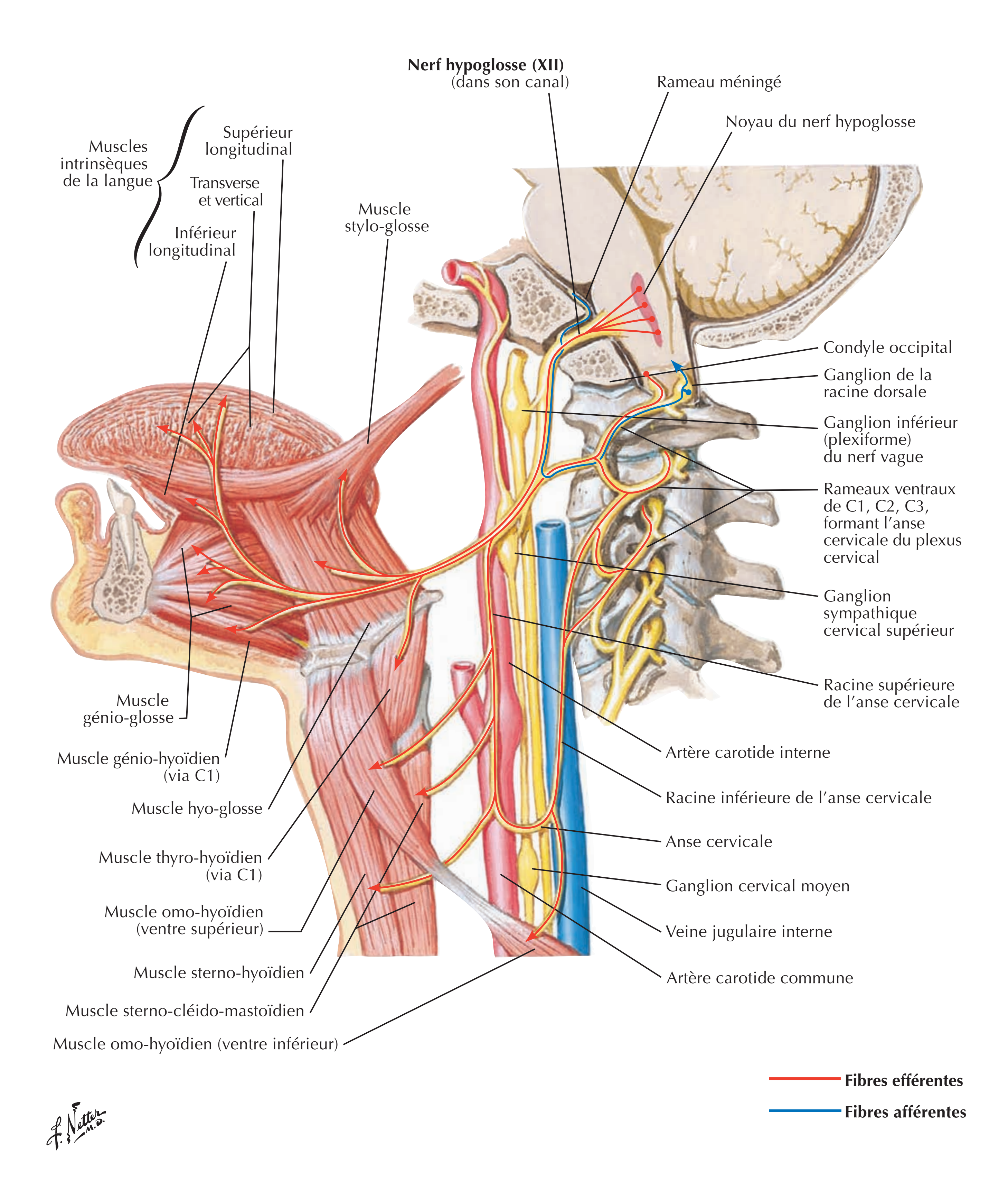


Nerf accessoire (XI) : schéma

Voir aussi **Planche 31**

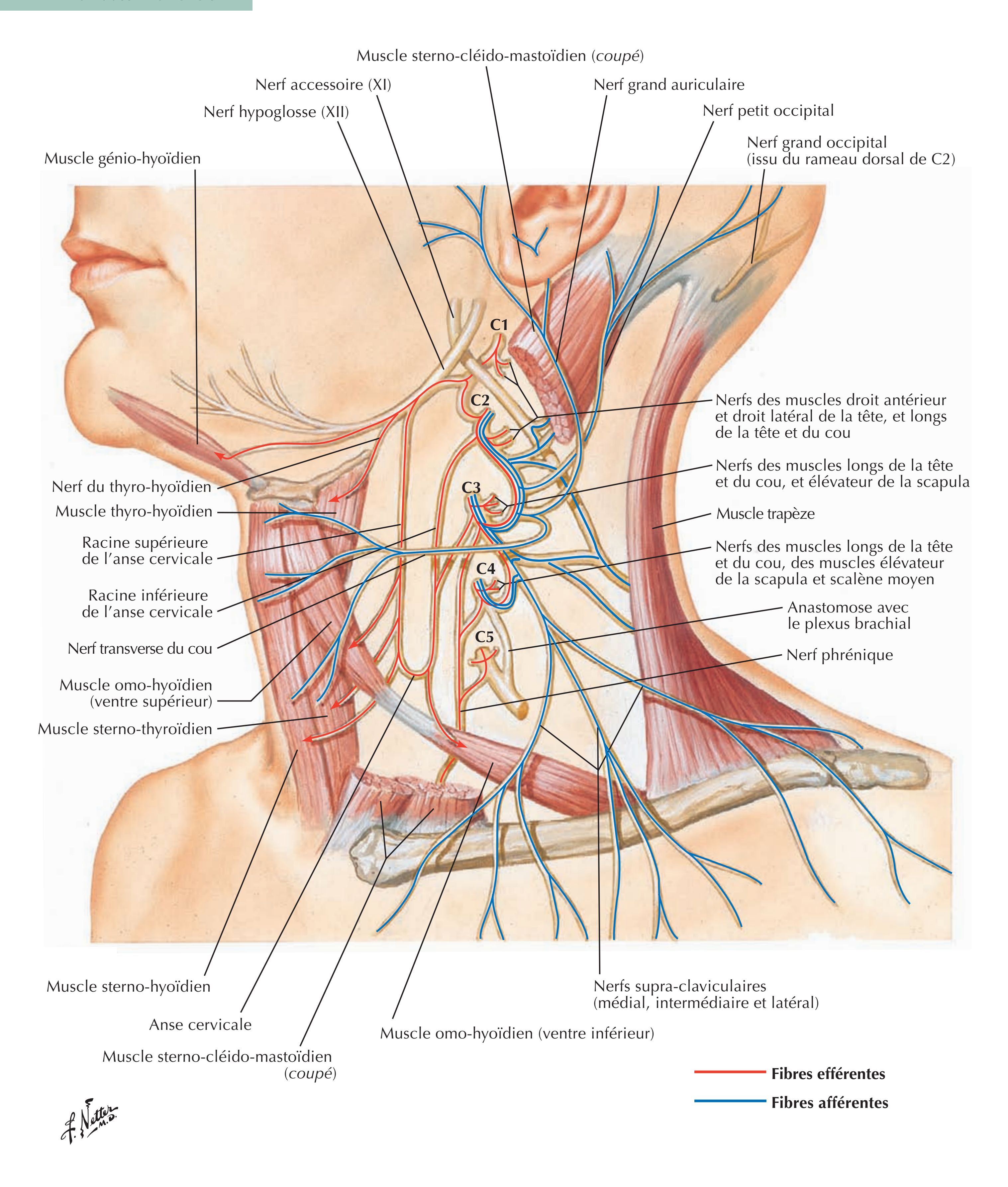


Voir aussi **Planche 31**

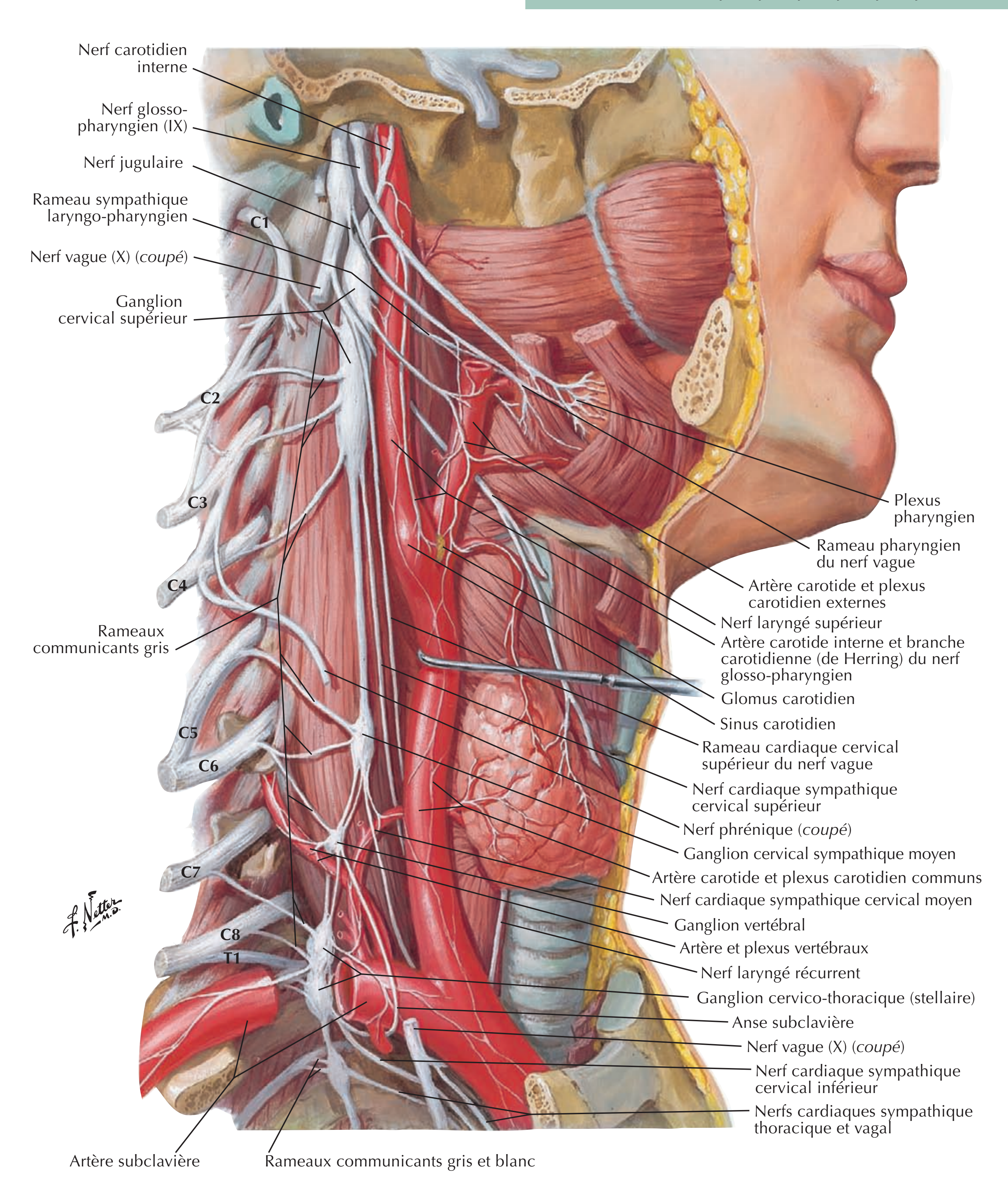


Plexus cervical : schéma

Voir aussi **Planche 31**

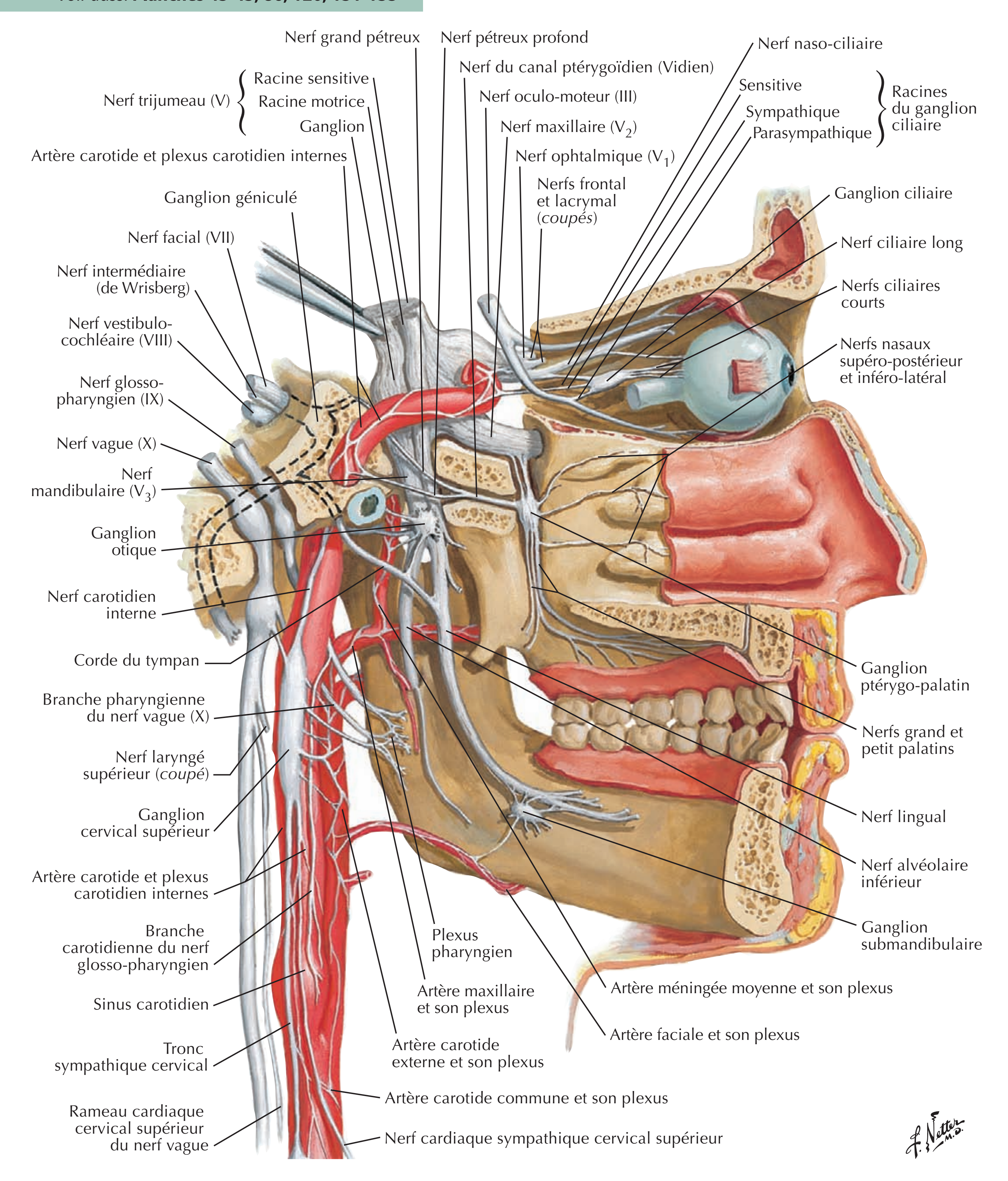


Voir aussi **Planches 71, 124, 125, 203, 220, 234, 297**

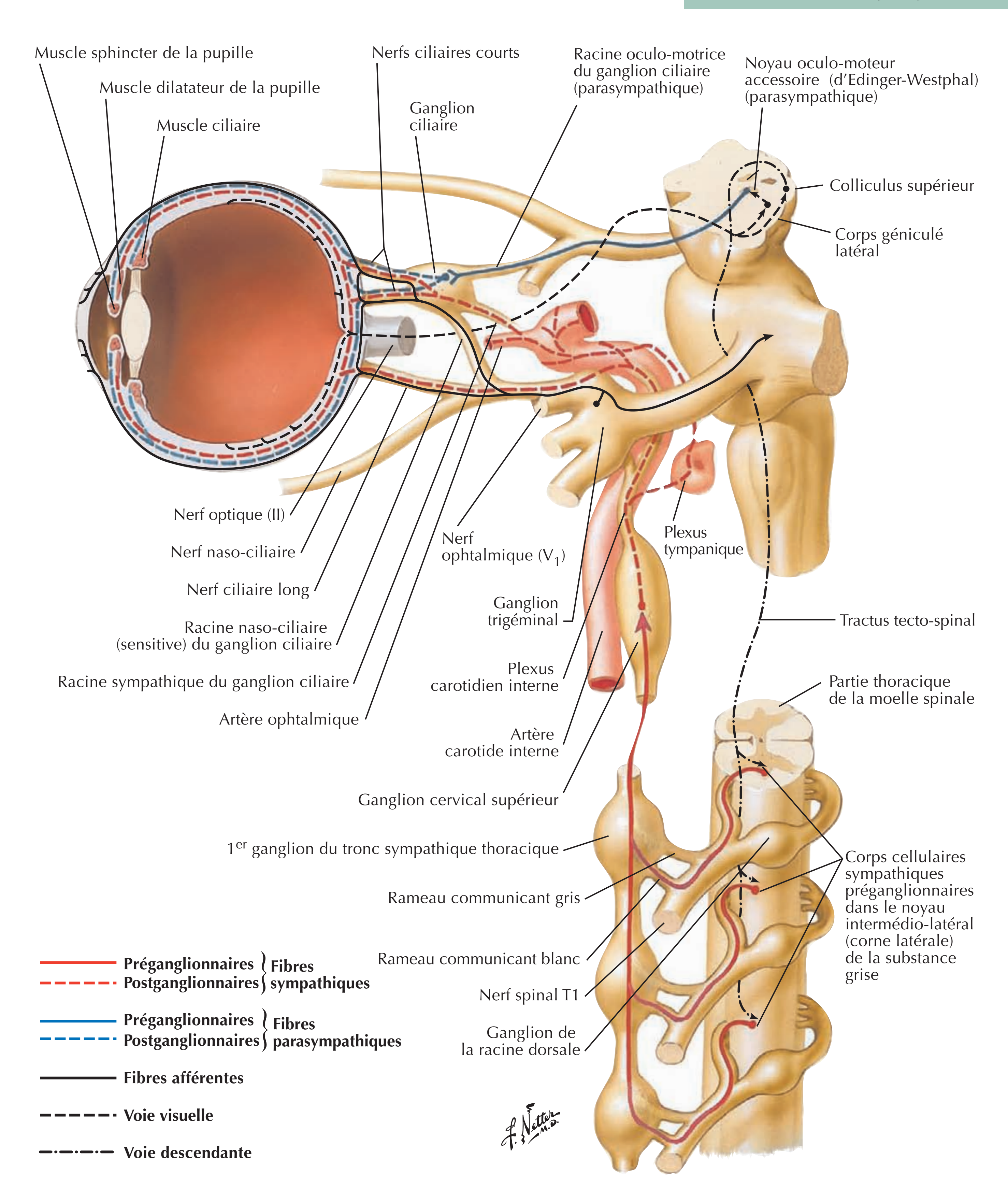


Nerfs autonomes de la tête

Voir aussi **Planches 43-45, 86, 120, 131-133**

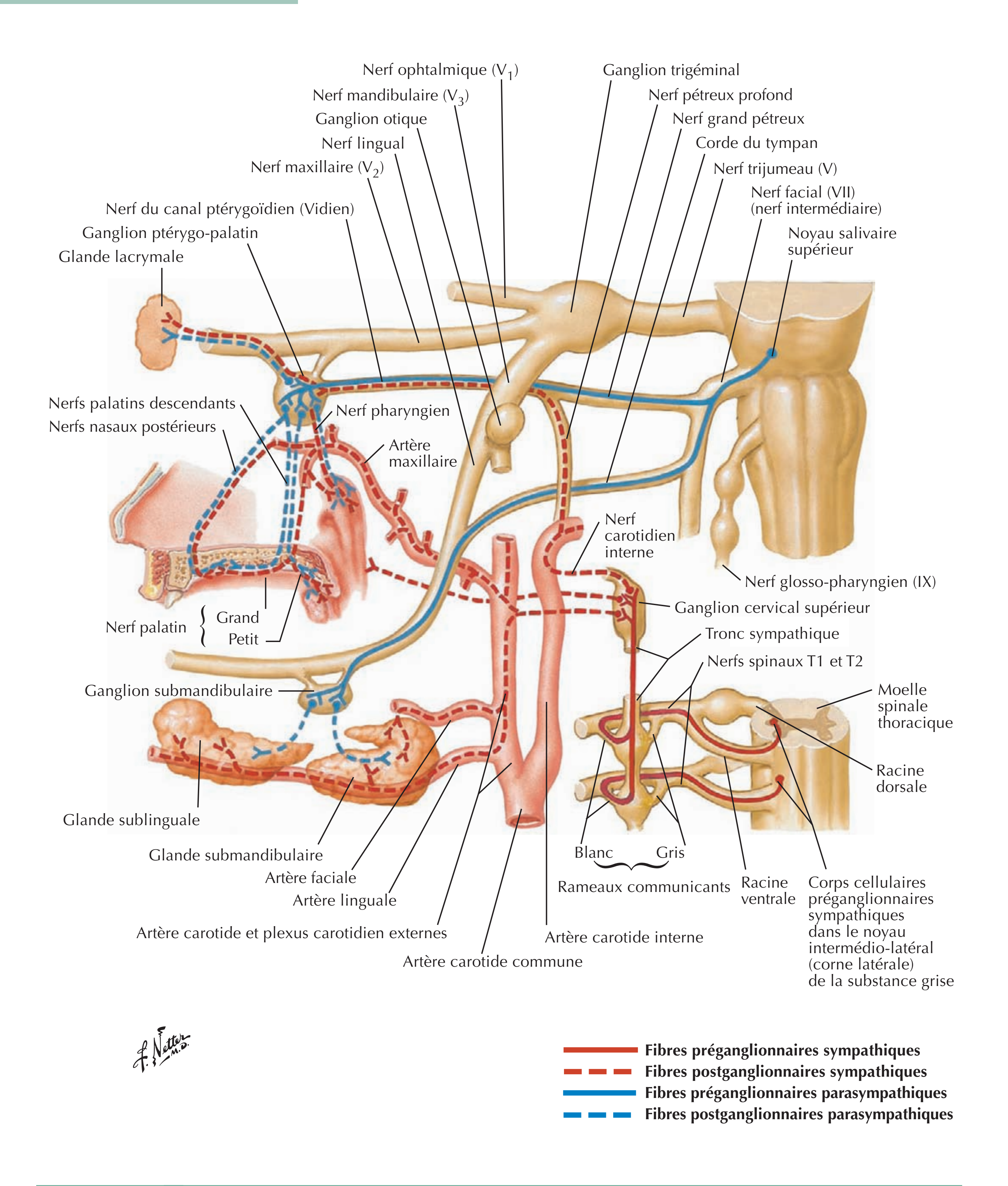


Voir aussi **Planches 43, 160, 161**

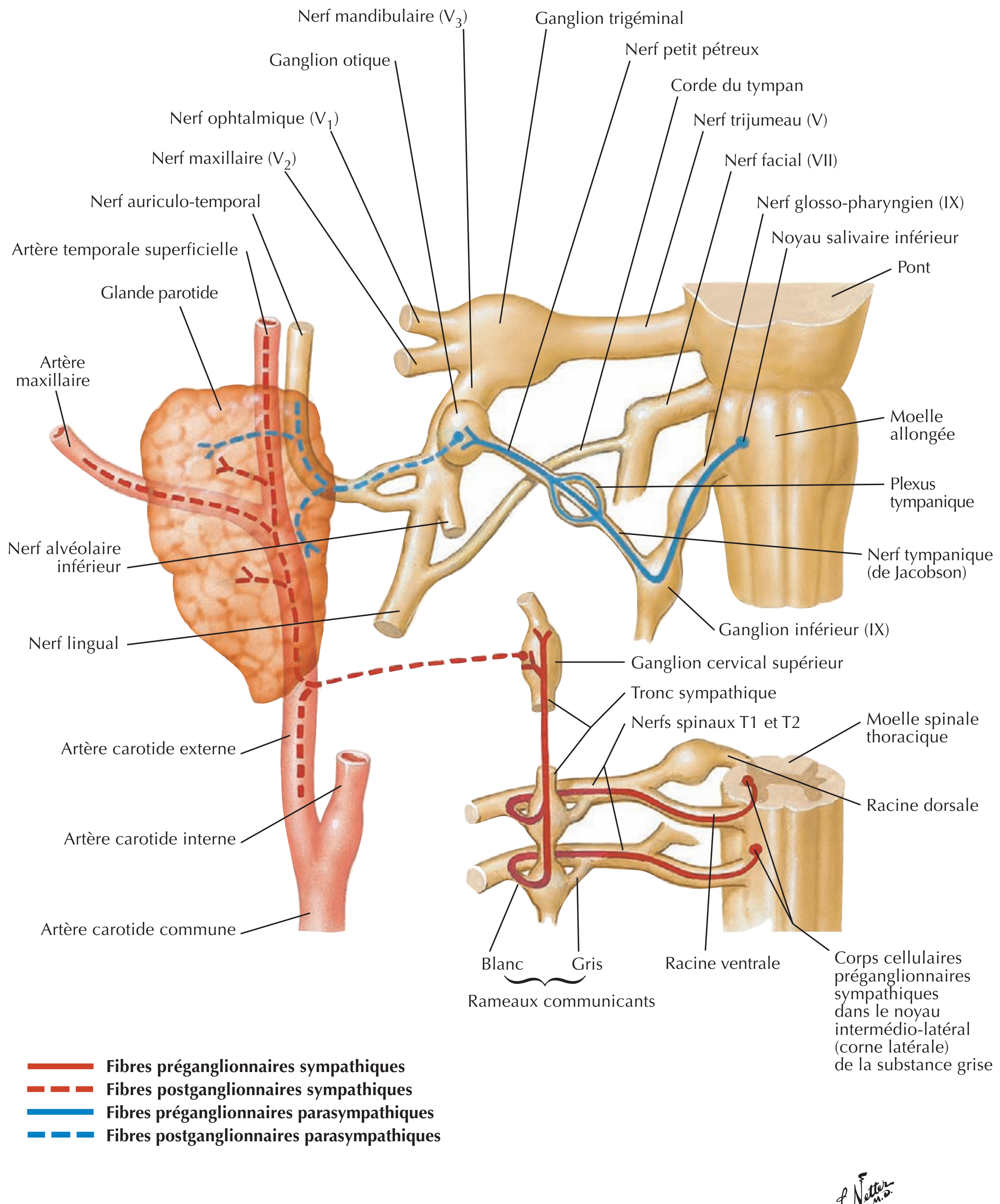


1 Ganglions ptérygo-palatin et submandibulaire : schéma

Voir aussi **Planches 160, 161**

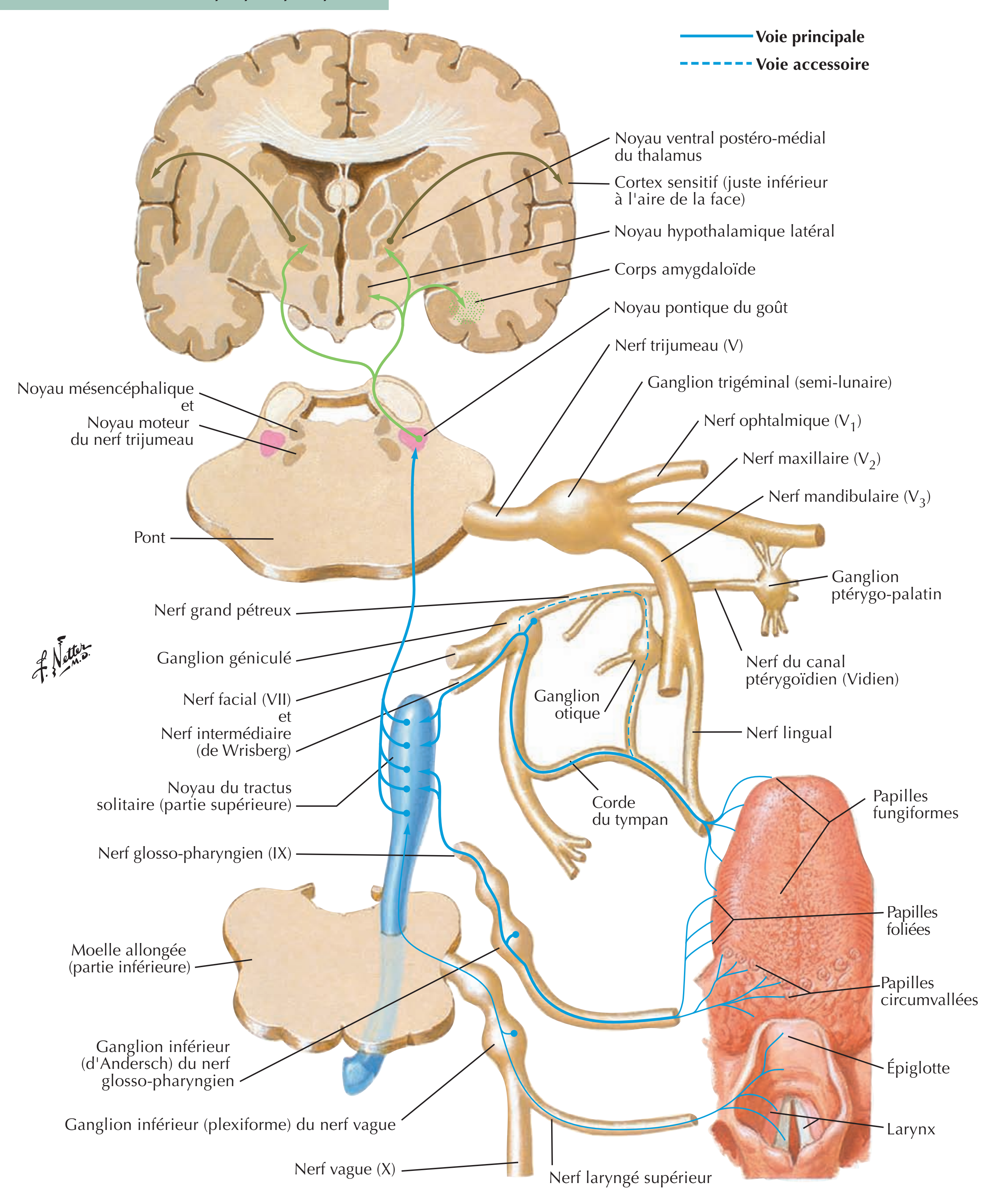


Voir aussi **Planches 160, 161**



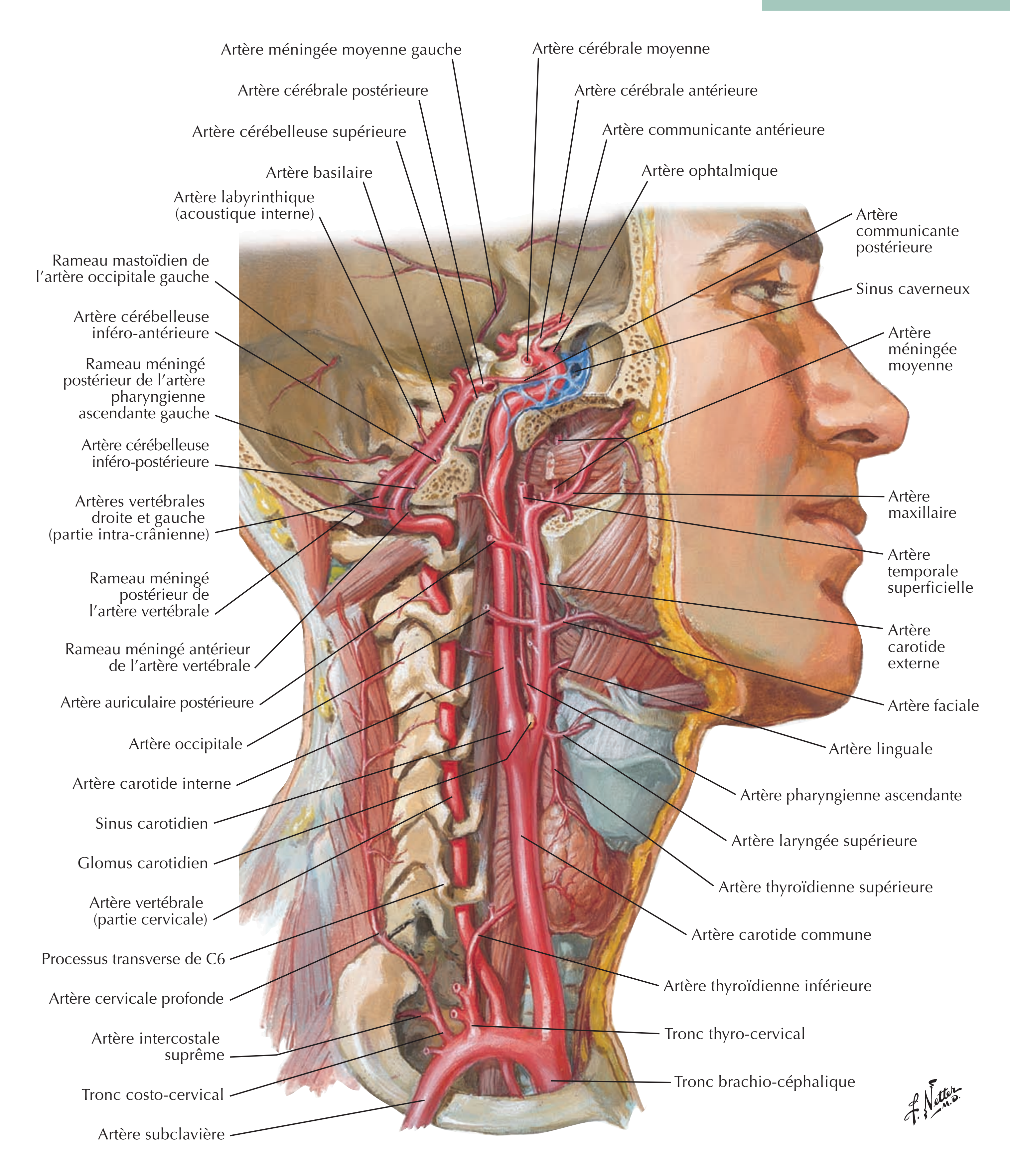
Voies gustatives : schéma

Voir aussi **Planches 45, 94, 122, 124, 125**

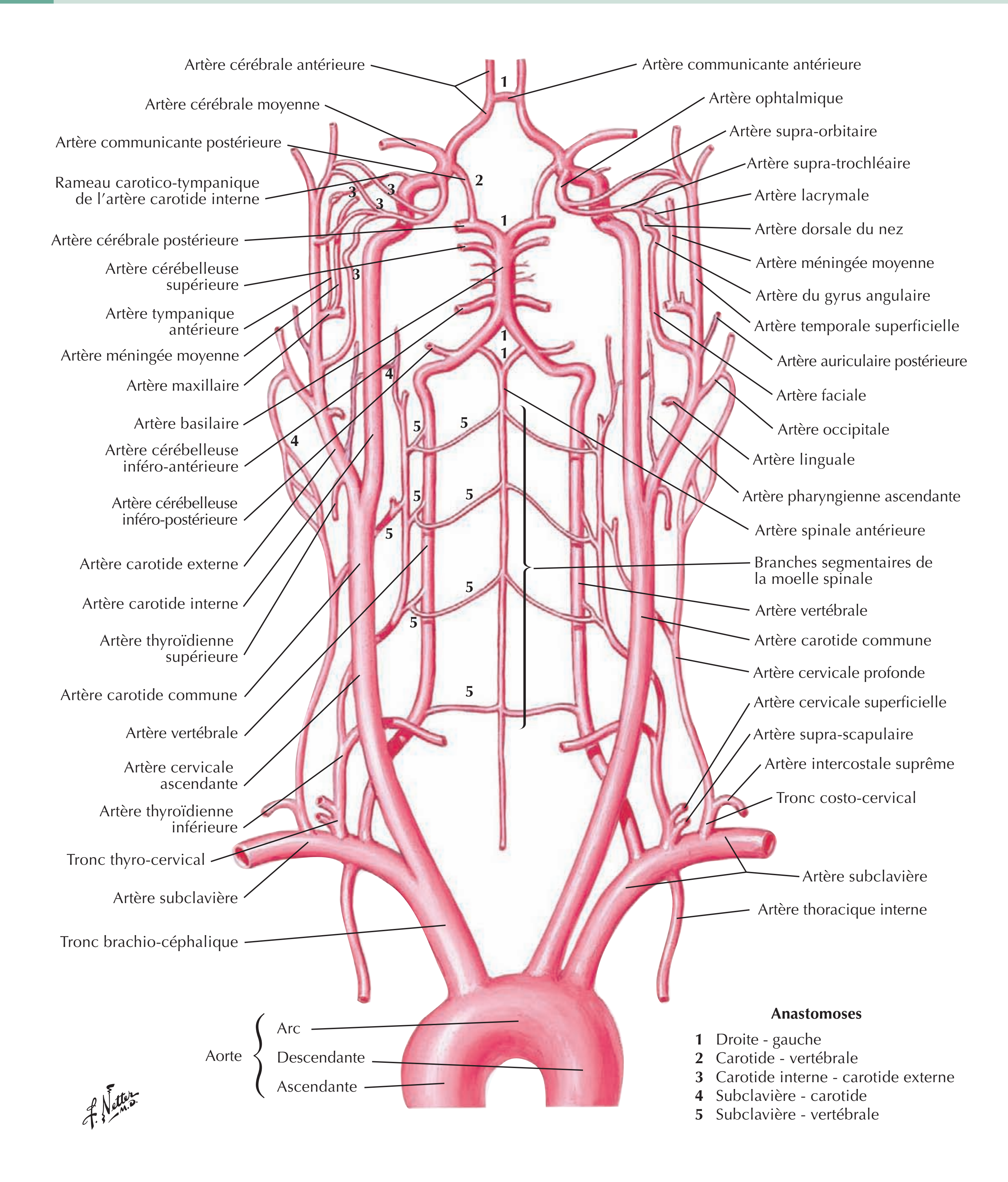


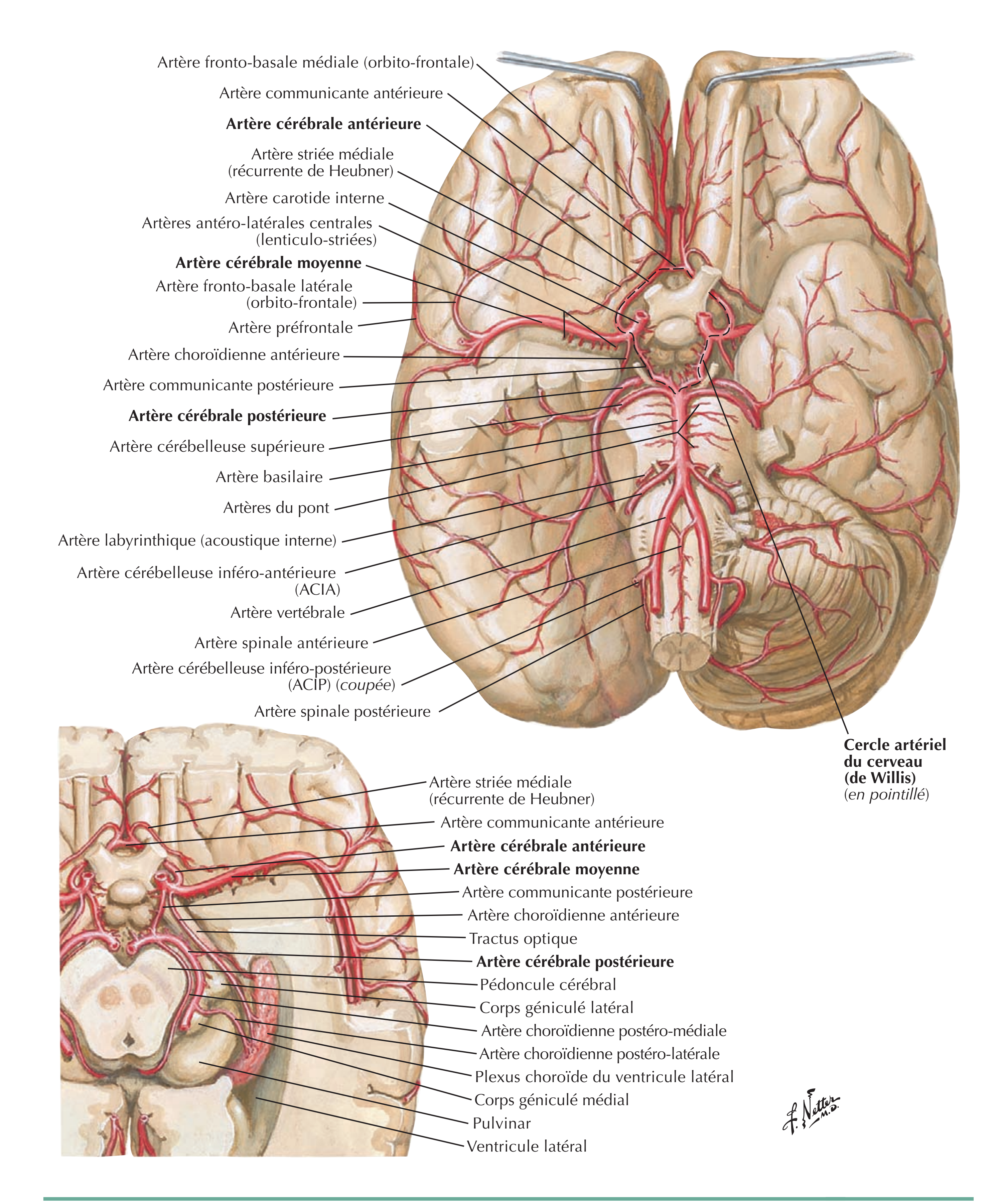
Artères destinées au cerveau et aux méninges

Voir aussi **Planche 33**



Artères destinées au cerveau : schéma




Artère fronto-basale médiale (orbito-frontale)
Artère communicante antérieure
Artère cérébrale antérieure
Artère striée médiale (récurrente de Heubner)
Artère carotide interne
Artères antéro-latérales centrales (lenticulo-striées)
Artère cérébrale moyenne
Artère fronto-basale latérale (orbito-frontale)
Artère préfrontale
Artère choroïdienne antérieure
Artère communicante postérieure
Artère cérébrale postérieure
Artère cérébelleuse supérieure
Artère basilaire
Artères du pont
Artère labyrinthique (acoustique interne)
Artère cérébelleuse inféro-antérieure (ACIA)
Artère vertébrale
Artère spinale antérieure
Artère cérébelleuse inféro-postérieure (ACIP) (coupée)
Artère spinale postérieure
Cercle artériel du cerveau (de Willis) (en pointillé)
Artère striée médiale (récurrente de Heubner)
Artère communicante antérieure
Artère cérébrale antérieure
Artère cérébrale moyenne
Artère communicante postérieure
Artère choroïdienne antérieure
Tractus optique
Artère cérébrale postérieure
Pédoncule cérébral
Corps géniculé latéral
Artère choroïdienne postéro-médiale
Artère choroïdienne postéro-latérale
Plexus choroïde du ventricule latéral
Corps géniculé médial
Pulvinar
Ventricule latéral
F. Netter M.D.

1

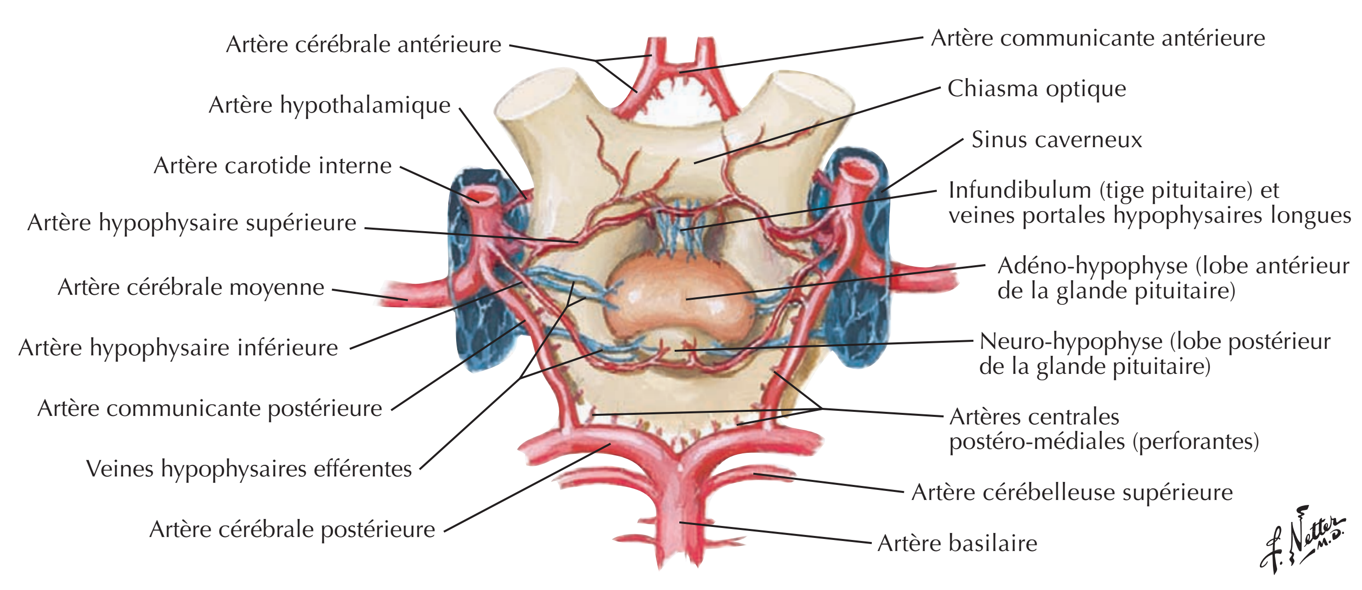
Cercle artériel du cerveau (de Willis)

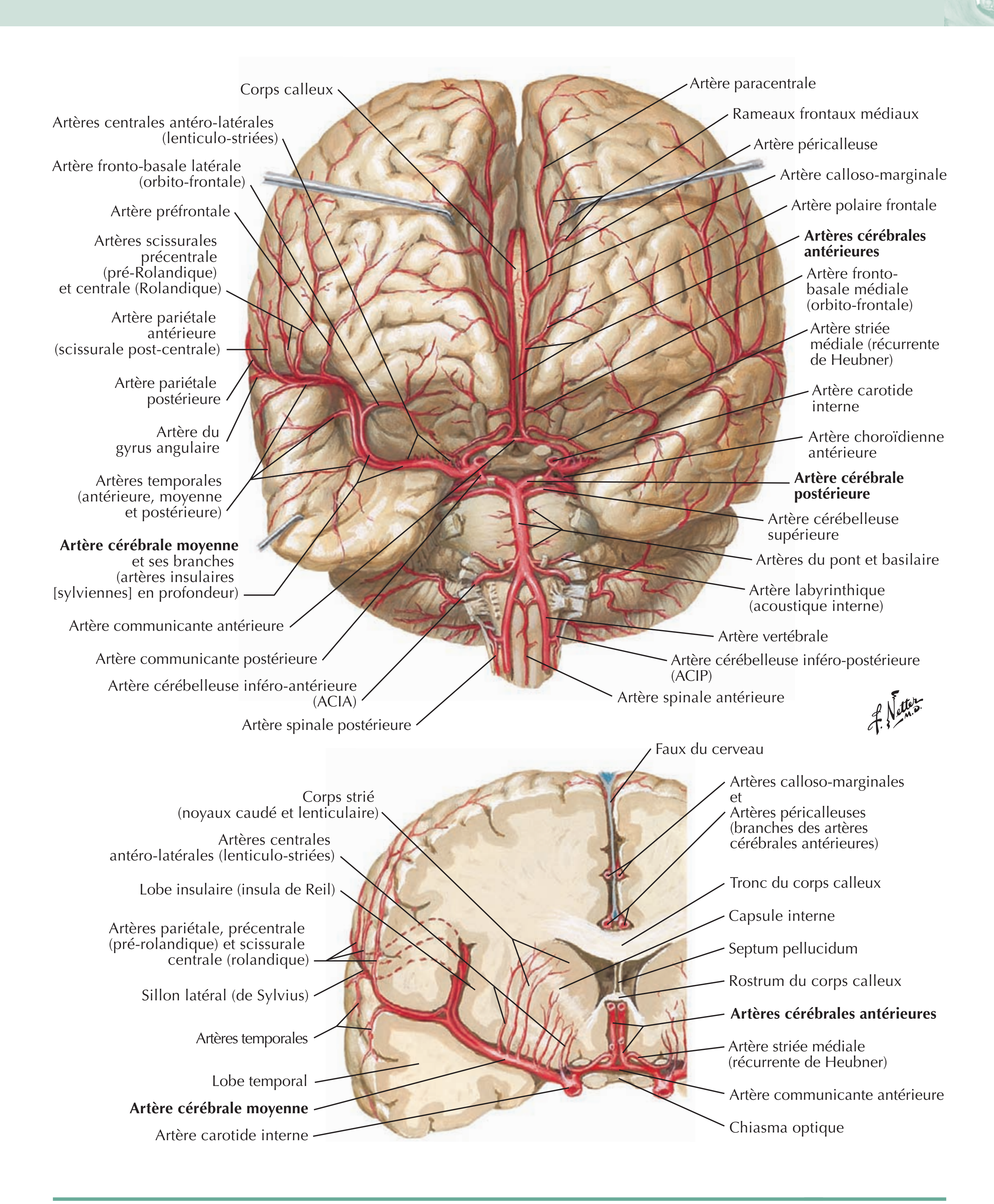
Pour les artères hypophysaires, voir **Planche 146**

Vaisseaux isolés : vue inférieure

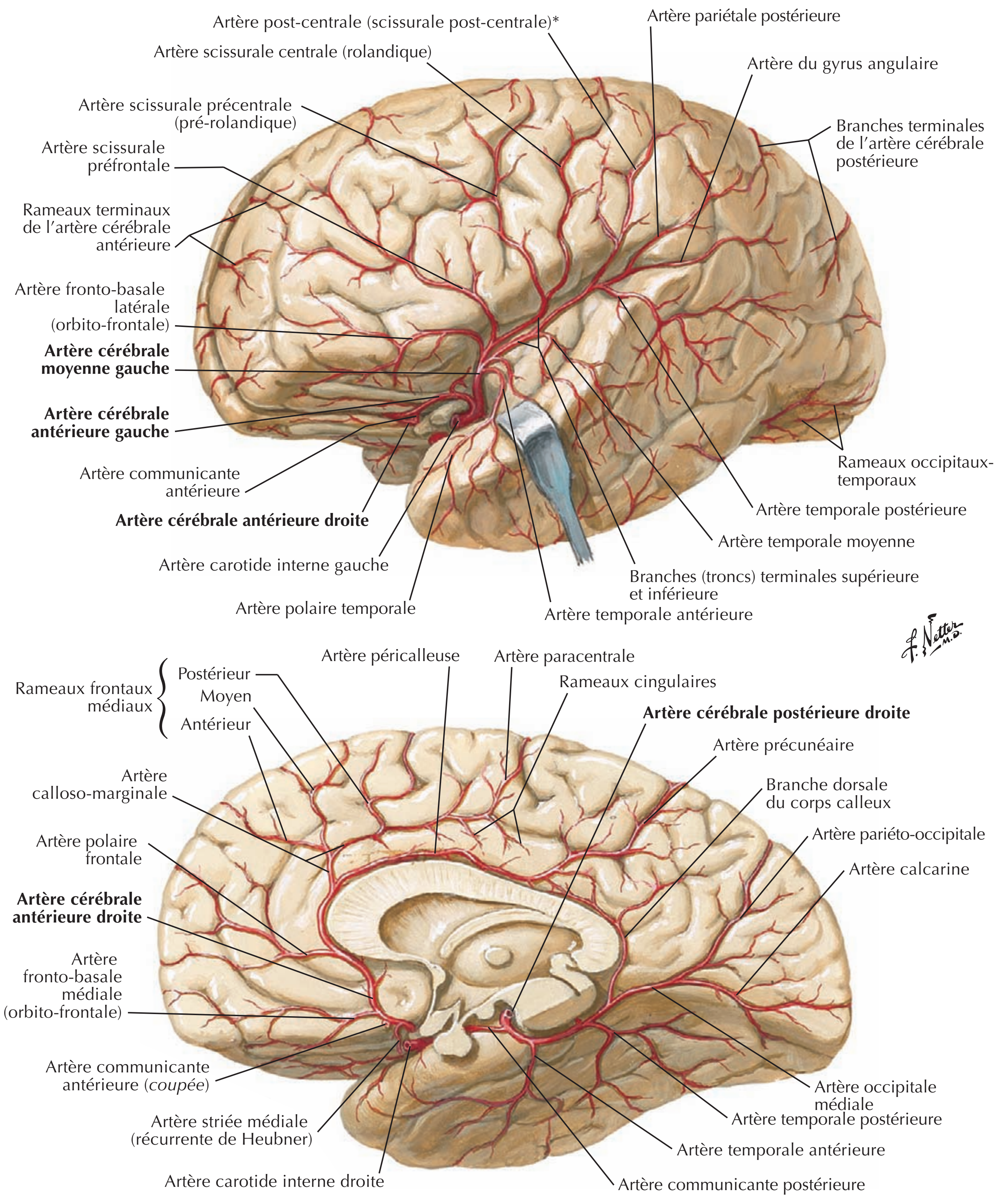
Artère centrale longue (récurrente de Heubner)
Artère cérébrale antérieure (segment A_2)
Artères centrales antéro-médiales
Artère communicante antérieure
Artère hypothalamique
Artère cérébrale antérieure (segment A_1)
Artères centrales antéro-latérales (artères lenticulo-striées)
Artère ophtalmique
Artère carotide interne
Artère cérébrale moyenne
Artère hypophysaire supérieure
Artère hypophysaire inférieure
Artère communicante postérieure
Artère choroïdienne antérieure
Artères thalamo-striées antérieures
Artère cérébrale postérieure (segment P_2) (segment P_1)
Artères centrales postéro-médiales (perforantes)
Artère cérébelleuse supérieure
Artères centrales postéro-médiales (artères thalamo-striées postérieures)
Artère basilaire
Artères postéro-médiales centrales (paramédianes)
Artères du pont
Artère cérébelleuse inféro-antérieure (ACIA)
Artère labyrinthique (acoustique interne)
Artère vertébrale

Vaisseaux *in situ* : vue inférieure

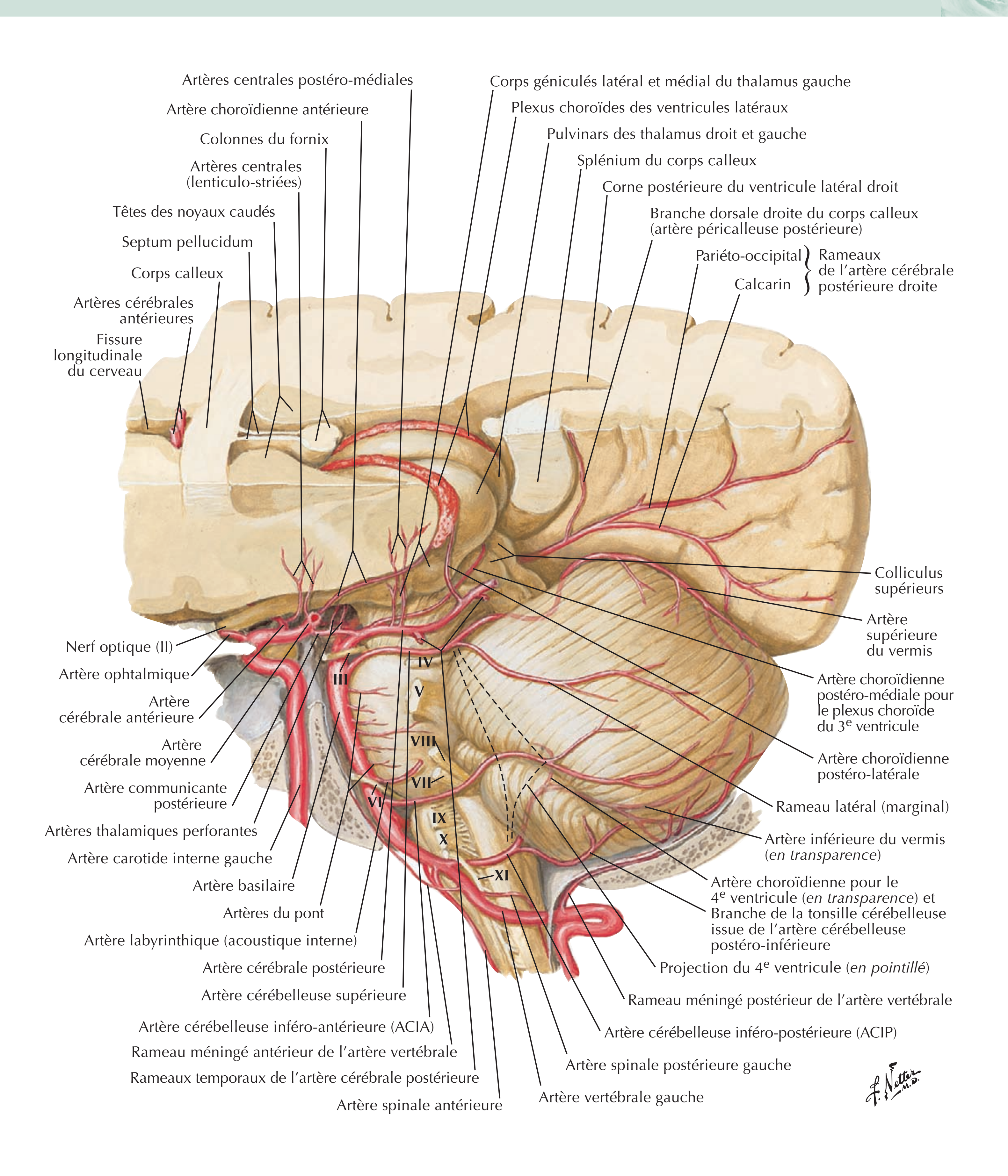



Corps calleux
Artères centrales antéro-latérales (lenticulo-striées)
Artère fronto-basale latérale (orbito-frontale)
Artère préfrontale
Artères scissurales précentrale (pré-Rolandique) et centrale (Rolandique)
Artère pariétale antérieure (scissurale post-centrale)
Artère pariétale postérieure
Artère du gyrus angulaire
Artères temporales (antérieure, moyenne et postérieure)
Artère cérébrale moyenne et ses branches (artères insulaires [sylviennes] en profondeur)
Artère communicante antérieure
Artère communicante postérieure
Artère cérébelleuse inféro-antérieure (ACIA)
Artère spinale postérieure
Artère paracentrale
Rameaux frontaux médiaux
Artère péricalleuse
Artère calloso-marginale
Artère polaire frontale
Artères cérébrales antérieures
Artère fronto-basale médiale (orbito-frontale)
Artère striée médiale (récurrente de Heubner)
Artère carotide interne
Artère choroïdienne antérieure
Artère cérébrale postérieure
Artère cérébelleuse supérieure
Artères du pont et basilaire
Artère labyrinthique (acoustique interne)
Artère vertébrale
Artère cérébelleuse inféro-postérieure (ACIP)
Artère spinale antérieure
F. Netter M.D.
Faux du cerveau
Corps strié (noyaux caudé et lenticulaire)
Artères centrales antéro-latérales (lenticulo-striées)
Lobe insulaire (insula de Reil)
Artères pariétale, précentrale (pré-rolandique) et scissurale centrale (rolandique)
Sillon latéral (de Sylvius)
Artères temporales
Lobe temporal
Artère cérébrale moyenne
Artère carotide interne
Artères calloso-marginales et Artères péricalleuses (branches des artères cérébrales antérieures)
Tronc du corps calleux
Capsule interne
Septum pellucidum
Rostrum du corps calleux
Artères cérébrales antérieures
Artère striée médiale (récurrente de Heubner)
Artère communicante antérieure
Chiasma optique

Artères du cerveau : vues latérale et médiale

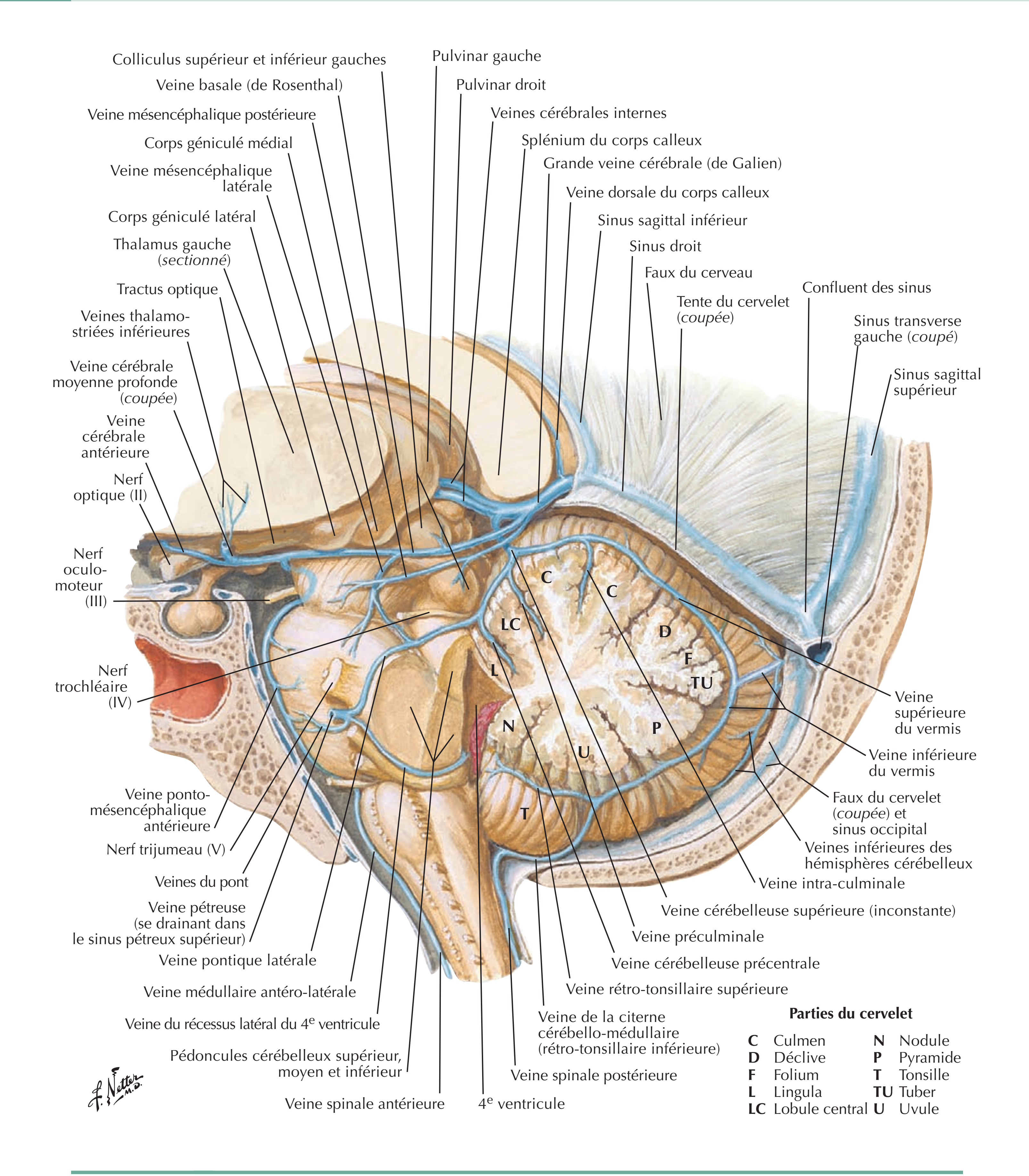


*Note : il peut arriver que l'artère pariétale antérieure (scissurale post-centrale) se divise en artères scissurales post-centrale et pariétale antérieure

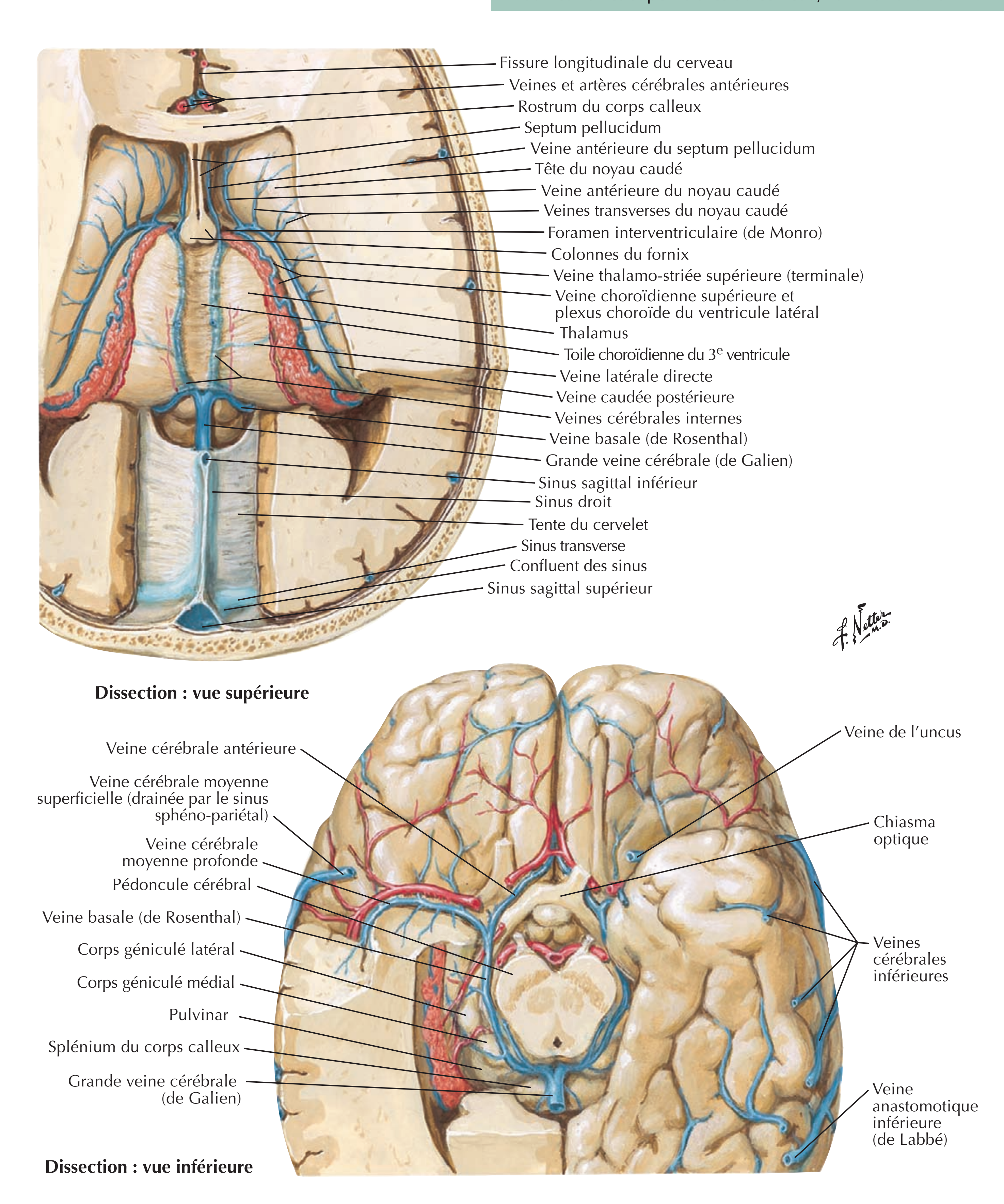


Artères centrales postéro-médiales
Artère choroïdienne antérieure
Colonnes du fornix
Artères centrales (lenticulo-striées)
Têtes des noyaux caudés
Septum pellucidum
Corps calleux
Artères cérébrales antérieures
Fissure longitudinale du cerveau
Corps géniculés latéral et médial du thalamus gauche
Plexus choroïdes des ventricules latéraux
Pulvinars des thalamus droit et gauche
Splénium du corps calleux
Corne postérieure du ventricule latéral droit
Branche dorsale droite du corps calleux (artère péricalleuse postérieure)
Pariéto-occipital
Calcarin
Rameaux de l'artère cérébrale postérieure droite
Colliculus supérieurs
Artère supérieure du vermis
Artère choroïdienne postéro-médiale pour le plexus choroïde du 3e ventricule
Artère choroïdienne postéro-latérale
Rameau latéral (marginal)
Artère inférieure du vermis (en transparence)
Artère choroïdienne pour le 4e ventricule (en transparence) et Branche de la tonsille cérébelleuse issue de l'artère cérébelleuse postéro-inférieure
Projection du 4e ventricule (en pointillé)
Rameau méningé postérieur de l'artère vertébrale
Artère cérébelleuse inféro-postérieure (ACIP)
Artère spinale postérieure gauche
Artère vertébrale gauche
Nerf optique (II)
Artère ophtalmique
Artère cérébrale antérieure
Artère cérébrale moyenne
Artère communicante postérieure
Artères thalamiques perforantes
Artère carotide interne gauche
Artère basilaire
Artères du pont
Artère labyrinthique (acoustique interne)
Artère cérébrale postérieure
Artère cérébelleuse supérieure
Artère cérébelleuse inféro-antérieure (ACIA)
Rameau méningé antérieur de l'artère vertébrale
Rameaux temporaux de l'artère cérébrale postérieure
Artère spinale antérieure
III
IV
V
VI
VII
VIII
IX
X
XI
F. Netter M.D.

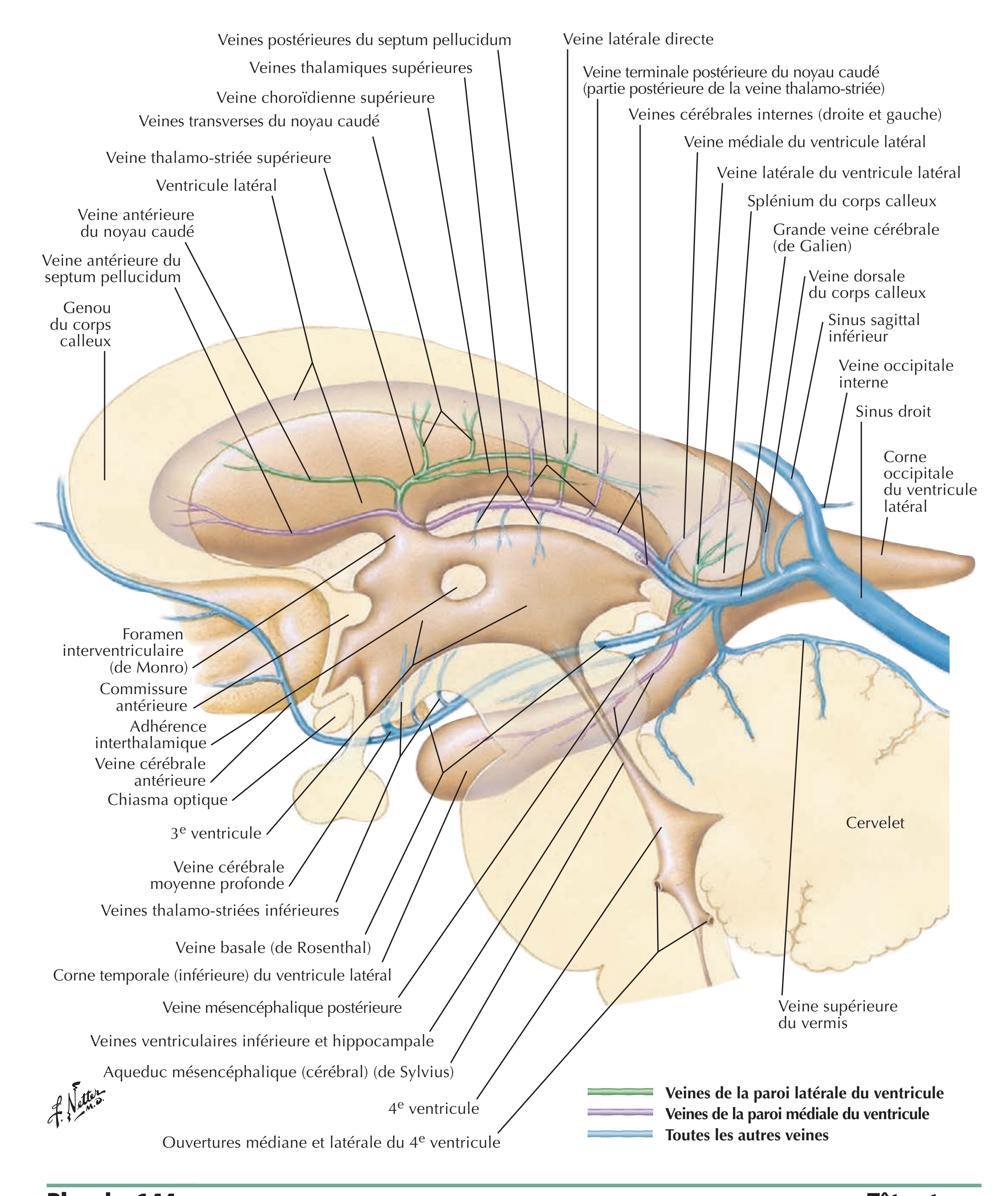
Veines de la fosse crânienne postérieure



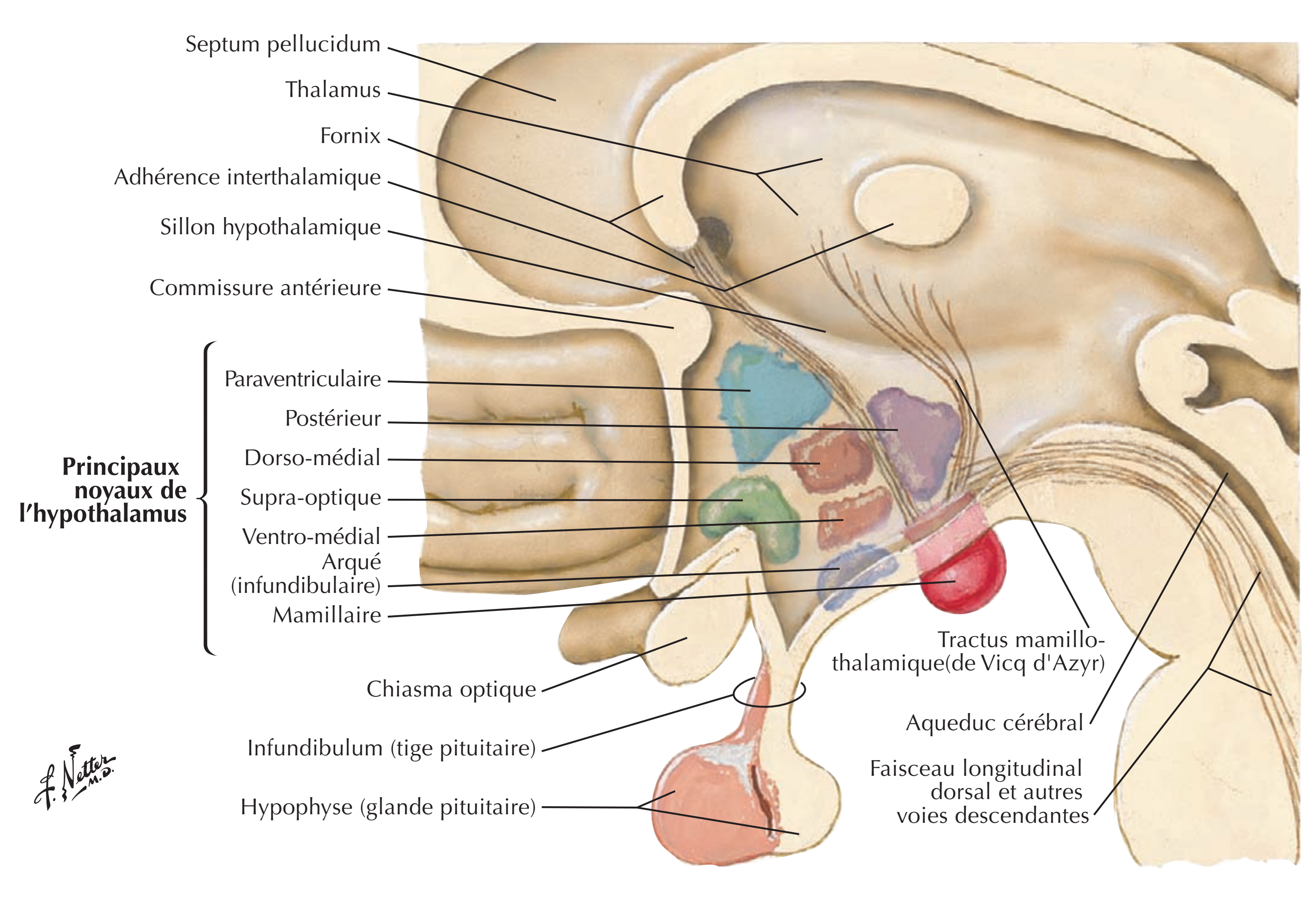
Pour les veines superficielles du cerveau, voir **Planche 101**

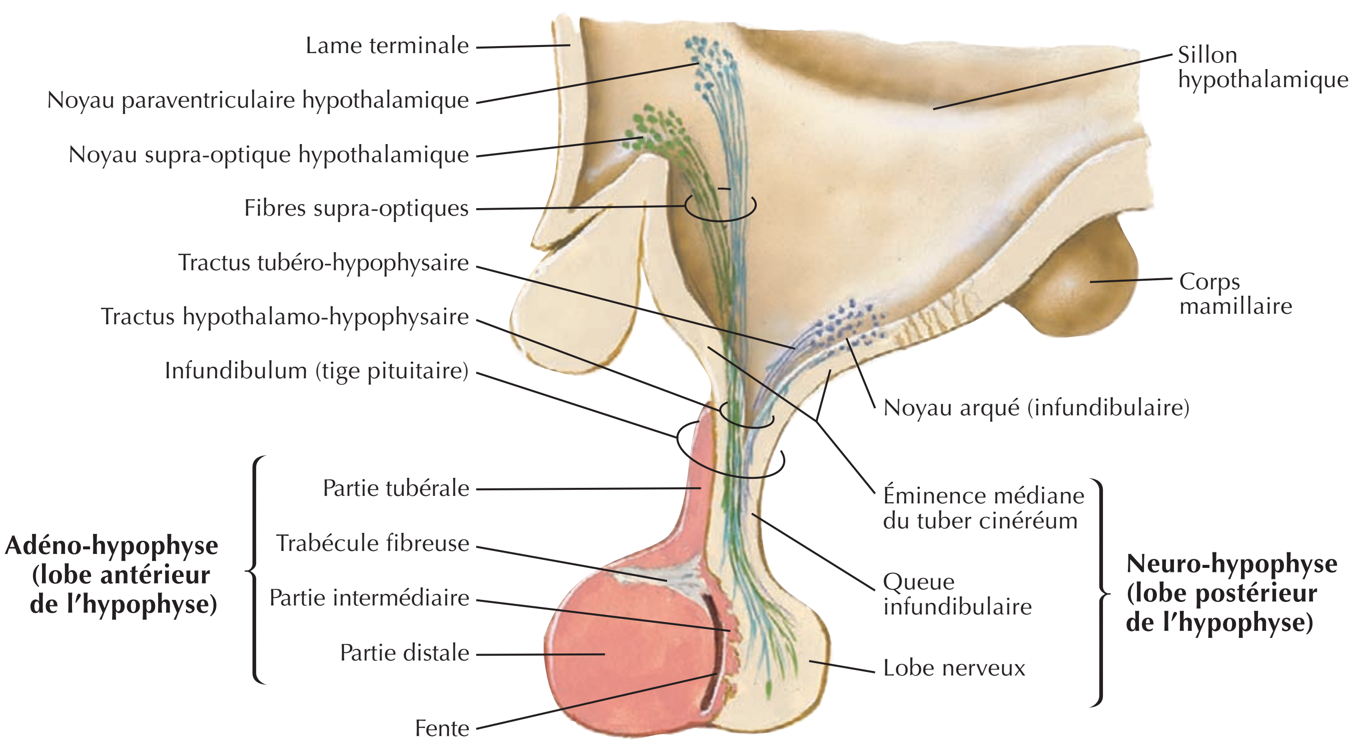


Veines sous-épendymaires de l'encéphale



Voir aussi **Planches 105, 106**





Artères et veines de l’hypothalamus et de l’hypophyse

Voir aussi **Planche 138**

Vaisseaux hypothalamiques

Artère hypophysaire supérieure

Réseau capillaire primaire

Veines portales longues hypophysaires

Artère trabéculaire

Veines portales courtes hypophysaires

Trabécule (tissu fibreux)

Veine hypophysaire efférente (vers le sinus caverneux)

Veine hypophysaire efférente (vers le sinus caverneux)

Neuro-hypophyse (lobe postérieur de l’hypophyse)

Réseau capillaire secondaire

Réseau capillaire du lobe nerveux de la neuro-hypophyse

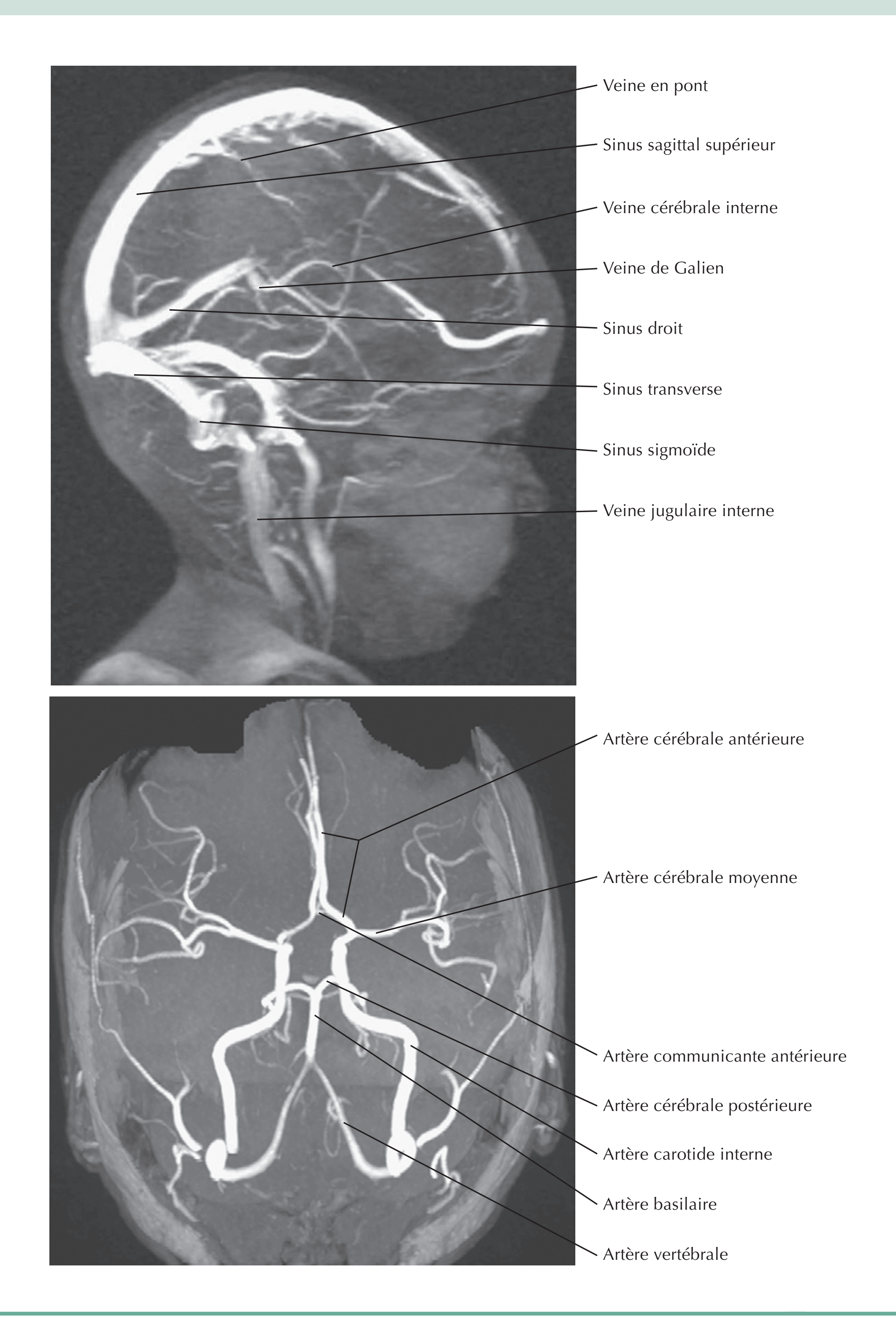
Adéno-hypophyse (lobe antérieur de l’hypophyse)

Veine hypophysaire efférente (vers le sinus caverneux)

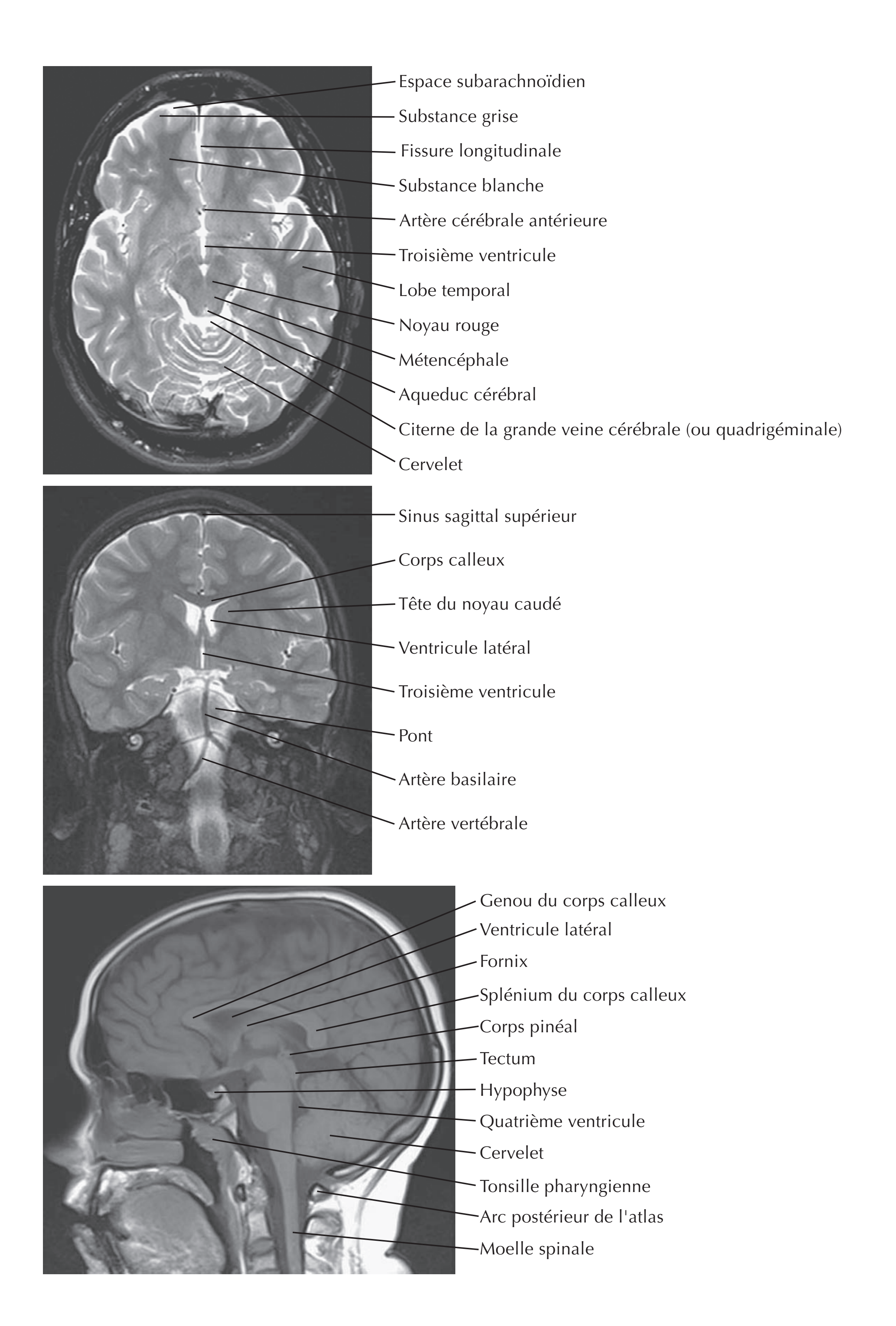
Veines hypophysaires efférentes (vers le sinus caverneux)

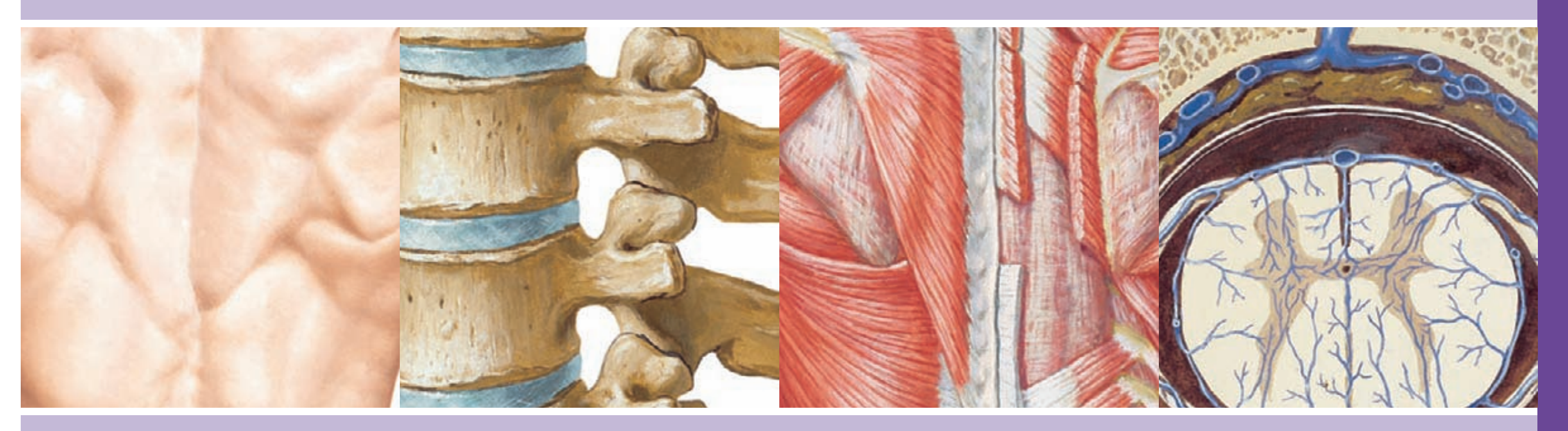
Artère hypophysaire inférieure




Veine en pont
Sinus sagittal supérieur
Veine cérébrale interne
Veine de Galien
Sinus droit
Sinus transverse
Sinus sigmoïde
Veine jugulaire interne
Artère cérébrale antérieure
Artère cérébrale moyenne
Artère communicante antérieure
Artère cérébrale postérieure
Artère carotide interne
Artère basilaire
Artère vertébrale

Imagerie crânienne (IRM)





Section 2 DOS ET MOELLE SPINALE

Anatomie de surface

Planche 149

Os et ligaments

Planches 150-156

Moelle spinale

Planches 157-167

2

DOS ET MOELLE SPINALE

Muscles et nerfs

Planches 168-172

Coupes transversales

Planches 173-174



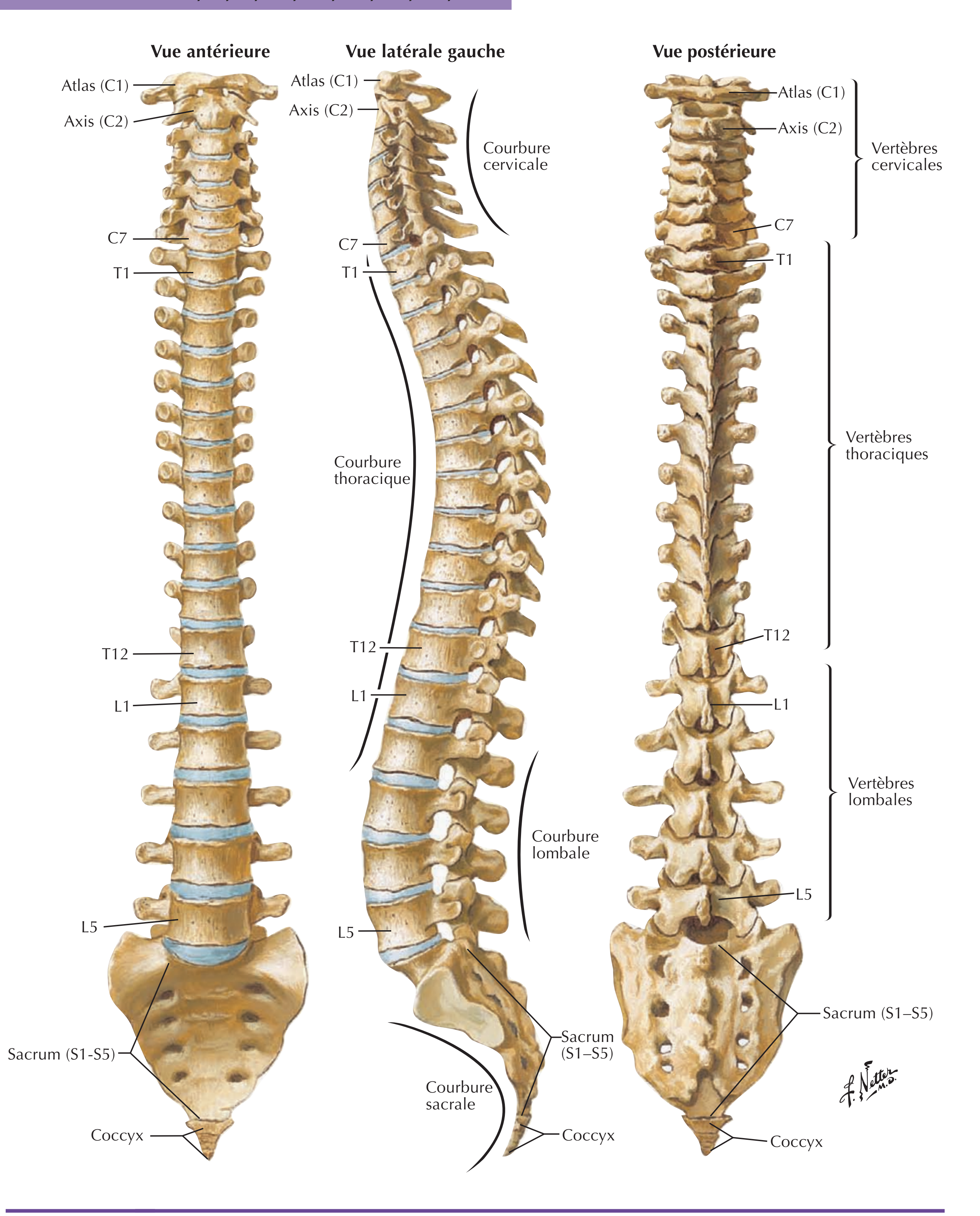
Muscle trapèze
Épine de la scapula
Muscle deltoïde
Muscle infraépineux
Muscle triceps brachial
Chef long
Chef latéral
Tendon
Muscle grand rond
Muscle grand dorsal
Triangle lombal (de Petit)
Crête iliaque
Muscle érecteur du rachis
Épine iliaque postéro-supérieure
Fente interglutéale (congénitale)

Protubérance occipitale externe
Ligament nucal
Processus épineux de la vertèbre C7
Muscle deltoïde
Épine de la scapula
Triangle d'auscultation
Bord médial de la scapula
Angle inférieur de la scapula
Processus épineux de la vertèbre T12
Muscle moyen glutéal
Sacrum
Muscle grand glutéal
Grand trochanter
Sillon glutéal

C.Machado M.D.

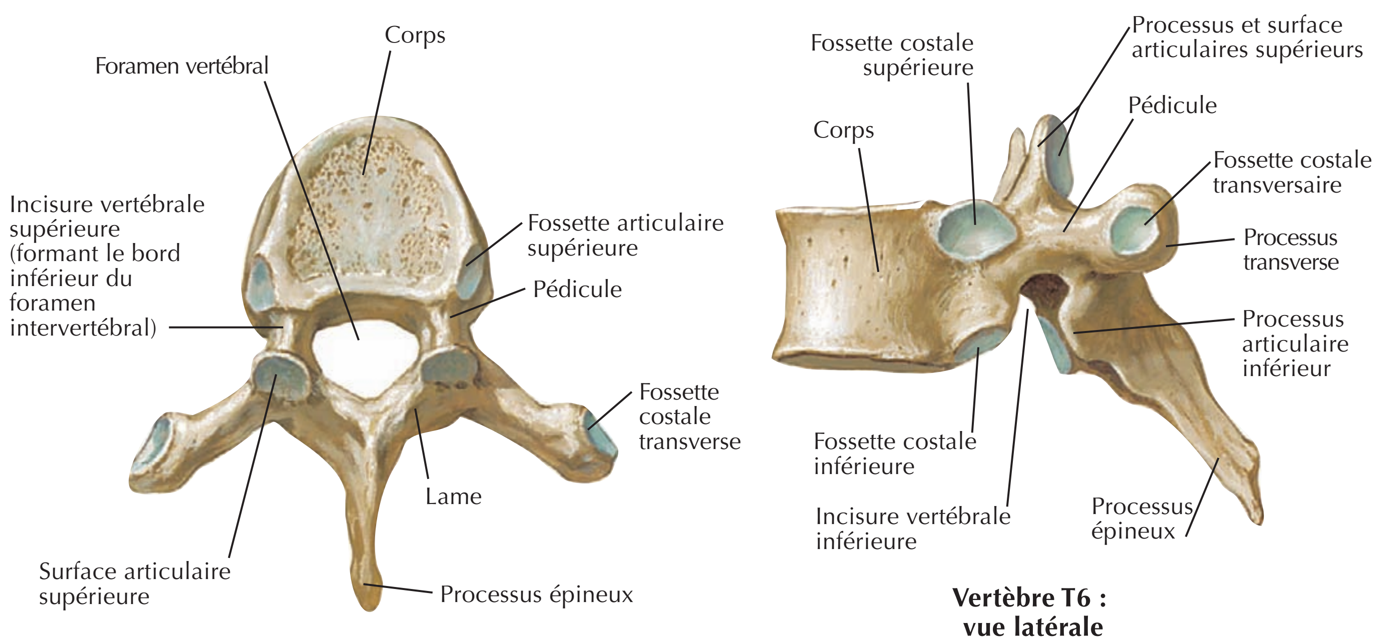
Colonne vertébrale

Voir aussi **Planches 15, 19, 20, 151, 152, 153, 154, 179, 241**



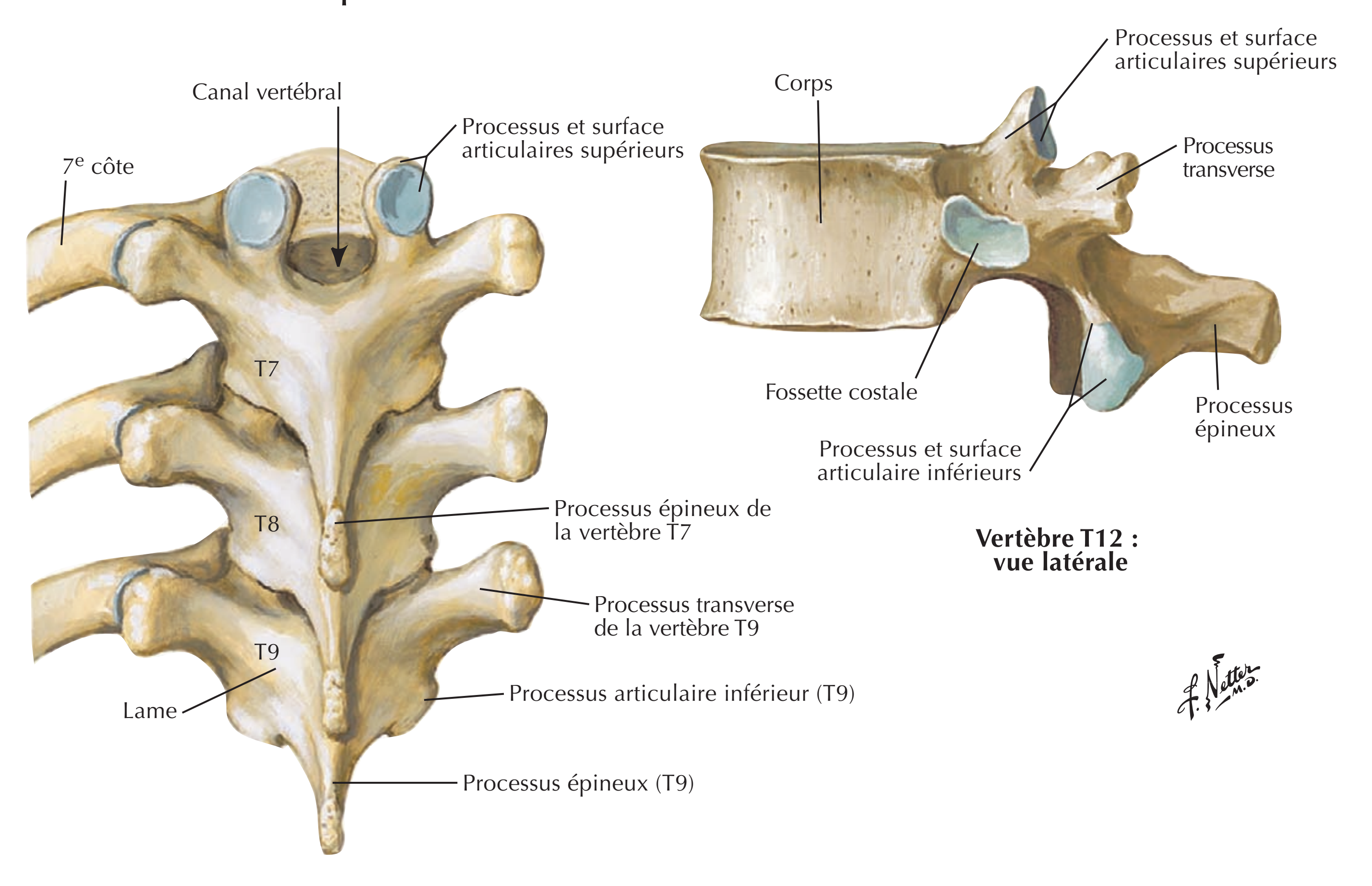


Voir aussi **Planche 181**



Vertèbre T6 : vue supérieure

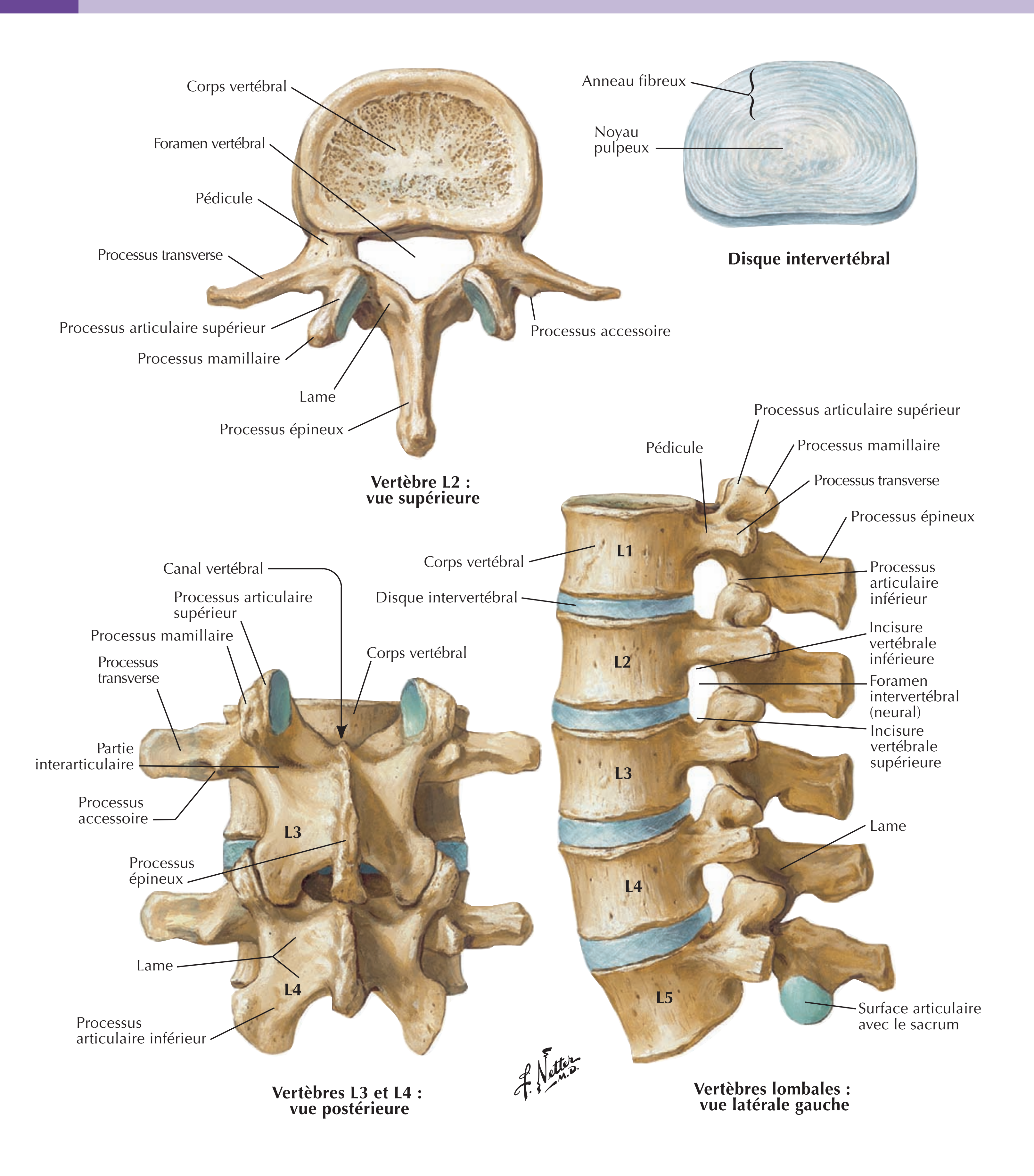
Vertèbre T6 : vue latérale



Vertèbre T12 : vue latérale

Vertèbres T7, T8 et T9 : vue postérieure

Vertèbres lombales



Vertèbre L2 : vue supérieure

Disque intervertébral

Vertèbres L3 et L4 : vue postérieure

Vertèbres lombales : vue latérale gauche



Cliché de surface

Processus articulaire supérieur de la vertèbre L1

Processus articulaire inférieur de la vertèbre L1

Pédicules de la vertèbre L3

Corps de la vertèbre L3

Processus transverse de la vertèbre L3

Processus épineux de la vertèbre L4

Lame de la vertèbre L4

Foramens sacraux

Cliché de profil

T12

L1

L2

L3

L4

L5

S1

S2

Incisure vertébrale inférieure de la vertèbre L2

Espace du disque inter-vertébral

Incisure vertébrale supérieure de la vertèbre L3

Pédicule de la vertèbre L3

Foramen intervertébral

Processus articulaire supérieure de la vertèbre L4

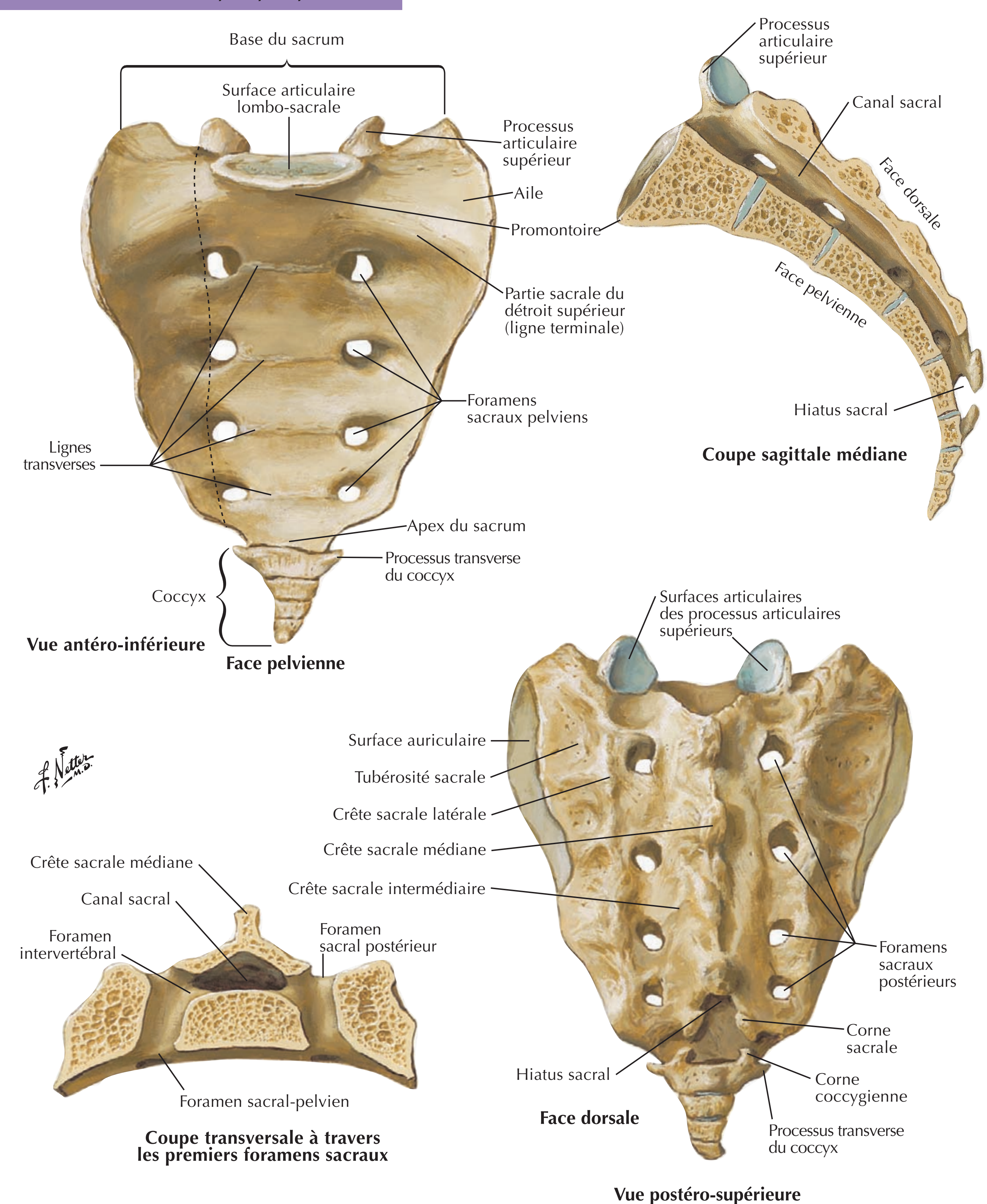
Processus articulaire inférieur de la vertèbre L3

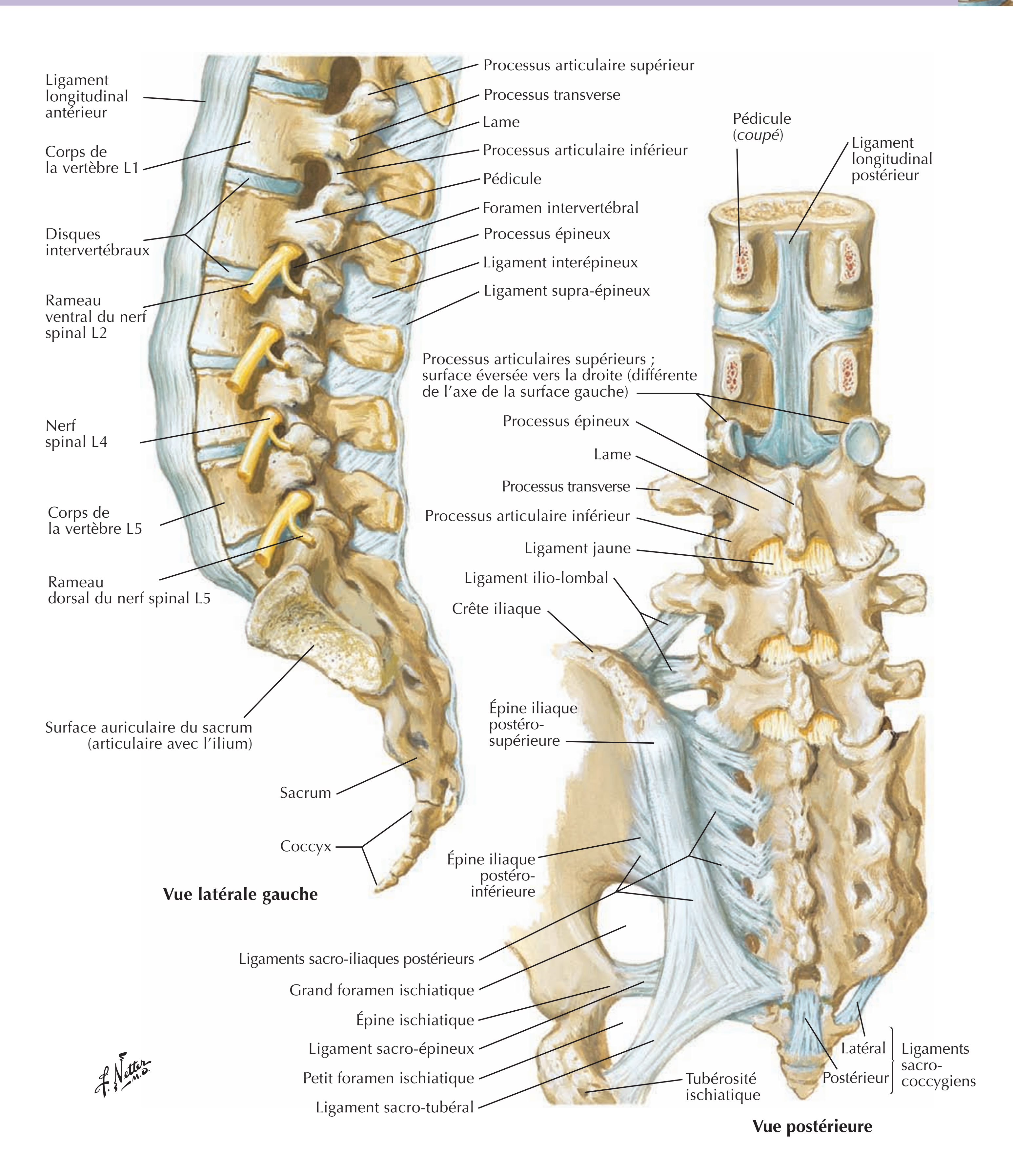
Processus épineux de la vertèbre L3

Note: Les corps vertébraux sont numérotés

Sacrum et coccyx

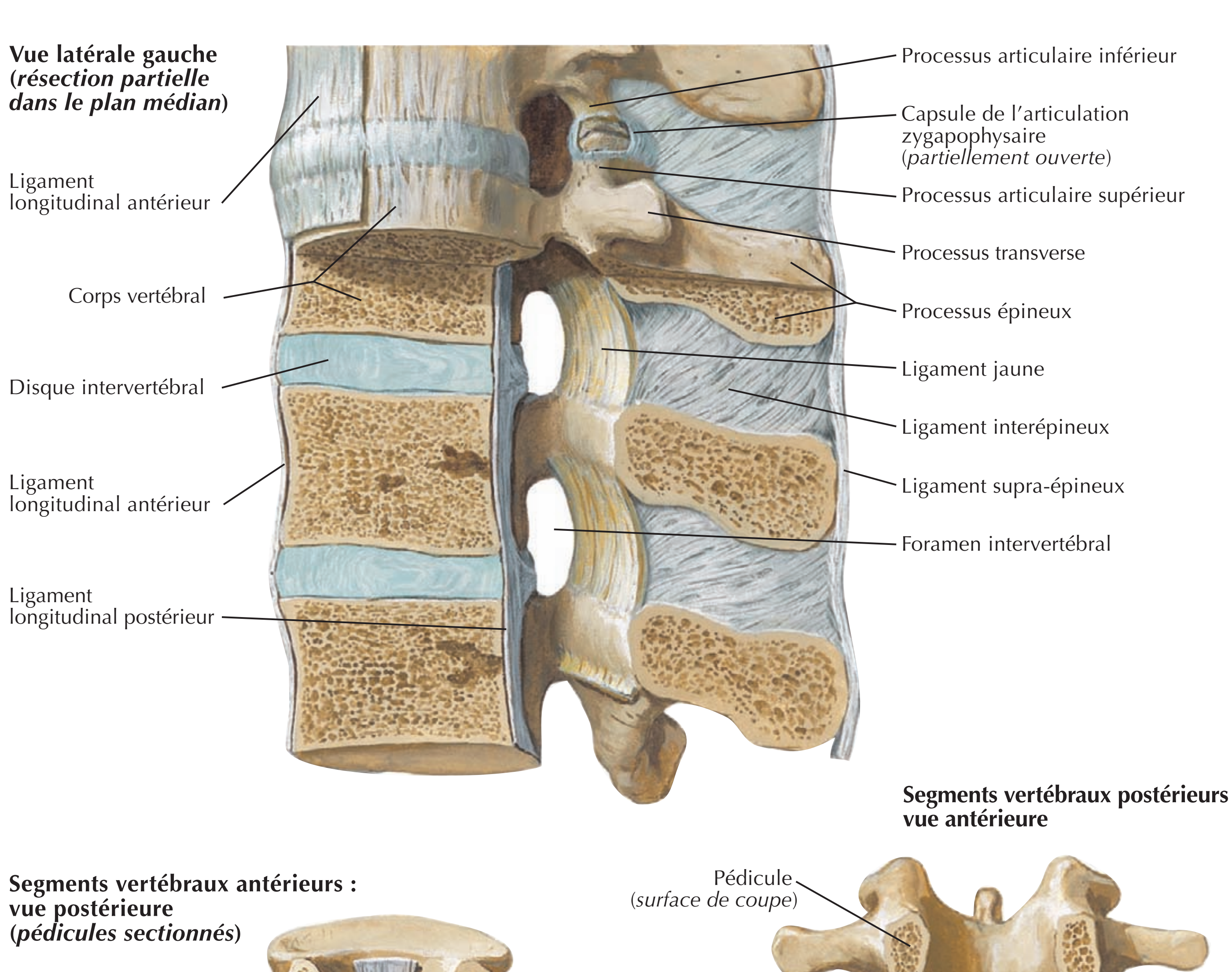
Voir aussi **Planches 150, 155, 241, 334-336**

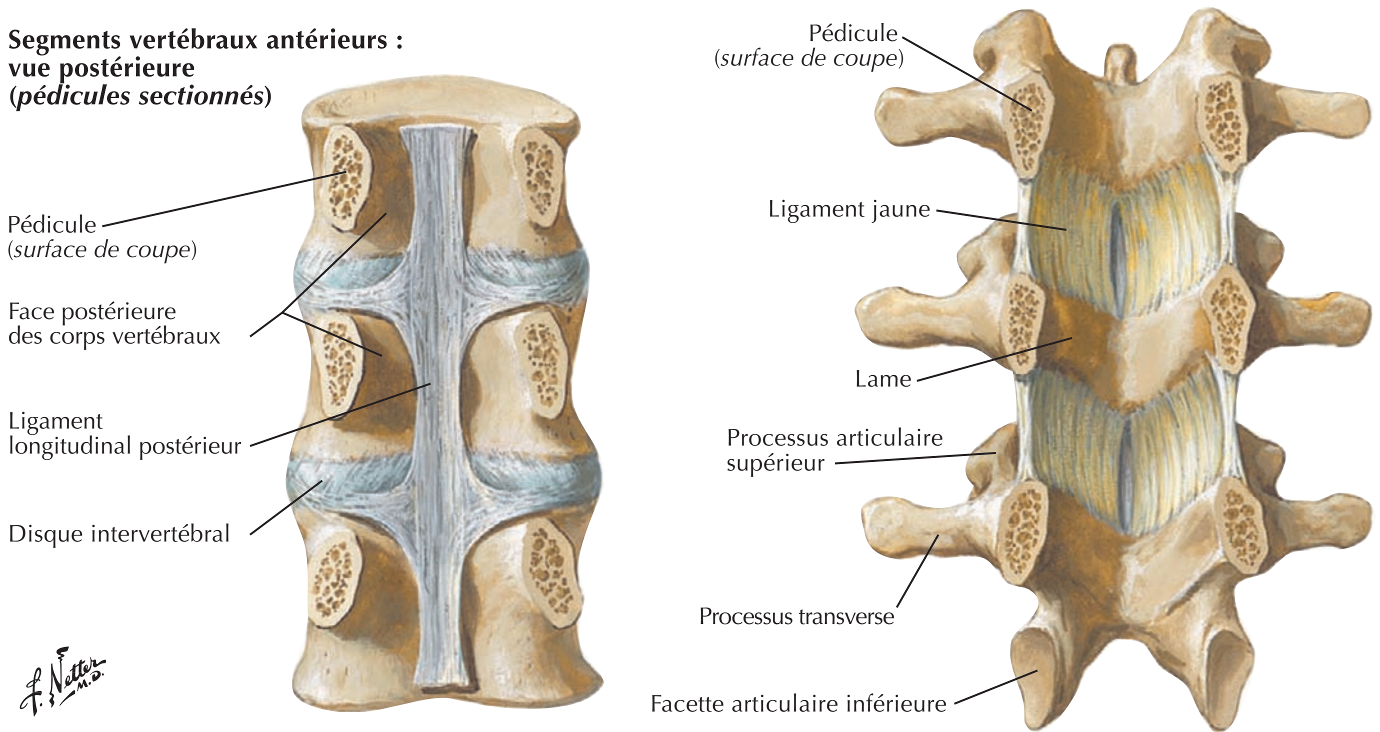




Ligament longitudinal antérieur
Corps de la vertèbre L1
Disques intervertébraux
Rameau ventral du nerf spinal L2
Nerf spinal L4
Corps de la vertèbre L5
Rameau dorsal du nerf spinal L5
Surface auriculaire du sacrum (articulaire avec l'ilium)
Sacrum
Coccyx
Processus articulaire supérieur
Processus transverse
Lame
Processus articulaire inférieur
Pédicule
Foramen intervertébral
Processus épineux
Ligament interépineux
Ligament supra-épineux
Vue latérale gauche
Pédicule (*coupé*)
Ligament longitudinal postérieur
Processus articulaires supérieurs ; surface éversée vers la droite (différente de l'axe de la surface gauche)
Processus épineux
Lame
Processus transverse
Processus articulaire inférieur
Ligament jaune
Ligament ilio-lombal
Crête iliaque
Épine iliaque postéro-supérieure
Épine iliaque postéro-inférieure
Ligaments sacro-iliaques postérieurs
Grand foramen ischiatique
Épine ischiatique
Ligament sacro-épineux
Petit foramen ischiatique
Ligament sacro-tubéral
Tubérosité ischiatique
Latéral
Postérieur
Ligaments sacro-coccygiens
Vue postérieure
F. Netter M.D.

Ligaments vertébraux : région lombale





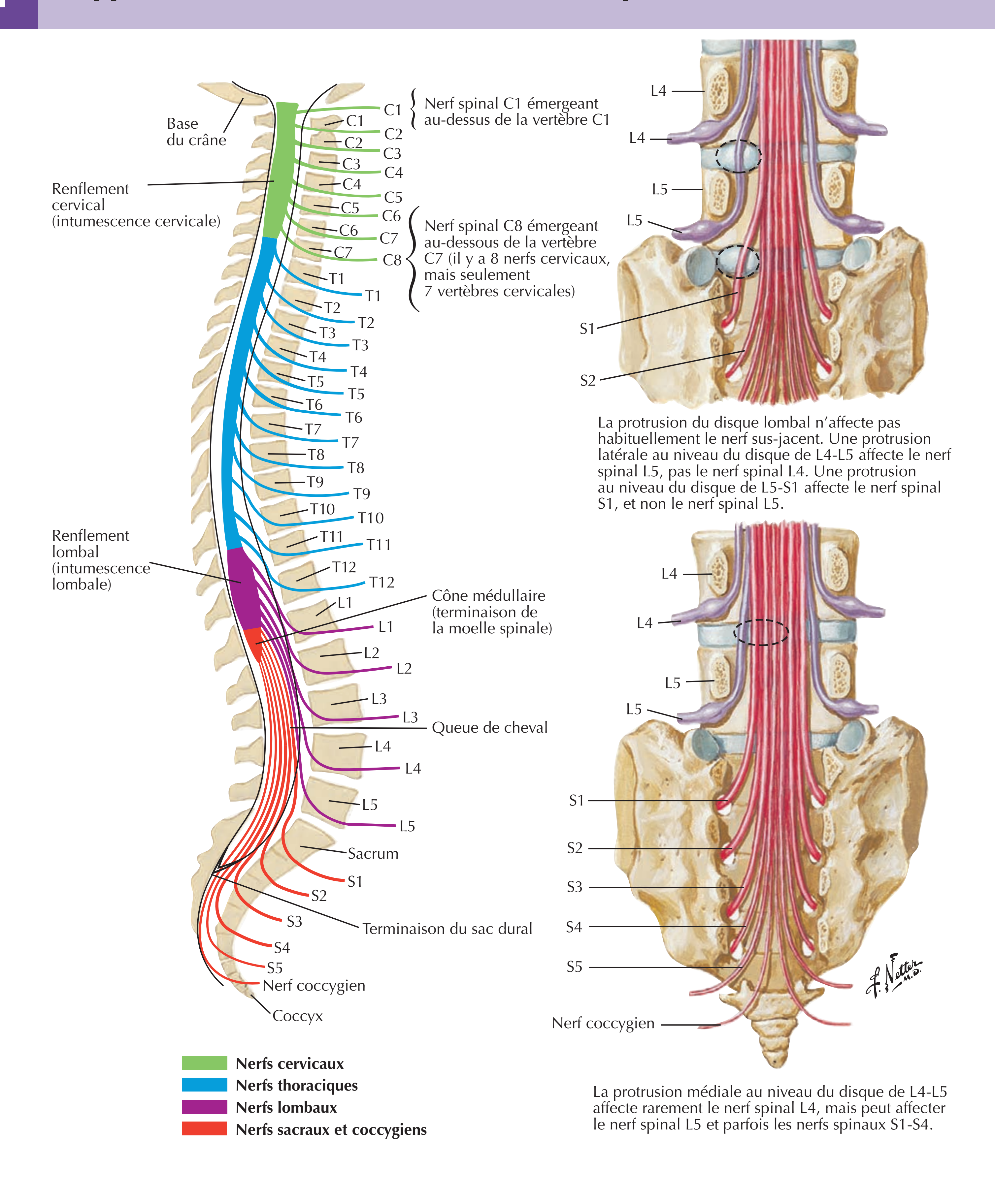


Moelle spinale *in situ*

Base du crâne
Nerf spinal C1
Vertèbre C2 (axis)
Nerf spinal C8
Nerf spinal T1
1re côte
Nerfs intercostaux
Nerf spinal T12
12e côte
Nerf subcostal
Nerf spinal L1
Cône médullaire
Queue de cheval
Nerf spinal L5
Nerf spinal S1
Sacrum (*réséqué*)
Filum terminal (partie piale)
Terminaison de la cavité épidurale
Filum terminal (partie durale)
Nerf spinal S5
Nerf coccygien

Vertèbre C1 (atlas)
Plexus cervical
Vertèbre C7
Vertèbre T1
Plexus brachial
Dure-mère spinale
Filets radiculaires des nerfs spinaux (T7 et T8)
Vertèbre T12
Vertèbre L1
Nerf ilio-hypogastrique
Nerf ilio-inguinal
Plexus lombal
Vertèbre L5
Nerf fémoral
Plexus sacral
Nerfs glutéaux supérieur et inférieur
Nerf ischiatique
Nerf cutané postérieur de la cuisse
Nerf pudendal
Coccyx

Rapports vertébraux des racines des nerfs spinaux





Dermatomes

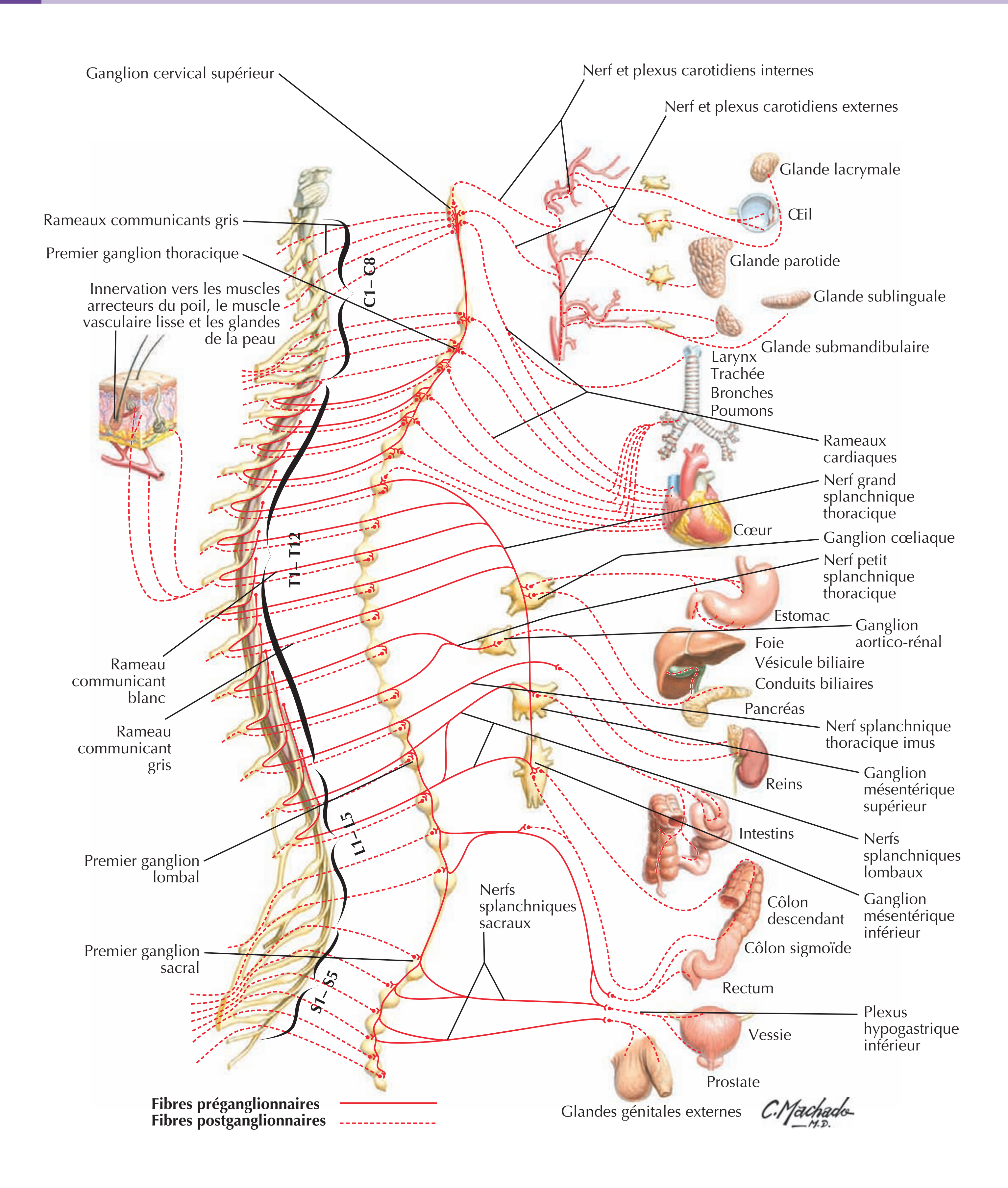
Voir aussi **Planches 401, 470** ; pour la topographie des nerfs cutanés, voir **Planches 2, 402, 460, 462-464, 466, 467, 526-530**

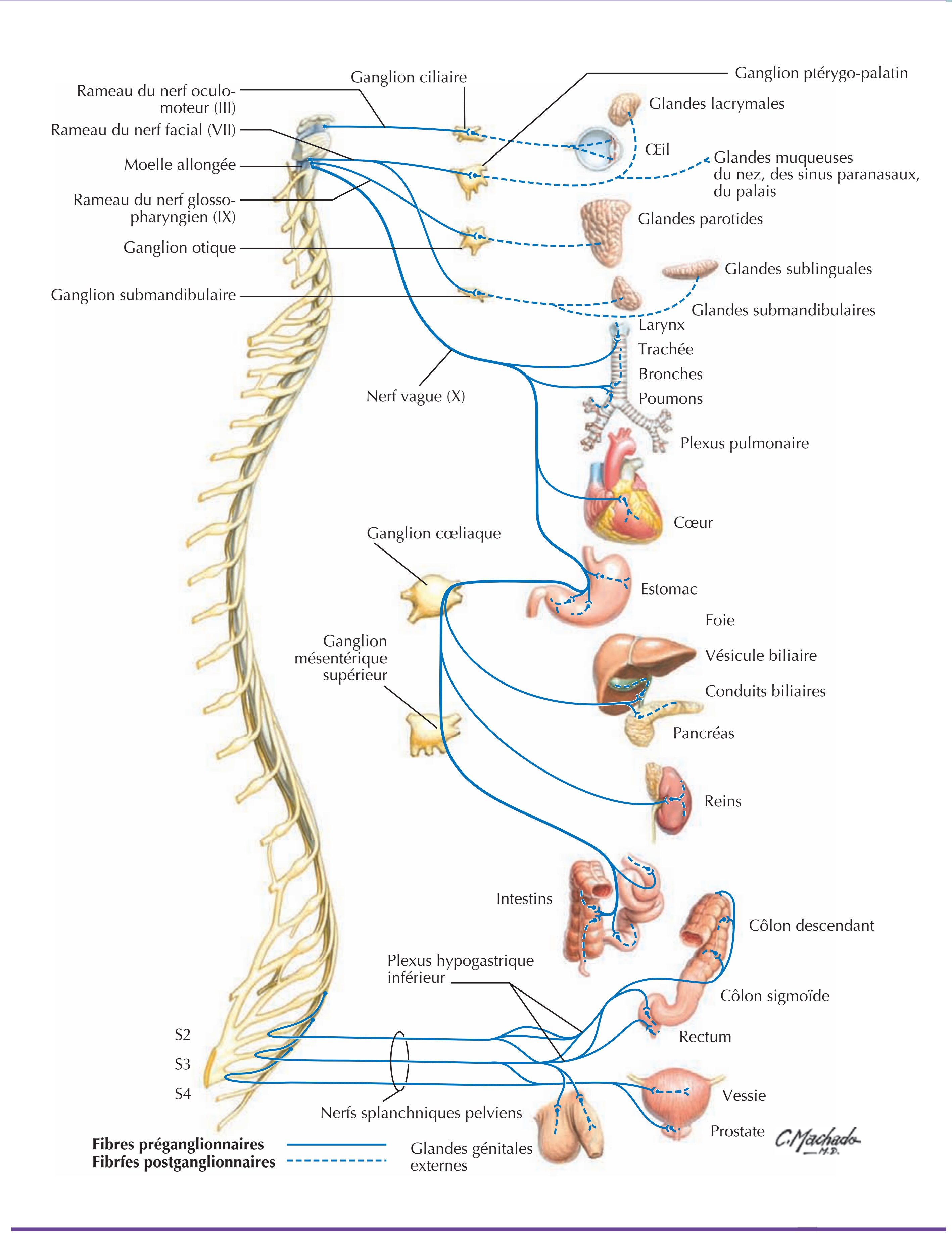
Schéma de la topographie des dermatomes présentés en segments distincts (d'après Keegan et Garrett). Il y a en fait un chevauchement considérable entre deux dermatomes adjacents (une alternative à cette topographie est donnée par Foerster).

Niveaux des principaux dermatomes

C5	Clavicules
C5, 6	Faces latérales des membres supérieurs
C6	Pouce
C6, 7, 8	Main
C8	Annulaire et auriculaire
C8, T1	Faces médiales des membres supérieurs
L1	Régions inguinales ou aines
L1, 2, 3, 4	Faces antérieure et médiale des membres inférieurs
L4	Face médiale du gros orteil
L4, 5, S1	Pied
S1	Bord latéral du pied et du petit orteil
S1, 2, L5	Faces latérale et postérieure des membres supérieurs
S2, 3, 4	Périnée
T4	Niveau du mamelon
T10	Niveau de l'ombilic
T12	Régions inguinales ou aines

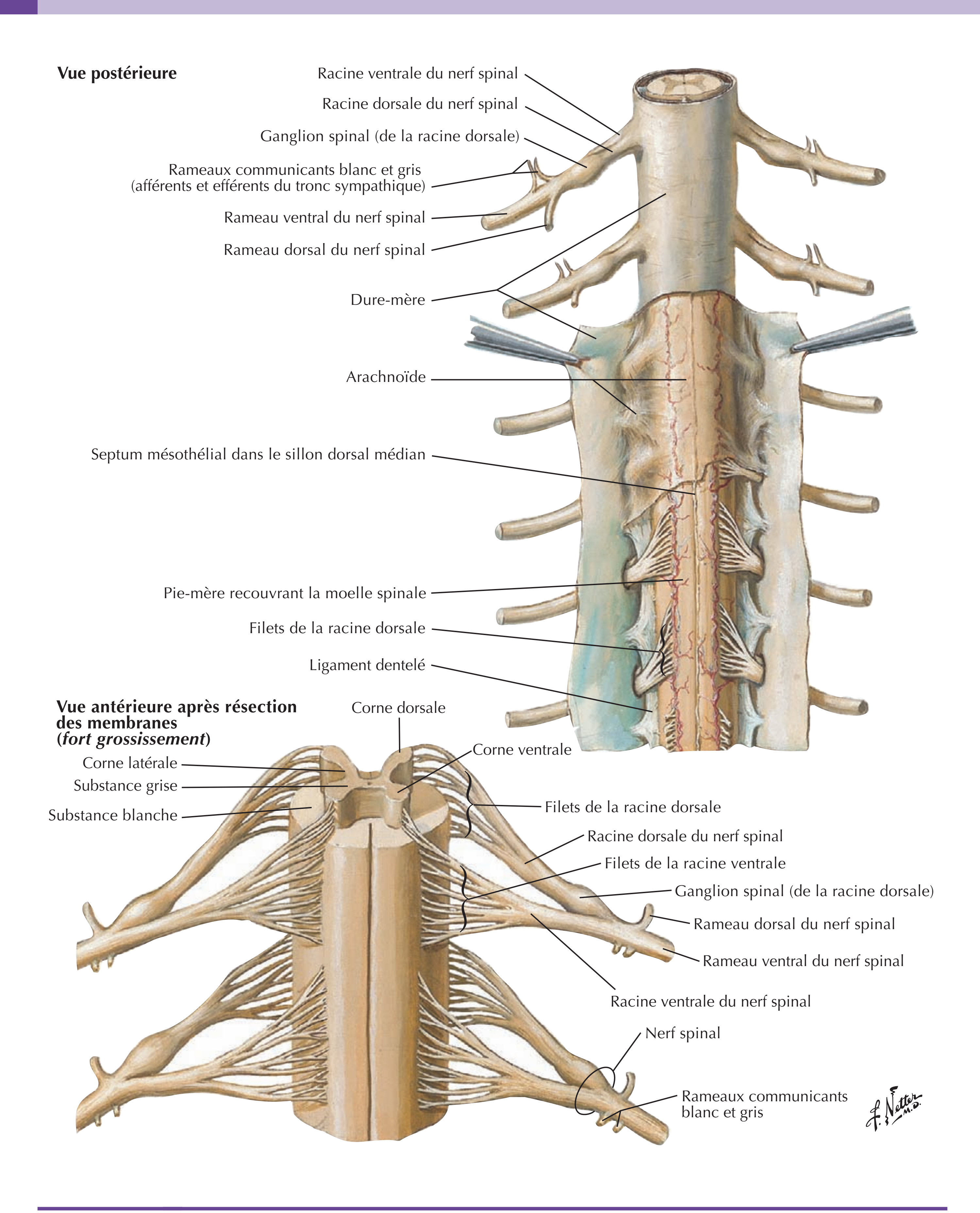
Système nerveux sympathique : schéma



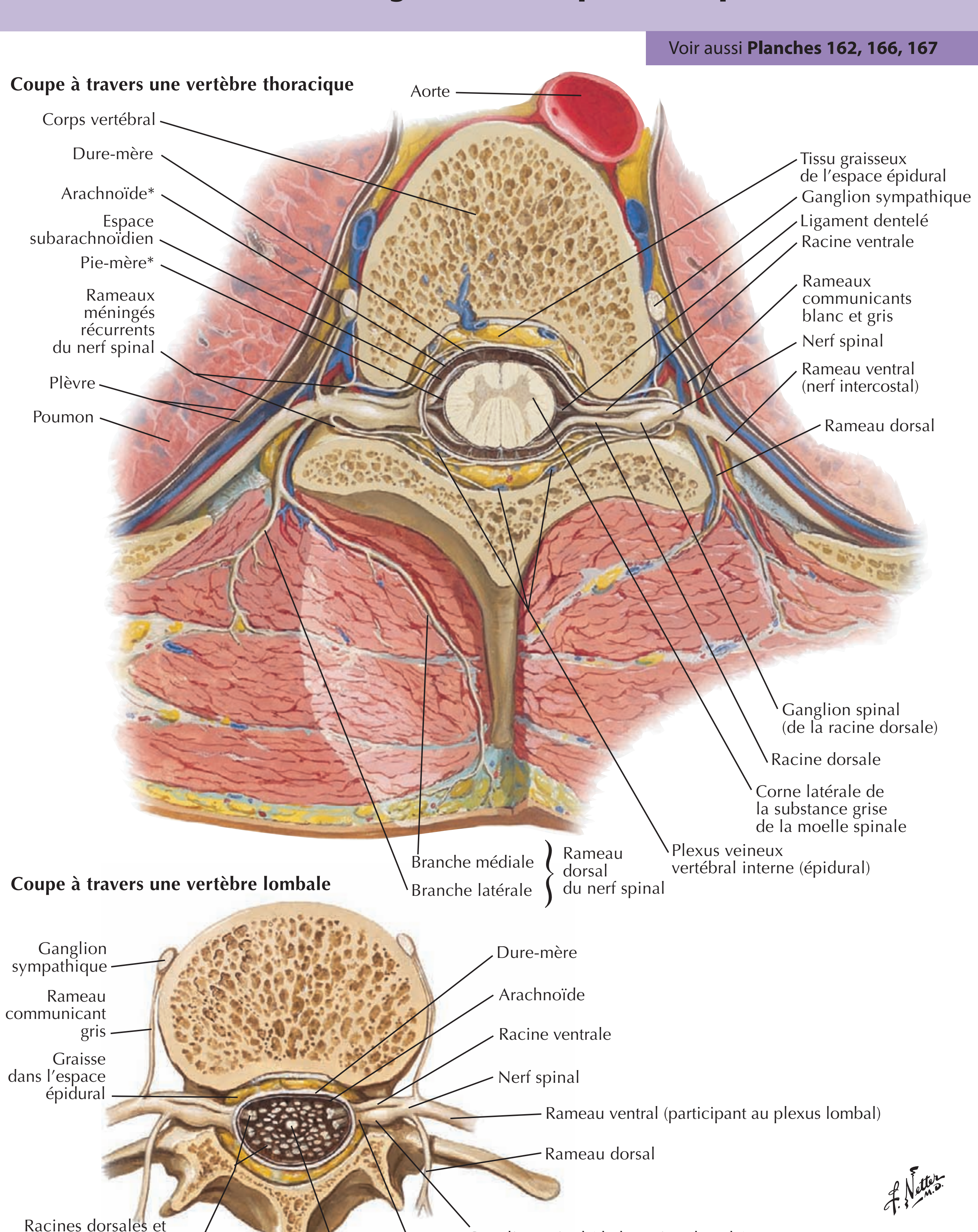


Rameau du nerf oculo-moteur (III)
Ganglion ciliaire
Ganglion ptérygo-palatin
Glandes lacrymales
Rameau du nerf facial (VII)
Œil
Moelle allongée
Glandes muqueuses du nez, des sinus paranasaux, du palais
Rameau du nerf glosso-pharyngien (IX)
Glandes parotides
Ganglion otique
Glandes sublinguales
Ganglion submandibulaire
Glandes submandibulaires
Larynx
Trachée
Bronches
Nerf vague (X)
Poumons
Plexus pulmonaire
Cœur
Ganglion cœliaque
Estomac
Foie
Ganglion mésentérique supérieur
Vésicule biliaire
Conduits biliaires
Pancréas
Reins
Intestins
Côlon descendant
Plexus hypogastrique inférieur
Côlon sigmoïde
S2
Rectum
S3
S4
Vessie
Nerfs splanchniques pelviens
Prostate
Fibres préganglionnaires
Fibrfes postganglionnaires
Glandes génitales externes
C.Machado M.D.

Méninges et racines nerveuses spinales



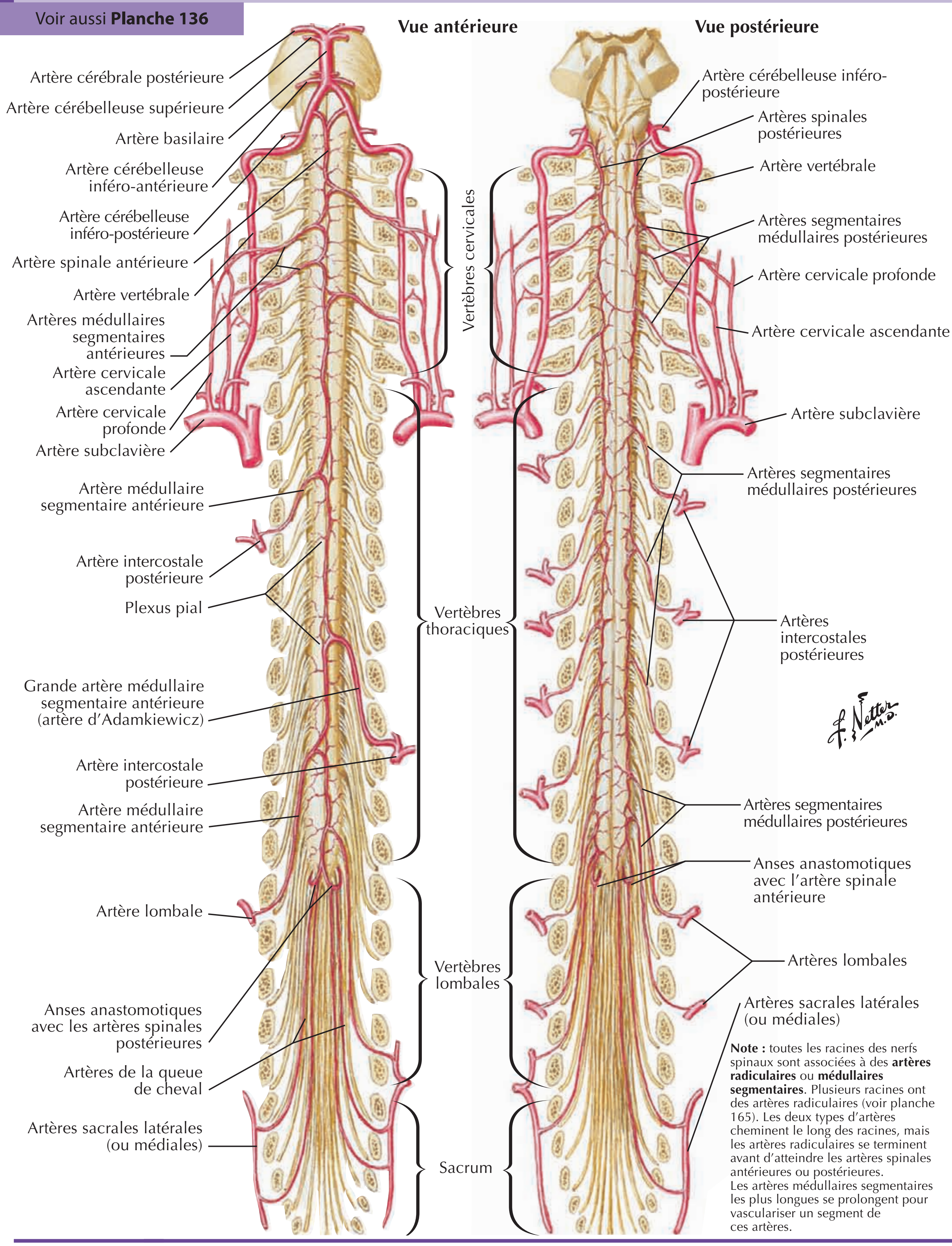
Voir aussi **Planches 162, 166, 167**



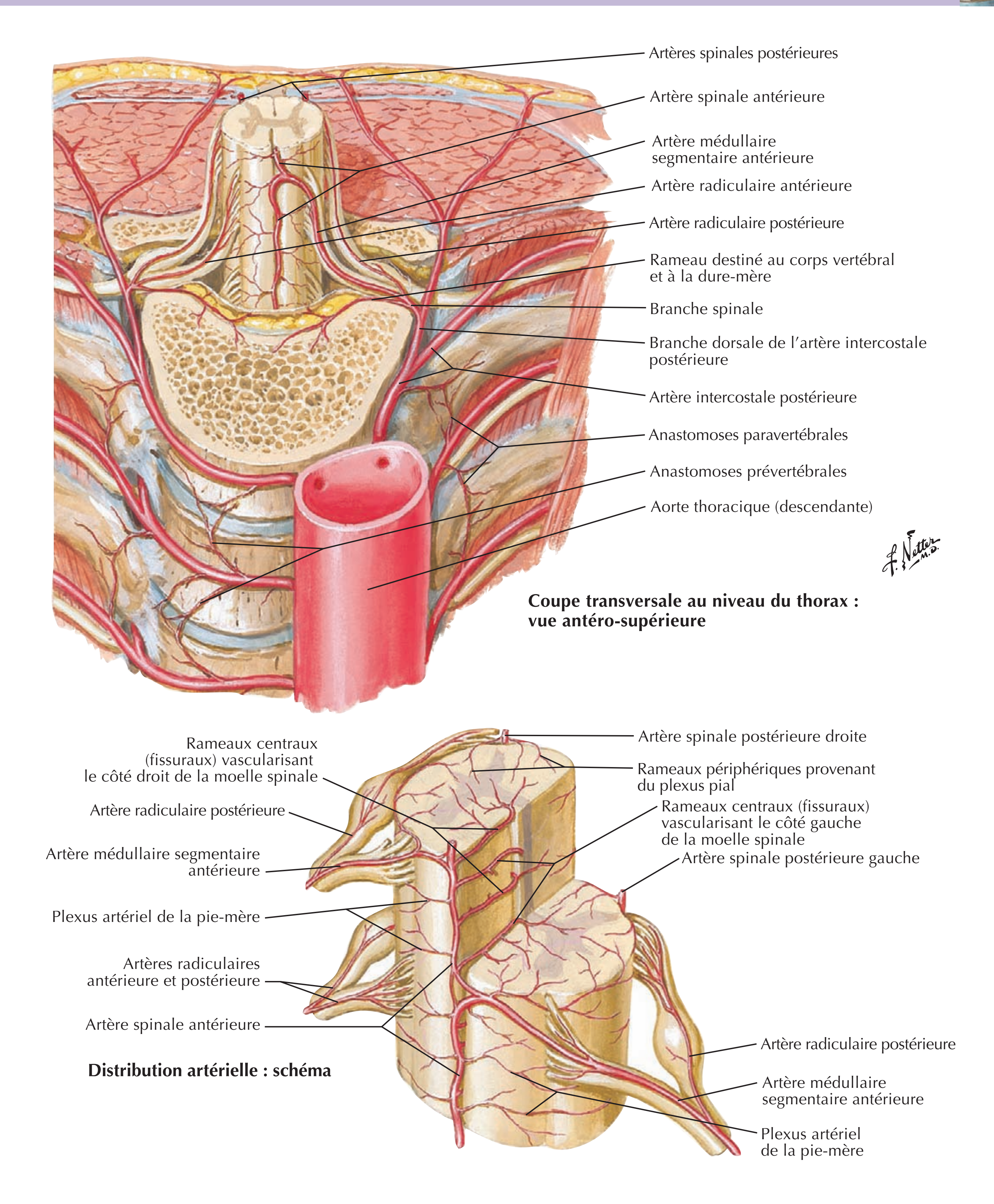
*Leptoméninges

Artères de la moelle spinale : schéma

Voir aussi **Planche 136**



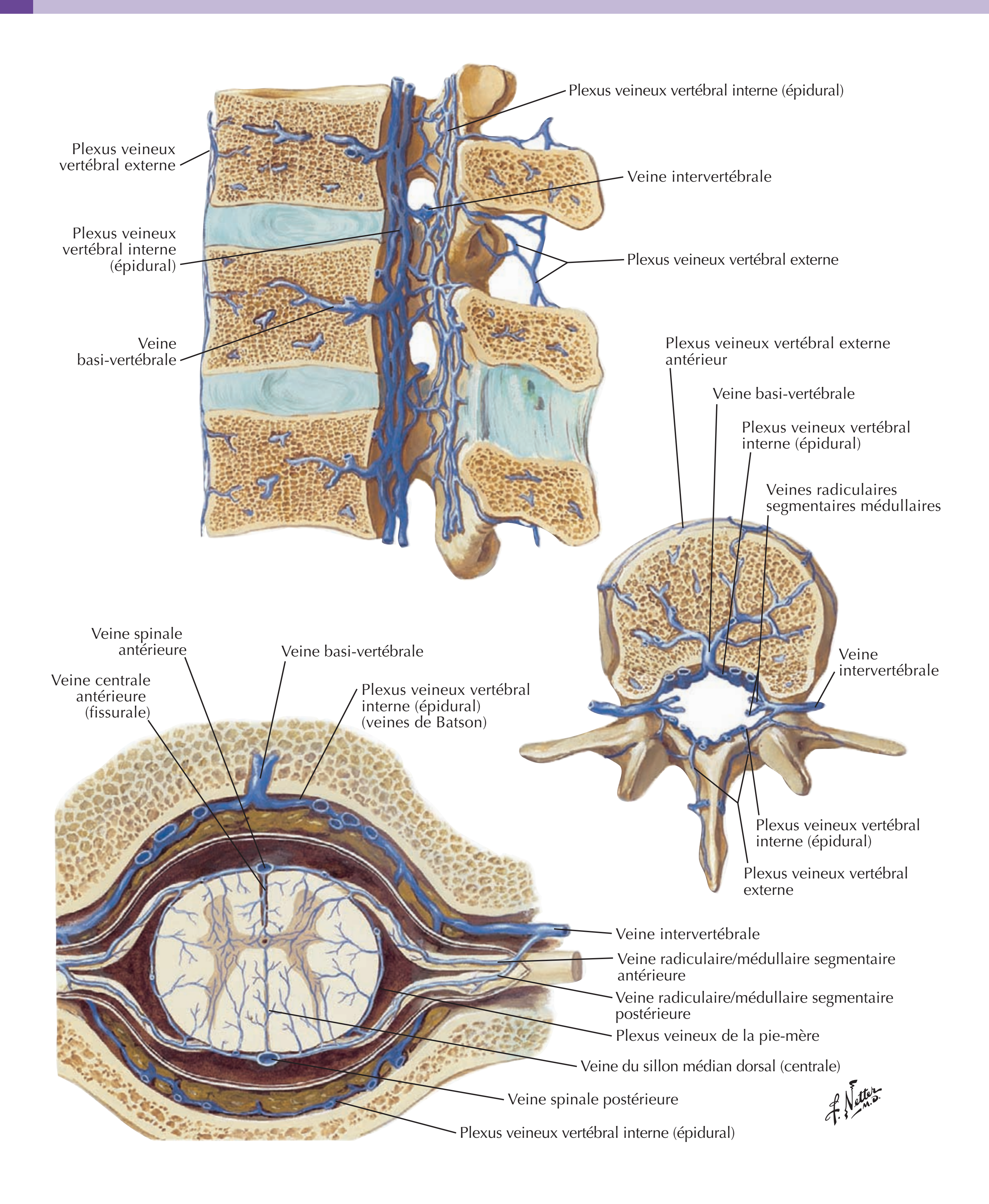
Note : toutes les racines des nerfs spinaux sont associées à des **artères radiculaires** ou **médullaires segmentaires**. Plusieurs racines ont des artères radiculaires (voir planche 165). Les deux types d'artères cheminent le long des racines, mais les artères radiculaires se terminent avant d'atteindre les artères spinales antérieures ou postérieures. Les artères médullaires segmentaires les plus longues se prolongent pour vasculariser un segment de ces artères.



Coupe transversale au niveau du thorax : vue antéro-supérieure

Distribution artérielle : schéma

Veines de la moelle spinale et de la colonne vertébrale



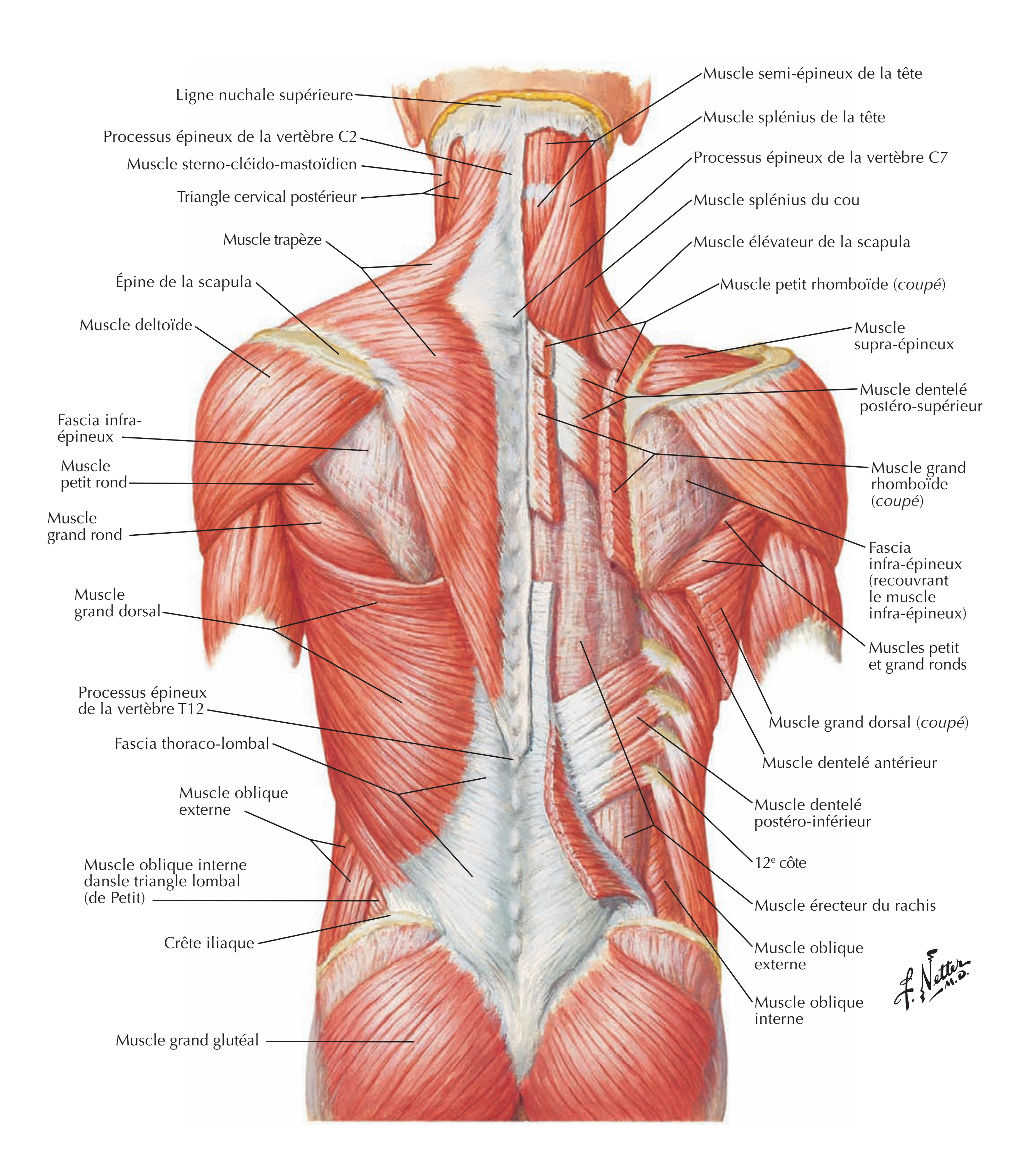
Veines vertébrales : détail montrant les communications veineuses

Arc antérieur de l'atlas (C1) (*coupé*)
Dure-mère
Artère vertébrale droite
Plexus veineux vertébral antérieur interne (épidural)
Dent de l'axis (C2) (*coupée*)
Plexus veineux de l'artère vertébrale
Plexus veineux vertébral antérieur externe
Graisse épidurale et plexus veineux vertébral antérieur interne (épidural)
Veine communicante
Veine basi-vertébrale
Veines intervertébrales
Artère vertébrale et plexus veineux
Veine cervicale profonde
Veines vertébrales antérieures
Corps de C3 réséqué pour montrer les communications veineuses

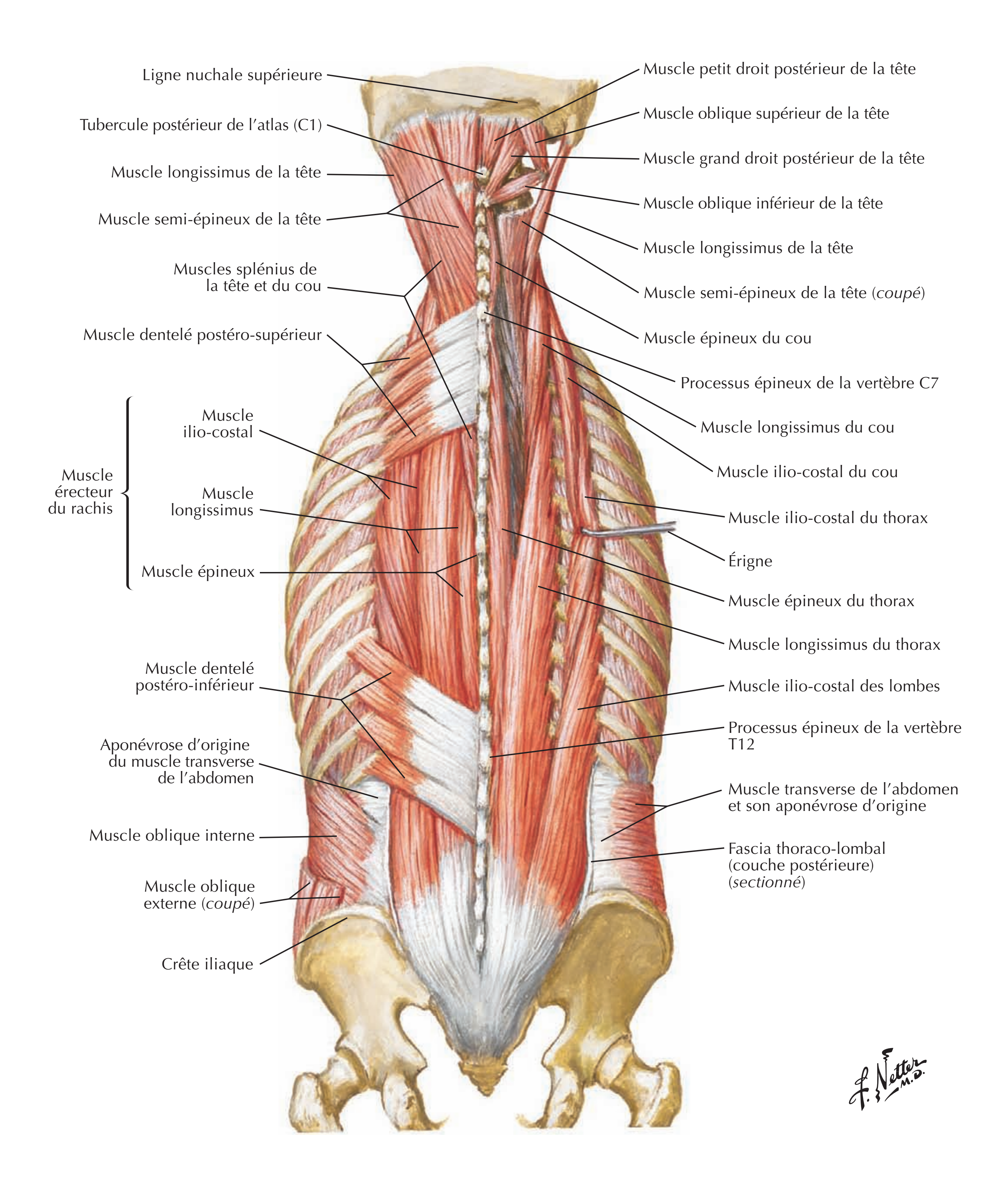
Veines de la colonne vertébrale : veines vertébrales

Bulbe supérieur de la veine jugulaire interne droite
Veine émissaire condylaire
Veine émissaire mastoïdienne
Plexus veineux de l'artère vertébrale
Veines communicantes
Veine cervicale profonde droite
Veine vertébrale en formation
Veine vertébrale accessoire
Artère et veine vertébrales droites
Artère scapulaire dorsale
Tronc costo-cervical
Tronc thyro-cervical droit
Veine subclavière droite
Veine jugulaire interne droite (bulbe inférieur)
Veine brachio-céphalique droite
Artère subclavière droite
Artère carotide commune droite
Artères vertébrales
Dure-mère
Plexus veineux vertébral antérieur interne (épidural)
Plexus veineux vertébral antérieur externe
Veines vertébrales antérieures
Veine cervicale profonde gauche
Veine vertébrale gauche
Artère vertébrale gauche
Tronc thyro-cervical gauche
Veine jugulaire interne gauche (bulbe inférieur)
Artère subclavière gauche
Veine subclavière gauche
Veine brachio-céphalique gauche
Artère carotide commune gauche
C. Machado M.D.

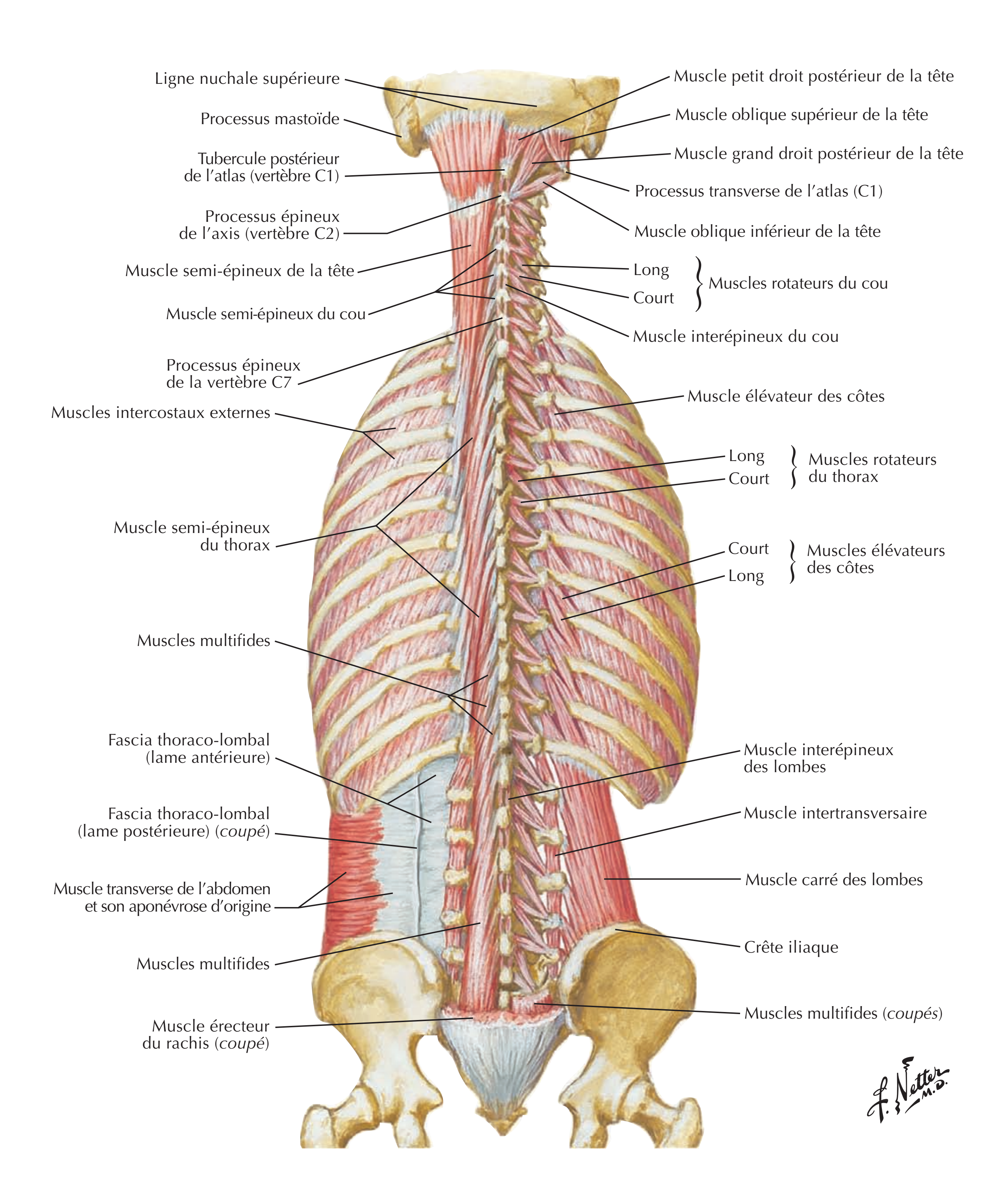
Muscles du dos : couches superficielles



Muscles du dos : couches intermédiaires



Muscles du dos : couches profondes





Nerfs du dos

Voir aussi **Planches 174, 185, 248, 252**

Nerf accessoire (XI)

Muscle trapèze (*récliné*)

Muscle élévateur de la scapula

Artère et veine cervicales transverses

Plexus sous-trapézien

Muscle supra-épineux

Épine de la scapula

Fascia infra-épineux

Muscle petit rhomboïde

Muscle grand rhomboïde

Muscle grand dorsal

Processus épineux de la vertèbre T12

Fascia thoraco-lombal

Muscle grand glutéal

Nerf grand occipital (rameau dorsal du nerf spinal C2)

3e nerf occipital (rameau dorsal du nerf spinal C3)

Nerf petit occipital

Nerf grand auriculaire

Plexus cervical (rameaux ventraux des nerfs spinaux C2, C3)

Muscle trapèze

Branches cutanées postérieures (issues des branches médiales des rameaux dorsaux des nerfs spinaux C4 à T6 ; C7 et C8 sont grêles)

Muscle deltoïde

Fascia infra-épineux

Muscles petit et grand ronds

Nerf cutané latéral supérieur du bras (branche du nerf auxillaire C5, C6)

Branches cutanées postérieures issues des branches latérales des rameaux dorsaux des nerfs spinaux T7 à T12

Branches cutanées latérales des rameaux ventraux des nerfs intercostaux

Muscle oblique externe

Crête iliaque

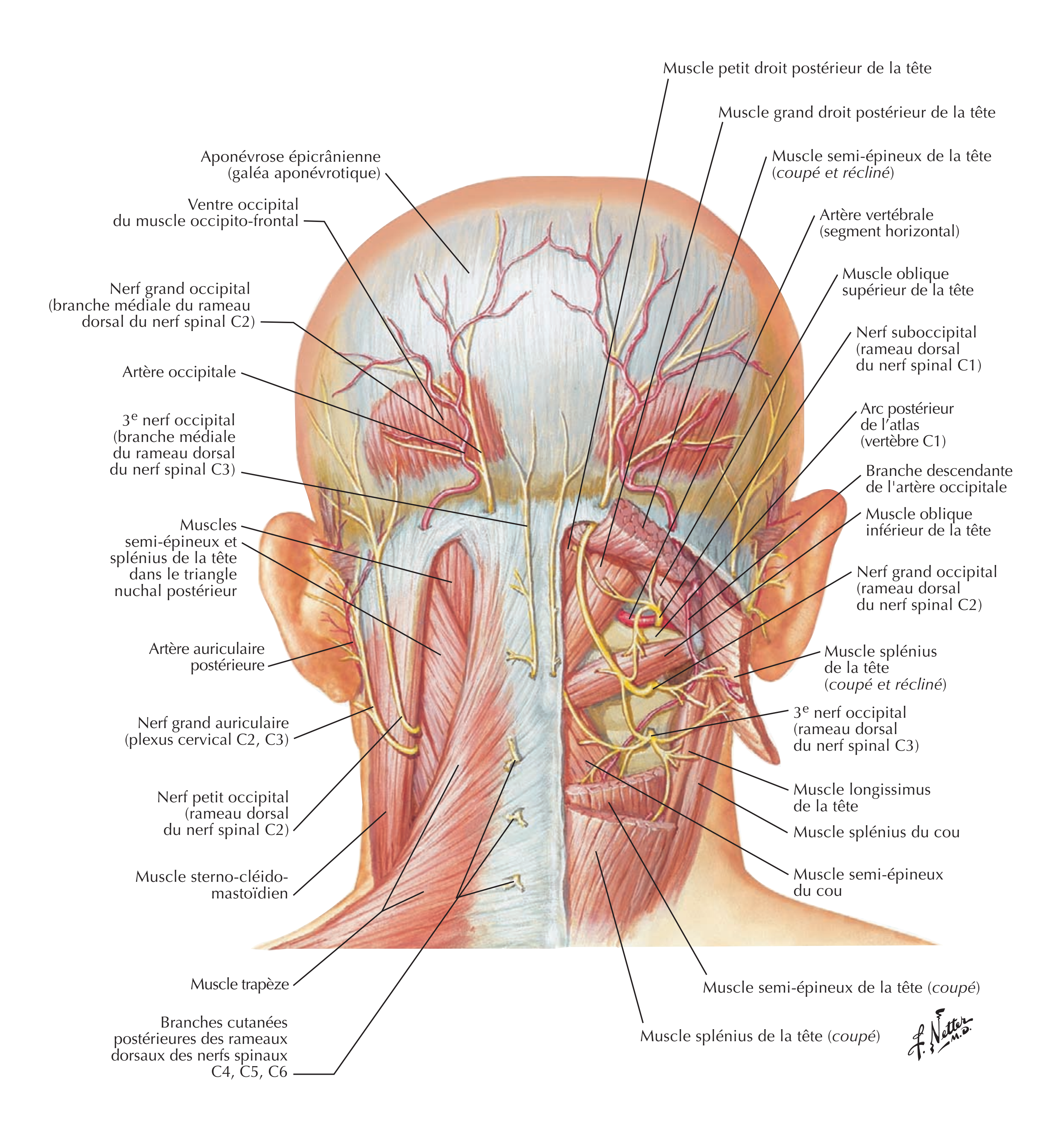
Nerf ilio-hypogastrique (rameau ventral du nerf spinal L1)

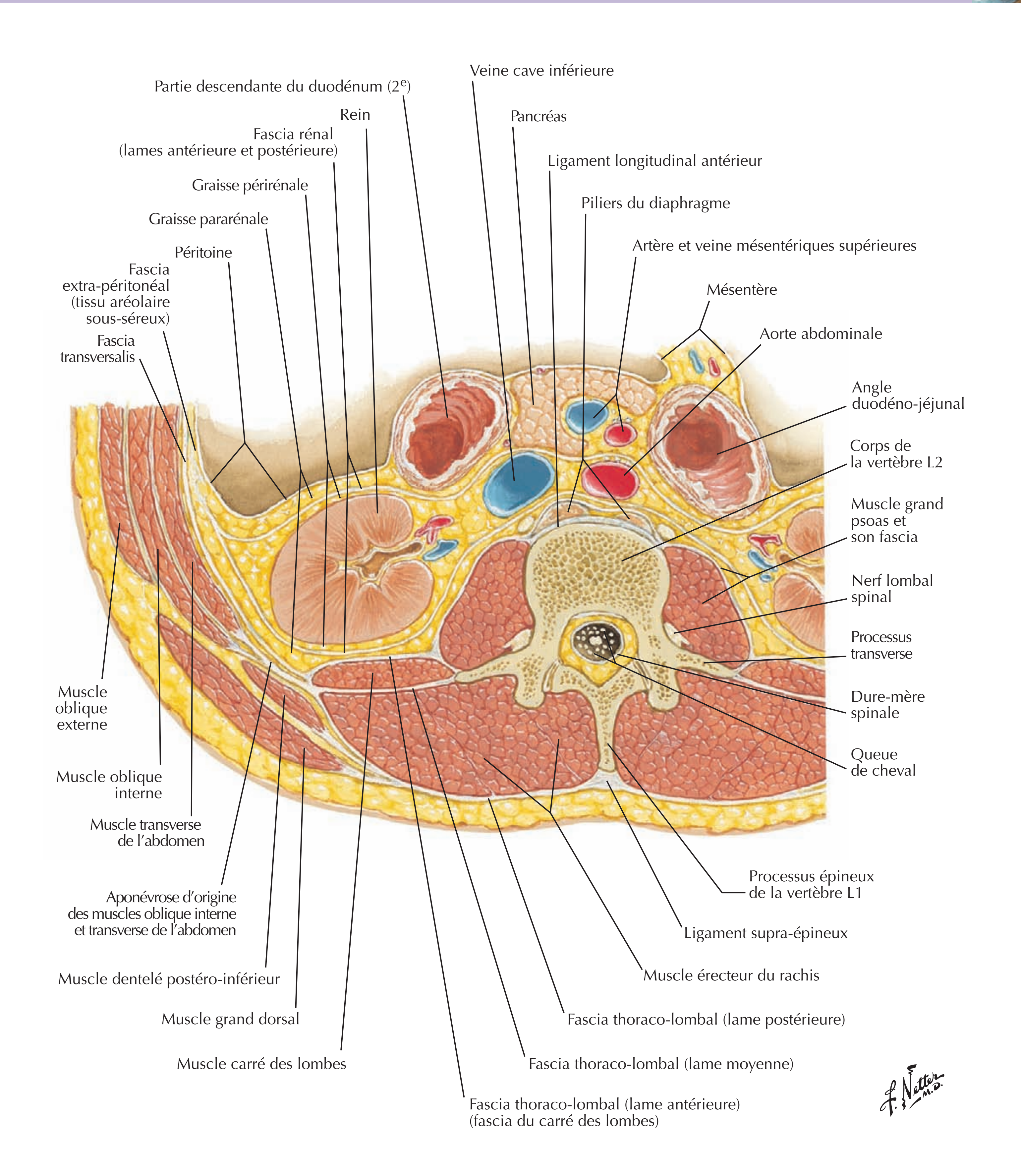
Nerfs cluniaux supérieurs (rameaux dorsaux des nerfs spinaux L1, L2, L3)

Nerfs cluniaux moyens (rameaux dorsaux des nerfs spinaux S1, S2, S3)

Nerfs cluniaux inférieurs, branche terminale du nerf cutané postérieur de la cuisse (plexus sacral S1, S2, S3)

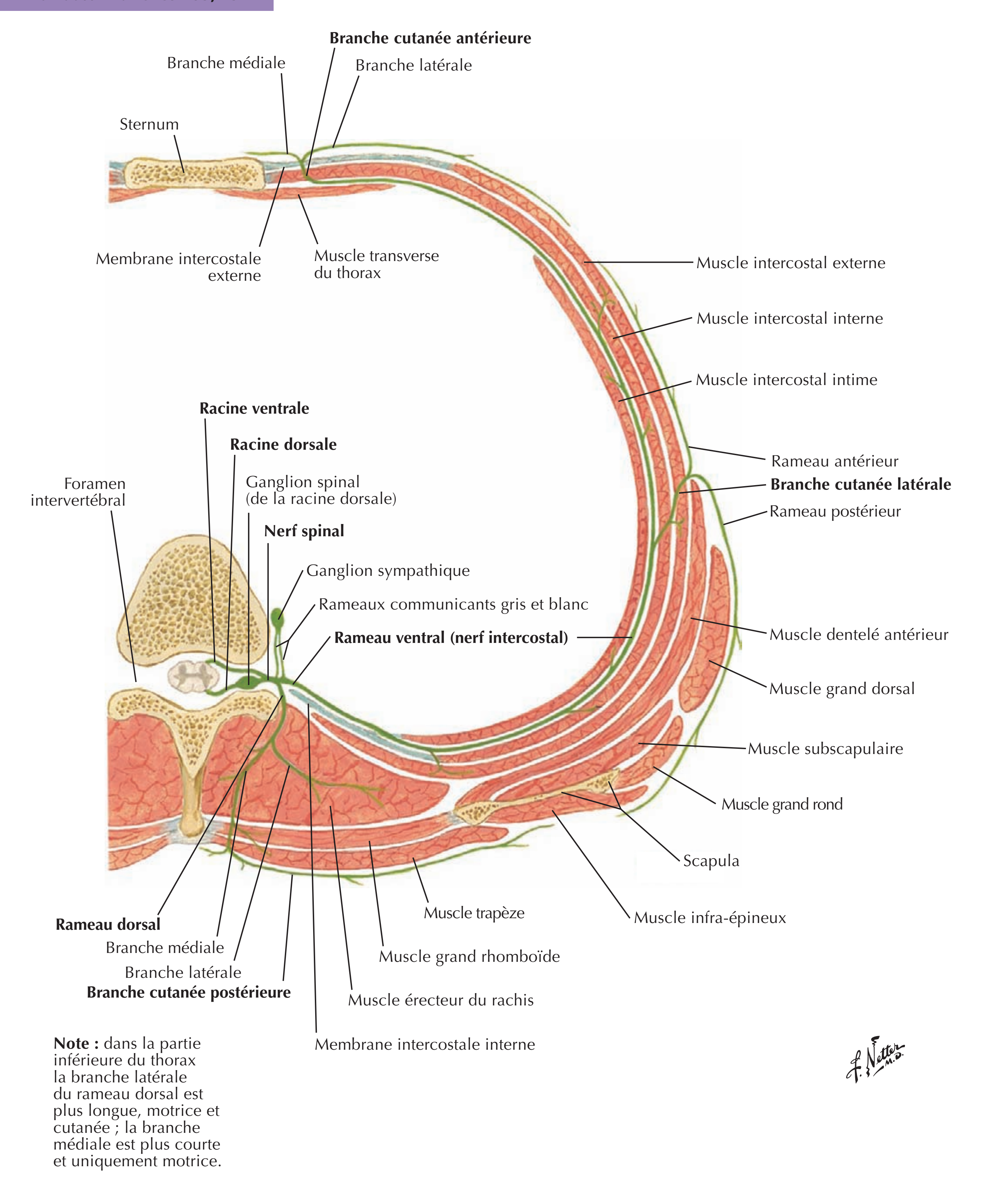
Triangle suboccipital



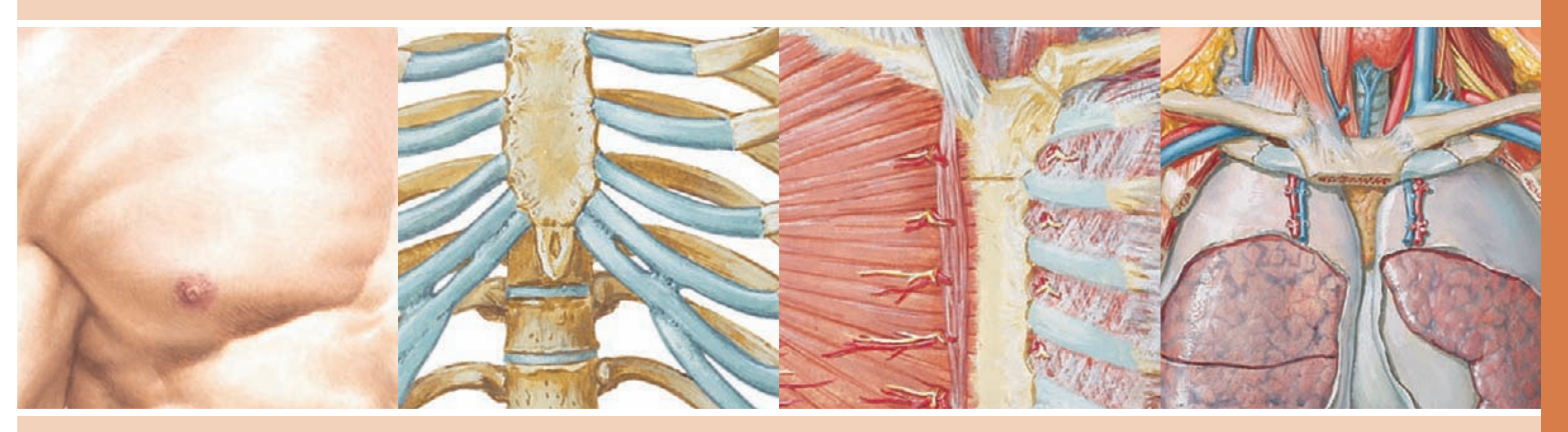

Partie descendante du duodénum (2e)
Veine cave inférieure
Rein
Pancréas
Fascia rénal
(lames antérieure et postérieure)
Ligament longitudinal antérieur
Graisse périrénale
Piliers du diaphragme
Graisse pararénale
Artère et veine mésentériques supérieures
Péritoine
Fascia
extra-péritonéal
(tissu aréolaire
sous-séreux)
Mésentère
Aorte abdominale
Fascia
transversalis
Angle
duodéno-jéjunal
Corps de
la vertèbre L2
Muscle grand
psoas et
son fascia
Nerf lombal
spinal
Processus
transverse
Muscle
oblique
externe
Dure-mère
spinale
Queue
de cheval
Muscle oblique
interne
Muscle transverse
de l'abdomen
Processus épineux
de la vertèbre L1
Aponévrose d'origine
des muscles oblique interne
et transverse de l'abdomen
Ligament supra-épineux
Muscle dentelé postéro-inférieur
Muscle érecteur du rachis
Muscle grand dorsal
Fascia thoraco-lombal (lame postérieure)
Muscle carré des lombes
Fascia thoraco-lombal (lame moyenne)
Fascia thoraco-lombal (lame antérieure)
(fascia du carré des lombes)
F. Netter M.D.

Nerf spinal thoracique type

Voir aussi **Planches 185, 252**



Note : dans la partie inférieure du thorax la branche latérale du rameau dorsal est plus longue, motrice et cutanée ; la branche médiale est plus courte et uniquement motrice.



Section 3 THORAX

Anatomie de surface

Planche 175

Glande mammaire

Planches 176-178

Paroi du corps

Planches 179-189

3 THORAX

Poumons

Planches 190-204

Cœur

Planches 205-223

Médiastin

Planches 224-234

Coupes régionales

Planche 235

Coupes transversales

Planches 236-239



Muscle biceps brachial

Muscle sterno-cléido-mastoïdien

Chef sternal

Chef claviculaire

Muscle triceps brachial

Aisselle

Clavicule

Incisure jugulaire

Pli axillaire antérieur

Pli axillaire postérieur

Muscle deltoïde

Muscle grand pectoral

Chef claviculaire

Chef sternal

Corps du sternum

Mamelon

Muscle grand dorsal

Veine céphalique

Processus xiphoïde du sternum

Muscle dentelé antérieur

Ligne blanche

Muscle droit de l'abdomen

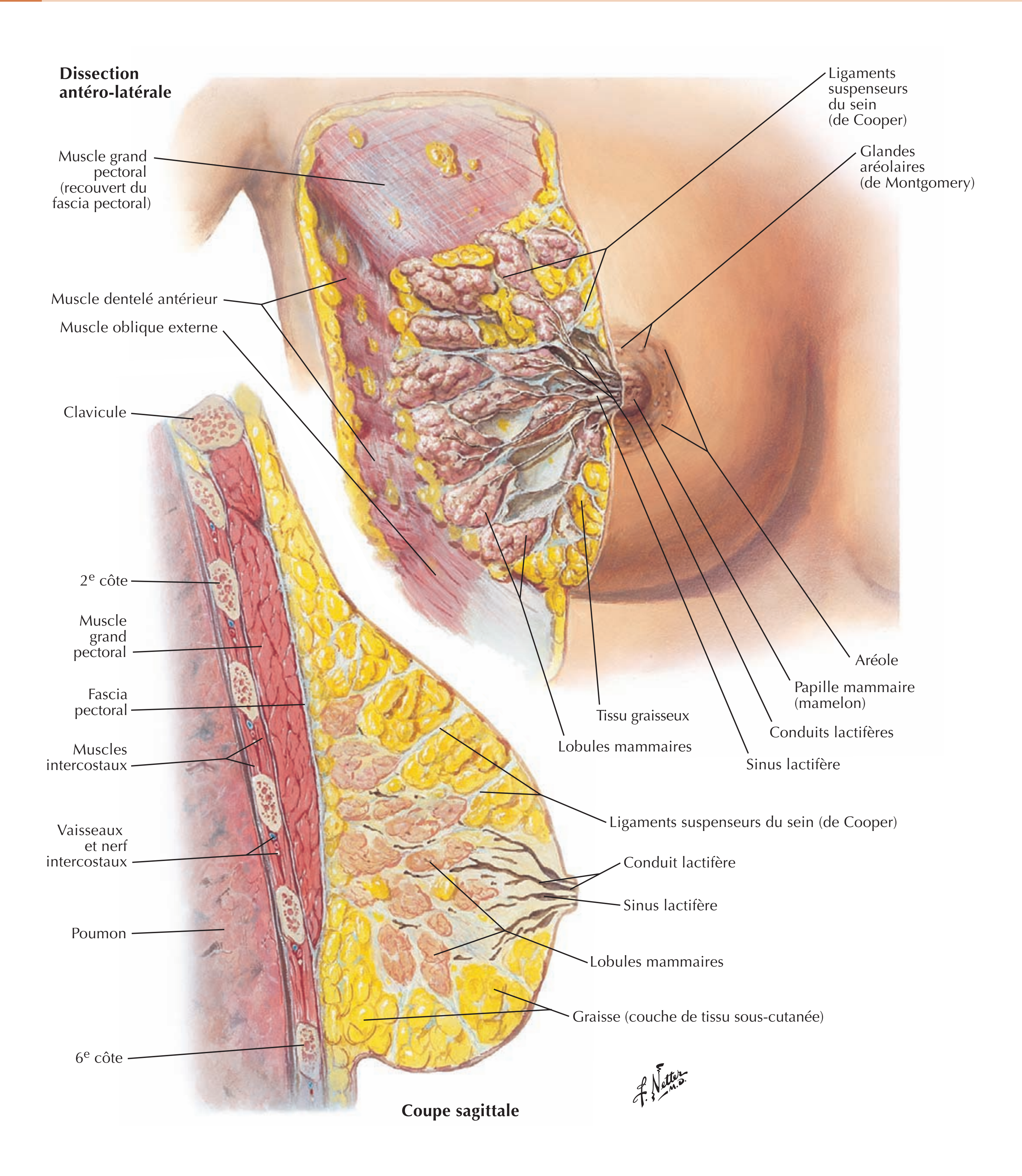
Intersection tendineuse

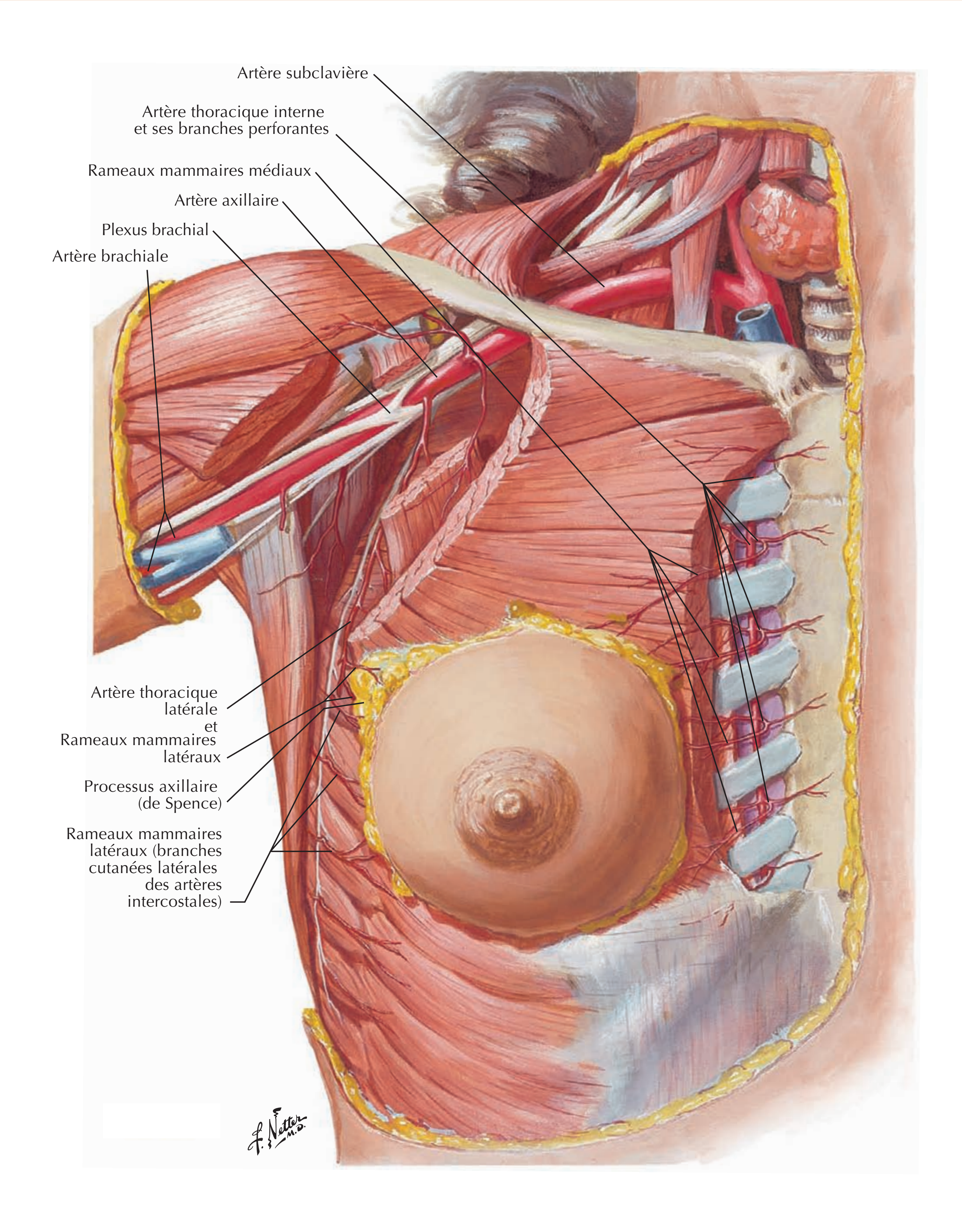
Muscle oblique externe

Muscle dentelé antérieur

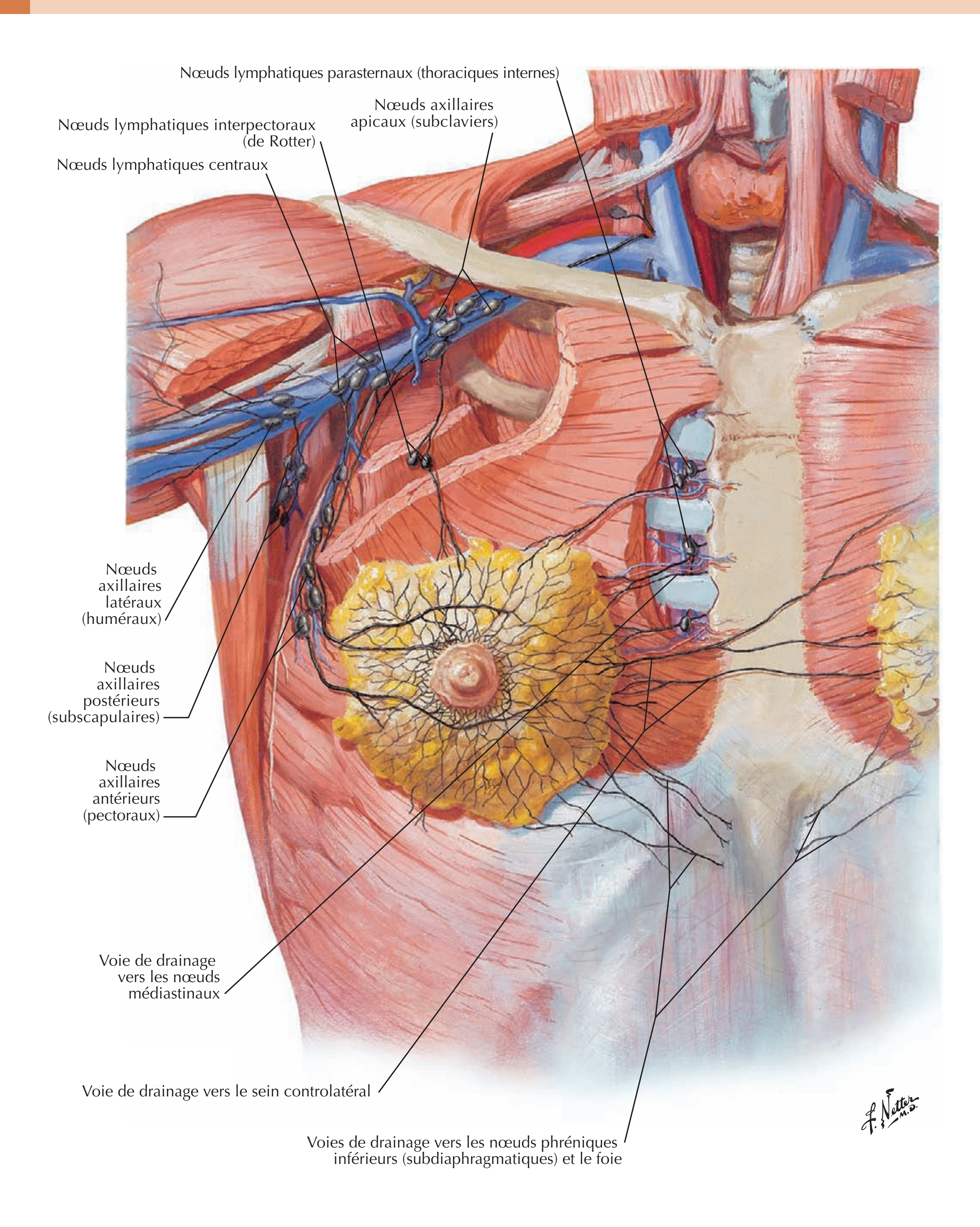
C.Machado M.D.

Glande mammaire




Artère subclavière
Artère thoracique interne et ses branches perforantes
Rameaux mammaires médiaux
Artère axillaire
Plexus brachial
Artère brachiale
Artère thoracique latérale et Rameaux mammaires latéraux
Processus axillaire (de Spence)
Rameaux mammaires latéraux (branches cutanées latérales des artères intercostales)

Vaisseaux et nœuds lymphatiques de la glande mammaire



Os de la cage thoracique



Voir aussi **Planche 241**

Vue antérieure

Scapula
- Acromion
- Processus coracoïde
- Cavité glénoïdale
- Col
- Incisure supra-scapulaire
- Fosse subscapulaire

Clavicule

Vraies côtes (1-7)

Cartilages costaux

Fausses côtes (8-12)

Sternum
- Incisure jugulaire
- Manubrium
- Angle (de Louis)
- Corps
- Processus xiphoïde

Côtes flottantes (11-12)

Vue postérieure

Côte
- Tête
- Col
- Tubercule
- Angle
- Corps

Côtes flottantes (11-12)

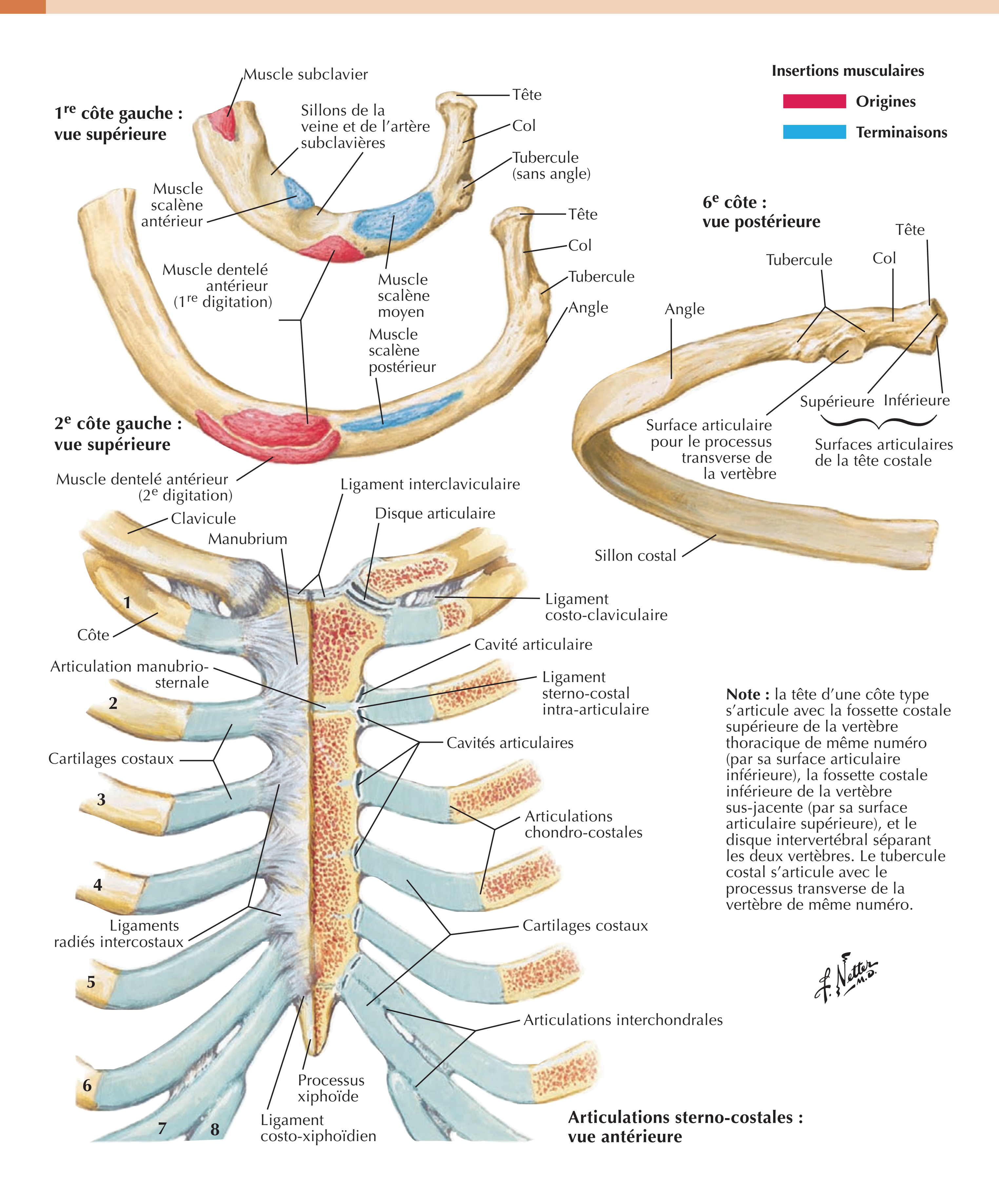
Clavicule

Scapula
- Acromion
- Fosse supra-épineuse
- Épine
- Fosse infra-épineuse

Vraies côtes (1-7)

Fausses côtes (8-12)

Côtes et articulations sterno-costales



Note : la tête d'une côte type s'articule avec la fossette costale supérieure de la vertèbre thoracique de même numéro (par sa surface articulaire inférieure), la fossette costale inférieure de la vertèbre sus-jacente (par sa surface articulaire supérieure), et le disque intervertébral séparant les deux vertèbres. Le tubercule costal s'articule avec le processus transverse de la vertèbre de même numéro.



Articulations costo-vertébrales

Voir aussi **Planche 151**

Ligament longitudinal antérieur
Fossette costale inférieure (pour la tête costale de numéro immédiatement supérieur)
Ligament intra-articulaire de la tête costale
Fossette costale supérieure (pour la tête costale de même numéro)
Ligament radié de la tête costale
Fossette costale du processus transverse (pour le tubercule costal de même numéro que la vertèbre)
Ligament costo-transversaire latéral
Ligament intertransversaire
Ligament costo-transversaire supérieur

Vue latérale gauche

Surface articulaire de la tête costale
Ligament interarticulaire
Ligament radié de la tête costale
Cavités synoviales
Ligament costo-transversaire supérieur (*coupé*)
Ligament costo-transversaire
Ligament costo-transversaire latéral

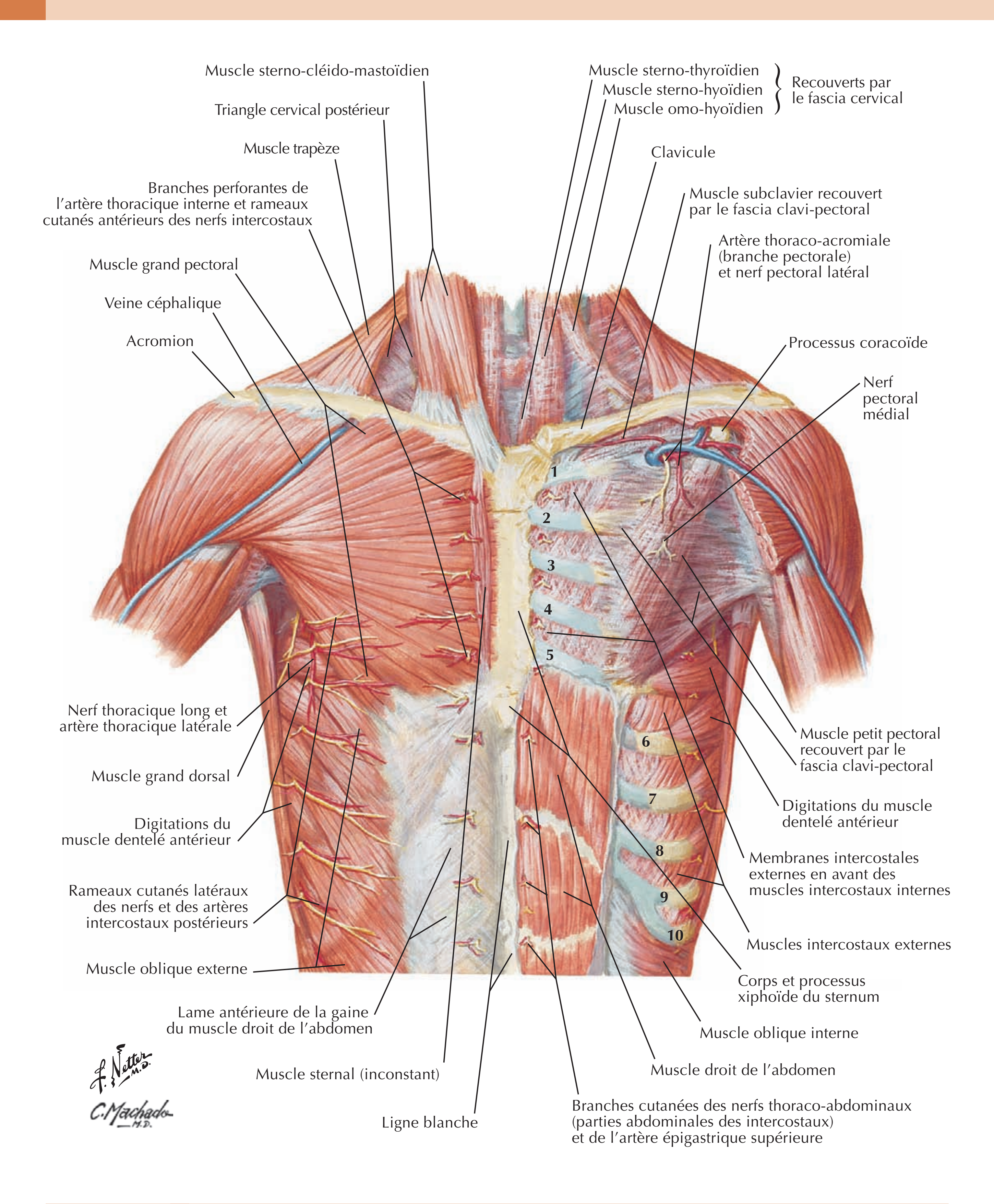
Coupe transverse : vue supérieure

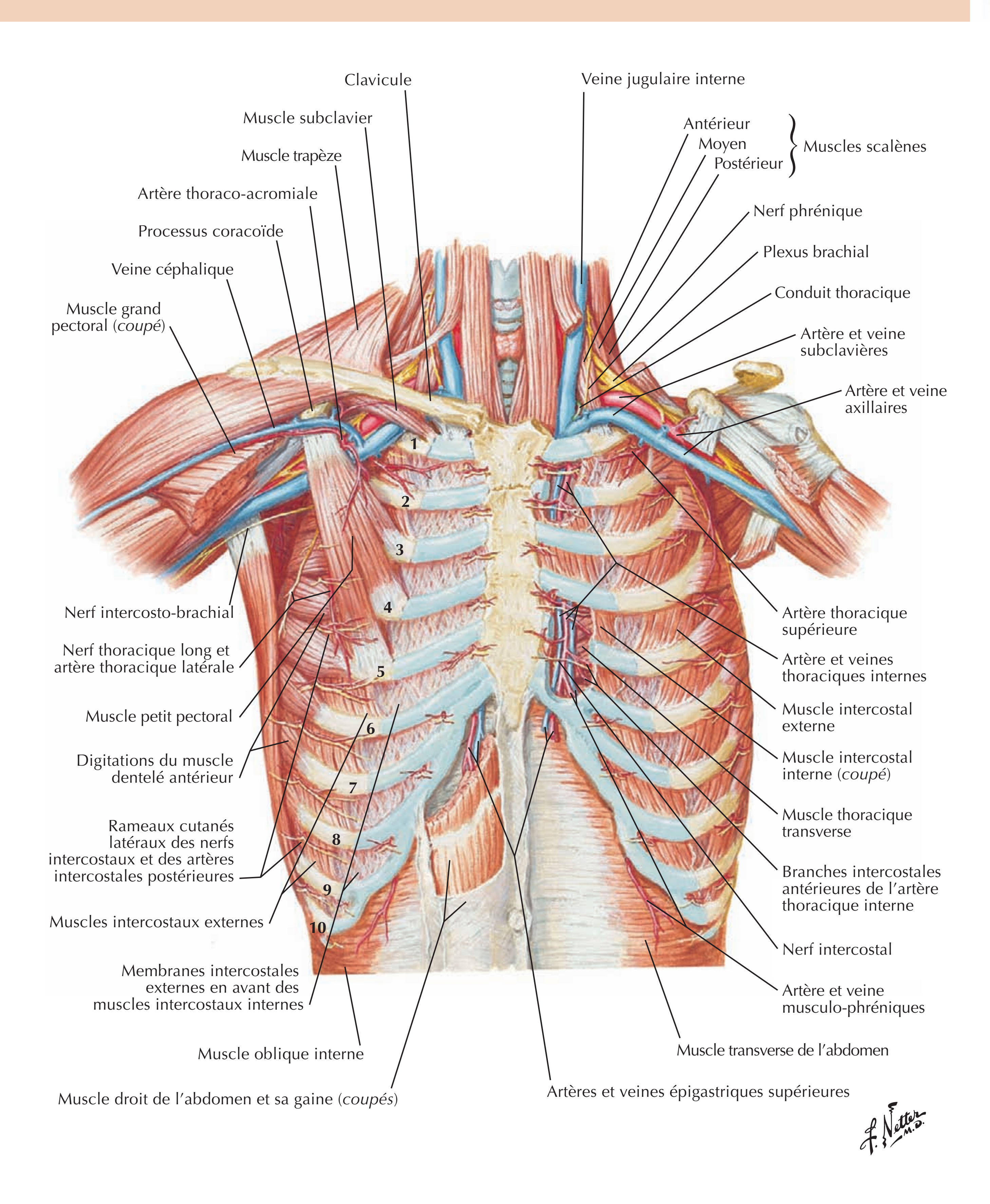
Fossette costale supérieure (pour la tête costale de même numéro)
Processus transverse (*réséqué*)
Ligament radié de la tête costale
Ligament costo-transversaire
Ligament costo-transversaire latéral
Ligament costo-transversaire supérieur
Ligament intertransversaire

F. Netter M.D.

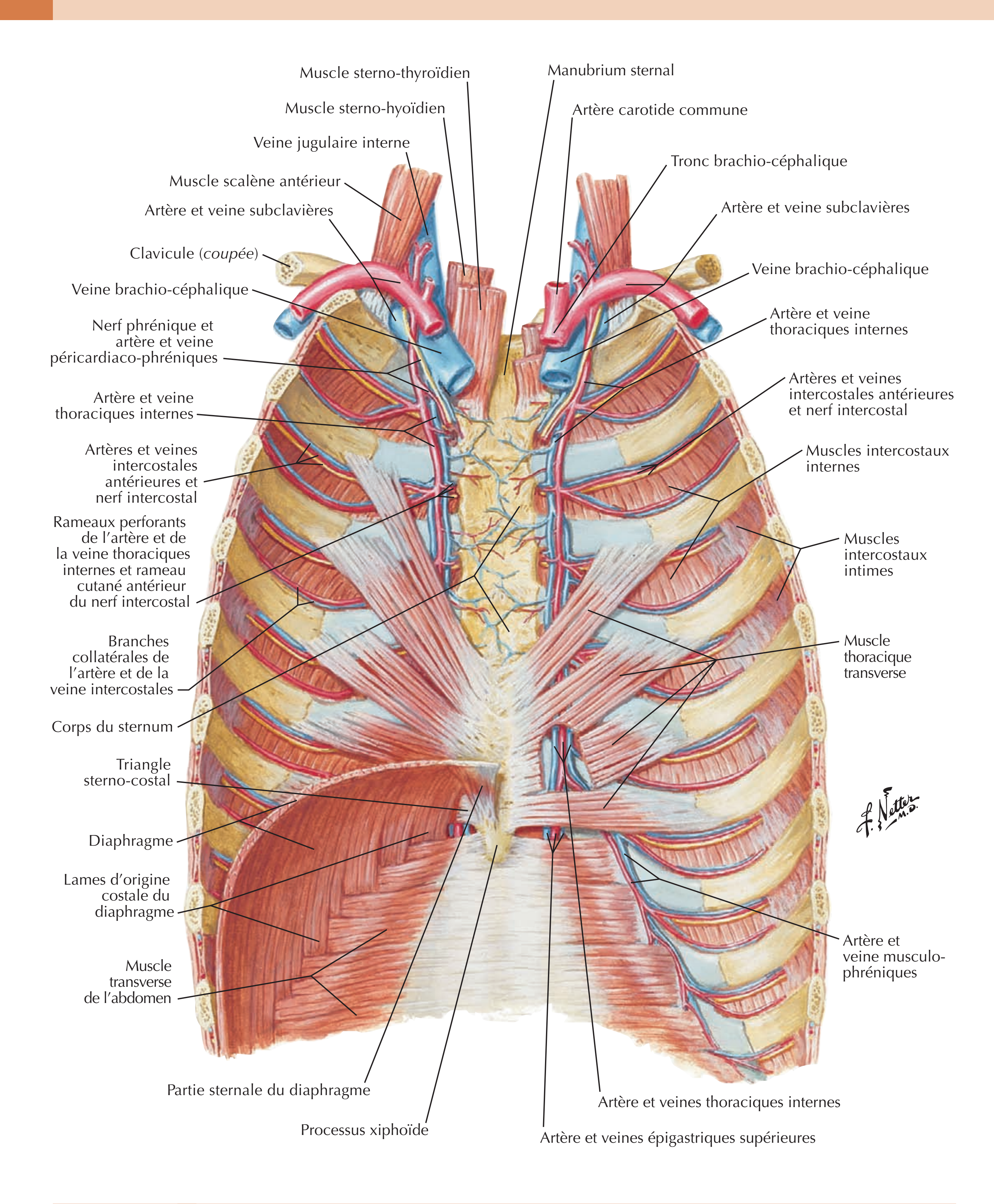
Vue postéro-latérale droite

3 Paroi thoracique antérieure




Clavicule
Veine jugulaire interne
Muscle subclavier
Muscle trapèze
Artère thoraco-acromiale
Processus coracoïde
Veine céphalique
Muscle grand pectoral (*coupé*)
Antérieur
Moyen
Postérieur
Muscles scalènes
Nerf phrénique
Plexus brachial
Conduit thoracique
Artère et veine subclavières
Artère et veine axillaires
1
2
3
4
5
6
7
8
9
10
Nerf intercosto-brachial
Nerf thoracique long et artère thoracique latérale
Muscle petit pectoral
Digitations du muscle dentelé antérieur
Rameaux cutanés latéraux des nerfs intercostaux et des artères intercostales postérieures
Muscles intercostaux externes
Membranes intercostales externes en avant des muscles intercostaux internes
Muscle oblique interne
Muscle droit de l'abdomen et sa gaine (*coupés*)
Artère thoracique supérieure
Artère et veines thoraciques internes
Muscle intercostal externe
Muscle intercostal interne (*coupé*)
Muscle thoracique transverse
Branches intercostales antérieures de l'artère thoracique interne
Nerf intercostal
Artère et veine musculo-phréniques
Muscle transverse de l'abdomen
Artères et veines épigastriques supérieures

Paroi thoracique antérieure : vue interne



Nerfs et artères intercostaux

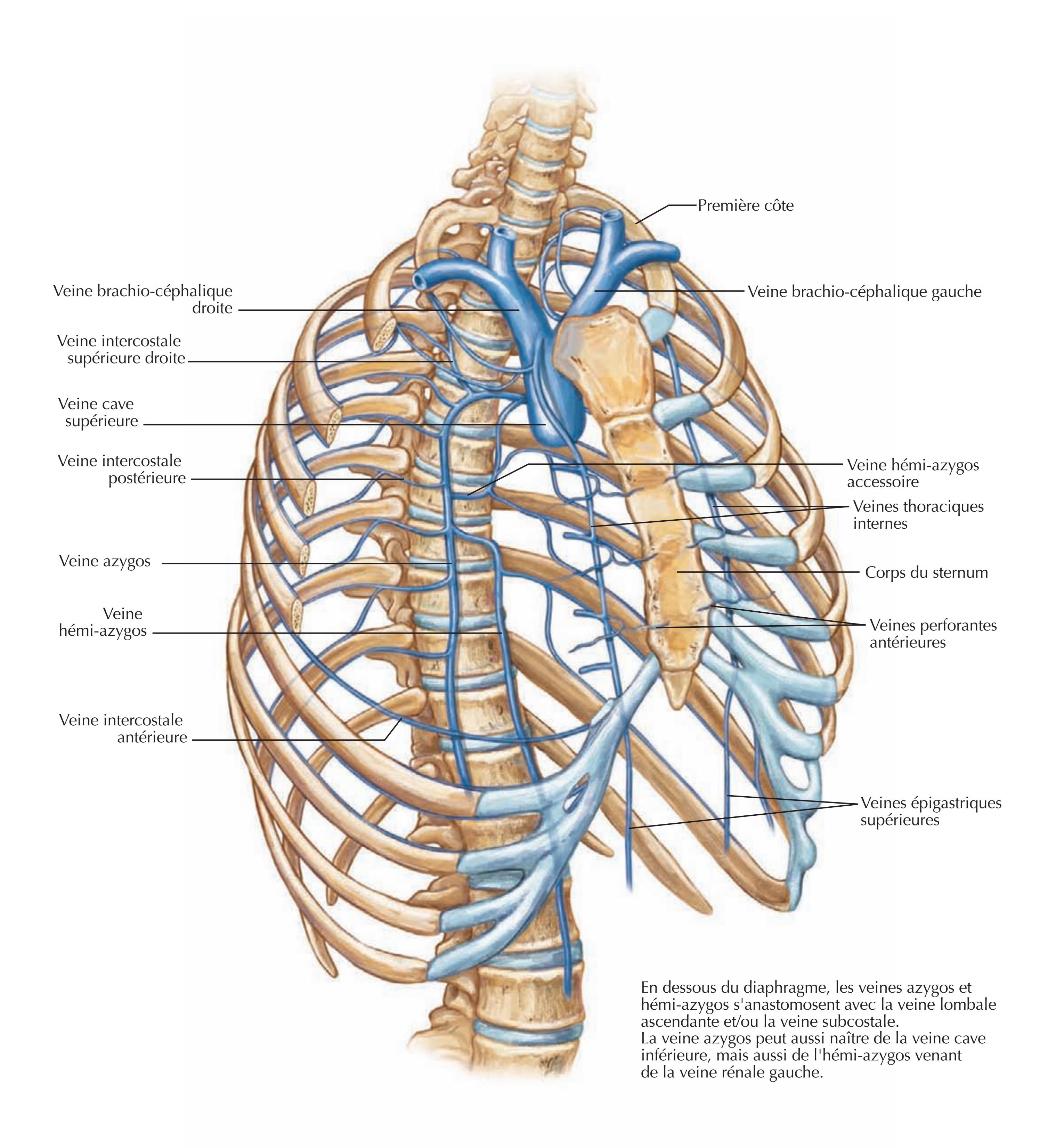
Voir aussi **Planches 174, 252**



Racine ventrale
Ganglion spinal (de la racine dorsale)
Rameau dorsal du nerf thoracique { Branche médiale / Branche latérale
Nerf intercostal (rameau ventral du nerf spinal thoracique)
Membrane intercostale interne recouvrant le muscle intercostal externe
Muscle dentelé antérieur
Branche spinale (radiculaire ou médullaire segmentaire) de l'artère intercostale postérieure
Branche dorsale de l'artère intercostale postérieure
Muscle trapèze
Muscle grand rhomboïde
Muscle érecteur du rachis
Artère intercostale postérieure
Membrane intercostale interne
Scapula
Muscle infra-épineux
Muscle subscapulaire
Rameaux communicants gris et blanc
Tronc et ganglions sympathiques
Aorte thoracique
Artères intercostales postérieures droites (*coupées*)
Muscle intercostal intime
Muscle intercostal interne
Muscle intercostal externe
Muscle intercostal intime
Muscle intercostal interne
Muscle intercostal externe
Muscle transverse du thorax
Sternum
Artère thoracique interne
Rameau cutané latéral du nerf intercostal
Branche antérieure du rameau cutané latéral du nerf intercostal
Muscle oblique externe
Muscle grand pectoral
Rameau cutané antérieur du nerf intercostal
Rameau perforant
Artère épigastrique supérieure
Muscle droit de l'abdomen
Artères intercostales antérieures
Membrane intercostale externe
Branche cutanée latérale de l'artère intercostale postérieure
Muscle oblique externe

F. Netter M.D.

Veines de la paroi thoracique interne



En dessous du diaphragme, les veines azygos et hémi-azygos s'anastomosent avec la veine lombale ascendante et/ou la veine subcostale.
La veine azygos peut aussi naître de la veine cave inférieure, mais aussi de l'hémi-azygos venant de la veine rénale gauche.



Nerf phrénique

Voir aussi **Planches 31, 128**

Rameaux ventraux { C3 C4 C5

C3 C4 C5 } Rameaux ventraux

Muscle scalène antérieur

Artère carotide commune droite

Plexus brachial

Nerf phrénique droit

Artère subclavière droite

Nerf vague droit (X)

Artère thoracique interne droite (*coupée*)

Tronc brachio-céphalique

Artère péricardiaco-phrénique droite (*coupée*)

Veine cave supérieure

Racine du poumon droit

Branche péricardique du nerf phrénique

Partie médiastinale de la plèvre pariétale

Partie diaphragmatique de la plèvre pariétale (*coupée*)

Muscle scalène antérieur

Nerf laryngé récurrent gauche

Nerf phrénique gauche

Artère subclavière gauche

Nerf vague gauche (X)

Artère carotide commune gauche

Artère thoracique interne gauche (*coupée*)

Nerfs cardiaques thoraciques

Artère péricardiaco-phrénique gauche (*coupée*)

Nerf laryngé récurrent gauche

Racine du poumon gauche

Partie médiastinale de la plèvre pariétale

Partie costale de la plèvre pariétale

Branches phrénico-abdominales des nerfs phréniques vers la face inférieure du diaphragme

Nerfs phréniques (fibres efférentes et afférentes)

Nerfs intercostaux inférieurs (afférents seulement de la partie périphérique du diaphragme)

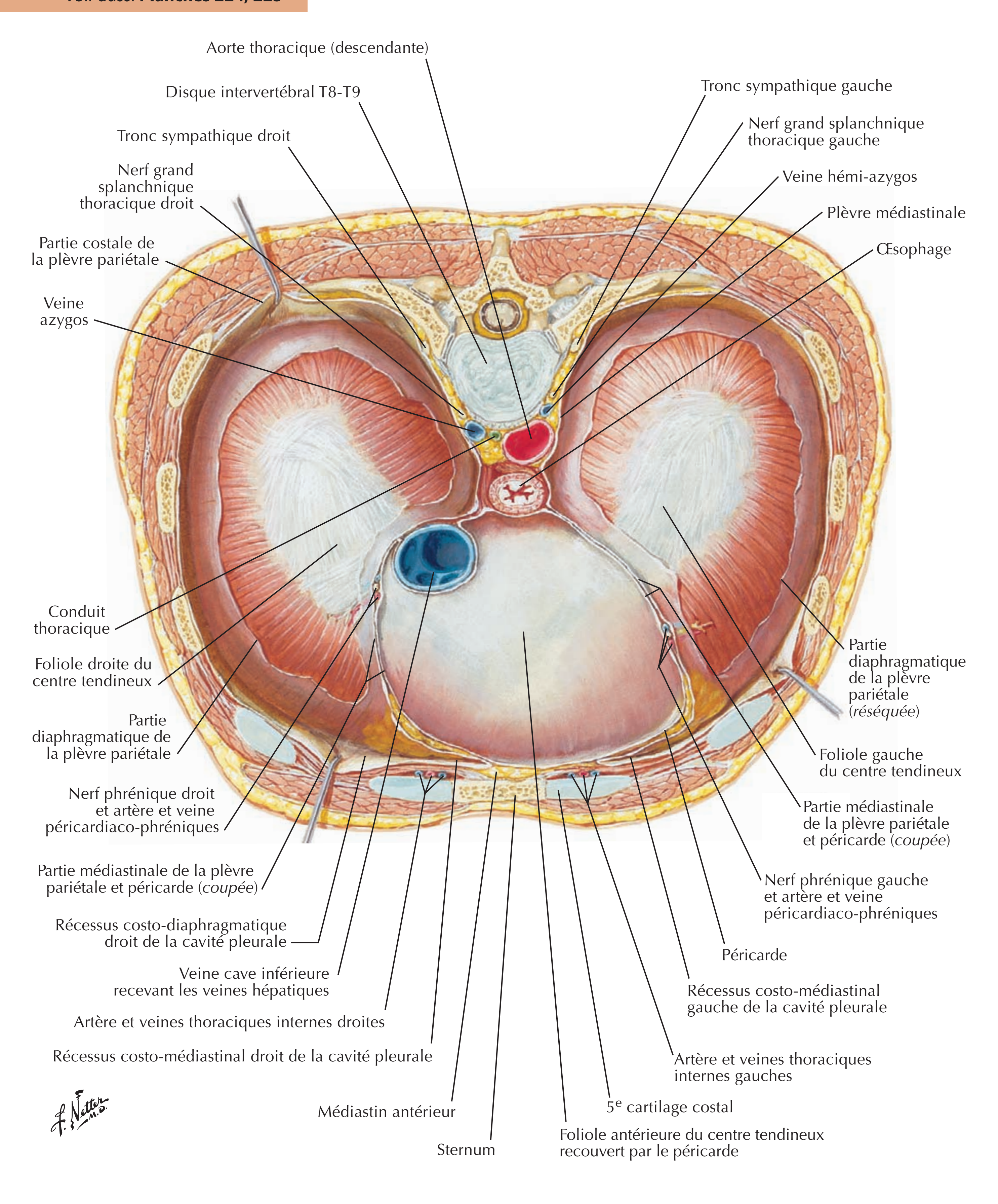
efférent

afférent

F. Netter M.D.

Diaphragme : face thoracique

Voir aussi **Planches 224, 225**



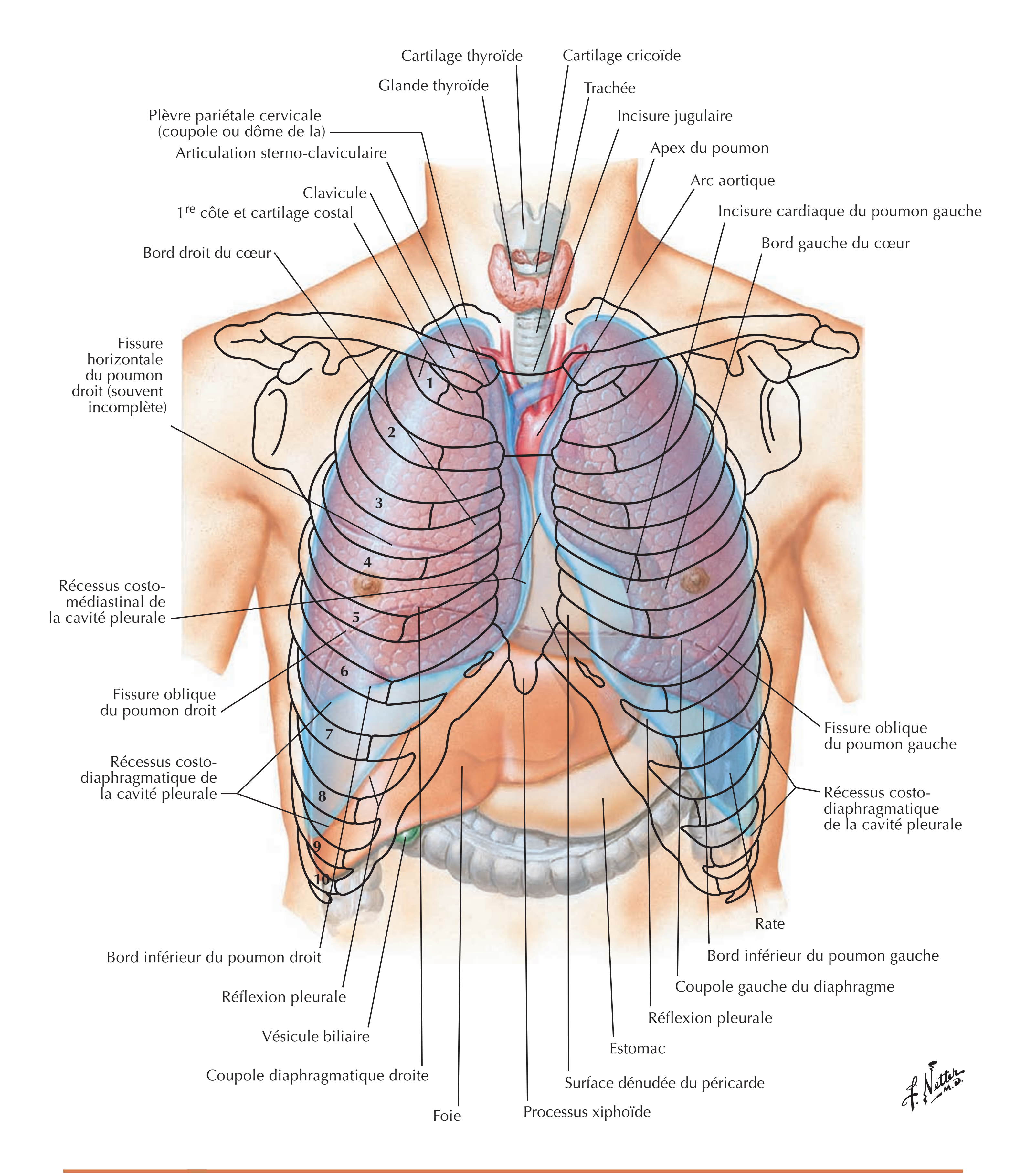


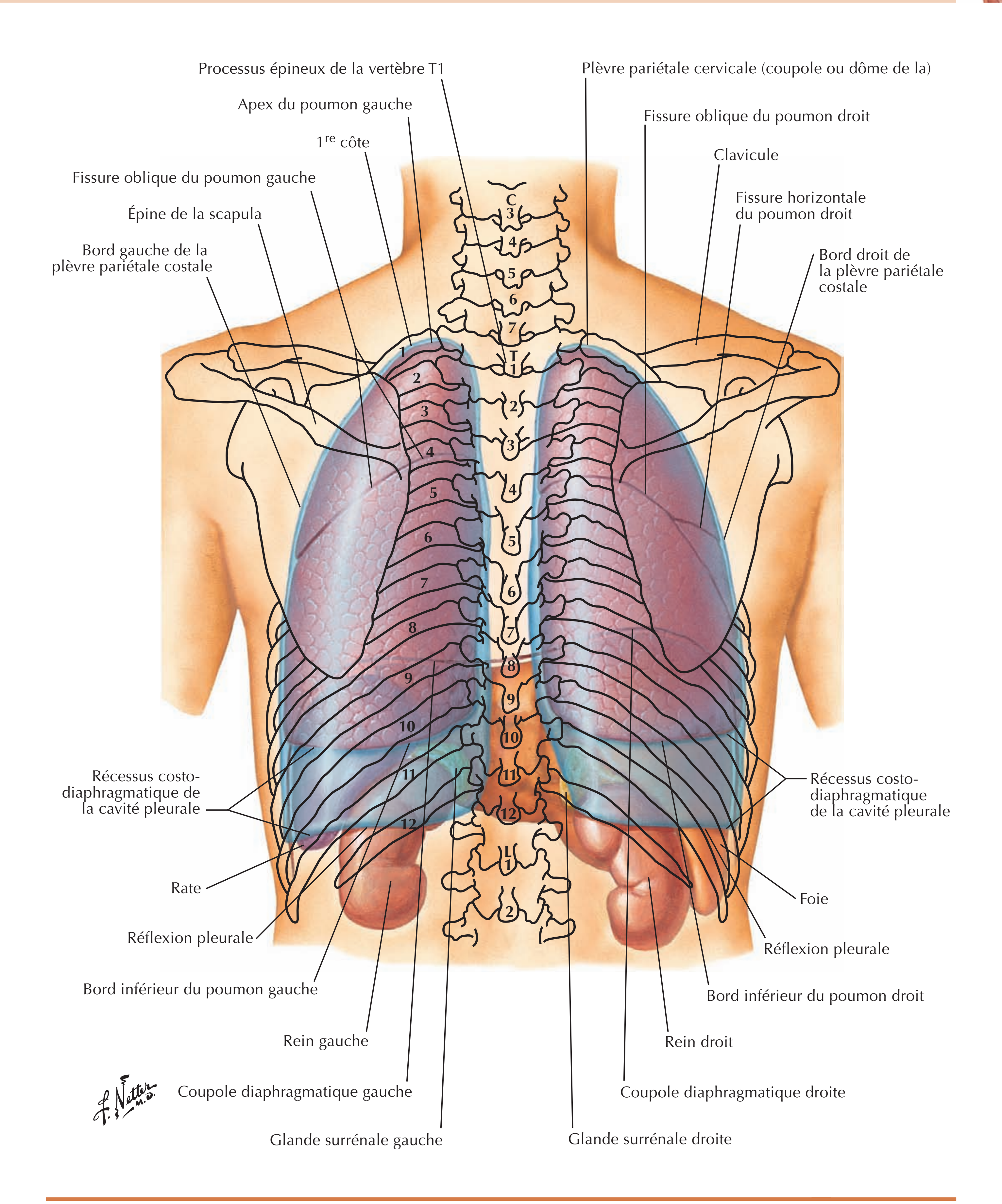
Diaphragme : face abdominale

Voir aussi **Planches 247, 256, 262**

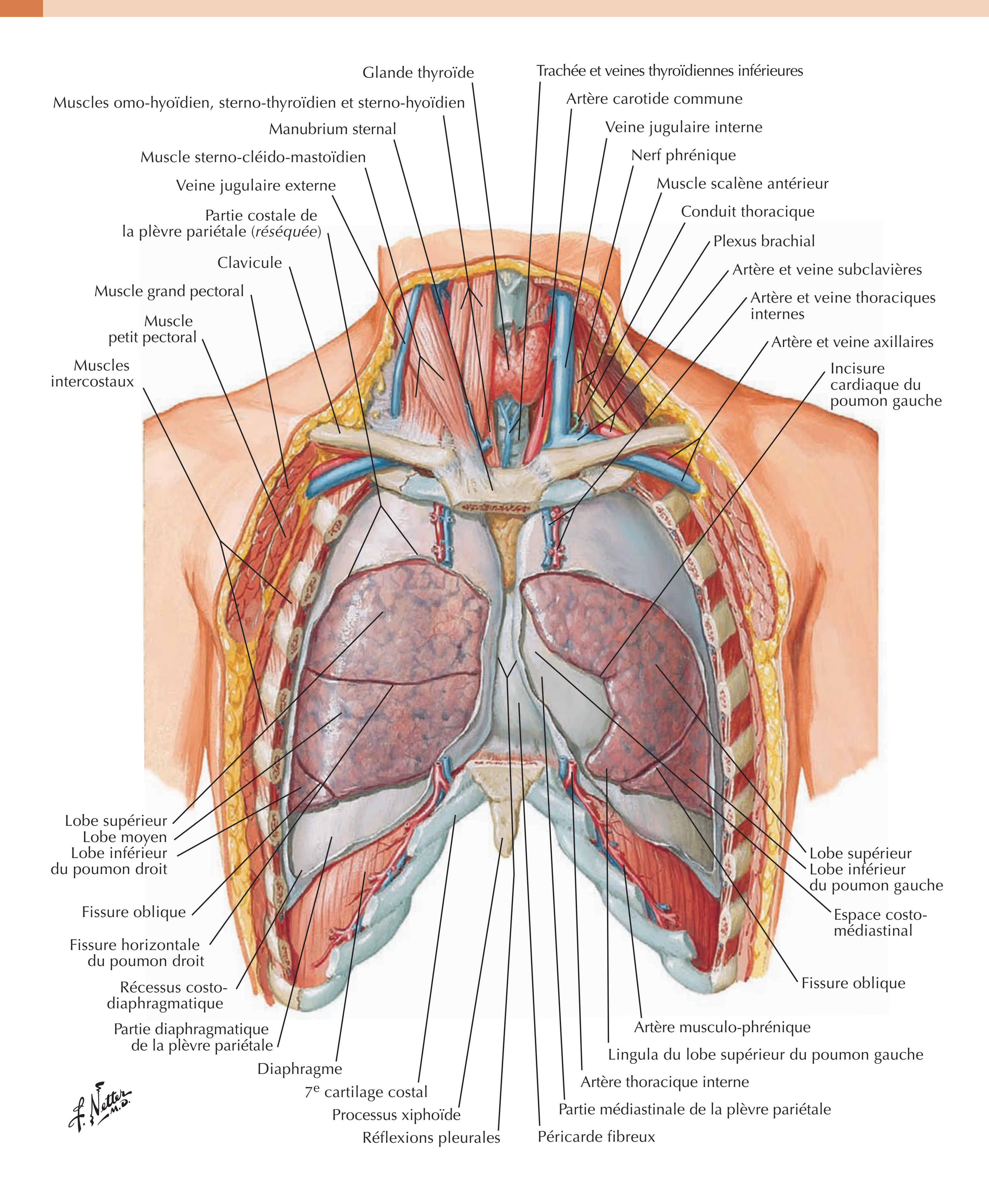
Partie sternale du diaphragme
Branche antérieure du nerf phrénique droit
Artère phrénique inférieure droite
Foramen de la veine cave
Pilier droit du diaphragme
Nerf grand splanchnique thoracique
Nerf petit splanchnique thoracique
Nerf splanchnique thoracique imus
Partie costale du diaphragme
Branche antérieure du nerf phrénique gauche
Partie costale du diaphragme
Centre tendineux du diaphragme
Hiatus œsophagien
Fibres du pilier droit cernant à gauche le hiatus œsophagien
Artère phrénique inférieure gauche
Branche récurrente destinée à l'œsophage
Branche antérieure
Branche latérale
Artère surrénale supérieure gauche
Nerf phrénique gauche
Pilier gauche du diaphragme
L1
L2
L3
L4
Triangle lombo-costal
12e côte
Ligament arqué latéral
Partie lombale du diaphragme
Ligament arqué médial
Processus transverse de la vertèbre L1
Ligament arqué médian
Aorte abdominale
Hiatus aortique
Tronc cœliaque
Tronc sympathique
Muscle grand psoas
Muscle carré des lombes
F. Netter M.D.
C. Machado M.D.

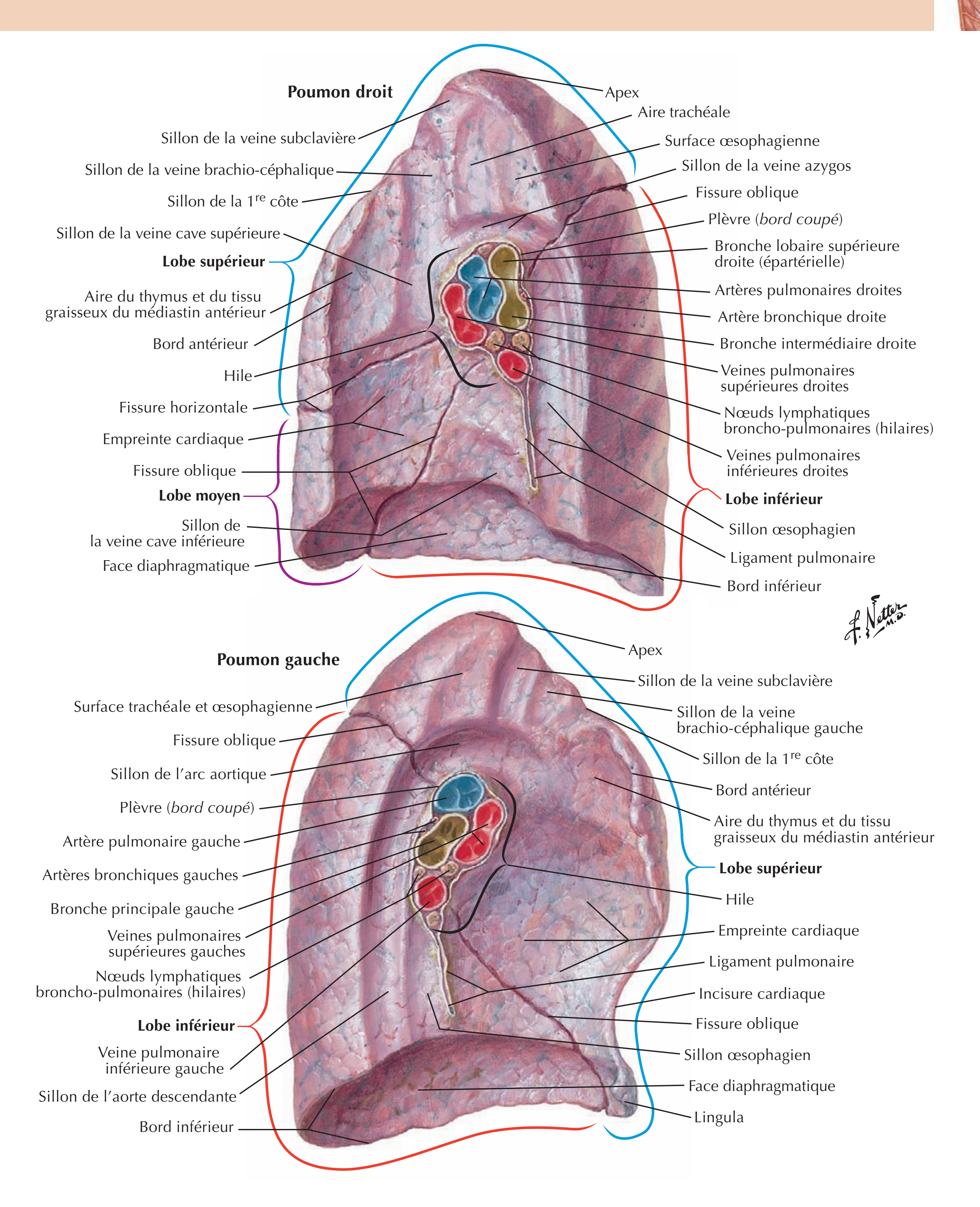
Topograhie des poumons : vue antérieure



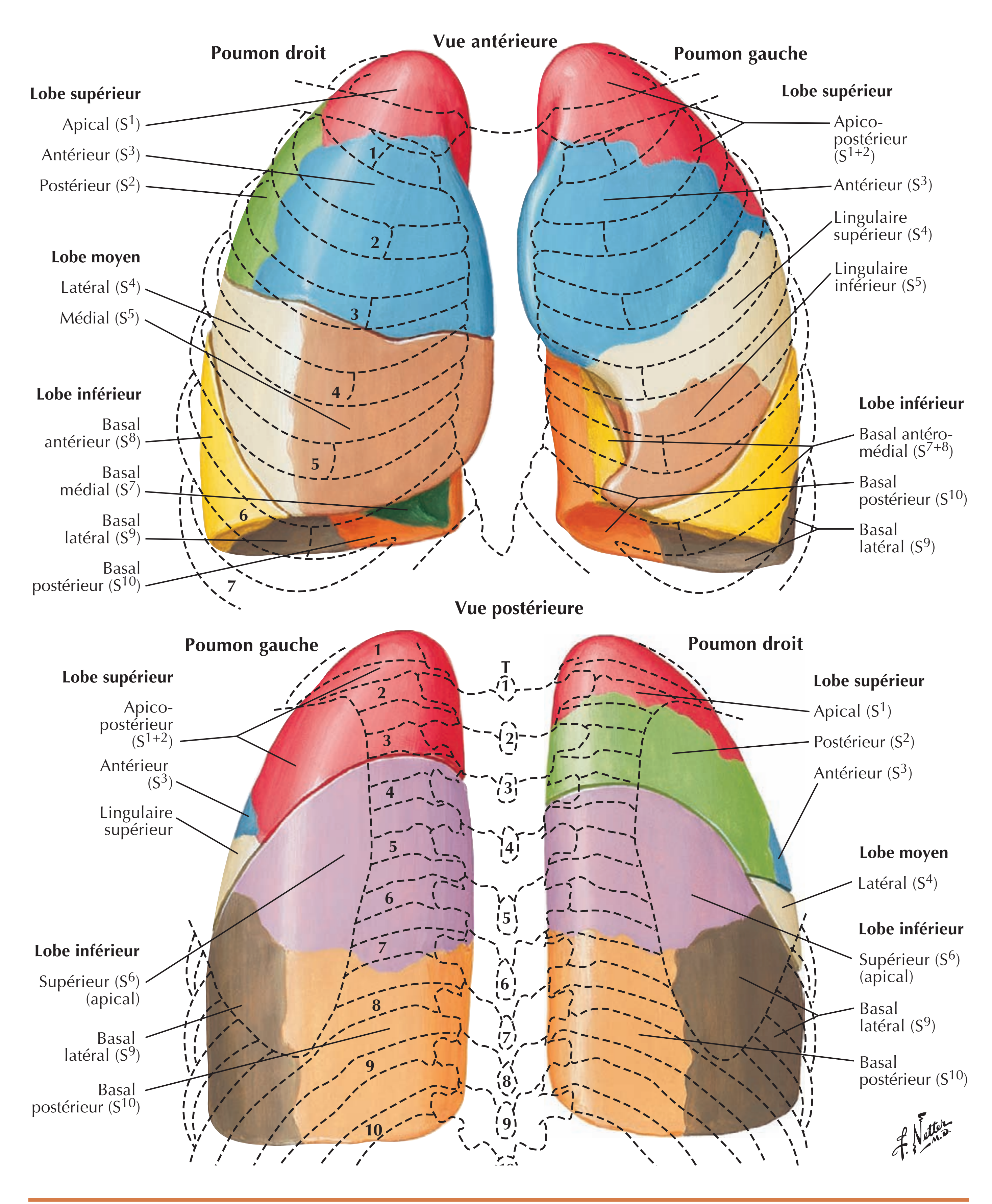

Processus épineux de la vertèbre T1
Apex du poumon gauche
1re côte
Fissure oblique du poumon gauche
Épine de la scapula
Bord gauche de la plèvre pariétale costale
Plèvre pariétale cervicale (coupole ou dôme de la)
Fissure oblique du poumon droit
Clavicule
Fissure horizontale du poumon droit
Bord droit de la plèvre pariétale costale
Récessus costo-diaphragmatique de la cavité pleurale
Rate
Réflexion pleurale
Bord inférieur du poumon gauche
Rein gauche
Coupole diaphragmatique gauche
Glande surrénale gauche
Récessus costo-diaphragmatique de la cavité pleurale
Foie
Réflexion pleurale
Bord inférieur du poumon droit
Rein droit
Coupole diaphragmatique droite
Glande surrénale droite
F. Netter M.D.

Poumons *in situ* : vue antérieure




Poumon droit
Apex
Aire trachéale
Surface œsophagienne
Sillon de la veine azygos
Fissure oblique
Plèvre (bord coupé)
Bronche lobaire supérieure droite (épartérielle)
Artères pulmonaires droites
Artère bronchique droite
Bronche intermédiaire droite
Veines pulmonaires supérieures droites
Nœuds lymphatiques broncho-pulmonaires (hilaires)
Veines pulmonaires inférieures droites
Lobe inférieur
Sillon œsophagien
Ligament pulmonaire
Bord inférieur
Sillon de la veine subclavière
Sillon de la veine brachio-céphalique
Sillon de la 1re côte
Sillon de la veine cave supérieure
Lobe supérieur
Aire du thymus et du tissu graisseux du médiastin antérieur
Bord antérieur
Hile
Fissure horizontale
Empreinte cardiaque
Fissure oblique
Lobe moyen
Sillon de la veine cave inférieure
Face diaphragmatique
Poumon gauche
Apex
Sillon de la veine subclavière
Sillon de la veine brachio-céphalique gauche
Sillon de la 1re côte
Bord antérieur
Aire du thymus et du tissu graisseux du médiastin antérieur
Lobe supérieur
Hile
Empreinte cardiaque
Ligament pulmonaire
Incisure cardiaque
Fissure oblique
Sillon œsophagien
Face diaphragmatique
Lingula
Surface trachéale et œsophagienne
Fissure oblique
Sillon de l'arc aortique
Plèvre (bord coupé)
Artère pulmonaire gauche
Artères bronchiques gauches
Bronche principale gauche
Veines pulmonaires supérieures gauches
Nœuds lymphatiques broncho-pulmonaires (hilaires)
Lobe inférieur
Veine pulmonaire inférieure gauche
Sillon de l'aorte descendante
Bord inférieur
F. Netter M.D.

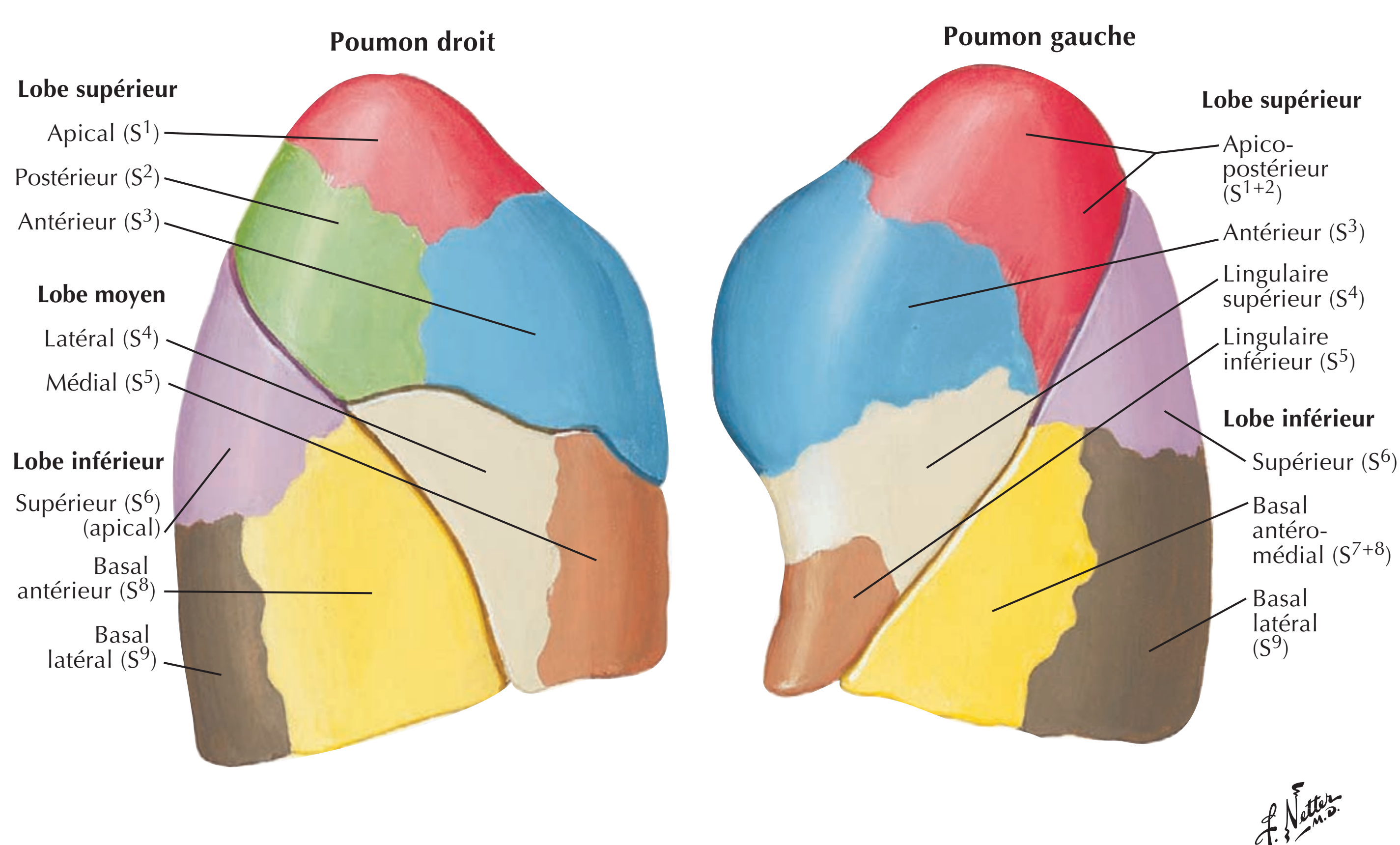
Segments broncho-pulmonaires



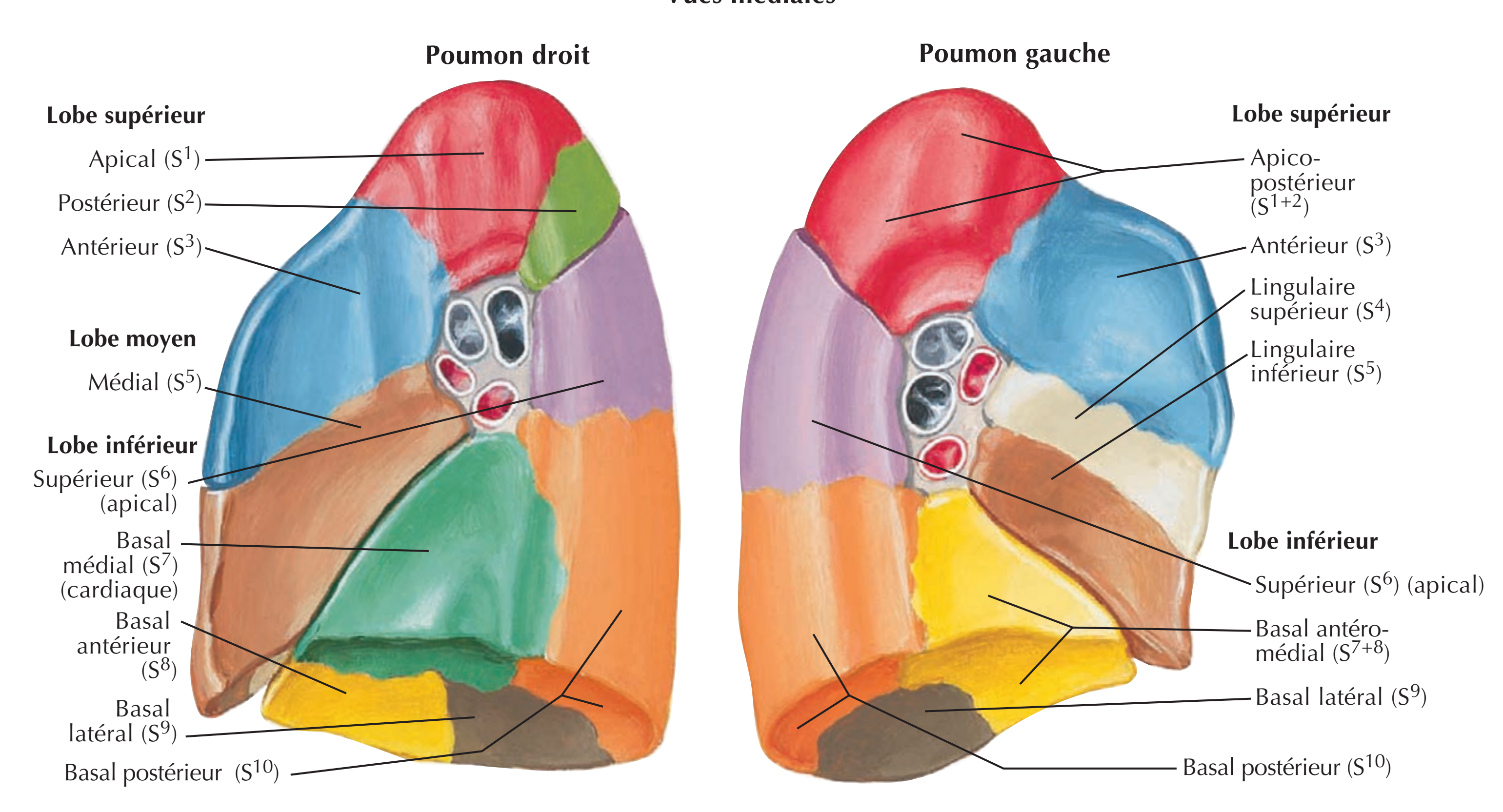




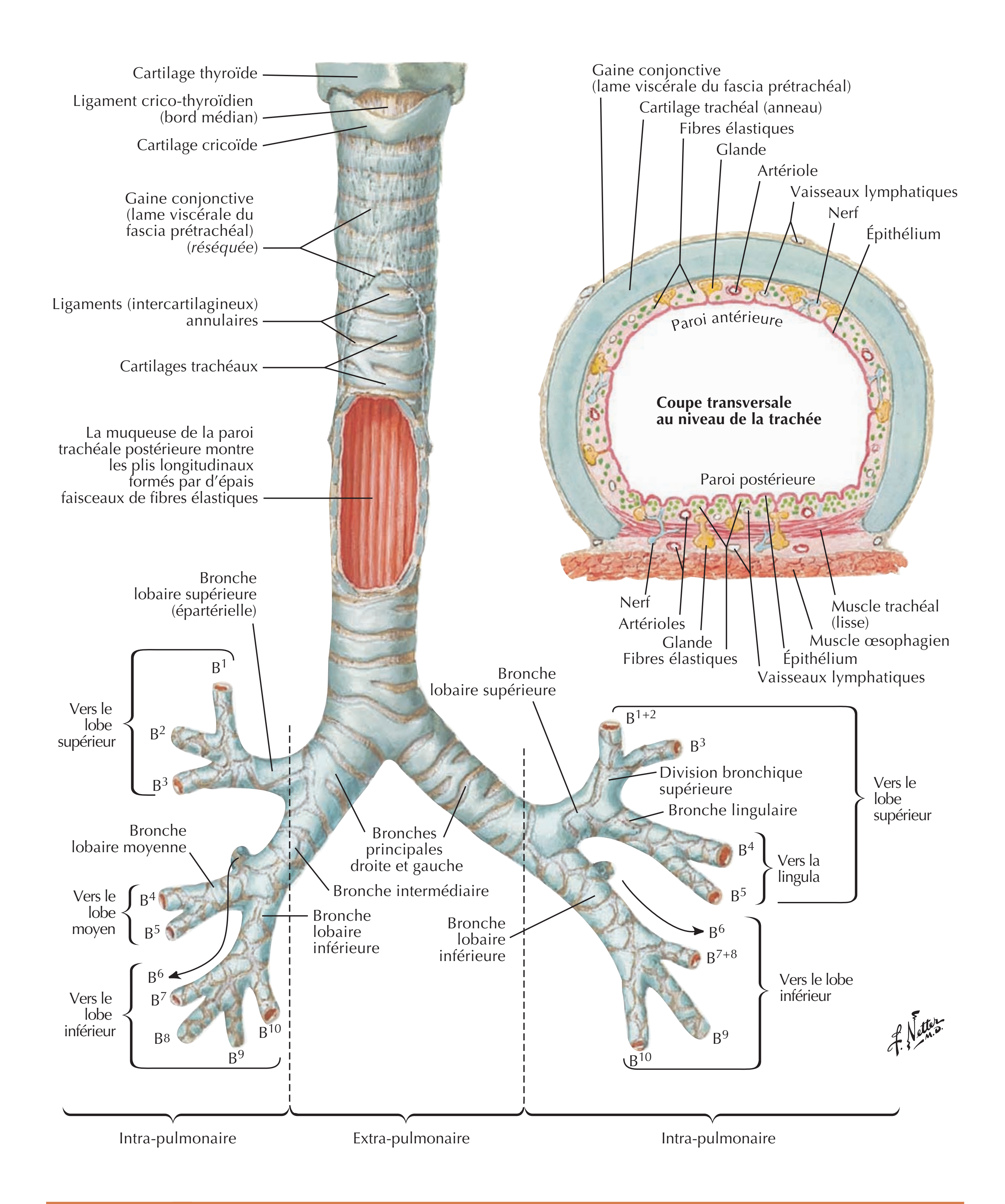
Vues latérales



Vues médiales



Trachée et bronches principales





Trachée

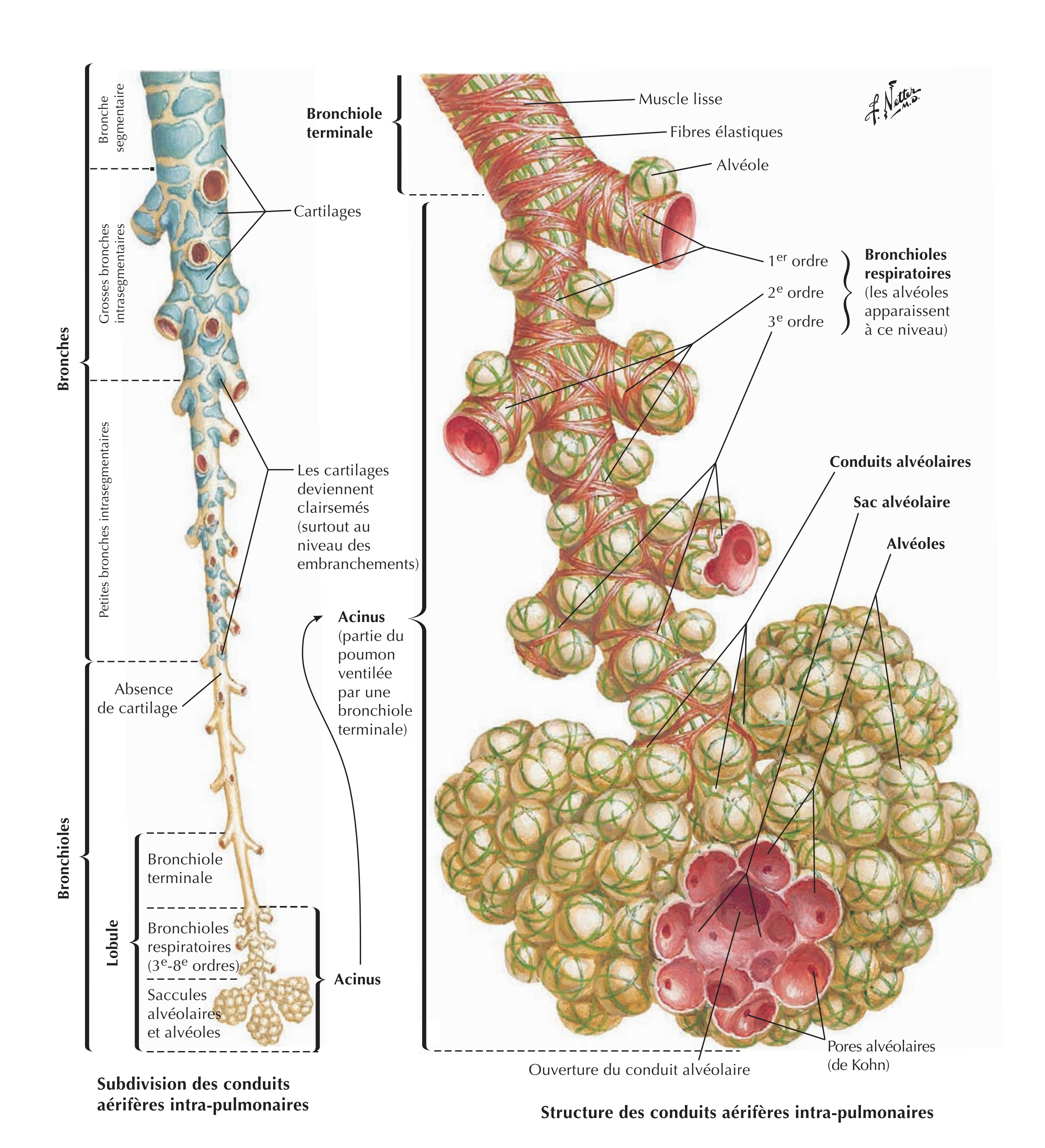
$B^{1bi\beta}$ $B^{1bi\alpha}$
$B^{1bii\alpha}$
$B^{1bii\beta}$
B^{1bi}
B^{1aii}
B^{1ai}
B^{1bii}
B^{1b}
B^{1a}
B^{2aii}
$B^{2ai\ \beta}$
B^{2ai}
$B^{2ai\ \alpha}$
B^{2bi}
B^{2a}
B^{2bii}
B^1(apicale)
Bronche lobaire supérieure (épartérielle)
$B^{3ai\ \alpha}$
B^{3ai}
B^{2b}
$B^{3ai\ \beta}$
B^2(postérieure)
$B^{3aii\ \alpha}$
B^{3a}
B^3(antérieure)
$B^{3aii\ \beta}$
B^{3aii}
B^{3b}
B^{3bii}
B^{3bi}
B^{6ai}
B^{6aii}
Bronche intermédiaire
B^{6bi}
B^{6a}
B^{6b}
Bronche lobaire moyenne
B^6(bronche segmentaire apicale)
B^{4ai}
B^4(latérale)
B^{4a}
B^{6c}
B^{6bii}
B^{6cii}
B^{4aii}
B^{6ci}
B^{4b}
B^5 (médiale)
Bronche lobaire inférieure
B^{4bi}
B^{5b}
B^{4bii}
B^{5a}
B^7(basale médiale)
B^8(basale antérieure)
B^{7a}
B^{8a}
B^{8ai}
B^{7b}
B^{8aii}
B^{8b}
B^{8bii}
B^{7bi}
B^{8bi}
B^9(basale latérale)
B^{7bii}
$B^{9ai\ \alpha}$
B^{9ai}
B^{9a}
B^{10}(basale postérieure)
$B^{9ai\ \beta}$
B^{9b}
B^{10b}
$B^{9aii\ \alpha}$
B^{10a}
$B^{9aii\ \beta}$
B^{9aii}
B^{10c}
B^{9bi}
B^{9bii}
B^{10aii}
B^{10ai}
$B^{9bii\ \beta}$
$B^{9bii\ \alpha}$
B^{10bi}
B^{10bii}

$B^{1+2bii\ \alpha}$
$B^{1+2bi\ \alpha}$
$B^{1+2bii\ \beta}$
$B^{1+2bi\ \beta}$
$B^{1+2aii\ \alpha}$
$B^{1+2aii\ \beta}$
B^{1+2ai}
B^{1+2aii}
B^{1+2a}
B^{1+2bii}
B^{1+2ci}
Bronche lobaire supérieure
B^{1+2bi}
B^{1+2cii}
B^{1+2b}
B^{1+2c}
Division bronchique supérieure
B^{1+2}(apico-postérieure)
B^{3c}
B^{3a}
B^{3ai}
B^{3aii}
Bronches principales droite et gauche
B^{3bi}
B^3(antérieure)
B^{3b}
B^{3bii}
B^6(bronche segmentaire apicale)
B^{6a}
Bronche lingulaire
B^4(lingulaire supérieure)
B^{4a}
B^{4ai}
B^{6b}
B^{6c}
B^5 (lingulaire inférieure)
B^{5a}
B^{4aii}
B^{4bi}
B^{5b}
B^{4b}
B^{4bii}
Bronche lobaire inférieure
B^{7+8}(basale antéro-médiale)
B^{7+8a}
B^{7+8ai}
B^9(basale latérale)
B^{7+8aii}
B^{10}(basale postérieure)
B^{7+8b}
B^{7+8bi}
B^{10a}
B^{7+8bii}
B^{9a}
B^{9ai}
B^{10ai}
B^{10aii}
B^{10b}
B^{9b}
B^{9aii}
B^{10c}
B^{9bi}
B^{9bii}
B^{10ci}
$B^{9bi\ \alpha}$
$B^{9bi\ \beta}$
B^{10cii}
B^{10bii}
B^{10bi}

F. Netter M.D.

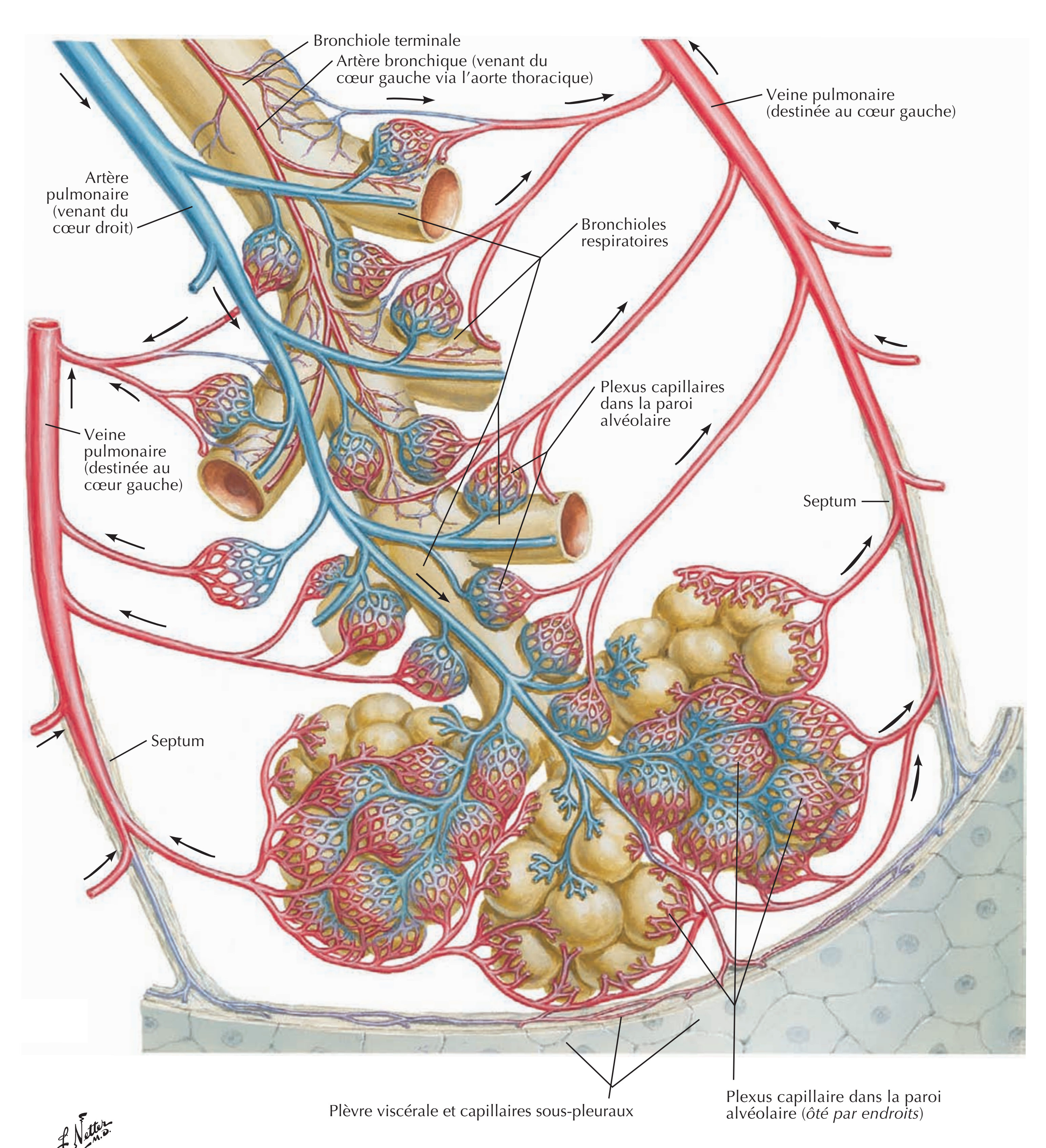
La nomenclature habituelle des segments pulmonaires (planches 194 et 195) est celle de Jackson et Huber, et les bronches segmentaires suivent cette nomenclature. Ikeda a proposé une nomenclature (voir cette planche) semblable jusqu'à la 6e subdivision bronchique. Pour simplifier, sur ce dessin, ne sont représentées que les bronches de la 5e ou de la 6e génération. Les bronches segmentaires (B) sont numérotées de 1 à 10 sur chaque poumon, correspondant aux segments pulmonaires. Sur le poumon gauche, B^1 et B^2 sont associées à B^7 et B^8. Les sous-segments, ou de 4e ordre, sont indiqués par addition des lettres a, b ou c pour chaque branche supplémentaire. Les bronches de 5e ordre sont désignées par les lettres i (antérieur) ou ii (postérieur), et celles de 6e ordre par les lettres grecques α ou β. De nombreux textes utilisent plutôt des chiffres (comme le propose Boyden) pour les bronches segmentaires. Les variations du modèle bronchique type montré ici sont communes, surtout dans les voies aériennes périphériques.

Voies aérifères intra-pulmonaires : schéma



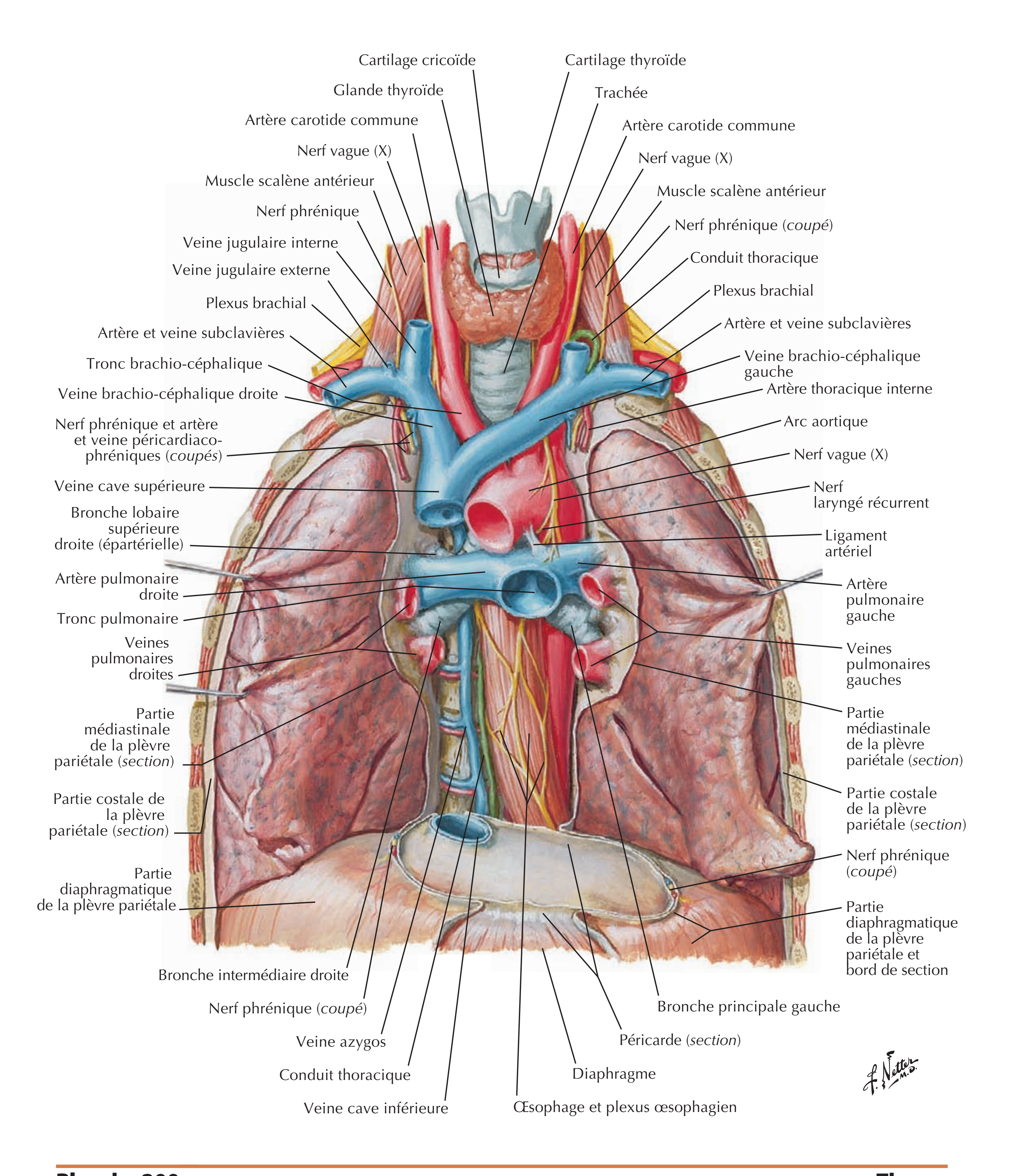
Subdivision des conduits aérifères intra-pulmonaires

Structure des conduits aérifères intra-pulmonaires



Les artères pulmonaires et leurs branches se distribuent segmentairement avec les bronches.
Les veines pulmonaires et leurs affluents ont un drainage intersegmentaire.

3 Gros vaisseaux du médiastin supérieur





Artères et veines bronchiques

Œsophage

Trachée (*tirée à gauche par une érigne*)

3[e] artère intercostale postérieure droite

Artère bronchique droite

Bronche principale droite

Bronche principale gauche (*tirée à droite par une érigne*)

Artère œsophagienne

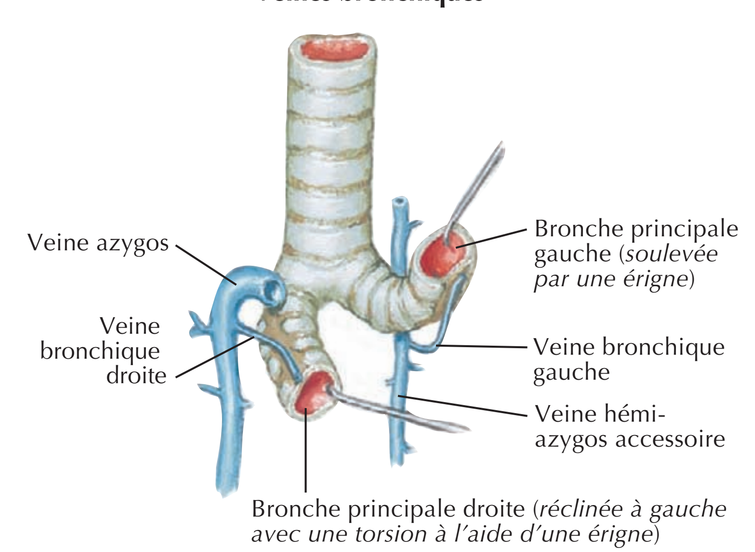
Artère bronchique supérieure gauche

Aorte (*réclinée par une érigne*)

Artère bronchique inférieure gauche

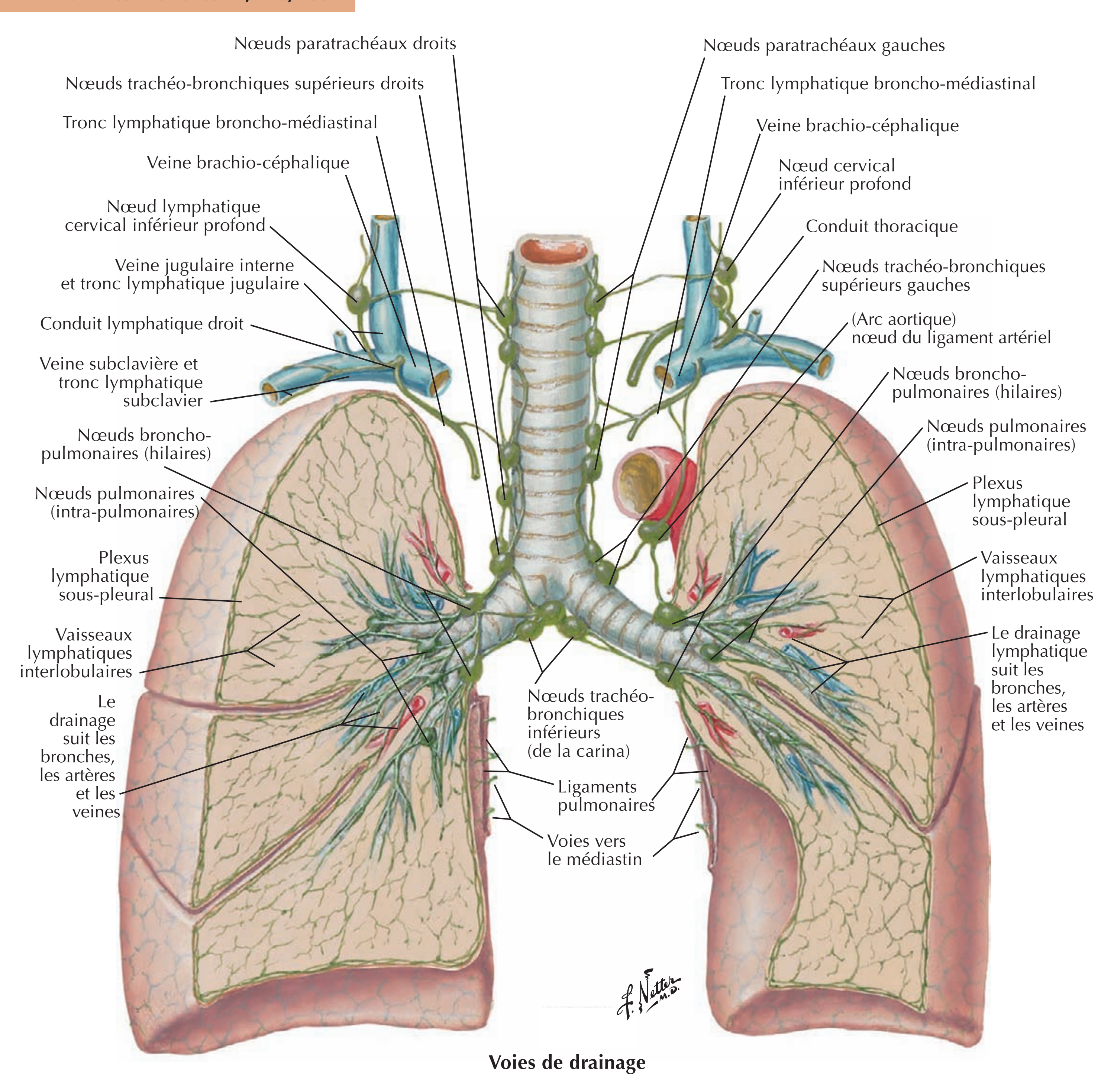
Branche œsophagienne de l'artère bronchique

Veines bronchiques



Vaisseaux et nœuds lymphatiques du poumon

Voir aussi **Planches 72, 178, 233**



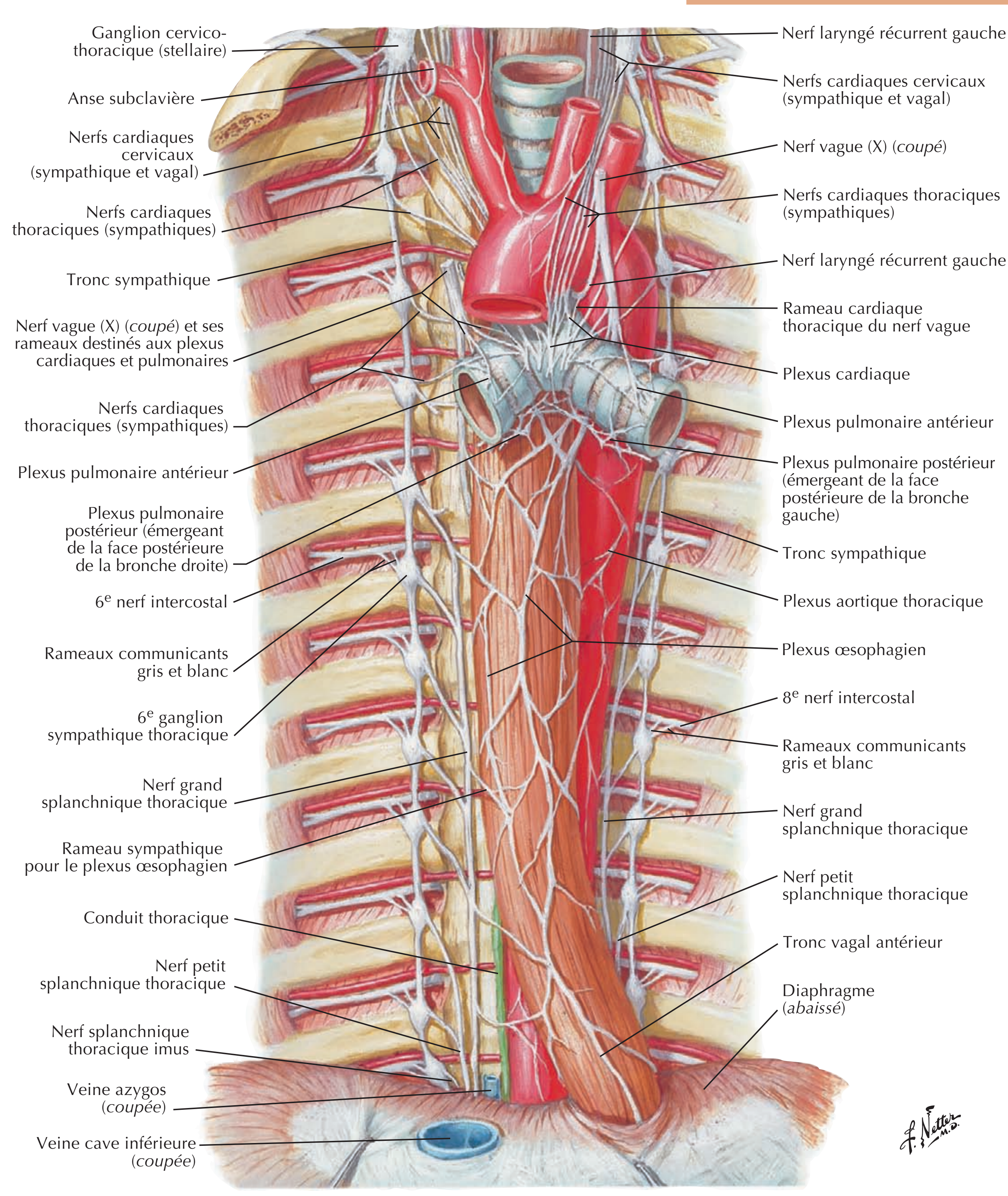
Voies de drainage

Poumon droit : tous les lobes se drainent dans les nœuds intra-pulmonaires et broncho-pulmonaires (hilaires), puis dans les nœuds trachéo-bronchiques inférieurs (de la carina), les nœuds trachéo-bronchiques supérieurs droits et les nœuds paratrachéaux droits, sur le trajet de la veine brachio-céphalique via le tronc lymphatique broncho-médiastinal et/ou le nœud cervical profond inférieur (scalène).

Poumon gauche : Le lobe supérieur se draine dans les nœuds pulmonaires et broncho-pulmonaires (hilaires), les nœuds trachéo-bronchiques inférieurs de la carina, les nœuds trachéo-bronchiques supérieurs gauches, les nœuds paratrachéaux gauches et/ou (arc aortique) le nœud du ligament artériel, puis dans la veine brachio-céphalique via le tronc broncho-médiastinal gauche et le conduit thoracique. Le lobe inférieur gauche se draine aussi dans les nœuds pulmonaires et broncho-pulmonaires (hilaires) et vers les nœuds trachéo-bronchiques inférieurs (de la carina), mais ensuite, souvent dans les nœuds trachéo-bronchiques supérieurs droits, où il suit la même voie que la lymphe issue du poumon droit.

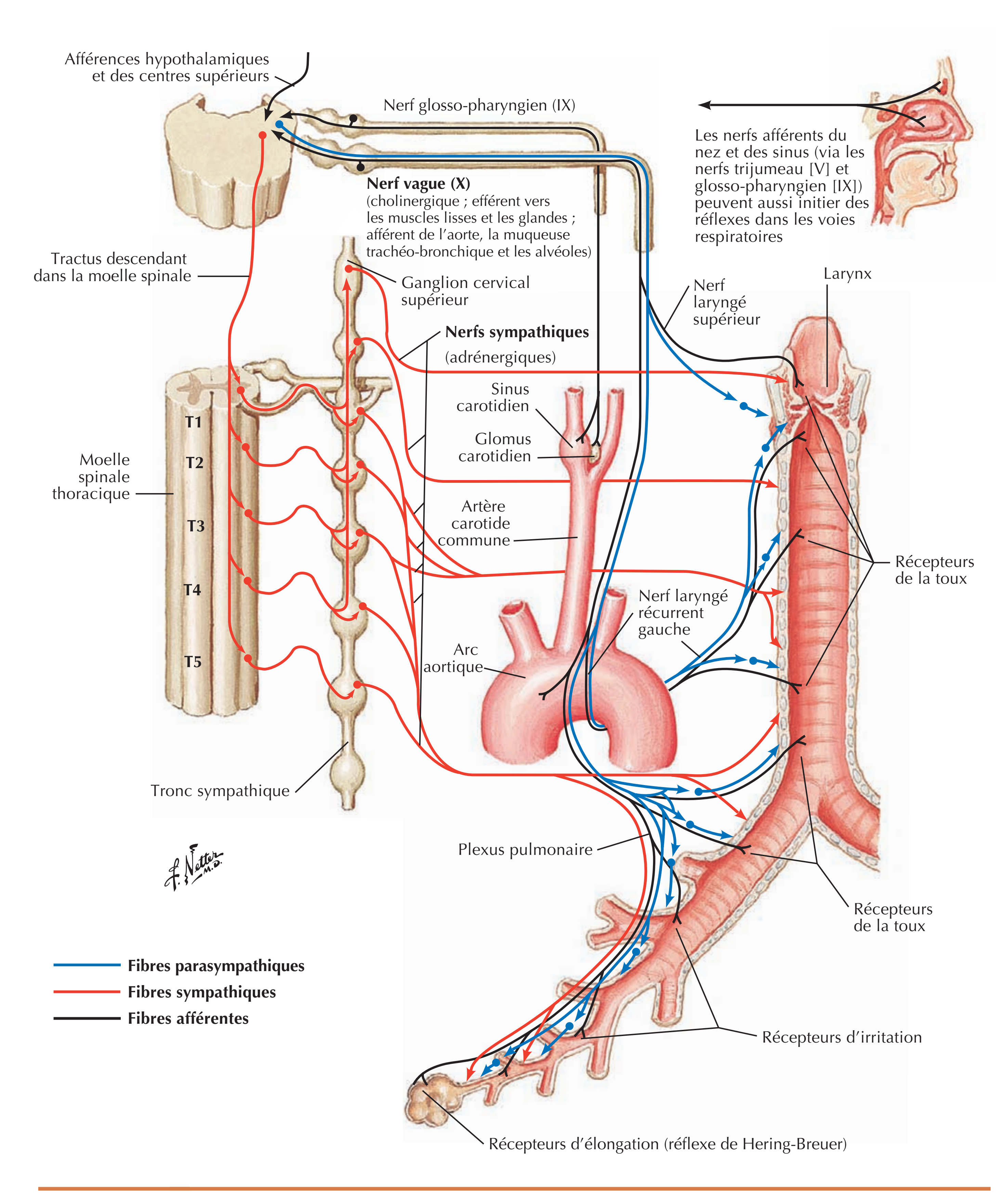
Nerfs autonomes dans le thorax

Voir aussi **Planches 129, 130, 297**



Innervation de l'arbre trachéo-bronchique : schéma

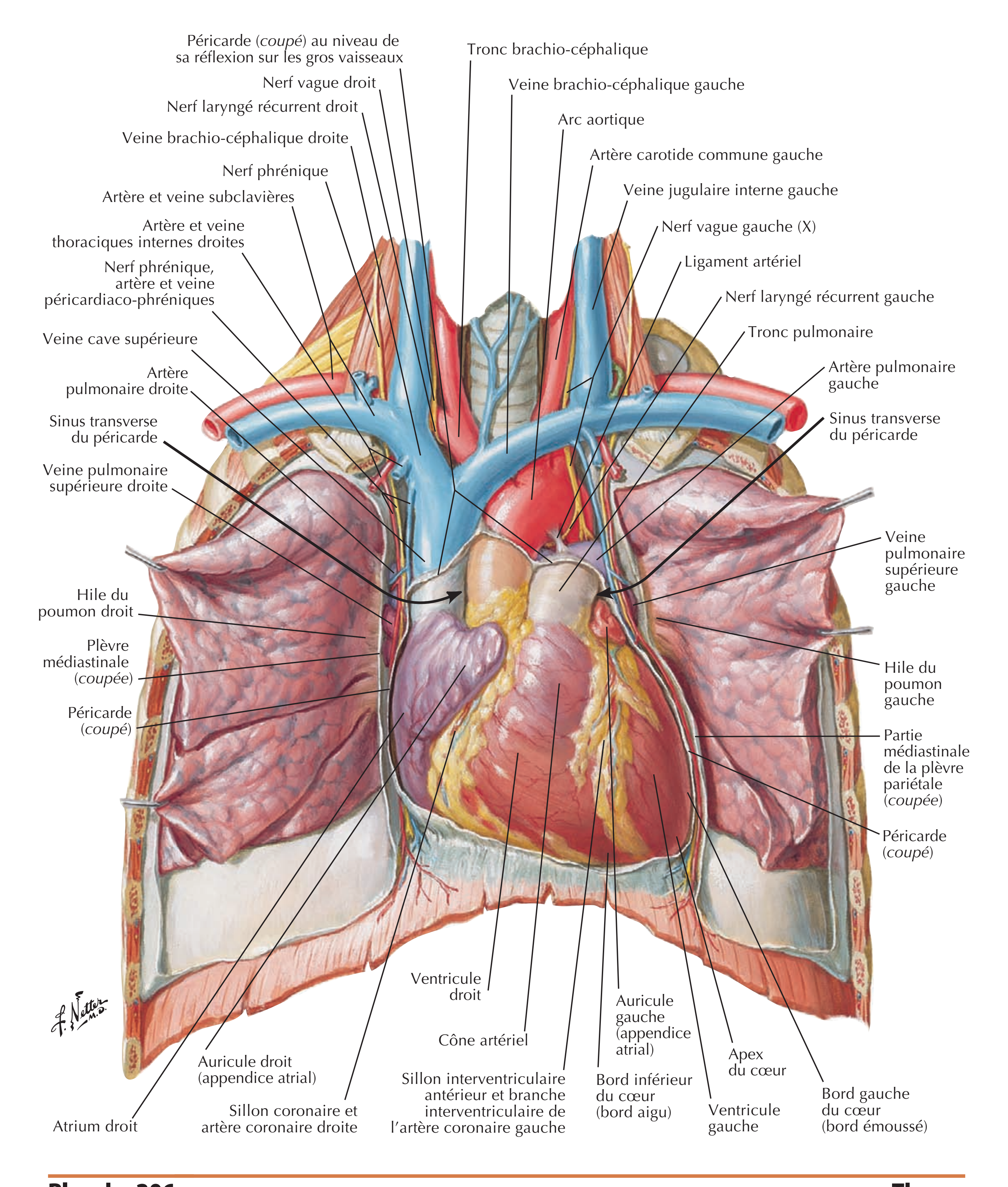
Voir aussi **Planches 160, 161**





Veines thyroïdiennes inférieures
Trachée
Thymus
Artère carotide commune gauche
Tronc brachio-céphalique
Veine brachio-céphalique gauche
Veine brachio-céphalique droite
Veine jugulaire interne
Nerf phrénique
Nerf vague (X)
Muscle scalène antérieur
Arc aortique
Plexus brachial
Conduit thoracique
Veine jugulaire externe
Nerf laryngé récurrent gauche
Artère et veine subclavières
Artère thoracique interne
Veine cave supérieure
Nerf phrénique interne, artère et veine péricardiaco-phréniques
1re côte
Partie médiastinale de la plèvre pariétale
Nerf phrénique, artère et veine péricardiaco-phréniques
Poumon droit
Poumon gauche
Péricarde
Diaphragme
Ligne d'adhérence du péricarde fibreux et du diaphragme
Artère thoracique interne
Médiastinale
Diaphragmatique
Costale
Parties de la plèvre pariétale
Artère épigastrique supérieure
Artère musculo-phrénique

Cœur : vue antérieure





Radiographie du thorax

Trachée

Clavicules

Épine de la scapula

Processus coracoïde de la scapula

Veine cave supérieure

Arc aortique

Artère pulmonaire gauche

Atrium droit

Ventricule gauche

Veine cave inférieure

Coupole diaphragmatique droite

Apex du cœur

Aires précordiales d'auscultation

Aire aortique

Aire pulmonaire

Valves

Valve pulmonaire

Valve aortique

Valve mitrale

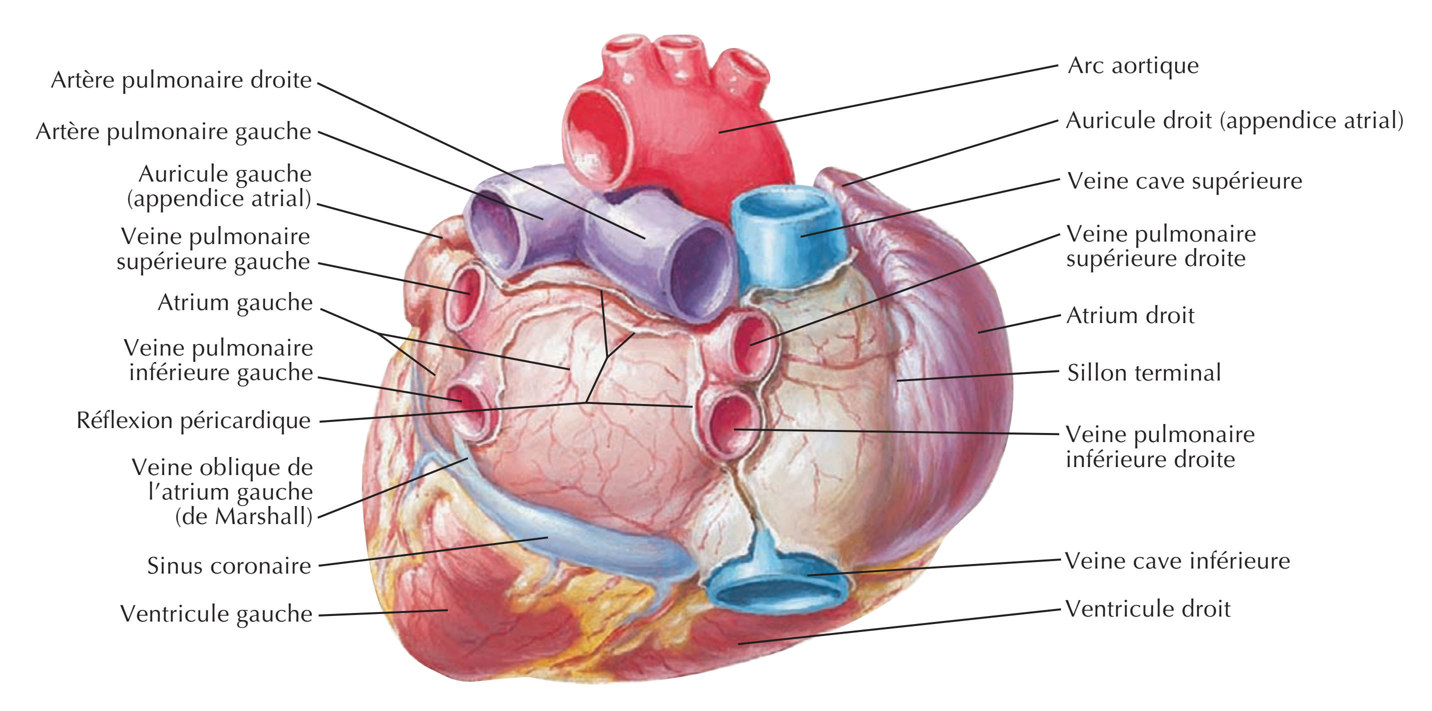
Aire tricuspidienne

Aire tricuspidienne

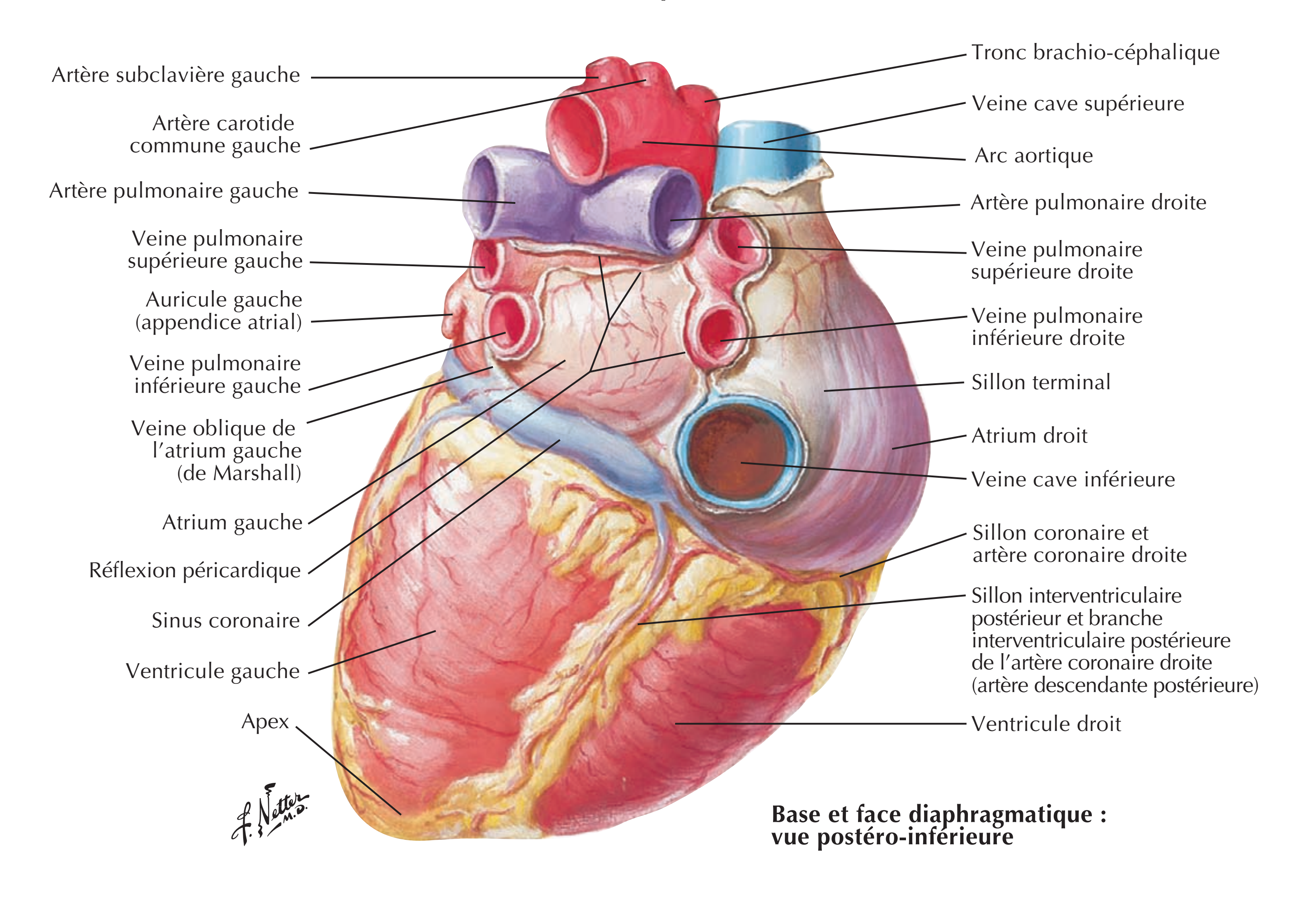
Aire mitrale

C. Machado M.D.

Cœur : base et face diaphragmatique



Base du cœur : vue postérieure



Base et face diaphragmatique : vue postéro-inférieure



Sac péricardique

Veine cave supérieure
Péricarde (*coupé*)
Aorte ascendante
Auricule gauche (appendice atrial)
Ventricule gauche
Sinus coronaire
Sillon interventriculaire postérieur
Ventricule droit
Partie diaphragmatique du péricarde
Partie sterno-costale du péricarde (*bord coupé*)
Arc aortique
Tronc pulmonaire
Sinus transverse du péricarde
Veines pulmonaires gauches
Veine oblique de l'atrium gauche (de Marshall)
Sinus oblique du péricarde
Atrium gauche
Veine pulmonaire droite
Proéminence œsophagienne
Atrium droit
Veine cave inférieure

Cœur extirpé du sac péricardique ouvert : vue latérale gauche

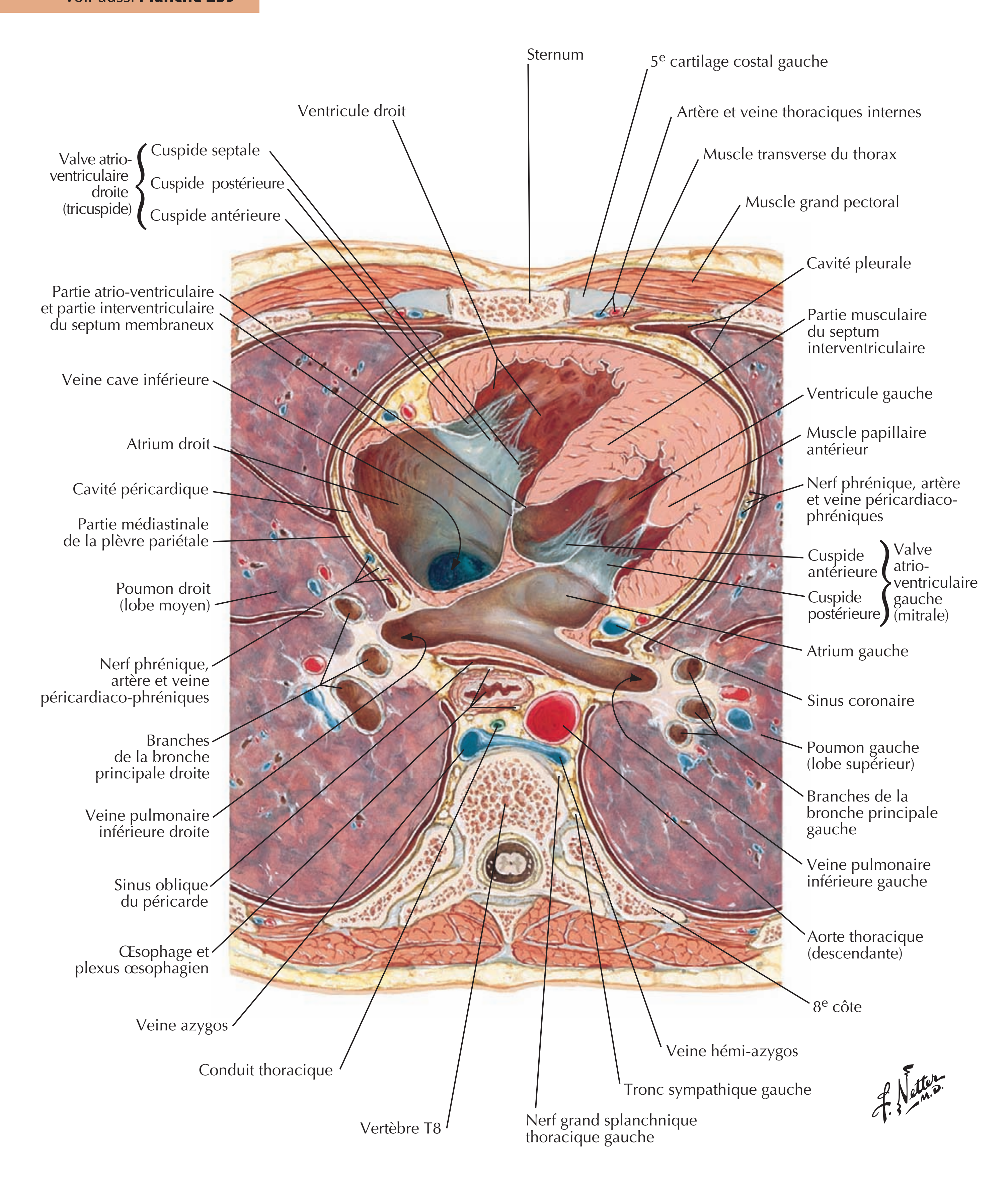
Nerf phrénique droit et vaisseaux péricardiaco-phréniques
Veine cave supérieure
Sinus transverse du péricarde
Veine cave supérieure
Veines pulmonaires droites
Partie médiastinale de la plèvre pariétale (*bord coupé*)
Péricarde (*coupé*)
Veine cave inférieure
Ligne d'adhérence du péricarde fibreux au diaphragme
Arc aortique
Aorte ascendante
Partie médiastinale de la plèvre pariétale (*bord coupé*)
Nerf phrénique gauche et vaisseaux péricardiaco-phréniques
Tronc pulmonaire (bifurcation)
Poumon gauche
Veines pulmonaires gauches
Péricarde (*coupé*)
Sinus oblique du péricarde
Proéminence œsophagienne
Partie diaphragmatique du péricarde

F. Netter M.D.

Sac péricardique sans le cœur : vue antérieure

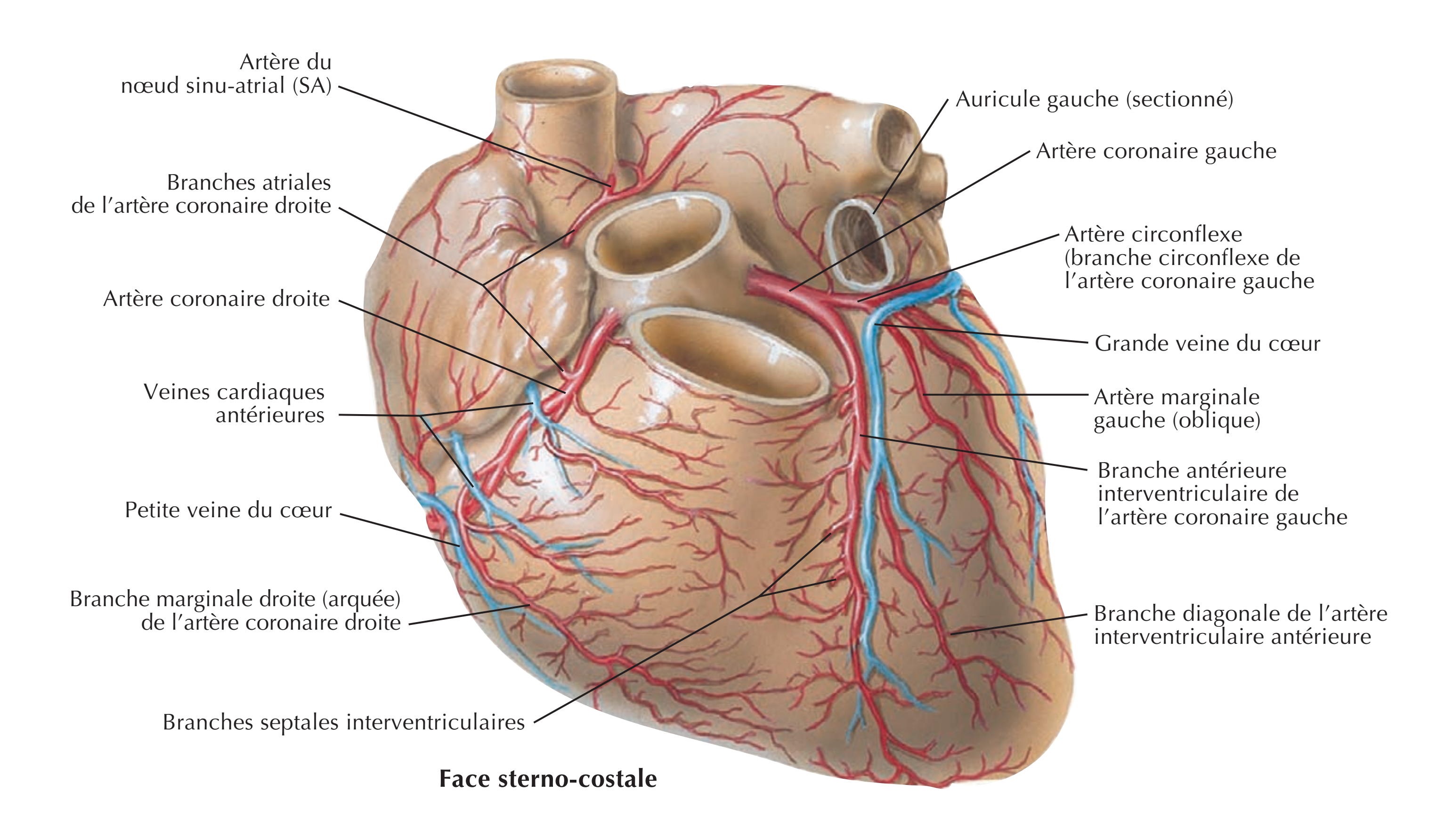
Médiastin : coupe transversale (vue supérieure)

Voir aussi **Planche 239**

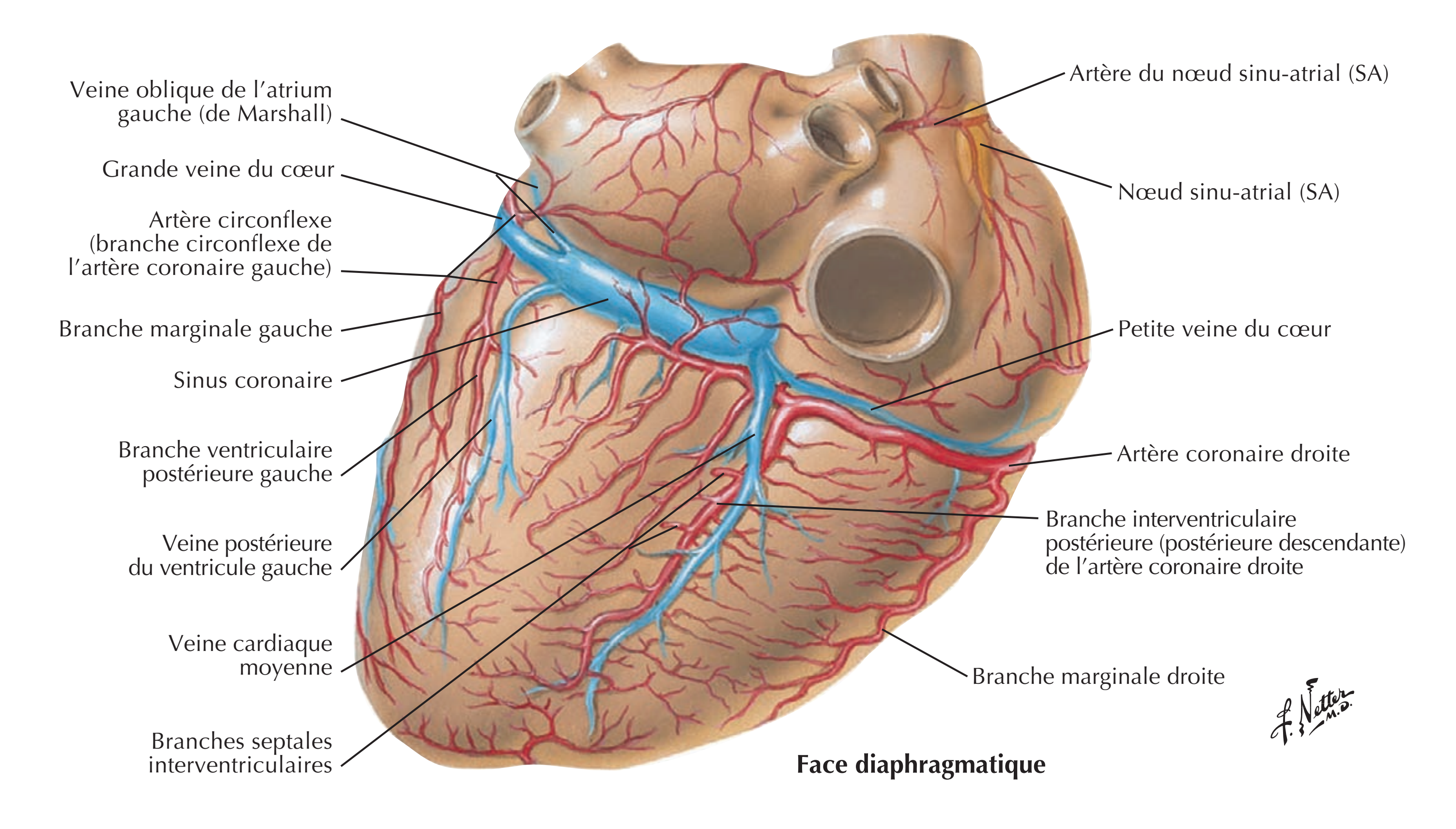




Artères coronaires et veines cardiaques



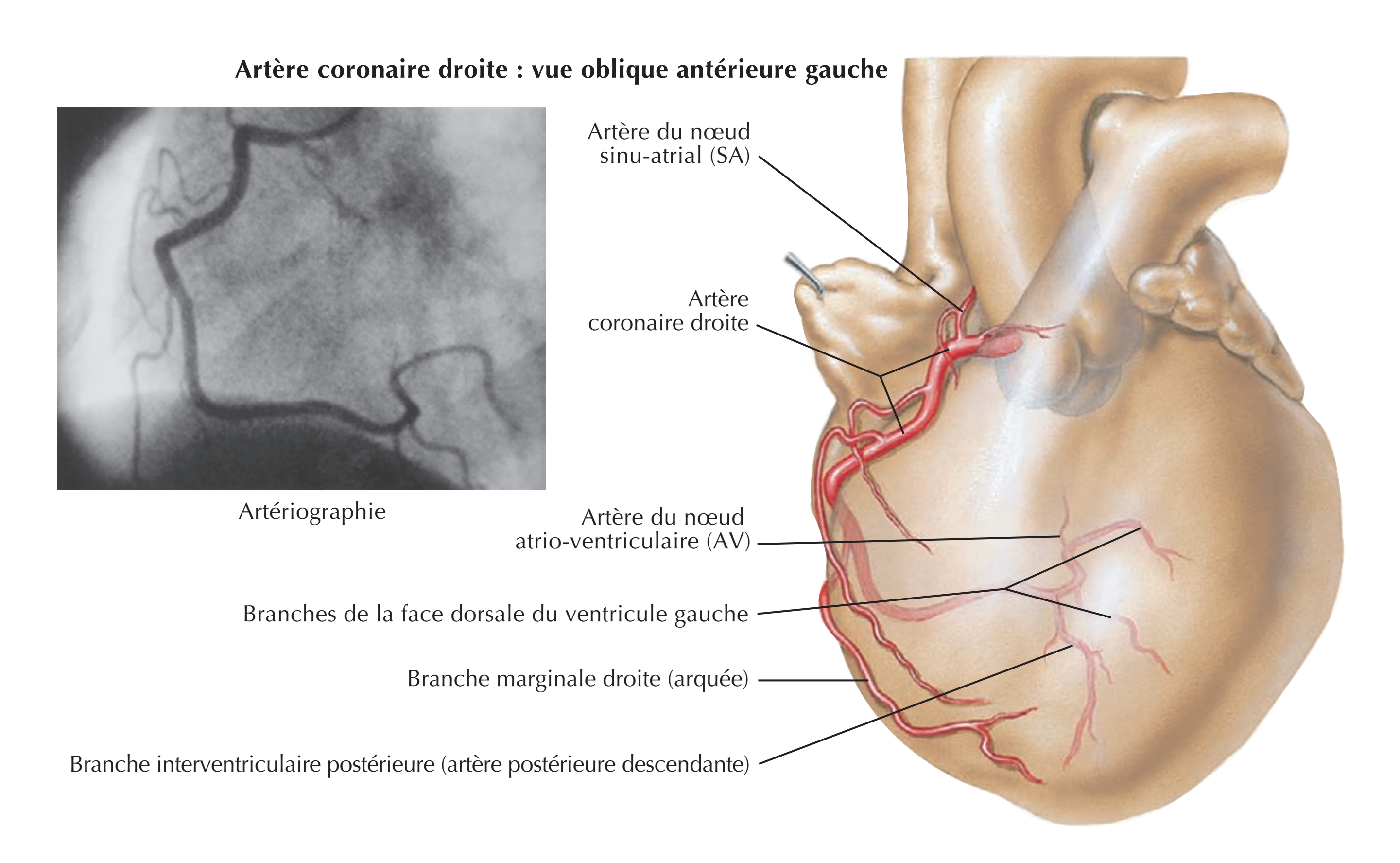
Face sterno-costale



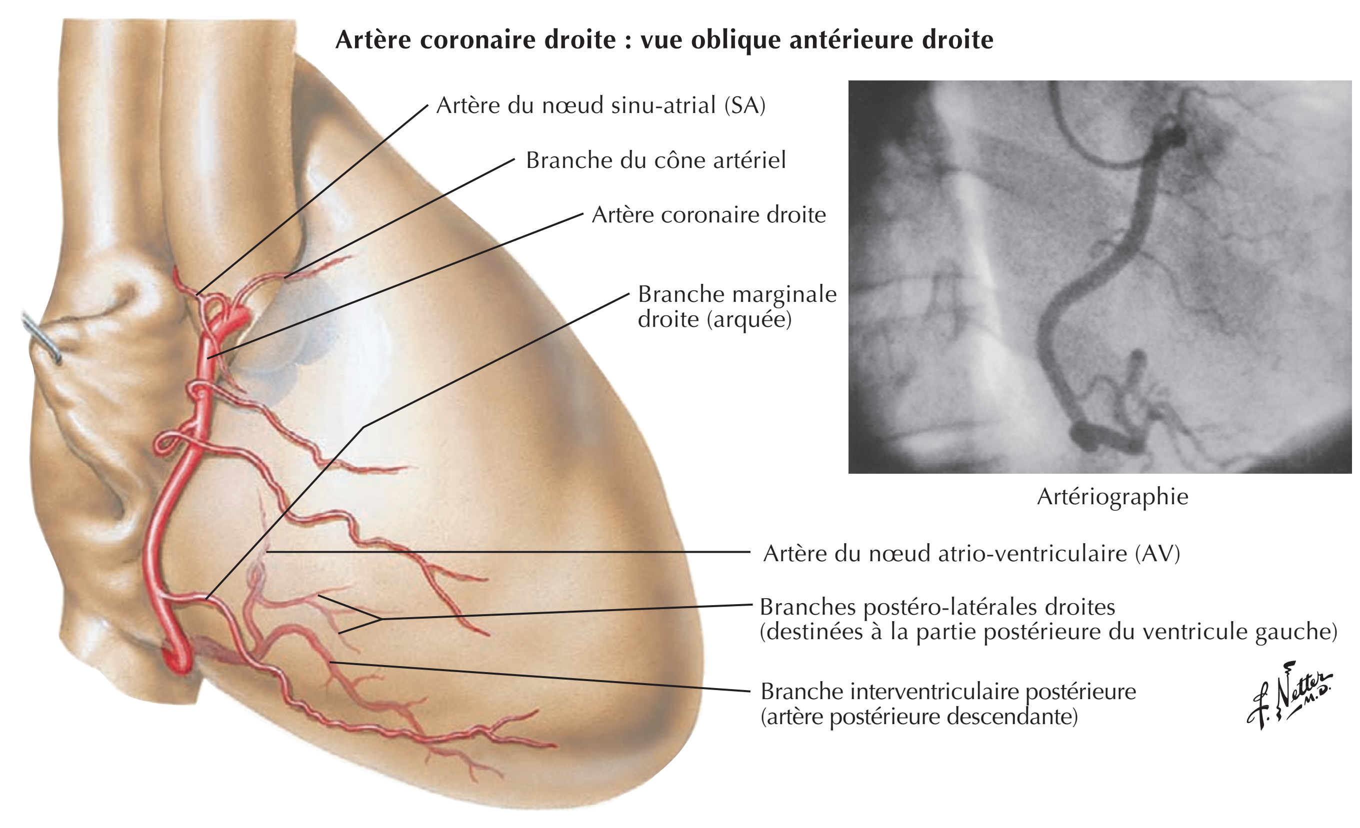
Face diaphragmatique

Artères coronaires : vues artériographiques

Artère coronaire droite : vue oblique antérieure gauche

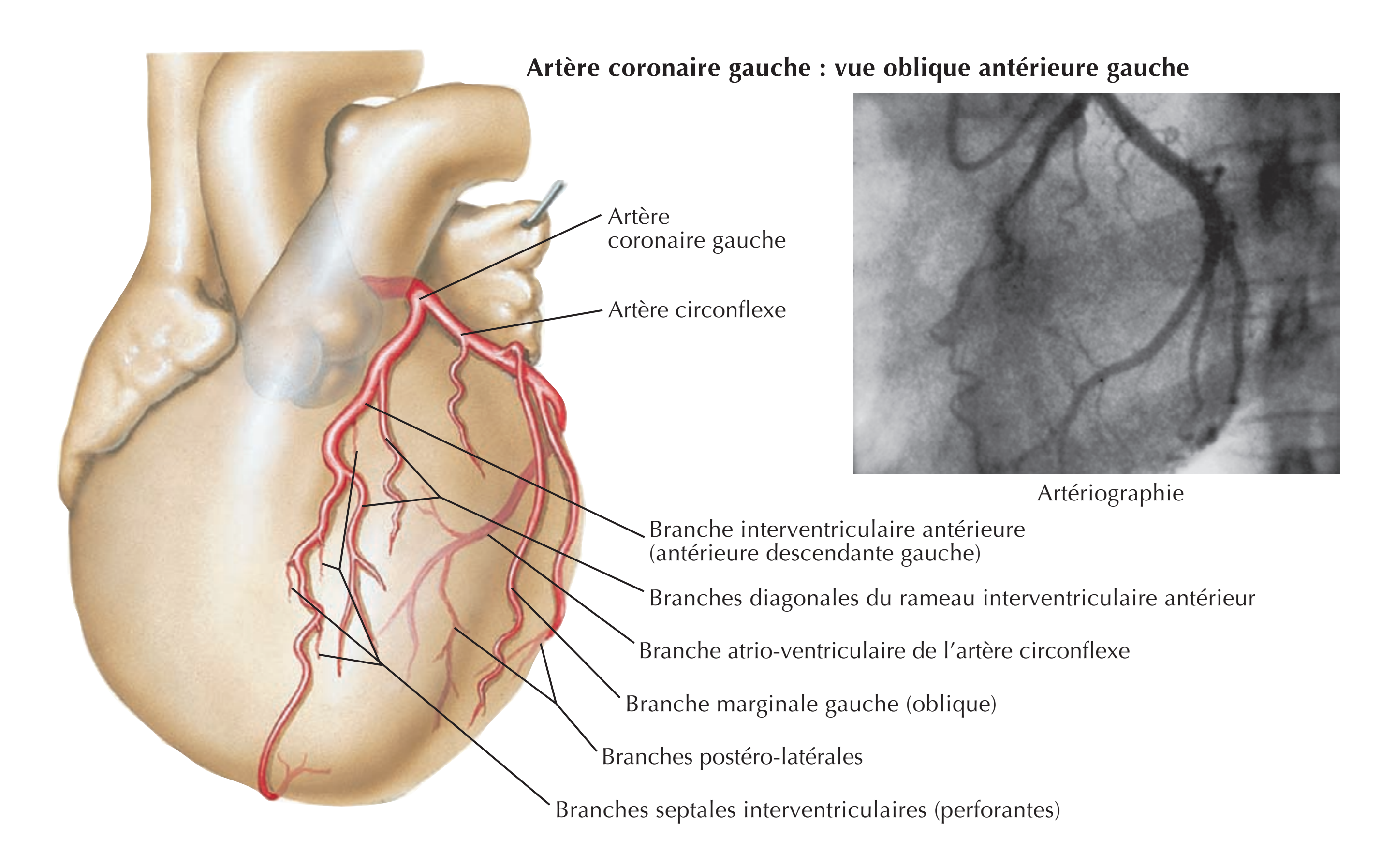


Artère coronaire droite : vue oblique antérieure droite

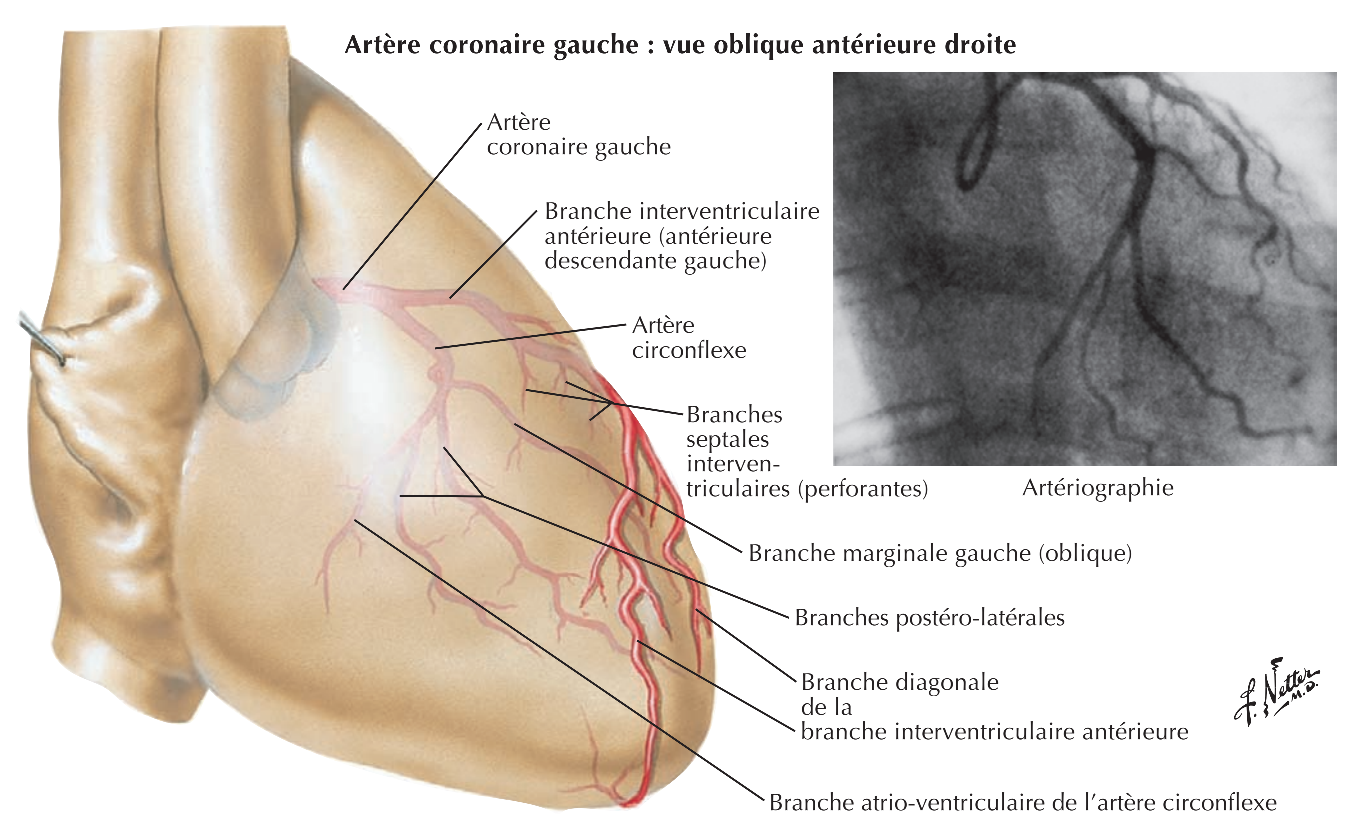


Artères coronaires : vues artériographiques (suite)

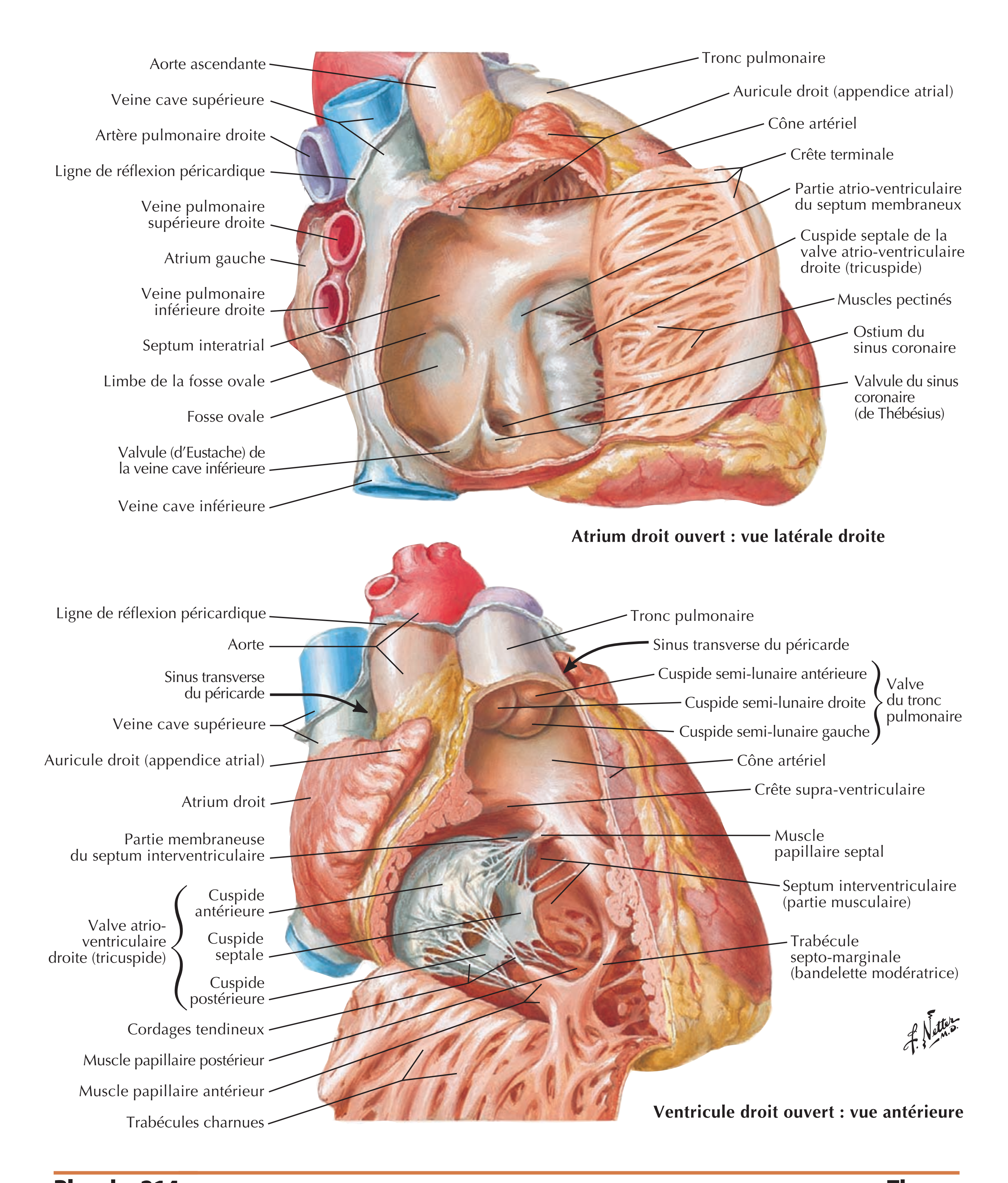
Artère coronaire gauche : vue oblique antérieure gauche



Artère coronaire gauche : vue oblique antérieure droite



Atrium et ventricule droits



Atrium et ventricule gauches

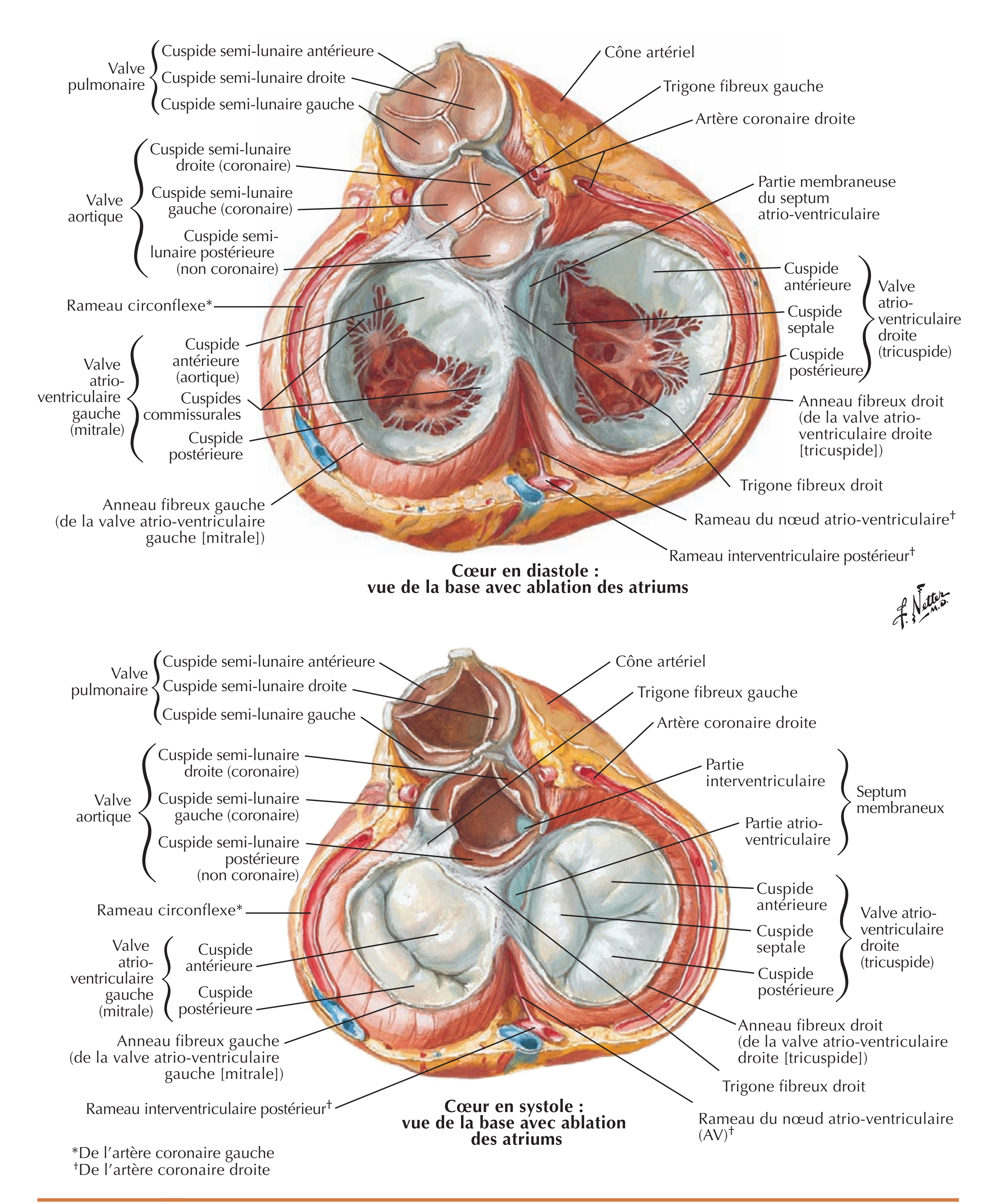
Ligne de réflexion péricardique
Sinus transverse du péricarde
Auricule gauche (appendice atrial)
Veine oblique de l'atrium gauche (de Marshall)
Valve atrio-ventriculaire gauche (mitrale) { Cuspide postérieure / Cuspide antérieure
Muscle papillaire antérieur
Cordages tendineux
Muscle papillaire postérieur
Arc aortique
Ligament artériel
Artère pulmonaire gauche
Artère pulmonaire droite
Veines pulmonaires gauches
Atrium gauche
Veines pulmonaires droites
Sinus coronaire
Veine cave inférieure

Volet ouvert dans la paroi postéro-latérale du ventricule gauche

Auricule gauche (appendice atrial)
Cône artériel
Valve aortique { Cuspide semi-lunaire gauche / Cuspide semi-lunaire droite / Cuspide semi-lunaire postérieure
Septum membraneux { Partie interventriculaire / Partie atrio-ventriculaire
Partie musculaire du septum interventriculaire
Valve atrio-ventriculaire gauche (mitrale) (*réséquée*)
Arc aortique
Artère pulmonaire gauche
Artère pulmonaire droite
Veine pulmonaire supérieure gauche
Valvule du foramen ovale
Veines pulmonaires droites
Atrium gauche
Sinus coronaire
Veine cave inférieure

Coupe à travers l'atrium et le ventricule gauches avec la valve atrio-ventriculaire gauche (mitrale) réséquée

Valves du squelette fibreux du cœur



Cœur en diastole : vue de la base avec ablation des atriums

Cœur en systole : vue de la base avec ablation des atriums

*De l'artère coronaire gauche
†De l'artère coronaire droite



Valves du squelette fibreux du cœur (suite)

Aorte ascendante
Sinus de l'aorte (de Valsalva)
Ostium de l'artère coronaire droite
Septum membraneux { Partie interventriculaire / Partie atrio-ventriculaire }
Partie musculaire du septum interventriculaire
Commissure des valves semi-lunaires
Ostium de l'artère coronaire gauche
Nodule de la valve semi-lunaire (corps d'Arantius)
Lunule
Valve aortique { Cuspide semi-lunaire gauche / Cuspide semi-lunaire postérieure / Cuspide semi-lunaire droite }
Muscle papillaire antérieur
Cuspide antérieure de la valve atrio-ventriculaire gauche (mitrale)

Valve de l'aorte

Ostium de la veine cave inférieure
Atrium droit
Ostium du sinus coronaire
Cordages tendineux
Muscle papillaire septal
Muscle papillaire postérieur (*sectionné*)
Septum membraneux { Partie atrio-ventriculaire / Partie interventriculaire (*derrière la valve*) }
Valve atrio-ventriculaire droite (tricuspide) { Cuspide postérieure / Cuspide antérieure / Cuspide septale }
Muscle papillaire postérieur (*sectionné*)
Muscle papillaire antérieur

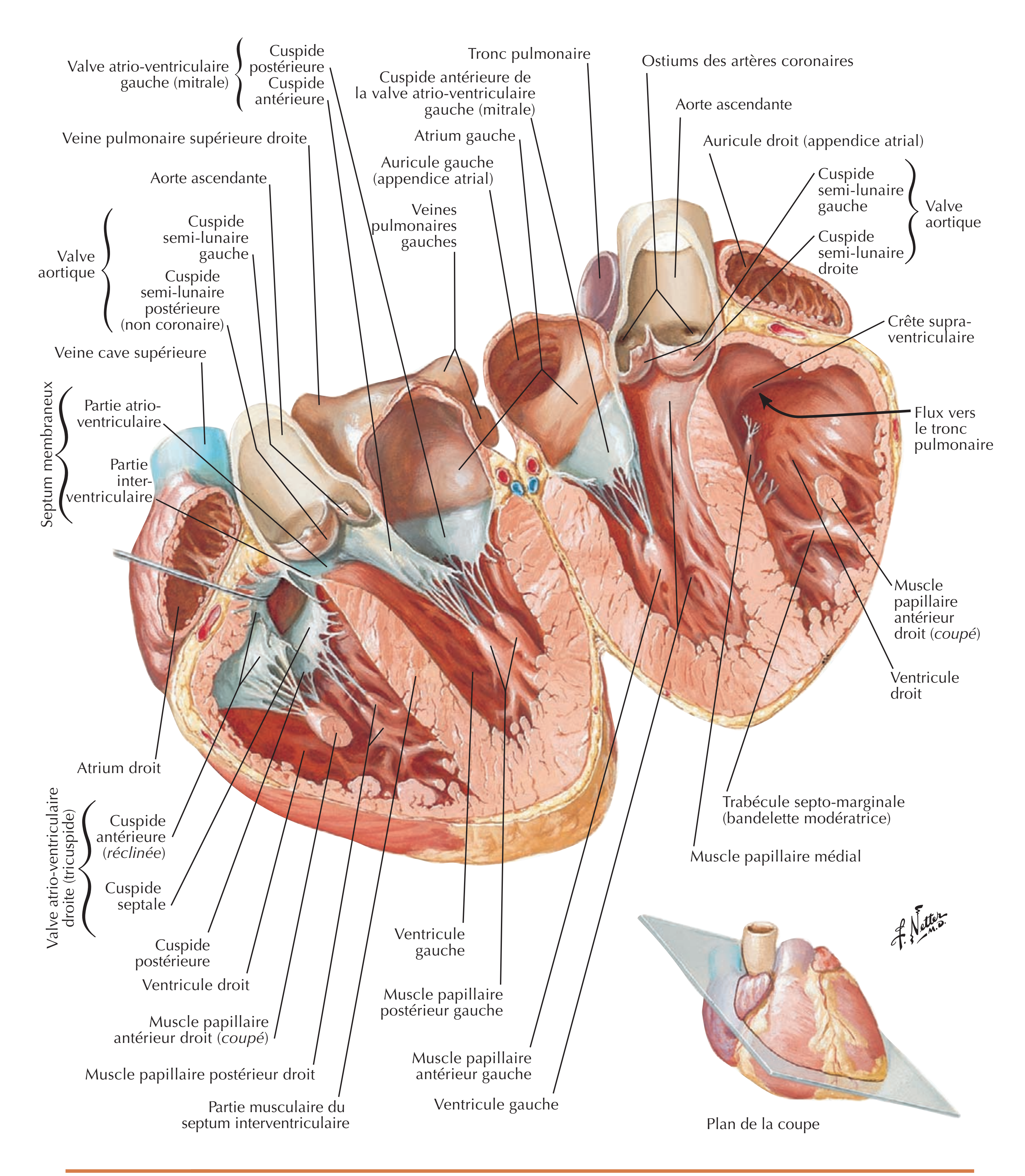
Valve atrio-ventriculaire droite (tricuspide)

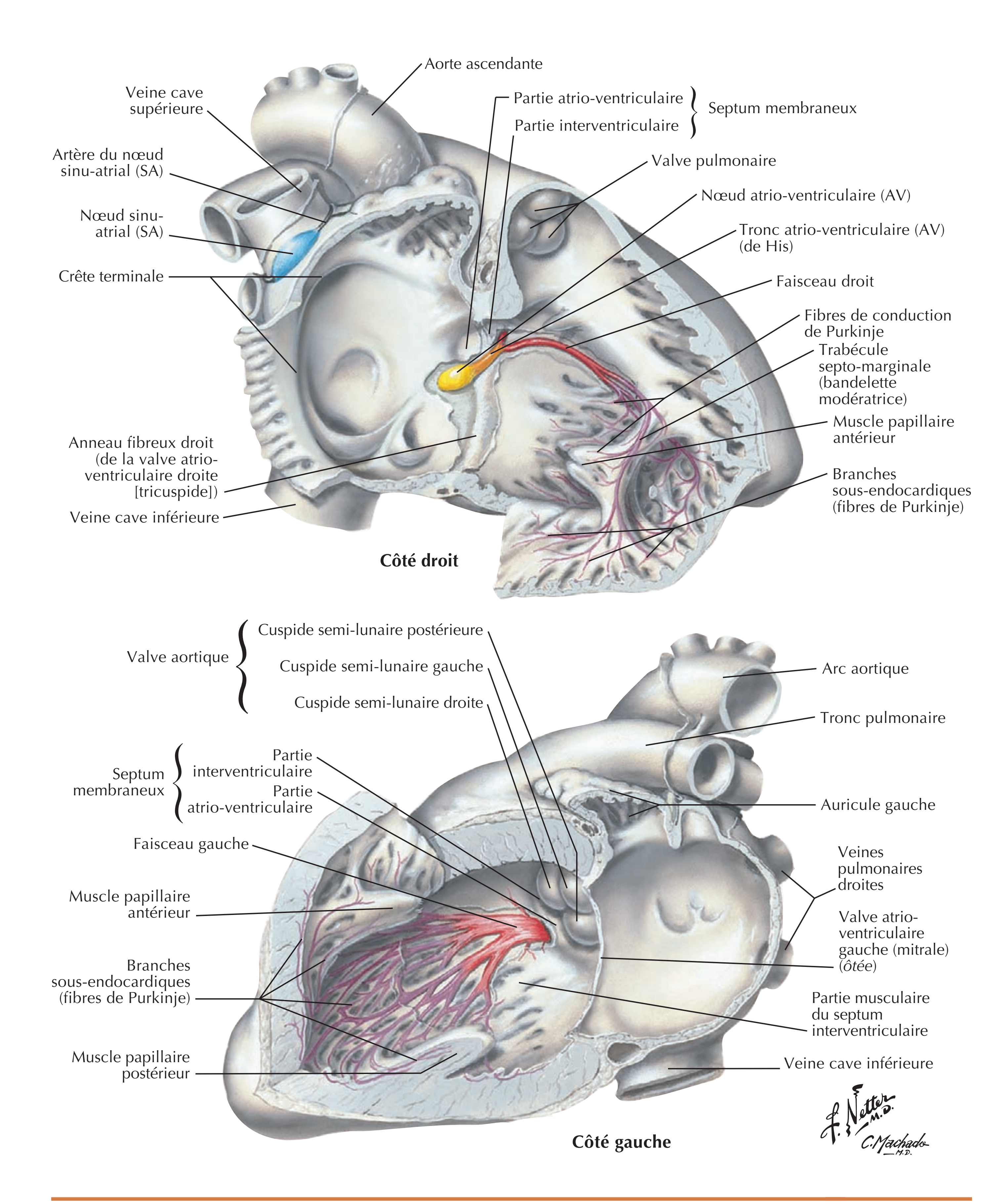
Atrium gauche
Cordages tendineux
Muscle papillaire antérieur (*sectionné*)
Muscle papillaire postérieur
Valve atrio-ventriculaire gauche (mitrale) { Cuspide antérieure / Cuspide postérieure / Cuspides commissurales }
Muscle papillaire antérieur (*sectionné*)
Nodules fibreux (d'Albini)

F. Netter M.D.

Valve atrio-ventriculaire gauche (mitrale)

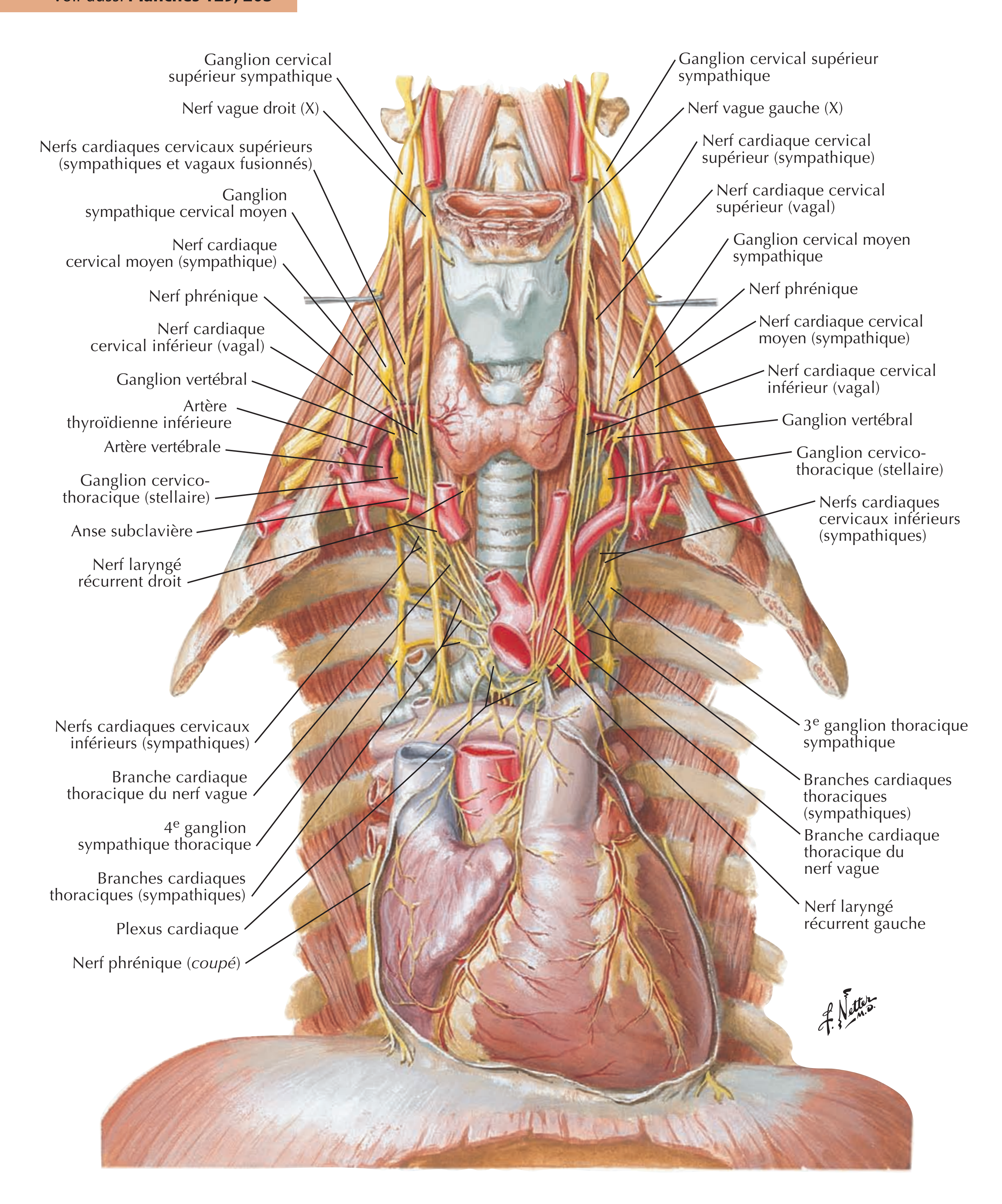
Atriums, ventricules et septum interventriculaire




Aorte ascendante
Veine cave supérieure
Partie atrio-ventriculaire
Partie interventriculaire
Septum membraneux
Artère du nœud sinu-atrial (SA)
Valve pulmonaire
Nœud sinu-atrial (SA)
Nœud atrio-ventriculaire (AV)
Tronc atrio-ventriculaire (AV) (de His)
Crête terminale
Faisceau droit
Fibres de conduction de Purkinje
Trabécule septo-marginale (bandelette modératrice)
Muscle papillaire antérieur
Anneau fibreux droit (de la valve atrio-ventriculaire droite [tricuspide])
Branches sous-endocardiques (fibres de Purkinje)
Veine cave inférieure
Côté droit
Valve aortique
Cuspide semi-lunaire postérieure
Cuspide semi-lunaire gauche
Cuspide semi-lunaire droite
Arc aortique
Tronc pulmonaire
Septum membraneux
Partie interventriculaire
Partie atrio-ventriculaire
Auricule gauche
Faisceau gauche
Veines pulmonaires droites
Muscle papillaire antérieur
Valve atrio-ventriculaire gauche (mitrale) (ôtée)
Branches sous-endocardiques (fibres de Purkinje)
Partie musculaire du septum interventriculaire
Muscle papillaire postérieur
Veine cave inférieure
Côté gauche

Nerfs du cœur

Voir aussi **Planches 129, 203**





Innervation du cœur : schéma

Voir aussi **Planches 125, 160, 161**

Noyau postérieur (dorsal) du nerf vague

Ganglion cervical supérieur sympathique

Noyau du tractus solitaire

Moelle allongée

Nerf cardiaque cervical supérieur (sympathique)

Ganglion cervical moyen sympathique

Nerfs vagues

Nerf cardiaque cervical supérieur (vagal)

Nerf cardiaque cervical moyen (sympathique)

Nerf cardiaque cervical inférieur (vagal)

Ganglion vertébral (variation)

Connexions ascendantes

Anse subclavière

Ganglion cervico-thoracique (stellaire)

1er nerf intercostal

T1

T2

T3

T4

Nerf cardiaque cervical inférieur (sympathique)

Branche cardiaque thoracique du nerf vague

2e ganglion thoracique sympathique

Rameau communicant blanc

Rameau communicant gris

Branches cardiaques thoraciques (sympathiques)

4e ganglion sympathique thoracique

Plexus cardiaque

Sympathique préganglionnaire

Sympathique postganglionnaire

Vagal préganglionnaire

Vagal postganglionnaire

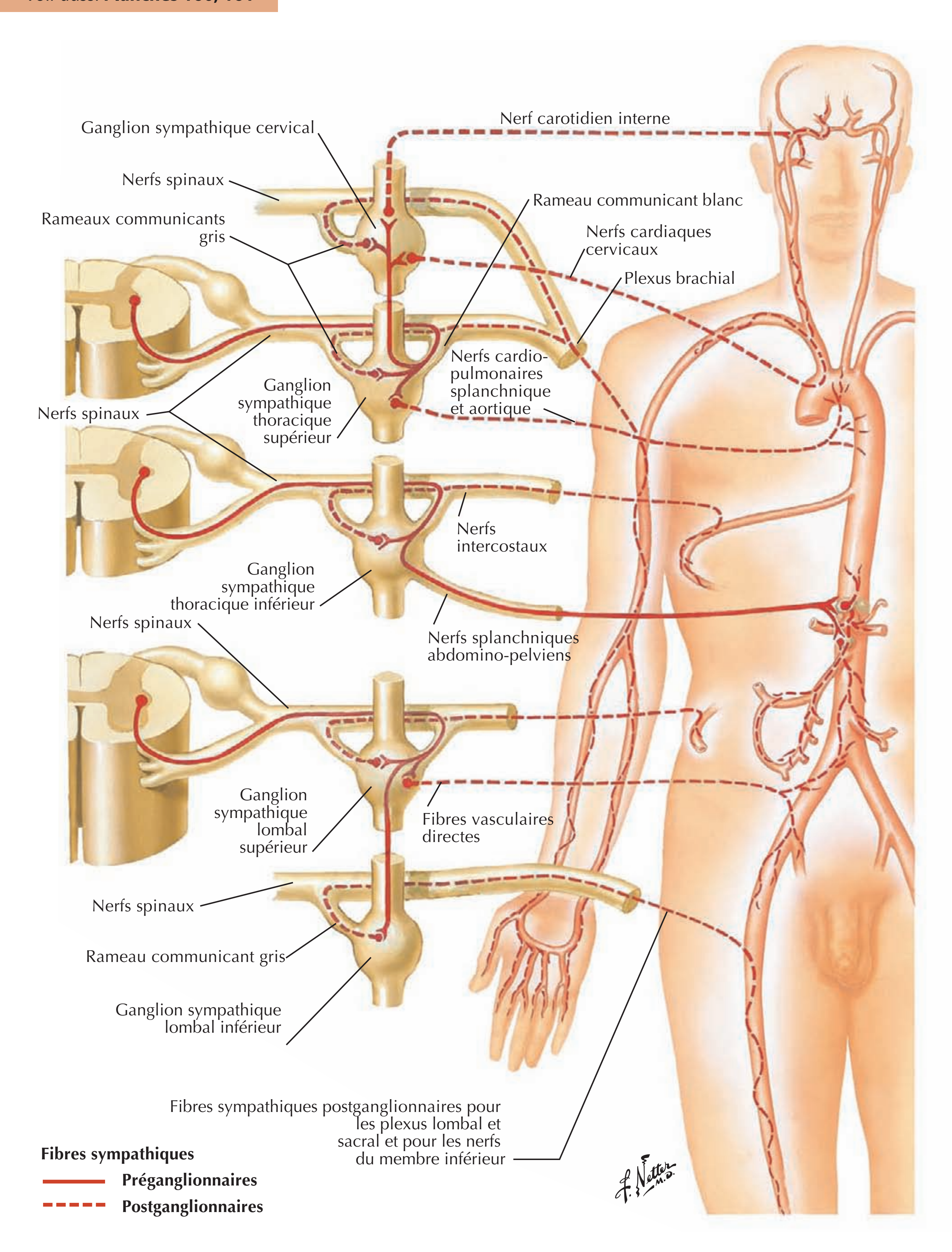
Afférent viscéral accompagnant les fibres sympathiques

Vagal afférent

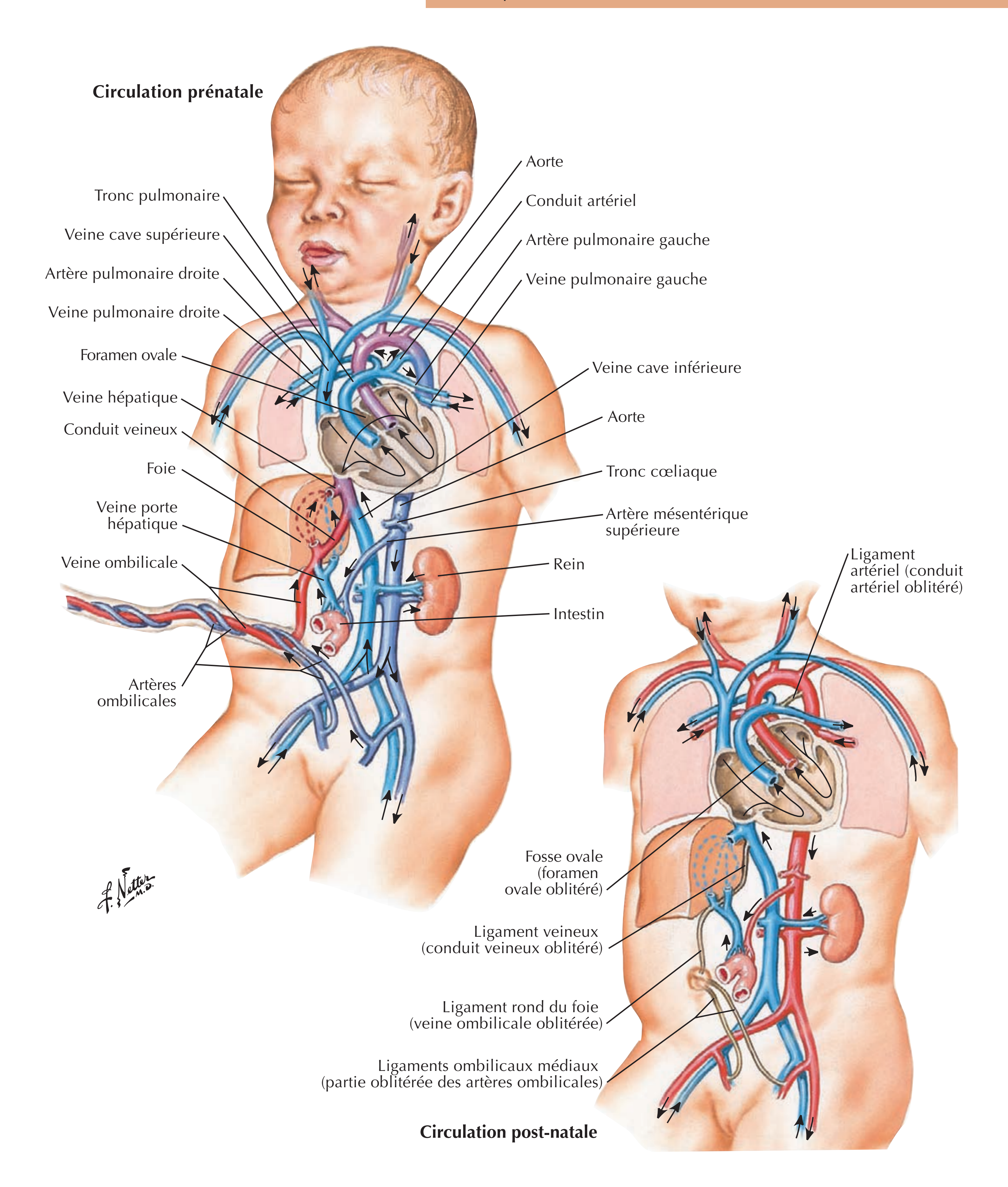
F. Netter M.D.

Innervation des vaisseaux sanguins : schéma

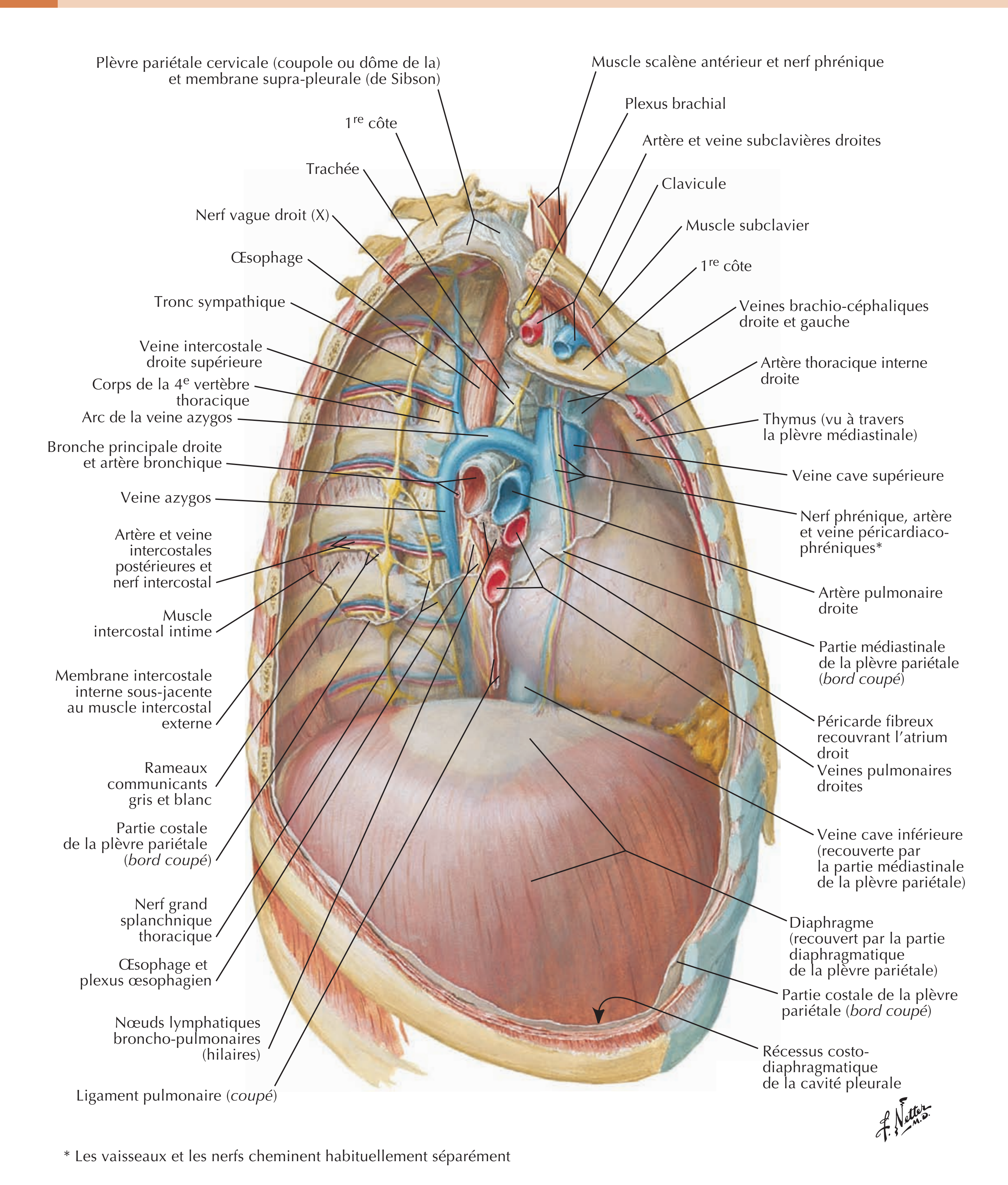
Voir aussi **Planches 160, 161**



Pour la partie oblitérée des vaisseaux ombilicaux, voir **Planche 247**



Médiastin : vue latérale droite



* Les vaisseaux et les nerfs cheminent habituellement séparément



Médiastin : vue latérale gauche

Muscle scalène antérieur et nerf phrénique

Plexus brachial

Artère et veine subclavières gauches

Muscle subclavier

Clavicule

Veine brachio-céphalique gauche

Artère thoracique interne gauche

Thymus (vu à travers la plèvre médiastinale)

Ligament artériel

Artère pulmonaire gauche

Nerf phrénique gauche, artère et veine péricardiaco-phréniques*

Partie médiastinale de la plèvre pariétale (*bord coupé*)

Péricarde fibreux

Veines pulmonaires gauches

Ligament pulmonaire (*coupé*)

Formation graisseuse

Œsophage et plexus œsophagien (recouverts par la partie médiastinale de la plèvre pariétale)

Diaphragme (recouvert par la partie diaphragmatique de la plèvre pariétale)

Récessus costo-diaphragmatique de la cavité pleurale

Partie costale de la plèvre pariétale (*bord coupé*)

Plèvre pariétale cervicale (coupole ou dôme de la) et membrane supra-pleurale (de Sibson)

1[re] côte

Œsophage

Conduit thoracique

Nerf vague gauche (X)

Veine intercostale supérieure gauche

Arc aortique

Nerf laryngé récurrent gauche

Nœuds lymphatiques broncho-pulmonaires (hilaires)

Veine hémi-azygos accessoire

Artère et veine intercostales postérieures et nerf intercostal

Muscle intercostal intime

Membrane intercostale sous-jacente au muscle intercostal externe

Rameaux communicants gris et blanc

Plèvre costale (*bord coupé*)

Tronc sympathique

Nerf grand splanchnique thoracique

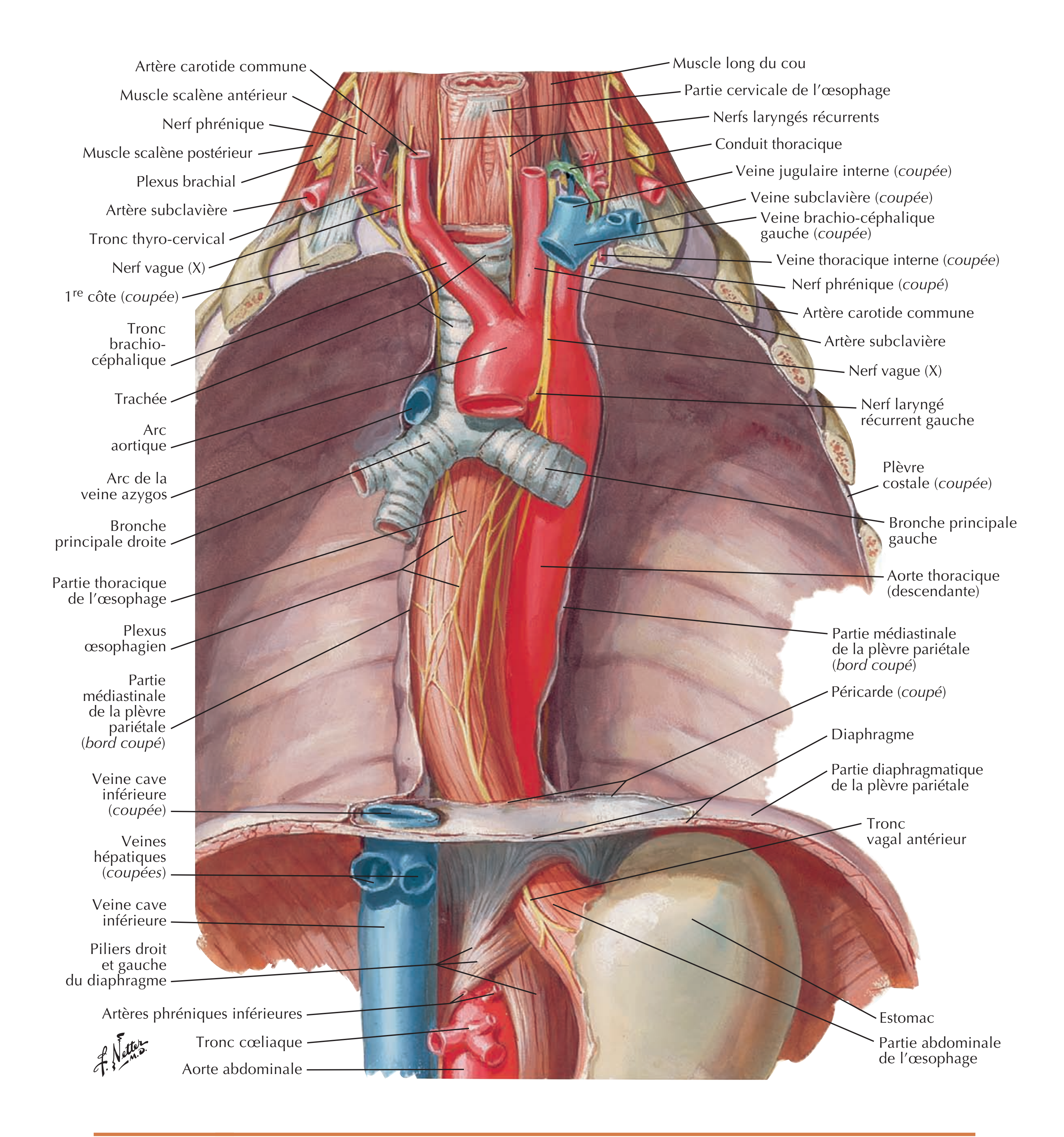
Aorte thoracique (descendante)

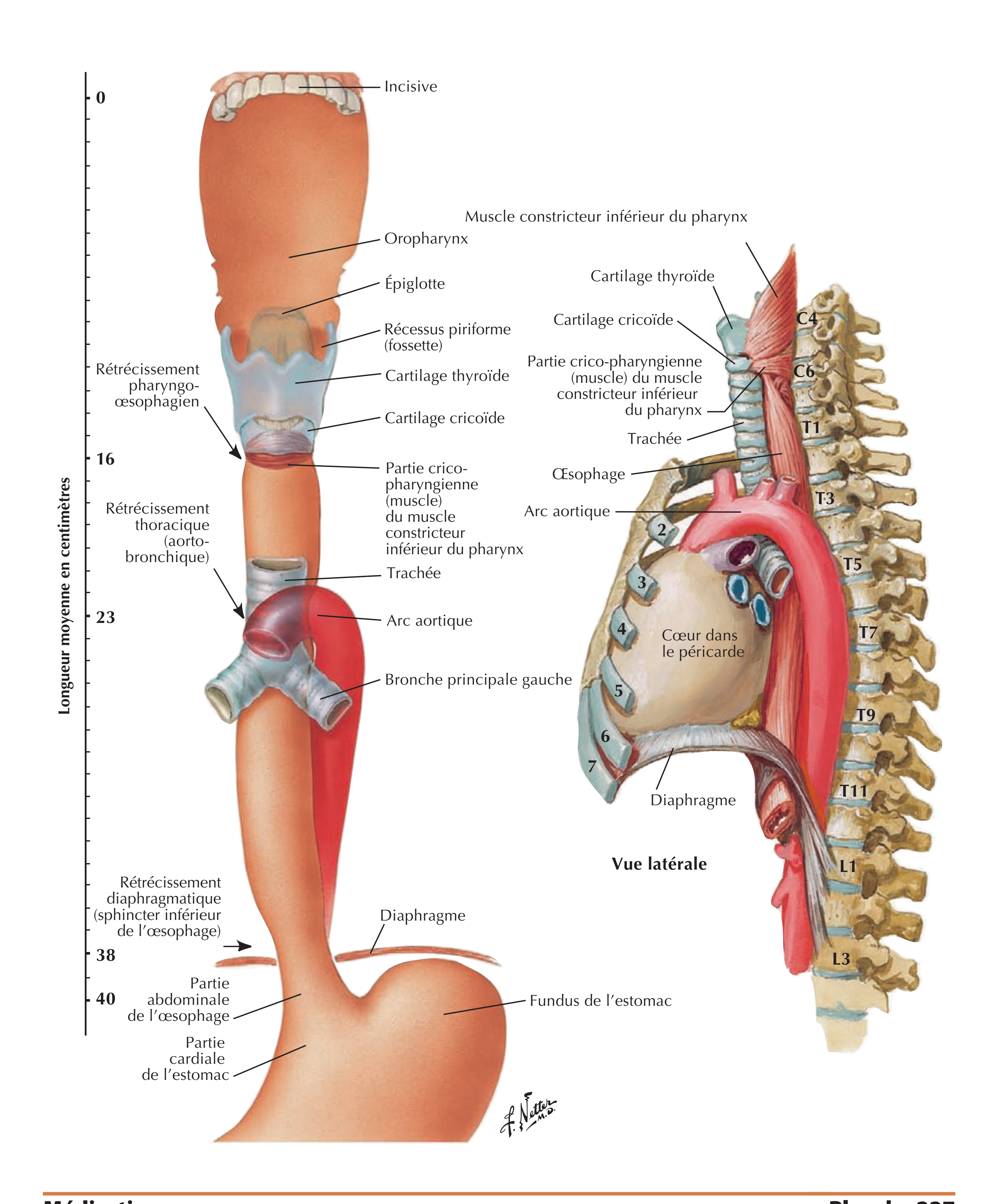
Bronche principale gauche et artère bronchique

F. Netter M.D.

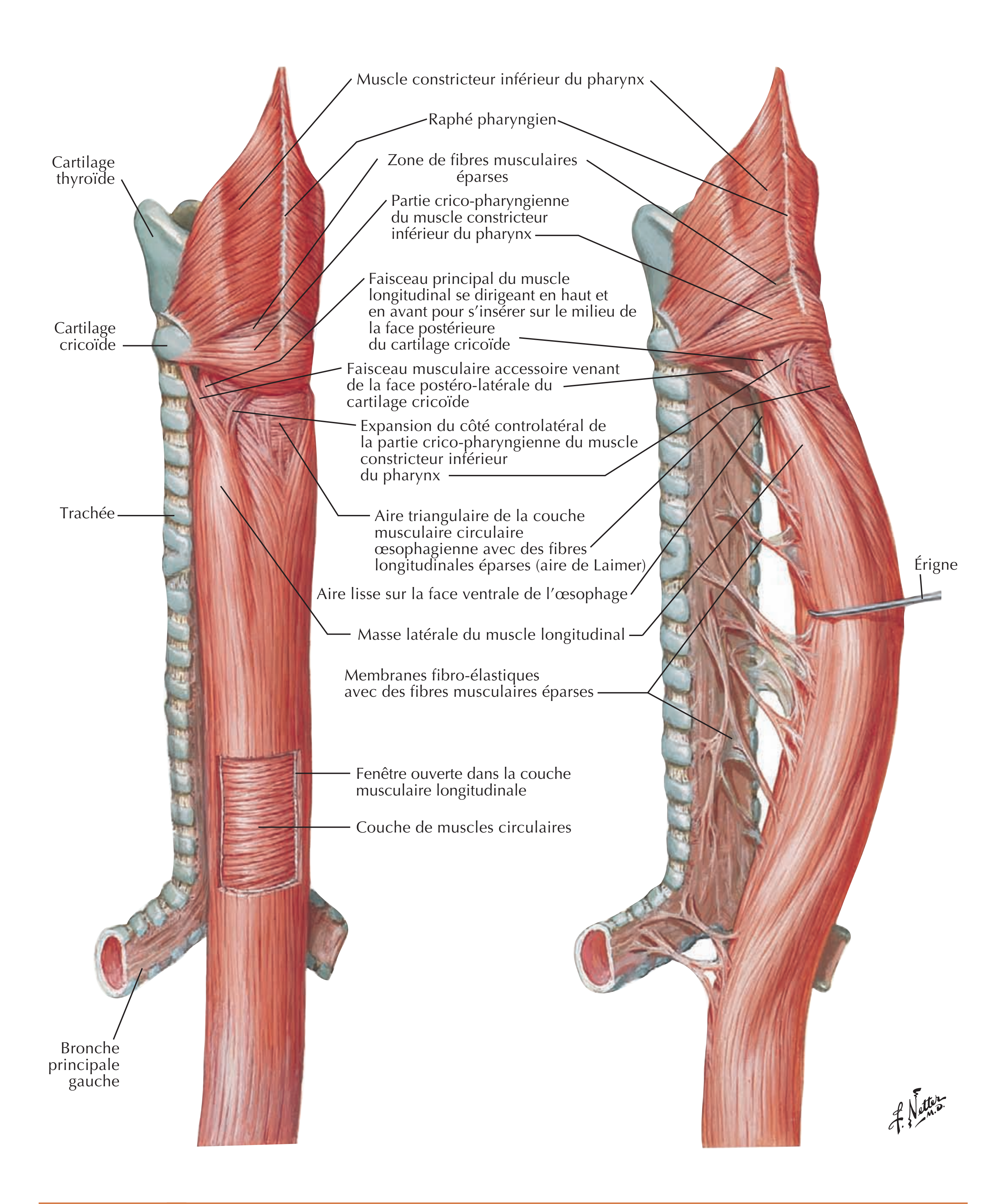
* Les vaisseaux et les nerfs cheminent habituellement séparément

Œsophage *in situ*



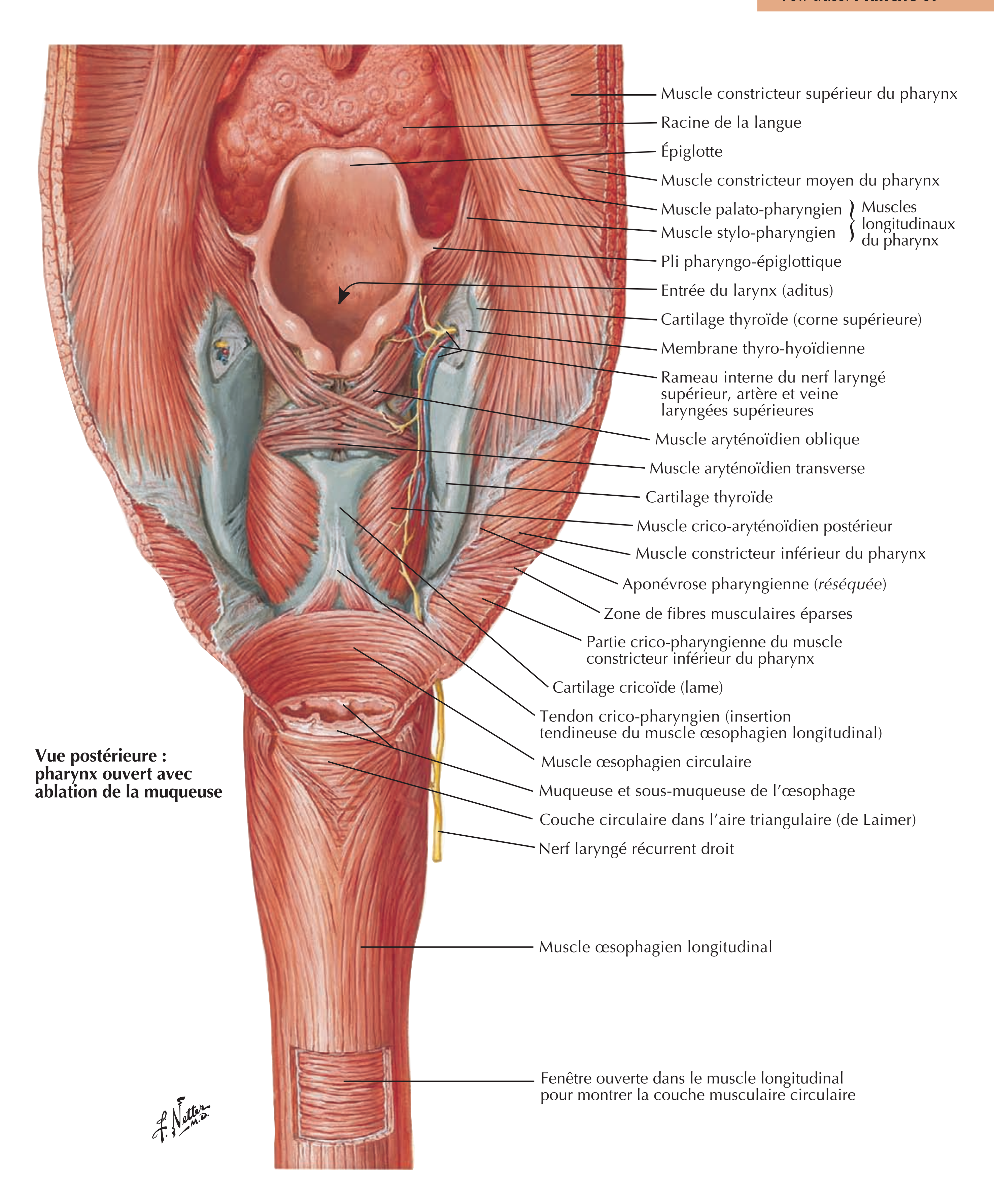

Longueur moyenne en centimètres
0
16
23
38
40
Incisive
Oropharynx
Épiglotte
Récessus piriforme (fossette)
Cartilage thyroïde
Cartilage cricoïde
Rétrécissement pharyngo-œsophagien
Partie crico-pharyngienne (muscle) du muscle constricteur inférieur du pharynx
Rétrécissement thoracique (aorto-bronchique)
Trachée
Arc aortique
Bronche principale gauche
Rétrécissement diaphragmatique (sphincter inférieur de l'œsophage)
Diaphragme
Partie abdominale de l'œsophage
Fundus de l'estomac
Partie cardiale de l'estomac
Muscle constricteur inférieur du pharynx
Cartilage thyroïde
Cartilage cricoïde
Partie crico-pharyngienne (muscle) du muscle constricteur inférieur du pharynx
Trachée
Œsophage
Arc aortique
Cœur dans le péricarde
Diaphragme
C4
C6
T1
T3
T5
T7
T9
T11
L1
L3
2
3
4
5
6
7
Vue latérale

Muscles de l'œsophage



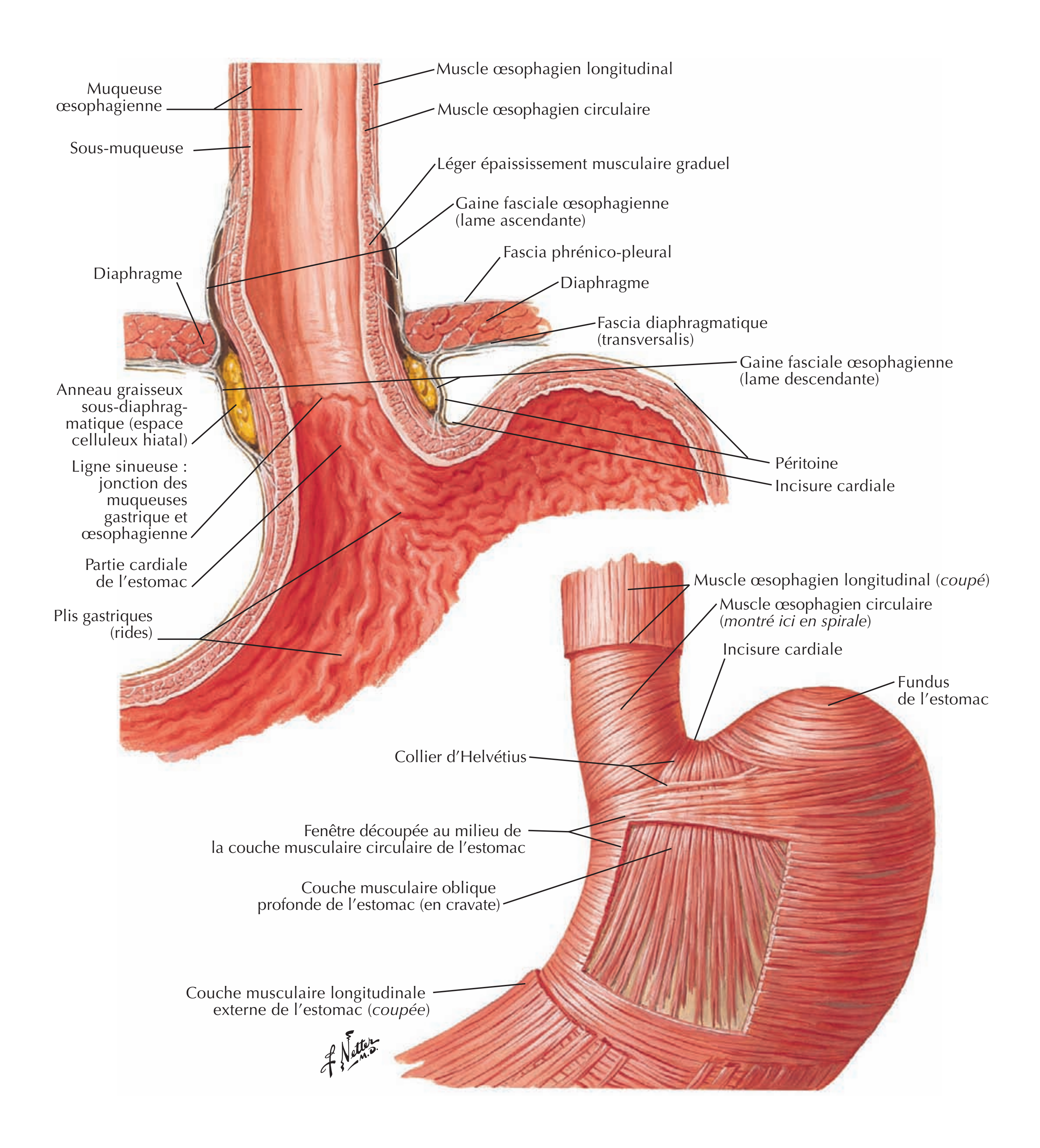
Jonction pharyngo-œsophagienne

Voir aussi **Planche 67**



Vue postérieure : pharynx ouvert avec ablation de la muqueuse

Jonction gastro-œsophagienne





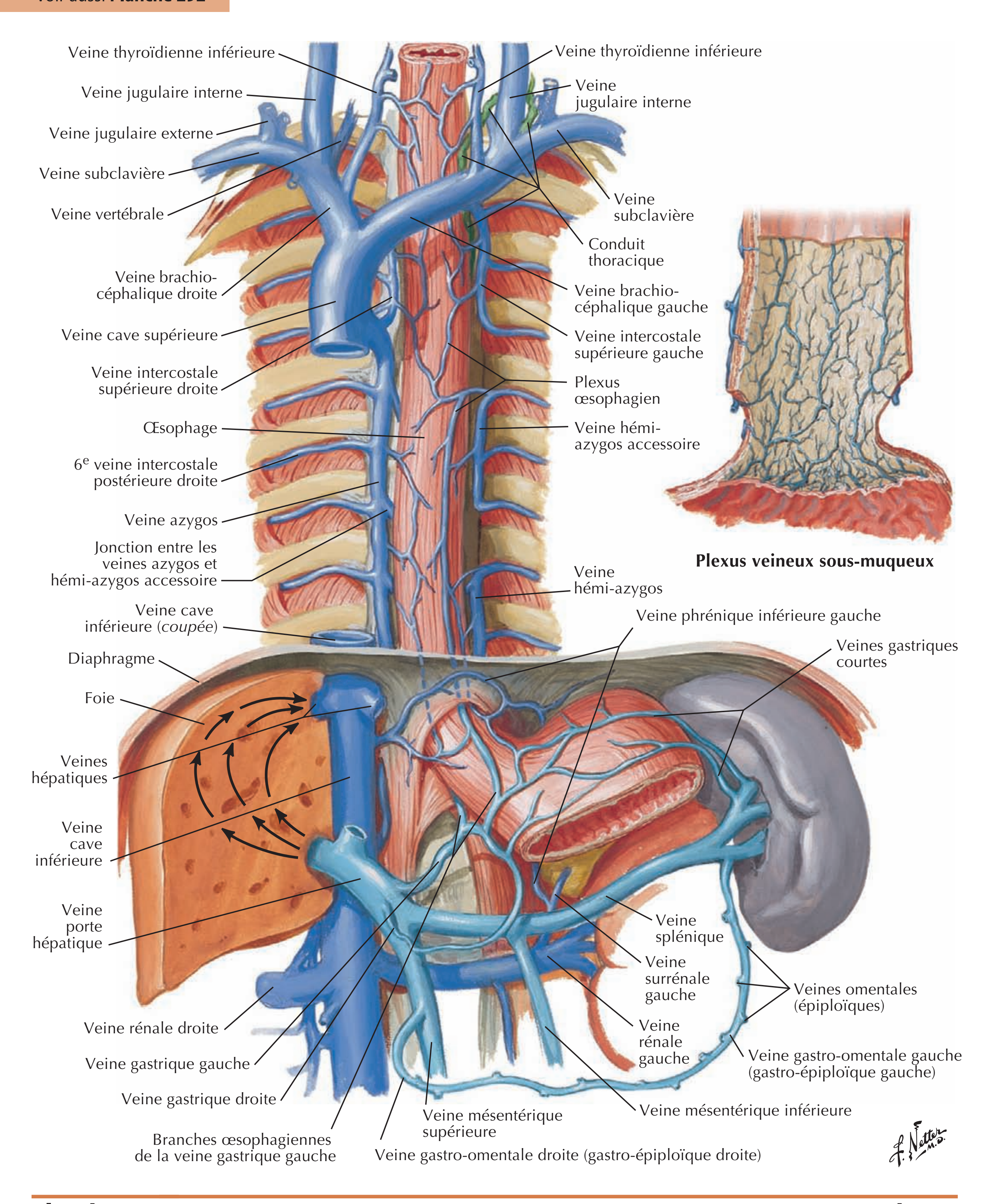
Artères de l'œsophage

Voir aussi **Planche 283**

Branche œsophagienne de
artère thyroïdienne inférieure
Artère carotide
commune
Artère
subclavière
Branche œsophagienne de
l'artère thyroïdienne inférieure
Partie cervicale de l'œsophage
Tronc thyro-cervical
Artère subclavière
Artère vertébrale
Artère thoracique interne
Artère carotide commune
Tronc brachio-céphalique
Trachée
Arc aortique
3e artère intercostale droite postérieure
Artère bronchique droite
Artère bronchique supérieure gauche
Branche œsophagienne de l'artère bronchique droite
Artère bronchique inférieure gauche
et sa branche œsophagienne
Aorte thoracique (descendante)
Branches œsophagiennes de l'aorte thoracique
Partie thoracique de l'œsophage
Partie abdominale de l'œsophage
Diaphragme
Estomac
Branche œsophagienne
de l'artère gastrique gauche
Artère gastrique gauche
Tronc cœliaque
Artères phréniques inférieures

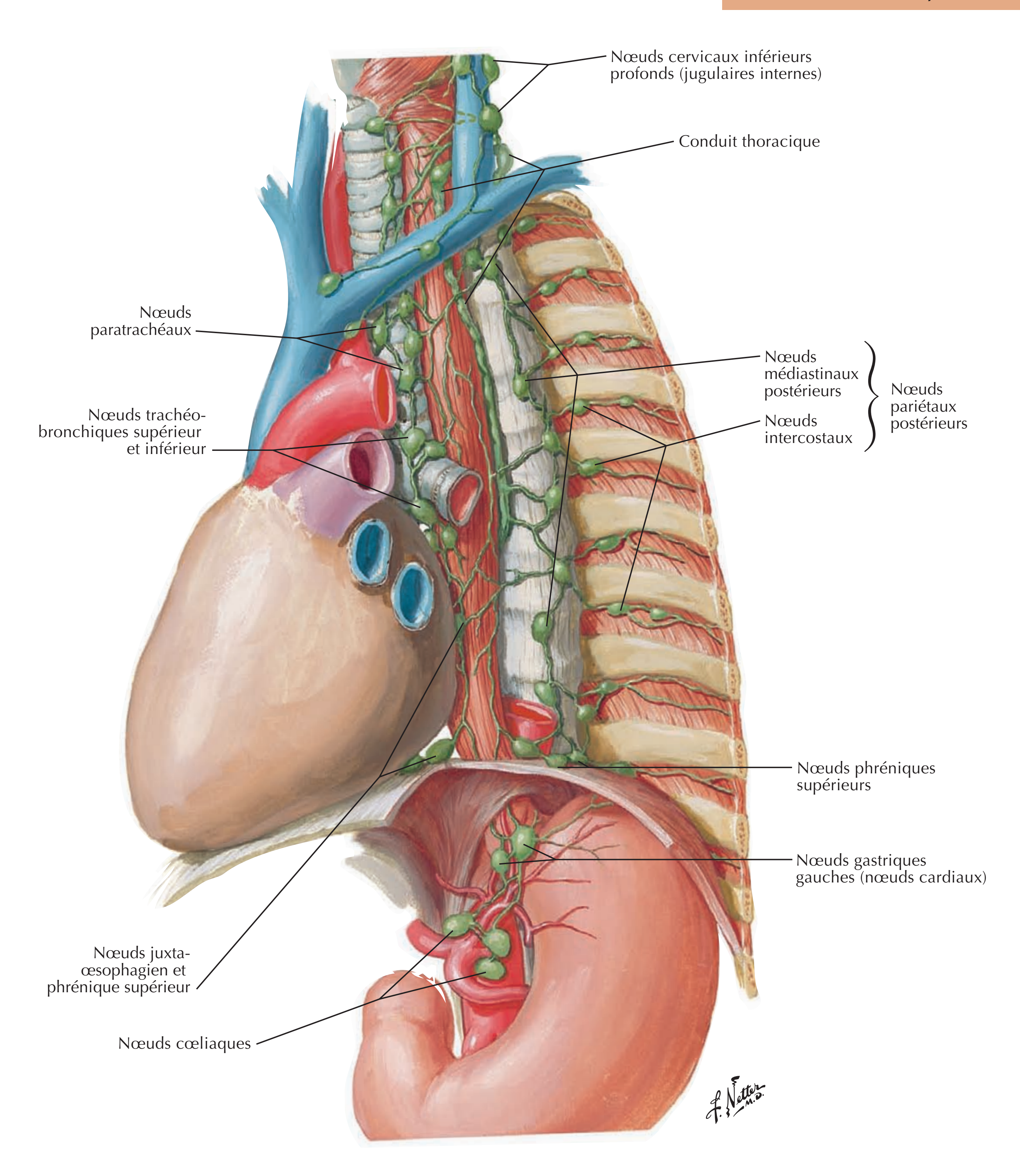
Veines de l'œsophage

Voir aussi **Planche 292**



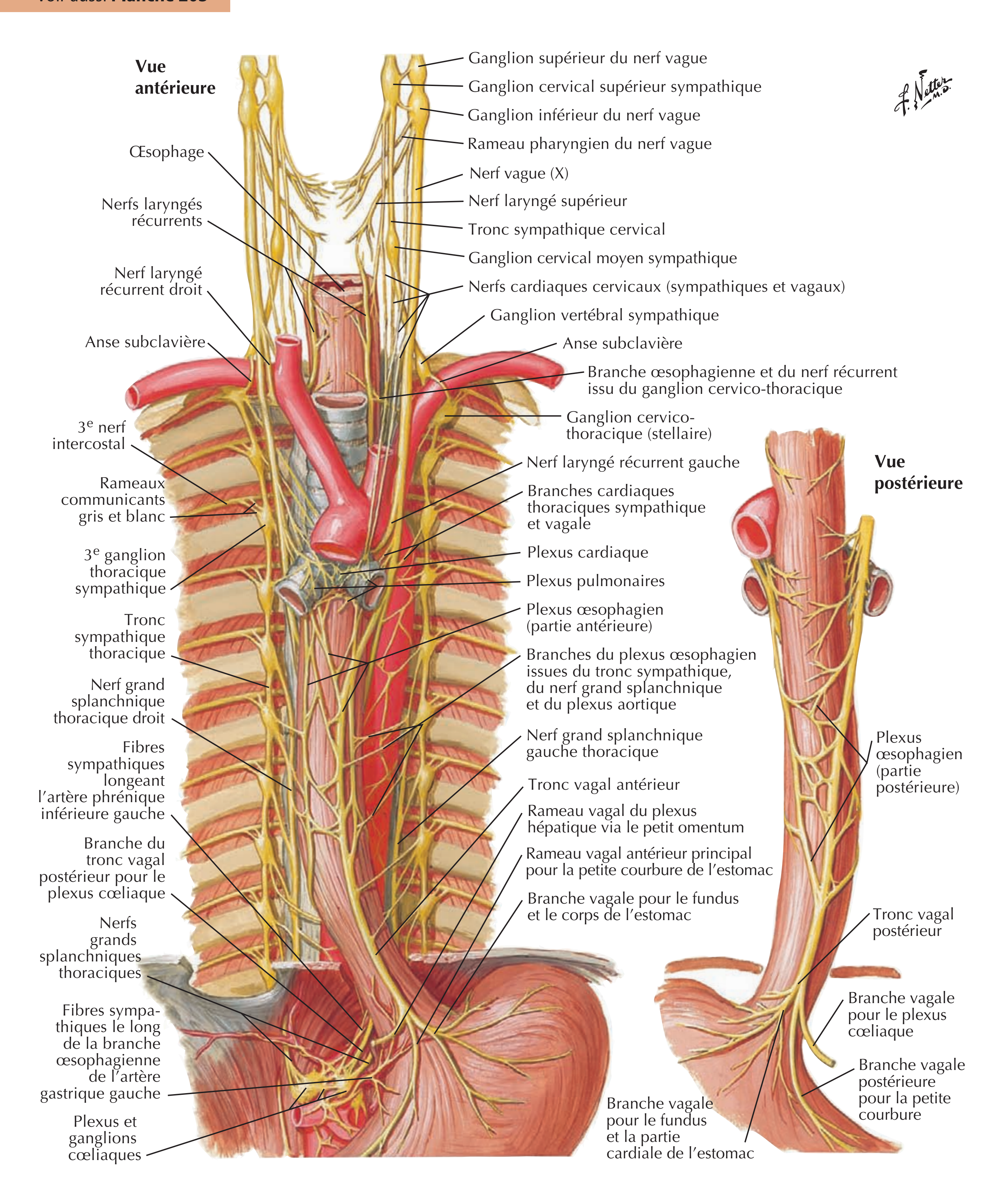
Vaisseaux et nœuds lymphatiques de l'œsophage

Voir aussi **Planches 202, 259**

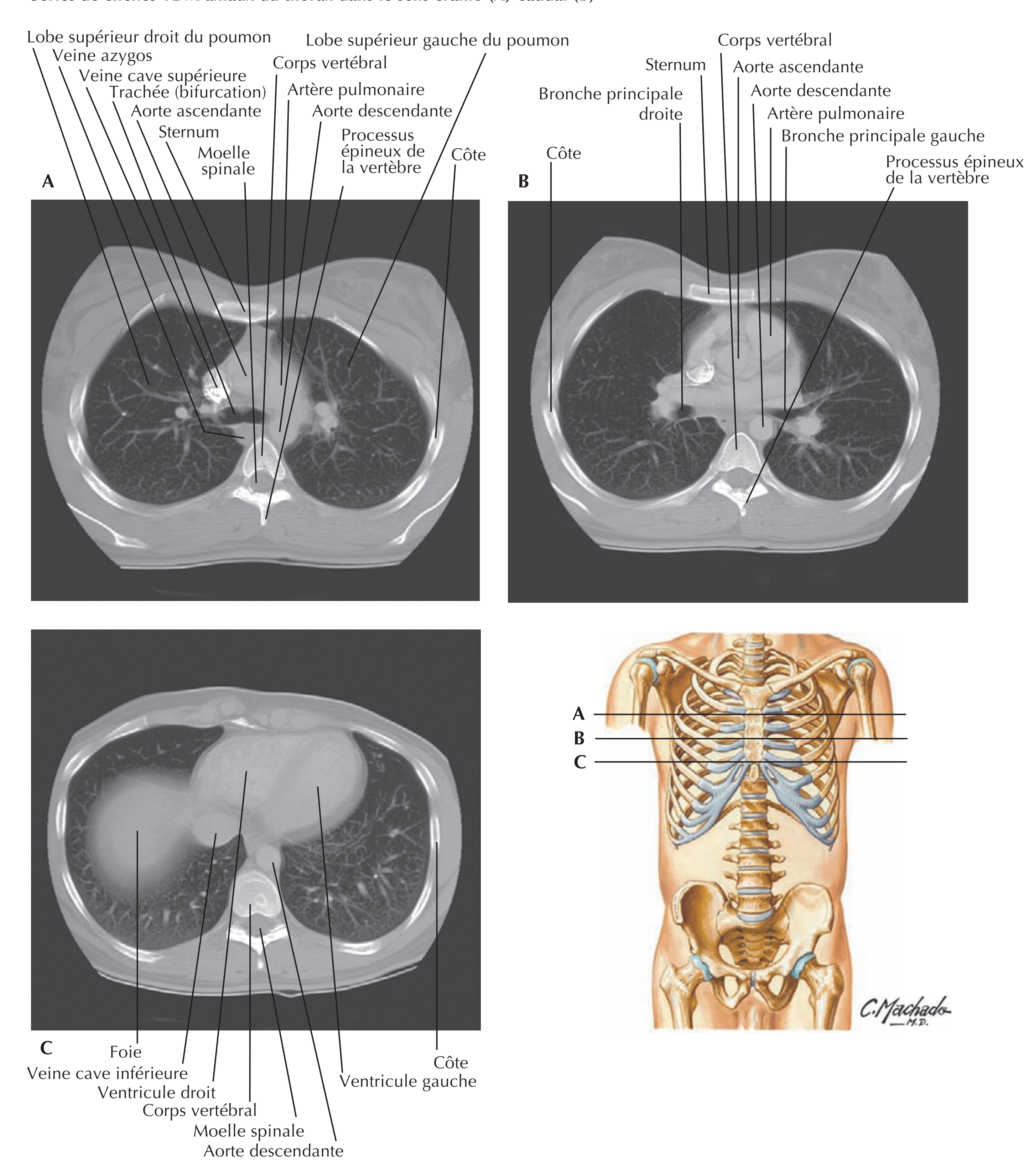


3 Nerfs de l'œsophage

Voir aussi **Planche 203**

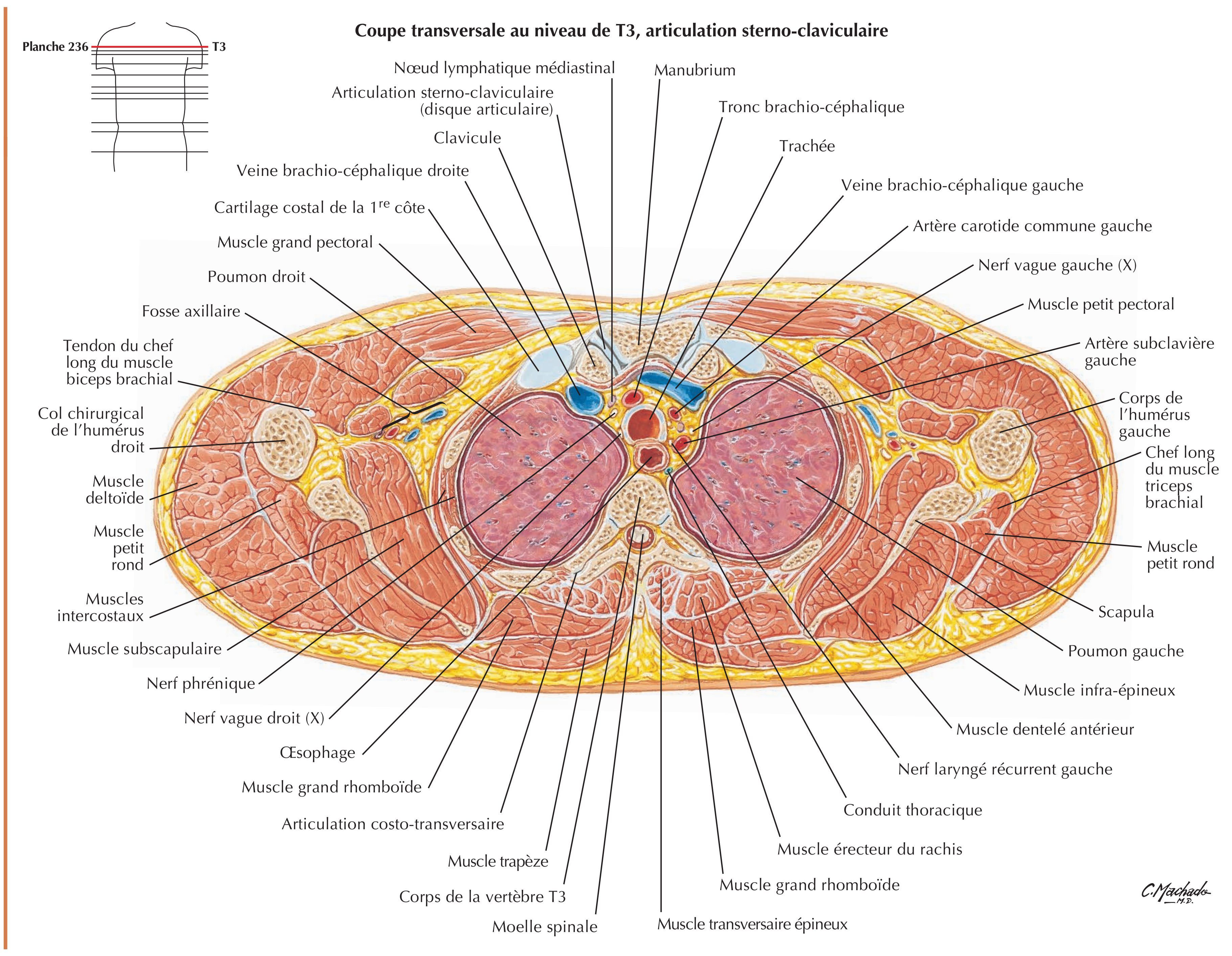


Séries de clichés TDM axiaux du thorax dans le sens cranio (A)-caudal (B)



Coupe transversale schématique du thorax au niveau T3

Coupe transversale au niveau de T3, articulation sterno-claviculaire





Coupe transversale schématique du thorax au niveau T3-T4

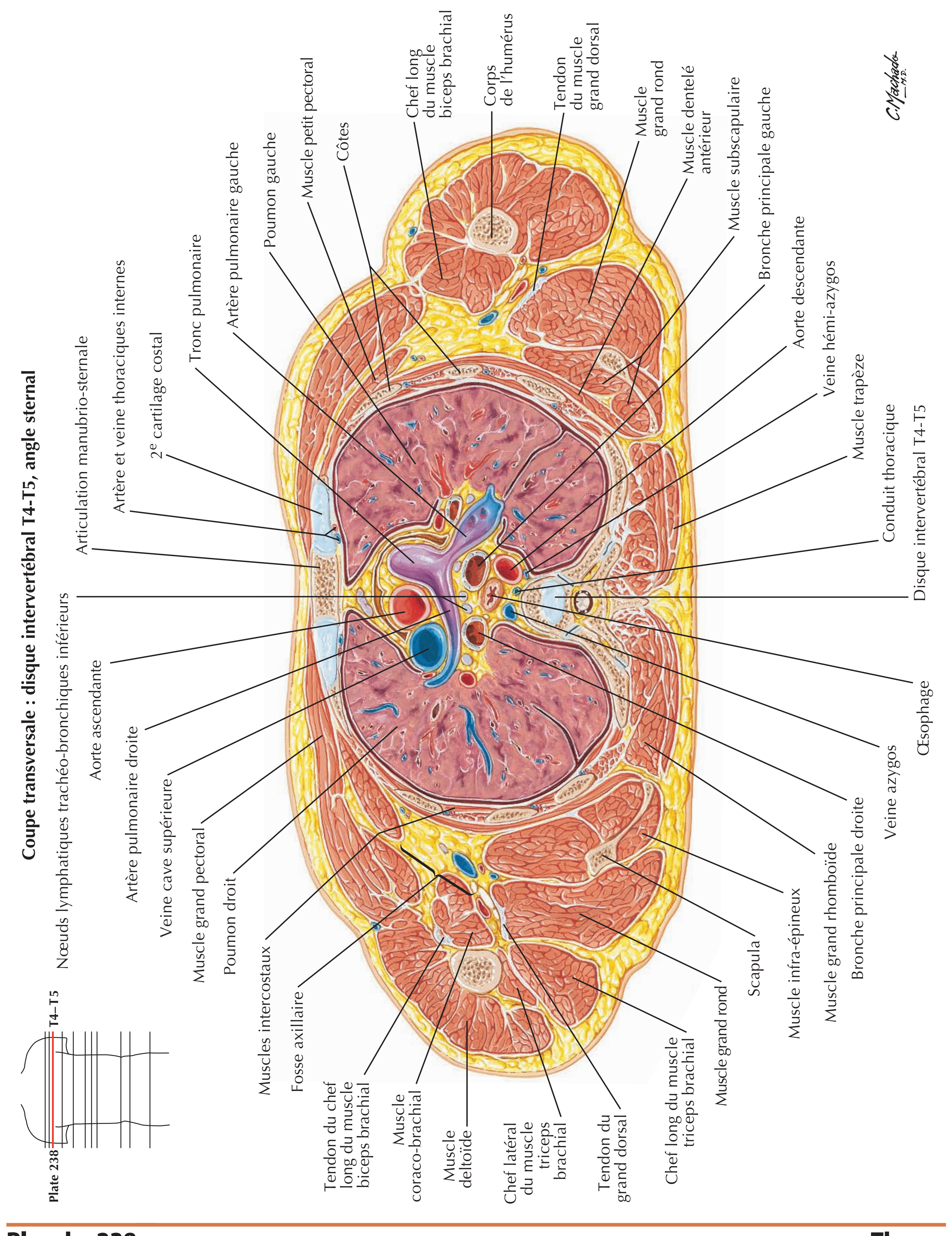
Coupe transversale : disque intervertébral T3-T4, manubrium

Nœud lymphatique trachéo-bronchique supérieur
Trachée
Thymus
Manubrium
Arc aortique
Artère et veine thoraciques internes
Poumon gauche
Côtes
Muscle grand pectoral
Muscle petit pectoral
Fosse axillaire
Fusion du chef court du biceps brachial et du muscle coraco-brachial
Tendon du chef long du muscle biceps brachial
Corps de l'humérus
Chef latéral du muscle biceps brachial
Chef long du muscle triceps brachial
Tendon du muscle grand dorsal gauche s'insérant sur l'humérus
Muscle grand rond
Muscle subscapulaire
Muscle petit rond
Scapula
Muscle infra-épineux
Fissure oblique (du poumon gauche)
Nerf vague gauche (X)
Nerf laryngé récurrent gauche
Moelle spinale
Muscle trapèze
Muscle rhomboïde
Disque intervertébral T3-T4
Conduit thoracique
Œsophage
Scapula
Muscle petit rond
Muscle grand rond
Chef long du muscle triceps brachial
Muscle deltoïde
Corps de l'humérus
Muscle grand dorsal
Tendon du chef long du muscle biceps brachial
Muscle dentelé antérieur
Muscles intercostaux
Poumon droit
Arc de la veine azygos
Nerf phrénique droit
Veine cave supérieure

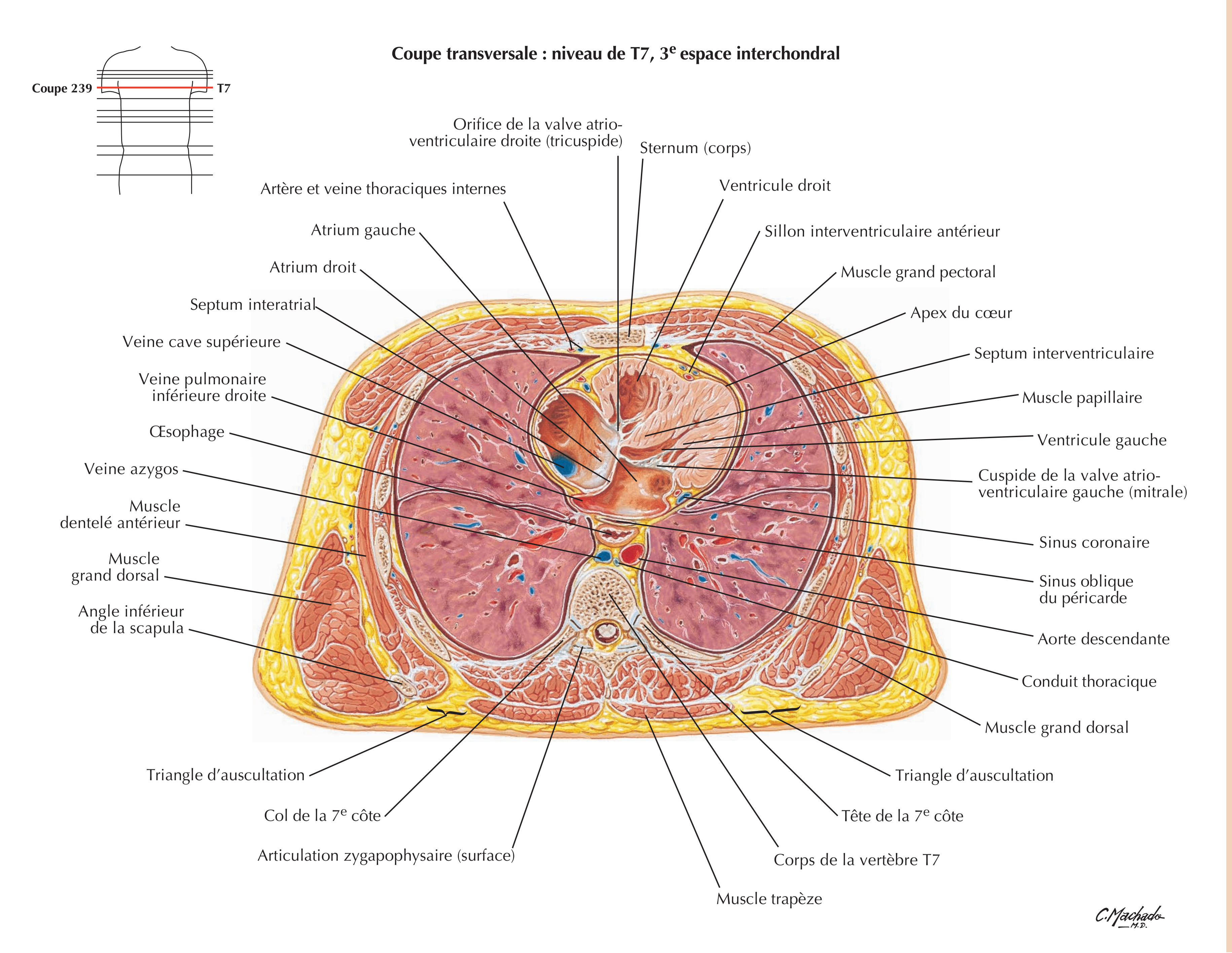
C. Machado M.D.

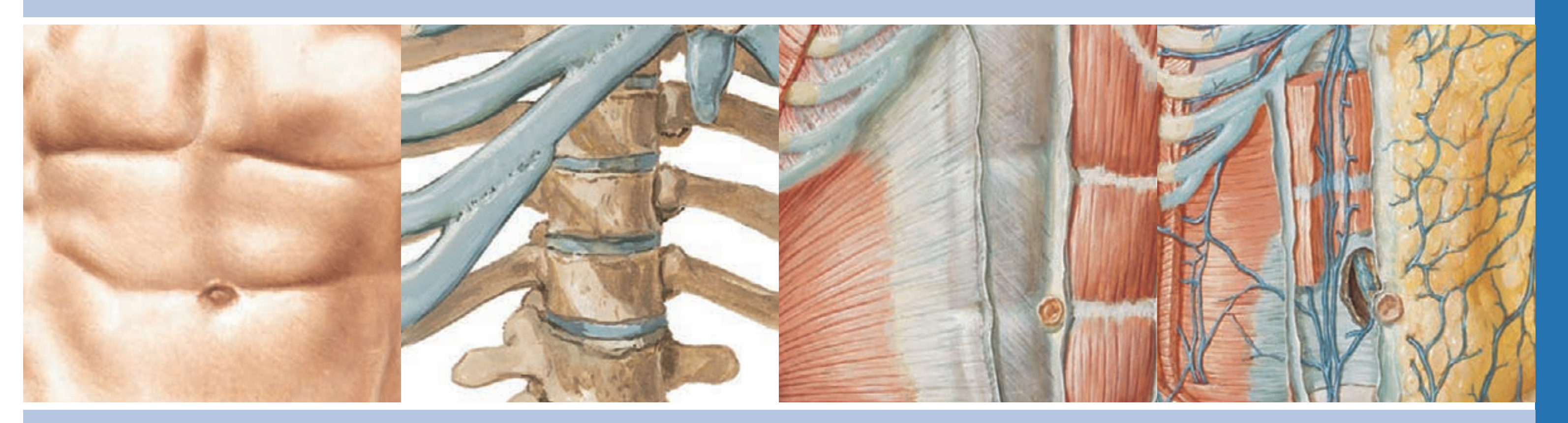
T3–T4
Planche 237

Coupe transversale schématique du thorax au niveau T4-T5



Coupe transversale schématique du thorax au niveau T7





Section 4 ABDOMEN

Anatomie de surface

Planche 240

Paroi du corps

Planches 241-260

4

ABDOMEN

Cavité péritonéale

Planches 261-266

Viscères (intestin)

Planches 267-276

Viscères (organes accessoires)

Planches 277-282

Vascularisation viscérale

Planches 283-296

Innervation

Planches 297-307

Reins et glandes surrénales

Planches 308-322

Coupes transversales

Planches 323-330

This page intentionally left blank



Pour les régions, voir **Planche 242**

Triangle deltopectoral

Corps du sternum

Processus xiphoïde

Muscle droit de l'abdomen

Épine iliaque antéro-supérieure

Veine circonflexe iliaque superficielle

Veines épigastriques superficielles

Symphyse pubienne

Muscle sterno-cléido-mastoïdien

Chef sternal

Chef claviculaire

Muscle trapèze

Muscle deltoïde

Muscle grand pectoral

Muscle dentelé antérieur

Intersection tendineuse

Muscle oblique externe

Ligne blanche

Ligne semi-lunaire

Ombilic

Crête iliaque

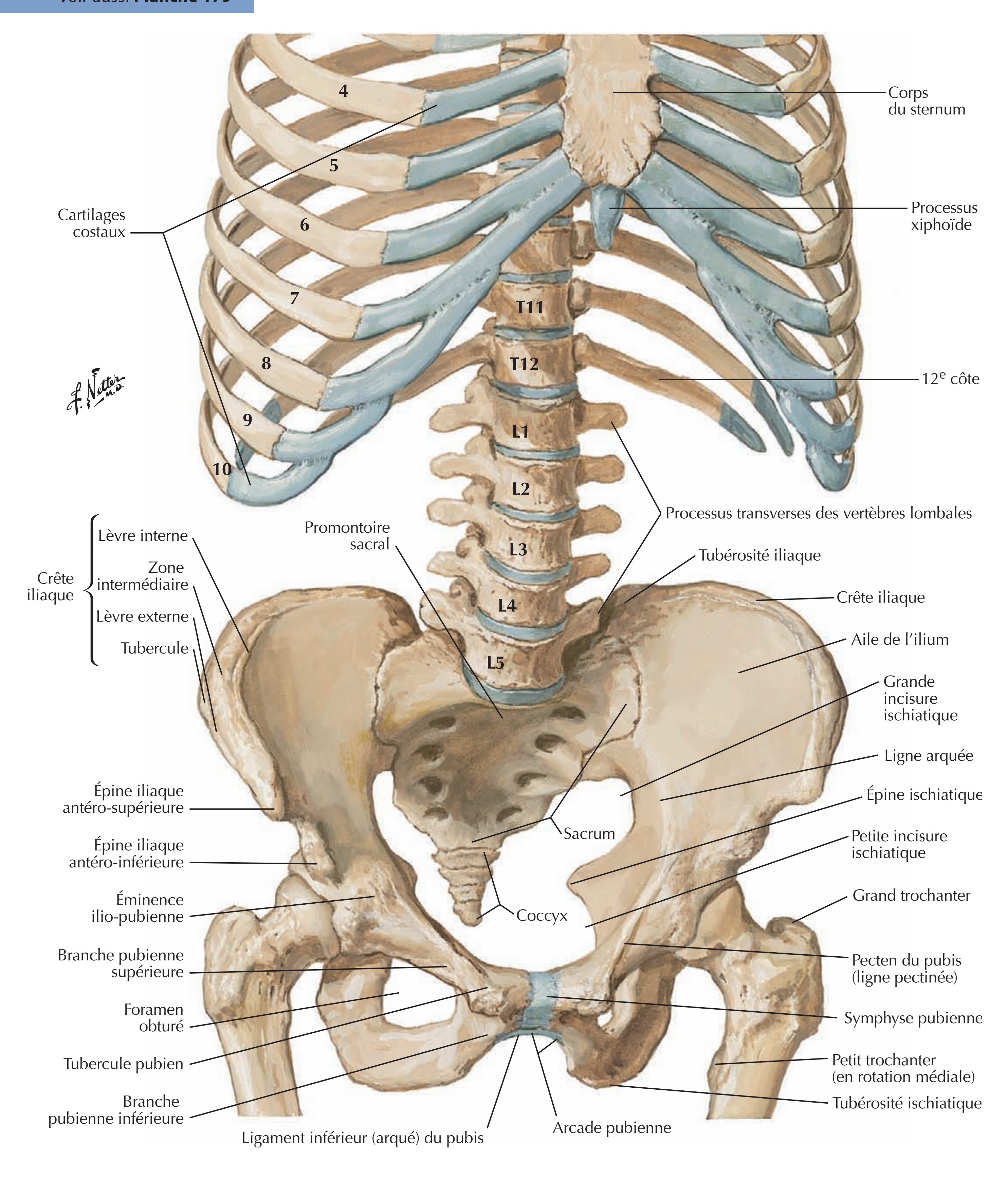
Ligament inguinal

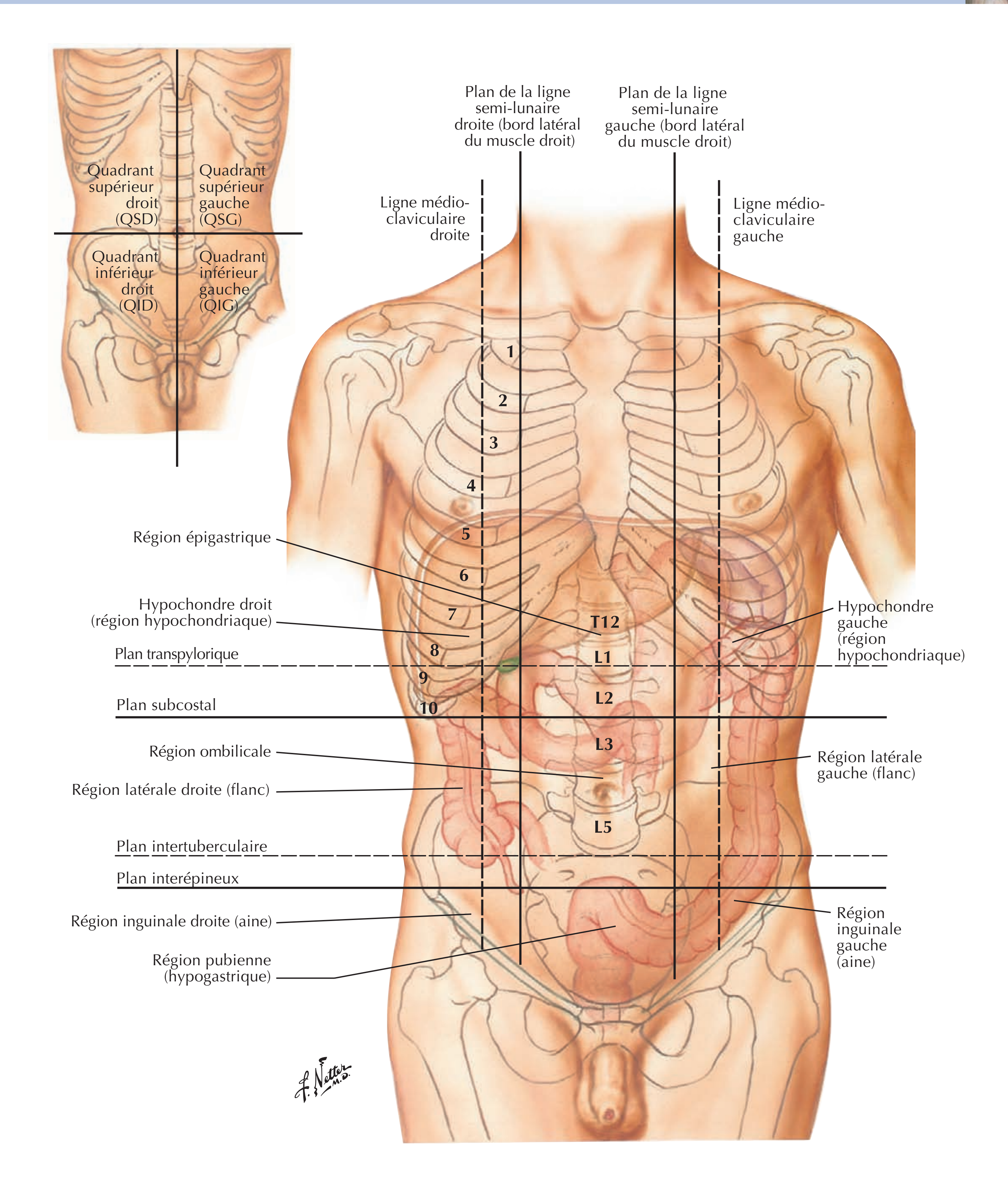
Tubercule pubien

C. Machado M.D.

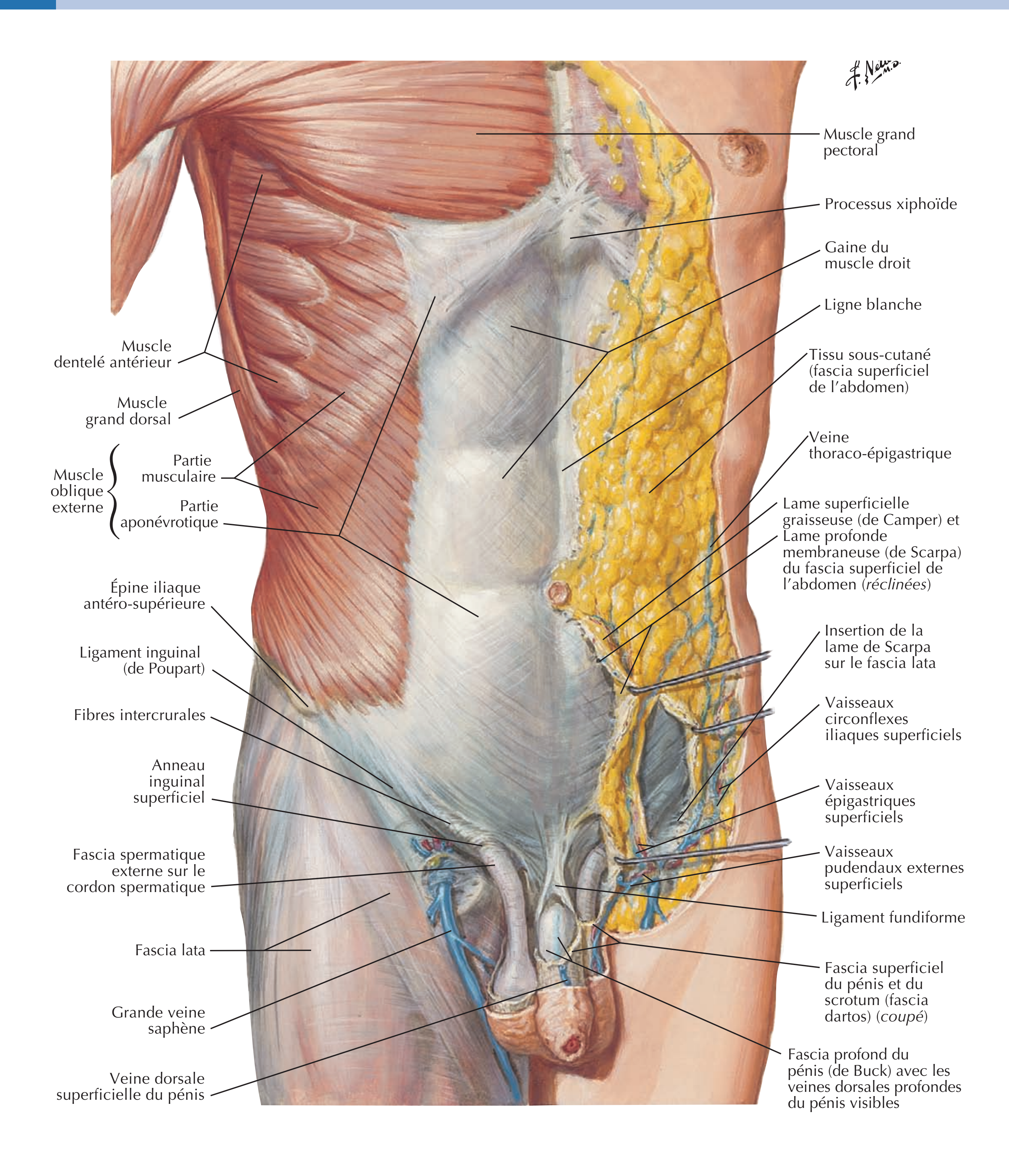
4 Squelette de l'abdomen

Voir aussi **Planche 179**




Quadrant supérieur droit (QSD)
Quadrant supérieur gauche (QSG)
Quadrant inférieur droit (QID)
Quadrant inférieur gauche (QIG)
Plan de la ligne semi-lunaire droite (bord latéral du muscle droit)
Plan de la ligne semi-lunaire gauche (bord latéral du muscle droit)
Ligne médio-claviculaire droite
Ligne médio-claviculaire gauche
1
2
3
4
5
6
7
8
9
10
T12
L1
L2
L3
L5
Région épigastrique
Hypochondre droit (région hypochondriaque)
Plan transpylorique
Plan subcostal
Région ombilicale
Région latérale droite (flanc)
Plan intertuberculaire
Plan interépineux
Région inguinale droite (aine)
Région pubienne (hypogastrique)
Hypochondre gauche (région hypochondriaque)
Région latérale gauche (flanc)
Région inguinale gauche (aine)
F. Netter M.D.

Paroi abdominale antérieure : dissection superficielle





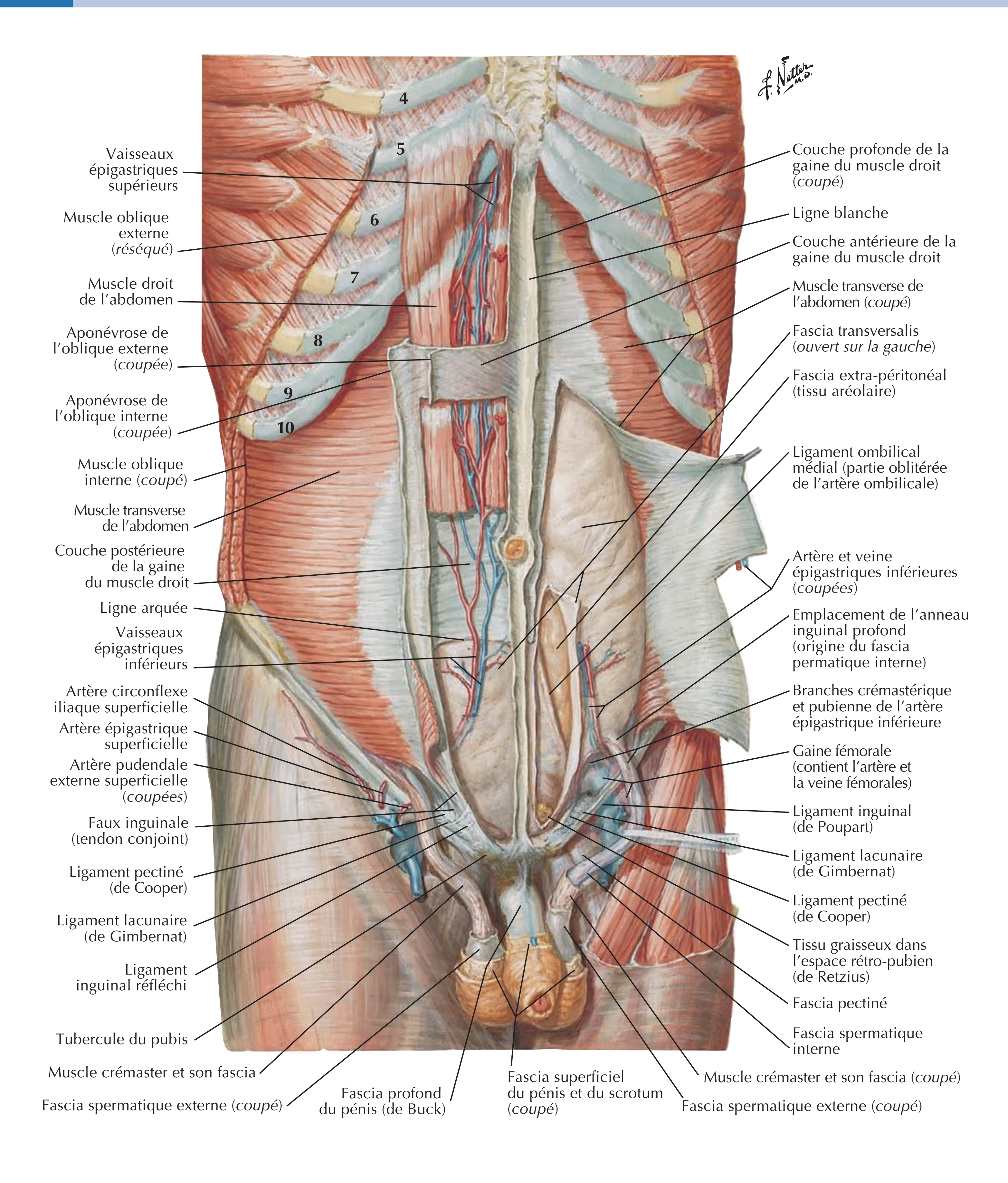


Paroi abdominale antérieure : dissection intermédiaire

Muscle grand dorsal
Muscle dentelé antérieur
Muscle oblique externe (*réséqué*)
Muscles intercostaux externes
6
7
8
9
10
Aponévrose de l'oblique externe (*coupé*)
Gaine du muscle droit
Muscle oblique interne
Épine iliaque antéro-supérieure
Ligament inguinal (de Poupart)
Muscle crémaster (origine latérale)
Faux inguinale (tendon conjoint)
Ligament inguinal réfléchi
Veine fémorale (dans la gaine fémorale)
Hiatus saphène
Muscle crémaster (origine médiale)
Fascia lata
Grande veine saphène

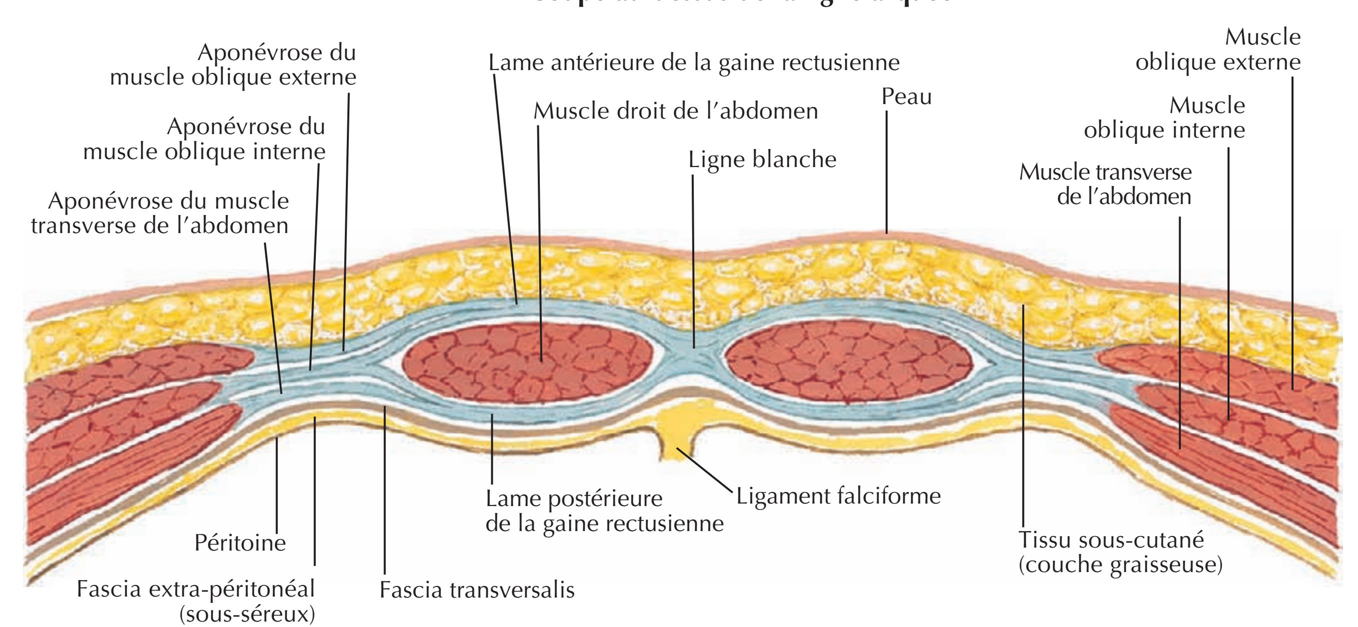
Muscles grands pectoraux
Lame antérieure de la gaine du muscle droit (*coupée*)
Ligne blanche
Muscle droit de l'abdomen
Muscle oblique externe (*coupé*)
Intersection tendineuse
Muscle oblique interne
Muscle pyramidal
Faux inguinale (tendon conjoint)
Fascia oblique externe (*coupé et rabattu*)
Ligament pectiné (de Cooper)
Ligament inguinal réfléchi
Ligament lacunaire (de Gimbernat)
Tubercule pubien
Ligament suspenseur du pénis
Muscles crémasters et fascia crémastérique
Fascia profond du pénis (de Buck)
Fascia spermatique externe (*coupé*)
Fascia superficiel du pénis et du scrotum (*coupé*)

Paroi abdominale antérieure : dissection profonde





Coupe au-dessus de la ligne arquée



L'aponévrose du muscle oblique interne se dédouble pour former les lames antérieure et postérieure de la gaine rectusienne. L'aponévrose du muscle oblique externe adhère à la lame antérieure de la gaine rectusienne ; l'aponévrose du muscle transverse de l'abdomen adhère à la lame postérieure des lames antérieure et postérieure de la gaine rectusienne qui s'unissent médialement pour former la ligne blanche.

Coupe sous la ligne arquée

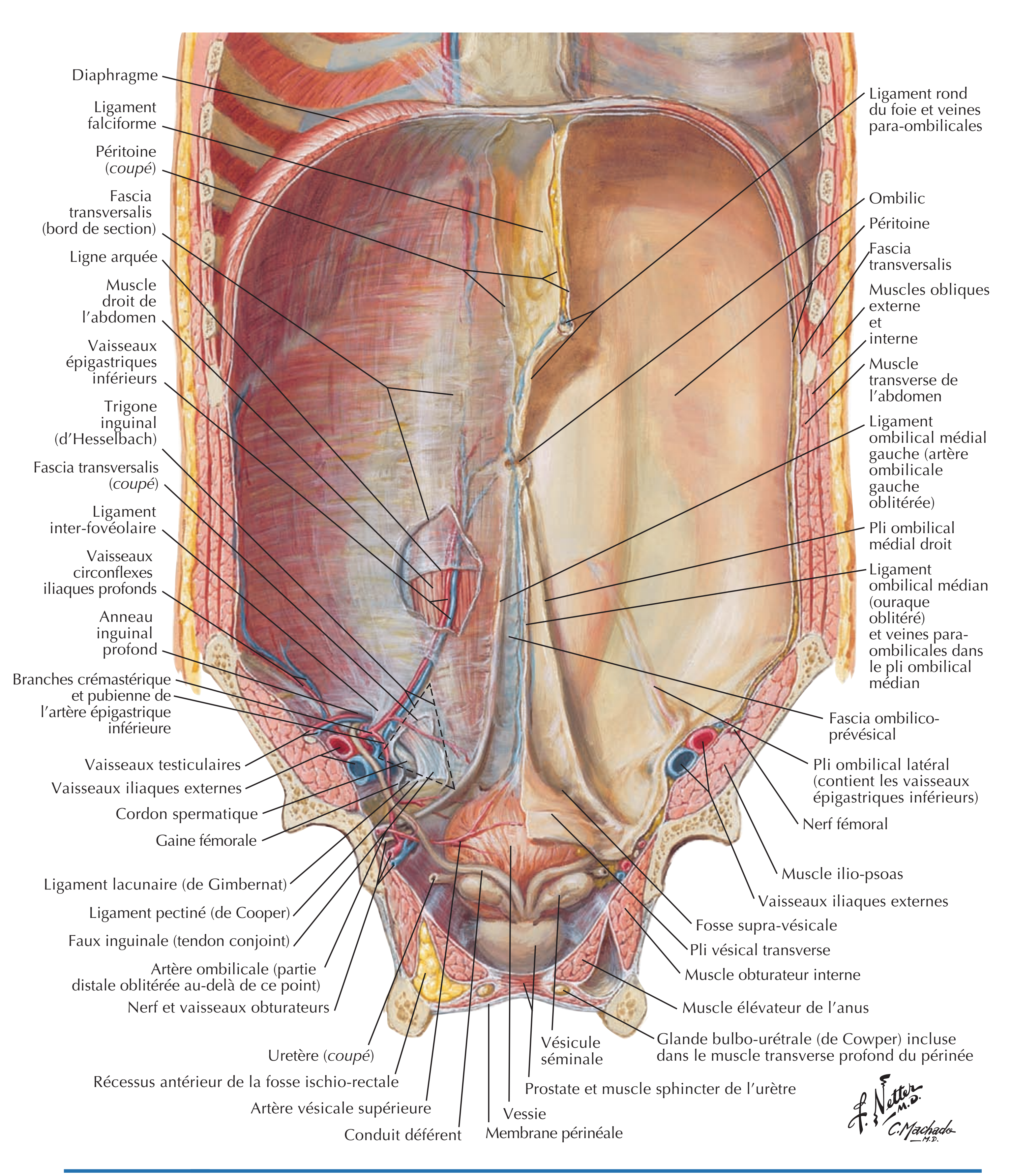
Aponévrose du muscle oblique externe
Aponévrose du muscle oblique interne
Aponévrose du muscle transverse de l'abdomen
Couche antérieure de la gaine rectusienne
Muscle droit de l'abdomen
Peau
Muscle oblique externe
Muscle oblique interne
Muscle transverse de l'abdomen
Fascia transversalis
Péritoine
Fascia extra-péritonéal (sous-séreux)
Ligament ombilical médian (ouraque oblitéré) dans le pli ombilical médian
Ligament et pli ombilicaux médiaux
Tissu sous-cutané (couches graisseuse et membraneuse)

L'aponévrose du muscle oblique interne ne se dédouble pas à ce niveau, mais passe complètement en avant du muscle droit de l'abdomen et s'accole ici aux aponévroses des muscles oblique externe et transverse de l'abdomen ; ainsi, la lame postérieure de la gaine rectusienne est absente sous la ligne arquée et le muscle droit de l'abdomen est recouvert du fascia transversalis.



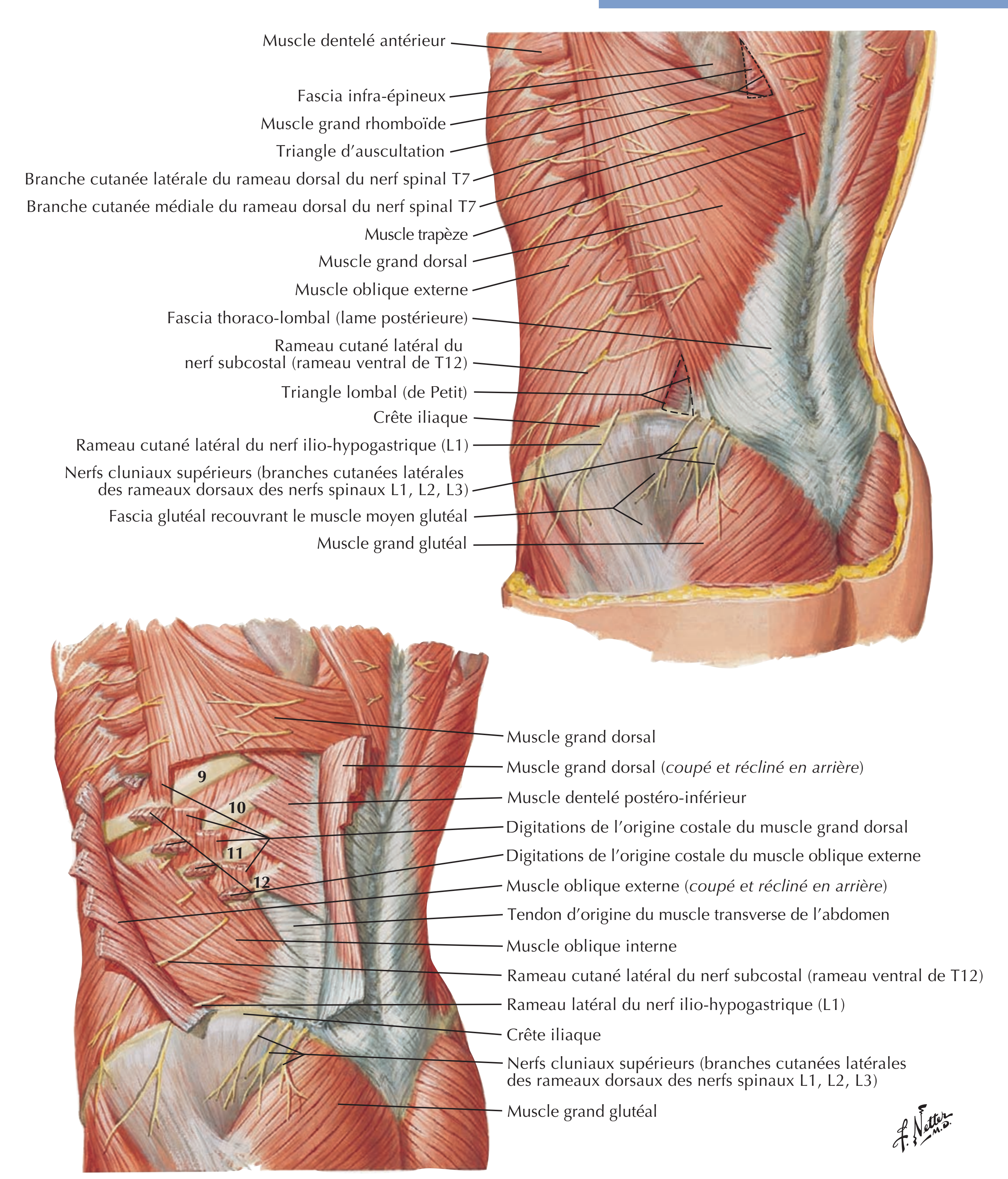
Paroi abdominale antérieure : vue interne

Pour les vaisseaux ombilicaux, voir **Planche 223**

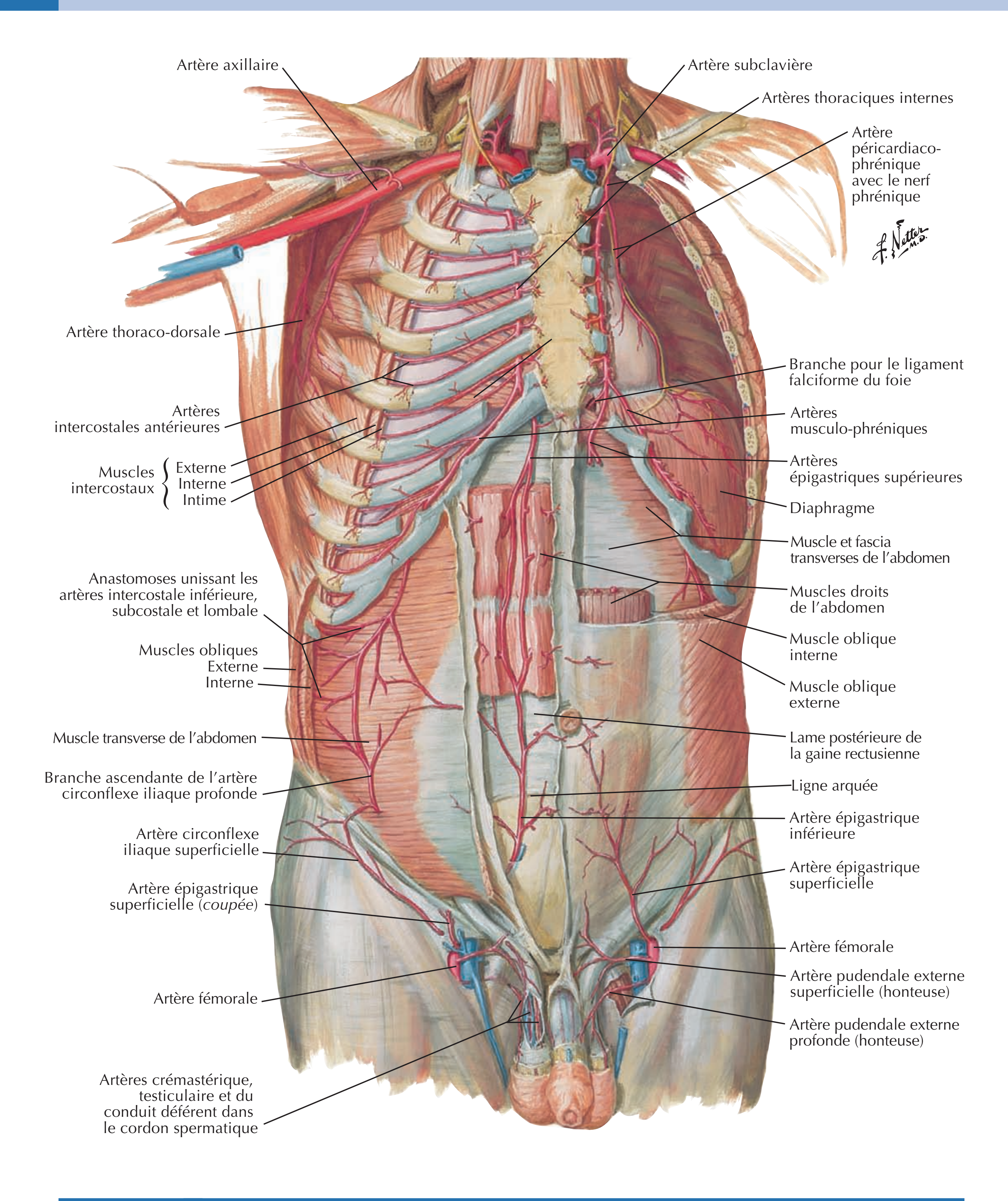


Paroi abdominale postéro-latérale

Voir aussi **Planches 168, 171, 173 ,174, 252**



Artères de la paroi abdominale antérieure





Veines de la paroi abdominale antérieure

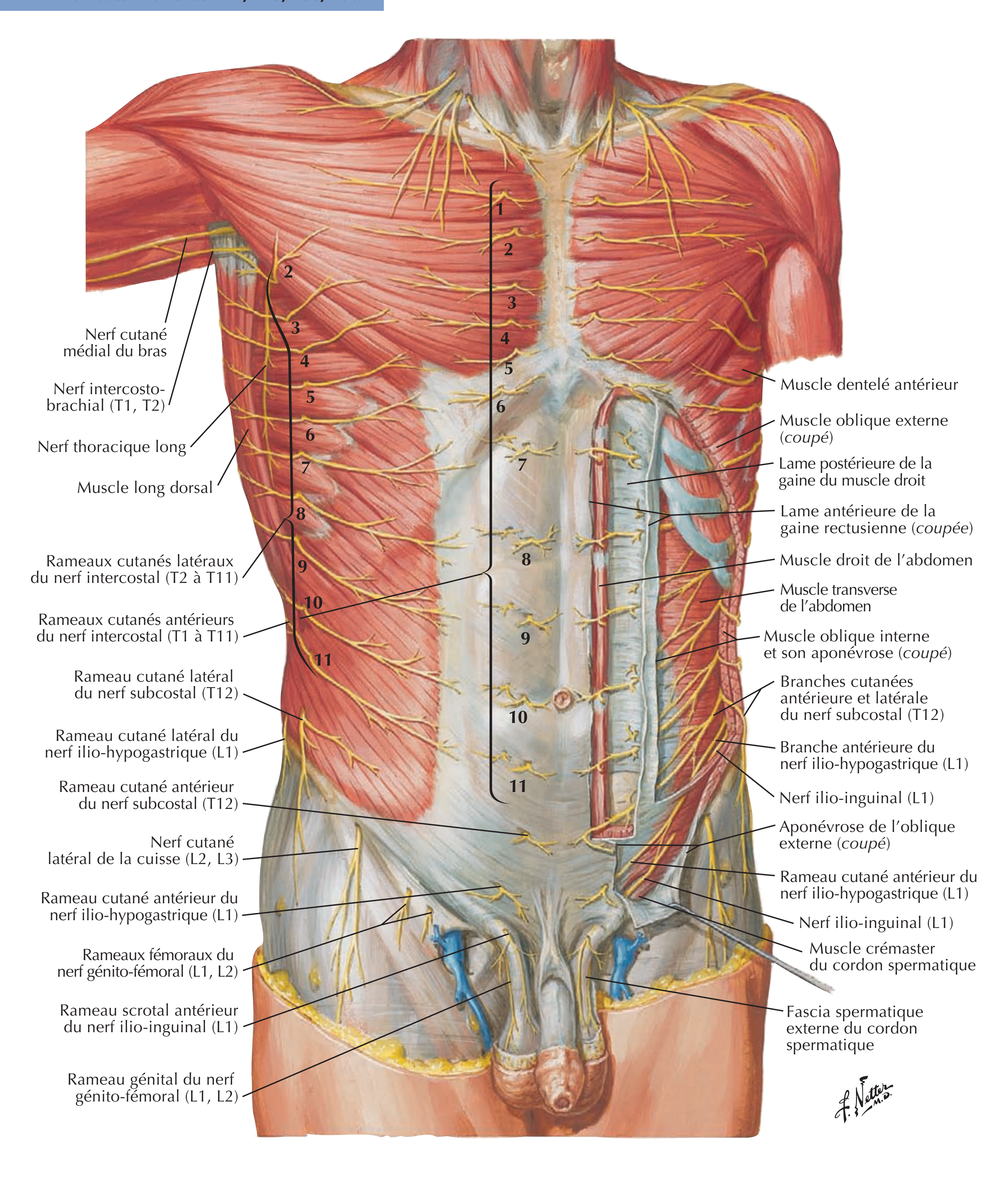
Veine subclavière
Veine axillaire
Veine céphalique
Anastomoses de la veine axillaire avec les veines intercostales
Veine thoracique latérale
Veines intercostales antérieures
Veine thoracique interne
Veine musculo-phrénique
Veines épigastriques supérieures
Veine thoraco-épigastrique
Veines para-ombilicales dans le ligament rond du foie
Veines épigastriques inférieures
Anastomoses issues des veines circonflexes profondes
Veine thoraco-épigastrique (*coupée*)
Veine circonflexe iliaque superficielle
Veine épigastrique superficielle
Veine pudendale externe (honteuse)
Hiatus saphène
Veine fémorale
Grande veine saphène
Plexus (veineux) pampiniforme
Veine dorsale superficielle du pénis

Veine céphalique
Veine axillaire
Veine thoracique latérale
Plexus veineux aréolaire
Rameaux perforants de la veine thoracique interne
Veine thoraco-épigastrique
Affluents des veines para-ombilicales
Veine thoraco-épigastrique
Veine épigastrique superficielle
Veine circonflexe iliaque superficielle
Veine pudendale externe (honteuse)
Fascia criblé recouvrant le hiatus saphène
Grande veine saphène
Veines scrotales antérieures

F. Netter M.D.

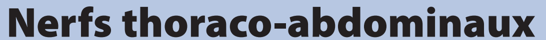
4 Nerfs de la paroi abdominale antérieure

Voir aussi **Planches 171, 248, 260, 486**





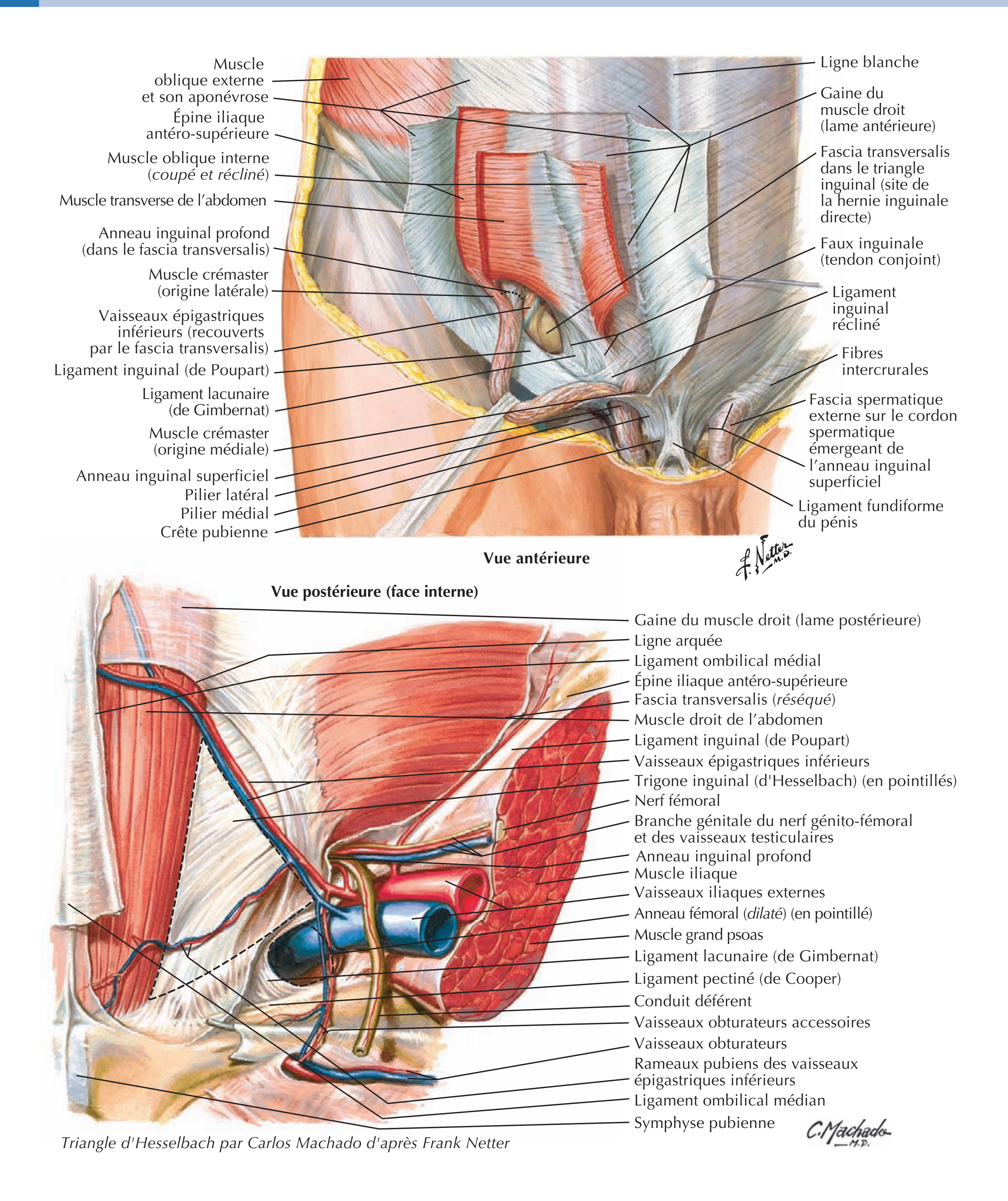
Nerfs thoraco-abdominaux


Voir aussi **Planches 174, 185**

Tronc du nerf spinal
Rameau méningé
Ganglion spinal sensitif (racine dorsale)
Racine dorsale
Racine ventrale
Muscle érecteur du rachis
Branche médiale,
Branche latérale du
Rameau dorsal (postérieur)
Rameau ventral (antérieur) du nerf spinal (nerf intercostal)
Branche collatérale
Muscle intercostal externe
Muscle intercostal interne
Muscle intercostal intime
Muscle grand dorsal
Muscles subcostaux
Muscle dentelé antérieur
Rameau cutané latéral
Fenêtre découpée dans le muscle intercostal intime
Rameau communicant
Muscle intercostal interne
Membranes intercostales internes en avant des muscles intercostaux externes
Branche collatérale du nerf intercostal
Nerfs grand et petit splanchniques thoraciques
Tronc sympathique
Rameaux communicants gris et blancs
Muscle transverse de l'abdomen
Muscle droit de l'abdomen
Ligne blanche
Muscle intercostal intime
Muscle intercostal interne
Muscle intercostal externe
Membrane intercostale externe
Muscle oblique externe
Rameau cutané antérieur

F. Netter M.D.

Région inguinale : dissections



Triangle d'Hesselbach par Carlos Machado d'après Frank Netter

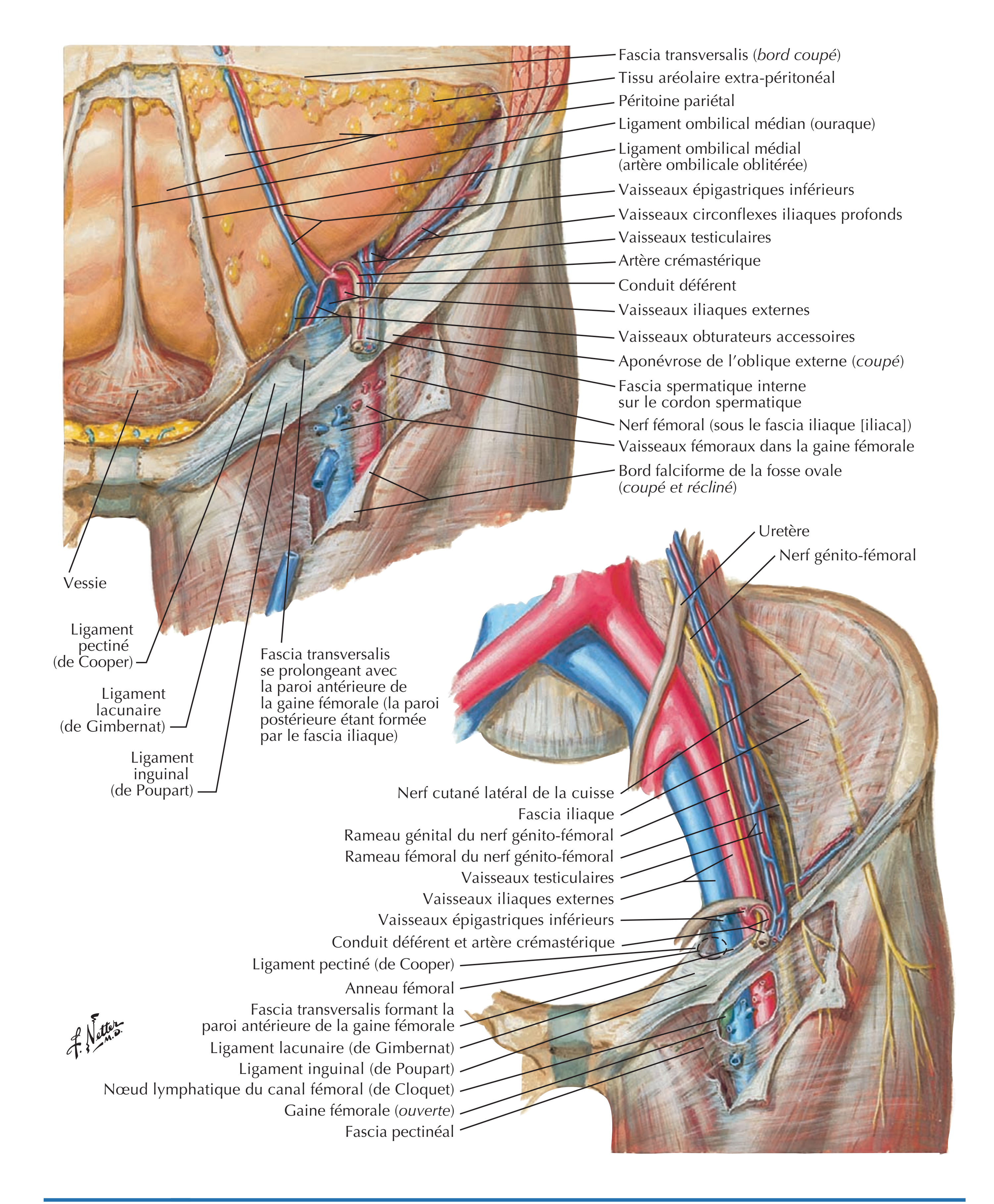


Canal inguinal et cordon spermatique

Vaisseaux testiculaires recouverts du péritoine
Vaisseaux testiculaires et rameau génital du nerf génito-fémoral
Conduit déférent
Vaisseaux crémastériques
Vaisseaux iliaques externes recouverts du péritoine
Conduit déférent recouvert du péritoine
Vaisseaux épigastriques inférieurs
Ligament ombilical médial (partie oblitérée de l'artère ombilicale)
Fascia ombilico-prévésical
Vessie
Muscle droit de l'abdomen
Muscle pyramidal
Ligament ombilical médian (ouraque)
Anneau inguinal superficiel
Symphyse pubienne (recouverte par des fibres croisées de l'aponévrose du muscle oblique externe)
Tubercule pubien
Fascia spermatique externe recouvrant le cordon spermatique
Faux inguinale (tendon conjoint)
Fibres intercrurales
Ligament inguinal (de Poupart)
Muscle crémaster et fascia crémastérique sur le cordon spermatique
Vaisseaux fémoraux
Cordon spermatique
Nerf ilio-inguinal
Origine du fascia spermatique interne issu du fascia transversalis au niveau de l'anneau inguinal profond
Épine iliaque antéro-supérieure
Péritoine
Fascia extra-péritonéal (tissu conjonctif lâche)
Fascia transversalis
Muscle transverse de l'abdomen
Muscle oblique interne
Muscle oblique externe

F. Netter M.D.

Hernie inguinale indirecte





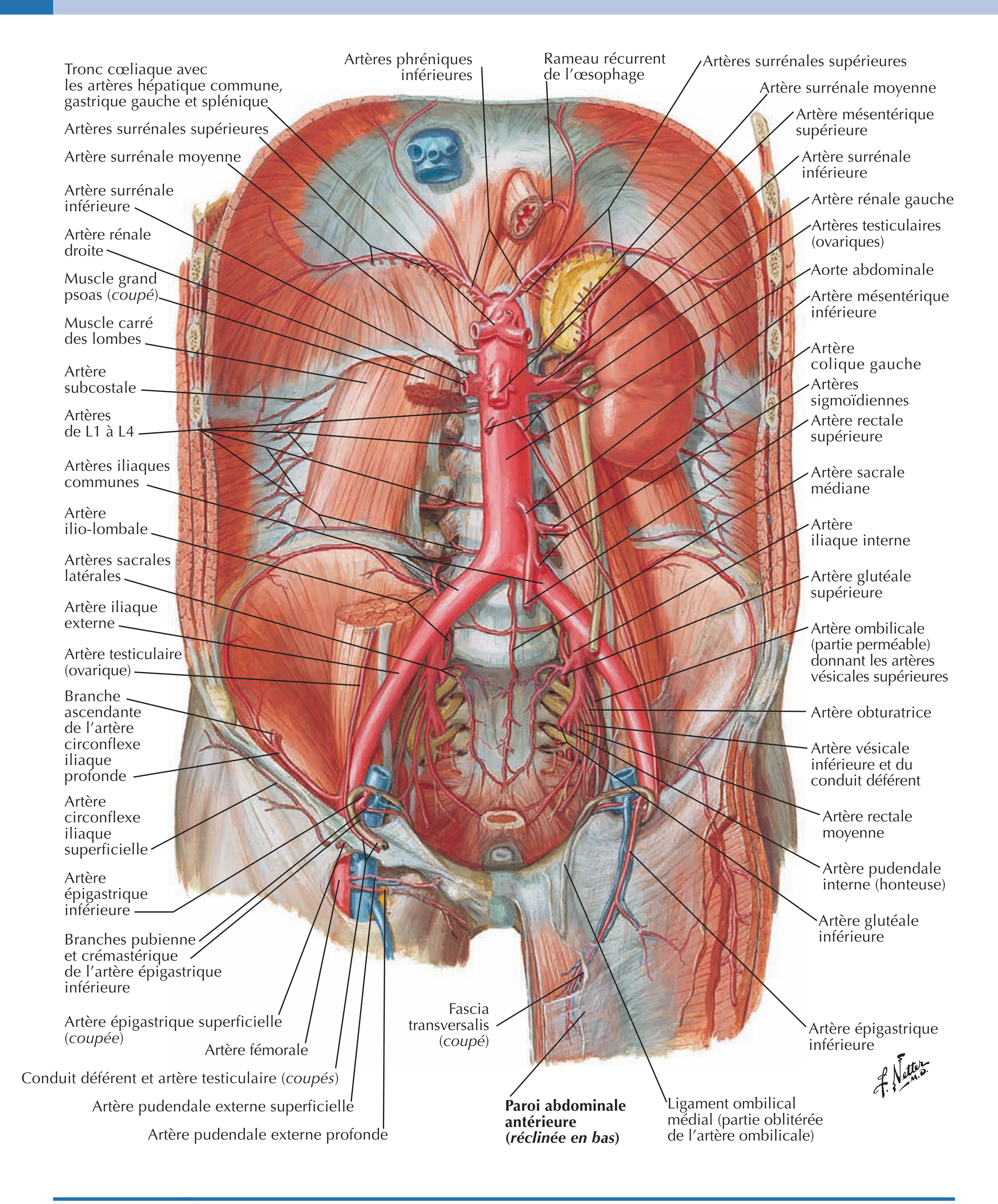
Gaine fémorale et canal inguinal

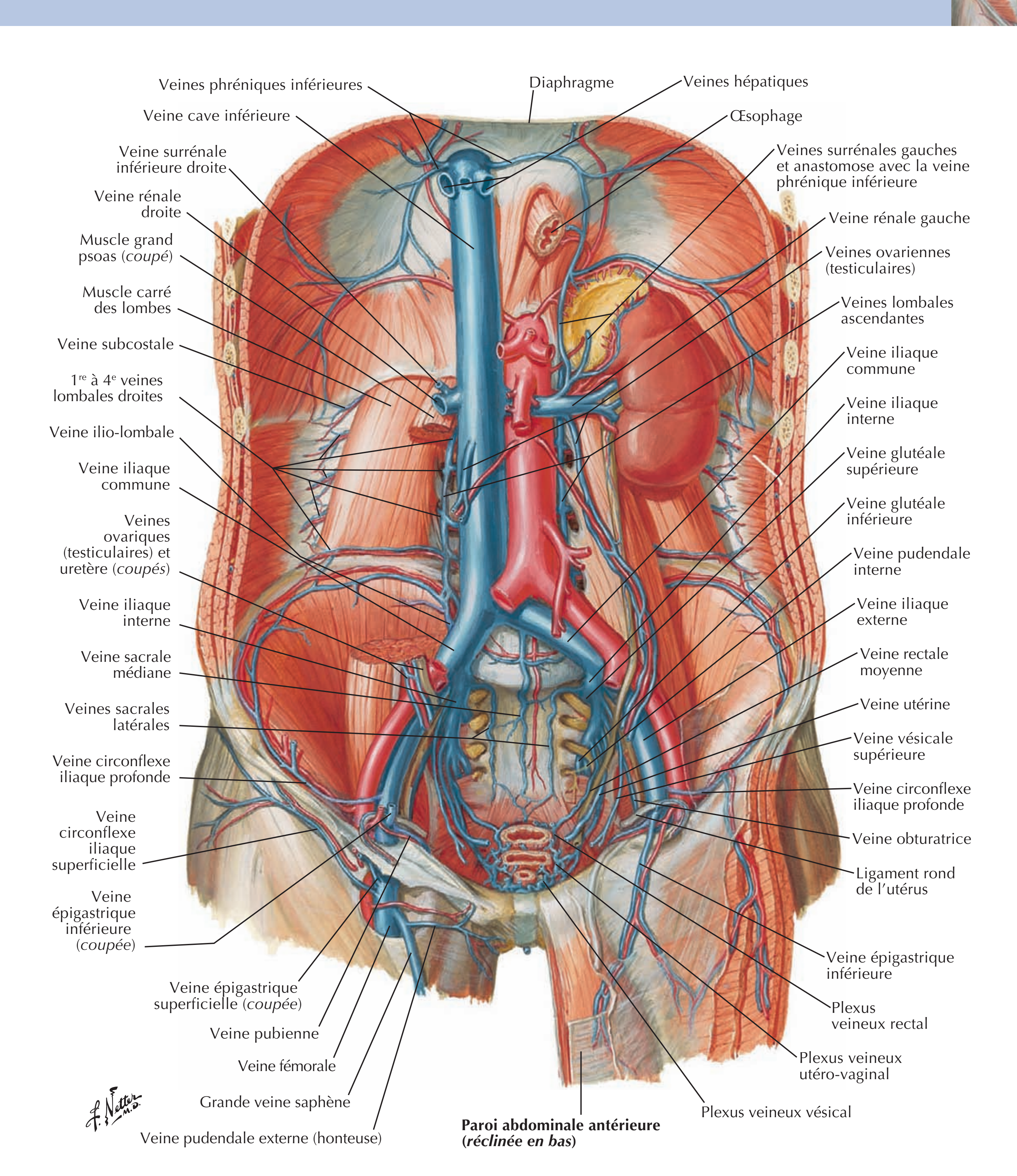


Pour le diaphragme, voir aussi **Planche 189**

Hiatus de la veine cave inférieure
Diaphragme
Centre tendineux du diaphragme
Œsophage et nerfs vagues
Pilier droit du diaphragme
Pilier gauche du diaphragme
Ligament arqué médian
Aorte et conduit thoracique
Nerfs grand, petit et imus splanchniques thoraciques
Trigone vertébro-costal (lombo-costal)
Ligament arqué médial
Ligament arqué latéral
Tronc sympathique
Muscle carré des lombes
Muscle petit psoas
Muscle grand psoas
Muscle transverse de l'abdomen
Muscle oblique interne
Muscle oblique externe
Muscle iliaque
Muscle piriforme
Épine iliaque antéro-supérieure
Muscle coccygien (ischio-coccygien)
Épine ischiatique
Ligament inguinal (de Poupart)
Muscle obturateur interne
Muscle recto-coccygien
Arcade tendineuse du muscle élévateur de l'anus
Lacune vasculaire (pour les vaisseaux fémoraux)
Ligament pectiné (de Cooper)
Ligament lacunaire (de Gimbernat)
Muscle élévateur de l'anus
Petit trochanter
Symphyse pubienne
Membrane périnéale
Urètre
Rectum
Tubercule pubien
Épine iliaque antéro-inférieure
L1
L2
L3
L4
L5
F. Netter M.D.

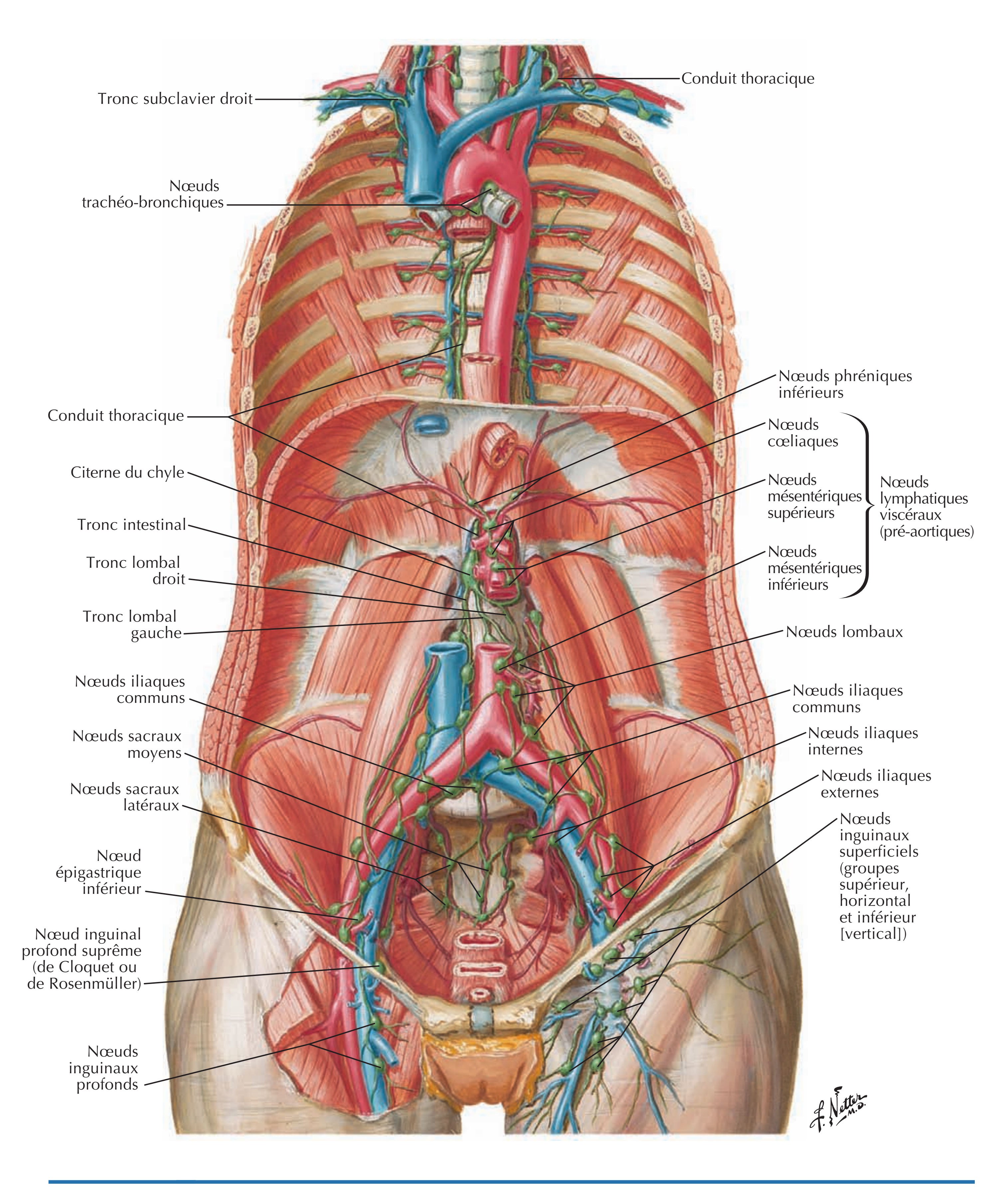
Artères de la paroi abdominale postérieure

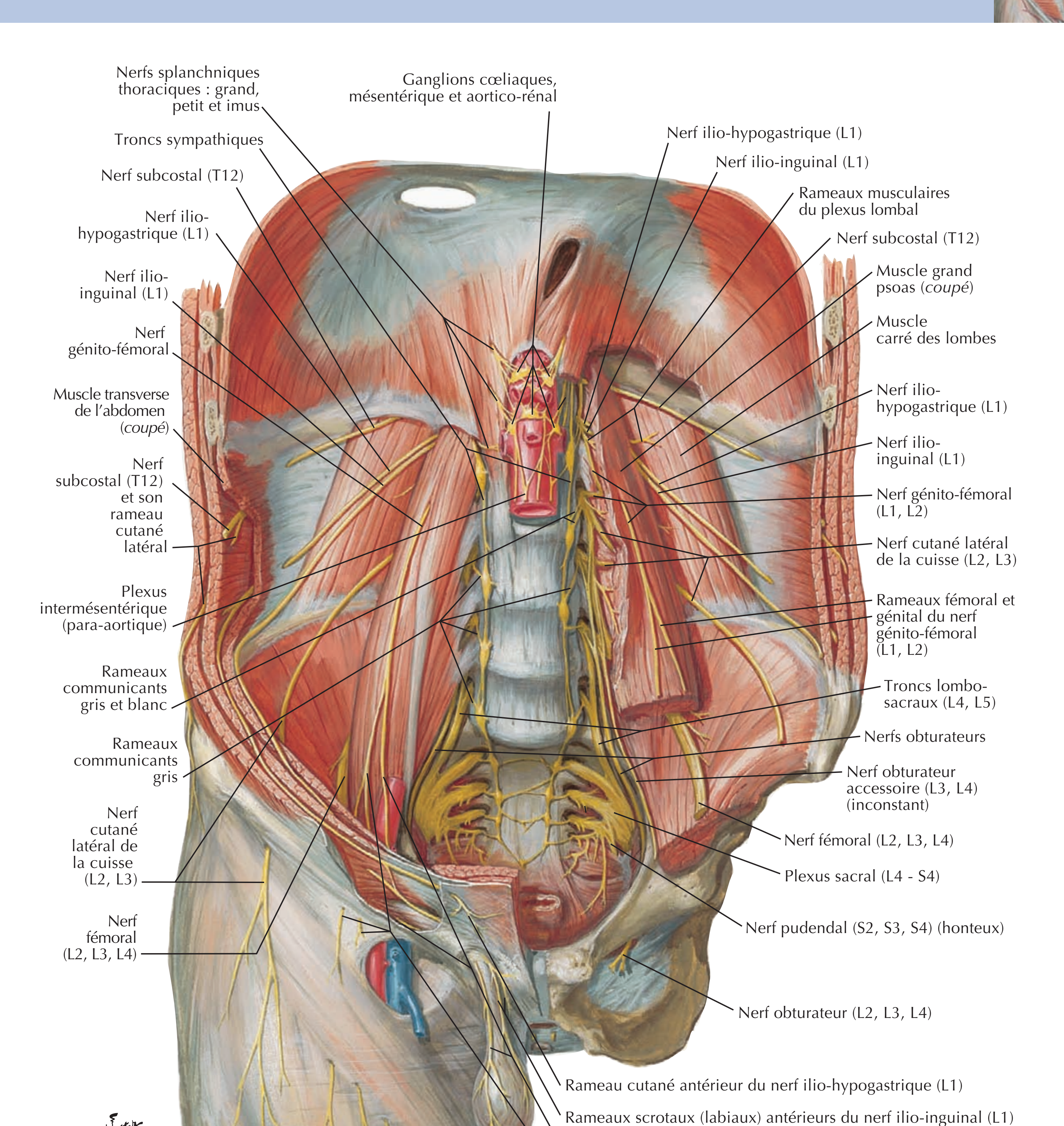



Veines phréniques inférieures
Diaphragme
Veines hépatiques
Veine cave inférieure
Œsophage
Veine surrénale inférieure droite
Veines surrénales gauches et anastomose avec la veine phrénique inférieure
Veine rénale droite
Veine rénale gauche
Muscle grand psoas (*coupé*)
Veines ovariennes (testiculaires)
Muscle carré des lombes
Veines lombales ascendantes
Veine subcostale
Veine iliaque commune
1re à 4e veines lombales droites
Veine iliaque interne
Veine ilio-lombale
Veine glutéale supérieure
Veine iliaque commune
Veine glutéale inférieure
Veines ovariques (testiculaires) et uretère (*coupés*)
Veine pudendale interne
Veine iliaque interne
Veine iliaque externe
Veine sacrale médiane
Veine rectale moyenne
Veines sacrales latérales
Veine utérine
Veine circonflexe iliaque profonde
Veine vésicale supérieure
Veine circonflexe iliaque profonde
Veine circonflexe iliaque superficielle
Veine obturatrice
Ligament rond de l'utérus
Veine épigastrique inférieure (*coupée*)
Veine épigastrique inférieure
Veine épigastrique superficielle (*coupée*)
Plexus veineux rectal
Veine pubienne
Plexus veineux utéro-vaginal
Veine fémorale
Grande veine saphène
Plexus veineux vésical
Veine pudendale externe (honteuse)
Paroi abdominale antérieure (*réclinée en bas*)
F. Netter M.D.

Vaisseaux et nœuds lymphatiques de la paroi abdominale postérieure

Voir aussi **Planche 387**

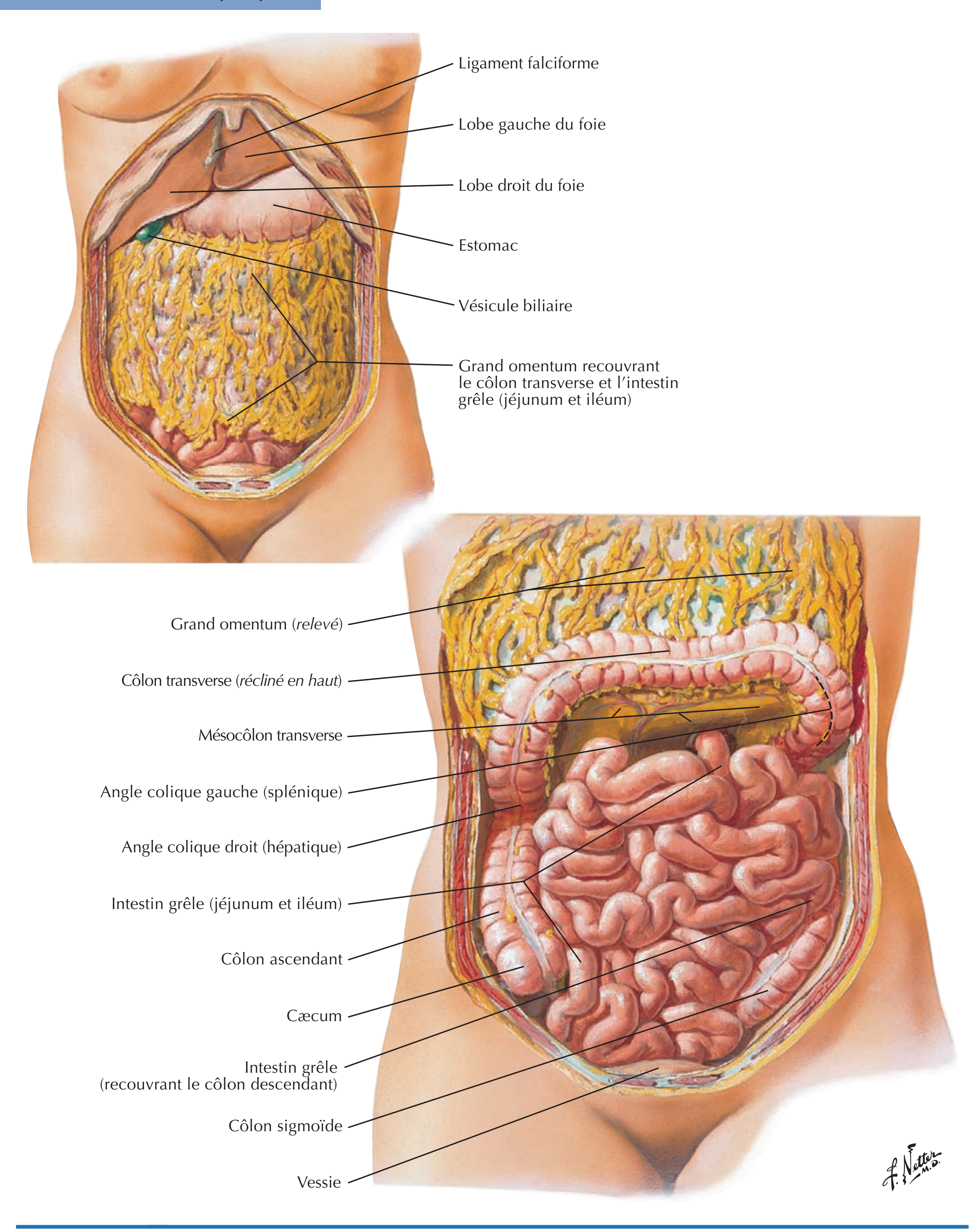




Nerfs splanchniques thoraciques : grand, petit et imus
Ganglions cœliaques, mésentérique et aortico-rénal
Troncs sympathiques
Nerf subcostal (T12)
Nerf ilio-hypogastrique (L1)
Nerf ilio-inguinal (L1)
Nerf génito-fémoral
Muscle transverse de l'abdomen (*coupé*)
Nerf subcostal (T12) et son rameau cutané latéral
Plexus intermésentérique (para-aortique)
Rameaux communicants gris et blanc
Rameaux communicants gris
Nerf cutané latéral de la cuisse (L2, L3)
Nerf fémoral (L2, L3, L4)
Nerf ilio-hypogastrique (L1)
Nerf ilio-inguinal (L1)
Rameaux musculaires du plexus lombal
Nerf subcostal (T12)
Muscle grand psoas (*coupé*)
Muscle carré des lombes
Nerf ilio-hypogastrique (L1)
Nerf ilio-inguinal (L1)
Nerf génito-fémoral (L1, L2)
Nerf cutané latéral de la cuisse (L2, L3)
Rameaux fémoral et génital du nerf génito-fémoral (L1, L2)
Troncs lombo-sacraux (L4, L5)
Nerfs obturateurs
Nerf obturateur accessoire (L3, L4) (inconstant)
Nerf fémoral (L2, L3, L4)
Plexus sacral (L4 - S4)
Nerf pudendal (S2, S3, S4) (honteux)
Nerf obturateur (L2, L3, L4)
Rameau cutané antérieur du nerf ilio-hypogastrique (L1)
Rameaux scrotaux (labiaux) antérieurs du nerf ilio-inguinal (L1)
Rameau génital
Rameaux fémoraux
du nerf génito-fémoral (L1, L2)
F. Netter M.D.

Grand omentum et viscères abdominaux

Voir aussi **Planches 267, 323, 330**





Rapports mésentériques des intestins

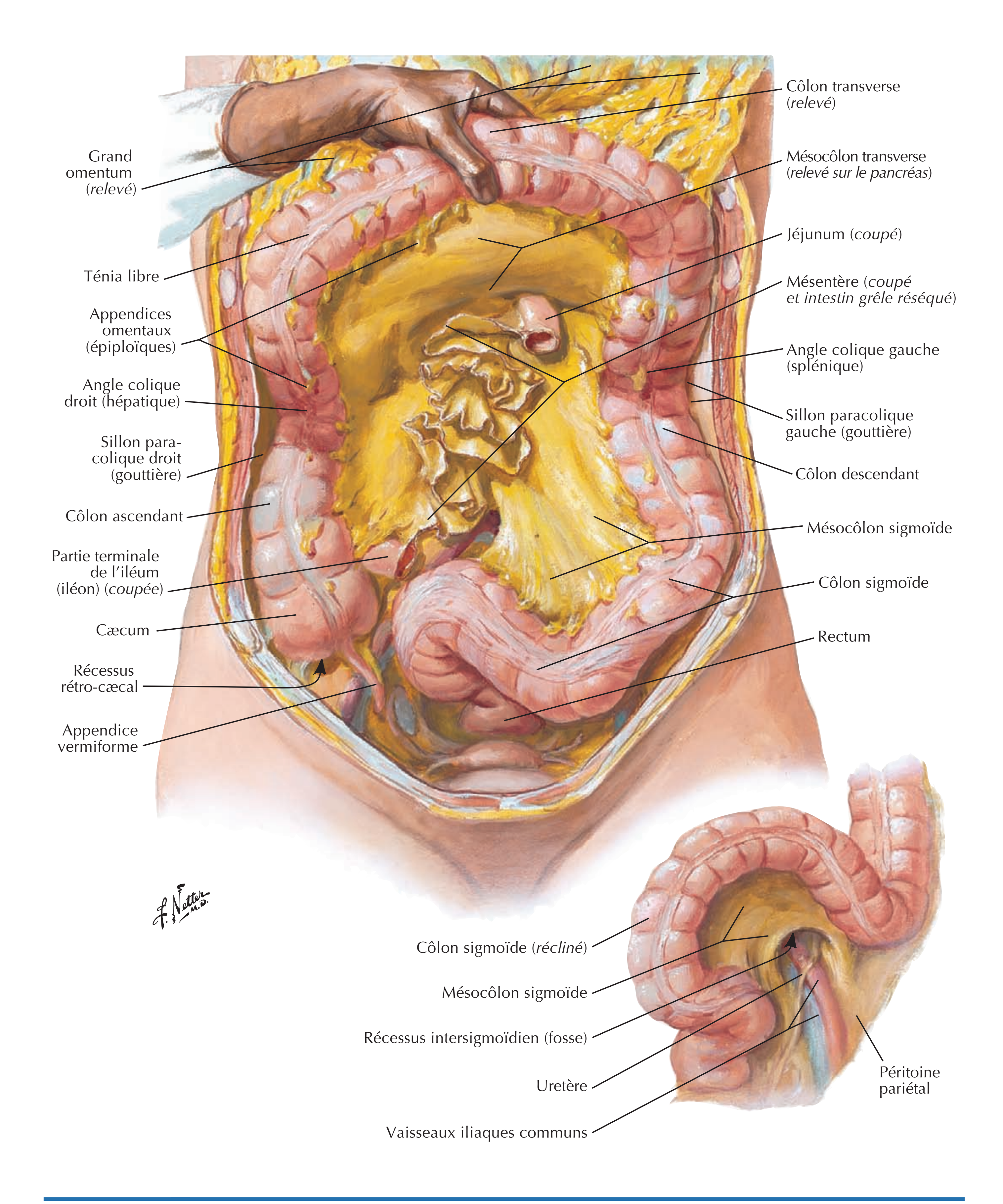
Côlon transverse
(*relevé*)
Mésocôlon transverse
Pli duodénal supérieur
Fosse duodénale supérieure
Angle colique gauche (splénique)
Fosse paraduodénale
Fosse duodénale inférieure
Pli duodénal inférieur
Récessus pariéto-mésentérique
(fosse)
Artère mésentérique supérieure
dans la racine du mésentère
Artère et veine
mésentériques inférieures
Aorte abdominale

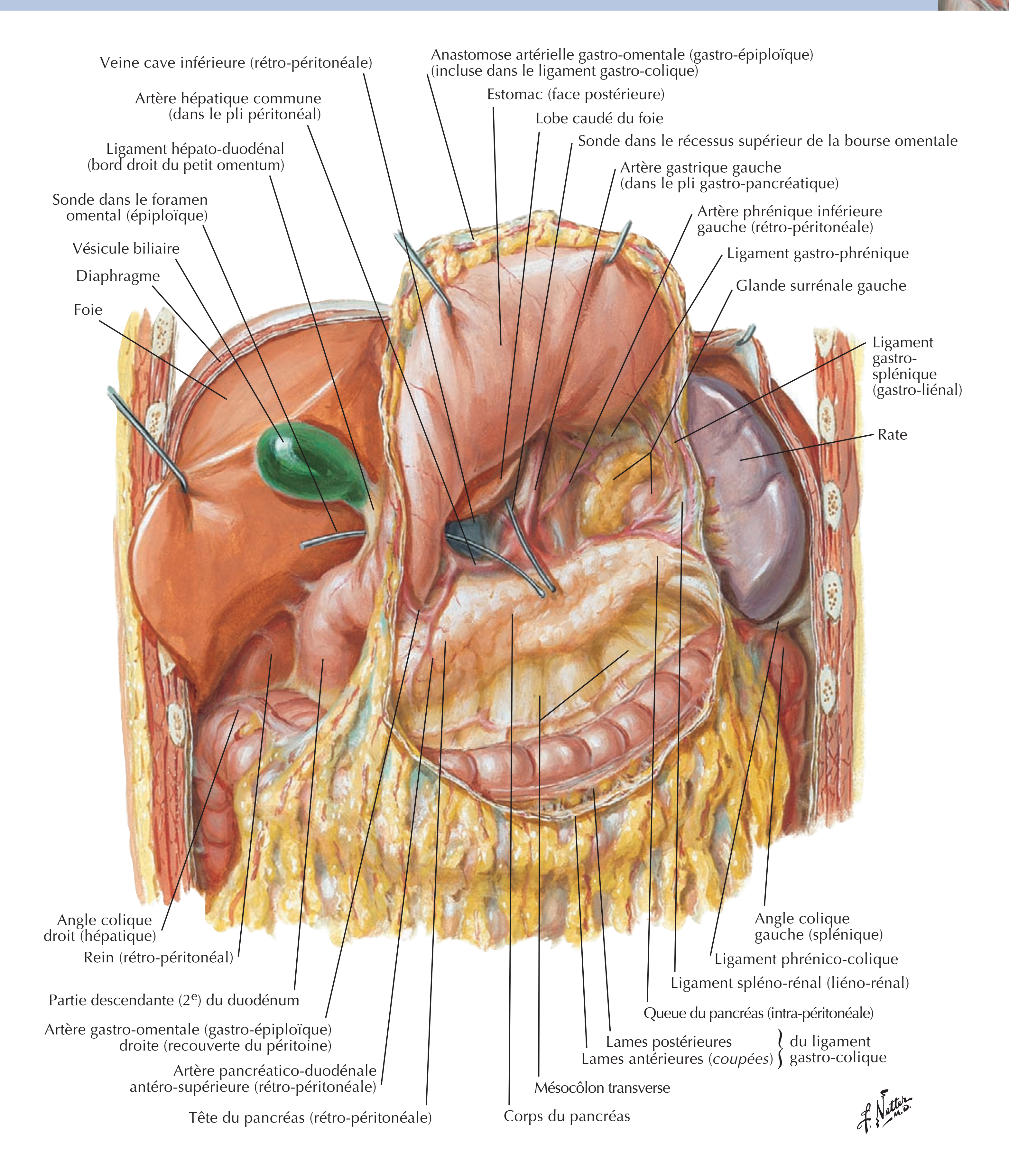
Muscle suspenseur
du duodénum
(ligament de Treitz)

Œsophage
Pilier droit du diaphragme
(partie passant à droite du
hiatus œsophagien)
Pilier droit du diaphragme
(partie passant à gauche
du hiatus œsophagien)
Pilier gauche du diaphragme
Tronc cœliaque
Muscle suspenseur
du duodénum
(ligament de Treitz)
Artère mésentérique
supérieure
Angle duodéno-jéjunal
Partie horizontale (4e)
du duodénum
Jéjunum
Partie horizontale
(inférieure) (3e) du duodénum
Partie descendante
(2e) du duodénum

F. Netter M.D.

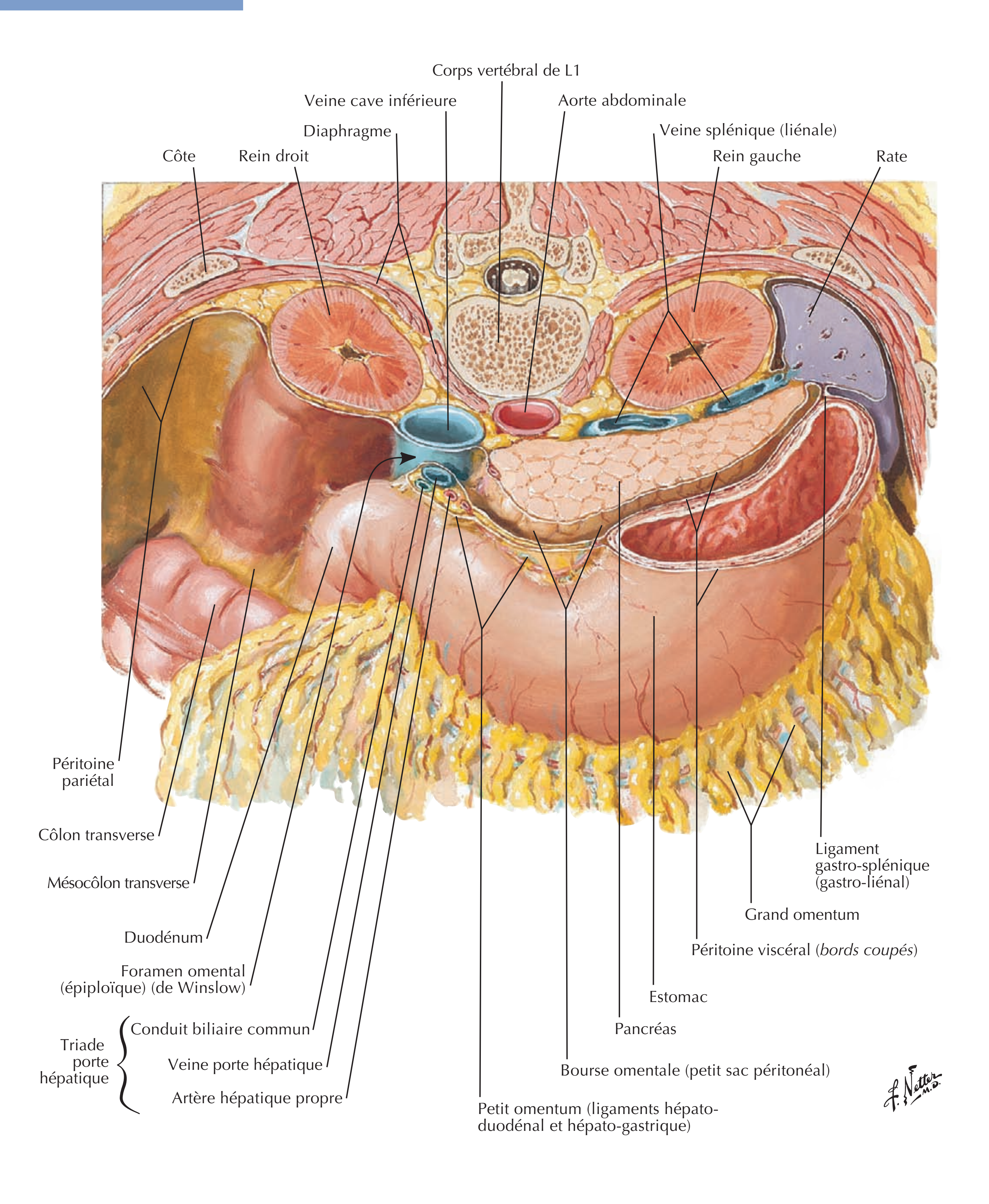
Rapports mésentériques des intestins (suite)




Veine cave inférieure (rétro-péritonéale)
Artère hépatique commune (dans le pli péritonéal)
Ligament hépato-duodénal (bord droit du petit omentum)
Sonde dans le foramen omental (épiploïque)
Vésicule biliaire
Diaphragme
Foie
Anastomose artérielle gastro-omentale (gastro-épiploïque) (incluse dans le ligament gastro-colique)
Estomac (face postérieure)
Lobe caudé du foie
Sonde dans le récessus supérieur de la bourse omentale
Artère gastrique gauche (dans le pli gastro-pancréatique)
Artère phrénique inférieure gauche (rétro-péritonéale)
Ligament gastro-phrénique
Glande surrénale gauche
Ligament gastro-splénique (gastro-liénal)
Rate
Angle colique droit (hépatique)
Rein (rétro-péritonéal)
Partie descendante (2e) du duodénum
Artère gastro-omentale (gastro-épiploïque) droite (recouverte du péritoine)
Artère pancréatico-duodénale antéro-supérieure (rétro-péritonéale)
Tête du pancréas (rétro-péritonéale)
Angle colique gauche (splénique)
Ligament phrénico-colique
Ligament spléno-rénal (liéno-rénal)
Queue du pancréas (intra-péritonéale)
Lames postérieures
Lames antérieures (coupées)
du ligament gastro-colique
Mésocôlon transverse
Corps du pancréas
F. Netter M.D.

Bourse omentale : coupe transversale

Voir aussi **Planche 326**





Péritoine de la paroi abdominale postérieure

Veine cave inférieure

Conduit biliaire commun et artère hépatique propre

Veines hépatiques

Aorte abdominale et tronc cœliaque

Ligament falciforme

Récessus supérieur de la bourse omentale (petit sac)

Ligament coronaire du foie

Insertion du petit omentum et artère gastrique gauche

Glande surrénale droite

Œsophage

Ligament triangulaire droit

Insertion du mésocôlon tranverse et vaisseaux gastro-omentaux (gastro-épiploïques)

Duodénum

Rein droit

Péritoine pariétal

Racine du mésentère

Site du côlon ascendant

Artère iliaque commune (rétro-péritonéale)

Artère iliaque externe (rétro-péritonéale)

Vaisseaux testiculaires (rétro-péritonéaux)

Uretères (rétro-péritonéaux)

Pli ombilical médian (contient le ligament ombilical médian)

Ligament triangulaire gauche du foie

Ligament gastro-phrénique et artère phrénique inférieure gauche

Vaisseaux gastriques courts

Ligament spléno-rénal (liéno-rénal) et vaisseaux spléniques

Ligament phrénico-colique

Pancréas et artère splénique (rétro-péritonéale)

Insertion du mésocôlon transverse

Vaisseaux mésentériques supérieurs

Site du côlon descendant

Insertion du mésocôlon sigmoïde et vaisseaux sigmoïdiens

Vaisseaux rectaux supérieurs

Pli sacro-génital (ligament)

Pli ombilical latéral (contient les vaisseaux épigastriques inférieurs)

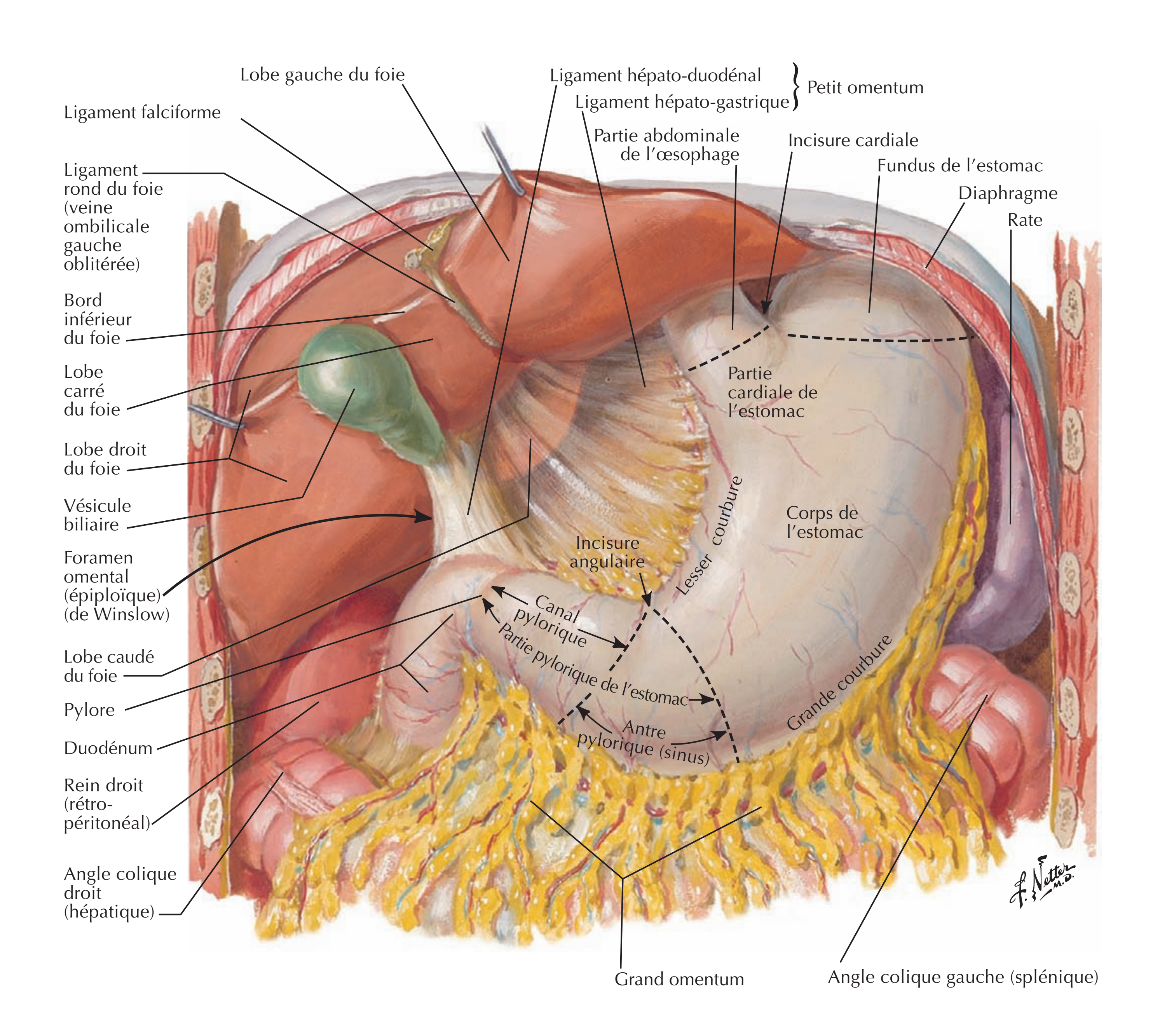
Pli ombilical médial (contient la partie oblitérée de l'artère ombilicale)

Rectum

Vessie

F. Netter M.D.

Estomac *in situ*





Muqueuse de l'estomac

Voir aussi **Planche 230**

Zone cardiale

Jonction muqueuse gastro-œsophagienne (ligne en zigzag)

Orifice du cardia

Plis gastriques

Plis longitudinaux du canal gastrique (magenstrasse)

Pylore

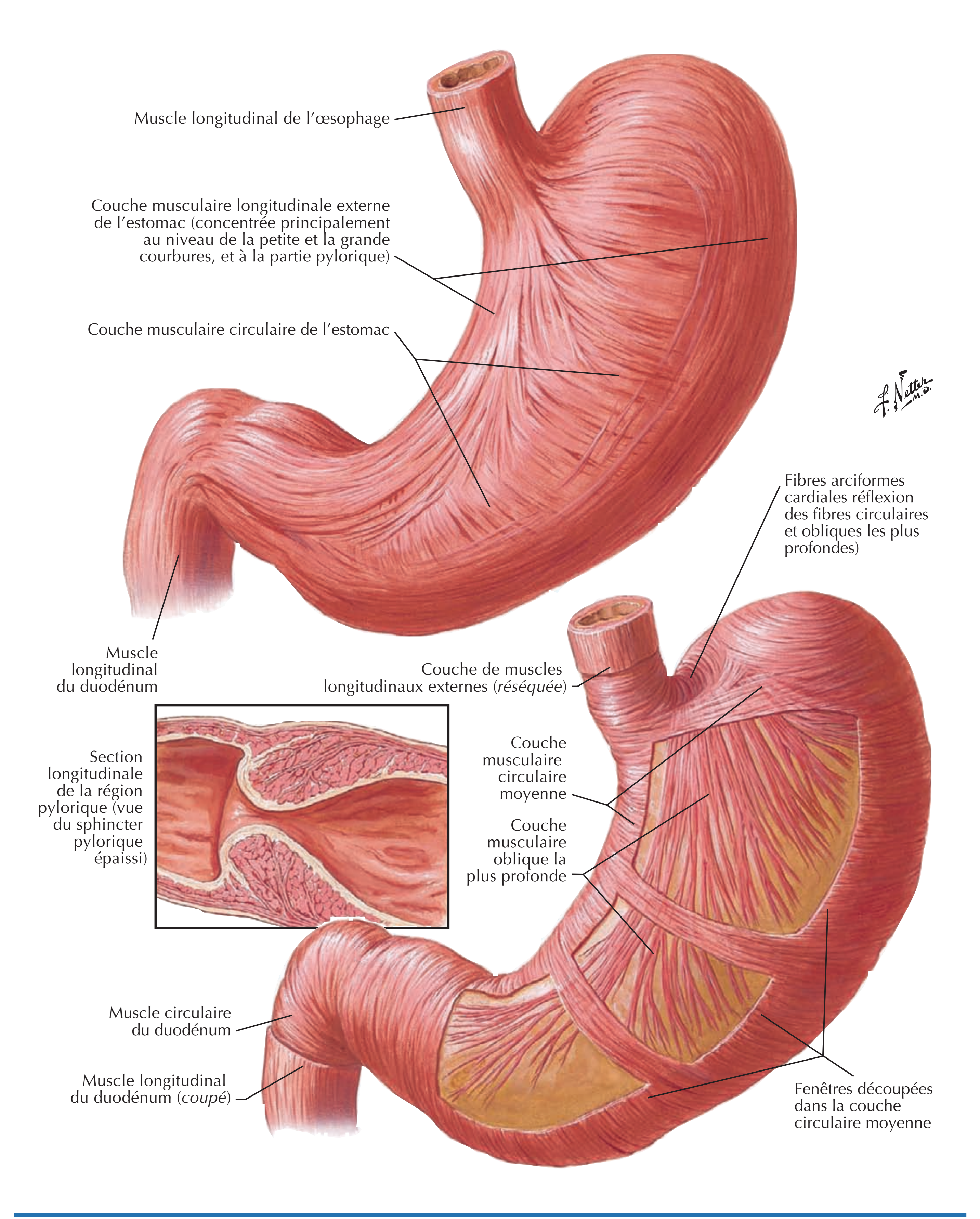
Partie supérieure (1re) du duodénum (ampoule ou bulbe duodénal)

Sphincter pylorique

Fundus et corps de l'estomac

Antre pylorique

Structure musculaire de l'estomac

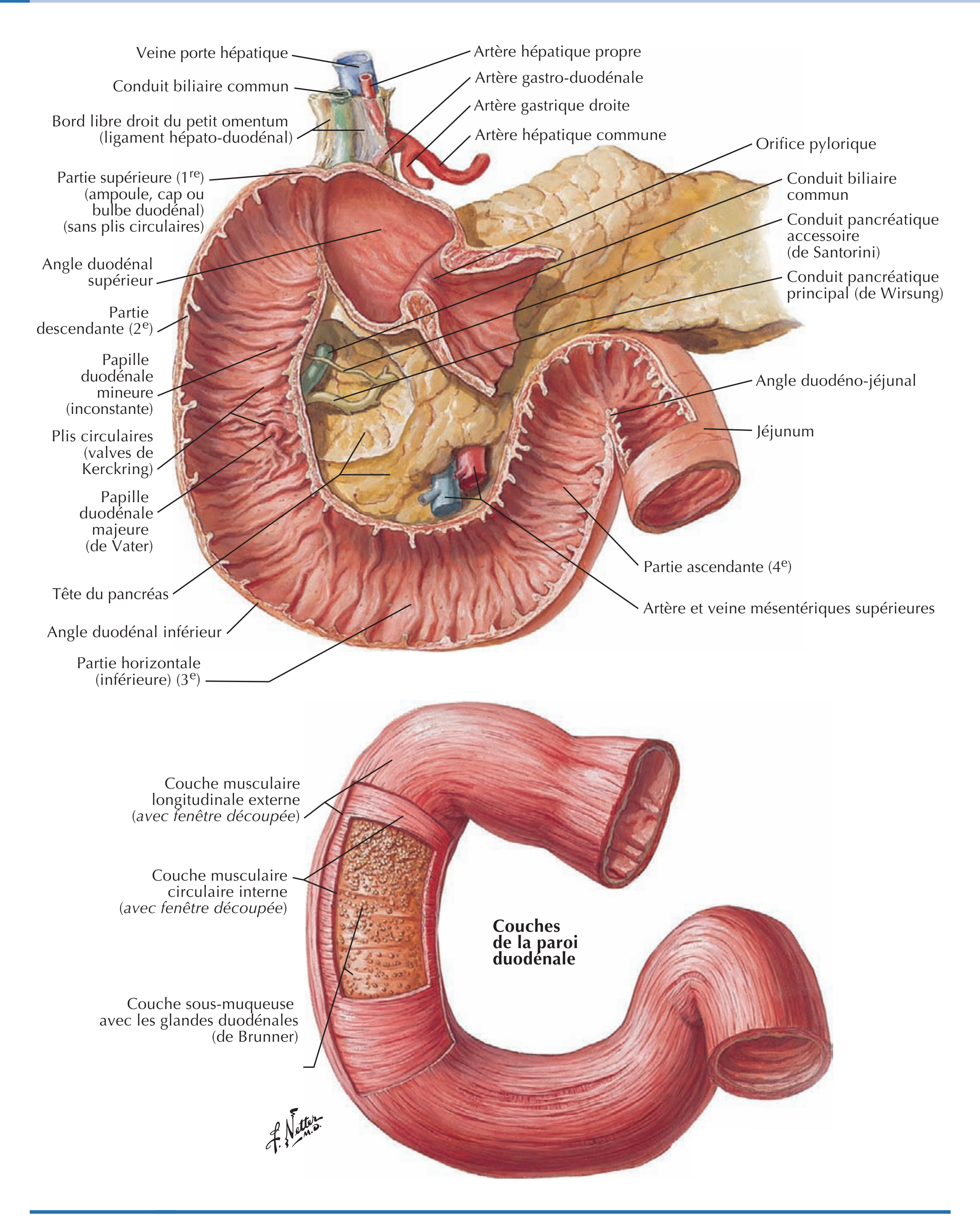


Duodénum *in situ*



Triade porte hépatique
Veine porte hépatique
Artère hépatique propre
Conduit biliaire commun
Tête du pancréas
Vaisseaux mésentériques supérieurs
Tronc cœliaque
Artère splénique
Glande surrénale
Rein
Mésocôlon transverse et ses bords coupés
Côlon transverse (*coupé*)
Angle colique gauche (splénique)
Bord libre droit du petit omentum (ligament hépato-duodénal)
Foie (*coupé*)
Glande surrénale
Pylore
Rein
Mésocôlon transverse et ses bords coupés
Angle colique droit (hépatique)
Côlon transverse (*coupé*)
Côlon ascendant
Muscle grand psoas
Duodénum
Partie supérieure (1re)
Partie descendante (2e)
Partie horizontale (inférieure) (3e)
Partie ascendante (4e)
Racine du mésentère (*bords coupés*)
Veine cave inférieure
Aorte abdominale
Artère mésentérique inférieure
Angle duodéno-jéjunal et jéjunum (*coupé*)
Pli duodénal inférieur et son récessus
Côlon descendant
F. Netter M.D.

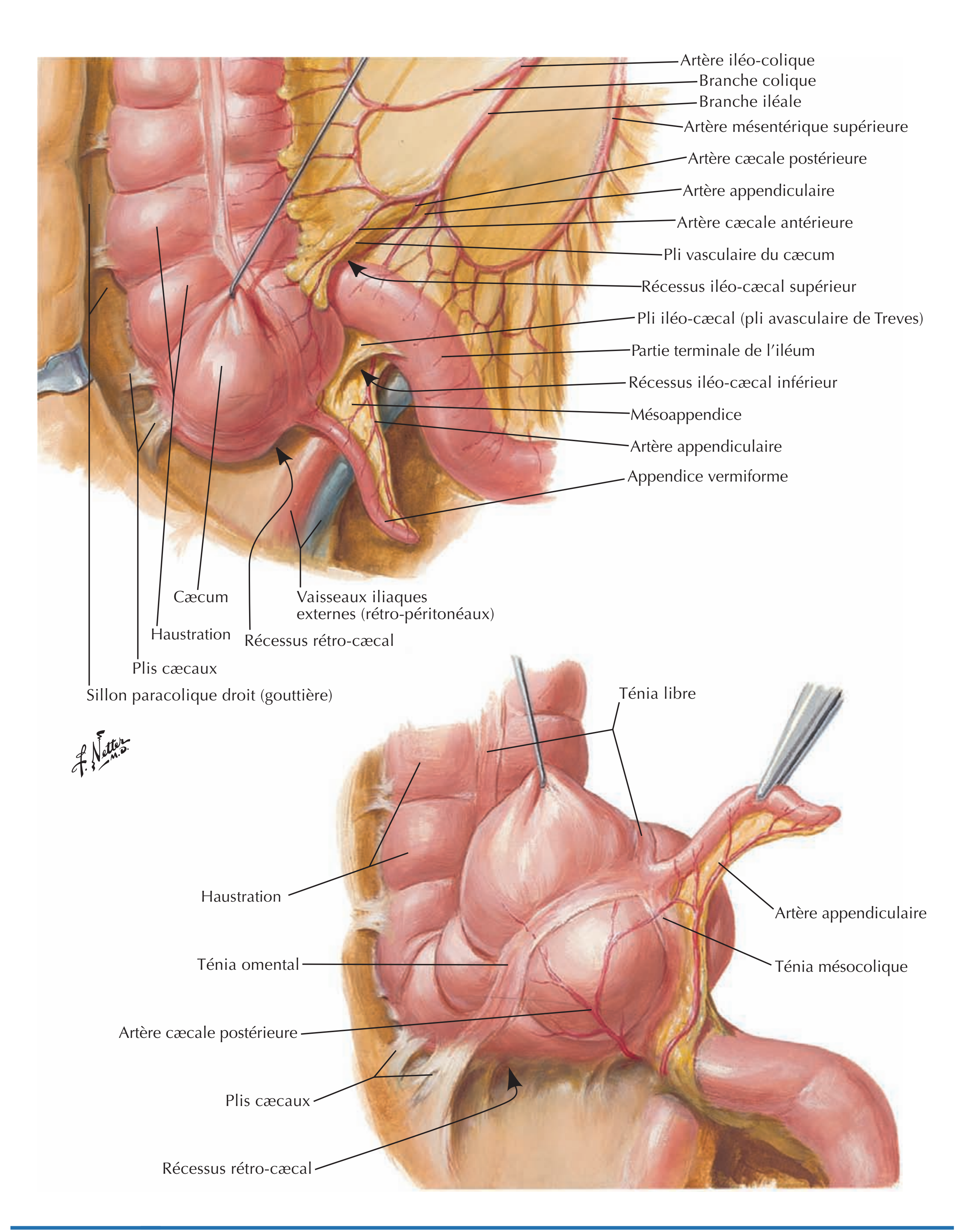
Muqueuse et musculeuse du duodénum





Muqueuse et musculeuse de l'intestin grêle

Région iléo-cæcale





Région iléo-cæcale (suite)

Ténia libre

Valves iléo-cæcales : forme labiée de l'orifice iléal (observée fréquemment en post-mortem et parfois chez le vivant)

Partie terminale de l'iléum (iléon)

Ouverture de l'appendice vermiforme

Frein de la valve iléo-cæcale

Ténia libre

Appendice vermiforme

Muscle circulaire du côlon

Ténia mésocolique

Fibres vers la papille

Fibres vers l'iléum

Fibres autour de la jonction iléo-cæcale

Fibres vers le ténia
Fibres vers la papille
} Muscle longitudinal de l'iléum (iléon)

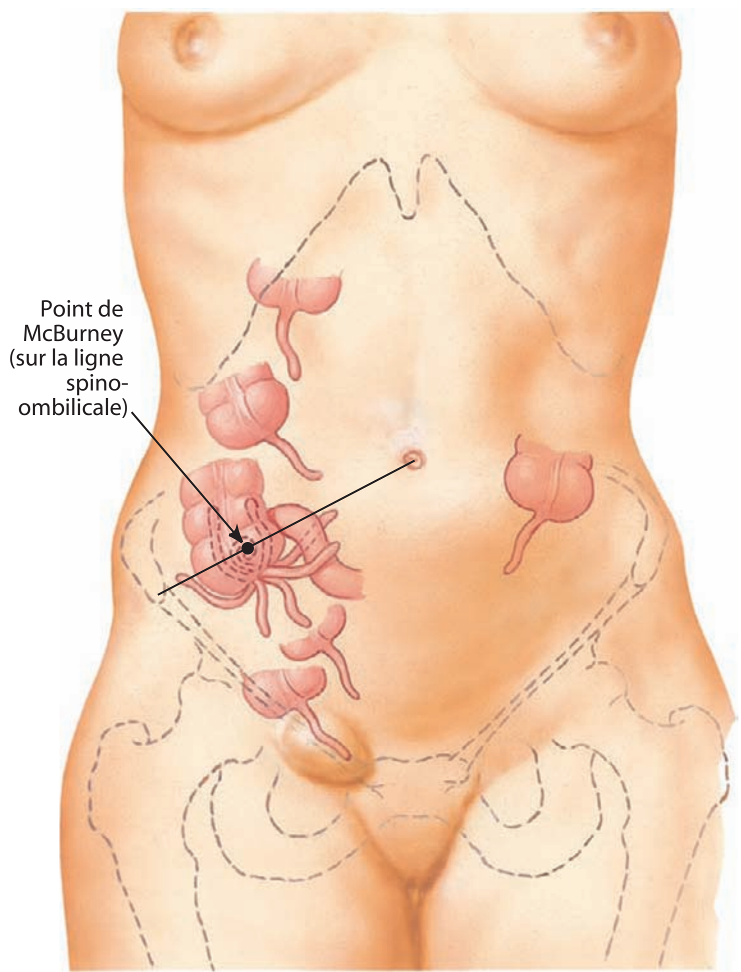
Muscle circulaire de l'iléum

Schéma des fibres musculaires au niveau de l'orifice iléal

Papille iléale : forme papillaire de l'orifice iléal (forme la plus commune chez le vivant)

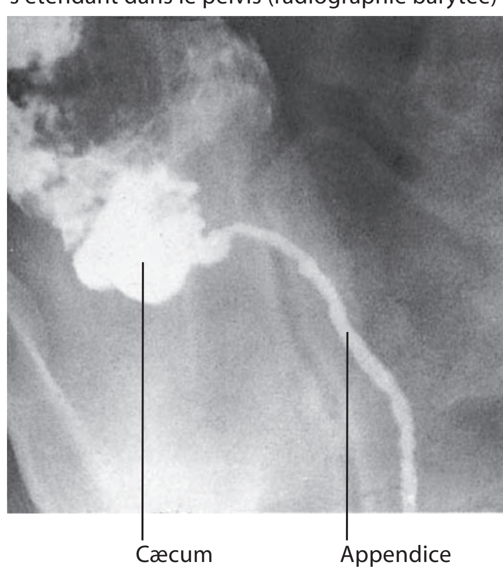
F. Netter M.D.

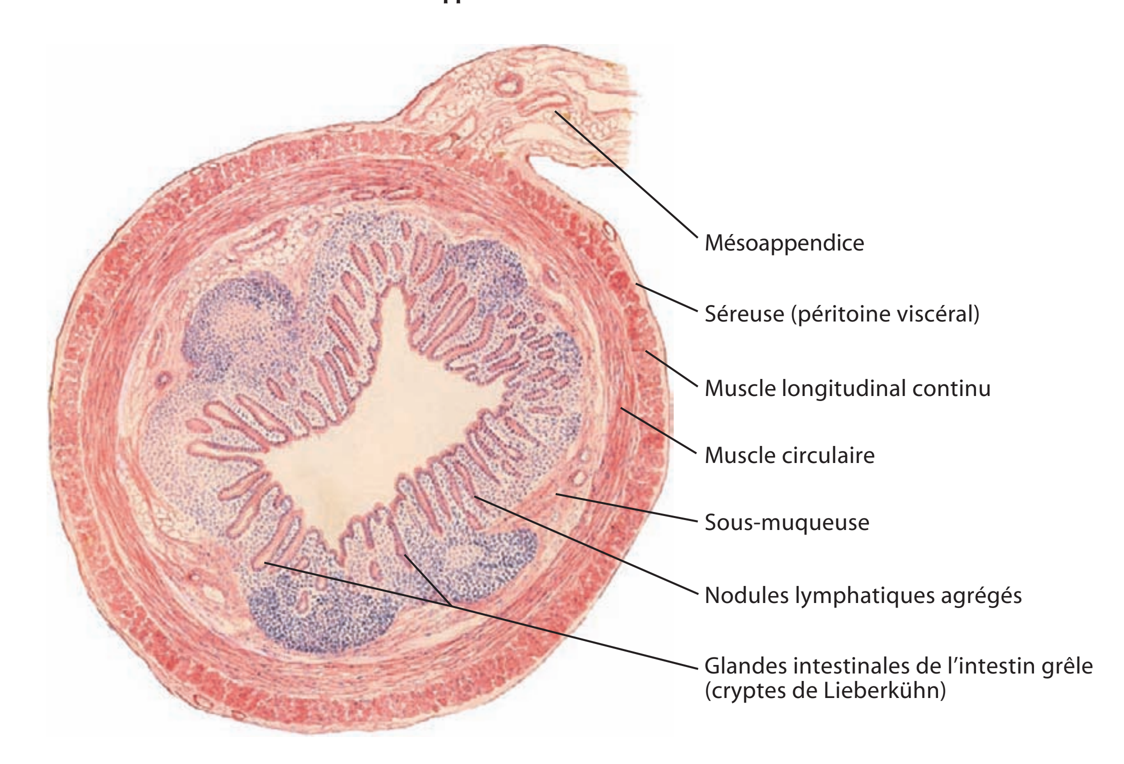
Appendice vermiforme



Variations de situation de l'appendice vermiforme

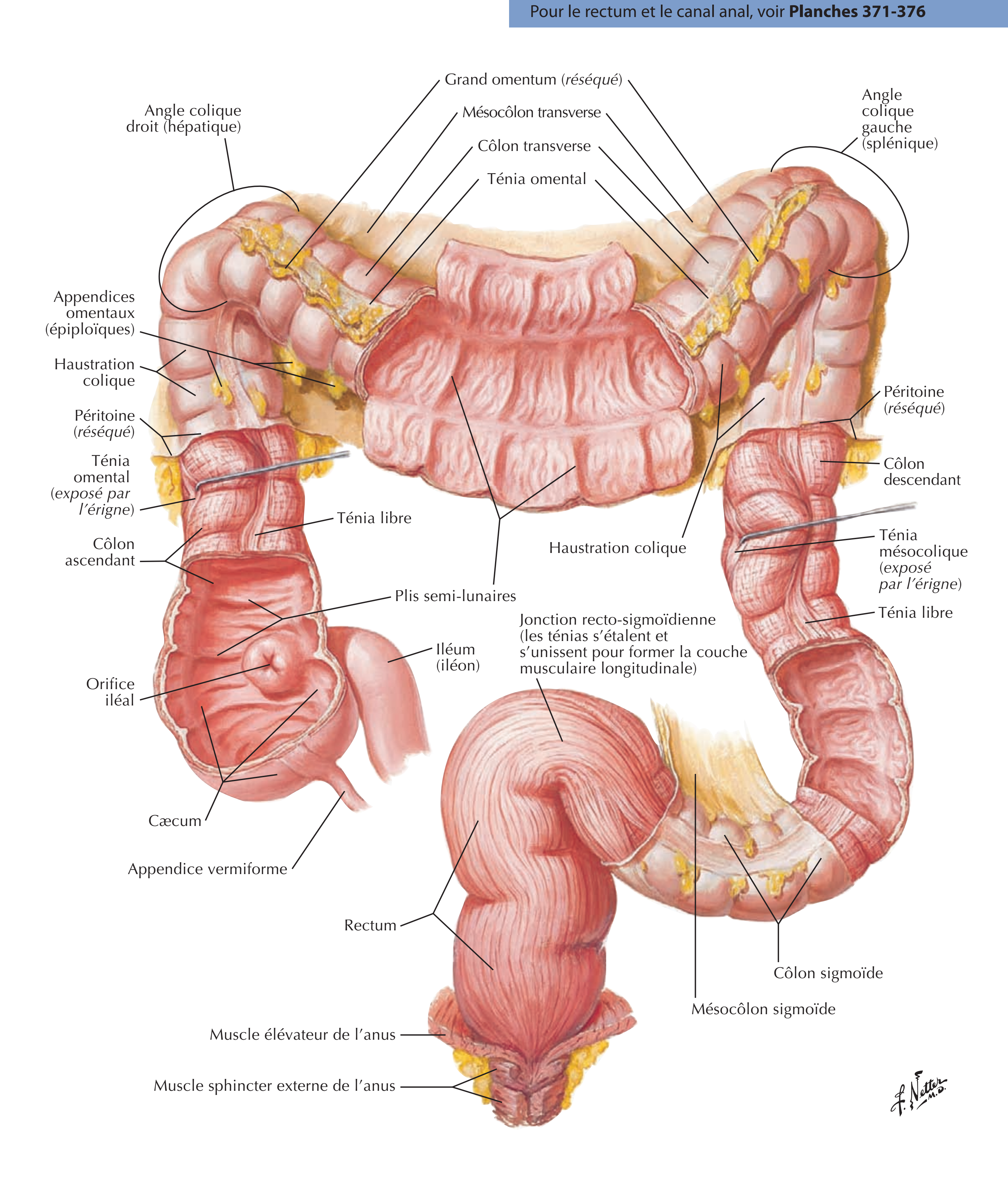
Appendice inhabituellement long s'étendant dans le pelvis (radiographie barytée)



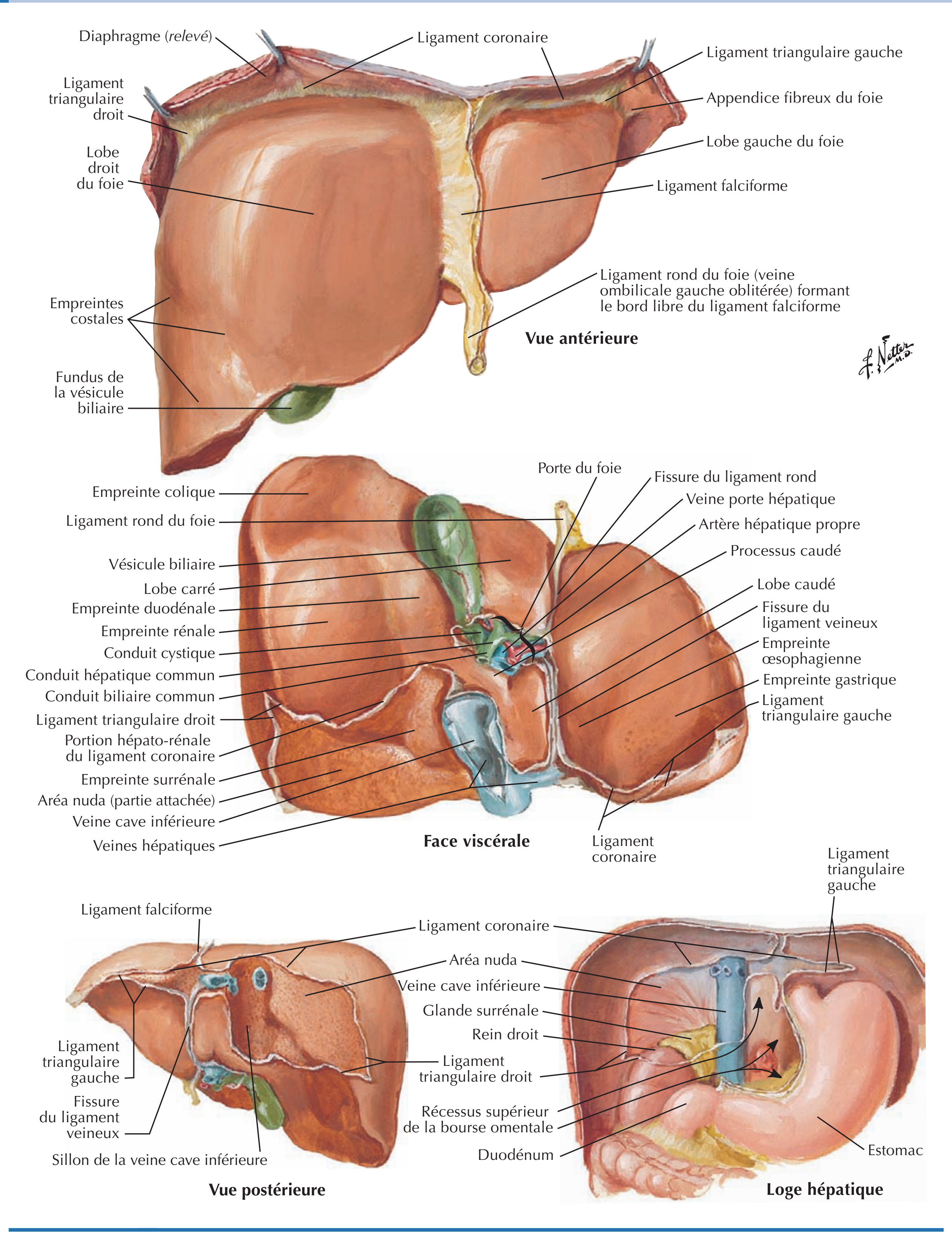


Muqueuse et musculeuse du gros intestin

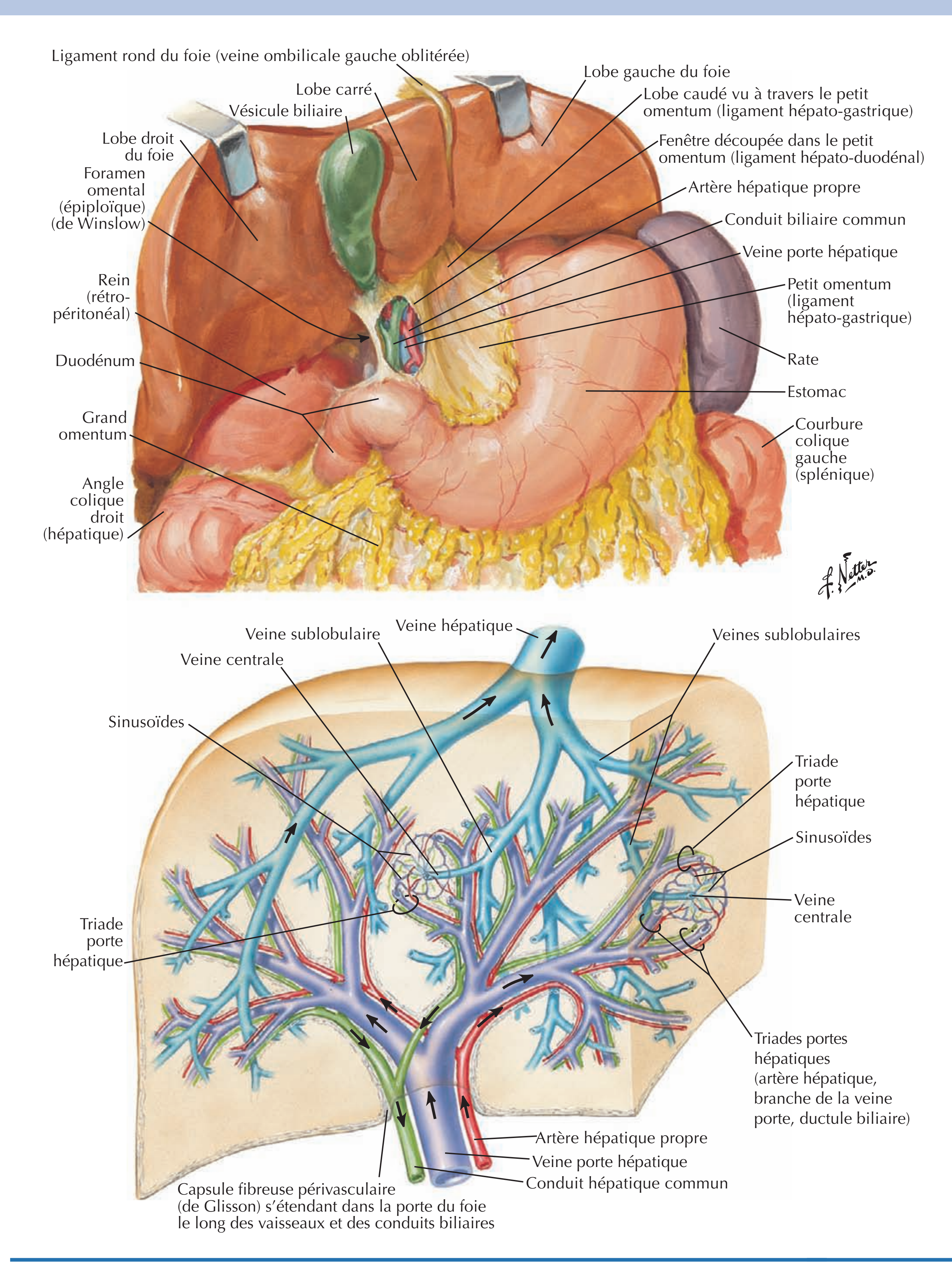
Pour le rectum et le canal anal, voir **Planches 371-376**



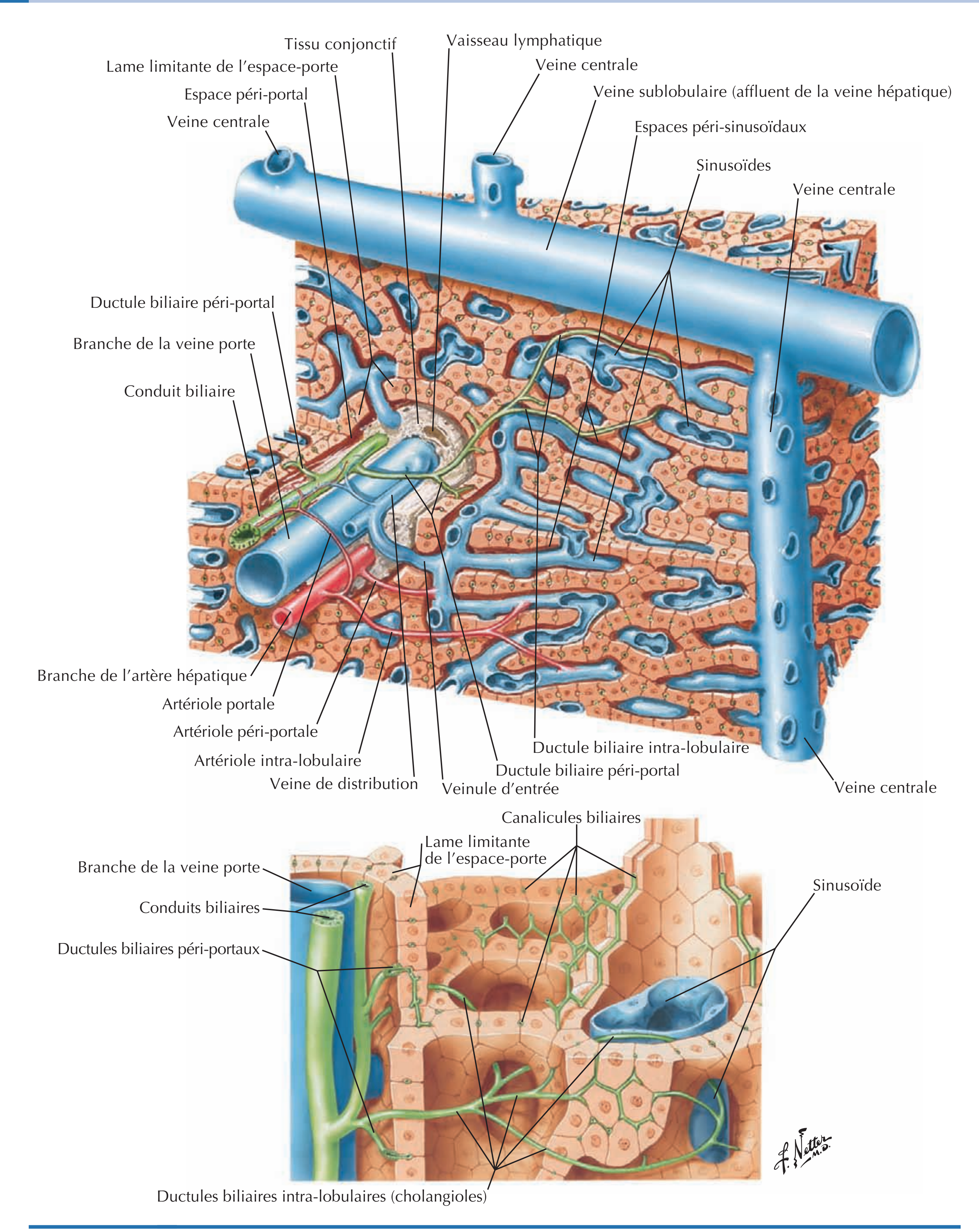
Faces et loge du foie

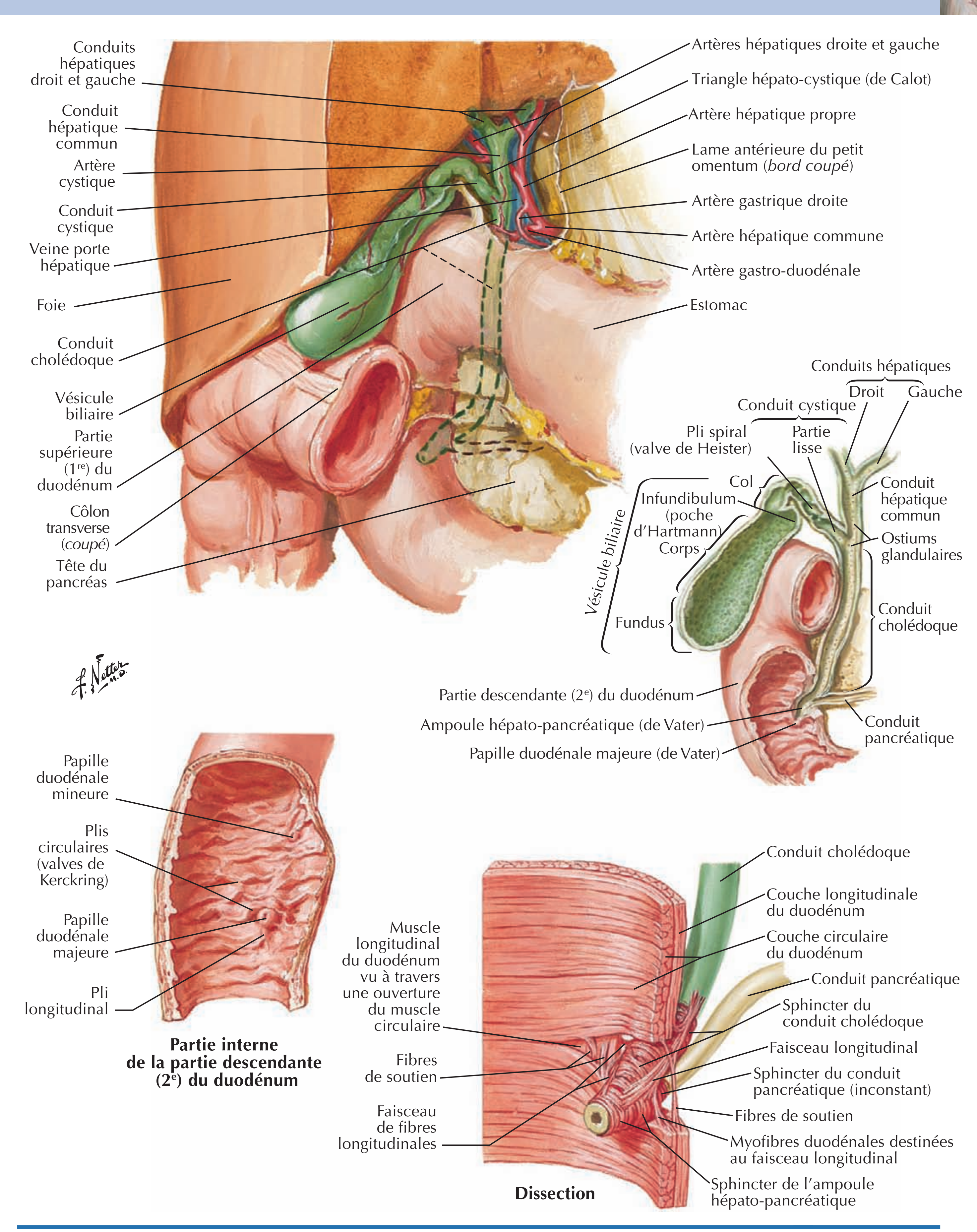


Foie *in situ* : systèmes vasculaire et de conduits

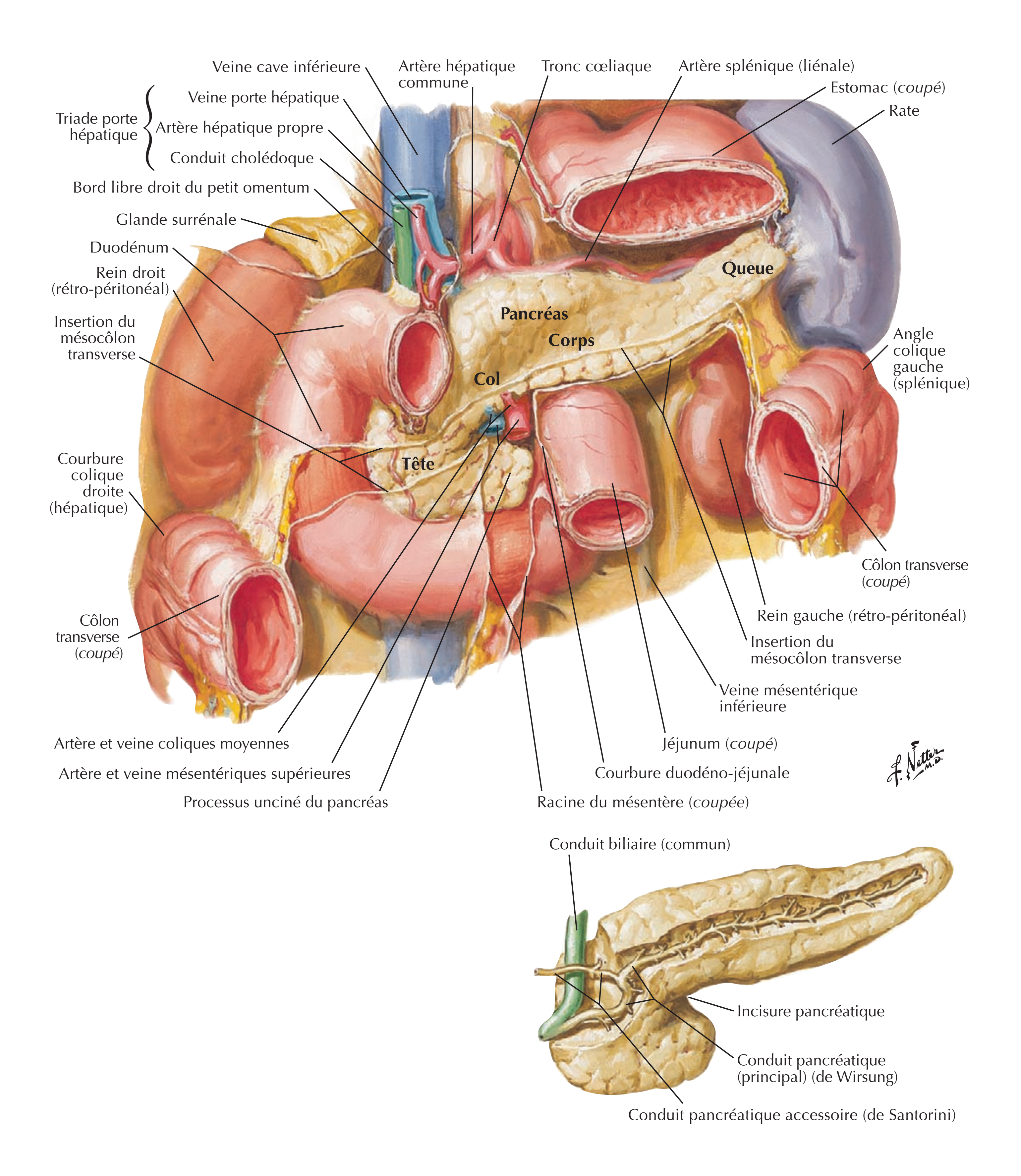


Structure du foie : schéma




Conduits hépatiques droit et gauche
Conduit hépatique commun
Artère cystique
Conduit cystique
Veine porte hépatique
Foie
Conduit cholédoque
Vésicule biliaire
Partie supérieure (1re) du duodénum
Côlon transverse (coupé)
Tête du pancréas
Artères hépatiques droite et gauche
Triangle hépato-cystique (de Calot)
Artère hépatique propre
Lame antérieure du petit omentum (bord coupé)
Artère gastrique droite
Artère hépatique commune
Artère gastro-duodénale
Estomac
Conduits hépatiques
Droit
Gauche
Conduit cystique
Pli spiral (valve de Heister)
Partie lisse
Col
Infundibulum (poche d'Hartmann)
Corps
Vésicule biliaire
Fundus
Conduit hépatique commun
Ostiums glandulaires
Conduit cholédoque
Partie descendante (2e) du duodénum
Ampoule hépato-pancréatique (de Vater)
Papille duodénale majeure (de Vater)
Conduit pancréatique
Papille duodénale mineure
Plis circulaires (valves de Kerckring)
Papille duodénale majeure
Pli longitudinal
Partie interne de la partie descendante (2e) du duodénum
Muscle longitudinal du duodénum vu à travers une ouverture du muscle circulaire
Fibres de soutien
Faisceau de fibres longitudinales
Dissection
Conduit cholédoque
Couche longitudinale du duodénum
Couche circulaire du duodénum
Conduit pancréatique
Sphincter du conduit cholédoque
Faisceau longitudinal
Sphincter du conduit pancréatique (inconstant)
Fibres de soutien
Myofibres duodénales destinées au faisceau longitudinal
Sphincter de l'ampoule hépato-pancréatique

Pancréas *in situ*





Extrémité postérieure
Vaisseaux gastriques courts
Face rénale
Bord inférieur
Ligament spléno-rénal (liéno-rénal, phrénico-splénique)
Artère splénique (liénale)
Vaisseaux gastro-omentaux gauches (gastro-épiploïques)
Veine splénique (liénale)
Face colique
Extrémité antérieure
Ligament gastro-splénique
Bord supérieur
Face gastrique
Hile

Face viscérale

Extrémité postérieure
Bord inférieur
Extrémité antérieure

Face diaphragmatique

Tunique séreuse (péritoine viscéral)
Capsule fibreuse
Pulpe splénique (liénale)
Trabécules spléniques (liénales)
Artère et veine spléniques (liénales)
Hile

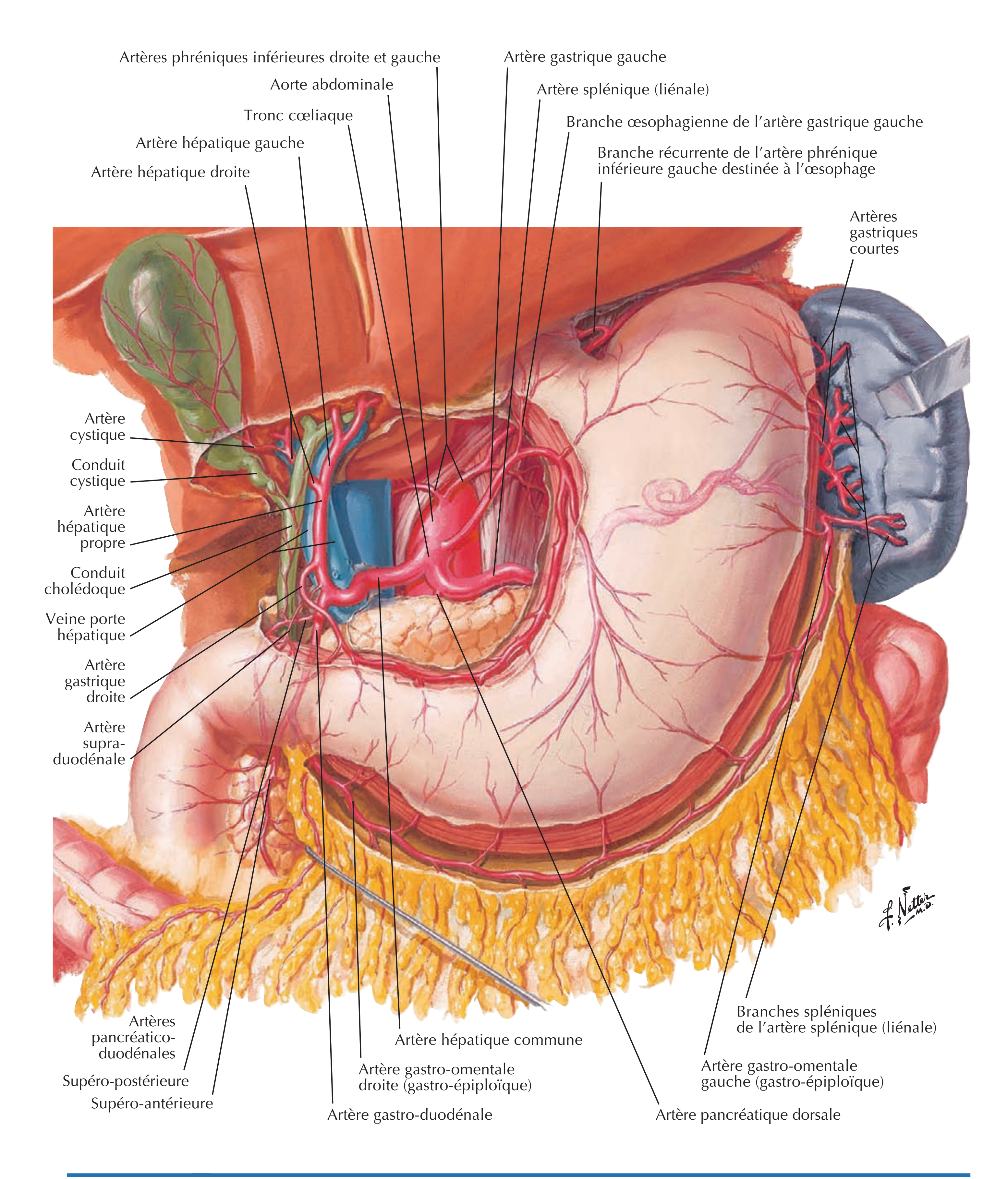
Coupe transversale

Vaisseaux gastriques courts dans le ligament gastro-splénique
Estomac (*coupé*)
Diaphragme
Rate
9e côte
Glande surrénale
Rein gauche
Artère et veine spléniques (liénales)
Ligament spléno-rénal (liéno-rénal, phrénico-splénique)
Insertion du mésocôlon transverse (*coupé*)
Côlon transverse
Queue du pancréas

Rate *in situ*

F. Netter M.D.

Artères de l'estomac, du foie et de la rate



Artères du foie, du pancréas, du duodénum et de la rate



Artère hépatique intermédiaire
Artère hépatique propre
Artère hépatique droite
Artère cystique
Vésicule biliaire
Artère hépatique gauche
Veine porte hépatique
Artère hépatique commune
Artère gastrique gauche
Artères phréniques inférieures droite et gauche (montrées ici depuis le tronc commun)
Tronc cœliaque
Aorte abdominale
Artères gastriques courtes
Triangle hépato-cystique (de Calot)
Conduit cystique
Conduit cholédoque
Conduit biliaire commun
Artère gastrique droite
Artère supra-duodénale
Artère gastro-duodénale
Artère gastro-omentale gauche (gastro-épiploïque)
Artère de la queue du pancréas
Artère grande pancréatique
Artère splénique (liénale)
Artère pancréatique dorsale
Artère pancréatique inférieure
Branche anastomotique
Artère colique moyenne (*coupée*)
Artère mésentérique supérieure
Artère pancréatico-duodénale inférieure (commune)
Artère pancréatico-duodénale supéro-postérieure (*en transparence*)
Artère pancréatico-duodénale supéro-antérieure
Artère gastro-omentale droite (gastro-épiploïque)
Artère pancréatico-duodénale inféro-postérieure
Artère pancréatico-duodénale inféro-antérieure
F. Netter M.D.

4 Artériographie sélective cœliaque

Voir aussi **Planches 283, 284**





Artères du duodénum et de la tête du pancréas

Duodénum et tête du pancréas réclinés sur la gauche

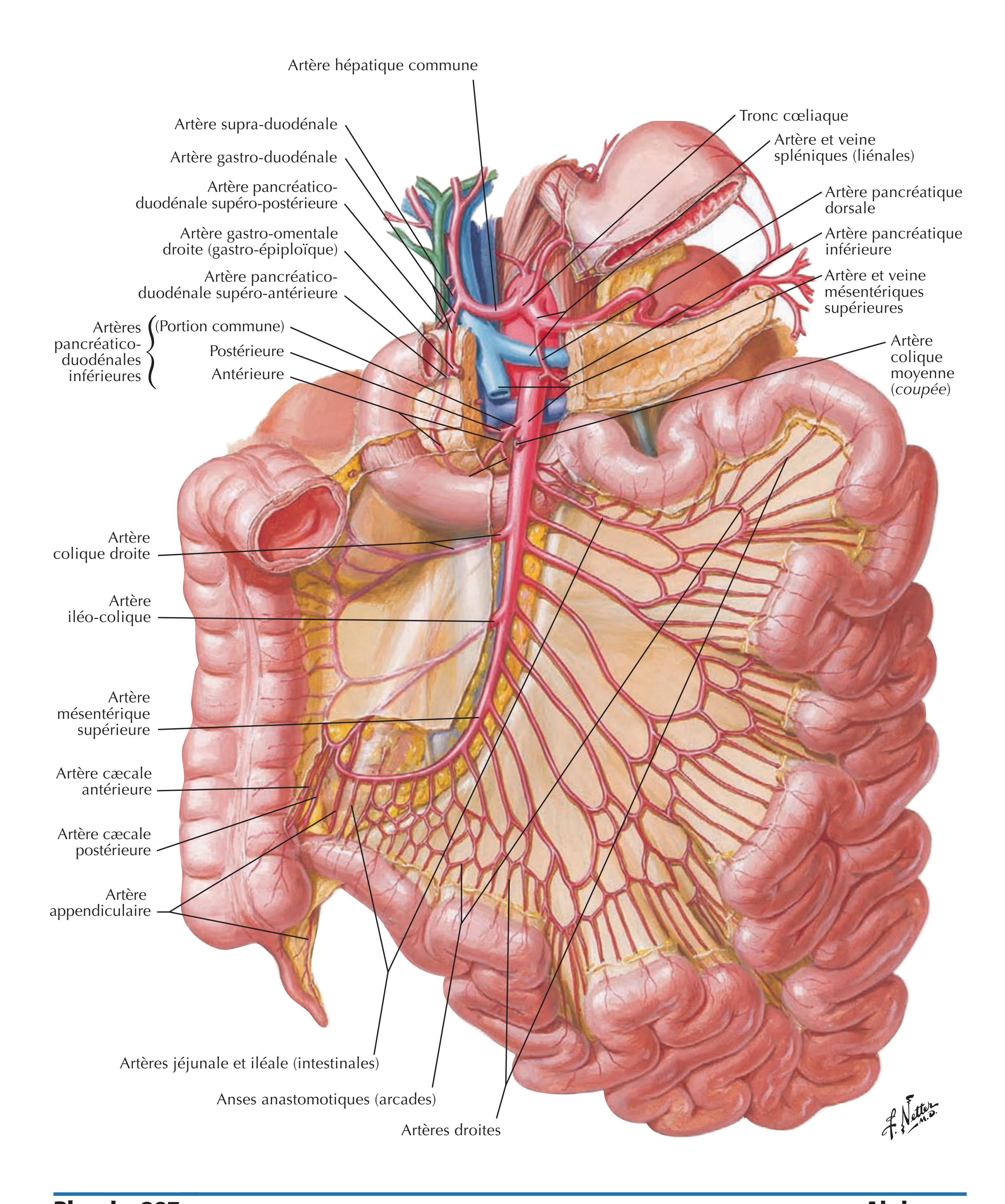
Conduit cholédoque
Artère gastro-duodénale
Artère pancréatico-duodénale postéro-supérieure
Artère pancréatico-duodénale supéro-antérieure (*en transparence*)
Artère mésentérique supérieure
Artère pancréatico-duodénale inférieure
Artère pancréatico-duodénale inféro-postérieure
Artère pancréatico-duodénale inféro-antérieure (*partiellement en transparence*)
Veine cave inférieure

Tronc cœliaque
Artère splénique (liénale)
Artère hépatique propre
Artère hépatique commune
Artère supra-duodénale
Artère gastro-duodénale (*partiellement en transparence*)
Artère pancréatico-duodénale supéro-postérieure
Conduit cholédoque
Artère gastro-omentale droite (gastro-épiploïque) (*en transparence, coupée*)
Artère pancréatico-duodénale supéro-antérieure (*en transparence*)
Branche anastomotique
Artère pancréatico-duodénale inféro-postérieure
Artère pancréatico-duodénale inféro-antérieure (*en transparence*)
Artère grande pancréatique
Artère pancréatique inférieure
Artère pancréatique dorsale
Artère mésentérique supérieure
Artère pancréatico-duodénale inférieure

F. Netter M.D.

Vue postérieure

Artères de l'intestin grêle



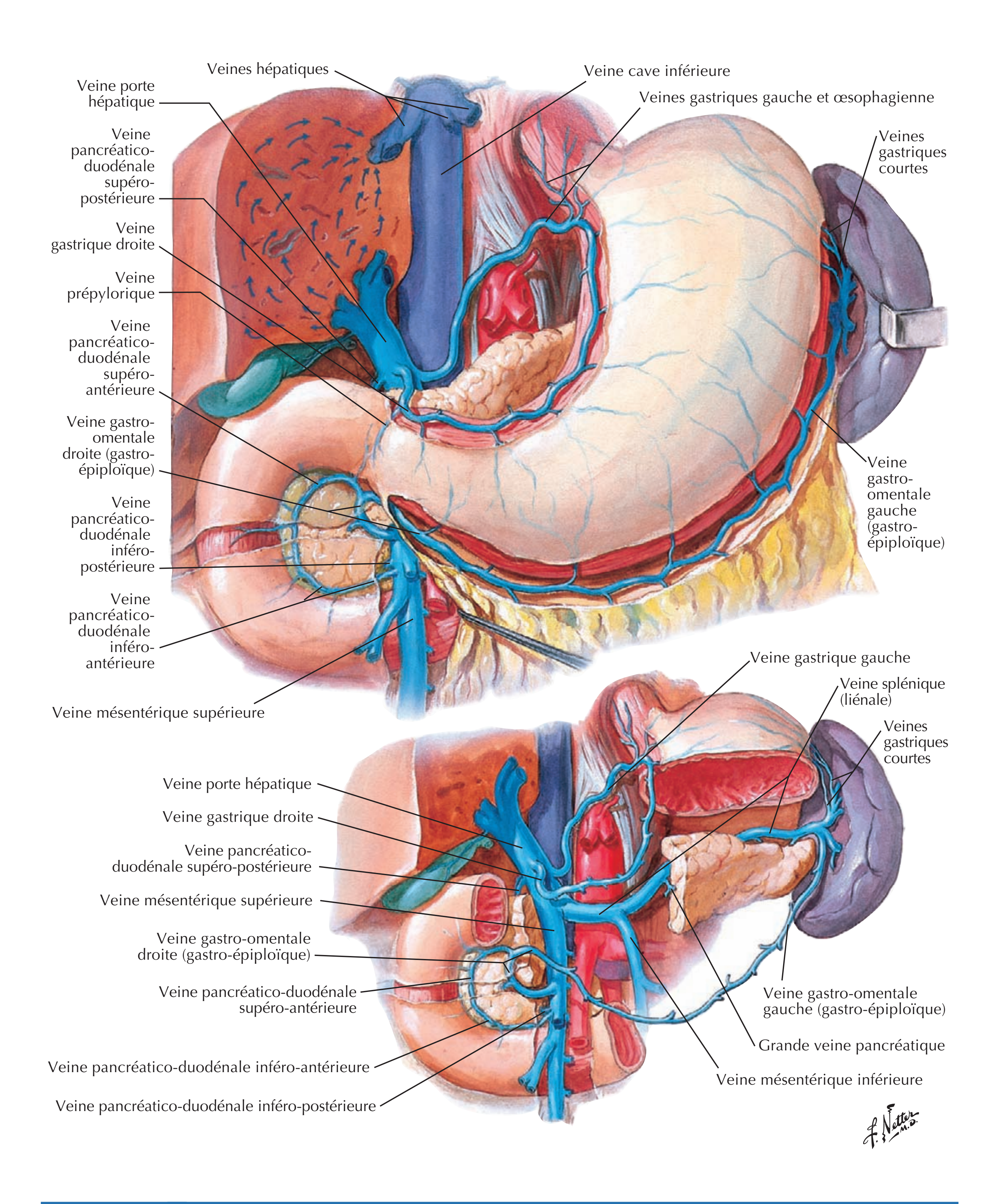


Artères du gros intestin

Pour les artères du rectum, voir aussi **Planche 378**

Artère colique moyenne
Mésocôlon transverse
Artère marginale
Artère mésentérique supérieure
Artères droites
Artères pancréatico-duodénales inférieures (Portion commune)
Postérieure
Antérieure
Artère marginale
Artère colique droite
Artère iléo-colique
Branche colique
Branche iléale
Artère marginale
Artère cæcale antérieure
Artère cæcale postérieure
Artère appendiculaire
Artère iliaque interne
Artère sacrale médiane (branche de l'aorte abdominale)
Artère rectale moyenne
Branche de l'artère rectale supérieure
Artères jéjunale et iléale (intestinales)
Artère marginale
Artère mésentérique inférieure
Artère colique gauche
Branche ascendante
Branche descendante
Artère marginale
Artères sigmoïdiennes
Mésocôlon sigmoïde
Artères droites
Artère rectale supérieure
Artère rectale inférieure
F. Netter M.D.

Veines de l'estomac, du duodénum, du pancréas et de la rate





Veines de l'intestin grêle

Veine porte hépatique

Veine gastrique gauche

Veine splénique (liénale)

Veine mésentérique supérieure

Veines jéjunale et iléale (intestinales)

Anses anastomotiques

Veines droites

Veine gastrique droite

Veine colique moyenne (*coupée*)

Veine colique droite

Veine iléo-colique

Côlon transverse (*relevé*)

Mésocôlon transverse

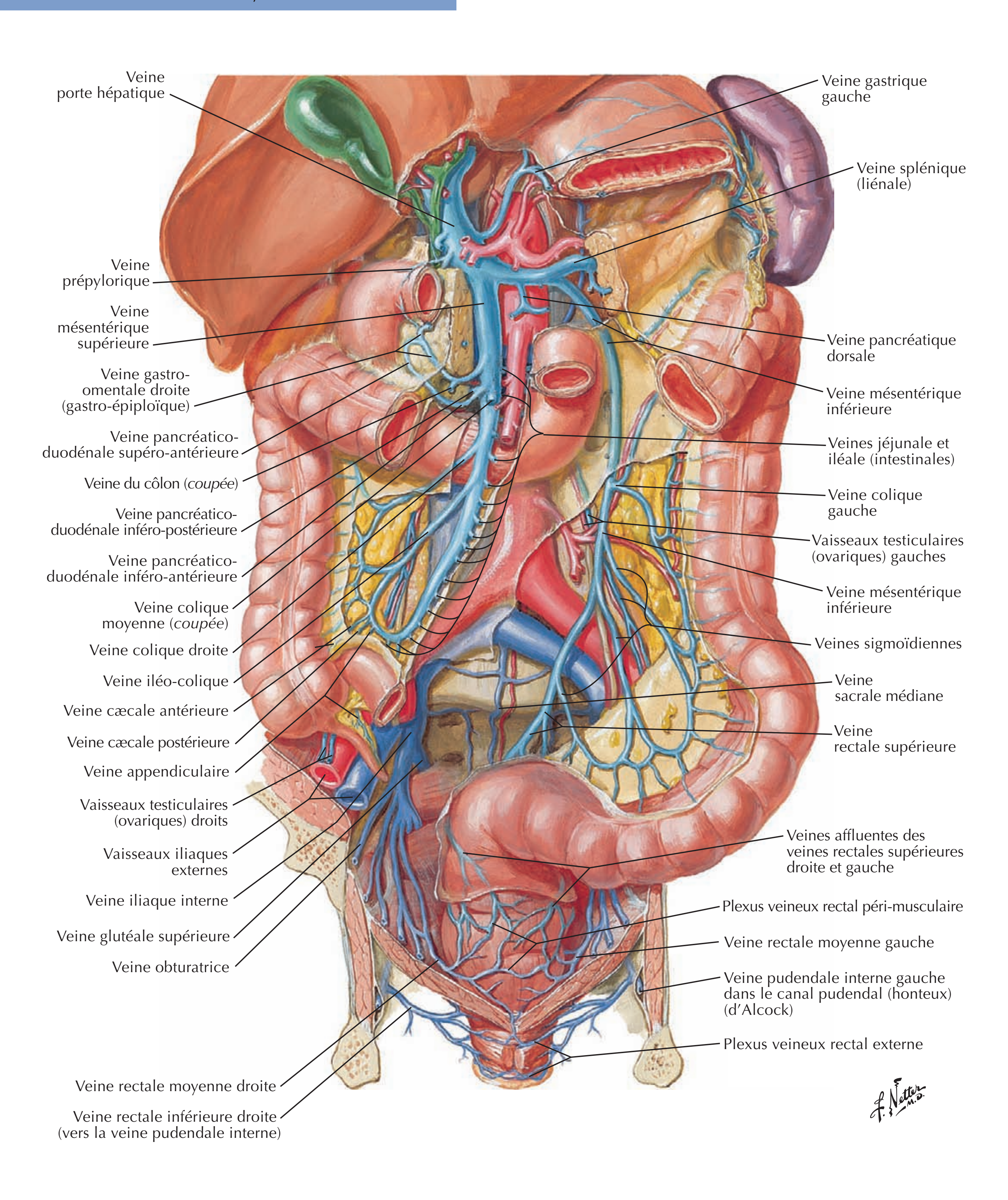
Artère et veine mésentériques supérieures

Vaisseaux jéjunaux et iléaux (intestinaux)

Rapports de la veine et de l'artère mésentériques supérieures dans la racine du mésentère

Veines du gros intestin

Pour les veines du rectum, voir aussi **Planche 379**





Affluents de la veine porte hépatique : anastomoses porto-caves

Ligaments falciforme et rond du foie
Ombilic
Veines œsophagiennes
Veines para-ombilicales
Veine gastrique droite
Veine porte hépatique
Veines pancréatico-duodénales postérieure et supéro-antérieure
Veine mésentérique supérieure
Veines pancréatico-duodénales postérieure et inféro-antérieure
Veine colique moyenne
Veine colique droite
Veine iléo-colique
Veines cæcales antérieure et postérieure
Veine appendiculaire

Sang issu de la veine mésentérique supérieure
Sang issu des veines splénique (liénale), gastrique et mésentérique inférieure
Mélange des deux sangs ci-dessus
Affluents de la veine cave

Veine gastrique gauche
Veines gastriques courtes
Veine gastro-omentale gauche (gastro-épiploïque)
Veine splénique (liénale)
Veine gastro-omentale droite (gastro-épiploïque)
Veine mésentérique inférieure
Veine colique gauche
Veines sigmoïdiennes
Veines rectales supérieures droite et gauche
Veines rectales moyennes
Muscle élévateur de l'anus
Veines rectales inférieures

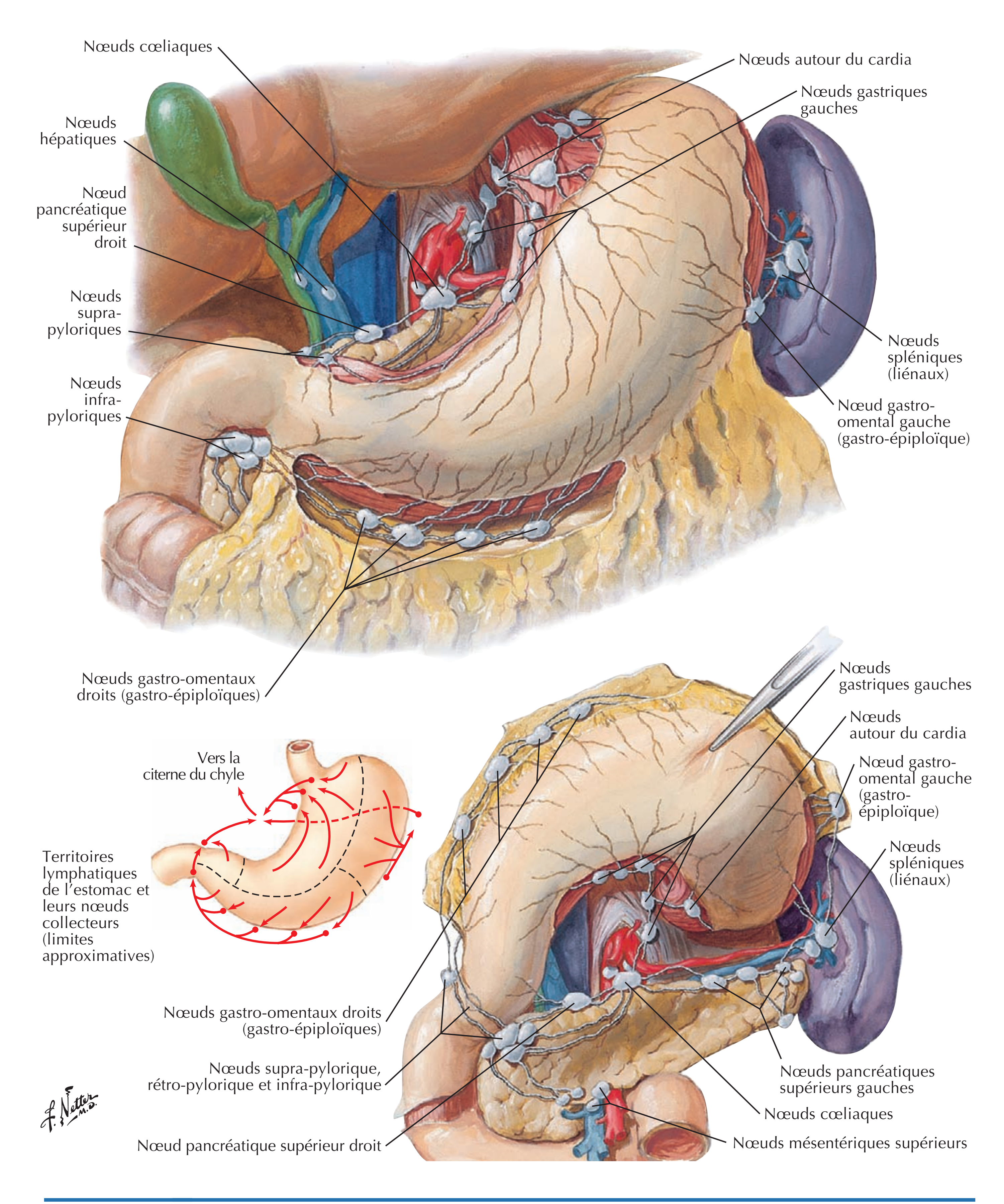
1 1 2 2 3 4 4 4 4 4 4 4 4 4 4 4 4

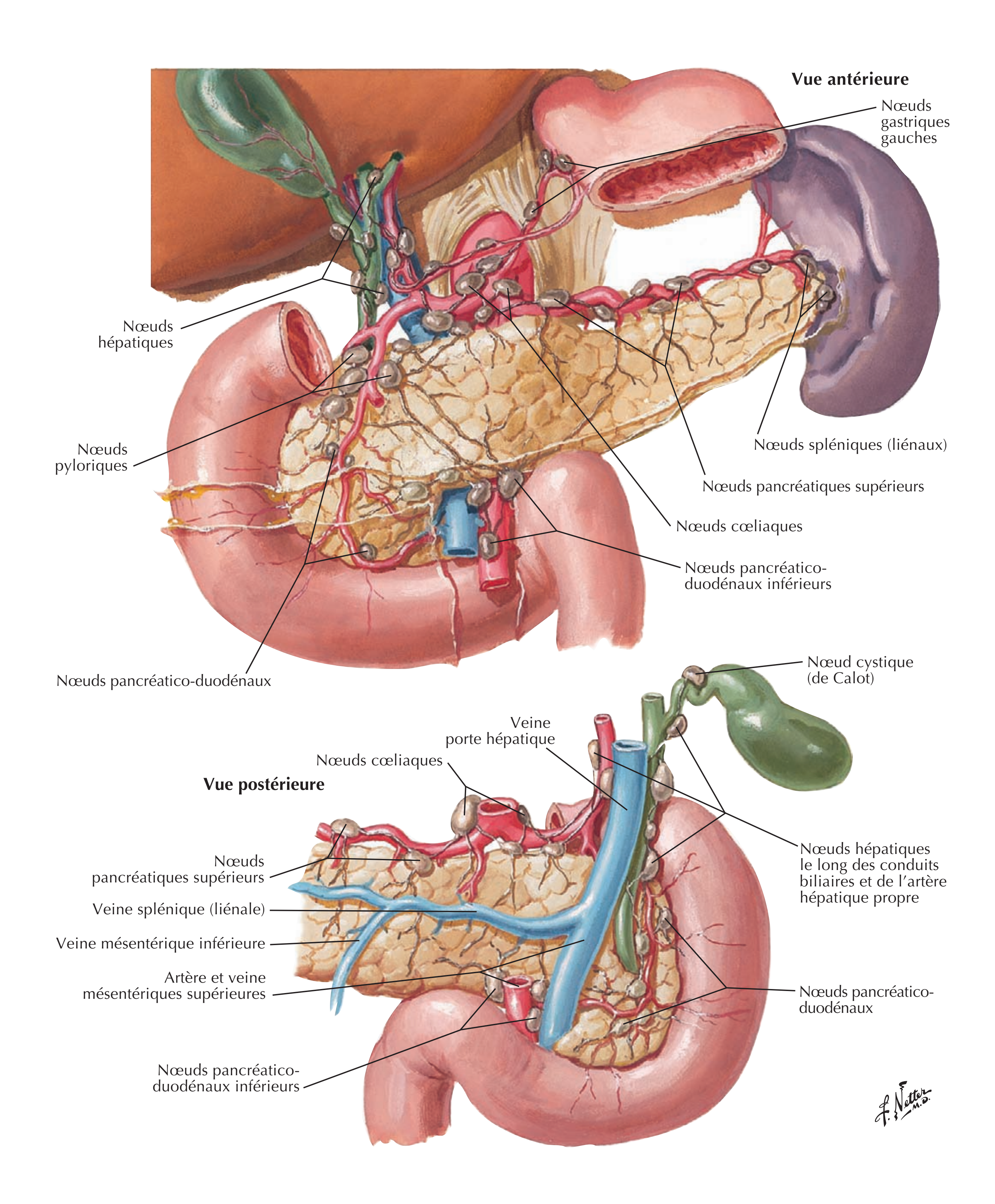
Anastomoses porto-caves

1	Œsophagiennes	3	Rectales
2	Para-ombilicales	4	Rétro-péritonéales

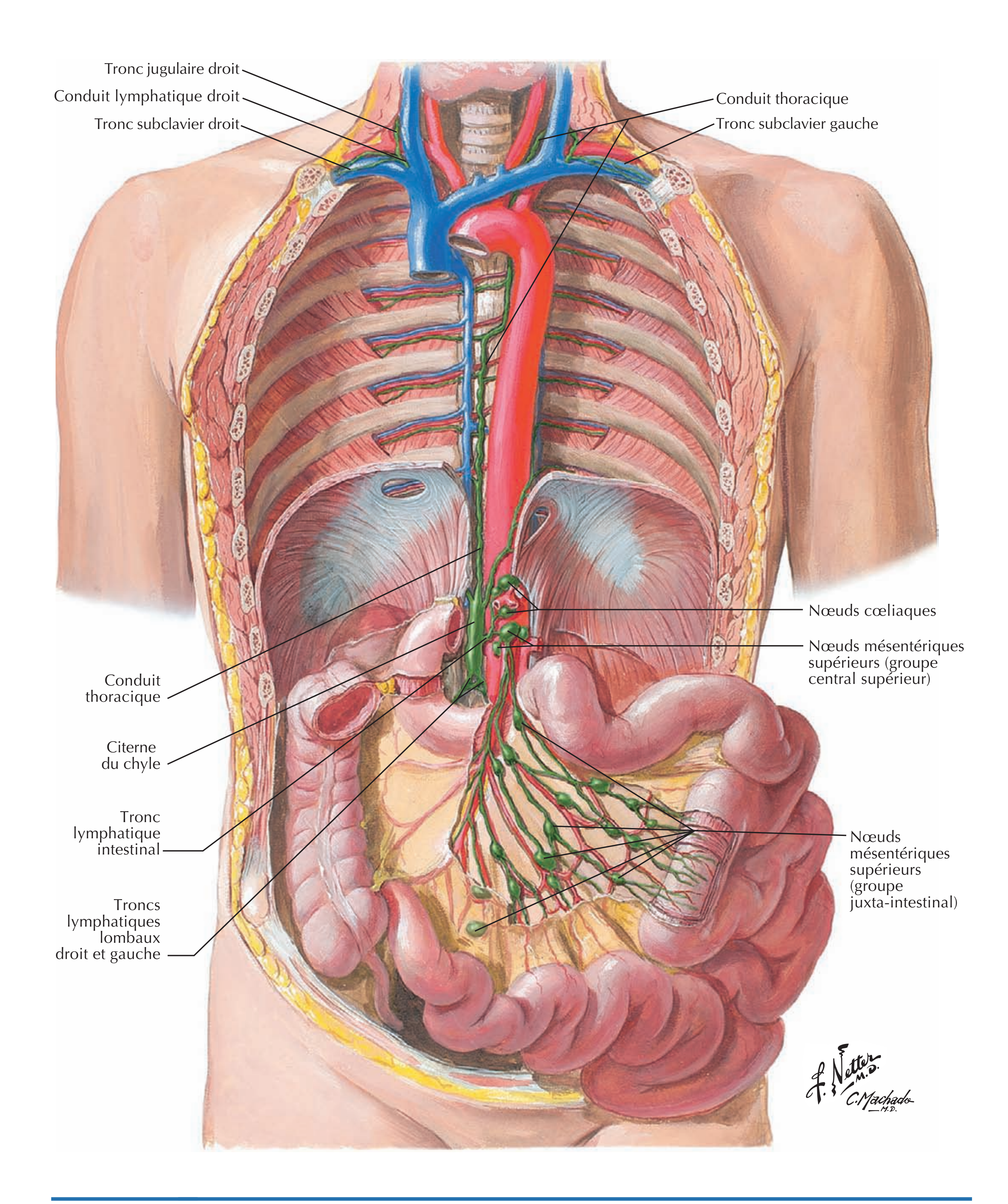
F. Netter M.D.

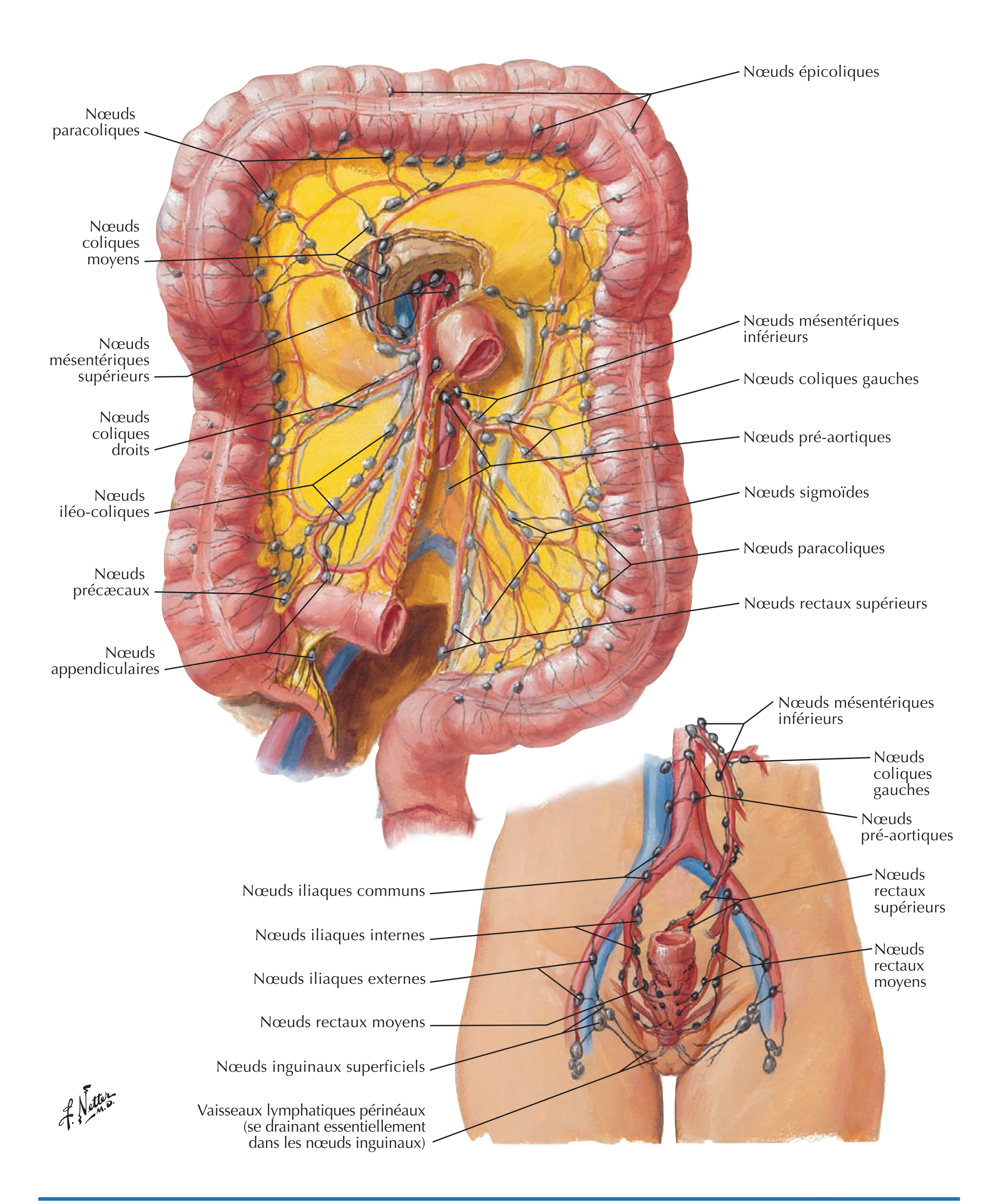
Vaisseaux et nœuds lymphatiques de l'estomac



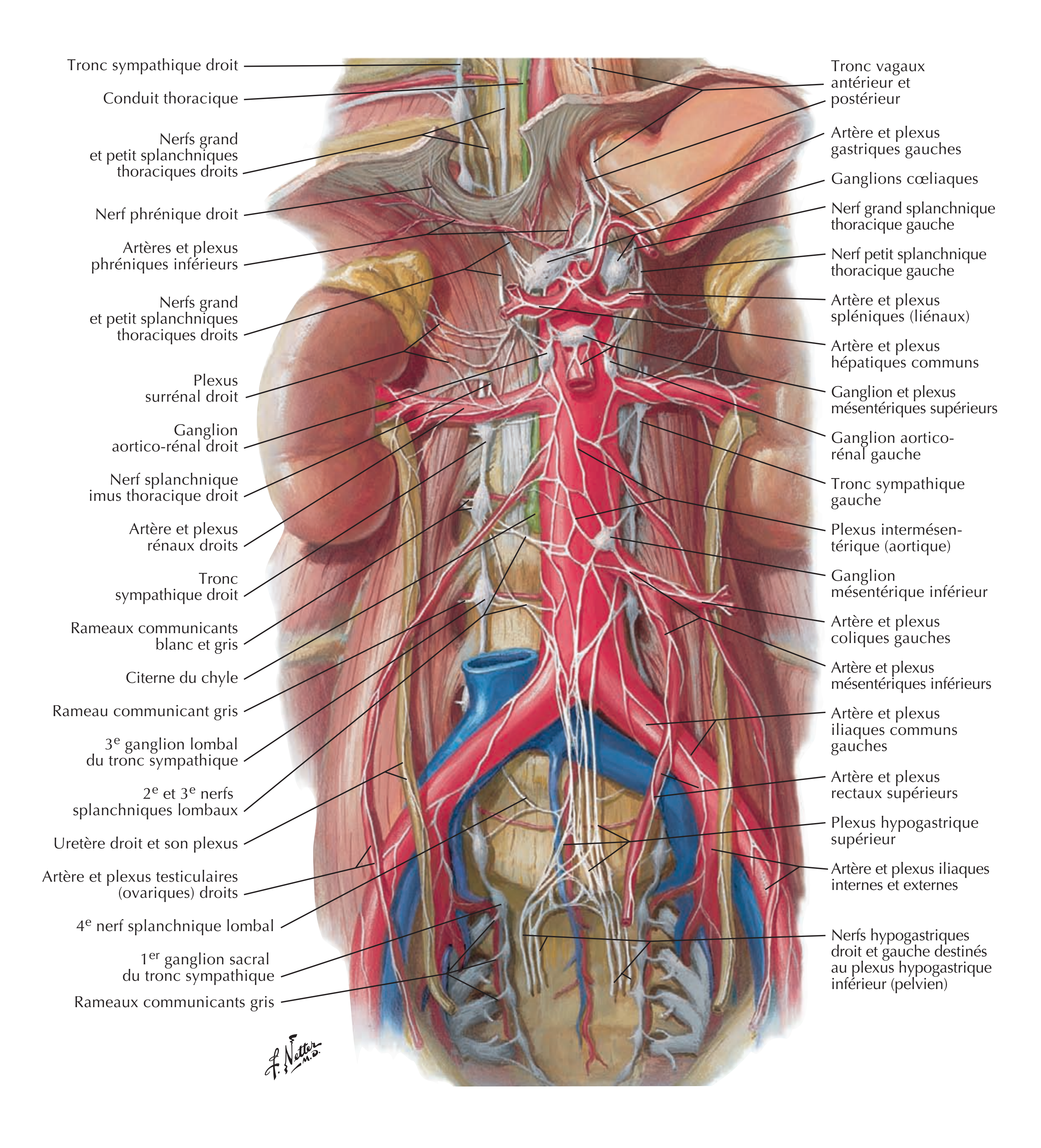

Vue antérieure
Nœuds gastriques gauches
Nœuds hépatiques
Nœuds pyloriques
Nœuds spléniques (liénaux)
Nœuds pancréatiques supérieurs
Nœuds cœliaques
Nœuds pancréatico-duodénaux inférieurs
Nœuds pancréatico-duodénaux
Nœud cystique (de Calot)
Veine porte hépatique
Nœuds cœliaques
Vue postérieure
Nœuds pancréatiques supérieurs
Veine splénique (liénale)
Veine mésentérique inférieure
Artère et veine mésentériques supérieures
Nœuds pancréatico-duodénaux inférieurs
Nœuds hépatiques le long des conduits biliaires et de l'artère hépatique propre
Nœuds pancréatico-duodénaux

Vaisseaux et nœuds lymphatiques de l'intestin grêle




Nœuds épicoliques
Nœuds paracoliques
Nœuds coliques moyens
Nœuds mésentériques supérieurs
Nœuds coliques droits
Nœuds iléo-coliques
Nœuds précæcaux
Nœuds appendiculaires
Nœuds mésentériques inférieurs
Nœuds coliques gauches
Nœuds pré-aortiques
Nœuds sigmoïdes
Nœuds paracoliques
Nœuds rectaux supérieurs
Nœuds mésentériques inférieurs
Nœuds coliques gauches
Nœuds pré-aortiques
Nœuds rectaux supérieurs
Nœuds rectaux moyens
Nœuds iliaques communs
Nœuds iliaques internes
Nœuds iliaques externes
Nœuds rectaux moyens
Nœuds inguinaux superficiels
Vaisseaux lymphatiques périnéaux (se drainant essentiellement dans les nœuds inguinaux)
F. Netter M.D.

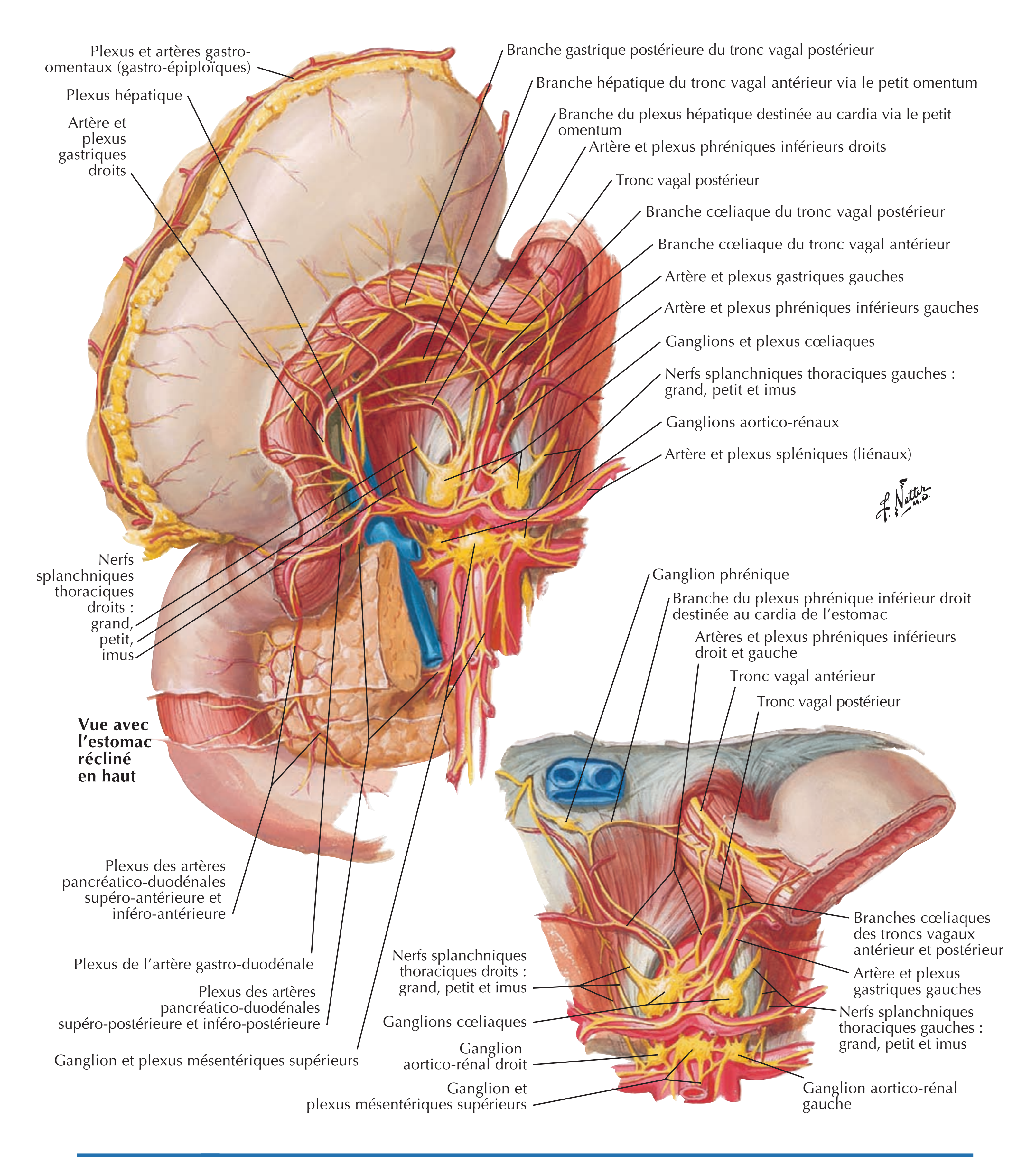
Nerfs et ganglions autonomes de l'abdomen





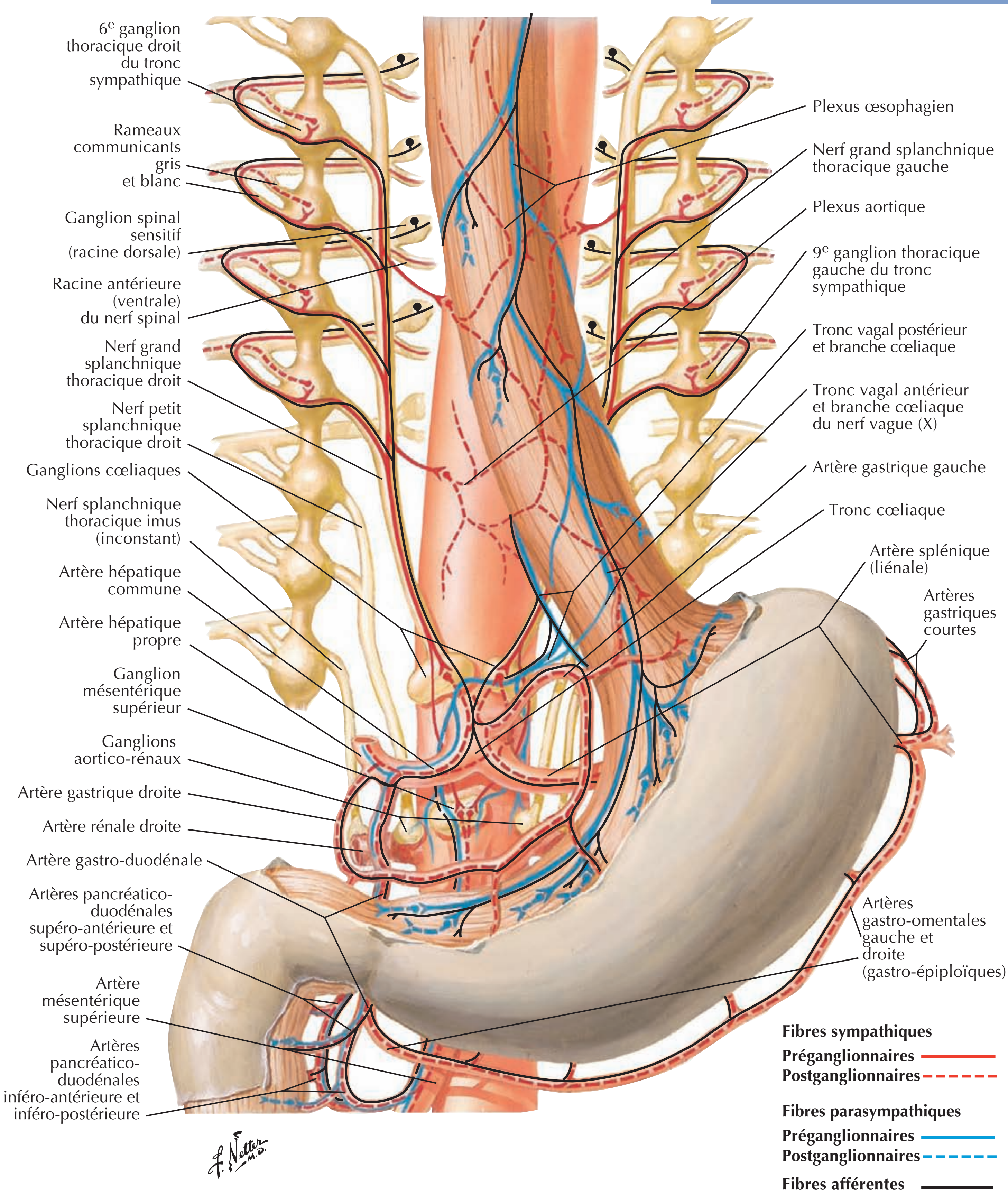
Innervation autonome de l'estomac et du duodénum

Innervation autonome de l'estomac et du duodénum (suite)

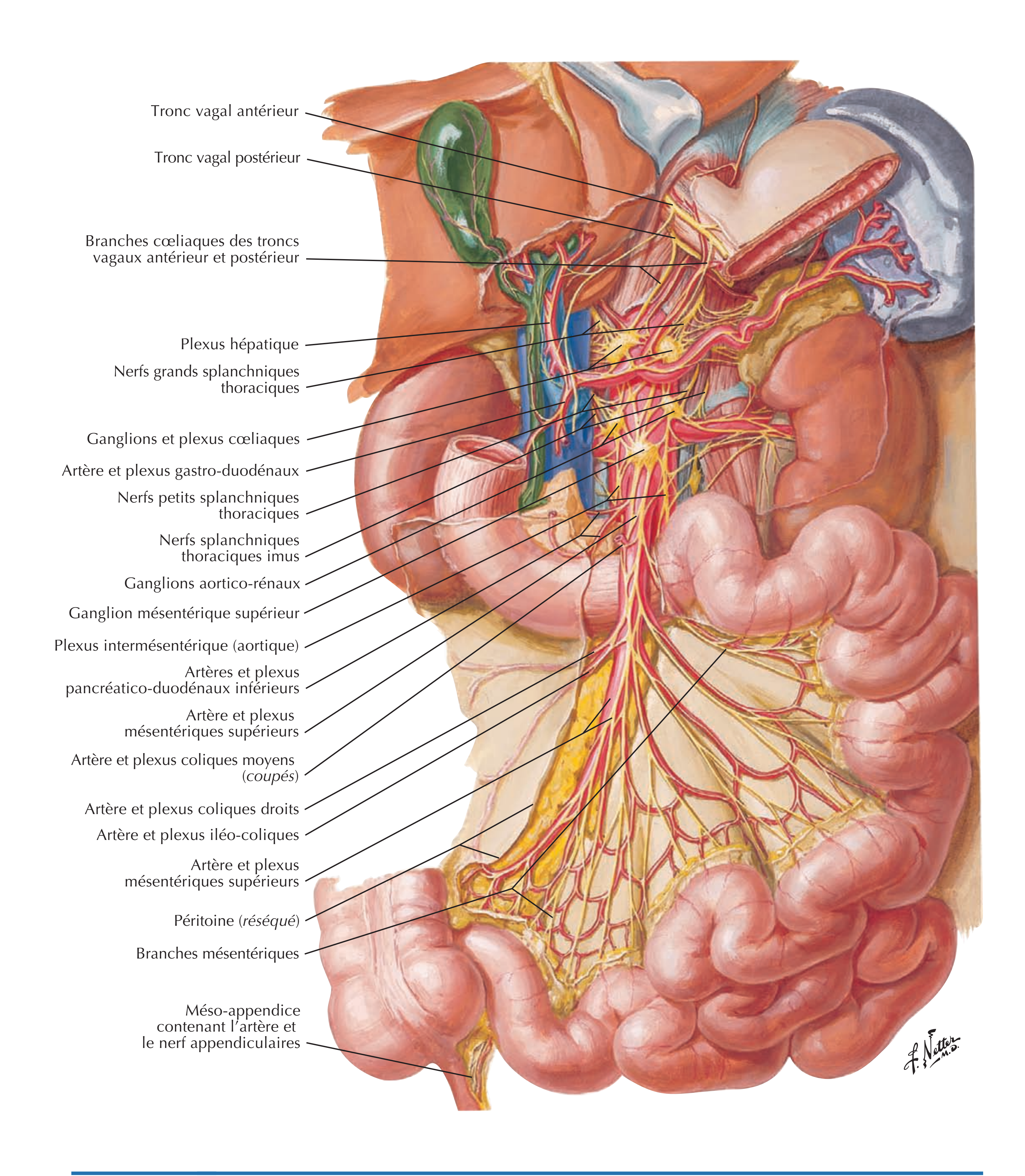


Innervation autonome de l'estomac et du duodénum: schema

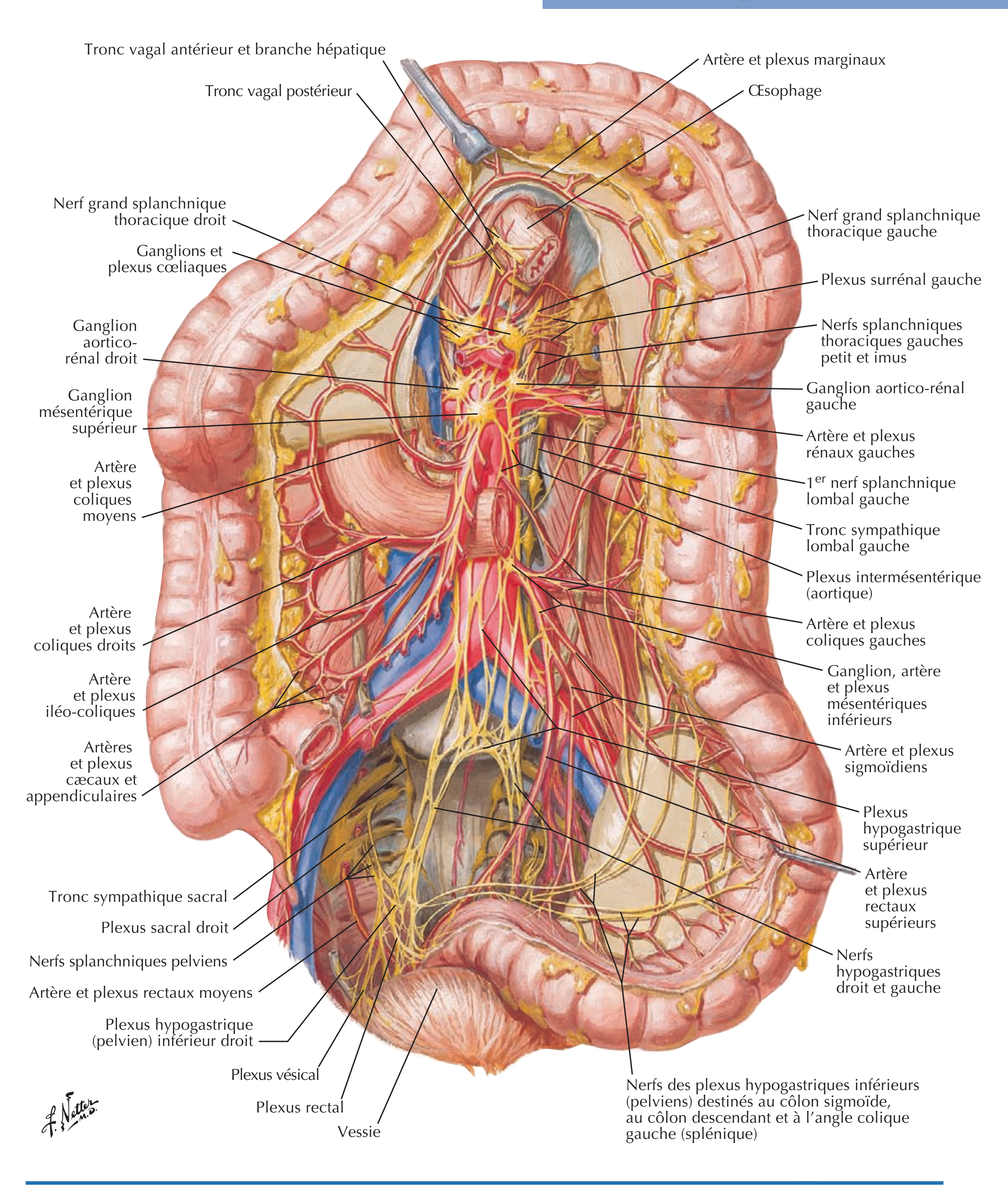
Voir aussi **Planches 160, 161**



Innervation autonome de l'intestin grêle

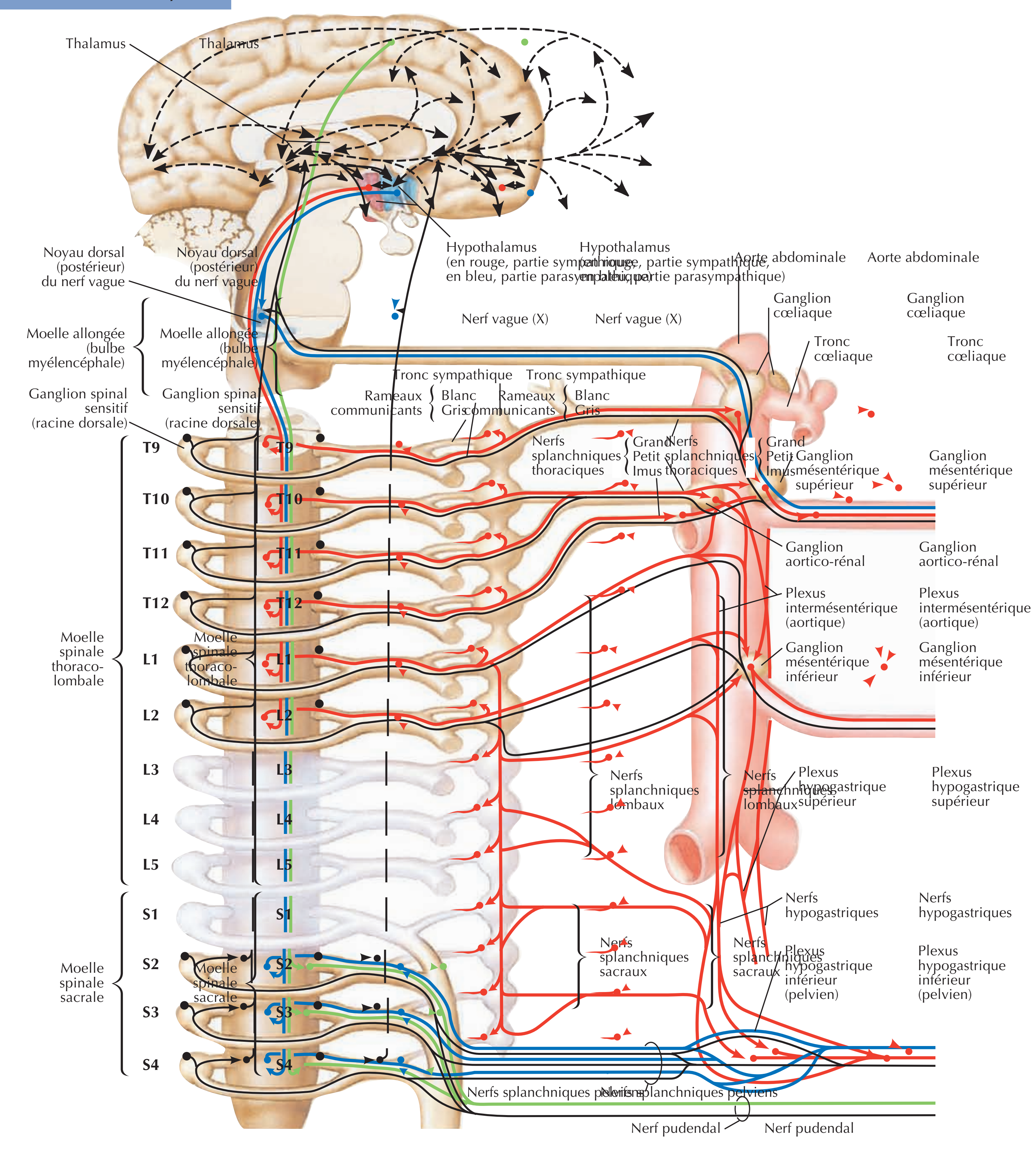


Pour les nerfs du rectum, voir **Planches 390-393**

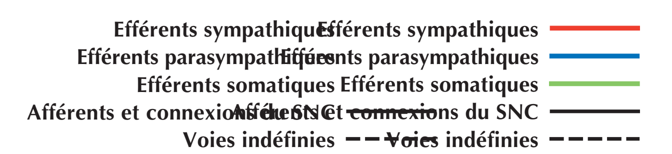


Innervation autonome de l'intestin grêle et du gros intestin : schéma

Voir aussi **Planches 160, 161**



Innervation autonome de l'intestin grêle et du gros intestin : schéma



Efférents sympathiques
Efférents parasympathiques
Efférents somatiques
Afférents et connexions du SNC
Voies indéfinies

T12, L1

T9 (8)

T9, 10

L1, 2

T10–12

T10–12

T10 (11)

T10–12

T10–12

L1, 2

L1, 2

Artère et nerfs rectaux supérieurs

Artère et nerfs rectaux supérieurs

Plexus rectal

Plexus rectal

Muscle élévateur de l'anus

Nerf rectal inférieur

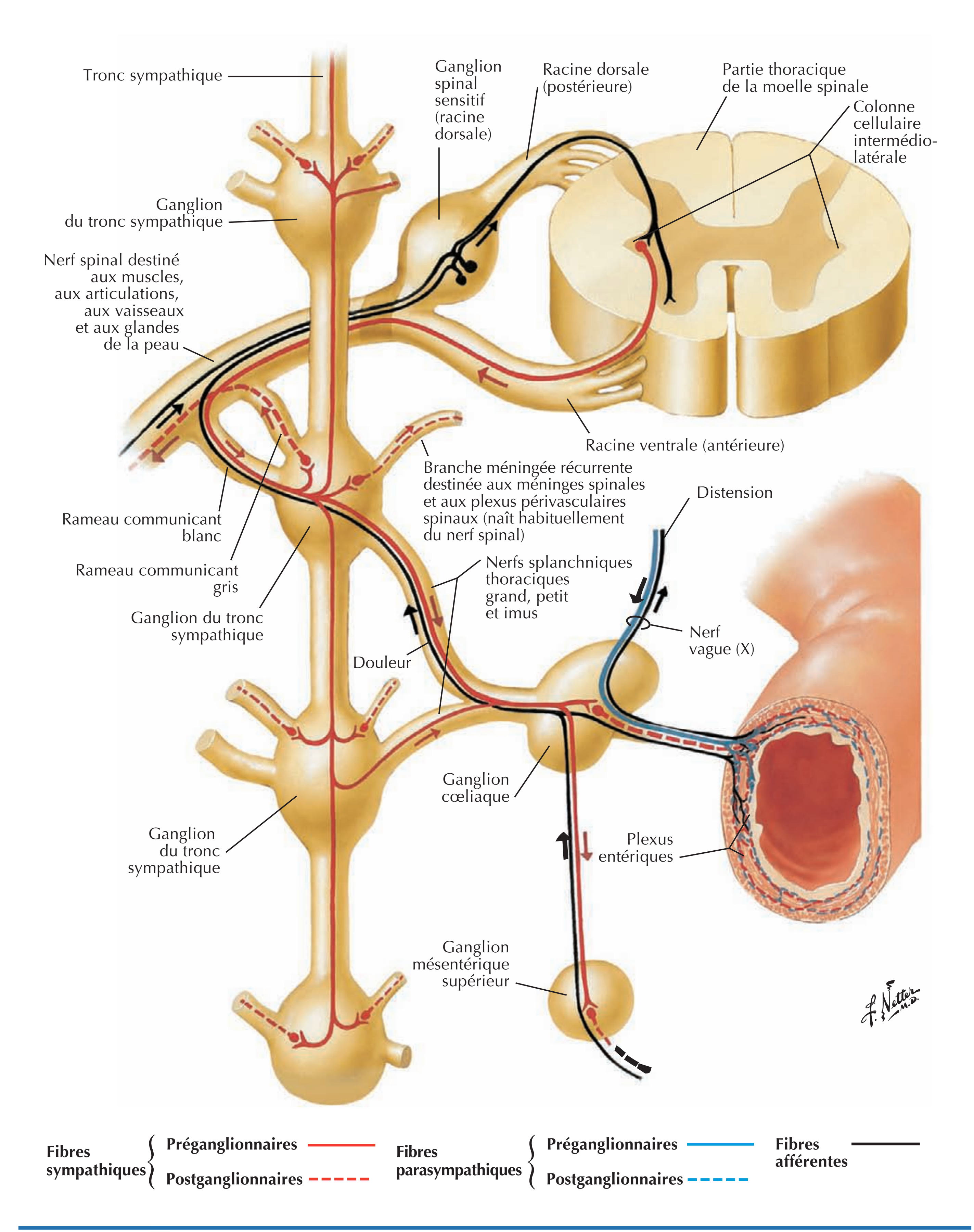
Nerf rectal inférieur

Muscle sphincter externe de l'anus

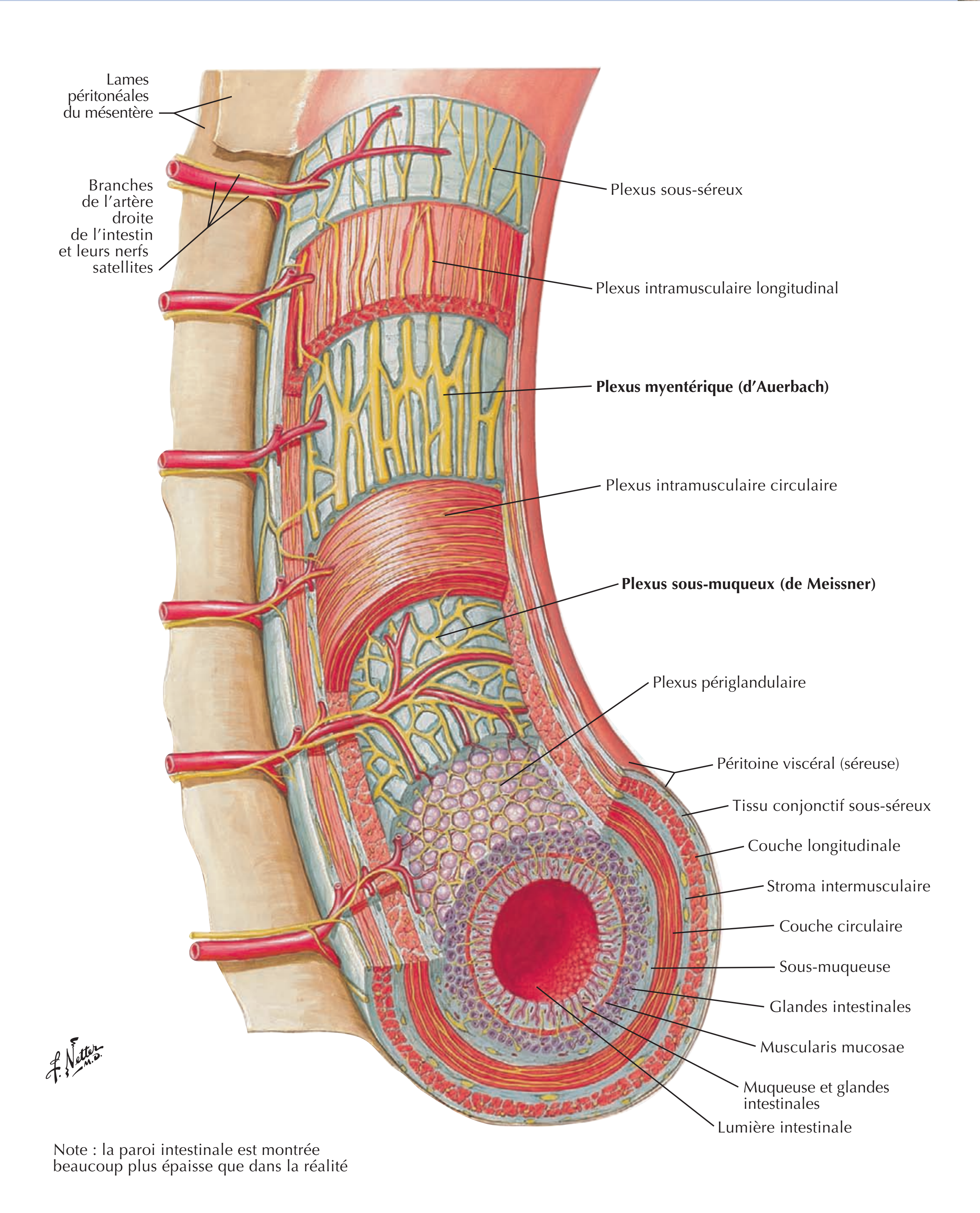
Principales origines segmentaires des fibres sympathiques innervant les différentes régions du tractus intestinal. De nombreuses fibres afférentes sont véhiculées de façon centripète, approximativement, par les mêmes nerfs splanchniques sympathiques qui transmettent les fibres préganglionnaires.

Principales origines segmentaires des fibres sympathiques innervant les différentes régions du tractus intestinal. De nombreuses fibres afférentes sont véhiculées de façon centripète, approximativement, par les mêmes nerfs splanchniques sympathiques qui transmettent les fibres préganglionnaires.

Voies réflexes autonomes : schéma



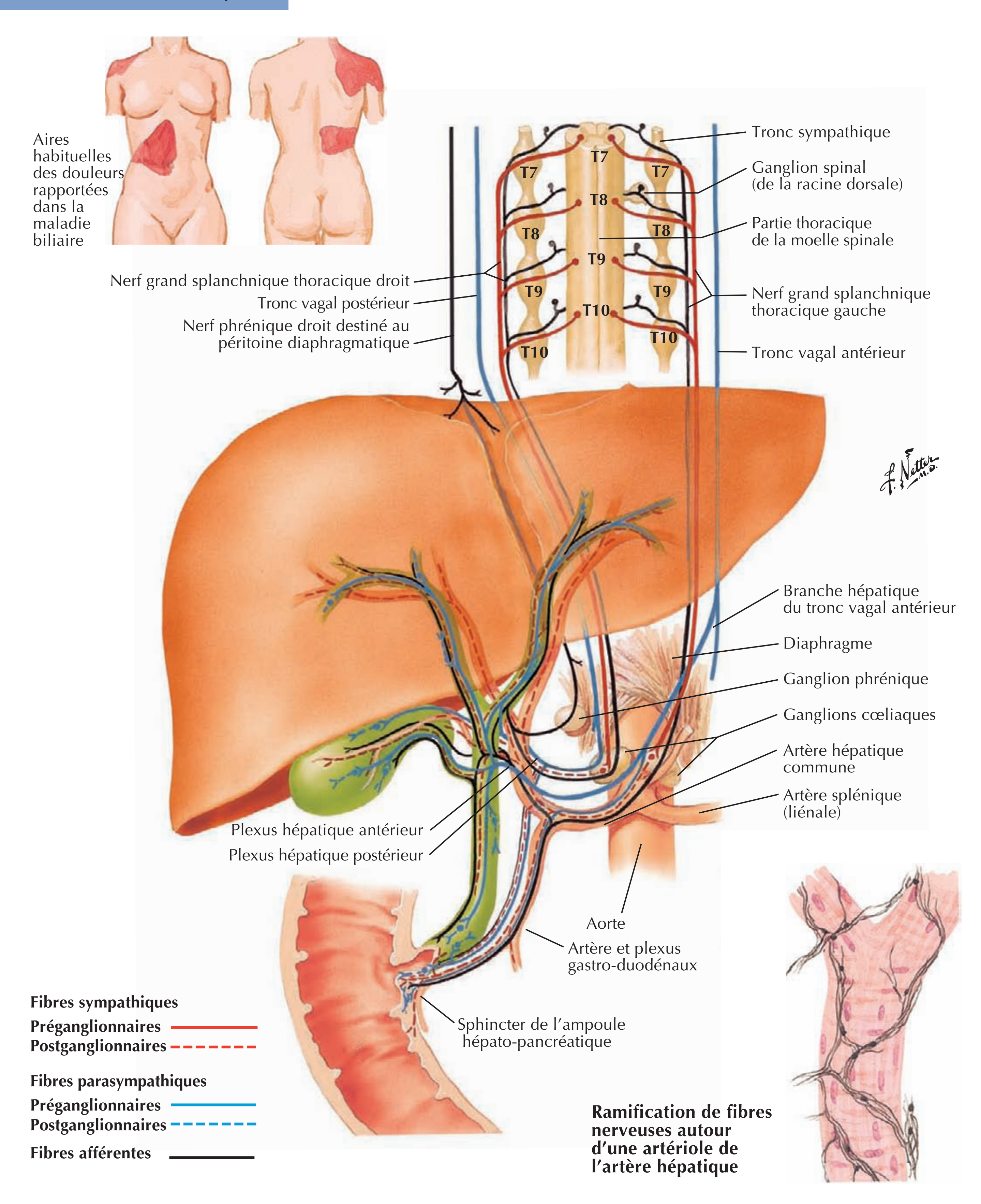
Plexus autonomes intrinsèques de l'intestin : schéma

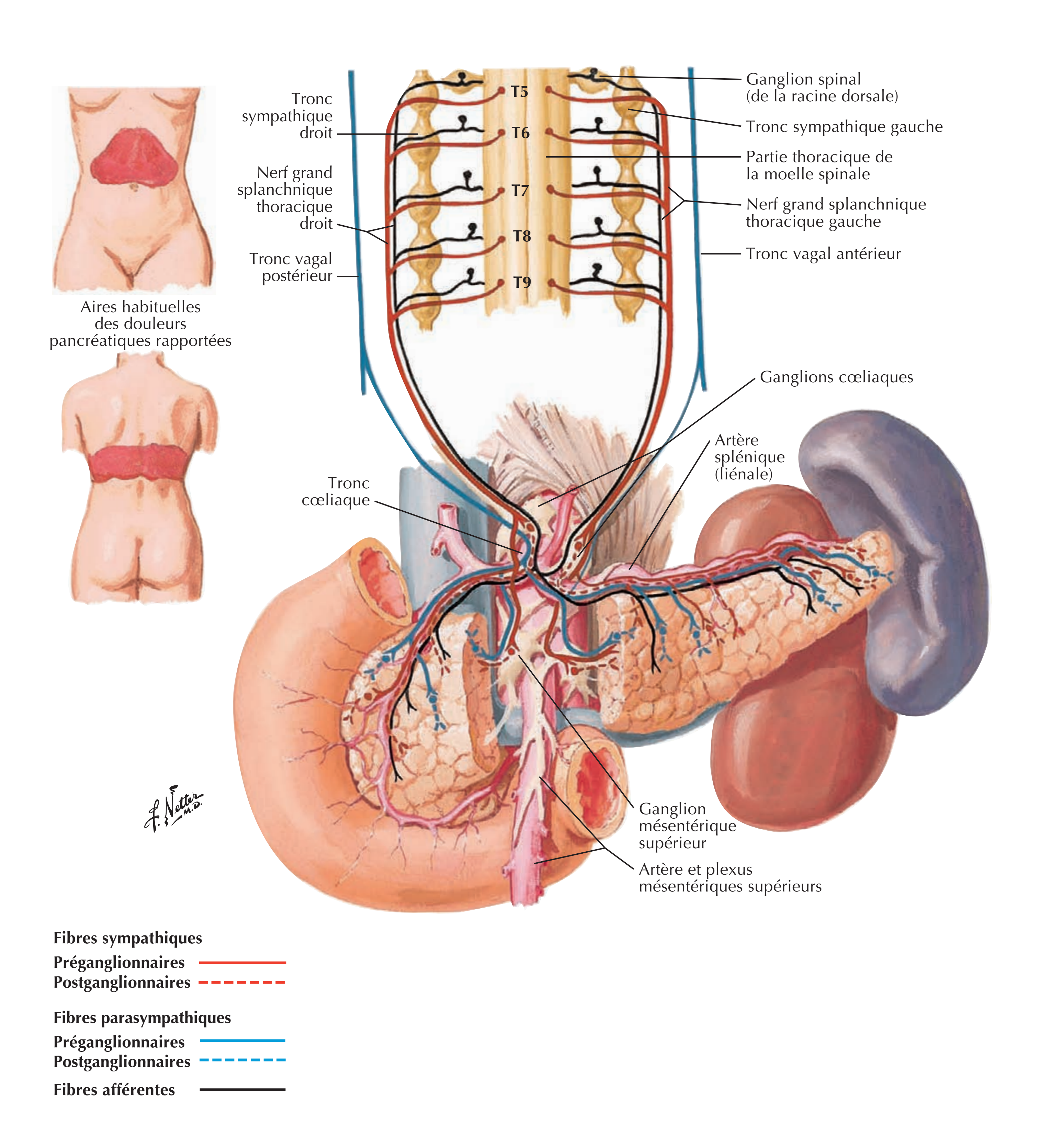


Note : la paroi intestinale est montrée beaucoup plus épaisse que dans la réalité

Innervation autonome du foie et des voies biliaires : schéma

Voir aussi **Planches 160, 161**



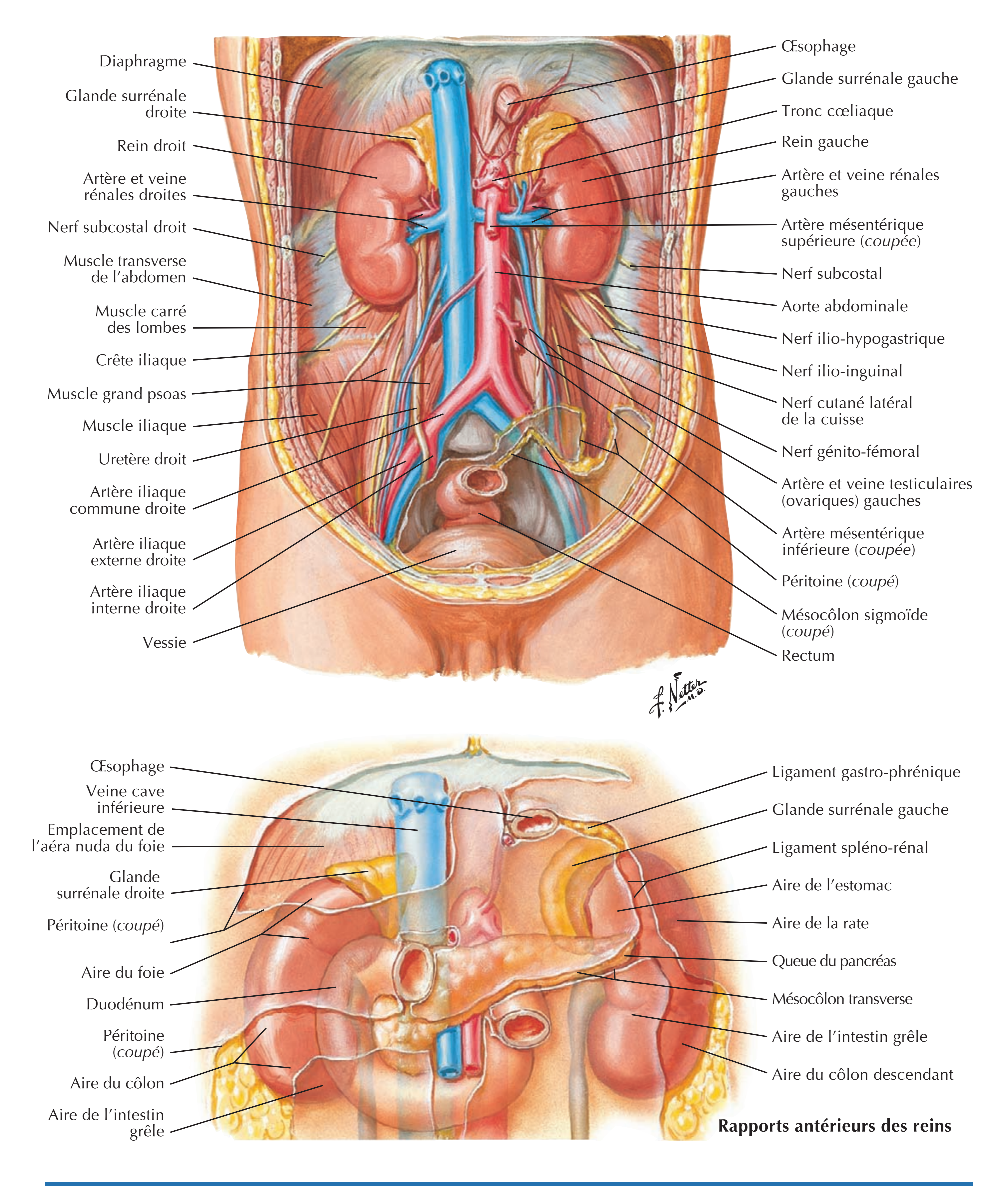


Fibres sympathiques
Préganglionnaires
Postganglionnaires

Fibres parasympathiques
Préganglionnaires
Postganglionnaires

Fibres afférentes

Reins *in situ* : vues antérieures



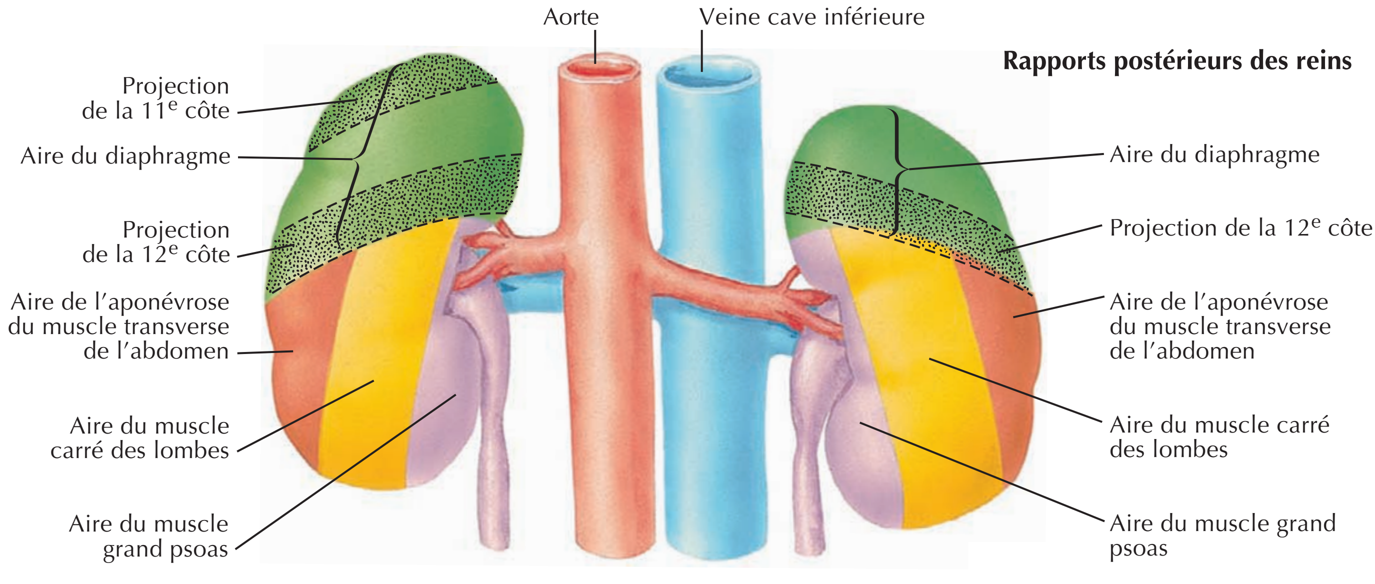
Rapports antérieurs des reins



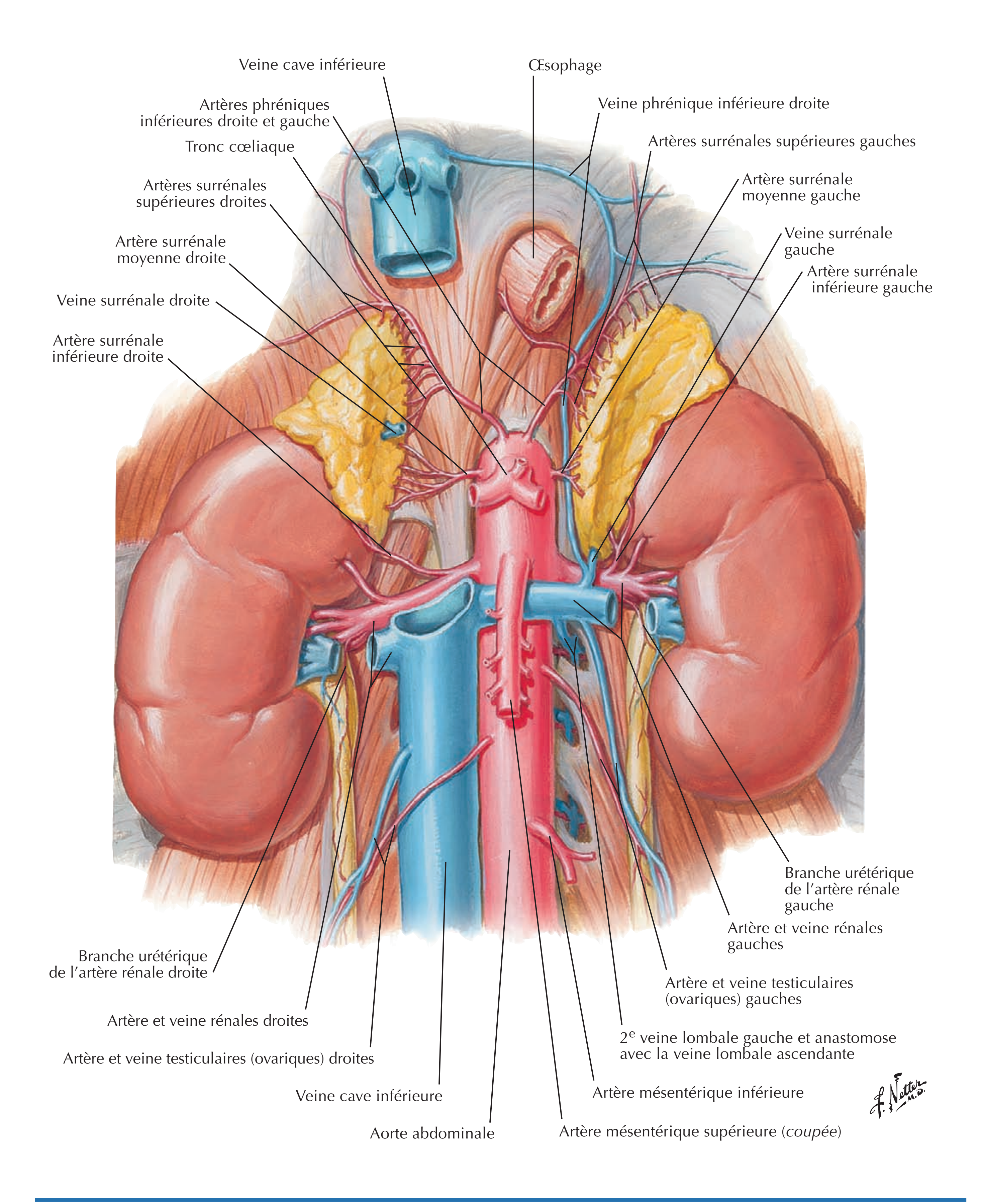
Reins *in situ* : vues postérieures

Muscle grand dorsal
Muscle dentelé postéro-inférieur
Muscle oblique externe
Aponévrose du muscle transverse de l'abdomen
Muscle oblique interne
Fascia thoraco-lombal (lame postérieure)
Crête iliaque
Muscle érecteur du rachis
Fascia glutéal (recouvrant le muscle moyen glutéal)
Muscle grand glutéal
10
11
12
Plèvre (récessus costo-diaphragmatique)
Ligament lombo-costal
Muscle carré des lombes (*coupé*)
Diaphragme
Nerf subcostal
Rein droit
Côlon ascendant
Muscle transverse de l'abdomen
Nerf ilio-hypogastrique
Nerf ilio-inguinal
Muscle carré des lombes (*coupé*)
Muscle grand psoas
Ligament ilio-lombal
F. Netter M.D.

Rapports postérieurs des reins



Artère et veine rénales *in situ*





Structure macroscopique du rein

Face antérieure du rein droit

Extrémité supérieure
Capsule du rein (*décollée et réclinée*)
Bord latéral
Bord médial
Hile
Artère rénale
Veine rénale
Pelvis rénal
Veinules étoilées visibles à travers la capsule
Bord médial
Uretère
Extrémité inférieure

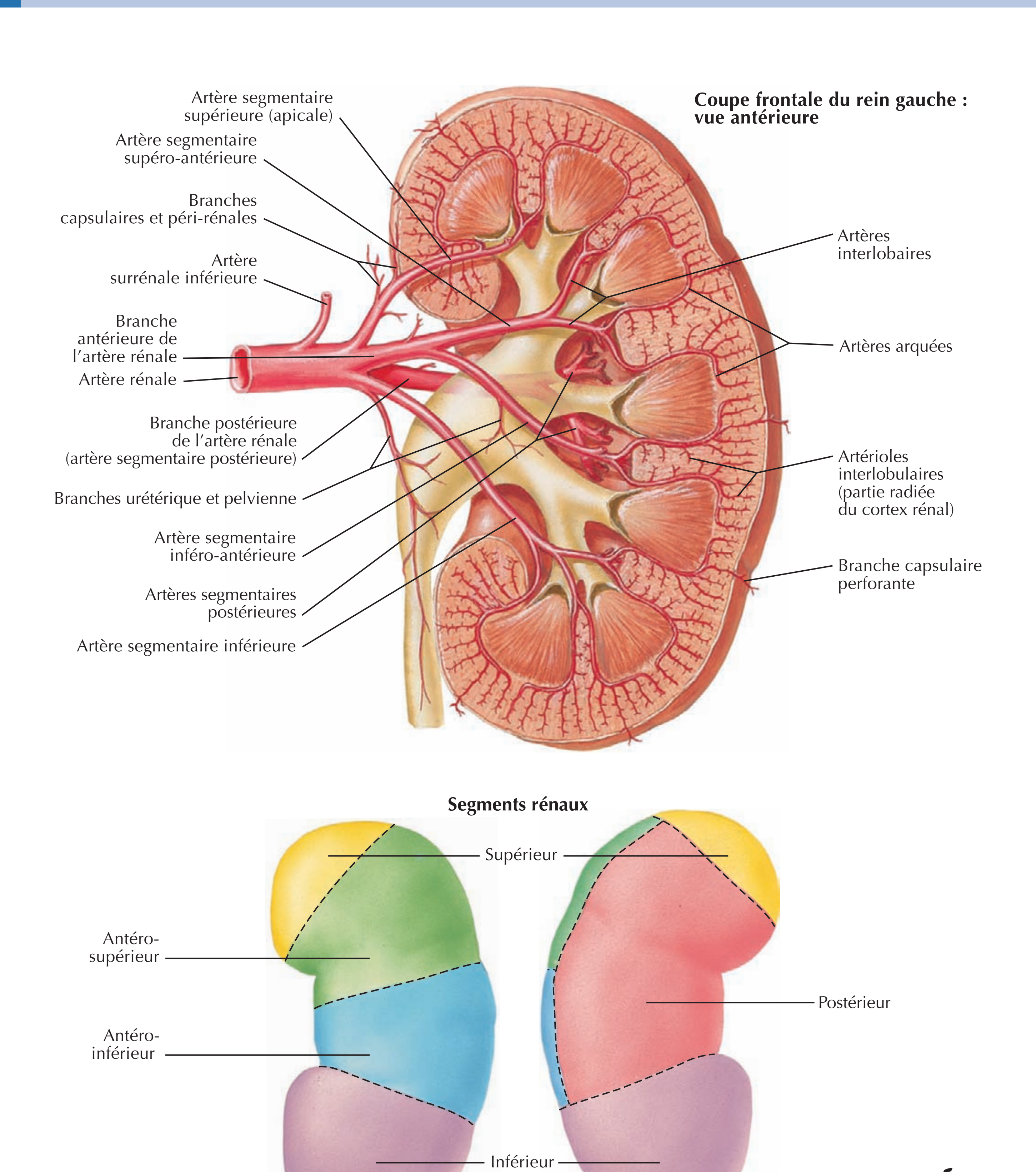
Glande surrénale et rein lobulé de l'enfant

Capsule du rein
Cortex
Calices rénaux mineurs
Vaisseaux sanguins pénétrant dans le parenchyme rénal
Médullaire rénale (pyramides rénales)
Sinus rénal
Papille rénale
Calices rénaux majeurs
Colonne rénale (de Bertin)
Pelvis rénal
Tissu graisseux du sinus rénal
Calices rénaux mineurs
Base de la pyramide
Uretère

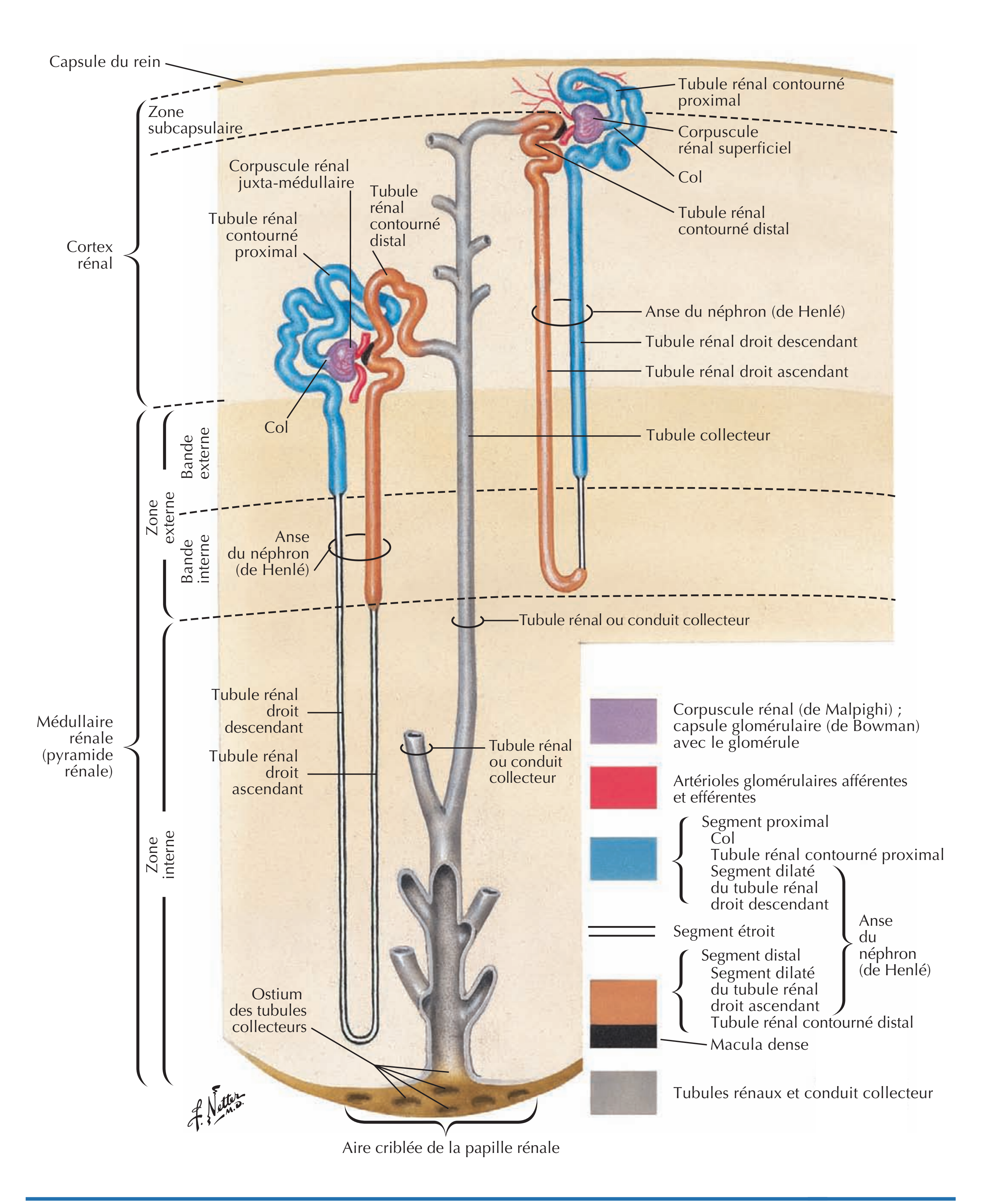
Rein droit coupé sur plusieurs plans, montrant le parenchyme et le pelvis rénal

F. Netter M.D.

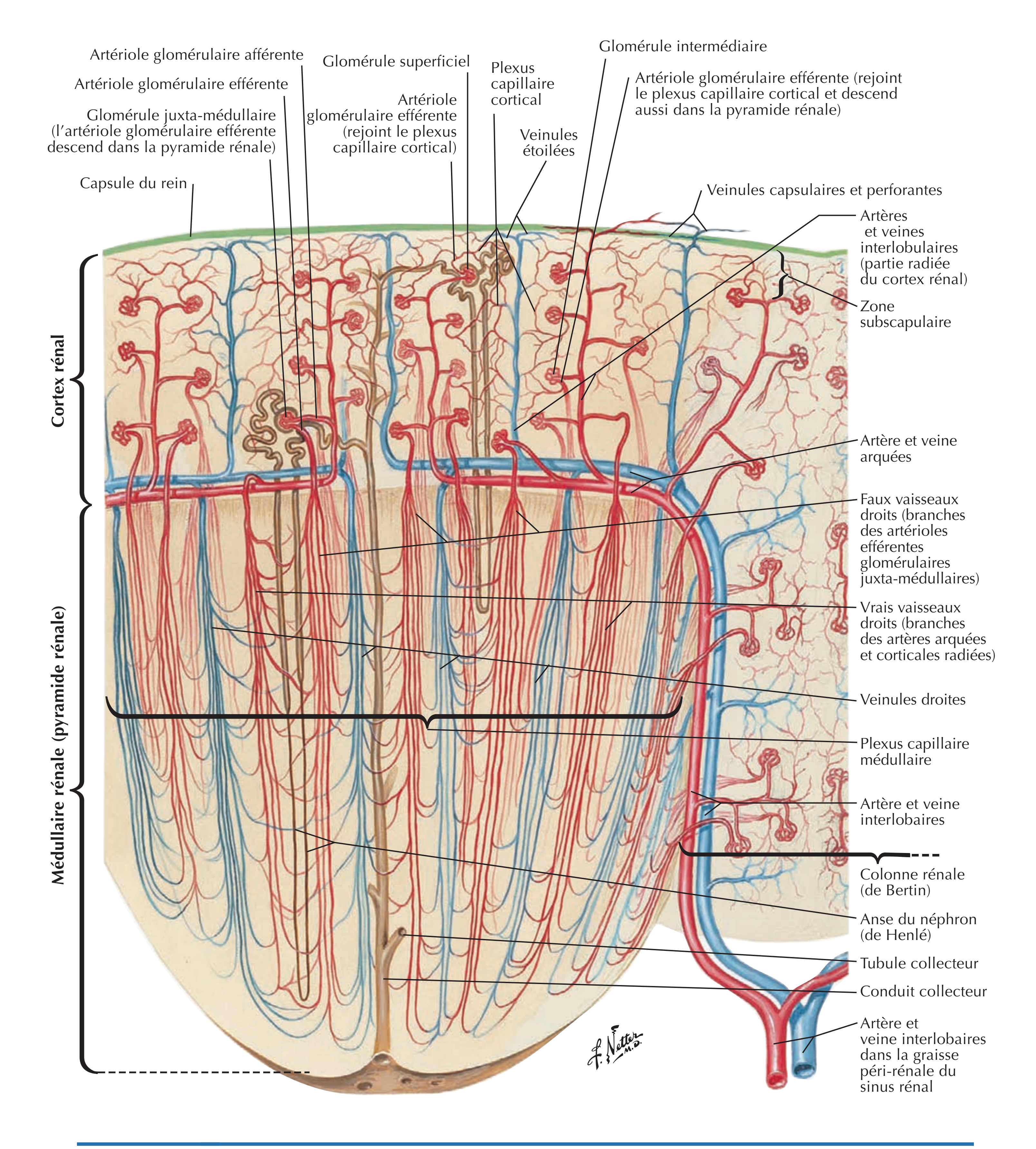
Artères intra-rénales et segments rénaux



Néphron et tubule rénal collecteur : schéma

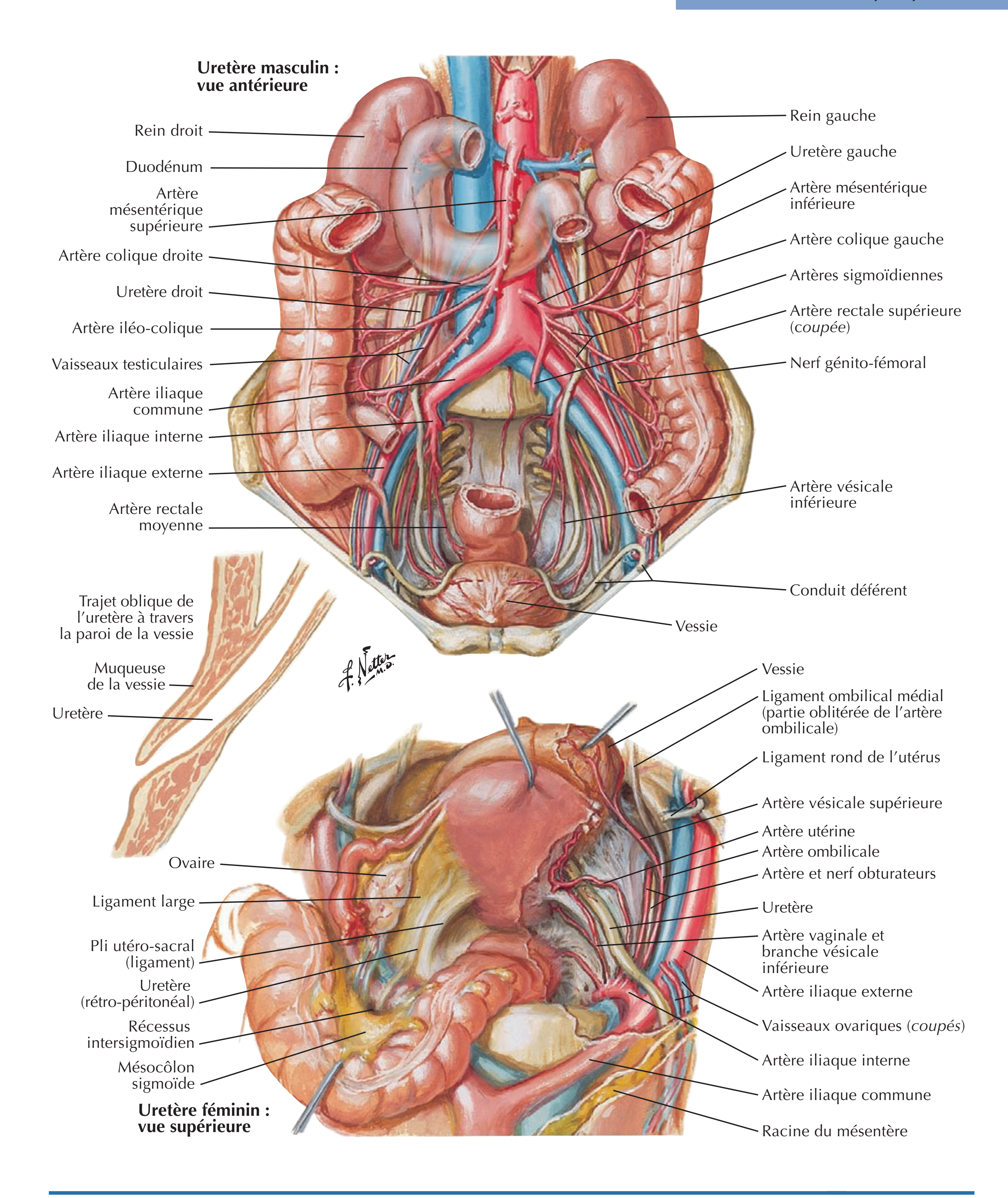


Vaisseaux sanguins du parenchyme rénal : schéma

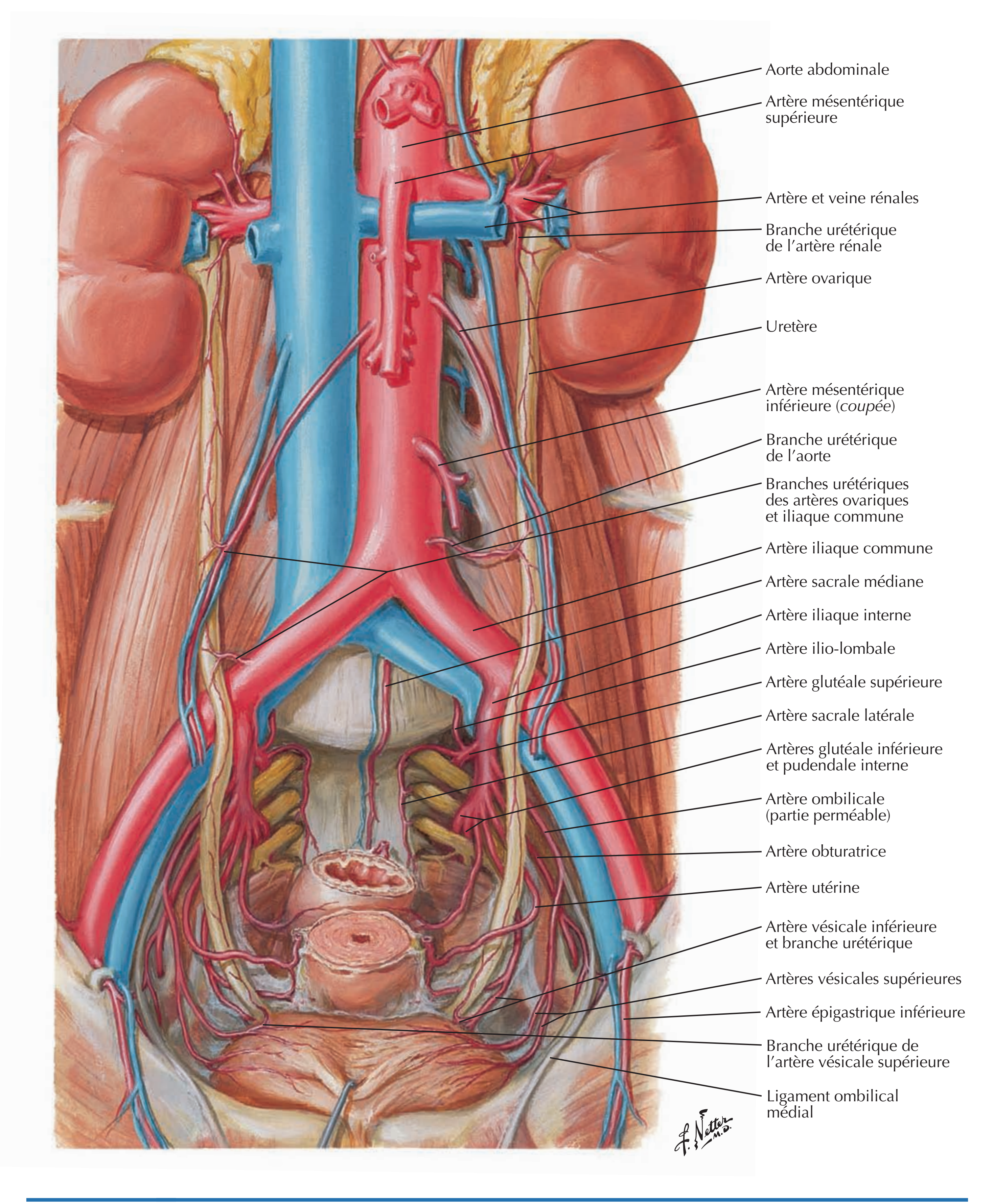


Uretères dans l'abdomen et le pelvis

Voir aussi **Planches 343, 344, 347**



Artères des uretères et de la vessie





Fascias rénaux

Duodénum
Rein droit
Angle colique droit (hépatique)
Foie
Veine et artère mésenteriques supérieures
Veine cave inférieure
Angle duodéno-jéjunal
Aorte abdominale
Artère et veine rénales gauches
Rein gauche
Péritoine
Côlon descendant
Fascia transversalis
Graisse pararénale (rétro-péritonéale)
Graisse périrénale
Capsule fibreuse du rein
Lames antérieure et postérieure du fascia rénal (de Gérota)
Muscle grand psoas et son fascia
Piliers du diaphragme
Muscle carré des lombes

Coupe transversale à travers la 2e vertèbre lombale montrant la structure horizontale du fascia rénal

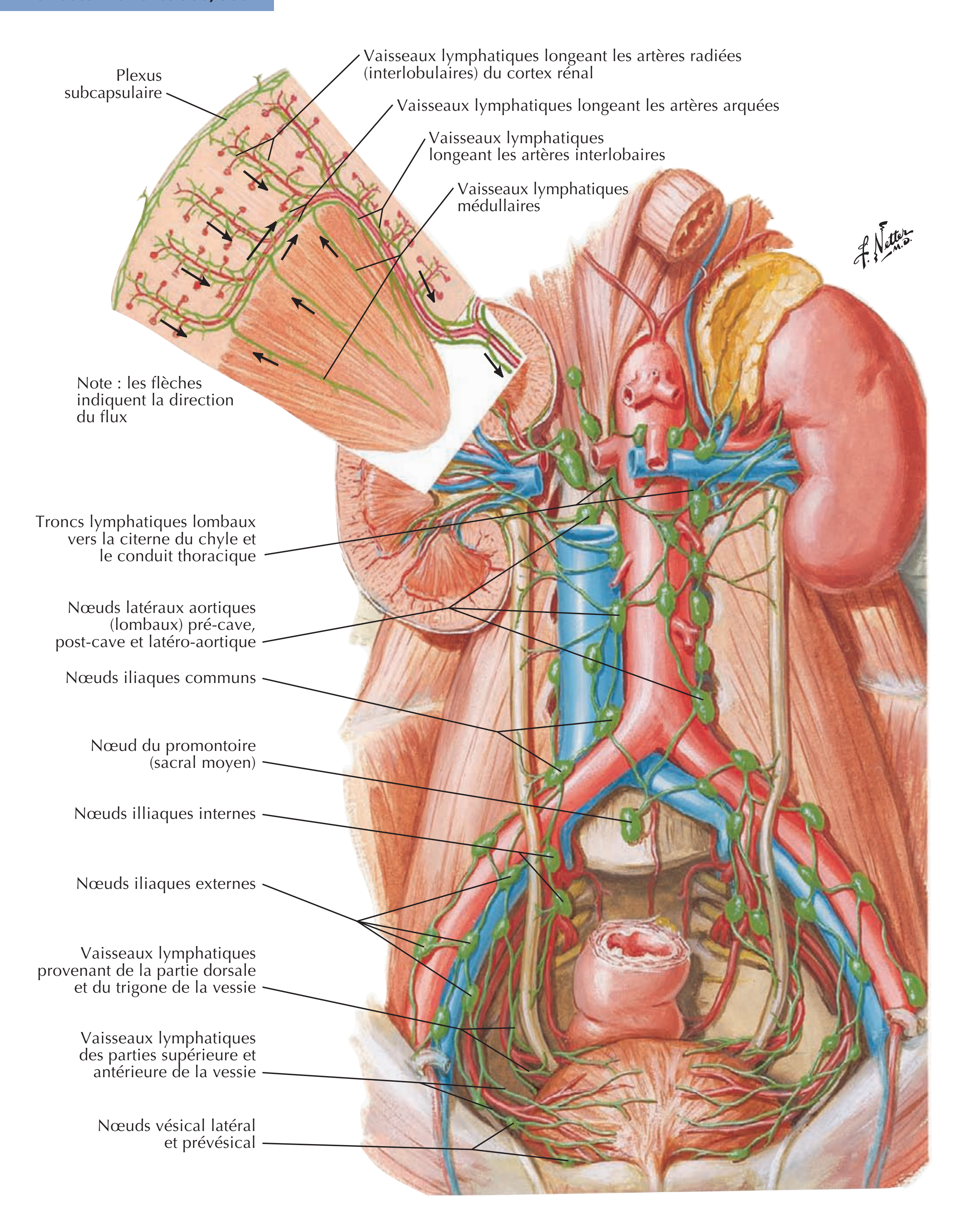
Diaphragme
Fascia diaphragmatique (prolongement du fascia transversalis)
Récessus costo-diaphragmatique
Glande surrénale
Graisse périrénale
12e côte
Graisse pararénale (rétro-péritonéale)
Fascia transversalis
Muscle carré des lombes
Crête iliaque
Poumon
Foie
Aire nue du foie (area nuda)
Capsule fibreuse du rein
Péritoine
Lames antérieure et postérieure du fascia rénal (de Gérota)
Rein droit
Angle colique droit (hépatique)

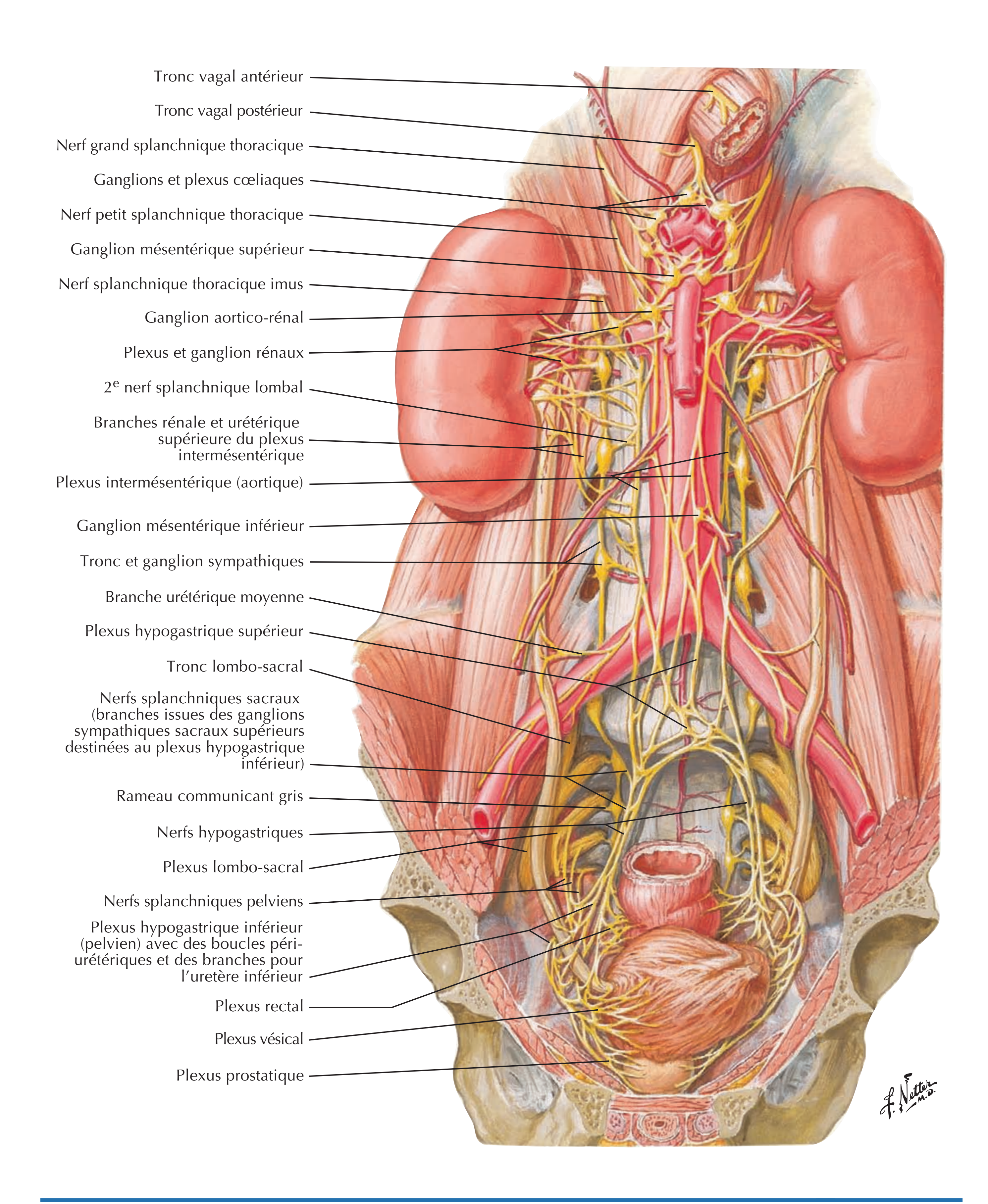
F. Netter M.D.

Coupe sagittale à travers le rein droit et la région lombale montrant la structure verticale du fascia rénal

Vaisseaux et nœuds lymphatiques des reins et de la vessie

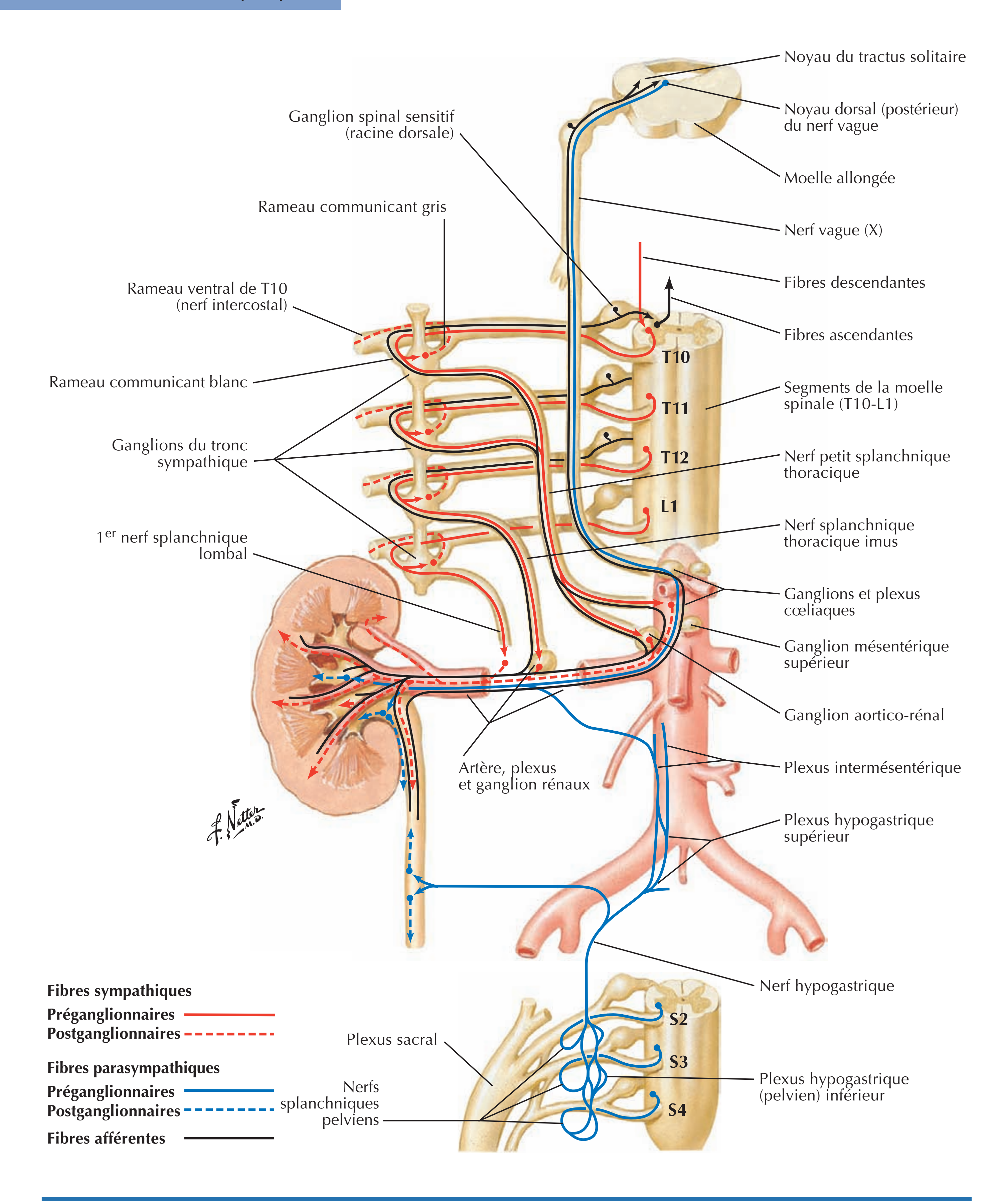
Voir aussi **Planches 386, 388**




Tronc vagal antérieur
Tronc vagal postérieur
Nerf grand splanchnique thoracique
Ganglions et plexus cœliaques
Nerf petit splanchnique thoracique
Ganglion mésentérique supérieur
Nerf splanchnique thoracique imus
Ganglion aortico-rénal
Plexus et ganglion rénaux
2e nerf splanchnique lombal
Branches rénale et urétérique supérieure du plexus intermésentérique
Plexus intermésentérique (aortique)
Ganglion mésentérique inférieur
Tronc et ganglion sympathiques
Branche urétérique moyenne
Plexus hypogastrique supérieur
Tronc lombo-sacral
Nerfs splanchniques sacraux (branches issues des ganglions sympathiques sacraux supérieurs destinées au plexus hypogastrique inférieur)
Rameau communicant gris
Nerfs hypogastriques
Plexus lombo-sacral
Nerfs splanchniques pelviens
Plexus hypogastrique inférieur (pelvien) avec des boucles péri-urétériques et des branches pour l'uretère inférieur
Plexus rectal
Plexus vésical
Plexus prostatique
F. Netter M.D.

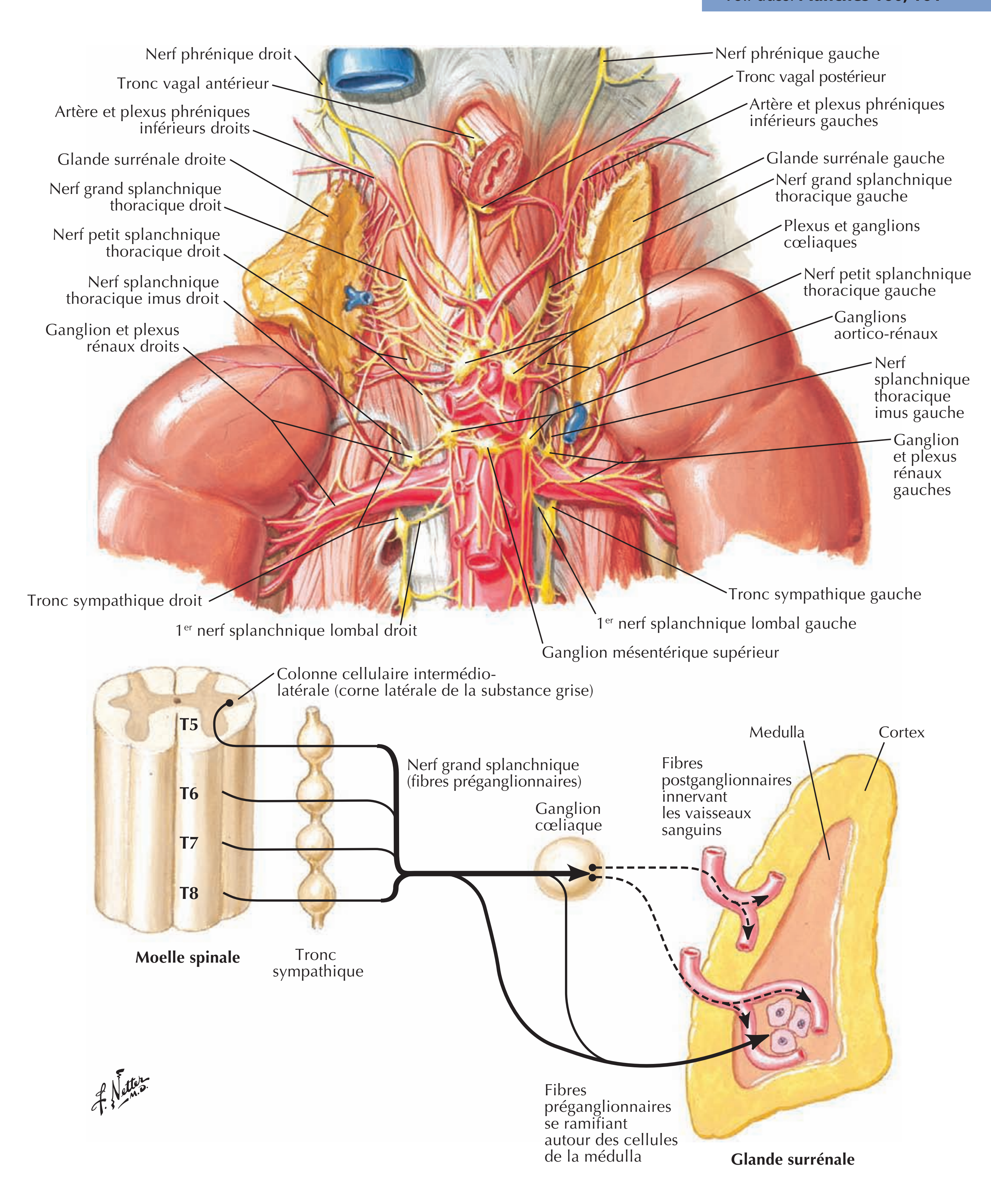
4 Innervation autonome des reins et de la partie supérieure des uretères : schéma

Voir aussi **Planches 160, 161, 397**

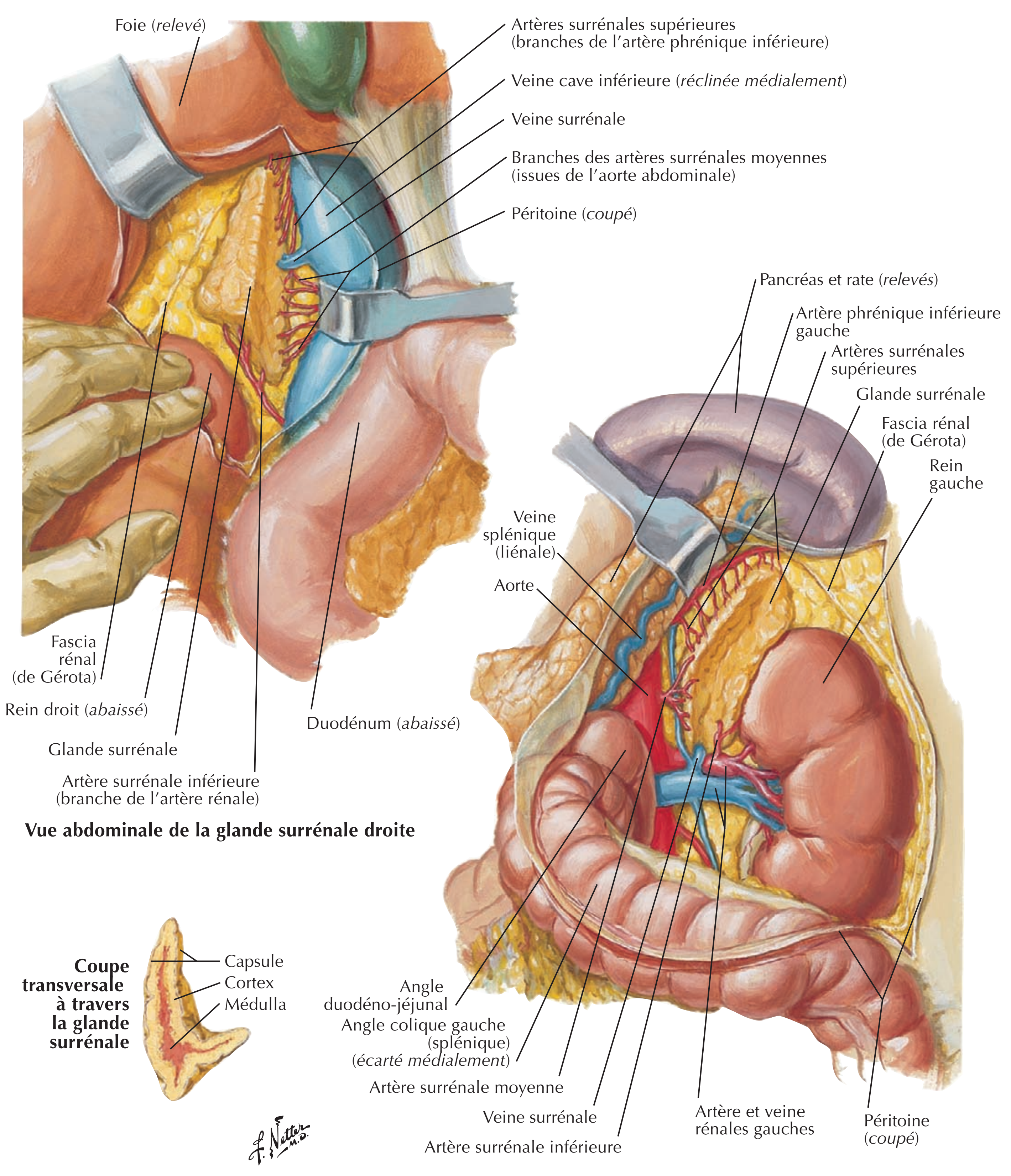


Nerfs autonomes des glandes surrénales : dissection et schéma

Voir aussi **Planches 160, 161**



Artères et veines des glandes surrénales *in situ*



Vue abdominale de la glande surrénale droite

Coupe transversale à travers la glande surrénale

Vue abdominale de la glande surrénale gauche



Paroi et viscères de l'abdomen : coupe sagittale paramédiane

Diaphragme (centre tendineux)

Péritoine pariétal

Foie

Petit omentum

Artère hépatique et veine porte dans le bord droit du petit omentum

Bourse omentale (petit sac péritonéal)

Estomac

Artère colique moyenne

Mésocôlon transverse

Péritoine pariétal (de la paroi abdominale antérieure)

Côlon transverse

Grand omentum

Intestin grêle

Muscle droit de l'abdomen

Fascia transversalis

Ligament ombilical médian (ouraque)

Couche graisseuse du tissu sous-cutané (fascia de Camper)

Couche membraneuse du tissu sous-cutané (fascia de Scarpa)

Vessie

Os pubien

Espace rétro-pubien (de Retzius)

Fascia profond du pénis (de Buck)

Tunique vaginale du testicule

Testicule

T10

T11

T12

L1

L2

L3

L4

L5

S1

S2

Ligament coronaire entourant l'aire nue du foie (area nuda)

Œsophage

Récessus supérieur de la bourse omentale (petit sac péritonéal)

Foramen omental (épiploïque) (de Winslow)

Tronc cœliaque

Vaisseaux spléniques (liénaux)

Vaisseaux rénaux

Pancréas

Artère mésentérique supérieure

Partie horizontale (3e) du duodénum

Aorte abdominale

Péritoine pariétal (de la paroi abdominale postérieure)

Mésentère de l'intestin grêle

Cul-de-sac recto-vésical

Rectum

Fascia recto-prostatique (de Denonvilliers)

Muscle élévateur de l'anus

Prostate

Muscle sphincter externe de l'anus: Profond, Superficiel, Sous-cutané

Muscles transverses profond et superficiel du périnée

Muscle bulbo-spongieux

Membrane périnéale et glande bulbo-urétrale (de Cowper)

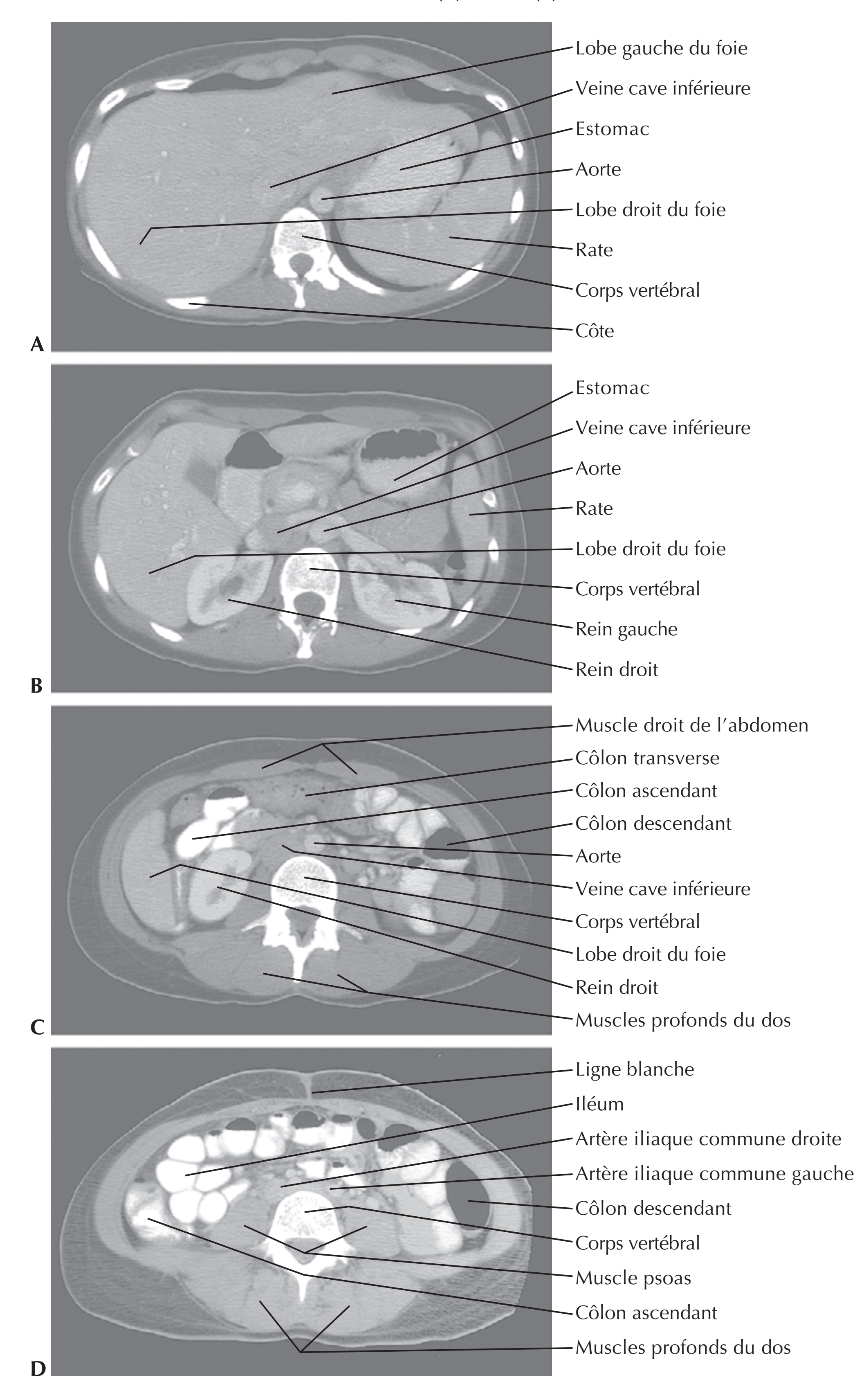
Muscle pubo-rectal (bord médial épaissi du muscle élévateur de l'anus gauche)

F. Netter M.D.

C. Machado M.D.

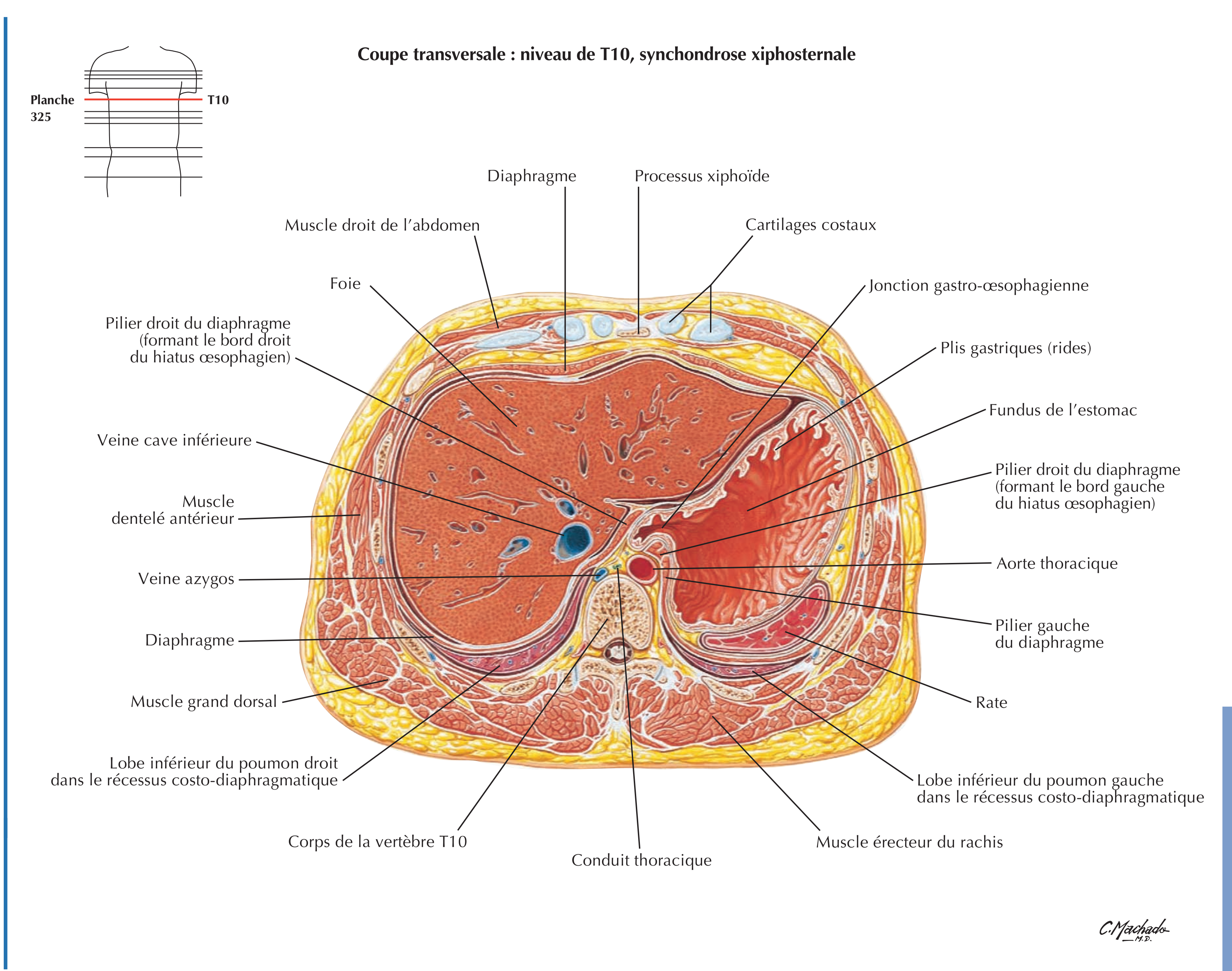
Coupes de l'abdomen : clichés axiaux TDM

Série de clichés TDM axiaux dans le sens cranio (A)-caudal (B)

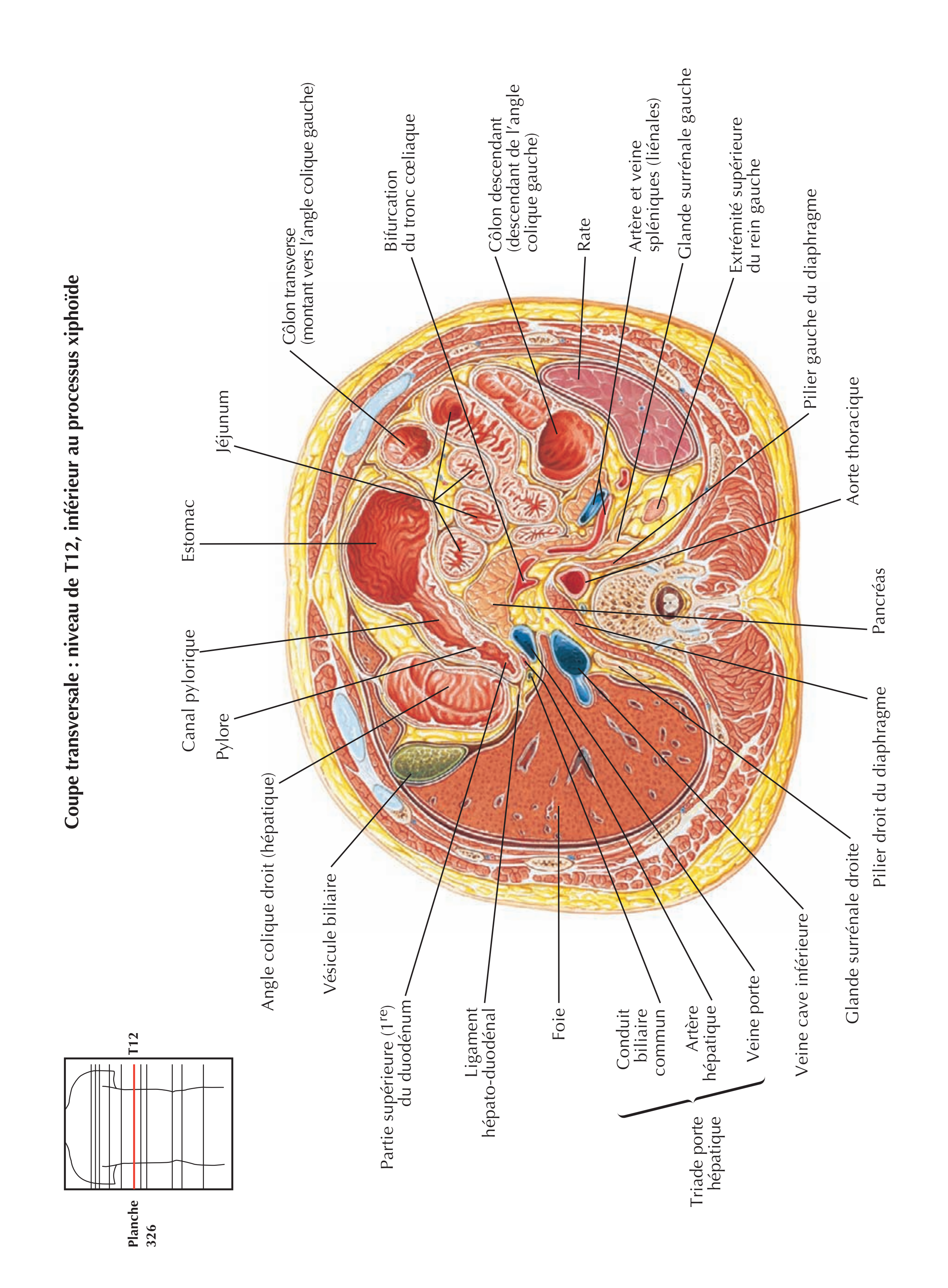


Coupe transversale schématique de l'abdomen au niveau de T10

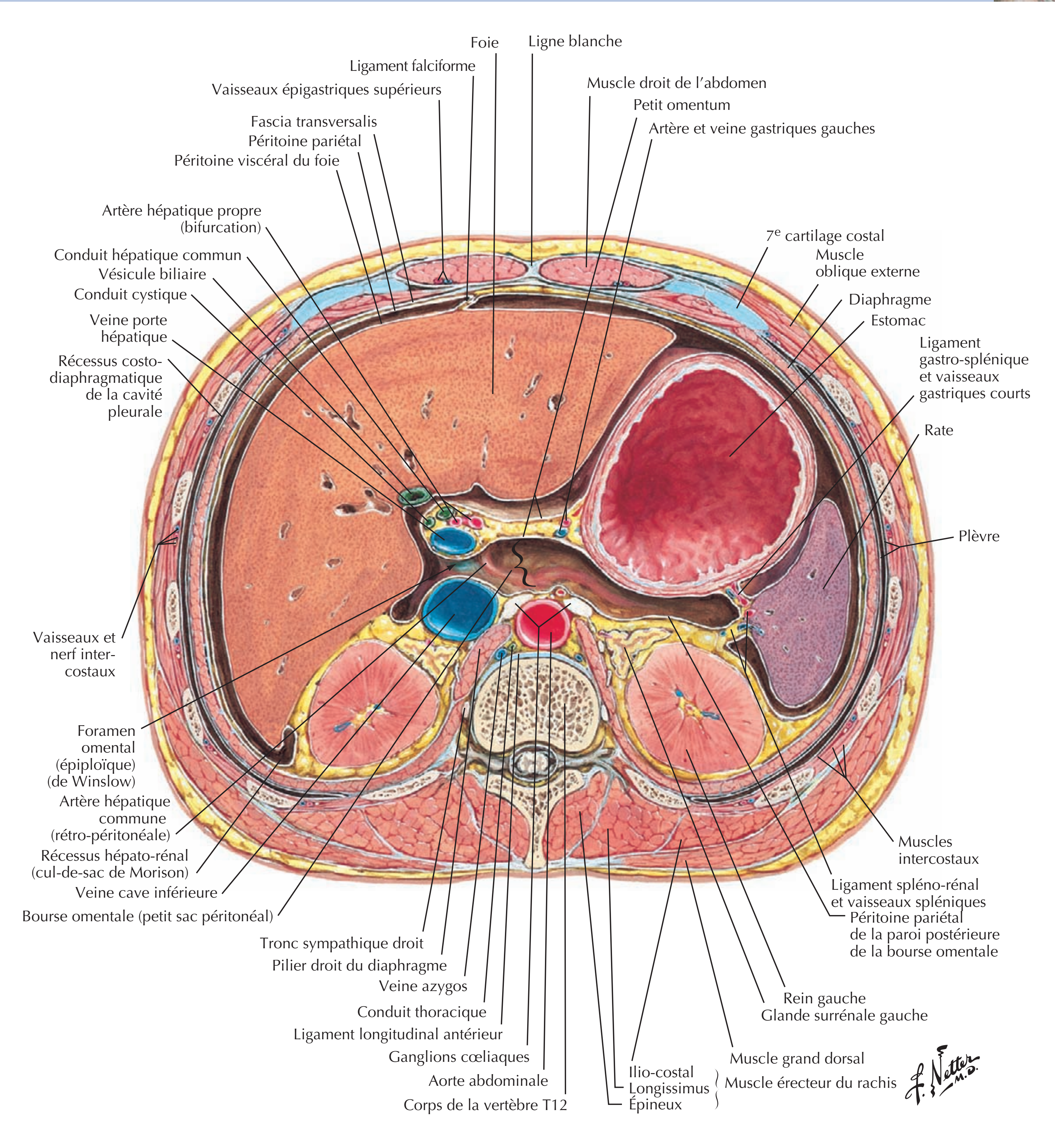
Voir aussi **Planches 326-329**



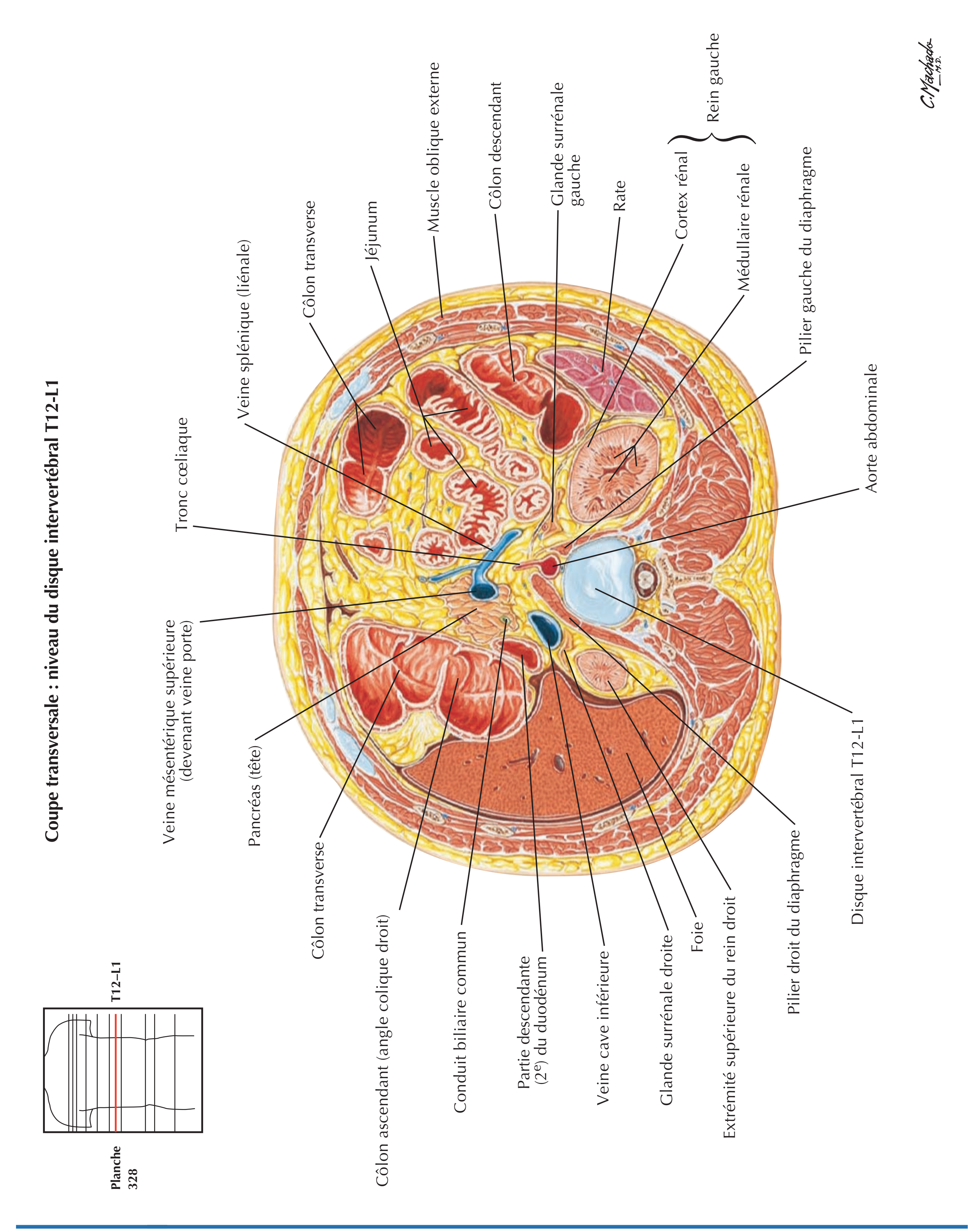
Coupe transversale schématique de l'abdomen au-dessus de T12



Coupe transversale schématique de l'abdomen au milieu de T12



Coupe transversale schématique de l'abdomen au niveau de T12-L1





Coupe transversale schématique de l'abdomen au niveau de L1-L2

Coupe transversale : niveau du disque intervertébral L1-L2

Planche 329

L1–L2

Veine mésentérique supérieure

Artère mésentérique supérieure

Côlon transverse

Iléum (iléon)

Jéjunum

Capsule adipeuse du rein (graisse périrénale)

Jonction urétéro-pelvienne

Côlon descendant

Fascia rénal

Rein gauche

Pelvis rénal et calice majeur

Graisse pararénale

Artère rénale gauche

Veine rénale gauche (s'ouvrant dans la veine cave inférieure)

Pilier gauche du diaphragme

Aorte abdominale

Cône médullaire et queue de cheval

Disque intervertébral L1-L2

Muscle grand psoas

Pilier droit du diaphragme

Veine cave inférieure

Rein droit

Veine rénale droite (s'ouvrant dans la veine cave inférieure)

Foie

Côlon ascendant

Jonction des 2e et 3e parties du duodénum

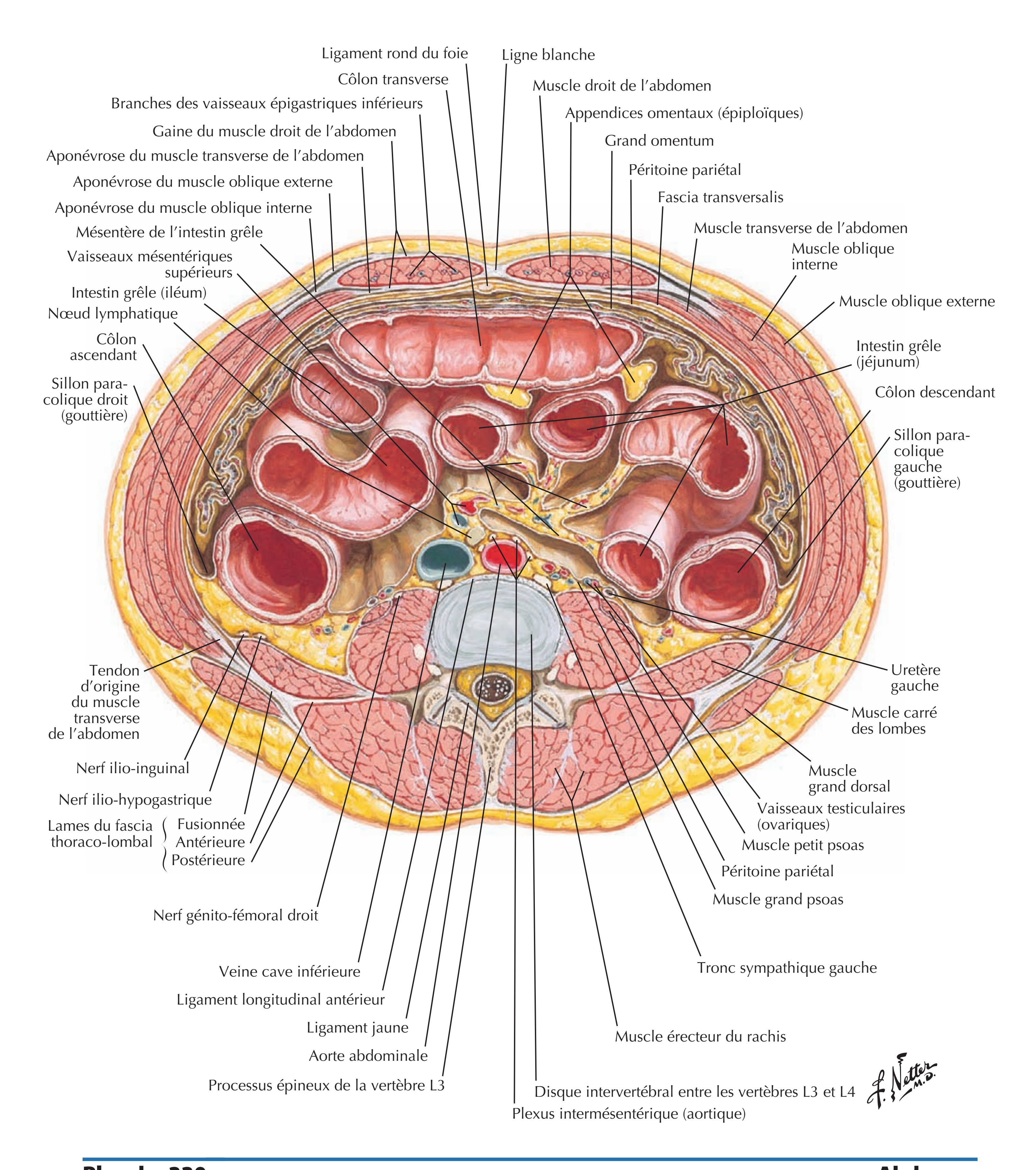
Côlon transverse

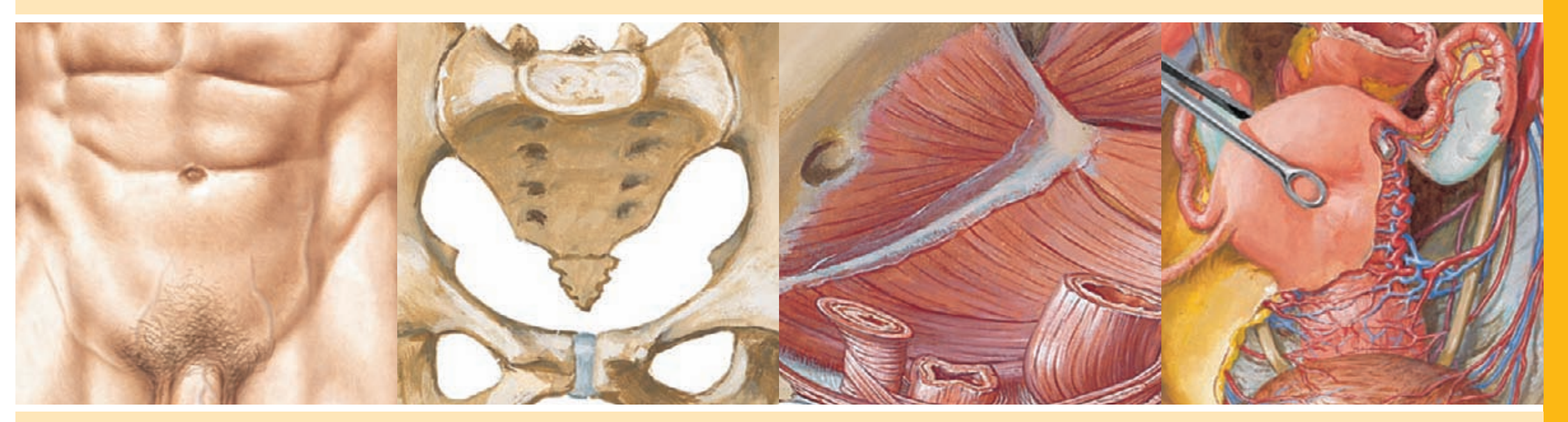
Pancréas et son processus unciné

Grand omentum

C. Machado M.D.

Coupe transversale schématique de l'abdomen au niveau de L3, 4





Section 5 PELVIS ET PÉRINÉE

Anatomie de surface

Planche 331

Os et ligaments

Planches 332-336

Plancher et contenu pelviens

Planches 337-347

5

PELVIS ET PÉRINÉE

Vessie

Planches 348-351

Utérus, vagin et structures de soutien

Planches 352-355

Périnée et organes génitaux chez la femme

Planches 356-359

Périnée et organes génitaux chez l'homme

Planches 360-367

Homologies des organes génitaux

Planches 368-369

Testicule, épididyme et conduit déférent

Planche 370

Rectum

Planches 371-376

Scanners de la région

Planche 377

Vascularisation

Planche 378-388

Innervation

Planches 389-397

Coupes transversales anatomiques

Planches 398-399

This page intentionally left blank



Mamelon (papille mammaire)

Ligne semi-lunaire

Muscle droit de l'abdomen

Épine iliaque antéro-supérieure

Veine circonflexe iliaque superficielle

Veines épigastriques superficielles

Symphyse pubienne

Veine dorsale superficielle du pénis

Gland du pénis

Orifice urétral externe (méat)

Muscle dentelé antérieur

Intersection tendineuse

Muscle oblique externe

Ligne blanche

Ombilic

Crête iliaque

Ligament inguinal

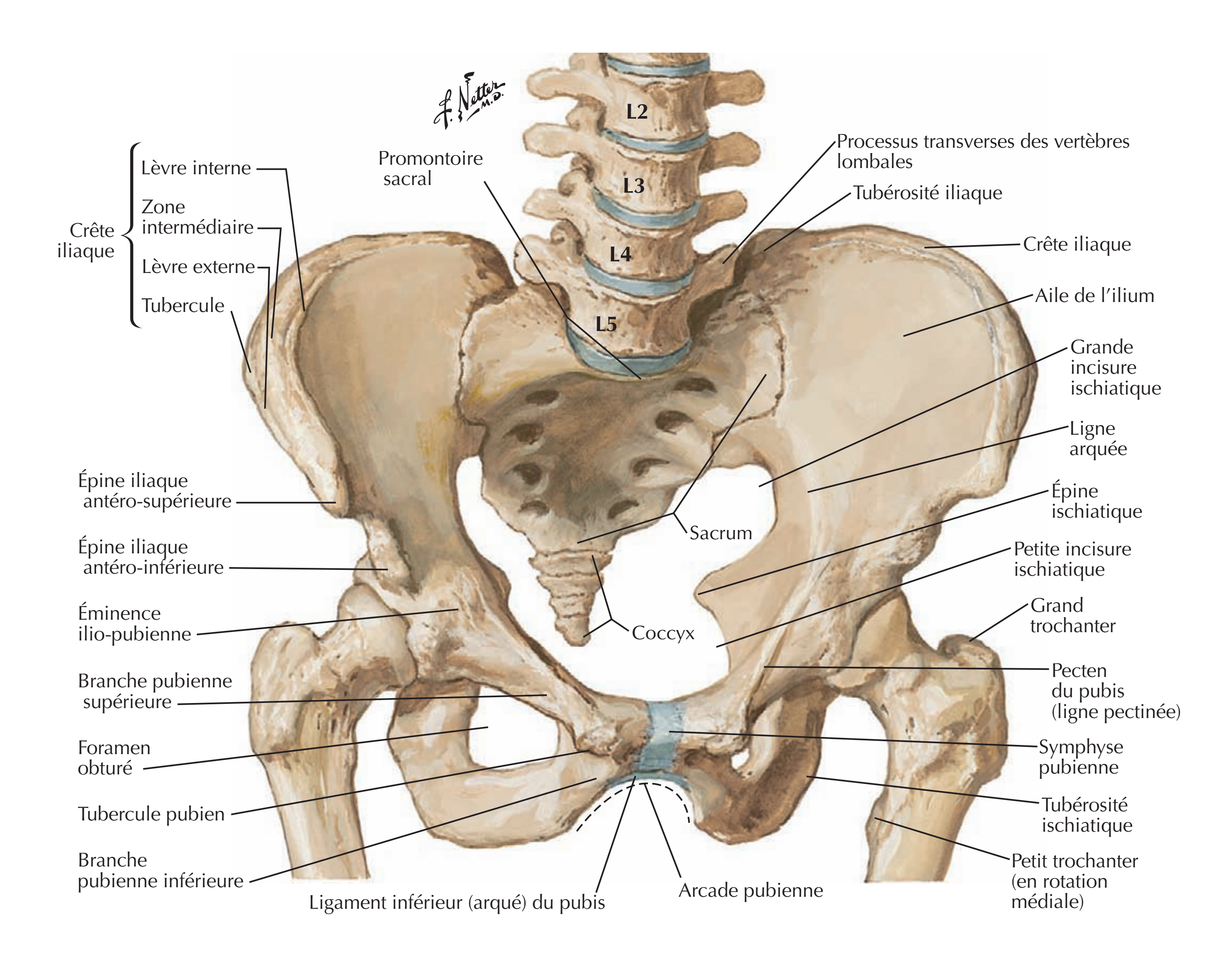
Tubercule pubien

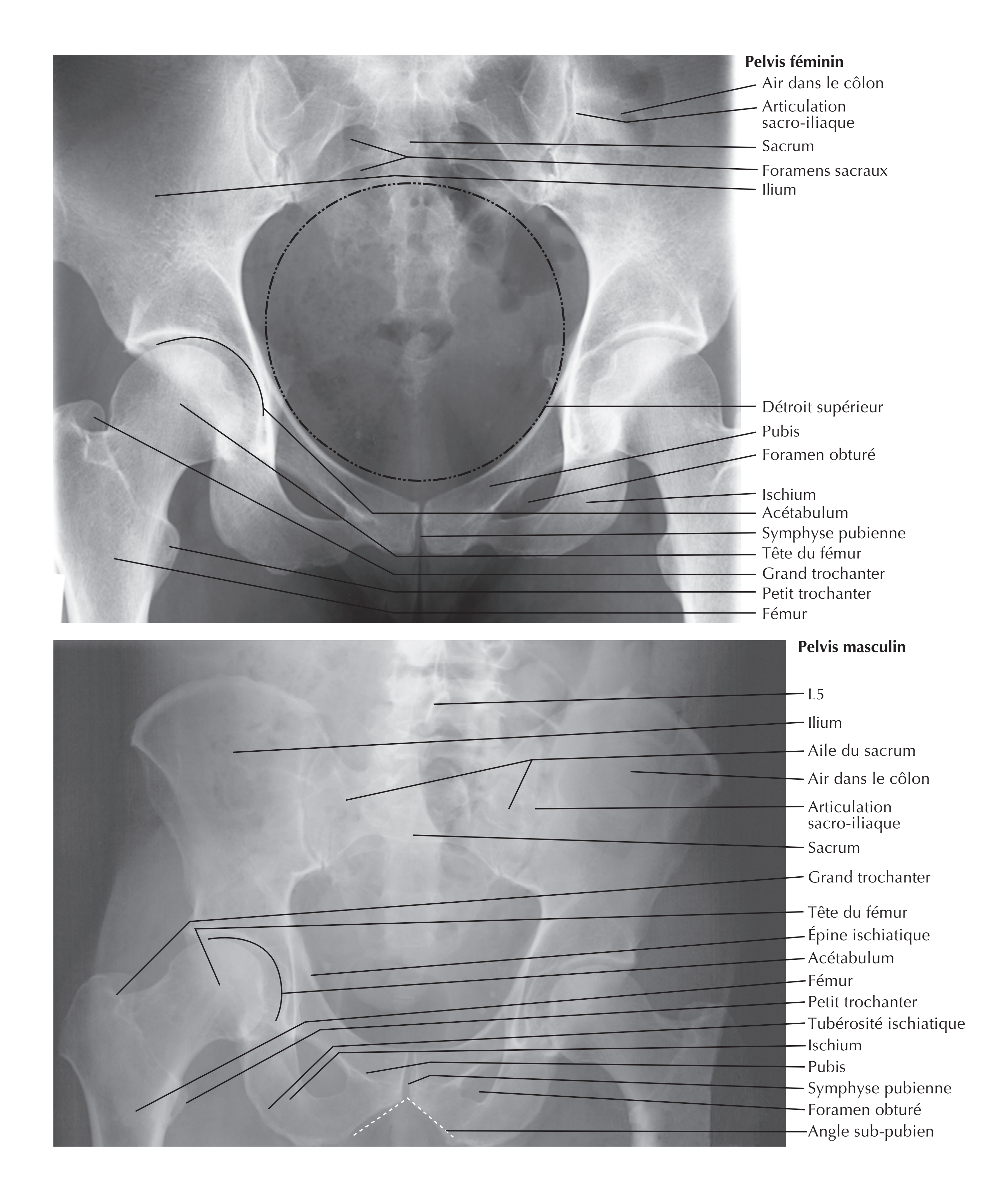
Corps du pénis

Scrotum

C.Machado M.D.

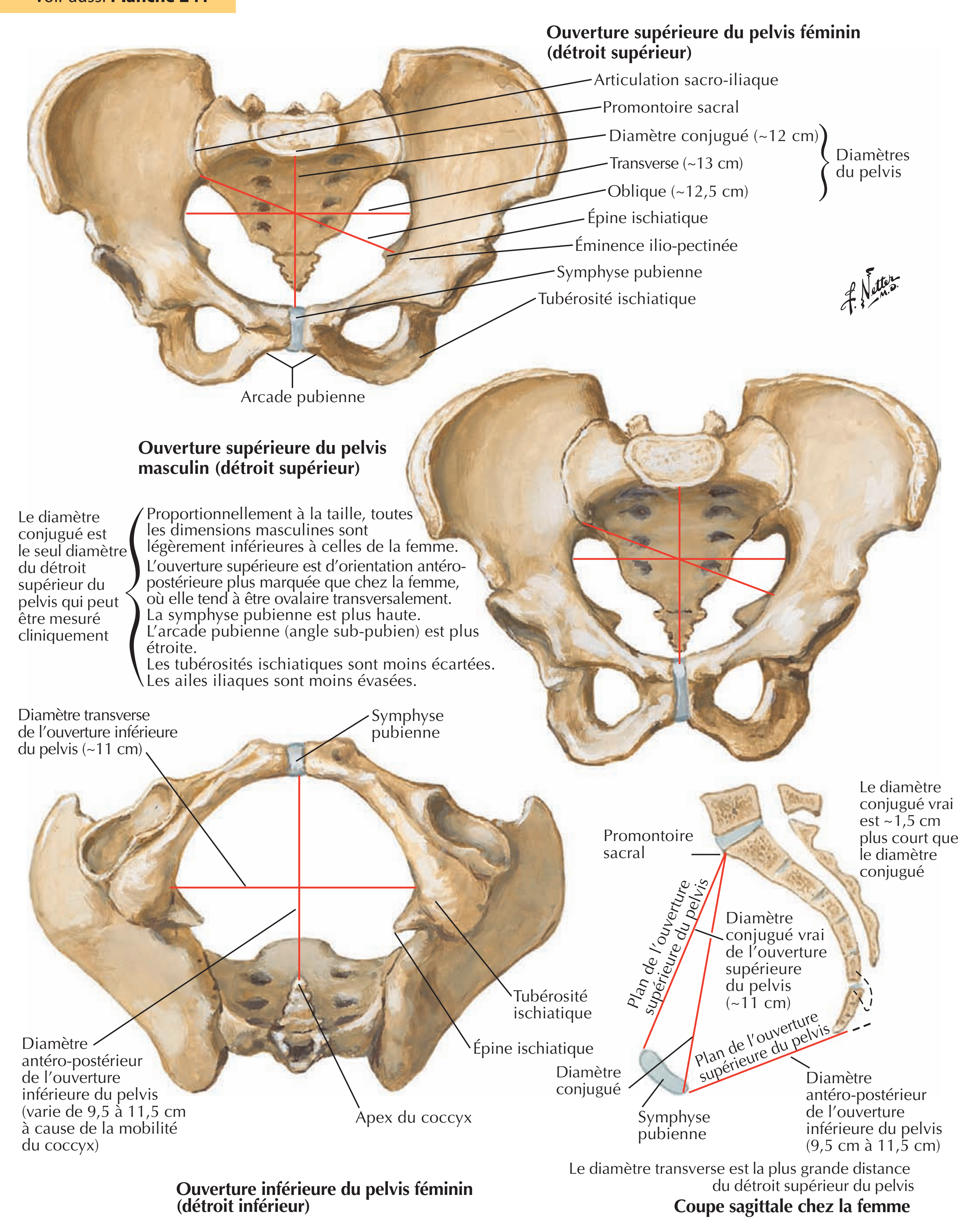
Ossature du pelvis




Pelvis féminin
Air dans le côlon
Articulation sacro-iliaque
Sacrum
Foramens sacraux
Ilium
Détroit supérieur
Pubis
Foramen obturé
Ischium
Acétabulum
Symphyse pubienne
Tête du fémur
Grand trochanter
Petit trochanter
Fémur
Pelvis masculin
L5
Ilium
Aile du sacrum
Air dans le côlon
Articulation sacro-iliaque
Sacrum
Grand trochanter
Tête du fémur
Épine ischiatique
Acétabulum
Fémur
Petit trochanter
Tubérosité ischiatique
Ischium
Pubis
Symphyse pubienne
Foramen obturé
Angle sub-pubien

Différences sexuelles du pelvis : mesures

Voir aussi **Planche 241**





Os et ligaments du pelvis

Voir aussi **Planche 474**

Ligament ilio-lombal
Crête iliaque
Ligament supra-épineux
Épine iliaque postéro-supérieure
Ligaments sacro-iliaques postérieurs
Tubercule iliaque
Foramens sacraux dorsaux (postérieurs)
Grand foramen ischiatique
Épine iliaque antéro-supérieure
Ligament sacro-épineux
Ligament sacro-tubéral
Petit foramen ischiatique
Bord acétabulaire
Tubérosité ischiatique
Tendon du long chef du muscle biceps fémoral
Profond
Superficiel
Ligaments sacro-coccygiens postérieurs
Ligament sacro-coccygien latéral

Vue postérieure

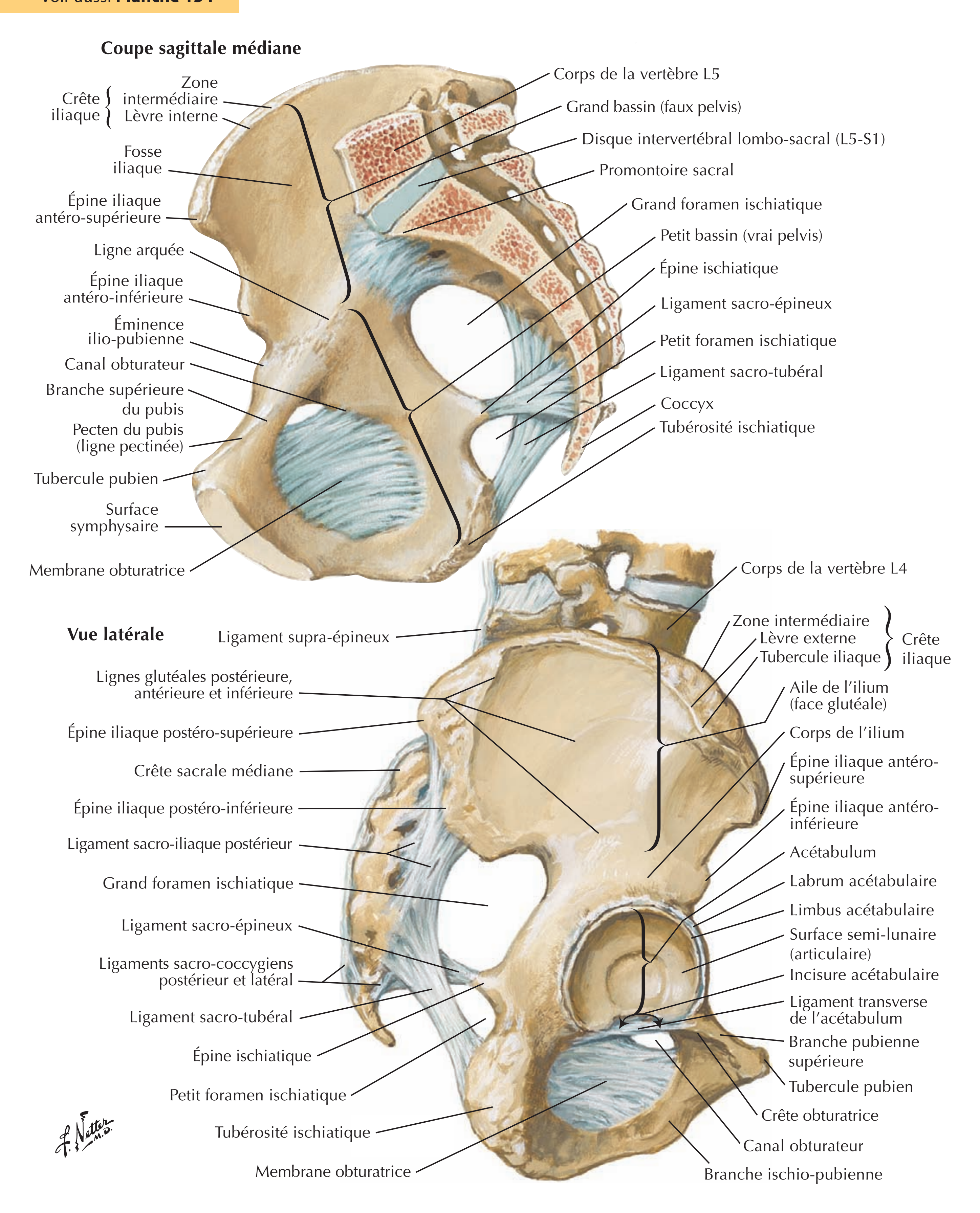
Ligament longitudinal antérieur
Ligament ilio-lombal
Fosse iliaque
Crête iliaque: Lèvre externe, Zone intermédiaire, Tubercule iliaque, Lèvre interne
Ligament sacro-iliaque antérieur
Promontoire sacral
Grand foramen ischiatique
Épine iliaque antéro-supérieure
Ligament sacro-tubéral
Ligament sacro-épineux
Épine iliaque antéro-inférieure
Épine ischiatique
Ligne ilio-pectinée: Ligne arquée, Pecten du pubis (ligne pectinée)
Petit foramen ischiatique
Éminence ilio-pubienne
Branche supérieure du pubis
Foramen obturé
Branche ischio-pubienne
Tubercule du pubis
Foramens sacraux pelviens (antérieurs)
Coccyx
Ligaments sacro-coccygiens antérieurs
Symphyse pubienne

Vue antérieure

F. Netter M.D.

5 Os et ligaments du pelvis (suite)

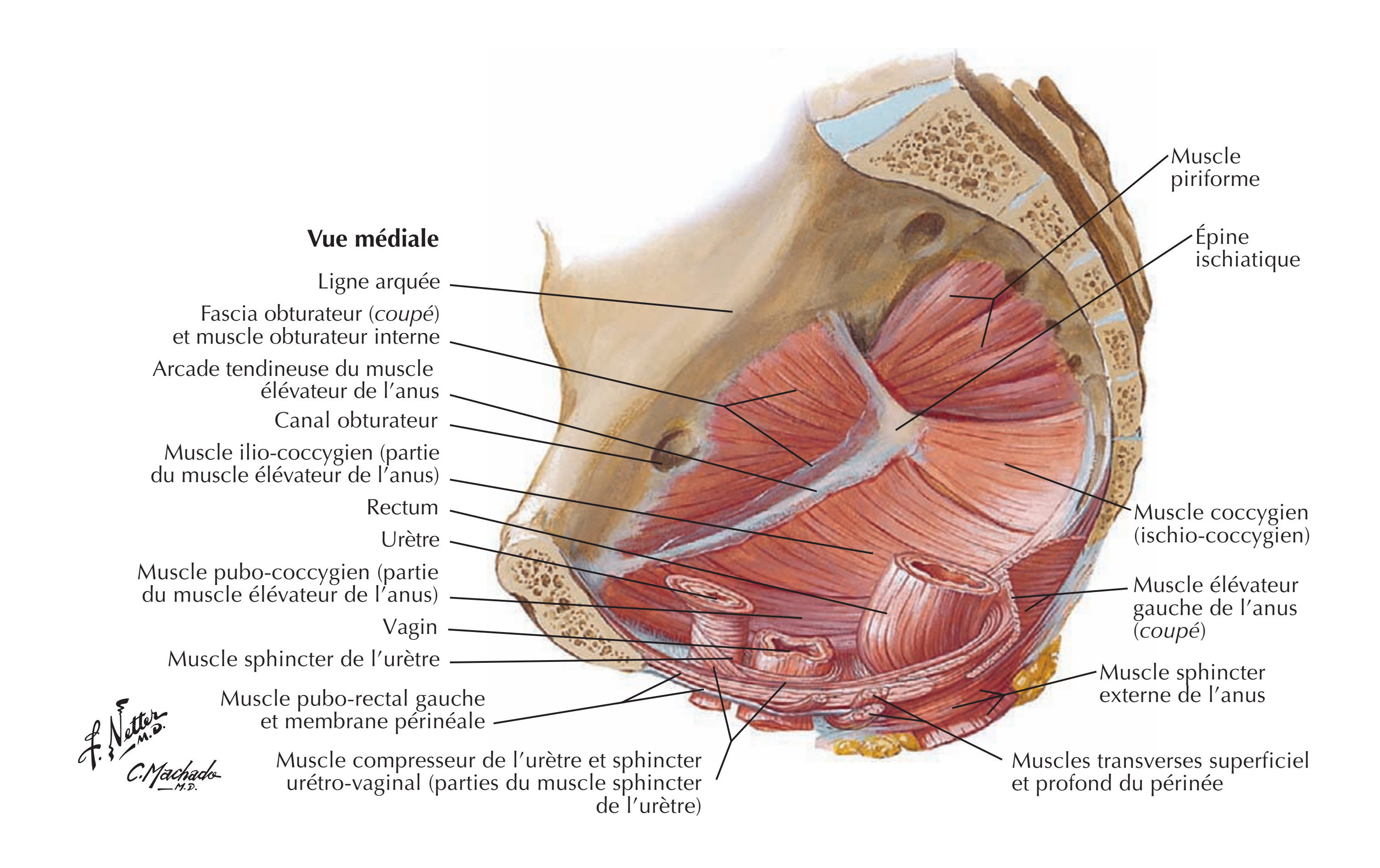
Voir aussi **Planche 154**

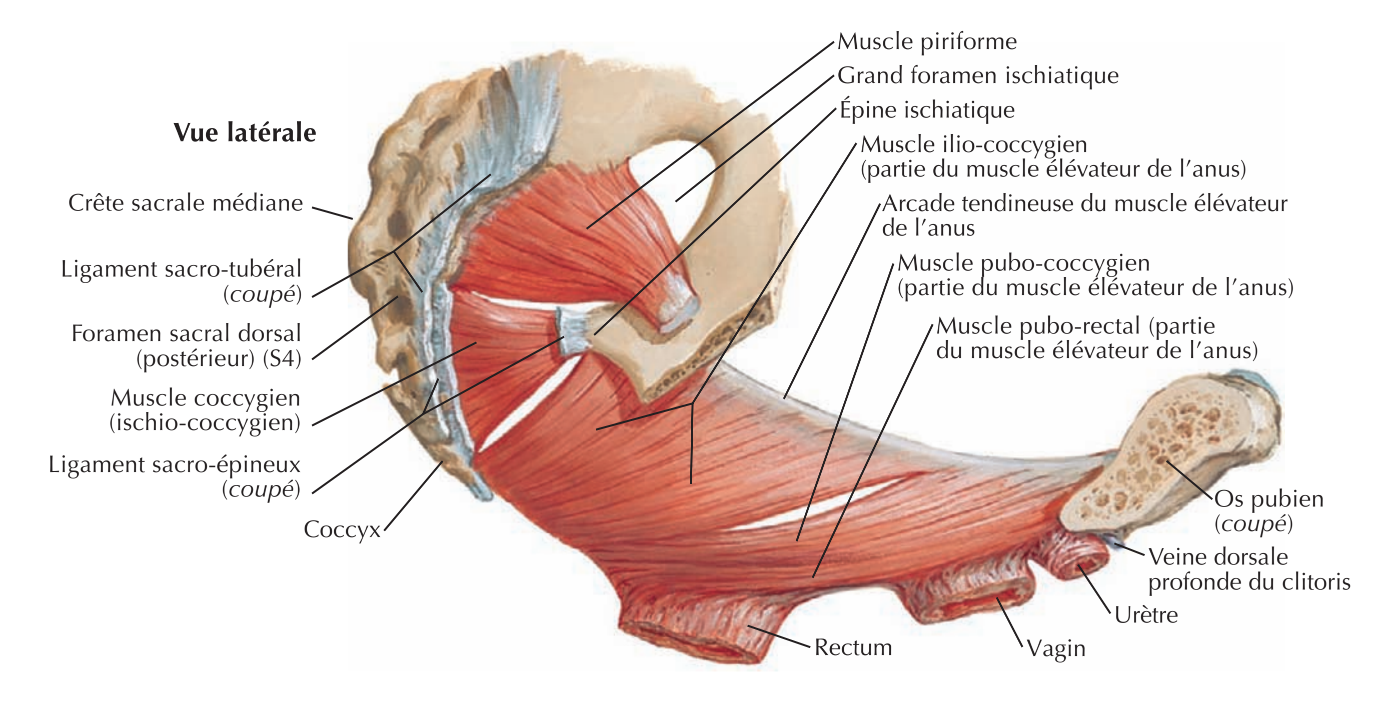




Diaphragme pelvien féminin

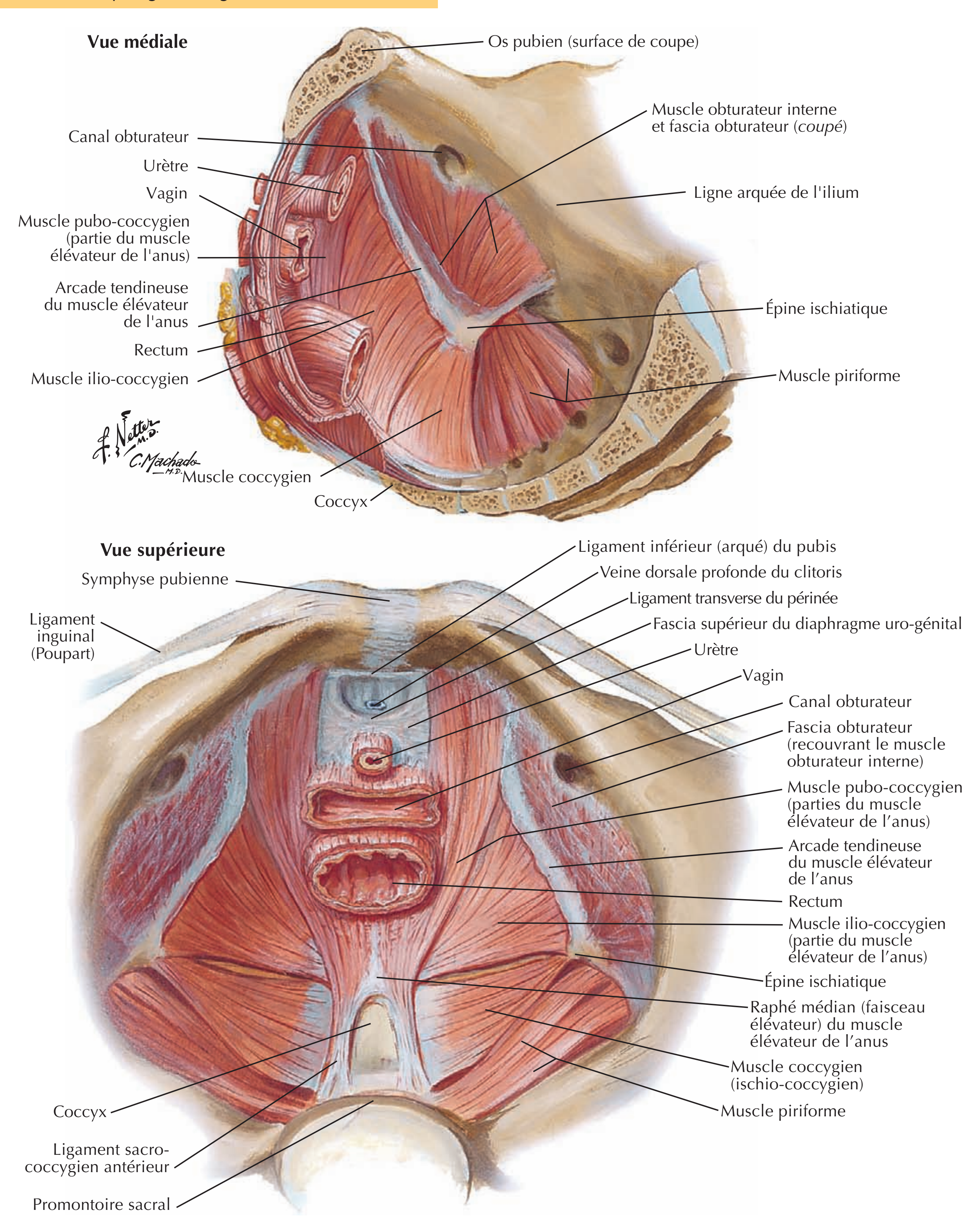
Voir aussi **Planches 256, 350, 352, 372**

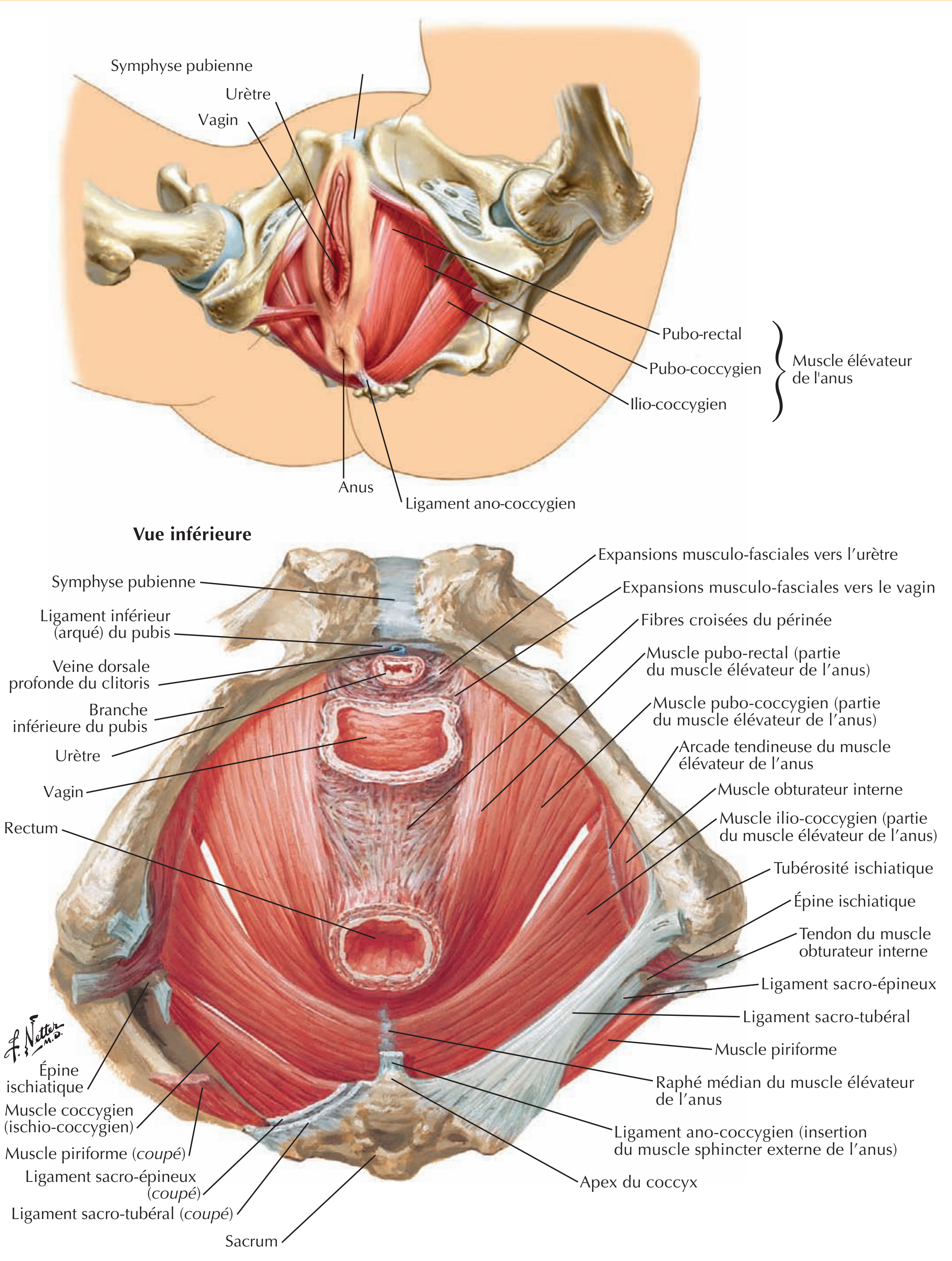




Diaphragme pelvien féminin (suite)

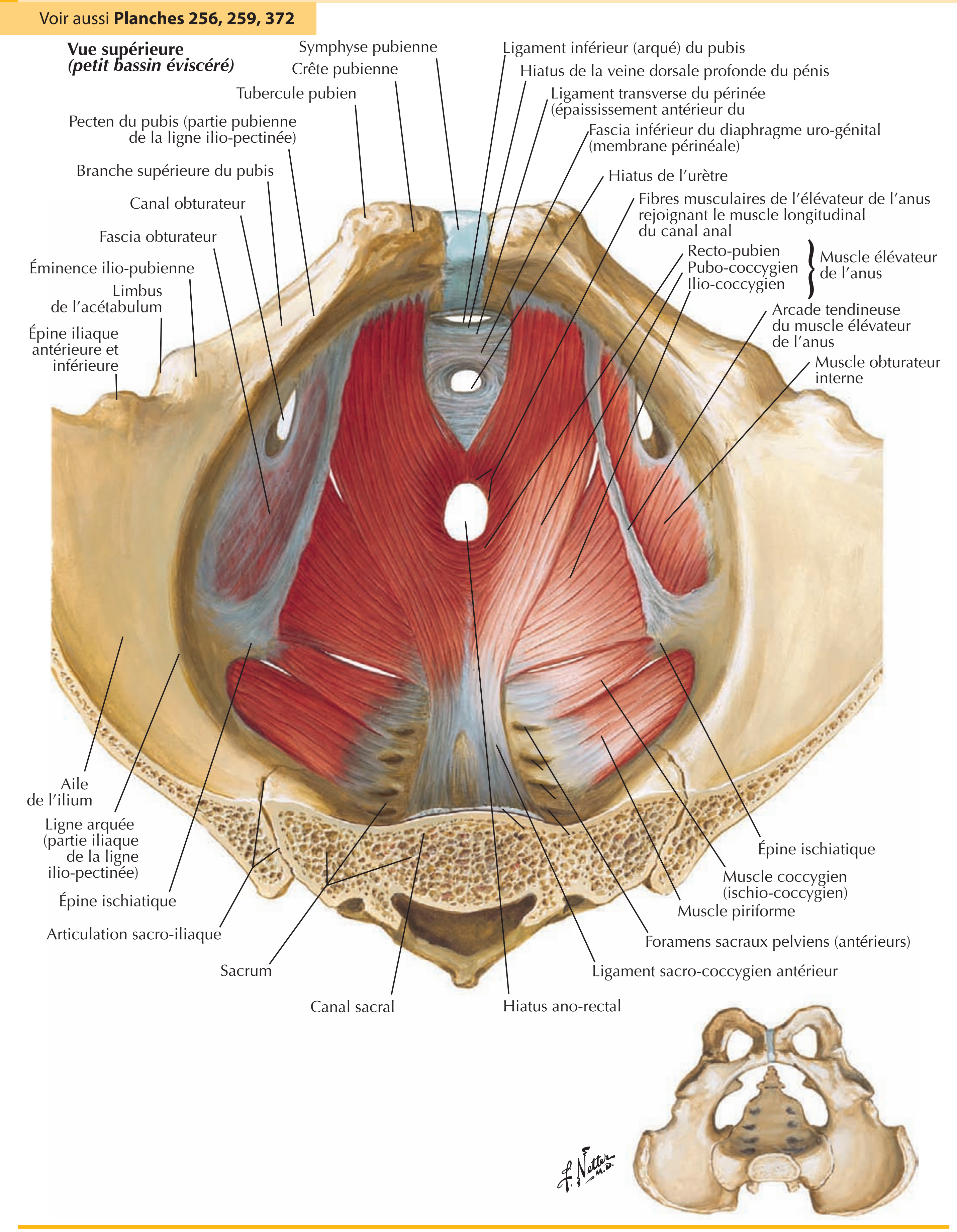
Pour le diaphragme uro-génital, voir **Planche 358**




Symphyse pubienne
Urètre
Vagin
Pubo-rectal
Pubo-coccygien
Ilio-coccygien
Muscle élévateur de l'anus
Anus
Ligament ano-coccygien
Vue inférieure
Symphyse pubienne
Ligament inférieur (arqué) du pubis
Veine dorsale profonde du clitoris
Branche inférieure du pubis
Urètre
Vagin
Rectum
Épine ischiatique
Muscle coccygien (ischio-coccygien)
Muscle piriforme (coupé)
Ligament sacro-épineux (coupé)
Ligament sacro-tubéral (coupé)
Sacrum
Expansions musculo-fasciales vers l'urètre
Expansions musculo-fasciales vers le vagin
Fibres croisées du périnée
Muscle pubo-rectal (partie du muscle élévateur de l'anus)
Muscle pubo-coccygien (partie du muscle élévateur de l'anus)
Arcade tendineuse du muscle élévateur de l'anus
Muscle obturateur interne
Muscle ilio-coccygien (partie du muscle élévateur de l'anus)
Tubérosité ischiatique
Épine ischiatique
Tendon du muscle obturateur interne
Ligament sacro-épineux
Ligament sacro-tubéral
Muscle piriforme
Raphé médian du muscle élévateur de l'anus
Ligament ano-coccygien (insertion du muscle sphincter externe de l'anus)
Apex du coccyx
F. Netter M.D.

Diaphragme pelvien masculin

Voir aussi **Planches 256, 259, 372**





Diaphragme pelvien masculin (suite)

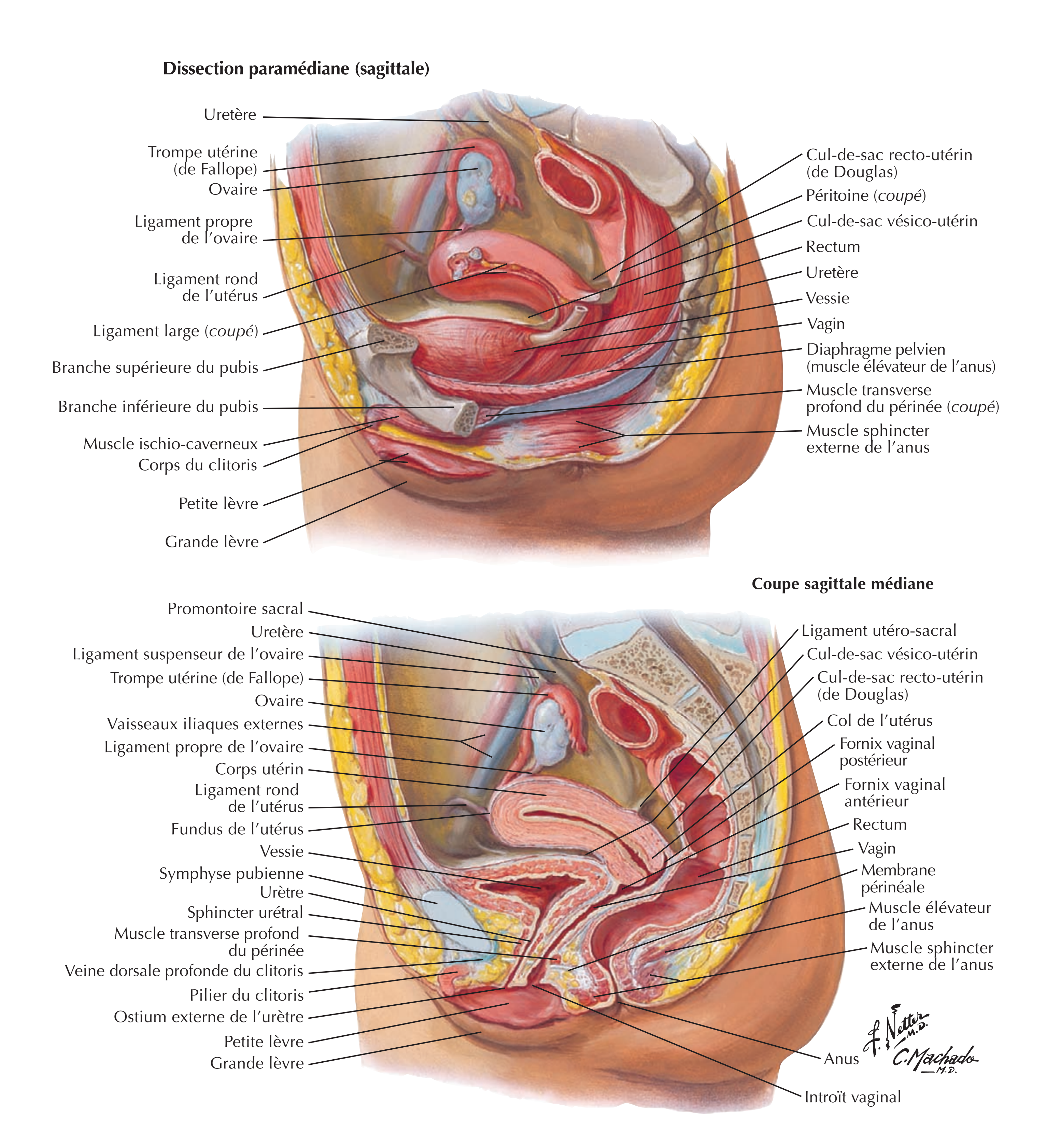
Pour le diaphragme uro-génital, voir **Planche 363**

Vue inférieure

Veines dorsales profondes du pénis
Graisse de l'espace rétro-pubien (prévésical)
Muscle sphincter de l'urètre remontant sur la face antérieure de la prostate
Urètre
Fascia recto-prostatique (de Denonvilliers)
Bord médial du muscle élévateur de l'anus
Fascia inférieur du diaphragme uro-génital (membrane périnéale) (*réséqué*)
Branche ischio-pubienne
Tendon du muscle obturateur interne
Tubérosité ischiatique
Ligament sacro-tubéral (*coupé*)
Ligament sacro-épineux (*coupé*)
Muscle obturateur interne
Muscle coccygien (ischio-coccygien)
Ligament sacro-épineux (*coupé*)
Ligament sacro-tubéral (*coupé*)
Apex du coccyx

Symphyse pubienne
Ligament inférieur (arqué) du pubis
Corps périnéal (centre tendineux du périnée)
Expansions fibro-musculaires du muscle élévateur de l'anus vers la prostate
Tubercule pubien
Muscle recto-urétral supérieur
Fibres prérectales (de Luschka) du muscle élévateur de l'anus
Fibres musculaires de l'élévateur de l'anus rejoignant le muscle longitudinal du canal anal
Muscle grand glutéal
Muscle obturateur interne
Arcade tendineuse du muscle élévateur de l'anus
Ilio-coccygien, Pubo-coccygien, Pubo-rectal } Muscle élévateur de l'anus
Couche musculaire circulaire, Muscle longitudinal conjoint } de la jonction ano-rectale

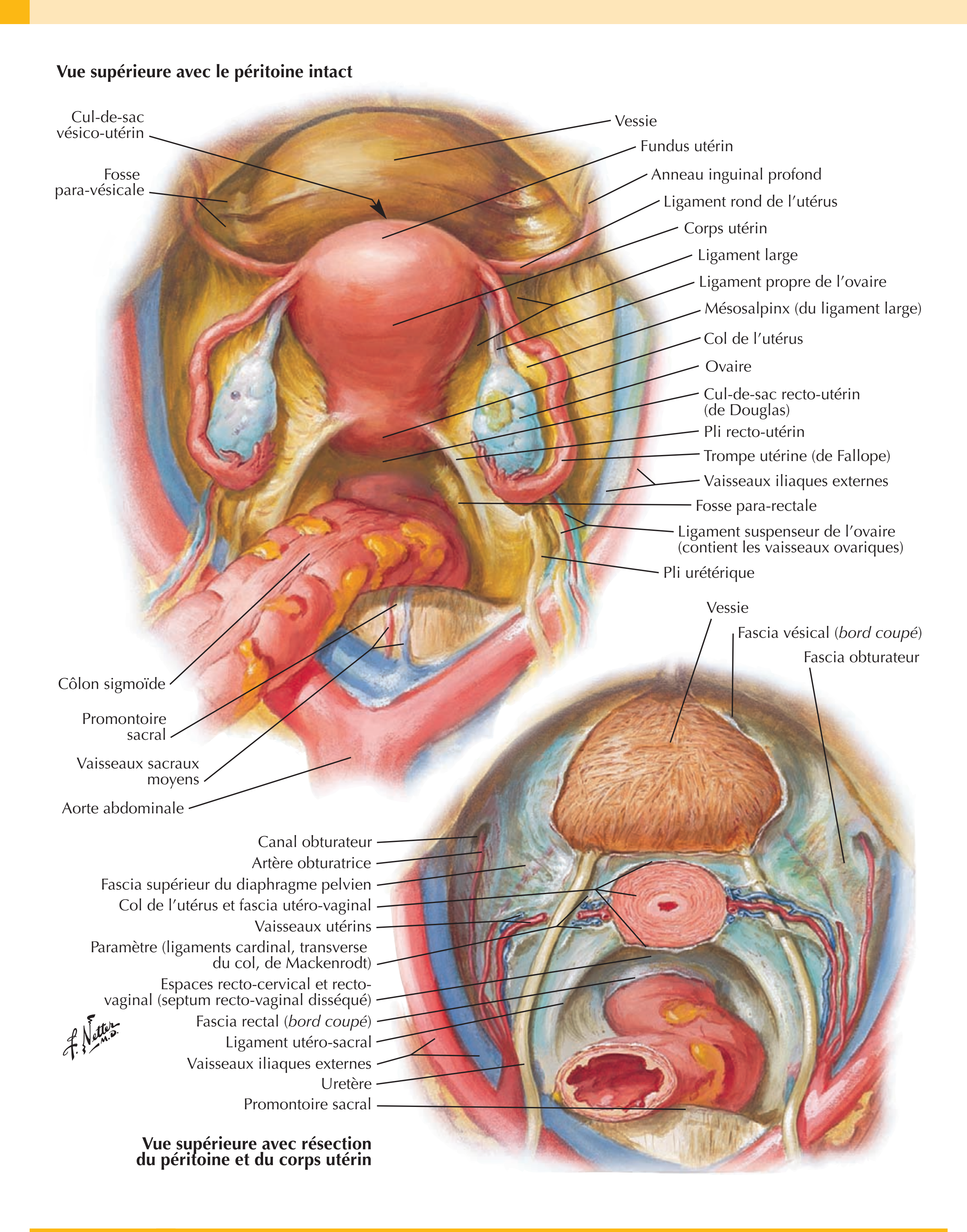
F. Netter M.D.
C. Machado M.D.


Dissection paramédiane (sagittale)
Uretère
Trompe utérine (de Fallope)
Ovaire
Ligament propre de l'ovaire
Ligament rond de l'utérus
Ligament large (*coupé*)
Branche supérieure du pubis
Branche inférieure du pubis
Muscle ischio-caverneux
Corps du clitoris
Petite lèvre
Grande lèvre
Cul-de-sac recto-utérin (de Douglas)
Péritoine (*coupé*)
Cul-de-sac vésico-utérin
Rectum
Uretère
Vessie
Vagin
Diaphragme pelvien (muscle élévateur de l'anus)
Muscle transverse profond du périnée (*coupé*)
Muscle sphincter externe de l'anus
Coupe sagittale médiane
Promontoire sacral
Uretère
Ligament suspenseur de l'ovaire
Trompe utérine (de Fallope)
Ovaire
Vaisseaux iliaques externes
Ligament propre de l'ovaire
Corps utérin
Ligament rond de l'utérus
Fundus de l'utérus
Vessie
Symphyse pubienne
Urètre
Sphincter urétral
Muscle transverse profond du périnée
Veine dorsale profonde du clitoris
Pilier du clitoris
Ostium externe de l'urètre
Petite lèvre
Grande lèvre
Ligament utéro-sacral
Cul-de-sac vésico-utérin
Cul-de-sac recto-utérin (de Douglas)
Col de l'utérus
Fornix vaginal postérieur
Fornix vaginal antérieur
Rectum
Vagin
Membrane périnéale
Muscle élévateur de l'anus
Muscle sphincter externe de l'anus
Anus
Introït vaginal
F. Netter M.D.
C. Machado M.D.



Vue supérieure
Utérus (fundus)
Ligament propre de l'ovaire
Ovaire
Trompe utérine (de Fallope)
Ligament rond de l'utérus
Ligament large de l'utérus
Anneau fémoral
Anneau inguinal profond
Ligament inguinal (recouvert du péritoine)
Vaisseaux iliaques externes
Fosse iliaque (faux pelvis)
Sillon para-colique gauche (gouttière)
Ligne blanche
Ligament (ouraque) et pli ombilicaux médians
Vessie et pli vésical transverse
Muscle droit de l'abdomen
Pli et ligament ombilicaux médiaux (partie oblitérée de l'artère ombilicale)
Rectum
Vaisseaux épigastriques inférieurs et pli ombilical latéral
Pli utéro-sacral
Pli urétérique
Ligament suspenseur de l'ovaire (contient les vaisseaux ovariques)
Cæcum
Plis cæcaux
Sillon para-colique droit (gouttière)
Côlon sigmoïde
Muscle carré des lombes
Muscles petit et grand psoas
Côlon descendant
Transverse de l'abdomen
Oblique interne
Oblique externe
Muscles de l'abdomen
Tronc sympathique
Ligament longitudinal antérieur
Corps de la vertèbre L3
Vaisseaux ovariques
Fosse pararectale
Veine cave inférieure
Aorte abdominale
Plexus hypogastrique supérieur
Fascia transversalis
Péritoine pariétal
Côlon ascendant
Iléon terminal
Uretère
Racine du mésentère

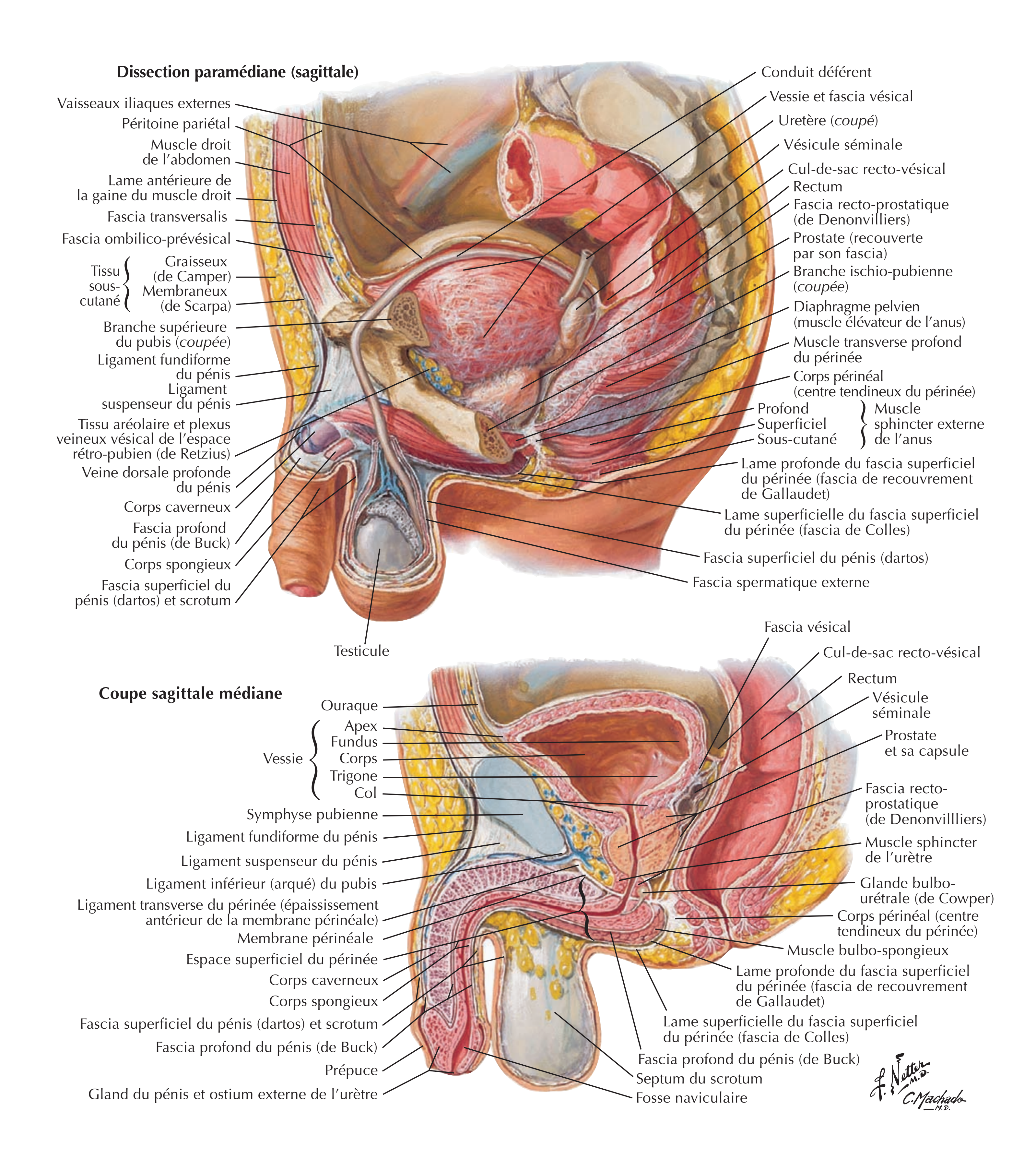
Viscères pelviens chez la femme



Fascia endopelvien et espaces potentiels

Vue supérieure chez la femme (péritoine et tissu aréolaire lâche enlevés)

Viscères pelviens et périnée masculin



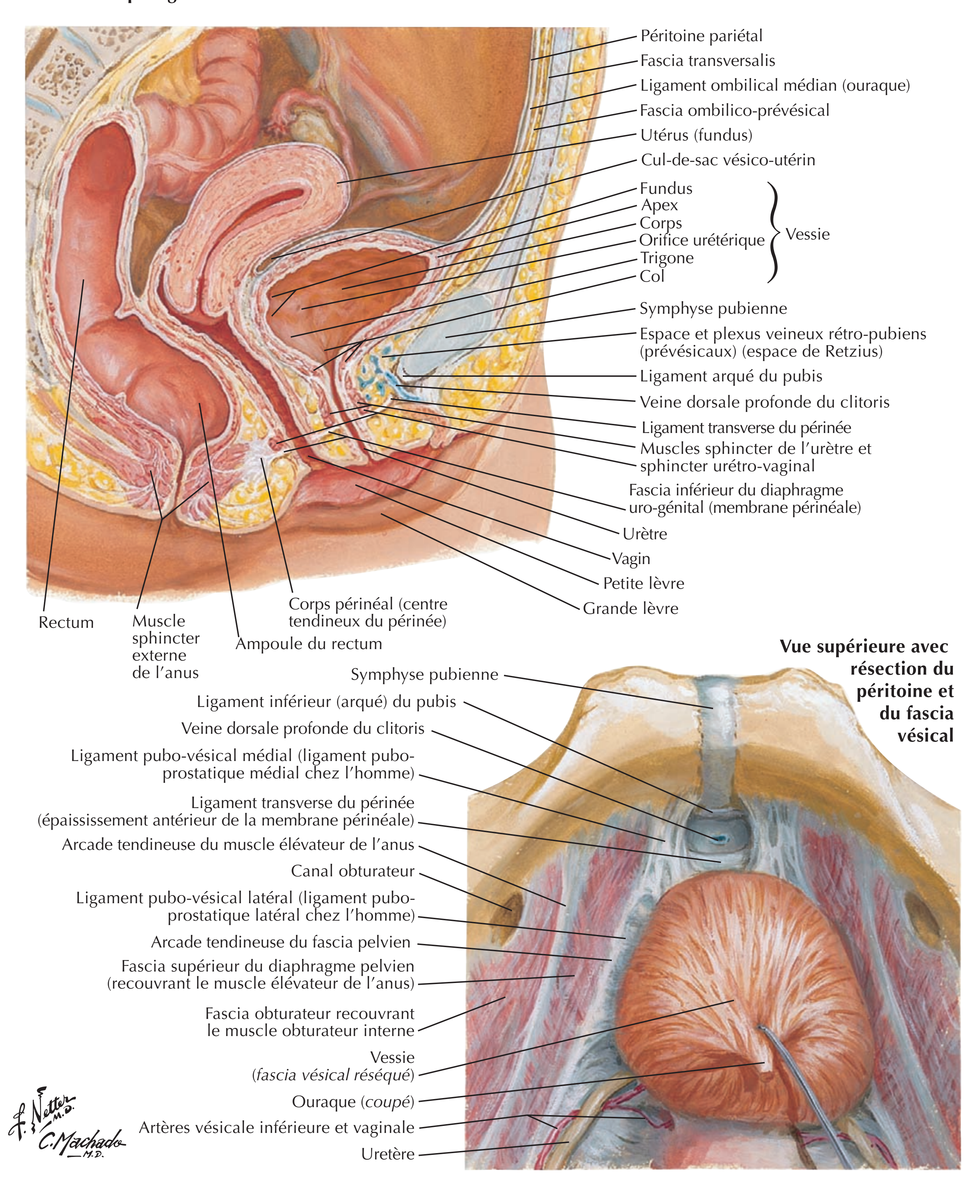
Contenu du pelvis masculin



Rectum
Vésicule séminale (rétro-péritonéale)
Conduit déférent (dans son pli péritonéal)
Ligne terminale du pelvis
Anneau fémoral
Branche pubienne de l'artère épigastrique inférieure (anastomotique avec l'obturatrice)
Anneau inguinal profond
Vaisseaux iliaques externes
Vaisseaux testiculaires (dans le pli péritonéal)
Fascia transversalis
Péritoine pariétal
Sillon paracolique gauche (gouttière)
Ligne blanche
Ligament (ouraque) et pli ombilicaux médians
Vessie et pli vésical transverse
Pli et ligament ombilicaux médiaux (artère ombilicale oblitérée)
Muscle droit de l'abdomen
Cul-de-sac recto-vésical
Vaisseaux épigastriques inférieurs et pli ombilical latéral
Pli sacro-génital (vésico-sacral)
Fosse pararectale
Pli urétérique
Ligament inguinal (prépéritonéal)
Cæcum
Plis cæcaux
Muscle carré des lombes
Côlon sigmoïde
Muscles petit et grand psoas
Côlon descendant
Tronc sympathique
Transverse de l'abdomen
Oblique interne
Oblique externe
Muscles de l'abdomen
Ligament longitudinal antérieur
Corps de la vertèbre L3
Vaisseaux testiculaires
Veine cave inférieure
Promontoire sacral
Aorte abdominale
Plexus hypogastrique supérieur
Sillon paracolique droit (gouttière)
Côlon ascendant
Iléon terminal
Uretère
Racine du mésentère
F. Netter M.D.

Vessie : orientation et soutènement

Femme : coupe sagittale médiane



Sphincters



Anneau trigonal
Anse postérieure
Anse de Heiss
Sphincter interne (involontaire)

Vessie

Vagin
Urètre
Muscle élévateur de l'anus
Hiatus uro-génital

Corps périnéal (centre tendineux du périnée)

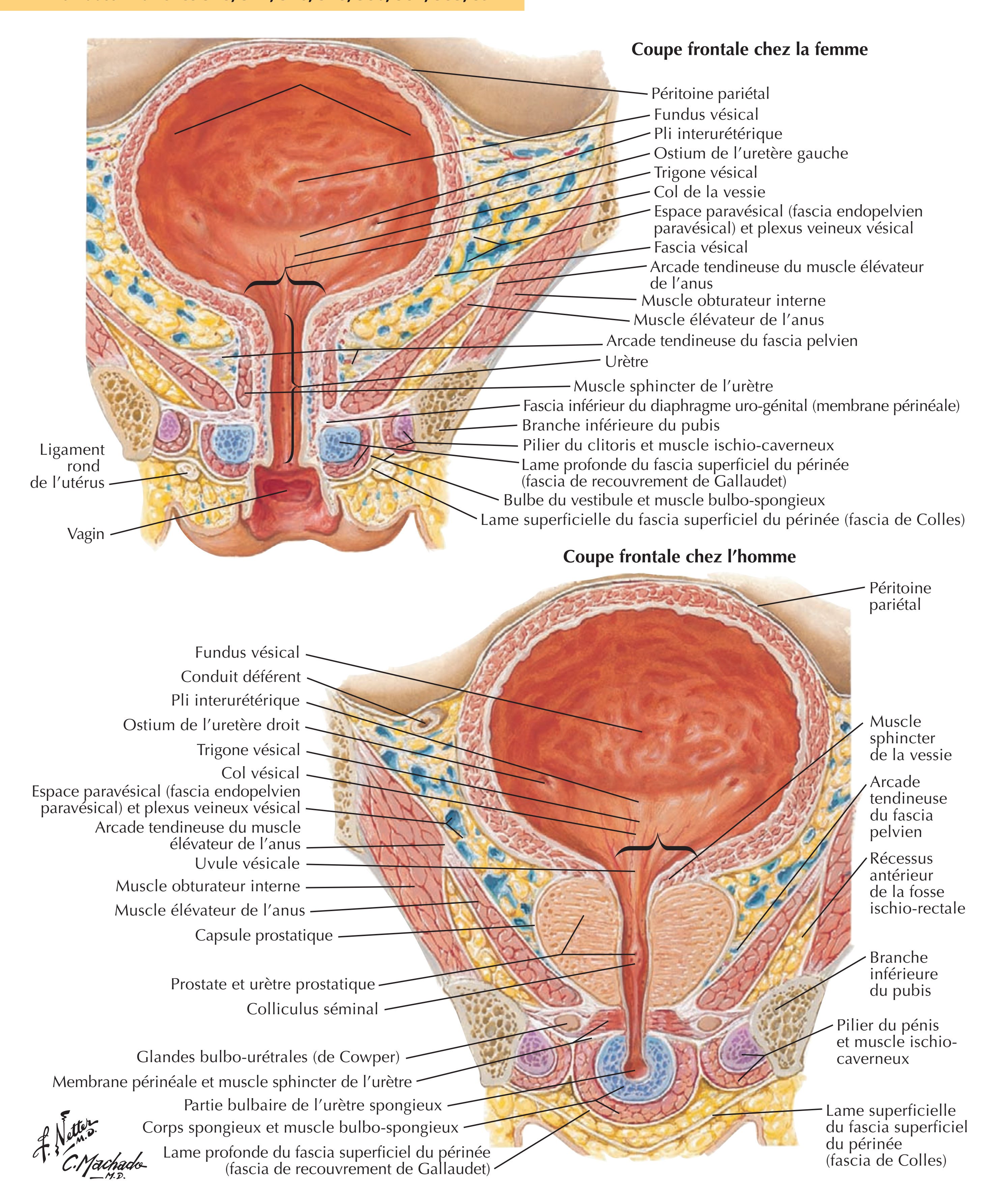
Muscle sphincter de l'urètre
Muscle urétro-vaginal
Muscle compresseur de l'urètre
Sphincter externe de l'urètre (volontaire)

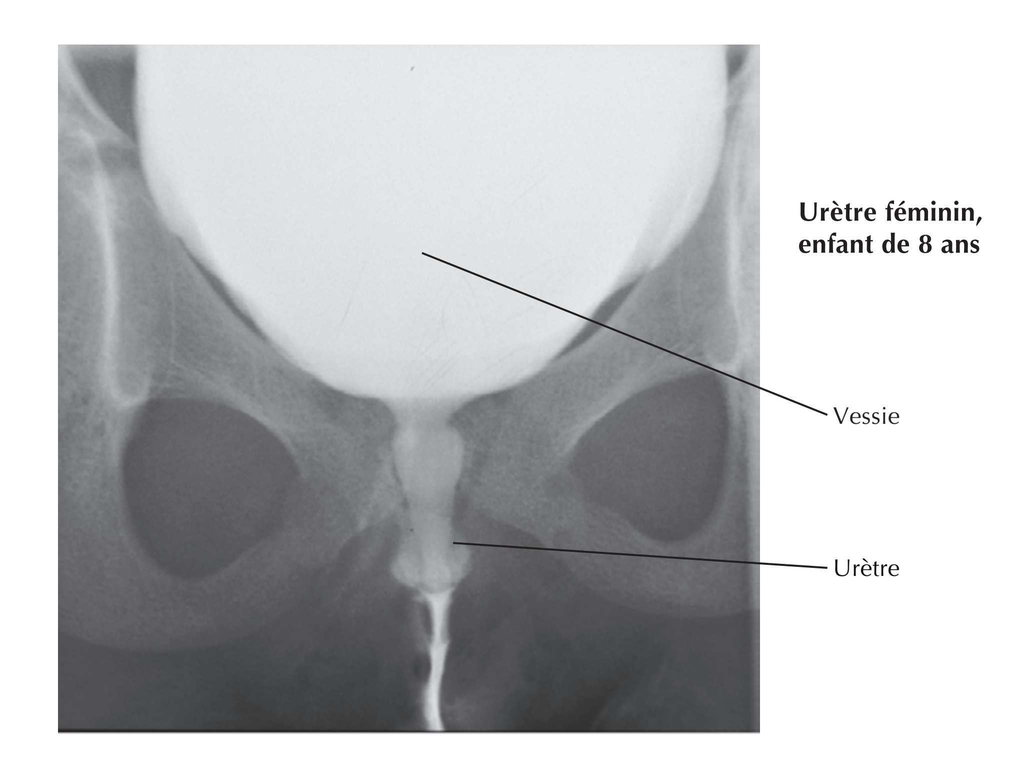
Os pubien

JOHN A.CRAIG MD
C.Machado M.D.

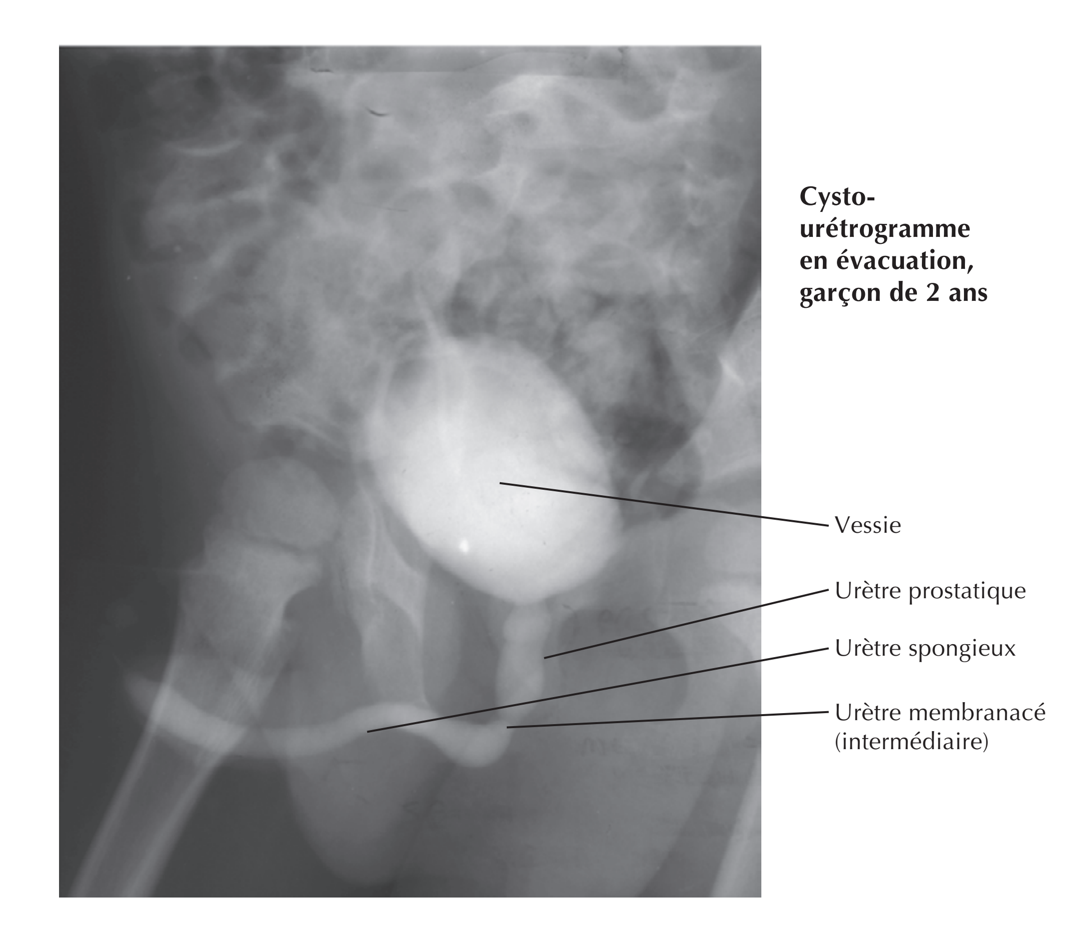
Vessie : chez la femme et chez l'homme

Voir aussi **Planches 318, 342, 346, 348, 380, 382, 383, 397**





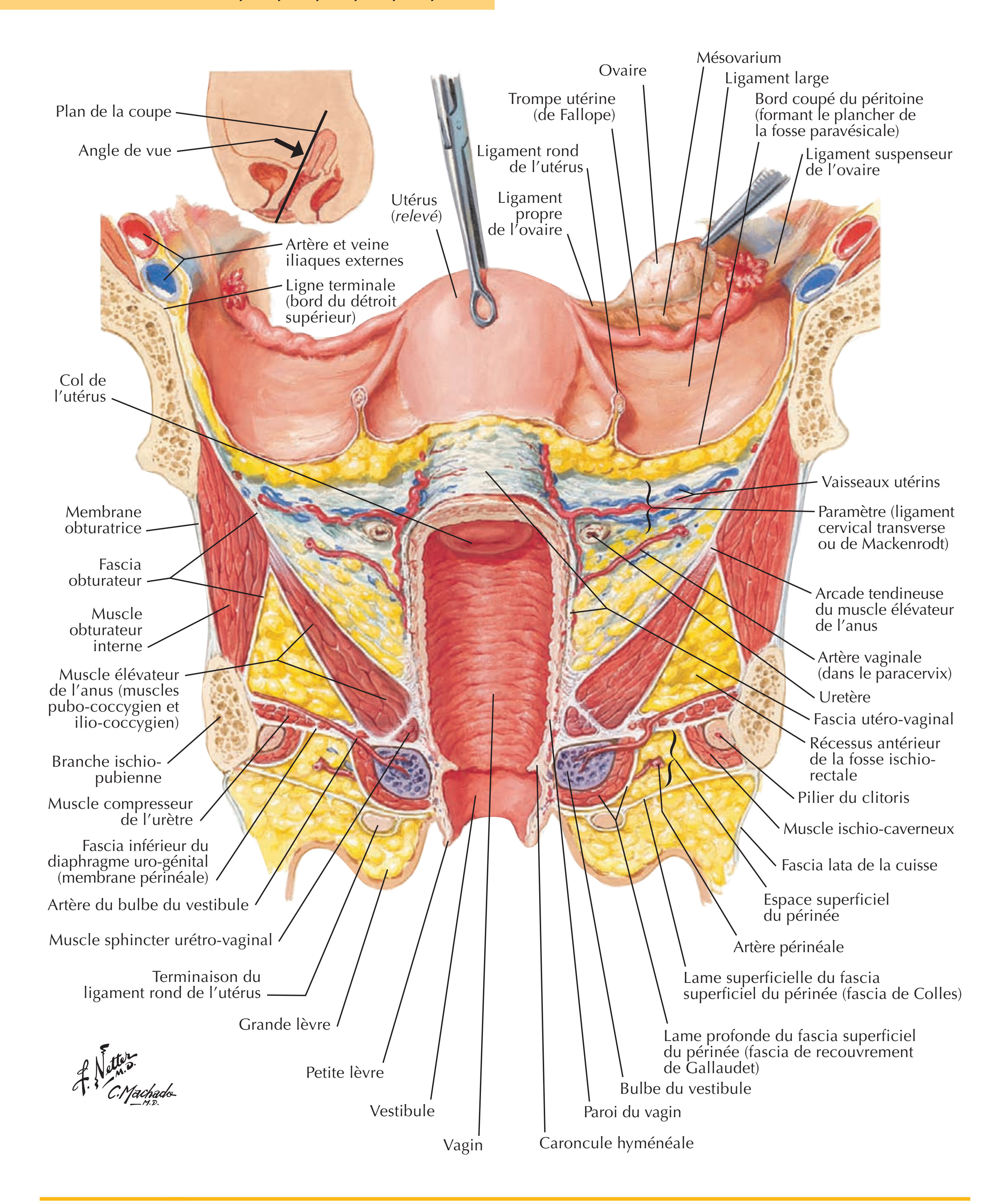
Urètre féminin, enfant de 8 ans



Cysto-urétrogramme en évacuation, garçon de 2 ans

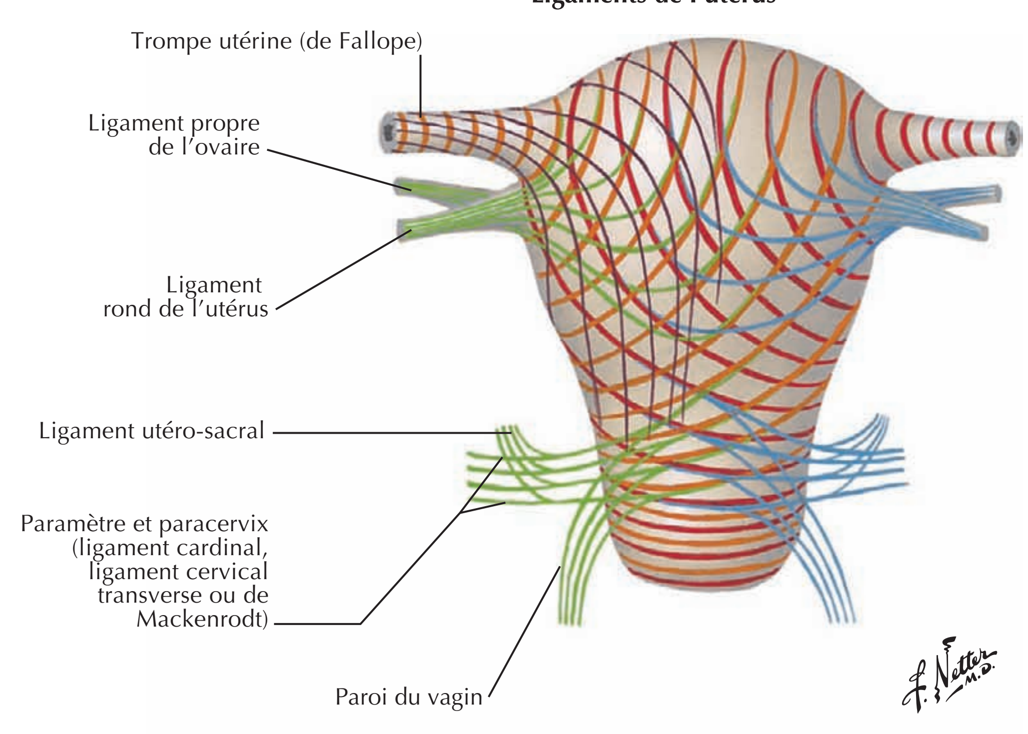
5 Utérus, vagin et structures de soutien

Voir aussi **Planches 380, 382, 384, 386, 392, 394, 395**

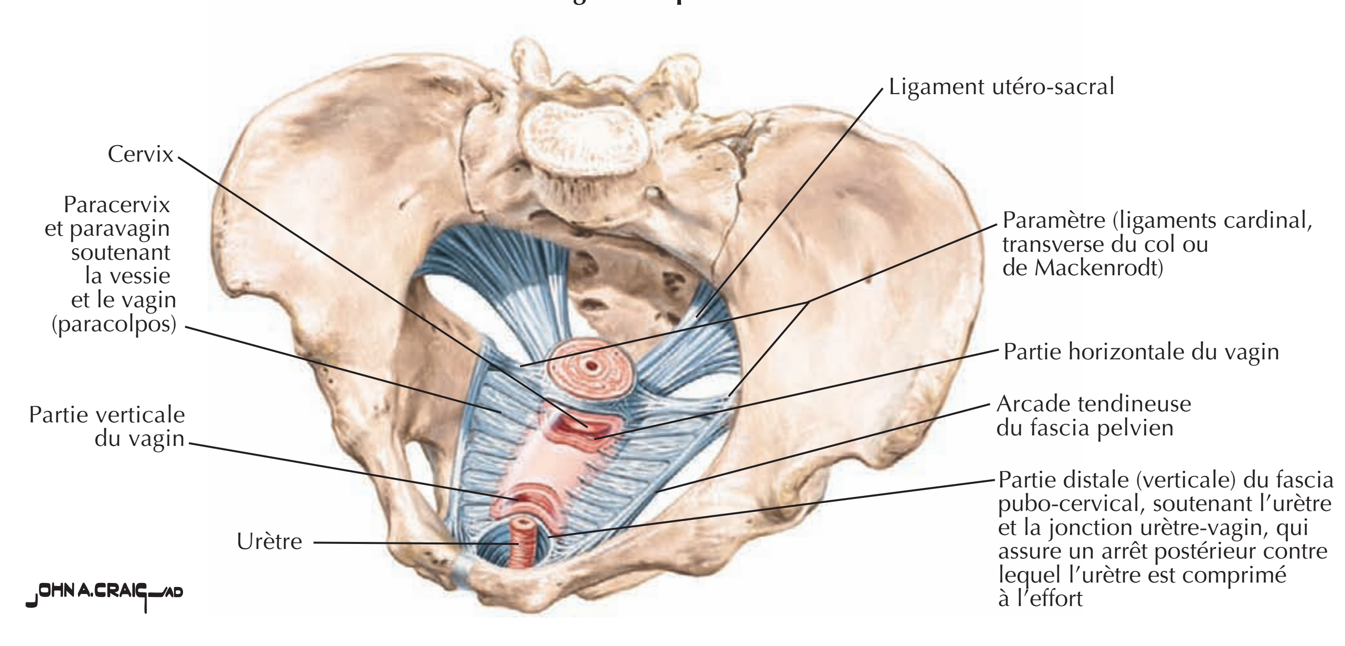




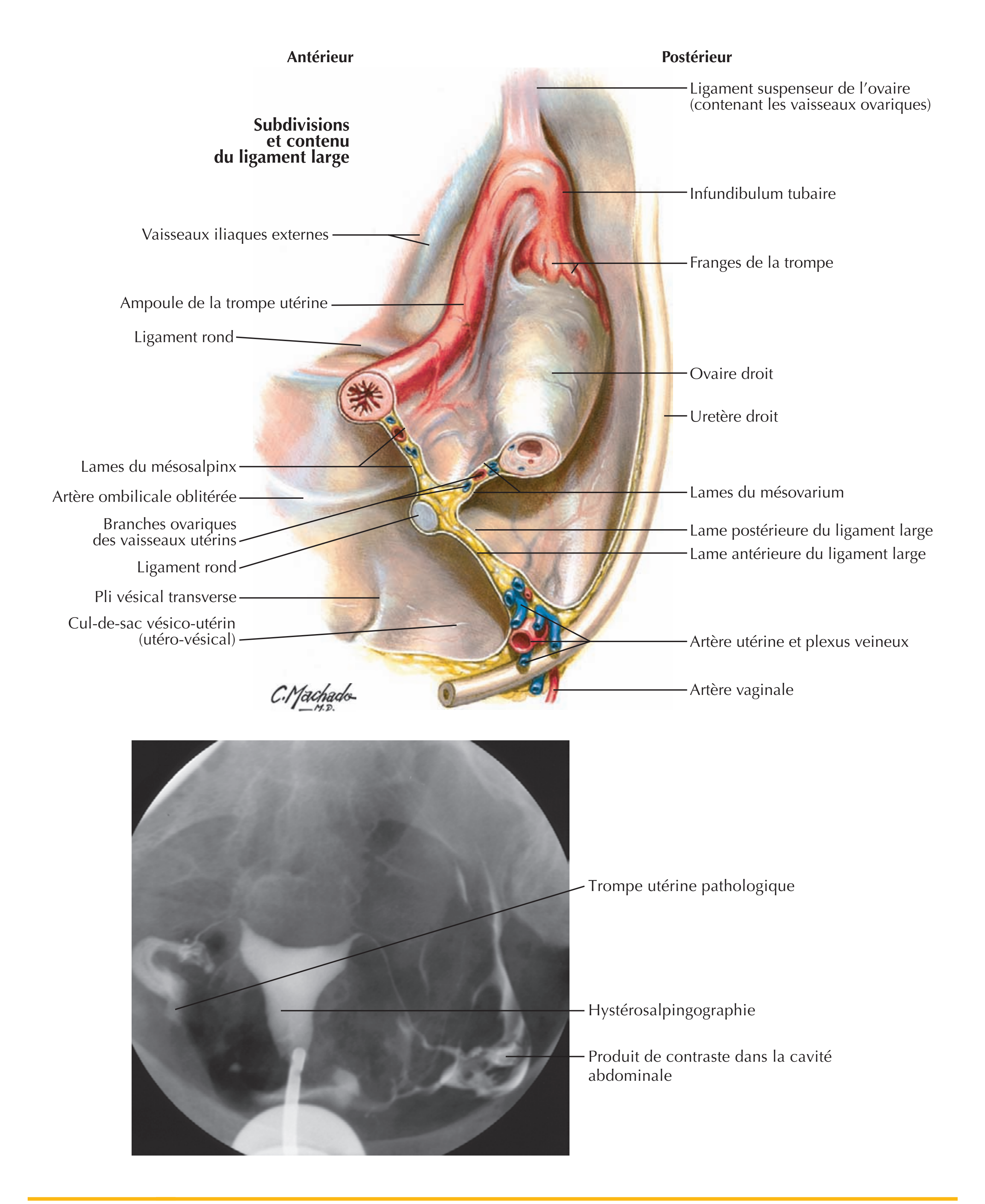
Ligaments de l'utérus



Fascias et ligaments pelviens



Ligaments pelviens





Vue postérieure

Ligament suspenseur de l'ovaire (contient les vaisseaux ovariques)
Mésosalpinx (du ligament large)
Ligament propre de l'ovaire
Fundus utérin
Appendice vésiculaire (hydatide de Morgagni)
Corps jaune
Ovaire
Corps de l'utérus
Mésomètre (du ligament large)
Uretère
Ligament utéro-sacral
Cul-de-sac recto-utérin (de Douglas)
Trompe utérine (de Fallope)
Isthme
Ampoule
Infundibulum
Franges
Ostium abdominal de la trompe
Ligament suspenseur de l'ovaire
Ovaire
Mésovarium (du ligament large)
Ligament propre de l'ovaire

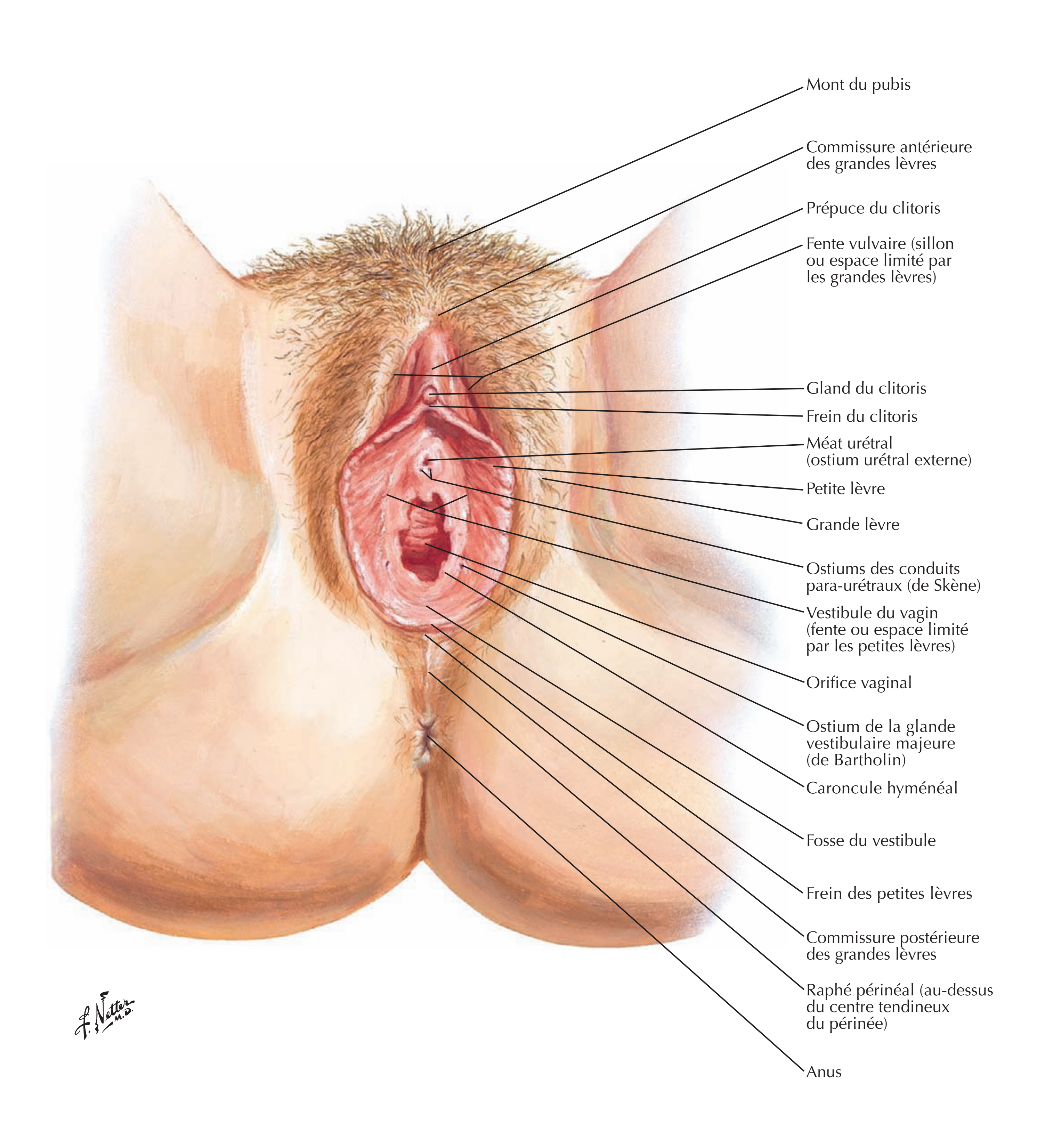
Trompe utérine (de Fallope)
Ampoule
Fundus utérin
Ostium utérin de la trompe
Corps de l'utérus
Partie utérine
Isthme
Infundibulum
Plis de la trompe utérine
Franges
Isthme utérin
Orifice interne du col de l'utérus
Col de l'utérus
Orifice externe du col de l'utérus
Ligament propre de l'ovaire
Endomètre
Myomètre
Mésomètre (du ligament large)
Vaisseaux utérins
Paramètre (ligament cervical transverse ou de Mackenrodt)
Canal cervical avec les plis palmés
Fornix du vagin
Vagin
Ligament suspenseur de l'ovaire (contient les vaisseaux ovariques)
Appendice vésiculeux (hydatide de Morgagni)
Époophoron
Follicule (de Graaf)
Corps blanc
Corps jaune
de l'ovaire

Coupe frontale

F. Netter M.D.

Périnée et organes génitaux externes féminins (vulve)

Voir aussi **Planches 384, 386, 387, 393**





Périnée féminin (dissection superficielle)

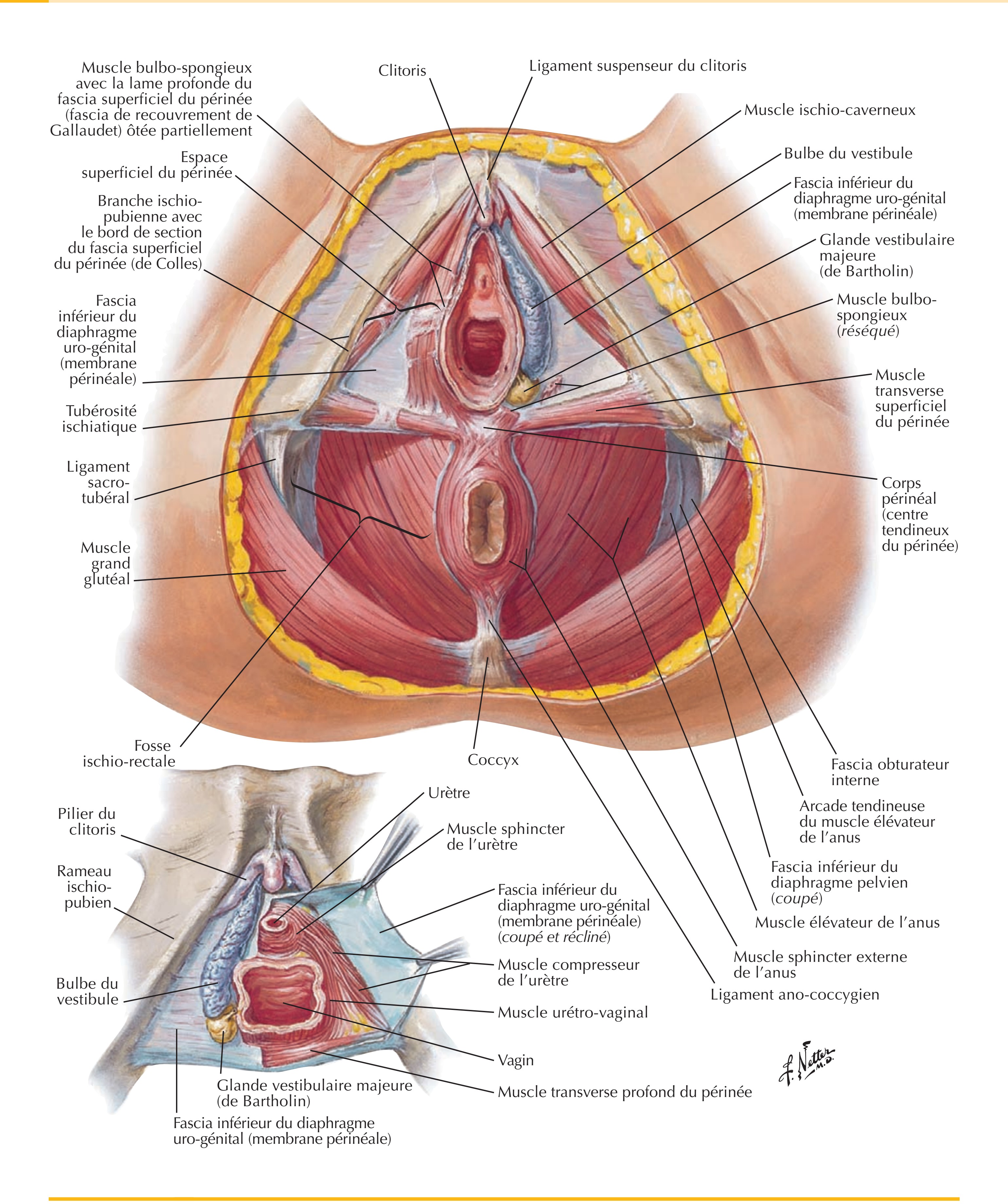
Toile sous-cutanée abdominale (fascia de Camper) } Tissu sous-cutané
Lame membraneuse profonde (de Scarpa) } Tissu sous-cutané
Gaine du muscle droit (lame antérieure)
Aponévrose du muscle oblique externe
Anneau inguinal superficiel
Épine iliaque antéro-supérieure
Ligament rond de l'utérus et ses enveloppes (*coupés*)
Ligament inguinal (de Poupart)
Tubercule pubien
Symphyse pubienne
Hiatus saphène
Ligament suspenseur du clitoris
Fascia lata
Branche ischio-pubienne
Fascia superficiel du périnée (de Colles) réséqué pour ouvrir l'espace superficiel du périnée
Muscle ischio-caverneux
Muscle bulbo-spongieux (recouvre le bulbe du vestibule)
Fascia inférieur du diaphragme uro-génital (membrane périnéale)
Lame profonde du fascia superficiel du périnée (fascia de recouvrement de Gallaudet) (*partiellement réséqué*)
Muscle transverse superficiel du périnée
Tubérosité ischiatique
Lame superficielle du fascia superficiel du périnée (fascia de Colles) (*bord coupé et récliné*)
Corps adipeux de la fosse ischio-rectale

Fascia superficiel du périnée (de Colles)
Ligament rond de l'utérus et ses couches fasciales

Péritoine
Ouraque
Fascia transversalis
Muscle droit de l'abdomen
Fascia vésical
Fascia utéro-vaginal
Fascia rectal
Utérus
Vessie
Vagin
Rectum
Tissu sous-cutané { Adipeux
Tissu sous-cutané { Membraneux
Gaine du muscle droit (lame antérieure)
Symphyse pubienne
Ligament inférieur (arqué) du pubis
Ligament transverse du périnée
Ligament suspenseur du clitoris
Muscles sphincter de l'urètre et sphincter urétro-vaginal
Fascia inférieur du diaphragme uro-génital (membrane périnéale)
Espace superficiel du périnée
Fascia superficiel du périnée (de Colles)
Corps périnéal (centre tendineux du périnée)
Fascia supérieur du diaphragme pelvien
Fascia inférieur du diaphragme pelvien
Muscle élévateur de l'anus
Ligament ano-coccygien
Muscle sphincter externe de l'anus

F. Netter M.D.
C. Machado M.D.

Périnée féminin et diaphragme uro-génital



Espaces périnéaux chez la femme



Espace superficiel du périnée

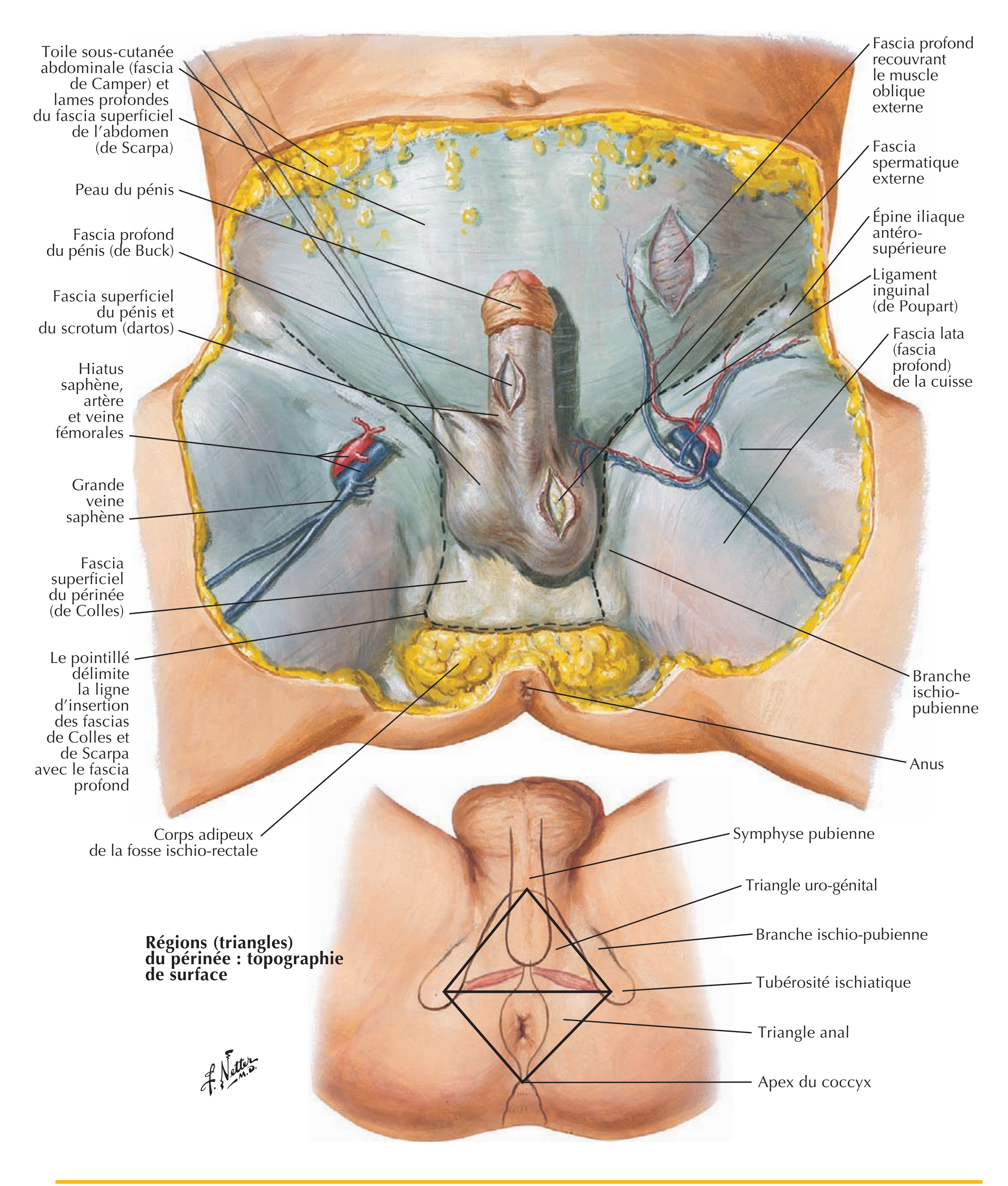
Symphyse pubienne
Ligament suspenseur du clitoris
Clitoris
Muscle ischio-caverneux
Ostium externe de l'urètre
Petite lèvre (*coupée*)
Muscle bulbo-spongieux
Muscle transverse superficiel du périnée
Orifice vaginal
Glande vestibulaire majeure (de Bartholin)
Branche du nerf anal inférieur (rectal)
Artère pudendale interne
Nerf pudendal
Nerf périnéal
Membrane périnéale
Artère périnéale
Branches superficielle et profonde du nerf périnéal
Artère pudendale interne (clitoridienne)
Bulbe du vestibule
Bord de la coupe du fascia superficiel du périnée (de Colles)
Pilier du clitoris
Artère labiale postérieure

Espace profond du périnée

Veine dorsale profonde du clitoris
Ostium externe de l'urètre
Membrane périnéale (*coupée et réclinée*)
Bord de la coupe du fascia superficiel du périnée (de Colles)
Orifice vaginal
Glandes vestibulaires majeures (de Bartholin)
Paroi vaginale
Muscle transverse profond du périnée
Branches profonde et superficielle du nerf périnéal (*coupées*)
Artère pudendale interne (clitoridienne)
Artère du bulbe du vestibule
Muscle compresseur de l'urètre
Artère profonde du clitoris
Nerf dorsal du clitoris
Artère dorsale du clitoris

C. Machado M.D.

Périnée et organes génitaux externes chez l'homme (dissection superficielle)

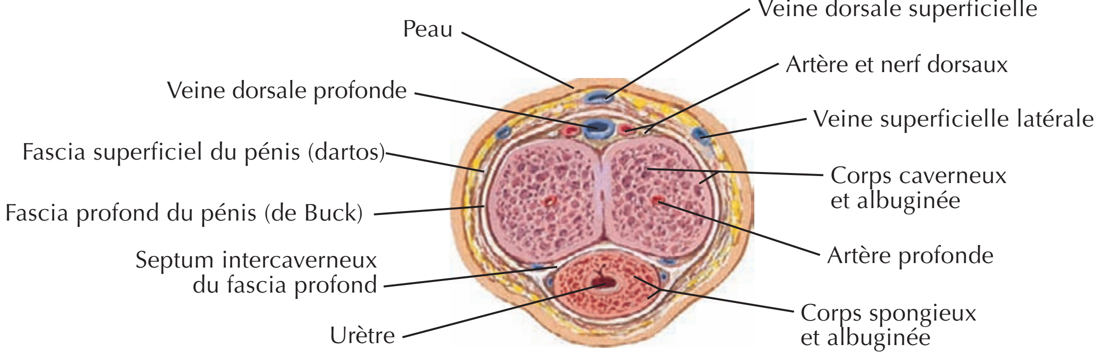




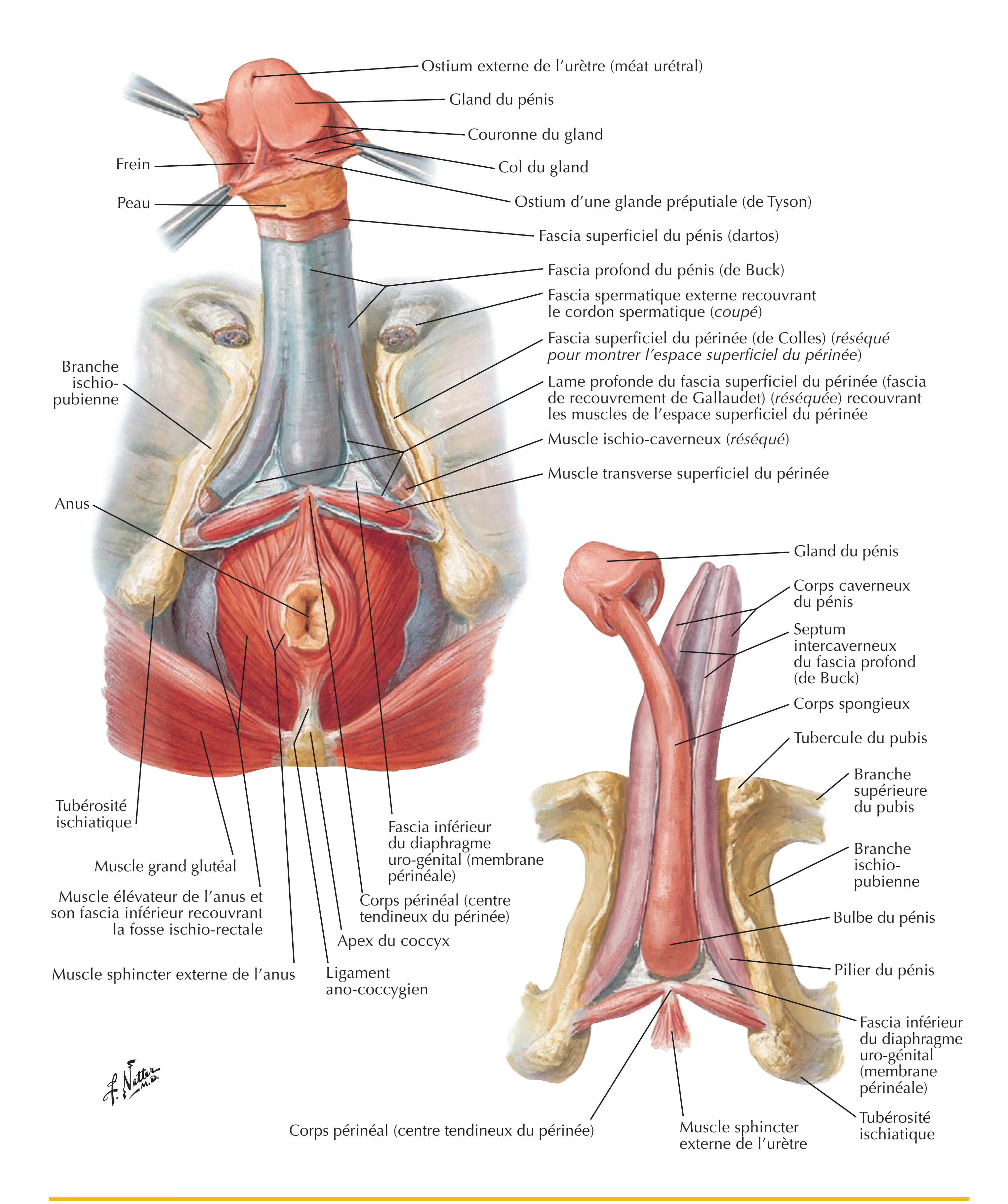
Périnée et organes génitaux externes chez l'homme (dissection profonde)

Voir aussi **Planches 383, 385, 388-391, 396**

Peau
Fascia superficiel du pénis (dartos)
Aponévrose du muscle oblique externe
Lame profonde du tissu sous-cutané (de Scarpa) (*réséquée*)
Ligament inguinal (de Poupart)
Fascia profond du pénis (de Buck)
Anneau inguinal superficiel
Fascia spermatique externe recouvrant le cordon spermatique
Fascia lata (fascia profond) de la cuisse
Muscle bulbo-spongieux
Muscle ischio-caverneux recouvrant le pilier du pénis
Fascia superficiel du périnée (de Colles) (*réséqué pour montrer l'espace superficiel du périnée*)
Fascia inférieur du diaphragme uro-génital (membrane périnéale)
Lame profonde du fascia superficiel du périnée (fascia de recouvrement de Gallaudet) (*réséquée partiellement*) recouvrant les muscles de l'espace superficiel du périnée
Muscle transverse superficiel du périnée
Tubérosité ischiatique
Fascia superficiel du périnée (de Colles) (*bord coupé*)
Muscle élévateur de l'anus recouvrant la fosse ischio-rectale
Muscle sphincter externe de l'anus
Muscle grand glutéal



Coupe transversale du corps du pénis



Ostium externe de l'urètre (méat urétral)
Gland du pénis
Couronne du gland
Col du gland
Frein
Ostium d'une glande préputiale (de Tyson)
Peau
Fascia superficiel du pénis (dartos)
Fascia profond du pénis (de Buck)
Fascia spermatique externe recouvrant le cordon spermatique (*coupé*)
Fascia superficiel du périnée (de Colles) (*réséqué pour montrer l'espace superficiel du périnée*)
Branche ischio-pubienne
Lame profonde du fascia superficiel du périnée (fascia de recouvrement de Gallaudet) (*réséquée*) recouvrant les muscles de l'espace superficiel du périnée
Muscle ischio-caverneux (*réséqué*)
Muscle transverse superficiel du périnée
Anus
Gland du pénis
Corps caverneux du pénis
Septum intercaverneux du fascia profond (de Buck)
Corps spongieux
Tubercule du pubis
Branche supérieure du pubis
Tubérosité ischiatique
Fascia inférieur du diaphragme uro-génital (membrane périnéale)
Muscle grand glutéal
Branche ischio-pubienne
Muscle élévateur de l'anus et son fascia inférieur recouvrant la fosse ischio-rectale
Corps périnéal (centre tendineux du périnée)
Bulbe du pénis
Apex du coccyx
Pilier du pénis
Muscle sphincter externe de l'anus
Ligament ano-coccygien
Fascia inférieur du diaphragme uro-génital (membrane périnéale)
Corps périnéal (centre tendineux du périnée)
Muscle sphincter externe de l'urètre
Tubérosité ischiatique
F. Netter M.D.



Symphyse pubienne
Branche supérieure du pubis
Ligament inférieur (arqué) du pubis
Veine dorsale profonde du pénis
Branche ischio-pubienne
Urètre
Fascia inférieur du diaphragme uro-génital
Corps périnéal (centre tendineux du périnée)
Muscle sphincter externe de l'anus
Os du pubis
Ligament transverse du périnée (épaississement antérieur de la membrane périnéale)
Artère et nerf dorsaux du pénis
Artère profonde du pénis
Artère urétrale
Conduit de la glande bulbo-urétrale (de Cowper)
Artère du bulbe du pénis
Lame profonde du fascia superficiel du périnée (fascia de recouvrement de Gallaudet) recouvrant les muscles ischio-caverneux, bulbo-spongieux et transverse superficiel du périnée (*réséquée*)
Fascia superficiel du périnée (de Colles) (*réséqué*)
Muscle transverse superficiel du périnée (*coupé et récliné*)
Tubérosité ischiatique

Vues inférieures

Artère et nerf dorsaux du pénis
Artère profonde du pénis
Artère urétrale
Glande bulbo-urétrale (de Cowper)
Artère du bulbe du pénis
Fascia inférieur du diaphragme uro-génital (membrane périnéale) (*bord coupé*)
Artère pudendale (honteuse) interne et nerf dorsal du pénis
Artère pudendale (honteuse) interne et branche périnéale
Muscle sphincter de l'urètre
Urètre
Muscle transverse profond du périnée

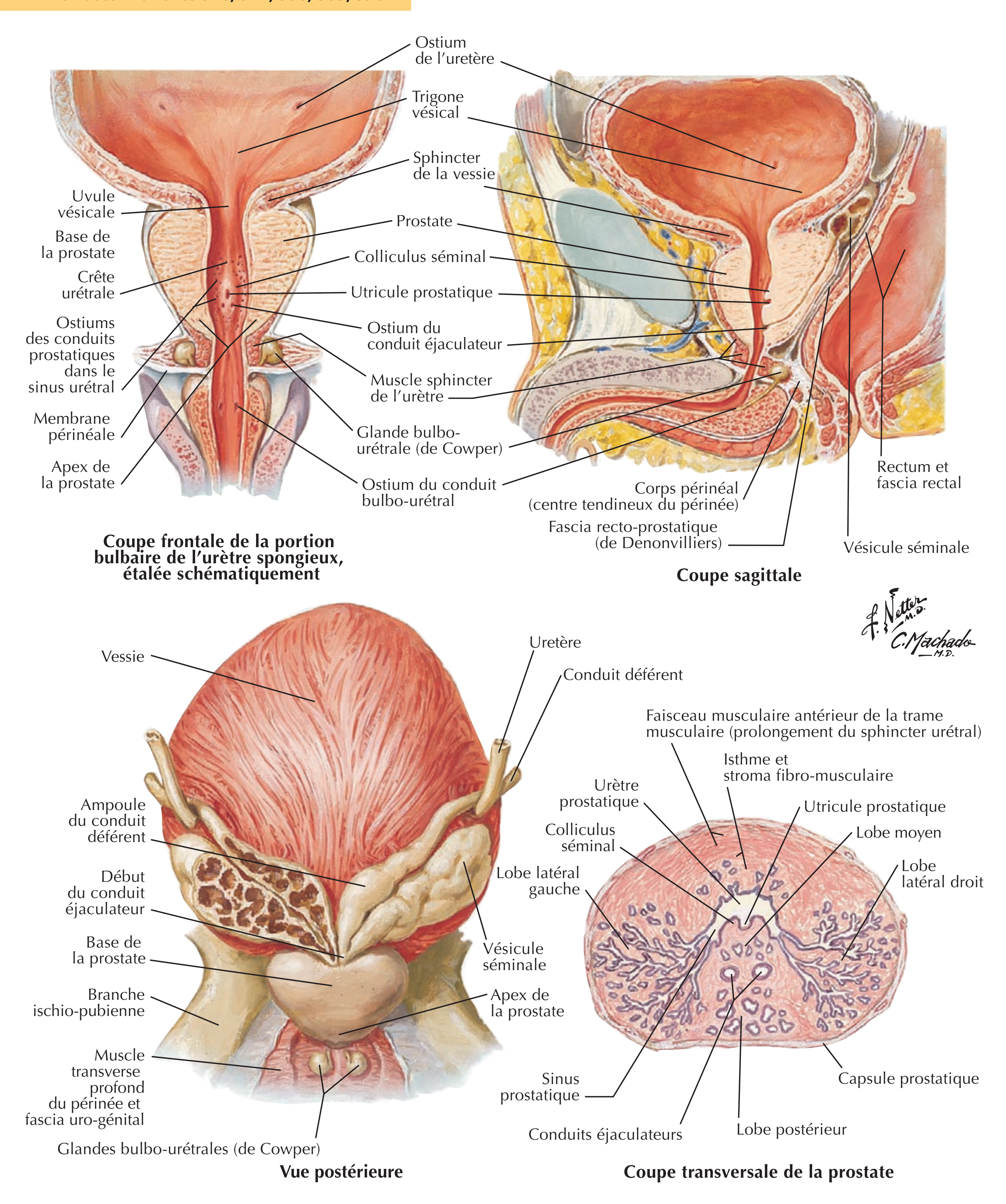
Muscle élévateur de l'anus
Fascia inférieur du diaphragme uro-génital (membrane périnéale)
Muscle transverse profond du périnée
Lame profonde du fascia superficiel du périnée (fascia de recouvrement de Gallaudet)
Corps caverneux (pilier du pénis) et fascia profond du pénis (de Buck)
Muscle ischio-caverneux
Fascia superficiel du périnée (de Colles) fermant l'espace superficiel du périnée
Vessie
Prostate
Muscle obturateur interne
Branche ischio-pubienne
Muscle sphincter de l'urètre
Glande bulbo-urétrale (de Cowper)
Muscle ischio-caverneux
Bulbe du pénis (corps spongieux) et fascia profond du pénis (de Buck)
Muscle bulbo-spongieux

F. Netter M.D.
C. Machado M.D.

Coupe frontale du périnée et de l'urètre : schéma (vue antérieure)

Prostate et vésicules séminales

Voir aussi **Planches 346, 347, 350, 383, 390**



Coupe frontale de la portion bulbaire de l'urètre spongieux, étalée schématiquement

Coupe sagittale

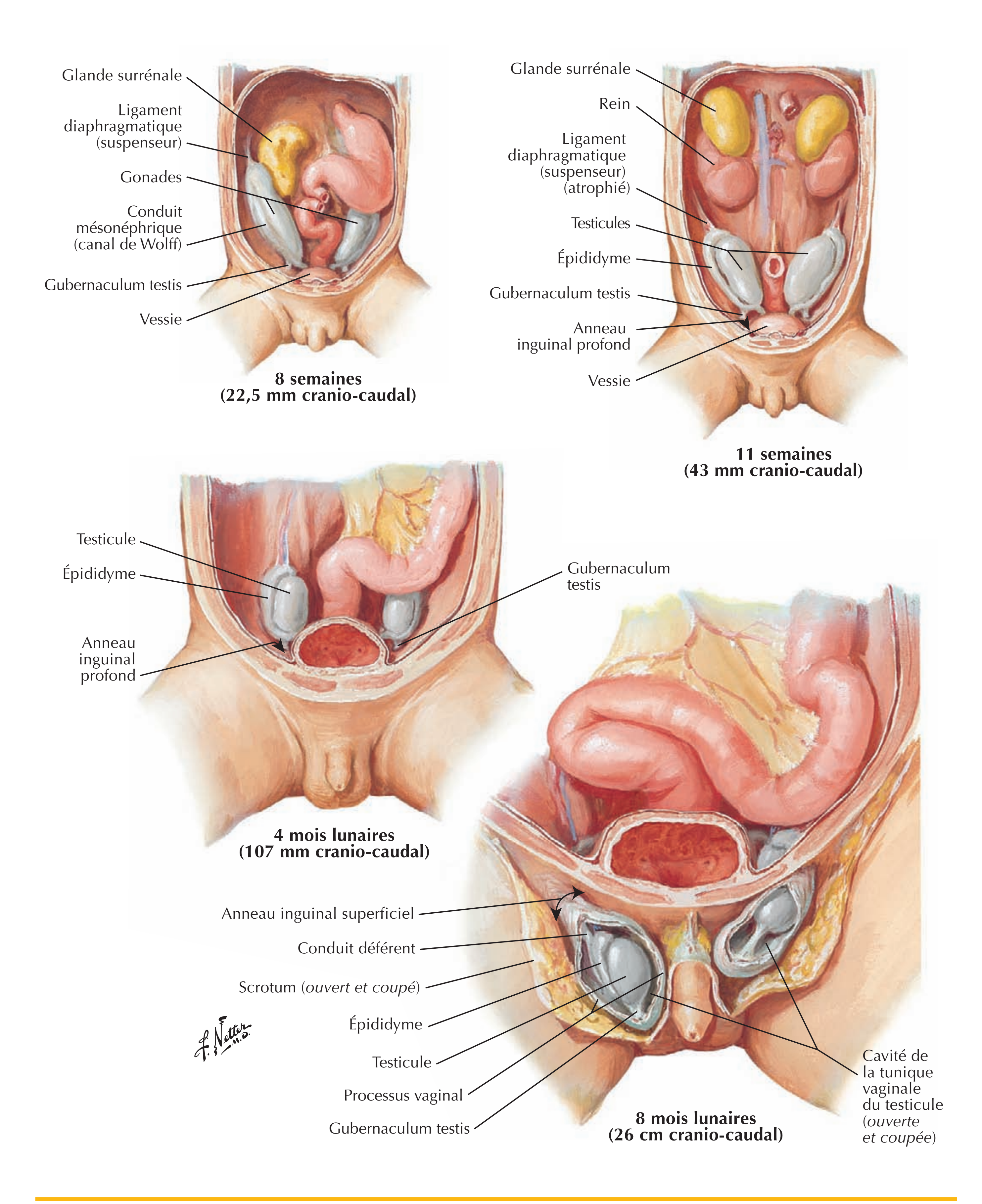
Vue postérieure

Coupe transversale de la prostate



Sphincter de la vessie
Trigone vésical
Uvule vésicale
Prostate
Crête urétrale
Sinus prostatiques
Ostiums des conduits prostatiques
Urètre prostatique
Utricule prostatique
Partie membranacée de l'urètre
Muscle sphincter de l'urètre
Ostiums des conduits éjaculateurs
Bulbe du pénis
Pilier du pénis
Glande bulbo-urétrale (de Cowper)
Partie bulbaire
Ostiums des conduits bulbo-urétraux
Corps caverneux
Albuginée
Corps spongieux
Albuginée
Urètre spongieux
Artère profonde du pénis
Septum intercaverneux du fascia profond (de Buck)
Partie libre (pénienne)
Lacunes urétrales (de Morgagni) et glandes urétrales (de Littré)
Grande lacune (inconstante)
Fosse naviculaire
Gland du pénis
Ostium externe de l'urètre (méat urétral)
Plafond de l'urètre
Plancher de l'urètre
F. Netter M.D.
C. Machado M.D.

Descente des testicules





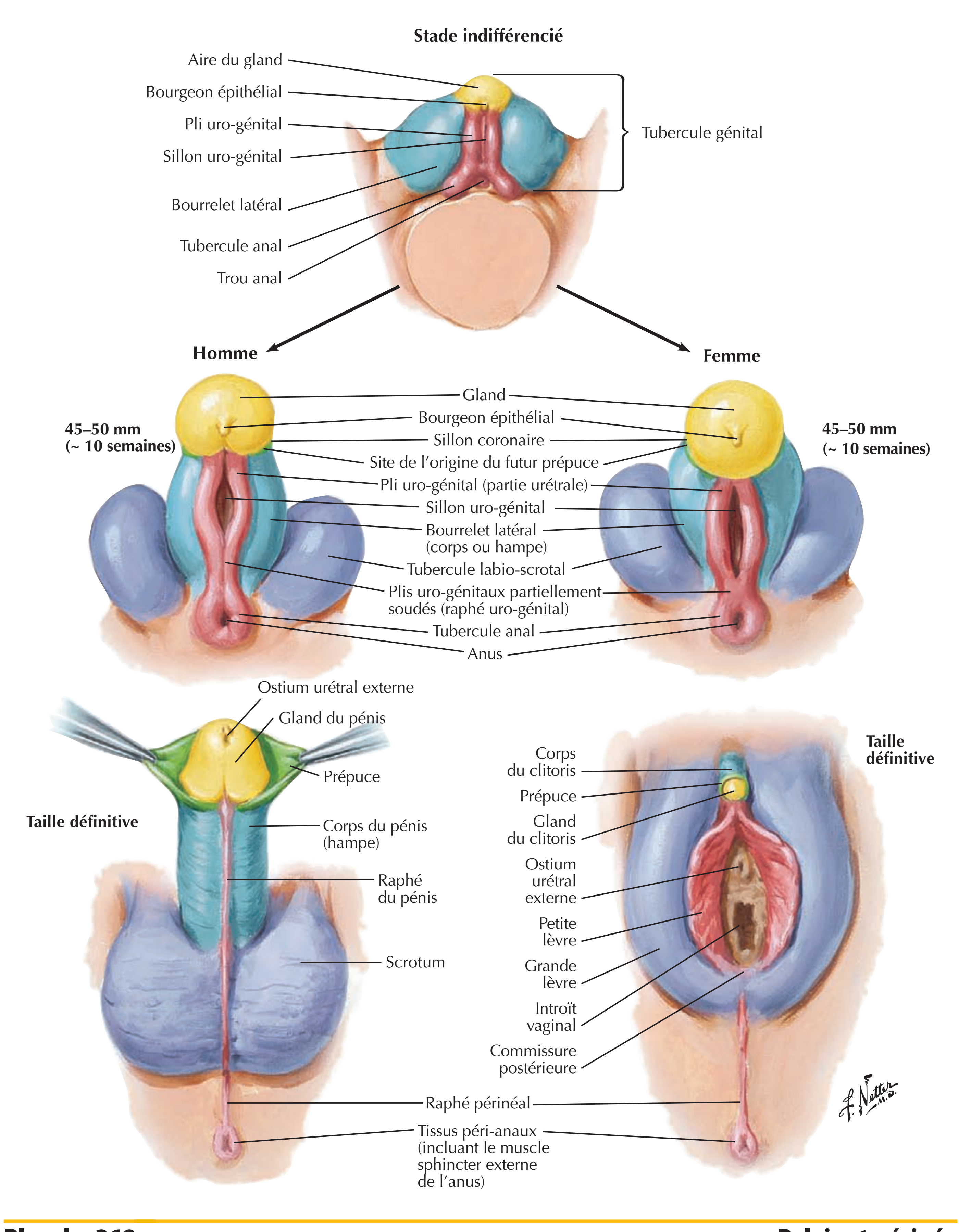
Scrotum et son contenu

Peau du pénis
Fascia superficiel du pénis (fascia de Colles)
Fascia profond du pénis (de Buck)
Artère testiculaire
Conduit déférent
Artère du conduit déférent
Rameau génital du nerf génito-fémoral
Plexus veineux pampiniforme
Épididyme
Appendice épididymaire
Appendice du testicule
Testicule (recouvert de la lame viscérale de la vaginale)
Lame pariétale de la vaginale du testicule
Anneau inguinal superficiel
Fascia spermatique externe
Muscle crémaster et fascia crémastérique
Septum scrotal (formé par le fascia superficiel du scrotum)
Fascia superficiel du scrotum (dartos)
Peau du scrotum

Fascia superficiel du scrotum (dartos)
Fascia spermatique externe
Muscle crémaster et fascia crémastérique
Fascia spermatique interne
Lame pariétale de la vaginale
Épididyme
Testicule (recouvert de la lame viscérale de la vaginale)
Peau du scrotum

F. Netter M.D.

Homologies des organes génitaux externes





Ligament diaphragmatique (ligament suspenseur de l'ovaire)

Conduit para-mésonéphrique (de Müller)

Gonade

Tubules mésonéphriques

Conduit mésonéphrique (de Wolff)

Cordon génital

Pli inguinal

Sinus uro-génital

Ébauche de la prostate (♂) ou des glandes para-urétrales (de Skène) (♀)

Ébauches des glandes bulbo-urétrales (de Cowper) (♂) ou vestibulaires majeures (de Bartholin) (♀)

F. Netter M.D.

Stade indifférencié

Homme

Femme

Vésicule séminale

Conduit déférent

Utricule prostatique

Prostate

Ostium du conduit éjaculateur

Glande bulbo-urétrale (de Cowper)

Appendice épididymaire

Épididyme

Ductules efférents

Appendice testiculaire

Testicule

Paradidyme

Ligament scrotal (gubernaculum)

Trompe utérine (de Fallope)

Ligament large

Conduit mésonéphrique crânial (de Gartner)

Époophoron (tubules mésonéphriques crâniaux)

Paroophoron (tubules mésonéphriques caudaux)

Appendice vésiculeux

Ligament suspenseur de l'ovaire

Ligament propre de l'ovaire

Ovaire

Utérus

Ligament rond de l'utérus

Vagin (4/5 supérieur)

Vestiges du conduit mésonéphrique

Vagin (1/5 inférieur)

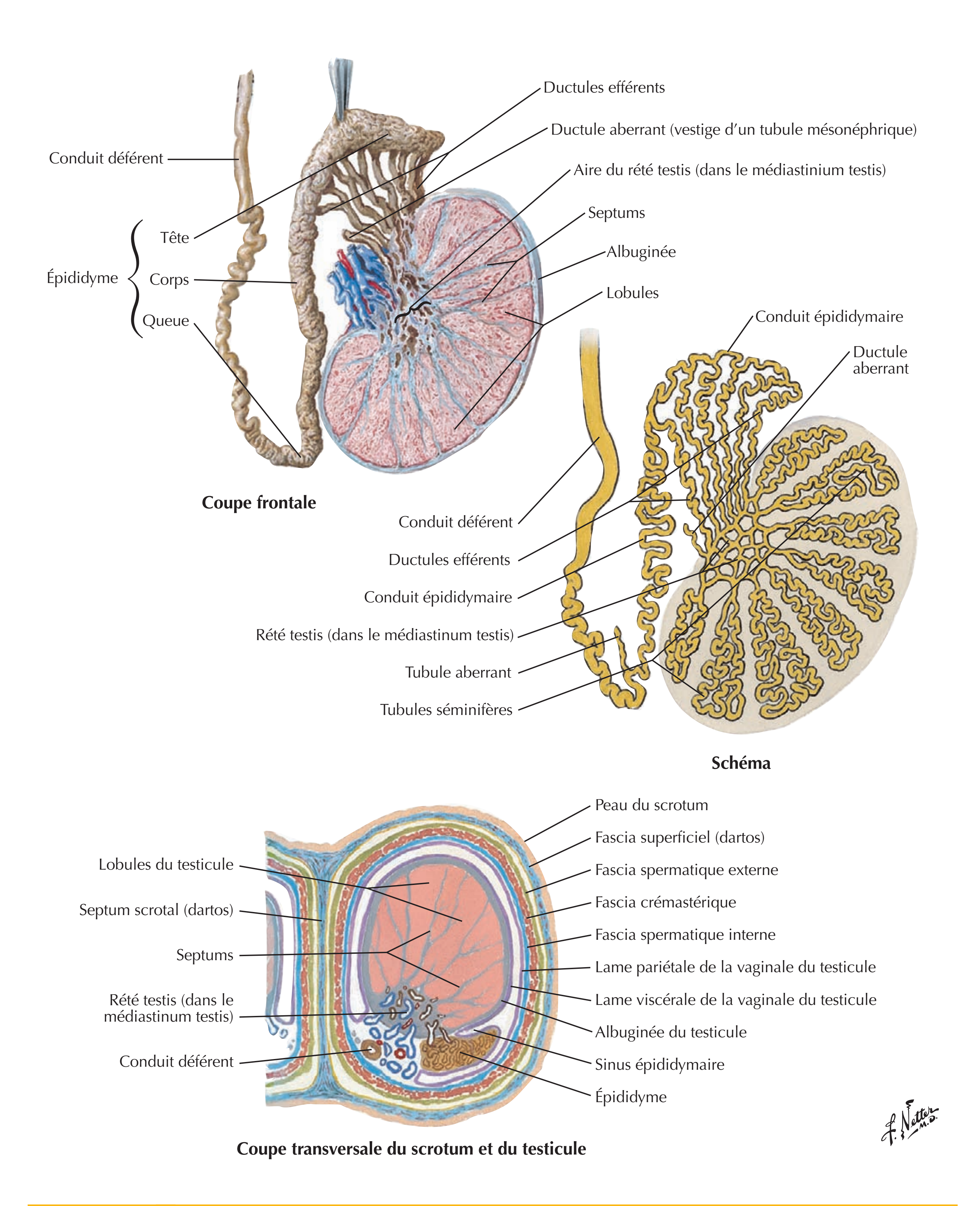
Urètre

Glandes para-urétrales (de Skène)

Glande vestibulaire majeure (de Bartholin)

Vestibule

5 Testicule, épididyme et conduit déférent





Rectum *in situ* : homme et femme

Homme

Côlon sigmoïde
Mésocôlon sigmoïde
Articulation recto-sigmoïdienne
Réflexion péritonéale
Cul-de-sac recto-vésical
Rectum et fascia rectal
Muscle élévateur de l'anus (diaphragme pelvien)
Coccyx
Partie pubo-rectale du muscle élévateur de l'anus
Muscle sphincter externe de l'anus* { Profond / Superficiel / Sous-cutané

Ténia libre
Conduit déférent (*coupé*)
Uretère (*coupé*)
Vessie
Vésicule séminale
Fascia recto-vésical (de Denonvilliers)
Prostate
Muscle ischio-caverneux et lame profonde du fascia superficiel du périnée (fascia de recouvrement de Gallaudet) (*fascia partiellement réséqué*)
Muscle transverse profond du périnée et membrane périnéale
Muscle transverse superficiel du périnée et lame profonde du fascia superficiel du périnée
Fascia superficiel du périnée (de Colles)
Corps périnéal (centre tendineux du périnée)

Femme

Mésocôlon sigmoïde
Articulation recto-sigmoïdienne
Réflexion péritonéale
Fascia rectal et rectum
Cul-de-sac recto-utérin (de Douglas)
Coccyx
Muscle élévateur de l'anus (diaphragme pelvien)
Partie pubo-rectale du muscle élévateur de l'anus
Muscle sphincter externe de l'anus*
Profond
Superficiel
Sous-cutané

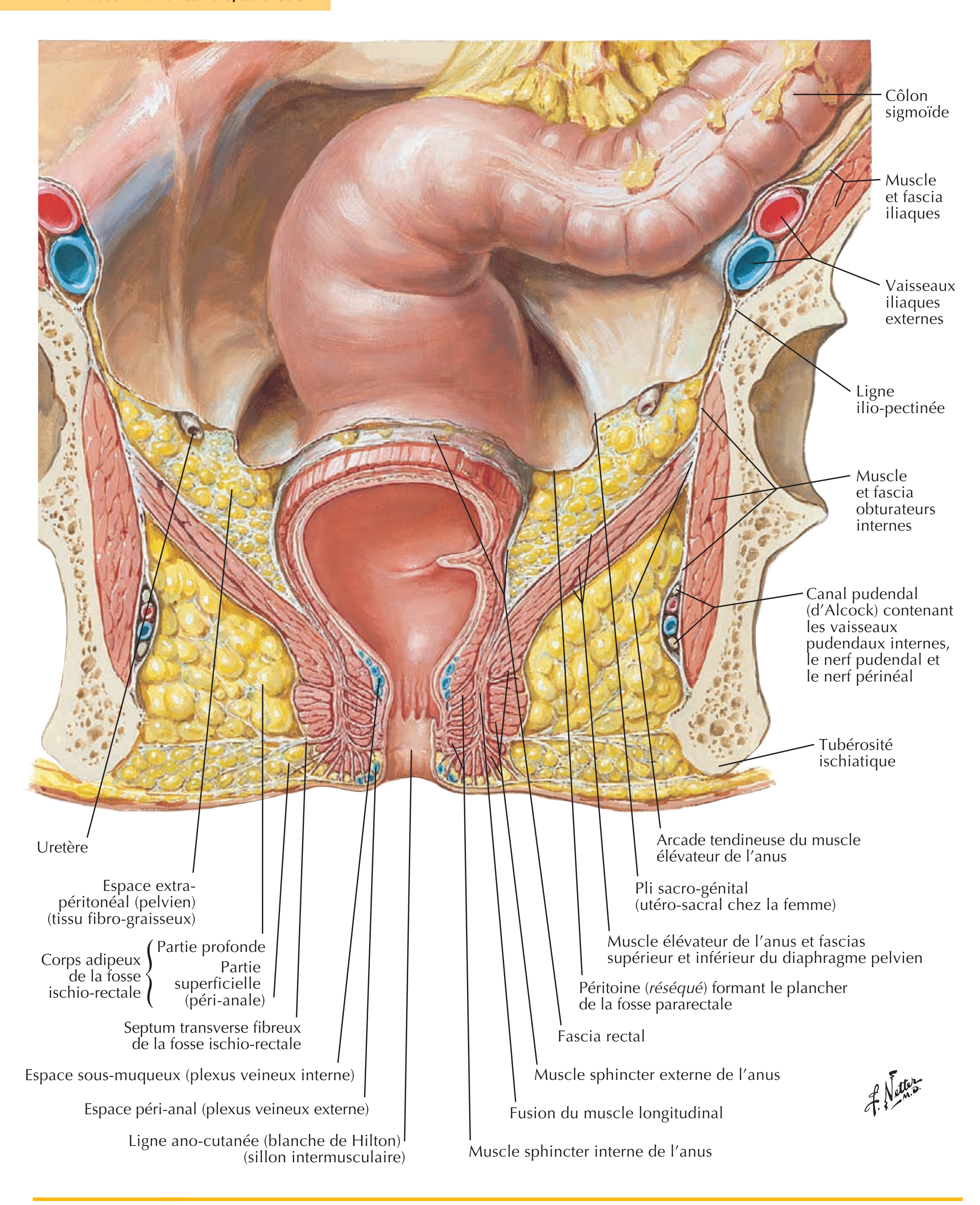
Côlon sigmoïde
Ténia libre
Utérus
Cul-de-sac vésico-utérin
Uretère (*coupé*)
Vagin et fascia vaginal
Vessie et fascia vésical
Muscle ischio-caverneux et lame profonde du fascia superficiel du périnée (fascia de recouvrement de Gallaudet)
Muscle transverse profond du périnée et membrane périnéale
Fascia superficiel du périnée (de Colles)
Muscle transverse superficiel du périnée et lame profonde du fascia superficiel du périnée (fascia de recouvrement de Gallaudet)
Corps périnéal (centre tendineux du périnée)

F. Netter M.D.

*Parties variables et souvent indistinctes

Fosse ischio-rectale

Voir aussi **Planches 296, 390-393**





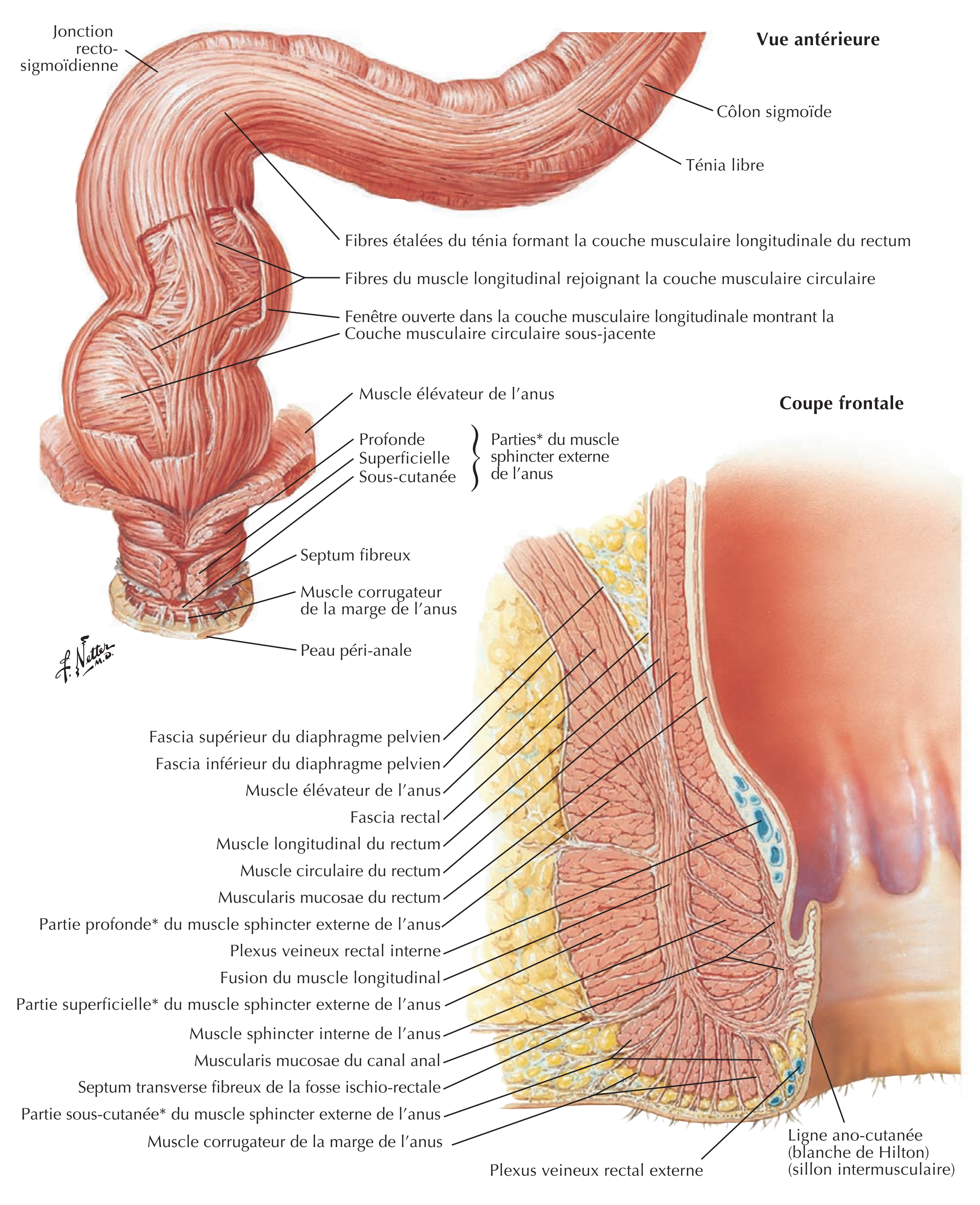
Rectum et canal anal

Côlon sigmoïde
15–17 cm
Jonction recto-sigmoïdienne
11–13 cm
Supérieur
Moyen
Inférieur
Plis transverses du rectum (valves de Houston)
8–9 cm
Réflexion péritonéale
Fascia rectal
Couche musculaire longitudinale
Couche musculaire circulaire
Muscularis mucosae
Muscle élévateur de l'anus
5–6 cm
Ligne ano-rectale
Colonnes anales (de Morgagni)
Sinus anal
Ligne pectinée (dentelée)
Plexus veineux interne du rectum dans l'espace sous-muqueux
4–5 cm
Partie profonde* du muscle sphincter externe
Fusion du muscle longitudinal
Muscle sphincter interne
2,5–3 cm
Valvule anale
Crypte anale
Partie superficielle* du muscle sphincter superficiel
Canal anal chirurgical
Canal anal anatomique
0,5–1 cm
Glandes anales
Septum transverse fibreux
Muscularis mucosae du canal anal
Espace péri-anal
Glandes sudoripares et poils de la peau péri-anale
Marge de l'anus
Partie sous-cutanée* du muscle sphincter externe
Muscle corrugateur de la marge de l'anus
Plexus veineux externe du rectum dans l'espace péri-anal
Pecten anal
Zone ano-dermique
Ligne ano-cutanée (ligne blanche de Hilton) (sillon intermusculaire)

F. Netter M.D.

* Parties variables et souvent indistinctes

Musculeuse ano-rectale



*Parties variables et souvent indistinctes



Muscle sphincter externe de l'anus : vues périnéales

Homme

Fascia superficiel du scrotum (dartos)
Septum scrotal
Fascia profond du pénis (de Buck)
Muscle bulbo-spongieux avec la lame profonde du fascia superficiel du périnée (fascia de recouvrement de Gallaudet) (*réséqué*)
Muscle ischio-caverneux avec la lame profonde du fascia superficiel du périnée (fascia de recouvrement de Gallaudet) (*réséqué*)
Corps périnéal (centre tendineux du périnée)
Branche ischio-pubienne
Corps périnéal (centre tendineux du périnée)
Muscle transverse superficiel du périnée avec la lame profonde du fascia superficiel du périnée (fascia de recouvrement de Gallaudet) (*fascia réséqué*)
Parties* du muscle sphincter externe de l'anus: Sous-cutanée, Superficielle, Profonde
Fascia superficiel du périnée (de Colles) (*coupé*)
Septum fibreux transverse de la fosse ischio-rectale (*coupé*)
Tubérosité ischiatique
Ligament sacro-tubéral
Muscle élévateur de l'anus: Pubo-coccygien, Pubo-rectal, Ilio-coccygien
Ligament ano-coccygien (extensions postérieures du muscle sphincter externe superficiel de l'anus)
Muscle grand glutéal
Apex coccygien

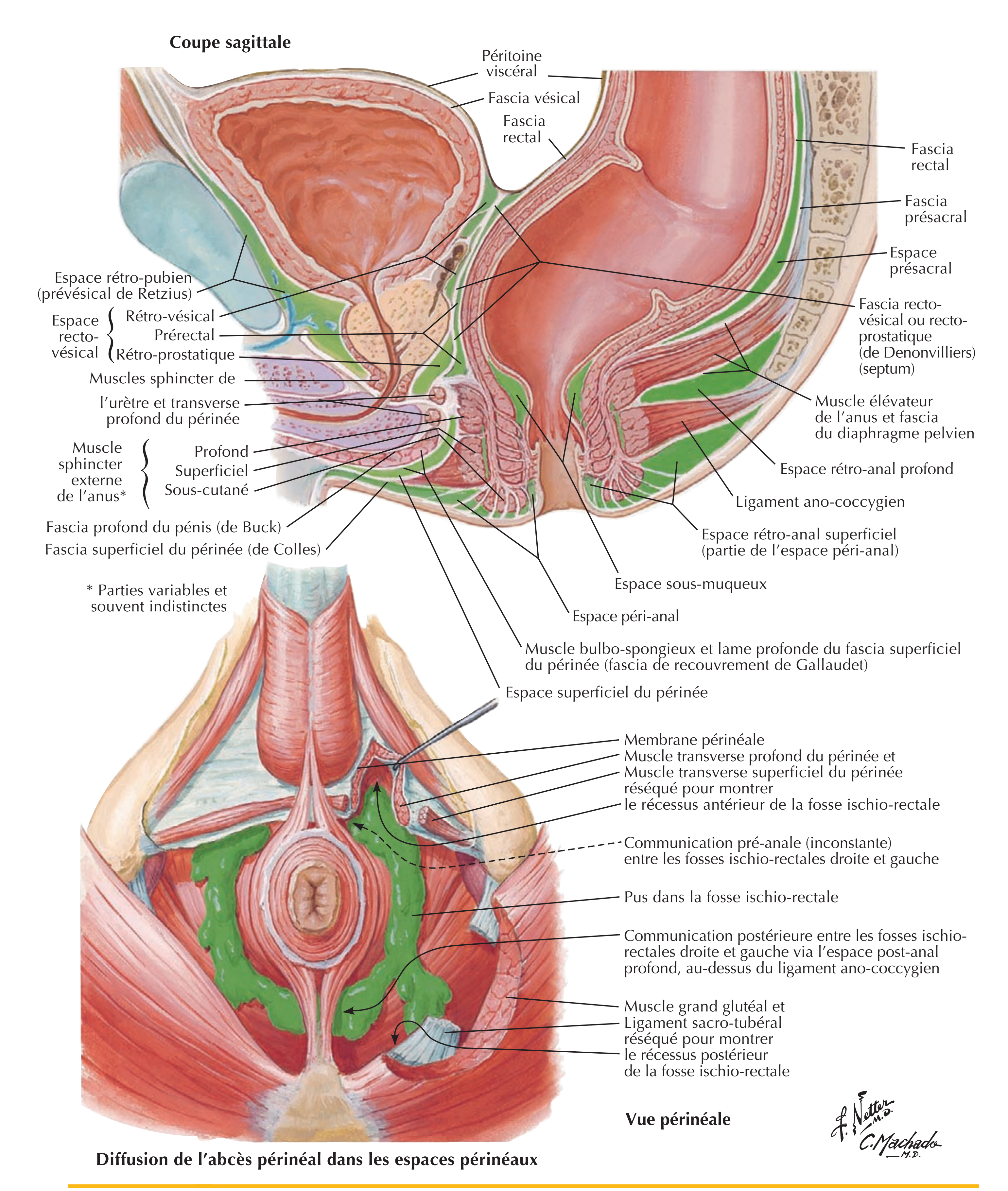
Femme

Clitoris
Ostium urétral externe
Vagin
Branche ischio-pubienne
Anus
Fascia superficiel du périnée (de Colles) (*coupé*)
Muscle ischio-caverneux avec la lame profonde du fascia superficiel du périnée (fascia de recouvrement de Gallaudet) (*fascia réséqué*)
Muscle bulbo-spongieux avec la lame profonde du fascia superficiel du périnée (fascia de recouvrement de Gallaudet (*fascia réséqué*)
Fibres issues du muscle sphincter externe superficiel de l'anus vers la branche ischio-pubienne
Membrane périnéale
Muscle transverse superficiel du périnée avec la lame profonde du fascia superficiel du périnée (fascia de recouvrement de Gallaudet (*fascia réséqué*)
Fascia superficiel du périnée (de Colles) (*coupé*)
Corps périnéal (centre tendineux du périnée)
Fibres croisées des sphincters superficiel et profond avec le muscle transverse superficiel du périnée
Parties* du muscle sphincter externe de l'anus: Profonde, Superficielle, Sous-cutanée
Muscle élévateur de l'anus: Pubo-coccygien, Pubo-rectal, Ilio-coccygien
Muscle grand glutéal
Ligament ano-coccygien (extensions postérieures du muscle sphincter externe superficiel de l'anus)

F. Netter M.D.

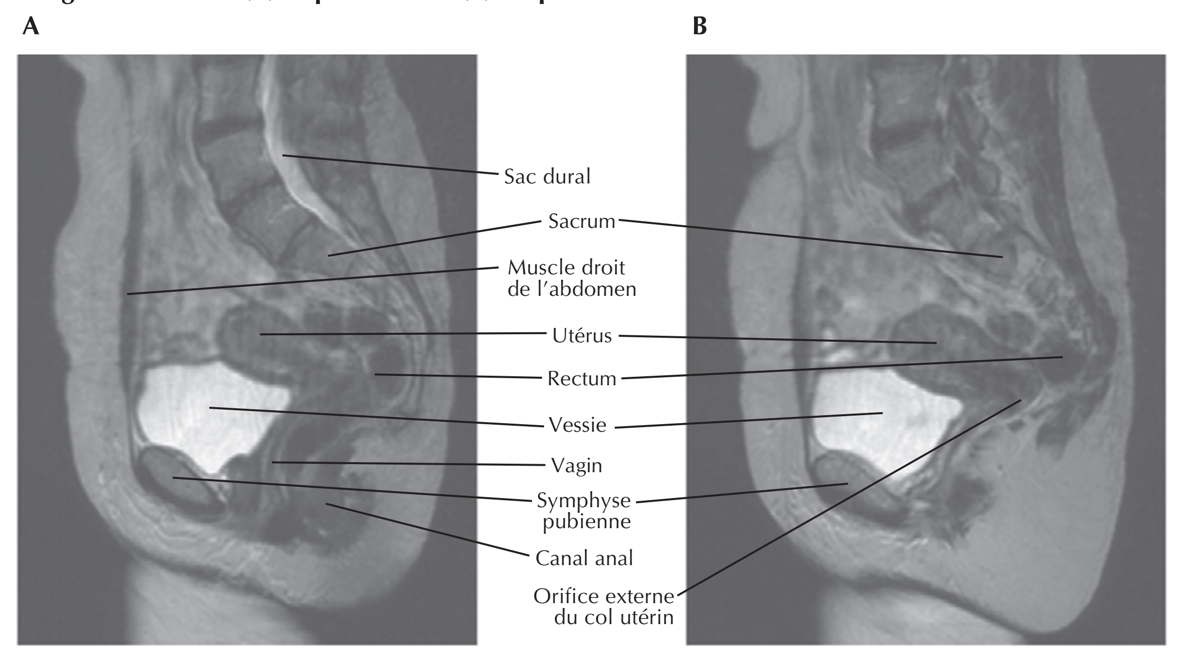
*Parties variables et souvent indistinctes

Espaces périnéo-pelviens réels et potentiels

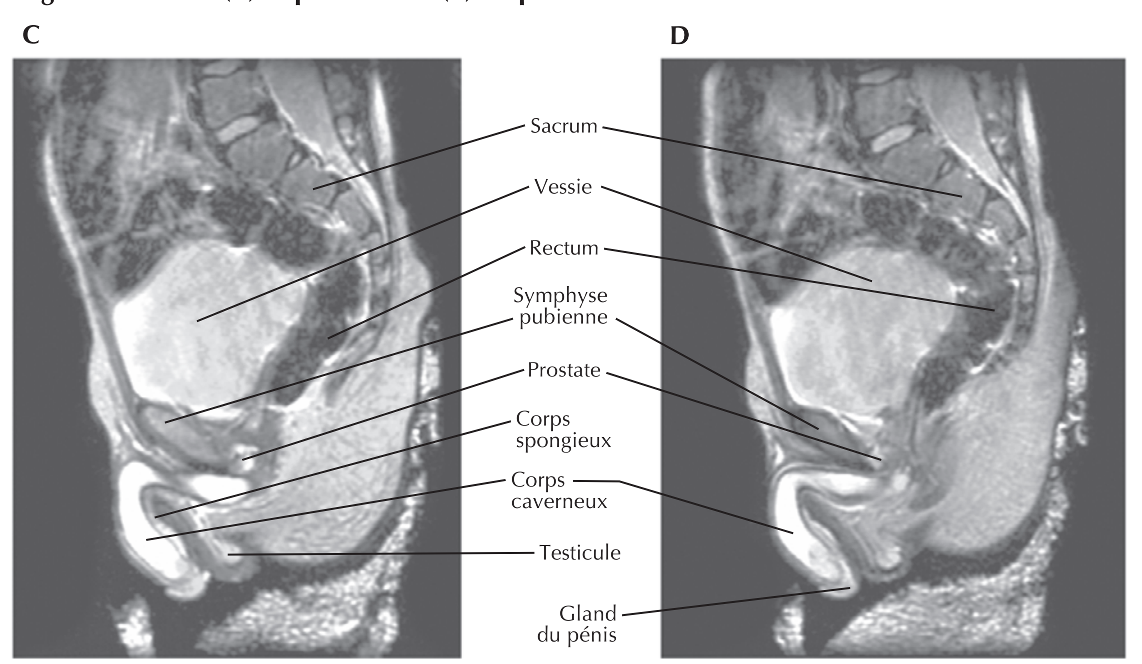


Diffusion de l'abcès périnéal dans les espaces périnéaux

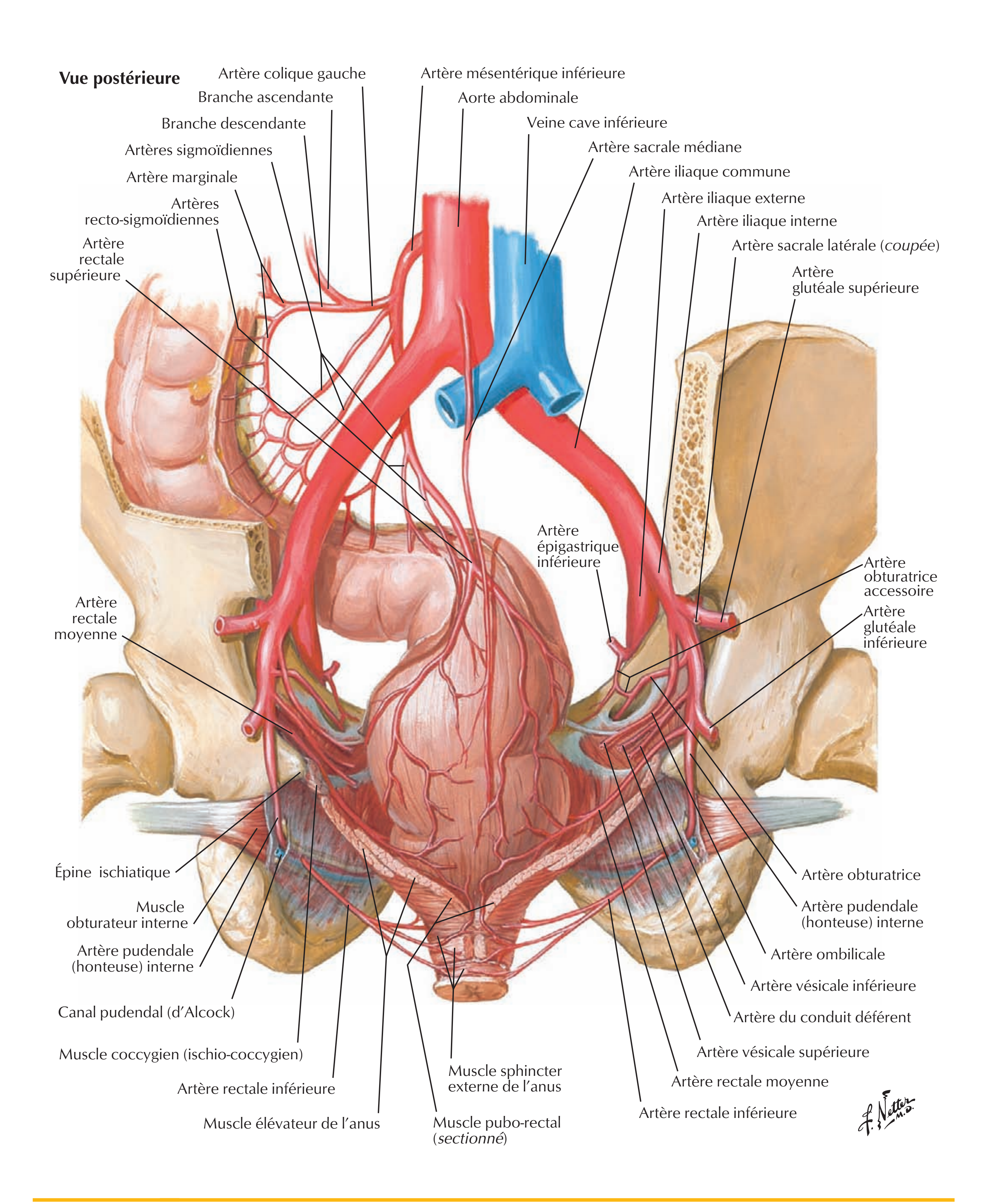
Clichés TDM sagittaux médian (A) et paramédian (B) du pelvis féminin

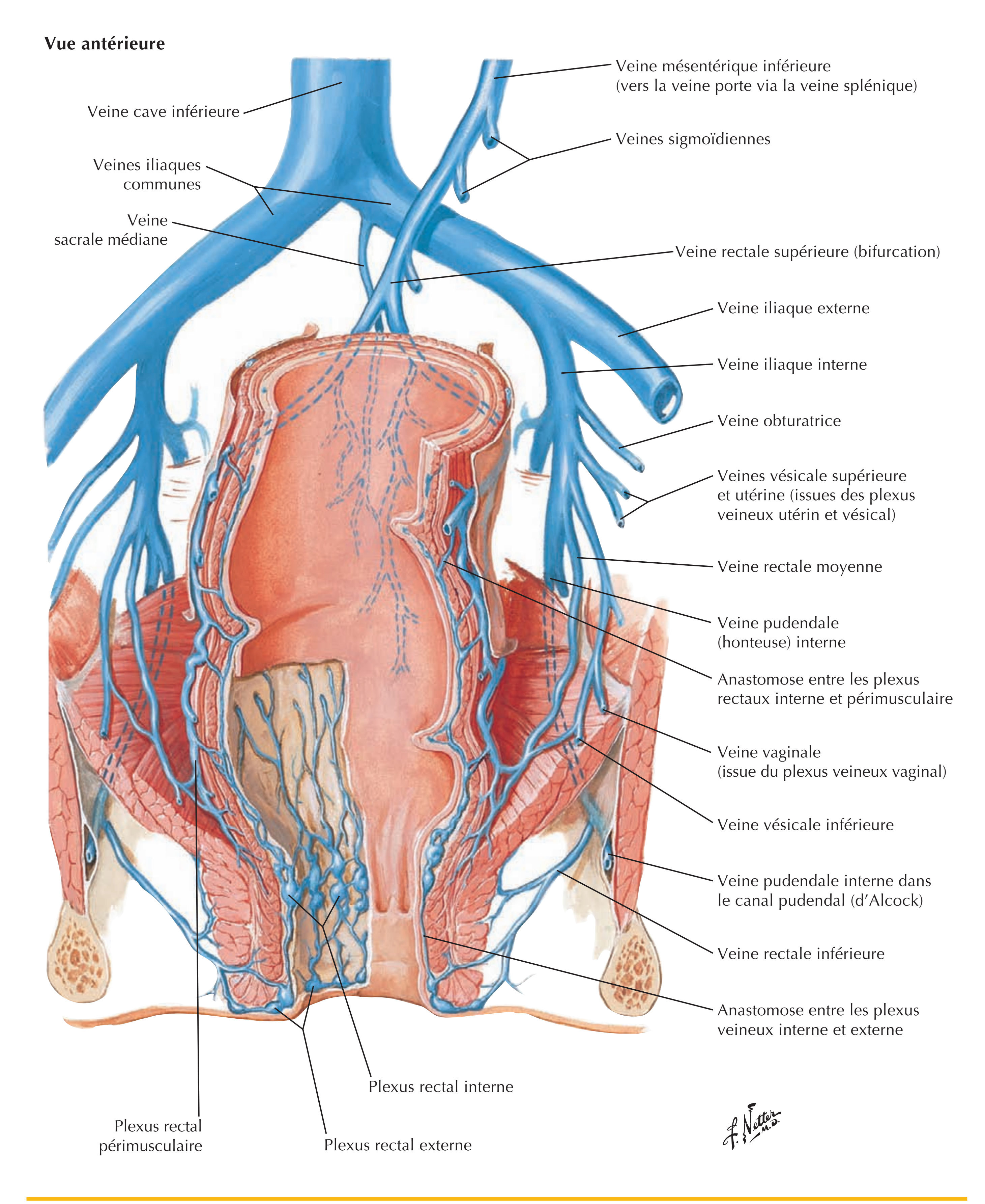


Clichés TDM sagittaux médian (A) et paramédian (B) du pelvis masculin

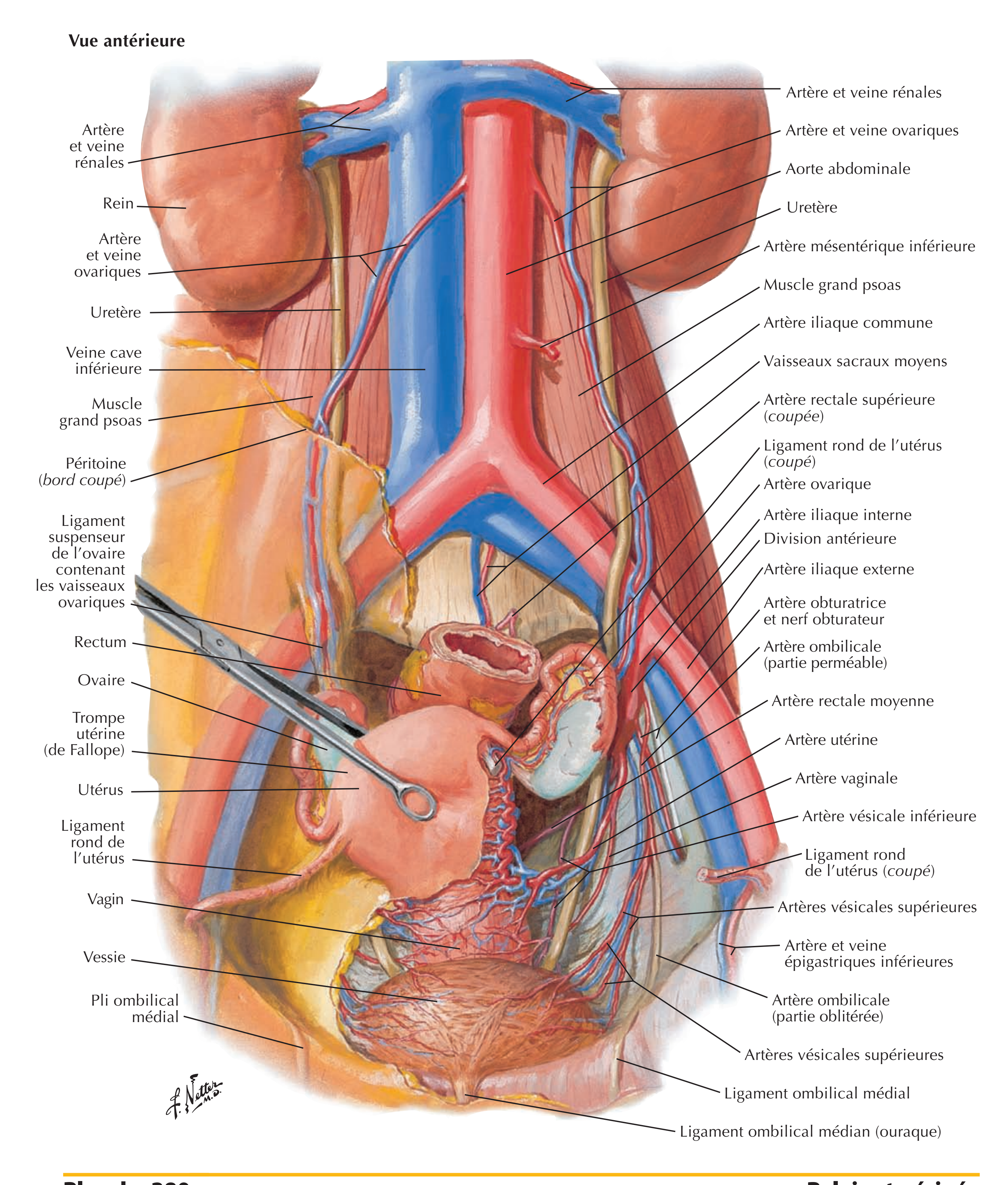


Artères du rectum et du canal anal (homme)




Vue antérieure
Veine cave inférieure
Veines iliaques communes
Veine sacrale médiane
Veine mésentérique inférieure (vers la veine porte via la veine splénique)
Veines sigmoïdiennes
Veine rectale supérieure (bifurcation)
Veine iliaque externe
Veine iliaque interne
Veine obturatrice
Veines vésicale supérieure et utérine (issues des plexus veineux utérin et vésical)
Veine rectale moyenne
Veine pudendale (honteuse) interne
Anastomose entre les plexus rectaux interne et périmusculaire
Veine vaginale (issue du plexus veineux vaginal)
Veine vésicale inférieure
Veine pudendale interne dans le canal pudendal (d'Alcock)
Veine rectale inférieure
Anastomose entre les plexus veineux interne et externe
Plexus rectal interne
Plexus rectal périmusculaire
Plexus rectal externe
F. Netter M.D.

Artères et veines des organes pelviens (femme)





Artères et veines des testicules

Vue antérieure

Vaisseaux rénaux

Veine cave inférieure

Aorte abdominale

Vaisseaux testiculaires (partie du cordon spermatique)

Uretère

Artère mésentérique inférieure

Vaisseaux iliaques communs

Vaisseaux iliaques internes

Vaisseaux iliaques externes

Artère vésicale inférieure

Vaisseaux épigastriques inférieurs

Artère du conduit déférent

Vaisseaux crémastériques

Vaisseaux testiculaires dans le cordon spermatique

Vaisseaux fémoraux

Vaisseaux pudendaux externes superficiels (*sectionnés*) (normalement superficiels au cordon spermatique)

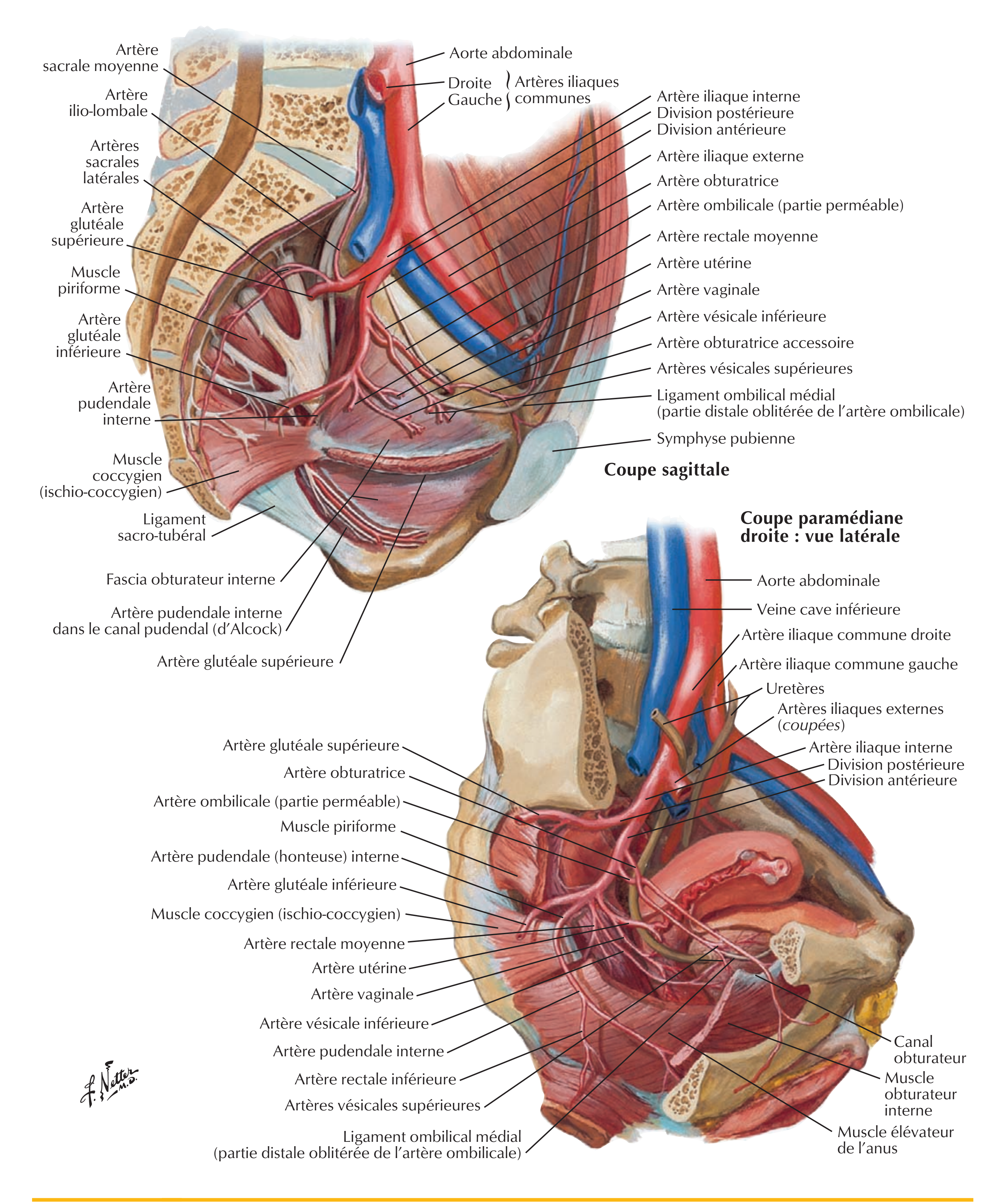
Vaisseaux pudendaux externes profonds

Plexus veineux pampiniforme

Veine dorsale profonde et artères dorsales du pénis sous le fascia profond du pénis (de Buck)

F. Netter M.D.

Artères et veines pelviennes (femme)





Coupe sagittale paramédiane gauche : vue latérale

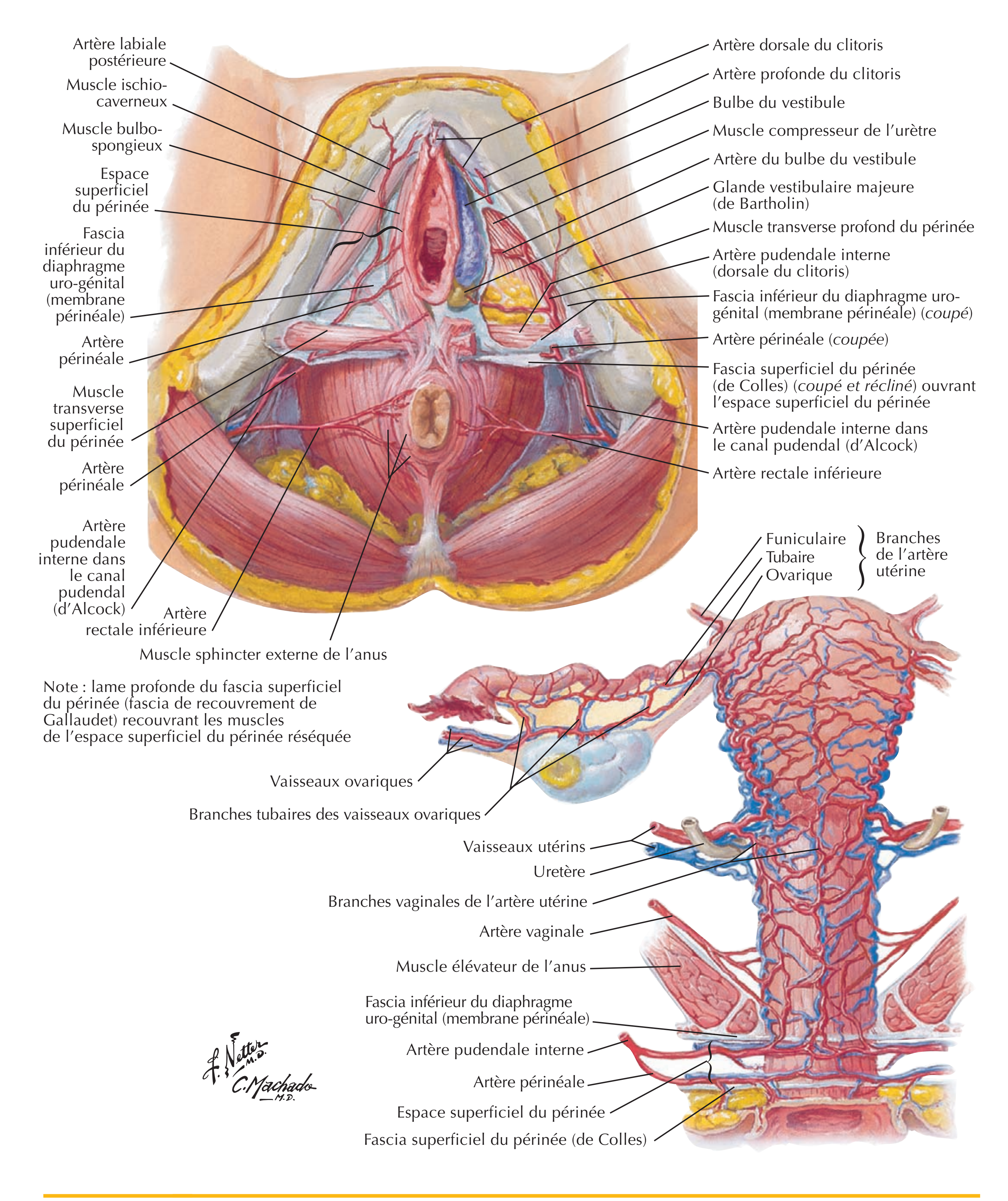
Veine cave inférieure
Vaisseaux obturateurs droits
Artère ombilicale droite (partie perméable)
Artère vésicale supérieure
Artère ombilicale (partie oblitérée)
Vaisseaux iliaques circonflexes profonds
Vaisseaux épigastriques inférieurs
Conduit déférent et son artère
Ligament ombilical médial
Ligament ombilical médian (ouraque)
Artère vésicale supérieure
Veine dorsale superficielle du pénis
Veine dorsale profonde et artère dorsale du pénis
Fascia profond du pénis (de Buck)
Artère testiculaire
Plexus veineux pampiniforme
Artère du conduit déférent
Plexus veineux rétro-pubien (prévésical)
Aorte abdominale
Vaisseaux iliaques communs
Vaisseaux sacraux médians
Vaisseaux iliaques externes (*coupés*)
Vaisseaux iliaques internes
Artère ilio-lombale
Artère sacrale latérale
Artère glutéale supérieure
Artère obturatrice
Artère ombilicale
Uretère (*coupé*)
Artère glutéale inférieure
Artère vésicale inférieure
Artère rectale moyenne
Artère pudendale (honteuse) interne
Conduit déférent et son artère
Branches prostatiques de l'artère vésicale inférieure
Artère rectale inférieure
Plexus veineux prostatique
Muscle sphincter de l'urètre
Artère périnéale
Artère pudendale interne sur la face supérieure de la membrane périnéale
Artères scrotales postérieures

Artère vésicale inférieure
Branche prostatique
Branches urétrales
Branches capsulaires
Lobe moyen hyperplasié
Lobe latéral hyperplasié
Muscle sphincter de l'urètre

F. Netter M.D.
C. Machado M.D.

Vascularisation artérielle de la prostate
(hyperplasie bénigne du spécimen)

5 Artères et veines du périnée et de l'utérus



Artères et veines du périnée (homme)

Fascia spermatique externe sur le testicule et le cordon spermatique

Muscle bulbo-spongieux

Muscle ischio-caverneux

Fascia inférieur du diaphragme uro-génital (membrane périnéale)

Corps périnéal (centre tendineux du périnée)

Muscle transverse superficiel du périnée

Artère transverse du périnée

Fascia superficiel du périnée (de Colles) (*coupé*)

Canal pudendal (d'Alcock)

Fascia superficiel du scrotum (dartos)

Septum scrotal

Artères scrotales postérieures

Fascia profond du pénis (de Buck)

Fascia superficiel du périnée (de Colles) (*coupé*)

Espace superficiel du périnée (*ouvert*)

Artère et veine périnéales

Artère pudendale interne passant au-dessus de la membrane périnéale

Muscle transverse superficiel du périnée et artère transverse du périnée (*coupés et réclinés*)

Vaisseaux pudendaux internes et nerf pudendal (*coupé*) dans le canal pudendal (d'Alcock) (*ouvert*)

Artère rectale inférieure

Fascia inférieur du diaphragme pelvien (toit de la fosse ischio-rectale)

Note : lame profonde du fascia superficiel du périnée (fascia de recouvrement de Gallaudet) recouvrant les muscles de l'espace superficiel du périnée réséquée

Artère profonde du pénis

Veine dorsale profonde du pénis

Artère et nerf dorsaux du pénis

Ligament transverse du périnée (épaississement antérieur de la membrane périnéale)

Artère profonde du pénis

Artère dorsale du pénis

Artère urétrale

Fascia inférieur du diaphragme uro-génital (membrane périnéale) (*coupé*)

Artère du bulbe du pénis

Artère pudendale interne

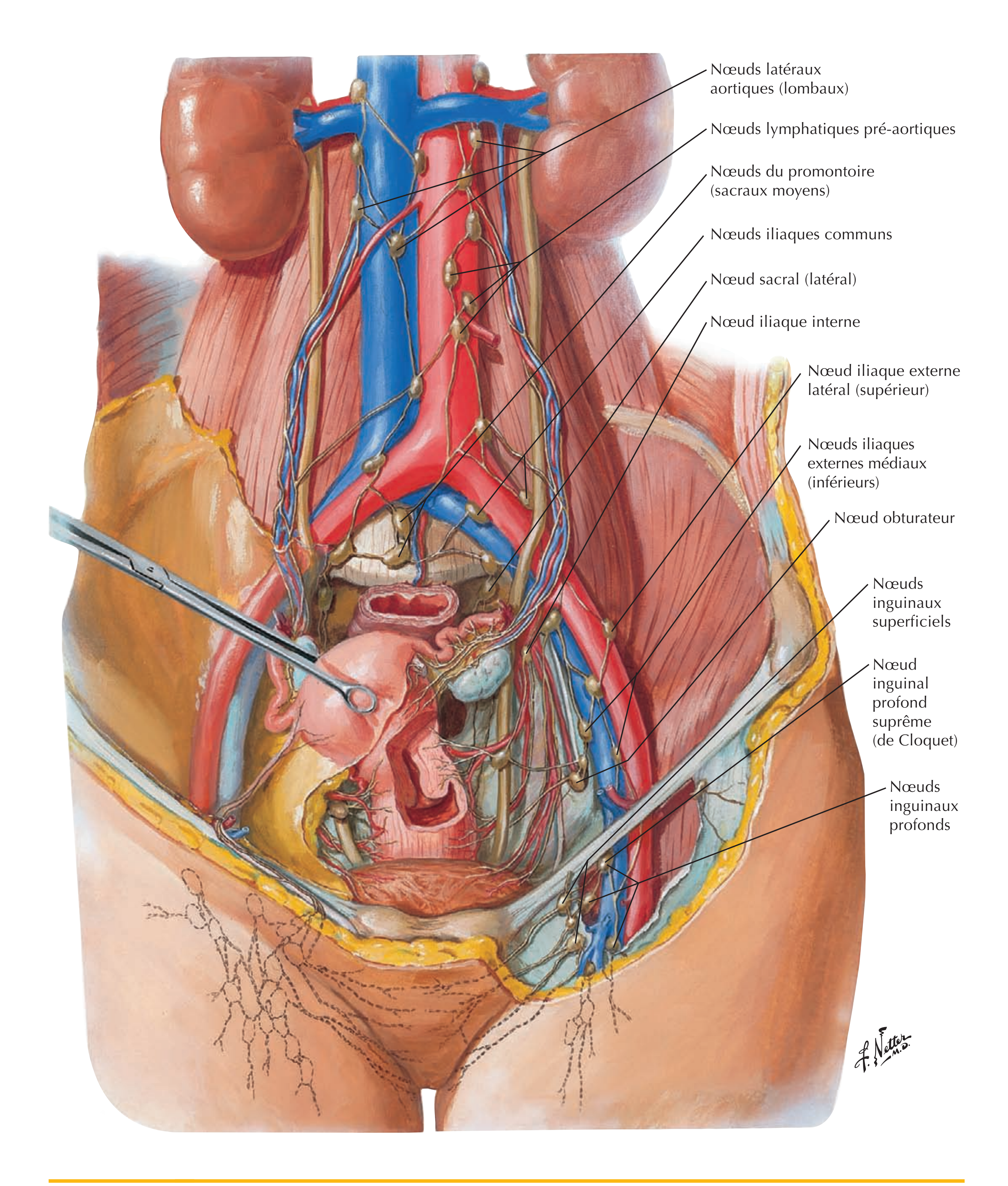
Artère périnéale (*coupée*)

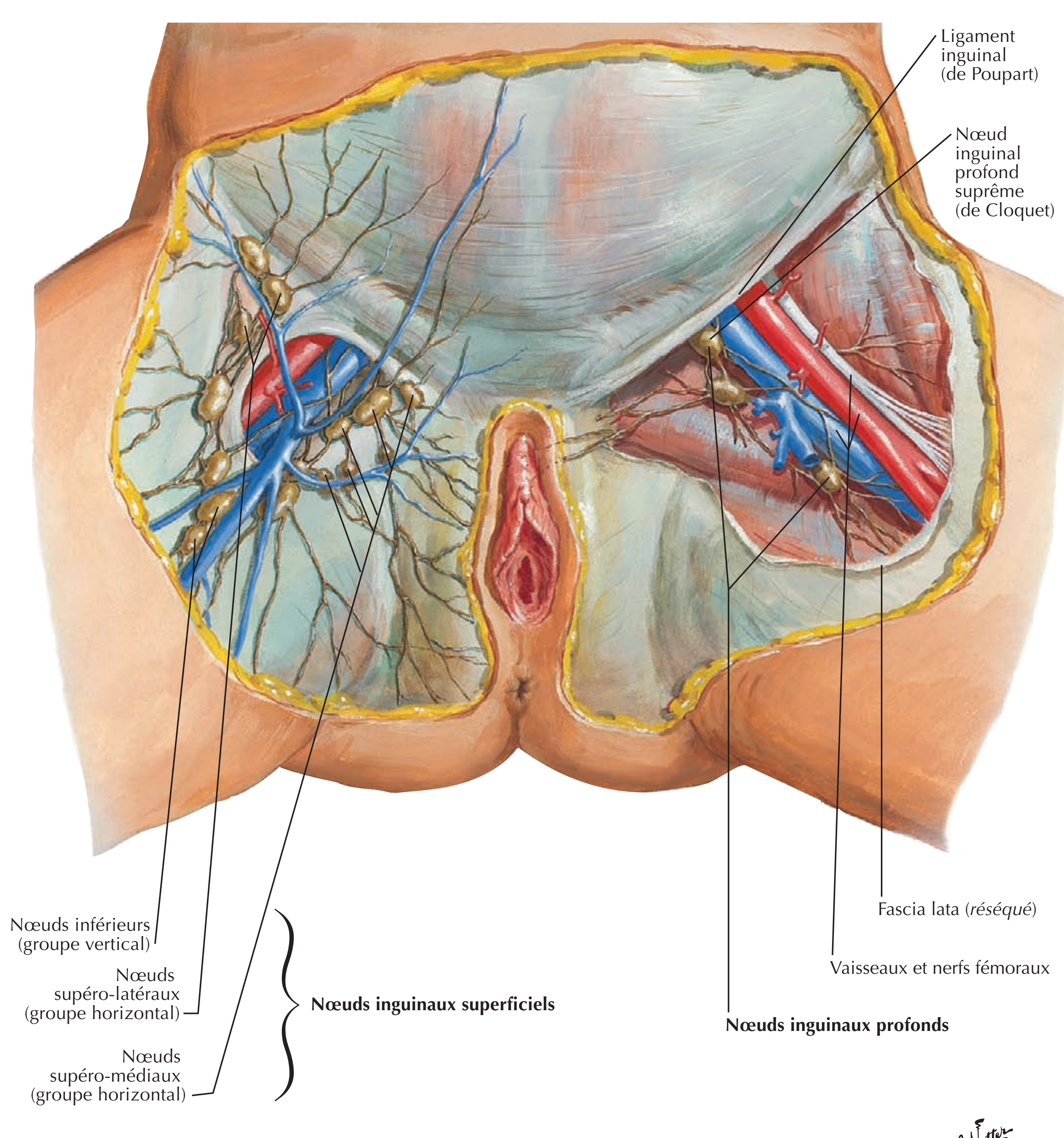
Vaisseaux pudendaux internes dans le canal pudendal (d'Alcock)

Fascia superficiel du périnée (de Colles) (*coupé*)

F. Netter M.D.

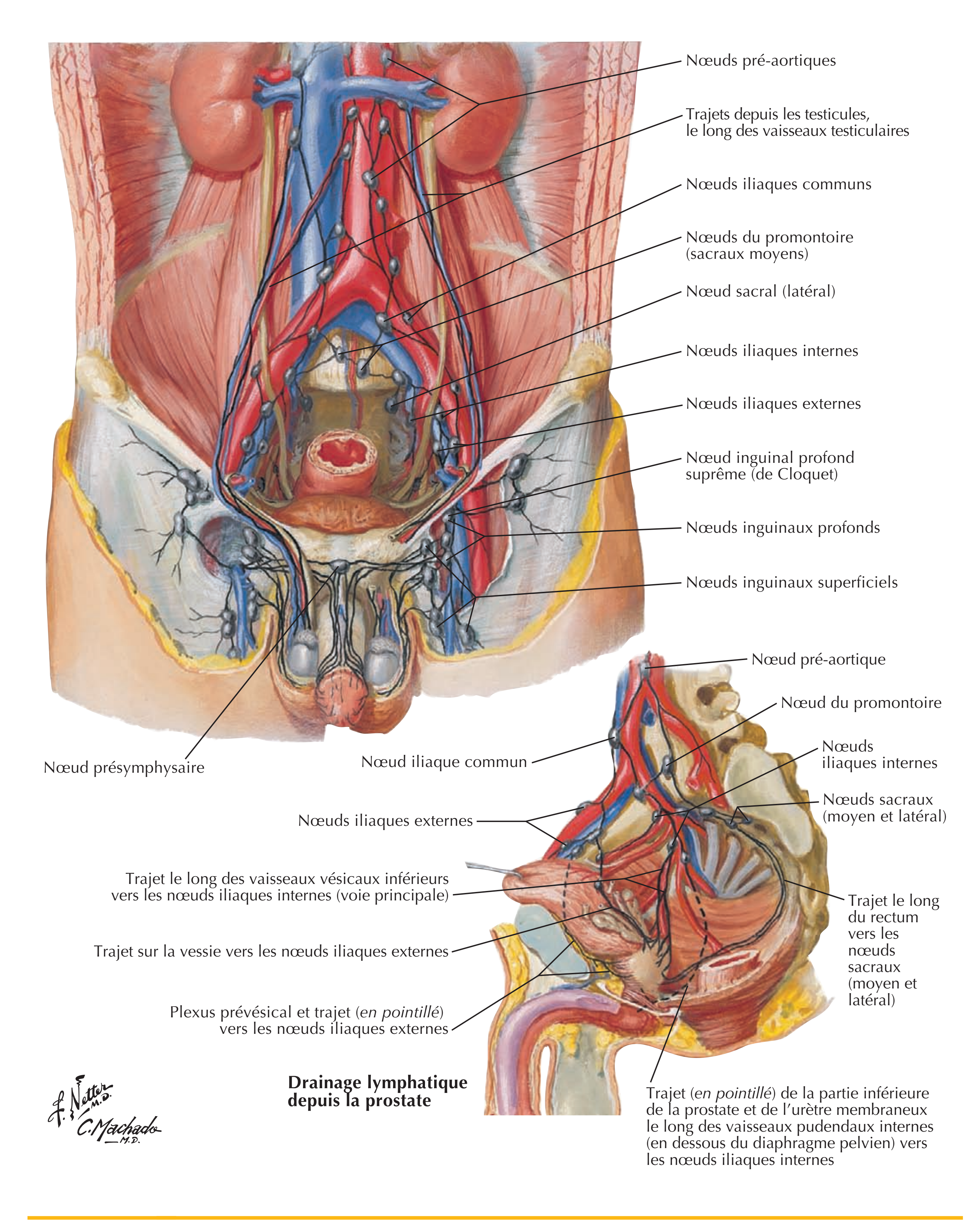
Vaisseaux et nœuds lymphatiques pelviens et des organes génitaux (femme)





Ligament inguinal (de Poupart)
Nœud inguinal profond suprême (de Cloquet)
Fascia lata (*réséqué*)
Vaisseaux et nerfs fémoraux
Nœuds inguinaux profonds
Nœuds inférieurs (groupe vertical)
Nœuds supéro-latéraux (groupe horizontal)
Nœuds supéro-médiaux (groupe horizontal)
Nœuds inguinaux superficiels
F. Netter M.D.

Vaisseaux et nœuds lymphatiques pelviens et des organes génitaux (homme)



Drainage lymphatique depuis la prostate



Nerfs des organes génitaux externes (homme)

Voir aussi **Planche 297**

Nerfs splanchniques { Grand / Petit / Imus

Nerf subcostal (T12)

Nerf ilio-hypogastrique

Nerf ilio-inguinal

Tronc et ganglions sympathiques

Nerf génito-fémoral

Nerf cutané latéral de la cuisse

Rameau fémoral et Rameau génital du nerf génito-fémoral

Nerf fémoral

Nerf cutané latéral de la cuisse

Rameaux fémoraux du nerf génito-fémoral

Rameaux cutanés antérieurs du nerf fémoral

Rameau cutané antérieur du nerf ilio-hypogastrique

Rameau génital du nerf génito-fémoral

Nerf scrotal antérieur (du nerf ilio-inguinal)

Ganglions cœliaques

Ganglion mésentérique supérieur

Ganglions aortico-rénaux

Nerfs splanchniques lombaux

Ganglion mésentérique inférieur

Artère et plexus testiculaires

Plexus hypogastrique supérieur

Nerfs hypogastriques

Plexus hypogastrique inférieur (pelvien)

Conduit et plexus déférents

Nerf fémoral

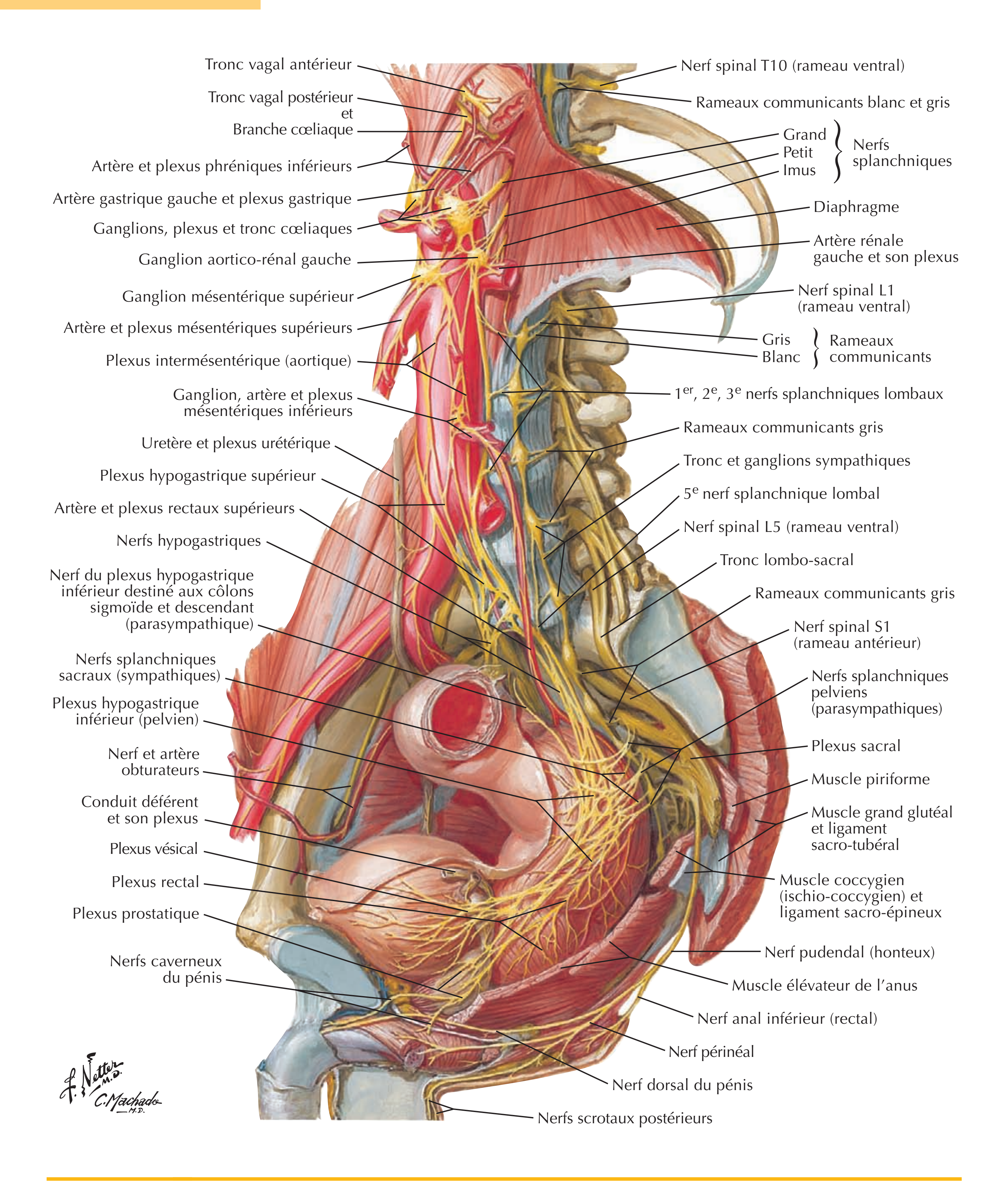
Artère et plexus testiculaires

Nerfs dorsaux du pénis

F. Netter M.D.

Nerfs des viscères pelviens (homme)

Voir aussi **Planche 297**





Nerfs du périnée (homme)

Voir aussi **Planche 396**

Nerfs scrotaux postérieurs

Nerfs périnéaux { Superficiel / Profond

Nerf dorsal du pénis

Membrane périnéale (*réséquée pour montrer les structures neuro-vasculaires situées sur la face supérieure de la membrane périnéale*)

Nerf dorsal du pénis (prolongement du nerf pudendal innervant les muscles situés au-dessus de la membrane périnéale)

Fascia superficiel du périnée (de Colles) (*coupé pour ouvrir l'espace superficiel du périnée*)

Rameaux superficiel et profond du nerf périnéal

Nerf dorsal du pénis (passant au-dessus de la membrane périnéale)

Nerf périnéal

Fascia obturateur interne

Nerf cutané postérieur de la cuisse

Canal pudendal (d'Alcock) (*ouvert*)

Nerf pudendal (honteux)

Nerfs cluniaux inférieurs

Nerfs anaux inférieurs (rectaux)

Nerf perforant cutané

Nerf ano-coccygien

Ligament sacro-tubéral (*coupé*)

Muscle grand glutéal (*coupé*)

Nerf périnéal

Nerf anal inférieur (rectal)

Nerf pudendal

Épine ischiatique

Muscle élévateur de l'anus

Muscle obturateur interne

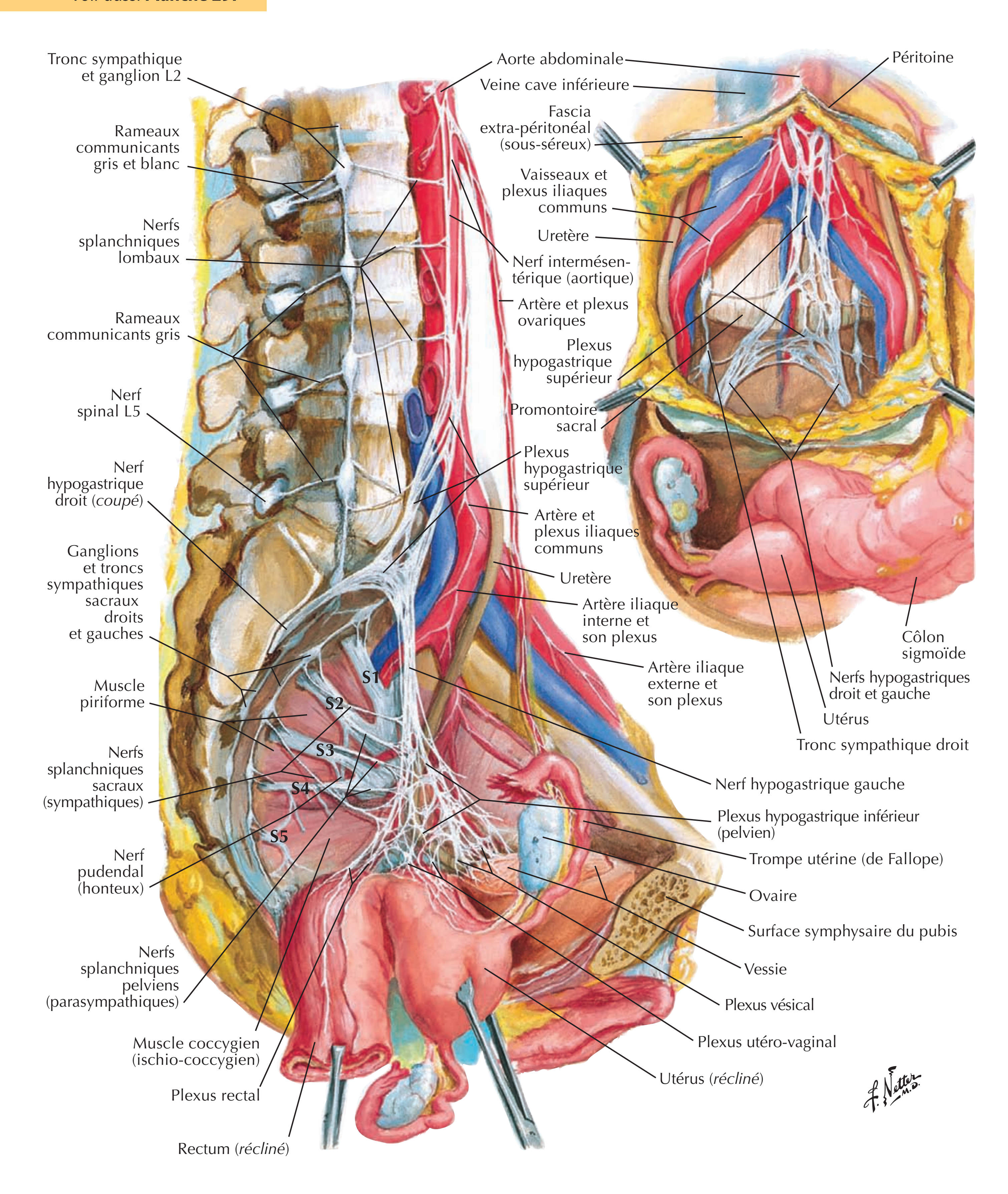
Muscle coccygien (ischio-coccygien)

Muscle piriforme

F. Netter M.D.

Nerfs des viscères pelviens (femme)

Voir aussi **Planche 297**



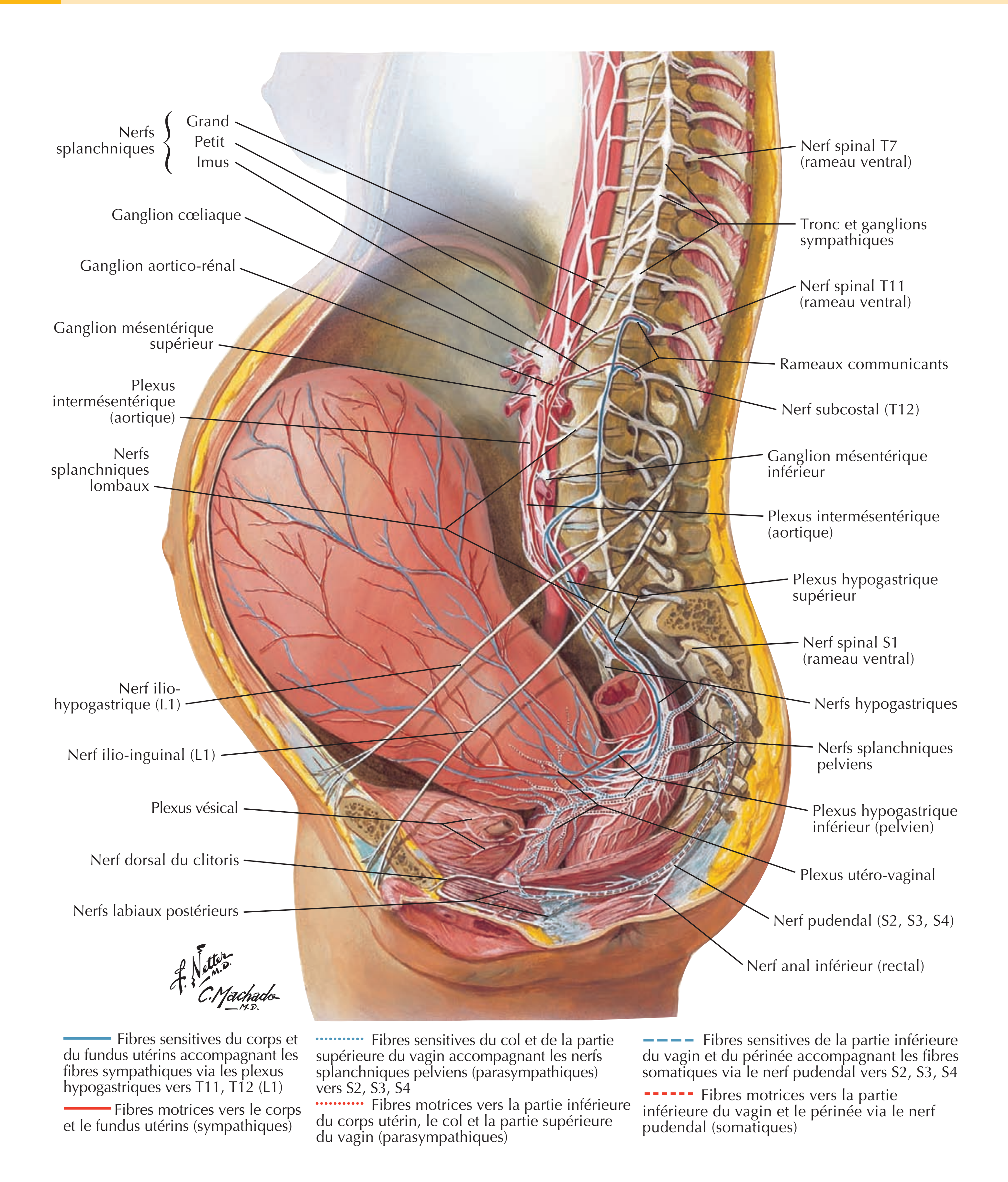


Voir aussi **Planche 395**

F. Netter M.D.

Nerf labial antérieur (issu du nerf ilio-inguinal)
Nerf dorsal du clitoris
Nerfs labiaux postérieurs
Superficiel
Profond
Rameaux du nerf périnéal
Branche périnéale du nerf cutané postérieur de la cuisse
Nerf dorsal du clitoris passant au-dessus de la membrane périnéale
Nerf périnéal
Nerf pudendal dans le canal pudendal (d'Alcock) (*disséqué*)
Nerfs cluniaux inférieurs
Muscle grand glutéal (*réséqué*)
Ligament sacro-tubéral
Nerf perforant cutané
Nerfs anaux inférieurs (rectaux)
Nerfs ano-coccygiens

5 Voies nerveuses durant l'accouchement



Fibres sensitives du corps et du fundus utérins accompagnant les fibres sympathiques via les plexus hypogastriques vers T11, T12 (L1)

Fibres motrices vers le corps et le fundus utérins (sympathiques)

Fibres sensitives du col et de la partie supérieure du vagin accompagnant les nerfs splanchniques pelviens (parasympathiques) vers S2, S3, S4

Fibres motrices vers la partie inférieure du corps utérin, le col et la partie supérieure du vagin (parasympathiques)

Fibres sensitives de la partie inférieure du vagin et du périnée accompagnant les fibres somatiques via le nerf pudendal vers S2, S3, S4

Fibres motrices vers la partie inférieure du vagin et le périnée via le nerf pudendal (somatiques)



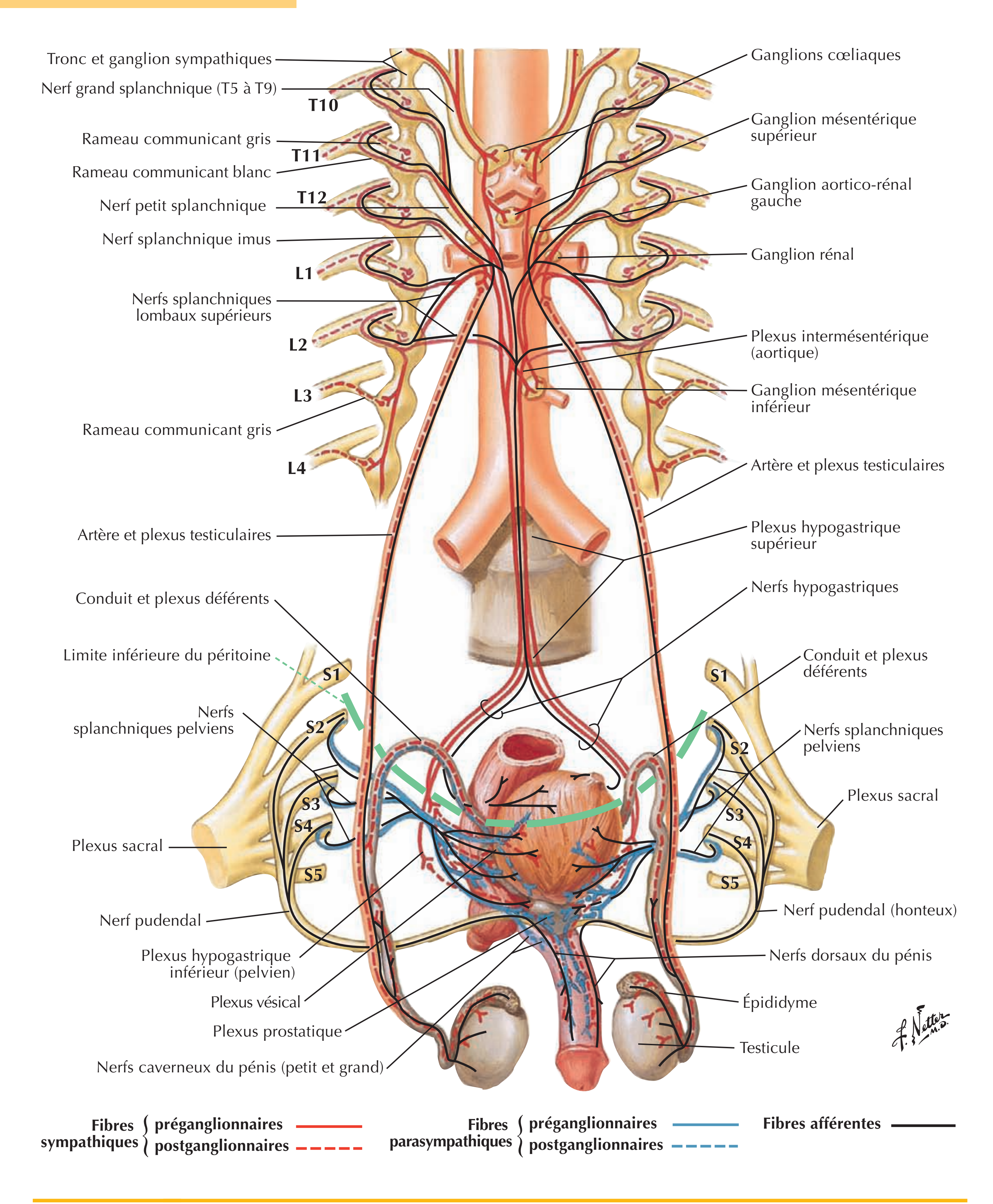
Innervation des organes de la reproduction chez la femme : schéma

Voir aussi **Planches 160, 161**

Note : la douleur provenant des viscères pelviens intra-péritonéaux (ex : contractions utérines) chemine via les plexus utéro-vaginal et pelvien, les nerfs hypogastriques, le plexus hypogastrique supérieur, le plexus aortique inférieur, les nerfs splanchniques lombaux inférieurs, le tronc sympathique de L4 à L5 vers les nerfs spinaux T11, T12. La douleur provenant des viscères pelviens sous-péritonéaux (ex : dilatation du col et de la partie supérieure du vagin) chemine via les nerfs splanchniques vers S2, S3, S4. Les influx afférents de la partie inférieure du vagin et du périnée cheminent via les nerfs pudendaux vers S2, S3, S4.

Innervation des organes de la reproduction chez l'homme : schéma

Voir aussi **Planches 160, 161**





Innervation de la vessie et de l'uretère inférieur : schéma

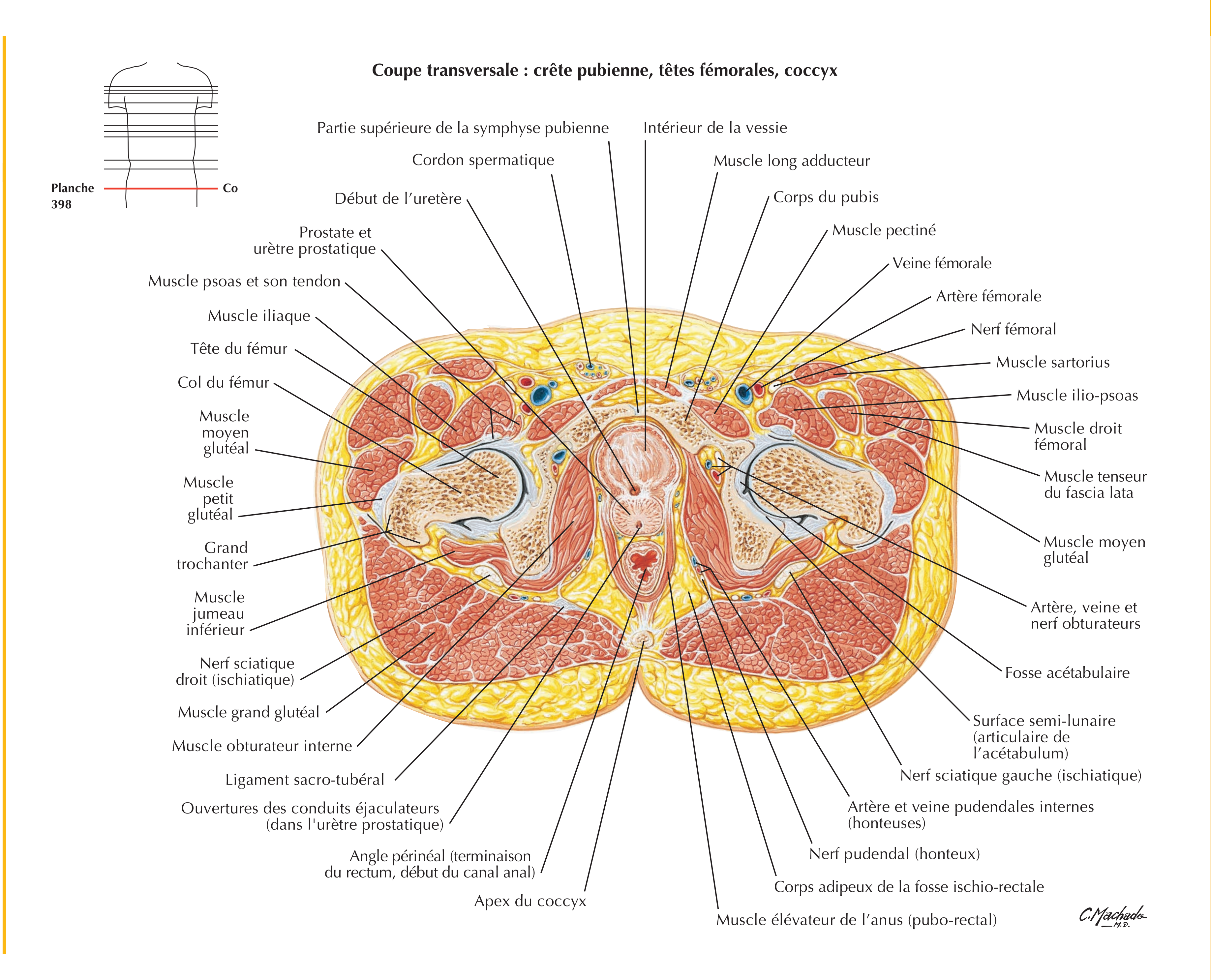
Voir aussi **Planches 160, 161**

Ganglion spinal sensitif (racine dorsale)
Racine dorsale (postérieure)
Racine ventrale (antérieure)
Blanc
Gris
Rameaux communicants
Ganglions cœliaques
Ganglion mésentérique supérieur
Ganglion aortico-rénal
Artère et plexus rénaux
L1
L2
Plexus intermésentérique (aortique)
Ganglion mésentérique inférieur
Partie lombale de la moelle spinale
Nerf spinal L2 (racine antérieure)
1er et 2e nerfs splanchniques lombaux
Plexus hypogastrique supérieur
Partie sacrale de la moelle spinale
Uretère
Nerfs hypogastriques
Tronc sympathique
Fibres ascendantes
Fibres descendantes
Nerfs splanchniques sacraux issus du tronc sympathique sacral, destinés au plexus hypogastrique inférieur (pelvien)
Plexus hypogastrique inférieur (pelvien)
Rameaux communicants gris
Vessie
S2
S3
S4
Nerf pudendal
Plexus sacral
Plexus vésical
Nerfs splanchniques pelviens
Plexus prostatique
Muscle sphincter de l'urètre au-dessus de la membrane périnéale
Muscle bulbo-spongieux

F. Netter M.D.
C. Machado M.D.

Fibres sympathiques { **préganglionnaires** —— / **postganglionnaires** - - - -
Fibres parasympathiques { **préganglionnaires** —— / **postganglionnaires** - - - -
Fibres efférentes somatiques ——
Fibres afférentes ——

Pelvis masculin : jonction vésico-prostatique



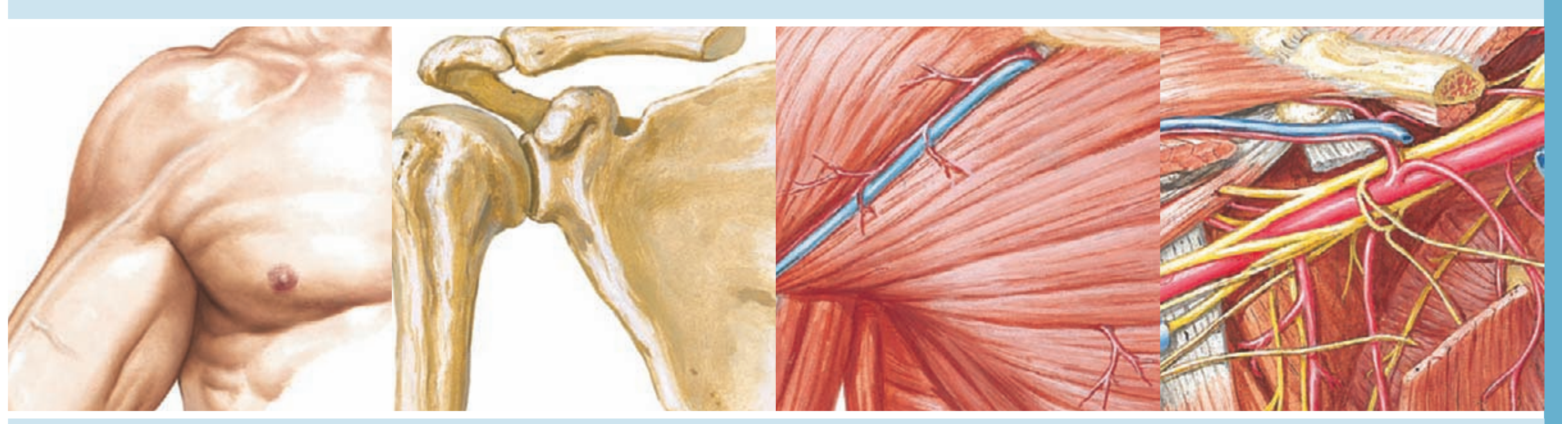


Coupe transversale : vagin et urètre

Planche 399
Co

Muscle obturateur externe
Muscle sartorius
Muscle ilio-psoas
Muscle droit de la cuisse
Muscle tenseur du fascia lata
Muscle vaste latéral
Col fémoral
Grand trochanter du fémur
Muscle jumeau inférieur
Muscle obturateur interne
Tissu adipeux
Muscle pectiné
Os du pubis
Symphyse pubienne
Urètre
Vagin
Rectum
Plexus veineux vaginal
Nœud lymphatique
Grande veine saphène et veine fémorale
Artère fémorale
Nerf fémoral
Artère fémorale profonde
Muscle moyen glutéal
Nerf sciatique (ischiatique)
Ischium
Nerf pudendal et vaisseaux pudendaux internes
Muscle élévateur de l'anus
Muscle grand fessier

C. Machado M.D.



Section 6 MEMBRE SUPÉRIEUR

Anatomie de surface

Planche 400

Anatomie cutanée

Planches 401-405

Épaule et aisselle

Planches 406-418

6 Membre supérieur

Bras

Planches 419-423

Coude et avant-bras

Planches 424-439

Poignet et main

Planches 440-459

Innervation et vascularisation

Planches 460-467

Scanners de la région

Planche 468



Vue antérieure

Muscle trapèze
Clavicule
Acromion
Muscle deltoïde
Sillon delto-pectoral
Veine céphalique
Muscle biceps brachial
Fosse cubitale
Veine céphalique
Veine médiane basilique
Muscle brachio-radial
Tendon du fléchisseur radial du carpe
Éminence thénar
Muscle grand pectoral
Muscle dentelé antérieur
Muscle triceps brachial (long chef)
Veine basilique
Tendon du long palmaire
Tendons du fléchisseur superficiel des doigts
Tendon du fléchisseur ulnaire du carpe
Éminence hypothénar
Pli palmaire proximal
Pli radial longitudinal

Vue postérieure

Muscle deltoïde
Muscle triceps brachial
Chef long
Chef latéral
Tendon
Muscles brachio-radial et extenseur radial du carpe
Muscle extenseur radial du carpe
Veine céphalique
Olécrâne
Tabatière anatomique
Tendon du long extenseur du pouce
Tendon de l'extenseur de l'index
Muscle fléchisseur ulnaire du carpe
Muscle extenseur ulnaire du carpe
Tubercule radial distal
Tendons extenseurs des doigts
Situation de l'articulation interphalangienne proximale
Situation de l'articulation interphalangienne distale

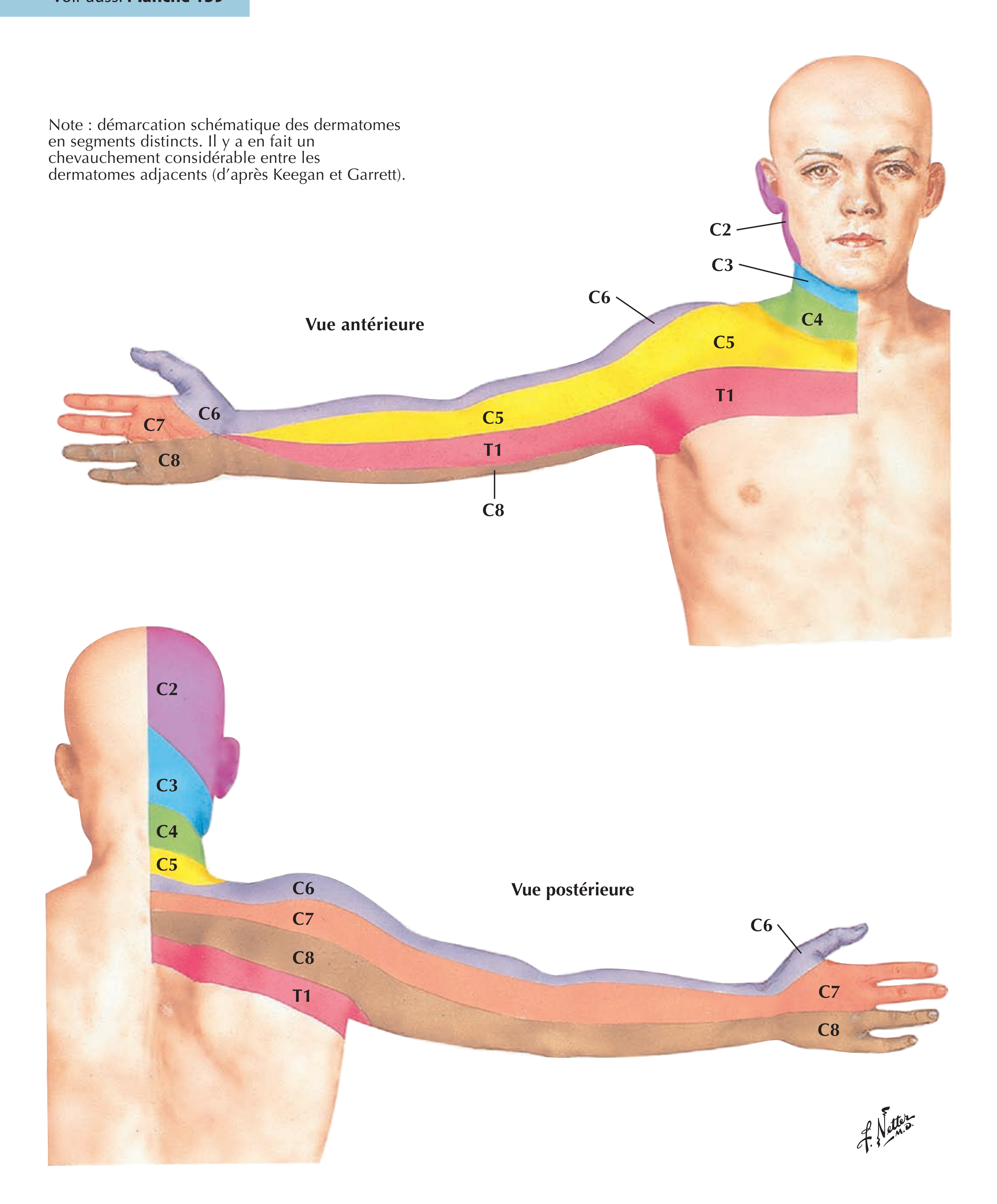
Nom habituel des doigts

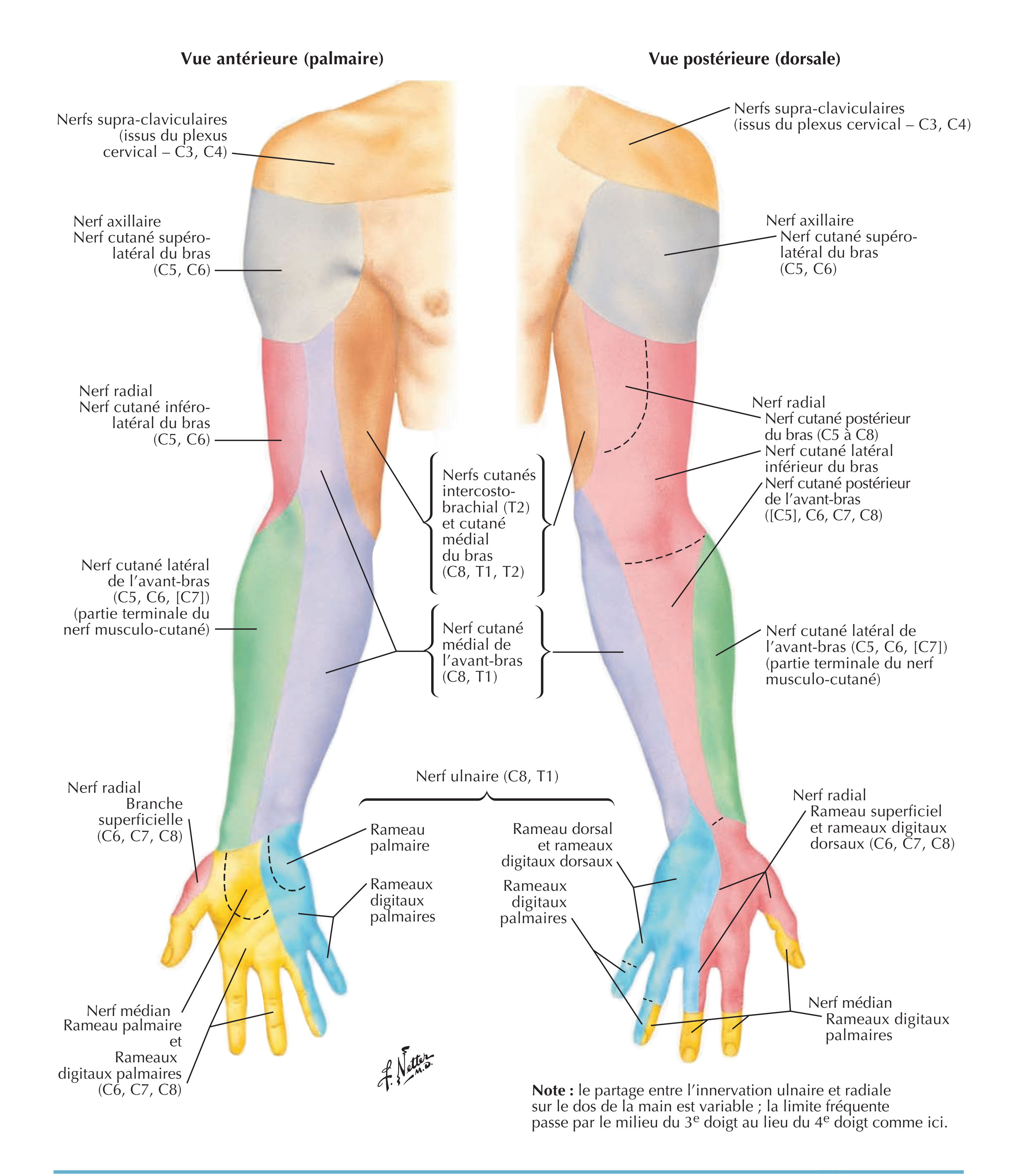
1 Pouce
2 Index
3 Majeur
4 Annulaire
5 Auriculaire

C. Machado M.D.

Dermatomes du membre supérieur

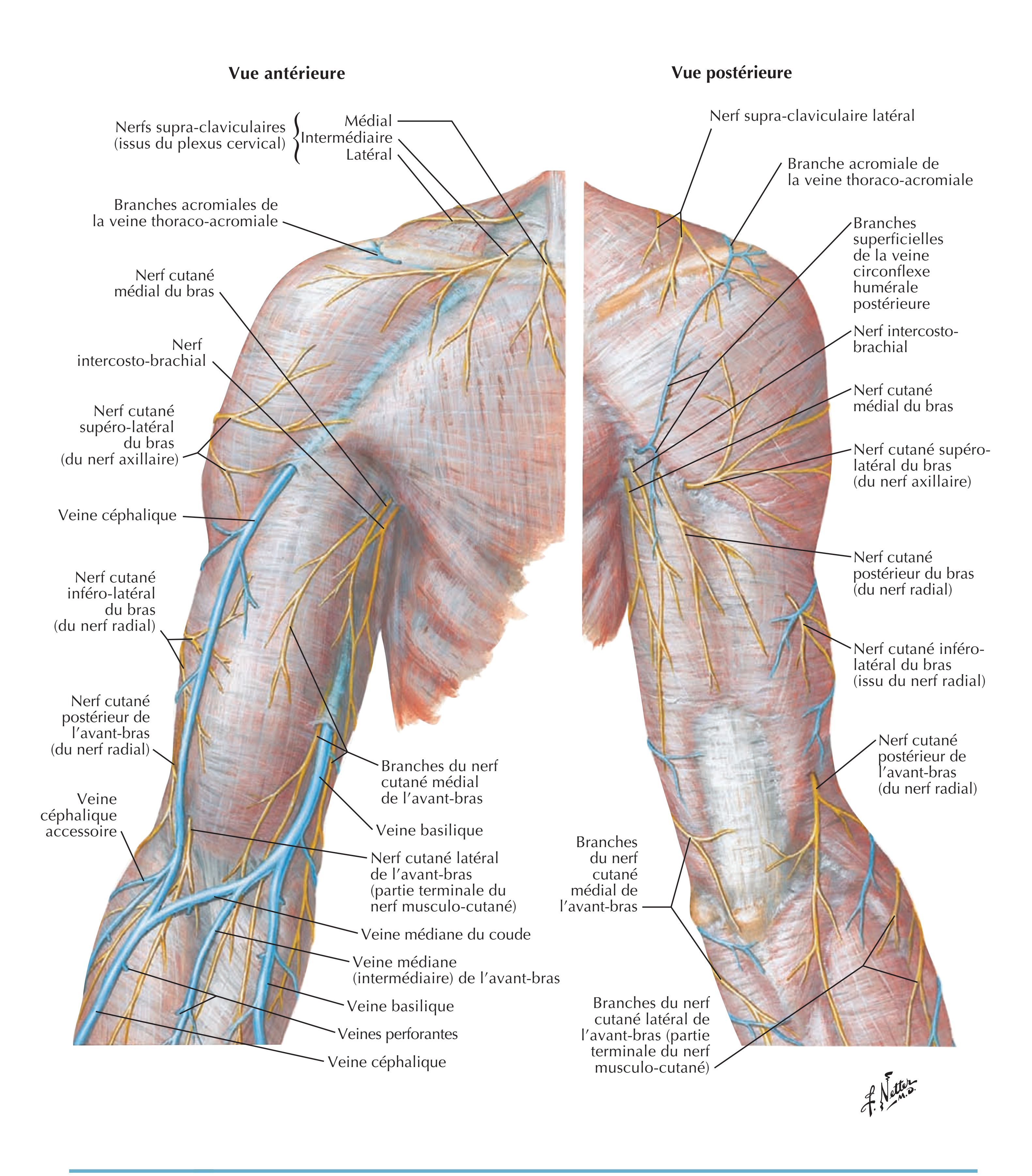
Voir aussi **Planche 159**



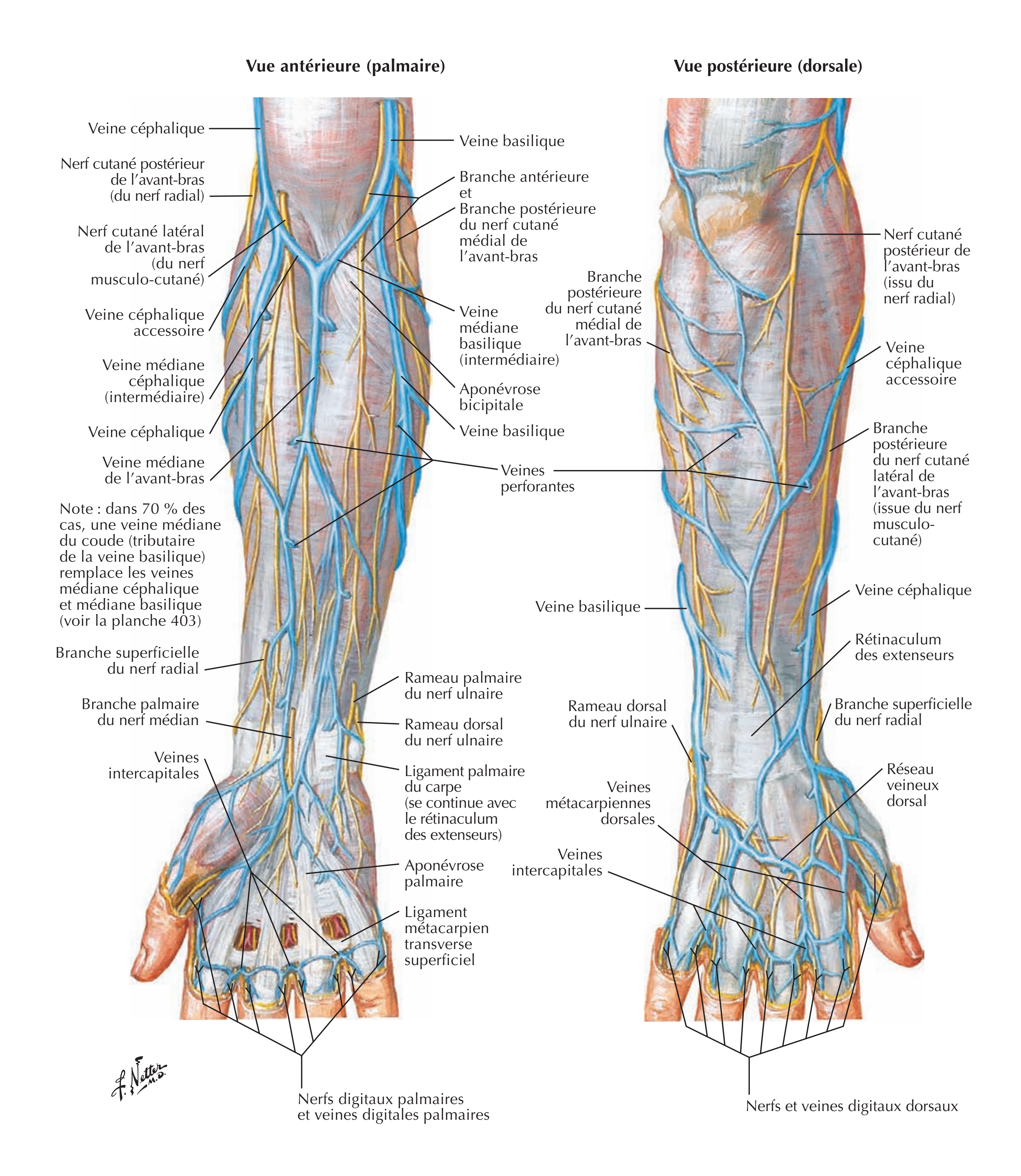


Note : le partage entre l'innervation ulnaire et radiale sur le dos de la main est variable ; la limite fréquente passe par le milieu du 3[e] doigt au lieu du 4[e] doigt comme ici.

Nerfs cutanés et veines superficielles de l'épaule et du bras

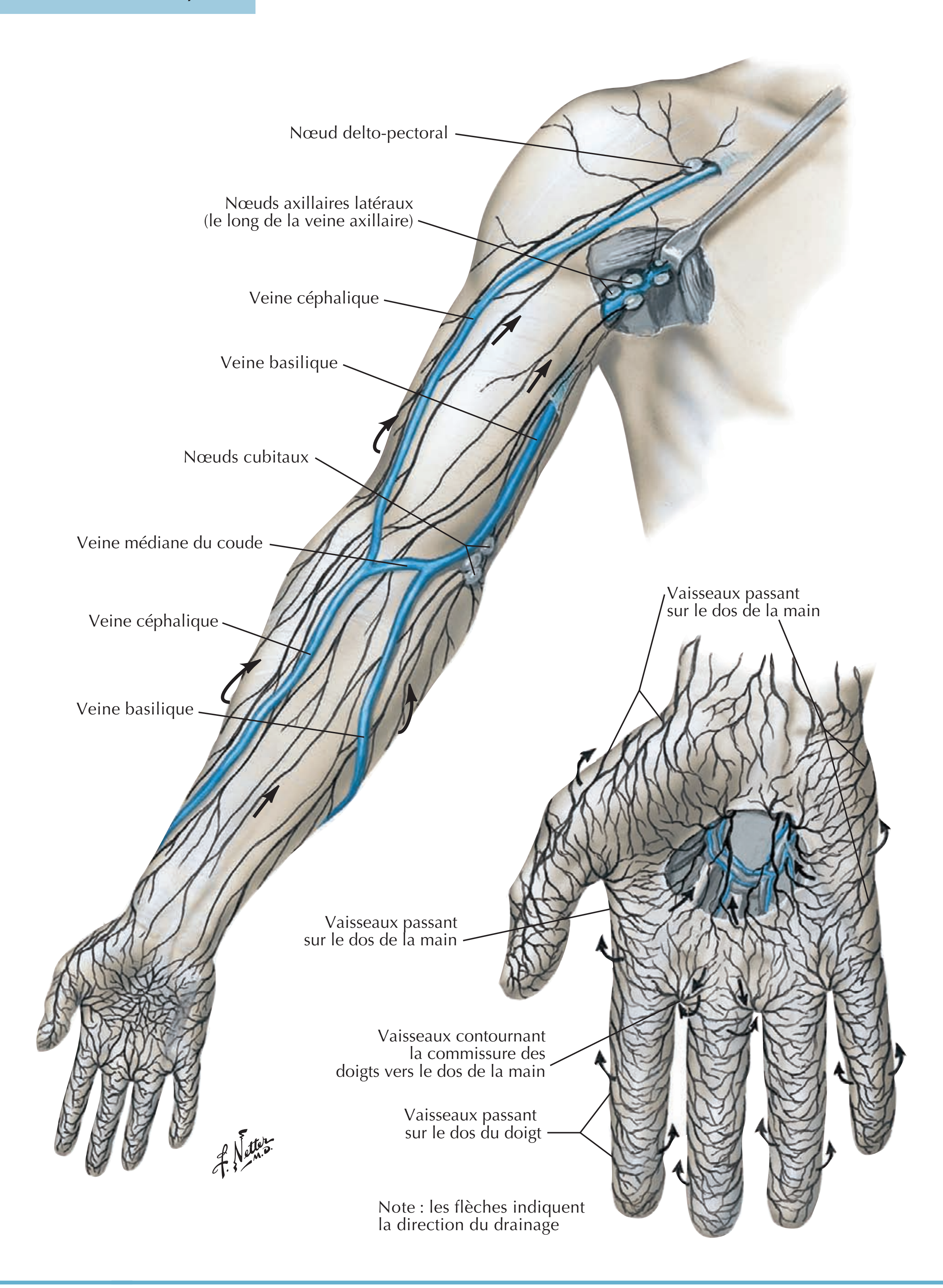


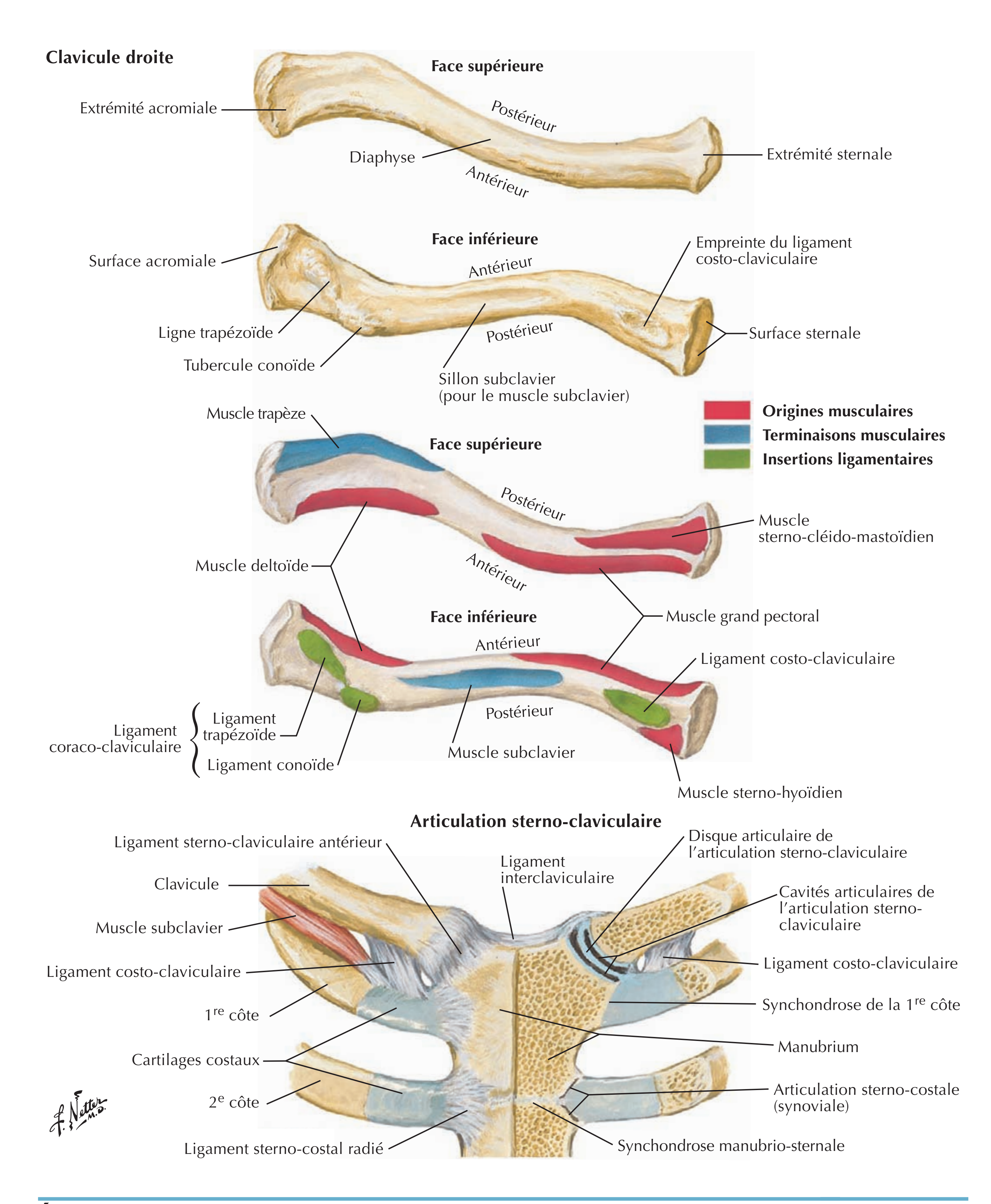
Nerfs cutanés et veines superficielles de l'avant-bras



Vaisseaux et nœuds lymphatiques du membre supérieur

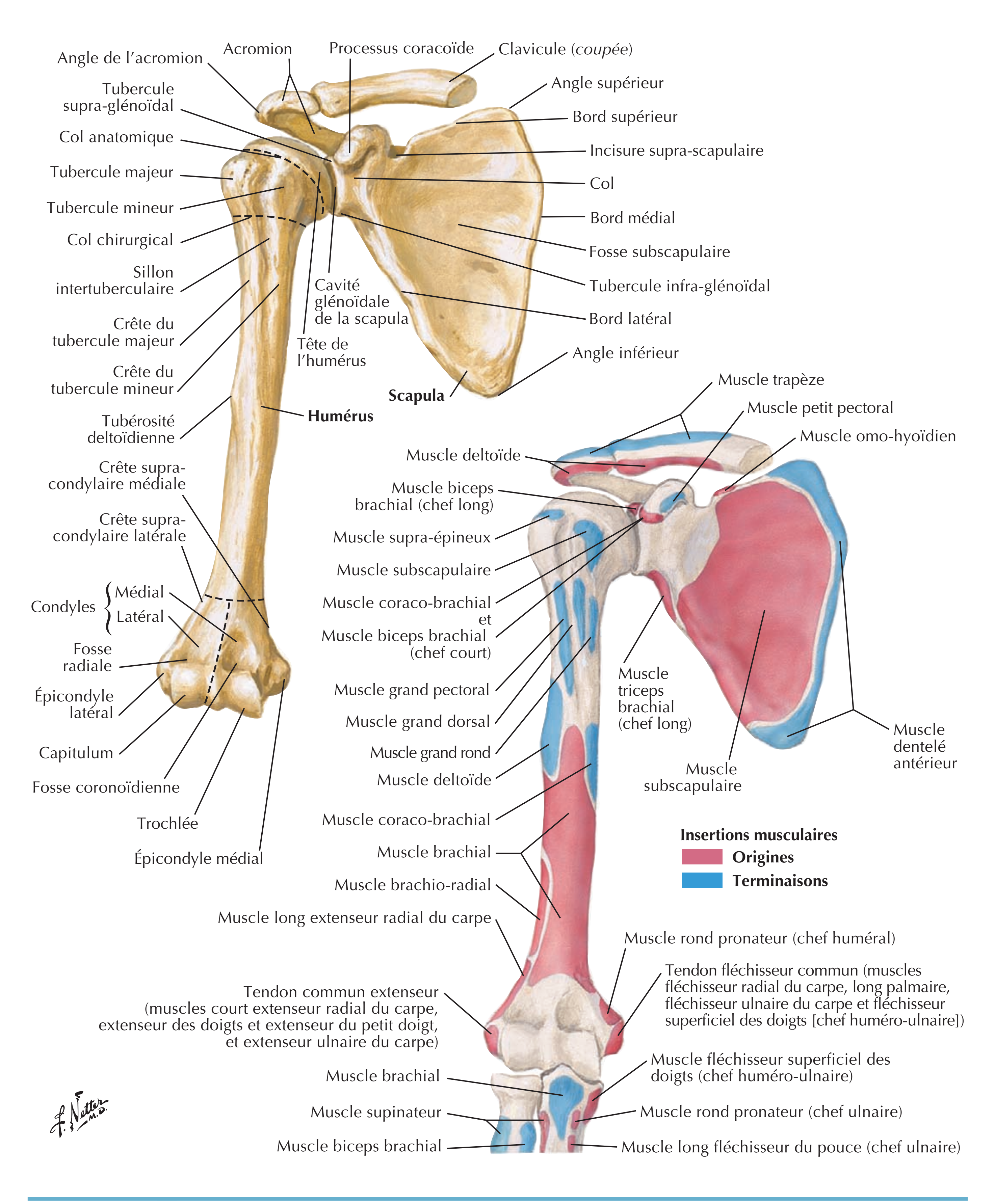
Voir aussi **Planches 178, 456**




Clavicule droite
Face supérieure
Extrémité acromiale
Postérieur
Diaphyse
Antérieur
Extrémité sternale
Face inférieure
Surface acromiale
Antérieur
Empreinte du ligament costo-claviculaire
Ligne trapézoïde
Postérieur
Surface sternale
Tubercule conoïde
Sillon subclavier (pour le muscle subclavier)
Origines musculaires
Terminaisons musculaires
Insertions ligamentaires
Muscle trapèze
Face supérieure
Postérieur
Muscle sterno-cléido-mastoïdien
Muscle deltoïde
Antérieur
Face inférieure
Muscle grand pectoral
Antérieur
Ligament costo-claviculaire
Ligament coraco-claviculaire
Ligament trapézoïde
Postérieur
Ligament conoïde
Muscle subclavier
Muscle sterno-hyoïdien
Articulation sterno-claviculaire
Ligament sterno-claviculaire antérieur
Disque articulaire de l'articulation sterno-claviculaire
Ligament interclaviculaire
Clavicule
Cavités articulaires de l'articulation sterno-claviculaire
Muscle subclavier
Ligament costo-claviculaire
Ligament costo-claviculaire
1re côte
Synchondrose de la 1re côte
Manubrium
Cartilages costaux
2e côte
Articulation sterno-costale (synoviale)
Ligament sterno-costal radié
Synchondrose manubrio-sternale
F. Netter M.D.

Humérus et scapula : vues antérieures

Voir aussi **Planche 179**





Humérus et scapula : vues postérieures

Voir aussi **Planche 179**

Incisure supra-scapulaire
Clavicule (*coupée*)
Processus coracoïde
Bord supérieur
Acromion
Angle supérieur
Angle de l'acromion
Fosse supra-épineuse
Incisure unissant les fosses supra-épineuse et infra-épineuse
Épine
Col
Tubercule majeur
Fosse infra-épineuse
Tête de l'humérus
Bord médial
Col anatomique
Col chirurgical
Bord latéral
Tubercule infra-glénoïdal
Angle inférieur
Sillon des vaisseaux circonflexes de la scapula
Tubérosité deltoïdienne
Scapula
Humérus
Sillon du nerf radial
Crête supra-condylaire médiale
Crête supra-condylaire latérale
Fosse olécrânienne
Épicondyle latéral
Trochlée
Sillon du nerf ulnaire
Épicondyle médial

Muscle supra-épineux
Muscle trapèze
Muscle élévateur de la scapula
Muscle deltoïde
Muscle supra-épineux
Muscle infra-épineux
Muscle petit rhomboïde
Muscle petit rond
Muscle triceps brachial (chef latéral)
Muscle grand rhomboïde
Muscle triceps brachial (chef long)
Muscle infra-épineux
Muscle petit rond
Muscle deltoïde
Muscle grand dorsal (petite lame d'origine)
Muscle grand rond
Muscle brachial
Muscle triceps brachial (chef médial)

Insertions musculaires
Origines
Terminaisons

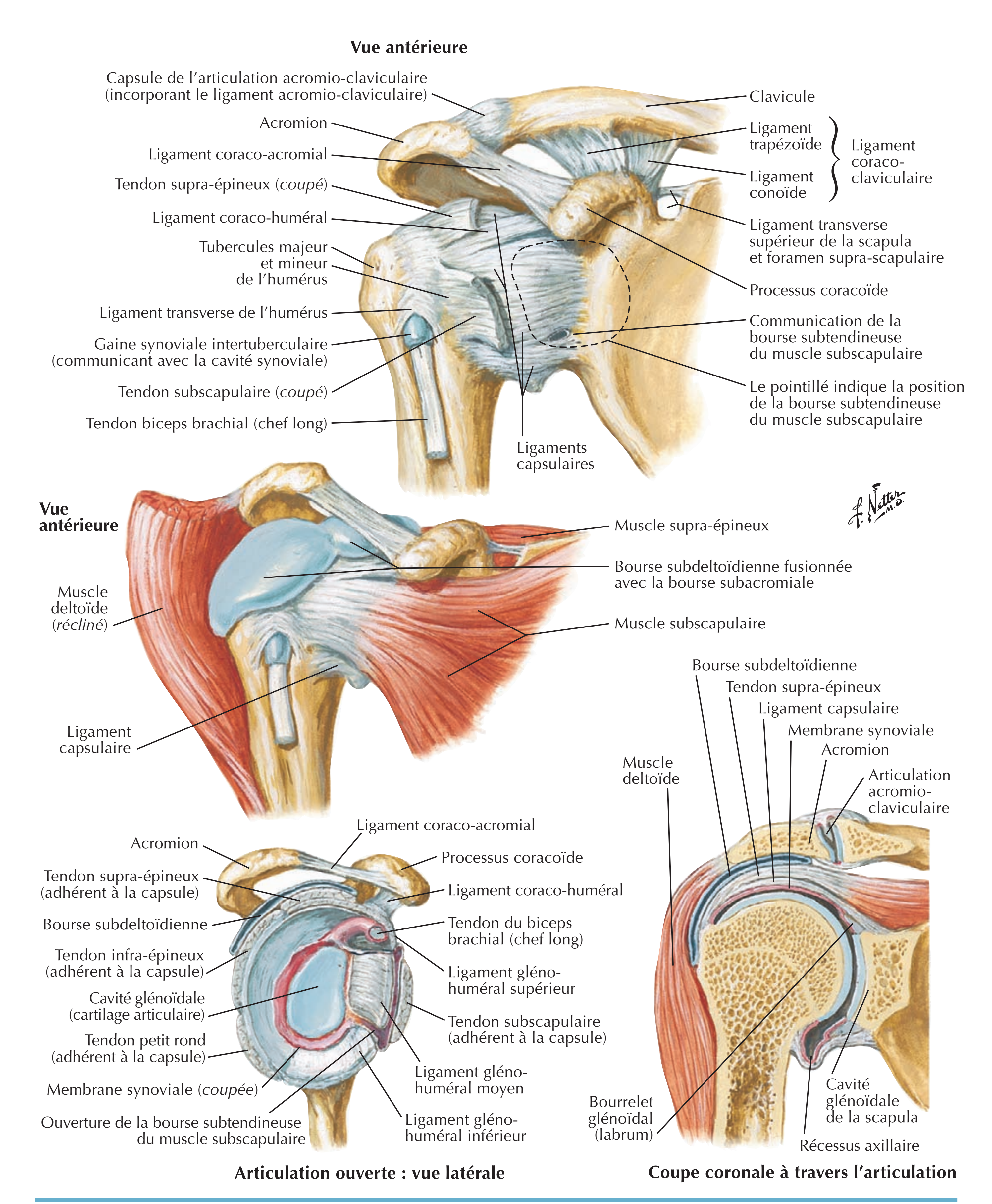
Muscle triceps brachial
Tendon extenseur commun
Tendon fléchisseur commun
Muscle anconé

F. Netter M.D.

Épaule : radiographie antéro-postérieure

Voir aussi **Planche 407**

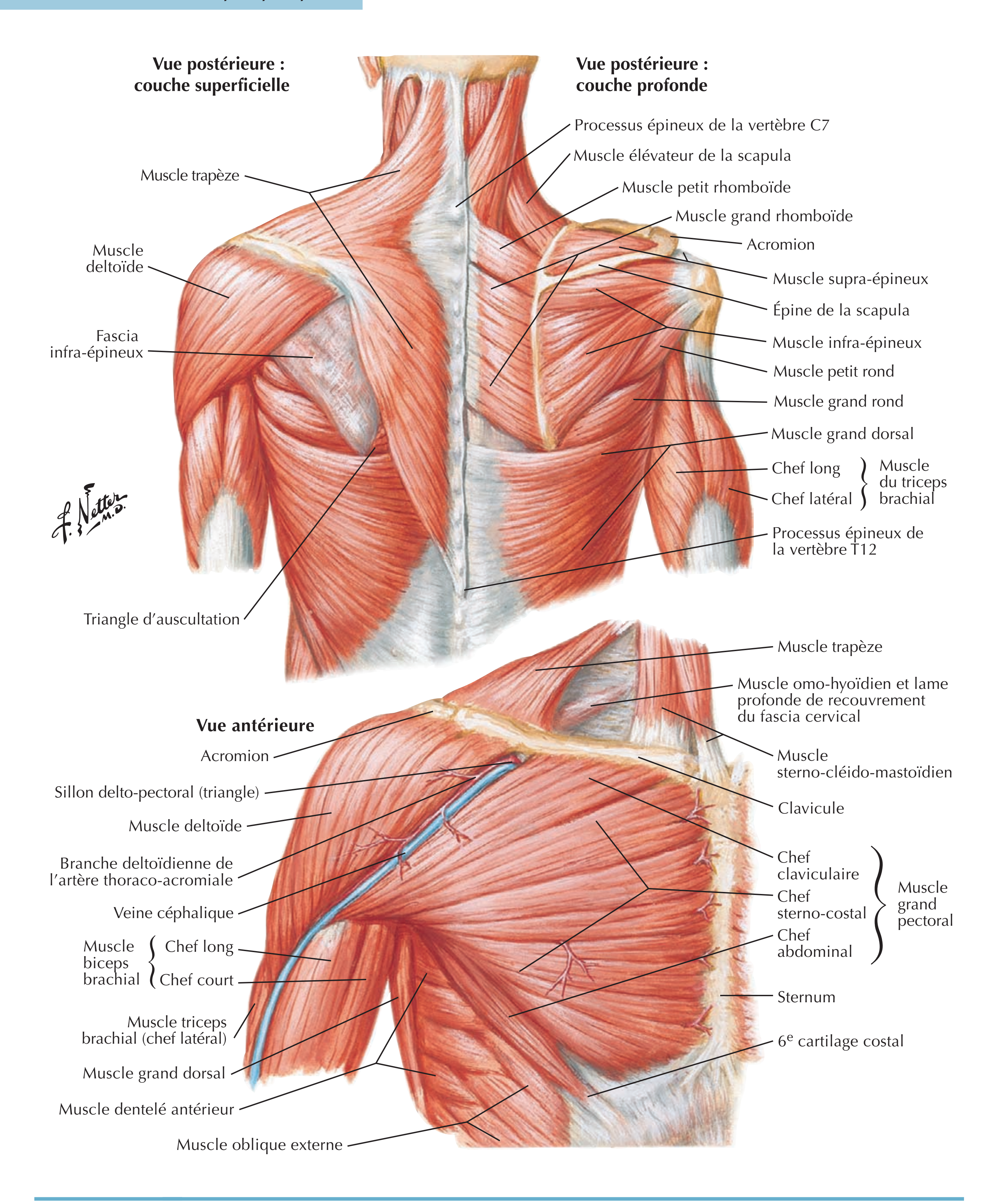


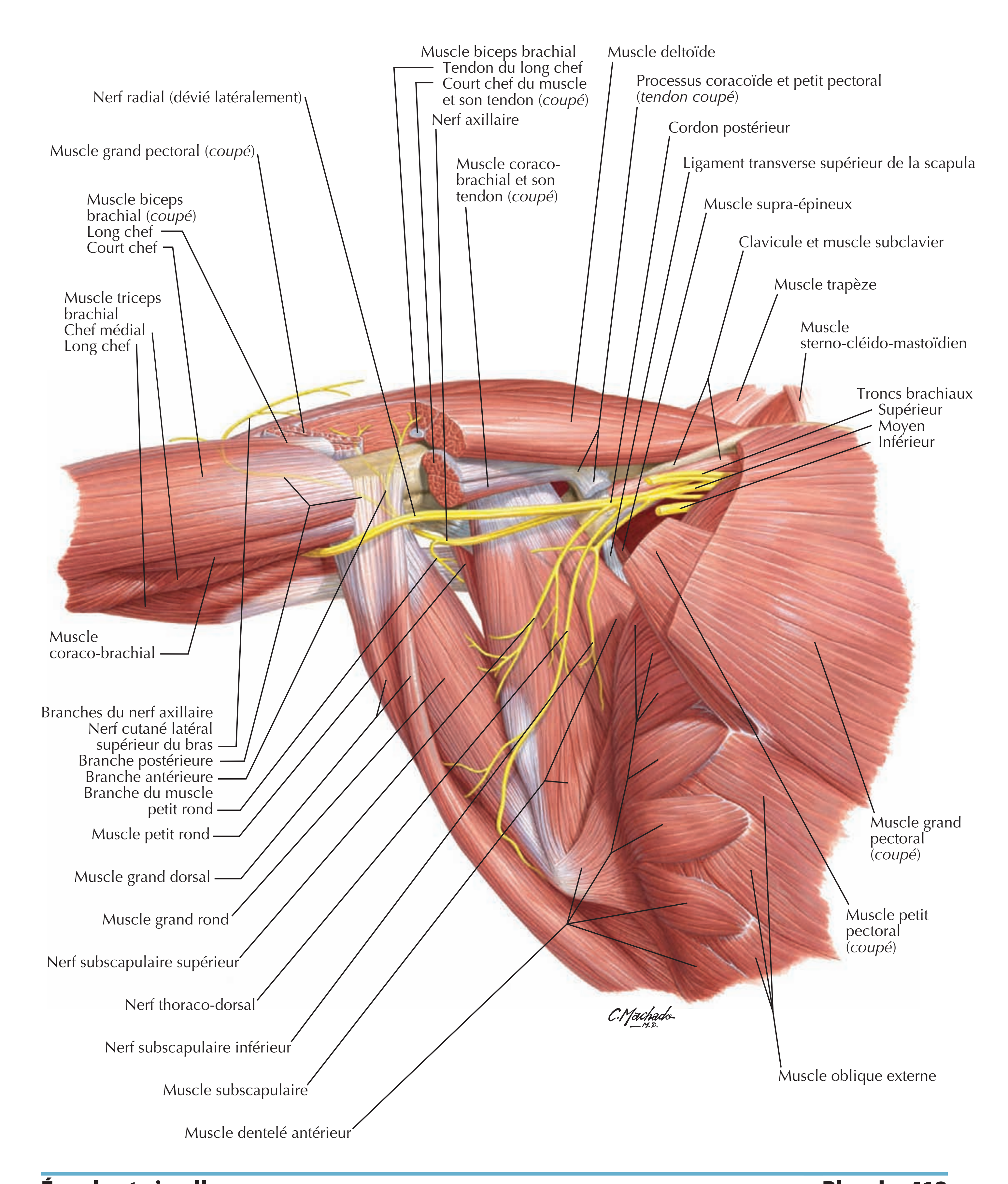


Vue antérieure
Capsule de l'articulation acromio-claviculaire (incorporant le ligament acromio-claviculaire)
Acromion
Ligament coraco-acromial
Tendon supra-épineux (coupé)
Ligament coraco-huméral
Tubercules majeur et mineur de l'humérus
Ligament transverse de l'humérus
Gaine synoviale intertuberculaire (communicant avec la cavité synoviale)
Tendon subscapulaire (coupé)
Tendon biceps brachial (chef long)
Clavicule
Ligament trapézoïde
Ligament conoïde
Ligament coraco-claviculaire
Ligament transverse supérieur de la scapula et foramen supra-scapulaire
Processus coracoïde
Communication de la bourse subtendineuse du muscle subscapulaire
Le pointillé indique la position de la bourse subtendineuse du muscle subscapulaire
Ligaments capsulaires
Vue antérieure
Muscle supra-épineux
Bourse subdeltoïdienne fusionnée avec la bourse subacromiale
Muscle subscapulaire
Muscle deltoïde (récliné)
Ligament capsulaire
Acromion
Ligament coraco-acromial
Processus coracoïde
Tendon supra-épineux (adhérent à la capsule)
Ligament coraco-huméral
Bourse subdeltoïdienne
Tendon du biceps brachial (chef long)
Tendon infra-épineux (adhérent à la capsule)
Ligament gléno-huméral supérieur
Cavité glénoïdale (cartilage articulaire)
Tendon subscapulaire (adhérent à la capsule)
Tendon petit rond (adhérent à la capsule)
Ligament gléno-huméral moyen
Membrane synoviale (coupée)
Ouverture de la bourse subtendineuse du muscle subscapulaire
Ligament gléno-huméral inférieur
Articulation ouverte : vue latérale
Bourse subdeltoïdienne
Tendon supra-épineux
Ligament capsulaire
Membrane synoviale
Acromion
Articulation acromio-claviculaire
Muscle deltoïde
Bourrelet glénoïdal (labrum)
Cavité glénoïdale de la scapula
Récessus axillaire
Coupe coronale à travers l'articulation

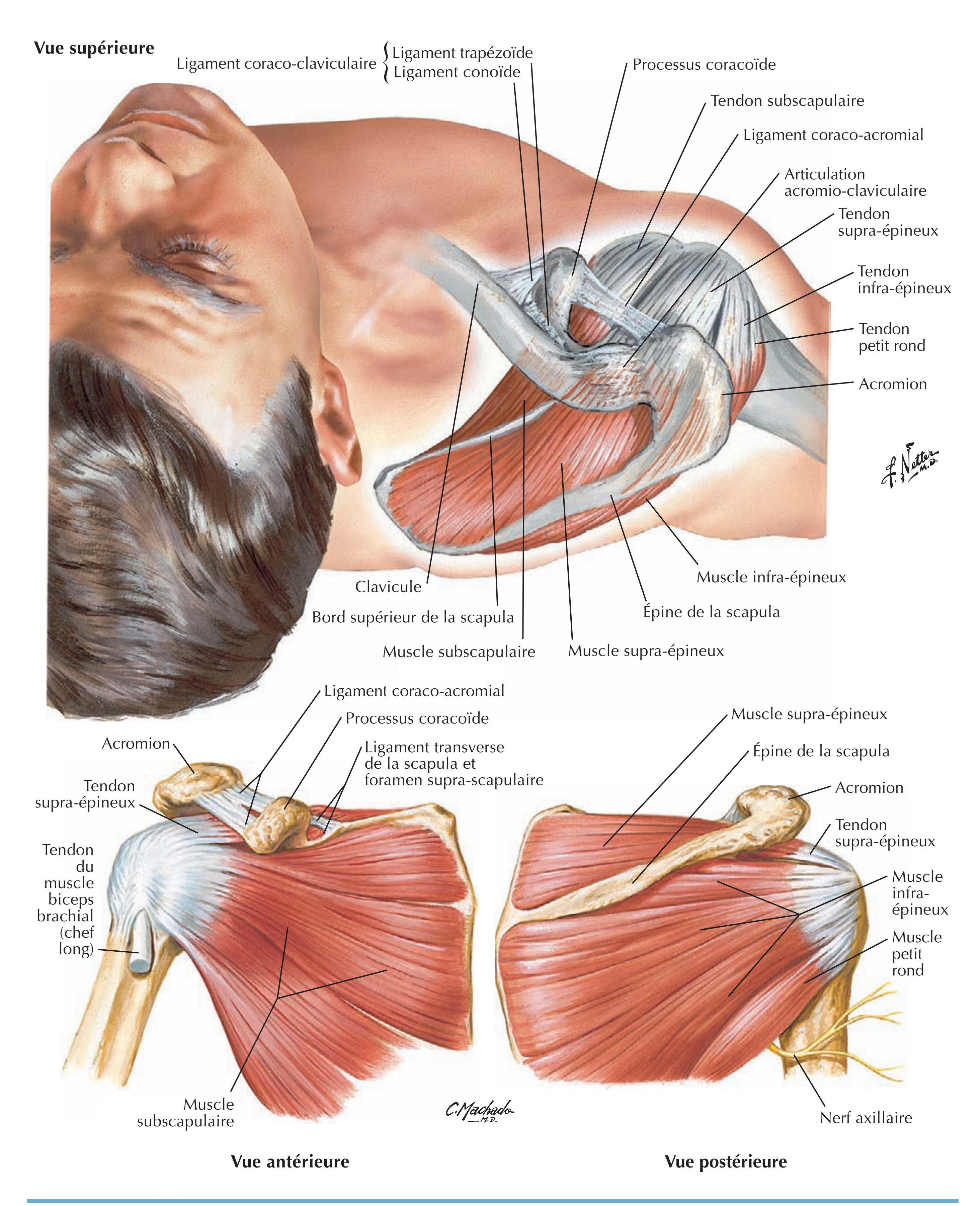
6 Muscles de l'épaule

Voir aussi **Planches 26, 168, 182, 183**



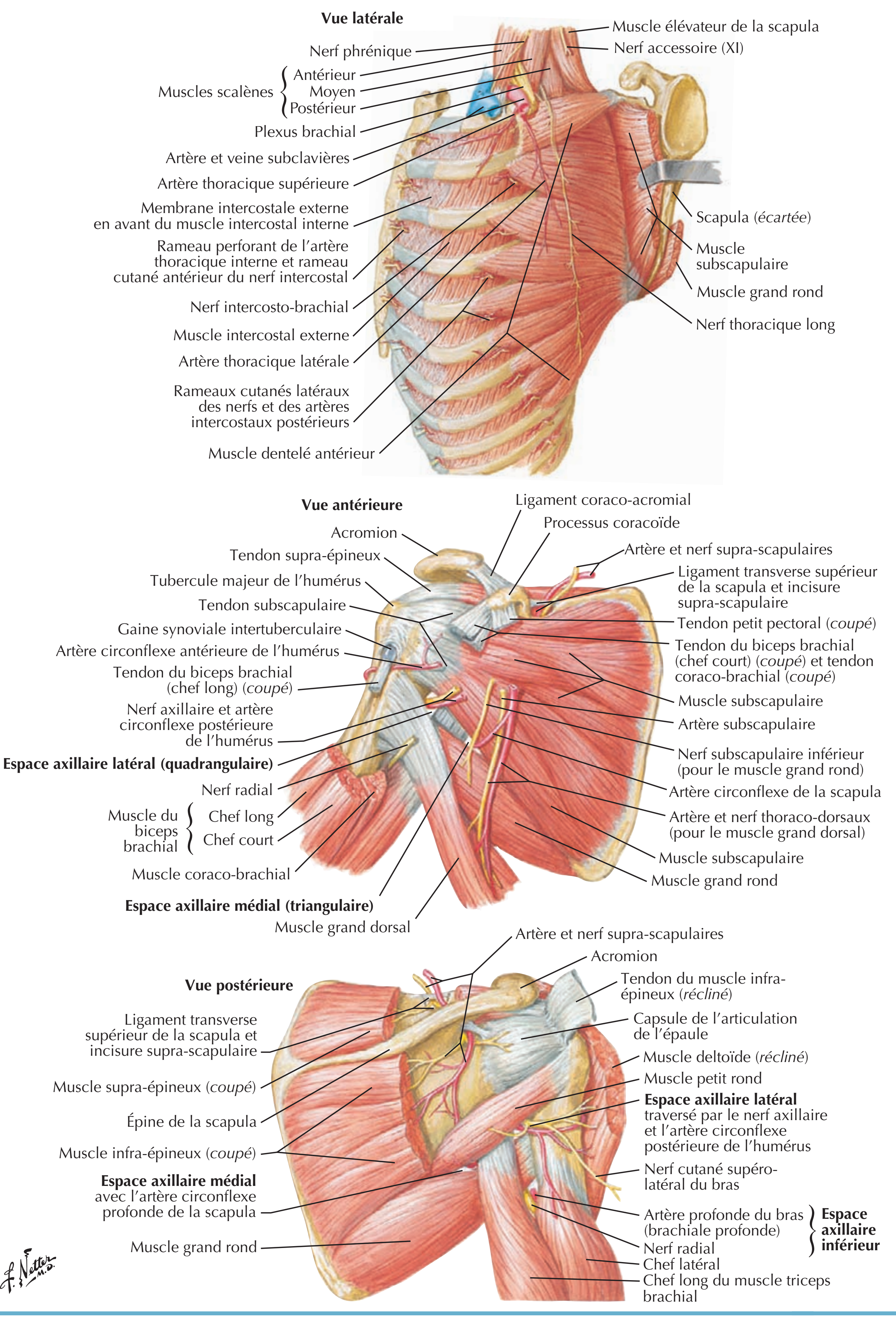

Muscle biceps brachial
Tendon du long chef
Court chef du muscle et son tendon (coupé)
Nerf axillaire
Muscle deltoïde
Processus coracoïde et petit pectoral (tendon coupé)
Cordon postérieur
Ligament transverse supérieur de la scapula
Muscle supra-épineux
Clavicule et muscle subclavier
Muscle trapèze
Muscle sterno-cléido-mastoïdien
Troncs brachiaux
Supérieur
Moyen
Inférieur
Nerf radial (dévié latéralement)
Muscle grand pectoral (coupé)
Muscle biceps brachial (coupé)
Long chef
Court chef
Muscle triceps brachial
Chef médial
Long chef
Muscle coraco-brachial et son tendon (coupé)
Muscle coraco-brachial
Branches du nerf axillaire
Nerf cutané latéral supérieur du bras
Branche postérieure
Branche antérieure
Branche du muscle petit rond
Muscle petit rond
Muscle grand dorsal
Muscle grand rond
Nerf subscapulaire supérieur
Nerf thoraco-dorsal
Nerf subscapulaire inférieur
Muscle subscapulaire
Muscle dentelé antérieur
Muscle grand pectoral (coupé)
Muscle petit pectoral (coupé)
Muscle oblique externe
C. Machado M.D.

Muscles de la coiffe des rotateurs



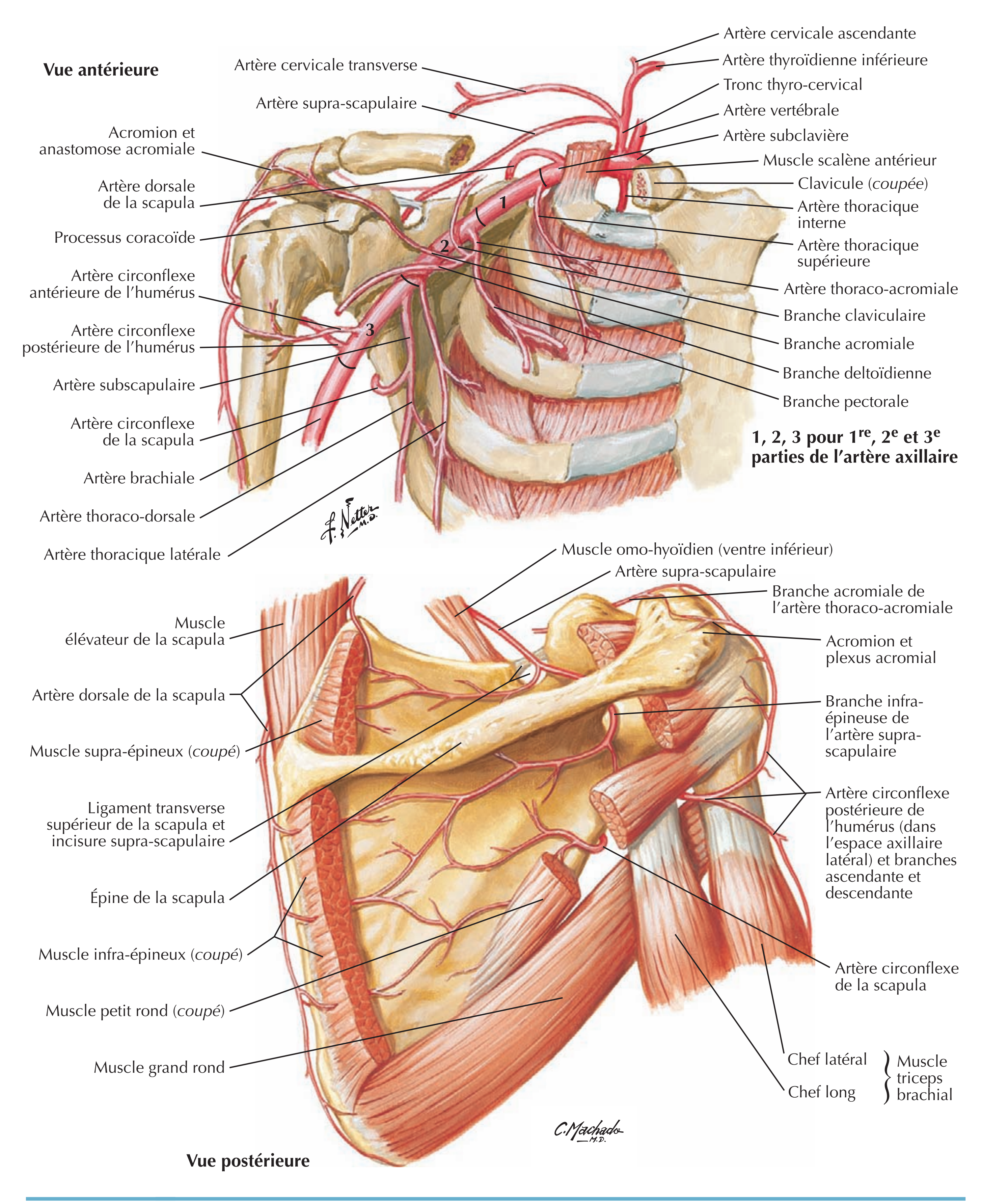
Dissection scapulo-thoracique et scapulo-humérale

Voir aussi **Planche 465**



Artère axillaire et anastomoses péri-scapulaires

Voir aussi **Planches 32, 422**





Fascias pectoral, clavi-pectoral et axillaire

Voir aussi **Planche 182**

Artère thoraco-acromiale
Processus coracoïde
Veine céphalique
Muscle deltoïde
Muscle grand pectoral (*coupé*)
Muscle biceps brachial
Chef court
Chef long
Fascia brachial (*bord coupé*) sur les muscles coraco-brachial et biceps brachial

Muscle trapèze
Muscle omo-hyoïdien recouvert par le fascia des muscles infra-hyoïdiens
Clavicule
Fascia recouvrant le muscle subclavier*
Ligament costo-coracoïdien*
Ligament costo-claviculaire
Membrane costo-coracoïdienne*
Fascia recouvrant le muscle petit pectoral*
Ligament suspenseur de l'aisselle*
Muscle grand pectoral et fascia pectoral (lames superficielle et profonde)
Fascia du grand dorsal
Fascia du dentelé antérieur
Fascia axillaire (partie antérieure)

Vue antérieure

F. Netter M.D.

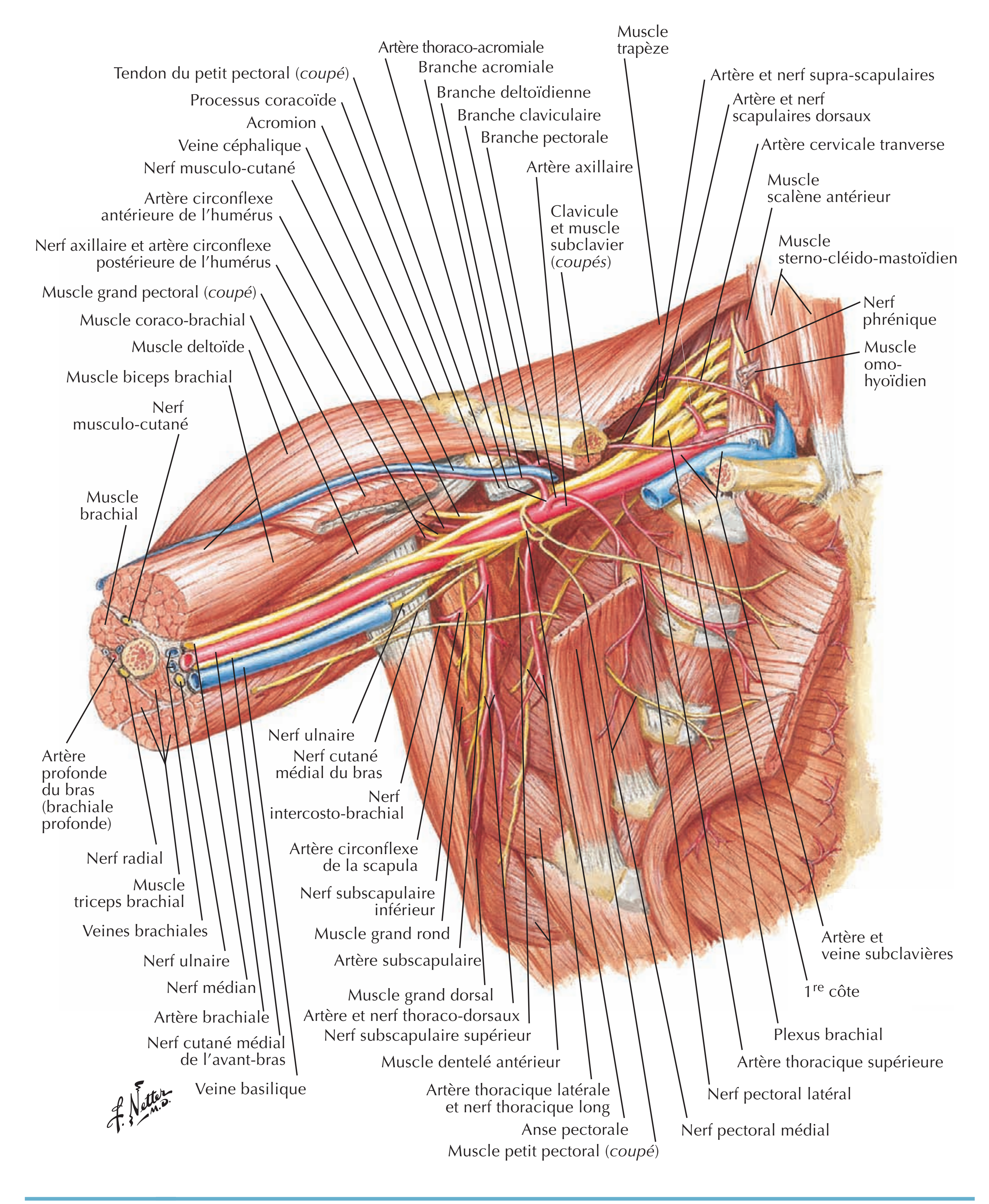
Coupe parasagittale oblique de l'aisselle

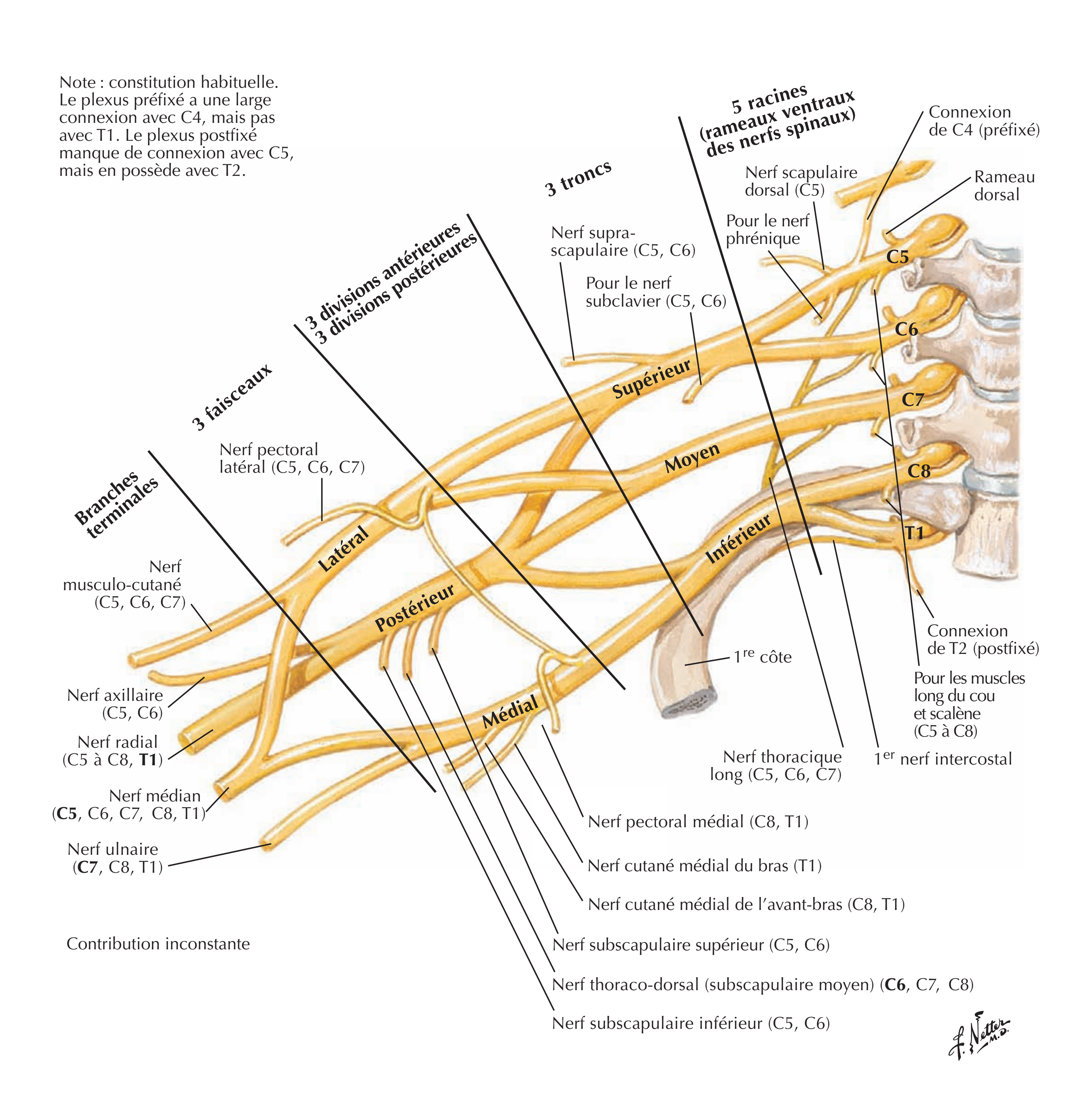
Muscle trapèze
Plexus brachial: Faisceau latéral, Faisceau postérieur, Faisceau médial
Muscle supra-épineux
Scapula: Épine, Corps
Muscle infra-épineux
Muscle subscapulaire
Muscle petit rond
Muscle grand rond
Muscle grand dorsal
Nœuds lymphatiques axillaires: Central, Pectoral (antérieur)

Muscle omo-hyoïdien
Clavicule
Muscle subclavier et son fascia*
Ligament costo-coracoïde*
Artère thoraco-acromiale et veine céphalique
Membrane costo-coracoïdienne*
Nerf pectoral latéral
Artère et veine axillaires
Muscle grand pectoral et son fascia
Muscle petit pectoral et son fascia*
Nerf pectoral médial
Ligament suspenseur de l'aisselle
Fascia axillaire (*fenêtré*)

* Parties du fascia clavi-pectoral

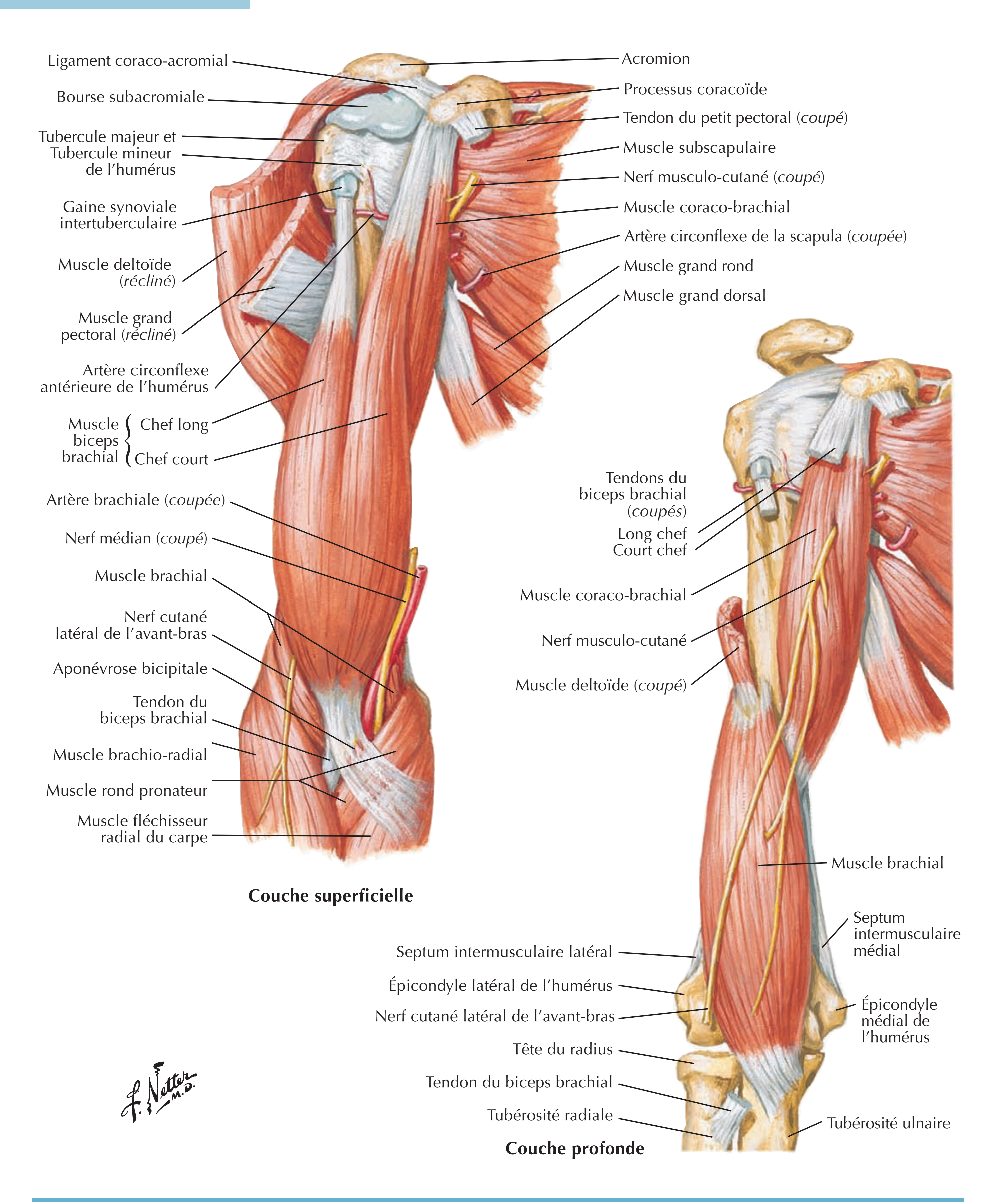
Fosse axillaire (dissection) : vue antérieure




Note : constitution habituelle. Le plexus préfixé a une large connexion avec C4, mais pas avec T1. Le plexus postfixé manque de connexion avec C5, mais en possède avec T2.
5 racines (rameaux ventraux des nerfs spinaux)
3 troncs
3 divisions antérieures
3 divisions postérieures
3 faisceaux
Branches terminales
Connexion de C4 (préfixé)
Rameau dorsal
Nerf scapulaire dorsal (C5)
Pour le nerf phrénique
Nerf supra-scapulaire (C5, C6)
Pour le nerf subclavier (C5, C6)
C5
C6
C7
C8
T1
Supérieur
Moyen
Inférieur
Latéral
Postérieur
Médial
Nerf pectoral latéral (C5, C6, C7)
Nerf musculo-cutané (C5, C6, C7)
Nerf axillaire (C5, C6)
Nerf radial (C5 à C8, **T1**)
Nerf médian (**C5**, C6, C7, C8, T1)
Nerf ulnaire (**C7**, C8, T1)
Contribution inconstante
1re côte
Connexion de T2 (postfixé)
Pour les muscles long du cou et scalène (C5 à C8)
Nerf thoracique long (C5, C6, C7)
1er nerf intercostal
Nerf pectoral médial (C8, T1)
Nerf cutané médial du bras (T1)
Nerf cutané médial de l'avant-bras (C8, T1)
Nerf subscapulaire supérieur (C5, C6)
Nerf thoraco-dorsal (subscapulaire moyen) (**C6**, C7, C8)
Nerf subscapulaire inférieur (C5, C6)
F. Netter M.D.

6 Muscles du bras : vues antérieures

Voir aussi **Planche 462**

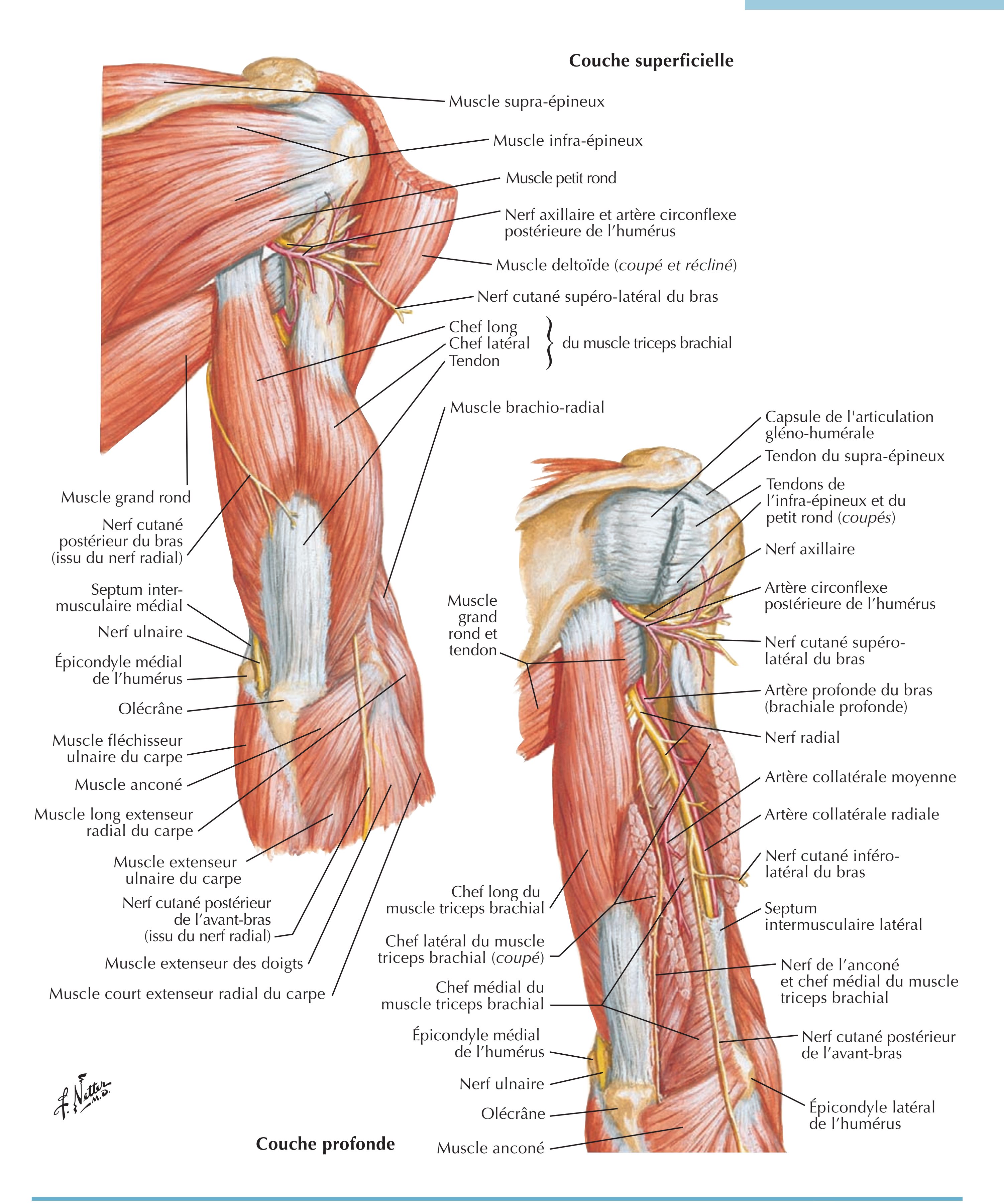


Couche superficielle

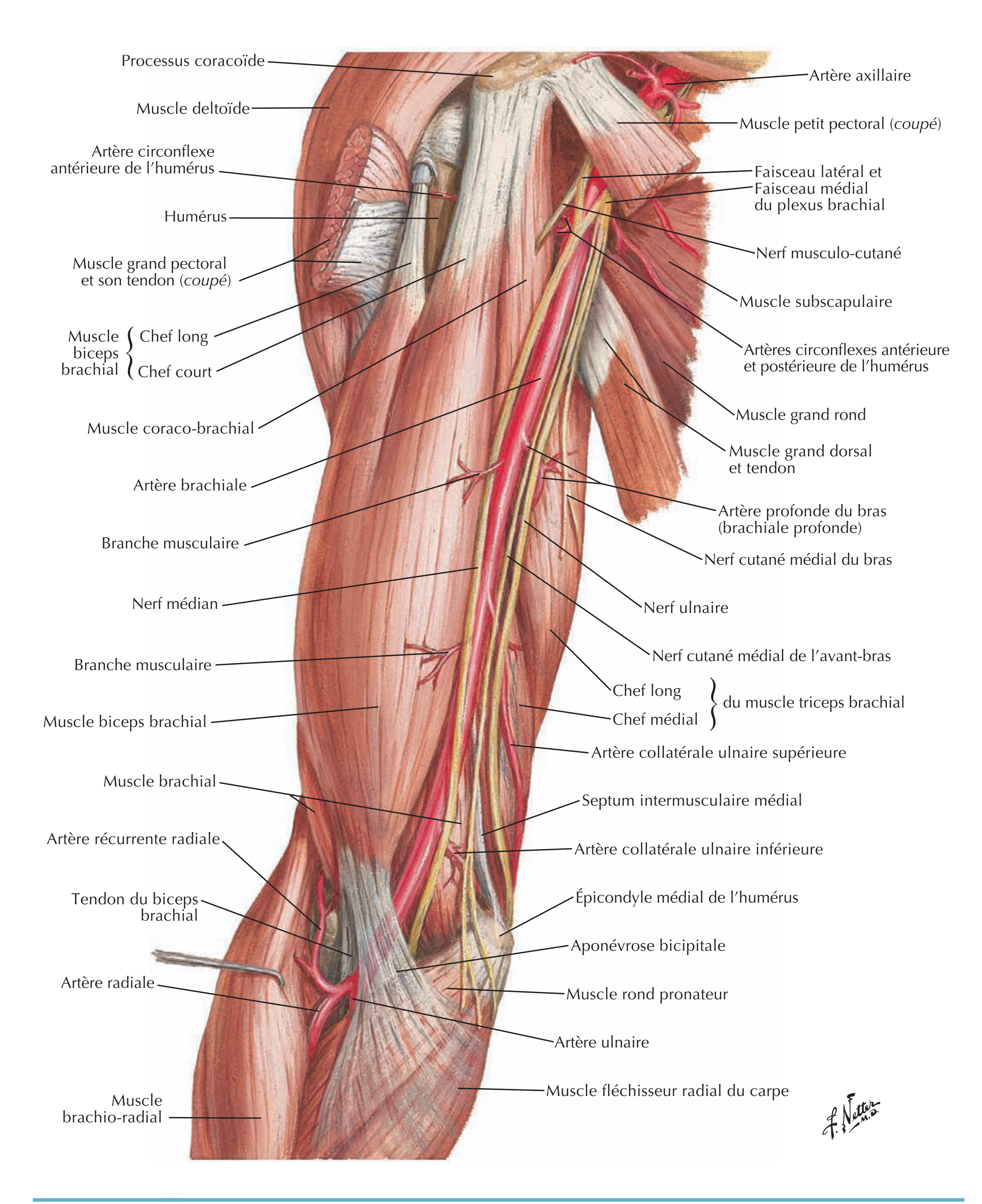
Couche profonde

Muscles du bras : vues postérieures

Voir aussi **Planche 465**

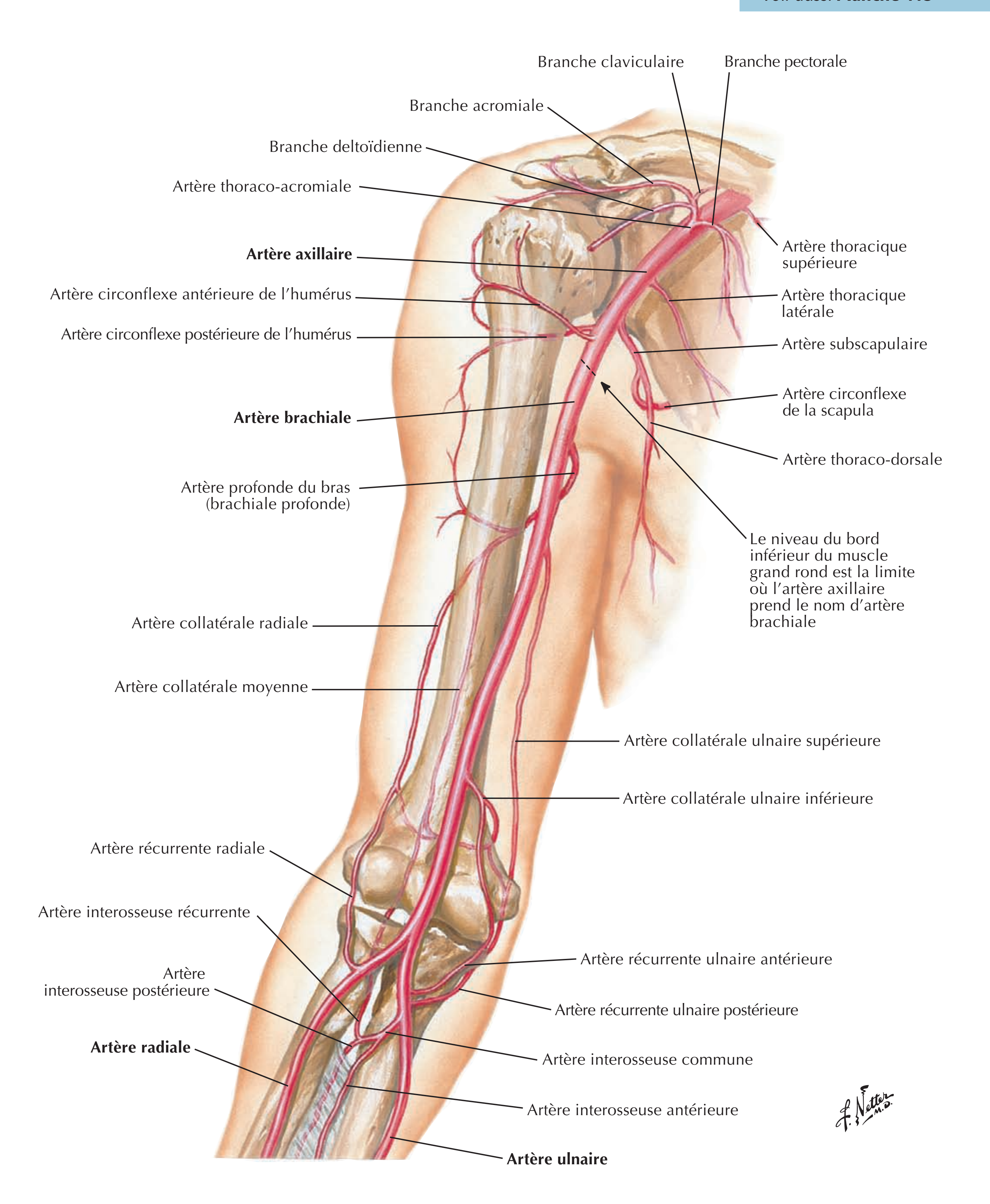


Artère brachiale *in situ*

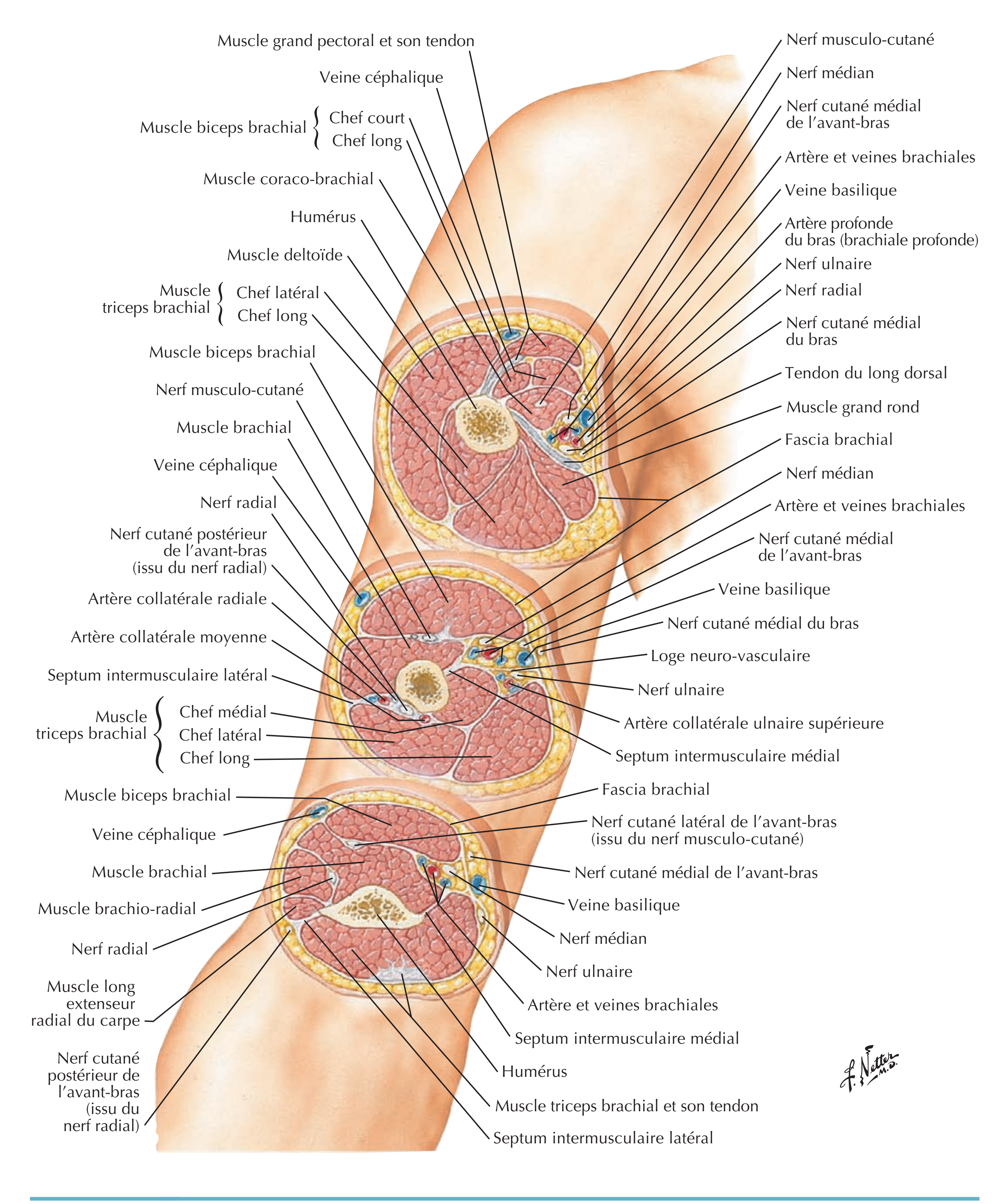


Artère brachiale et anastomoses péri-cubitales

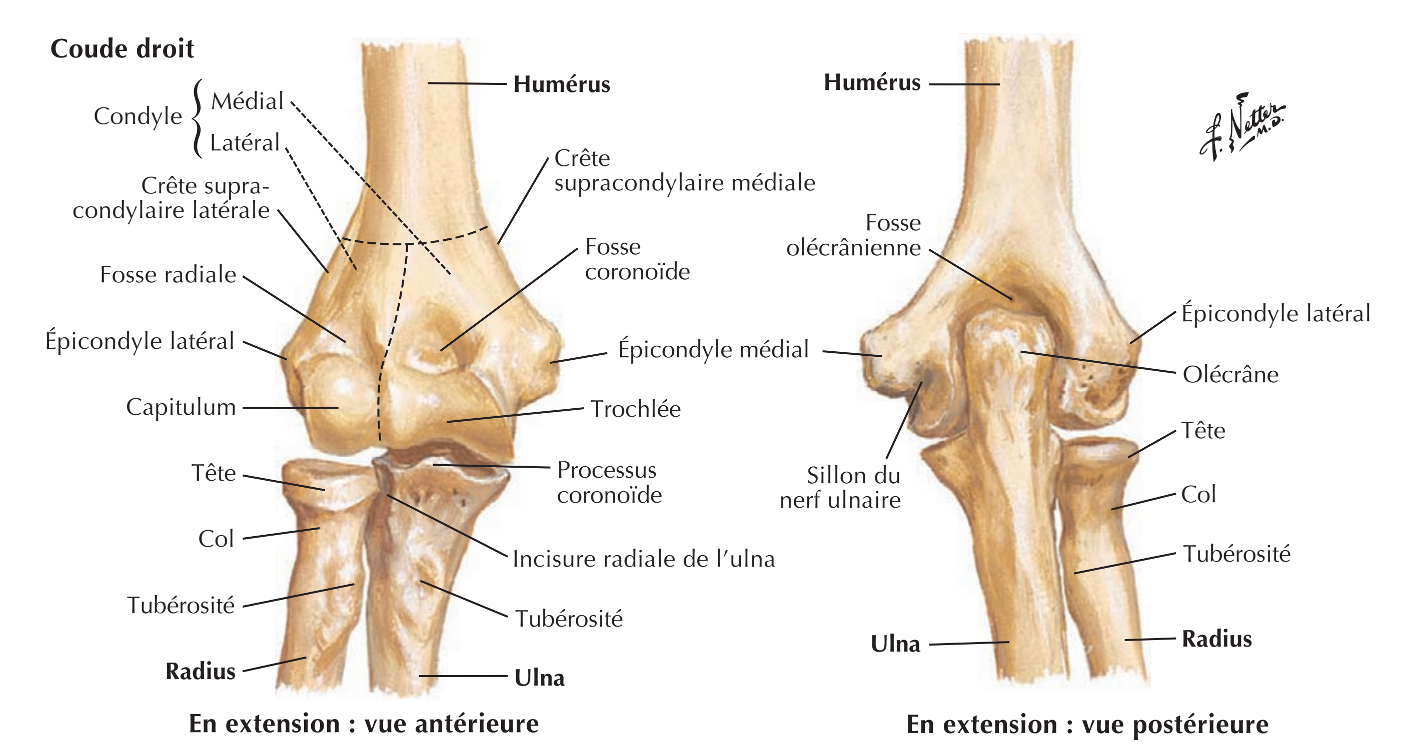
Voir aussi **Planche 415**



Bras : coupes transversales sériées

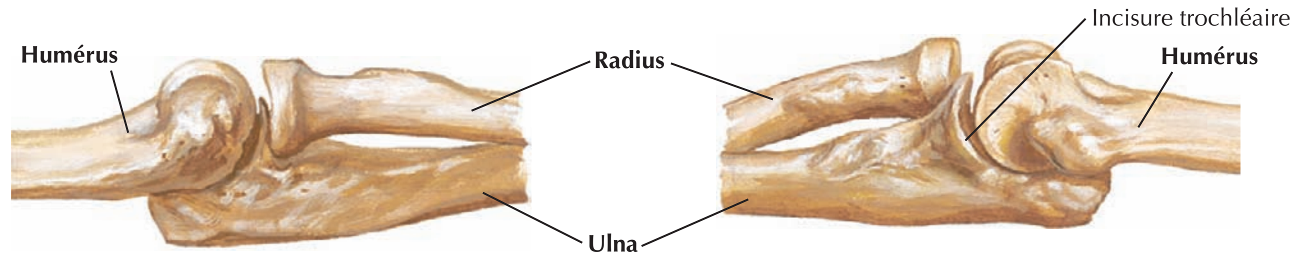






En extension : vue antérieure

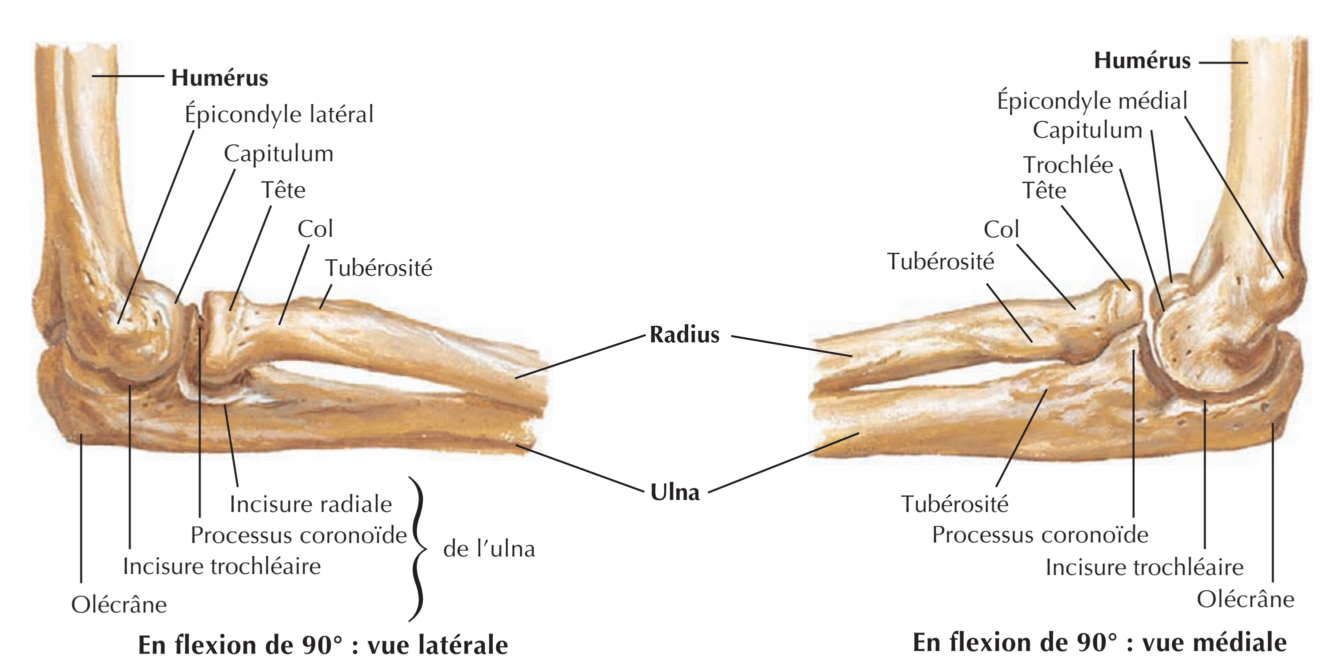
En extension : vue postérieure



En extension : vue latérale

En extension : vue médiale





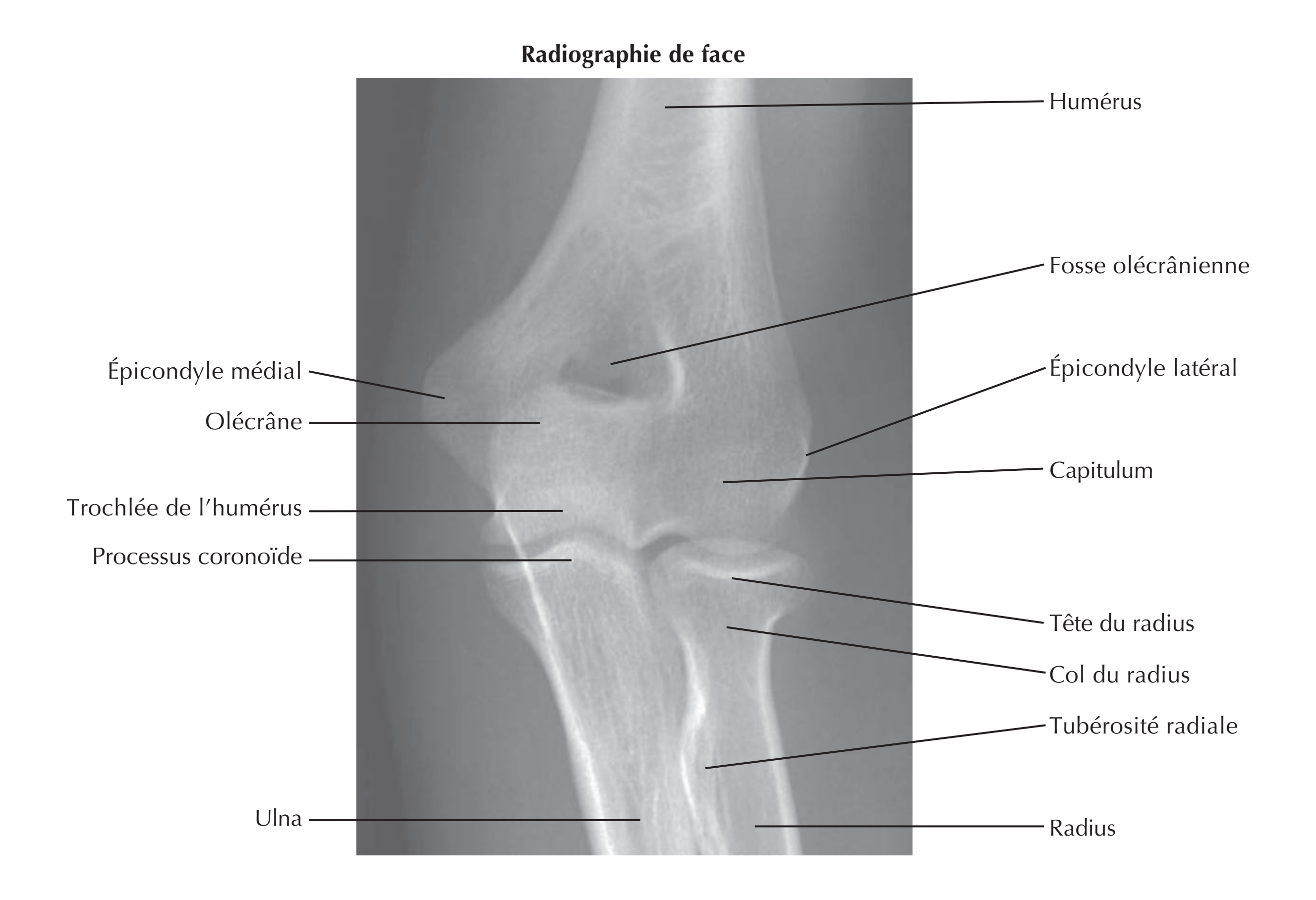
En flexion de 90° : vue latérale

En flexion de 90° : vue médiale

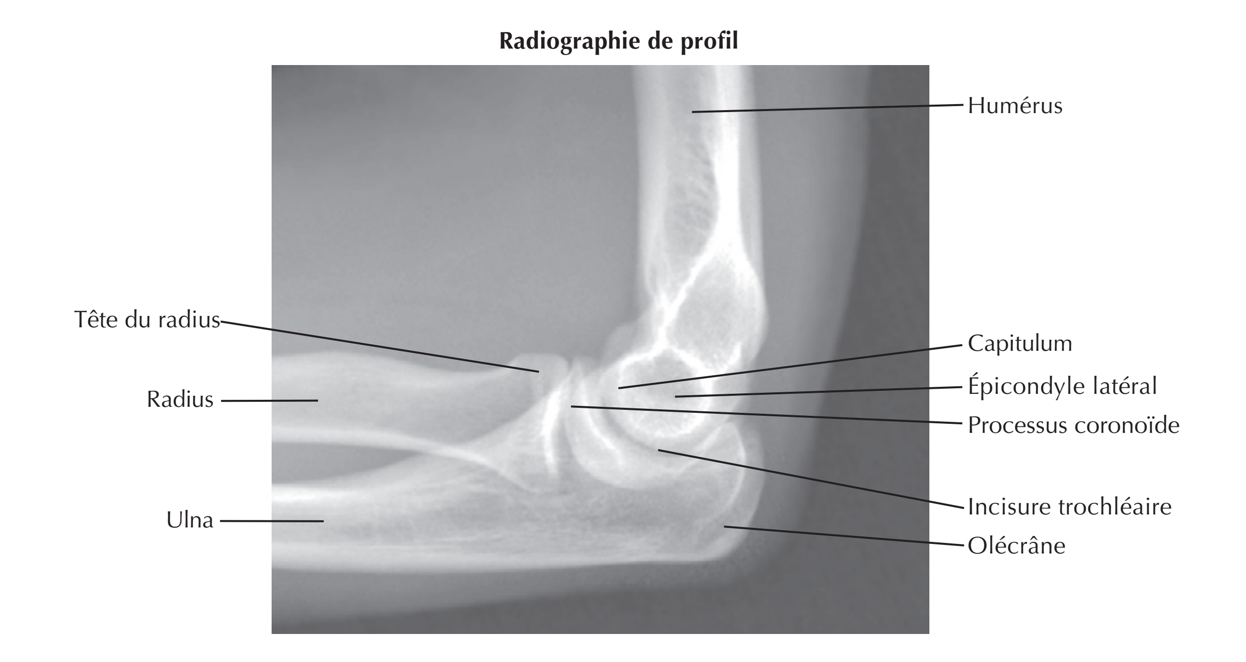
Coude : radiographies

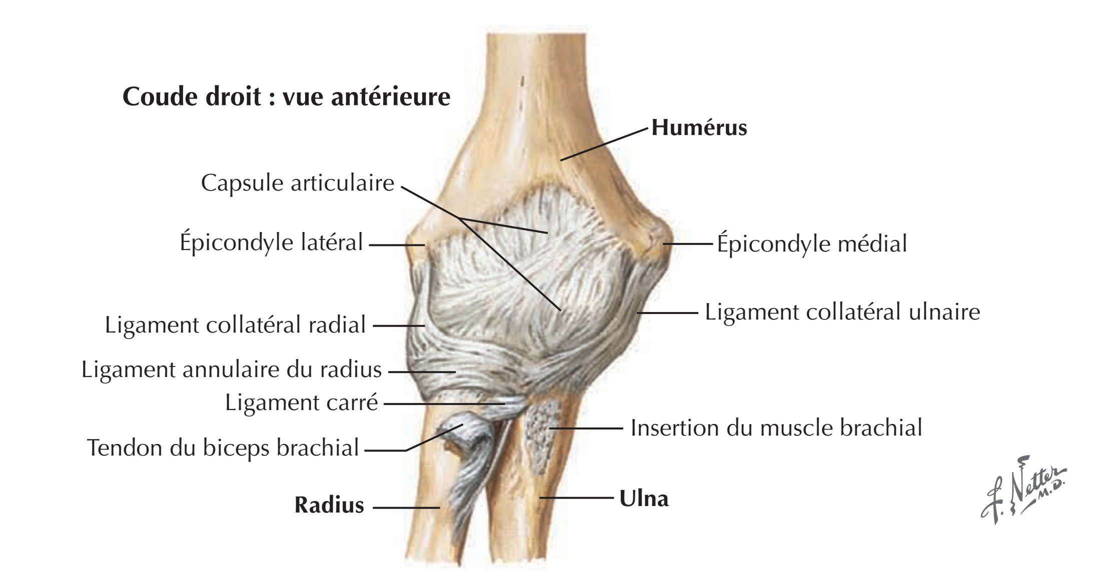
Voir aussi **Planche 424**

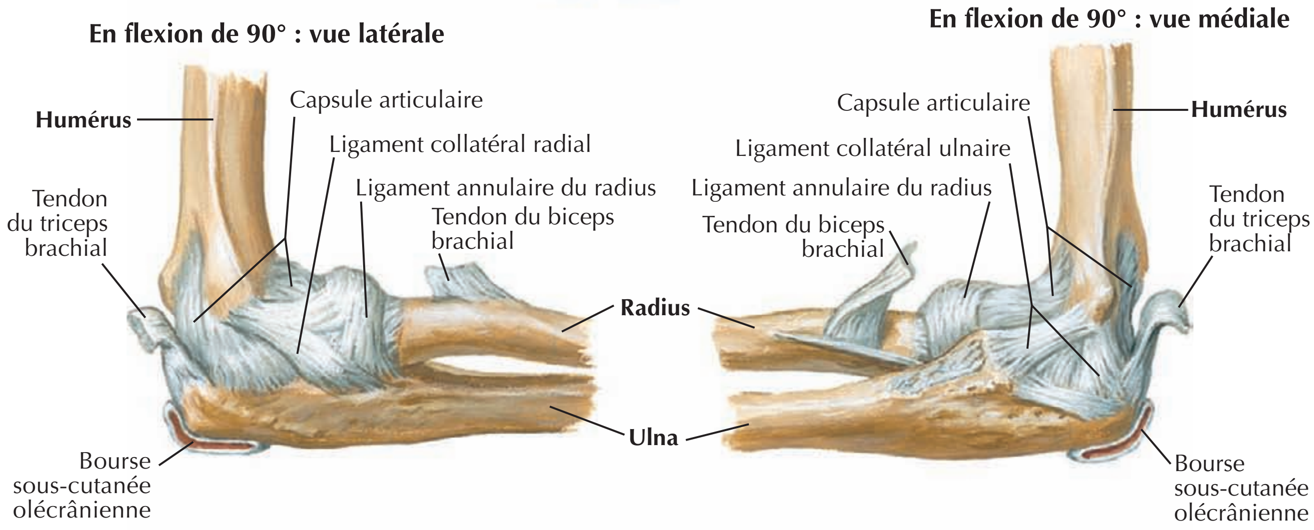
Radiographie de face

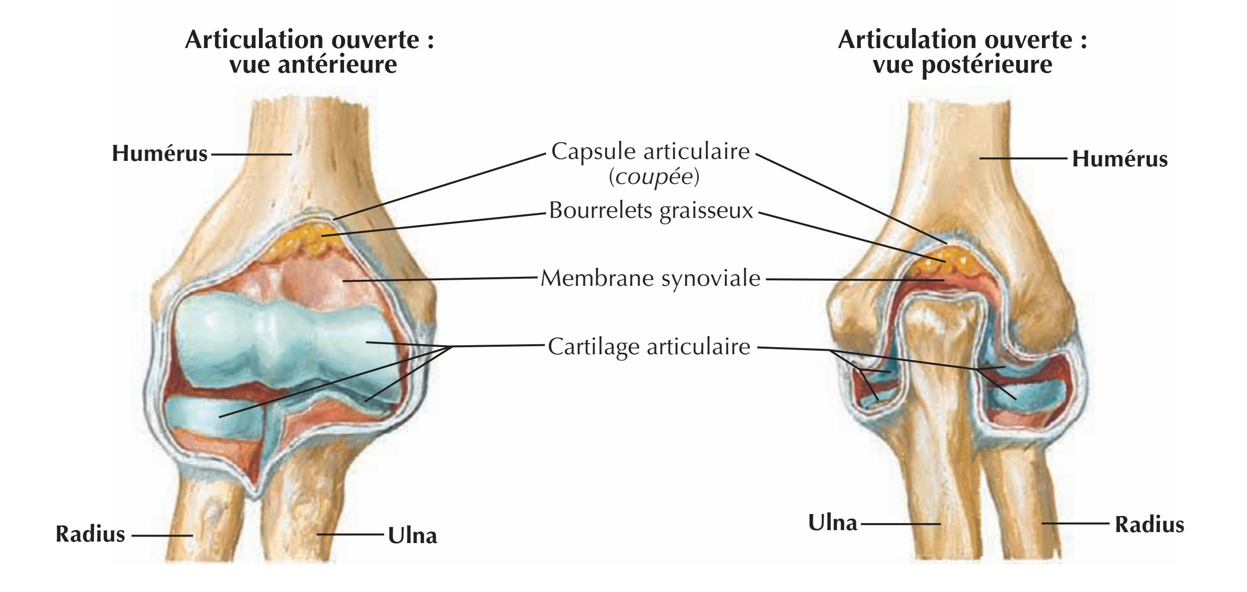


Radiographie de profil

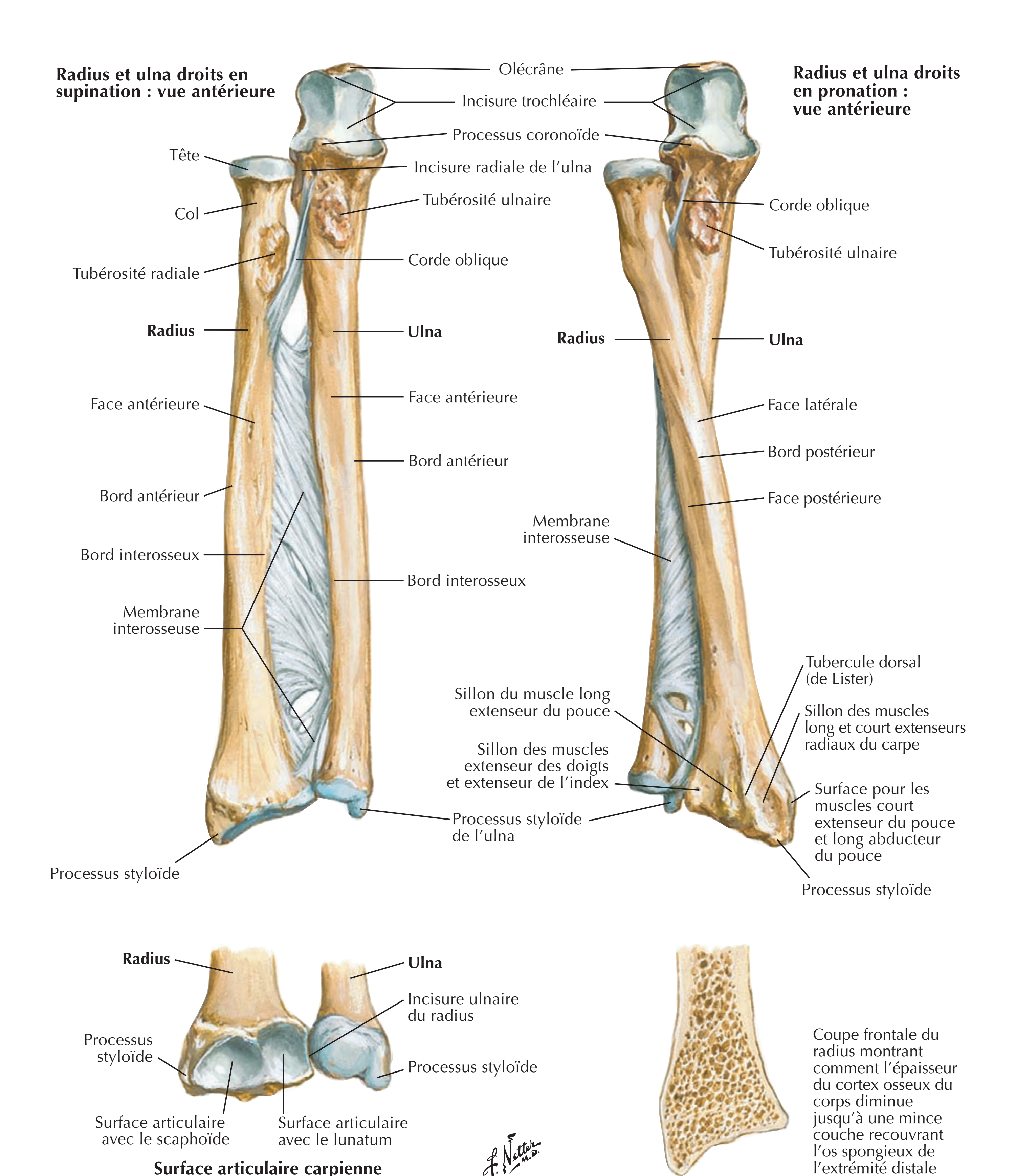



Coude droit : vue antérieure
Humérus
Capsule articulaire
Épicondyle latéral
Épicondyle médial
Ligament collatéral radial
Ligament collatéral ulnaire
Ligament annulaire du radius
Ligament carré
Insertion du muscle brachial
Tendon du biceps brachial
Radius
Ulna


En flexion de 90° : vue latérale
Humérus
Capsule articulaire
Ligament collatéral radial
Ligament annulaire du radius
Tendon du biceps brachial
Tendon du triceps brachial
Radius
Ulna
Bourse sous-cutanée olécrânienne
En flexion de 90° : vue médiale
Capsule articulaire
Humérus
Ligament collatéral ulnaire
Ligament annulaire du radius
Tendon du biceps brachial
Tendon du triceps brachial
Bourse sous-cutanée olécrânienne


Articulation ouverte : vue antérieure
Articulation ouverte : vue postérieure
Humérus
Capsule articulaire (coupée)
Humérus
Bourrelets graisseux
Membrane synoviale
Cartilage articulaire
Radius
Ulna
Ulna
Radius

Os de l'avant-bras





Muscles propres de l’avant-bras : rotateurs du radius

Avant-bras droit : vue antérieure

Position de supination

Épicondyle latéral

Épicondyle médial

Supinateur

Rond pronateur
Chefs ulnaire et huméral

Ulna

Radius

Carré pronateur

Position de pronation

Épicondyle médial

Épicondyle latéral

Supinateur

Rond pronateur

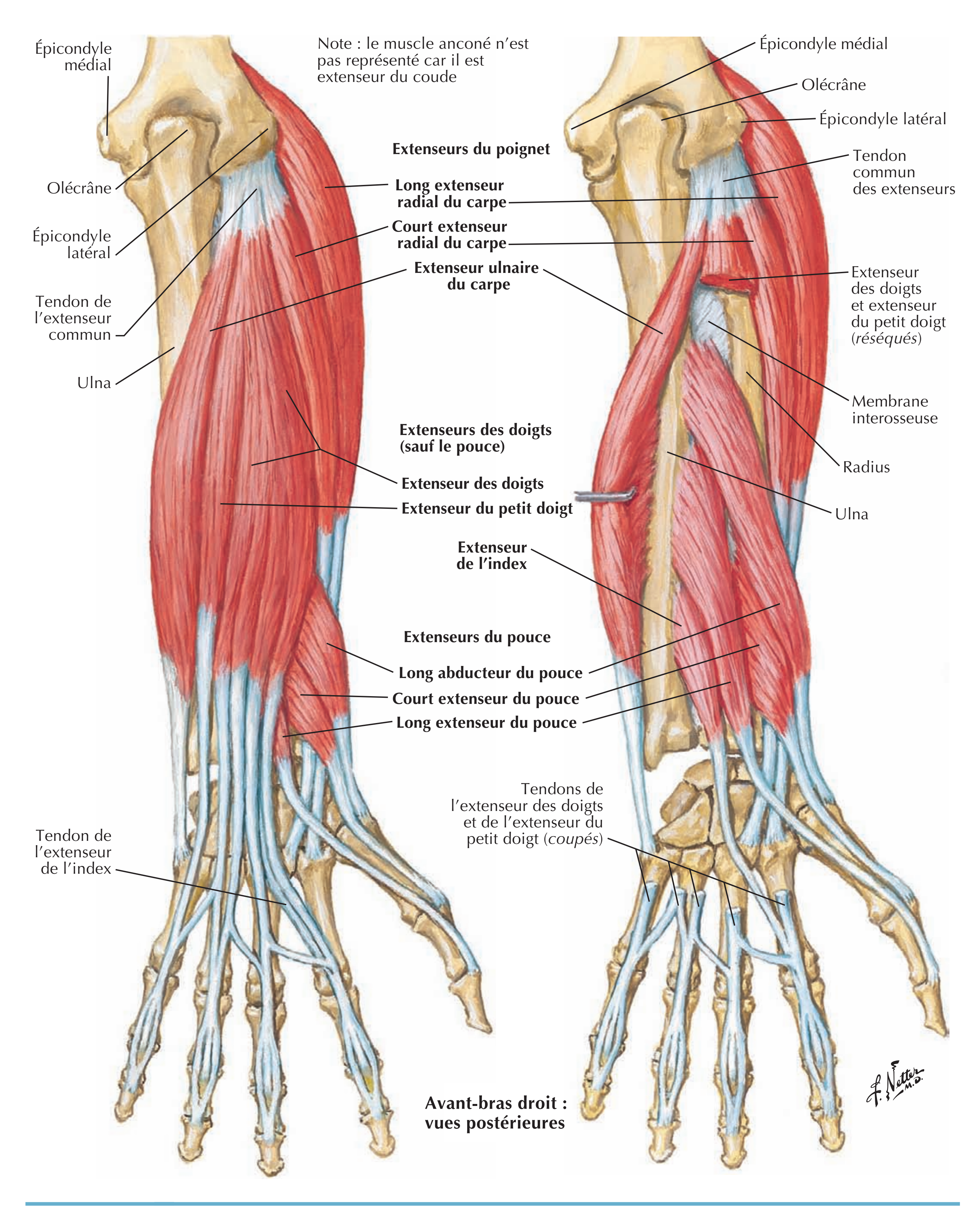
Radius

Ulna

Carré pronateur

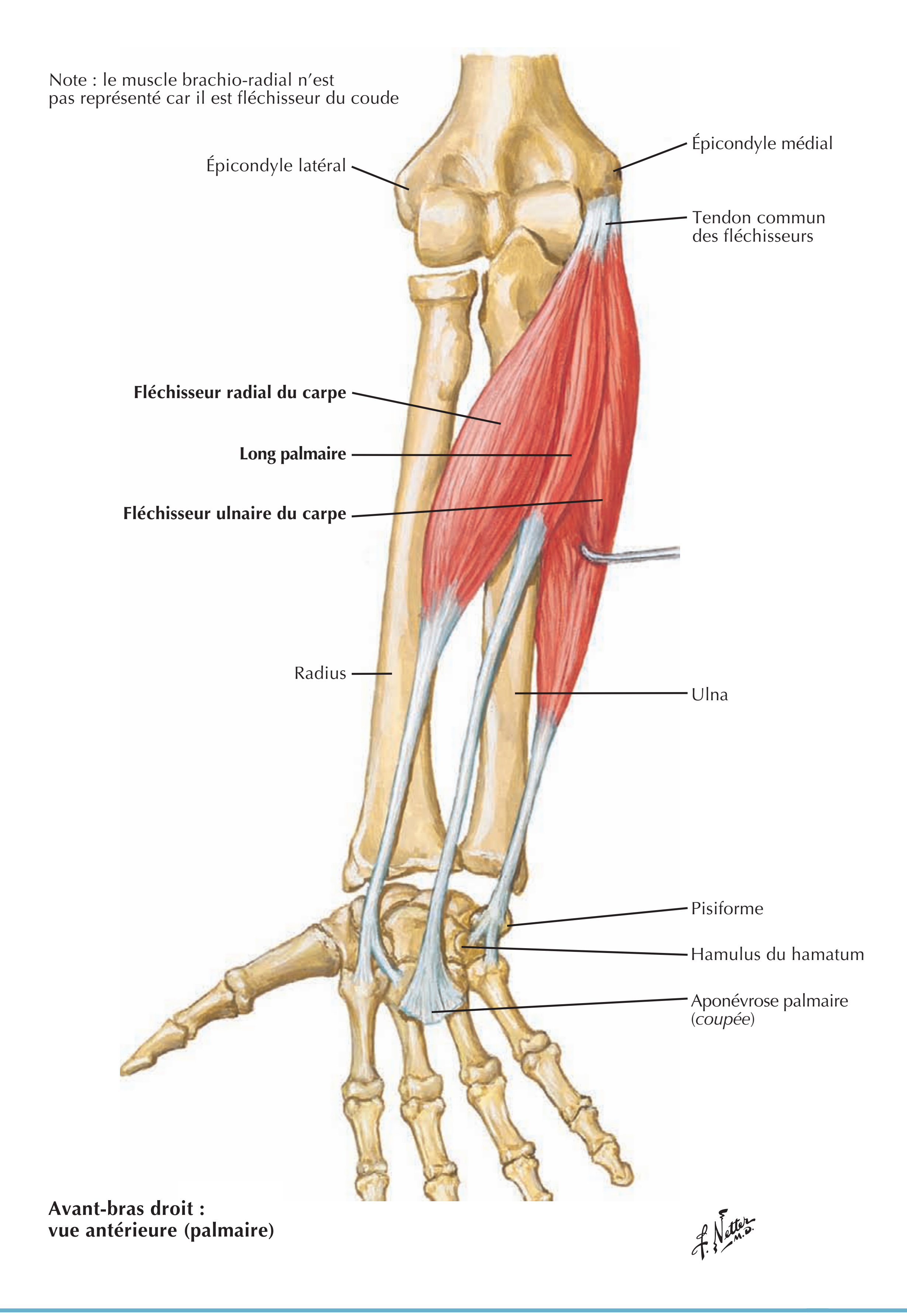
F. Netter M.D.

6 Muscles propres de l'avant-bras : extenseurs du poignet et des doigts



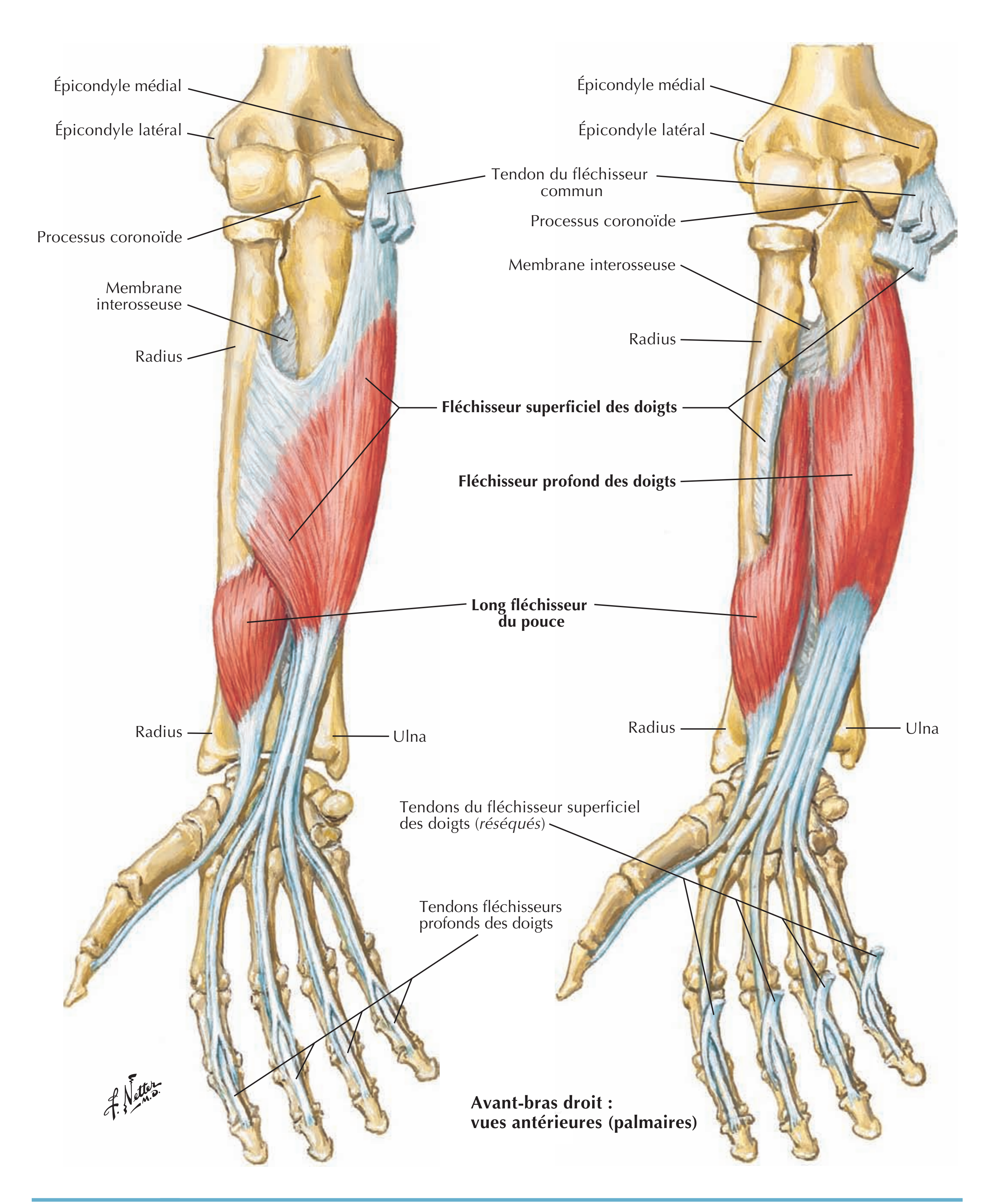
Avant-bras droit : vues postérieures

Muscles propres de l'avant-bras : fléchisseurs du poignet



Avant-bras droit :
vue antérieure (palmaire)

Muscles propres de l'avant-bras : fléchisseurs des doigts



Avant-bras droit : vues antérieures (palmaires)





Muscles de l'avant-bras (couche superficielle) : vue postérieure

Voir aussi **Planches 458, 466**

Artère collatérale ulnaire supérieure (anastomosée distalement avec l'artère récurrente ulnaire postérieure)

Nerf ulnaire

Épicondyle médial de l'humérus

Olécrâne

Muscle anconé

Muscle fléchisseur ulnaire du carpe

Muscle extenseur ulnaire du carpe

Rétinaculum des extenseurs (loges numérotées)

Branche dorsale du nerf ulnaire

Tendon de l'extenseur ulnaire du carpe

Tendon de l'extenseur du petit doigt

Tendons de l'extenseur des doigts

Tendon de l'extenseur de l'index

5e métacarpien

Muscle triceps brachial

Muscle brachio-radial

Muscle long extenseur radial du carpe

Tendon de l'extenseur commun

Muscle court extenseur radial du carpe

Muscle extenseur des doigts

Muscle extenseur du petit doigt

Muscle long abducteur du pouce

Muscle court extenseur du pouce

Tendon du long extenseur du pouce

Tendon du court extenseur radial du carpe

Tendon du long extenseur radial du carpe

Branche superficielle du nerf radial

Tendon du long abducteur du pouce

Tendon du court extenseur du pouce

Tendon du long extenseur du pouce

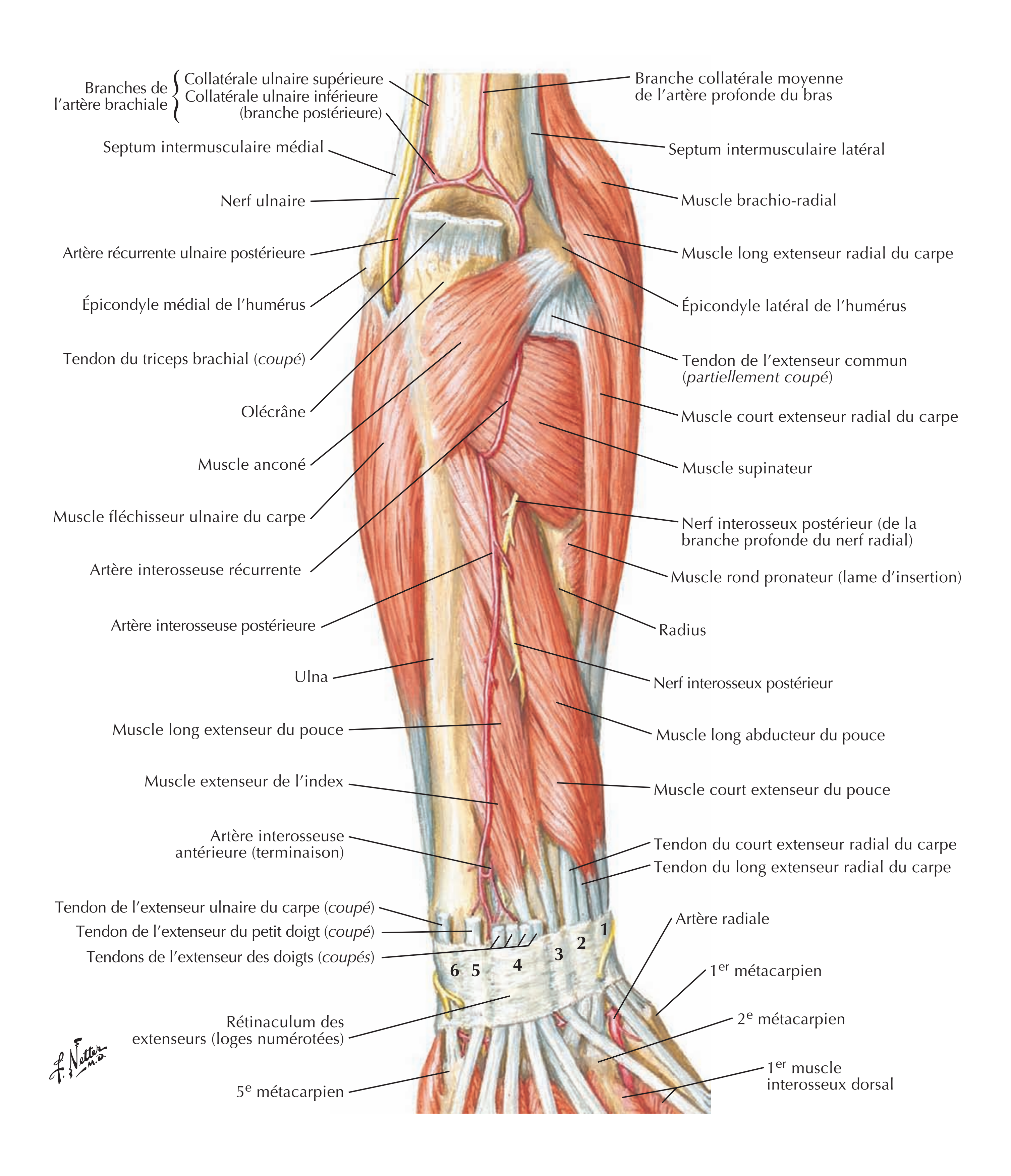
Tabatière anatomique

6 5 4 3 2 1

F. Netter M.D.

Muscles de l'avant-bras (couche profonde) : vue postérieure

Voir aussi **Planches 403, 458**







Muscles de l'avant-bras (couche superficielle) : vue antérieure

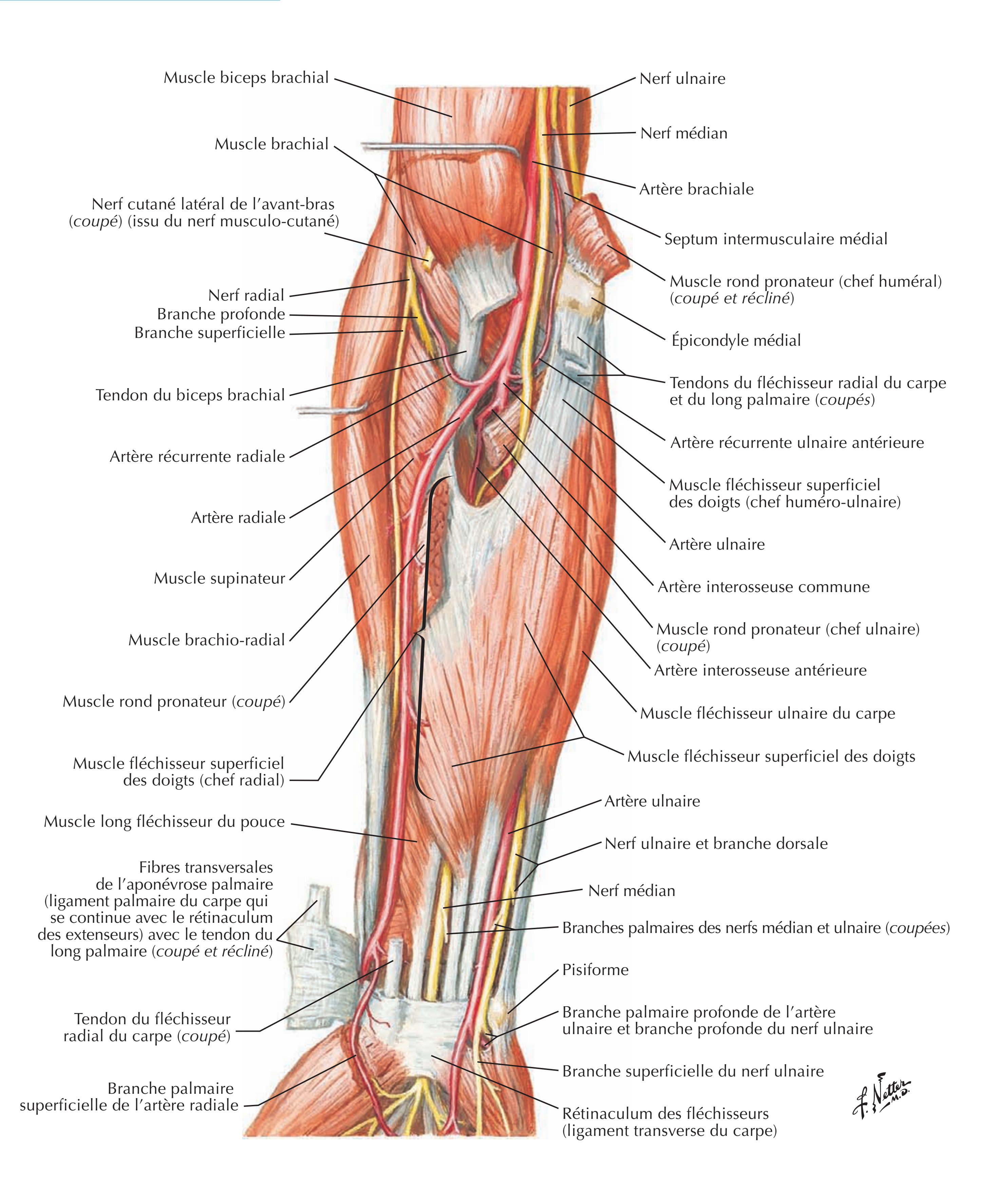
Voir aussi **Planches 463, 464**

Artère brachiale et nerf médian
Nerf ulnaire
Nerf cutané latéral de l'avant-bras (terminaison du nerf musculo-cutané)
Artère ulnaire
Muscle brachial
Épicondyle médial de l'humérus
Tendon du fléchisseur commun
Tendon du biceps brachial
Muscle rond pronateur
Artère radiale
Aponévrose bicipitale (tissu conjonctif dense)
Muscle fléchisseur radial du carpe
Muscle brachio-radial
Muscle long palmaire
Muscle fléchisseur ulnaire du carpe
Muscle fléchisseur superficiel des doigts
Muscles fléchisseurs superficiels
Tendon du long palmaire
Artère radiale
Nerf médian
Artère et nerf ulnaires
Tendons du fléchisseur superficiel des doigts
Fibres transversales de l'aponévrose palmaire (ligament palmaire du carpe qui se continue avec le rétinaculum des extenseurs)
Pisiforme
Branche palmaire du nerf médian
Aponévrose palmaire

F. Netter M.D.

Muscles de l'avant-bras (couche intermédiaire) : vue antérieure

Voir aussi **Planches 463, 464**





Muscles de l'avant-bras (couche profonde) : vue antérieure

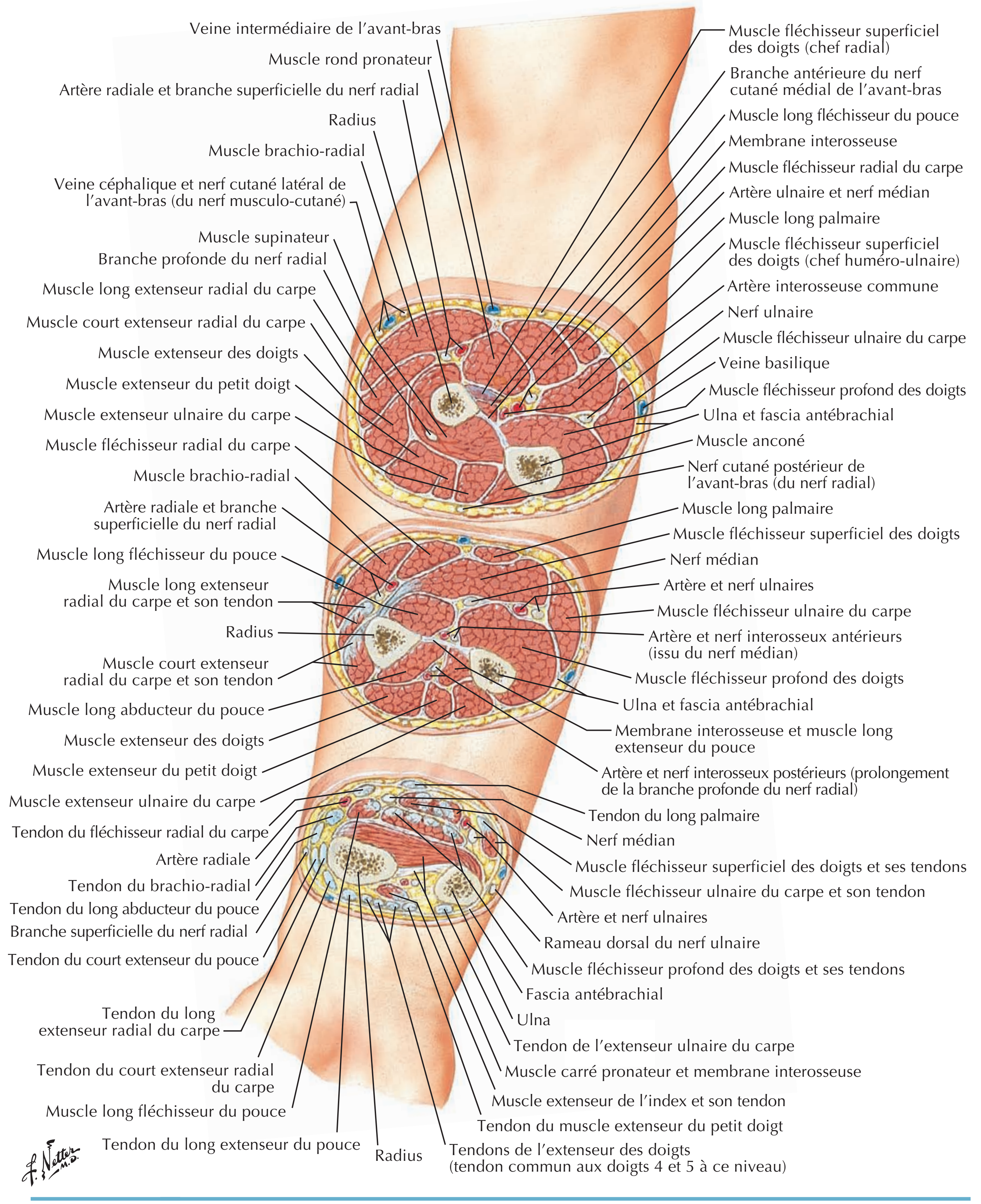
Voir aussi **Planches 463, 464**

Muscle brachial
Nerf musculo-cutané (qui devient)
Nerf cutané latéral de l'avant-bras
Septum intermusculaire latéral
Nerf radial
Épicondyle latéral
Tendon du biceps brachial (*coupé*)
Artère récurrente radiale
Artère radiale
Muscle supinateur
Artères interosseuses postérieure et antérieure
Muscle fléchisseur superficiel des doigts (chef radial) (*coupé*)
Muscle rond pronateur (*coupé et récliné*)
Artère radiale
Muscle long fléchisseur du pouce et son tendon (*coupé*)
Radius
Muscle carré pronateur
Tendon du brachio-radial (*coupé*)
Artère radiale et rameau palmaire superficiel
Tendon du long fléchisseur du pouce (*coupé*)
Tendon du fléchisseur radial du carpe (*coupé*)
Tendon du long abducteur du pouce
Tendon du court extenseur du pouce
1er métacarpien

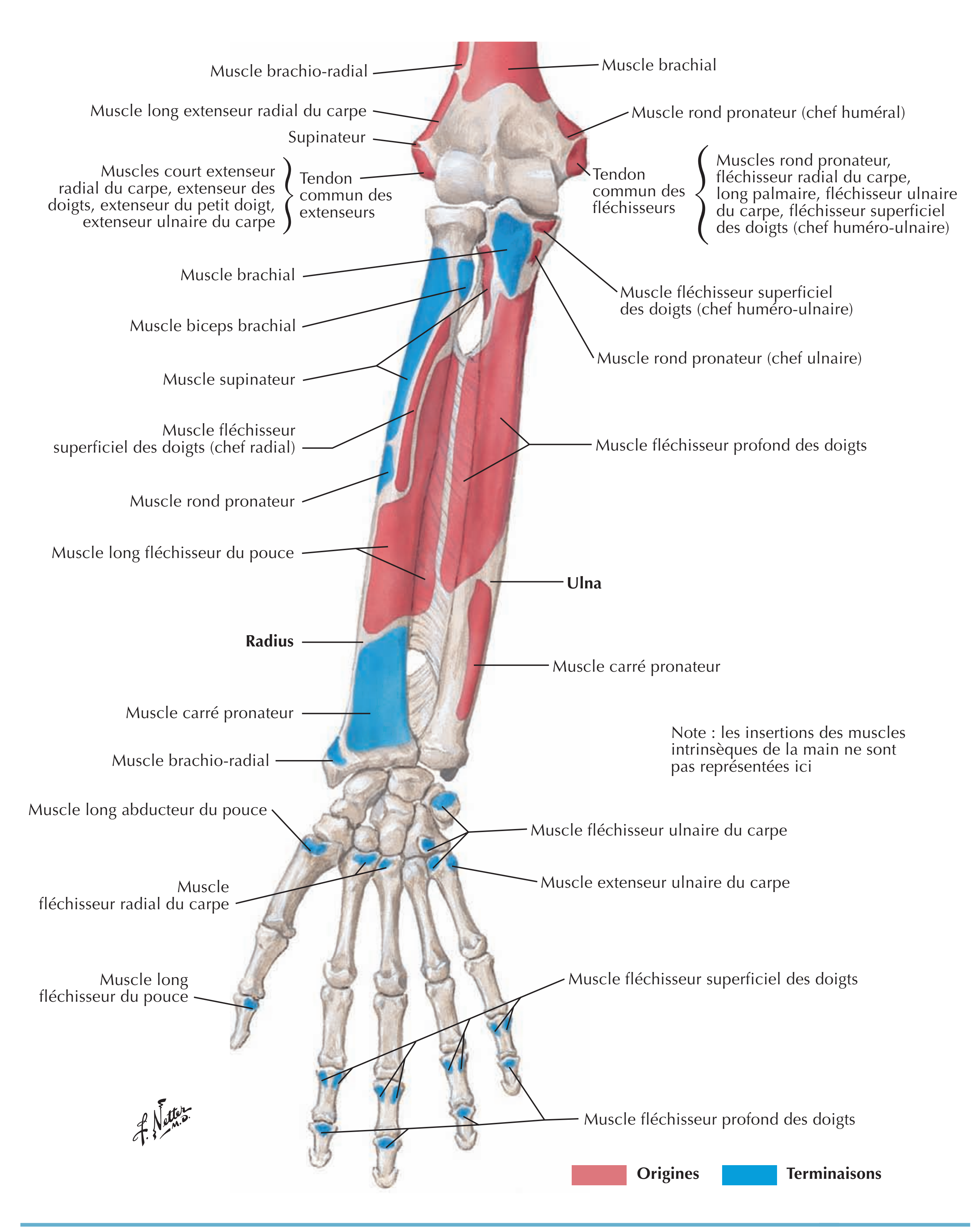
Nerf ulnaire
Nerf médian
Artère brachiale
Septum intermusculaire médial
Muscle rond pronateur (*chef huméral coupé et récliné*)
Artère récurrente ulnaire antérieure
Épicondyle médial de l'humérus
Muscles fléchisseur radial du carpe, long palmaire, fléchisseur superficiel des doigts (chef huméro-ulnaire) et fléchisseur ulnaire du carpe (*coupés*)
Artère récurrente ulnaire postérieure
Artère ulnaire
Artère interosseuse commune
Muscle rond pronateur (chef ulnaire) (*coupé*)
Nerf médian (*coupé*)
Muscle fléchisseur profond des doigts
Artère et nerf interosseux antérieurs
Nerf ulnaire et branche dorsale
Branches carpiennes palmaires des artères radiale et ulnaire
Tendon du fléchisseur ulnaire du carpe
Os pisiforme
Branche palmaire profonde de l'artère ulnaire et branche profonde du nerf ulnaire
Hamulus du hamatum
5e métacarpien

F. Netter M.D.

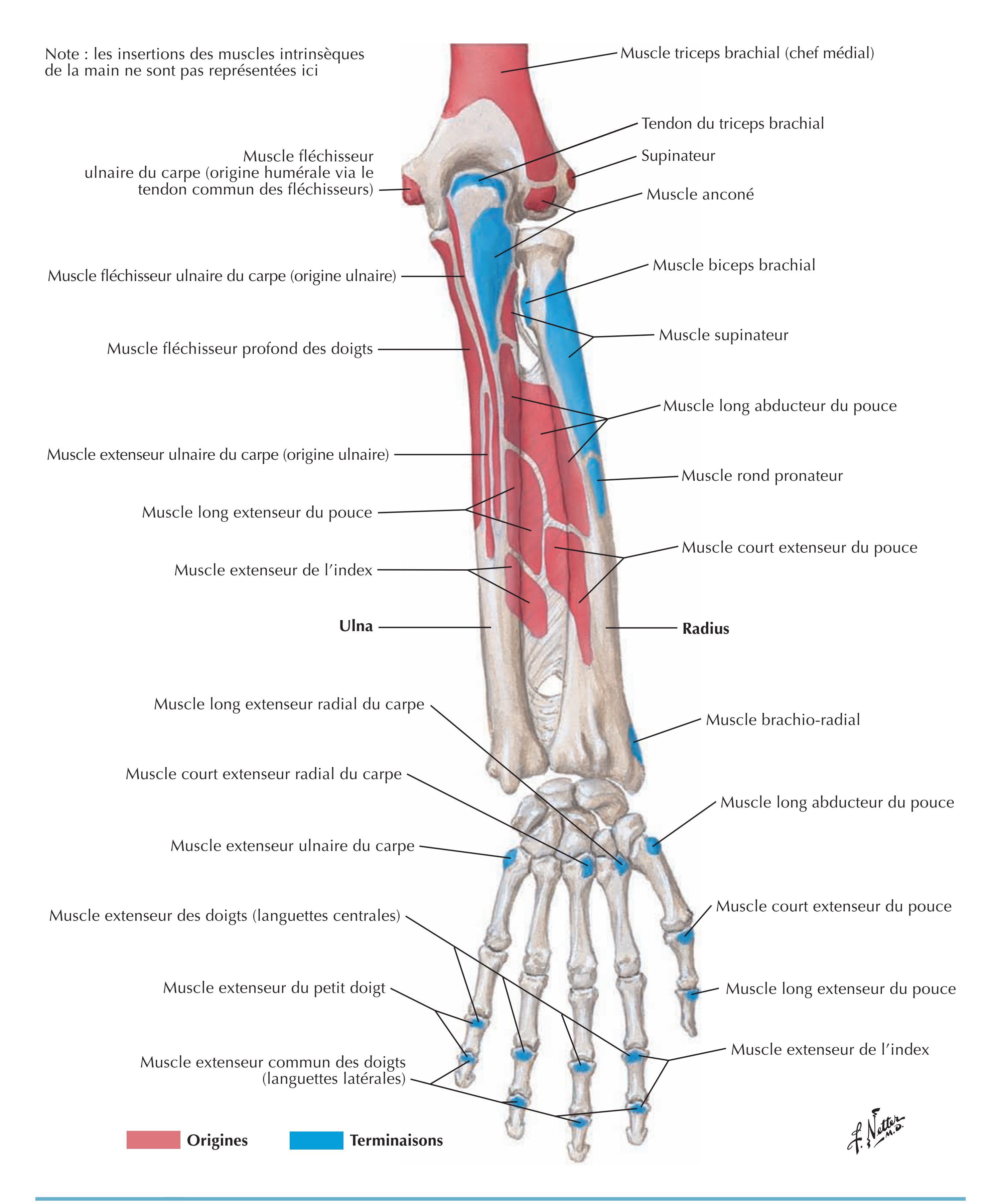
Avant-bras : coupes transversales sériées



Insertions des muscles de l'avant-bras : vue antérieure



Insertions des muscles de l'avant-bras : vue postérieure





Os du carpe

Os métacarpiens

4 3 2 5 1

Vue antérieure (palmaire)

Capitatum

Hamulus du hamatum

Hamatum

Pisiforme

Triquétrum

Lunatum

Processus styloïde de l'ulna

Ulna

Trapézoïde

Tubercule du trapèze

Trapèze

Tubercule du scaphoïde

Scaphoïde

Processus styloïde du radius

Radius

Os métacarpiens

2 3 4 1 5

Vue postérieure (dorsale)

Capitatum

Hamatum

Triquétrum

Lunatum

Processus styloïde de l'ulna

Ulna

Trapézoïde

Trapèze

Processus styloïde du radius

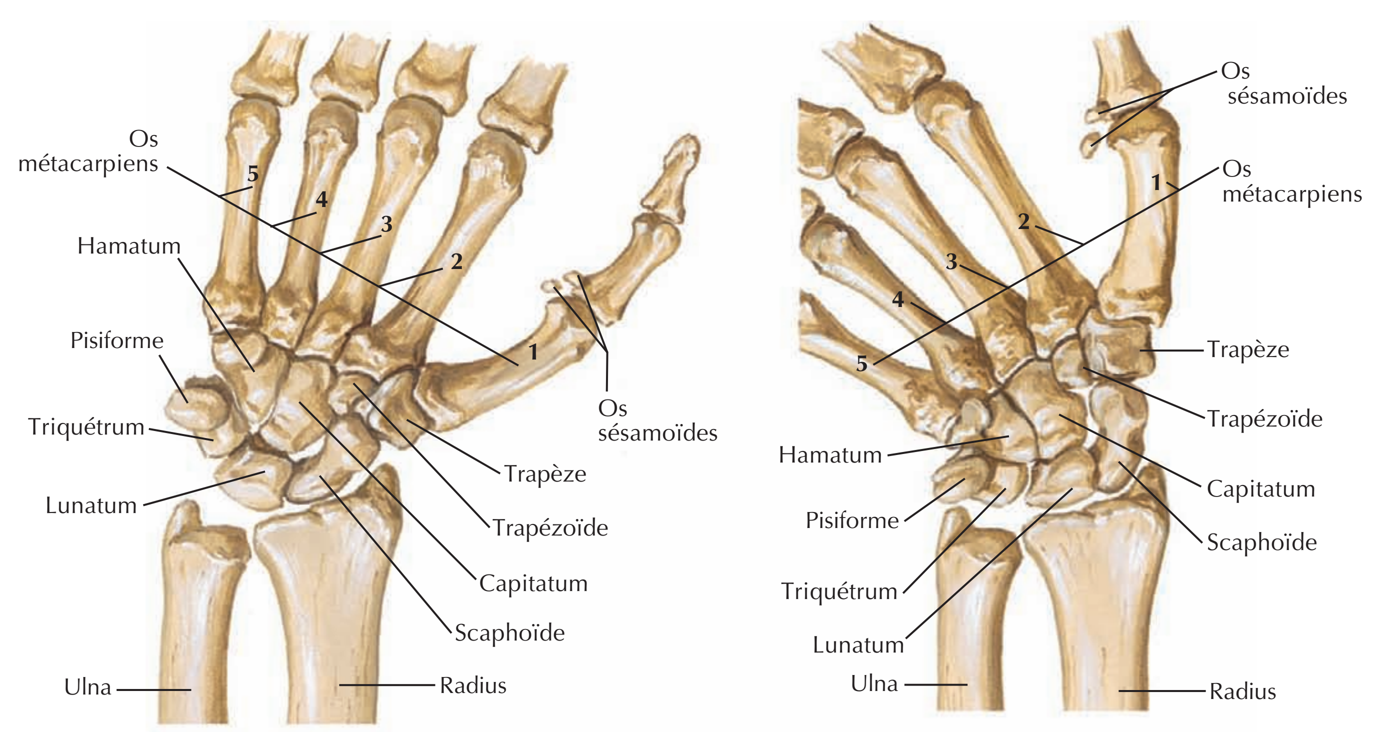
Scaphoïde

Tubercule dorsal du radius (de Lister)

Radius

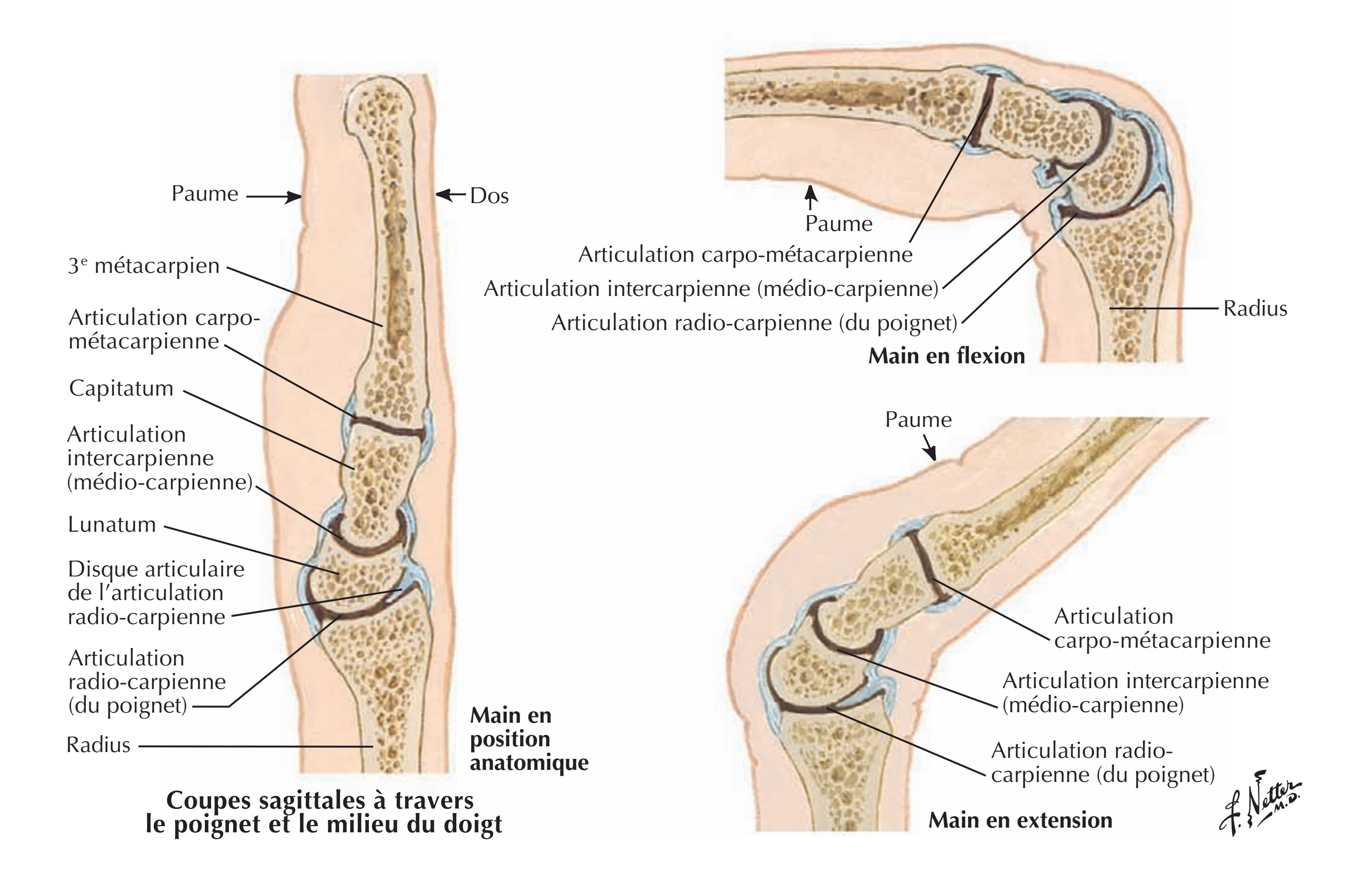
F. Netter M.D.

Mouvements du poignet



Position des os du carpe avec la main en abduction : vue antérieure (palmaire)

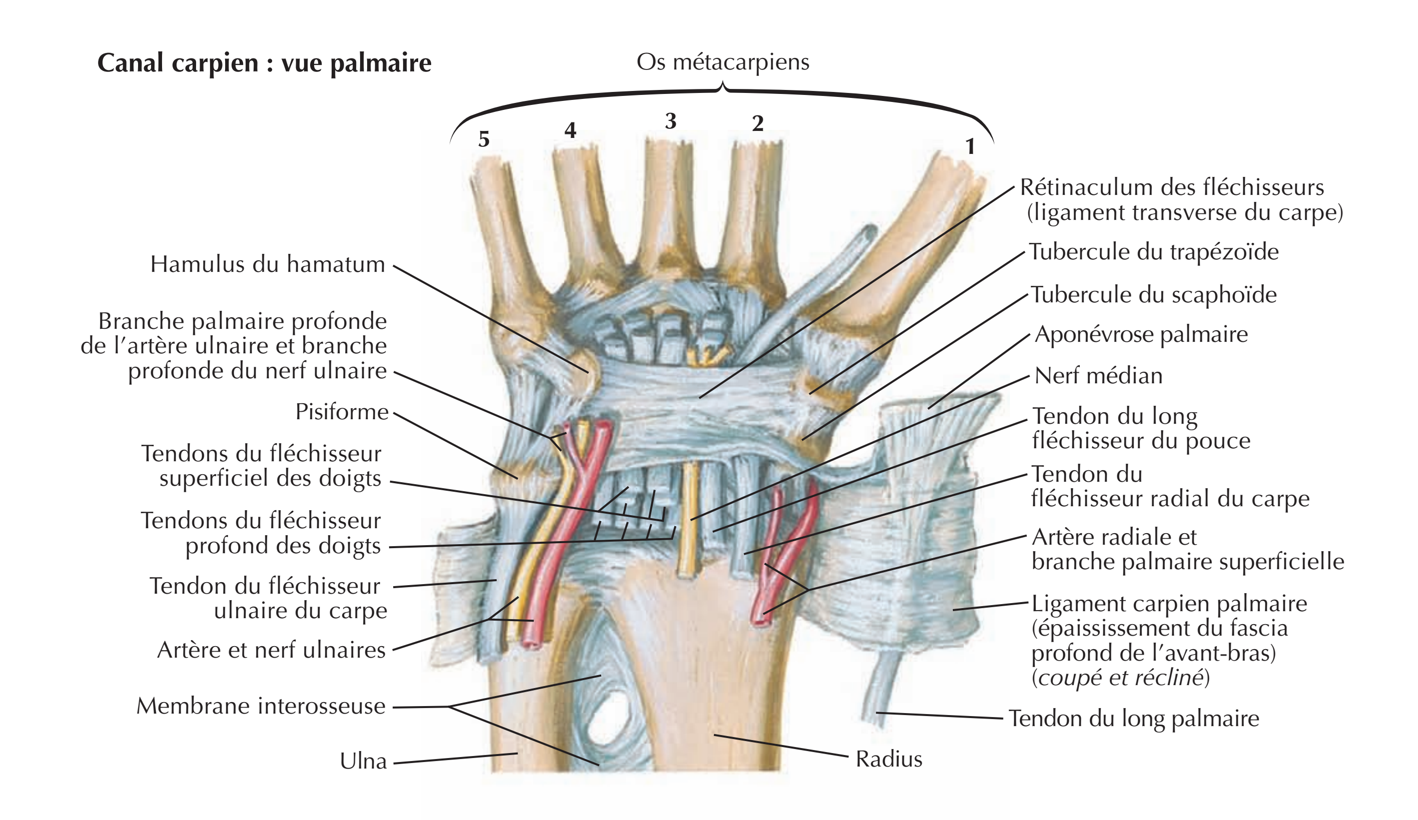
Position des os du carpe avec la main en adduction : vue antérieure (palmaire)



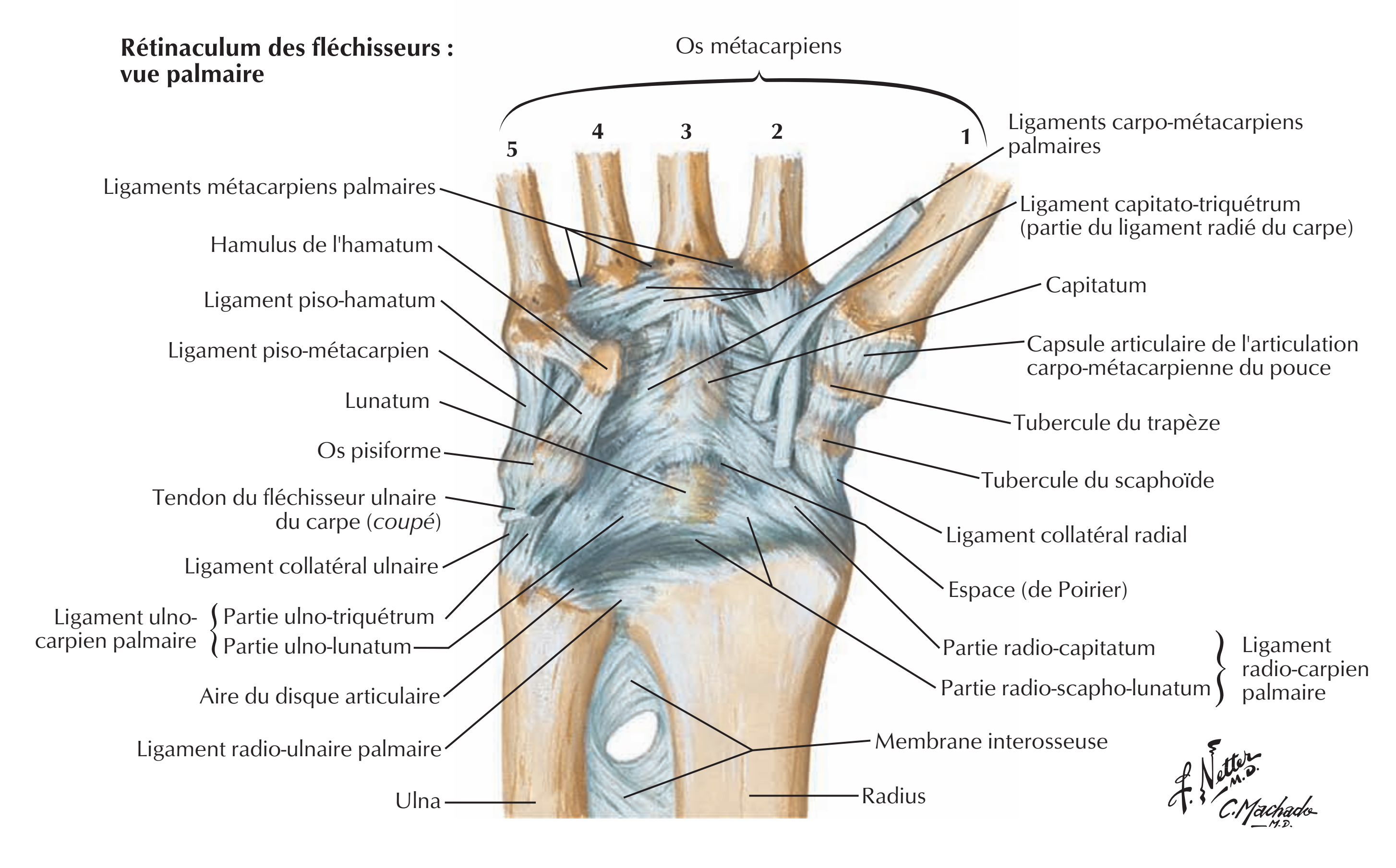
Coupes sagittales à travers le poignet et le milieu du doigt



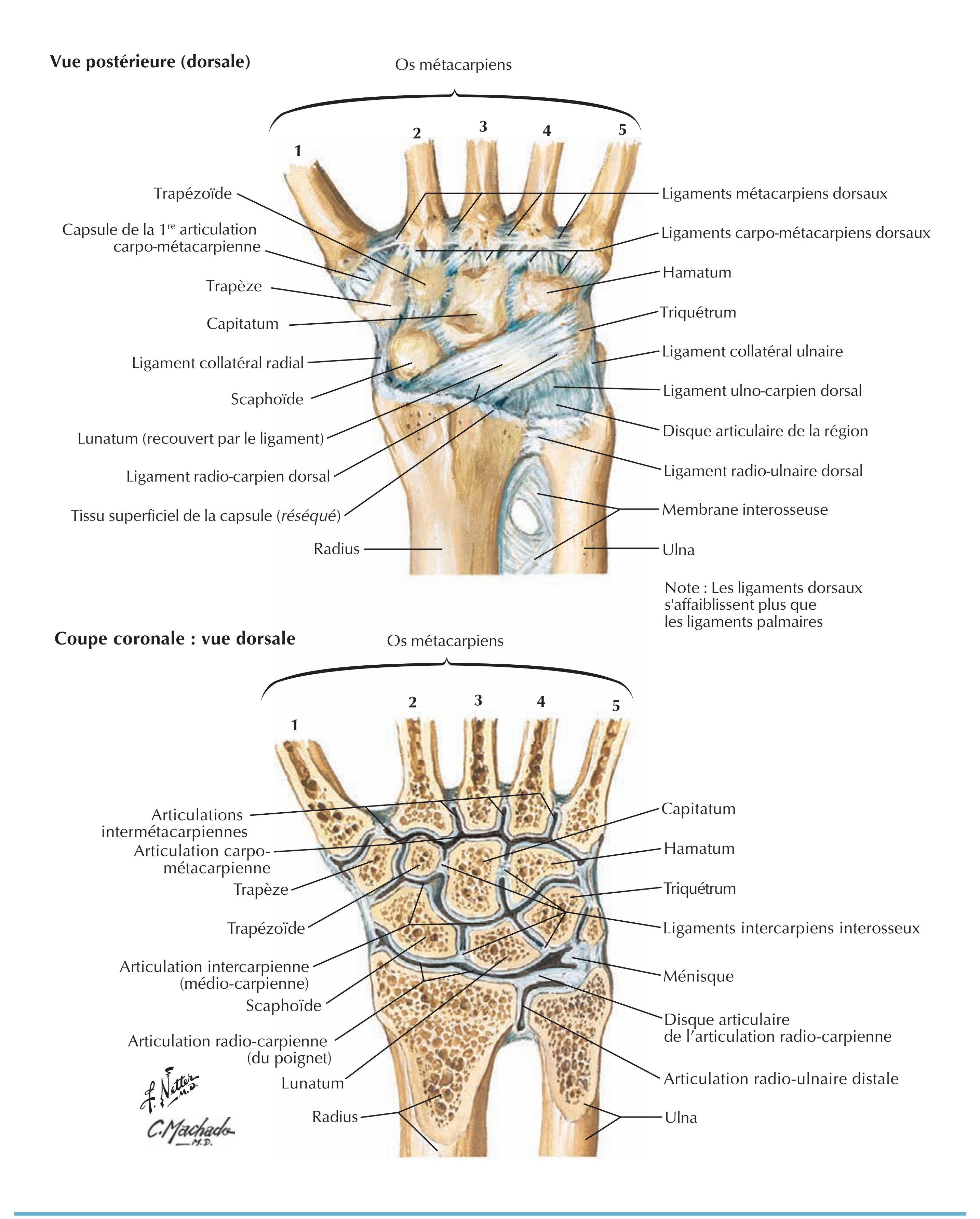
Canal carpien : vue palmaire

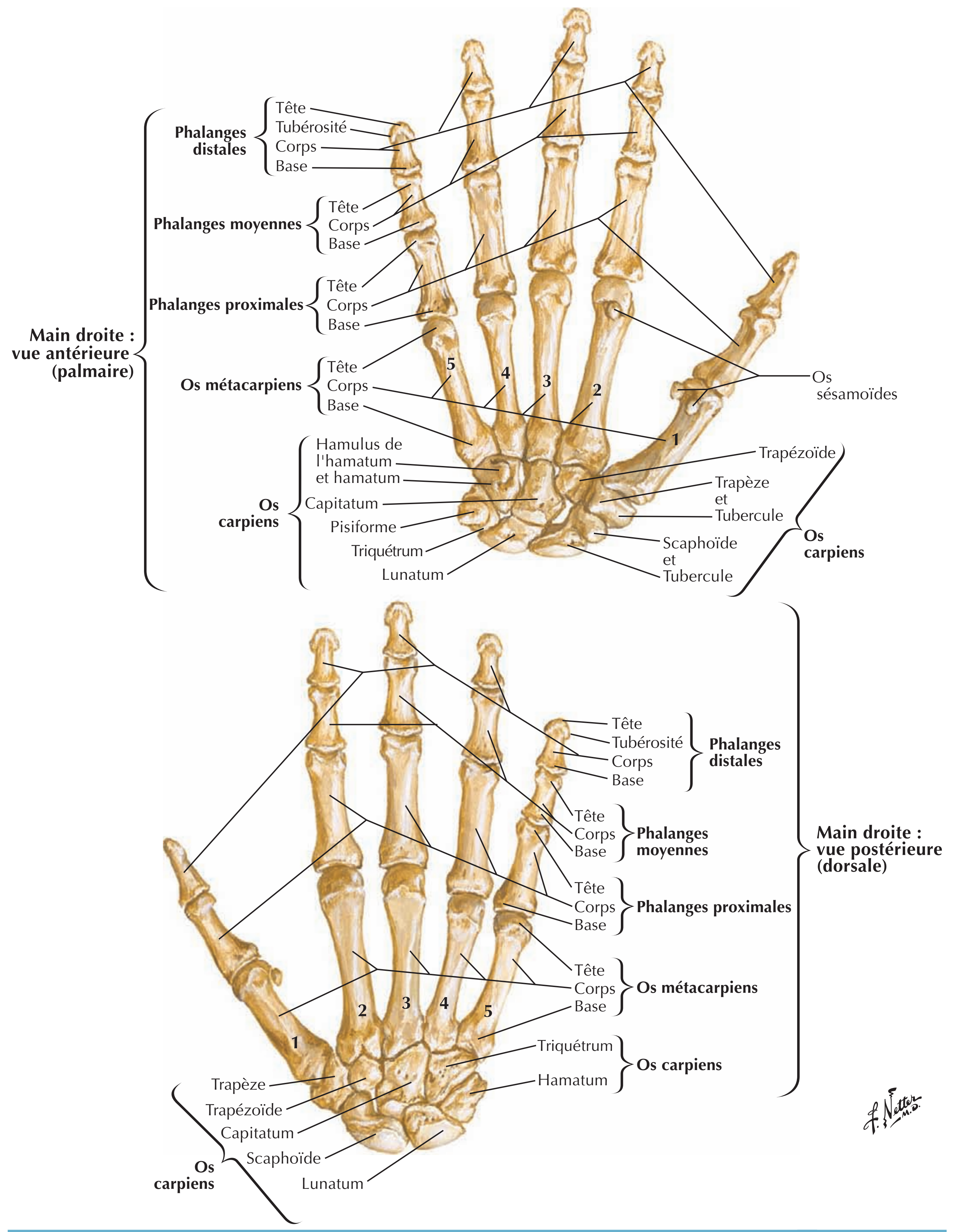


Rétinaculum des fléchisseurs : vue palmaire



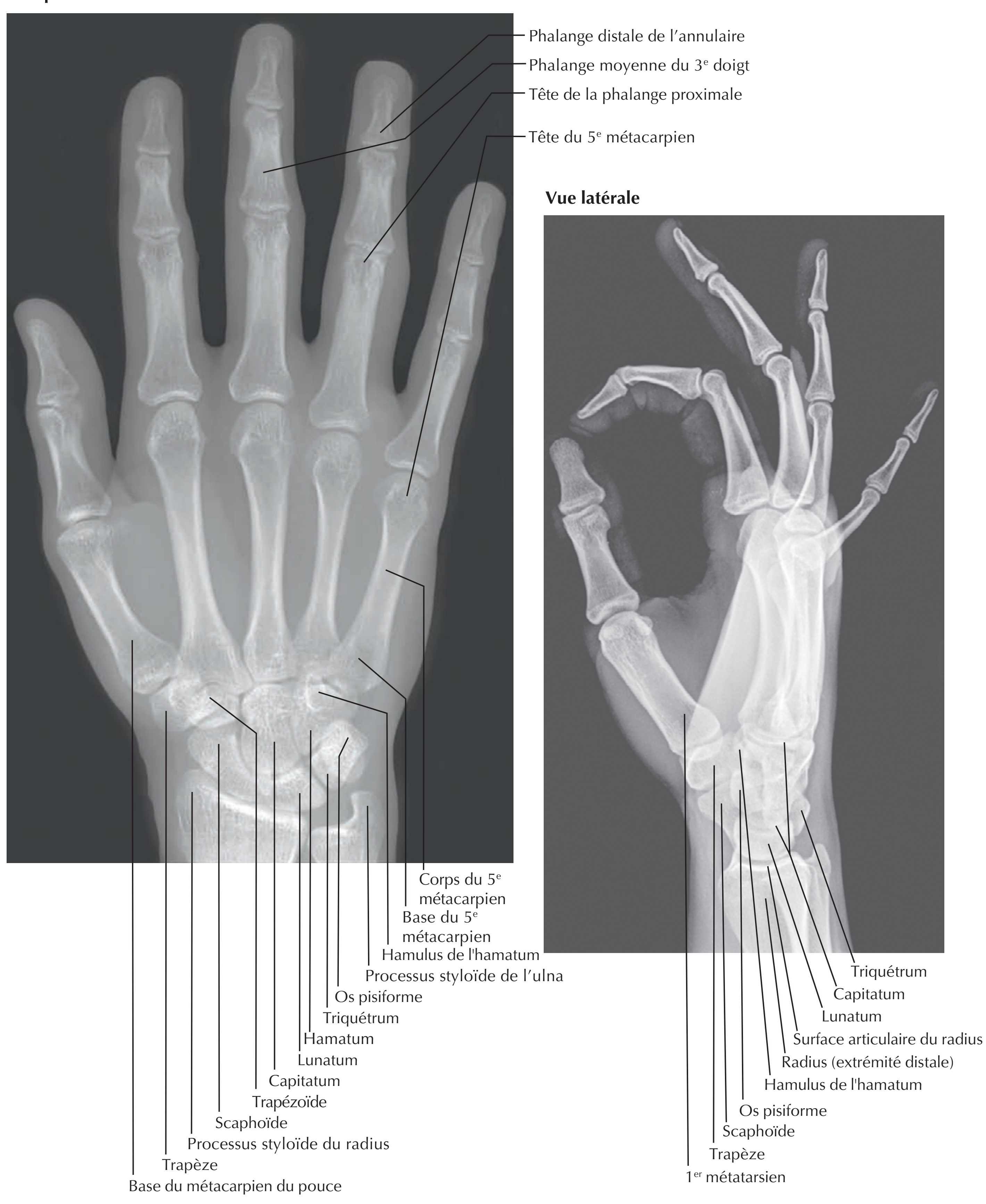
Ligaments du poignet (suite)



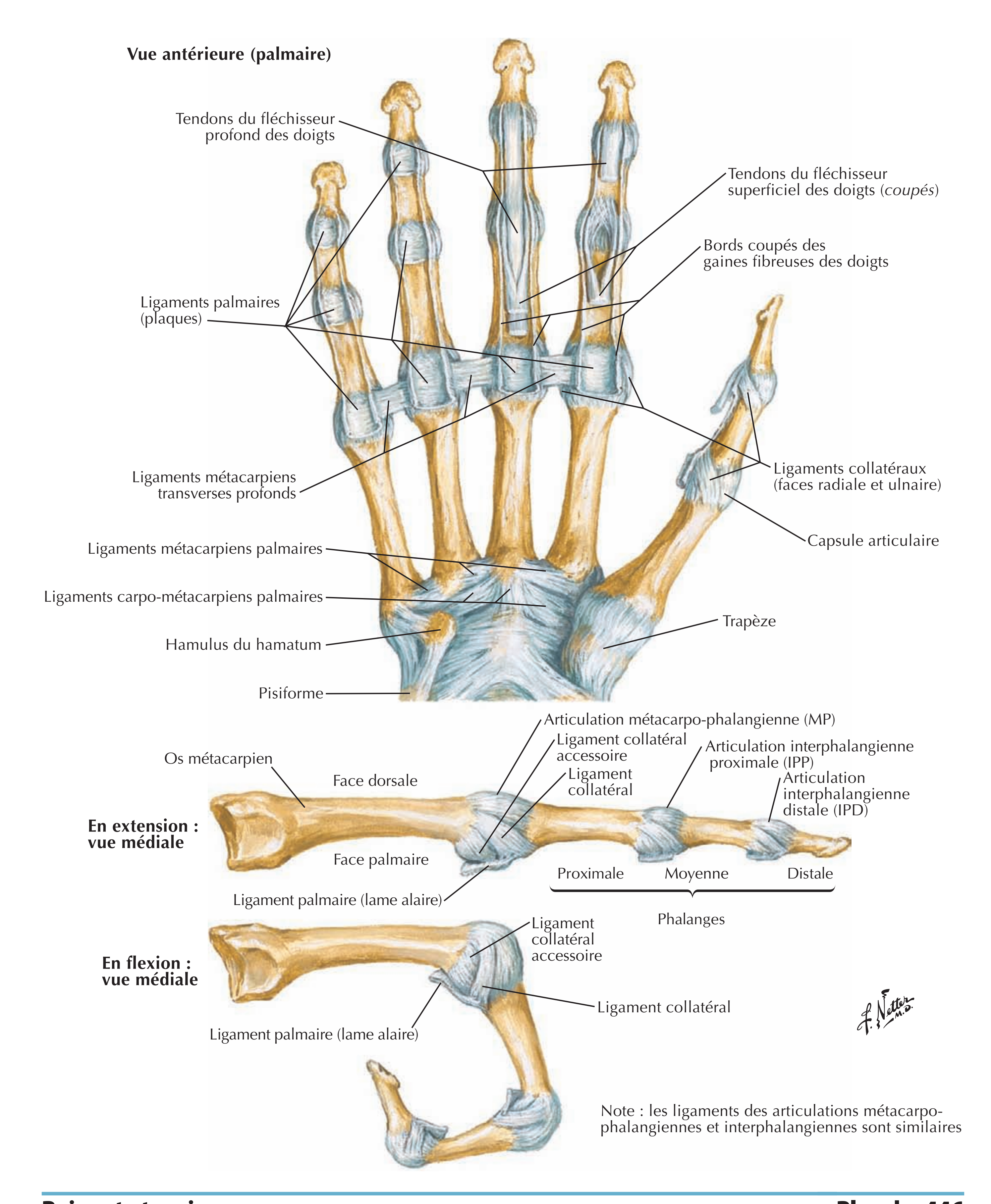

Main droite : vue antérieure (palmaire)
Phalanges distales
Tête
Tubérosité
Corps
Base
Phalanges moyennes
Tête
Corps
Base
Phalanges proximales
Tête
Corps
Base
Os métacarpiens
Tête
Corps
Base
5
4
3
2
1
Os sésamoïdes
Os carpiens
Hamulus de l'hamatum et hamatum
Capitatum
Pisiforme
Triquétrum
Lunatum
Trapézoïde
Trapèze et Tubercule
Scaphoïde et Tubercule
Os carpiens
Main droite : vue postérieure (dorsale)
Tête
Tubérosité
Corps
Base
Phalanges distales
Tête
Corps
Base
Phalanges moyennes
Tête
Corps
Base
Phalanges proximales
Tête
Corps
Base
Os métacarpiens
Triquétrum
Hamatum
Os carpiens
1
2
3
4
5
Trapèze
Trapézoïde
Capitatum
Scaphoïde
Lunatum
Os carpiens
F. Netter M.D.

6 Poignet et main : radiographies

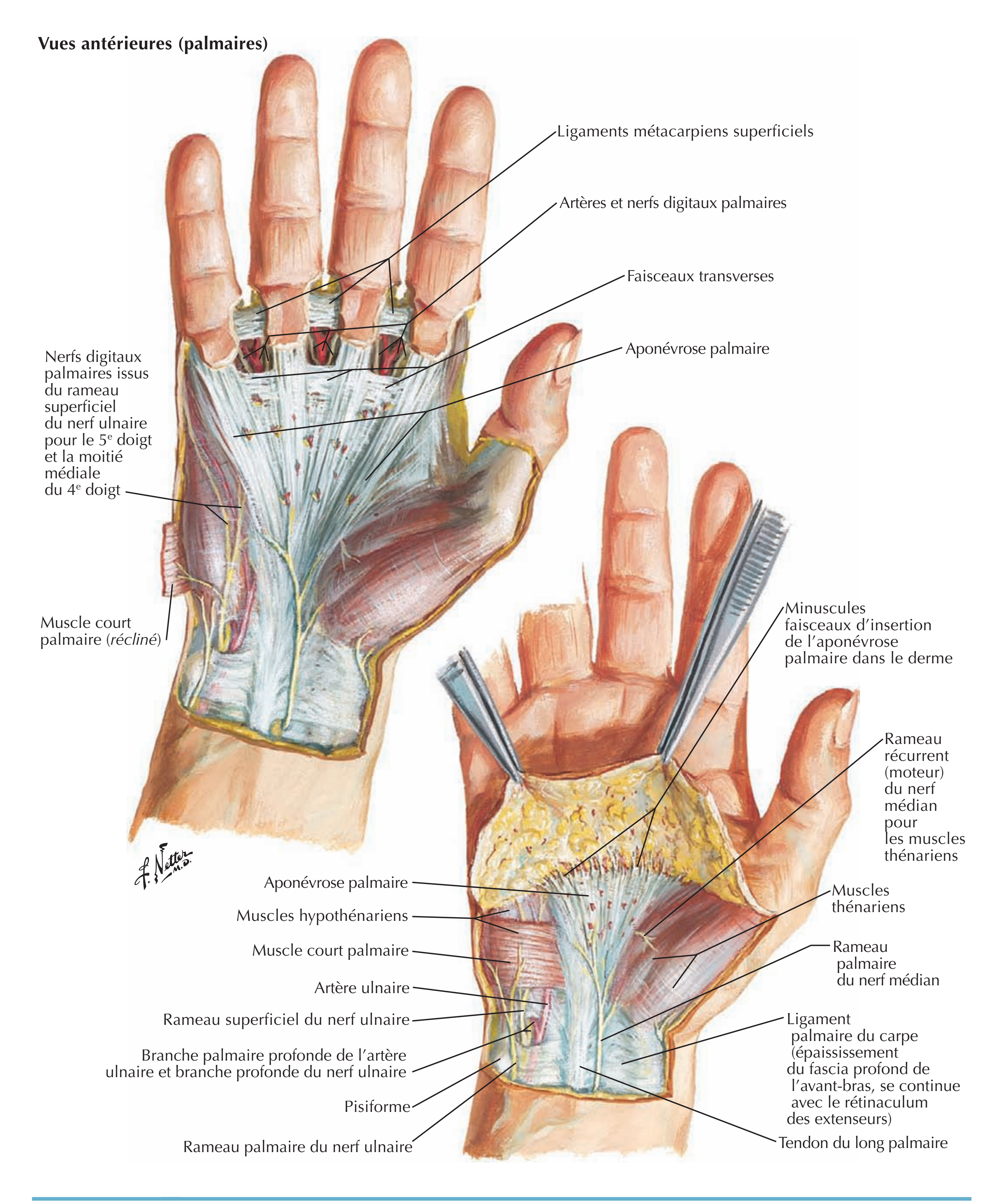
Voir aussi **Planche 444**

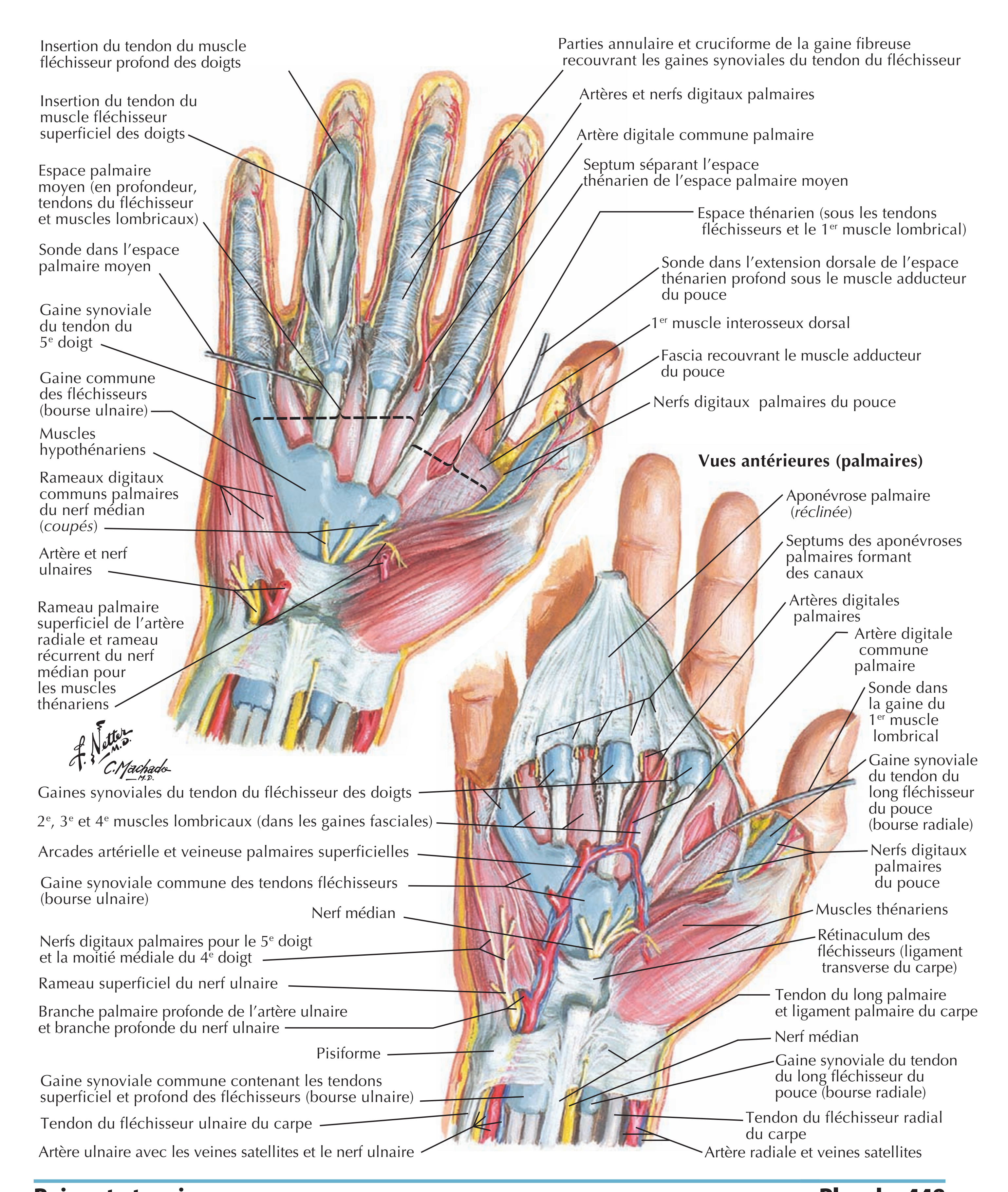


Ligaments métacarpo-phalangiens et interphalangiens

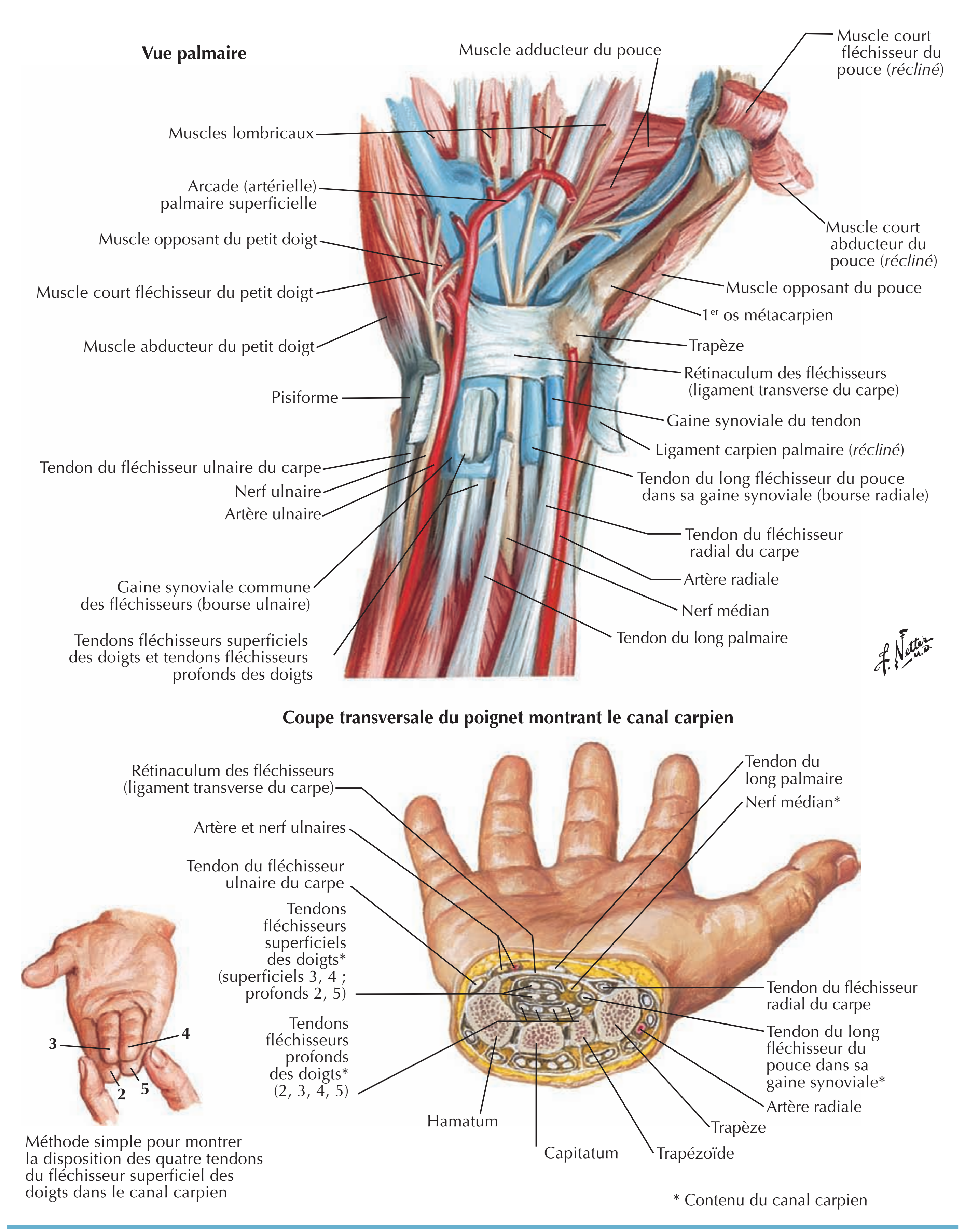


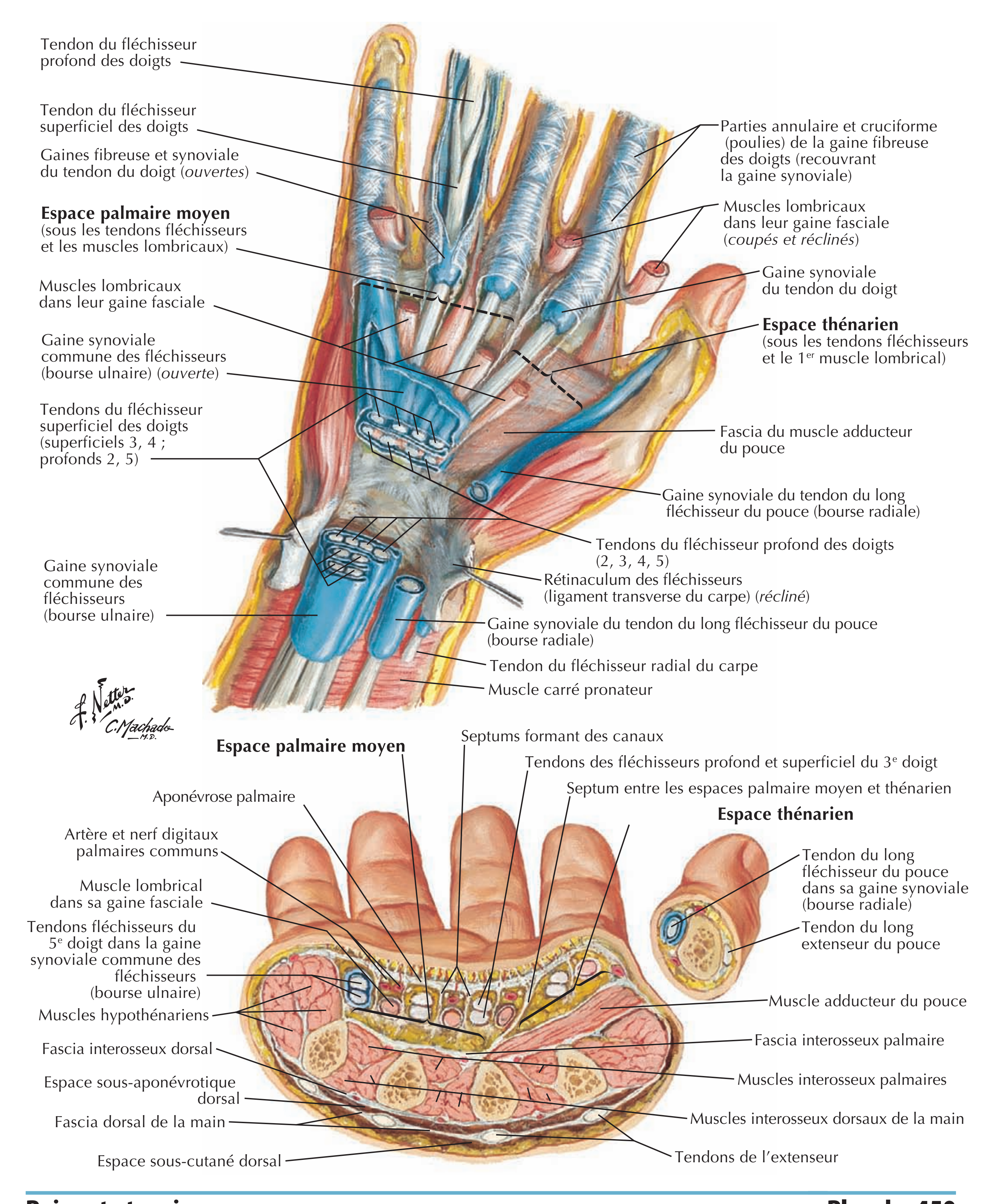
Poignet et main : dissections palmaires superficielles




Insertion du tendon du muscle fléchisseur profond des doigts
Insertion du tendon du muscle fléchisseur superficiel des doigts
Espace palmaire moyen (en profondeur, tendons du fléchisseur et muscles lombricaux)
Sonde dans l'espace palmaire moyen
Gaine synoviale du tendon du 5e doigt
Gaine commune des fléchisseurs (bourse ulnaire)
Muscles hypothénariens
Rameaux digitaux communs palmaires du nerf médian (coupés)
Artère et nerf ulnaires
Rameau palmaire superficiel de l'artère radiale et rameau récurrent du nerf médian pour les muscles thénariens
Parties annulaire et cruciforme de la gaine fibreuse recouvrant les gaines synoviales du tendon du fléchisseur
Artères et nerfs digitaux palmaires
Artère digitale commune palmaire
Septum séparant l'espace thénarien de l'espace palmaire moyen
Espace thénarien (sous les tendons fléchisseurs et le 1er muscle lombrical)
Sonde dans l'extension dorsale de l'espace thénarien profond sous le muscle adducteur du pouce
1er muscle interosseux dorsal
Fascia recouvrant le muscle adducteur du pouce
Nerfs digitaux palmaires du pouce
Vues antérieures (palmaires)
Aponévrose palmaire (réclinée)
Septums des aponévroses palmaires formant des canaux
Artères digitales palmaires
Artère digitale commune palmaire
Sonde dans la gaine du 1er muscle lombrical
Gaine synoviale du tendon du long fléchisseur du pouce (bourse radiale)
Nerfs digitaux palmaires du pouce
Muscles thénariens
Rétinaculum des fléchisseurs (ligament transverse du carpe)
Tendon du long palmaire et ligament palmaire du carpe
Nerf médian
Gaine synoviale du tendon du long fléchisseur du pouce (bourse radiale)
Tendon du fléchisseur radial du carpe
Artère radiale et veines satellites
Gaines synoviales du tendon du fléchisseur des doigts
2e, 3e et 4e muscles lombricaux (dans les gaines fasciales)
Arcades artérielle et veineuse palmaires superficielles
Gaine synoviale commune des tendons fléchisseurs (bourse ulnaire)
Nerf médian
Nerfs digitaux palmaires pour le 5e doigt et la moitié médiale du 4e doigt
Rameau superficiel du nerf ulnaire
Branche palmaire profonde de l'artère ulnaire et branche profonde du nerf ulnaire
Pisiforme
Gaine synoviale commune contenant les tendons superficiel et profond des fléchisseurs (bourse ulnaire)
Tendon du fléchisseur ulnaire du carpe
Artère ulnaire avec les veines satellites et le nerf ulnaire
F. Netter M.D.
C. Machado M.D.

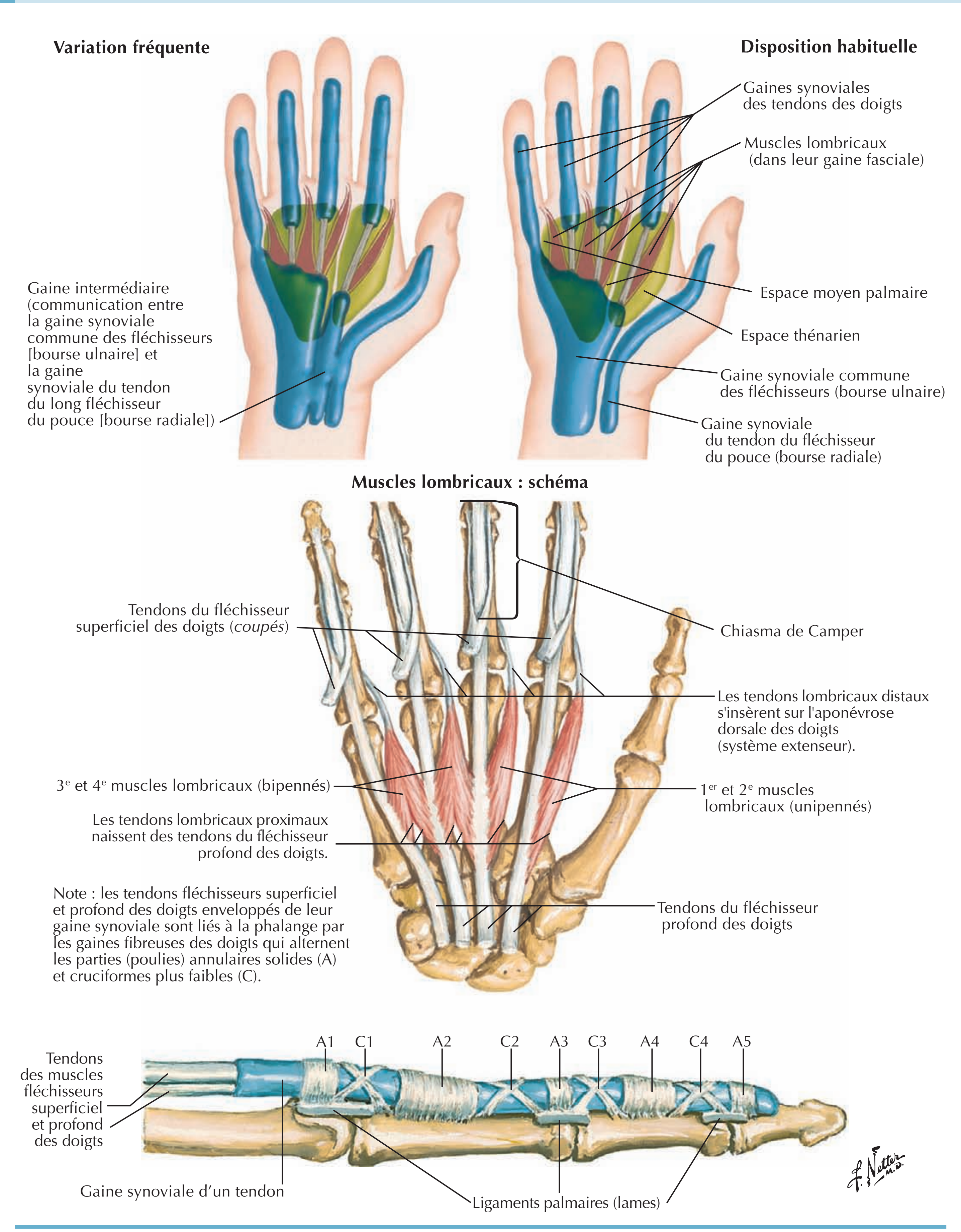
Tendons fléchisseurs, artères et nerfs du poignet

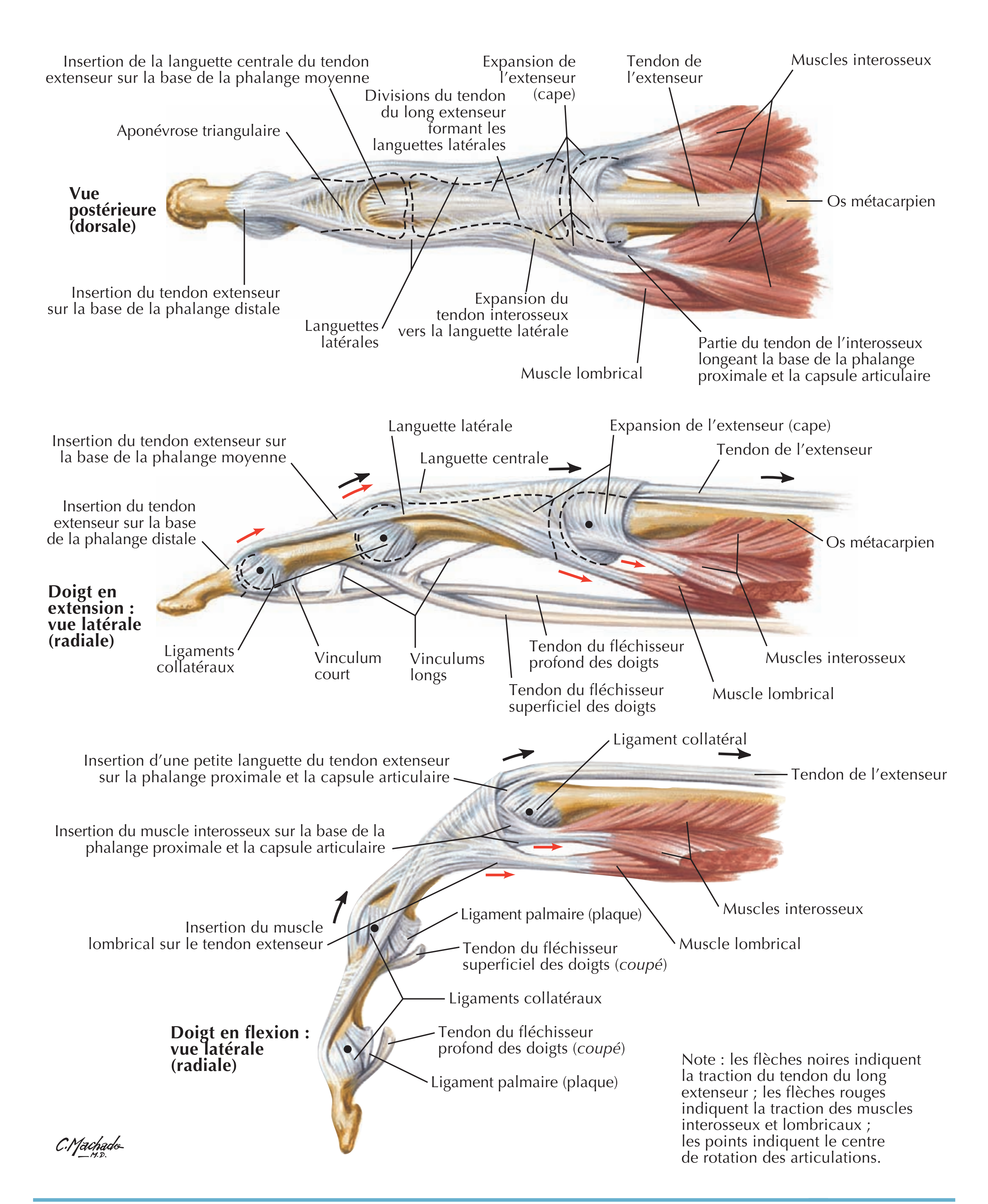




Tendon du fléchisseur profond des doigts
Tendon du fléchisseur superficiel des doigts
Gaines fibreuse et synoviale du tendon du doigt (*ouvertes*)
Espace palmaire moyen (sous les tendons fléchisseurs et les muscles lombricaux)
Muscles lombricaux dans leur gaine fasciale
Gaine synoviale commune des fléchisseurs (bourse ulnaire) (*ouverte*)
Tendons du fléchisseur superficiel des doigts (superficiels 3, 4 ; profonds 2, 5)
Gaine synoviale commune des fléchisseurs (bourse ulnaire)
Parties annulaire et cruciforme (poulies) de la gaine fibreuse des doigts (recouvrant la gaine synoviale)
Muscles lombricaux dans leur gaine fasciale (*coupés et réclinés*)
Gaine synoviale du tendon du doigt
Espace thénarien (sous les tendons fléchisseurs et le 1er muscle lombrical)
Fascia du muscle adducteur du pouce
Gaine synoviale du tendon du long fléchisseur du pouce (bourse radiale)
Tendons du fléchisseur profond des doigts (2, 3, 4, 5)
Rétinaculum des fléchisseurs (ligament transverse du carpe) (*récliné*)
Gaine synoviale du tendon du long fléchisseur du pouce (bourse radiale)
Tendon du fléchisseur radial du carpe
Muscle carré pronateur
F. Netter M.D.
C. Machado M.D.
Espace palmaire moyen
Aponévrose palmaire
Artère et nerf digitaux palmaires communs
Muscle lombrical dans sa gaine fasciale
Tendons fléchisseurs du 5e doigt dans la gaine synoviale commune des fléchisseurs (bourse ulnaire)
Muscles hypothénariens
Fascia interosseux dorsal
Espace sous-aponévrotique dorsal
Fascia dorsal de la main
Espace sous-cutané dorsal
Septums formant des canaux
Tendons des fléchisseurs profond et superficiel du 3e doigt
Septum entre les espaces palmaire moyen et thénarien
Espace thénarien
Tendon du long fléchisseur du pouce dans sa gaine synoviale (bourse radiale)
Tendon du long extenseur du pouce
Muscle adducteur du pouce
Fascia interosseux palmaire
Muscles interosseux palmaires
Muscles interosseux dorsaux de la main
Tendons de l'extenseur

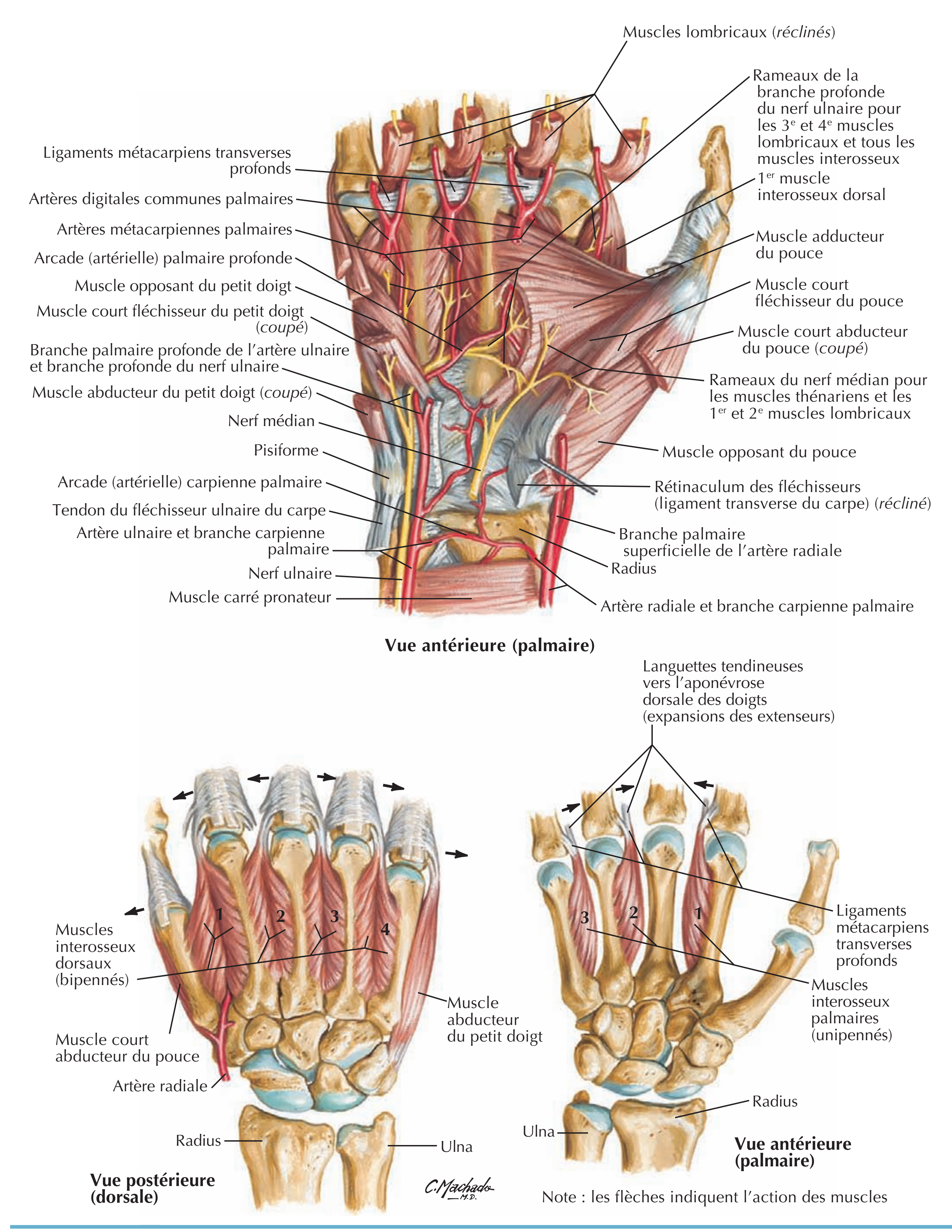
Muscles lombricaux, bourses, gaines et espaces : schéma

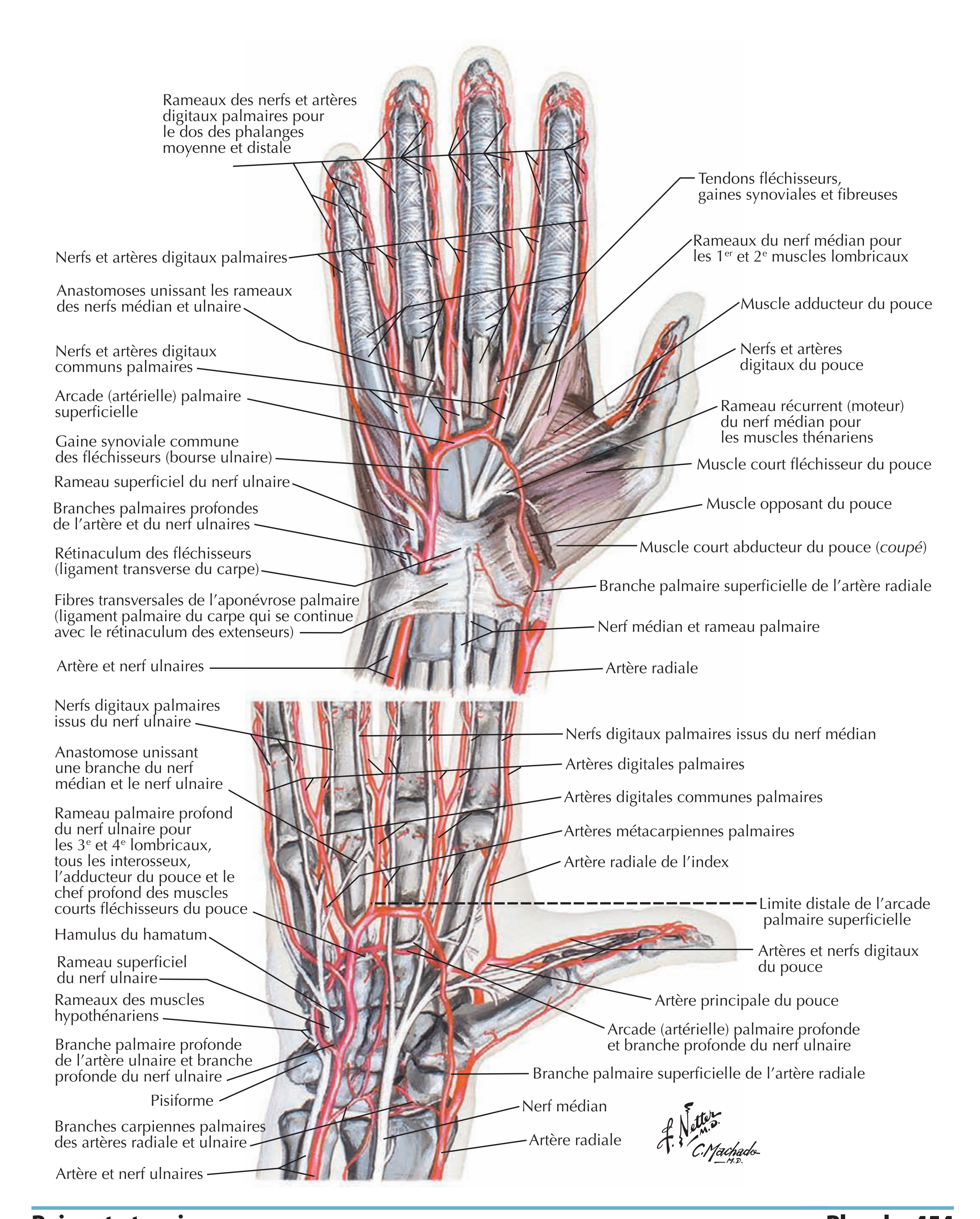




Note : les flèches noires indiquent la traction du tendon du long extenseur ; les flèches rouges indiquent la traction des muscles interosseux et lombricaux ; les points indiquent le centre de rotation des articulations.

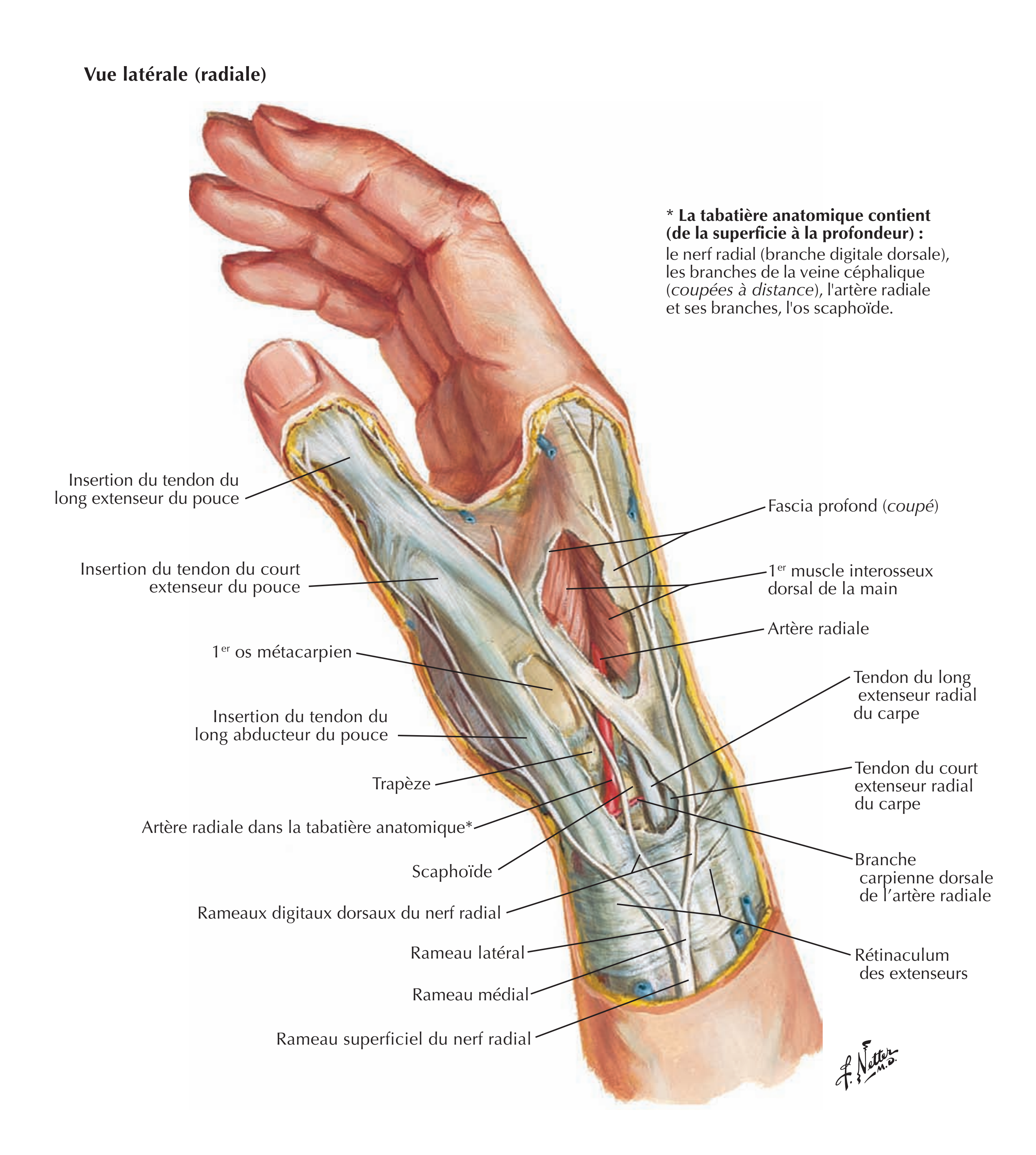
Muscles intrinsèques de la main

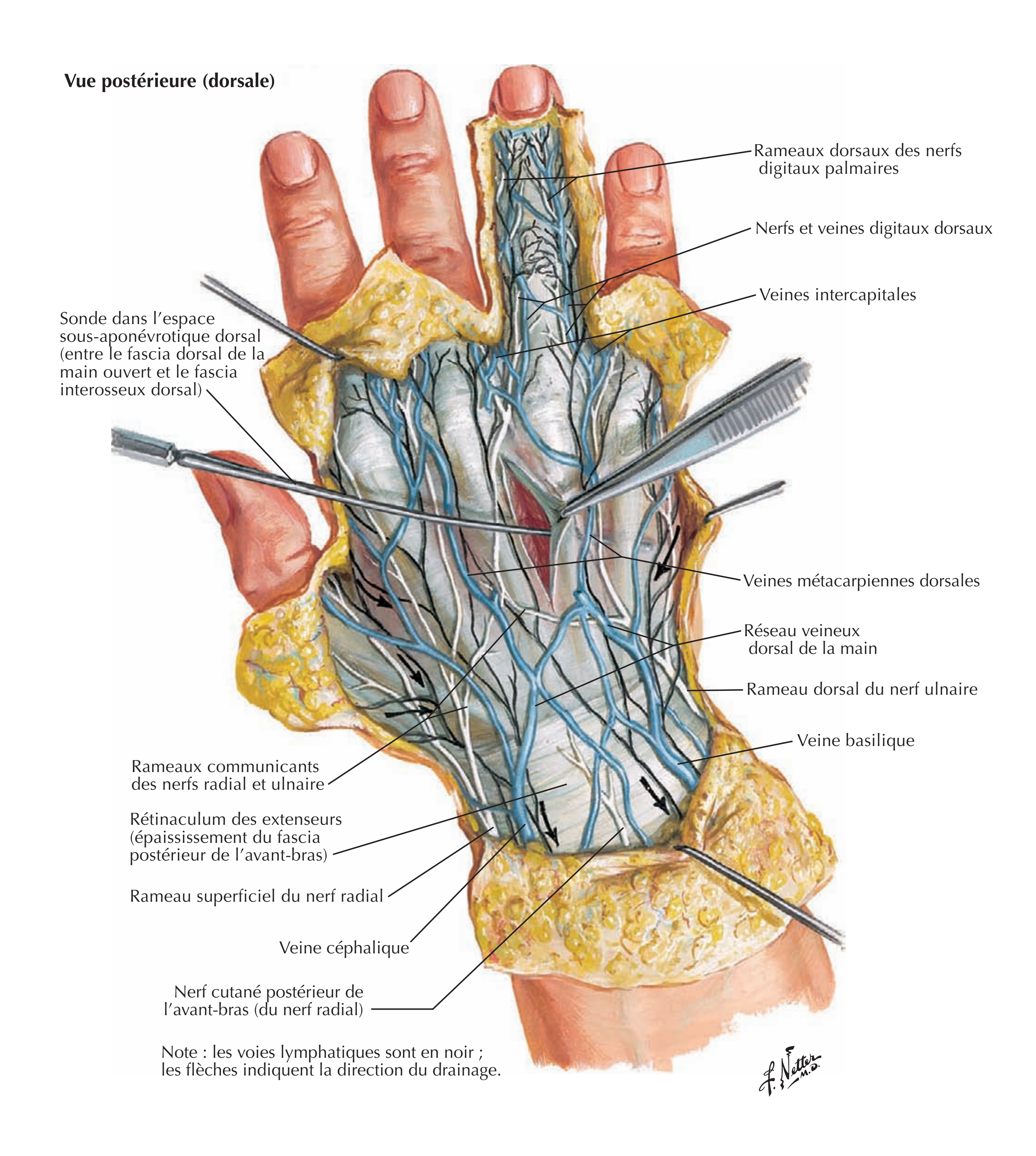



Rameaux des nerfs et artères digitaux palmaires pour le dos des phalanges moyenne et distale
Nerfs et artères digitaux palmaires
Anastomoses unissant les rameaux des nerfs médian et ulnaire
Nerfs et artères digitaux communs palmaires
Arcade (artérielle) palmaire superficielle
Gaine synoviale commune des fléchisseurs (bourse ulnaire)
Rameau superficiel du nerf ulnaire
Branches palmaires profondes de l'artère et du nerf ulnaires
Rétinaculum des fléchisseurs (ligament transverse du carpe)
Fibres transversales de l'aponévrose palmaire (ligament palmaire du carpe qui se continue avec le rétinaculum des extenseurs)
Artère et nerf ulnaires
Tendons fléchisseurs, gaines synoviales et fibreuses
Rameaux du nerf médian pour les 1er et 2e muscles lombricaux
Muscle adducteur du pouce
Nerfs et artères digitaux du pouce
Rameau récurrent (moteur) du nerf médian pour les muscles thénariens
Muscle court fléchisseur du pouce
Muscle opposant du pouce
Muscle court abducteur du pouce (coupé)
Branche palmaire superficielle de l'artère radiale
Nerf médian et rameau palmaire
Artère radiale
Nerfs digitaux palmaires issus du nerf ulnaire
Anastomose unissant une branche du nerf médian et le nerf ulnaire
Rameau palmaire profond du nerf ulnaire pour les 3e et 4e lombricaux, tous les interosseux, l'adducteur du pouce et le chef profond des muscles courts fléchisseurs du pouce
Hamulus du hamatum
Rameau superficiel du nerf ulnaire
Rameaux des muscles hypothénariens
Branche palmaire profonde de l'artère ulnaire et branche profonde du nerf ulnaire
Pisiforme
Branches carpiennes palmaires des artères radiale et ulnaire
Artère et nerf ulnaires
Nerfs digitaux palmaires issus du nerf médian
Artères digitales palmaires
Artères digitales communes palmaires
Artères métacarpiennes palmaires
Artère radiale de l'index
Limite distale de l'arcade palmaire superficielle
Artères et nerfs digitaux du pouce
Artère principale du pouce
Arcade (artérielle) palmaire profonde et branche profonde du nerf ulnaire
Branche palmaire superficielle de l'artère radiale
Nerf médian
Artère radiale
F. Netter M.D.
C. Machado M.D.

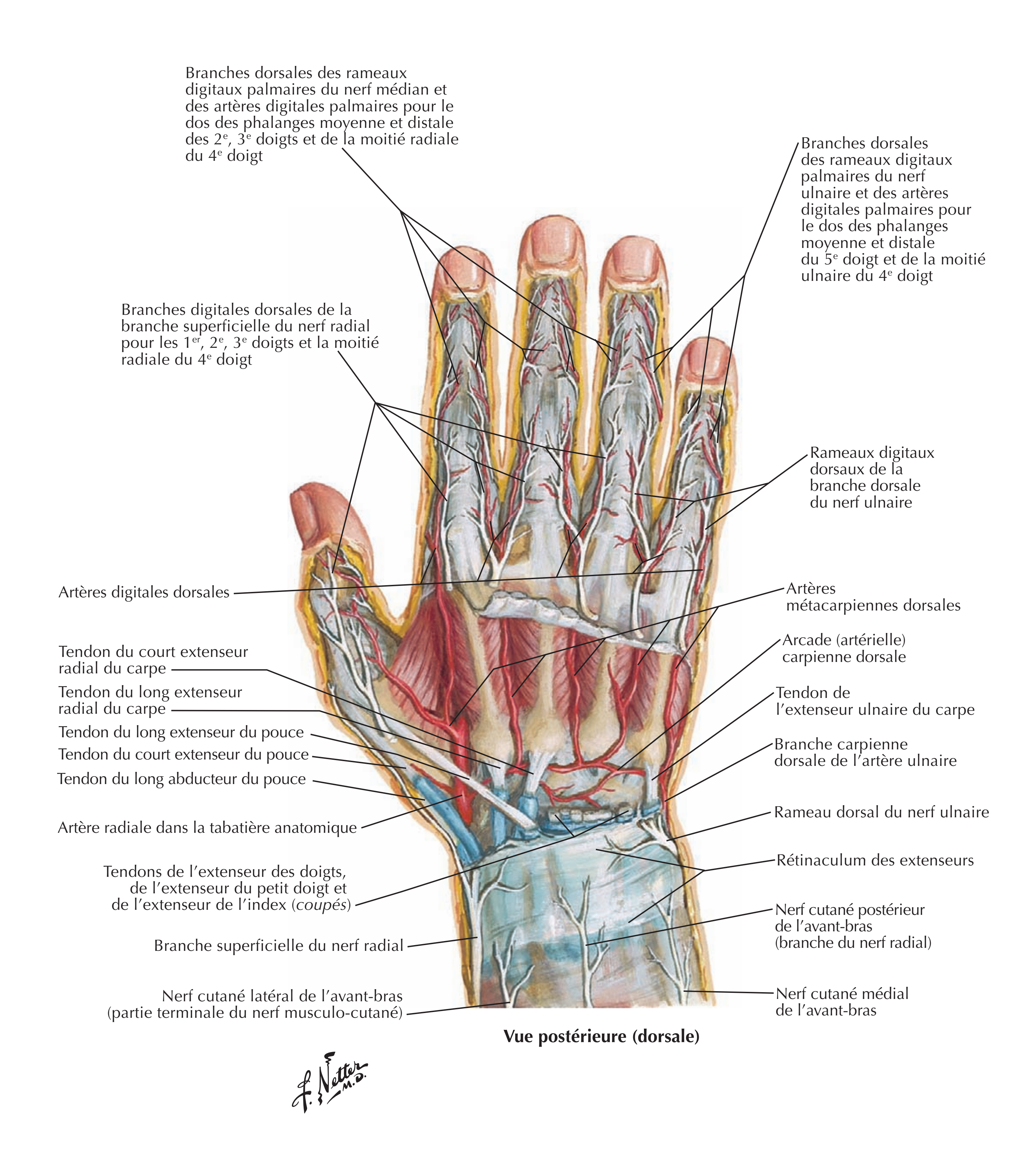
Poignet et main : dissection radiale superficielle

Vue latérale (radiale)




Vue postérieure (dorsale)
Rameaux dorsaux des nerfs digitaux palmaires
Nerfs et veines digitaux dorsaux
Veines intercapitales
Sonde dans l'espace sous-aponévrotique dorsal (entre le fascia dorsal de la main ouvert et le fascia interosseux dorsal)
Veines métacarpiennes dorsales
Réseau veineux dorsal de la main
Rameau dorsal du nerf ulnaire
Veine basilique
Rameaux communicants des nerfs radial et ulnaire
Rétinaculum des extenseurs (épaississement du fascia postérieur de l'avant-bras)
Rameau superficiel du nerf radial
Veine céphalique
Nerf cutané postérieur de l'avant-bras (du nerf radial)
Note : les voies lymphatiques sont en noir ; les flèches indiquent la direction du drainage.
F. Netter M.D.

Poignet et main : dissection dorsale profonde



Vue postérieure (dorsale)

Tendons extenseurs au poignet

Vue postérieure (dorsale)

Fibres transverses des aponévroses dorsales des doigts (expansions des extenseurs)

Connexions intertendineuses

Muscles interosseux dorsaux

Muscle abducteur du petit doigt

Artère radiale dans la tabatière anatomique

Rétinaculum des extenseurs

Plan de la coupe ci-dessous

Loge 1 { Court extenseur du pouce / Long abducteur du pouce

Loge 2 { Long extenseur radial du carpe / Court extenseur radial du carpe

Loge 3 – Long extenseur du pouce

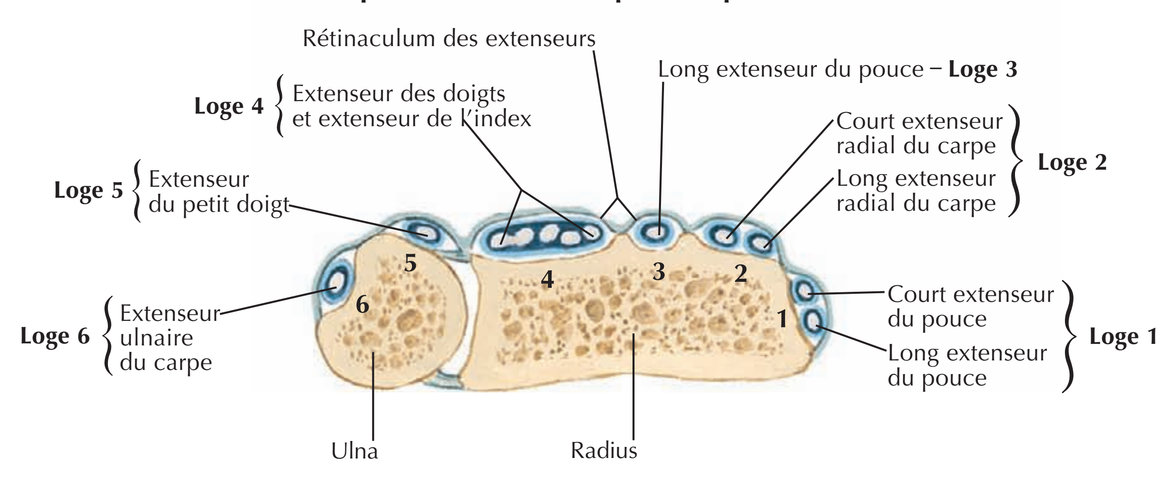
Loge 4 { Extenseur de l'index / Extenseur des doigts

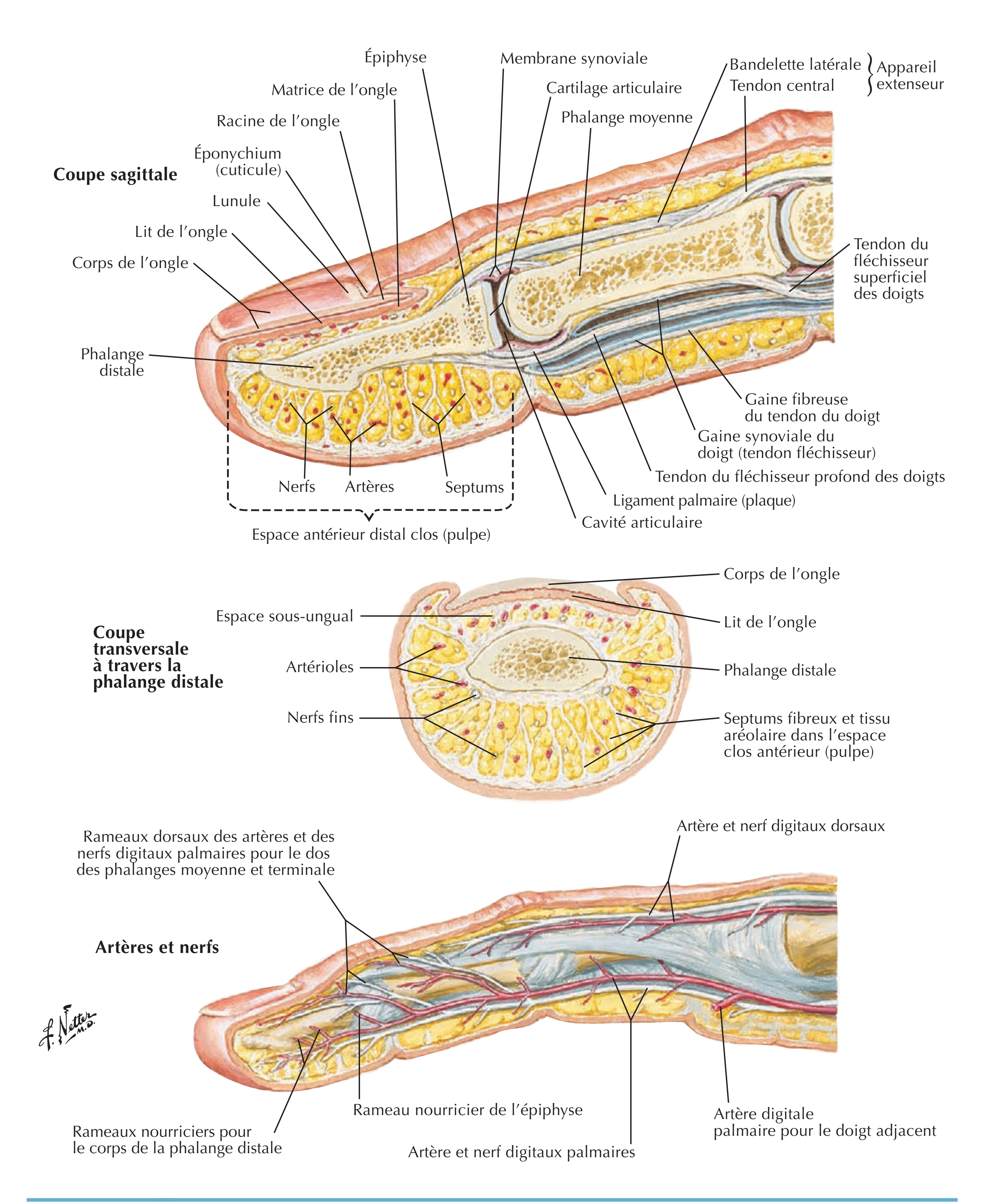
Loge 5 – Extenseur du petit doigt

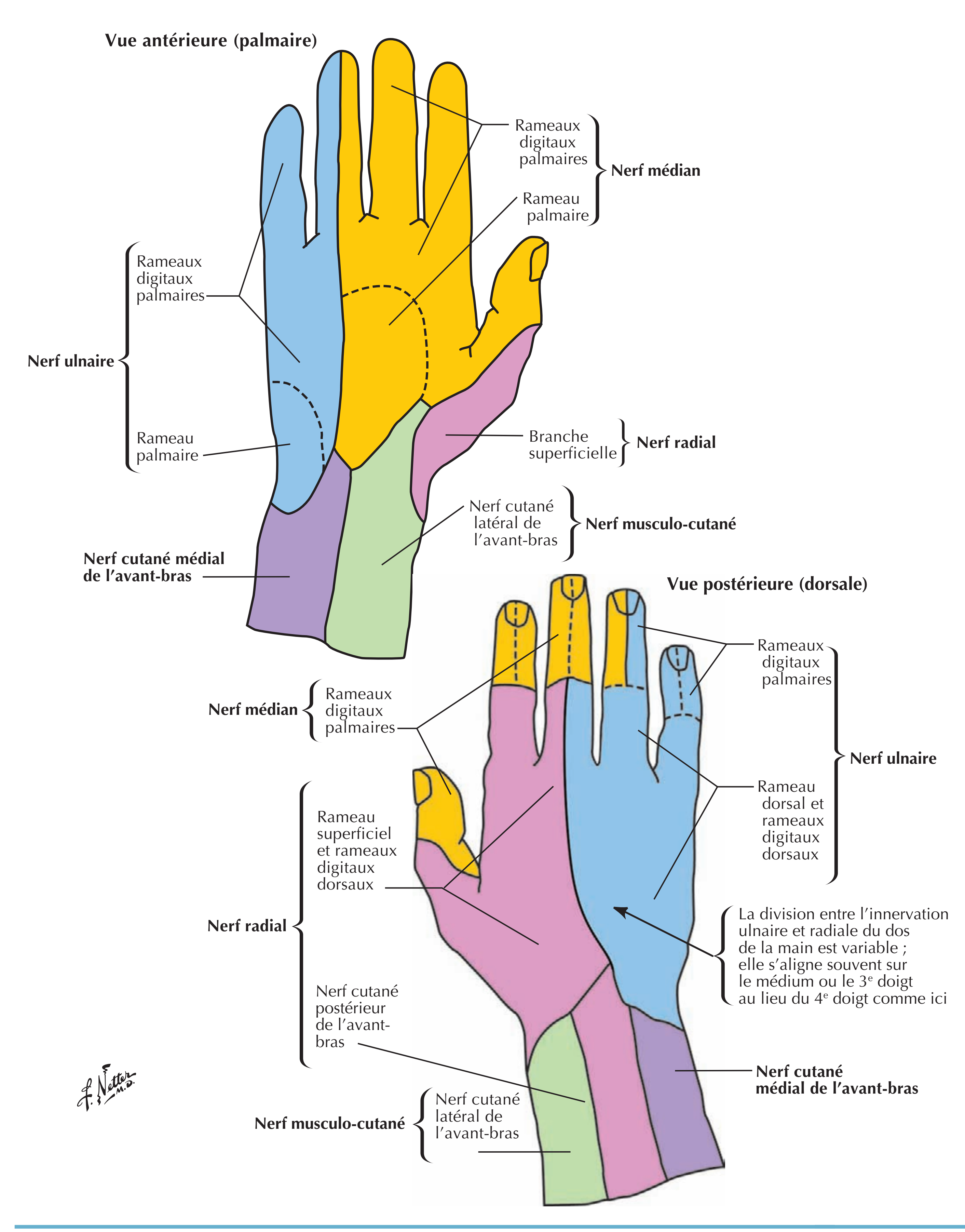
Loge 6 – Extenseur ulnaire du carpe

F. Netter M.D.

Coupe transversale de la partie la plus distale de l'avant-bras

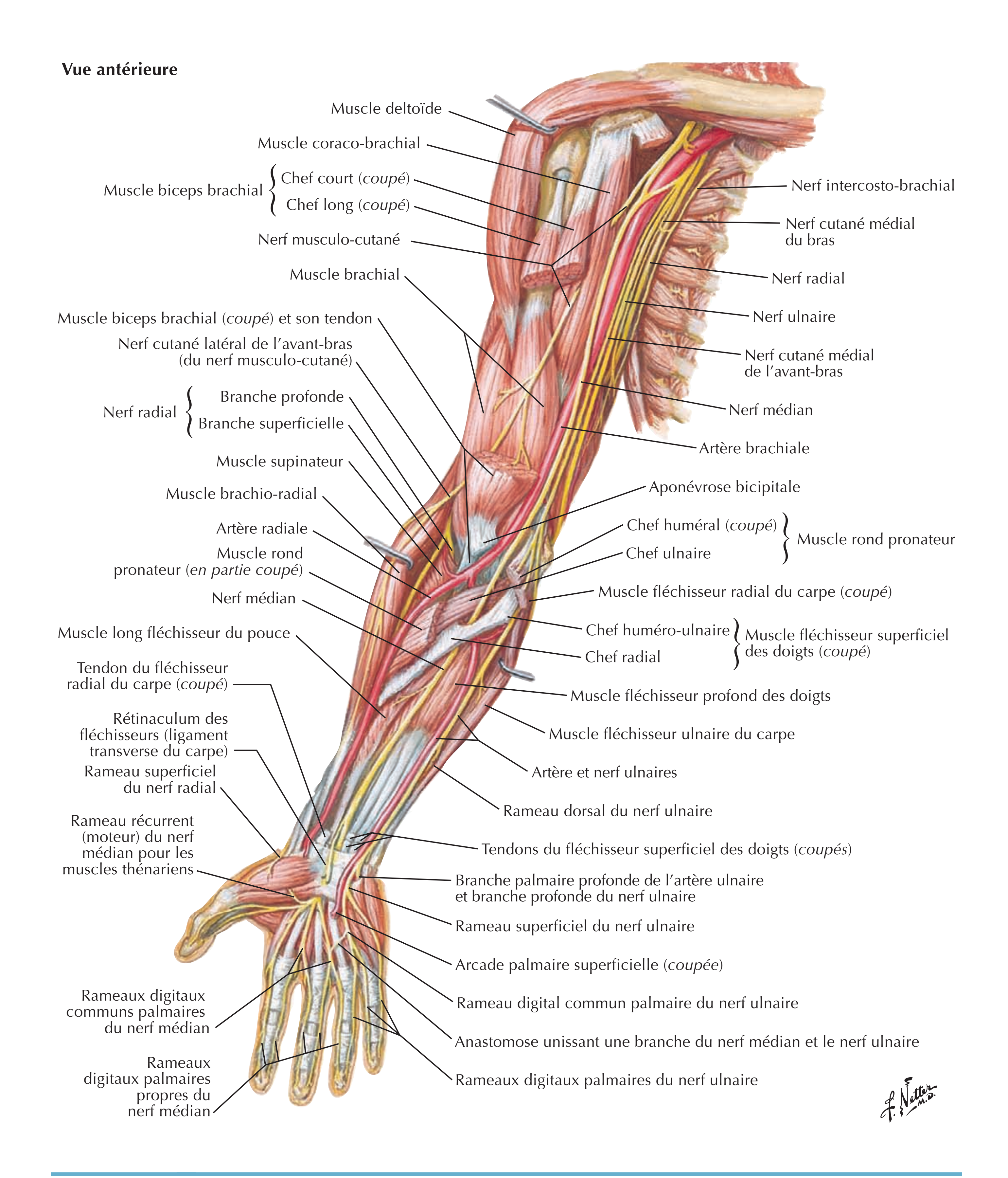



Coupe sagittale
Épiphyse
Membrane synoviale
Matrice de l'ongle
Cartilage articulaire
Racine de l'ongle
Phalange moyenne
Bandelette latérale
Tendon central
Appareil extenseur
Éponychium (cuticule)
Lunule
Lit de l'ongle
Corps de l'ongle
Tendon du fléchisseur superficiel des doigts
Phalange distale
Gaine fibreuse du tendon du doigt
Gaine synoviale du doigt (tendon fléchisseur)
Tendon du fléchisseur profond des doigts
Ligament palmaire (plaque)
Cavité articulaire
Nerfs
Artères
Septums
Espace antérieur distal clos (pulpe)
Coupe transversale à travers la phalange distale
Corps de l'ongle
Espace sous-unguéal
Lit de l'ongle
Artérioles
Phalange distale
Nerfs fins
Septums fibreux et tissu aréolaire dans l'espace clos antérieur (pulpe)
Rameaux dorsaux des artères et des nerfs digitaux palmaires pour le dos des phalanges moyenne et terminale
Artère et nerf digitaux dorsaux
Artères et nerfs
Rameaux nourriciers pour le corps de la phalange distale
Rameau nourricier de l'épiphyse
Artère et nerf digitaux palmaires
Artère digitale palmaire pour le doigt adjacent



Vue antérieure (palmaire)
Rameaux digitaux palmaires
Rameau palmaire
Nerf médian
Rameaux digitaux palmaires
Nerf ulnaire
Rameau palmaire
Branche superficielle
Nerf radial
Nerf cutané latéral de l'avant-bras
Nerf musculo-cutané
Nerf cutané médial de l'avant-bras
Vue postérieure (dorsale)
Rameaux digitaux palmaires
Nerf médian
Rameaux digitaux palmaires
Nerf ulnaire
Rameau dorsal et rameaux digitaux dorsaux
Rameau superficiel et rameaux digitaux dorsaux
Nerf radial
La division entre l'innervation ulnaire et radiale du dos de la main est variable ; elle s'aligne souvent sur le médium ou le 3e doigt au lieu du 4e doigt comme ici
Nerf cutané postérieur de l'avant-bras
Nerf cutané médial de l'avant-bras
Nerf musculo-cutané
Nerf cutané latéral de l'avant-bras
F. Netter M.D.

Artères et nerfs du membre supérieur





Nerf musculo-cutané

Vue antérieure

Note : seuls les muscles innervés par le nerf musculo-cutané sont représentés ici

Nerf musculo-cutané (C5, C6, C7)

Muscle coraco-brachial

Muscle biceps brachial (*récliné*)

Muscle brachial

Rameau articulaire

Nerf cutané latéral de l'avant-bras

Branche antérieure

Branche postérieure

Médial
Postérieur
Latéral
Faisceaux du plexus brachial

Nerf cutané médial du bras

Nerf cutané médial de l'avant-bras

Nerf ulnaire

Nerf médian

Nerf radial

Nerf axillaire

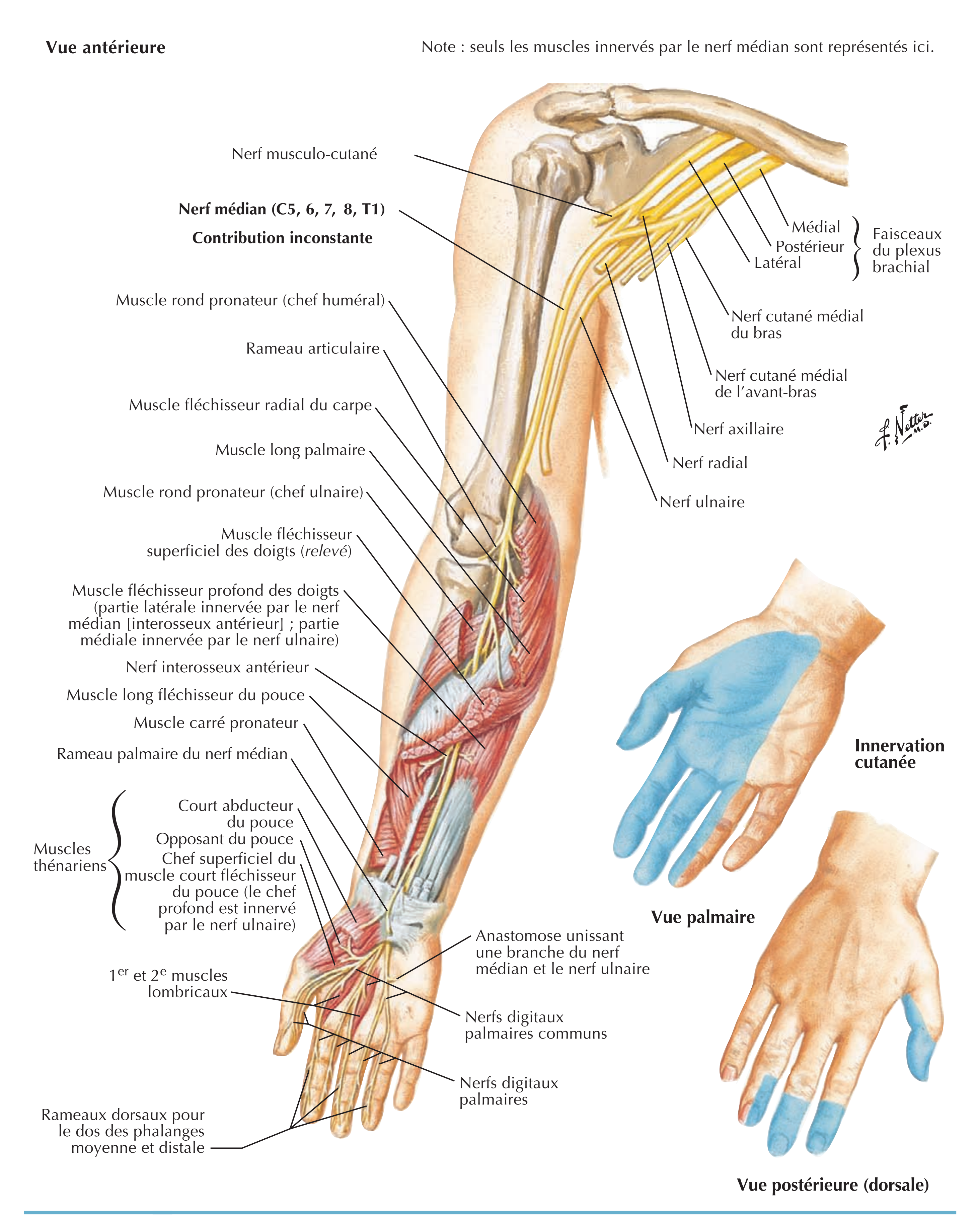
F. Netter M.D.

Innervation cutanée (par le nerf cutané latéral de l'avant-bras)

Vue antérieure (palmaire)

Vue postérieure (dorsale)

Nerf médian


Vue antérieure
Note : seuls les muscles innervés par le nerf médian sont représentés ici.
Nerf musculo-cutané
Nerf médian (C5, 6, 7, 8, T1)
Contribution inconstante
Muscle rond pronateur (chef huméral)
Rameau articulaire
Muscle fléchisseur radial du carpe
Muscle long palmaire
Muscle rond pronateur (chef ulnaire)
Muscle fléchisseur superficiel des doigts (relevé)
Muscle fléchisseur profond des doigts (partie latérale innervée par le nerf médian [interosseux antérieur] ; partie médiale innervée par le nerf ulnaire)
Nerf interosseux antérieur
Muscle long fléchisseur du pouce
Muscle carré pronateur
Rameau palmaire du nerf médian
Muscles thénariens
Court abducteur du pouce
Opposant du pouce
Chef superficiel du muscle court fléchisseur du pouce (le chef profond est innervé par le nerf ulnaire)
1er et 2e muscles lombricaux
Rameaux dorsaux pour le dos des phalanges moyenne et distale
Médial
Postérieur
Latéral
Faisceaux du plexus brachial
Nerf cutané médial du bras
Nerf cutané médial de l'avant-bras
Nerf axillaire
Nerf radial
Nerf ulnaire
Anastomose unissant une branche du nerf médian et le nerf ulnaire
Nerfs digitaux palmaires communs
Nerfs digitaux palmaires
Innervation cutanée
Vue palmaire
Vue postérieure (dorsale)



Nerf ulnaire

Vue antérieure

Note : seuls les muscles innervés
par le nerf ulnaire sont représentés ici.

Innervation cutanée

Vue palmaire

Vue postérieure (dorsale)

Nerf ulnaire (C7, 8, T1)
(pas de rameau
au-dessus du coude)

Contribution inconstante

Épicondyle médial

Rameau articulaire
(derrière le condyle)

Muscle fléchisseur profond
des doigts (seulement la
partie médiale ; la partie
latérale est innervée par
le rameau interosseux
antérieur du nerf médian)

Muscle fléchisseur ulnaire
du carpe (*écarté*)

Rameau dorsal du nerf ulnaire

Rameau palmaire

Ligament palmaire du carpe

Branche superficielle

Branche profonde

Muscle court fléchisseur
du pouce (chef profond
seulement ; le chef superficiel
et les autres muscles thénariens
sont vascularisés par le nerf médian)

Muscle adducteur
du pouce

Muscles hypothénariens :
- Court palmaire
- Abducteur du petit doigt
- Court fléchisseur du petit doigt
- Opposant du petit doigt

Nerf digital palmaire commun

Anastomose unissant une branche
du nerf médian et le nerf ulnaire

Muscles interosseux palmaires et dorsaux

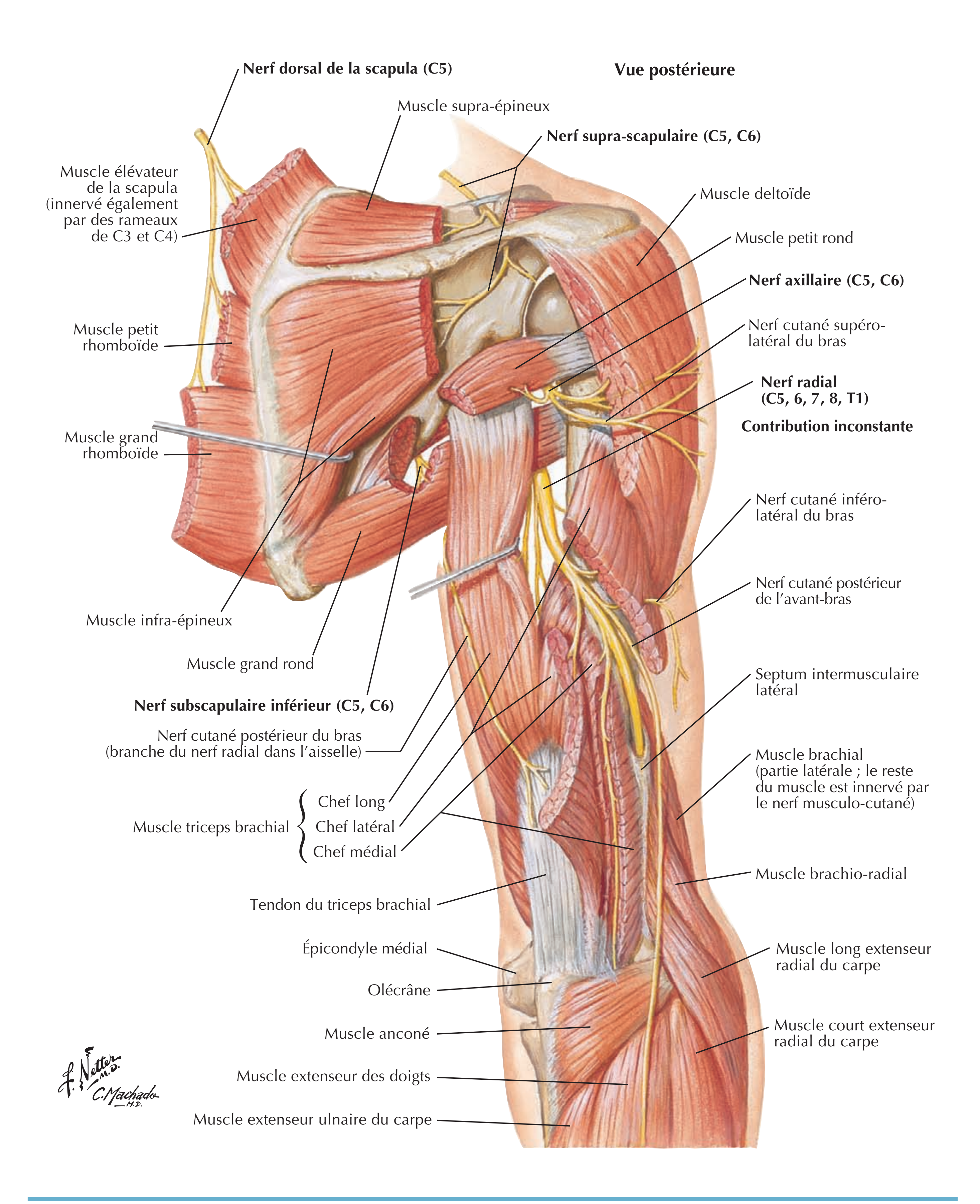
3e et 4e muscles lombricaux (*réclinés en bas*)

Nerfs digitaux palmaires (les nerfs digitaux
dorsaux proviennent de la branche dorsale)

Rameaux dorsaux pour le dos des phalanges moyenne et distale

F. Netter M.D.

Nerf radial au bras et nerfs de la région postérieure de l'épaule





Nerf radial à l'avant-bras

Voir aussi **Planche 455**

Nerf radial (C5, 6, 7, 8, T1) **Contribution inconstante**

Branche superficielle (terminale)

Branche profonde (terminale)

Vue postérieure

Épicondyle latéral

Muscle anconé

Muscle brachio-radial

Muscle long extenseur radial du carpe

Muscle supinateur

Muscle court extenseur radial du carpe

Muscle extenseur ulnaire du carpe

Muscle extenseur des doigts et muscle extenseur du petit doigt

Muscle extenseur de l'index

Muscle long extenseur du pouce

Muscle long abducteur du pouce

Muscle court extenseur du pouce

Groupe des muscles extenseurs et supinateurs

Nerf interosseux postérieur (prolongement de la branche profonde du nerf radial au-delà du bord inférieur du muscle supinateur)

Branche superficielle du nerf radial

Nerfs digitaux dorsaux

Issu du nerf axillaire: Nerf cutané supéro-latéral du bras

Issus du nerf radial:

Nerf cutané inféro-latéral du bras

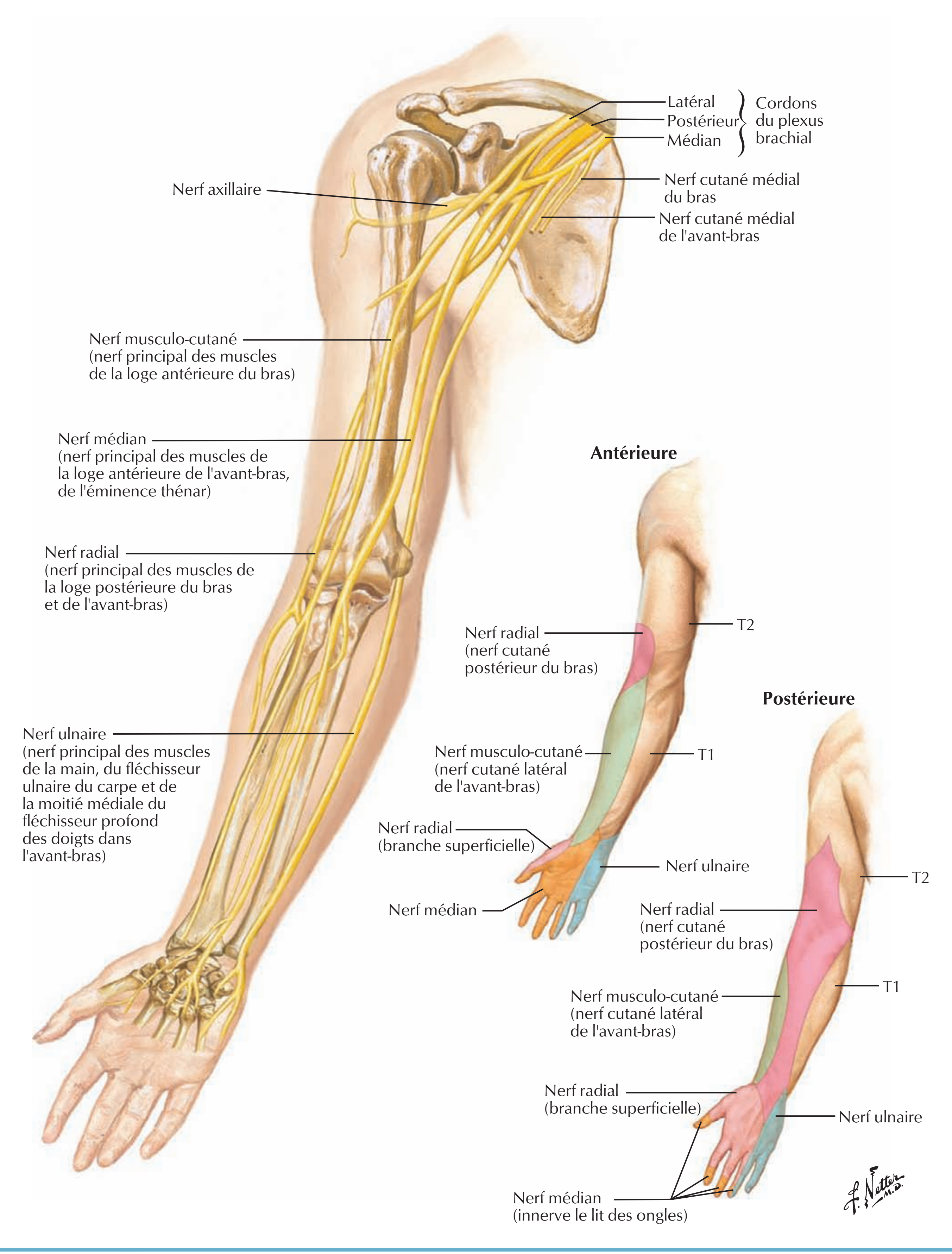
Nerf cutané postérieur du bras

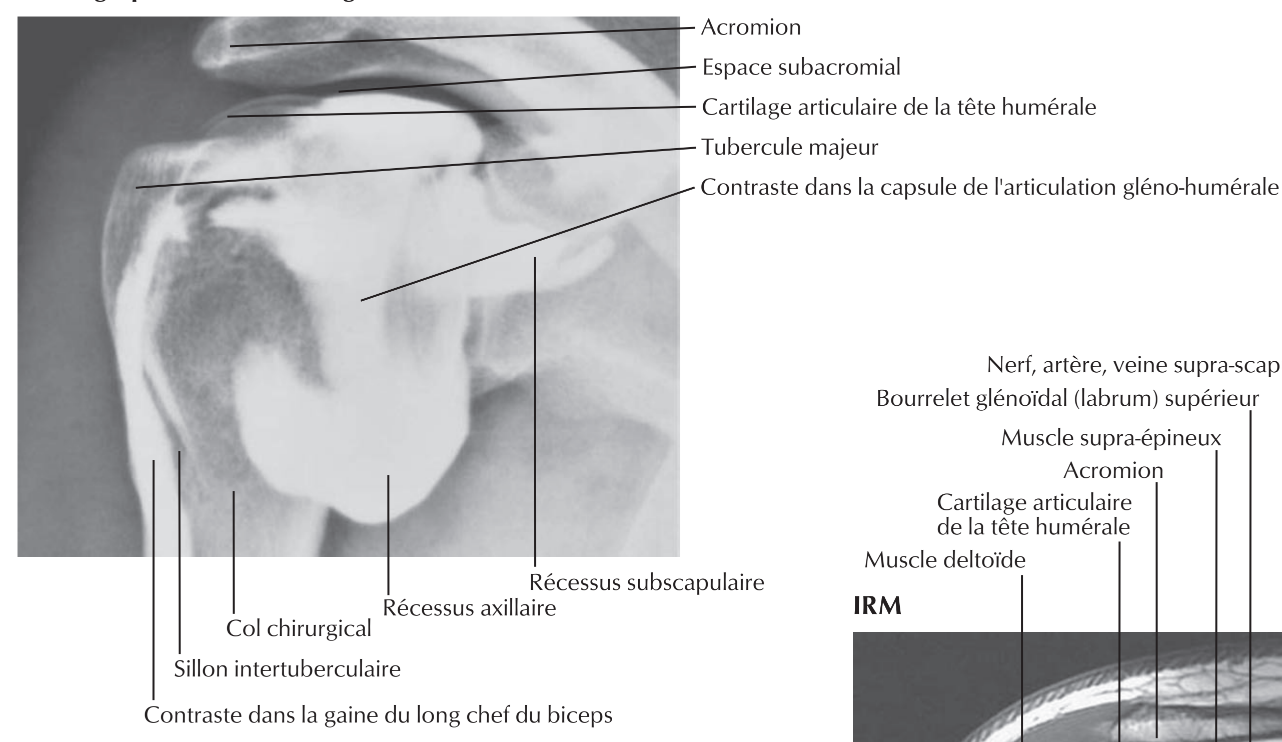
Nerf cutané postérieur de l'avant-bras

Rameau superficiel du nerf radial et rameaux digitaux dorsaux

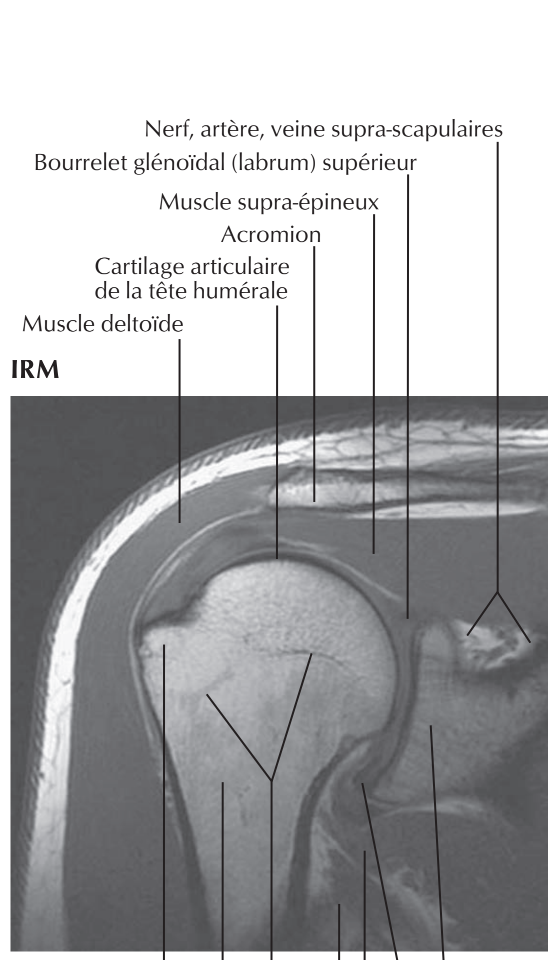
Innervation cutanée des nerfs axillaire et radial

Nerfs du membre supérieur

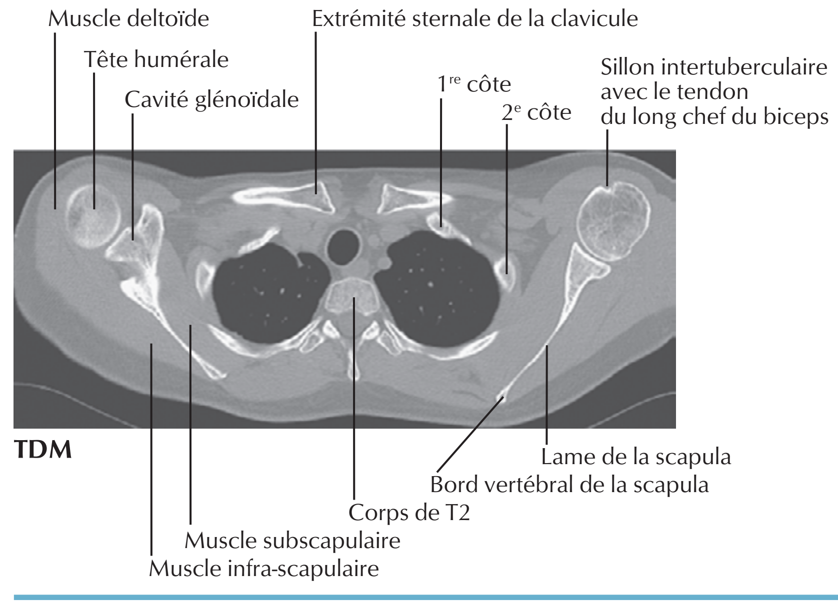




Arthrographie : articulation gléno-humérale
Acromion
Espace subacromial
Cartilage articulaire de la tête humérale
Tubercule majeur
Contraste dans la capsule de l'articulation gléno-humérale
Récessus subscapulaire
Récessus axillaire
Col chirurgical
Sillon intertuberculaire
Contraste dans la gaine du long chef du biceps



IRM
Nerf, artère, veine supra-scapulaires
Bourrelet glénoïdal (labrum) supérieur
Muscle supra-épineux
Acromion
Cartilage articulaire
de la tête humérale
Muscle deltoïde
Cavité glénoïdale
Bourrelet glénoïdal
(labrum) inférieur
Muscle grand dorsal
Muscle grand rond
Ligne épiphysaire
Col chirurgical
Tubercule majeur



Muscle deltoïde
Tête humérale
Cavité glénoïdale
Extrémité sternale de la clavicule
1re côte
2e côte
Sillon intertuberculaire
avec le tendon
du long chef du biceps
TDM
Lame de la scapula
Bord vertébral de la scapula
Corps de T2
Muscle subscapulaire
Muscle infra-scapulaire

This page intentionally left blank



Section 7 MEMBRE INFÉRIEUR

Anatomie de surface

Planche 469

Anatomie cutanée

Planches 470-473

Hanche et cuisse

Planches 474-493

7 Membre inférieur

Genou

Planches 494-500

Jambe

Planches 501-510

Cheville et pied

Planches 511-525

Innervation et vascularisation

Planches 526-530

Scanners de la région

Planche 531



Vue antérieure

Crête iliaque

Épine iliaque antéro-supérieure

Muscle tenseur du fascia lata

Ligament inguinal

Muscle sartorius

Muscle droit fémoral

Grande veine saphène

Muscle vaste latéral

Muscle vaste médial

Tractus ilio-tibial

Tendon du droit fémoral

Tendon du quadriceps fémoral

Patella

Ligament patellaire

Muscle long fibulaire (péronier)

Tubérosité tibiale

Muscle tibial antérieur

Bord antérieur du tibia

Grande veine saphène

Malléole médiale

Malléole latérale

Tendons du long extenseur des orteils

Tendon du long extenseur de l'hallux

Vue postérieure

Crête iliaque

Muscle moyen glutéal

Muscle grand glutéal

Grand trochanter

Sillon glutéal

Muscle semi-tendineux

Tractus ilio-tibial

Muscle grand adducteur

Tendon du muscle gracile

Muscle biceps fémoral
Chef long
Chef court

Grande veine saphène

Fosse poplitée

Muscle gastrocnémien
Chef médial
Chef latéral

Veine petite saphène

Tendon calcanéen (d'Achille)

Tendons du long et du court fibulaires (péroniers)

Malléole médiale

Malléole latérale

Face plantaire du pied

Tubérosité calcanéenne

C. Machado M.D.

Dermatomes du membre inférieur

Voir aussi **Planche 159**

Démarcation schématique des dermatomes en segments distincts (d'après Keegan et Garrett). Il y a en fait un chevauchement considérable entre deux dermatomes adjacents.

T10
T11
T12
L1
S2
S3
L2
L3
L4
L5
S1

Zones sensitives autonomes

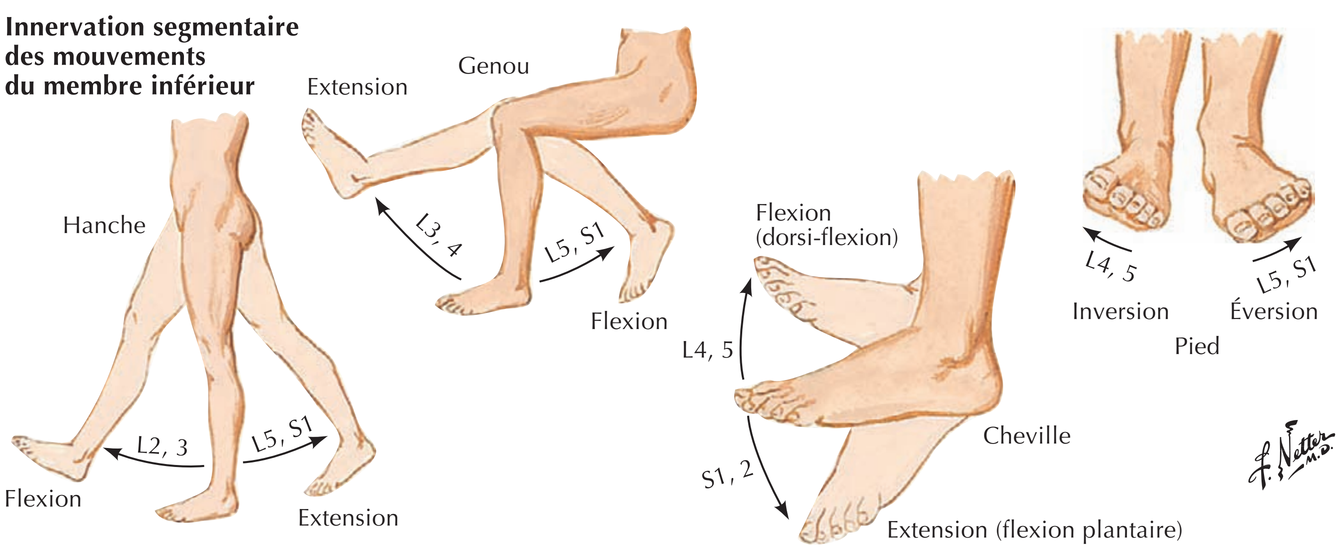
L3
L4
L5

Vue antérieure

T12
L1
L2
L3
L4
L5
S1
S2
S3
S4
S5
Co
S2
L1
L2
S2
S1
L3
L5
L5
S1
L4
L4
L5
S1

Vue postérieure

Innervation segmentaire des mouvements du membre inférieur





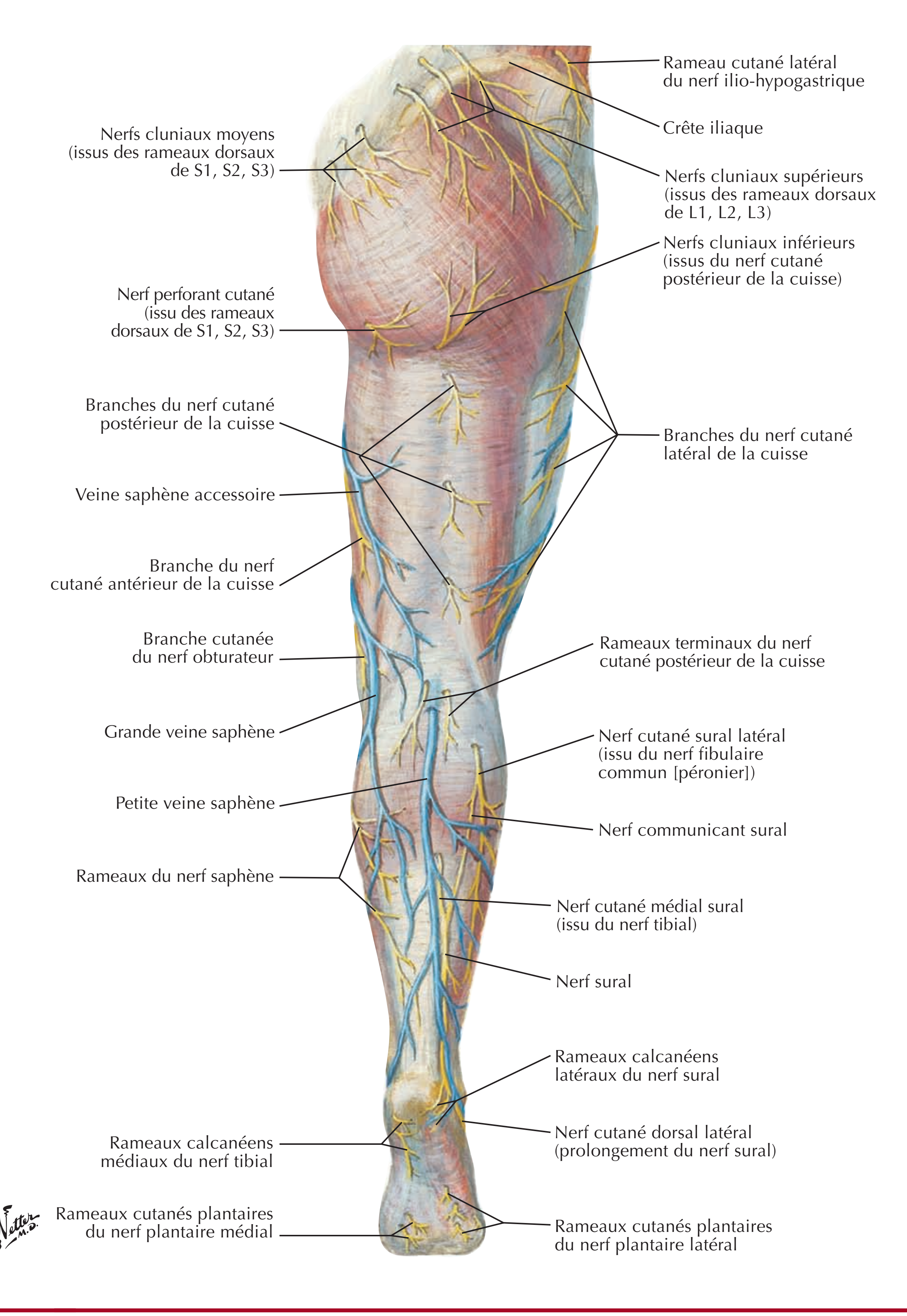
Nerfs et veines superficiels du membre inférieur : vue antérieure

Rameau cutané latéral du nerf subcostal
Ligament inguinal (de Poupart)
Nerf cutané latéral de la cuisse
Veine circonflexe iliaque superficielle
Rameaux fémoraux du nerf génito-fémoral dans le triangle fémoral
Ouverture saphène (fosse ovale)
Fascia lata
Branches cutanées antérieures du nerf fémoral
Plexus nerveux patellaire
Rameaux du nerf cutané sural latéral (issus du nerf fibulaire commun [péronier])
Fascia crural (profond de la jambe)
Nerf fibulaire superficiel (péronier)
Rameau cutané dorsal médial
Rameau cutané dorsal intermédiaire
Petite veine saphène et nerf cutané dorsal latéral (du nerf sural)
Nerf et veine digitaux dorsaux latéraux du 5e orteil
Veines métatarsiennes dorsales
Nerfs et veines digitaux dorsaux

Veine épigastrique superficielle
Nerf ilio-inguinal (rameau scrotal) (passe habituellement à travers l'anneau inguinal superficiel)
Rameau génital du nerf génito-fémoral
Veine fémorale
Veine pudendale externe superficielle
Veine saphène accessoire
Grande veine saphène
Rameaux cutanés du nerf obturateur
Rameau infra-patellaire du nerf saphène
Nerf saphène (branche terminale du nerf fémoral)
Grande veine saphène
Nerfs digitaux dorsaux
Arcade veineuse dorsale
Nerf digital dorsal et veine du gros orteil
Rameau digital dorsal du nerf fibulaire profond (péronier)

F. Netter M.D.

Nerfs et veines superficiels du membre inférieur : vue postérieure







Vaisseaux et nœuds lymphatiques du membre inférieur

Voir aussi **Planches 387, 388**

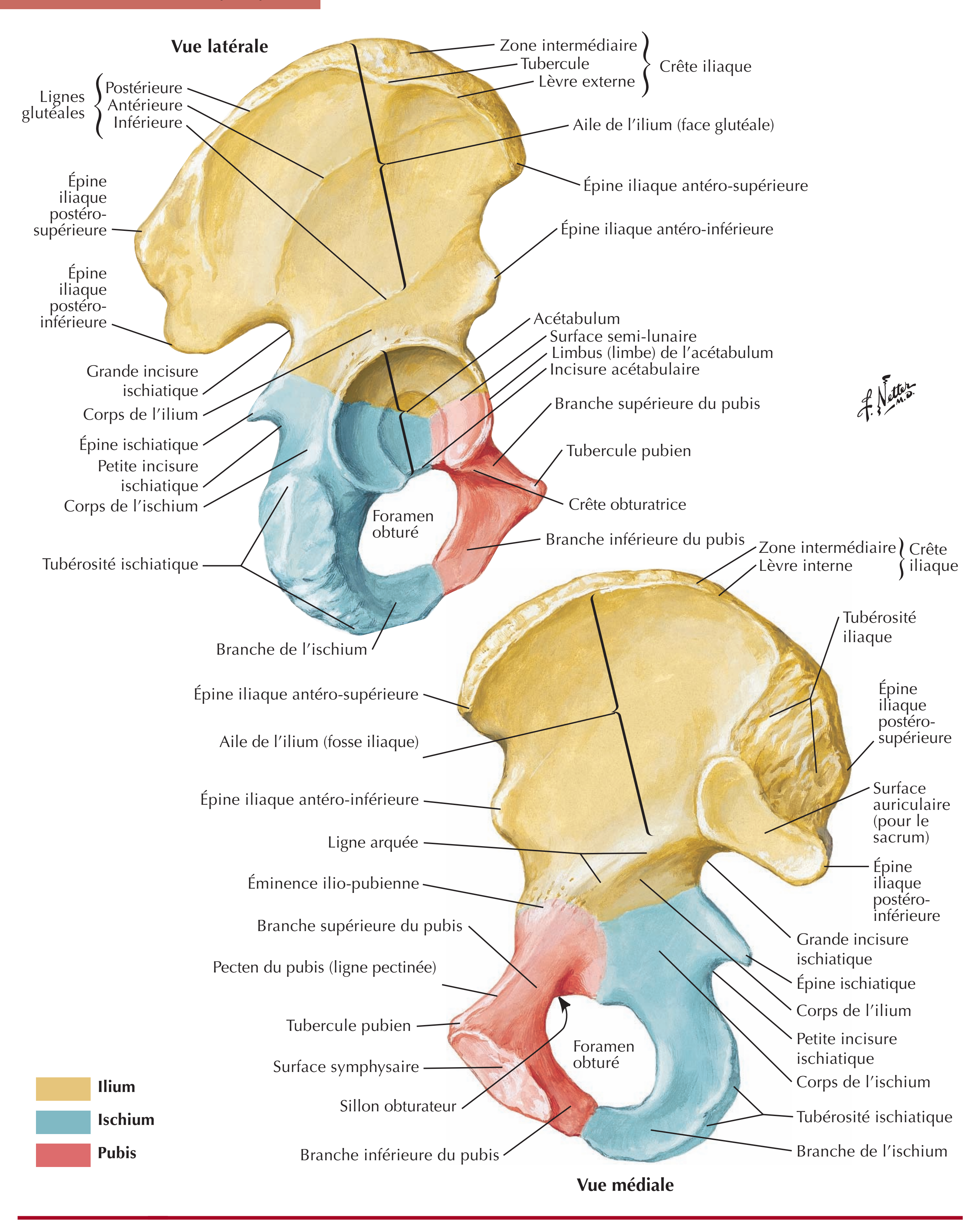
Fascia criblé dans le hiatus saphène
Groupe horizontal :
Nœuds supéro-latéraux
Nœuds supéro-médiaux
Groupe vertical :
Nœuds inférieurs
Nœuds inguinaux superficiels
Fascia lata
Grande veine saphène
Vaisseaux lymphatiques superficiels
Fascia crural (profond de la jambe)
Grande veine saphène

Veine poplitée
Nœuds lymphatiques poplités
Petite veine saphène

Nœuds lymphatiques iliaques externes
Nerf cutané latéral de la cuisse
Nerf fémoral
Ligament inguinal (de Poupart)
Conduit déférent
Gaine fémorale
Canal fémoral *(ouvert)*
Artère et veine fémorales
Grande veine saphène
Anneau fémoral
Ligament lacunaire (de Gimbernat)
Nœuds lymphatiques inguinaux profonds

7 Ox coxal (os de la hanche)

Voir aussi **Planches 241, 335, 336**



Vue antérieure

Ligament ilio-fémoral (ligament en Y de Bigelow)
Bourse ilio-pectinée (sur la lacune des ligaments)
Ligament pubo-fémoral
Branche supérieure du pubis
Branche inférieure du pubis
Épine iliaque antéro-supérieure
Épine iliaque antéro-inférieure
Grand trochanter
Petit trochanter
Ligne intertrochantérique

Vue postérieure

Ligament ilio-fémoral
Ligament ischio-fémoral
Zone orbiculaire
Grand trochanter
Épine ischiatique
Tubérosité ischiatique
Protrusion de la membrane synoviale
Crête intertrochantérique
Petit trochanter

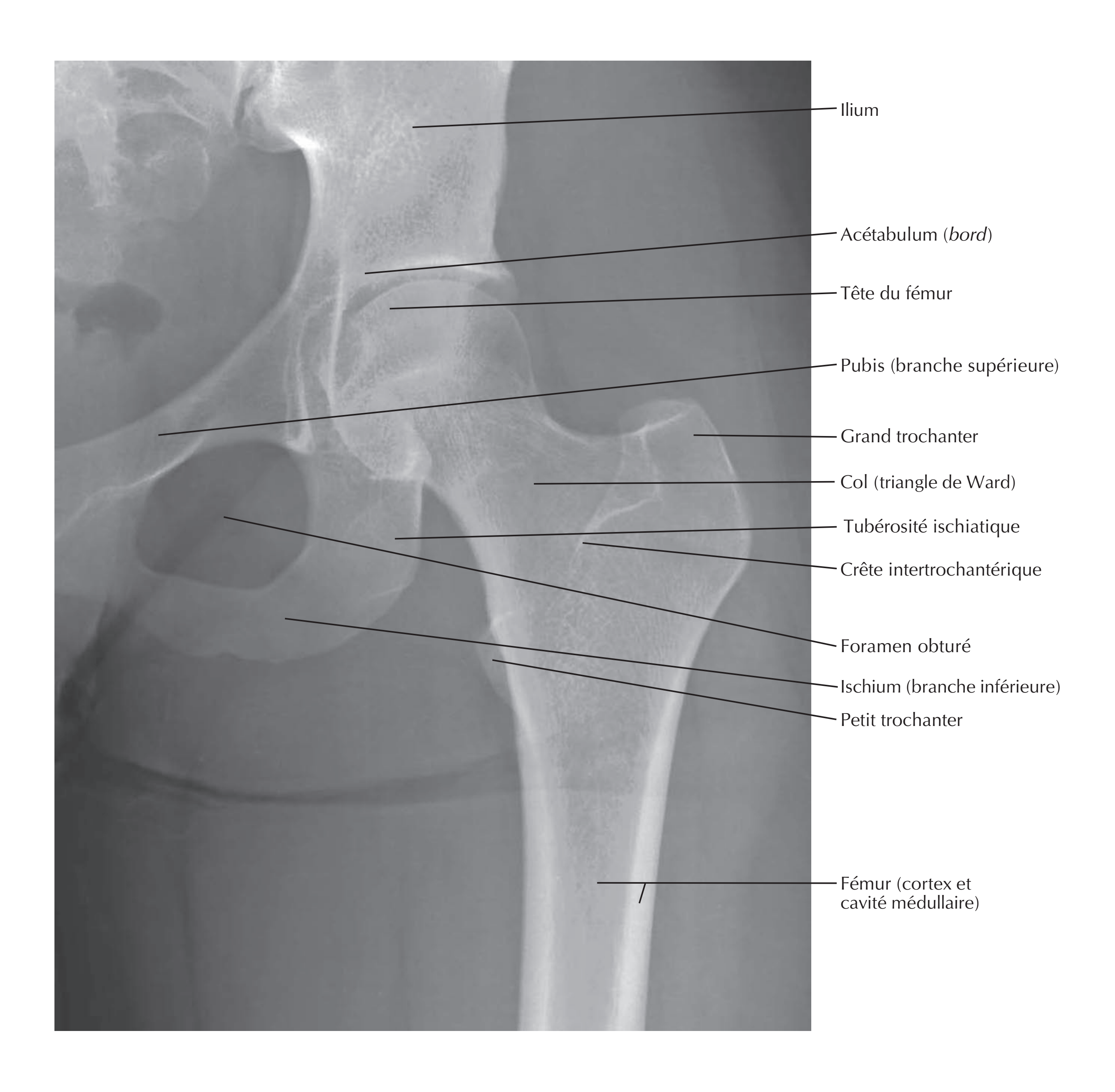
Articulation ouverte : vue latérale

Surface semi-lunaire de l'acétabulum
Cartilage articulaire
Grand trochanter
Tête du fémur
Col du fémur
Ligne intertrochantérique
Ligament de la tête du fémur (*coupé*)
Épine iliaque antéro-supérieure
Épine iliaque antéro-inférieure
Éminence ilio-pubienne
Labrum acétabulaire (fibro-cartilagineux)
Tissu graisseux dans la fosse acétabulaire (recouvert de la membrane synoviale)
Artère obturatrice
Branche antérieure
Branche postérieure
Branche acétabulaire
Membrane obturatrice
Ligament transverse de l'acétabulum
Tubérosité ischiatique
Petit trochanter

F. Netter M.D.

Articulation de la hanche : radiographie antério-postérieure

Voir aussi **Planches 475, 477**





Fémur

Vue antérieure

Grand trochanter
Col
Tête
Fovéa pour le ligament de la tête du fémur
Réseau de foramens
Petit trochanter
Ligne intertrochantérique
Diaphyse (corps)
Épicondyle latéral
Condyle latéral
Surface patellaire
Tubercule de l'adducteur
Épicondyle médial
Condyle médial

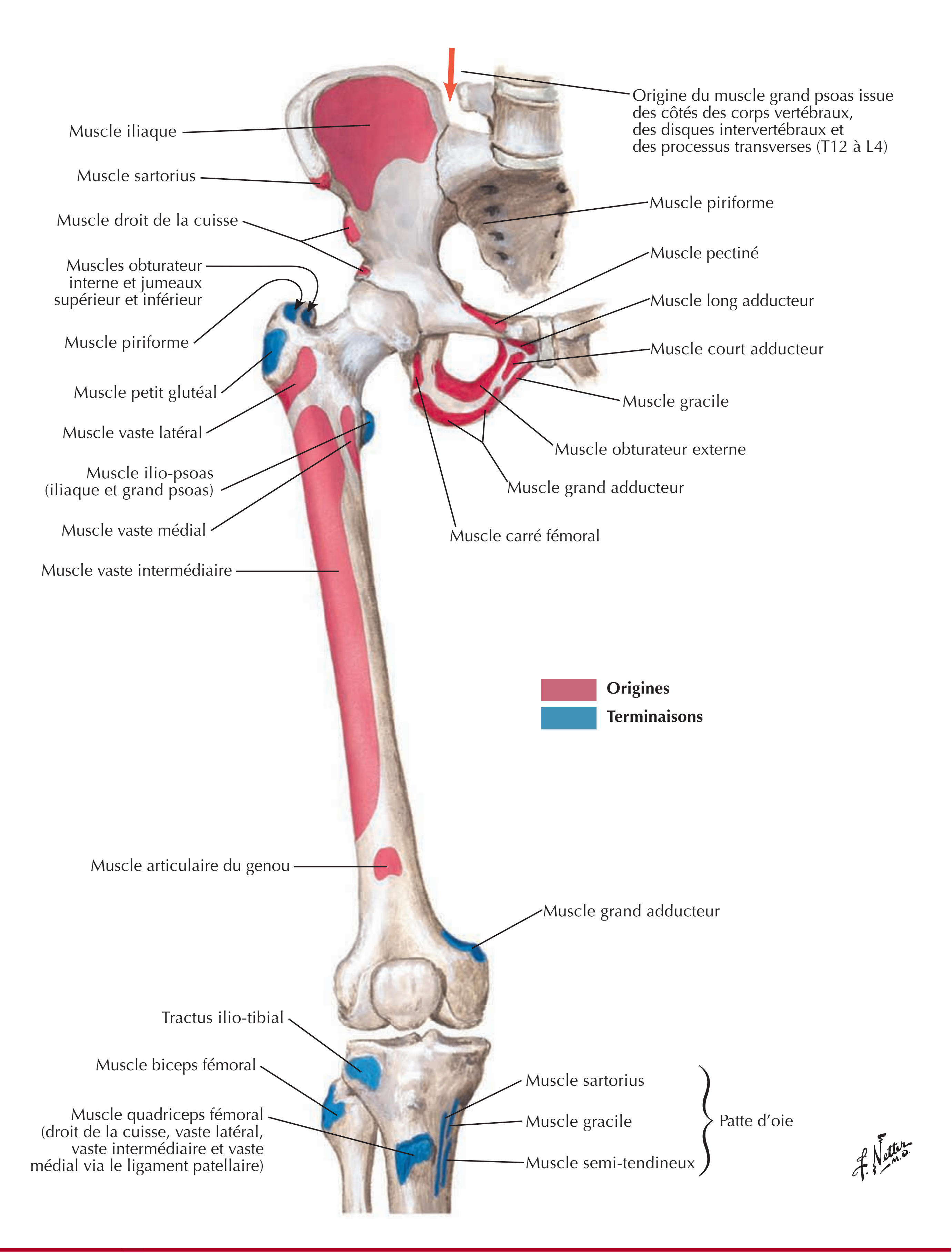
Vue postérieure

Fosse trochantérique
Grand trochanter
Tête
Fovéa pour le ligament de la tête du fémur
Col
Crête intertrochantérique
Calcar
Petit trochanter
Ligne pectinée
Tubérosité glutéale
Tubercule carré
Ligne âpre { Lèvre médiale / Lèvre latérale }
Trou nourricier
Diaphyse (corps)
Surface poplitée
Ligne supra-condylaire médiale
Ligne supra-condylaire latérale
Tubercule de l'adducteur
Épicondyle médial
Épicondyle latéral
Condyle latéral
Condyle médial
Fosse intercondylaire

Ligne d'insertion du bord de la membrane synoviale
Ligne de réflexion de la membrane synoviale
Ligne d'insertion de la capsule fibreuse
Ligne de réflexion de la capsule fibreuse (non insérée)

F. Netter M.D.

Insertions des muscles de la hanche et de la cuisse : vue antérieure





Muscle moyen glutéal
Muscle petit glutéal
Muscle tenseur du fascia lata
Muscle sartorius
Muscle droit de la cuisse
Muscle obturateur externe
Muscle moyen glutéal
Muscle carré fémoral
Muscle ilio-psoas
Muscle grand glutéal
Muscle vaste latéral
Muscle grand adducteur
Muscle petit adducteur
Muscle vaste intermédiaire
Muscle biceps fémoral (chef court)
Muscle grand adducteur
Muscle vaste latéral
Muscle plantaire
Muscle gastrocnémien (chef latéral)
Muscle poplité

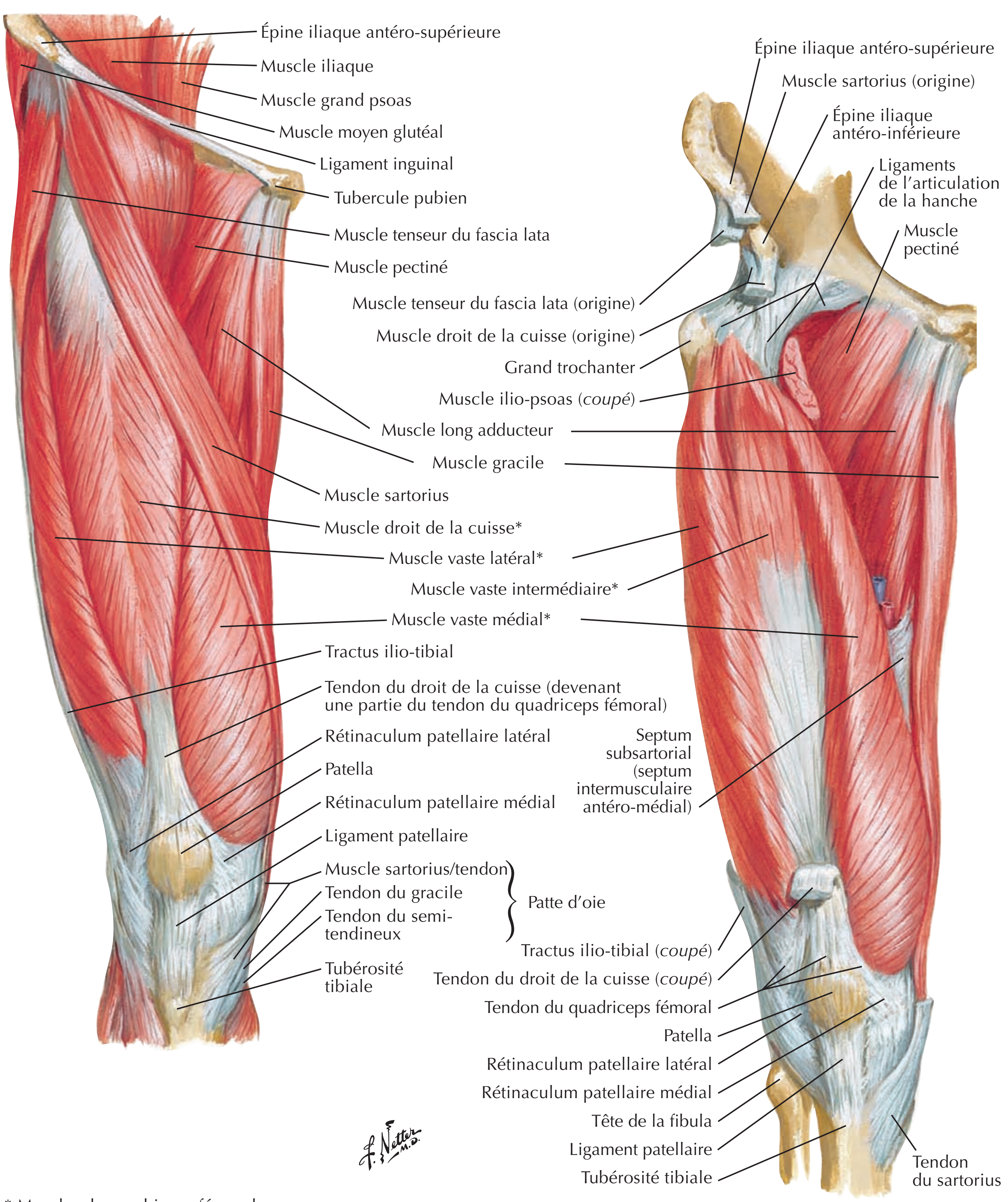
Muscle grand glutéal
Muscle jumeau supérieur
Muscle jumeau inférieur
Muscle carré fémoral
Muscle obturateur interne
Muscle grand adducteur
Muscles biceps fémoral (chef long) et semi-tendineux
Muscle semi-membraneux
Muscle pectiné
Muscle vaste médial
Muscle long adducteur
Muscle grand adducteur
Muscle gastrocnémien (chef médial)
Muscle semi-membraneux
Muscle poplité

Origines
Terminaisons

Note : la largeur de la zone d'insertion de la face postérieure du fémur (ligne âpre) a été particulièrement agrandie.

F. Netter M.D.

Muscles de la cuisse : vues antérieures



* Muscles du quadriceps fémoral



Muscles de la cuisse : vues antérieures (suite)

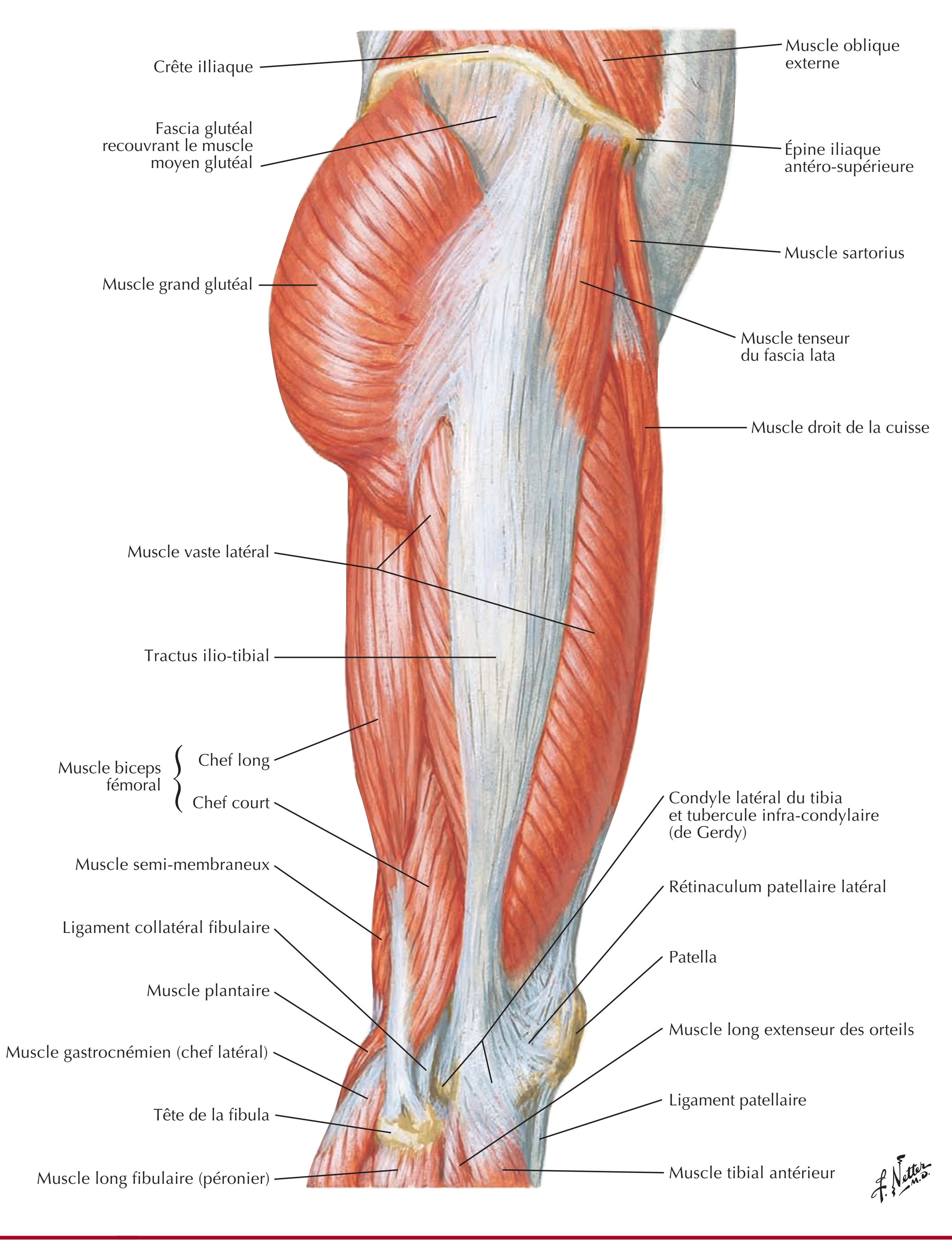
Dissection profonde

Épine iliaque antéro-supérieure
Épine iliaque antéro-inférieure
Ligaments de l'articulation de la hanche
Grand trochanter du fémur
Muscle ilio-psoas (*coupé*)
Muscle pectiné (*coupé et récliné*)
Muscle court adducteur (*coupé et récliné*)
Muscle vaste intermédiaire
Muscle long adducteur (*coupé et récliné*)
L'artère et la veine fémorales passent à travers le hiatus du muscle grand adducteur
Muscle vaste médial (*coupé*)
Tendon du droit de la cuisse (sectionné au niveau où il participe au tendon du quadriceps)
Muscle vaste latéral (*coupé*)
Épicondyle latéral du fémur
Patella
Rétinaculum patellaire latéral
Ligament collatéral fibulaire
Tête de la fibula
Ligament patellaire
Tubérosité tibiale

Muscle pectiné (*coupé et récliné*)
Branche supérieure du pubis
Muscle long adducteur (*coupé et récliné*)
Muscle court adducteur (*coupé*)
Tubercule pubien
Muscle gracile (*coupé*)
Muscle obturateur externe
Muscle carré fémoral
Adducteur minime, partie du Muscle grand adducteur
Orifices pour les branches perforantes de l'artère profonde de la cuisse (artère fémorale profonde)
Tendon du muscle grand adducteur s'insérant sur le tubercule de l'adducteur de l'épicondyle médial du fémur
Muscle gracile (*coupé*)
Ligament collatéral tibial (fibres superficielles)
Rétinaculum patellaire médial
Tendon du sartorius (*coupé*)
Tendon du muscle gracile
Tendon du semi-tendineux
Patte d'oie

F. Netter M.D.

Muscles de la hanche et de la cuisse : vue latérale



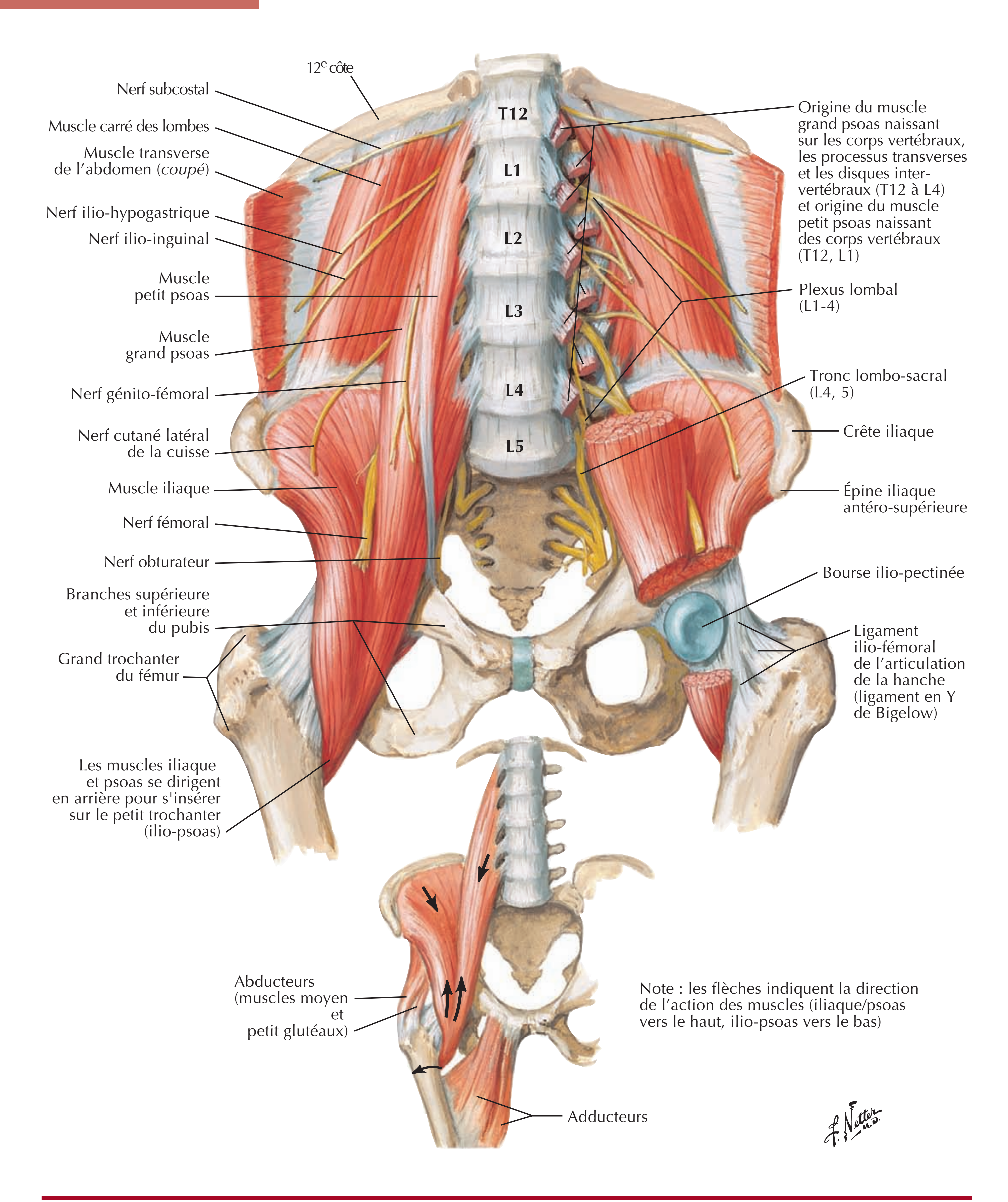


Muscles de la hanche et de la cuisse : vues postérieures

Pour le piriforme et l'obturateur interne, voir aussi **Planches 328, 329** ; pour l'obturateur externe, voir **Planche 489**

Muscles psoas et iliaque

Voir aussi **Planche 256**





Plexus lombo-sacral et coccygien

Division antérieure
Division postérieure

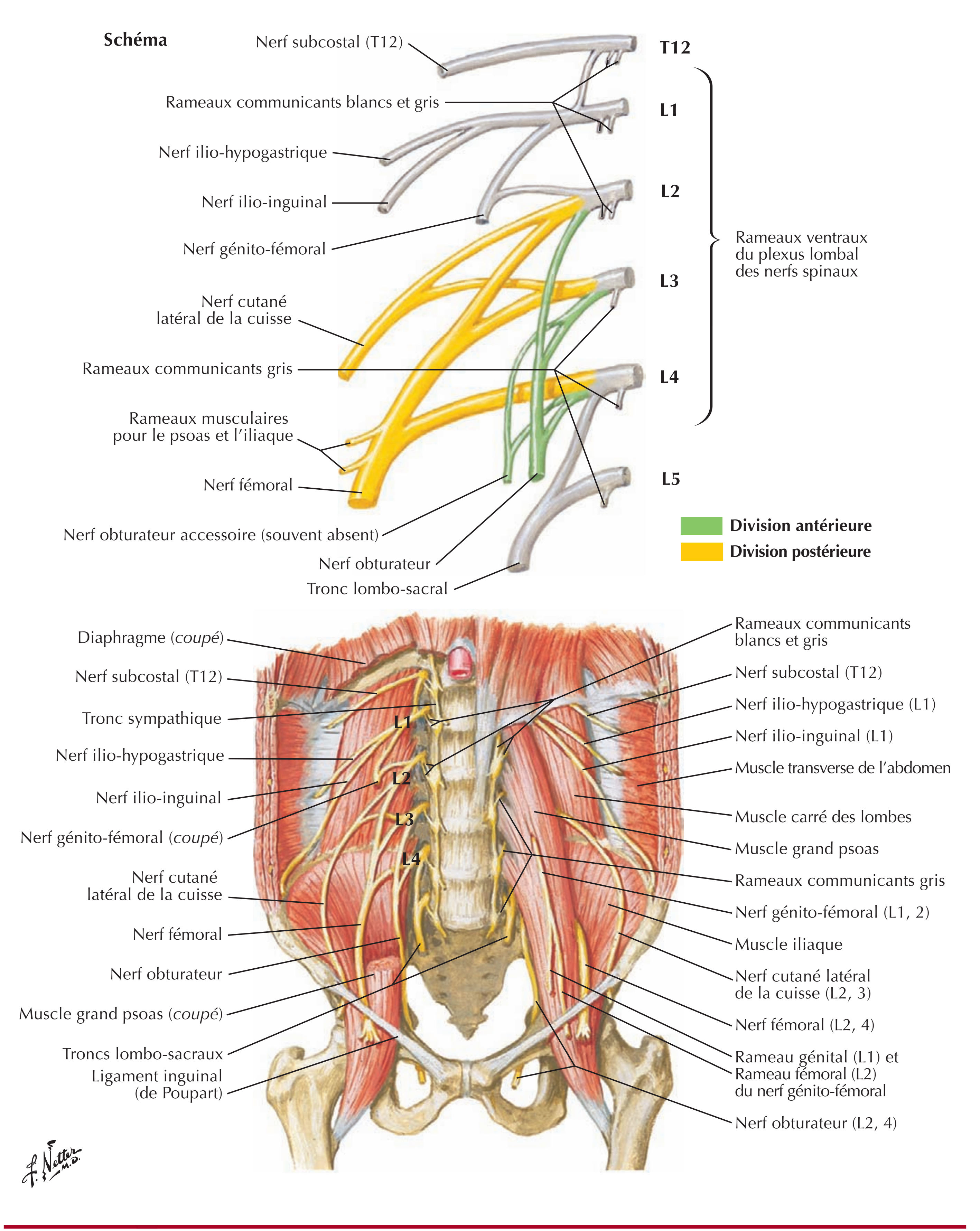
Nerf intercostal (T11)
Nerf subcostal (T12)
Nerf ilio-hypogastrique (T12, L1)
Nerf ilio-inguinal (L1)
Vers les muscles grand et petit psoas
Nerf génito-fémoral (L1, L2)
Nerf cutané latéral de la cuisse (L2, L3)
Rameau génital (L1) et Rameau fémoral (L2) du nerf génito-fémoral
Vers les muscles grand psoas et iliaque
Branches antérieures et Branches latérales des nerfs subcostal et ilio-hypogastrique
Tronc lombo-sacral
Nerf du carré fémoral (et du jumeau inférieur) (L4, L5, S1)
Vers les muscles obturateur interne et jumeau supérieur (L5, S1, S2)
Nerf glutéal supérieur (L4, L5, S1)
Nerf du muscle piriforme (S1, S2)
Nerf obturateur (L2, L3, L4)
Nerf obturateur accessoire (L3, L4) (inconstant)
Nerf glutéal inférieur (L5, S1, S2)
Nerf fémoral (L2, L3, L4)
Nerf sciatique (ischiatique)
Nerf cutané postérieur de la cuisse (S1, S2, S3)
Nerf pudendal (honteux) (S2, S3, S4)
Nerf sciatique (ischiatique): Nerf fibulaire commun (péronier) (L4, L5, S1, S2); Nerf tibial (L4, L5, S1, S2, S3)
Nerf cutané postérieur de la cuisse

Rameaux communicants
T12
L1
L2
L3
L4
L5
S1
S2
S3
S4
S5
Co

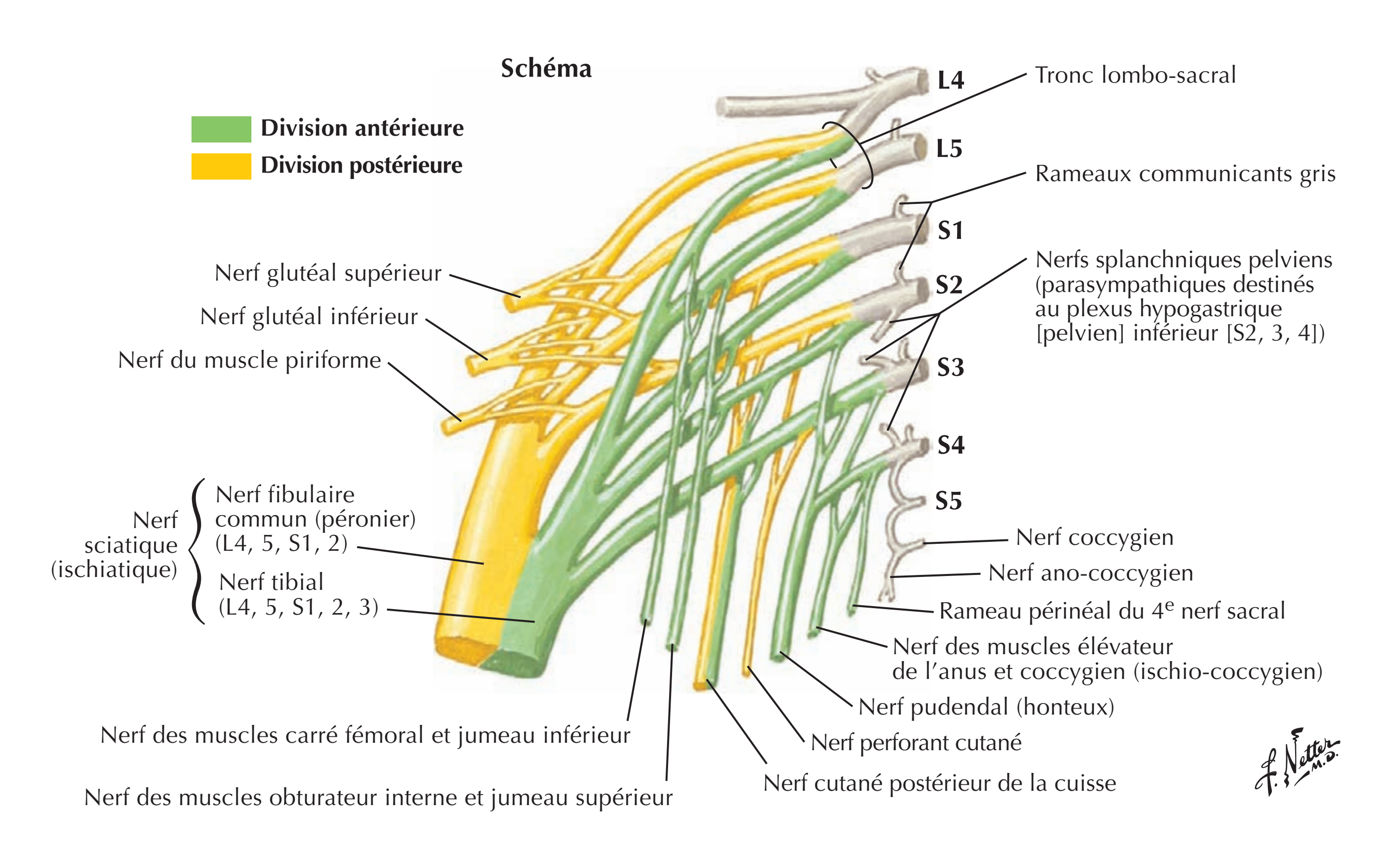
Tronc sympathique
Plexus lombal
Plexus sacral
Plexus coccygien
Nerfs splanchniques pelviens (parasympathiques)
Nerf perforant cutané (S2, S3)
Nerf des muscles élévateur de l'anus et coccygien (S3, S4)
Rameau périnéal du 4e nerf sacral
Nerfs ano-coccygiens
Nerf obturateur
Nerf anal inférieur (rectal)
Nerf dorsal du pénis/clitoris
Nerf périnéal et Rameaux postérieurs scrotaux/labiaux

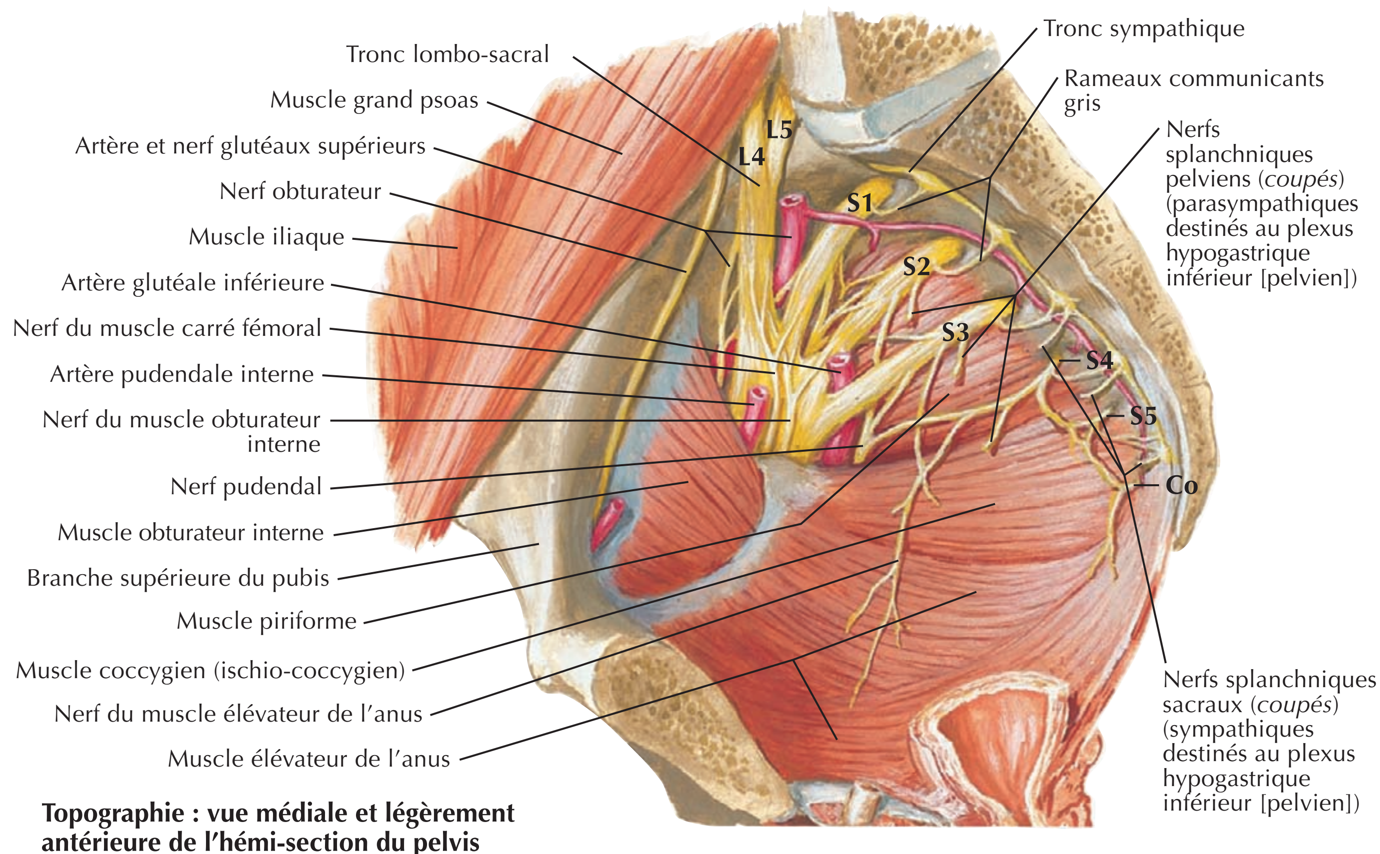
F. Netter M.D.

7 Plexus lombal





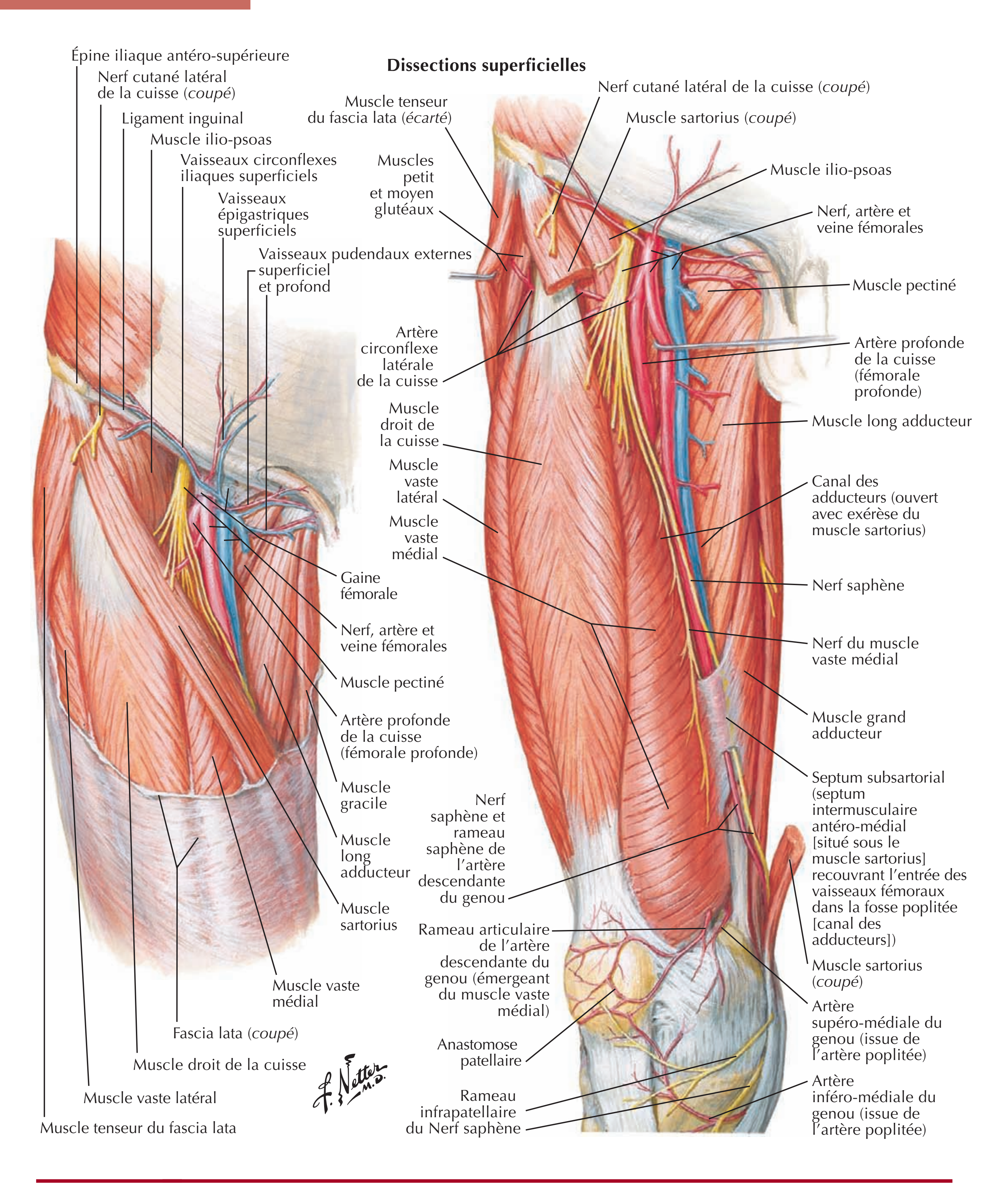




Topographie : vue médiale et légèrement antérieure de l'hémi-section du pelvis

Artères et nerfs de la cuisse : vues antérieures

Voir aussi **Planche 526**





Artères et nerfs de la cuisse : vues antérieures (suite)

Voir aussi **Planches 526, 527**

Dissection profonde

Artère circonflexe iliaque profonde

Nerf cutané latéral de la cuisse

Muscle sartorius (*coupé*)

Muscle ilio-psoas

Muscle tenseur du fascia lata (*écarté*)

Muscles moyen et petit glutéaux

Nerf fémoral

Muscle droit de la cuisse (*coupé*)

Branches ascendante, transverse et descendante de l'artère circonflexe latérale de la cuisse

Artère circonflexe médiale de la cuisse

Muscle pectiné (*coupé*)

Artère profonde de la cuisse (fémorale profonde)

Rameaux perforants

Muscle long adducteur (*coupé*)

Muscle vaste latéral

Tendon du muscle vaste intermédiaire

Muscle droit de la cuisse (*coupé*)

Nerf saphène

Septum subsartorial (septum intermusculaire antéro-médial) (*ouvert*)

Muscle vaste médial

Tendon du quadriceps fémoral

Patella et anastomose patellaire

Rétinaculum patellaire médial

Ligament patellaire

F. Netter M.D.

Artère et veine iliaques externes

Ligament inguinal (de Poupart)

Artère et veine fémorales (*coupées*)

Muscle pectiné (*coupé*)

Canal obturateur

Muscle obturateur externe

Muscle long adducteur (*coupé*)

Branche antérieure et Branche postérieure du nerf obturateur

Muscle carré fémoral

Muscle court adducteur

Rameau de la branche postérieure du nerf obturateur

Muscle grand adducteur

Muscle gracile

Rameau cutané du nerf obturateur

Artère et veine fémorales (*coupées*)

Artère descendante du genou

Rameau articulaire

Rameau saphène

Hiatus tendineux de l'adducteur

Muscle sartorius (*coupé*)

Tendon du grand adducteur

Tubercule de l'adducteur sur l'épicondyle médial du fémur

Artère supéro-médiale du genou (issue de l'artère poplitée)

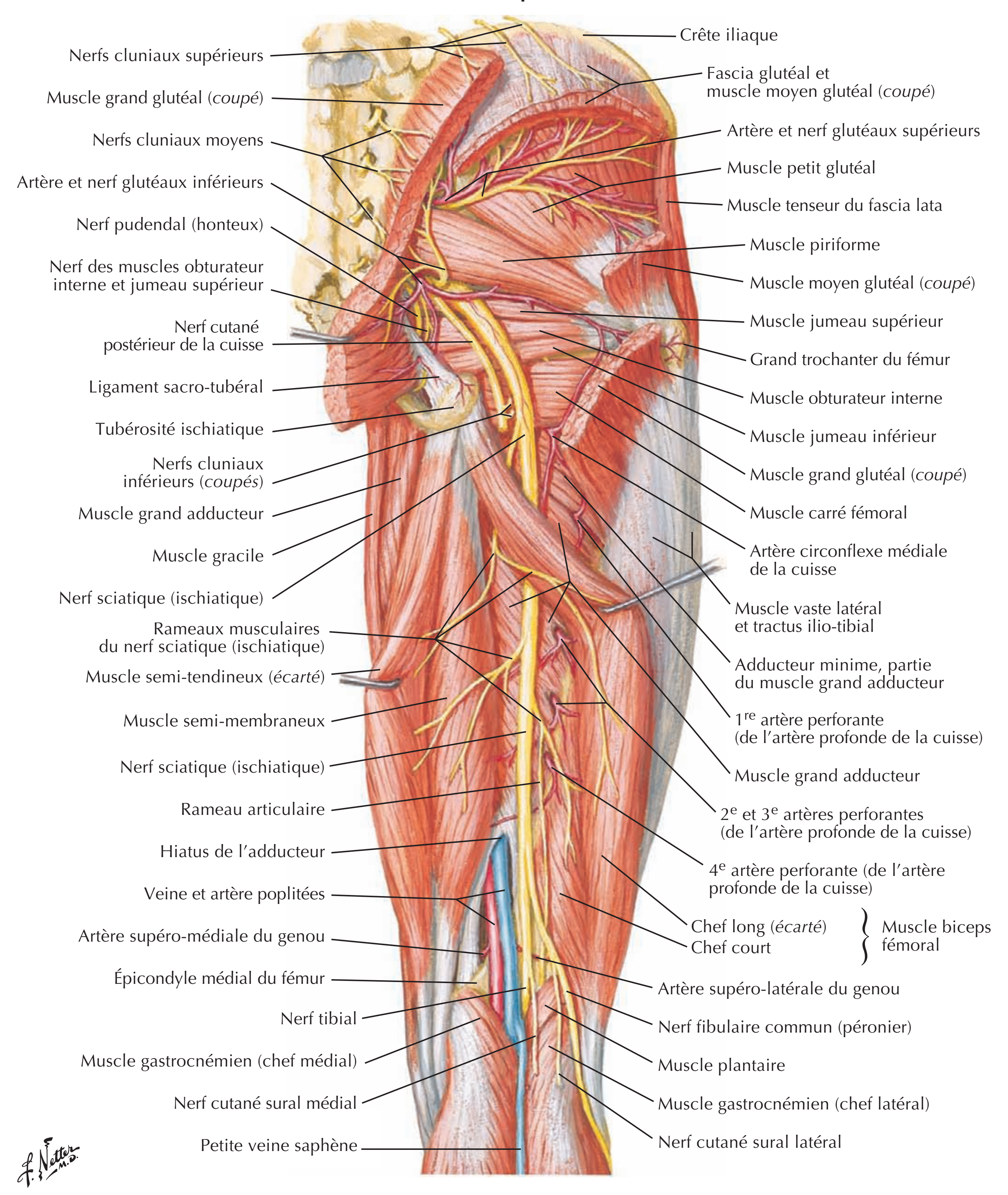
Rameau infra-patellaire du Nerf saphène

Artère inféro-médiale du genou (issue de l'artère poplitée)

Artères et nerfs de la cuisse : vue postérieure

Voir aussi **Planche 528**

Dissection profonde





Nerfs de la hanche et de la fesse

Crête iliaque

Muscle grand glutéal (*coupé*)

Nerf glutéal supérieur

Nerf sciatique (ischiatique) (*coupé*)

Nerf glutéal inférieur

Nerf cutané postérieur de la cuisse (*coupé*)

Nerf des muscles obturateur interne et jumeau supérieur

Nerf pudendal (honteux)

Épine ischiatique

Ligament sacro-épineux

Nerf perforant cutané

Ligament sacro-tubéral

Nerf anal inférieur (rectal)

Nerf dorsal du pénis/clitoris

Nerf périnéal

Nerf scrotal/labial postérieur

Branches périnéales du nerf cutané postérieur de la cuisse

Tubérosité ischiatique

Muscle semi-tendineux

Muscle biceps fémoral (chef long) (recouvrant le muscle semi-membraneux)

Muscle moyen glutéal (*coupé*)

Muscle petit glutéal

Muscle piriforme

Muscle jumeau supérieur

Muscle tenseur du fascia lata

Muscle moyen glutéal (*coupé*)

Muscle obturateur interne

Nerf du muscle carré fémoral (et du jumeau inférieur) donnant un rameau articulaire pour l'articulation de la hanche

Grand trochanter du fémur

Crête intertrochantérique

Muscle jumeau inférieur

Muscle carré fémoral

Muscle grand glutéal (*coupé*)

Nerf sciatique (ischiatique) (*coupé*)

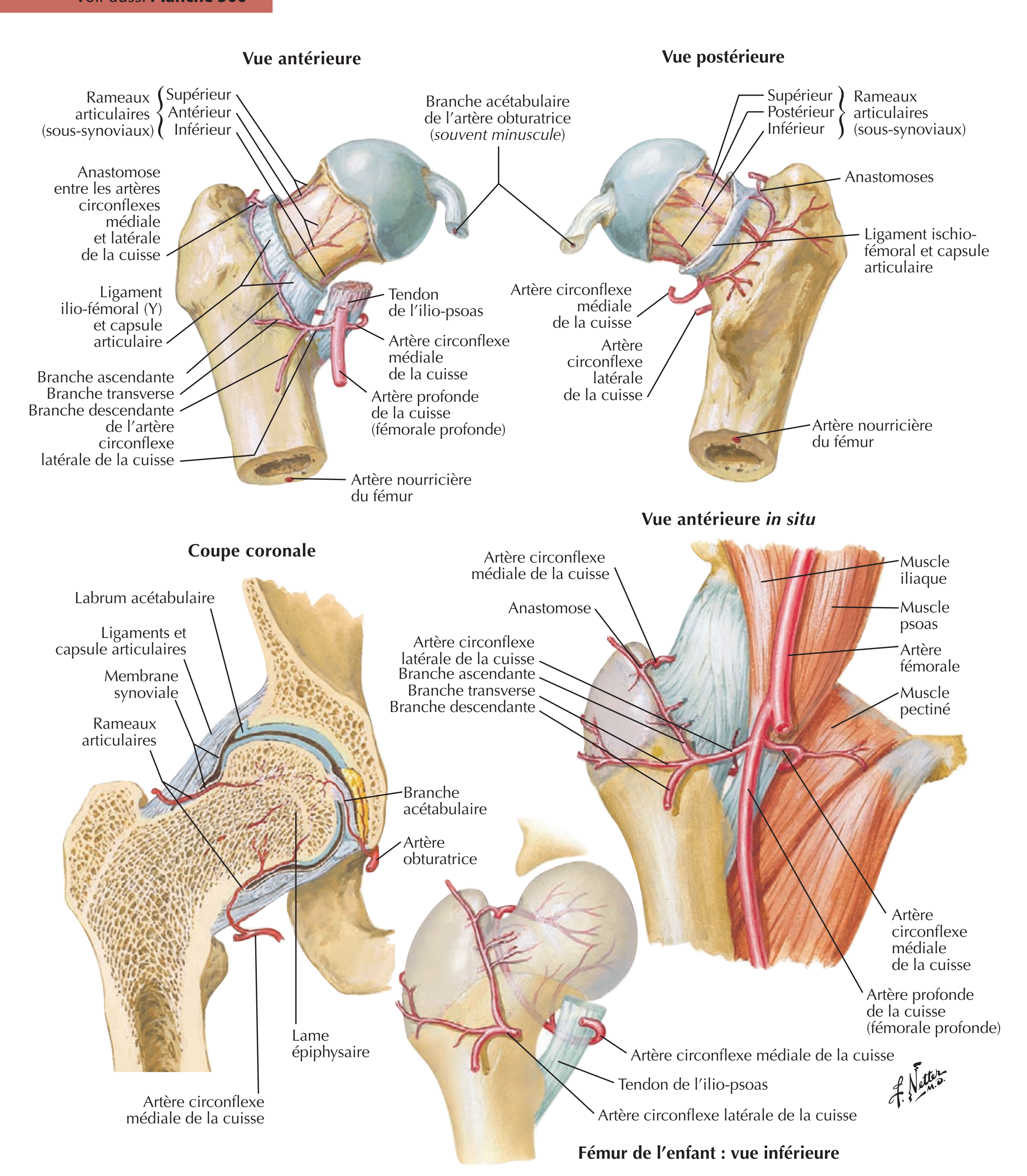
Nerf cutané postérieur de la cuisse (*coupé*)

Nerfs cluniaux inférieurs

F. Netter M.D.

Artères de la tête et du col du fémur

Voir aussi **Planche 500**



Cuisse : coupes transversales sériées

Muscle sartorius
Artère et veine profondes de la cuisse (fémorales profondes)
Muscle pectiné
Muscle ilio-psoas
Muscle droit de la cuisse
Muscle vaste médial
Nerf cutané latéral de la cuisse
Muscle vaste intermédiaire
Fémur
Muscle vaste latéral
Muscle tenseur du fascia lata
Tractus ilio-tibial
Muscle grand glutéal

Fascia lata
Rameaux du nerf fémoral
Artère et veine fémorales
Muscle long adducteur
Grande veine saphène
Nerf obturateur (branche antérieure)
Muscle court adducteur
Nerf obturateur (branche postérieure)
Muscle gracile
Muscle grand adducteur
Nerf sciatique (ischiatique)
Nerf cutané postérieur de la cuisse
Muscle semi-membraneux
Muscle semi-tendineux
Muscle biceps fémoral (chef long)

Muscle vaste médial
Muscle droit de la cuisse
Muscle vaste intermédiaire
Muscle vaste latéral
Tractus ilio-tibial
Septum intermusculaire latéral de la cuisse
Muscle biceps fémoral { Chef court / Chef long
Muscle semi-tendineux
Muscle semi-membraneux

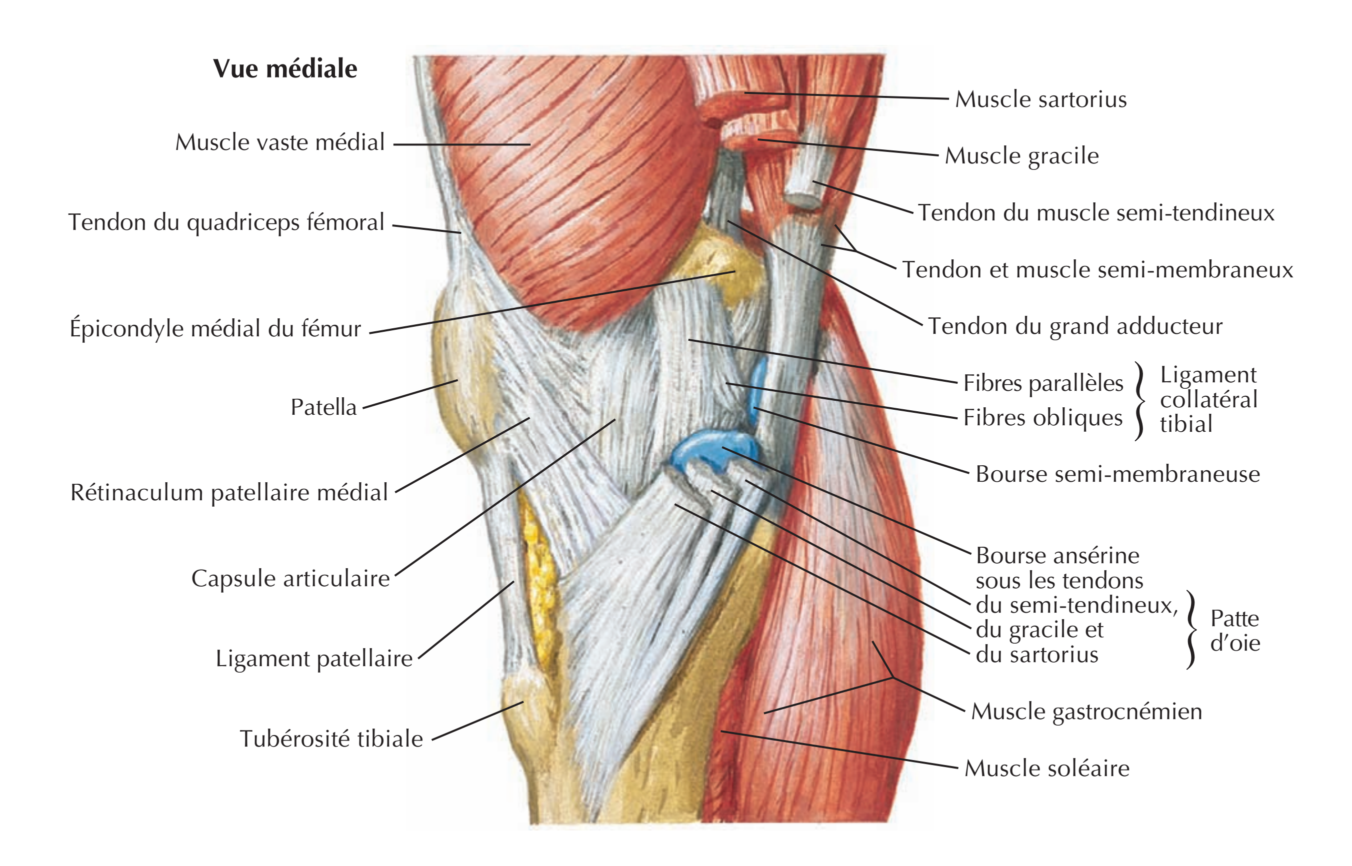
Septum intermusculaire médial de la cuisse
Muscle sartorius
Nerf du muscle vaste médial
Nerf saphène
Artère et veine fémorales
} dans le canal des adducteurs
Grande veine saphène
Muscle long adducteur
Muscle gracile
Muscle court adducteur
Artère et veine profondes de la cuisse (fémorales profondes)
Muscle grand adducteur
Septum intermusculaire postérieur de la cuisse
Nerf sciatique (ischiatique)

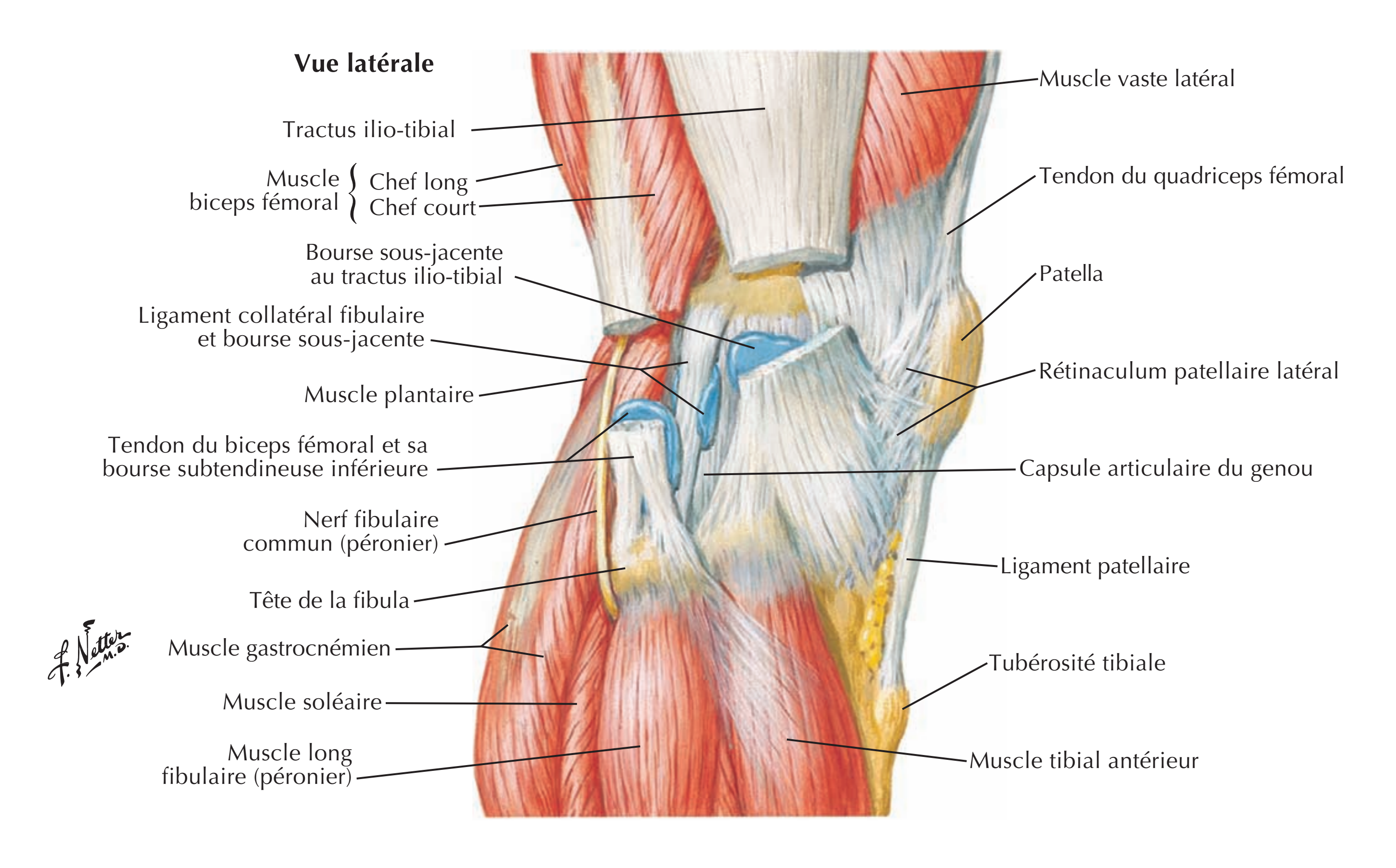
Tendon du muscle droit fémoral
Muscle vaste intermédiaire
Tractus ilio-tibial
Muscle vaste latéral
Muscle articulaire du genou
Septum intermusculaire latéral de la cuisse
Fémur
Muscle biceps fémoral
Nerf fibulaire commun (péronier)
Nerf tibial

Muscle vaste médial
Muscle sartorius
Nerf saphène et artère descendante du genou
Grande veine saphène
Muscle gracile
Tendon du grand adducteur
Veine et artère poplitées
Muscle semi-membraneux
Muscle semi-tendineux

F. Netter M.D.

Genou : vues latérale et médiale







Genou droit en extension

Muscle vaste intermédiaire
Muscle vaste latéral
Tractus ilio-tibial
Rétinaculum patellaire latéral
Épicondyle latéral du fémur
Ligament collatéral fibulaire et sa bourse
Tendon du biceps fémoral et sa bourse subtendineuse inférieure
Ligne en pointillé indiquant la bourse sous le tractus ilio-tibial
Insertion du tractus ilio-tibial sur le tubercule infra-condylaire (de Gerdy) et la ligne oblique du tibia
Nerf fibulaire commun (péronier)
Tête de la fibula
Muscle long fibulaire (péronier)
Muscle long extenseur des orteils
Muscle tibial antérieur

Fémur
Muscle articulaire du genou
Muscle vaste médial
Tendon du muscle droit fémoral devenant tendon du quadriceps fémoral
Patella
Épicondyle médial du fémur
Rétinaculum patellaire médial
Ligament collatéral tibial
Tendons du semi-tendineux, du gracile et du sartorius } Patte d'oie
Bourse ansérine
Condyle médial du tibia
Ligament patellaire
Tubérosité tibiale
Muscle gastrocnémien

Articulation ouverte, genou légèrement fléchi

Fémur
Muscle articulaire du genou
Membrane synoviale (*coupée*)
Condyle latéral du fémur
Origine du tendon poplité (recouvert par la membrane synoviale)
Récessus subpoplité
Ménisque latéral
Ligament collatéral fibulaire
Tête de la fibula
Patella (surface articulaire de la face postérieure)
Muscle vaste latéral (*récliné en bas*)

Bourse synoviale supra-patellaire
Ligaments croisés (recouverts par la membrane synoviale)
Condyle médial du fémur
Pli synovial infra-patellaire
Ménisque médial
Plis alaires (*coupés*)
Bourrelets graisseux infra-patellaires (recouverts par la membrane synoviale)
Bourse synoviale supra-patellaire (*sommet récliné*)
Muscle vaste médial (*récliné en bas*)

F. Netter M.D.

7 Genou : intérieur

Vue inférieure

Tractus ilio-tibial adhérent au rétinaculum patellaire latéral et à la capsule
Bourse
Récessus subpoplité
Tendon poplité
Ligament collatéral fibulaire
Bourse
Condyle latéral du fémur
Ligament croisé antérieur
Ligament poplité arqué
Ligament patellaire
Rétinaculum patellaire médial adhérent à la capsule articulaire
Bourse synoviale supra-patellaire
Membrane synoviale (*bord coupé*)
Pli synovial infra-patellaire
Ligament croisé postérieur
Ligament collatéral tibial (fibres superficielles et profondes)
Condyle médial du fémur
Ligament poplité oblique
Tendon du semi-membraneux
Face postérieure

Vue supérieure

Ligament ménisco-fémoral postérieur
Ligament poplité arqué
Ligament collatéral fibulaire
Bourse
Tendon du poplité
Récessus subpoplité
Ménisque latéral
Surface articulaire supérieure du tibia (facette latérale)
Tractus ilio-tibial adhérent à la capsule
Corps adipeux infra-patellaire
Tendon du semi-membraneux
Ligament poplité oblique
Ligament croisé postérieur
Ligament collatéral tibial (fibres profondes liées au ménisque médial)
Ménisque médial
Membrane synoviale
Surface articulaire supérieure du tibia (facette médiale)
Capsule articulaire
Ligament croisé antérieur
Ligament patellaire
Face antérieure

Vue supérieure : après ablation des ligaments et du cartilage

Insertion du ligament croisé postérieur
Insertion de la membrane synoviale
Surface articulaire supérieure du tibia (facette latérale)
Insertions des cornes du ménisque latéral
Insertions des cornes du ménisque médial
Éminence intercondylaire
Insertion de la membrane synoviale
Surface articulaire supérieure du tibia (facette médiale)
Insertion du ligament croisé antérieur
Tubérosité tibiale
Face antérieure

F. Netter M.D.

Genou : ligaments croisés et collatéraux



Genou droit en flexion : vue antérieure

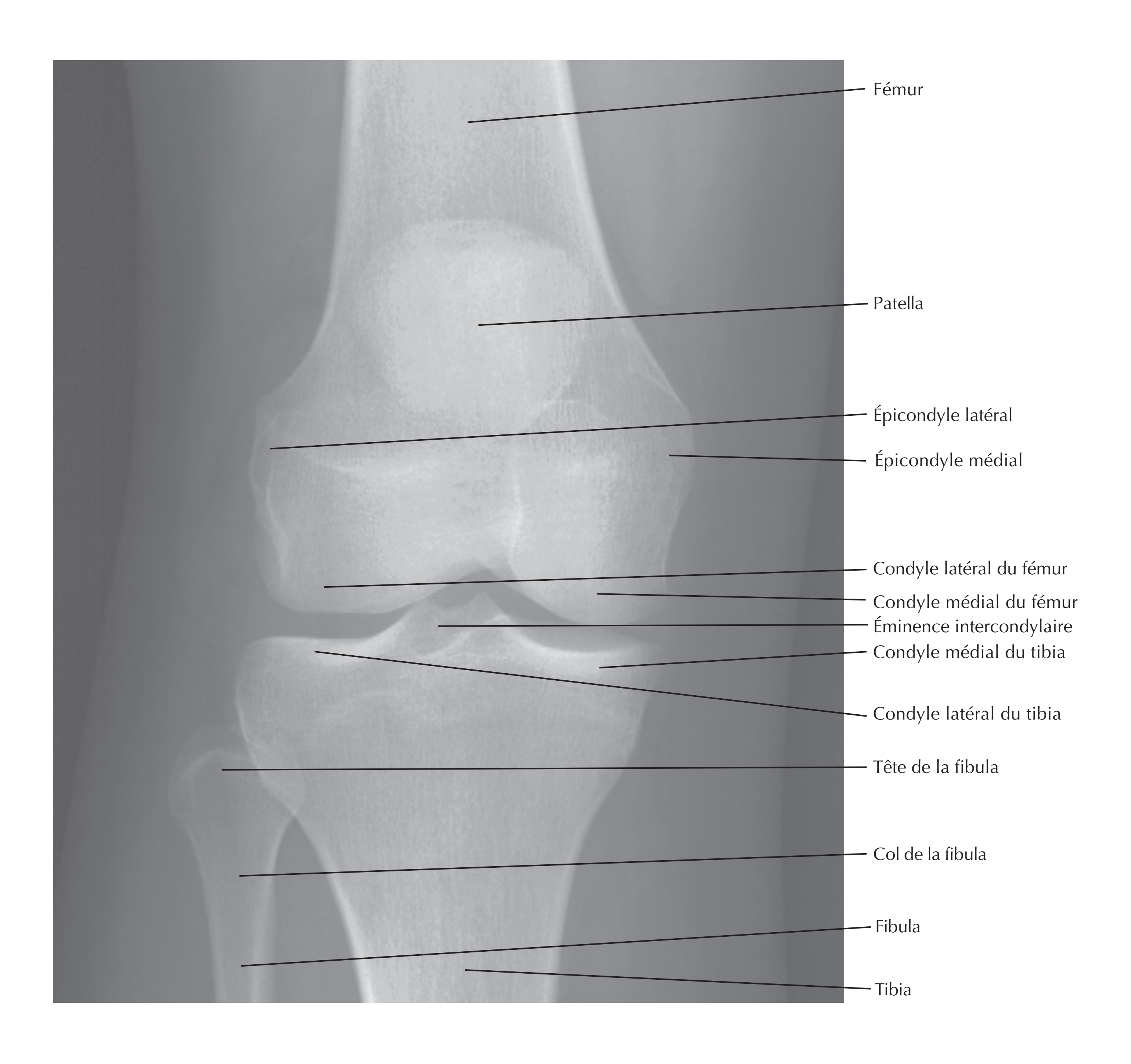
Ligament croisé antérieur
Condyle latéral du fémur (surface articulaire)
Tendon du poplité
Ligament collatéral fibulaire
Ménisque latéral
Ligament transverse du genou
Tête de la fibula
Tubercule infra-condylaire (de Gerdy)
Ligament croisé postérieur
Condyle médial du fémur (surface articulaire)
Ménisque médial
Ligament collatéral tibial (fibres superficielles et profondes)
Condyle médial du tibia
Tubérosité tibiale

Genou droit en extension : vue postérieure

Tubercule de l'adducteur sur l'épicondyle médial du fémur
Condyle médial du fémur (surface articulaire)
Ligament collatéral tibial (fibres superficielles et profondes)
Ménisque médial
Condyle médial du tibia
Ligament croisé postérieur
Ligament croisé antérieur
Ligament ménisco-fémoral postérieur
Condyle latéral du fémur (surface articulaire)
Tendon du poplité
Ligament collatéral fibulaire
Ménisque latéral
Tête de la fibula

F. Netter M.D.

Genou : radiographie antério-postérieure





Genou : vues postérieure et sagittale

Genou droit : vue postérieure

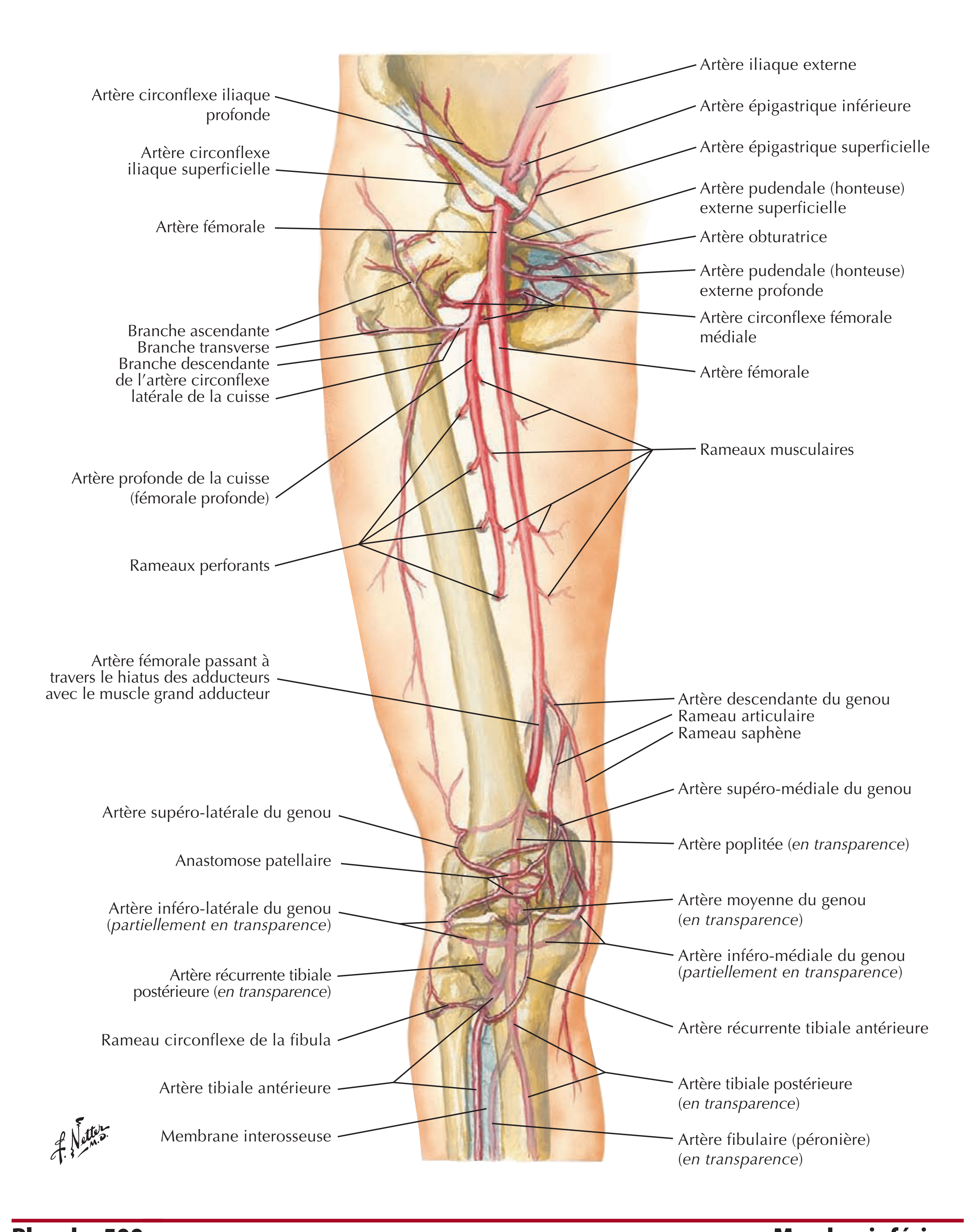
Fémur (face poplitée)
Tendon du grand adducteur
Insertion de la capsule articulaire
Muscle plantaire
Chef médial du muscle gastrocnémien et bourse subtendineuse
Chef latéral du muscle gastrocnémien et bourse sous-jacente
Ligament collatéral tibial
Tendon du semi-membraneux
Ligament collatéral fibulaire et Bourse sous-jacente
Ligament poplité oblique (expansion tendineuse du muscle semi-membraneux)
Tendon du biceps fémoral et Bourse sous-jacente
Bourse semi-membraneuse sous-jacente au tendon (*ligne en pointillé*)
Ligament poplité arqué (bord arciforme de la capsule recouvrant le muscle poplité)
Muscle poplité
Tête de la fibula
Ligament postérieur de la tête fibulaire
Insertion de la capsule articulaire
Membrane interosseuse
Tibia

Fémur
Muscle articulaire du genou
Tendon du quadriceps fémoral
Corps graisseux supra-patellaire
Bourse synoviale supra-patellaire
Bourse subtendineuse du muscle gastrocnémien
Patella
Bourse sous-cutanée prépatellaire
Cavité articulaire
Membrane synoviale
Ligament patellaire
Membrane synoviale
Corps adipeux infra-patellaire
Bourse sous-cutanée infra-patellaire
Bourse infra-patellaire profonde (subtendineuse)
Ménisque latéral
Cartilages articulaires
Tubérosité tibiale
Tibia

Coupe sagittale (latérale à la ligne médiane du genou)

F. Netter M.D.

Artères de la cuisse et du genou : schéma





Os de la jambe droite

Vue antérieure

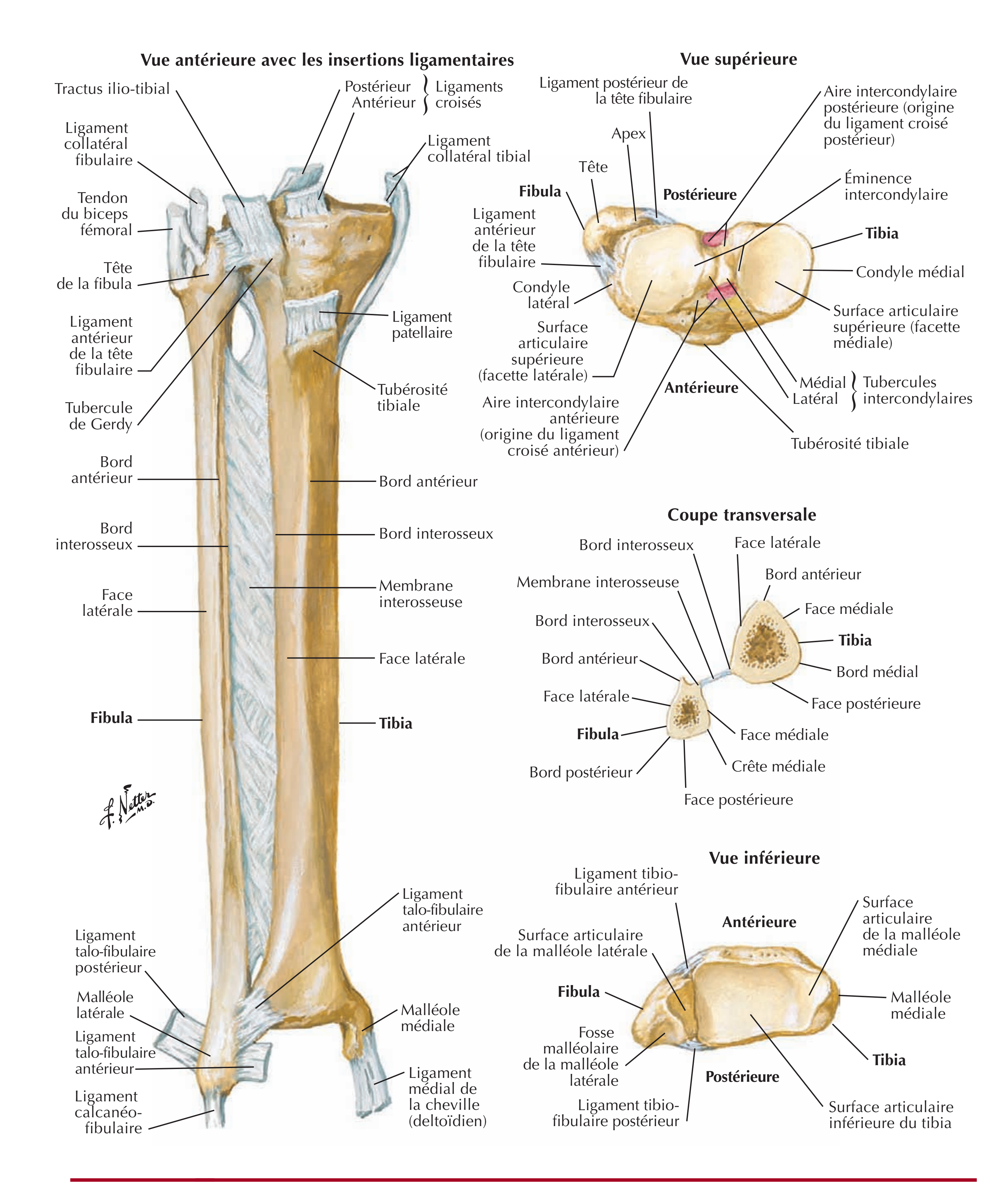
Éminence intercondylaire
Tubercule intercondylaire latéral
Tubercule intercondylaire médial
Aire intercondylaire antérieure
Condyle latéral
Condyle médial
Apex
Tête
Col
de la fibula
Tubercule infra-condylaire (de Gerdy) (insertion du tractus ilio-tibial)
Ligne oblique
Tubérosité tibiale
Face latérale
Face latérale
Bord antérieur
Bord antérieur
Bord interosseux
Bord interosseux
Face médiale
Face médiale
Bord médial
Fibula
Tibia
Malléole latérale
Malléole médiale
Surface articulaire de la malléole latérale
Surface articulaire inférieure
Surface articulaire de la malléole médiale

Vue postérieure

Éminence intercondylaire
Tubercule intercondylaire médial
Tubercule intercondylaire latéral
Aire intercondylaire postérieure
Surfaces articulaires supérieures (facettes latérale et médiale)
Condyle latéral
Apex
Tête
Col
de la fibula
Sillon d'insertion du tendon du semi-membraneux
Ligne soléaire
Trou nourricier
Bord interosseux
Face postérieure
Face postérieure
Crête médiale
Bord médial
Face latérale
Tibia
Fibula
Bord postérieur
Sillon des tendons du tibial postérieur et du long fléchisseur des orteils
Incisure fibulaire
Malléole médiale
Malléole latérale
Fosse malléolaire de la malléole latérale
Surface articulaire de la malléole médiale
Surface articulaire inférieure

F. Netter M.D.

Tibia et fibula (suite)





Insertions des muscles de la jambe

Vue antérieure

Tractus ilio-tibial

Muscle biceps fémoral

Muscle long fibulaire (péronier)

Muscle long extenseur des orteils

Muscle long extenseur de l'hallux

Muscle court fibulaire (péronier)

Muscle troisième fibulaire (péronier)

Muscle sartorius
Muscle gracile
Muscle semi-tendineux
} Patte d'oie

Muscle quadriceps fémoral via le ligament patellaire

Muscle tibial antérieur

Muscle court fibulaire (péronier)

Muscle troisième fibulaire (péronier)

Muscle long extenseur des orteils

Muscle long extenseur de l'hallux

Vue postérieure

Muscle plantaire

Muscle gastrocnémien (chef médial)

Muscle gastrocnémien (chef latéral)

Muscle poplité

Muscle semi-membraneux

Muscle poplité

Muscle soléaire

Muscle tibial postérieur

Muscle long fléchisseur des orteils

Muscle long fléchisseur de l'hallux

Muscle court fibulaire (péronier)

Muscle plantaire

Muscles soléaire et gastrocnémien via le tendon calcanéen (d'Achille)

Muscle tibial postérieur

Muscle tibial antérieur

Muscle long fibulaire (péronier)

Muscle long fléchisseur de l'hallux

Muscle long fléchisseur des orteils

Origines

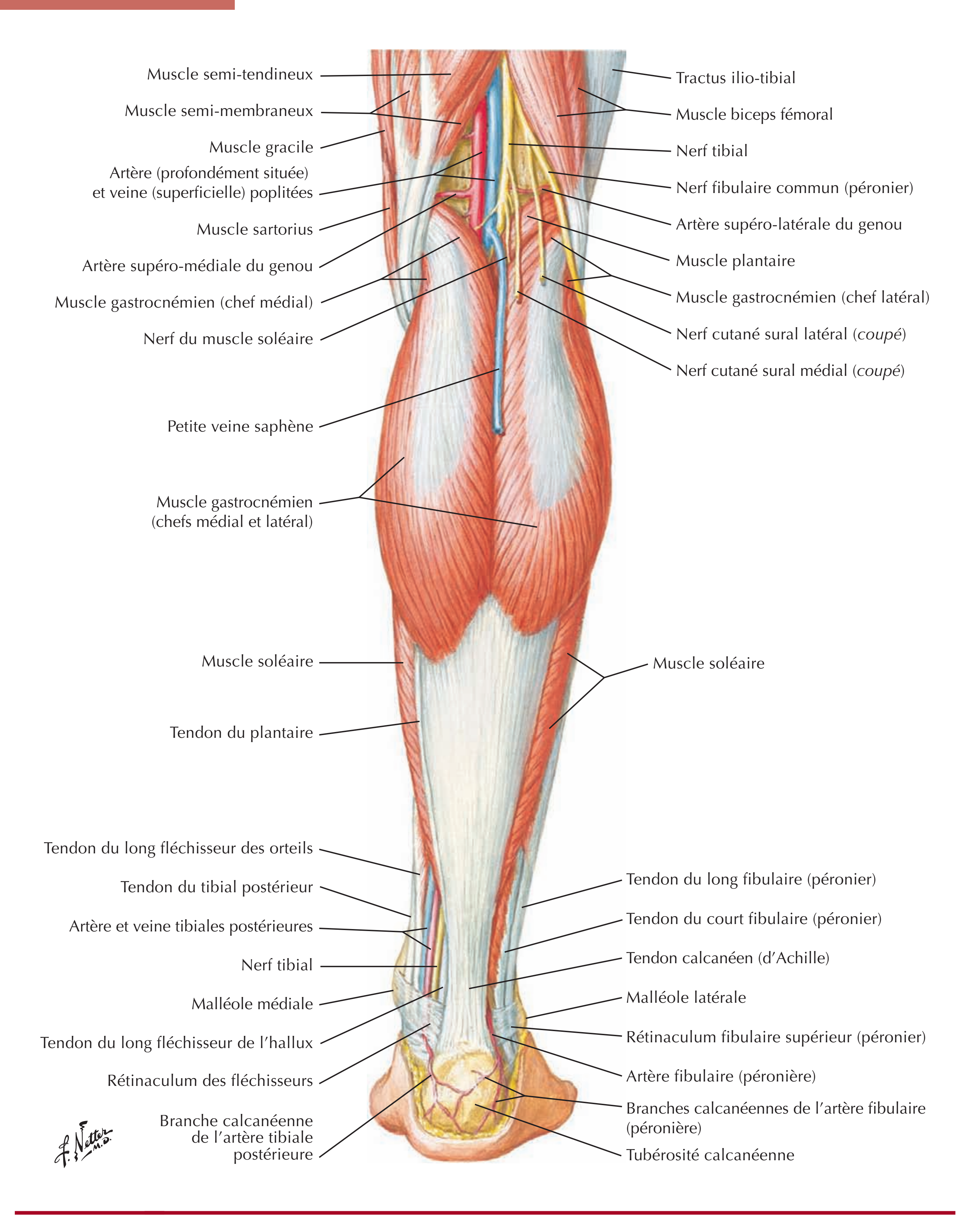
Terminaisons

Note : les insertions des muscles intrinsèques du pied ne sont pas représentées ici.

F. Netter M.D.

Muscles de la jambe (dissection superficielle) : vue postérieure

Voir aussi **Planche 529**





Muscles de la jambe (dissection intermédiaire) : vue postérieure

Voir aussi **Planche 529**

Tendon du grand adducteur

Artère (profonde) et veine (superficielle) poplitées

Artère supéro-médiale du genou

Muscle gastrocnémien (chef médial) (*coupé*)

Ligament collatéral tibial

Tendon du semi-membraneux (*coupé*)

Artère inféro-médiale du genou

Muscle poplité

Arcade tendineuse du Muscle soléaire

Tendon du plantaire

Muscle gastrocnémien (*coupé*)

Muscle soléaire s'insérant dans le tendon calcanéen (d'Achille)

Muscle long fléchisseur des orteils

Tendon du tibial postérieur

Artère et veine tibiales postérieures

Nerf tibial

Malléole médiale

Tendon du long fléchisseur de l'hallux

Rétinaculum des fléchisseurs

Tendon calcanéen (d'Achille)

Branche calcanéenne de l'artère tibiale postérieure

Nerf tibial

Nerf fibulaire commun (péronier) (*coupé*)

Artère supéro-latérale du genou

Nerfs cutanés suraux latéral et médial (*coupés*)

Muscle gastrocnémien (chef latéral) (*coupé*)

Ligament fibulaire collatéral

Tendon du biceps fémoral (*coupé*)

Muscle plantaire

Artère inféro-latérale du genou

Tête de la fibula

Nerf fibulaire commun (péronier) (*coupé*)

Nerf du muscle soléaire

Muscle long fibulaire (péronier)

Muscle soléaire

Tendon du long fibulaire (péronier)

Tendon du court fibulaire (péronier)

Malléole latérale

Rétinaculum fibulaire (péronier) supérieur

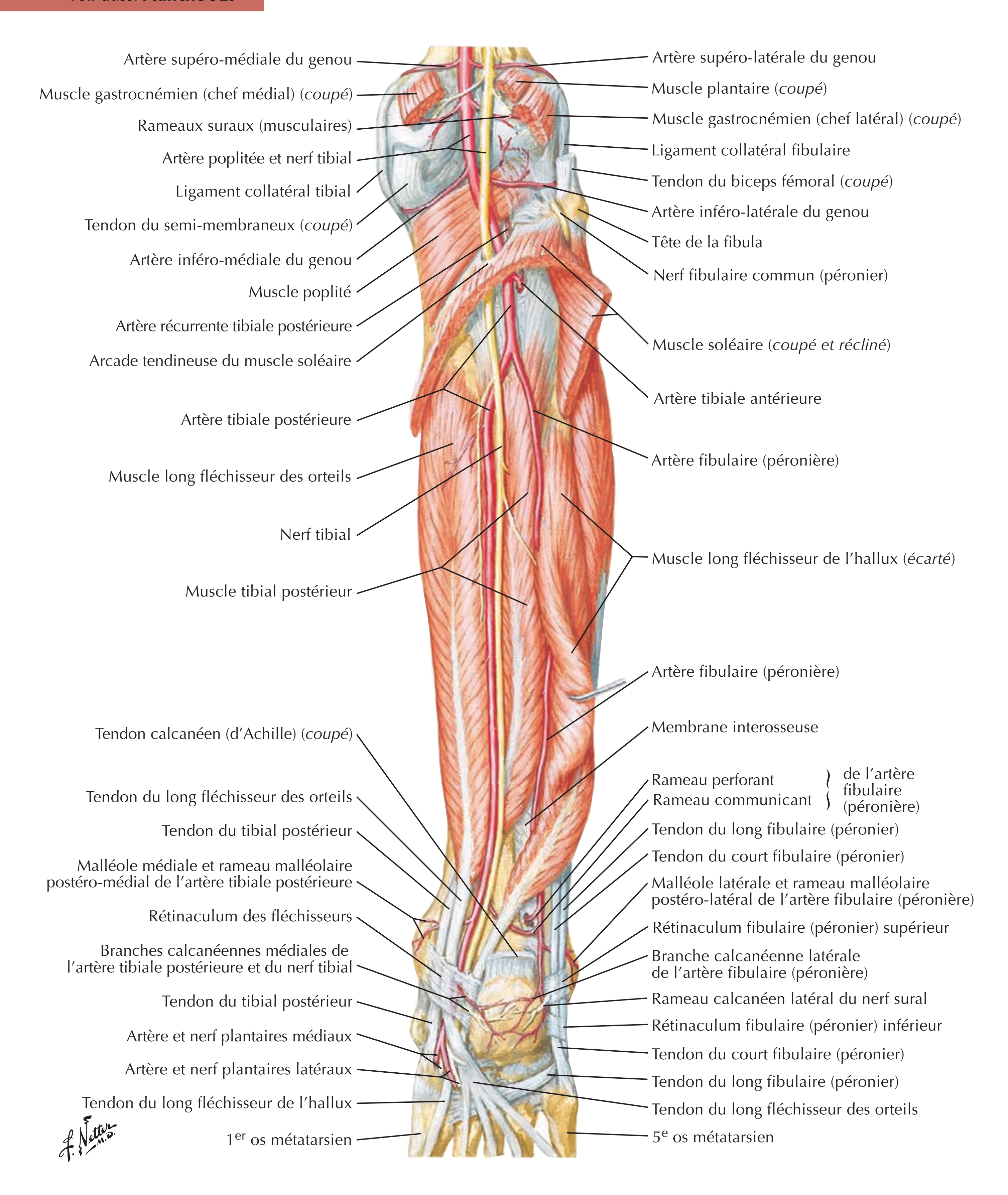
Artère fibulaire (péronière)

Branches calcanéennes de l'artère fibulaire (péronière)

Tubérosité calcanéenne

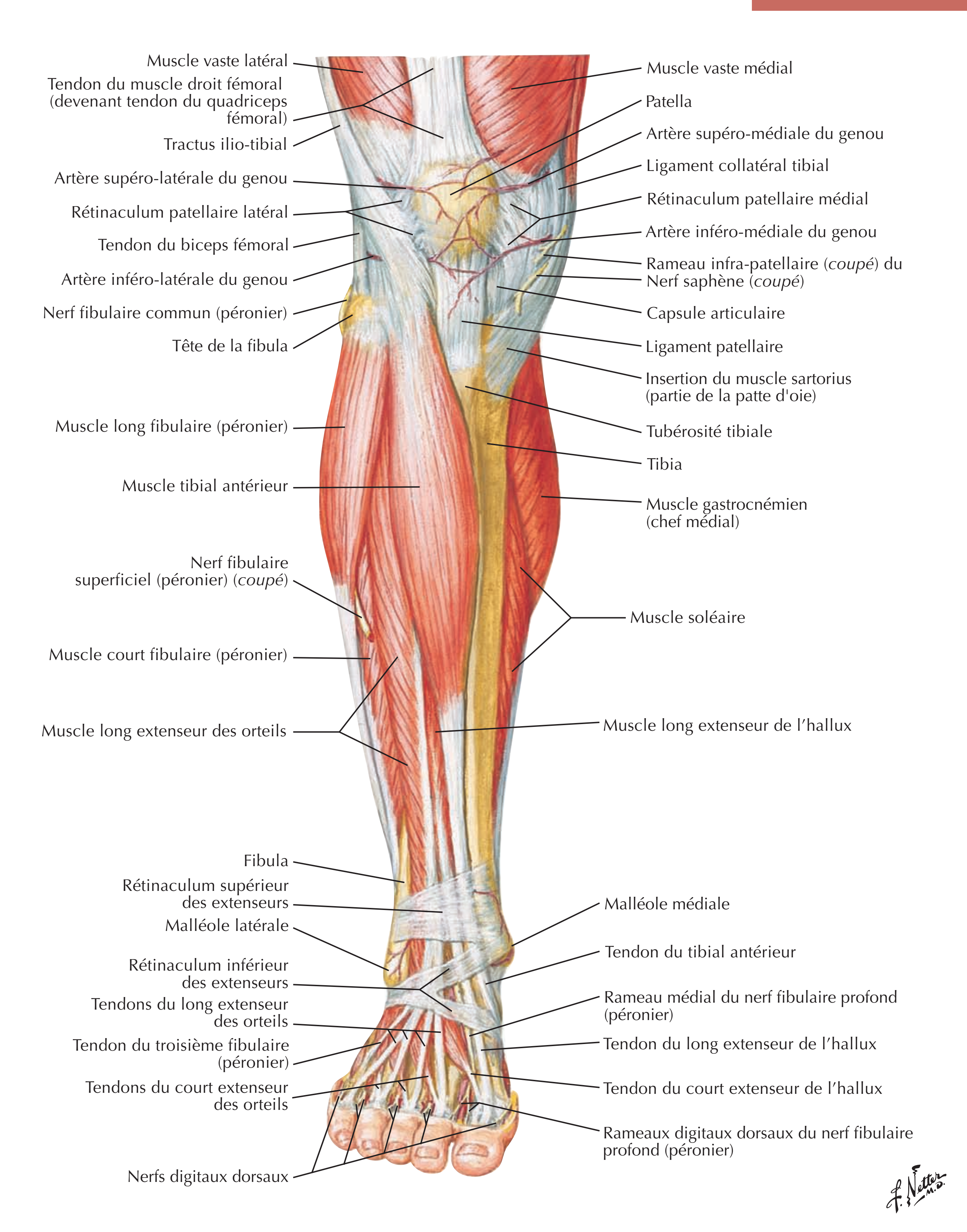
7 Muscles de la jambe (dissection profonde) : vue postérieure

Voir aussi **Planche 529**



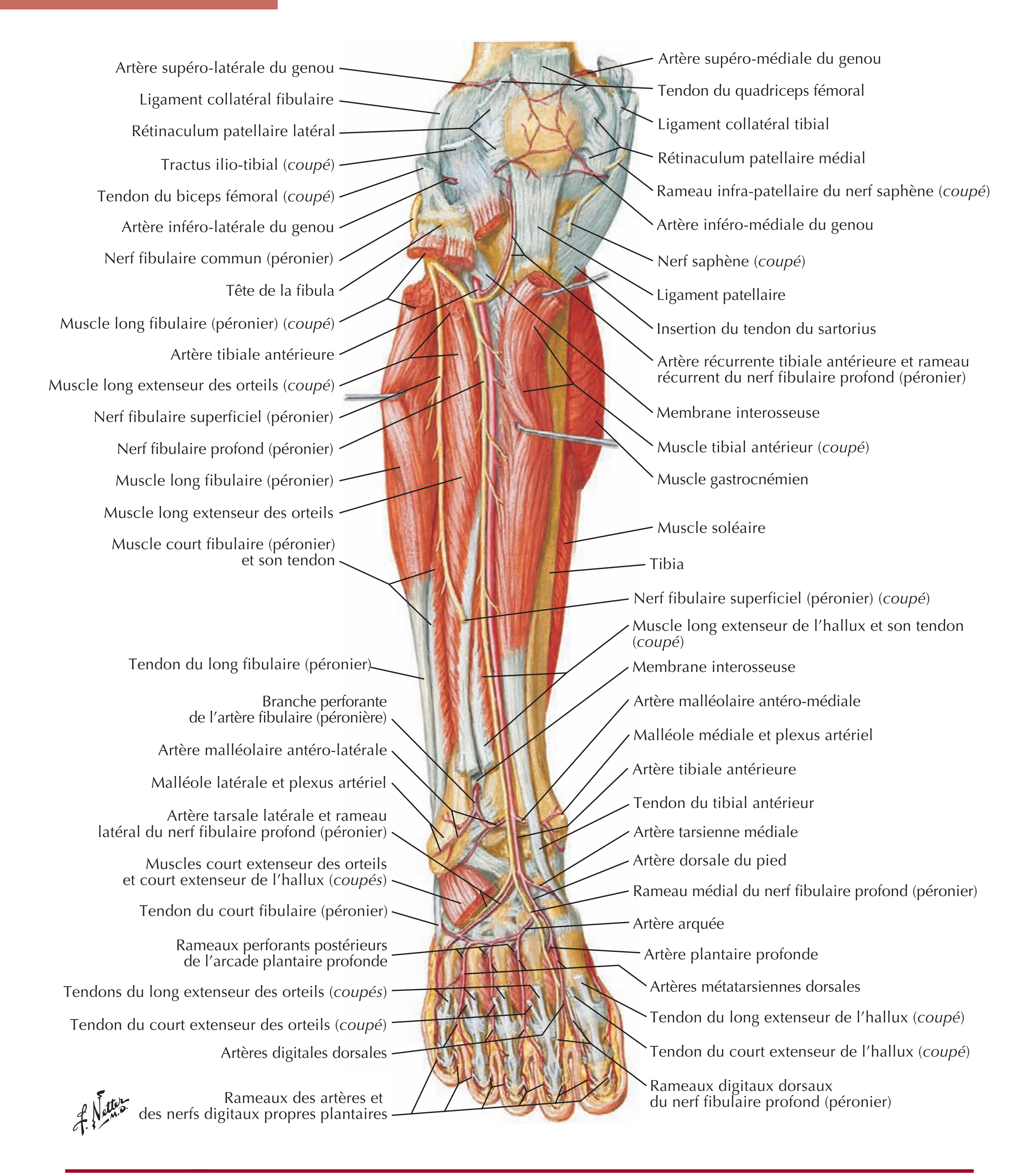
Muscles de la jambe (dissection superficielle) : vue antérieure

Voir aussi **Planche 530**



Muscles de la jambe (dissection profonde) : vue antérieure

Voir aussi **Planche 530**





Muscles de la jambe : vue latérale

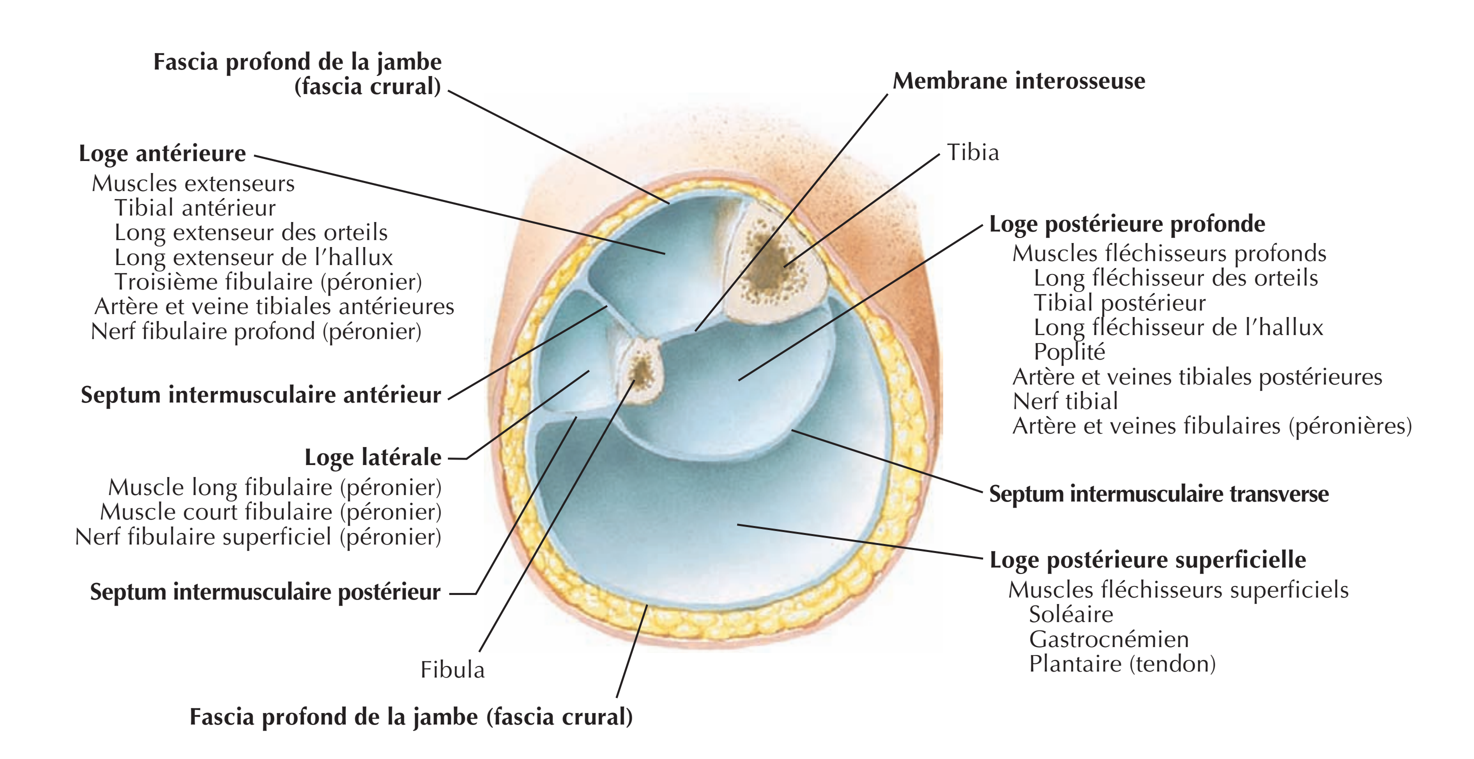
Voir aussi **Planche 530**

Muscle biceps fémoral
Chef long
Chef court
Tendon
Ligament collatéral fibulaire
Nerf fibulaire commun (péronier)
Artère inféro-latérale du genou
Tête de la fibula
Muscle gastrocnémien (chef latéral)
Muscle soléaire
Muscle long fibulaire (péronier) et son tendon
Muscle court fibulaire (péronier) et son tendon
Fibula
Malléole latérale
Tendon calcanéen (d'Achille)
Bourse du tendon calcanéen (subtendineuse)
Rétinaculum fibulaire supérieur (péronier)
Rétinaculum fibulaire inférieur (péronier)
Tendon du long fibulaire (péronier) passant sous la plante du pied

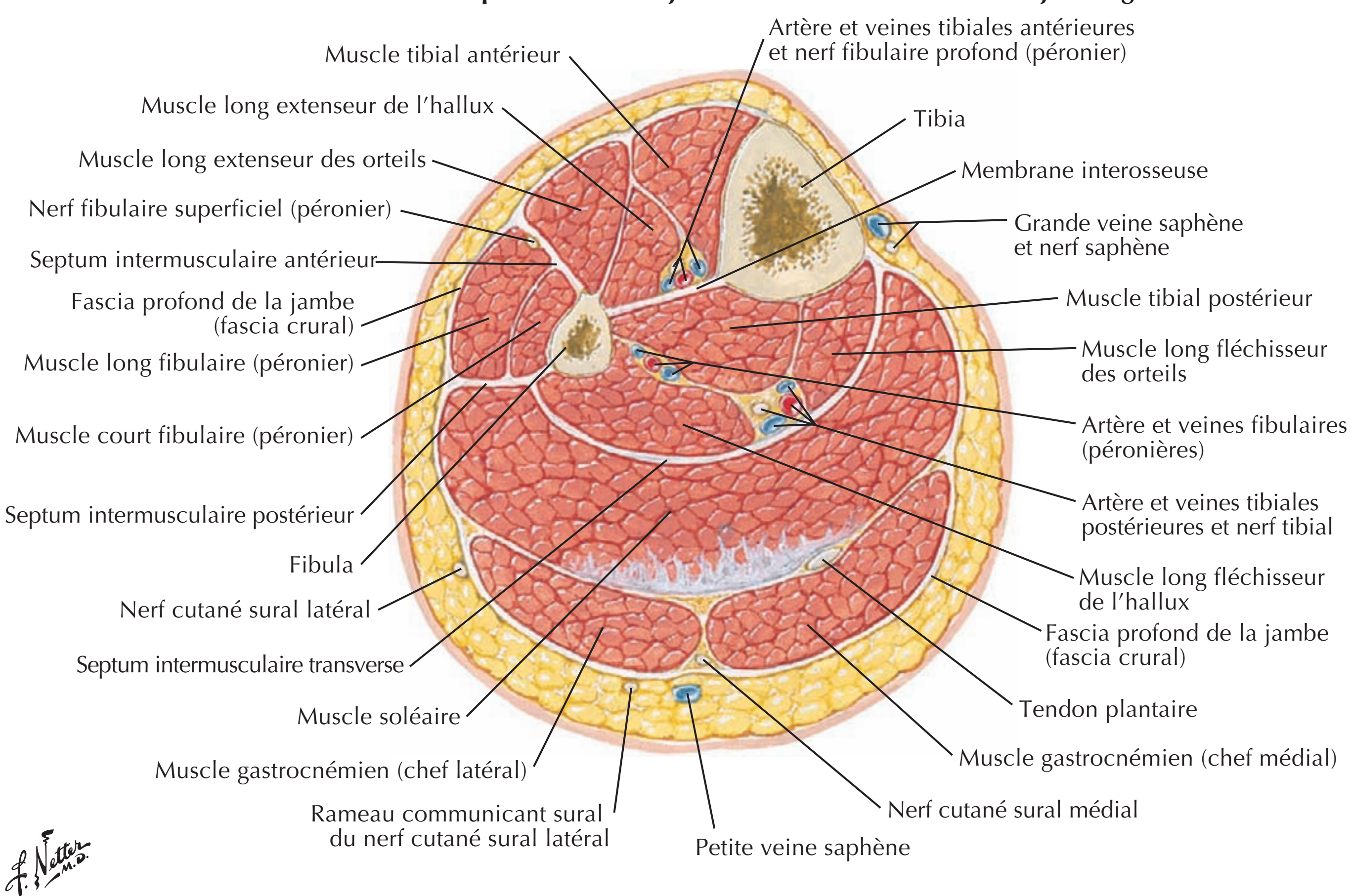
Muscle vaste latéral
Tractus ilio-tibial
Tendon du quadriceps fémoral
Artère supéro-latérale du genou
Patella
Rétinaculum patellaire latéral
Condyle latéral du tibia
Ligament patellaire
Tubérosité tibiale
Muscle tibial antérieur
Muscle long extenseur des orteils
Nerf fibulaire superficiel (péronier) (*coupé*)
Tendon du long extenseur des orteils
Muscle long extenseur de l'hallux et son tendon
Rétinaculum supérieur des extenseurs
Rétinaculum inférieur des extenseurs
Muscle court extenseur des orteils
Tendon du long extenseur de l'hallux
Tendons du long extenseur des orteils
Tendon du court fibulaire (péronier)
Tendon du troisième fibulaire (péronier)
5e os métatarsien

F. Netter M.D.

Jambe : coupes transversales et loges fasciales



Coupe transversale juste au-dessus du milieu de la jambe gauche



Os du pied



Vue dorsale

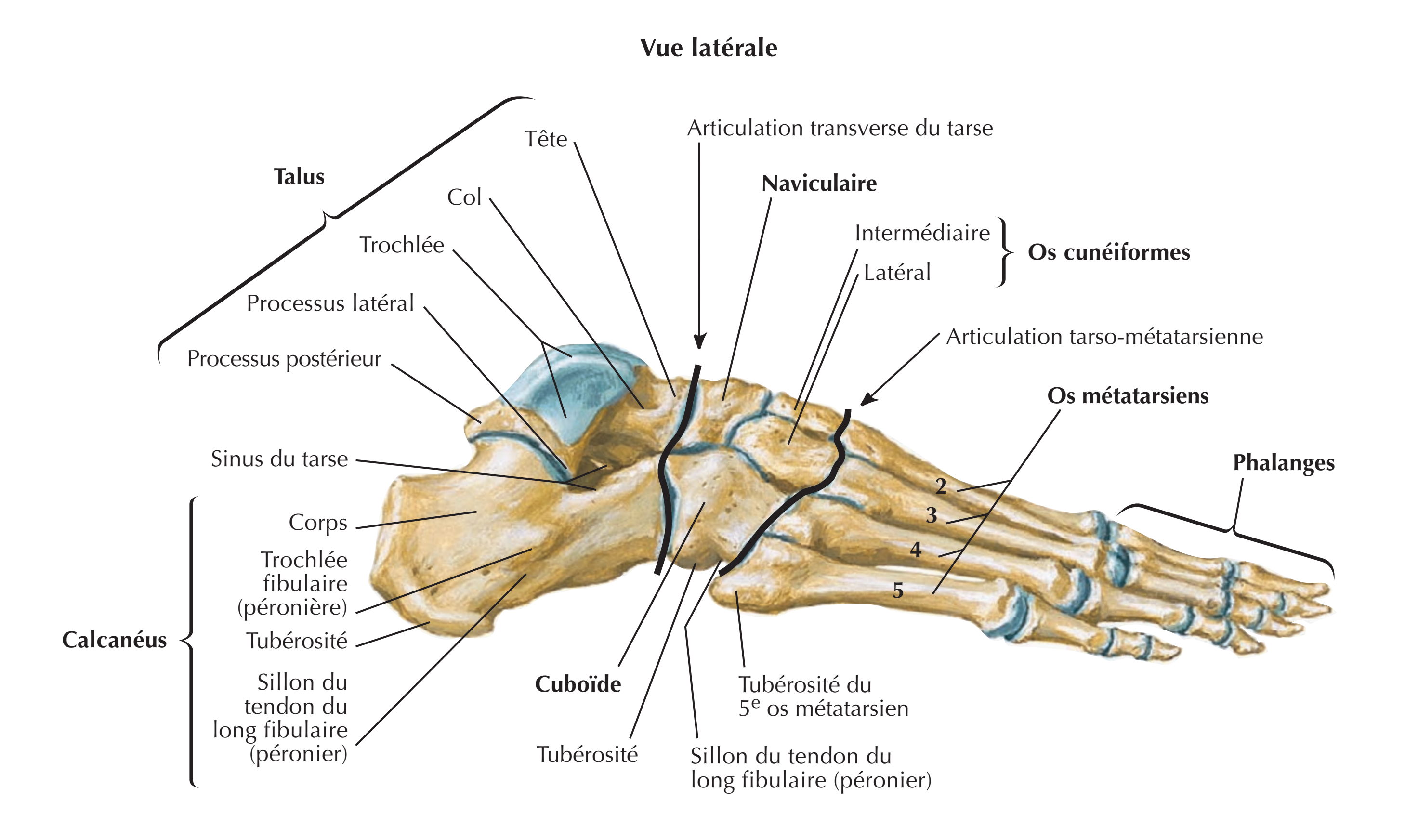
Tubérosité
Base
Tête
Corps
Base
Tête
Phalanges
Distales
Moyennes
Proximales
Corps
Base
1 2 3 4 5
Os métatarsiens
Articulation tarso-métatarsienne
Os cunéiformes { Médial, Intermédiaire, Latéral }
Tubérosité du 5ᵉ os métatarsien
Tubérosité
Naviculaire
Cuboïde
Articulation transverse du tarse
Talus { Tête, Col, Trochlée, Processus postérieur { Sillon du tendon du long fléchisseur de l'hallux, Tubercule médial, Tubercule latéral } }
Sinus du tarse
Calcanéus
Trochlée fibulaire (péronière)
Corps

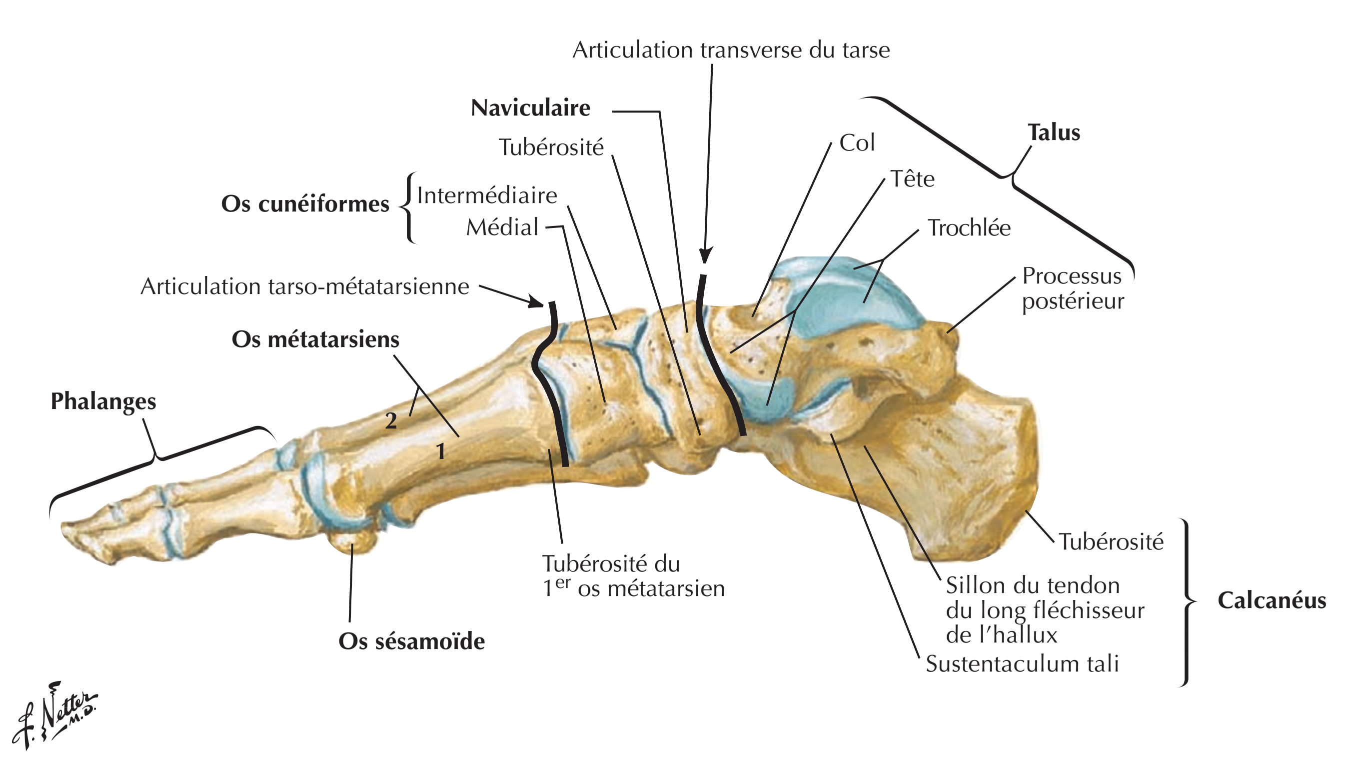
Vue plantaire

Phalanges { Distales, Moyennes, Proximales }
Os sésamoïdes { Latéral, Médial }
Os métatarsiens
1 2 3 4 5
Cuboïde
Tubérosité
Base
Tête
Base
Tête
Corps
Base
Tête
Corps
Base
Articulation tarso-métatarsienne
Os cunéiformes { Médial, Intermédiaire, Latéral }
Tubérosité du 5ᵉ os métatarsien
Tubérosité
Naviculaire
Articulation transverse du tarse
Sillon du tendon du long fibulaire (péronier)
Tubérosité
Calcanéus
Trochlée fibulaire (péronière)
Sillon du tendon du long fléchisseur de l'hallux
Sustentaculum tali
Processus latéral
Processus médial
Tubérosité
Talus { Tête, Processus postérieur, Tubercule médial, Tubercule latéral }

F. Netter M.D.

Os du pied (suite)







Calcanéus

Pied droit

Surface articulaire talaire postérieure
Surface articulaire talaire moyenne
Corps
Surface articulaire talaire antérieure
Surface articulaire pour l'os cuboïde
Tubérosité
Trochlée fibulaire (péronière)
Processus latéral de la tubérosité
Sillon du tendon du long fibulaire (péronier)

Vue latérale

Surface articulaire talaire antérieure
Surface articulaire pour l'os cuboïde
Surface articulaire talaire moyenne
Surface articulaire talaire postérieure
Trochlée fibulaire (péronière)
Sustentaculum tali
Corps
Sillon calcanéen
Tubérosité

Vue supérieure

Surface articulaire talaire antérieure
Surface articulaire talaire moyenne
Surface articulaire talaire postérieure
Surface articulaire pour l'os cuboïde
Processus médial de la tubérosité
Sustentaculum tali
Sillon du tendon du long fléchisseur de l'hallux
Processus médial de la tubérosité

Vue médiale

Surface articulaire talaire moyenne
Surface articulaire talaire postérieure
Sustentaculum tali
Sillon du tendon du long fléchisseur de l'hallux
Trochlée fibulaire (péronière)
Processus médial de la tubérosité
Tubérosité
Processus latéral de la tubérosité

Vue postérieure

Tibia
Fibula
Membrane interosseuse
Ligament tibio-fibulaire postérieur
Talus
Ligament talo-fibulaire postérieur
Ligament médial de la cheville (deltoïdien)
Ligament calcanéo-fibulaire
Tendons fibulaires (péroniers) dans le rétinaculum fibulaire inférieur (péronier)
Ligament talo-calcanéen postérieur

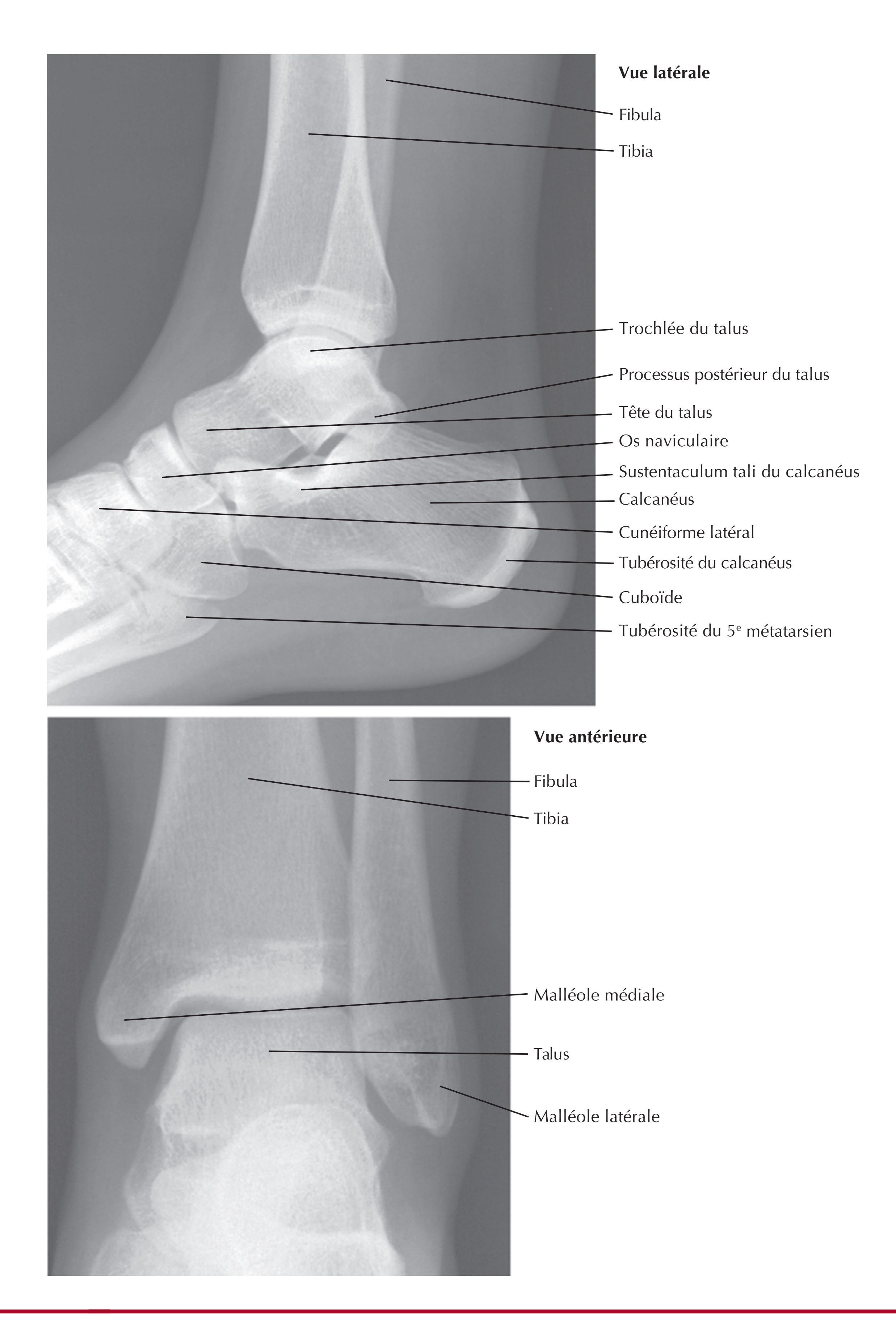
Vue postérieure avec les ligaments

F. Netter M.D.

33°–40°
Angle tubérositaire (de Böhler)
Angle critique

Rapports fonctionnels du calcanéus

Cheville : radiographies



Ligaments et tendons de la cheville



Pied droit : vue latérale

Tibia
Fibula
Ligaments tibio-fibulaires antérieur et postérieur
Rétinaculum fibulaire supérieur (péronier)
Tendon calcanéen (d'Achille) (*coupé*)
Rétinaculum fibulaire inférieur (péronier)
Ligament talo-calcanéen latéral
Ligament plantaire long
Tendon du long fibulaire (péronier)
Tendon du court fibulaire (péronier)

Parties du ligament latéral (collatéral) de la cheville:
- Ligament talo-fibulaire postérieur
- Ligament calcanéo-fibulaire
- Ligament talo-fibulaire antérieur

Ligament talo-calcanéen interosseux
Ligament talo-naviculaire dorsal

Ligament bifurqué:
- Partie calcanéo-naviculaire
- Partie calcanéo-cuboïdienne

Ligament cuboïdéo-naviculaire dorsal
Ligament cunéo-naviculaire dorsal
Ligaments intercunéiformes dorsaux
Ligaments tarso-métatarsiens dorsaux
Ligaments métatarsiens dorsaux
Ligament cunéo-cuboïdien dorsal
Os cuboïde
Ligament calcanéo-cuboïdien dorsal

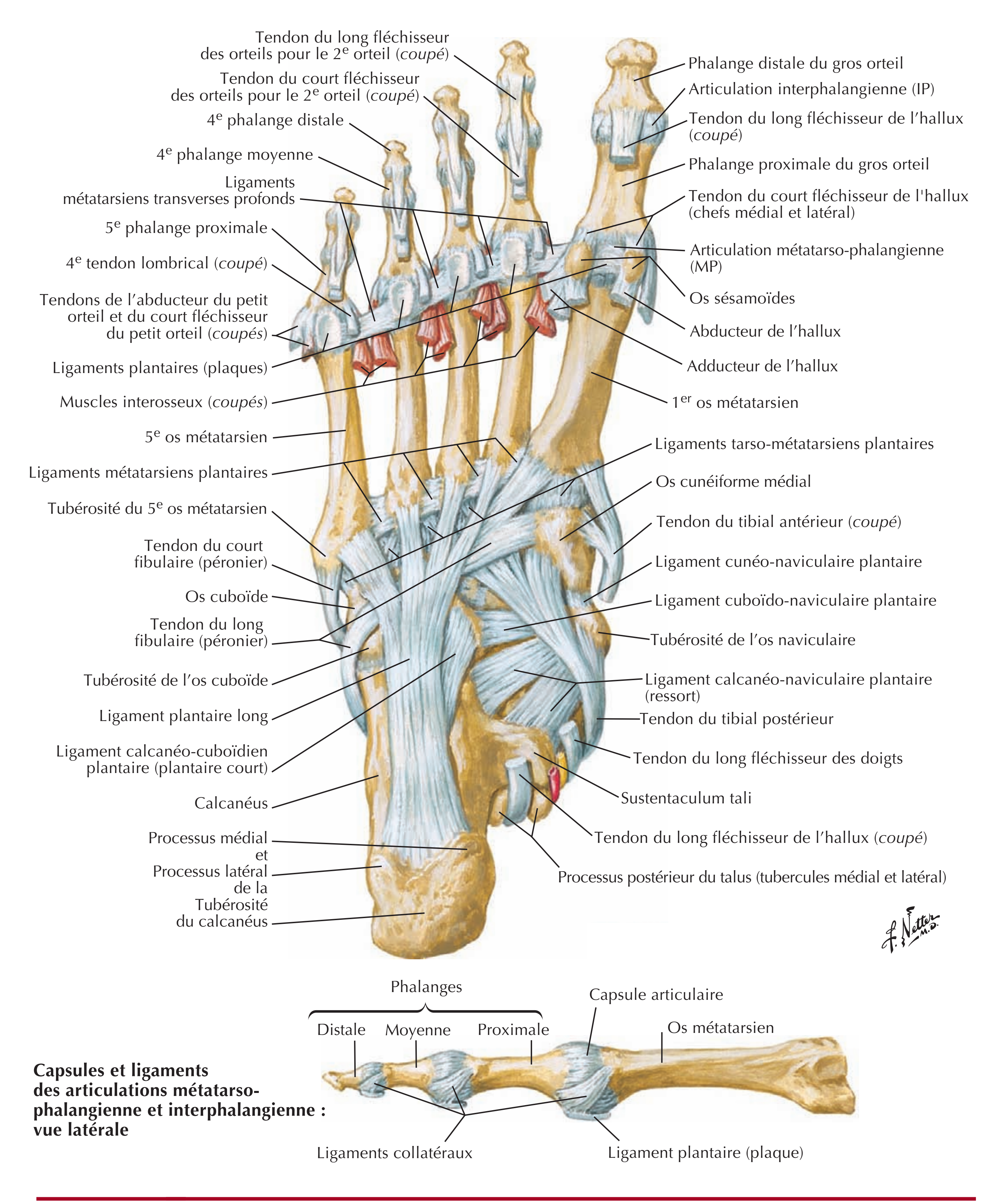
Pied droit : vue médiale

Ligament médial de la cheville (deltoïdien):
- Partie tibio-talaire postérieure
- Partie tibio-calcanéenne
- Partie tibio-naviculaire
- Partie antérieure tibio-talaire

Ligament talo-naviculaire dorsal
Os naviculaire
Ligaments cunéo-naviculaires dorsaux
Os cunéiforme médial
Ligament intercunéiforme dorsal
Ligaments tarso-métatarsiens dorsaux
1[er] os métatarsien
Tubérosité
Tendon du tibial antérieur
Tendon du tibial postérieur
Ligament calcanéo-naviculaire plantaire (ressort)
Ligament plantaire court
Ligament plantaire long
Sustentaculum tali
Tendon calcanéen (d'Achille) (*coupé*)
Ligament talo-calcanéen postérieur
Processus postérieur du talus
Ligament talo-calcanéen médial
Tibia

F. Netter M.D.

Ligaments et tendons du pied : vue plantaire



Capsules et ligaments des articulations métatarso-phalangienne et interphalangienne : vue latérale



Gaines tendineuses de la cheville

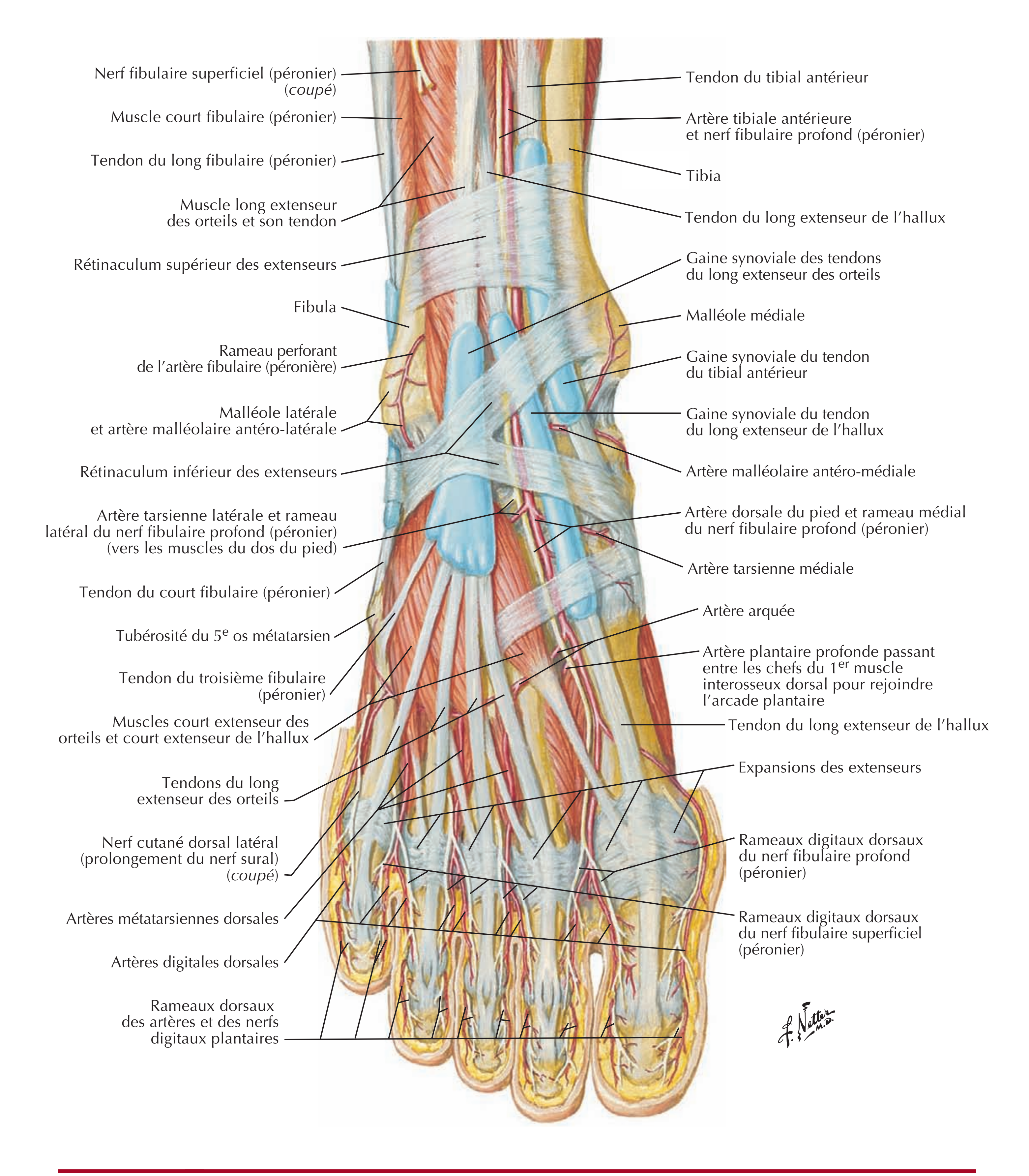
Vue latérale

Muscle soléaire
Muscle long fibulaire (péronier)
Muscle court fibulaire (péronier)
Tendon calcanéen (d'Achille)
Gaine synoviale commune des tendons du long et du court fibulaires (péroniers)
Bourse sous-cutanée calcanéenne
Bourse du tendon calcanéen (subtendineuse)
Rétinaculums fibulaires (péroniers) supérieur et inférieur
Calcanéus
Muscle court extenseur des orteils
Muscle abducteur du petit orteil
Tendon du long fibulaire (péronier)
Tendon du court fibulaire (péronier)
Tubérosité du 5ᵉ os métatarsien
Tendon du troisième fibulaire (péronier)
Gaine synoviale du tendon du long extenseur de l'hallux
Gaine synoviale des tendons du long extenseur des orteils et du troisième fibulaire (péronier)
Rétinaculum inférieur des extenseurs
Malléole latérale et bourse sous-cutanée
Gaine synoviale du tendon du tibial antérieur
Rétinaculum supérieur des extenseurs
Muscle long extenseur des orteils

Vue médiale

Tendon du tibial antérieur et sa gaine
Tibia
Gaine du tendon du tibial postérieur
Rétinaculum supérieur des extenseurs
Malléole médiale et bourse sous-cutanée
Rétinaculum inférieur des extenseurs
Tendon du tibial postérieur et sa gaine
Tendon du tibial antérieur et sa gaine
Gaine synoviale du tendon du long extenseur de l'hallux
1er os métatarsien
Gaine synoviale du tendon du long fléchisseur de l'hallux
Artère et nerf plantaires médiaux
Gaine synoviale du tendon du long fléchisseur des orteils
Muscle court fléchisseur des orteils (*coupé*)
Aponévrose plantaire (*coupée*)
Muscle abducteur de l'hallux (*coupé*)
Artère et nerf plantaires latéraux
Calcanéus
Rétinaculum des fléchisseurs
Bourse du tendon calcanéen (subtendineuse)
Bourse calcanéenne sous-cutanée
Gaine synoviale du tendon du long fléchisseur de l'hallux
Artère tibiale postérieure et nerf tibial
Gaine synoviale du tendon du long fléchisseur des orteils
Tendon calcanéen (d'Achille)

Muscles du dos du pied : dissection superficielle





Dos du pied : dissection profonde

Nerf fibulaire superficiel (péronier) (*coupé*)

Tendon du long fibulaire (péronier)

Muscle court fibulaire (péronier) et son tendon

Muscle long extenseur des orteils et son tendon

Fibula

Rameau perforant de l'artère fibulaire (péronière)

Artère malléolaire antéro-latérale

Malléole latérale

Rameau latéral du nerf fibulaire profond (péronier) (vers les muscles du dos du pied) et artère tarsienne latérale

Tendon du long fibulaire (péronier) (*coupé*)

Muscles court extenseur des orteils et court extenseur de l'hallux (*coupé*)

Tendon du court fibulaire (péronier) (*coupé*)

Tendon du troisième fibulaire (péronier) (*coupé*)

Muscle abducteur du petit orteil

Artères métatarsiennes dorsales

Os métatarsiens

Muscles interosseux dorsaux

Nerf cutané dorsal latéral (prolongement du nerf sural) (*coupé*)

Rameaux perforants antérieurs des artères métatarsiennes plantaires

Artères digitales dorsales

Rameaux dorsaux des artères et des nerfs digitaux propres plantaires

Muscle soléaire

Muscle tibial antérieur et son tendon

Tibia

Artère tibiale antérieure et nerf fibulaire profond (péronier)

Muscle long extenseur de l'hallux et son tendon

Artère malléolaire antéro-médiale

Malléole médiale

Rameau médial du nerf fibulaire profond (péronier)

Artères tarsiennes médiales

Tubérosité de l'os naviculaire

Artère dorsale du pied

Artère arquée

Rameaux perforants postérieurs de l'arcade plantaire profonde

Artère plantaire profonde rejoignant l'arcade plantaire profonde

Muscle abducteur de l'hallux

Tendon du long extenseur de l'hallux

Tendon du court extenseur de l'hallux (*coupé*)

Tendons du court extenseur des orteils (*coupés*)

Tendons du long extenseur des orteils (*coupés*)

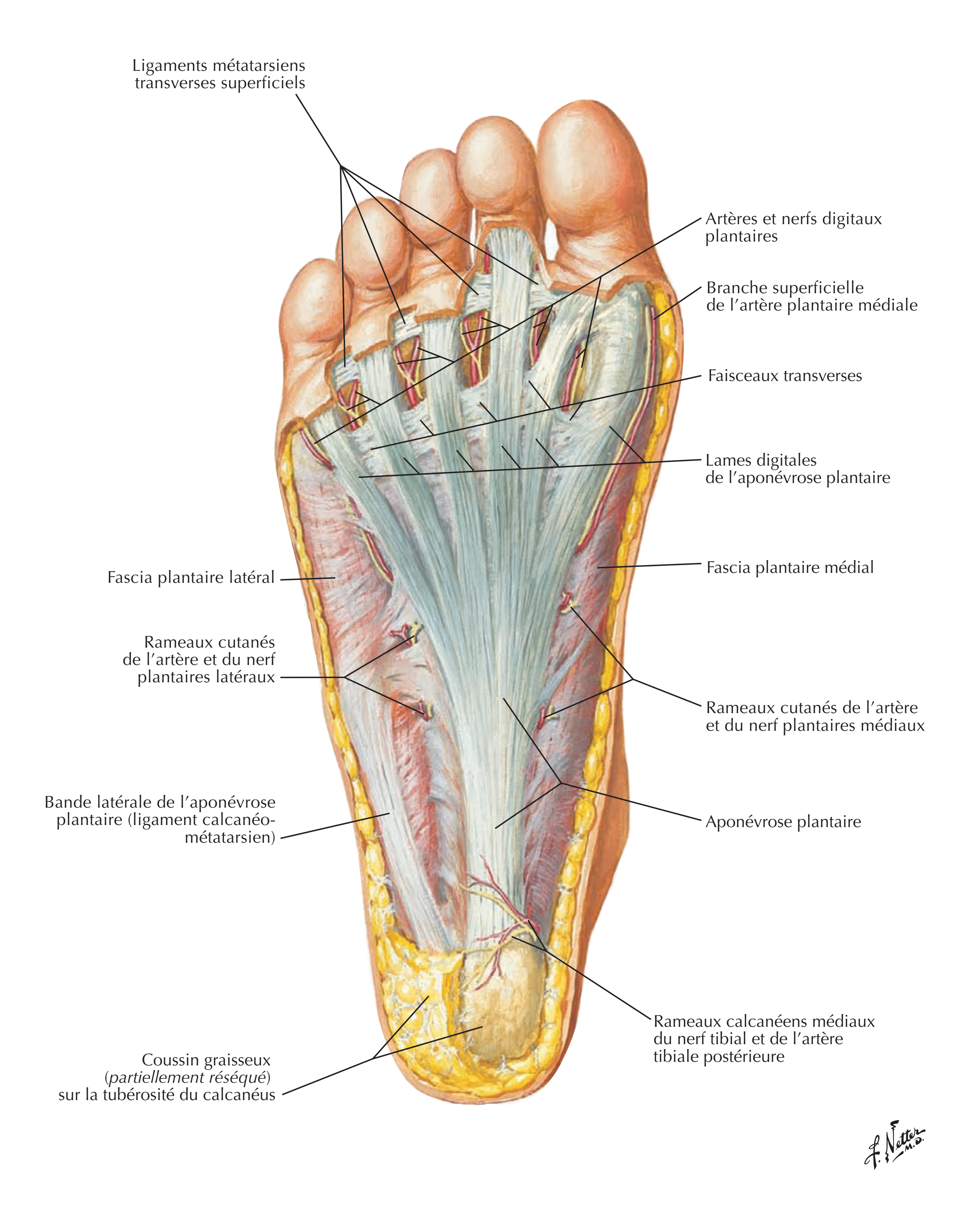
Expansions des extenseurs

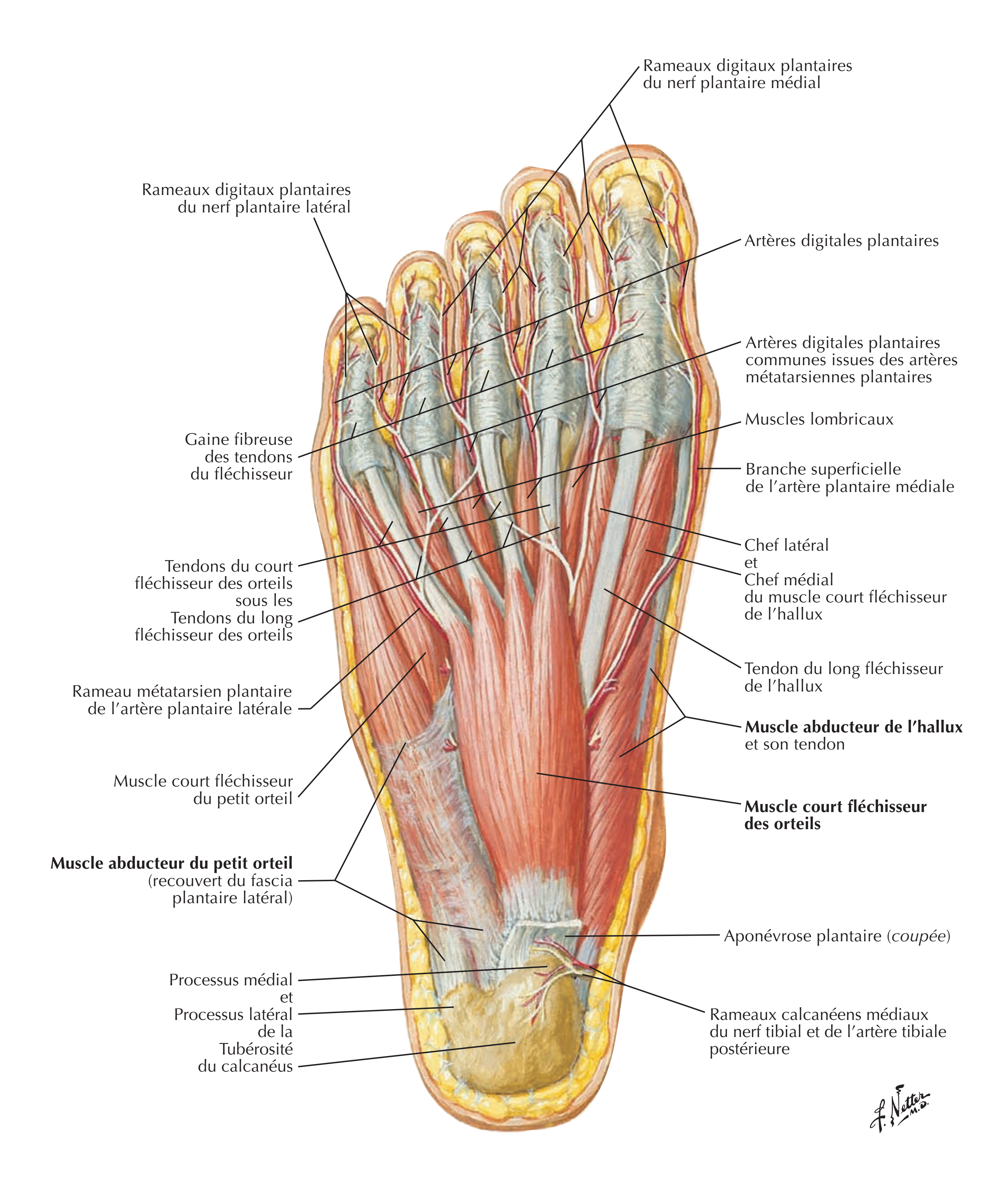
Rameaux digitaux dorsaux du nerf fibulaire profond (péronier)

Rameaux digitaux dorsaux du nerf fibulaire superficiel (péronier)

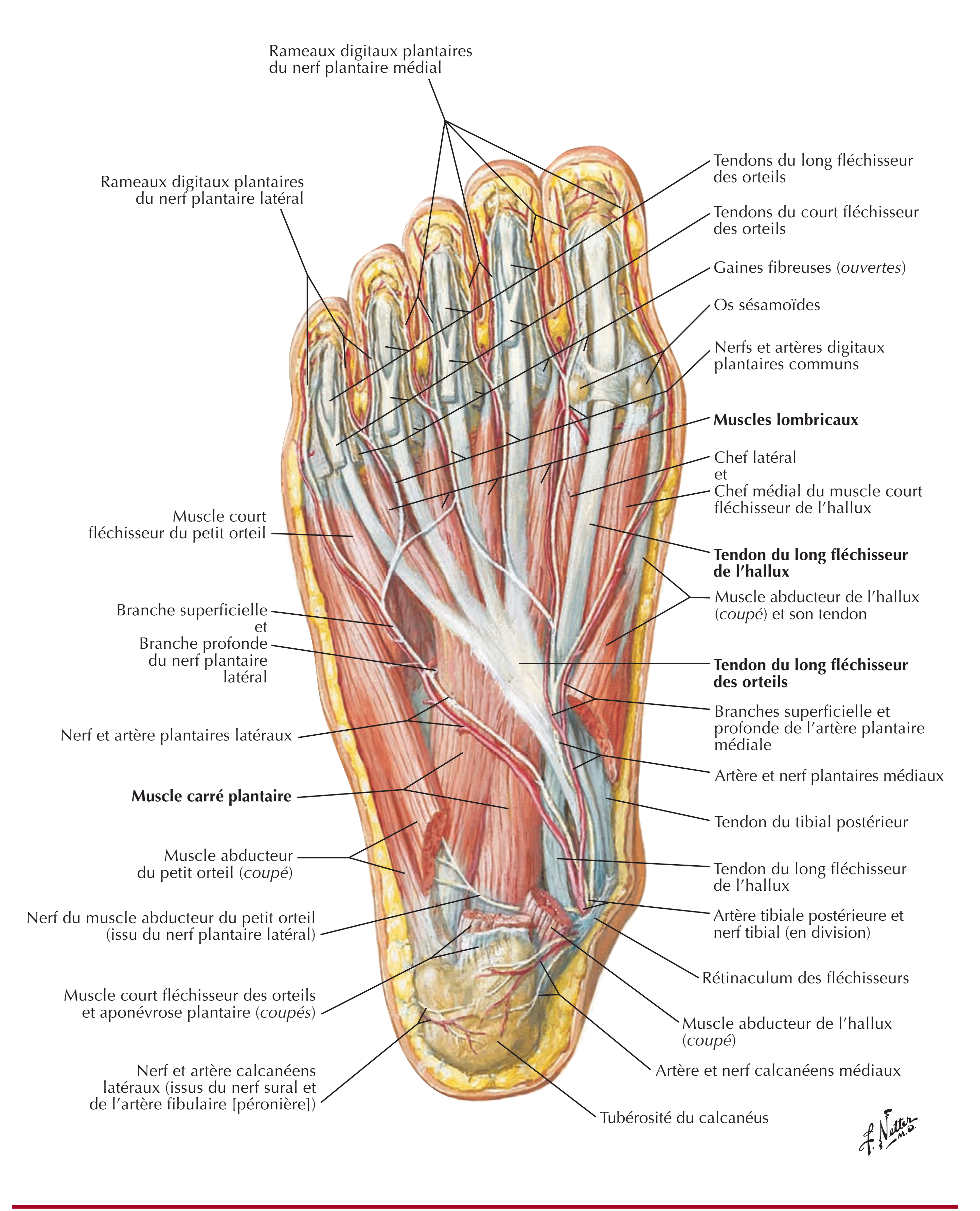
F. Netter M.D.

Plante du pied : dissection superficielle




Rameaux digitaux plantaires
du nerf plantaire médial
Rameaux digitaux plantaires
du nerf plantaire latéral
Artères digitales plantaires
Artères digitales plantaires
communes issues des artères
métatarsiennes plantaires
Muscles lombricaux
Gaine fibreuse
des tendons
du fléchisseur
Branche superficielle
de l'artère plantaire médiale
Chef latéral
et
Chef médial
du muscle court fléchisseur
de l'hallux
Tendons du court
fléchisseur des orteils
sous les
Tendons du long
fléchisseur des orteils
Tendon du long fléchisseur
de l'hallux
Rameau métatarsien plantaire
de l'artère plantaire latérale
Muscle abducteur de l'hallux
et son tendon
Muscle court fléchisseur
du petit orteil
Muscle court fléchisseur
des orteils
Muscle abducteur du petit orteil
(recouvert du fascia
plantaire latéral)
Aponévrose plantaire (*coupée*)
Processus médial
et
Processus latéral
de la
Tubérosité
du calcanéus
Rameaux calcanéens médiaux
du nerf tibial et de l'artère tibiale
postérieure

Muscles de la plante du pied : deuxième couche



Muscles de la plante du pied : troisième couche



Rameaux digitaux plantaires du nerf plantaire médial

Rameaux digitaux plantaires du nerf plantaire latéral

Tendons du long fléchisseur des orteils

Tendons du court fléchisseur des doigts (*coupés*)

Muscle court fléchisseur du petit orteil

Artères métatarsiennes plantaires

Muscles interosseux plantaires

Rameau superficiel du nerf plantaire latéral

Arcade artérielle plantaire profonde et rameaux profonds du nerf plantaire latéral

Tubérosité du 5e os métatarsien

Tendon du court fibulaire (péronier)

Tendon du long fibulaire (péronier) et gaine fibreuse

Muscle carré plantaire (*coupé et légèrement écarté*)

Artère et nerf plantaires latéraux

Muscle abducteur du petit orteil (*coupé*)

Artère et nerf calcanéens latéraux

Tubérosité du calcanéus

Rameau digital plantaire de la branche superficielle de l'artère plantaire médiale

Artères perforantes antérieures vers les artères métatarsiennes dorsales

Tendons des muscles lombricaux (*coupés*)

Os sésamoïdes

Chef transverse et **Chef oblique du muscle adducteur de l'hallux**

Chef médial et **Chef latéral du muscle court fléchisseur de l'hallux**

Branches superficielles de l'artère et du nerf plantaires médiaux

Tendon du long fléchisseur de l'hallux

Muscle abducteur de l'hallux (*coupé*)

Branches profondes de l'artère et du nerf plantaires médiaux

Tendon du long fléchisseur des orteils (*coupé*)

Tendon du tibial postérieur

Artère et nerf plantaires médiaux

Tendon du long fléchisseur de l'hallux

Rétinaculum des fléchisseurs

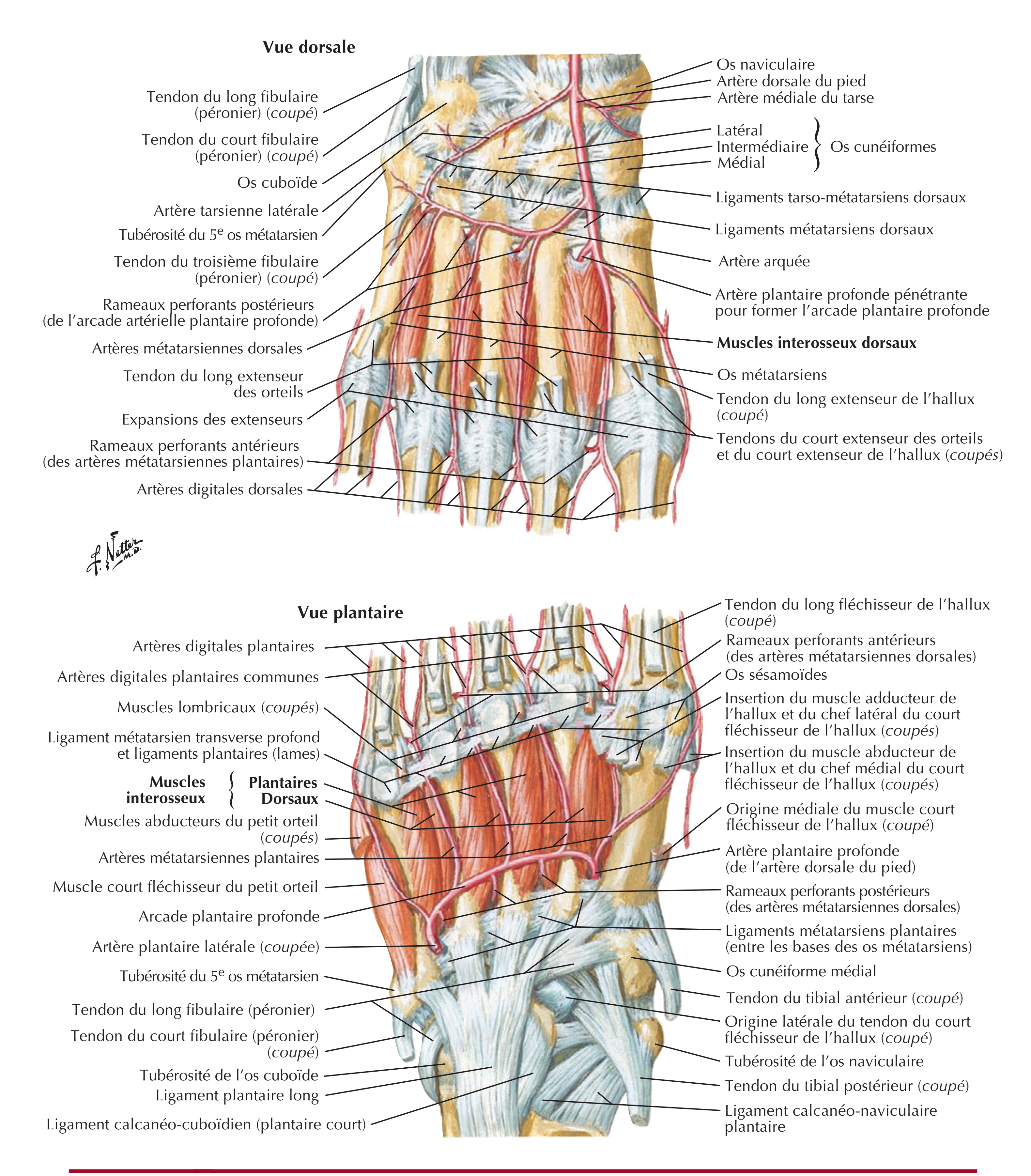
Muscle abducteur de l'hallux (*coupé*)

Muscle court fléchisseur des orteils et aponévrose plantaire (*coupés*)

Artère et nerf calcanéens médiaux

F. Netter M.D.

Muscles interosseux et artères profondes du pied





Muscles interosseux du pied

Vue dorsale

Phalange distale du gros orteil

Phalange proximale du gros orteil

Petit orteil (5e) : Phalange distale, Phalange moyenne, Phalange proximale

1er os métatarsien

5e os métatarsien

Muscles interosseux dorsaux (bipennés)

Os cunéiformes : Médial, Intermédiaire, Latéral

Tubérosité du 5e os métatarsien

Naviculaire

Cuboïde

Vue plantaire

Phalange distale du gros orteil

Phalange proximale du gros orteil

Petit orteil (5e) : Phalange distale, Phalange moyenne, Phalange proximale

Os sésamoïdes

1er os métatarsien

Muscles interosseux plantaires (unipennés)

5e os métatarsien

Os cunéiformes : Latéral, Intermédiaire, Médial

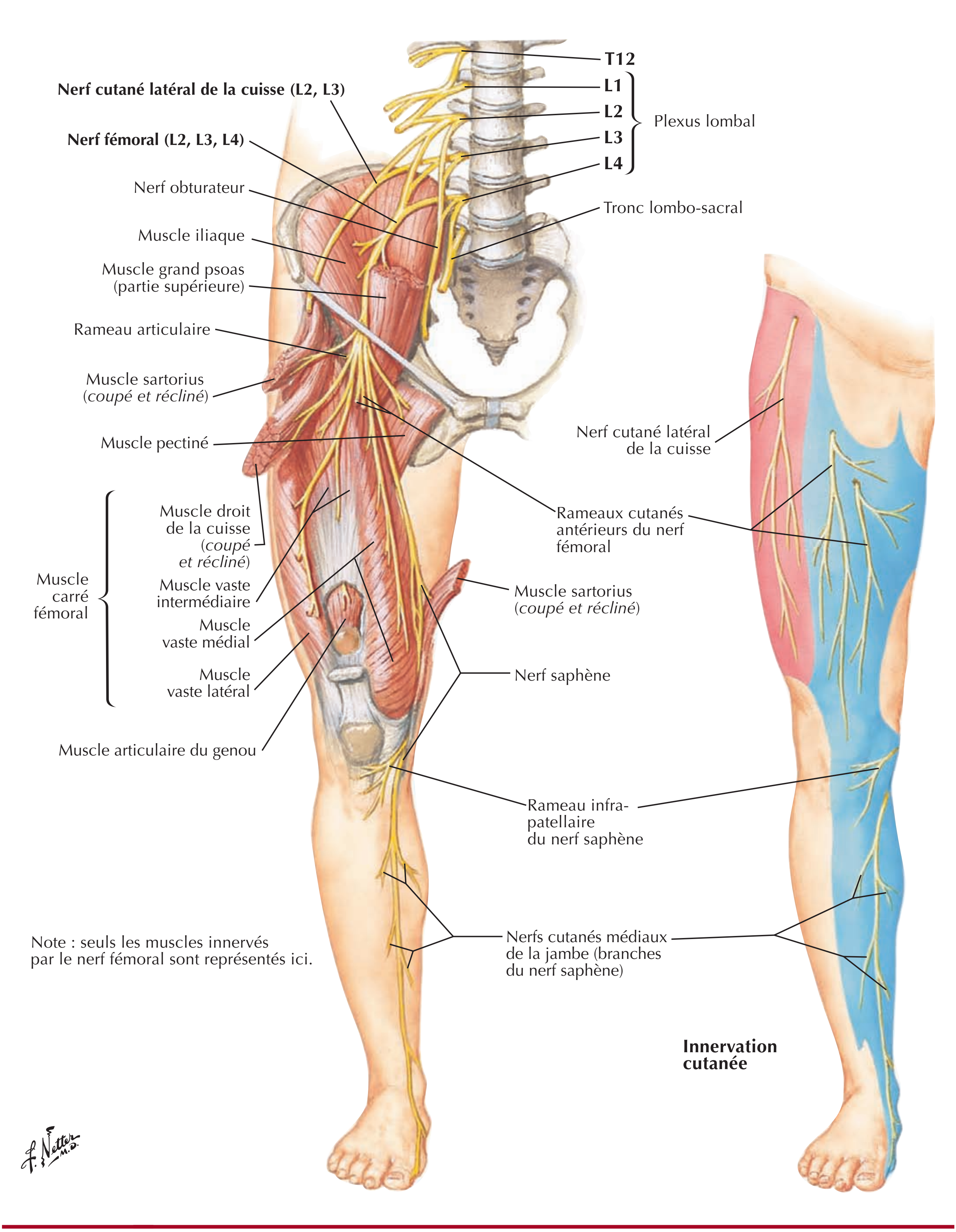
Tubérosité du 5e os métatarsien

Cuboïde

Naviculaire

F. Netter M.D.

Nerfs fémoral et cutané latéral de la cuisse





Nerf obturateur

Nerf ilio-hypogastrique
Nerf ilio-inguinal
Nerf génito-fémoral
Nerf cutané latéral de la cuisse
Nerf fémoral
Nerf obturateur (L2, L3, L4)
Branche postérieure
Rameau articulaire
Branche antérieure
Rameau postérieur
Rameau cutané
Rameau articulaire de l'articulation du genou
Hiatus tendineux de l'adducteur

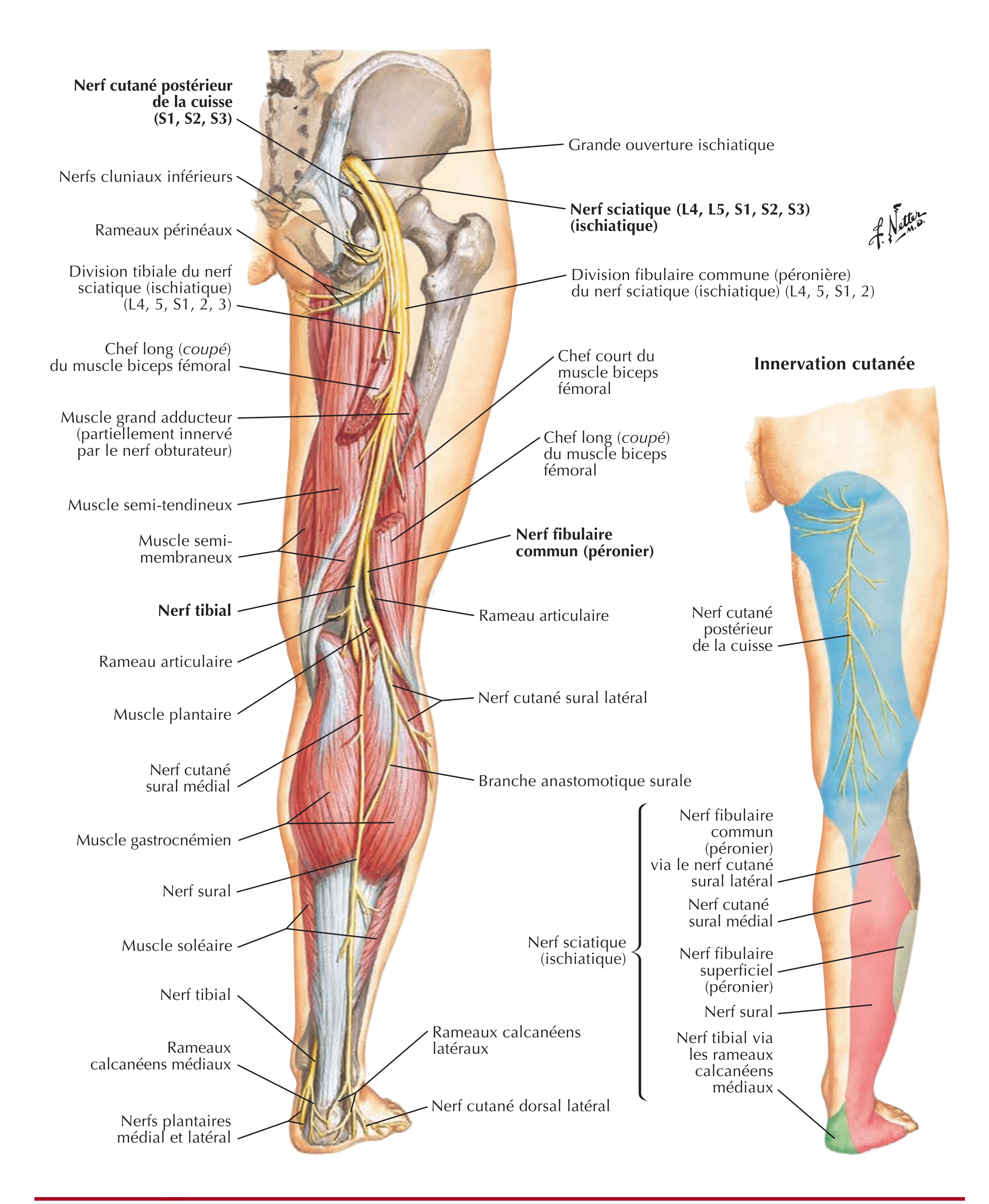
L1
L2
L3
L4
Plexus lombal
Tronc lombo-sacral
Muscle obturateur externe

Note : seuls les muscles innervés par le nerf obturateur sont représentés ici.

Muscle court adducteur
Muscle long adducteur (*coupé*)
Muscle grand adducteur (partie ischio-condylaire ou « jarret », innervée par le nerf sciatique [ischiatique])
Muscle gracile

Innervation cutanée

Nerfs sciatique (ischiatique) et cutané postérieur de la cuisse





Nerf tibial (L4, L5, S1, S2, S3)

Nerf fibulaire commun (péronier)

Rameau articulaire

Nerf cutané sural latéral (*coupé*)

Nerf cutané sural médial (*coupé*)

Rameaux articulaires

Muscle plantaire

Muscle gastrocnémien (*coupé*)

Nerf du muscle poplité

Muscle poplité

Nerf interosseux de la jambe

Muscle soléaire (*coupé et partiellement récliné en haut*)

Muscle long fléchisseur des orteils

Muscle tibial postérieur

Muscle long fléchisseur de l'hallux

Nerf sural (*coupé*)

Rameau calcanéen latéral

Rameau calcanéen médial

Rétinaculum des fléchisseurs (*coupé*)

Nerf cutané dorsal latéral

F. Netter M.D.

Nerf sural (S1, S2) via les rameaux calcanéen latéral et cutané dorsal latéral

Nerf saphène (L3, L4)

Nerf plantaire latéral (S1, S2)

Nerf plantaire médial (L4, L5)

Rameaux calcanéens médiaux (S1, S2)

Nerf tibial

Innervation cutanée de la plante du pied

Nerfs digitaux plantaires communs

Rameau superficiel du 4e muscle interosseux et Muscle court fléchisseur du petit orteil

Rameau profond des muscles interosseux, 2e, 3e et 4e muscles lombricaux et Muscle adducteur de l'hallux

Muscle abducteur du petit orteil

Muscle et nerf carrés plantaires

Nerf du muscle abducteur du petit orteil

Nerf plantaire latéral

Rameau calcanéen latéral du nerf sural

Nerfs digitaux plantaires

Nerfs digitaux plantaires communs

1er muscle et nerf lombricaux

Muscle et nerf courts fléchisseurs de l'hallux

Muscle et nerf abducteurs de l'hallux

Muscle et nerf courts fléchisseurs des orteils

Nerf plantaire médial

Rameau calcanéen médial

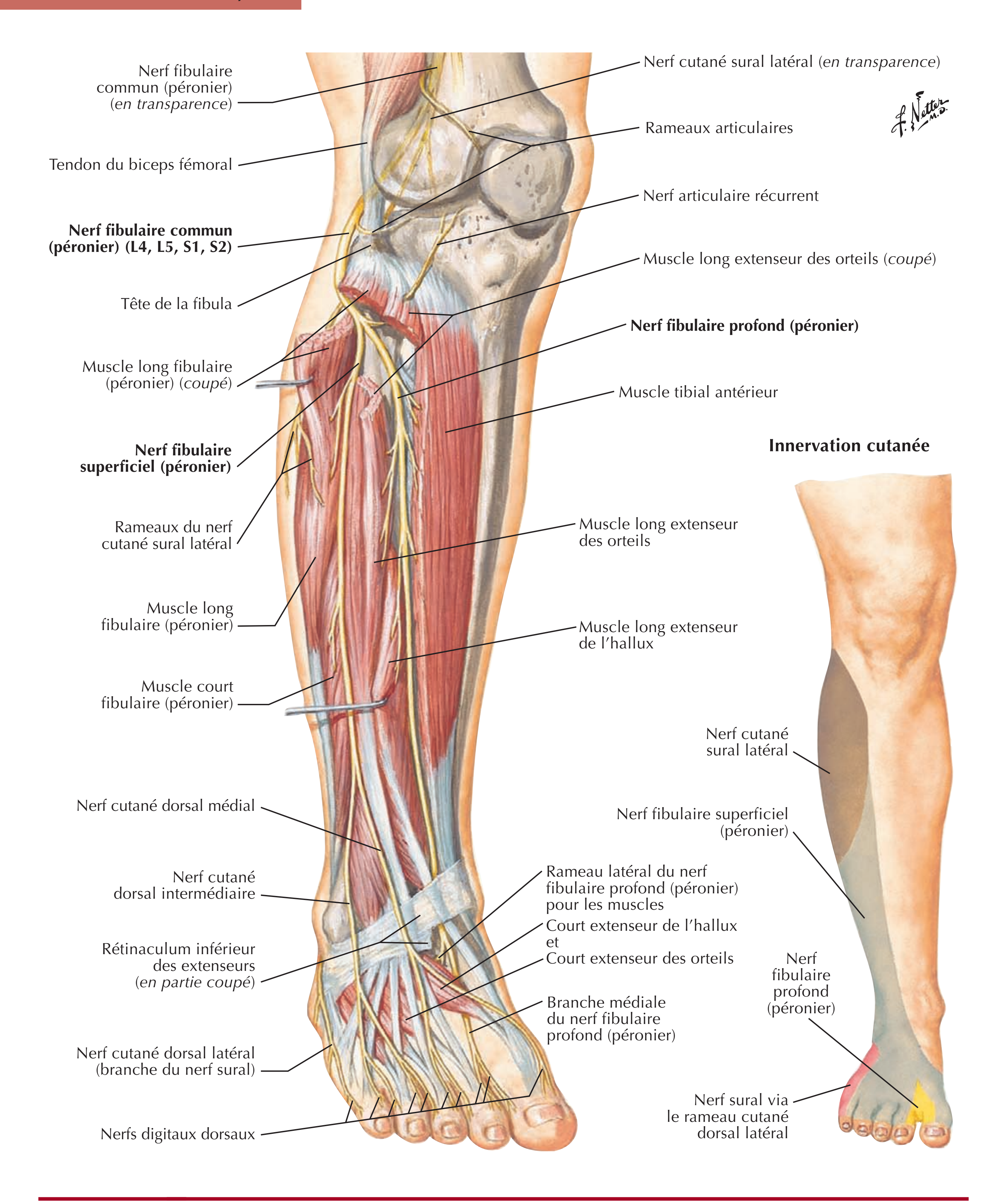
Nerf tibial

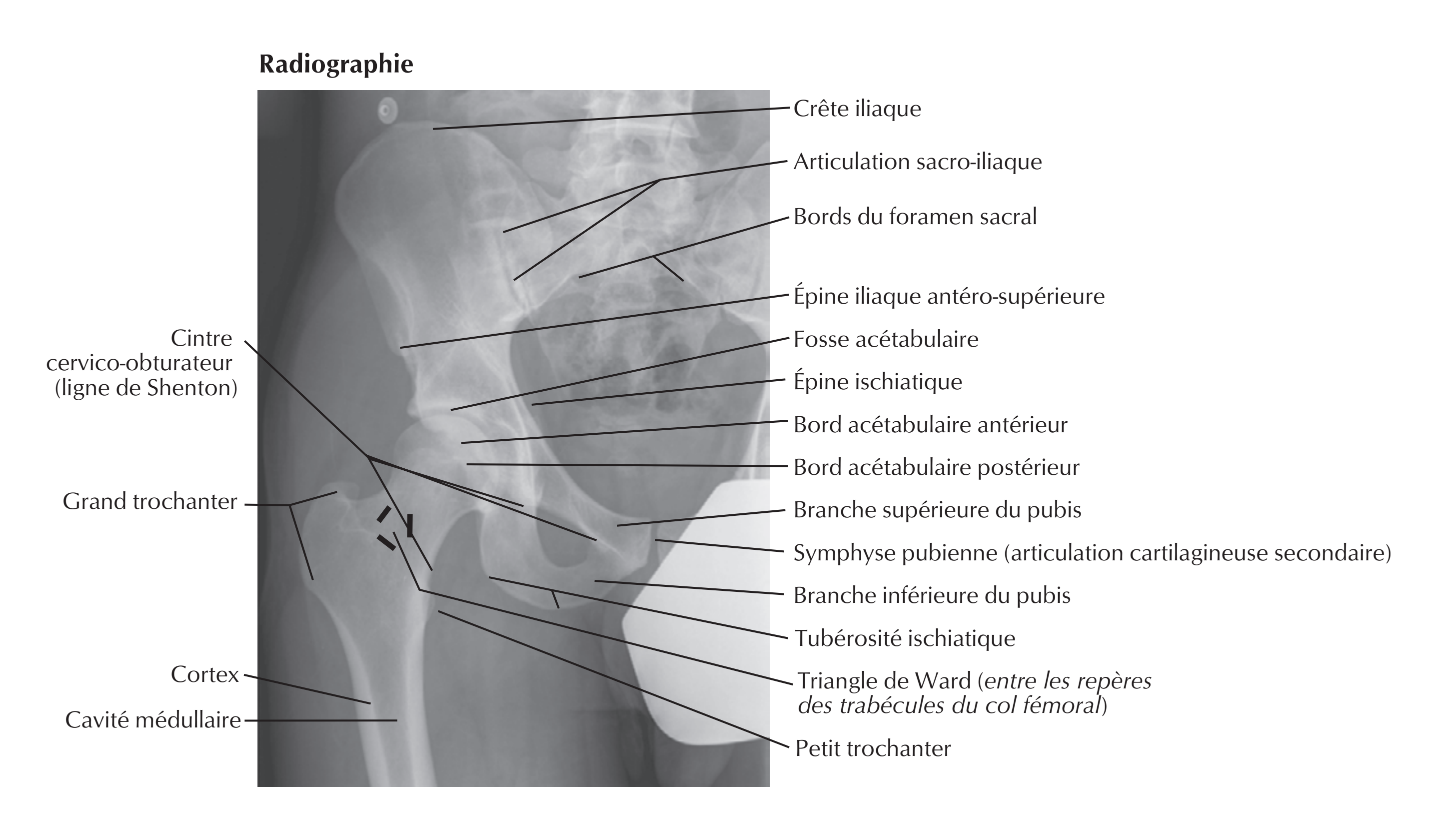
Rétinaculum des fléchisseurs (*coupé*)

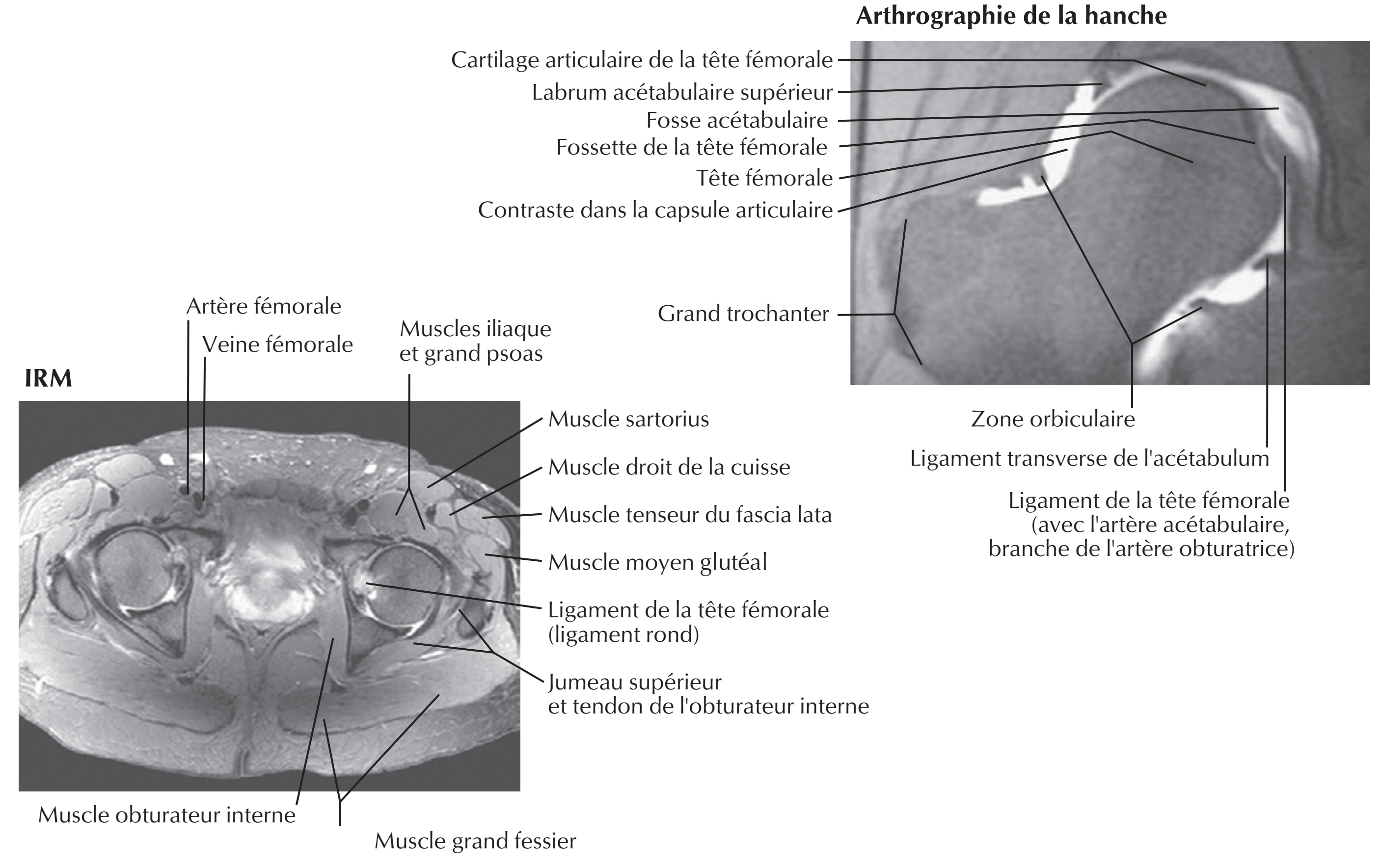
Note : les rameaux articulaires ne sont pas représentés ici

7 Nerf fibulaire commun (péronier)

Voir aussi **Planches 508, 509**




Radiographie
Crête iliaque
Articulation sacro-iliaque
Bords du foramen sacral
Épine iliaque antéro-supérieure
Fosse acétabulaire
Épine ischiatique
Bord acétabulaire antérieur
Bord acétabulaire postérieur
Branche supérieure du pubis
Symphyse pubienne (articulation cartilagineuse secondaire)
Branche inférieure du pubis
Tubérosité ischiatique
Triangle de Ward (entre les repères des trabécules du col fémoral)
Petit trochanter
Cintre cervico-obturateur (ligne de Shenton)
Grand trochanter
Cortex
Cavité médullaire


Arthrographie de la hanche
Cartilage articulaire de la tête fémorale
Labrum acétabulaire supérieur
Fosse acétabulaire
Fossette de la tête fémorale
Tête fémorale
Contraste dans la capsule articulaire
Grand trochanter
Zone orbiculaire
Ligament transverse de l'acétabulum
Ligament de la tête fémorale (avec l'artère acétabulaire, branche de l'artère obturatrice)
IRM
Artère fémorale
Veine fémorale
Muscles iliaque et grand psoas
Muscle sartorius
Muscle droit de la cuisse
Muscle tenseur du fascia lata
Muscle moyen glutéal
Ligament de la tête fémorale (ligament rond)
Jumeau supérieur et tendon de l'obturateur interne
Muscle obturateur interne
Muscle grand fessier

This page intentionally left blank

Références

Planches 8, 36-38, 48-50
Lang J. Clinical Anatomy of the Nose, Nasal Cavity and Paranasal Sinuses. New York, Thieme Medical Publishers, Inc., 1989.

Planche 23
Tubbs RS, Kelly DR, Humphrey ER, Chua GD, et al. The tectorial membrane: anatomical, biomechanical, and histological analysis. Clin Anat 2007; 20(4):382-386.

Planches 25-28, 53-55, 67-68
Noden DM, Francis-West P. The differentiation and morphogenesis of craniofacial muscles. Dev Dyn 2006; 235(5):1194-1218.

Planches 31, 33, 124-130
Tubbs RS, Salter EG, Oakes WJ. Anatomic landmarks for nerves of the neck: a vade mecum for neurosurgeons. Neurosurgery 2005; 56 (2 Suppl):256-260; discussion 256-260.

Planches 65, 93, 94
Kierner AC, Mayer R, v Kirschhofer K. Do the tensor tympani and tensor veli palatini muscles of man form a functional unit? A histochemical investigation of their putative connections. Hear Res 2002; 165(1-2):48-52.

Planches 78-80
Ludlow CL. Central nervous system control of the laryngeal muscles in humans. Respir Physiol Neurobiol 2005; 147(2-3):205-222.

Planches 100-114
Rhoton AL. Cranial Anatomy and Surgical Approaches. Schaumburg, Ill, The Congress of Neurological Surgeons, 2003.

Planches 103, 138
Tubbs RS, Hansasuta A, Loukas M, et al. Branches of the petrous and cavernous segments of the internal carotid artery. Clin Anat 2007; 20(6):596-601.

Planches 115-117, 123
Schrott-Fischer A, Kammen-Jolly K, Scholtz AW, et al. Patterns of GABA-like immunoreactivity in efferent fibers of the human cochlea. Hear Res 2002; 174(1-2):75-85.

Planche 157, 172
Tubbs RS, Loukas M, Slappy JB, et al. Clinical anatomy of the CI doral root, ganglion, and ramus: a review and anatomical study. Clin Anat 2007; 20:624-627.

Planche 159
Lee MWL, McPhee RW, Stringer MD. An evidence-based approach to human dermatomes. Clin Anat 2008; 21:363-373.

Planches 159, 401, 513, 470
Forester O. The dermatomes in man. Brain 1933; 56:1.

Garrett FD. The segmental distribution of the cutaneous nerves in the limbs of man. Anat Rec 1948; 102:409.

Keegan JJ. Dermatome hypalgesia with posterolateral herniation of lower cervical intervertebral disc. J Neurosurg 1947; 4:115.

Planche 165
Turnball IM. Bloody supply of the spinal cord. In Vinken PJ, Bruyn GW (eds). Handbook of Clinical Neurology, XII. Amsterdam, North-Holland, 1972, pp 478–491.

Planches 194, 195
Jackson CL, Huber JF. Correlated applied anatomy of the bronchial tree and lungs with a system of nomenclature. Dis Chest 1943; 9:319.

Planche 197
Ikeda S, Ono Y, Miyazawa S, et al. Flexible broncho-fiberscope. Otolaryngology (Tokyo) 1970; 42:855.

Planche 211
Angelini P, Velasco JA, Flamm S. Coronary anomalies: incidence, pathophysiology and clinical relevance. Circulation 2002; 105:2449-2454.

Planche 219
James TN. The internodal pathways of the human heart. Prog Cardiovas Dis 2001; 43:495.

Planche 234
Ang H-J, Gill Y-C, Lee W-J, et al. Anatomy of thoracic splanchnic nerves for surgical resection. Clin Anat 2008; 21:171-177.

Planche 279
Elias H. Morphology of the Liver. New York, Academic Press, 1969.

Robinson PJ. MRI of the Liver: A Practical Guide. New York, Taylor & Francis, 2006.

MacSween RNM, Anthony PP, Scheuer PJ, et al (eds). Pathology of the Liver. London, Churchill Livingstone, 2002.

Planches 283, 284
Odze RD. Surgical Pathology of the GI Tract, Liver, Biliary Tract, and Pancreas. Philadelphia, Saunders, 2004.

Planche 305
Thomas MD. In The Ciba Collection of Medical Illustrations, Vol 3, Part II. Summit NJ, CIBA, p 78.

Planches 323, 346, 364, 376, 394
Stormont TJ, Cahill DR, King BF, Myers RP. Fascias of the male external genitalia and perineum. Clin Anat 1994; 7:115.

Planches 337, 342, 348, 352, 357, 358
Oelrich TM. The striated urogenital sphincter muscle in the female. Anat Rec 1983; 205:223.

Planches 341, 346
Myers RP, Goellner JR, Cahill DR. Prostate shape, external striated urethral sphincter and radical prostatectomy: the apical dissection. J Urol 1987; 138:543.

Références

Planches 341, 346, 363, 364
Oelrich TM. The urethral sphincter muscle in the male. Am J Anat 1980; 158:229.

Planche 383
Flocks RH, Kerr HD, Elkins HB, et al. Treatment of carcinoma of the prostate by interstitial radiation with radio-active gold (Au 198): a preliminary report. J Urol 1952; 68(2):510.

Planche 401
Keegan JJ, Garrett FD. The segmental distribution of the cutaneous nerves in the limbs of man. Anat Rec 1948; 102:409.

Planche 470
Keegan JJ. Neurological interpretation of dermatome hypalgesia with herniation of the lumbar intervertebral disc. J Bone Joint Surg 1944; 26:238.

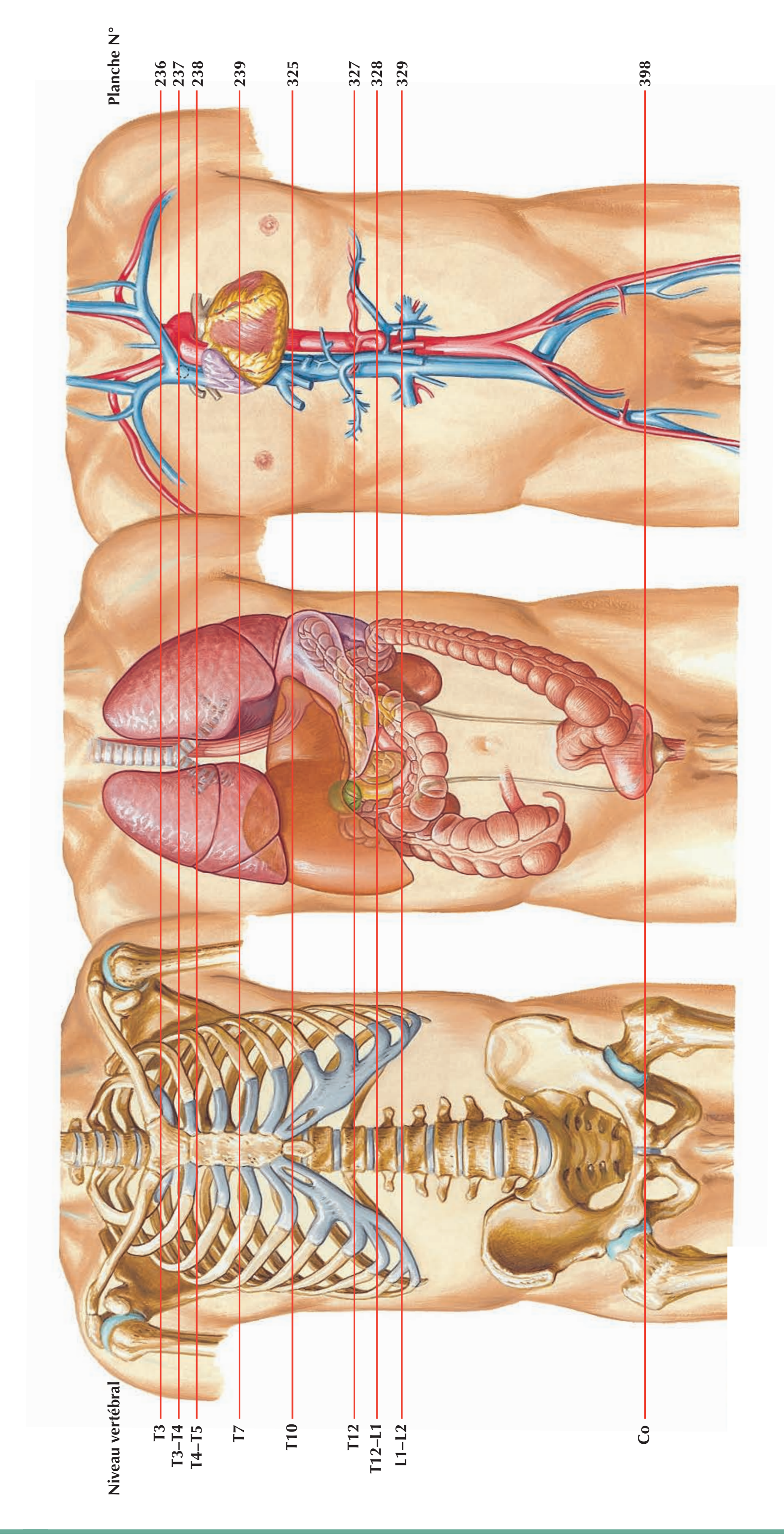
Last RJ. Innervation of the limbs. J Bone Joint Surg (Br) 1949; 31:452.



Section 8 COUPES TRANSVERSALES ANATOMIQUES

Coupes transversales anatomiques

Plate 532


Planche N°
236
237
238
239
325
327
328
329
398
Niveau vertébral
T3
T3–T4
T4–T5
T7
T10
T12
T12–L1
L1–L2
Co
C.Machado M.D.

Index

B

C

D

G

H

N

O

P

Q

R

S

U

V

W

X

Z